



HAL
open science

Île-de-France, Seine-et-Marne (77), Melun, 19 rue Saint-Liesne. Rapport de fouilles préventives

Gilles Desrayaud, Guillaume Chamarre, Caroline Claude, Patricia
Guinchard-Panseri, Annie Lefèvre, Céline Le Goff-Benzaidi, Véronique Pissot,
Nathalie Royer-Perez, Nicolas Warmé

► To cite this version:

Gilles Desrayaud, Guillaume Chamarre, Caroline Claude, Patricia Guinchard-Panseri, Annie Lefèvre, et al.. Île-de-France, Seine-et-Marne (77), Melun, 19 rue Saint-Liesne. Rapport de fouilles préventives. Inrap - Centre Île-de-France. 2024. hal-04902822

HAL Id: hal-04902822

<https://inrap.hal.science/hal-04902822v1>

Submitted on 21 Jan 2025

HAL is a multi-disciplinary open access archive for the deposit and dissemination of scientific research documents, whether they are published or not. The documents may come from teaching and research institutions in France or abroad, or from public or private research centers.

L'archive ouverte pluridisciplinaire **HAL**, est destinée au dépôt et à la diffusion de documents scientifiques de niveau recherche, publiés ou non, émanant des établissements d'enseignement et de recherche français ou étrangers, des laboratoires publics ou privés.

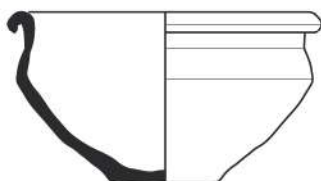
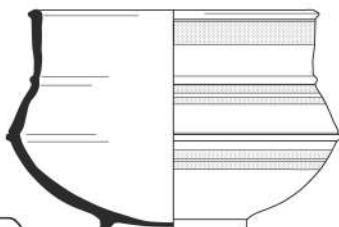
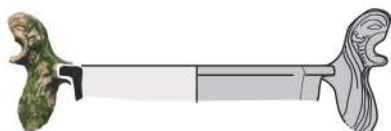
Public Domain

Île-de-France, Seine-et-Marne (77)

Melun

19 rue Saint-Liesne

sous la direction de
Gilles Desrayaud



Île-de-France, Seine-et-Marne (77)

Melun

19 rue Saint-Liesne

Code INSEE de la commune
77288

N° OA (SRA)
1011544

Arrêté de prescription SRA
2020-199 du 26/05/2020

Code opération Inrap
F134120

sous la direction de

Gilles Desrayaud

par

Guillaume Chamarre

Caroline Claude

Gilles Desrayaud

Patricia Guinchard-Panseri

Annie Lefèvre

Céline Le Goff-Benzaidi

Véronique Pissot

Nathalie Royer-Perez

Nicolas Warmé

avec la collaboration de

Beta Analytic

Zelda Hugon

Kevin Hutinet

Frédéric Métais

Mohammad Rayati

Pascal Raymond

François Renel

Emmanuelle Saron

Régis Touquet

Inrap
Centre - Île-de-France

41 rue Delizy

Immeuble Les Diamants – Bâtiment B

93692 Pantin Cedex

Tél. 01 41 83 75 30 Fax 01 48 10 97 55

centre-ile-de-france@inrap.fr

Septembre 2024

La consultation et l'utilisation de ce rapport s'effectuent dans le respect des dispositions du code de la propriété intellectuelle relatives aux droits des auteurs, ce qui emporte diverses contraintes auxquelles sont soumis tous les consultants et utilisateurs. Ainsi plus particulièrement, en application de l'article L.122-5 du code de la propriété intellectuelle :

- les prises de notes et les copies ou autres formes de reproduction sont autorisées dans la mesure où elles sont strictement réservées à l'usage privé du copiste et non destinées à une utilisation collective ;
- toute reproduction du texte, accompagnée ou non de photographies, cartes ou schémas, n'est possible que dans le cadre de courtes citations qui doivent être justifiées, par exemple par le caractère scientifique de l'œuvre à laquelle elles sont incorporées et sous réserve de l'indication claire du nom de l'auteur et de la source (références exactes et complètes de l'auteur, de son organisme d'appartenance et du rapport) ;
- la représentation ou la reproduction d'extraits est possible à des fins exclusives d'illustration dans le cadre de l'enseignement et de la recherche, dès lors que le public auquel elle est destinée est composé majoritairement d'élèves, d'étudiants, d'enseignants ou de chercheurs directement concernés et que son utilisation ne donne lieu à aucune exploitation commerciale.

Le non-respect de ces règles constitue le délit de contrefaçon prévu et sanctionné par les articles L.335-2, L.335-3 et suivants du code de la propriété intellectuelle.

Sommaire

9	I. Dossier d'opération, données administratives, techniques et scientifiques
10	1.1. Fiche signalétique
11	1.2. Mots-clefs des thesaurus
12	1.3. Intervenants
14	1.4. Notice scientifique et état du site
14	1.4.1. Notice scientifique
14	1.4.2. État du site
15	1.5. Tableau récapitulatif des résultats
16	1.6. Localisation de l'opération
17	1.7. Extrait du cadastre
18	1.8. Arrêtés de prescription
18	1.8.1. Arrêté de prescription initial
28	1.8.2. Arrêté de prescription modificatif 2021-291 du 27/04/2021
30	1.8.3. Arrêté de prescription modificatif 2021-324 du 06/05/2021
32	1.9. Arrêté d'autorisation
34	1.10. Projet scientifique d'intervention
61	II. Résultats
63	2.1. Contextes d'opération
63	2.1.1 Circonstances de l'intervention
63	2.1.2 Contexte archéologique et historique
63	2.1.2.1 L'environnement archéologique (Patricia Guinchard-Panseri, Inrap)
66	2.1.2.2 Le faubourg Saint-Liesne, fragments d'Histoire (Nathalie Royer-Perez, Inrap)
69	2.1.3 Contexte géographique et géologique
71	2.1.4 Moyens et méthodes mis en œuvre
75	2.2. Séquence sédimentaire et occupations archéologiques
75	2.2.1 Séquence sédimentaire générale
79	2.2.2 Fossé gaulois à gallo-romain précoce 1247
79	2.2.3 Haut-Empire romain : four de tuilier, fossés et fosses
79	2.2.3.1 Four de tuilier gallo-romain, I ^{er} -milieu II ^e s. (Guillaume Chamarre, Inrap)
79	2.2.3.1.1 Descriptif général et comparaisons
83	2.2.3.1.2 Four 1074 : la chambre de chauffe
85	2.2.3.1.3 Four 1074 : alandier Nord (Phase A) et Sud (Phase B)
85	2.2.3.1.4 Four 1074 : Le laboratoire ?

86	2.2.3.1.5 Four 1074 : la question d'un système de couverture ou d'appentis
86	2.2.3.1.6 Les tuiles du four 1074
87	2.2.3.1.7 Four 1074 : datation archéomagnétique (Nicolas Warmé, Inrap)
87	2.2.3.2 Fosses et fossés gallo-romains
89	2.2.4 Période mérovingienne précoce
89	2.2.4.1 L'occupation mérovingienne ?
91	2.2.4.2 Fosses 1056 et 1057, fin V ^e -milieu VI ^e s. ap. J.-C.
91	2.2.5 Moyen Âge central (XI^e-XII^e s.)
91	2.2.6 Bas Moyen Âge et période moderne (intervalle XIII^e-XVIII^e s.)
91	2.2.6.1 Intervalle XIII ^e -XVI ^e s. : le «bassin profond» 1381 et l'excavation 1151
96	2.2.6.2 Comblements XV ^e s. probables : excavations 1120 et 1232 / fosse 1233
96	2.2.6.3 Intervalle XIII ^e -XVIII ^e s. : puits 1208 et fondations 1155 et 1176
99	2.2.6.4 Intervalle XV ^e -XVIII ^e s. : le bâtiment 1126
101	2.2.6.5 Intervalle XVI ^e -XVIII ^e s. : caves 1211 et 1380
102	2.2.6.6 Intervalle XVI ^e -XVIII ^e s. : fosses profondes 1142 et 1147
103	2.2.6.7 Intervalle seconde moitié XVI ^e -XVIII ^e s. : fosses et excavations
105	2.2.6.8 Intervalle XVII ^e -XVIII ^e s. : «cave» 1267
105	2.2.7 Fosses et excavations, comblements TPQ XVI^e s. et TPQ XVII^e s.
107	2.2.8 Moderne tardif et période contemporaine (interv. XVIII^e-début XXI^e s.)
107	2.2.8.1 Constructions TPQ 1600-1750 ap. / TAQ 1825 ap. J.-C.
107	2.2.8.2 Intervalle 1825-1950 ap. J.-C.
109	2.2.8.3 Intervalle 1950-2021 ap. J.-C.

2.3. Conclusion

III. Annexes

3.1. Annexe 1 : C14-BetaAnalytic

3.2. Annexe 2 : Rapport d'analyse archéomagnétique sur le four de tuilier 1074 (Nicolas Warmé, Inrap)

118	3.2.1 Présentation de la méthode utilisée
118	3.2.1.1 Principes généraux d'une datation archéomagnétique
119	3.2.1.2 Prélèvements des échantillons et mesure de leur aimantation rémanente
120	3.2.1.3 Traitement des données archéomagnétiques
120	3.2.1.3.1 Calcul de la direction magnétique moyenne
120	3.2.1.3.2 Calcul de l'intervalle d'âge
122	3.2.2 Présentation des résultats archéomagnétiques
122	3.2.2.1 Four 1074 – (code archéomagnétique MEL 1074)
122	3.2.2.1.1 Commentaire sur le prélèvement
122	3.2.2.1.2 Calcul de la direction moyenne
123	3.2.2.1.3 Datation archéomagnétique du four 1074

3.3. Annexe 3 : Les matériaux de construction en terre cuite gallo-romains (Guillaume Chamarre, Inrap)

125	3.3.1 Présentation générale
128	3.3.2 Caractérisation des pâtes argileuses
129	3.3.3 Les tegulae
137	3.3.4 Les imbrices antiques
138	3.3.5 Les briques de maçonneries
139	3.3.6 Ratés de cuisson
141	3.3.7 Les marques de tâcherons
143	3.3.8 Synthèse
144	3.3.9 Inventaire détaillé des terres cuites architecturales gallo-romaines

3.4 Annexe 4 : Etude de la céramique antique (Véronique Pissot, Inrap)

176	3.4.1 Les lots céramiques par fait
181	3.4.2 Conclusion
182	3.4.3 Inventaire de la céramique antique

184	3.5 Annexe 5 : Etude de la céramique médiévale (Annie Lefèvre, Inrap)
184	3.5.1 Présentation du lot
184	3.5.1.1. Données chiffrées / Méthodologie
184	3.5.1.2. Datation des unités stratigraphiques
185	3.5.2 Présentation de la céramique
185	3.5.2.1. La période mérovingienne
199	3.5.2.2. La période médiévale (XI ^e -XII ^e s.)
200	3.5.3 Conclusion
201	3.5.4 Inventaire de la céramique médiévale (V^e-XII^e s.)
205	3.6 Annexe 6 : Etude du mobilier céramique médiéval et moderne (Caroline Claude, avec la collaboration de François Renel, Inrap)
205	3.6.1 Les ustensiles culinaires en céramique
207	3.6.1.1 La céramique au bas Moyen Âge : seconde moitié XIV ^e – première moitié XV ^e siècle
207	3.6.1.1.1 Les productions et les formes
210	3.6.1.1.2 Les contextes les plus caractéristiques
213	3.6.1.2 La céramique entre la seconde moitié du XV ^e et le XVII ^e siècle
213	3.6.1.2.1 Les productions (Fig. III-06-08)
215	3.6.1.2.2 Les ustensiles en céramiques
225	3.6.1.2.3 Les contextes les plus caractéristiques
226	3.6.1.3 La céramique au XVIII ^e siècle
226	3.6.1.4 Synthèse sur la céramique domestique
228	3.6.2 Les éléments en terre cuite architecturale
228	3.6.3 Un fragment d'ardoise gravée
232	3.6.4 Inventaire détaillé de la céramique médiévale et moderne
240	3.6.5 Inventaire des terres cuites architecturales médiévales à modernes
243	3.7 Annexe 7 : Etude des principaux vestiges fauniques (Céline le Goff-Benzaidi, Inrap)
243	3.7.1 Méthodes
244	3.7.2 Conservation
244	3.7.3 Fossé gaulois à gallo-romain précoce 1247
244	3.7.4 L'occupation mérovingienne précoce : fosses 1056 et 1057
246	3.7.4.1 Les mammifères domestiques (FS1056 et 1057)
248	3.7.4.1.1 La répartition anatomique (FS1056 et 1057) :
250	3.7.4.1.2 Les traces de traitement (FS1056 et 1057) :
254	3.7.4.2 Les oiseaux domestiques (FS1056 et 1057)
257	3.7.4.3 La faune sauvage (FS1056)
257	3.7.4.4 Synthèse (FS1056 et 1057)
259	3.7.5 Le bas Moyen Âge et la période moderne : 1381, 1120 et 1028
259	3.7.5.1 Le «bassin en puits» 1381
260	3.7.5.2 L'excavation 1120
260	3.7.5.2.1 Les restes fragmentaires (EX1120)
263	3.7.5.2.2 Les animaux en connexion (EX1120)
263	3.7.5.2.3 Synthèse de l'excavation 1120
264	3.7.5.3 La fosse 1028
265	3.7.6 Conclusion
267	3.8 Annexe 8 : Inventaire détaillé des datations estimées
267	3.8.1 Tableau synthétique des groupes et intervalles de datation estimés
268	3.8.2 Inventaire des datations estimées par groupe / intervalle
286	3.8.3 Inventaire des datations estimées par n° d'Hz / Us

IV. Inventaire techniques

309	
311	4.1. Inventaire descriptif des horizons et unités stratigraphiques et techniques

383	4.2. Inventaire des faits par type et n°
383	4.2.1 Faits stratigraphiques
390	4.2.2 Faits / Us techniques
391	4.3. Inventaire des ensembles par type et n°
393	4.4 Inventaire des mobiliers
399	4.5 Inventaire des prélèvements
399	4.6. Inventaires de la documentation de l'opération
399	4.6.1 Documentation écrite
400	4.6.2 Documents graphiques / relevés de terrain
401	4.6.3 Photographies (numériques)
401	4.6.3.1 Tableau synthétique d'inventaire des photographies
402	4.6.3.2 Photographies : DIAG 2019
403	4.6.3.3 Photographies : PREP
404	4.6.3.4 Photographies : LUMIX ORANGE
412	4.6.3.5 Photographies : LUMIX NOIR
428	4.6.3.6 Photographies : RT
429	4.6.3.7 Photographies : KH
430	4.6.3.8 Photographies : MY
430	4.6.3.9 Photographies : PR
430	4.6.4 Documents / fichiers numériques
430	4.6.4.1 Plan topographique (.dwg)
430	4.6.4.2 Inventaires numériques (FileMaker Pro)
430	4.6.4.3 Modèles 3D (.psx / .psz)
433	V.Planches illustrées
435	Plans généraux
439	Plans de détail par secteur
447	Localisation des coupes stratigraphiques de référence
448	Coupes stratigraphiques de référence - Coupe A-B
454	Coupes stratigraphiques de référence - Coupe C-D
458	Coupes stratigraphiques de référence - Coupe E-F
468	Coupes stratigraphiques de référence - Coupe G-H
470	Coupes stratigraphiques de référence - Coupe H-I
471	Coupes stratigraphiques de référence - Coupe I-J
473	Coupes stratigraphiques de référence - Coupe K-L
475	Coupes stratigraphiques de référence - Coupe L-M
476	Coupes stratigraphiques de référence - Coupe N-O
479	Coupes stratigraphiques de référence - Coupe P-Q
484	Coupes stratigraphiques de référence - Coupe Q-R
486	Coupes stratigraphiques de référence - Coupe R-S

490	Coupes stratigraphiques de référence - Coupe T-U
492	Coupes stratigraphiques de référence - Coupes U-V et V-W
493	Coupes stratigraphiques de référence - Coupe W-X
494	Coupes stratigraphiques de référence - Coupe X-A
495	Plans phasés par période estimée
506	Fossé gaulois à gallo-romain précoce
507	Four de tuilier gallo-romain (Haut-Empire)
529	Fosse et fossés gallo-romains (Haut-Empire)
530	Fosses mérovingiennes précoces (intervalle 475-550 ap. J.-C.)
532	Fosses mérovingiennes probables (intervalle 475-550 ap. J.-C. ?)
533	Fosses TPQ fin V^e-VII^e s. (médiévales probables ?)
535	Bâtiment Bas-Empire à haut Moyen Âge probable (mérovingien ?)
536	Fosses TPQ XI^e-XII^e s. (médiévales probables ?)
537	Bassin profond, construction TPQ XIII^e s. probable / TAQ XIV^e s.
541	Fosse et excavations, comblements XV^e s. probables
545	Fondation / construction TPQ 1200-1400 ap. J.-C.
547	Fosses non datées, comblements TPQ 1200-1400 et/ou 1450-1525 ap. J.-C.
548	Période moderne (TPQ 1500-1600 ap. / TAQ 1750-1825 ap. J.-C.)
558	TPQ 1400-1500 et/ou 1500-1600 ap. J.-C.
559	Période moderne (TPQ 1575-1700 ap. / TAQ 1750-1825 ap. J.-C.)
562	Comblements TPQ 1600-1700 ap. J.-C. (modernes ?)
567	VI. Bibliographie, Liste des figures
569	6.1 Références bibliographiques
579	6.2 Liste des figures et des planches



I. Dossier d'opération
données administratives,
techniques et scientifiques

1.1. Fiche signalétique

<p>Localisation</p> <p>Région Île-de-France</p> <p>Département Seine-et-Marne (77)</p> <p>Commune Melun</p> <p>Adresse ou lieu-dit 19, rue Saint-Liesne</p>	<p>Propriétaire du terrain</p> <p><i>Famille Jacquemin, promesse de vente du 22 mars 2021 à :</i> GROUPE EDOUARD DENIS 2, rue Leday Résidence le Nouvel Hermitage 80100 Abbeville</p>	<p>Centre Archéologique Inrap 32, rue Delizy 93694 Pantin Cedex</p>
<p>Codes</p> <p>Code INSEE 77288</p> <p>N° OA (SRA) 1011544</p> <p>Code opération Inrap F134120</p>	<p>Références de l'opération</p> <p>Numéro de l'arrêté de prescription 2020-199 du 26/05/2020</p> <p>Arrêté modificatif 2021-291 du 27/04/2021</p> <p>Arrêté modificatif 2021-324 du 06/05/2021</p> <p>Numéro de l'arrêté d'autorisation 2021-534 du 11/08/2021</p>	<p>Dates d'intervention sur le terrain</p> <p>Du 20-09 au 17-12-2021</p> <p>Post-fouille</p> <p>Janvier 2022 à juillet 2024</p>
<p>Coordonnées géographiques et altimétriques selon le système national de référence</p> <p>RGF 93 CC49 / IGN 69 X (East) : 1 675 279 / 1 675 325 Y (N) : 8 148 893 / 8 148 979 Z : 42,60 / 43,90 m NGF</p>	<p>Maître d'ouvrage des travaux d'aménagement</p> <p>GROUPE EDOUARD DENIS IMMOBILIER 103, rue de Grenelle 75007 Paris</p>	<p>Surface du projet d'aménagement</p> <p>Prescrite selon arrêtés : 1935 m² Accessible : 1870 m²</p>
<p>Références cadastrales</p> <p>Commune : Melun</p> <p>Année : 2021</p> <p>Section(s) : AR</p> <p>Parcelle(s) : n° 245</p>	<p>Nature de l'aménagement</p> <p>Construction de logements</p> <p>Opérateur d'archéologie</p> <p>Inrap Centre Île-de-France</p>	<p>Surface sondée</p> <p>-Surface décapée : 1280 m² -Surface fouillée : 1175 m²</p>
<p>Statut du terrain au regard des législations sur le patrimoine et l'environnement</p> <p>sans objet</p>	<p>Responsable scientifique de l'opération</p> <p>Gilles Desrayaud, Inrap</p> <p>Organisme de rattachement</p> <p>Inrap Centre / Île-de-France Immeuble «Les Diamants» - Bâtiment B ; 41, rue Delizy, 93692 Pantin Cedex</p>	<p>Moyens engagés</p> <p>-Préparation / Terrain : 267 jours / homme -Terrassements et rebouchage : 17 jours ouverts de pelle méca. 15 t 38 jours ouverts de pelle méca. 8 t -Post Fouille et mise en page : 350 jours / homme env.</p> <p>Référence bibliographique</p> <p>Desrayaud 2024 : DESRAYAUD (G.) (DIR), CHAMARRE (G.), CLAUDE (C.), GUINCHARD-PANSERI (P.), LEFÈVRE (A.), LE GOFF- BENZAIDI (C.), PISSOT (V.), ROYER-PEREZ (N.), WARMÉ (N.), <i>ET AL.</i> - Île-de-France, Seine-et-Marne (77), Melun, 19 rue Saint-Liesne. Rapport de fouilles, INRAP-CÎF / DRAC-SRA-ÎDF, Pantin / Paris, septembre 2024, 583 p.</p>

1.2. Mots-clefs des thesaurus

Chronologie	Sujets et thèmes	Mobilier
<input type="checkbox"/> Paléolithique	<input type="checkbox"/> Édifice public	<input type="checkbox"/> <input type="checkbox"/> ^{nb} Industrie lithique
<input type="checkbox"/> <input type="checkbox"/> Inférieur	<input type="checkbox"/> Édifice religieux	<input type="checkbox"/> <input type="checkbox"/> Industrie osseuse
<input type="checkbox"/> <input type="checkbox"/> Moyen	<input type="checkbox"/> Structure militaire	<input checked="" type="checkbox"/> <input type="checkbox"/> Céramique
<input type="checkbox"/> <input type="checkbox"/> Supérieur	<input checked="" type="checkbox"/> Bâtiment	<input type="checkbox"/> <input type="checkbox"/> Restes végétaux
<input type="checkbox"/> <input type="checkbox"/> Mésolithique et Épipaléolithique	<input type="checkbox"/> Structure funéraire	<input checked="" type="checkbox"/> <input type="checkbox"/> Faune
<input type="checkbox"/> Néolithique	<input type="checkbox"/> Voirie	<input type="checkbox"/> <input type="checkbox"/> Flore
<input type="checkbox"/> <input type="checkbox"/> Ancien	<input type="checkbox"/> Hydraulique	<input type="checkbox"/> <input type="checkbox"/> Objet métallique
<input type="checkbox"/> <input type="checkbox"/> Moyen	<input type="checkbox"/> ? Habitat rural	<input type="checkbox"/> <input type="checkbox"/> Arme
<input type="checkbox"/> <input type="checkbox"/> Récent	<input type="checkbox"/> Villa	<input type="checkbox"/> <input type="checkbox"/> Outil
<input checked="" type="checkbox"/> Protohistoire	<input type="checkbox"/> Bâtiment agricole	<input type="checkbox"/> <input type="checkbox"/> Parure
<input type="checkbox"/> Âge du Bronze	<input type="checkbox"/> Structure agraire	<input type="checkbox"/> <input type="checkbox"/> Habillement
<input type="checkbox"/> <input type="checkbox"/> Ancien	<input checked="" type="checkbox"/> Urbanisme	<input type="checkbox"/> <input type="checkbox"/> Trésor
<input type="checkbox"/> <input type="checkbox"/> Moyen	<input checked="" type="checkbox"/> Maison	<input type="checkbox"/> <input type="checkbox"/> Monnaie
<input type="checkbox"/> <input type="checkbox"/> Récent	<input checked="" type="checkbox"/> Structure urbaine	<input type="checkbox"/> <input type="checkbox"/> Verre
<input checked="" type="checkbox"/> Âge du Fer	<input checked="" type="checkbox"/> Foyer	<input type="checkbox"/> <input type="checkbox"/> Mosaïque
<input type="checkbox"/> <input type="checkbox"/> Hallstatt (premier Âge du Fer)	<input checked="" type="checkbox"/> Fosse	<input type="checkbox"/> <input type="checkbox"/> Peinture
<input checked="" type="checkbox"/> <input checked="" type="checkbox"/> La Tène (second Âge du Fer)	<input type="checkbox"/> Sépulture	<input type="checkbox"/> <input type="checkbox"/> Sculpture
<input checked="" type="checkbox"/> Antiquité romaine (gallo-romain)	<input type="checkbox"/> Grotte	<input type="checkbox"/> <input type="checkbox"/> TCA, Macrolithique
<input type="checkbox"/> <input type="checkbox"/> République romaine	<input type="checkbox"/> Abri	<input checked="" type="checkbox"/> <input type="checkbox"/> Tuile
<input checked="" type="checkbox"/> <input checked="" type="checkbox"/> Empire romain	<input type="checkbox"/> Mégalithe	
<input checked="" type="checkbox"/> <input checked="" type="checkbox"/> Haut-Empire (jusqu'en 284)	<input checked="" type="checkbox"/> Artisanat	
<input type="checkbox"/> <input type="checkbox"/> Bas-Empire (de 285 à 476)	<input checked="" type="checkbox"/> Argile : atelier	
<input checked="" type="checkbox"/> Époque médiévale	<input type="checkbox"/> Atelier	
<input checked="" type="checkbox"/> <input checked="" type="checkbox"/> haut Moyen Âge	<input checked="" type="checkbox"/> Four de tuilier	
<input checked="" type="checkbox"/> <input checked="" type="checkbox"/> Moyen Âge	<input type="checkbox"/> Fossé	
<input checked="" type="checkbox"/> <input checked="" type="checkbox"/> bas Moyen Âge	<input type="checkbox"/> Épandage lithique	
<input checked="" type="checkbox"/> Temps modernes	<input type="checkbox"/> Épandage céramique	
<input checked="" type="checkbox"/> Époque contemporaine	<input type="checkbox"/> Drain	
<input checked="" type="checkbox"/> <input checked="" type="checkbox"/> Ère industrielle	<input type="checkbox"/> St. indéterminée	
		Etudes annexes
		<input type="checkbox"/> Géologie
		<input checked="" type="checkbox"/> Datation
		<input type="checkbox"/> Anthropologie
		<input type="checkbox"/> Paléontologie
		<input checked="" type="checkbox"/> Zoologie
		<input type="checkbox"/> Botanique
		<input type="checkbox"/> Palynologie
		<input type="checkbox"/> Macrorestes
		<input checked="" type="checkbox"/> An. de céramique
		<input type="checkbox"/> An. de métaux
		<input type="checkbox"/> An. lithique
		<input type="checkbox"/> Numismatique
		<input type="checkbox"/> Conservation
		<input type="checkbox"/> Archéologie sur le bâti

1.3. Intervenants

Intervenants scientifiques

Prénom Nom, organisme d'appartenance	Tâches génériques	Tâches affectées dans le cadre de l'opération
Millena Frouin, SRA ÎDF (2024)	Responsable territorial ^e – Sud Seine-et-Marne	Contrôle scientifique
Philippe Peylet-Lacotte, SRA ÎDF (2021)	Responsable territorial – Sud Seine-et-Marne	Prescription et contrôle scientifique
Diane Casadei, INRAP ÎDF (2024)	Directrice Adjointe Scientifique et Technique	Projet et contrôle scientifique
Céline Casasoprana, INRAP ÎDF (2021)	Directrice Adjointe Scientifique et Technique	Projet et contrôle scientifique
Gilles Desrayaud, INRAP ÎDF	Chargé d'études	Responsable de Recherches Archéo.

Intervenants administratifs

Prénom Nom, organisme d'appartenance	Tâches génériques	Tâches affectées dans le cadre de l'opération
Stéphane Deschamps, SRA ÎDF	Conservateur régional	Prescription et contrôle scientifique
Millena Frouin, SRA ÎDF (2024)	Responsable territorial ^e – Sud 77	Contrôle scientifique
Philippe Peylet-Lacotte, SRA ÎDF (2021)	Responsable territorial – Sud 77	Prescription et contrôle scientifique
Marie-Christiane Casala, INRAP ÎDF (2021)	Directrice interrégionale	Contrôle de l'opération
Sébastien Hennick, INRAP ÎDF (2024)	Directeur interrégional	Contrôle de l'opération

Intervenants techniques

Prénom Nom, organisme d'appartenance	Tâches génériques	Tâches affectées dans le cadre de l'opération
Allo Travaux Publics Location du Centre	Terrassements mécaniques	Décapage et fouilles mécanisés
Luc Daguzon, INRAP ÎDF	Assistant de Prévention	Hygiène et sécurité de l'opération
Hervé Kuntz, INRAP ÎDF	Assistant Technique régional	Préparation et suivi de l'opération de terrain

Aménageur

Prénom Nom, organisme d'appartenance	Tâches génériques	Tâches affectées dans le cadre de l'opération
Arnaud Derrien, GOUPE EDOUARD DENIS	Directeur de travaux	Mise à disposition du terrain et suivi d'opération
Camille Vanoni, GOUPE EDOUARD DENIS	Responsable de programmes	Mise à disposition du terrain et suivi d'opération

Financement

GOUPE EDOUARD DENIS (contrat de fouille F134120 du 05 juillet 2021 et avenant n°1 du 17 décembre 2021)

Équipe de terrain, Inrap

Prénom Nom, organisme d'appartenance	Tâches génériques	Tâches affectées dans le cadre de l'opération
Gilles Desrayaud	Archéologue	Responsable de Recherches Archéologiques
Mathilde Ferrari	Topographe	Topographie
Kevin Hutinet	Archéologue	Technicien
Céline Le Goff-Benzaïdi	Archéozoologue	Spécialiste
Frédéric Métais	Archéologue	Technicien
Mohammad Rayati-Moghaddam	Archéologue	Technicien
Pascal Raymond	Dessinateur, topographe	Couverture drone
Emmanuelle Saron	Archéologue	Technicienne
Régis Touquet	Topographe	Topographie
Nicolas Warmé	Archéologue	Spécialiste (archéomagnétisme)

Équipe de post-fouille, Inrap

Prénom Nom, organisme d'appartenance	Tâches génériques	Tâches affectées dans le cadre de l'opération
Guillaume Chamarre	Archéologue	Etude des tuiles gallo-romaines
Caroline Claude	Céramologue	Céramique médiévale à moderne
Gilles Desrayaud	Archéologue	Traitement, analyse, PAO, DAO, rédaction
Zelda Hugon	Infographiste	Mise en page du Rapport Final d'Opération
Kevin Hutinet	Archéologue	Traitement des mobiliers, modèles 3D
Annie Lefèvre	Céramologue	Céramique médiévale
Céline Le Goff-Benzaïdi	Archéozoologue	Etudes des restes fauniques
Véronique Pissot	Céramologue	Céramique antique
Mohammad Rayati-Moghaddam	Archéologue	Traitement des mobiliers
François Renel	Archéologue, céramologue	Céramique moderne à contemporaine
Régis Touquet	Topographe	Plan topographique
Nicolas Warmé	Archéologue, spécialiste	Datations archéomagnétiques

Collaborations

Prénom Nom, organisme d'appartenance	Tâches génériques	Tâches affectées dans le cadre de l'opération
<i>Beta Analytic, Testing Laboratory, USA</i>	Datations	Datations C14
Patricia Guinchard-Panseri, INRAP	Archéologue	Partage de données (2019-2020)
Nathalie Royer-Perez, INRAP	Archéologue	Partage de données (2019-2020)

1.4. Notice scientifique et état du site

1.4.1. Notice scientifique

En 2021, une fouille préventive d'environ 1200 m² a été réalisée par l'Inrap au n°19 de la rue Saint-Liesne, dans l'un des faubourgs historiques de la ville de Melun, en Seine-et-Marne.

En 1994, sur une parcelle toute proche, une fouille de sauvetage urgent avait mis en évidence la présence de fosses et de trous de poteau associés à des tessons de céramiques du Bas-Empire romain, mérovingiennes et carolingiennes.

A quelques centaines de mètres au Nord-Est¹ des périmètres de l'agglomération gallo-romaine (*Metlosedum*) et des fortifications médiévales à modernes, la parcelle étudiée se situe à la base du versant oriental de la vallée d'une petite rivière, l'Almont, légèrement en retrait de sa rencontre avec la Seine.

Pour les deux derniers millénaires, la séquence sédimentaire conservée, postérieure au substrat lité limono-argileux pléistocène et au Sol Brun du début de l'Holocène, se compose principalement d'une succession d'horizons de dépôts de pente, de «terre végétale» et de remblais, scellant des niveaux d'occupations archéologiques, plus ou moins tronqués. Les principaux vestiges mis au jour s'échelonnent de la période gauloise à la période actuelle.

Un tronçon de fossé a livré le crâne et les mandibules d'un jeune cheval, datés par carbone 14 entre -175 et -25 avant J.-C. à 89 % de probabilité.

Un four de tuilier gallo-romain, le premier découvert sur la commune, parmi les quelques exemplaires connus d'Île-de-France, a pu être intégralement fouillé. Son unité de chauffe, de plus de 11 m², permettait la cuisson de plusieurs centaines de tuiles par fournée. Sa dernière utilisation a pu être datée de l'intervalle 22-166 ap. J.-C. à 95 % de probabilité, par archéomagnétisme. Il a donc fonctionné pendant l'essor et/ou «l'apogée» de la ville antique, au cours de la première partie du Haut-Empire.

Le choix de son implantation est peut-être lié à la proximité de filons d'argile et/ou à l'existence d'un

cours d'eau et d'une probable voie terrestre (ancien tracé de la rue Saint-Liesne ?), pouvant faciliter le transport des matériaux (bruts et transformés). L'ampleur potentielle de ce pôle artisanal (avec la possibilité de plusieurs fours synchrones et/ou successifs) reste à explorer.

Deux fosses mérovingiennes précoces (fin V^e-milieu VI^e s. ap. J.-C.) ont livré des céramiques et un corpus de faune consommée correspondant à un milieu social privilégié. Plusieurs fosses alentour et un bâtiment sur poteaux plantés leur sont vraisemblablement associés. Ces éléments constituent l'un des rares indices d'habitat de cette période en périphérie de l'île Saint-Etienne, au centre de la Seine, site du castrum du Bas-Empire.

Un probable petit silo et des tessons en faible quantité témoignent d'une fréquentation de l'emprise pendant les XI^e-XII^e siècles.

L'urbanisation du faubourg le long de la rue Saint-Liesne est attestée par la présence de structures maçonnées excavées, caves, puits à eau et fondations, depuis au moins le XIV^e s. et pendant toute la période moderne.

Une extension croissante des surfaces bâties est perceptible à partir du milieu du XIX^e s.

1.4.2. État du site

Suite à la fouille, la prescription archéologique concernant la parcelle AR 245 a été levée par le Service Régional de l'Archéologie. S'en est suivie la construction d'un immeuble avec parkings souterrains, à partir de 2022.

Les parcelles attenantes (Fig. 1-07-01) possèdent un fort potentiel archéologique.

1. Pour des raisons de commodité de lecture et éviter les confusions, les points cardinaux sont écrits avec des majuscules dans l'ensemble des textes du rapport.

1.5. Tableau récapitulatif des résultats

Chronologie	Structures	Mobilier	Interprétation
Gaulois à gallo-romain précoce (intervalle -175 av. / + 10 ap. J.-C.)	-1 fossé	-crâne et mandibules de cheval	?
Haut-Empire romain (intervalle -30 av. / 300 ap. J.-C.)	-1 four de tuilier (2 phases) -6 tronçons de fossé -1 fosse	-Céramique -Pesons -Tuiles	-Production de tuiles -Drainage ? / «parcellaire» ?
<i>Haut-Empire romain probable ?</i>	-2 fosses	-Céramique -Tuiles	
Mérovingien précoce (intervalle 475-550 ap. J.-C.)	-1 fosse profonde -1 fosse	-Céramique -Faune -Torchis	-Habitat ?
<i>Mérovingien précoce probable ?</i>	-2 fosses	-Céramique -Faune	-Habitat ?
<i>Non daté, TPQ 475-700 ap. J.-C.</i>	-5 fosses -1 silo	-Céramique -Faune	-Habitat ?
<i>(Bas-Empire romain à) haut Moyen Âge probable (mérovingien ?)</i>	-1 bâtiment supposé (6 poteaux)	-Tuile	-Habitat ?
<i>Moyen Âge central probable</i> (intervalle 1000-1100 ap. J.-C. ?)	-1 fosse (petit silo ?)	-Céramique	?
<i>Non datés, TPQ 1000-1200 ap. J.-C. probable</i>	-5 fosses -1 creusement indéterminé. -2 trous de poteau supposés	-Céramique	?
XIIIe-XIVe s., construction (intervalle 1200-1400 ap. J.-C.)	-1 «petit bassin» maçonné profond	-Céramique	-Habitat (faubourg) ?
XVe s. probable, complements (intervalle 1400-1500 ap. J.-C.)	-1 fosse -2 excavations	-Céramique -Faune	-Habitat (faubourg)
Moyen Âge central tardif à moderne (TPQ 1200-1400 ap. J.-C.)	-2 excavations (dont 1 cave ?) -1 fondation de mur -3 fosses -1 puits à eau maçonné -1 tranchée de récupération	-Céramique -Faune -Tuiles	-Habitat (faubourg)
Fin du bas Moyen Âge à moderne (TPQ 1400-1500 ap. J.-C.)	-2 excavations -1 fondation de mur -2 fosses «aménagées» -1 mur (fondation + élévation) -7 tranchées de récupération (grand bâtiment)	-Céramique -Tuiles	-Habitat (faubourg)
XVIe-XVIIIe s., moderne (intervalle 1500-1825 ap. J.-C.)	-3 caves -7 excavations -11 fosses	-Céramique -Faune -Tuiles	-Habitat (faubourg)
<i>Non datés, TPQ 1400-1600 ap. (moderne à contemporain ?)</i>	-4 excavations -1 fondation de mur -14 fosses	-Céramique -Faune	-Habitat / parcelles «cultivées» (faubourg)
Moderne à contemporain (TPQ 1600-1700 ap. J.-C.)	-5 excavations -5 fosses -1 puits à eau maçonné -2 tranchées de récupération	-Céramique -Faune	-Habitat / parcelles «cultivées» (faubourg)
Fin moderne à contemporain (TPQ 1600-1825 ap. J.-C.)	-5 fondations de murs observées -6 fosses -3 murs observés (fondation + élévation) -2 structures bâties observées	-Céramique -Faune	-Habitat (faubourg)
Contemporain (intervalle 1825-2021 ap. J.-C.)	-1 petit bassin observé -1 cave -11 fondations observées -5 fosses -7 murs observés (fondations + élévations) -1 poteau -3 puits / puisards -2 structures bâties		-Habitat / commerces / parcelles «cultivées» (faubourg)
<i>Non datés</i> (dont 8 fosses TPQ 1250-1400 ap.)	-31 creusements indéterminés -38 fosses -29 trous de poteau attestés et supposés		sans objet

1.6. Localisation de l'opération

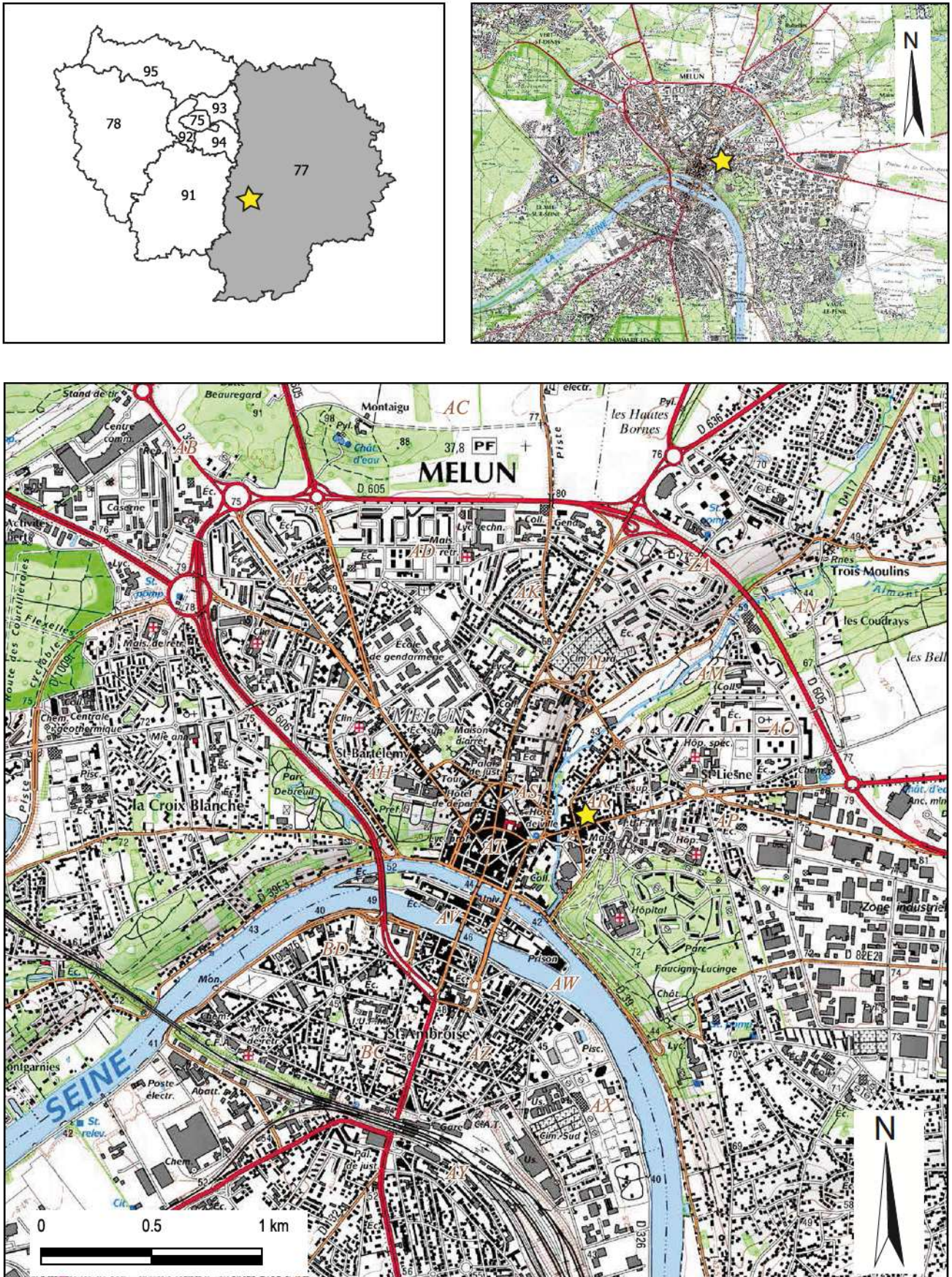


Fig. I-06-01 Melun, 19 rue Saint-Liesne. Localisation de l'opération sur la carte IGN © IGN Paris

1.7. Extrait du cadastre

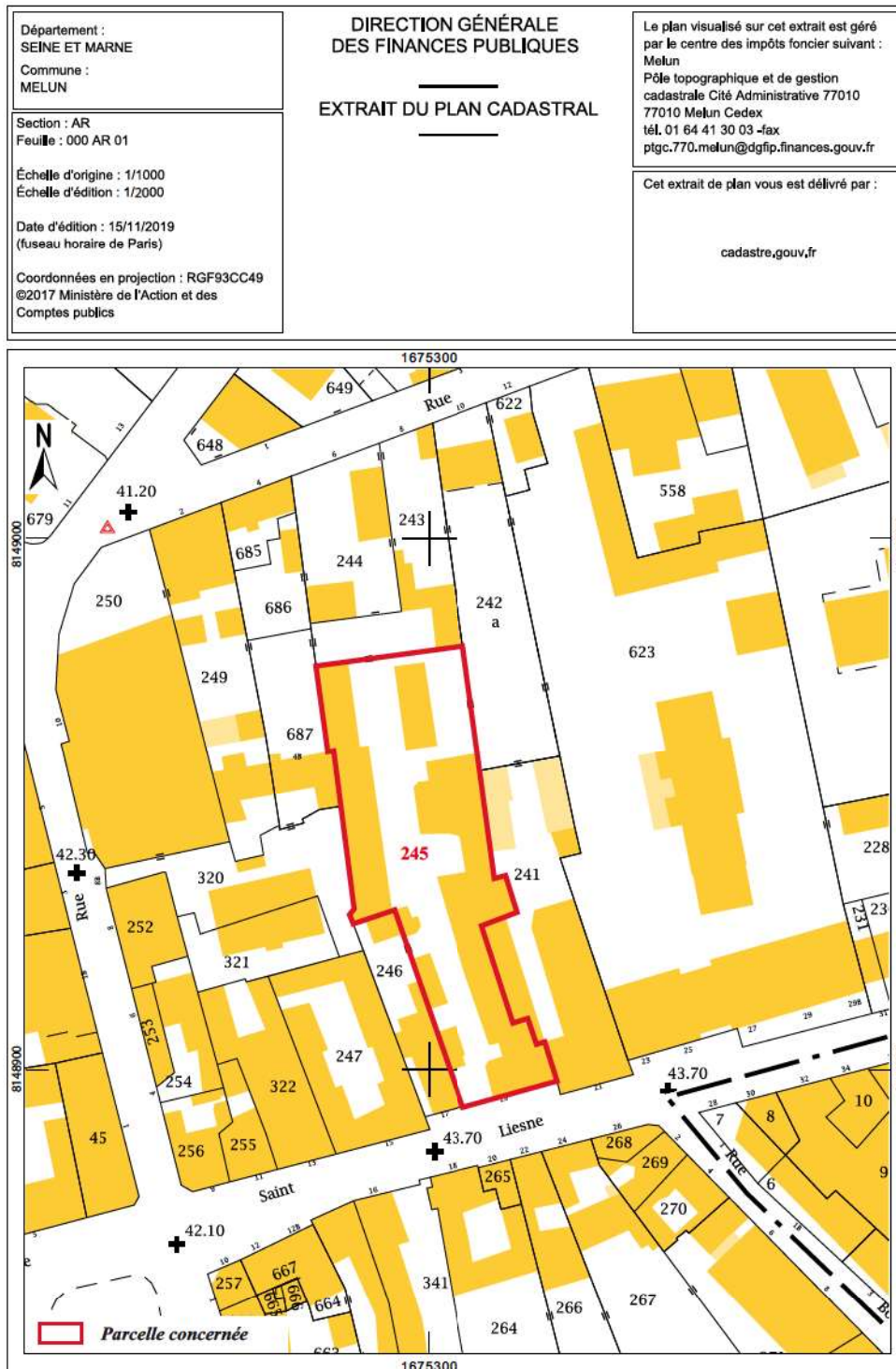


Fig. I-07-01 Melun, 19 rue Saint-Liesne. Localisation de l'opération sur le cadastre © cadastre.gouv.fr

1.8. Arrêtés de prescription

1.8.1. Arrêté de prescription initial



Liberté • Égalité • Fraternité
RÉPUBLIQUE FRANÇAISE

PRÉFET DE LA RÉGION ÎLE-DE-FRANCE

Arrêté n° 2020-199 Du 26 05 2020
portant prescription d'une fouille d'archéologie préventive

Le Préfet de région ;

Vu le code du patrimoine et notamment son livre V ;

Vu l'arrêté du 16 septembre 2004 portant définition des normes d'identification, d'inventaire, de classement et de conditionnement de la documentation scientifique et du mobilier issu des diagnostics et des fouilles archéologiques ;

Vu l'arrêté du 27 septembre 2004 portant définition des normes de contenu et de présentation des rapports d'opérations archéologiques ;

Vu l'arrêté de la Ministre de la Culture du 3 juillet 2017 fixant la liste des éléments constitutifs des offres des opérateurs pour la réalisation de fouilles archéologiques préventives ;

Vu l'arrêté n° IDF-2019-08-30-010 du 30 août 2019, signé de Monsieur Michel CADOT, Préfet de la région d'Île-de-France, Préfet de Paris, portant délégation de signature à Monsieur Laurent ROTURIER, Directeur Régional des Affaires Culturelles d'Île-de-France ;

Vu l'arrêté n° 2019-065 du 3 septembre 2019 portant subdélégation de signature à Monsieur Stéphane DESCHAMPS, Conservateur régional de l'archéologie, et à Monsieur Jean-Marc GOUEDO, Conservateur régional adjoint de l'archéologie ;

Vu le dossier enregistré sous le n° PC0772881900056, permis de construire, déposé par – TAGERIM PROMOTION – pour le projet « 19 Rue Saint Liesne » localisé à MELUN, transmis par la Ville de MELUN, reçu en préfecture de région, Service régional de l'archéologie, le 1 août 2019 ;

Vu le rapport de diagnostic réalisé par l' INRAP - Direction interrégionale Centre-Île-de-France remis au préfet de région le 10 février 2020 ;

Considérant que les travaux envisagés sont de nature à porter atteinte à des éléments du patrimoine archéologique ; ;

Considérant que les travaux précités doivent être précédés d'une étude des vestiges par une fouille archéologique.

Vu l'avis de la CTAA ds 16-19 mars 2020.

ARRÊTE

Article 1 - Une opération de fouille archéologique est mise en œuvre préalablement à la réalisation du projet « 19 Rue Saint Liesne », sis en :

RÉGION : ILE-DE-FRANCE

- DEPARTEMENT : SEINE-ET-MARNE
- COMMUNE : MELUN
- Lieudit ou adresse : 19 Rue Saint Liesne
- Cadastre : Section : AR, Parcelle(s) : 245

Réalisé par : TAGERIM PROMOTION

L'emprise soumise à la fouille, d'une superficie de 2000 m² (env), est figurée sur le document graphique annexé au présent arrêté (annexe 1).

Article 2 - La fouille prescrite à l'article 1 sera réalisée conformément au cahier des charges scientifiques annexé

Il devra assurer la conduite effective de l'ensemble de l'opération, et donc être présent sur le terrain sans interruption, sous le contrôle scientifique et technique du SRA. Il sera assisté d'une équipe d'archéologues et de spécialistes rompu à la fouille et à l'étude de ce genre de site et de ce type d'opération. Il n'hésitera pas à se rapprocher des chercheurs impliqués dans les programmes de recherches pouvant être liés à cette opération d'archéologie préventive.

L'archéologue responsable scientifique devra en outre être à jour de ses rapports de fouilles préventives.

L'opérateur devra impérativement fournir, dans le projet scientifique d'intervention, le nom du responsable scientifique choisi et ses titres, qualifications et expériences antérieures ainsi que celle de son équipe d'encadrement et de spécialistes.

L'opérateur devra impérativement être agréé pour l'Antiquité, le Moyen-âge et l'Epoque moderne.

Le responsable d'opération informera, de manière régulière par courrier ou messagerie électronique, le conservateur régional de l'archéologie de l'état d'avancement de l'opération et de l'adéquation des moyens mis en œuvre pour la fouille préventive (travaux de terrain et phase d'étude et d'exploitation des données).

Il prendra toute mesure conservatoire nécessaire pour le mobilier archéologique mis au jour.

Il devra informer immédiatement le Conservateur régional de l'archéologie ou son représentant de toute découverte archéologique, immobilière ou mobilière, d'intérêt majeur et prendre les mesures conservatoires adaptées.

Documents à communiquer à/aux opérateur(s) par l'aménageur

Pour permettre à l'opérateur d'élaborer son projet scientifique d'intervention, l'aménageur lui communiquera l'arrêté de prescription de la fouille, ce cahier des charges, le plan avec l'aire à fouiller et la copie des rapports de diagnostic et de sondage archéologique liés à cette opération. Ces documents sont consultables à la Direction régionale des affaires culturelles d'Ile-de-France, Service régional de l'archéologie, selon les dispositions réglementaires de la circulaire du 26 mars 1993, comme d'autres rapports si nécessaire.

Préservation des emprises de fouille et d'état des lieux

Tout terrassement, démolition et/ou circulation d'engins sur l'emprise concernée par le présent arrêté sont interdits avant le démarrage de la fouille. En cas de projet relatif au sol (carottage, pelletage) l'aménageur doit contacter le Service régional de l'archéologie pour demander un accord préalable.

Stéphane Deschamps

Conservateur régional de l'archéologie d'Ile-de-France

Direction régionale des affaires culturelles d'Ile-de-France
47 rue Le Peletier 75009 Paris - standard 01 56 06 50 00 • Télécopie 01 56 06 52 48
Adresse Internet : www.ile-de-france.culture.gouv.fr

Jean-Marc Goyédo
conservateur en chef du patrimoine,
adjoint au conservateur régional
de l'archéologie d'Ile-de-France

au présent arrêté (annexe 2), sous la maîtrise d'ouvrage de l'aménageur désigné au même article.

Sa réalisation peut être confiée à l'Institut national de recherches archéologiques préventives ou à un opérateur titulaire de l'habilitation ou de l'agrément prévus par les articles R.522-14 et R.522-8 du code du patrimoine. Cette habilitation ou cet agrément devra couvrir la (les) période(s) suivante(s) (et) le(s) domaine(s) suivant(s) :

L'aménageur transmettra pour avis au préfet de région les offres recevables proposées par les opérateurs dans les conditions fixées par l'article R.523-43-1 du code du patrimoine et par l'arrêté du 3 juillet 2017 susvisé.

L'aménageur conclura avec l'opérateur retenu un contrat comportant le projet scientifique d'intervention, lequel précisera les modalités de mises en œuvre des prescriptions énoncées par le cahier des charges scientifique précité.

Article 3 - La fouille peut être entreprise après que l'aménageur a sollicité et obtenu l'autorisation prévue par l'article R.523-46 du code du patrimoine.


À cet effet, l'aménageur produit un dossier comprenant le contrat, daté et signé, mentionné à l'article 2, le justificatif de l'agrément de l'opérateur et, le cas échéant, la déclaration sur l'honneur prévue à l'article R.523-45 du code du patrimoine.

Article 4 - Le Directeur régional des affaires culturelles est chargé(e) de l'exécution du présent arrêté, qui sera notifié à TAGERIM PROMOTION .

Fait à PARIS, le 26/05/2020

Pour le Préfet de Région, Préfet de Paris
et par délégation,
Pour le Directeur régional des affaires culturelles,
et par subdélégation,
Le Conservateur régional de l'archéologie

Jean-Marc Gouédo
conservateur en chef du patrimoine,
adjoint au conservateur régional
de l'archéologie d'Ile-de-France




Stéphane DESCHAMPS

ANNEXE 1

I. Données administratives, techniques et scientifiques

13

Département SEINE ET MARNE Commune MELUN	DIRECTION GÉNÉRALE DES FINANCES PUBLIQUES EXTRAIT DU PLAN CADASTRAL	Le plan visualisé sur cet extrait est géré par le centre des impôts foncier suivant : Melun Pôle topographique et de gestion cadastrale Cité Administrative 77010 77010 Melun Cedex tél. 01 64 41 30 03 • fax ptgc.770.melun@dgifp.finances.gouv.fr
Section : AR Feuille : 000 AR 01		Cet extrait de plan vous est délivré par
Echelle d'origine : 1/1000 Echelle d'édition : 1/1000 Date d'édition : 15/11/2019 (fuseau horaire de Paris) Coordonnées en projection : RGF93CC49 ©2017 Ministère de l'Action et des Comptes publics		cadastre.gouv.fr



Localisation du diagnostic sur fond de plan cadastral informatisé. Ech. 1/1500* (www.cadastre.gouv.fr)

SHC



PRÉFET DE LA RÉGION D'ÎLE-DE-FRANCE

Direction régionale
des affaires culturelles d'Île-de-France
Service régional de l'archéologie

Affaire suivie par : Philippe PEYLET-LACOTTE
Tél :
Courriel : 01 56 06 51 84
Réf : philippe.peylet@culture.gouv.fr
P.J. : SD/PPL - 2020

CAHIER DES CHARGES RELATIF A LA FOUILLE PREVENTIVE DE**Île-de-France, Seine-et-Marne (77),****Melun****19, rue Saint Liesne**

(Axe 9 – Marc Heijmans)

*annexe 2 à l'arrêté de prescription n°2020-199***Présentation générale**

La rue Saint-Liesne est située dans le Melun moderne, dont l'agglomération s'est développée dans un méandre de la Seine à une cinquantaine de kilomètres de Paris en direction du sud-est.

Cette dernière s'étend de part et d'autre du cours d'eau. Elle est constituée d'un cœur de ville auquel sont venus s'adjoindre d'anciennes paroisses périphériques. Nous rencontrons au sud le quartier Saint-Ambroise - et de la plaine de la Varennes - en rive nord, les quartiers Saint-Asprais et Saint-Barthélemy, enfin à l'est le quartier Saint-Liesne.

Si nous nous référons à l'histoire, l'église Saint-Liesne détruite en 1832 était édifiée sur l'emplacement d'une chapelle située par les textes vers l'an mille. Ce bourg dont la seigneurie est bien distincte de Melun jusqu'au milieu du XVI^e siècle. A cette période Tristan de Rostaing, qui vient de l'acquérir, est nommé Gouverneur de la ville de Melun. Par

516

la suite, les guerres de religion entraînent une modification profonde du secteur. Saint-Liesne est dévasté par les ligueurs en 1588. Ce fait marque une transformation profonde, ce territoire devient rural. Seule la rue Saint-Liesne est lotie donnant au désormais quartier son caractère de faubourg périurbain. La rue perdra un temps son nom à la Révolution pour devenir « rue d'Almont ». Au XIX^{ème} siècle voire jusqu'au XX^{ème} siècle la rue Saint-Liesne sera un quartier de commerçants et d'artisans.

Opérations préalables

A Melun les différentes périodes chronologiques mises au jour couvrent un spectre vaste qui va de l'Âge du Bronze Final à l'époque moderne.

C'est pour la période antique que le site est le mieux connu, il apparaît dès le I^{er} siècle avant J.-C., au sud de la Seine et dans l'Île Saint-Étienne. Le vicus se développera ensuite durant la période augustéenne et jusqu'à la fin du III^e siècle. Jusqu'ici les recherches menées nous incitent à considérer que l'occupation du Bas-Empire ne se développe uniquement que dans l'Île Saint-Étienne.

Le Moyen-Age n'a fait jusque ici l'objet que de travaux modestes. Il semble cependant que la ville soit en essor jusqu'au IX^{ème} siècle. Après les « incursions des Normands » la ville se développera à nouveau. (voir le rapport de diagnostic).

Comme vu plus haut la parcelle diagnostiquée se situe hors les murs de la Melun du Moyen-âge et semble bien avoir une identité propre (bourg de Saint-liesne ?). Pourtant si l'on excepte la parcelle contiguë les opérations menées n'ont pas permis de caractériser d'indices antérieurs à la Révolution.

Contexte scientifique

Le diagnostic, prescrit sur P.C., de l'opération du 19, rue Saint Liesne a été conduit en fin d'automne 2019, sur un terrain partiellement accessible car non libre de toute contrainte (démolitions non effectuées, partie inaccessible notamment les caves de certaines parties en élévation qui n'ont même pas pu être visitées).

Il faut prendre en note la fouille du 14 rue Crévoulain/23-29 rue Saint Liesne qui a permis caractériser, en 1994, un habitat sur poteaux malgré un emprise très restreinte, dont la datation est située entre la fin de l'antiquité et bas moyen-âge.

Le récent diagnostic conduit par Patricia Guinchard-Panseri s'est montré positif sur la quasi totalité de son emprise (2000 m² prescrits). Il semble bien mettre en évidence une occupation mérovingienne (silos, trous de poteaux...) en fond de parcelle et coté rue une seconde occupation (en deux phases?) qui semble plus récente avec de possibles caves (situables d'après le mobilier vers la fin du XIV^e ou le début du XV^e siècle).

Objectifs et principes méthodologiques

Au vu des éléments livrés par le diagnostic et la fouille évoqués ci-dessus c'est donc une fouille exhaustive qu'il convient de mettre en place sur la totalité des quelques 2000 m² de l'emprise cadastrale de la parcelle AR 245.

Il conviendra de préciser l'inscription chronologique dans le temps, en déterminant la période des installations observées, la durée de l'occupation du site et de préciser si possible si les vestiges, ou une partie des vestiges, caractérise ou non un bourg médiéval et son évolution vers un faubourg urbain.

Compte tenu de ce que nous connaissons sur ce site le PSI devra inclure l'étude des caves qui n'ont pas fait l'objet jusqu'ici de reconnaissance et dont il n'est donc pas possible de préciser ici s'il s'agira d'un relevé ou d'une fouille proprement dite. Une tranche complémentaire peut être prévue.

De même une nécropole étant envisagée dans le secteur, une possibilité d'étude éventuelle via une tranche complémentaire par tranche de 10 sépultures est requise par prudence.

La fouille n'aura lieu qu'après un récolement et un complément (si-possible) de la documentation du site.

Comme indiqué ci-dessus la fouille des structures pourra faire l'objet d'un échantillonnage (fouille manuelle, mécanique...). Le protocole d'échantillonnage devra être proposé par l'opérateur dans son projet scientifique. L'ensemble des structures devront être relevées et positionnées par un spécialiste-topographe.

Des prélèvements en vue d'études géo-morphologiques et paléo-environnementales (sédimentologie, palynologie, carpologie, anthracologie, ...) seront effectués en tant que de besoin. L'intervention d'un géomorphologue doit être prévue afin d'appréhender plus finement les conditions de gisement propre au site en fonction de sa situation géographique.

Le recours à la mécanisation complémentaire ne devra être envisagée que de façon limitée et après acceptation du SRA. ; l'opérateur devra préciser les modalités et les finalités d'utilisation de la pelle mécanique comme outil de fouille.

Le recours au détecteur de métaux sera systématique en tant qu'outil de travail à part entière. A cette fin un appareil sera présent pendant toute la durée de l'opération de terrain, y compris lors du décapage.

Les relevés graphiques devront être localisés sur un plan et une restitution de la cote d'apparition des vestiges et des niveaux, ainsi que l'épaisseur du terrain décapé, devront être figurés. Les limites de la fouille devront être géolocalisées précisément (Lambert 93) sur un fond cadastral à une échelle lisible. Les fichiers de données de terrain réalisés par les topographes devront figurer sur le CD du Rapport Final d'Opération au format DXF (Lambert 93).

A l'issue de la phase terrain, la totalité des occupations comprises dans les aires de fouille devra avoir été fouillée par la même équipe dans les règles de l'art afin de permettre l'analyse, la caractérisation (nature et fonction) et la datation des vestiges en présence.

La répartition spatiale de tous les éléments sera abordée en fonction de la typologie et de la chronologie.

L'ensemble de l'opération devra permettre de mieux circonscrire les occupations humaines et de comprendre dans quelle mesure la configuration des lieux a influé sur leur implantation.

Dans le cadre de la phase d'étude, l'intégralité des données de l'enregistrement sera informatisée. Le mobilier (matériel céramique, matériel métallique, faune, ...) fera l'objet d'études adéquates. Le mobilier métallique sera stabilisé, radiographié et dessiné pour les pièces les plus intéressantes afin d'être étudié.

L'ensemble des moyens prévus pour la phase d'étude post-fouille ne pourra être inférieur en jours-hommes, à 70 % des moyens en jours-hommes affectés à l'ensemble de l'opération (hors terrassement).

Lorsque l'opérateur souhaite sous-traiter une prestation scientifique afférente à la fouille, il doit en faire la déclaration à l'Etat.

Les études spécialisées et analyses nécessaires seront faites en fonction des données de terrain (paléoenvironnement, études des mobiliers, ...). Une étude documentaire complémentaire aux données déjà connues principalement centrées autour des enceintes urbaines connues ou étudiées en Seine-et-Marne et dans les départements voisins (y compris en région).

Dans le rapport final d'opération, on s'attachera à distinguer clairement l'analyse objective des données de l'interprétation. Les coupes et plans chronologiquement phasés seront référencés selon le système Lambert 93 et le nivellement NGF (fichiers de données topographiques de terrain sur CD au format DXF -Lambert 93- à joindre au Rapport Final d'Opération).

Outre le plan d'ensemble présentant les faits archéologiques, des plans interprétatifs et phasés chronologiquement seront établis de même que des diagrammes stratigraphiques. On s'efforcera de préciser les limites et les fonctions des diverses périodes du site.

Cette intervention de fouille s'intègre dans une problématique liée à la connaissance des occupations du moyen-âge en Ile-de-France et départements voisins. Il est nécessaire de considérer cette occupation en la complétant avec les données comparatives et on essaiera de déterminer les spécificités franciliennes. Si du mobilier particulier devait être mis au jour, il n'y a pas limite géographique pour rechercher des comparaisons.

Pour éviter de faire courir un risque de pillage aux vestiges, les éventuelles actions de communication devront être entreprises en coordination avec le Service régional de l'Archéologie de la DRAC Île-de-France.

Cette fouille est particulièrement importante pour encore mieux appréhender l'occupation humaine de ce secteur et d'affiner la chronologie des vestiges rencontrés.

Durée minimale de l'opération et composition indicative de l'équipe

La nature, la complexité des vestiges mis au jour et les principes méthodologiques de leur étude imposent une durée minimale pour l'opération de fouille en phase terrain comprise entre 3 et 4 mois. L'enregistrement en continu des coordonnées des objets découverts nécessitera l'intervention de minimum 1 topographe équipés d'une station totale. Un géoarchéologue fera également partie de l'équipe de terrain pour les relevés stratigraphiques et les prélèvements nécessaires à la compréhension du contexte géo-morphologique et éventuellement sédimentologique du gisement.

La gestion du mobilier (lavage, marquage, inventaire et conditionnement) interviendra dès la phase terrain.

Les études post-fouille ne pourront être inférieures à 70 % des moyens en jours, hommes affectés à la phase de terrain (hors terrassements).

Le responsable d'opération devra être spécialiste du moyen-âge avec des références avérées (voir ci-dessous).

Données techniques :

Le projet scientifique de l'opérateur devra notamment préciser :

- Séparément la durée prévisionnelle des travaux de préparation et terrassement (décapage), de fouille et d'exploitation scientifique des données (en jours ouvrés) ;
- Le nombre de journées/hommes attribuées à chacune de ces phases ;
- Le nombre d'archéologues composant l'équipe et leurs compétences respectives. Pour l'équipe d'encadrement (responsable, responsables de secteurs, spécialistes), le nom, les qualifications et travaux antérieurs (expérience), en particulier en adéquation avec les objectifs scientifiques de la fouille ;
- Les modalités de décapage proposées et le détail de la mise en œuvre (terrassement, évacuation, décapage fin ou en plusieurs phases...), ainsi que l'impact du choix de terrassement retenu sur l'emprise de fouille prescrite (rampes d'accès, contraintes techniques ou de sécurité particulières, traitement des limites de fouille et modalités éventuelles de confortement de ces limites, modalités d'évacuation ou de stockage des stériles puis des sédiments issus de la fouille...)
- Les mesures techniques proposées afin d'assurer la protection de la fouille : mise en sécurité du site (clôture et gardiennage), protection des vestiges (couverture partielle en cas de fouille en période hivernale et/ou pour des structures particulièrement fragiles, assèchement des fonds de fouille si nécessaire, en anticipant les autorisations administratives...)
- Les moyens appropriés à la sécurité des personnes, en particulier en cas de coactivité, de risque avérés de pollution ou du fait de contraintes particulières liées aux objectifs scientifiques de la prescription (fouille de cavités, de puits...)
- L'estimation du volume stratigraphique à fouiller (contexte urbain), du nombre de structures à fouiller (contexte rural) ou du nombre de sépultures à fouiller (zone d'in-

humations ou d'incinérations) afin de répondre aux objectifs scientifiques du cahier des charges ;

- Si un échantillonnage est proposé, les modalités de sa mise en œuvre (mécanisation partielle, fouille partielle d'un échantillonnage représentatif...);

- La méthodologie adoptée pour la fouille et l'enregistrement des données ;

- La prise en compte des données paléoenvironnementales (objectifs, moyens, spécialistes et/ou laboratoires associés) ;

- La documentation scientifique et le mobilier issus de l'opération archéologique seront remis à la DRAC d'Ile-de-France – SRA conformément au protocole régional « pour la conservation, le conditionnement, l'inventaire et la remise du mobilier et de la documentation scientifique issus des opérations archéologiques » ; ainsi qu'une présentation synthétique et de mise en perspective des résultats de l'opération s'appuyant sur des comparaisons avec d'autres ensembles archéologiques et l'état des connaissances concernant les périodes fouillées. En outre des précisions particulières pourront être apportées en cas de mobiliers spécifiques (restes organiques en milieu humide, par exemple).

Délai prévisionnel de remise du rapport et contenu

A l'issue de la phase terrain et dans un délais maximum de 2 mois, une réunion (opérateur, aménageur, services de l'Etat) avec le responsable d'opération et ses spécialistes sera organisée afin de fixer les modalités pratiques de la phase d'étude. Trimestriellement l'opérateur fera connaître à l'aménageur et aux services de l'Etat, l'avancement du traitement des données post-fouilles et du degré d'avancement du rapport final d'opération.

Le rapport final d'opération devra intégrer les données du rapport de diagnostic et devra être rédigé selon les normes en vigueur (arrêté du 27 septembre 2004 sur les normes de contenu et de présentation) et rendu au SRAIF qui en enverra un exemplaire à l'aménageur. Le rapport devra être rendu dans un délais maximal de 24 mois après l'achèvement de la fouille. Le rapport et l'ensemble de la documentation constituée lors de l'opération devront être rédigés en français.

La documentation scientifique et le mobilier issus de l'opération archéologique seront remis à la DRAC d'Ile-de-France – SRA conformément aux dispositions de l'arrêté du 16 septembre 2004 portant définition des normes d'identification, d'inventaire, de classement et de conditionnement de la documentation scientifique et du mobilier issu des diagnostics et fouilles archéologiques ; ainsi qu'une présentation synthétique et de mise en perspective des résultats de l'opération s'appuyant sur des comparaisons avec d'autres ensembles archéologiques et l'état des connaissances concernant les périodes fouillées.

Responsable scientifique

Le responsable d'opération devra être expérimenté dans la fouille de ce type de site et avoir des références confirmées en milieu urbain pour l'antiquité et le moyen-âge.

1.8.2. Arrêté de prescription modificatif 2021-291 du 27/04/2021



**Direction régionale
des affaires culturelles**

Arrêté n° 2021-291 Du 27/04/2021

portant modification de l'arrêté de prescription de fouille d'archéologie préventive 2020-192 du 26/05/2020

Le Préfet de région ;

Vu le code du patrimoine et notamment son livre V ;

Vu l'arrêté du 16 septembre 2004 portant définition des normes d'identification, d'inventaire, de classement et de conditionnement de la documentation scientifique et du mobilier issu des diagnostics et des fouilles archéologiques ;

Vu l'arrêté du 27 septembre 2004 portant définition des normes de contenu et de présentation des rapports d'opérations archéologiques ;

Vu l'arrêté préfectoral n° IDF-2020-08-17-010 du 17 août 2020 portant délégation de signature à Monsieur Laurent ROTURIER, directeur régional des affaires culturelles d'Île-de-France en matière administrative ;

Vu l'arrêté n° 2021-09 du 12 février 2021 portant subdélégation de signature à Monsieur Stéphane DESCHAMPS, Conservateur régional de l'archéologie, et à Monsieur Jean-Marc GOUEDO, Conservateur régional adjoint de l'archéologie ;

Vu le dossier enregistré sous le n° PC0772881900056, permis de construire, déposé par – TAGERIM PROMOTION – pour le projet « 19 Rue Saint Liesne » localisé à MELUN, transmis par la Ville de MELUN, reçu en préfecture de région, Service régional de l'archéologie, le 1 août 2019 ;

Vu le rapport de diagnostic réalisé par l'INRAP - Direction interrégionale Centre-Île-de-France remis au préfet de région le 10 février 2020 ;

Vu l'avis de la commission territoriale de la recherche archéologique (CTRA), Commission Centre-Nord en date du 16 mars 2020 ;

Considérant que les travaux envisagés sont de nature à porter atteinte à des éléments du patrimoine archéologique ;

Considérant que les travaux précités doivent être précédés d'une étude des vestiges par une fouille archéologique.

Considérant que le n° PC0772881900056, permis de construire, déposé initialement par – TAGERIM PROMOTION – pour le projet « 19 Rue Saint Liesne » localisé à MELUN, a été transféré au Groupe Edouard Denis, 103 rue de Grenelle – Batiment Edison – 2 ème étage – 75007 Paris (CF son courrier du 07/04/2021) l'arrêté initial est modifié pour son article 1 la fouille étant désormais réalisé par ce nouvel aménageur.

ARRÊTE

Article 1 - Une opération de fouille archéologique est mise en œuvre préalablement à la réalisation du projet « 19 Rue Saint Liesne », sis en :

RÉGION : ILE-DE-FRANCE
 DEPARTEMENT : SEINE-ET-MARNE
 COMMUNE : MELUN
 Lieudit ou adresse : 19 Rue Saint Liesne
 Cadastre : Section : AR, Parcelle(s) : 245

Réalisé par : Groupe Edouard Denis

L'emprise soumise à la fouille, d'une superficie de 1 935 m², est figurée sur le document graphique annexé au présent arrêté (annexe 1).

Article 2 - La fouille prescrite à l'article 1 sera réalisée conformément au cahier des charges scientifiques annexé au à l'arrêté initial (annexe 2) ci-joint, sous la maîtrise d'ouvrage de l'aménageur désigné à l'article 1 ci-dessus.

Sa réalisation peut être confiée à l'Institut national de recherches archéologiques préventives ou à un opérateur titulaire de l'habilitation ou de l'agrément prévus par les articles R.522-14 et R.522-8 du code du patrimoine. Cette habilitation ou cet agrément devra couvrir la (les) période(s) suivante(s) (et) le(s) domaine(s) suivant(s) :

L'aménageur conclura avec l'opérateur retenu un contrat comportant le projet scientifique d'intervention, lequel précisera les modalités de mises en œuvre des prescriptions énoncées par le cahier des charges scientifique précité.

Article 3 - La fouille peut être entreprise après que l'aménageur a sollicité et obtenu l'autorisation prévue par l'article R.523-46 du code du patrimoine.

À cet effet, l'aménageur produit un dossier comprenant le contrat, daté et signé, mentionné à l'article 2, le justificatif de l'agrément de l'opérateur et, le cas échéant, la déclaration sur l'honneur prévue à l'article R.523-45 du code du patrimoine.

Article 4 - Le Directeur régional des affaires culturelles d'Île-de-France est chargé(e) de l'exécution du présent arrêté, qui sera notifié à Goupe Edouard Denis .

Fait à paris, le 27/04/2021

Pour le Préfet de Région, Préfet de Paris
et par délégation
Pour le Directeur régional des affaires culturelles
et par subdélégation
Le conservateur régional adjoint de l'archéologie



Jean-Marc GOUEDO

1.8.3. Arrêté de prescription modificatif 2021-324 du 06/05/2021



**PRÉFET
DE LA RÉGION
D'ÎLE-DE-FRANCE**

*Liberté
Égalité
Fraternité*

**Direction régionale
des affaires culturelles**

Arrêté n° 2021-324 Du 06/05/2021

Portant modification de prescription de l'arrêté de prescription modificatif de fouille d'archéologie préventive 2021-291 du 27/04/2021, qui comportait une mention erronée de l'arrêté initial a savoir 2020-192 à la place de 2020-199

Le Préfet de région ;

Vu le code du patrimoine et notamment son livre V ;

Vu l'arrêté du 16 septembre 2004 portant définition des normes d'identification, d'inventaire, de classement et de conditionnement de la documentation scientifique et du mobilier issu des diagnostics et des fouilles archéologiques ;

Vu l'arrêté du 27 septembre 2004 portant définition des normes de contenu et de présentation des rapports d'opérations archéologiques ;

Vu l'arrêté préfectoral n° IDF-2020-08-17-010 du 17 août 2020 portant délégation de signature à Monsieur Laurent ROTURIER, directeur régional des affaires culturelles d'Île-de-France en matière administrative ;

Vu l'arrêté n° 2021-09 du 12 février 2021 portant subdélégation de signature à Monsieur Stéphane DESCHAMPS, Conservateur régional de l'archéologie, et à Monsieur Jean-Marc GOUEDO, Conservateur régional adjoint de l'archéologie ;

Vu le dossier enregistré sous le n° PC0772881900056, permis de construire, déposé par – TAGERIM PROMOTION – pour le projet « 19 Rue Saint Liesne » localisé à MELUN, transmis par la Ville de MELUN, reçu en préfecture de région, Service régional de l'archéologie, le 1 août 2019 ;

Vu le rapport de diagnostic réalisé par l'INRAP - Direction interrégionale Centre-Île-de-France remis au préfet de région le 10 février 2020 ;

Vu l'avis de la commission territoriale de la recherche archéologique (CTRA), Commission Centre-Nord en date du 16 mars 2020 ;

Considérant que les travaux envisagés sont de nature à porter atteinte à des éléments du patrimoine archéologique ; ;

Considérant que les travaux précités doivent être précédés d'une étude des vestiges par une fouille archéologique.

Considérant que le n° PC0772881900056, permis de construire, déposé initialement par – TAGERIM PROMOTION – pour le projet « 19 Rue Saint Liesne » localisé à MELUN, a été transféré au Groupe Edouard Denis, 103, rue de Grenelle – Batiment Edison -2ème étage -75007 Paris (CF son courrier du 07/04/2021 accompagné des pièces justificatives requises) l'arrêté initial 2020-199 est modifié pour son article 1 la fouille étant désormais réalisé par ce nouvel aménageur.

ARRÊTE

Article 1 - Une opération de fouille archéologique est mise en œuvre préalablement à la réalisation du projet « 19 Rue Saint Liesne », sis en :

RÉGION : ILE-DE-FRANCE
DEPARTEMENT : SEINE-ET-MARNE
COMMUNE : MELUN

Lieudit ou adresse : 19 Rue Saint Liesne
Cadastre : Section : AR, Parcelle(s) : 245

Réalisé par : GROUPE EDOUARD DENIS

L'emprise soumise à la fouille, d'une superficie de 1 935 m², est figurée sur le document graphique annexé au présent arrêté (annexe 1).

Article 2 - La fouille prescrite à l'article 1 sera réalisée conformément au cahier des charges scientifiques annexé à l'arrêté de prescription initial (ci-joint) sous la maîtrise d'ouvrage de l'aménageur désigné au même article.

Sa réalisation peut être confiée à l'Institut national de recherches archéologiques préventives ou à un opérateur titulaire de l'habilitation ou de l'agrément prévus par les articles R.522-14 et R.522-8 du code du patrimoine. Cette habilitation ou cet agrément devra couvrir la (les) période(s) suivante(s) (et) le(s) domaine(s) suivant(s) : antiquité, moyen-âge.

L'aménageur conclura avec l'opérateur retenu un contrat comportant le projet scientifique d'intervention, lequel précisera les modalités de mises en œuvre des prescriptions énoncées par le cahier des charges scientifique précité.

Article 3 - La fouille peut être entreprise après que l'aménageur a sollicité et obtenu l'autorisation prévue par l'article R.523-46 du code du patrimoine.

À cet effet, l'aménageur produit un dossier comprenant le contrat, daté et signé, mentionné à l'article 2, le justificatif de l'agrément de l'opérateur et, le cas échéant, la déclaration sur l'honneur prévue à l'article R.523-45 du code du patrimoine.

Article 4 - Le Directeur régional des affaires culturelles d'Île-de-France est chargé(e) de l'exécution du présent arrêté, qui sera notifié à GROUPE EDOUARD DENIS.

Fait à Paris , le 06/05/2021

Pour le Préfet de Région, Préfet de Paris
et par délégation,
Pour le Directeur régional des affaires culturelles,
et par subdélégation,
Le Conservateur régional de l'archéologie


Stéphane DESCHAMPS

1.9. Arrêté d'autorisation



**PRÉFET
DE LA RÉGION
D'ÎLE-DE-FRANCE**

*Liberté
Égalité
Fraternité*

**Direction régionale
des affaires culturelles**

Arrêté n° 2021-534 Du 11/08/2021

portant autorisation d'une fouille d'archéologie préventive

Le Préfet de région ;

Vu le code du patrimoine et notamment son livre V ;

Vu l'arrêté préfectoral n° IDF-2020-08-17-010 du 17 août 2020 portant délégation de signature à Monsieur Laurent ROTURIER, directeur régional des affaires culturelles d'Île-de-France en matière administrative ;

Vu l'arrêté n° 2021-09 du 12 février 2021 portant subdélégation de signature à Monsieur Stéphane DESCHAMPS, Conservateur régional de l'archéologie, et à Monsieur Jean-Marc GOUEDO, Conservateur régional adjoint de l'archéologie ;

Vu le dossier enregistré sous le n° PC0772881900056, permis de construire, déposé par – GROUPE EDOUARD DENIS – pour le projet « 19 Rue Saint Liesne » localisé à MELUN ;

Vu l'arrêté n° 2020-199 du 26 mai 2020 portant prescription d'une fouille d'archéologie préventive ;

Vu l'avis de la commission territoriale de la recherche archéologique (CTRA), Commission Centre-Nord en date des 16-19 mars 2020.

Vu la demande d'autorisation reçue en préfecture de région le 11 août 2021 ;

Vu la proposition de désignation d'un responsable scientifique d'opération par L' INRAP - Direction interrégionale Centre-Île-de-France ;

Considérant que le contrat transmis à l'appui de la demande d'autorisation permet de réaliser la fouille prescrite le 26 mai 2020.

ARRÊTE

Article 1 - L'opération de fouille d'archéologie préventive susvisée est autorisée sur le terrain faisant l'objet du projet d'aménagement susvisé, situé comme suit :

Article 2 -

- DEPARTEMENT : SEINE-ET-MARNE
COMMUNE : MELUN
Lieu-dit ou adresse : 19 Rue Saint Liesne
Cadastre : Section : AR, Parcelle(s) : 245

Réalisé par : GROUPE EDOUARD DENIS.

Article 3 - Monsieur Gilles DESRAYAUD est désigné(e) responsable scientifique de l'opération de fouille archéologique préventive. L'opération est enregistrée sous le code : 1011544.

Article 4 - L' INRAP - Direction interrégionale Centre-Île-de-France exécutera la fouille conformément aux prescriptions imposées par les services de l'État, selon les objectifs scientifiques et les principes méthodologiques qu'il a fixés et ce, sous le contrôle de ses représentants.

Article 5 - Le Directeur régional des affaires culturelles d'Île-de-France est chargé(e) de l'exécution du présent arrêté qui sera notifié à GROUPE EDOUARD DENIS, à Monsieur Gilles DESRAYAUD et à L' INRAP - Direction interrégionale Centre-Île-de-France.

Fait à PARIS, le 11/08/2021

Pour le Préfet de Région, Préfet de Paris
et par délégation
Pour le Directeur régional des affaires culturelles,
et par délégation
Le Conservateur régional de l'Archéologie



Stéphane DESCHAMPS

1.10. Projet scientifique d'intervention

1.10 Projet Scientifique d'Intervention (INRAP, mai 2021)

Projet Scientifique d'Intervention
de
Fouilles archéologiques

Melun
« 19 rue Saint-Liesne »

(77, Seine-et-Marne)

Arrêté de prescription initial n° 2020-199
Arrêté modificatif n° 2021-324
Réf. Projet INRAP : F134120

Maître d'Ouvrage

Groupe Edouard Denis

Prescripteur

Service Régional de l'Archéologie d'Île-de-France
47 rue Le Pelletier
75009 Paris

Opérateur

Institut National de Recherches Archéologiques Préventives
Direction interrégionale Centre - Île-de-France
31, rue Delizy - 93698 Pantin Cedex

Dossier suivi par : **Céline Casasoprana**
Directrice Adjointe Scientifique et Technique
Centre archéologique de Pantin
32, rue Delizy, 93 500 Pantin
Tél. 06-82-83-50-63

PROJET DEPOSE AU TITRE DE :

La loi n° 2001-44 du 17 janvier 2001 relative à l'archéologie préventive, texte consolidé avec la loi n° 2003-707 (NOR : MCCX9900003L)

L'ordonnance n° 2004-178 du 20 février 2004, relative au Code du Patrimoine

Le livre V du code du patrimoine, et notamment ses articles L.523-8, L.523-9, L523-10 et R.523-39 à R.523-68, R.524-17 à R.524-33 et R.545-24 et suivants

L'arrêté du 3 juillet 2017 fixant la liste des éléments constitutifs des offres des opérateurs pour la réalisation de fouilles archéologiques préventives

L'arrêté de prescription archéologique n° 2020-199, DRAC d'Ile-de-France, en date du 26/05/2020, modifié par les arrêtés 2021-291 en date du 27/04/2021 et 2021-324 du 6/05/2021

CONTRÔLE DES OPERATIONS D'ARCHEOLOGIE PREVENTIVE

Les opérations d'archéologie préventive sont exécutées sous le contrôle des services de l'Etat (conformément à l'article R.523-60 du Code du Patrimoine)

Service Régional de l'Archéologie d'Île-de-France

M. Stéphane Deschamps (Conservateur Régional)

M. Philippe Peylet-Lacotte (Prescripteur du sud Seine-et-Marne)

ORGANIGRAMME (INRAP Centre/Ile-de-France)**Direction interrégionale de Centre-Île-de-France : 01-41-83-75-30**

Mme Marie-Christiane Casala - Directrice interrégionale

M. Pierre Vallat – Secrétaire Général

Suivi scientifique, centre archéologique de Pantin

Mme Céline Casasoprana (Directrice-Adjointe Scientifique et Technique) : 01-41-83-86-32

Mme Diane Casadei (Déléguée à la DAST) : 01-41-83-86-31

Suivi administratif

Mme Solange Muscat (Gestionnaire de contrats et marchés publics) : 01-41-83-75-58

Suivi logistique

MM. Hervé Kuntz et Vincent Damour (Assistants Techniques de Proximité, centre archéologique de Pantin) : 01-41-83-68-81

Hygiène et Sécurité

M. Thierry Virenque (Conseiller sécurité prévention - CSP)

M. Luc Daguzon (Assistant prévention, centre archéologique de Pantin) : 01-41-83-68-82

SOMMAIRE

Préambule

1.10.1 - Identification administrative de l'opération

1.10.2 - Définition de l'opération de fouille

1.10.2.1 - Présentation du secteur de fouille

1.10.2.2 - Les conditions d'intervention

1.10.2.3 - La constitution de l'offre

1.10.3 – Contexte scientifique et d'intervention

1.10.3.1 - Contexte archéologique général

1.10.3.2 - Distribution spatiale des vestiges

1.10.3.3 - Problématiques et objectifs scientifiques

1.10.4 – Méthodes et techniques d'intervention

1.10.4.1 - La phase préparatoire

1.10.4.2 - La phase Terrain

1.10.4.2.1 - Le décapage

1.10.4.2.2 - La fouille

1.10.4.3 - La phase d'étude et de réalisation du rapport (post-fouille)

1.10.4.3.1 - Modalités de gestion de la documentation et du mobilier archéologique

1.10.4.3.2 - Déroulement des études et de la rédaction du rapport

1.10.4.4 - Le calendrier de la fouille et de la post-fouille

1.10.5 – Moyens humains

1.10.5.1 - Compétences de l'équipe

1.10.5.2 - Les moyens humains pour la préparation

1.10.5.3 - Les moyens humains pour la fouille

1.10.5.3.1 - Le décapage

1.10.5.3.2 - La fouille

1.10.5.3.3 - Démobilisation

1.10.5.4 - Les moyens humains pour la post-fouille

PRÉAMBULE

Le projet de fouille préventive présenté ici vise à l'étude scientifique des vestiges menacés par le projet d'aménagement à Melun (77, Seine-et-Marne), « 19 rue Saint-Liesne », à l'initiative du Groupe Edouard Denis.

Ce projet répond à une prescription émise par l'Etat (Préfecture de la Région Ile-de-France, Direction Régionale des Affaires Culturelles, Service Régional de l'Archéologie) sous le n° 2020-199 en date du 26/05/2020 qui en précise les objectifs et les principes méthodologiques dans un cahier des charges scientifiques annexe. Il a été modifié par les arrêtés 2021-291 en date du 27/04/2021 et 2021-324 du 6/05/2021.

Le présent projet scientifique d'intervention a été élaboré sur la base de ce document par Céline Casasoprana (Directrice-Adjointe Scientifique et Technique par intérim), avec l'aide de Patricia Guinchard (responsable d'opération), Hervé Kuntz et Vincent Damour (Assistants Techniques de Proximité). Il rappelle les objectifs scientifiques de l'opération, détaille le mode opératoire de l'intervention (de la phase terrain à la réalisation du Rapport Final d'Opération), les conditions de sa mise en œuvre, et quantifie les moyens humains, techniques et logistiques nécessaires à son déroulement.

Abréviations

DAST : Directrice-Adjointe Scientifique et Technique/directrice de centre archéologique

CTRA : Commission Territoriale de la Recherche Archéologique

CNRA : Conseil National de la Recherche Archéologique

CSP : Conseiller Sécurité et Prévention

DRAC : Direction Régionale des Affaires Culturelles, Ile-de-France

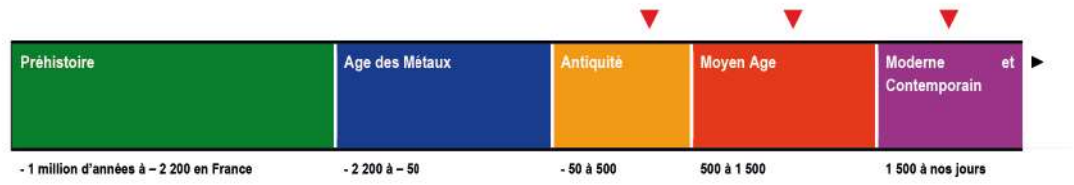
PSI : Projet Scientifique d'Intervention

RSO : Responsable Scientifique d'Opération

RS : Responsable de Secteur (adjoint du RSO)

SRA : Service Régional de l'Archéologie, Ile-de-France

Périodes chronologiques concernées : Antiquité, Moyen Age et époque moderne



		Contemporain	XIX ^e à nos jours
	Moderne et Contemporain	Ancien Régime (Epoque moderne)	XVI ^e -XVIII ^e (jusqu'à la Révolution française)
1500		Second Moyen Age	Bas Moyen Age (XIV ^e -XV ^e)
	Moyen Age		Moyen Age central ou plein Moyen Age (XII ^e -XIII ^e)
	(Médiéval)	Premier Moyen Age	Haut Moyen Age (fin V ^e -XI ^e)
500	Antiquité	Antiquité tardive	Mi III ^e -fin V ^e
	(Gallo-Romain)	Haut-Empire	- 52 à mi III ^e
- 50		Age du Fer	La Tène (époque gauloise)
- 450			1 ^{er} âge du Fer (Hallstatt C et D)
- 800			Bronze final
		Age du Bronze	Bronze moyen
	Protohistoire		Bronze ancien
- 2 200			Néolithique récent et final
		Néolithique	Néolithique moyen
			Néolithique ancien
- 6 000		Mésolithique	Mésolithique/Epipaléolithique
- 10 000			Paléolithique supérieur
- 35 000	Préhistoire	Paléolithique	Paléolithique moyen (Moustérien)

1.10.1 - Identification administrative de l'opération

Région : **Île-de-France**
Département : **Seine-et-Marne**
Commune : **Melun**
Lieu-dit : « **19 rue Saint-Liesne** »
Cadastre : **Section AR, parcelle 245**
Surface à fouiller : **1 935 m²**
Maître d'ouvrage : **Groupe Edouard Denis**
Contexte actuel : **Urbain**
Nature archéologique : **Stratifié**
Principales périodes chronologiques concernées : **Moyen Âge, époque moderne**
Arrêtés de fouille n° **2020-199 en date du 26/05/2020** modifié par les arrêtés n° **2021-291 du 27/04/2021 et n°2021-324 du 6/05/2021**
Date du projet scientifique d'intervention : **14/05/2021**

RESUME DE L'OPERATION

DUREE DE LA PHASE DE PREPARATION :

- Préparation **3 jours ouvrés** ;

DUREE DE LA MISE EN PLACE DU CHANTIER :

- Installation de la base vie **2 jours ouvrés** ;

DUREE DE LA PHASE ARCHEOLOGIQUE DE TERRAIN :

- Décapage **12 jours ouvrés**
- Fouille **48 jours ouvrés**
- Tranche optionnelle sépulture : **10 jours** ouvrés par tranche de 10 sépultures (fouille) (dans la limite de 5 tranches maximum ouvertes)

CALENDRIER D'INTERVENTION TERRAIN PROPOSE : **le 6 septembre 2021**

La date de démarrage de l'opération est subordonnée aux conditions suivantes :

- d'une part, à la mise à disposition des terrains dans les conditions définies dans le PSTI permettant à l'Inrap de se livrer à l'opération de fouille prescrite,
- d'autre part, à la délivrance de l'autorisation de fouilles par le Service Régional de l'Archéologie, lequel, en application de l'article R. 531-1 du code du patrimoine, dispose d'un délai de deux mois à compter de la réception de la demande d'autorisation.
- et enfin, à la signature du contrat.

DUREE DE LA PHASE ETUDE :

- **50 jours ouvrés** discontinus sur une durée de 24 mois

NOMBRE DE PERSONNES COMPOSANT L'EQUIPE ARCHEOLOGIQUE (à titre prévisionnel) : **5 à 7 personnes par jour**

1.10.2 - Définition de l'opération de fouille

1.10.2. 1 - Présentation du secteur de fouille

Melun se situe à une cinquantaine de kilomètres au sud-est de Paris. La ville s'est développée dans un méandre de la Seine entre les plateaux de Brie et du Gâtinais ; elle s'étend de part et d'autre du cours d'eau. La rive sud, convexe, est constituée du quartier Saint-Ambroise et de la plaine de la Varenne. La rive nord, concave, comprend à l'ouest les quartiers Saint-Aspais et Saint-Barthélemy, et à l'est le quartier Saint-Liesne.

La parcelle diagnostiquée se situe le long de la rue Saint-Liesne, hors les murs de la ville du Moyen Âge dans l'ancien faubourg de Saint-Liesne. L'opération archéologique a permis de mettre à jour deux phases chronologiques d'occupation : la première du haut Moyen Âge associant silos, trous de poteaux et fossés, la seconde du bas Moyen Âge avec des caves en front de rue. Ces découvertes ont entraîné la prescription de fouille par le Service Régional de l'Archéologie.

1.10.2. 2 - Les conditions d'intervention

L'emprise définie par le cahier des charges scientifiques du SRA totalise **1 935 m²**.

La profondeur estimée du décapage permettant la fouille sera en moyenne de 0,60 m sous le niveau de circulation actuel (cour bitumée sur des remblais de terre), profondeur à laquelle apparaissent les vestiges. Sur des niveaux de sable, la stratigraphie anthropique varie entre une épaisseur moyenne de 1 m et 1,6 m. Les vestiges antiques à fouiller, quant à eux, pourront atteindre une profondeur de plus de 2 m depuis la surface décapée (caves).

On respectera, dans le cas où il faudrait descendre plus profondément, les conditions de sécurité en réalisant des paliers permettant d'atteindre les niveaux les plus profonds et de répondre aux objectifs scientifiques. Les espaces de sondage et de fouille, le cas échéant, seront balisés selon les besoins en respectant un espace de travail suffisant aux abords des excavations.

(Voir plan prévisionnel présenté dans le volet technique).

1.10.2. 3 – La constitution de l'offre

L'intervention archéologique sera réalisée en une **tranche ferme** pour la fouille des vestiges antiques et une **tranche optionnelle** liée à la probabilité de découverte de sépultures comme le stipule le cahier des charges scientifique de l'Etat.

Elle porte sur le nombre de sépultures qui seront découvertes à l'issue du décapage. La tranche optionnelle sera déclenchée à partir de la découverte de tombes et prévoit la fouille et l'étude de 10 sépultures. Plusieurs tranches optionnelles pourront être enclenchées dans la limite de trois tranches, soit un total pour l'intervention de 30 sépultures. Elles seront enclenchées à partir de 1 sépulture puis 11 puis 21.

Les moyens nécessaires en tranche optionnelle consisteront en une augmentation de l'équipe déjà présente et n'auront aucune incidence sur la durée d'intervention. L'enclenchement de la/des tranche(s) conditionnelle(s) se fera à l'issue du décapage ou en cours de fouille. L'Inrap proposera une réunion tripartite sur le site (MO, DRAC-SRA, Inrap) afin que l'Etat demande à l'aménageur d'affermir le nombre de tranches optionnelles adéquat.

1.10.3 - Contexte scientifique et d'intervention

1.10.3. 1 – Contexte archéologique général

Nature du site : Urbain stratifié

Epoque(s) : Moyen Age et époque moderne

Type(s) d'occupation : Habitat, caves ?

Au sein du territoire actuel de la ville, les différentes périodes chronologiques mises au jour lors des opérations archéologiques, s'étendent de l'âge du Bronze final à l'époque moderne avec une forte activité au Haut-Empire.

Dès le 1^{er} s. avant J.-C., l'occupation gallo-romaine est présente au sud de la Seine, et dans l'Île Saint-Étienne. Le *vicus* se développe durant la période augustéenne sous forme d'*insulae* jusqu'à la fin du III^e s. Les 1^{er} et II^e s. sont vraisemblablement significatifs de l'essor de la cité. L'occupation du Bas-Empire semble se développer uniquement dans l'Île Saint-Étienne.

Durant le Haut Moyen Âge, Melun fut le chef-lieu du Pagus. Jusqu'au IX^e s., la ville prolifère, en particulier la partie située au nord de l'Île Saint-Étienne. Au cours du X^e s., les incursions des Normands réduisent à néant la cité. Du X^e s. au XII^e s., Melun est rattachée au diocèse de Sens ; elle devient ville royale sous le règne de Philippe le Bel. Sous Robert le Pieux, les reconstructions du château et de l'abbaye des Saints-Pères sont entreprises. Le quartier Saint-Aspais naît sur la rive droite de la Seine et devient, avec l'Île Saint-Étienne, le cœur de la ville médiévale.

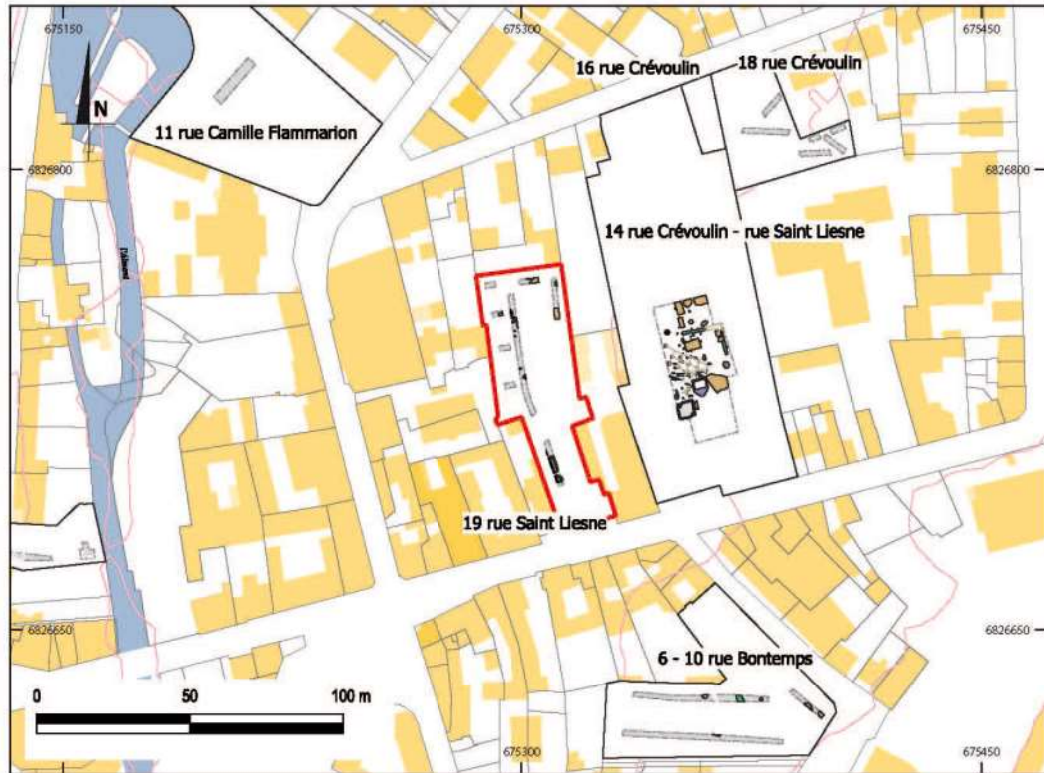
Sur la rive gauche, s'étend la paroisse Saint-Ambroise à demi rurale et cernée par la forêt de Bière. Au début du XIII^e s., sous Philippe Auguste, des fortifications sont construites délimitant trois quartiers entourés de murailles bordées de fossés : Saint-Ambroise au sud, Saint-Étienne dans l'île, Saint-Aspais sur la rive droite. Au XV^e s., les fortifications des quartiers Saint-Ambroise et Saint-Aspais sont renforcées. À la fin du XVI^e s., des bastions avancés sont élevés. La destruction des fortifications et le comblement des fossés débutent au XVIII^e s. et s'achèvent en 1851.

La parcelle diagnostiquée se situe hors les murs de la ville du Moyen Âge, dans le faubourg de Saint-Liesne. Dans un rayon de moins de 100 m, plusieurs opérations archéologiques ont été menées : 4 diagnostics et une fouille (Fig. ci-dessous). Les diagnostics des « 11 rue Camille Flammarion, 16 rue Crévoulin, 18 rue Crévoulin et 6-10 rue Bontemps » n'ont pas permis de mettre en évidence des indices archéologiques antérieures à la Révolution Française.

La fouille se situe au « 14 rue Crévoulin – 23-29 rue Saint Liesne », à l'est de la parcelle diagnostiquée. Ce site se caractérise par un habitat sur poteaux associés à des fosses et des silos auxquels s'ajoutent des fossés parcellaires. Cet ensemble est daté de la fin du Bas-Empire à la période carolingienne. Il est également à souligner la présence de deux structures du Bronze final.

Le site du « 19 rue Saint-Liesne » a permis de mettre en évidence une occupation mérovingienne au sein du faubourg Saint-Liesne qui se traduit par des silos et des trous de poteaux en partie nord de la parcelle.

Les éléments de chronologie relative et absolue ont permis de mettre en évidence deux phases de construction, antérieures à la période moderne, en front de rue. Le remblaiement de l'une des éventuelles caves contient des artefacts de la fin du XIV^e ou du début du XV^e s.



Cadastre et implantation de la zone de fouille (DAO Patricia Guinchard)

1.10.3.2- Les vestiges attendus et les moyens humains sur le terrain

« Le récent diagnostic conduit par Patricia Guinchard-Panseri s'est montré positif sur la quasi totalité de son emprise (2000 m² prescrits). Il semble bien mettre en évidence une occupation mérovingienne (silos, trous de poteaux ...) en fond de parcelle et coté rue une seconde occupation (en deux phases?) qui semble plus récente avec de possibles caves (situables d'après le mobilier vers la fin du XIV^e ou le début du XV^e siècle). »

Il découle de ces observations la nécessité d'une fouille bipartite avec en fond de parcelle la fouille de vestiges « ruraux » du haut Moyen Âge et en front de rue, les aménagements urbains liés à l'évolution du faubourgs à l'époque moderne.

Pour les vestiges mérovingiens et carolingiens, il est possible d'envisager un nombre de structures au regard de ce qui a été trouvé au diagnostic : une soixantaine de trous de poteau, une vingtaine de silos, une soixantaine de fosses moyennes ou grandes, une petite dizaine de tronçons de fossés et éventuellement un bâtiment récupéré en pierres.

Pour la partie avant, deux probables caves ont été mises au jour. Il est difficile de savoir dans quelle mesure le sous-sol a été impacté par les constructions récentes. Une fourchette large de 4 à 10 caves peut être envisagée.

Une volumétrie globale maximale est proposée, correspondant à 2000 m³ de stratigraphie à fouiller sur 1,60 m de profondeur estimés, qui correspond à l'emprise de 2 000 m² prescrite hors bermes mitoyennes sécuritaires de 3 m de large et hors décapage.

Un échantillonnage sera réalisé par une reconnaissance systématique, selon les usages en vigueur (voir les protocoles de fouille).

Pour assurer la fouille de cet ensemble, une équipe d'archéologues (en moyenne de 3 à 6 personnes) est prévue durant les 48 jours de fouille hors décapage (12 jours), sachant qu'en moyenne, une personne fouille dans ce type de contexte, entre 1 et 3 structures ou sondages / jour selon le type et la complexité de la structure considérée (fouille, relevé, photographie et prélèvements). Le suivi mécanique mobilise quant à lui au moins deux personnes (guide de la pelle, nettoyage, relevé et fouille si nécessaire).

(Voir le planning des personnels)

Le décapage permettra donc de constater la réalité archéologique du site. La répartition des moyens prévus sera adaptée, en concertation avec le Service Régional de l'Archéologie, en fonction des données livrées par le décapage (nombre de structures, densité, stratification, complexité) et les choix stratégiques seront spécifiquement abordés. L'Inrap s'engageant à mener la fouille jusqu'à son achèvement dans le respect du cahier des charges scientifique émis par le Service Régional de l'Archéologie d'Ile-de-France.

1.10.3. 3 - Problématiques et objectifs scientifiques

Sur la base des éléments collectés lors du diagnostic de 2019, les services de l'Etat ont fixé à l'intervention de fouille préventive les objectifs suivants, détaillés dans le cahier des charges :

Il conviendra de préciser l'inscription chronologique dans le temps, en déterminant la période des installations observées, la durée de l'occupation du site et de préciser si possible si les vestiges, ou une partie des vestiges, caractérise ou non un bourg médiéval et son évolution vers un faubourg urbain.

Compte tenu du potentiel archéologique mis en évidence par le diagnostic archéologique, il est demandé dans la prescription archéologique 2020-199 de réaliser la fouille des vestiges impactés par les futurs travaux d'aménagement sur le secteur délimité sur le plan annexé à l'arrêté de fouille.

Celui-ci fera l'objet d'un décapage mécanique ayant pour objectif la mise au jour des vestiges archéologiques et se développera sur une superficie maximale de **1 935 m²**.

Au préalable de la phase terrain, une étude documentaire des occupations médiévale et moderne du quartier sera réalisée afin d'abonder l'historique du quartier, et ainsi recenser des documents susceptibles d'éclairer la stratégie de fouille qui sera mise en place sur le terrain.

La documentation du site fera, comme le stipule la prescription, « l'objet d'un récolement et d'un complément (si possible) avant le démarrage de la fouille ».

A l'issue de la phase de décapage qui permettra de saisir les occupations présentes dans les emprises de fouille, l'objectif de l'intervention sera d'en **comprendre l'origine, la nature, et l'organisation**.

On s'attachera également à **déterminer les chronologies** des vestiges et les différents états qui seront mis au jour. Il s'agira aussi de mettre en évidence les **liens possibles avec les occupations contemporaines proches**.

La stratégie de fouille sera affinée en étroite concertation avec le Service Régional de l'Archéologie. Les moyens seront mis en œuvre afin de documenter toutes les structures présentes sur l'emprise de fouille conformément au cahier des charges.

La fouille portera sur l'intégralité des structures archéologiques du Bas-Empire à la période moderne. Elle s'attachera à mettre en évidence le plan complet du site jusqu'aux limites de l'emprise décapée dans le respect des règles de sécurité étant donné la présence de murs mitoyens. Elle intégrera l'enregistrement des relations stratigraphiques au sein des structures et entre structures afin de documenter les éléments contextuels du phasage du site.

La période du haut Moyen Âge

Les structures alto-médiévales du VI^e-VII^e s. correspondant à un habitat qui évolue, semble-t-il, sur plusieurs siècles. Il s'agira de chercher les éléments qui les structurent afin d'en comprendre l'organisation et l'évolution : regroupement des bâtiments, relations entre les groupes de maisons, enclos et parcellaire. Il conviendra également de caractériser les structures spécifiques de cette période : fours, silos, fonds de cabane afin de déterminer la nature des activités et leur répartition sur le site. L'objectif étant également de détecter la présence de secteurs à vocation artisanale, de zones d'activités à vocation collective ou à l'inverse de zones occupées par de petites unités domestiques regroupant bâtiments, ateliers et silos.

L'organisation spatiale de cet habitat devra être mise en relation avec celui identifié lors de la fouille de 1994 (14 rue Crévoulin).

La période médiévale/moderne

Les caves médiévales et modernes seront vidées après analyse de leurs comblements. Les murs seront nettoyés et relevés. Les agencements entre eux permettront de saisir la chronologie de ces constructions et ainsi essayer de comprendre l'évolution de l'organisation de l'habitat en bordure de rue. Ce site devrait apporter une plus ample compréhension de l'occupation de ce secteur et ainsi affiner sa chronologie.

L'approche paléoenvironnementale (expertises palynologiques, anthracologiques, carpologiques, archéobotaniques), relations homme-animal (alimentation en particulier, étude du milieu) sera abordée, dans l'optique d'identifier éventuellement les modes d'exploitation du sol et, par des prélèvements, tenter de reconstituer l'évolution des paysages et du terroir.

On s'attachera enfin à rechercher des comparaisons régionales ou à plus large échelle selon les cas, comme l'indique le cahier des charges scientifique.

Une tranche optionnelle sera envisagée en cas de découverte d'une nécropole.

Pour ce faire, un **Responsable Scientifique d'Opération** spécialiste des sites médiévaux, assurera la direction de la fouille.

1.10.4 – Méthodes et techniques d'intervention

L'intervention archéologique de terrain se déroulera en trois temps :

- la **phase préparatoire**
- la phase dite **de terrain** qui comprendra deux étapes successives : le **décapage** et la **fouille** proprement dite.

Parallèlement à l'activité de fouille, une partie de l'équipe peut assurer le lavage et conditionnement du mobilier et amorcer la saisie informatisée des données de fouille. Ces activités peuvent donc débuter en phase de fouille et poursuivies pendant la post-fouille.

- la **phase post-fouille pour la réalisation du rapport** englobe la saisie et l'analyse descriptive des données archéologiques par le responsable d'opération, les études spécialisées indispensables à l'exploitation scientifique des données recueillies sur le terrain (études des mobiliers, datations, analyses spécifiques par des laboratoires...), la réalisation des illustrations par un dessinateur spécialisé en DAO ainsi que la rédaction de la synthèse chronologique et la restitution du site au sein des problématiques historiques locales et régionales.

Cette phase englobe également le conditionnement définitif du mobilier et de la documentation de fouille, ainsi que la mise en œuvre éventuelle des opérations de conservation pour certains mobiliers fragiles.

Nous présentons ci-après les **procédés opérationnels et moyens d'exécution** qui seront appliqués sur le plan scientifique pour la mise en œuvre de la phase terrain.

1.10.4. 1 – La phase préparatoire

La phase préparatoire précède la phase de terrain, elle fait partie intégrante de l'opération archéologique. Elle consiste à préparer l'opération sous ses aspects techniques et scientifiques (matériels et documentation utiles à l'opération, préparation du chantier, installations techniques sur site, topographie d'implantation...). Elle pourra démarrer dès la conclusion du contrat et la délivrance de l'autorisation de fouille.

Comme le stipule le cahier des charges, « une étude documentaire est donc sollicitée dans le cadre de cette prescription » et « la fouille n'aura lieu qu'après un recèlement et un complément (si-possible) de la documentation du site ». Pour servir au mieux les intérêts de la fouille, **l'étude documentaire complémentaire aux données déjà connues en Seine-et-Marne et les départements voisins y compris en région** sera réalisée en amont du démarrage de la fouille, pour être disponible pendant la phase fouille. Pour plus de lisibilité ces jours sont décomptés sur la phase étude.

En préalable à la phase terrain, le responsable de l'opération mettra en place son intervention sur site : Elle consiste en :

- une recherche documentaire en vue d'un recèlement des informations existantes,
- une recherche d'informations complémentaires,
- une surveillance ponctuelle des travaux de démolition des bâtiments afin de libérer la parcelle dans son

entièreté sous surveillance archéologique.

- Il s'informer sur les enjeux scientifiques de l'opération (contact avec la DAST et le SRA), s'assurera de son équipement (outillage, matériel photographique, matériel de dessin, etc.).

Il définira les modes d'enregistrement des données et les méthodes de fouilles envisagées afin de répondre le plus précisément aux objectifs scientifiques définis par le cahier des charges.

Il s'assurera de la documentation technique disponible, des DICT et des documents administratifs nécessaires au démarrage et au déroulement de l'opération et prendra contact avec les différents intervenants afin de s'assurer que toutes les conditions sont remplies pour engager l'opération.

L'installation du chantier sera préparée avec mise en place de la plate-forme, destinée à recevoir la base-vie, et des installations techniques, conformément au plan prévu (voir volet technique).

1.10.4. 2 – La phase terrain

La phase terrain d'une durée totale de 60 jours ouvrés se déroulera dès la fin de la préparation de chantier. Elle comporte la phase de décapage, qui fait partie intégrante de la phase de fouille, durant laquelle tests et fouilles ponctuelles de structures seront très vite engagés.

Comme le stipule le cahier des charges, « tout terrassement, démolition et/ou circulation d'engins sur l'emprise concernée par le présent arrêté sont interdits avant le démarrage de la fouille ». Au préalable, la préparation de la fouille prévoit une surveillance ponctuelle de la démolition du bâtiment.

1.10.4. 2. 1 – Le décapage

En premier lieu, un décapage intégral sera réalisé de façon progressive et appropriée sur l'emprise retenue (surface maximale de 1 935 m²) de façon à atteindre le sommet des niveaux archéologiques. Il sera particulièrement précautionneux à l'emplacement des structures et niveaux archéologiques.

L'enlèvement des terres de surface et la gestion des terres seront faits mécaniquement, à l'aide d'une pelle mécanique de 15 T équipée d'un godet lisse orientable, afin de faire apparaître les différentes occupations et les structures archéologiques sur une moyenne de 0,60 m de profondeur sous le niveau de circulation actuel. Ne seconde pelle de 15 T sera assignée à la gestion des terres.

Un nettoyage manuel suivra le décapage pour mettre en évidence les niveaux médiévaux le cas échéant. Lors du décapage, une attention particulière sera portée à l'enregistrement de toutes les informations relatives aux périodes médiévales tardives éventuelles et modernes.

Il est prévu des décapages ponctuels qui permettront d'assurer l'exhaustivité de la reconnaissance archéologique en fonction des structures découvertes et de la puissance stratigraphique comme des périodes représentées.

Des bermes témoins seront prévues afin de disposer de l'ensemble de la séquence stratigraphique permettant de documenter la taphonomie du site.

L'ensemble de la surface prescrite est concernée mais il est nécessaire de réserver des banquettes et bermes de sécurité au droit des murs mitoyens. Les déblais seront évacués en partie vers un site proche et vers une zone de stockage dans de l'emprise de la fouille.

(voir volet technique pour le protocole détaillé).

Lever du plan général

A l'issue du décapage, un premier plan d'ensemble sera établi afin d'orienter et guider la fouille. Les priorités scientifiques et la stratégie de fouille seront alors conjointement élaborées par le Responsable Scientifique d'Opération et le Service Régional de l'Archéologie, selon la densité et la qualité des vestiges découverts.

1.10.4. 2. 2 – La Fouille

L'intervention archéologique suivra les protocoles suivants :

Un nettoyage manuel suivra le décapage pour mettre en évidence les structures et les ensembles bâtis.

La fouille des structures en creux (fossés, fosses, poteaux...) sera effectuée manuellement en pratiquant une coupe dans leur axe médian. Les voies seront fouillées exhaustivement après réalisation de coupes perpendiculaires et longitudinales à l'axe des structures. Les extrémités de fossé seront fouillées manuellement ainsi que tout dépôt particulier découvert dans les fossés.

Certaines structures profondes ou celles de grandes dimensions (fossés, structures profondes) pourront éventuellement faire l'objet d'une fouille mécanique raisonnée, ce après approbation du plan de mécanisation présenté à l'issue du décapage et validé par le SRA.

Le matériel archéologique sera géoréférencé et intégralement récolté afin de permettre une analyse fiable de l'économie du site et sa comparaison avec d'autres ensembles contemporains.

De la même manière, les structures linéaires et les structures profondes feront l'objet de fouilles partiellement mécanisées (voir ci-dessous), après avoir été testées manuellement et sous réserve de l'accord préalable du conservateur régional de l'archéologie ou de son représentant.

Stratification, chronologie relative et absolue, seront spécifiquement abordées et les différents niveaux et structures devront être discriminés.

Des prélèvements d'artefacts, d'écofacts et d'échantillons seront réalisés, permettant de nourrir les études paléo-environnementales. Il s'agira donc de reconnaître :

- L'organisation spatiale et chronologique des occupations et des espaces attenants.
- D'élaborer une cartographie du mobilier qui sera effectuée sur le matériel (céramique et autres mobiliers) : niveaux archéologiques présentant des faciès sédimentaires particuliers, avec cartographie fine et expertise micromorphologique.

Afin de caractériser le fonctionnement des voies en lien avec d'éventuels éléments architecturés, le site fera l'objet de bermes témoins et de prélèvements micromorphologiques. L'ensemble de la séquence stratigraphique permettant de documenter la taphonomie du site, particulièrement à proximité des concentrations de vestiges mobiliers et immobiliers sera mise au jour.

Les priorités scientifiques et la stratégie de fouille seront conjointement élaborées par le Responsable Scientifique d'Opération et le Service Régional de l'Archéologie, sur chacun des différents secteurs en fonction de leurs spécificités et chronologies respectives.

La fouille de sépultures (le cas échéant)

La fouille des sépultures fait l'objet d'une tranche optionnelle. Celle-ci sera enclenchée à partir d'une sépulture en connexion ou d'une sépulture à incinération (concernant les périodes plus anciennes) par groupe de 10. Un maximum de 3 tranches pourra être enclenché (soit la fouille de 30 individus).

Elle comprendra des moyens supplémentaires pour les phases terrain et étude, spécialistes compris. La tranche optionnelle sera engagée à partir de 1 sépulture puis 11, puis 21.

La fouille d'une sépulture demande une journée de travail pour un anthropologue, afin de la dégager de terre, de procéder à l'enregistrement et aux photographies puis à son démontage et au conditionnement des ossements. A ce temps de fouille, il faut ajouter celui du relevé topographique et les éventuelles interventions de spécialistes en cas de dépôt spécifique.

Fouillées de manière exhaustive, leur enregistrement et leur analyse seront conduites sous la responsabilité d'un anthropologue, et/ou des archéologues spécialistes de l'archéologie funéraire.

Les tombes des jeunes enfants (nouveau-nés, etc..) pourront néanmoins être abordées selon un protocole de prélèvement des dépôts fragiles et leur fouille réalisée en laboratoire. Suivant les cas et la qualité de conservation, on pourra néanmoins privilégier une fouille fine *in situ*.

La mécanisation

Le recours à la mécanisation sera effectué, en accord avec le SRA, dès lors que cela ne compromet pas la compréhension stratigraphique et ne concerne pas des zones de concentration ou de dépôt de mobilier, en particulier dans le cas des fossés, qui seront abordées manuellement et mécaniquement par échantillonnage, comme le précise la prescription, « la fouille des structures pourra éventuellement faire l'objet d'un échantillonnage (fouille manuelle, mécanique limitée...) ».

Les éventuelles structures linéaires fossoyées seront abordées selon les protocoles aujourd'hui reconnus (fouille manuelle et différentielle, répartition spatiale du mobilier et protocoles de prélèvement systématiques ; fouille alternée par tronçons et curage mécanique stratigraphique fin par passes, après le relevé des stratigraphies et approche des comblements sédimentaires et anthropiques).

De la même manière, les structures importantes, de type cave et les grandes fosses, seront, après accord du SRA, abordés mécaniquement si cela s'avère nécessaire, après reconnaissance manuelle de leurs comblements et de leur stratification (incluant relevés, photos, prélèvements...). Ce protocole de fouille mécanisée sera mis en œuvre sous la forme d'une approche par passes successives, par US spécifiquement dès lors qu'elles sont reconnues, avec prélèvement systématique du mobilier archéologique.

La fouille des puits pourra aussi être mécanisée si les conditions de sécurité le permettent (après approche manuelle sommitale). Le cas échéant, il sera fait appel à la « Cellule Puits » de l'Inrap qui dispose de tous les moyens techniques de mise en sécurité des structures profondes et dont les spécialistes sont habilités à la fouille en contexte confiné ou profond.

Le Responsable Scientifique d'Opération se rapprochera du Conservateur Régional de l'Archéologie ou de son représentant, afin de valider la mise en œuvre des protocoles de mécanisation et en obtenir l'accord préalable.

Usage du détecteur de métaux

Un détecteur de métaux performant sera utilisé durant toute la durée de l'opération, dès son démarrage et jusqu'à son achèvement sur le terrain, comme outil à part entière.

Si du mobilier métallique est retrouvé, il fera l'objet, de stabilisation *in situ* si l'état de conservation le nécessite, de radiographie et de stabilisation dans tous les cas.

Enregistrement, recueil et gestion des données de terrain

L'enregistrement archéologique s'effectuera par unités stratigraphiques qui désigneront soit les différentes couches des contextes stratifiés, soit les structures archéologiques aux modes de comblement simples. Cet enregistrement se fera sur un support papier (calques polyester et cahiers d'enregistrement).

Le système informatisé d'enregistrement de données sera employé. Il s'appuie sur une base de données déjà éprouvée (type Syslat). Celle-ci a été adaptée afin de répondre au mieux au contexte d'intervention et au type de vestiges attendus. Ce système intègre l'enregistrement des unités stratigraphiques (us, faits, structures), des données graphiques et photographiques. Les bordereaux papier (cahiers d'enregistrement, carnets photo, carnets de prélèvements, etc...) seront actualisés afin de mieux répondre aux exigences d'enregistrement.

La réalisation de dessins de plans, de coupes et d'élévations s'effectuera à l'avancement de la fouille.

Le système d'enregistrement sera complété d'une couverture photographique numérique (de détail et éventuellement générale à l'aide de vues d'ensemble du site « aériennes » orthogonales ou obliques à moyenne altitude).

Ce recours à la photographie verticale et à la photographie redressée permettra d'optimiser le cas échéant la constitution des relevés planimétriques. Des relevés photographiques seront réalisés en vue de restitution en trois dimensions afin de mieux rendre compte de certains vestiges dans leur volumétrie et seront calés topographiquement. Les techniques des relevés employées (graphiques et photographiques) s'attacheront à documenter précisément chacune des unités d'enregistrement.

Les relevés topographiques, seront régulièrement réalisés à la demande du responsable d'opération par un topographe de l'Inrap permettant d'enrichir et de préciser au fur et à mesure de l'intervention le plan masse de l'ensemble du site déjà établi lors de la fouille préventive.

Un plan général périodisé des faits archéologiques, incluant les limites de fouilles reportées sur plan cadastral, sera réalisé. Un topographe aura la charge de réaliser ce plan de masse. Il sera donc régulièrement mis à jour et remis à l'aménageur et au SRA. Les plans et coupes, généraux et de détail seront référencés et géo-localisés selon le même système de projection Lambert et selon le nivellement NGF.

D'une manière générale, les relevés graphiques seront localisés sur plan avec restitution de la cote d'apparition des vestiges et niveaux ainsi que l'épaisseur des terres décapées et/ou fouillées.

Un plan de recollement de la fouille calé en coordonnées Lambert (x, y, z, géo-localisation Lambert 93) sera à terme fourni à l'aménageur au plus tard 30 jours après la signature du procès-verbal de la fin de la phase terrain.

L'enregistrement, le relevé et la photographie des niveaux et structures découverts seront homogènes sur l'ensemble de l'opération. Le mode de relevé peut-être classique avec dessin des plans et coupes, il peut également faire appel à des techniques plus particulières de photographie verticale, photographie redressée ou relevé en plan assisté par ordinateur.

Les structures feront l'objet de coupes systématiques et l'ensemble des vestiges sera exhaustivement relevé en topographie, chaque structure bénéficiant d'un relevé spécifique de détail. Leur stratigraphie interne et celles générales aux différentes occupations seront précisément analysées à l'aide des coupes et des relevés. Chaque structure fera ainsi l'objet de relevés manuels en plan et en coupe destinés à la représentation des caractéristiques

physiques et les relations stratigraphiques. Ces relevés seront réalisés à des échelles adéquates, généralement à 1 : 10^e, 1 : 20^e et 1 : 50^e. Les axes de dessin seront reportés sur le plan général par les topographes afin de permettre la localisation exacte des structures. Les numéros des faits et des unités stratigraphiques, ainsi que les altitudes d'apparition des vestiges et des axes de dessin, seront reportés sur chaque plan ou coupe. Les cotes d'apparition des vestiges et des niveaux archéologiques ainsi que l'épaisseur des terres décapées y seront figurés.

Tous les prélèvements, analyses et études indispensables à la compréhension du site et de ses différentes phases d'occupation, seront mis en œuvre, en particulier pour l'approche paléo-environnementale (sédimentologie, palynologie, carpologie, anthracologie, etc.). Des prélèvements de bois, de charbon de bois ou de mobilier osseux (dans le respect des protocoles permettant d'effectuer les analyses ultérieures et les mesures d'âge radiocarbone et/ou dendrochronologique) seront réalisés si les conditions de conservation sont favorables.

Des tests archéomagnétiques seront effectués sur les fours domestiques, le cas échéant, afin d'en proposer une datation et sur les éventuelles structures artisanales et leurs annexes (structures de chauffe, zones de rejets, etc.) ou toutes autres structures de combustion, dès lors que celles-ci le permettent (il sera fait appel systématiquement au recours d'un spécialiste pour aborder ces problématiques).

Le responsable fera appel, par ailleurs, à la participation de spécialistes ou de laboratoires compétents pour le prélèvement, le traitement et l'étude des différents mobiliers recueillis (céramologue, anthropologue, archéozoologue, paléométallurgiste, etc.). Une enveloppe globale d'analyses pour les études paléo-environnementales, les datations archéométriques et la stabilisation du mobilier est prévue.

Les mobiliers

Les éléments mobiliers feront l'objet d'une étude et d'une analyse spécifique. Leur répartition spatiale sera abordée en fonction de leur typologie et de leur chronologie. Le mobilier céramique fera l'objet, dès le terrain, d'une détermination chronologique afin d'ajuster éventuellement la stratégie de fouille en fonction des informations recueillies. Il pourra faire l'objet d'une consolidation *in situ*. Leur étude sera orientée en priorité vers la caractérisation chrono-culturelle et fonctionnelle des ensembles et une approche de leur répartition-spatiale.

L'étude des restes osseux animaux sera orientée vers une identification des espèces et la gestion du cheptel.

D'une manière générale, le mobilier sera prélevé par unité stratigraphique et traité en fonction des catégories présentes. Le mobilier sera enregistré de manière à ce que chaque objet ou lot d'objets (tessons, os, etc.) puissent être identifiés selon son type, son unité stratigraphique ou sa structure. Il fera l'objet de mesures conservatoires si cela s'avère nécessaire, dans le respect du cadre légal de l'archéologie préventive et des études dont il doit faire l'objet.

Ce mobilier collecté sur le terrain dans des sacs plastiques sera très rapidement confié au gestionnaire du mobilier qui en assurera le tri.

En fonction des types de mobilier il procédera soit au nettoyage mécanique pour étude soit fera réaliser les devis nécessaires si ce traitement doit être effectué par des laboratoires externes spécialisés ou si ce traitement doit être précédé d'un passage aux rayons X. Il en assurera également l'inventaire et le reconditionnement en boîte plastique dans les conditions d'hygrométrie particulière à chaque type de matériaux. Certains objets fragilisés ou de nature très sensible pourront faire l'objet de prélèvement voir de consolidation dès la phase terrain.

Au final les mobiliers seront stockés par grandes catégories : vaisselle en céramique, ossements animaux, objets (inclus les objets et les ratés et déchets de fabrication en céramique, en pierre), les éléments d'architecture

(inclus les terres cuites architecturales, les éléments en matériaux organiques feront l'objet d'une catégorie à part. Au sein de chaque catégorie le stockage pourra être envisagé par sous-catégorie pour des raisons de conservation.

Analyses en laboratoire, travaux d'étude et de conservation des artefacts et écofacts

Les artefacts, et plus particulièrement les travaux de mise en état d'étude et de conservation les concernant ont été détaillés ci-dessus, dans le paragraphe consacré à la gestion du mobilier archéologique.

Les écofacts constituent un ensemble d'indices, susceptibles de permettre la restitution d'une partie de l'environnement du site dans les périodes anciennes.

La prise en compte de ces données environnementales ne peut être définie *a priori*. Des prélèvements de sédiments seront réalisés dans certaines structures susceptibles de contenir des restes permettant de restituer l'environnement du site. Des tamisages tests seront rapidement enclenchés pour vérifier leur état de conservation. Les prélèvements et les tamisages seront réalisés dans le respect des protocoles en vigueur.

Les études carpologiques (graines) sont généralement porteuses d'informations sur l'alimentation des hommes et du bétail, et sur les pratiques agricoles et leurs interactions avec le milieu naturel. Les études des charbons de bois (anthracologie) livreront aussi des indices sur les essences d'arbres présents dans l'environnement. La malacologie (études des escargots) éclairera l'environnement immédiat du lieu de prélèvement. Les analyses palynologiques seront susceptibles d'offrir des indications permettant de restituer le paysage aux différents périodes.

Les études géomorphologiques et micro-morphologiques renseigneront sur les processus morpho-sédimentaires et taphonomiques. Les analyses physico-chimiques fourniront quant à elles des éléments sur la nature des activités humaines ou agropastorales.

Selon leur intérêt scientifique, des études spécialisées seront entreprises par type de mobilier : céramique, faune, matériaux de construction (terres cuites et terres crues architecturales), restes organiques et sédiments issus des prélèvements, etc. Les objectifs de ces approches ne sauraient dépasser le cadre de la compréhension globale du site (datations, fonctions, activités, économie).

Les moyens alloués à ces études sont de deux sortes : d'une part, un budget en jours/homme pour les études menées par des chercheurs de l'Inrap, et d'autre part, un budget forfaitaire incluant les études paléo-environnementales externalisées, mais également les analyses archéométriques (lames minces, C14). Les laboratoires associés ne peuvent être définis en amont, ils seront choisis en fonction des besoins.

En fonction des résultats archéologiques et des analyses à mener, les laboratoires seront contactés dans le respect des procédures des marchés publics. Il en est de même pour les sous-traitants techniques. Les principaux partenaires de l'Inrap pour les diverses analyses sont *Conservare*, *Utica*, le *Cravo*, le *Laboratoire de Touraine*, *Poznan radiocarbon Laboratory*, *Beta Analytic Limited*, *Groningen*, le *Centre National de Préhistoire*, le *Laboratoire de Meudon*, *Arc'antic*, etc.

De manière générale, les études et analyses à engager sur les artefacts et sur les écofacts pourront faire l'objet d'une concertation entre le Service régional de l'archéologie et le Maître d'ouvrage, afin d'établir des priorités, dans le respect du budget alloué.

Information et suivi des fouilles

Chaque semaine, le Responsable Scientifique d'Opération informera l'aménageur, le Conservateur régional de l'archéologie et l'Inrap par courrier ou messagerie électronique pour présenter l'état d'avancement de l'opération et l'adéquation des moyens mis en œuvre pour la fouille. Il informera également la DRAC - Service régional de l'archéologie de toute découverte exceptionnelle et tout mouvement du mobilier archéologique. Il prendra les mesures conservatoires nécessaires et de rigueur.

Le compte-rendu hebdomadaire (*voir documents annexés au présent PSI*) présentera les éléments permettant de suivre le déroulement de l'opération en termes scientifiques, quantitatifs, qualitatifs (stratégies d'intervention, résultats, découvertes, nombre de structures, nature...) et opérationnels (état d'avancement, moyens humains et techniques mis en œuvre, choix d'intervention...). Il sera accompagné du plan de la fouille mis à jour. L'état d'avancement de la fouille, pourra se faire sur la base d'un pourcentage régulièrement mis à jour, prenant en compte les différents aspects opérationnels : quantité de structures, quantité de moyens humains et/ ou mécaniques, etc... Les objectifs et axes de travail prévus pourront être également explicités.

Ce document présentera les informations suivantes :

- principaux résultats ;
- plan de répartition spatiale des vestiges ;
- nombre de structures identifiées ;
- proportion de vestiges fouillés à 100 % ;
- proportion de vestiges fouillés à 50 % ;
- proportion de vestiges linéaires fouillés ;
- état des ressources humaines mobilisées, solde des moyens non engagés ;
- état des moyens mécaniques mobilisés, solde des moyens non engagés ;
- éléments susceptibles d'impacter l'organisation et le déroulement du chantier ;

A la fin du chantier, le Responsable Scientifique d'Opération rendra compte (dans un délai de 2 mois maximum) du déroulement de la phase terrain et évoquera au Maître d'Ouvrage et au SRA les thématiques sur lesquelles il entend mettre l'accent au cours de la phase d'étude. Si la réflexion est suffisamment avancée à ce stade, il mentionnera les collaborations et initiatives mises en œuvre avec des laboratoires scientifiques dédiés et/ou des chercheurs impliqués dans une ou plusieurs des thématiques du site.

Durant la phase étude, les responsables scientifiques transmettront un compte-rendu trimestriel de l'avancement des travaux en cours qui devra présenter les informations suivantes :

- principaux résultats ;
- stratégie d'étude ;
- spécialistes mobilisés et état d'avancement de leurs travaux ;
- état des ressources humaines mobilisées et solde des moyens non engagés ;
- éléments susceptibles d'impacter l'organisation et le déroulement de l'étude ;
- objectifs et stratégie à venir.

1.10.4. 3 – La phase d'étude et de réalisation du rapport (post-fouille)

La post-fouille se déroulera dans l'un des centres archéologiques de l'Inrap d'Ile-de-France.

1.10.4. 3. 1 - Modalités de gestion de la documentation et du mobilier archéologique

Gestion de la documentation

Les plans et relevés manuels, ainsi que la documentation photographique, seront inventoriés selon les normes définies dans l'arrêté du 16 septembre 2004 portant définition des normes d'identification, d'inventaire, de classement et de conditionnement de la documentation scientifique et du mobilier issus des diagnostics et fouilles archéologiques.

Les données saisies dans le cadre de ces inventaires seront enregistrées et exportées dans des formats informatiques recommandés dans le chapitre 5 du cadre commun d'interopérabilité des systèmes d'information publics.

Gestion du mobilier archéologique

Le mobilier sera traité et conditionné conformément aux instructions stipulées dans l'arrêté du 16 septembre 2004 portant définition des normes d'identification, d'inventaire, de classement et de conditionnement de la documentation scientifique et du mobilier issus de diagnostics et fouilles archéologiques.

L'ensemble des informations permettant l'identification et le suivi scientifique et sanitaire du mobilier (quantité, état de conservation, caractérisation) seront portées sur une base de données utilisée pour la réalisation des inventaires réglementaires (section III du Rapport Final d'Opération).

Pour les objets fragiles ou d'une valeur scientifique particulière, une fiche d'état sanitaire et d'étude sera établie.

Les mobiliers archéologiques recueillis au cours de l'opération de fouille seront conservés par l'opérateur d'archéologie préventive le temps nécessaire à leur étude qui, en tout état de cause, ne peut excéder deux ans à compter de la date de fin de la phase terrain, avant d'être remis à l'Etat avec la documentation afférente à l'opération. Les mouvements des objets fragiles ou d'une valeur scientifique particulière, pour étude, consolidation, expositions, seront soumis à l'accord préalable du Conservateur régional de l'archéologie.

Dans l'optique de son dépôt définitif aux services de l'Etat, le mobilier sera conditionné dans des contenants adaptés (sachets plastiques longue durée, boîtes, etc...) et dans des caisses type « Alibert ». Chaque contenant comportera une étiquette détaillant le contenu et l'origine (coordonnées du site, numéro d'unité stratigraphique, etc.) des objets. Le gestionnaire du mobilier se rapprochera de l'agent de l'Etat chargé de la réception des collections archéologiques afin de préciser les modalités du dépôt définitif.

L'inventaire de ce mobilier, transmis avec le rapport de fouille, sera communiqué par le Service Régional de l'Archéologie au propriétaire du terrain afin que, le cas échéant, celui-ci puisse faire valoir ses droits, conformément à l'article L 523-14 du code du patrimoine.

1.10.4. 3. 2 - Déroulement des études et de la rédaction du rapport

La durée maximale de la phase post-fouille, fixée à 24 mois dans le cahier des charges après la fin des périodes de terrain, correspond au délai permettant au responsable d'opération de collecter l'ensemble des inventaires, les études connexes, les analyses en laboratoire, la DAO et réaliser la rédaction des différents rapports d'études.

Le rapport final d'opération intégrera les données des opérations de fouille et des diagnostics réalisés sur Lardy et

ses environs. Il s'attachera à proposer une modélisation des différentes phases d'occupations, laquelle sera accompagnée de plans phasés particuliers pour chacune des périodes chronologiques et étapes d'occupation identifiées avec mise en perspective des résultats de l'opération, par rapport à l'occupation du sol actuellement documentée dans ce secteur de l'Essonne et par rapport aux problématiques actuelles concernant cette période.

Les études comprendront quatre volets :

- Le conditionnement et la mise en ordre de la documentation de fouille ;
- L'exploitation scientifique des résultats de chaque secteur : description et interprétation des données de terrain, expertise des mobiliers, analyses éventuelles, datations radiocarbone ;
- La remise en contexte des résultats, en analysant l'apport des données recueillies dans le cadre de connaissance local et régional, par confrontation avec les données déjà collectées lors d'opérations récentes ou anciennes ;
- L'élaboration du Rapport Final d'Opération, qui détaillera, illustrations graphiques, cartographiques et photographiques à l'appui, le déroulement des fouilles de chaque secteur et l'ensemble des résultats obtenus.

Le rapport final, comportera une présentation de la mise en perspective des résultats de la fouille sur la base de l'état des connaissances dans ce secteur et par rapport aux problématiques actuelles propres aux différentes périodes concernées.

Le responsable scientifique et son adjoint se rapprocheront des chercheurs régionaux impliqués dans les thématiques de *la programmation de la recherche archéologique nationale*, qui seront développées à l'occasion de la fouille :

- *Axe 9 (Le phénomène urbain)*

Le rapport comportera :

- Un exposé synthétique du contexte archéologique et de l'environnement des sites
- Une présentation méthodologique des interventions
- La présentation générale des résultats à laquelle, pour chacune des périodes représentées, des plans phasés (sur le même fond géoréférencé en Lambert 93) seront intégrés
- La contribution des spécialistes associés à l'étude des sites
- Une première synthèse de toutes les études et de toutes les observations menées sur chaque site
- Un inventaire précis de la documentation et des archives de fouilles (dont description et inventaire du mobilier archéologique), incluant toutes préconisations éventuelles quant à des mesures de conservation définitive du mobilier périssable et des objets spécifiques

Les plans et plans phasés présentés dans le rapport, y compris les plans de répartition des mobiliers ou ceux nécessaires à la présentation des différentes études, utiliseront tous le même fond qui sera produit par la cellule topographique de l'Inrap (les fichiers de données de terrain effectuées par les topographes figureront sur le CD du Rapport Final d'Opération au format DXF).

Des études spécifiques seront conduites au cours de ces phases de post-fouille, en particulier l'examen céramologique détaillé qui devra concourir à l'élaboration de la chronologie des occupations et à l'analyse précise d'ensembles clos ou homogènes pour chacune des périodes reconnues. Des comparaisons seront proposées avec les sites déjà référencés localement, en Ile-de-France mais aussi dans une aire géographique plus large, tout particulièrement si des découvertes de mobilier ou de structures à caractère exceptionnel sont identifiées.

Le mobilier sera lavé, marqué si nécessaire et enregistré et, pour une part, dessiné.

L'étude des petits mobiliers est également prise en compte (radiographies éventuelles, analyses, examen détaillé). Les spécialistes *ad hoc* seront mobilisés ou recherchés pour assurer les études et les analyses avec la plus grande qualité. Un budget spécifique est prévu pour l'identification du mobilier (radiographie) ainsi que sa stabilisation.

A l'instar de ce qui a été entrepris sur les sites environnants, l'analyse spatiale des structures s'attachera à discriminer les aires relevant du domestique de celles relevant d'une autre activité. L'étude portera donc sur la datation des vestiges et la relation entre les aires fonctionnelles. Les spécialistes mobilisés présenteront un plan de répartition spatiale du mobilier dont ils sont en charge ; le fond de plan utilisé sera le même pour tous.

L'analyse de la stratigraphie des structures, permettra de rendre compte des états d'installation, d'utilisation, de réfection et d'abandon des éléments structurants du site. Des études paléoenvironnementales aideront à comprendre la dynamique des remplissages et à mieux appréhender les interactions homme/milieu.

Le rapport final d'opération contiendra tous les éléments prévus par l'arrêté du 27 septembre 2004 portant définition des normes de contenu et de présentation des rapports d'opérations archéologiques. Il sera rédigé en français ainsi que l'ensemble de la documentation constituée lors de l'opération archéologique.

1.10.4. 4 - Le calendrier de la fouille et de la post-fouille

Planning prévisionnel (phase terrain) : la date de démarrage est fixée en accord avec le Maître d'ouvrage au 6 septembre 2021 avec une préparation la semaine précédente. Le début de l'opération nécessite de prendre en compte les délais de réponse à l'offre, d'expertise et validation par le Service Régional de l'Archéologie et de réalisation des DT puis DICT et de mise en œuvre opérationnelle et technique.

(Voir Planning de principe de la fouille joint)

Délai de remise du rapport : 24 mois à compter de la date de fin de la phase terrain.

Comme le stipule le cahier des charges, « A l'issue de la phase terrain et dans un délai maximum de 2 mois, une réunion (opérateur, aménageur, services de l'Etat) avec le responsable d'opération et ses spécialistes sera organisée afin de fixer les modalités pratiques de la phase d'étude. Trimestriellement l'opérateur fera connaître à l'aménageur et aux services de l'Etat, l'avancement du traitement des données post-fouilles et du degré d'avancement du rapport final d'opération ».

Les phases d'étude et de rédaction du rapport (post-fouille), doivent tenir compte des disponibilités du RSO, des techniciens, des spécialistes et des délais des rendus d'analyses. Il faut aussi inclure à ce délai la validation du rapport par la DAST (relecture), le montage final (PAO) et la reproduction du document avant la remise du Rapport Final d'Opération au Service Régional de l'Archéologie, au maximum 24 mois à l'issue de la phase terrain conformément au cahier des charges, annexé à la prescription de fouille.

1.10.5 – Moyens humains

1.10.5. 1 – Compétences de l'équipe

L'opération de fouille sera conduite par un archéologue **spécialiste du haut Moyen Âge et de la fouille de site stratifié en milieu urbain**, conformément à la prescription.

Encadrement proposé :

La direction scientifique de la fouille sera confiée à **M. Gilles Desrayaud**, Responsable Scientifique d'Opération, spécialiste des sites stratifiés antiques et alto-médiévaux franciliens.

Le Responsable Scientifique d'Opération assurera la conduite effective de l'opération en respectant le cahier des charges émis par la Direction Régionale des Affaires Culturelles : Service Régional de l'Archéologie.

L'équipe de terrain :

L'équipe de terrain sera constituée de techniciens rompus à l'archéologie urbaine stratifié complexe, qualifiés et expérimentés dans les travaux de terrain. Des techniciens spécialisés et des spécialistes interviendront à la demande du responsable durant la fouille afin de répondre aux objectifs scientifiques des cahiers des charges. Les techniciens spécialisés et spécialistes (céramologues, anthropologues, archéozoologues, lithiciens, etc...) seront choisis en raison de leurs compétences.

A l'équipe permanente sur le terrain, s'ajoutera l'intervention régulière d'un topographe pour les relevés et la mise à jour des plans. Il assurera la mise en forme des relevés et la réalisation des plans généraux des secteurs fouillés. Un infographe sera chargé de la mise au propre des minutes de terrain, du dessin du mobilier et de la mise en page du rapport (travaux de DAO/PAO).

Le Responsable Scientifique d'Opération fera appel, lorsque cela s'avèrera nécessaire, sur le terrain comme pour les phases d'études, à tout spécialiste approprié (anthropologue, paléoenvironnementaliste, géomorphologue qui suivra régulièrement l'ensemble de l'opération depuis le décapage, carpologue, palynologue, etc...), pour le traitement particulier (fouille, prélèvement *in situ*...) de tout matériel ou structure spécifique, et pour les études des mobiliers (céramique, lithique, faune, métal, etc...) contributives au rapport final d'opération.

1.10.5. 2 - Moyens humains pour la préparation

Durée de la phase préparation : 3 jours pour l'installation technique
3 jours ouvrés pour l'équipe archéologique

La préparation de l'opération sera réalisée, pour un total de **6 jours ouvrés**.

L'installation technique sera effectuée par les personnels en charge de la logistique.

Un total de **4 jours-hommes** seront déployés pour la préparation par :

- 1 responsable d'opération (3 jours-hommes)
- 1 technicien (1 jours-hommes)

1.10.5. 3 – Les moyens humains pour la fouille

La durée globale de l'intervention sera de **60 jours ouvrés**.

Total des jours-hommes affectés à la phase terrain (décapage et fouille) : **282 jours-hommes**

1.10.5. 3. 1 – Le décapage

La phase de décapage est un acte archéologique faisant partie intégrante de la fouille (mise en évidence des structures, tests réalisés dans les structures, sondages ponctuels et fouilles et relevé de certaines d'entre-elles au fur et à mesure à l'avancement). Dès cette phase il est prévu de renforcer l'équipe de manière à engager la fouille en continu au plus tôt. Par ailleurs, le topographe viendra à la demande du responsable pour réaliser les levés de terrain en fonction de l'avancement. Les jours de ce poste sont globalisés sur la phase terrain. Le planning présenté n'est qu'indicatif.

Durée de décapage : 12 jours ouvrés

- 1 responsable d'opération (12 jours-hommes)
- 2 archéologues (total de 24 jours-hommes) affectés au suivi du dégagement des vestiges (pour guider la pelle mécanique, assurer le bon niveau de décapage, nettoyer la surface décapée, tester et fouiller des structures au fur et à mesure de l'avancement)

Volumétrie des jours d'archéologues durant le décapage : **36 jours-hommes**

1.10.5. 3. 2 – La fouille

Durée de la fouille : 48 jours ouvrés

L'équipe de terrain sera ainsi constituée (les jours-hommes indiqués correspondent au total des jours hors décapage) :

Encadrement :

- 1 responsable d'opération (48 jours-hommes)

Equipe :

- 4 archéologues (180 jours-hommes)
- divers spécialistes : géomorphologie, paléo-environnement (5 jours-hommes)
- 1 topographe (10 jours-hommes)

Volumétrie des jours d'archéologues et de spécialistes consacrés à la fouille : **242 jours-hommes**

1.10.5. 3. 3 - Démobilisation

L'opération de démobilisation du chantier (4 jours) se fera par les personnels en charge de la logistique, rattachés au Centre archéologique, sous le contrôle de l'Assistant Technique et de l'Assistant de Prévention.

Cette démobilisation consiste à rapatrier dans les centres archéologiques les différents matériels utilisés sur le chantier et les mobiliers archéologiques et prélèvements pouvant encore y être présents.

Cette opération n'impacte pas le budget de la fouille.

1.10.5. 4 - Les moyens humains pour la post-fouille

La phase d'étude permettra une synthèse des données de terrain et sera ponctuée par la rédaction d'un rapport de fouille.

Pour la réalisation du rapport final sont prévus **50** jours ouvrés.

L'équipe de la phase étude sera ainsi constituée :

- 1 responsable d'opération	(50 jours-hommes)
- 3 techniciens pour le traitement du mobilier (lavage, marquage et conditionnement)	(30 jours-hommes)
- Spécialistes (paléo-environnement)	(8 jours-hommes)
- 1 spécialiste du mobilier céramique	(20 jours-hommes)
- 1 spécialiste des ossements animaux	(15 jours-hommes)
- 1 archiviste	(10 jours-hommes)
- Autres spécialités (mobiliers divers)	(22 jours-hommes)
- 1 dessinateur DAO-DAO	(20 jours-hommes)
- 1 topographe pour traitement des levés	(10 jours-hommes)

Divers spécialistes et techniciens spécialisés pour les études spécifiques :

Volumétrie des jours d'archéologues et de spécialistes consacrés à la post-fouille et rapport : **185 jours-hommes**.

Pour chacun des secteurs de fouille, les spécialistes seront consultés par le Responsable Scientifique d'Opération en fonction des objectifs scientifiques, des problématiques soulevées, des chronologies et des vestiges rencontrés, notamment :

- un **céramologue** identifiera les faciès typo-chronologiques des céramiques collectées, afin d'établir la datation des différentes occupations et phases d'occupation des sites et analyseront tous les lots susceptibles de dater et pouvant mettre en valeur des pratiques ou des activités particulières ;
- des spécialistes du **mobilier métallique** seront sollicités, ainsi que des spécialistes des **petits mobiliers** ;
- pour l'étude des restes fauniques il sera fait appel à des **archéozoologues** ;

D'autres spécialistes seront sollicités en fonction des problématiques et des découvertes réalisées et comme stipulé au cahier des charges : **géomorphologue, micro-morphologue, carpologue / anthracologue, anthropologue, paleométallurgiste** et autres spécialistes des disciplines connexes à l'archéologie qui seront

nécessaires à l'exploitation des données scientifiques récoltées....

Une enveloppe globale d'analyses pour les études paléo-environnementales, la réalisation des lames minces micromorphologiques, les datations archéométriques et la stabilisation du mobilier est également prévue.

1.10.5. 5 - La tranche optionnelle pour la fouille des sépultures

Une tranche optionnelle est prévue comme demandé dans le cahier des charges scientifique afin de palier à d'éventuelles découvertes de sépultures.

33 jours/hommes seront provisionnés par lot de 10 sépultures sur le terrain (soit un total de 10 jours/hommes sur le terrain et 23 jours/hommes en phase étude) ainsi que 2 datations au radiocarbone. Le présent projet prévoit l'enclenchement de 3 tranches au maximum (soit 30 sépultures).

Ces tranches seront enclenchées à la demande du Service Régional de l'Archéologie dès la découverte de 1 sépulture, 11, puis 21.

II. **Résultats**

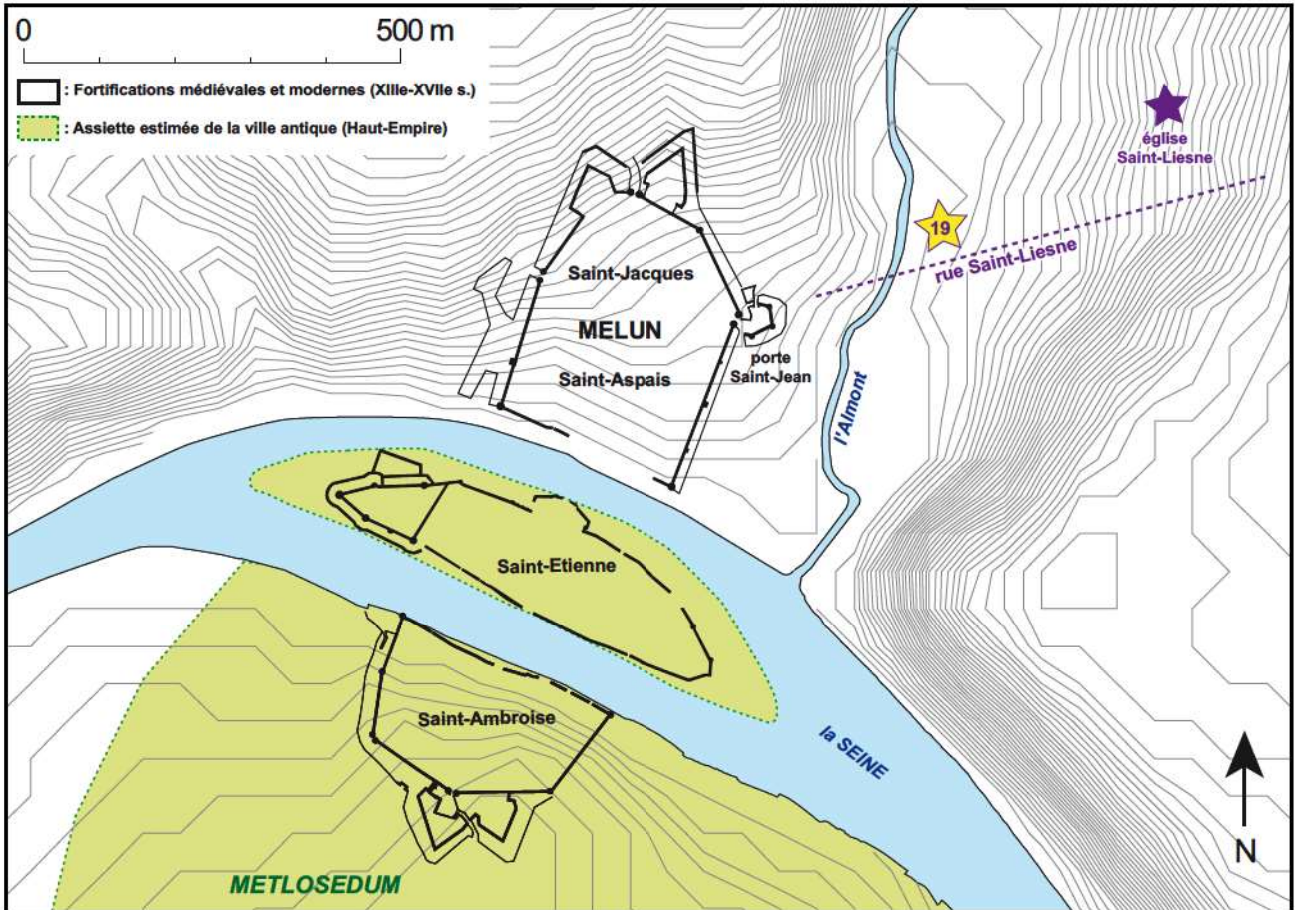


Fig. II-01-01 Localisation du 19 rue Saint-Liesne par rapport aux villes antique de *Metlosedum* et médiévale à moderne de Melun (d'après carte, version 2022) © SRA d'Île de France / Service municipal d'archéologie de Melun, d'après les travaux du Groupe de travail sur Melun antique

2.1. Contextes d'opération

2.1.1 Circonstances de l'intervention

Suite au diagnostic réalisé en novembre 2019 sous la direction de Patricia Guinchard-Panseri (Guinchard-Panseri 2020), sur la parcelle AR 245 au 19 de la rue Saint-Liesne à Melun, une fouille a été prescrite par le Service Régional de l'Archéologie en mai 2020 (*supra*, chap. 1.6 à 1.8).

Au préalable à la construction d'un immeuble par le Groupe Edouard Denis, l'opération a été prise en charge par l'Institut National de Recherches Archéologiques Préventives du 20 septembre au 17 décembre 2021 (*supra*, chap. 1.1 à 1.5 et 1.09 à 1.10).

La découverte d'un four de tuilier gallo-romain, non repéré lors des sondages de 2019, a supposé une intervention plus importante et complexe qu'initialement prévue (*infra*, chap. 5 : Pl. 001 à Pl.004).

2.1.2 Contexte archéologique et historique

2.1.2.1 L'environnement archéologique (Patricia Guinchard-Panseri, Inrap)

[tiré de Guinchard-Panseri 2020, pp. 24-27]

« Au sein du territoire actuel de la ville de Melun, les différentes périodes chronologiques mises au jour lors des opérations archéologiques s'étendent de l'Âge du Bronze Final à l'époque moderne, avec une forte activité au Haut Empire [Laneluc 2006].

Dès le I^{er} s. avant J.-C., l'occupation gallo-romaine est présente au Sud¹ de la Seine et dans l'île Saint-Étienne [Le Blay, Luccisano 2013]. La ville se développe durant la période augustéenne sous forme d'*insulae* jusqu'à la fin du III^e s. Les I^{er} et II^e s. sont vraisemblablement significatifs de l'essor de la cité. L'occupation du Bas-Empire [semble se recentrer] sur l'île Saint-Étienne [Fig. II-01-01 ; Besson, Laneluc, Puaux 2017].

Durant le haut Moyen Âge, Melun est le chef-lieu du *Pagus Melodunensis*. Jusqu'au IX^e s., la ville « prospère », en particulier la partie située au Nord de l'île. Au cours du X^e s., les incursions des Normands mettent à mal la cité.

Du X^e s. au XII^e s., Melun est rattachée au diocèse de Sens ; elle devient ville royale sous le règne de Philippe le Bel. Sous Robert le Pieux, les reconstructions du château et de l'abbaye des Saints-Pères sont entreprises. Le quartier Saint-Aspais naît sur la rive droite de la Seine et devient, avec l'Île Saint-Étienne, le cœur de la ville médiévale (Förstel 2006).

Sur la rive gauche, s'étend la paroisse Saint-Ambroise, à demi rurale et cernée par la forêt de Bière. Au début du XIII^e s., sous Philippe Auguste, des fortifications sont construites, délimitant trois quartiers entourés de murailles bordées de fossés : Saint-Ambroise au Sud, Saint-Étienne dans l'île, Saint-Aspais sur la rive droite.

1. Pour des raisons de commodité de lecture et éviter les confusions, les points cardinaux sont écrits avec des majuscules dans l'ensemble des textes du rapport.

Au XV^e s., les fortifications des quartiers Saint-Ambroise et Saint-Aspais sont renforcées. À la fin du XVI^e s., des bastions avancés sont élevés. La destruction des fortifications et le comblement des fossés débutent au XVIII^e s. et s'achèvent en 1851 (Förstel 2006).

La parcelle diagnostiquée en 2019 se situe [hors assiette de la ville antique] et hors les murs de la ville du Moyen Âge, dans le faubourg de Saint-Liesne (Fig. II-01-01).

Dans un rayon de moins de 100 m, plusieurs opérations archéologiques ont été menées : 4 diagnostics et une fouille (Fig. II-01-02).

Les diagnostics des « 11 rue Camille Flammarion, 16 et 18 rue Crévoulin, ainsi que 6-10 rue Bontemps » n'ont pas permis de mettre en évidence des indices archéologiques antérieurs à la Révolution.

La fouille, menée en 1994, se situe au « 14 rue Crévoulin / 23-29 rue Saint-Liesne », à l'Est de la parcelle diagnostiquée en 2019 (Fig. II-01-03). Ce site se caractérise par un habitat sur poteaux associés à des fossés et des silos, auxquels s'ajoutent des fossés. Cet ensemble est daté de l'intervalle Bas-Empire / haut Moyen Âge (Guinchard 1994, pp. 9-15).

Est également à souligner la présence de deux probables fossés protohistoriques (Bronze final ou Hallstatt ? Guinchard 1994, p. 8) ».

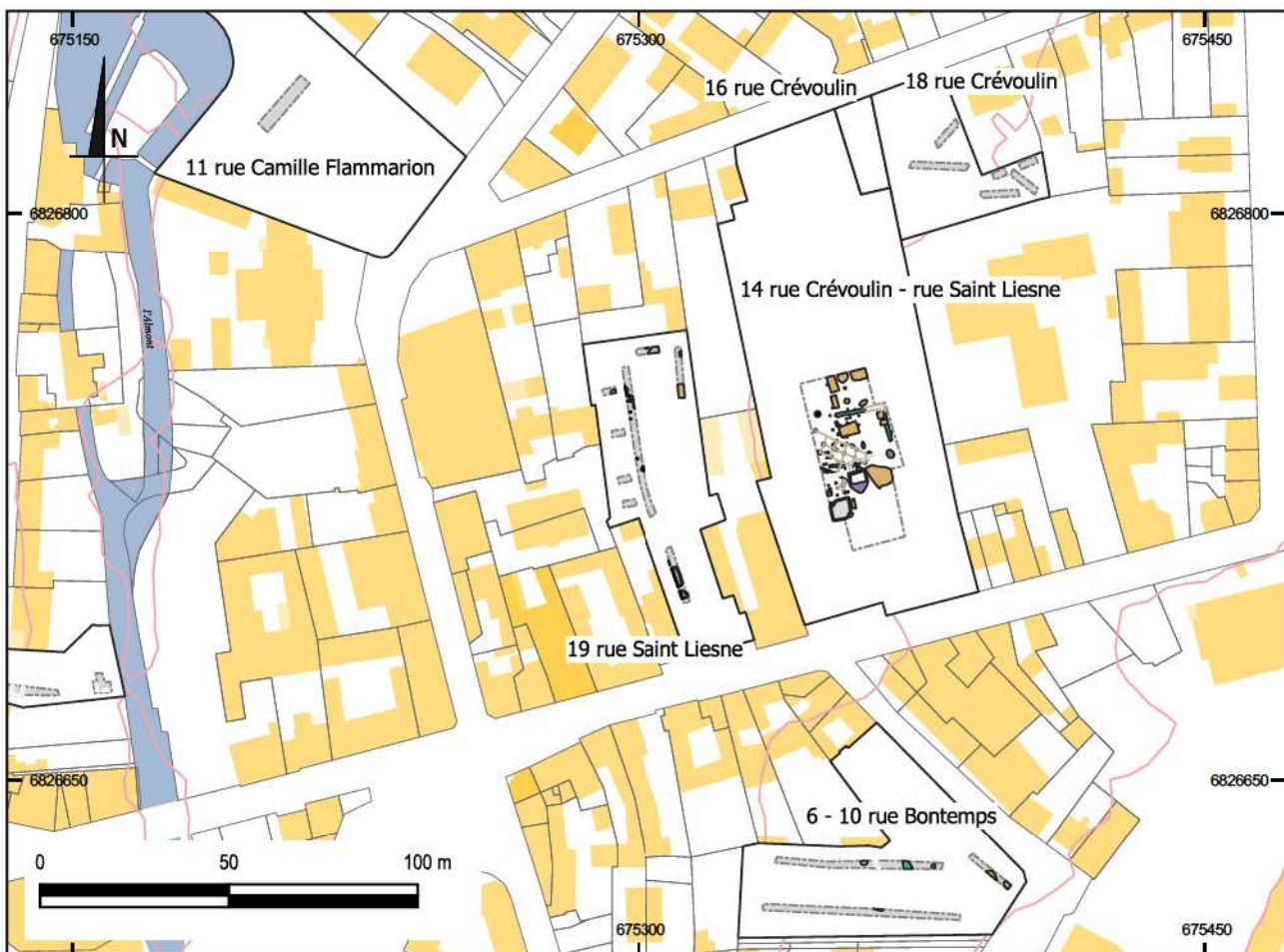


Fig. II-01-02 Melun, 19 rue Saint-Liesne. L'environnement archéologique immédiat du diagnostic de 2019 © Inrap : P. Guinchard-Panseri ; tiré de Guinchard-Panseri 2020, Fig. 2 p. 26

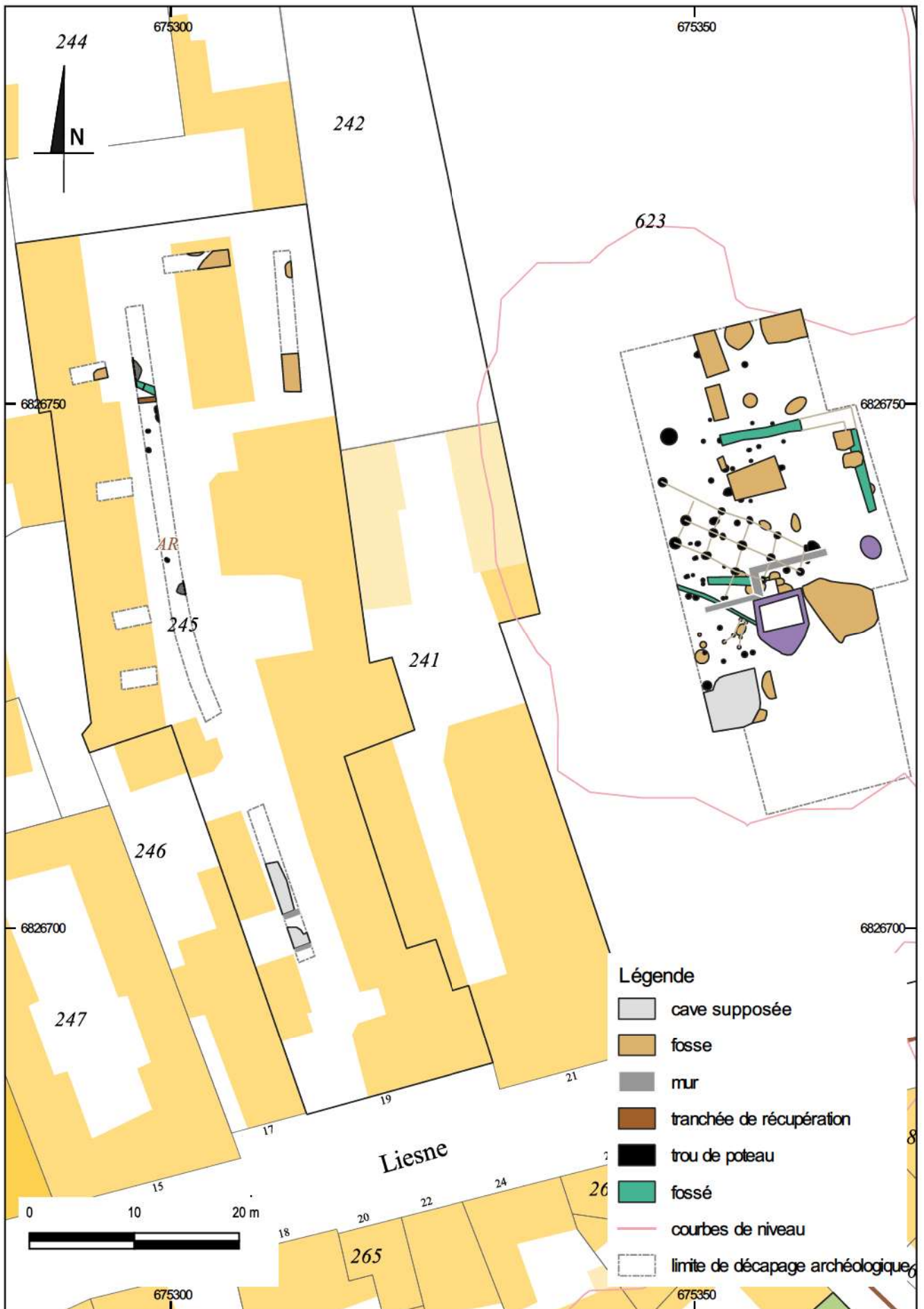


Fig. II-01-03 Fouille du 14 rue Crévoulin de 1994 et diagnostic du 19 rue Saint-Liesne de 2019 © Inrap : P. Guinchart-Panseri ; tiré de Guinchart-Panseri 2020, Fig. 3 p. 27

2.1.2.2 Le faubourg Saint-Liesne, fragments d'Histoire (Nathalie Royer-Perez, Inrap)

[tiré de Guinchard-Panseri 2020, pp. 28-39]

Origines du faubourg Saint-Liesne

[...] Au-delà des fortifications de la ville, sur le coteau Nord-Est, est édifée au XI^e siècle l'église Saint-Liesne, du nom de l'évangéliste du Melunais, et qui donne son nom au nouveau faubourg.

L'église Saint-Liesne succède à une chapelle, placée dans les années 990 sous la juridiction de l'abbaye des Saints-Pères à Melun. L'habitat s'est concentré autour de l'église et de la paroisse. Le faubourg s'étend hors des murs de la ville royale, vers l'Est, depuis les marais de l'Almont et jusqu'à Vaux-le-Pénil.

La seigneurie de Saint-Liesne, appartenant aux moines d'Argenteuil, est bien distincte de Melun jusqu'au milieu du XVI^e siècle.

Elle est acquise le 20 février 1557, par Tristan de Rostaing, baron de Brou, de la Guerche, seigneur de Thieux, de Noisy-let-sec, de Maincy et de Vaux-le-Pénil. Cette seigneurie se voit rattachée à celle de Vaux-le-Pénil. De Rostaing est nommé Gouverneur de la ville de Melun, « au nom du Roi », en raison de sa qualité de « brave soldat ». Il est aussi grand maître des Eaux et Forêts de France et il reçoit le collier de Chevalier du Saint-Esprit le 31 décembre 1582.

Les guerres de Religion

La Réforme fait peu d'adeptes à Melun, le protestantisme n'ayant pas droit de cité dans les villes enceintes, mais aussi parce que Melun appartenait au domaine royal. Pour autant, un pasteur est mentionné au faubourg Saint-Liesne, et plusieurs magistrats semblent avoir fait partie des réformés [...].

La guerre arrive à la fin des années 1580. Melun est assiégée par les troupes du duc de Guise, qui tentent de s'en emparer, avec l'aide des habitants de la paroisse Saint-Aspais, acquis à la Ligue. Le gouverneur de Rostaing, fidèle d'Henri III, défend la ville depuis l'île Saint-Etienne. Le faubourg de Saint-Liesne est dévasté par les ligueurs en 1588, semble-t-il pour se venger de la position du gouverneur.

En 1589, les Ligueurs finissent par faire tomber la ville ; ils font renforcer les fortifications. Début avril 1590, Henri de Navarre soumet la région et met le siège devant Melun, afin d'isoler Paris. Craignant un assaut des troupes royales, Jacques La Grange Le Roy, lieutenant du gouverneur de Melun, fait brûler les faubourgs et détruire les constructions situées en-dehors des fortifications ((Fürstel 2006, p.81).

Après la prise de la ville, Henri IV y séjourne à plusieurs reprises. Il y fait installer un atelier monétaire, vers 1592-1594, et réaliser d'importants travaux sur les fortifications endommagées. La ville est placée sous contrôle étroit des officiers royaux.

Population du faubourg

La population de Melun semble décliner pendant le XVI^e siècle et durant tout le XVII^e siècle, du fait des guerres et des destructions, mais aussi des épidémies. A cette époque la population du faubourg Saint-Liesne est composée de paysans et de vigneron qui exploitent les terres proches de l'église, de manouvriers qui travaillent dans les carrières et aux fours à chaux, à plâtre, aux tuileries ou dans les tanneries des bords de l'Almont (Clayette, Clayette 1980).

En 1578, la ville est touchée par une épidémie de dysenterie et en 1580 par la peste. En 1581 et 1586, la population est confrontée à des épisodes de

famine. La peste refait son apparition en 1624. Les terriers mentionnent plusieurs mesures et places vides, qui indiquent un recul certain de l'habitat. « *Au faubourg Saint-Liesne, Jean Le Febvre de Malassize, conseiller au présidial de Melun, réunit ainsi dans la seconde moitié du XVII^e siècle plusieurs maisons pour en faire son hôtel, et acquiert également 'un grand clos fermé de murailles et composé tant en parterres, arbres fruitiers que pré, contenant au moins quinze arpents', cultivé par un jardinier demeurant dans un corps de logis en pavillon* » (Förstel 2006, p.84).

Après les guerres de religion qui ont provoqué les incendies des faubourgs de la rive Nord, en 1588-1590, ceux-ci retrouvent un aspect très rural. Les plans anciens témoignent de cette contraction de l'habitat. Dans le faubourg Saint-Liesne, seule la rue Saint-Liesne est bâtie. En arrière et autour des maisons s'étirent de grands jardins, prés et vignes.

Dans le document d'archive intitulé « *Etat de toutes les maisons avec leurs dépendances size au faubourg Saint-Liesne lès Melun pour connaitre celle qui sont S(ous) les censives de Madame La Marquise de Lavardin dame dudit Saint-Liesne et Messieurs les religieux de Saint père les melun* » apparaissent de nombreuses mentions de terrains bâtis et désormais inhabités : « *Jardin et vignes [appartenant] à Roze et Gabrielle Taveau rue Saint-Liesne où cy devant estoit bastie une maison au pignon de laquelle sortoit une fontaine* ».

[...]

Transformations urbaines des XVIII^e et XIX^e siècle

Le paysage urbain de Melun se transforme dès les années 1730, lorsque les fortifications commencent à être démantelées.

« *En 1737, l'intendant de Harlay fait exécuter par corvées la destruction de la porte Saint-Jean, encore flanquée de ses deux tours médiévales, et l'aplanissement de l'ouvrage qui la flanque vers l'Est, afin d'aménager une place pour le marché aux 'beurres, fromages, herbages, légumes, gibier, volaille et autres denrées'* » (Förstel 2006, p.91).

Les habitants eux-mêmes utilisent les murs des remparts pour y récupérer des matériaux ou y asseoir leurs habitations. La concession des remparts échoit finalement à la municipalité en 1763. Les portes fortifiées sont détruites, les fossés sont comblés.

Durant la Révolution, le paysage urbain est de nouveau remodelé, avec la désaffectation de plusieurs églises et couvents et, leur démolition. Ces vastes bâtiments sont récupérés par les institutions de la République et sont convertis en hôpital, collège, caserne, etc. Sur les plans de cette période, on remarque que la rue Saint-Liesne a été débaptisée [...] et prend le nom de rue de l'Almont, en référence à la rivière qui la sépare du cœur de ville. Cette précision est d'autant plus importante que dans les états de sections et les matrices cadastrales du XIX^e siècle, elle apparaît sous cette nouvelle appellation².

Les archives municipales de Melun conservent les plans des projets d'alignement de rue : pour le quartier Saint-Ambroise (1848), pour la rue de la Fontaine-la-Reine (1857) et le faubourg Saint-Liesne (1858). Malheureusement, les indications portées sur ceux-ci n'apportent pas beaucoup d'éclairage sur la composition des parcelles. Tout au plus, peut-on y voir apparaître les mentions des propriétaires, mais il est très difficile de faire le lien avec le cadastre, les matrices étant lacunaires [Guinchard-Panserri 2020, Fig. 6 et 7].

Les sources, textuelles et cartographiques, apportent quelques indications sur l'habitat. Les faubourgs de la rive Nord forment une zone de transition entre l'habitat urbain compris dans les fortifications et l'occupation rurale du plateau. Le front de la rue Saint-Liesne est toujours densément bâtie :

2. Conservées aux Archives départementales (AD 77) sous les cotes 4P292/...

soit d'une rangée de petites maisons, soit d'un alignement presque continu de bâtiments. A l'arrière du front de rue, s'étendent de vastes jardins. Les logis sont souvent accompagnés de dépendances à vocation agricole (grange, étable), accolées à la maison ou placées sur la cour à l'arrière [*infra*, chap. 5 : Pl. 069].

Le cadastre napoléonien [et le 19 rue Saint-Liesne au XIX^e siècle]

Les sections du cadastre napoléonien de Melun sont conservées en partie aux archives départementales de Seine-et-Marne et aux archives municipales de Melun. Les matrices cadastrales comportent des hiatus, des révisions et ajouts, qui compliquent la tâche de recherche des propriétaires et propriétés foncières. Certaines informations ont tout de même pu être tirées de ces documents.

[La parcelle actuelle AR 245 du 19 rue Saint-Liesne porte sur le cadastre napoléonien, section B, feuille n°7, les numéros 711 et 712 (bâties) et 716 et 717 (non bâties ; chap. 5 : Pl. 069)]

Le nom de la rue inscrite sur le cadastre et dans les états de section est « rue d'Almont ». Cette dénomination apparue à la Révolution disparaît en 1880, la rue reprend alors son nom d'origine. La numérotation de la rue diffère de celle d'aujourd'hui [24 rue d'Almont au lieu de 19 rue Saint-Liesne].

Les états de section³ des propriétés bâties indiquent le nom des propriétaires et les numéros de folios auxquels se rapporter. La consultation de ces différents documents (table alphabétique des propriétaires⁴, Folio⁵) permet d'en apprendre davantage sur les propriétaires successifs, leurs professions, ainsi que les biens possédés. Le folio de la matrice cadastrale indique d'où sont tirés et où sont portés les articles (biens) vendus ou acquis.

En 1832, le propriétaire des parcelles n°711-712, au 24 rue d'Almont, se prénomme Girault Etienne François. Ses biens sont composés d'un bâtiment, d'une cour et d'une maison.

En 1840, ces parcelles sont acquises par Guillon Edmé Victor, boulanger, jusqu'en 1846 (parcelles 711-712 et 717). Elles sont composées d'un « *bâtiment, d'une cour, d'une maison, d'un sol de maison, d'un jardin marais* ».

Enfin, en 1844, la parcelle 711 (la cour) est achetée par Leroy Charles Théodore, boulanger également. Par la suite, il acquiert : en 1855, le jardin (parc.716) ; en 1861, la parcelle 712 (maison) ; et, en 1864, les marais des parcelles 716 et 717. La famille Leroy reste propriétaire jusqu'à la fin du siècle. Le folio 4P292/6 (AD 77) indique les dates de sortie suivantes : 1882 pour la parcelle 712 (sol, maison, hangar) et 1900 pour la parcelle 711 (bâtiment avec cour).

[...] On peut donc supposer qu'une partie des bâtiments de cet ensemble [faisaient office de] boulangerie. On remarque aussi que la propriété est peu à peu agrandie par l'acquisition des terrains en arrière de la parcelle. Ces « *marais* » sont en réalité des terrains dédiés au maraîchage. Il en existait tout le long de la rivière. La rue des marais, que l'on retrouve sur le cadastre napoléonien, témoigne de la présence de cette activité maraîchère. Ces jardins étaient souvent loués aux exploitants, qui n'en étaient pas forcément propriétaires.

3. AD 77, cote 4P292/4

4. AD 77, cote 4P292/1

5. AD 77, cote 4P292/2

Activités au faubourg Saint-Liesne

Les activités agricoles et artisanales se développent dans le faubourg Saint-Liesne dès la seconde moitié du XVIII^e siècle. Les activités sont concentrées le long de l'Almont. Les lieux de production attestés dans les sources permettent d'établir le paysage des activités existantes dans le secteur :

- Les moulins à farine le long de l'Almont (actuelle rue Camille Flammarion) ;
- La manufacture de toiles peintes Perrenod, créée en 1776-1778, sur les bords de l'Almont (ce qui permettait de laver et étendre les toiles dans les prés avoisinants). Monsieur Perrenod achète l'église Saint-Liesne, vendue comme bien national en 1791, et la transforme pour sa fabrique de toiles ;
- Une filature de coton montée par Jacques Ladislas Joseph de Calonne en 1788, située dans un local près de la place Saint-Jean ;
- Les fours à chaux et à plâtre, appartenant à la veuve Prochasson ;
- Les brasseries : celle de Joram, fondée en 1789 au 8 rue d'Almont, et celle de la Veuve Charles Pascon, reprise en 1824 par Cyriaque Walter ;
- Les tanneries Lebrasseur et Derenusson, situées dans la rue du même nom ;
- Les tuileries-briqueteries : de la rue Saint-Liesne, au n°60 fondée par Limosin en 1780, au n°7 la tuilerie Duvau, au n°35 celle de Nicolas Lhermite (fondée vers 1820) ; et, place Saint-Liesne la tuilerie Cornillot.

Ainsi, « *vers 1820, le faubourg Saint-Liesne s'imposait comme la principale zone de production de la ville* » (Förstel 2009). Pour autant des établissements du même type étaient répartis dans les autres faubourgs de la rive Nord et sur les bords de la Seine, grand axe de circulation des marchandises.

[...]

L'arrivée du chemin de fer en 1849 fait se déplacer cette économie industrielle sur la rive Sud de la Seine. De nombreux établissements s'installent dans ce nouveau secteur de la ville, en pleine transformation urbaine (brasseries, usine de vannerie et rotins, atelier de construction de machines agricoles). Si un mouvement de translation se fait pour les grandes unités industrielles du Nord vers le Sud, les activités artisanales perdurent dans le faubourg Saint-Liesne, [conservant] cette particularité d'imbrication de l'artisanat dans l'habitat ».

2.1.3 Contexte géographique et géologique

« La ville de Melun se situe à une quarantaine de kilomètres au Sud-Est de Paris, dans un méandre de la Seine, entre Brie et Gâtinais (*supra*, Fig. I-06-01).

La cité est divisée en trois parties :

- La rive droite [au Nord], concave, qui voit confluer avec la Seine [un petit cours d'eau], l'Almont, qui [...] monte à l'assaut du plateau de Brie [Fig. II-01-04]. A l'Ouest ce sont les quartiers Saint-Aspais et Saint-Barthélemy, à l'Est, le quartier Saint-Liesne,
- L'île Saint-Étienne, où un affleurement rocheux [forme un gué].
- La rive gauche [au Sud], convexe, correspond à la plaine de la Varenne, qui monte doucement vers la forêt de Fontainebleau » (tiré de Guinchard-Panseri 2020, p. 42).

A une altitude actuelle d'environ 43,5 m NGF, le 19 rue Saint-Liesne est sis à la base du versant oriental de la vallée de l'Almont, à un demi kilomètre au NNE de sa rencontre avec la Seine (Fig. II-01-04).

Selon la carte géologique, il se situe au niveau des formations quaternaires de Basse terrasse (graves, sables et limons), recouvrant le (très ancien) calcaire de Champigny, entaillé par la rivière (*Carte géologique* 1974).



Fig. II-01-04 Melun, 19 rue Saint-Liesne. Contexte géologique (extrait à 1/25 000 de la CARTE GÉOLOGIQUE À 1/50 000 feuille n°XXIV-16 MELUN © BRGM)

2.1.4 Moyens et méthodes mis en œuvre

Répartie sur 13 semaines, du 20 septembre au 17 décembre 2021, la fouille effective du 19 rue Saint-Liesne a nécessité, hors préparation et démobilisation, 17 jours de pelle mécanique 15 t, 38 jours de pelle 8 t et 260 jours / homme, mobilisant une dizaine d'archéologues au total (de terrain, topographes, spécialistes... *Supra*, chap. 1.3).

Sur les 1870 m² prescrits (parcelle AR 245), 1280 m² ont été décapés au moins jusqu'aux niveaux modernes, et 1175 m² fouillés jusqu'aux horizons pléistocènes (antérieurs à 10 000 ans avant J.-C.).

Suite à la démolition des bâtiments contemporains en août 2021, l'absence de blindage et la présence de murs mitoyens, plus ou moins stables, a contraint au maintien de bandes de sécurité et à un décapage en paliers sur tout le pourtour de la parcelle (Fig. II-01-05 ; chap. 5 : Pl. 001 à Pl. 004 ; hors texte : Plan Joint 01).

Les unités (Us) et horizons (Hz / HZ)⁶ stratigraphiques ont été décrits et numérotés selon la méthodologie en vigueur (Harris 1989 ; Baize, Jabiol 1995 ; Py 1997). Chaque entité possède un code numérique composé par le n° de zone suivi des trois chiffres séquentiels : 1 001 = zone 1 (parcelle AR 245), occurrence n°001.

Afin de limiter la multiplication des numéros, chaque fait en creux a été enregistré en tant qu'Us composite : creusement-s + comblements. Par commodité de lecture, les Us/Hz composant un fait sont notés en tant que subdivisions numériques ou alphabétiques (par ex., première Us du fait 1001 = 10011, 1001-A ou 1001a...). À chaque catégorie de fait correspond un code de deux lettres précédant le numéro (par. ex. : fosse 1001 = FS1001). Selon la même méthode, les ensembles / structures⁷ (regroupements de faits ou de segments de faits) possèdent un code à trois lettres (par ex. : fossé 1148 + fossé 1248 = SFO8114⁸).

319 horizons et faits stratigraphiques ont été identifiés (Fig. II-01-06 ; *infra*, chap. 4.2.1), s'échelonnant principalement depuis la période gauloise, ou le début de la période romaine, jusqu'à la période actuelle (*supra*, chap. 1.5 ; *infra*, chap. 3.8).

3650 photographies numériques ont été enregistrées (*infra*, chap. 4.6.3.1).

14 modèles 3D ont été réalisés (*infra*, chap. 4.6.4.3).

8 plans de détail A4 (chap. 5 : Pl. 005 à Pl. 012) et 1 hors volume A0 (hors texte : Plan Joint 01) permettent la localisation précise des faits, coupes et sondages. Les données stratigraphiques sont décrites en détail dans l'inventaire des Us / Hz (*infra*, chap. 4.1).

Les principaux profils sédimentaires (coupes stratigraphiques de référence) sont présentés dans 44 planches A4 (chap. 5 : Pl. 013 à Pl. 060).

En incluant le mobilier du diagnostic de 2019, environ 1400 tessons (34,5 kg), plus de 3900 fragments de faune (50 kg), près de 500 kg de tuiles gallo-romaines (etc.), ont été collectés (chap. 4.4).

6. Unité stratigraphique archéologique : comblement / creusement ; Horizon sédimentaire : changement de couleur et/ou de texture (etc.), pouvant résulter d'une altération ne correspondant pas forcément à des dépôts différenciés...

7. Selon la nomenclature stratigraphique (Harris 1989 ; Py 1997), une structure est un ensemble de faits.

8. SFO : système fossoyé.



Fig. II-01-05 Melun, 19 rue Saint-Liesne. Exemples de bâti mitoyen instable et environnement urbain © Inrap : L. Daguzon, G. Desrayaud, P. Raymond

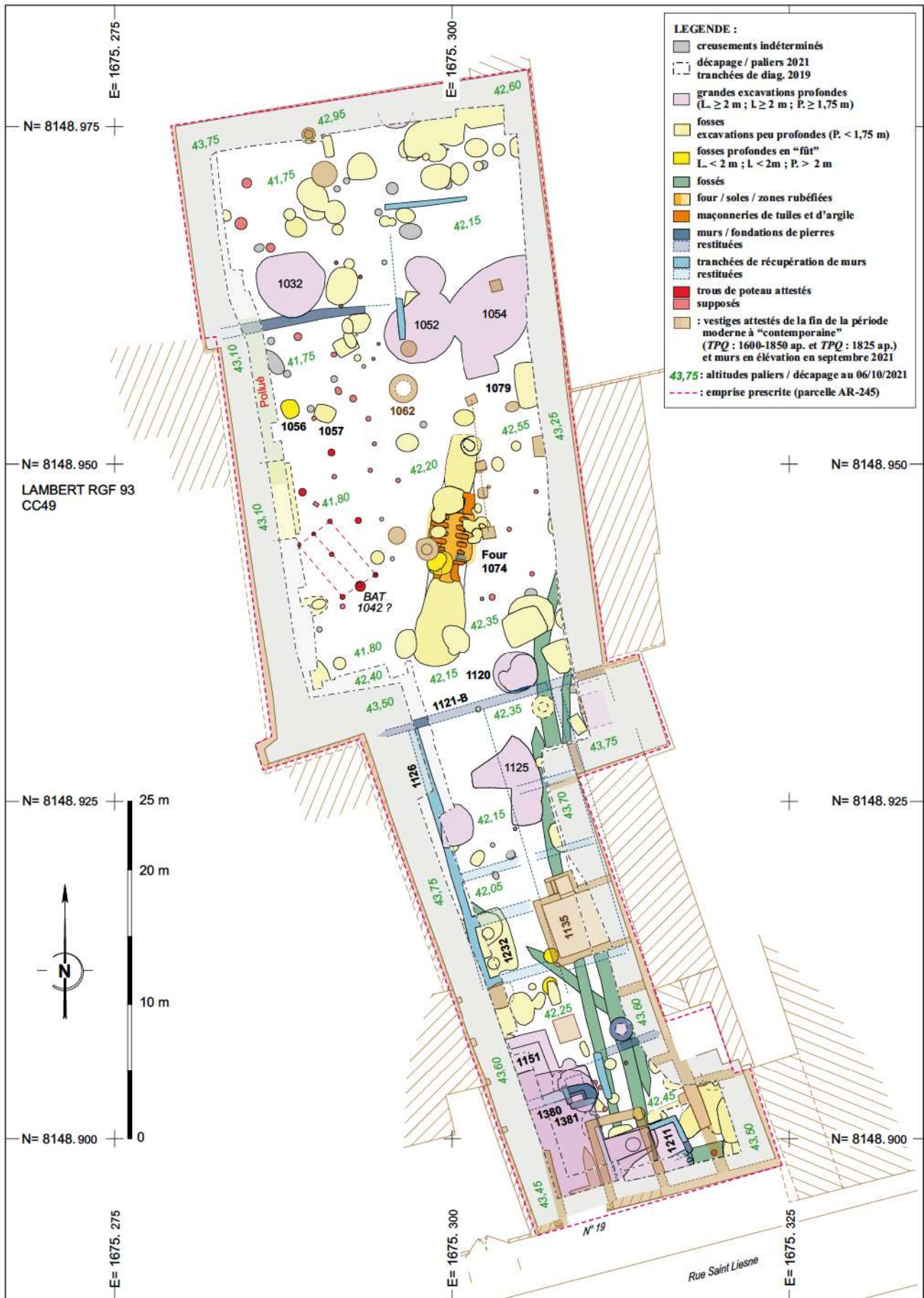


Fig. II-01-06 Melun, 19 rue Saint-Liesne, fouille 2021, plan général des faits stratigraphiques par type © Inrap : G. Desrayaud, R. Touquet, M. Ferrari

7 études spécialisées ont été réalisées (**chap. 3.1 à 3.7**) :

- C14 (Laboratoire *BetaAnalytic*)
- Archéomagnétisme (Nicolas Warmé, Inrap)
- Terres cuites architecturales gallo-romaines (Guillaume Chamarre, Inrap)
- Céramique gallo-romaine (Véronique Pissot, Inrap).
- Céramique médiévale fin V^e-XII^e s. (Annie Lefèvre, Inrap).
- Céramique bas Moyen Âge à moderne (Caroline Claude, Inrap).
- Faune (Céline Le Goff-Benzaidi, Inrap)

A partir des résultats proposés par les spécialistes, des relations stratigraphiques observées, et, dans une moindre mesure, des plans anciens disponibles, une liste de datations estimées (principalement en *Terminus Post Quem*⁹) a été établie (**chap. 3.8**).

11 plans A4 de de phasage sont proposés (**chap. 5 : Pl. 061 à Pl. 071**).

Hors coupes stratigraphiques de référence, les principaux faits sont présentés «par ordre chronologique» dans 61 planches illustrées de format A4 (**chap. 5 : Pl. 072 à Pl. 132**).

9. *Terminus Post Quem* : date ou intervalle pendant ou après laquelle / lequel.

2.2. Séquence sédimentaire et occupations archéologiques

2.2.1 Séquence sédimentaire générale

-II (horizons pléistocènes) : Le sommet des strates sédimentaires antérieures au Sol Brun holocène (I, ci-dessous)¹⁰ a été observé sur l'ensemble du décapage, à partir de 41,50 m (**chap. 5 : Pl. 040**) à 42,50 m NGF (**chap. 5 : Pl. 049 et 050**). Ces niveaux se caractérisent par une alternance de couches limono-argileuses lœssiques¹¹ (majoritaires) et sableuses ou caillouteuses, semblant traduire une alternance de dépôts éoliens plus ou moins remaniés, de colluvions et d'alluvions (**Fig. II-02-01**)¹². Ils ont été ponctuellement sondés jusqu'aux environs des 39,50 m NGF¹³, sans que le socle calcaire ne soit atteint.

Ils n'ont pas livré d'artefact.

-I (Sol Brun holocène) : Cet horizon brun orangé caractéristique, évolué sur le substrat limono-argileux / lœssique (Baize, Jabiol 1995), marque l'avènement d'un climat tempéré et le développement d'une végétation de feuillus entre 10 000 et 5 000 av. J.-C.

Il est présent sur l'ensemble de la parcelle et son épaisseur maximum conservée est inférieure au demi-mètre.

Il n'a pas livré de mobilier.

-Horizon 1325¹⁴ : Au SSO de l'emprise, au moins trois niveaux colluvionnés de limons argileux et de petites pierres entaillent et / ou recouvrent le Sol brun holocène (**chap. 5 : Pl. 026 et 027**). Ils sont conservés sur moins d'1 mètre d'épaisseur maximum. Ils ont livré 3 tessons de céramique modelée (20 g) et sont antérieurs au fossé gaulois à gallo-romain précoce 1247 / 1295 (*infra*).

-Horizon 1294¹⁵ : Sur l'ensemble du décapage, sauf dans l'angle Nord-Est, l'horizon limono-argileux à caillouteux 1294, de 0,2 m à 0,4 m d'épaisseur, recouvre le Sol Brun holocène et l'horizon 1325. Il semble correspondre à une phase de colluvions (naturelle), mais une origine anthropique n'est pas à écarter.

Sa relation avec le fossé gaulois à gallo-romain précoce 1247 / 1295 n'a pas pu être déterminée. Il est antérieur aux vestiges du Haut-Empire romain. Il a livré 2 pièces lithiques, en contexte secondaire, attribuables au Paléolithique supérieur (1225, 1226), ainsi qu'un éclat de taille (1275, peut être néolithique ? Com. pers. Frédéric Blaser, Inrap).

10. I (Sol Brun holocène) et II (horizons pléistocènes), voir **chap. 5 : Pl. 013 à 060**

11. Lœss : voir Antoine 2002.

12. Horizons pléistocènes stratifiés, voir également **chap. 5 : Pl. 088, 091, 092, 124**

13. Coupe de la FS1505 (**chap. 4.1**) et de l'excavation 1239 (**chap. 5 : Pl. 043**).

14. HZ1325, voir **chap. 5 : Pl. 024, 026, 027, 028, 030, 032, 033, 034, 104, 106, 124**

15. HZ1294, voir **chap. 5 : Pl. 024, 026, 027, 028, 030, 031, 032, 033, 034, 035, 036, 037, 038, 039, 040, 046, 047, 048, 050, 051, 081, 087, 099, 104, 106**

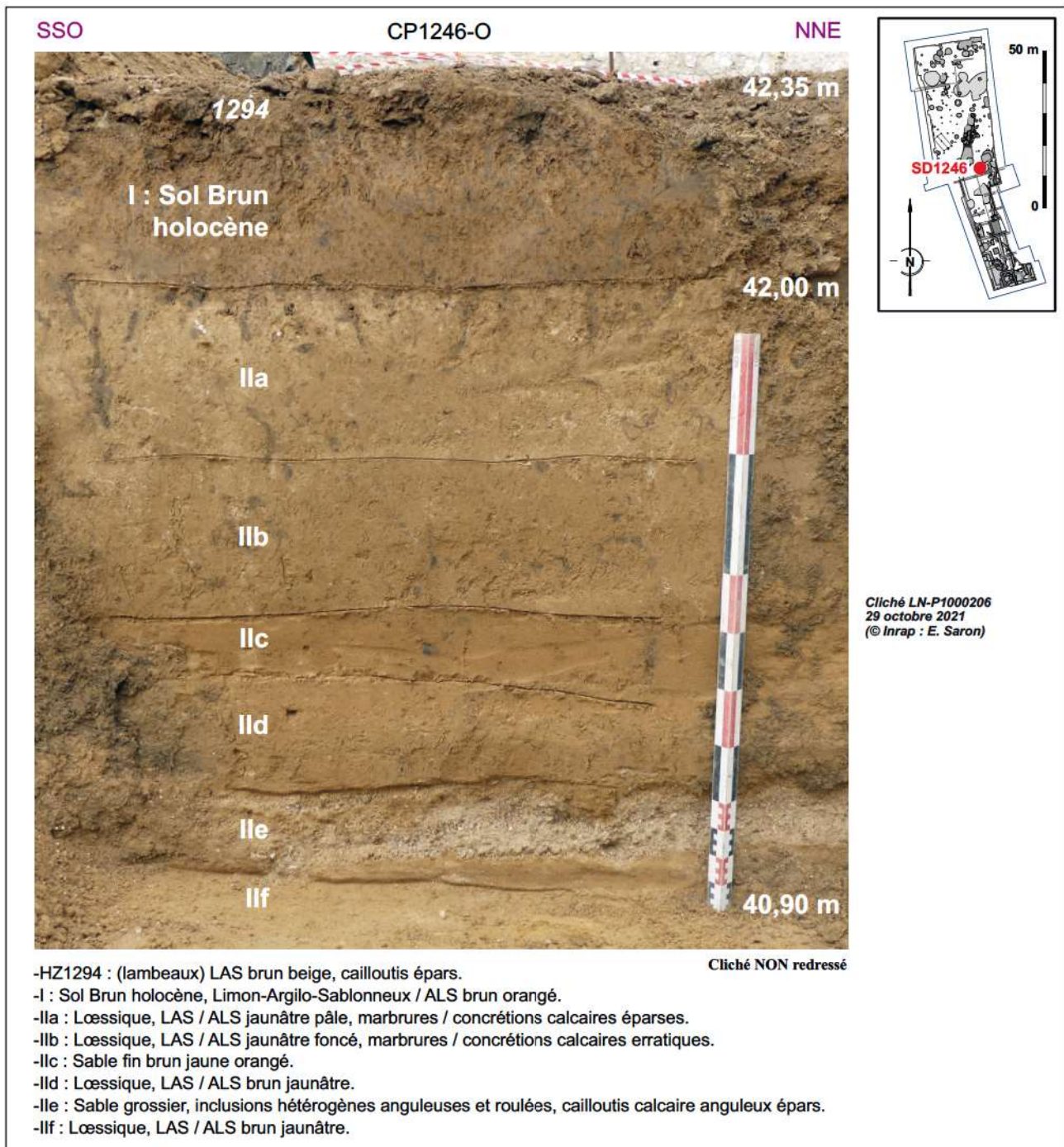


Fig. II-02-01 Melun, 19 rue Saint-Liesne. SD1246, coupe Ouest. Sol Brun holocène (I) et horizons pléistocènes (II) © Inrap : E. Saron, G. Desrayaud

-Horizon 1278¹⁶ («terre végétale») : Dans les deux tiers Sud de l'emprise, l'horizon limono-argileux gris brun sombre 1278, de 0,4 m d'épaisseur maximum, correspond à un niveau ancien de terre «humique / végétale» (Fig. II-02-02). Aucune trace de labours n'a été observée dans le niveau sous-jacent (1294). Il tronque la partie supérieure des vestiges gallo-romains et recouvre les fosses mérovingiennes précoces 1056 et 1057 (*infra*). Il semble être recoupé par le probable silo XI^e-XII^e s. n°1180. Il est scellé par l'HZ1259 = 1407.

-Horizon 1259 = 1407¹⁷ («terre végétale») : L'horizon 1259 = 1407 recouvre et est similaire à 1278, mais légèrement moins foncé. Leur séparation stratigraphique est bien marquée, dans la coupe 1285, par le niveau de sole ou de fragments de sole 1423 (chap. 5 : Pl. 056). Il est antérieur au «bassin profond» 1381 (construction TAQ¹⁸ : XIV^e s.) et est scellé par le niveau de remblais 1292 (TPQ : XV^e s.).

-Horizon de remblais 1292²⁰ : Sur l'horizon 1259 = 1407, dans la moitié méridionale du décapage, le niveau de remblais plus ou moins hétérogènes (voir chap. 4.1) RB1292 possède une épaisseur maximum conservée de 0,4 m. Au Nord du décapage, il est probablement équivalent au remblai 1420 (chap. 5 : Pl. 036 et 037). Au Sud, il est postérieur au remblai 1419²¹ (peut-être lié à la construction du «bassin profond» 1381) et antérieur à la «cave» 1151, ainsi qu'à l'excavation 1232, attribuée au XV^e s. (chap. 5 : Pl. 024 à 031). Il est recoupé par les fondations et scellé par le niveau de récupération / abandon (RB1416²²) du grand bâtiment moderne BAT1126 (chap. 5 : Pl. 066).

-Horizon 1409¹⁹ («terre végétale») : Dans l'angle NO de la parcelle, l'horizon 1409, de 0,35 m d'épaisseur maximum, est similaire et au moins en partie équivalent à 1278 et/ou 1259 = 1407 (chap. 5 : Pl. 038, .39). Il recouvre l'horizon 1294, cependant, sa relation avec les remblais 1292 est inconnue. Il est scellé par l'HZ1408 (TPQ : XVII^e s.).

<=> RB1420 ?

16. HZ1278 (=1197), voir chap. 5 : Pl. 030, 031, 032, 033, 034, 035, 036, 037, 038, 050, 051, 052, 053, 054, 055, 056, 057, 058, 082, 084, 085, 086, 099

17. HZ1259 = 1407, voir chap. 5 : Pl. 030, 031, 032, 034, 035, 037, 038, 046, 047, 048, 050, 051, 052, 053, 054, 055, 056, 057, 081, 082, 084, 086, 099

18. *Terminus Ante Quem* : date ou intervalle pendant ou avant laquelle / lequel.

19. HZ1259 = 1407, voir chap. 5 : Pl. 039, 040, 041, 042, 086, 087

20. RB1292, voir chap. 5 : Pl. 026, 027, 028, 029, 030, 031, 050, 051, 052, 053, 081

21. RB1419, voir chap. 5 : Pl. 006, 024, 025, 026, 027, 065

22. RB1416, voir chap. 5 : Pl. 028, 029, 030, 031

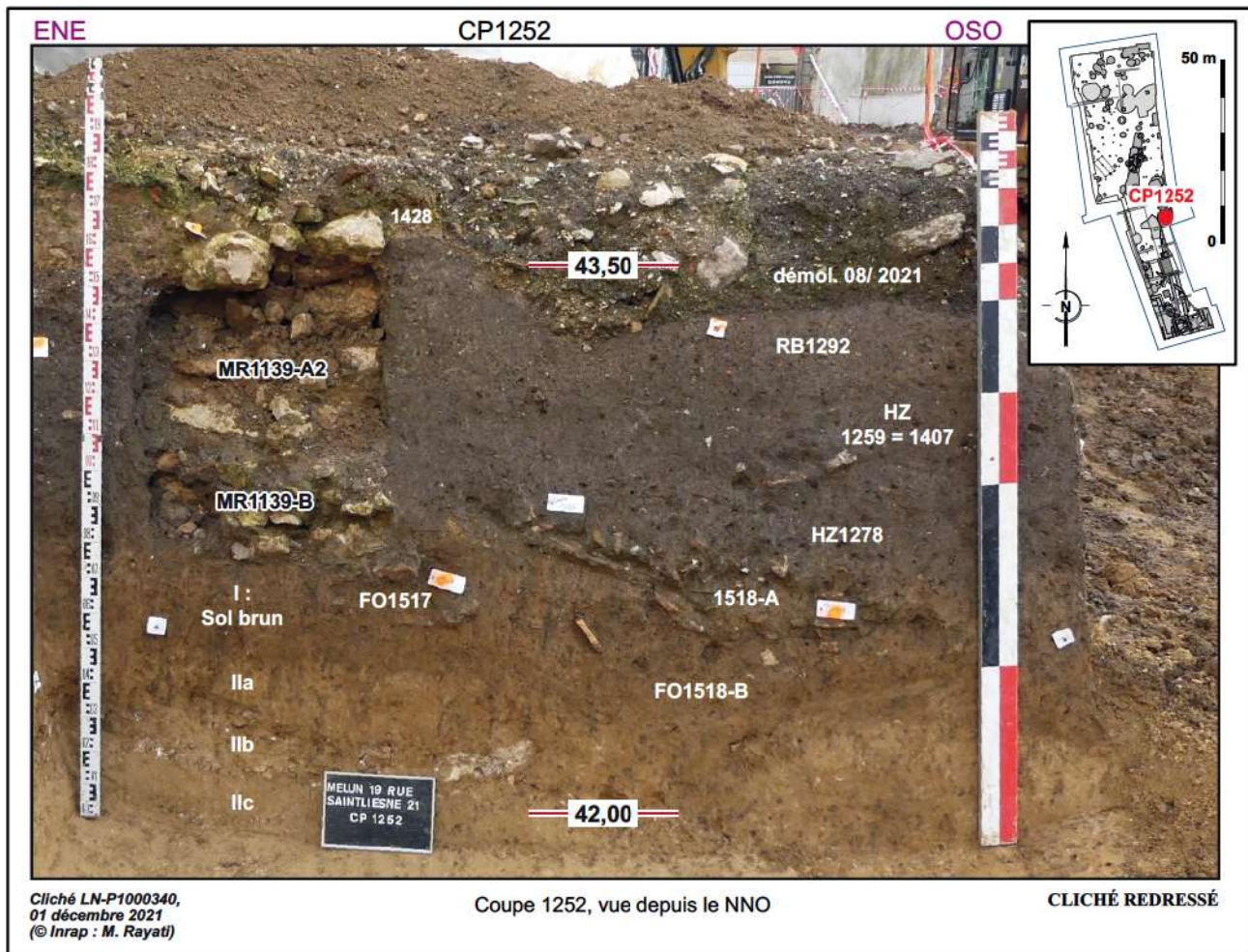


Fig. II-02-02 Melun, 19 rue Saint-Liesne. Coupe 1252, exemple de stratification pléistocène à actuelle © Inrap : G. Desrayaud, M. Rayati

-Horizon 1415²³ (remblai de «terre végétale») : Dans la partie méridionale de la parcelle (au Sud du mur 1121-B), la couche de LAS gris brun sombre 1415 présente une épaisseur maximum conservée inférieure à 0,5 m. Elle est équivalente à 1422 (chap. 5 : Pl. 056 à 058).

Cet horizon recouvre (dépôt) les remblais de récupération du BAT1126, les comblements des excavations 1125 et 1127 (TPQ : 1575-1700 ap. J.-C.) et les remblais d'abandon des caves 1267 et 1380 (Us 1526 ; TPQ : 1600-1700 ap. J.-C. ; chap. 5 : Pl. 020 à 025).

Au Sud, il est recoupé par les niveaux de construction des bâtiments de la fin de la période moderne, figurés sur le cadastre de 1826 (intervalle 1600-1825 ap. J.-C. ; chap. 5 : Pl. 068).

Au Nord, il est recoupé par les niveaux de construction des bâtiments postérieurs à 1825 ap. J.-C. (chap. 5 : Pl. 070).

-Horizon 1408²⁴ («terre végétale» / labours ?) : Dans la partie septentrionale de la parcelle (au Nord du mur 1121-B), la couche de LAS gris brun sombre 1408 est similaire et au moins en partie équivalente à l'HZ1415. Elle présente une épaisseur maximum conservée inférieure à 0,6 m.

Cet horizon scelle et/ou recoupe (labours ?) les comblements des fosses TPQ 1600-1700 ap. J.-C. (chap. 5 : Pl. 068), notamment de la fosse 1243 (TPQ 1650-1700 ap. J.-C. ; chap. 5 : Pl. 044).

Il est scellé par les remblais de construction postérieurs à 1825 ap. J.-C. (1436 / 1437, 1442, 1444 / 1445) et, au Nord-Est, par l'horizon de terre à jardin contemporain à actuel n° 1410 (chap. 5 : Pl. 036 à 049).

23. HZ1415, voir chap. 5 : Pl. 018, 019, 020, 021, 022, 023, 024, 025, 026, 027, 028, 029, 030, 031, 032, 033, 081

24. HZ1408, voir chap. 5 : Pl. 036, 037, 038, 039, 040, 041, 042, 044, 045, 046, 047, 081, 082, 084, 085, 086, 087, 099, 127, 128

2.2.2 Fossé gallois à gallo-romain précoce 1247

Au Sud du décapage le système fossoyé SFO1247²⁵, orienté NO / SE, a été suivi sur un peu plus de 14 mètres (**chap. 5 : Pl. 061 et 072**). Sa relation avec l'horizon holocène 1294 est incertaine (*supra*) et il est recoupé par les fossés gallo-romains du Haut-Empire 1148, 1179 et 1186 (**Fig. II-02-03**).

Au Sud-Est, il a livré le crâne et les mandibules d'un jeune cheval, associés à deux fragments d'os coxal et de fémur (C. Le Goff, *infra* : **chap. 3.7.7**)

Deux datations C14 ont été réalisées sur un morceau d'occipital et de branche de la mandibule droite (*Beta Analytic, infra* : **chap. 3.1**). Elles ont livré le même intervalle calibré à 95,4 % : -175 cal avant / +8 cal après J.-C. La nature de ce dépôt, détritique ou plus «spirituelle», demeure inconnue.

2.2.3 Haut-Empire romain : four de tuilier, fossés et fosses

(**Fig. II-02-03**)

2.2.3.1 Four de tuilier gallo-romain, I^{er}-milieu II^e s. (Guillaume Chamarre, Inrap)

2.2.3.1.1 Descriptif général et comparaisons

L'unité de cuisson FOU1074 correspond à un four de plan quadrangulaire (d'environ 3,3 m par 3,4 m) et fosses de travail, d'orientation NNE / SSO (**chap. 5 : Pl. 073 à 094**). Ne subsistent de cette unité de cuisson que les soubassements : les massifs des alandiers, respectivement au Nord (Phase A) puis au Sud (Phase B), les parois internes aux deux extrémités de la chambre de chauffe, les murets de soutènement de part et d'autre d'un couloir central, ainsi que la fosse d'aménagement de la chambre de chauffe (**Fig. II-02-04 ; Fig. II-02-05**).

Sa particularité tient à l'aménagement de la chambre de chauffe en fosse à même le substrat, et par l'absence de murs latéraux maçonnés²⁶. Ce principe correspond au type IIE' du classement proposé par Françoise Le Ny (Le Ny 1988, p. 41).

Ce type est documenté sur l'ensemble du territoire de la Gaule. Ces occurrences apparaissent dès la première moitié du I^{er} siècle ap. J.-C. et jusque tardivement, durant la première moitié du IV^e siècle :

- Four à Ungersheim (Haut-Rhin) : daté entre 1 et 100 de notre ère (Lefranc, Boës, Cicutta 2008), à l'exception du couloir central installé au-dessus d'un remblai de cailloux, assurant le drainage de la structure.

- Four à Saint-Maurice-de-Ventalon (La Croix de Berthel, Lozère) : daté entre 40 et 70 de notre ère (Dardaigne 1985, pp. 21-24 ; Dardaigne, Waton 1986, pp. 337-350 ; Le Ny 1988, pp. 64-65 ; pp. 86-87).

- Four à Saintes (Le Champ Cloux, Charente-Maritime) : daté entre 80 et 130 de notre ère (Le Ny 1988, pp. 64-65 ; pp. 93-94).

25. SFO1247 = 1247 + 1295, voir **chap. 5 : Pl. 006, 008, 030, 057, 061, 072, 124**

26. Par exemple, à Mours, dans le Val d'Oise, le four n°2572, daté de la 1^{ère} moitié du I^{er} siècle ap. J.-C., possédait des parois aménagées de briques crues et de maçonneries de tuiles (Alligri, Raymond 2015 ; Mondoloni 2015).

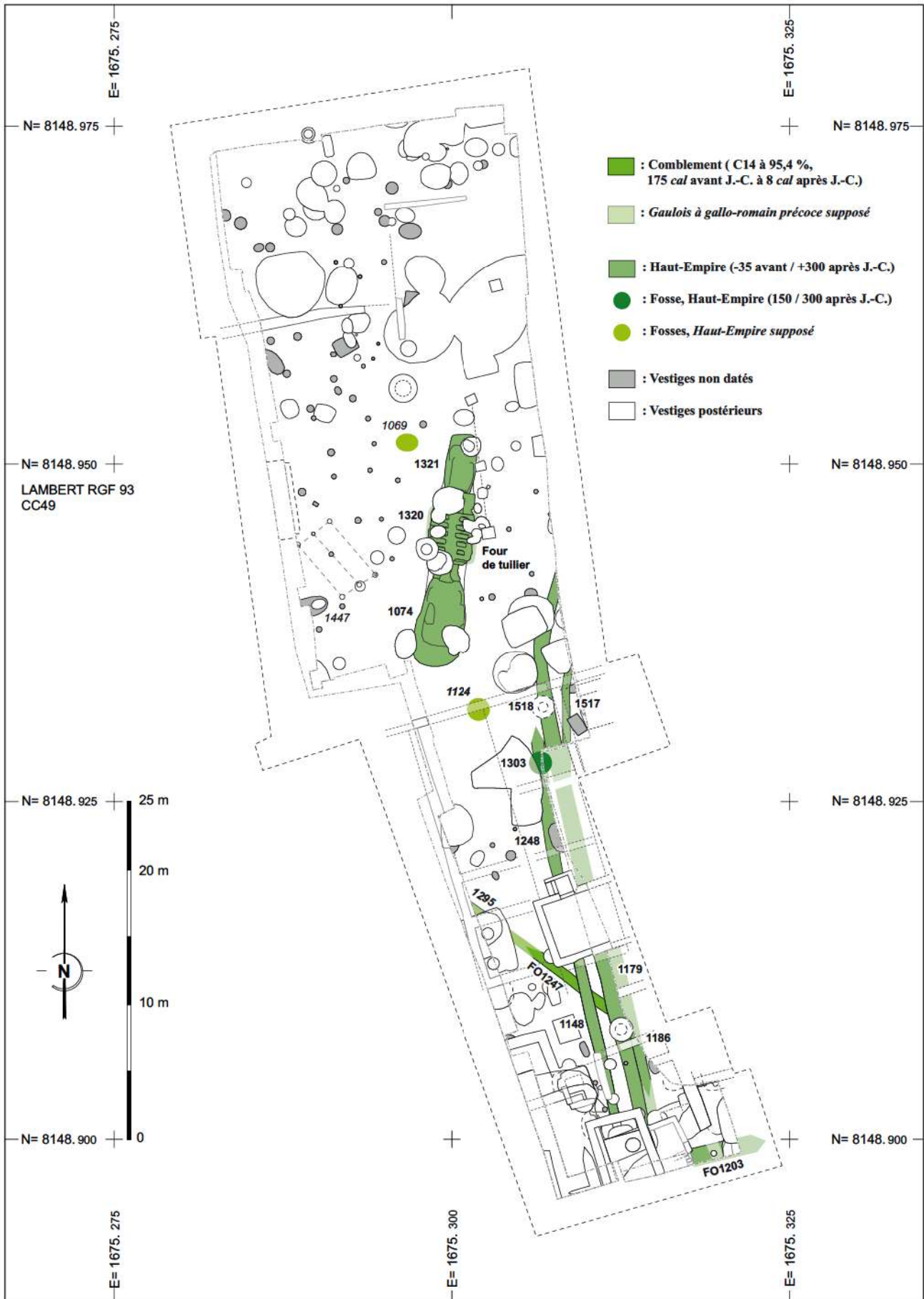


Fig. II-02-03 Melun, 19 rue Saint-Liesne. Proposition de phasage en plan pour la période antique, intervalle 175 avant - 300 après J.-C. © Inrap : G. Desrayaud

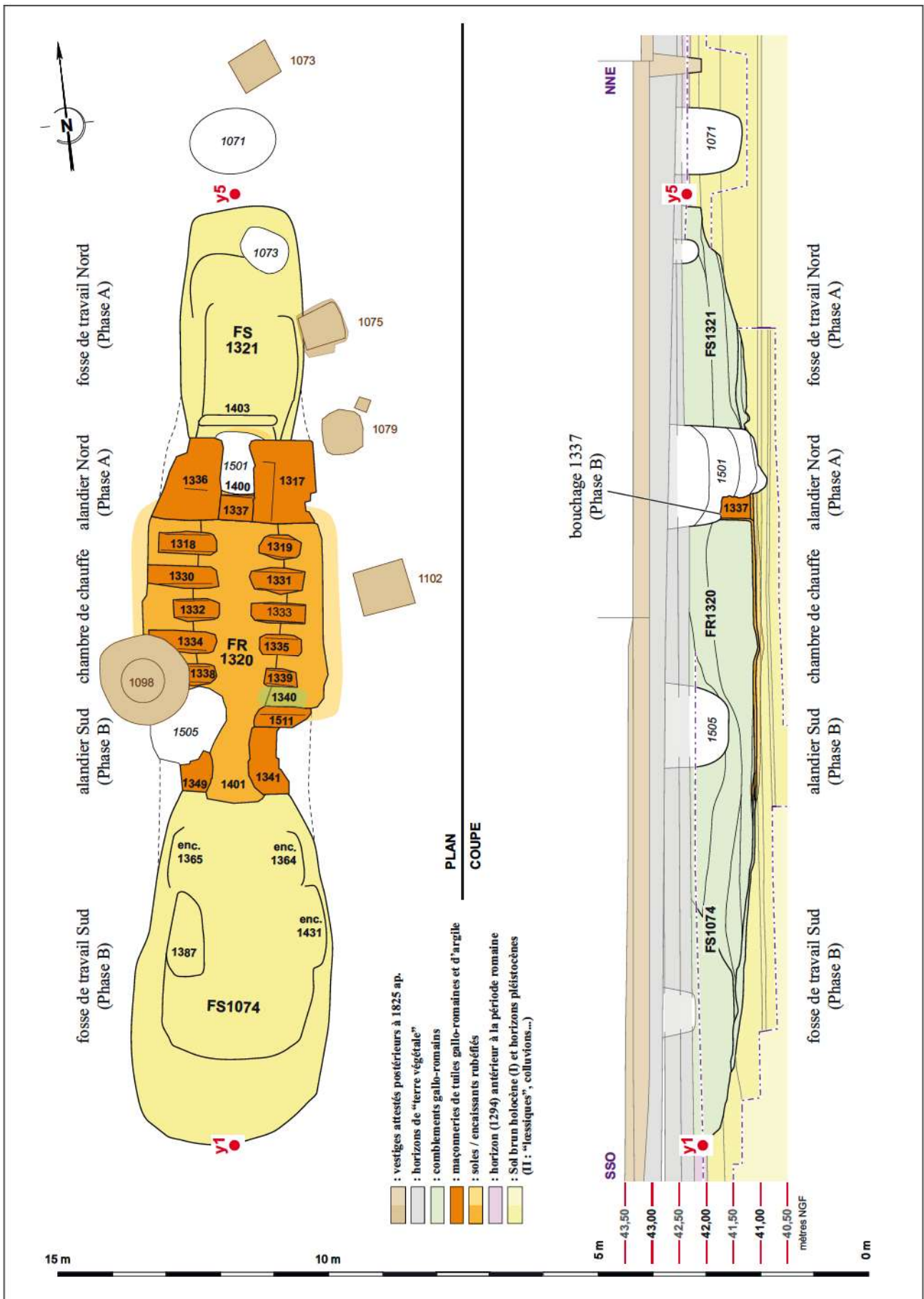


Fig. II-02-04 Melun, 19 rue Saint-Liesne. Plan et coupe longitudinale SSO / NNE du four de tuilier 1074 © Inrap : G. Desrayaud



A : Four de tuilier 1074 en cours de fouille, le 19 novembre 2021, vue depuis le Nord.
Au premier plan, sondage manuel dans les remblais d'abandon de la fosse 1321

Cliché LO-P1000268
(© Inrap : G. Desrayaud)



Cliché PR-DJI_0187_C
(© Inrap : P. Raymond)

B : Vue aérienne du four de tuilier 1074 en cours de fouille,
le 25 novembre 2021, depuis l'Est

- Four à Arcine (Bange, Haute-Savoie) : daté entre 80 et 300 de notre ère (Broise, Dufournet 1976, pp. 21-28 ; Le Ny 1988, pp. 64-65 ; p. 96).
- Four à Montans (Guillemot, Tarn) : daté entre 90 et 130 de notre ère (Le Ny 1988, pp. 64-65 ; pp. 91-92).
- Four F1A aux Clouzeaux (La Grosse Pierre, Vendée) : daté entre 90 et 255 de notre ère (Séris 2013, p. 54).
- Four à Mackwiller (Bas-Rhin) : daté entre 120 et 160 de notre ère (Hatt 1967, p. 75-85 ; Le Ny 1988, pp. 64-65 ; p. 77).
- Fours n°3 et 4 à Touffréville (Calvados) : datés entre 150 et 225 de notre ère (Coulthard 1999 ; Charlier 2011, p. 439)
- Four n°2 à Meudon (Hauts-de-Seine) : daté entre 175 et 300 de notre ère (Barat 2002, pp. 230-263). Seul le mur central du fond est maçonné (Charlier 2011, p. 446)
- Four à Montereau (Terre aux Moines, Seine-et-Marne) : daté entre 290 et 330 de notre ère (Fleury 1981, p. 292 ; Bourgeau 1984, pp. 176-181 ; Le Ny 1988, p.83).

2.2.3.1.2 Four 1074 : la chambre de chauffe

La fosse d'implantation

La chambre de chauffe (FR1320) est aménagée dans le creusement d'une fosse quadrangulaire. Le fond du creusement est plat et régulier. Le profil des parois latérales, creusées à-même le substrat, présente une inclinaison en partie supérieure et une rupture de pente irrégulière à l'approche du fond (**chap. 5 : Pl. 088, 091, 092**). Sur la base d'une classification des conduits de chaleur transversaux (Le Ny 1988, p. 55 ; Charlier 2011 p. 444), il apparaît qu'une inclinaison des parois permet de réduire le volume de la chambre et d'astreindre le trajet des flux d'air chaud, de l'alandier à la sole, au strict nécessaire. La préparation des parois de la fosse a pu nécessiter l'applique d'un badigeon d'argile.

Le fond de creusement de la chambre de chauffe est au même niveau altimétrique que le fond des aires de service Nord (FS1321) et Sud (FS1074 ; **chap. 5 : Pl. 079 et 080**), en accord avec la plupart des aménagements de ce type (Charlier 2011 p. 429). Aucun dispositif de rehaussement de l'alandier n'est observé.

La partie en sous-sol de l'unité de cuisson est propice aux infiltrations d'eau de ruissellement, nuisibles au bon fonctionnement du four. L'implantation d'une canalisation, au fond de la chambre de chauffe, ou de fosses de vidanges, au fond des aires de travail, peut répondre à ces contraintes. Ce moyen de drainage, fréquent pour les fours enterrés, est communément aménagé dans le sens de la longueur (Charlier 2011, p. 478).

Les coupes transversales, effectuées au travers du fond et des parois de la chambre de chauffe, ne révèlent cependant pas de système de canalisation. De-même, le fond des aires de travail est dépourvu de surcreusements à proximité des gueules d'enfournement.

Les murets de soutènements

La chambre de chauffe est munie de cinq rangées de murets de soutènement transversaux, répartis de part et d'autre d'un couloir central de distribution d'air chaud. Ces murets étaient certainement reliés au-dessus du couloir par des arcs, dont le profil complet a disparu. En vue verticale, les murets de l'alandier Nord (1336 et 1337) décrivent un resserrement à l'oblique net, sensiblement identique à celui décrit par les murets de soutènement. Le profil complet du couloir central reste indéterminé en l'état. Un profil en encorbellement (en ogive ou triangulaire) ou en claveau (en plein cintre ou surbaissé) peut être supposé (Charlier 2011, p. 451).

Ces murets devaient initialement supporter une sole de séparation avec le laboratoire. Ce dispositif de soutènement, à couloir central et rangées de murets latéraux, apparaît comme étant le mieux représenté en Gaule (Charlier 2011, p. 450).

Les maçonneries de soutènement sont réalisées en tegulae, qui déterminent la largeur des murets. Les modules sont souvent complets et les rebords intacts. L'intégrité des matériaux de construction employés suggère l'approvisionnement d'un lot de tuiles neuves, prévues à cet effet, et non pas de matériaux de récupération (Charlier 2011, pp. 620-621). La liaison des modules est assurée par un liant argileux mêlé à un dégraissant végétal et divers fragments de tuiles.

Un enduit argileux a été appliqué comme recouvrement. Il devait certainement assurer la relative préservation des maçonneries de la chaleur du foyer (Charlier 2011 p. 452).

Les conduits entre les murets de soutènement permettaient la répartition latérale de la chaleur. Les murets de soutènement viennent s'appuyer, en butée, contre les creusements latéraux talutés de la chambre de chauffe, impliquant une diminution de leur hauteur à mesure que l'on s'écarte du couloir central.

La sole supérieure (sol du laboratoire)

La chambre de chauffe et le laboratoire devaient initialement être séparés par une sole, sur laquelle étaient disposés les matériaux à cuire. Quant au volume de cette sole, l'arasement n'a pas permis son estimation. L'absence de fragments de soles perforées sur le site est patente, mais ne représente pas un argument suffisant pour en écarter la possibilité. Le matériau argileux employé au façonnage des soles perforées est rarement conservé. L'interprétation sur la mise en œuvre de cette sole repose donc uniquement sur les dispositifs de soutènement qui lui sont associés.

L'écartement des murets de soutènement interfère sur les techniques de chargement des matériaux à cuire dans le laboratoire. Le cas d'une sole sans volume (dépourvue d'une chape argileuse), nécessite la disposition des chargements à cuire directement au sommet des murets. Cette méthode est communément attribuée à des unités de cuisson dont l'écartement des murets n'excède pas une quinzaine de centimètres. Dans le cas de notre four, l'espacement des murets de soutènement se situe aux alentours des 25 cm, infirmant une disposition des matériaux à cuire directement sur les murets, et donc l'hypothèse d'une sole sans volume.

Les murets de soutènements sont particulièrement sujets au déplacement sous les effets de chauffe. Dans le cas d'une sole dépourvue de volume, l'absence d'une chape argileuse nécessite la mise en œuvre de moyens de stabilisation des murets : des maçonneries latérales pleines englobant leurs extrémités et assurant leur scellement, ainsi que des entretoises callées assurant leur écartement (Charlier 2011 p. 485-488). Dans le cas de notre four, l'absence de tels moyens de stabilisation tend également à écarter l'existence d'une sole sans volume.

L'unité de cuisson devait disposer d'une sole perforée pleine, sous la forme d'une chape d'argile dotée de carneaux²⁷. Ces perforations assurent la distribution de la chaleur depuis la chambre de chauffe vers le laboratoire. La distribution et l'espacement des carneaux, aménagés lors de la pose de cette chape, dépend de la répartition des murets de soutènement, aux intervalles desquelles sont réparties les perforations.

2.2.3.1.3 Four 1074 : alandier Nord (Phase A) et Sud (Phase B)

L'alandier au Nord de la chambre de chauffe est volontairement obstrué (chap. 5 : Pl. 089). L'épaisseur de ce bouchage est, comme pour les murets de soutènement, déterminée par la largeur des *tegulae* employées (G. Chamarre, *infra* : chap. 3.7.2). Le bouchage 1337 s'inscrit dans l'alignement du parement maçonné interne, suggérant une obstruction définitive, et l'abandon de la fosse de travail Nord (FS1321), plutôt qu'une obstruction temporaire au cours d'une cuisson. L'applique d'un enduit d'argile (1320-a), sur la surface interne de ce bouchage, permet également d'écarter l'hypothèse d'une obstruction temporaire, comme cela est parfois attesté (Charlier 2011, pp. 432, 437-438).

La fermeture pérenne de l'alandier Nord est vraisemblablement contemporaine de l'ouverture d'un alandier au travers du précédent parement Sud de la chambre de chauffe (1511 : chap. 5 : Pl. 088, 093), et de la création d'une nouvelle fosse de travail (FS1074). Les maçonneries de l'alandier Sud (1341, 1339) viennent s'appuyer contre les maçonneries déjà en place.

La cause du transfert de l'alandier est incertaine. Une légère déclivité du terrain du Nord vers le Sud, en l'absence de dispositifs de canalisation des eaux pluviales de ruissellement, a pu engendrer des problèmes d'infiltration dans l'unité de cuisson.

2.2.3.1.4 Four 1074 : Le laboratoire ?

L'aménagement de la chambre de chauffe en sous-sol devait assurer un ancrage suffisant des soubassements. En revanche, en l'absence de parois latérales comme fondations, la permanence ou non du laboratoire est sujette à débat.

Alors que l'absence de parois extérieures maçonnées a été régulièrement interprétée comme un argument suffisant pour écarter l'hypothèse d'un laboratoire maçonné permanent (Le Ny 1988, p. 55), le choix dans les fondations de l'unité de cuisson n'apparaît plus aujourd'hui discriminant dans le choix des élévations. L'absence de fondations ne permet plus d'écarter l'hypothèse d'un laboratoire permanent. À l'inverse, le recours à un laboratoire temporaire n'apparaît désormais plus recevable en l'état actuel des connaissances (Charlier 2011, pp. 610-614).

Le plan du laboratoire devait se calquer sur celui de la chambre de chauffe. Ses élévations devaient correspondre à de simples parois maçonnées verticales pleines. Les laboratoires de ce type ne sont traditionnellement pas surmontés d'une voûte. La répartition égale des charges sur le pourtour de la chambre de cuisson ne nécessite alors pas l'aménagement de fondations maçonnées.

Quant à l'accès au laboratoire (nécessaire au chargement, déchargement et à l'entretien), l'absence même de la base des élévations ne permet pas de traiter du sujet. Les murs en élévation pouvaient ne pas avoir été dotés d'une ouverture, l'accès au laboratoire se faisant dans ce cas par une ouverture au sommet (plafond). Le basculement de l'alandier du Nord vers le Sud, a pu influencer sur cette disposition (Charlier 2011, p. 541-542).

27. Carneau : ouverture aménagée pour laisser passer la chaleur...

2.2.3.1.5 Four 1074 : la question d'un système de couverture ou d'appentis

L'absence de dispositif de drainage est patente, au-même titre que celle de trou de calage d'une structure couvrante au-dessus du four. Ce type d'aménagement est commun pour les fours à tirage vertical, permettant d'empêcher les eaux pluviales de s'infiltrer dans le laboratoire.

Ces couvertures reposent généralement sur des poteaux positionnés dans l'aire de circulation de celui-ci, sous la forme de maçonneries ou bien de simples calages (Charlier 2011, pp. 476, 595-596). L'absence de trou poteau ou de maçonneries ne permet pas non plus de statuer sur l'aménagement ou non d'une couverture, ou d'un simple appentis au-dessus des aires de services (qui comporte des négatifs d'aménagements²⁸ ; chap. 5 : Pl. 083).

Une érosion importante de surface pourrait au moins en partie expliquer cette absence (*supra* : HZ1278 et 1409 ; chap. 5 : Pl. 081 à 087)

2.2.3.1.6 Les tuiles du four 1074

(voir G. Chamarre, *infra* : chap. 3.3.2 à 3.3.7, Fig. III-03-03 à Fig. III-03-06)

Les *tegulae* constituent l'essentiel des matériaux mis en œuvre dans les maçonneries de soubassements du four (massifs des alandiers Nord et Sud, murets de soutènement).

Les dimensions des *tegulae* de ce corpus apparaissent sensiblement supérieures à la métrologie admise pour les productions régionales. Deux formats de *tegulae* apparaissent distinctement : un format de longueur supérieure (rapport longueur/largeur de 5/3) distinct des productions civiles admises au Nord de la Loire ; ainsi qu'un format de dimensions moyennes (rapport longueur/largeur de 4/3). Cet écart de longueur, perçu sur seulement deux modules de format supérieur, ne peut être expliqué selon un phasage chronologique sur la seule base des données stratigraphiques à notre disposition. Les deux formats de *tegulae* sont représentés simultanément dans les mêmes maçonneries du four.

Le lieu de production de ces matériaux reste inconnu, vraisemblablement attribuables à une production locale proche du site, au regard du matériau argileux, comparable aux productions tirées du four.

Parmi les *imbrices* les mieux préservées du corpus, une série de tuiles canal provient du comblement de la fosse de travail au Nord du four (Us 1321). Ces *imbrices* sont quelques fois porteuses de mortier de tuileau en sous-face, suggérant leur utilisation en couvre-joints, sur des aménagements bâtis couverts sur le site ou dans son environnement proche.

La production de tuiles creuses sur site est attestée par une série de déchets de cuisson, dispersés à travers le site et regroupés dans les comblements du four.

La formation d'un amas mis au jour dans un conduit de chauffe (Us 1340 ; chap. 5 : Pl. 088, 093), formé de l'amalgame d'*imbrices* et, de façon plus subsidiaire, de *tegulae*, est potentiellement concomitante de l'abandon du four. L'effondrement d'une partie du chargement de tuile^S, à travers une supposée sole perforée, et l'obstruction d'un conduit de diffusion de la chaleur, à plus long terme, tendent à suggérer une dégradation des conditions d'utilisation, ayant pu entraîner l'abandon de l'unité de cuisson.

28. FS1321 : 1403 = sablière basse ? FS1074 : fosse 1387 / encoche 1431 ; encoches 1364 / 1365.

2.2.3.1.7 Four 1074 : datation archéomagnétique (Nicolas Warmé, Inrap)

En l'absence de relation stratigraphique ou de mobilier datant, seule la datation de la dernière «chauffe» (phase B) a pu être estimée par archéomagnétisme (N. Warmé : chap. 3.2).

Les deux méthodes employées donnent les résultats suivants (Fig. III-02-04) :
 1-Méthode par maximum de proximité : intervalles [22 – 166] et [327 – 489] avec un niveau de probabilité de 95 %.
 2-Méthode par compatibilité statistique: intervalles [22 – 166] et [350 – 498] avec un seuil de confiance à 95 %.

La nature des variations directionnelles du champ géomagnétique, qui décrivent une boucle serrée durant la période romaine, explique la durée relativement longue des intervalles et la double option. Les deux méthodes sont différentes dans leur conception, mais néanmoins parfaitement complémentaires. Quand les deux méthodes donnent des résultats, comme c'est le cas ici, ceux obtenus à partir de la seconde méthode, dite par équivalence /ou compatibilité statistique, sont à privilégier, à savoir : [22 – 166] et [350 – 498].

Le type du four 1074 et les modules de tuiles qui en sont issues correspondent au Haut-Empire (G. Chamarre, ci-dessus). La céramique gallo-romaine recueillie dans les contextes aux alentours du four (fosses et fossés) semble indiquer une occupation qui ne débute pas avant la seconde moitié du I^{er} s. après J.-C. (V. Pissot : chap. 3.4). Les productions les plus récentes sont attribuables, quant à elles, à la seconde moitié du II^e ou au III^e s. et on notera surtout l'absence d'élément gallo-romain tardif (IV^e /V^e s.).

La prise en compte de ces données dans les résultats archéomagnétiques permet ainsi de privilégier le premier intervalle obtenu, à savoir [22 – 166].

2.2.3.2 Fosses et fossés gallo-romains

(Fig. II-02-03)

3 fosses et 7 segments de fossés ont livré de la céramique (productions I^{er}-III^e s. ap. J.-C.) et des fragments de tuiles et de pesons gallo-romains (V. Pissot : chap. 3.4 ; datations : chap. 3.8.2 groupes 02a et 02b).

Le fond de fosse 1124²⁹ (tronquée par la fondation moderne 1121-B2) a livré une partie supérieure d'amphore de type Chartres 1543, en pâte rouge, produite entre 50 et 150 ap. J.-C. (Fig. II-02-06).

La petite fosse 1303³⁰ a livré la moitié d'un vase à épaulement mouluré, en pâte grise, produit pendant l'intervalle 150-300 ap. J.-C. Sa relation avec le fossé 1248 (postérieur ?) est incertaine (Fig. II-02-06).

La fosse 1069³¹ a livré 3 gros fragments de tuiles plate et creuse (1,5 kg). Son comblement, de mottes argilo-limoneuses beiges à jaunâtres et de petites pierres calcaires éparses à erratiques, évoque le remblai 1072 = 1321-A2 de la fosse de travail Nord du four de tuilier FOU1074, distante d'environ 2 mètres plus à l'Est.

29. FS1124, voir chap. 4.1 et 5 : Pl. 008, 062

30. FS1303, voir chap. 5 : Pl. 008, 052, 053, 062, 095

31. FS1069, voir chap. 4.1 et 5 : Pl. 009, 010, 062

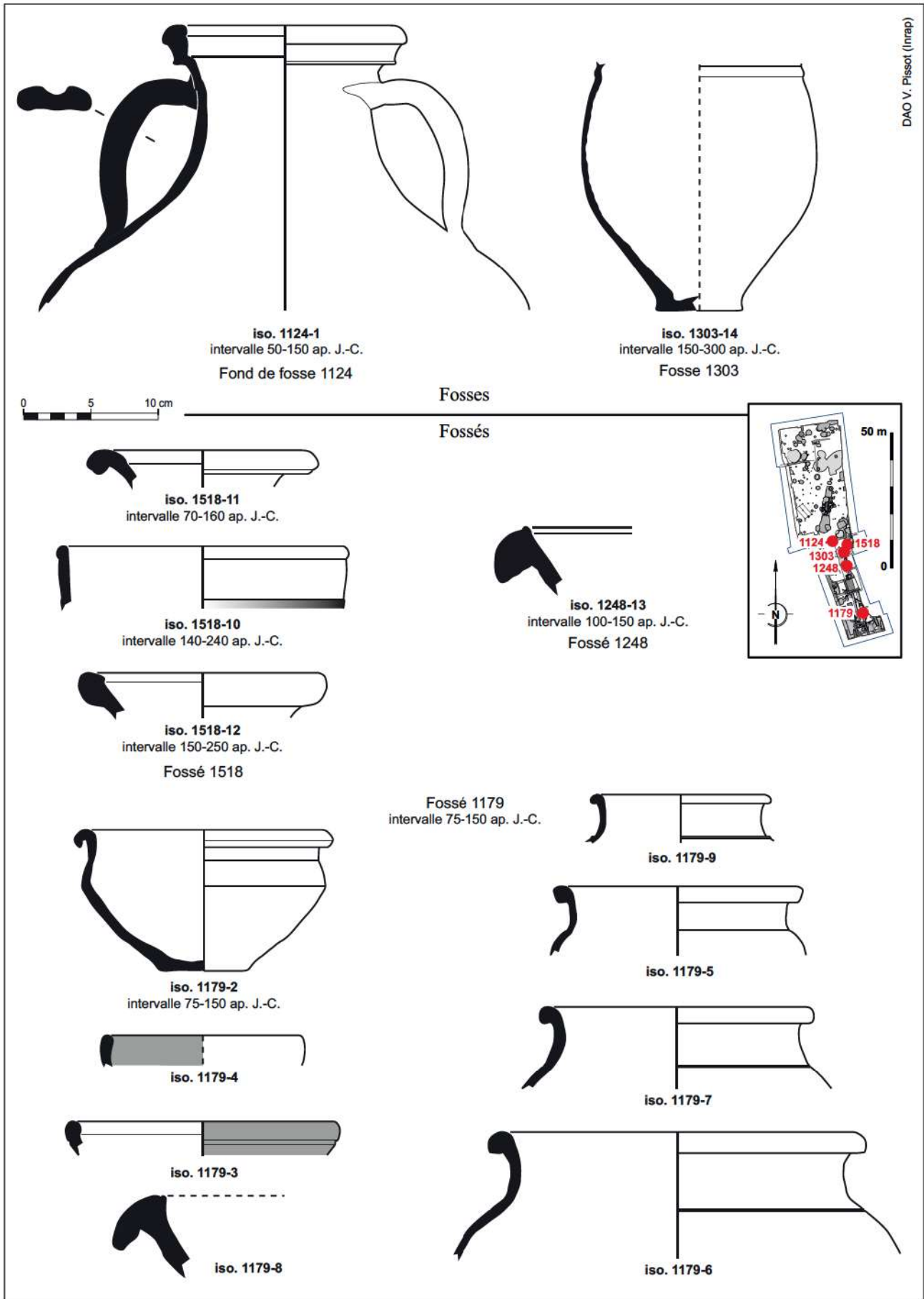


Fig. II-02-06 Melun, 19 rue Saint-Liesne. Fosses et fossés, exemples de céramique du Haut-Empire romain © Inrap : V. Pissot

Le long de la limite SE du décapage, 6 segments de fossés gallo-romains³² semblent correspondre à 3 axes fossoyés contigus, au moins en partie diachroniques³³, marquant une limite SSE / NNO bifurquant vers le NNE dans sa partie septentrionale (barrant le sens de la pente ? Fig. II-02-03). Ils ont pu avoir une fonction «parcellaire», de drainage et/ou d'exclusion / contention, au moins en partie contemporaine avec le four de tuilier 1074. En limite Sud de la parcelle, le fossé OSO / ENE 1203³⁴ a été observé sur 3,5 m de longueur. Il est tronqué par les caves et excavations modernes. Il a livré 1 peson fragmentaire et contenait de gros fragments de tuiles gallo-romaines (dont des ratés de cuisson vitrifiés). Il est tentant d'y voir une limite préfigurant déjà l'axe de circulation de la rue Saint-Liesne (chap. 5 : Pl. 007)...

2.2.4 Période mérovingienne précoce

2.2.4.1 L'occupation mérovingienne ?

(Fig. II-02-07)

Dans la partie Nord de l'emprise, une occupation mérovingienne précoce, intervalle fin V^e à milieu VI^e s. ap. J.-C., est bien marquée par les fosses 1056 et 1057, qui ont livré un mobilier céramique et faunique relativement abondant (ci-dessous ; A. Lefèvre : chap. 3.5.2.1 ; C. Le Goff : chap. 3.7.4 ; chap. 5 : Pl. 096 et 097).

Aux alentours, 7 fosses (dont 3 ou 4 petits silos probables) et 1 silo attesté ont livré de la céramique (de 2 à 14 tessons) attribuable à la fin du V^e et/ou au VI^e s. (A. Lefèvre : chap. 3.5.2.1 ; datations : chap. 3.8.2 groupes 03b, 03c et 03Z ; chap. 5 : Pl. 063, 098 à 100).

Moins d'une dizaine de mètres au Sud des fosses 1056 et 1057, deux rangées approximativement parallèles de trois trous de poteau, à espacements réguliers, semblent former un corps de bâtiment subrectangulaire, d'environ 3 m par 5 m (BAT1082 ? Datations : chap. 3.8.2 groupe 04a ; chap. 5 : Pl. 009, 101).

Le poteau 1082 a livré un fragment de tuile plate gallo-romaine. Le poteau 1306 recoupe l'horizon 1294 et est antérieur au scellement de l'horizon de terre végétale 1278 (*supra* : chap. 2.2.1 ; *infra* : chap. 5 : Pl. 038). Son orientation NO/SE ne correspond pas à celles du four de tuilier et des fossés gallo-romains (ci-dessus). Ces éléments permettent d'émettre l'hypothèse de son appartenance à la période du Bas-Empire romain ou du haut Moyen Âge, et peut-être de sa contemporanéité avec les fosses mérovingiennes... Dans les environs, au moins une partie de la vingtaine de trous de poteau attestés et supposés, non datés, pourrait appartenir à la même occupation (Fig. II-02-07).

Une quarantaine de mètres à l'Est de la parcelle du 19 rue Saint-Liesne, une occupation alto-médiévale a été partiellement fouillée en 1994 (14 rue Crévoulin / 23-29 rue Saint-Liesne, *supra* : Fig. II-01-03 ; Guinchard 1994). La céramique récoltée correspond à des productions du Bas-Empire, mérovingiennes et carolingiennes³⁵.

La présence d'un site mérovingien précoce d'ampleur, dans ce secteur du faubourg, est donc à envisager...

32. Fossés 1148, 1179, 1248, 1286, 1517, 1518 : voir chap. 4.2.1 et 5 : Pl. 006, 007, 008, 047, 048, 050, 051, 052, 053, 054, 055, 056, 057, 062, 072, 095, 125 et hors texte : Plan Joint 01

33. Probable système fossoyé SFO1179 = FO1179 + FO1518 (chap. 4.3) : fossé 1518 recoupe le fossé 1517 (chap. 5 : Pl. 050 et 051) ; fossé 1179 semble recouper le fossé 1186 (chap. 5 : Pl. 095 centre). Relation entre SFO1179 et SFO 1148 (1148 + 1248) indéterminée.

34. FO1203 (=1204), voir chap. 5 : Pl. 007, 014, 015, 060, 062, 095, 116

35. Aucun tesson carolingien n'a été récolté au 19 de la rue Saint-Liesne.

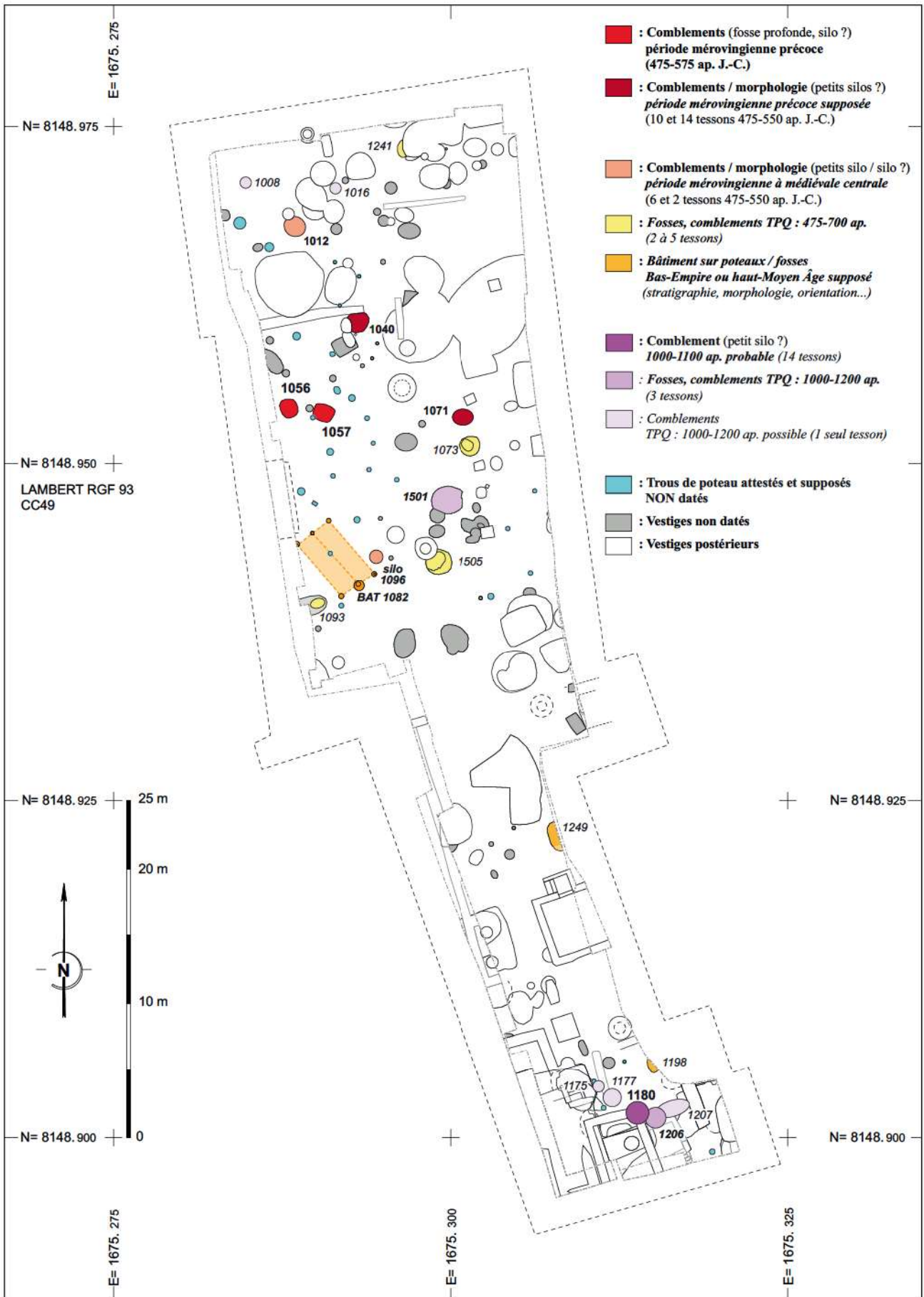


Fig. II-02-07 Melun, 19 rue Saint-Liesne. Proposition de phasage en plan pour l'intervalle fin V^e-XII^e s. ap. J.-C. © Inrap : G. Desrayaud

2.2.4.2 Fosses 1056 et 1057, fin V^e-milieu VI^e s. ap. J.-C.

La fosse profonde en «fût» 1056 a livré 135 tessons (NMI 25 ; près de 4 kg) et 14 kg de faune (près de 1700 éléments), principalement issus de l'Us B (inférieure ; Fig. II-02-08). 27 kg de torchis rubéfié ont également été prélevés dans l'Us A (supérieure). En raison d'une pollution des comblements en-deçà de 2 mètres de profondeur³⁶, l'Us B n'a malheureusement pas pu être entièrement fouillée.

Un mètre plus à l'Est, la fosse subquadrangulaire 1057, d'1 mètre de profondeur a été intégralement fouillée (chap. 5 : pl. 097). Elle a livré un assemblage similaire à 1056, mais moins conséquent (57 tessons pour 1,6 kg ; 1,2 kg de faune ; *infra* : Fig. III-05-07 et Fig. III-07-03).

« La composition du lot [céramique] reste relativement atypique, rassemblant de nombreuses formes ouvertes, plus ou moins profondes, réalisées en pâte fine et en pâte granuleuse, associées à plusieurs vases biconiques en pâte fine sombre. Des pots leur sont associés, mais en nombre plus restreint que ce que l'on observe habituellement » (A. Lefèvre : chap. 3.5.2.1).

Concernant l'assemblage de faune consommée, « l'abondance de la ressource carnée domestique et la consommation de viande de qualité font valoir un premier point incontestable : le statut privilégié des résidents » (C. Le Goff : chap. 3.7.6).

2.2.5 Moyen Âge central (XI^e-XII^e s.)

(Fig. II-02-07)

Au Sud du décapage, le probable petit silo 1180 a livré 14 tessons du Moyen Âge central, dont une oule fragmentaire à bord en bandeau et bandes peintes, attribuable au XI^e s. (A. Lefèvre : chap. 3.5.2.1, Fig. III-05-09 ; chap. 5 : Pl. 102).

4 fosses, 1 creusement indéterminé et 2 trous de poteau supposés ont également livré des éléments de cette période, leur conférant un *Terminus Post Quem* (1 à 3 tessons ; A. Lefèvre : chap. 3.5.1.2 ; datations : chap. 3.8.2 groupe 05Z ; chap. 5 : Pl. 064, 102).

2.2.6 Bas Moyen Âge et période moderne (intervalle XIII^e-XVIII^e s.)

(chap. 5 : Pl. 065 à 066)

2.2.6.1 Intervalle XIII^e-XVI^e s. : le «bassin profond» 1381 et l'excavation 1151

(Fig. II-02-09)

«Petit bassin profond» BAS1381

Au Sud du décapage, sous l'angle maçonné conservé (1379 et 1380) et les remblais d'abandon (1526 et 1527) de la cave moderne 1380 (*infra* et chap. 5 : Pl. 006), une structure bâtie profonde a été mise au jour (BAS1381 : chap. 5 : Pl. 103 à 106). Des maçonneries au mortier lacunaires et des négatifs de récupération dessinent l'intérieur d'une petite «chambre» rectangulaire, NNO / SSE, d'environ 1,25 m de largeur pour 1,85 m de longueur, et dont le fond se situe à 2,9 m de profondeur (40,10 m NGF) sous la limite inférieure de la terre végétale moderne à contemporaine 1415 (TPQ : 1600-1700 ap. J.-C. ; voir *supra*).

36. Solvants / hydrocarbures ? Pollution également présente dans les niveaux de «terre végétale» des paliers sus-jacents (chap. 5 : Pl. 009).

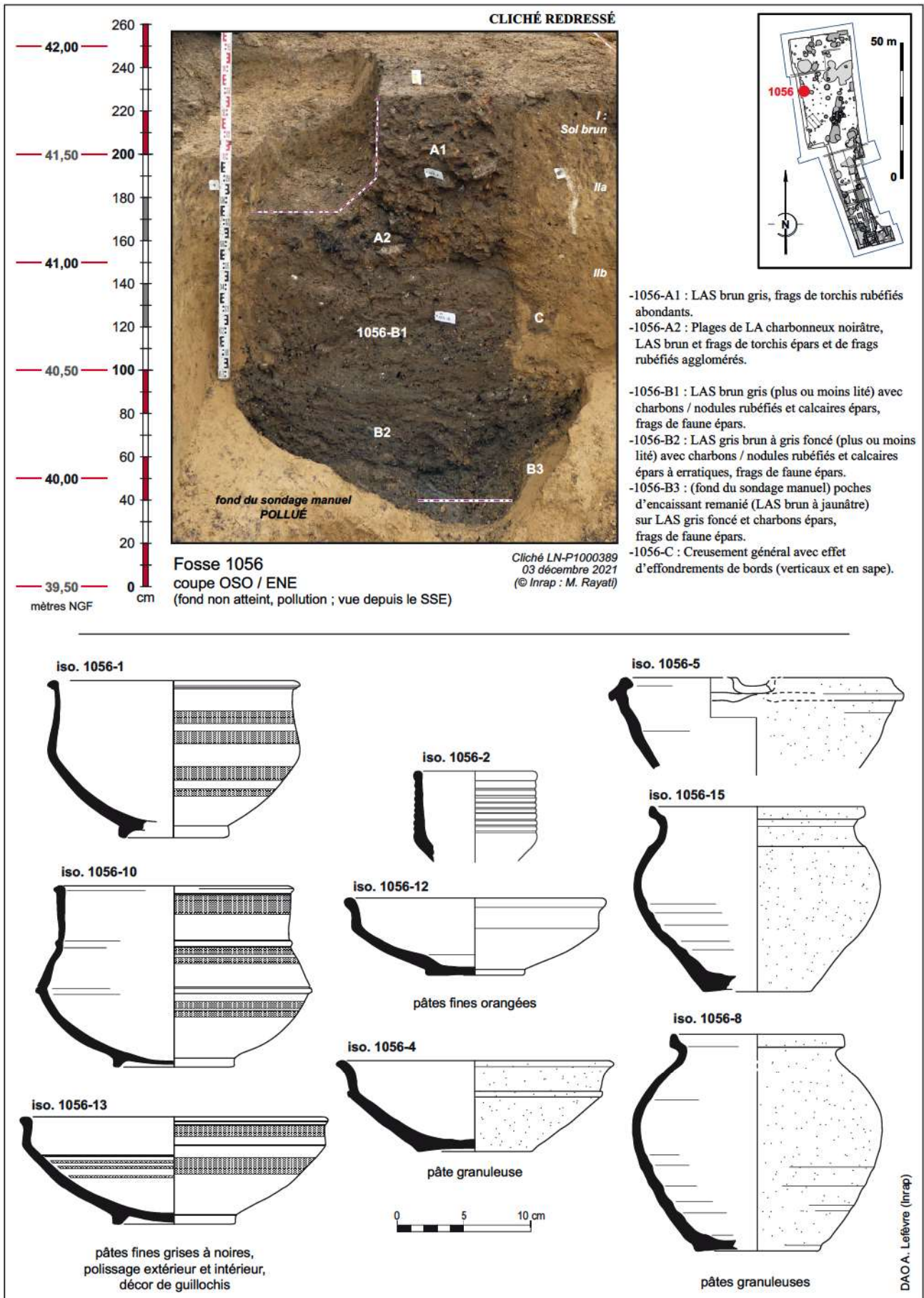


Fig. II-02-08 Melun, 19 rue Saint-Liesne. Fosse 1056, intervalle fin V^e-milieu VI^e s. Coupe et exemples de céramiques © Inrap : G. Desrayaud, A. Lefèvre, M. Rayati

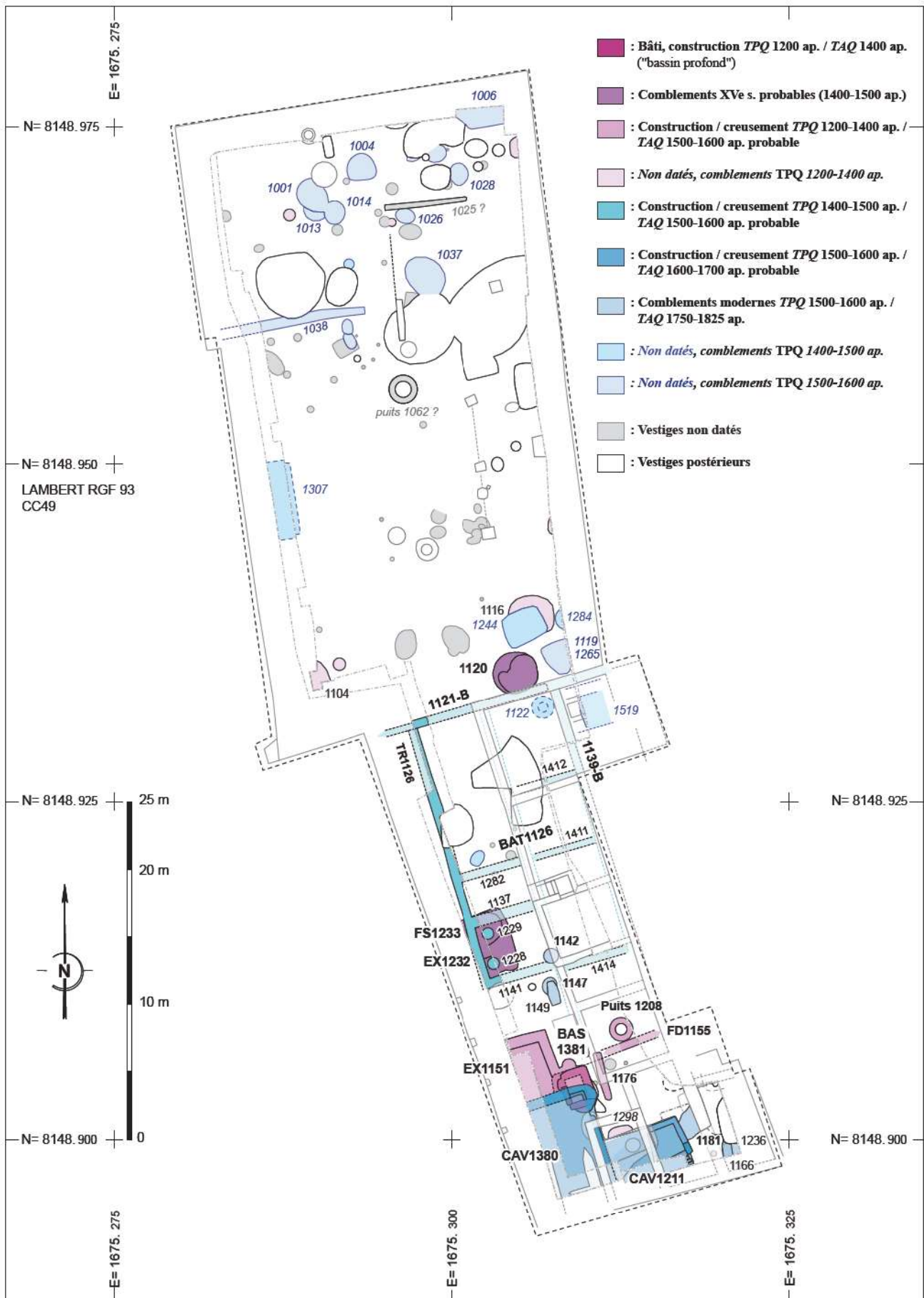


Fig. II-02-09 Melun, 19 rue Saint-Liesne. Proposition de phasage en plan pour l'intervalle XIII^e-XV^e s. © Inrap : G. Desrayaud

Initialement qualifiée de « puits » pendant la fouille, l'appellation (discutable) de « petit bassin profond » a par la suite été retenue, faute de meilleurs termes...

Aucune trace d'enduit ou d'argile hydrofuges n'a été observée sur les empièvements ou le fond du creusement (encaissant argilo-limoneux « lœssique », relativement perméable). La capacité de rétention d'eau de cette structure n'était donc peut-être pas le but premier recherché... Sa fonction exacte reste ouverte à débat...

L'excavation de fondation (1381-D) présente un plan partiellement polylobé et des bords verticaux à obliques rentrants. Au Sud, un mur de pierres calcaires liées au mortier, de 0,5 m de large, est conservé sur 1,1 m de hauteur maximum (1381-C2). À l'Ouest, un alignement de « dalles » / moellons quadrangulaires liées au mortier (1381-C1), bien équarris, de 0,4 m de large, suggère une marche ou margelle (voir **chap. 4.1**).

Sur le fond, contre les maçonneries préservées 1381-C1 et C2, la couche de sédimentation 1381-B, noirâtre hydromorphe à organique, a livré 8 tessons du XIV^e s. ainsi qu'un tiers de coquemar à décor de flammules (11 tessons) produit pendant le milieu ou la seconde moitié du même siècle (1325-1400 ap. J.-C. ; **Fig. II-02-10** ; C. Claude : **chap. 3.6.1.1 et 3.6.4**).

Une construction pendant le XIII^e s. doit également être considérée³⁷... Les remblais d'abandon après récupération (1381-A = 1172), préalables à l'installation de la cave moderne 1380, ont livré 6 tessons du XVI^e s. (C. Claude : **chap. 3.6.4** ; **chap. 5** : **Pl. 105**).

L'excavation 1151

L'excavation 1151 est conservée sur un peu moins de 5 m de longueur et a été partiellement dégagée sur 3 m de largeur (deux côtés formant un angle à environ 100 degrés ; **chap. 5** : **Pl. 103**). Elle se poursuit au-delà de la limite de fouille, vers l'OSO.

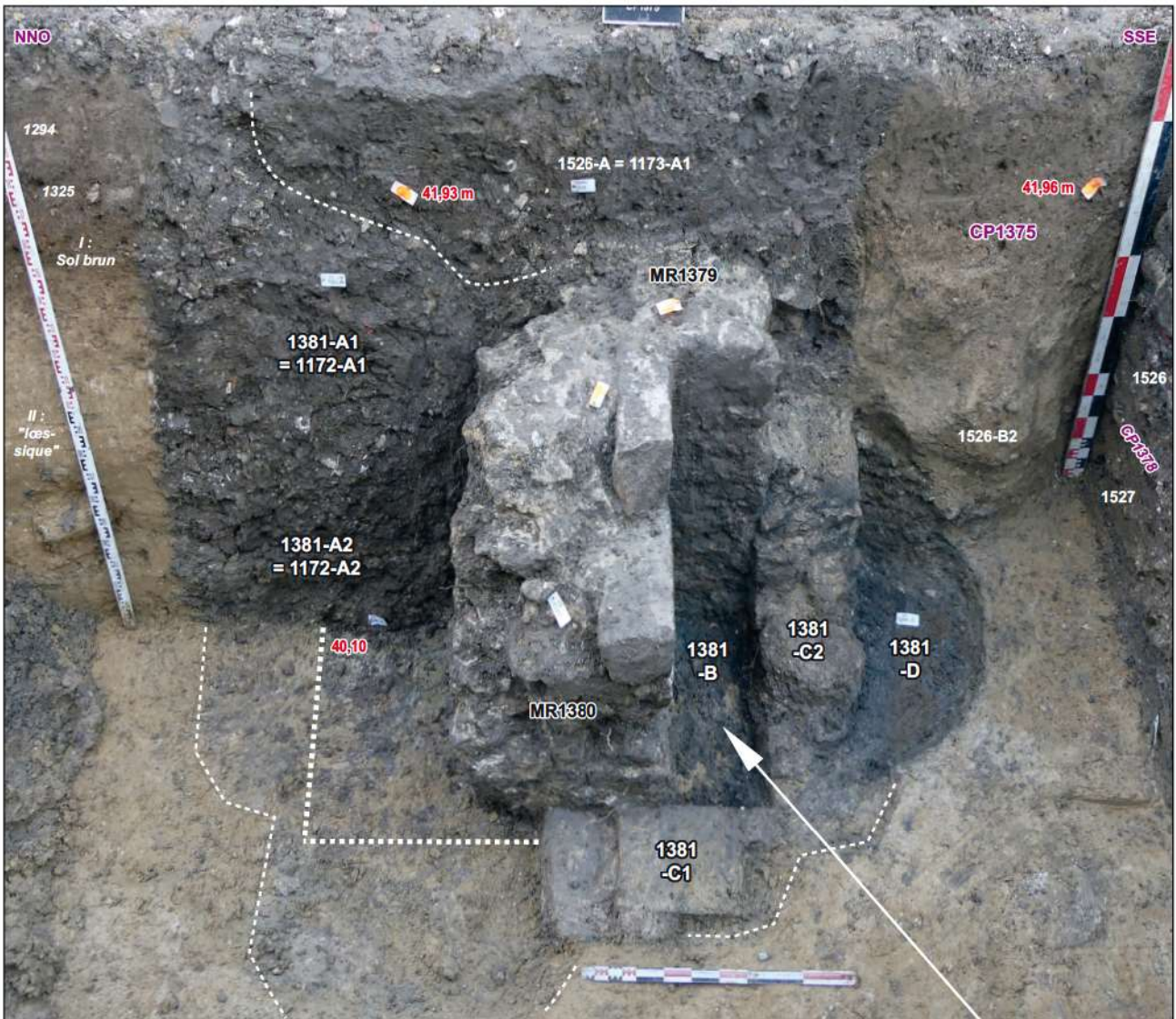
« Accolée » au bord occidental du « petit bassin » 1381, elle est moins profonde d'environ 1 m, et possède un fond horizontal ainsi que des profils en palier (**chap. 5** : **Pl. 022 à 025, 111**). Ses remblais d'abandons (1151-A) sont synchrones avec ceux de 1381 (A1 ; **chap. 5** : **Pl. 104**). Il s'agit de toute évidence d'une structure excavée bâtie récupérée (cave, bassin ?) ; seules subsistent quelques pierres de chant contre les bord (1151-B).

Au contraire de sa récupération, le synchronisme de sa construction avec 1381 n'est pas certain.

L'excavation 1151 (creusement 1151-C1) est postérieure au remblai 1419, qui recoupe la fosse 1143 (**chap. 5** : **pl. 024 à 027**). Ces deux derniers contextes ont livré des fragments de tuiles plates à crochet, ce qui leur confère un *Terminus Post Quem* pendant les XIII^e-XIV^e s. (TPQ : 1200-1400 ap. J.-C.)³⁸.

37. Au XIII^e s., construction du rempart médiéval de la rive droite (Nord) de la ville de Melun (Förstel 2006, pp. 41-43). La porte Saint-Jean ne se situe qu'à 250 mètres au SO du « 19 de la rue Saint-Liesne » (*supra*, **Fig. II.01.01**)... L'absence de tesson collecté attribuable au XIII^e s., pendant la fouille (C. Claude : **chap. 3.6** : « intro. »), n'est pas un critère suffisant pour écarter cette possibilité.

38. Tuiles plates à crochet (centré) produites en « Île-de-France » et dans le quart Nord-Est de la « France » principalement à partir de la seconde moitié ou de la fin du XIII^e siècle. Des versions plus anciennes, généralement dépourvues de crochet, ou plus rarement à crochet latéral, peuvent remonter à la fin du XII^e ou à la première moitié du XIII^e s. (Nauleau 2016, pp. 290-292 ; Aumard *et al.* 2019, p. 32).



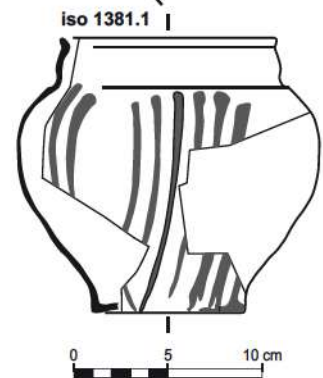
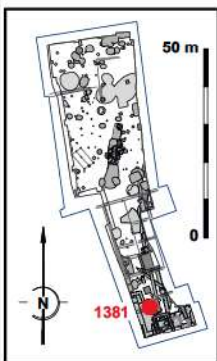
Cliché LN-P1000464, 10 décembre 2021 (© Inrap : G. Desrayaud)

Clichés NON redressés

"Bassin profond" 1381
(1381-C = TAQ XIVe s. ;
1381-A = TPQ XVIe s.)

Angle Nord de la cave 1380
(murs 1379 / 1380 = TPQ XVIe s. ;
1526 / 1527 = TPQ XVIIe s.)

coupe NNO / SSE 1375
(vue depuis l'OSO)



Cliché et DAO C. Claude (Inrap)

Us 1381-B.
Coquemar
à décor de flammules,
milieu à seconde moitié
du XIVe s.
(1325-1400 ap. J.-C.)

Fig. II-02-10 Melun, 19 rue Saint-Liesne. Structure bâtie BAS1381, coquemar XIV^e s. de l'Us 1381-B © Inrap : C. Claude, G. Desrayaud

2.2.6.2 Complements XV^e s. probables : excavations 1120 et 1232 / fosse 1233

(Fig. II-02-09)

L'excavation 1120 (XV^e s. probable)

Au centre de la fouille, la grande fosse 1120 (chap. 5 : Pl. 108 à 110) a livré 5 tessons de l'intervalle 1350-1500 ap. J.-C. et 49 tessons de l'intervalle 1400-1500 ap. J.-C. (Fig. II-02-11 ; C. Claude : chap. 3.6.1.1 et 3.6.4). Elle est recoupée par la fondation moderne 1121-B (Fig. II-02-09 et *infra*).

Sa relation avec la fosse 1116³⁹, toute proche et de dimensions comparables, est inconnue (chap. 5 : Pl. 113).

Elle contenait des dépôts de faune en relative abondance : 123 restes osseux et 4 petits animaux en connexion partielle ou complète (un chat, deux chiens et un porcelet ; C. Le Goff : chap. 3.7.5.2).

Selon Céline Le Goff, « cette fosse, de la fin du bas Moyen Âge ou du début de la période moderne, a servi de dépotoir dans laquelle ont exclusivement été rejetés des restes d'animaux domestiques, dont une partie seulement a été consommée. La faible concentration d'ossements et leur association avec des carcasses de petits mammifères domestiques, destinés à la consommation ou vivant au côté des résidents, témoignent d'une utilisation ponctuelle et opportuniste de cette excavation. Cela pourrait indiquer une certaine distance avec l'espace domestique de l'occupation ».

L'excavation 1232 et la fosse 1233⁴⁰ (XV^e s. probable)

Dans la partie Sud du décapage, l'excavation subrectangulaire 1232 a été partiellement décapée. Mesurant 5 m de longueur, pour plus de 2 m de largeur, avec une hauteur conservée d'1,5 m, il pourrait s'agir d'une structure bâtie récupérée (cave ? chap. 5 : Pl. 128 à 130). Elle a livré 4 tessons du XV^e siècle (C. Claude : chap. 3.6.4).

L'excavation 1232 est recoupée par la fosse 1233, qui a livré 77 tessons du XV^e s., dont un coquemar presque complet (Fig. II-02-12 ; C. Claude : chap. 3.6.1.1 et 3.6.4).

Ces deux contextes sont scellés par l'horizon de remblais 1292, antérieur à la construction du bâtiment moderne BAT1126 (Fig. II-02-09 et *infra*).

2.2.6.3 Intervalle XIII^e-XVIII^e s. : puits 1208 et fondations 1155 et 1176

(Fig. II-02-09 ; Fig. II-02-13)

Au Sud de la parcelle, le puits à eau cylindrique 1208⁴¹ n'a pu être que partiellement sondé, pour des raisons de sécurité, jusqu'à un peu moins de deux mètres de profondeur (chap. 5 : Pl. 112).

Des fragments de tuiles plates à crochet étaient intégrés à sa maçonnerie (1208-B), indiquant une construction pendant ou postérieure aux XIII^e-XIV^e s. (TPQ : 1200-1400 ap. J.-C. ; voir note de bas de page n°38).

Son remblai supérieur (1208-A2), après récupération partielle, est synchrone avec celui de l'EX1413, correspondant à l'abandon du bâtiment moderne BAT1126 (TAQ : 1750-1825 ap. J.-C.), scellé par l'horizon de terre végétale 1422 (chap. 5 : Pl. 057).

39. FS1116 : fragments de tuiles plates à crochet (TPQ : 1200-1400 ap.) et 1 tesson 1450-1525 ap. J.-C. avec Risque d'Interférence avec FS1244 (C. Claude : chap. 3.6.4).

40. EX1232 et FS1233, voir chap. 5 : Pl. 003, 006, 008, 028, 029, 030, 059, 065, 107

41. Puits 1208, voir chap. 5 : Pl. 007, 057, 065, 066, 067, 112

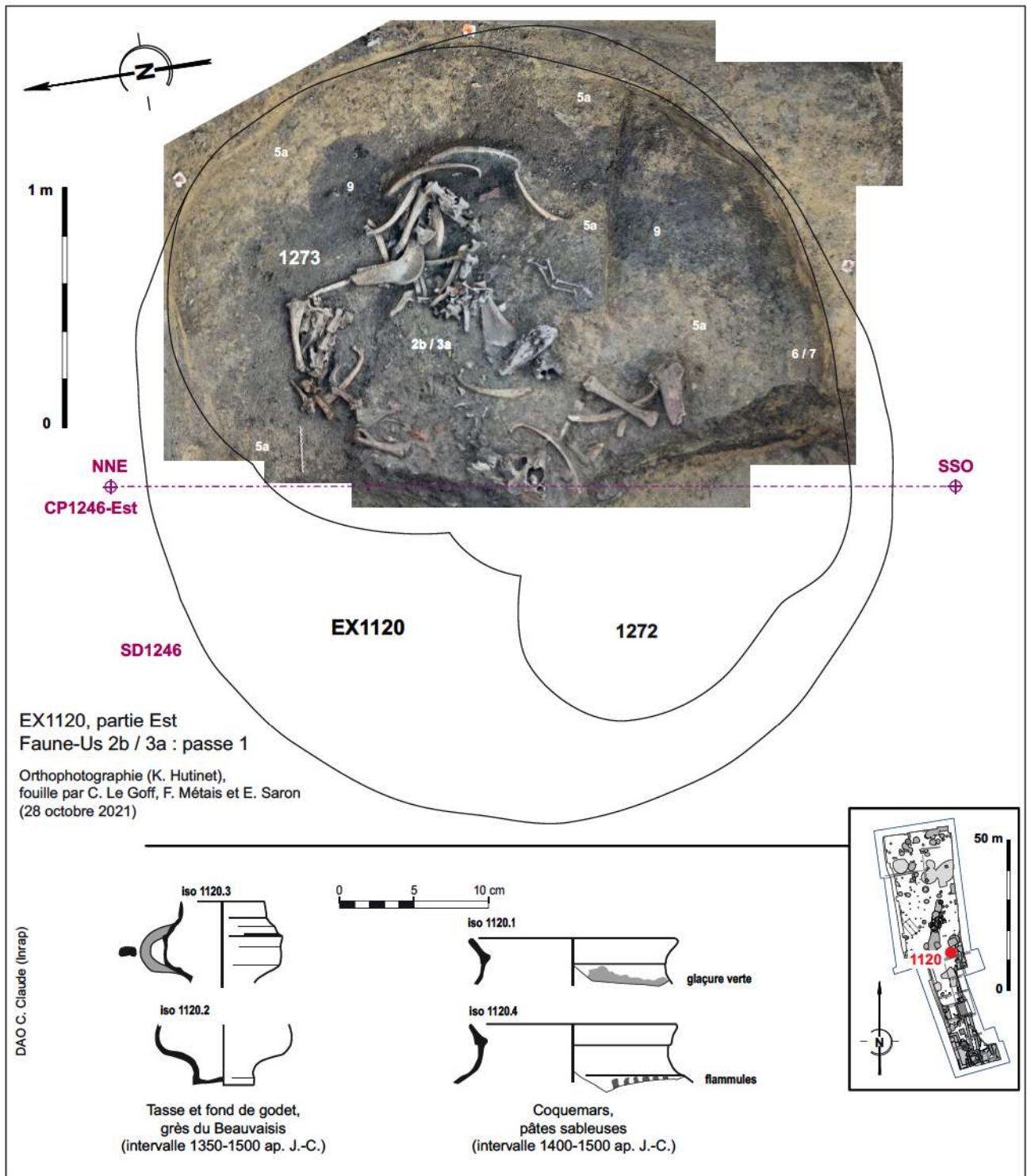


Fig. II-02-11 Melun, 19 rue Saint-Liesne. Fosse 1120, probablement comblée au XVe s., faune et exemples de céramiques © Inrap : C. Claude, G. Desrayaud, K. Hutinet, C. Le Goff, F. Métais, E. Saron

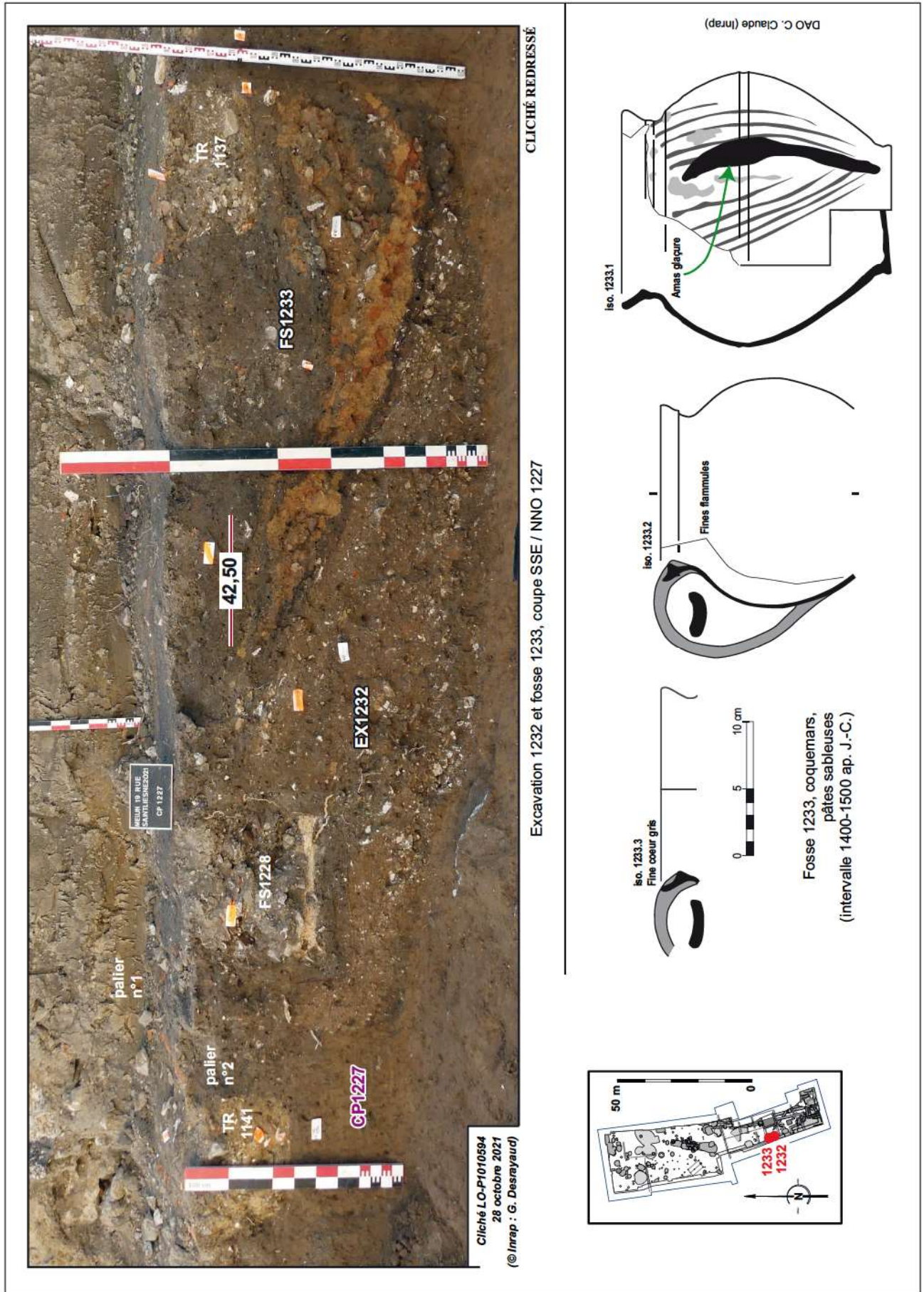


Fig. II-02-12 Melun, 19 rue Saint-Liesne. Excavation 1232 et fosse 1233, coupe et céramiques du XV^e s. © Inrap : C. Claude, G. Desrayaud

«Frôlant» le bord méridional du puits 1208, la fondation OSO / ENE n°1155⁴², liée au mortier, possède une position stratigraphique semblable. Elle est tronquée et recouverte par les remblais 1421, synchrones avec 1208-A2 et 1413 (ci-dessus : *TAQ* : 1750-1825 ap. J.-C.).

Dans le même secteur, la tranchée de récupération NNO / SSE n°1176⁴³, légèrement désaxée par rapport à la fondation 1155, correspond au même intervalle XIII^e-XVIII^e s. (voir **chap. 3.8.2** : groupe 07d).

La contemporanéité stricte de ces trois éléments bâtis (1208, 1155 et 1176) n'est pas attestée (**Fig. II-02-09** ; **Fig. II-02-13**). Leurs périodes de fondation sont très incertaines...

2.2.6.4 Intervalle XV^e-XVIII^e s. : le bâtiment 1126

(**Fig. II-02-09** ; **Fig. II-02-13**)

Dans la partie centre méridionale de l'emprise, 7 tranchées de récupération orthogonales, possédant la même position stratigraphique, ont été observées. Sur le bord Est du décapage, elles sont associées à un remblai (1428) et à une longue excavation à fond horizontal (1413), s'apparentant à des récupérations de sols aménagés (voir **chap. 3.8.2** : groupe 08a, BAT1126)⁴⁴.

Au Nord, la tranchée de récupération 1126 s'arrête sur la fondation empierrée perpendiculaire 1121-B, elle-même formant un angle droit avec la fondation 1139-B, plus à l'Est (voir **chap. 3.8.2** : groupe 08b)⁴⁵.

Ces éléments dessinent un «corps de bâtiment» rectangulaire NNO / SSE, avec divisions internes, d'environ 12 m par 21 m (BAT1126). Cet ensemble bâti se prolonge probablement hors des limites de décapage, notamment vers l'Est.

Les différences de niveau observées entre les fondations, occidentales et orientales, suggère un aménagement légèrement en «terrasse»⁴⁶, à la perpendiculaire de la pente du versant.

Les négatifs de mur 1126, 1137, 1141, 1282 et 1412 recoupent l'horizon de remblais 1292, postérieur à la fosse 1233, qui a livré un assemblage céramique du XV^e s. (ci-dessus et **chap. 5** : **Pl. 026 à 031, Pl. 052**).

Les tranchées de récupération 1126 et 1412 sont recoupées par les excavations 1127 et 1125, qui ont livré des tessons de l'intervalle 1575-1700 ap. J.-C. et sont recouvertes par l'horizon de terre végétale 1415 (*supra*, **chap. 2.2.1** ; **Fig. II-02-13** ; **chap. 5** : **Pl. 032, 126**).

Le mur 1121-B, non récupéré, apparaît encore sur le cadastre de 1826 (**chap. 5** : **Pl. 068 et 069**). Comme la fondation 1139-B, son tracé est en partie repris par le bâti contemporain se développant après le premier quart du XIX^e siècle (**chap. 5** : **Pl. 068**).

A l'intérieur de la pièce formée par les tranchées 1126, 1137 et 1141, les fosses 1228 et 1229 recoupent l'horizon 1292 (*TPQ* : XV^e s.). Elles sont scellées par l'horizon de remblais 1416, qui marque l'abandon terminal de l'édifice (**chap. 5** : **Pl. 008, 028 à 031**). La fosse 1229 a livré 2 tessons du XVI^e s. (C. Claude : **chap. 3.6.4**)⁴⁷.

42. FD1155, voir **chap. 5** : **Pl. 007, 057, 065, 066, 067**

43. TR1176, voir **chap. 5** : **Pl. 006, 007, 065, 066, 067**

44. TR1126, TR1137, TR1141, TR1282, TR1411, TR1412, EX1413, TR1414, RB1428, voir **chap. 5** : **Pl. 003, 006 à 008, 026 à 033, 050 à 057, 066, 067**

45. FD1121-B et 1139-B, voir **chap. 5** : **Pl. 003, 008, 035, 048 à 051, 066 à 068, 070, 081**

46. BAT1126, fond des creusements de fondation : à l'Ouest, entre 42,20 m et 42,60 m NGF ; à l'Est, entre 42,80 m et 43,10 m NGF.

47. Voir également 1232 RI 1228 : tesson XVI^e s.

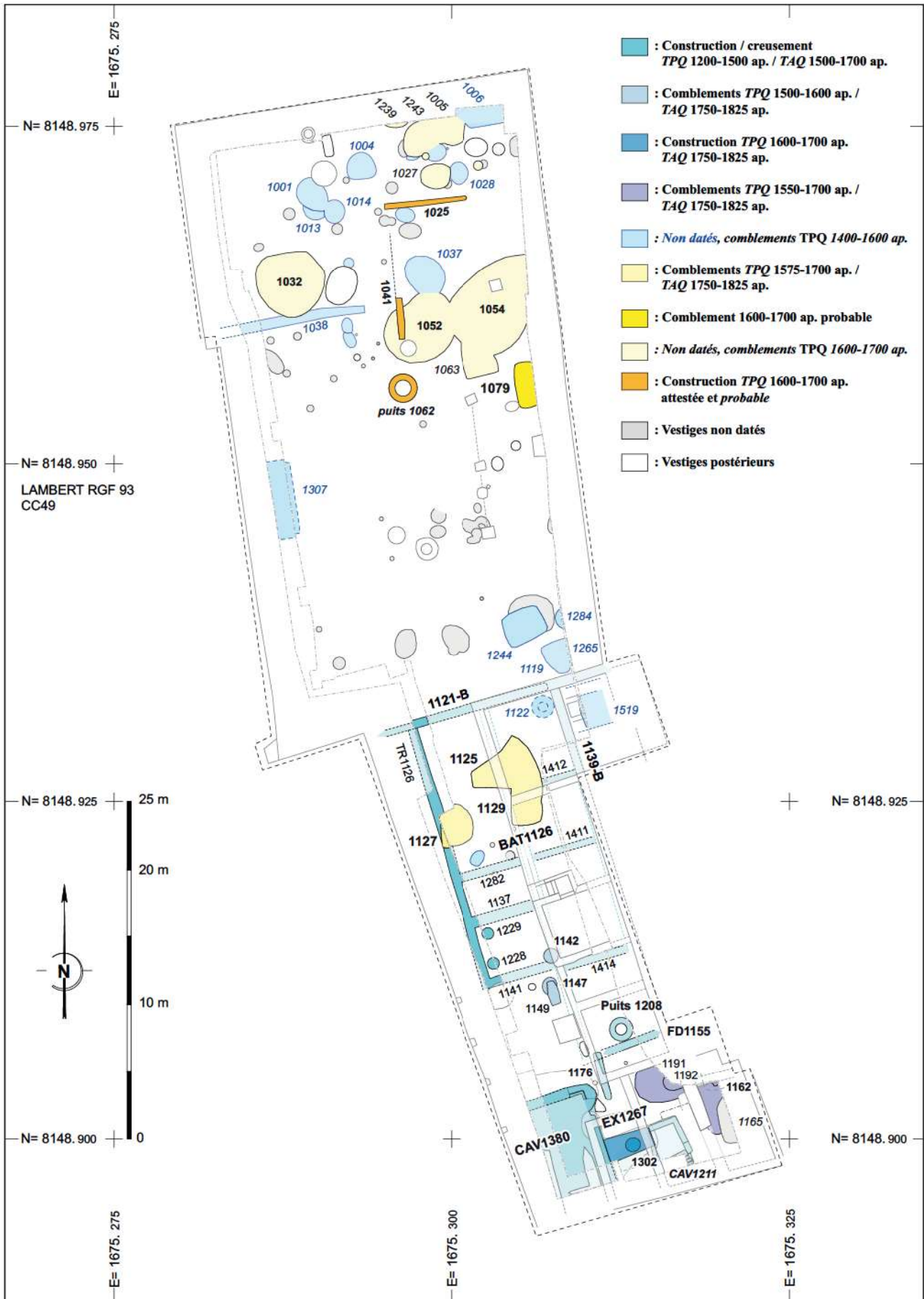


Fig. II-02-13 Melun, 19 rue Saint-Liesne. Proposition de phasage en plan pour l'intervalle seconde moitié XVI^e-XVIII^e s. © Inrap : G. Desrayaud

Cylindriques, d'environ 0,9 m de diamètre pour 1 m de profondeur conservée, elles possèdent des traces de chaux et/ou de mortier sur leurs fonds (1228-B et 1229-B). Il pourrait s'agir d'aménagements liés à des activités ayant eu lieu au sein de cette partie du bâtiment 1126.

2.2.6.5 Intervalle XVI^e-XVIII^e s. : caves 1211 et 1380

(Fig. II-02-09 ; Fig. II-02-13)

La cave 1211⁴⁸ (intervalle XVI^e-XVIII^e s.)

En limite Sud de décapage, la cave 1211 mesure 6 mètres de longueur et a été partiellement dégagée sur 3,7 mètre de largeur (Fig. II-02-14 ; chap. 5 : Pl. 115). Conservée sur plus de 2 mètres de profondeur (fond entre 41,10 m et 41,20 m NGF), elle possède un escalier d'accès au Sud-Ouest (1230 ; chap. 5 : Pl. 015).

Ses maçonneries ont été presque entièrement récupérées, avant son remblayage par des gravats (1184) et des limons argileux (1183 ; chap. 5 : Pl. 017 et 116). Seuls sont conservés ses niveaux de sols en terre (1212, 1270), sous lesquels une phase antérieure est marquée par la présence de la petite fondation 1269.

La présence d'un liseré charbonneux et de plages rubéfiées en surface du sol (1212-a1 et a2), ainsi que de pierres rouges dans les produits de démolition 1184, sont des indices suggérant la possibilité d'un incendie ayant pu provoquer l'abandon de la structure (chap. 5 : Pl. 117 et 118).

Le mur 1211 (qui donne son nom à la cave), est postérieur à la fosse 1181, qui a livré 1 tesson du XVI^e s. (Fig. II-02-15 ; C. Claude : chap. 3.6.4 ; chap. 5 : Pl. 114). Le creusement de l'escalier d'accès (1230-C) traverse les remblais 1430 (TPQ : XVI^e s.⁴⁹ ; chap. 5 : Pl. 014 et 015).

3 tessons du XVII^e siècle ont été collectés dans les niveaux d'abandon 1183 et 1184 (C. Claude : chap. 3.6.4 ; chap. 5 : Pl. 114). La petite cave 1267, dont le scellement est contemporain de celui de la cave 1380 (ci-dessous ; TAQ : 1750-1825 ap. J.-C.), les recoupe (chap. 5 : Pl. 119 et 120).

La cave 1380⁵⁰ (intervalle XVI^e-XVIII^e s.)

Dans l'angle SSO du décapage, la cave 1380 a été partiellement dégagée sur 5 m de largeur et 9,7 mètre de longueur (chap. 5 : Pl. 006). Conservée sur plus de 2 mètres de profondeur (fond aux environs des 40,50 m NGF), ses maçonneries et possibles aménagements de sol ont été entièrement récupérés (chap. 5 : Pl. 020 à 023, 121 et 122). Seul son angle maçonné Nord-Est est conservé à l'endroit du «petit bassin profond» antérieur 1381 (murs 1379 et 1380 ; supra : Fig. II-02-10 ; infra : chap. 5 : Pl. 103).

Plus profonde d'un peu plus d'un demi mètre, le synchronisme de sa construction avec la cave 1211 (ci-dessus) n'est pas attesté. Ses remblais d'abandon (1526, 1527) sont contemporains de ceux de la cave 1267 (1267-A, infra, TPQ : XVII^e s. ; chap. 5 : Pl. 120 et 123).

Le creusement de fondation de la cave 1380 traverse les niveaux de scellement du BAS1381 et de l'EX1151 (TPQ : XVI^e s. ; supra : chap. 2.2.6.1).

Les remblais 1526-A ont livré 3 tessons du XVII^e s. (C. Claude : chap. 3.6.4) et sont recouverts par le remblai de «terre végétale» 1415 (dépôt TAQ : 1825 ap. J.-C. ; supra : chap. 2.2.1).

48. CAV1211, voir chap. 5 : Pl. 003, 007, 014 à 017, 066, 067, 114 à 120

49. RB1430 sur RB1201 (2 tessons 1500-1550 ap. J.-C.), sur fosse 1236 (1 tesson XVI^e s.), voir C. Claude : chap. 3.6.4

50. CAV1380, voir chap. 5 : Pl. 003, 006, 016 à 025, 066 à 068, 103 à 106, 121 à 123



Fig. II-02-14 Melun, 19 rue Saint-Liesne.
Fouille de la cave 1211 © Inrap : G. Desrayaud

2.2.6.6 Intervalle XVI^e-XVIII^e s. : fosses profondes 1142 et 1147

(Fig. II-02-09 ; Fig. II-02-13)

Dans la moitié Sud de la parcelle, les fosses profondes 1142 et 1147, distantes d'à peine plus d'1 mètre, présentent des morphologies comparables, ainsi que des profondeurs (entre 2,75 m et 3 m) et des remplissages similaires (chap. 5 : Pl. 006 et 124).

1147 a livré une anse de marmite du XVI^e s. (C. Claude : chap. 3.6.4). Bien qu'1142 n'ait livré que quelques tessons attribuables au XV^e s., sa ressemblance avec 1147 permet d'émettre l'hypothèse de leur appartenance à la même période. Elles sont toutes deux antérieures au dépôt de l'horizon de remblai de « terre végétale » 1415 (TAQ : 1825 ap. J.-C. ; *supra* : chap. 2.2.1).

La relation d'1142 avec la tranchée de récupération 1141 du bâtiment 1126 (*supra*) n'a pas pu être déterminée.

La morphologie tronconique du creusement 1147 et les modes de comblement évoquent, fortement, les grandes fosses d'ensilage (silos) fréquemment attestées depuis la protohistoire (Gast, Sigaut 1979), mais peu communes pour nos régions durant la période moderne...

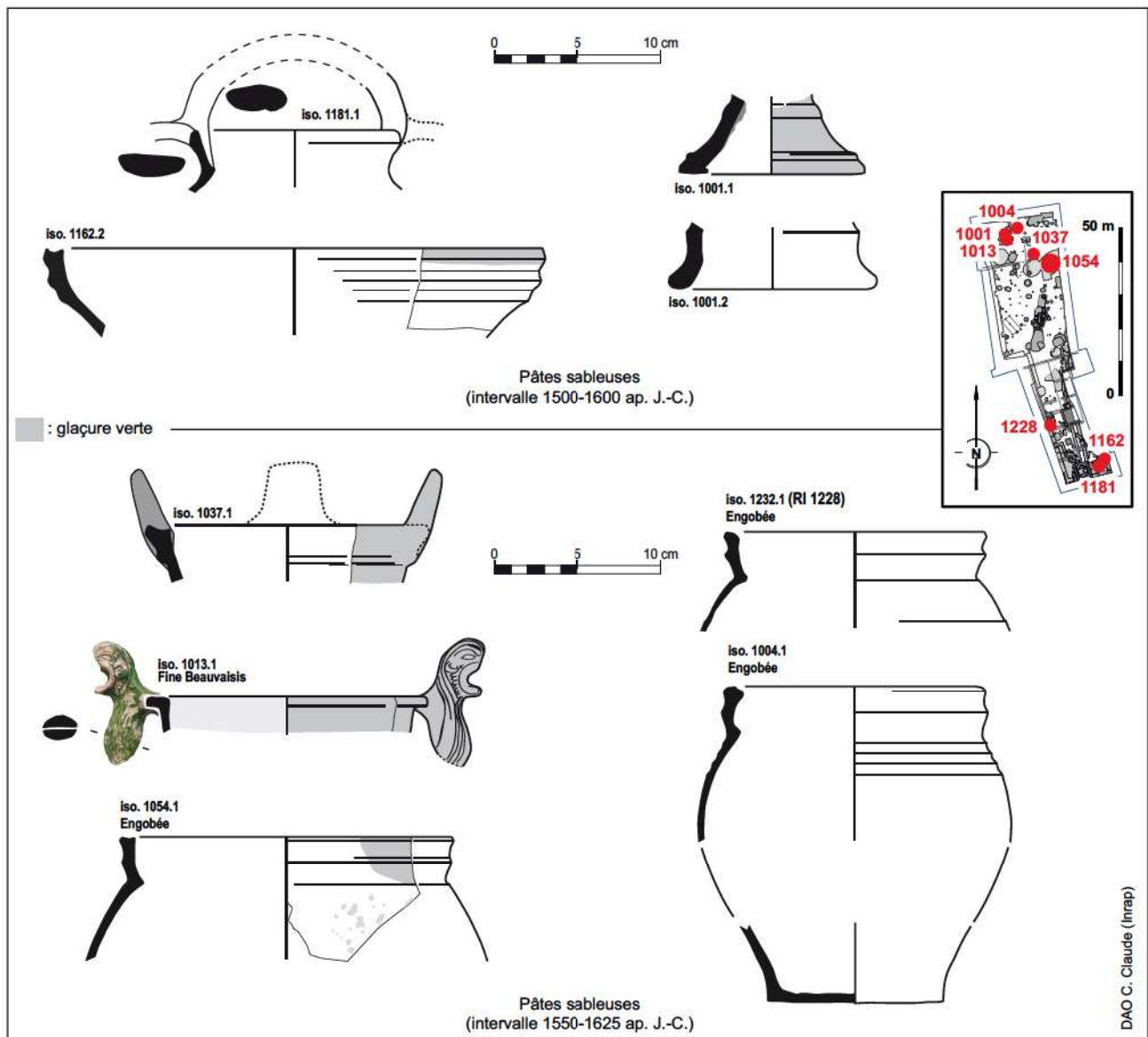
2.2.6.7 Intervalle seconde moitié XVI^e-XVIII^e s. : fosses et excavations

(Fig. II-02-13)

Dans l'angle SSE du décapage, la fosse 1192 a livré 1 tesson de l'intervalle 1500-1700 ap. J.-C. et 1 tesson de l'intervalle 1550-1700 ap. J.-C. (C. Claude : chap. 3.6.4). Elle est recoupée par l'excavation 1091, antérieure aux fondations des murs 1156 et 1157 (TAQ : 1825 ap. J.-C. ; chap. 5 : Pl. 007 et 058).

L'excavation 1162, partiellement décapée et fouillée (palier de sécurité), a livré 28 tessons de l'intervalle 1500-1700 ap. J.-C., dont 18 sont attribuables à la seconde moitié du XVI^e s. (Fig. II-02-15 ; C. Claude : chap. 3.6.4 ; chap. 5 : Pl. 007, 059 et 060). Elle est antérieure au mur 1157 (TAQ : 1825 ap. J.-C. ; chap. 5 : Pl. 068 et 069).

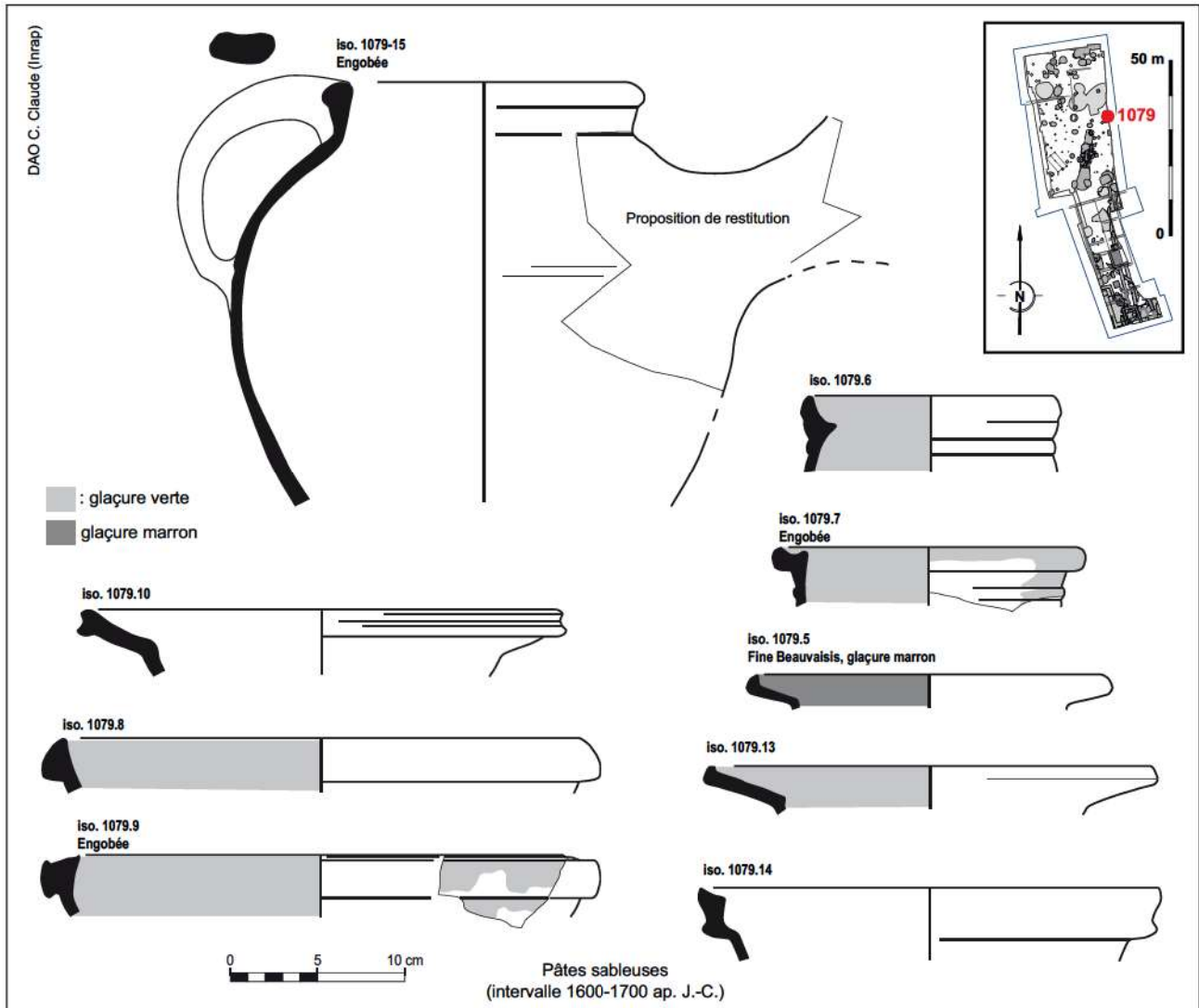
Fig. II-02-15 Melun, 19 rue Saint-Liesne.
Exemples de céramiques de l'intervalle XVI^e-début XVII^e s. © Inrap : C. Claude



Au centre de l'emprise, l'excavation 1127 et les excavations synchrones 1125 et 1129 sont postérieures aux tranchées de récupération 1126 et 1412 du bâtiment 1126 (Fig. II-02-13 ; chap. 5 : Pl. 125 et 126). Elles ont livré des tessons de l'intervalle 1575-1700 ap. J.-C. (C. Claude : chap. 3.6.4 ; chap. 3.8.2 groupe 11a), et sont antérieures au dépôt de l'horizon de remblai de «terre végétale» 1415 (TAQ : 1825 ap. J.-C. ; supra : chap. 2.2.1).

Dans la partie Nord de la parcelle, la fosse 1079, partiellement dégagée en limite de fouille, a livré 78 tessons (NMI : 30) du XVII^e siècle (seconde moitié ? Fig. II-02-16 ; C. Claude : chap. 3.6.1.2 et 3.6.4, Fig. III-06-15 ; chap. 5 : Pl. 127).

Fig. II-02-16 Melun, 19 rue Saint-Liesne. Fosse 1079, céramiques du XVII^e s. © Inrap : C. Claude



2.2.6.8 Intervalle XVII^e-XVIII^e s. : «cave» 1267

(Fig. II-02-13)

Au Sud du décapage, la pièce excavé 1267 recoupe les gravats et remblais d'abandon de l'angle NO de la cave 1211 (*supra*, TPQ : XVII^e s. ; chap. 5 : Pl. 007, 115, 119, 120). Elle possède une profondeur similaire (fond à env. 41,20 m NGF).

Elle a été entièrement récupérée. Ses remblais d'abandon (1267-A) sont synchrones avec ceux de la cave 1380 (1526-A, *supra*, TPQ : XVII^e s. / TAQ : 1825 ap. J.-C. ; chap. 5 : Pl. 123).

En partie inférieure, le négatif de récupération (de maçonneries ?) 1267-B2 dessine une «chambre» allongée trapézoïdale OSO / ENE, d'1,5 m à 1,8 m de largeur pour 3,4 m de longueur, accolée à la cave 1380.

En son centre, une fosse cylindrique (négatif de «puisard» ?) est conservée sur 1 mètre de profondeur.

2.2.7 Fosses et excavations, comblements TPQ XVI^e s. et TPQ XVII^e s.

Dans le quart Nord de la parcelle, les comblements d'une douzaine de creusements, de tailles diverses, possèdent un *Terminus Post Quem* pendant le XVI^e siècle (Fig. II-02-09 ; Fig. II-02-15 ; chap. 3.8.2 groupe 09Z) ; une dizaine d'autres pendant la fin du XVI^e ou le XVII^e siècle, en particulier 4 grandes excavations⁵¹ (Fig. II-02-13 ; Fig. II-02-17 ; chap. 3.8.2 groupe 11Y).

Il est probable qu'ils correspondent au moins en partie à des activités ayant eu lieu durant la période moderne, à l'instar de la fosse 1079 (XVII^e s., *supra*, Fig. II-02-16).

Néanmoins, les quantités de tessons récoltés^e par contexte sont le plus souvent inférieures à 10 tessons (pouvant être résiduels / avoir été «remaniés»).

Ces vestiges sont a priori tous antérieurs et/ou recoupés par l'horizon de «terre végétale» 1408 (qui pourrait correspondre à des labours), dont le scellement définitif intervient entre 1825 et 1950 ou 1965 ap. J.-C. (*supra*, chap. 2.2.1 ; chap. 3.8.2 groupe 12).

La présence de fosses et excavations de période contemporaine (XIX^e-XX^e s.), au sein de cette concentration, n'est donc pas à exclure.

L'absence presque «totale» de mobilier collecté datable du XVIII^e et du XIX^e siècle⁵² ne vaut pas absence d'occupation...

51. Excavations 1032, 1052, 1054 et 1063 (peut-être d'extraction de limons argileux / argiles limoneuses ?) : chap. 5 : Pl. 002 et 129 à 132

52. Sur l'ensemble de la fouille, seuls 3 tessons du XVIII^e s. ont été collectés (en partie sommitale de l'excavation en «puits» 1239, à l'interface entre l'Us 1239-a et l'HZ1408 ; C. Claude : chap. 3.6.1.3 ; Fig. III-03-20 ; chap. 5 : Pl. 043) ; et 1 tesson de la première moitié du XIX^e s (FS1080 ; C. Claude : chap. 3.6.4 ; chap. 5 : Pl. 010, 070).

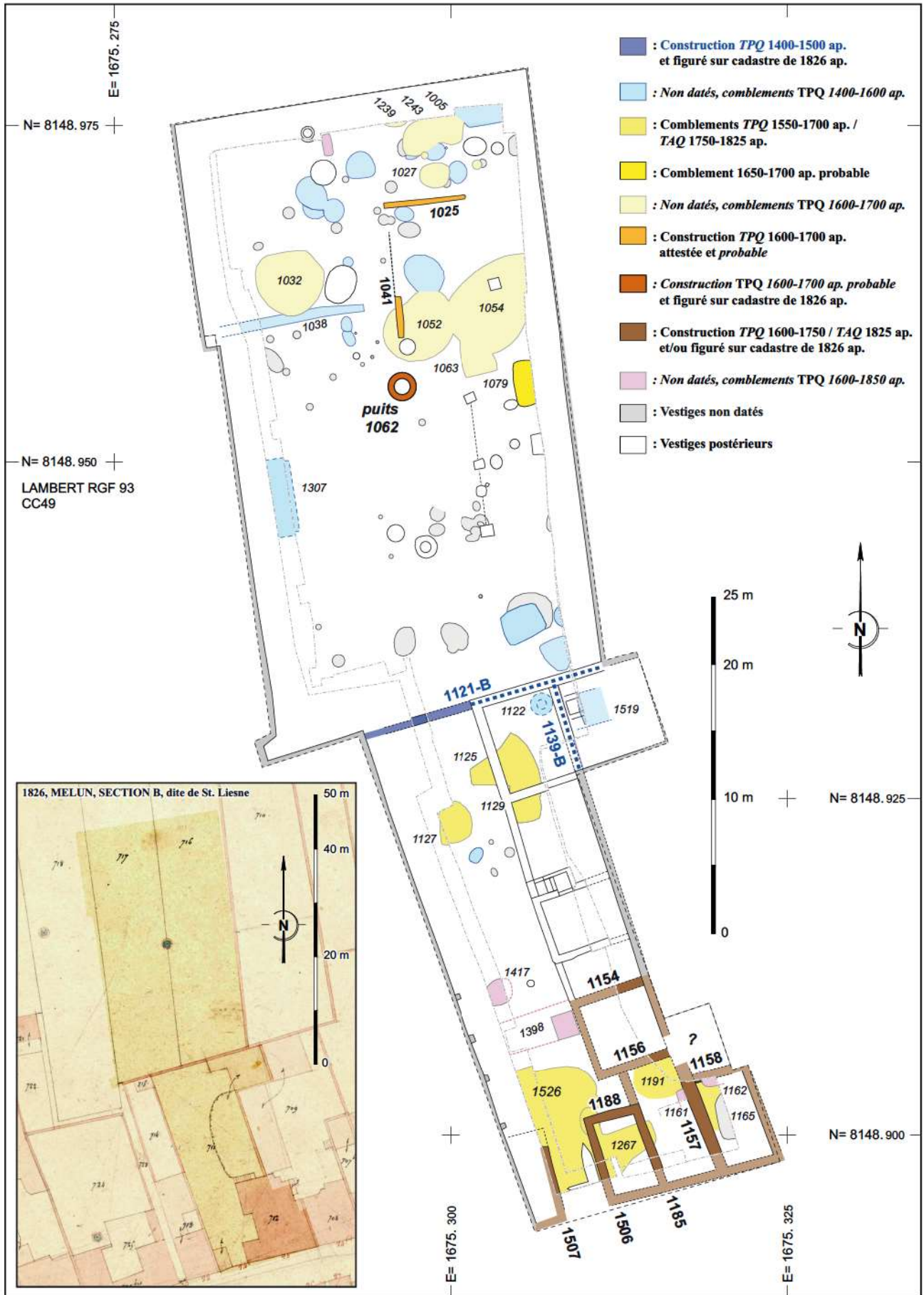


Fig. II-02-17 Melun, 19 rue Saint-Liesne. Proposition de phasage en plan pour l'intervalle XVIII^e-début XIX^e s. et extrait du cadastre «napoléonien» de 1826 © Inrap : G. Desrayaud ; © Archives départementales de Seine-et-Marne, cote 4P37/689

2.2.8 Moderne tardif et période contemporaine (interv. XVIII^e-début XXI^e s.)

2.2.8.1 Constructions TPQ 1600-1750 ap. / TAQ 1825 ap. J.-C.

(Fig. II-02-17)

Dans la moitié méridionale de la parcelle, au Sud du mur 1121-B, les remblais des excavations 1127 et 1125 / 1129 (TPQ : 1575-1700 ap. J.-C. ; postérieures à l'abandon du bâtiment 1126) et des caves 1267 et 1380 (TPQ : 1600-1700 ap. J.-C.) sont recouverts par un apport de «terre végétale» (HZ1415 / 1422, d'un peu moins d'un demi mètre d'épaisseur maximum conservée ; *supra*, chap. 2.2.1).

Plusieurs fondations de murs⁵³ recourent cet horizon (TPQ : 1600-1700 ap. J.-C.) ou les excavations 1162 et 1191 (TPQ : 1550-1700 ap. J.-C.). Elles correspondent aux élévations figurées sur le cadastre de 1826 au Sud de l'emprise (Fig. II-02-17 ; chap. 3.8.2 groupes 13a et 13b ; chap. 5 : Pl. 068 et 069). Au centre, les éléments bâtis du cadastre napoléonien correspondent en partie au mur 1121-B et à la fondation 1139-B (*supra*, TPQ : 1400-1500 ap. J.-C.). Les «reprises» 1121-A et 1139-A sont plus tardives et contemporaines du mur 1128⁵⁴, formant un corps de bâtiment n'apparaissant pas sur le plan de 1826 (Fig. II-02-18 ; chap. 3.8.2 groupe 14a ; chap. 5 : Pl. 070 et 071).

Au Nord, le puits à eau 1062⁵⁵ est également figuré le cadastre napoléonien. D'une profondeur supérieure à 4 mètres, il était encore «ouvert» en juillet 2021. Il n'a pas été fouillé. Sa date de fondation est inconnue (période moderne ? TPQ : 1600-1700 ou antérieur ? Fig. II-02-09 ; Fig. II-02-17). Le segment de récupération de mur 1041⁵⁶, NNO / SSE, qui recoupe l'excavation 1052 (TPQ : 1600-1700 ap. J.-C.), semble correspondre à la limite entre les parcelles 716 et 717 de 1826. La tranchée 1025, perpendiculaire, pourrait être contemporaine.

2.2.8.2 Intervalle 1825-1950 ap. J.-C.

(Fig. II-02-18)

Au cours du XIX^e et de la première moitié du XX^e siècle, des bâtiments et annexes se développent sur tout le pourtour de la parcelle (chap. 3.8.2 groupes 14a et 14b). En l'absence de mobilier datant et d'une étude cartographique et historique approfondie, la chronologie de ces aménagements est difficile à établir. Hormis dans l'angle NE, tous les bâtiments principaux figurés sur le cadastre de 1969-1986 sont discernables sur une photographie aérienne de 1950-1965 (chap. 5 : Pl. 071).

Il semble que les bâtiments de la partie méridionale⁵⁷, notamment sur la frange Est, dans le prolongement du bâti moderne tardif ou du début du XIX^e siècle (ci-dessus), aient été édifiés en premier. Les annexes (dont «boxes») de la partie Nord sont plus tardives et construites sur des horizons de remblais postérieurs au mur 1121-A (1436, 1437, 1444 / 1445⁵⁸ ; chap. 5 : Pl. 48 et 049).

53. Fondations de murs (dont certains étaient encore en élévation en juillet 2021) 1154, 1156, 1157, 1158, 1185, 1188, 1506, 1507 : chap. 5 : Pl. 006, 007, 014 à 019, 021, 056, 058, 059, 068, 070, 115, 121, 122

54. Fondations 1121-B et 1121-A, 1128 et 1139-B / 1139-A, voir chap. 5 : Pl. 003, 008, 035, 048 à 053, 066 à 068, 070, 081

55. Puits 1062, voir chap. 5 : Pl. 002, 003, 011, 012, 067, 068, 070

56. TR1041, voir chap. 5 : Pl. 011, 067, 068, 070, 130

57. Cave 1135 et murs 1121-A, 1128, 1139-A, 1152 et 1153, voir chap. 5 : Pl. 008 et 048 à 055

58. Remblais 1436, 1437, 1444 / 1445, voir chap. 5 : Pl. 036 à 041, 045 à 049, 081 à 087, 099, 128

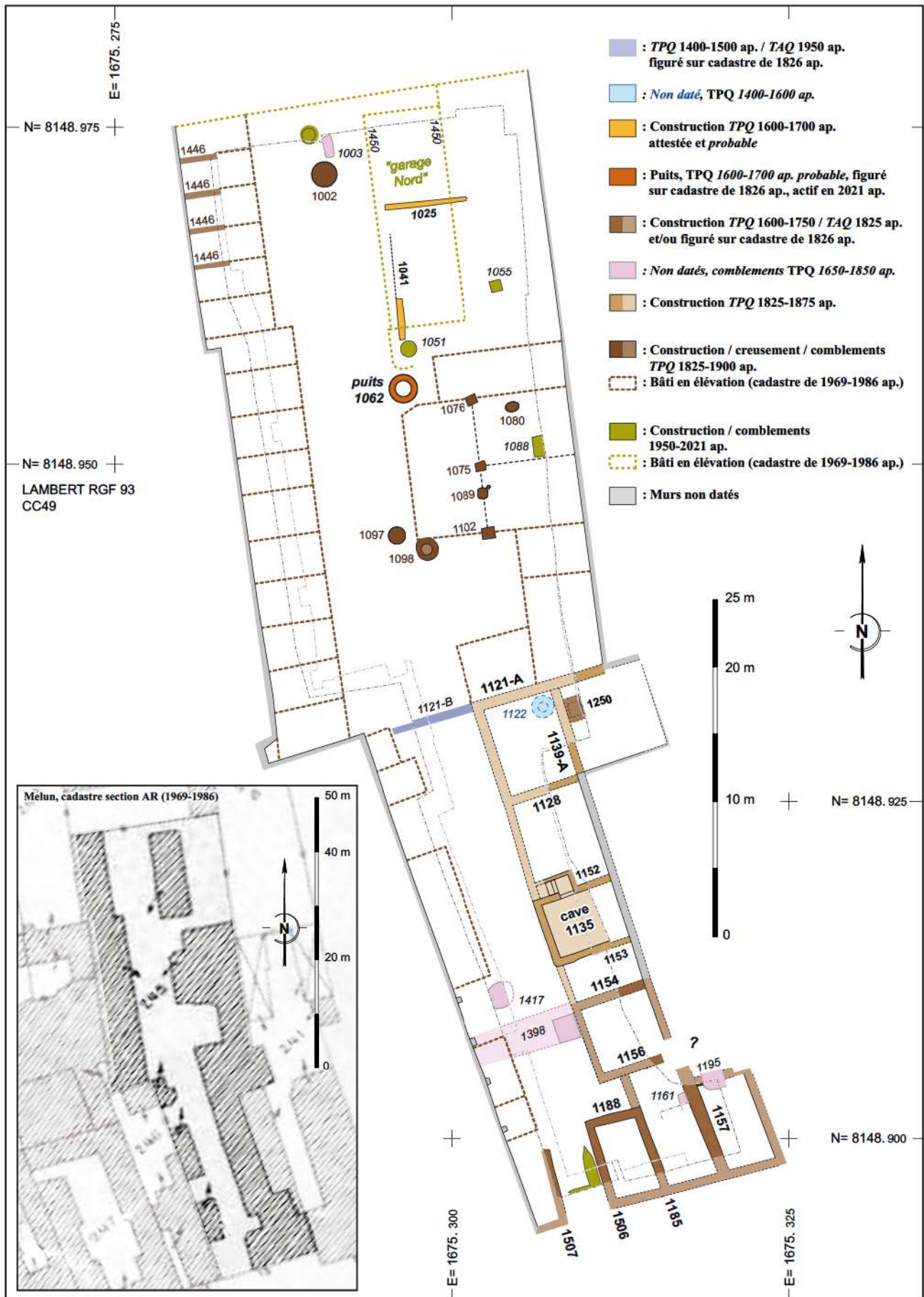


Fig. II-02-18 Melun, 19 rue Saint-Liesne. Proposition de phasage en plan pour l'intervalle XIX^e-début XXI^e s. et extrait du cadastre de 1969-1986 © Inrap : G. Desrayaud ; © Archives départementales de Seine-et-Marne, doc. 2566W10655

On peut signaler la présence d'une cave (1135) et d'un petit bassin maçonné (1250 ; **chap. 5 : Pl. 55 et 059**).

Pendant au moins les deux derniers tiers du XIX^e siècle, les propriétaires des parcelles méridionales «napoléoniennes» (711 et 712) sont boulangers (*supra*, N. Leroyer-Perez : **chap. 2.1.2.2**). Pendant la fouille de 2021, des voisins ont évoqué la présence d'un four à pain dans un angle, au SE de l'emprise (**chap. 5 : Pl. 007**). L'instabilité du bâti, après démolition, et la présence d'un tas de gravats faisant butée, en cet endroit, n'ont pas permis d'explorer cette possibilité (*supra*, **Fig. II-01-05 : B**).

2.2.8.3 Intervalle 1950-2021 ap. J.-C.

(**Fig. II-02-18**)

Au NE de la parcelle, un bâtiment figuré sur le cadastre de 1969-1986 n'apparaît pas sur une photographie aérienne de 1950-1965, ce qui indique sa construction pendant l'intervalle 1950-1985 ap. J.-C. («garage nord» ; **chap. 5 : Pl. 070 et 071**).

A la fin des années 2010, la parcelle du 19 rue Saint-Liesne était occupée par une « Brasserie-Bistrot »⁵⁹ (en bord de voie), un marchand de vin (dans l'arrière-cour), des logements, ainsi que des boxes et dépendances servant de «garages», d'«ateliers» improvisés et/ou de lieux de stockage (**chap. 5 : Pl. 001**). Un petit jardin privatif subsistait encore en 2019, dans l'angle Nord-oriental...

59. « L'Écrivain ».

2.3. Conclusion

Malgré une surface réduite (décapage de 8,5 m à 21,5 m de large pour 81 m de longueur ; 1175 m²), contrainte par un dense tissu urbain actuel, la fouille du 19 de la rue Saint-Liesne a révélé la richesse archéologique de ce secteur du faubourg, sur plus de deux millénaires. Ce potentiel était déjà perceptible suite aux investigations menées en 1994 sur une parcelle proche (Guinchard 1994).

Une présence antique ancienne est marquée par un fossé avec dépôt de faune (date calibrée -175 av. / + 8 ap. J.-C. à 95,4 %), probablement de période gauloise (-175 / -26 cal avant J.-C. à 89,3 %). Les indices melunais de La Tène finale (milieu II^e-milieu I^{er} s. avant J.-C.) sont suffisamment rares pour être soulignés (Le Blay, Luccisano 2013).

La fouille du four de tuilier gallo-romain, le premier découvert sur la commune de Melun, constitue un apport majeur à la connaissance de l'environnement proche de la zone urbaine de *Metlosedum*. Il n'est distant que de quelques centaines de mètres des premiers quartiers de la ville antique.

Sa dernière « mise au feu » a pu être datée par archéomagnétisme de l'intervalle I^{er}-milieu II^e s. ap. J.-C. à 95 % de probabilité. Il a donc fonctionné pendant l'essor et/ou « l'apogée » de la ville antique, au cours de la première partie du Haut-Empire.

L'implantation de cette tuilerie, dans la basse vallée de l'Almont, est peut-être liée à la proximité de gisements d'argile⁶⁰ et, sans doute, à l'existence de la rivière et/ou d'une probable voie terrestre (ancien tracé de la rue Saint-Liesne ?). L'importance de ce secteur artisanal, qui pouvait comprendre plusieurs structures de production, reste à définir.

21

Lors des fouilles de 1994 et de 2019, des bâtiments sur poteaux, des fosses, dont des unités de stockage (« silos »), et des céramiques, allant des IV^e-V^e s. aux XI^e-XII^e s. ap. J.-C., ont été mise au jour. Ils indiquent et suggèrent l'existence d'un pôle d'occupation Bas Empire à médiéval (en particulier mérovingien précoce) distinct, ou complémentaire, de celui centré sur la paroisse Saint-Liesne, en contre-haut du versant (sépultures des VI^e-VII^e, dont sarcophages, et église romane succédant à un édifice carolingien ; Laneluc 2006 p. 29 ; Förstel 2006 pp. 35 et 39).

Au n°19, le développement du faubourg, se recentrant le long de la voie, est nettement perceptible à partir du XIV^e s. jusqu'au XVII^e s., par la présence de fondations et structures excavées maçonnées (notamment de caves).

Les lopins en retrait semblent adopter et/ou conserver un aspect « rural » / « maraîcher », au moins jusqu'au XIX^e siècle.

Un niveau de remblai de « terre végétale » marque la transition entre l'abandon des implantations modernes et les constructions figurées sur le cadastre de 1826 (HZ1415 / 1422). Plus qu'une réorganisation, il pourrait peut-être indiquer une rétraction relative du tissu urbain au cours du XVII^e et/ou du XVIII^e siècle, avant l'essor de la période contemporaine, qui se poursuit jusqu'à nos jours.

60. Voir *infra*, G. Chamarré : **chap. 3.3.2** ; ce qui pourrait également expliquer la présence de plusieurs tuileries-briqueteries au XIX^e s. (*supra* N. Royer-Perez : **chap. 2.1.2.2**).

III. **Annexes**

3.1. Annexe 1 : C14-BetaAnalytic



Beta Analytic, Inc.
 4985 SW 74th Court
 Miami, FL 33155 USA
 Tel: 305-667-5167
 Fax: 305-663-0964
info@betalabservices.com

ISO/IEC 17025:2017-Accredited Testing Laboratory

RAPPORT D'ANALYSE DE DATATION AU RADIOCARBONE

Gilles Desrayaud

Date du rapport : 09 février 2022

INRAP

Matériau reçu le : 20 janvier 2022

Informations et données échantillon	Code échantillon	Age radiocarbone conventionnel (BP) ou Pourcentage de carbone moderne (pMC) & Isotopes stables
-------------------------------------	------------------	--

Beta - 616711	01-19STLIE21-1247-crâne	2080 +/- 30 BP IRMS δ13C: -21.8 o/oo IRMS δ15N: +5.5 o/oo
----------------------	--------------------------------	--

(89.3%) 175 - 26 cal BC(2124 - 1975 cal BP)
 (6.1%) 19 cal BC - 8 cal AD(1968 - 1942 cal BP)

Matériau envoyé par le client : Bone (Non-heated)
 Prétraitement : (collagène de l'os) extraction de collagène avec alcali
 Matériau analysé : Collagène de l'os
 Service d'analyse : Service AMS-STANDARD
 % de carbone moderne : 77.19 +/- 0.29 pMC
 Fraction de carbone moderne : 0.7719 +/- 0.0029
 D14C: -228.13 +/- 2.88 o/oo
 Δ14C: -234.82 +/- 2.88 o/oo(1950:2022)
 Age radiocarbone mesuré : (sans correction d13C): 2030 +/- 30 BP
 Calibration : BetaCal4.20: HPD method: INTCAL20
 Carbone / Azote : CN : 3.5 %C: 34.27 %N: 11.32

Les résultats sont certifiés ISO / IEC-17025: 2005. Nous n'avons eu recours à aucune sous-traitance et aucun travail étudiant. Toutes les analyses ont été réalisées par Beta dans ses 4 spectromètres de masse par accélérateur NEC et 4 spectromètres de masse de rapport isotopique (IRMS) Thermo. L' « âge radiocarbone conventionnel » a été calculé à l'aide de la demi-vie de Libby (5568 ans) ; il est corrigé pour le fractionnement isotopique total et est utilisé pour la calibration, le cas échéant. L'âge est arrondi à la décennie la plus proche et est reporté en années radiocarbone « avant le présent » (BP), où le « présent » = 1950 AD. Les résultats supérieurs à la référence moderne sont reportés comme pourcentage de carbone moderne (pMC). La norme de référence moderne correspond à 95% de la signature C14 du NIST SRM-4990C (acide oxalique). Les erreurs citées correspondent à des statistiques de comptage à 1 sigma. Les sigmas calculés inférieurs à 30 BP sur l'âge radiocarbone conventionnel sont arrondis de façon conservatrice à 30. Les valeurs d13C correspondent au matériau en lui-même (et non à la valeur d13C de l'AMS). Les valeurs d13C et d15N sont relatives à VPDB. Les références pour les calibrations sont citées en bas des pages contenant les graphiques de calibration.



Beta Analytic
TESTING LABORATORY

Beta Analytic, Inc.
4985 SW 74th Court
Miami, FL 33155 USA
Tel: 305-667-5167
Fax: 305-663-0964
info@betalabservices.com

ISO/IEC 17025:2017-Accredited Testing Laboratory

RAPPORT D'ANALYSE DE DATATION AU RADIOCARBONE

Gilles Desrayaud

Date du rapport : 09 février 2022

INRAP

Matériau reçu le : 20 janvier 2022

Informations et données
échantillon

Code échantillon

Age radiocarbone conventionnel (BP) ou
Pourcentage de carbone moderne (pMC) &
Isotopes stables

Beta - 616712

02-19STLIE21-1247-mandibule

2080 +/- 30 BP

IRMS $\delta^{13}C$: -21.6 ‰
IRMS $\delta^{15}N$: +4.2 ‰

**(89.3%)
(6.1%)**

**175 - 26 cal BC(2124 - 1975 cal BP)
19 cal BC - 8 cal AD(1968 - 1942 cal BP)**

Matériau envoyé par le client : Bone (Non-heated)

Prétraitement : (collagène de l'os) extraction de collagène avec
alcali

Matériau analysé : Collagène de l'os

Service d'analyse : Service AMS-STANDARD

% de carbone moderne : 77.19 +/- 0.29 pMC

Fraction de carbone moderne : 0.7719 +/- 0.0029

D14C: -228.13 +/- 2.88 ‰

$\Delta^{14}C$: -234.82 +/- 2.88 ‰(1950:2022)

Age radiocarbone mesuré : (sans correction d13C): 2020 +/- 30 BP

Calibration : BetaCal4.20: HPD method: INTCAL20

Carbone / Azote : CN : 3.4 %C: 38.91 %N: 13.38

Les résultats sont certifiés ISO / IEC-17025: 2005. Nous n'avons eu recours à aucune sous-traitance et aucun travail étudiant. Toutes les analyses ont été réalisées par Beta dans ses 4 spectromètres de masse par accélérateur NEC et 4 spectromètres de masse de rapport isotopique (IRMS) Thermo. L' « âge radiocarbone conventionnel » a été calculé à l'aide de la demi-vie de Libby (5568 ans) ; il est corrigé pour le fractionnement isotopique total et est utilisé pour la calibration, le cas échéant. L'âge est arrondi à la décennie la plus proche et est reporté en années radiocarbone « avant le présent » (BP), où le « présent » = 1950 AD. Les résultats supérieurs à la référence moderne sont reportés comme pourcentage de carbone moderne (pMC). La norme de référence moderne correspond à 95% de la signature C14 du NIST SRM-4990C (acide oxalique). Les erreurs citées correspondent à des statistiques de comptage à 1 sigma. Les sigmas calculés inférieurs à 30 BP sur l'âge radiocarbone conventionnel sont arrondis de façon conservatrice à 30. Les valeurs d13C correspondent au matériau en lui-même (et non à la valeur d13C de l'AMS). Les valeurs d13C et d15N sont relatives à VPDB. Les références pour les calibrations sont citées en bas des pages contenant les graphiques de calibration.

BetaCal 4.20

Âge radiocarbone calibré en années calendaires

(Fourchettes de probabilité les plus élevées : INTCAL20)

(Variables: d13C = -21.8 ‰)

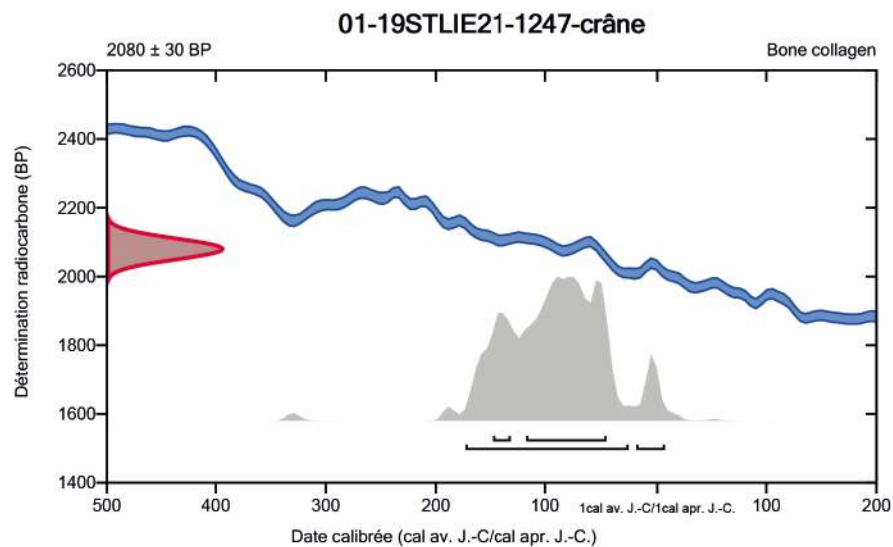
Code laboratoire Beta-616711**Âge radiocarbone conventionnel 2080 ± 30 BP**

95.4% probabilité

(89.3%)	175 - 26 cal av. J.-C	(2124 - 1975 cal BP)
(6.1%)	19 cal av. J.-C - 8 cal	(1968 - 1942 cal BP)

68.2% probabilité

(57.4%)	119 - 46 cal av. J.-C	(2068 - 1995 cal BP)
(10.8%)	150 - 133 cal av. J.-C	(2099 - 2082 cal BP)

**Base de données utilisée**

INTCAL20

Références**Références à la méthode de probabilité**

Bronk Ramsey, C. (2009). Bayesian analysis of radiocarbon dates. Radiocarbon, 51(1), 337-360.

Références à la base de données INTCAL20

Reimer, et al., 2020, Radiocarbon 62(4):725-757.

Beta Analytic Radiocarbon Dating Laboratory

4985 S.W. 74th Court, Miami, Florida 33155 • Tel: (305)667-5167 • Fax: (305)663-0964 • Email: beta@radiocarbon.com

BetaCal 4.20

Âge radiocarbone calibré en années calendaires

(Fourchettes de probabilité les plus élevées : INTCAL20)

(Variables: d13C = -21.6 o/oo)

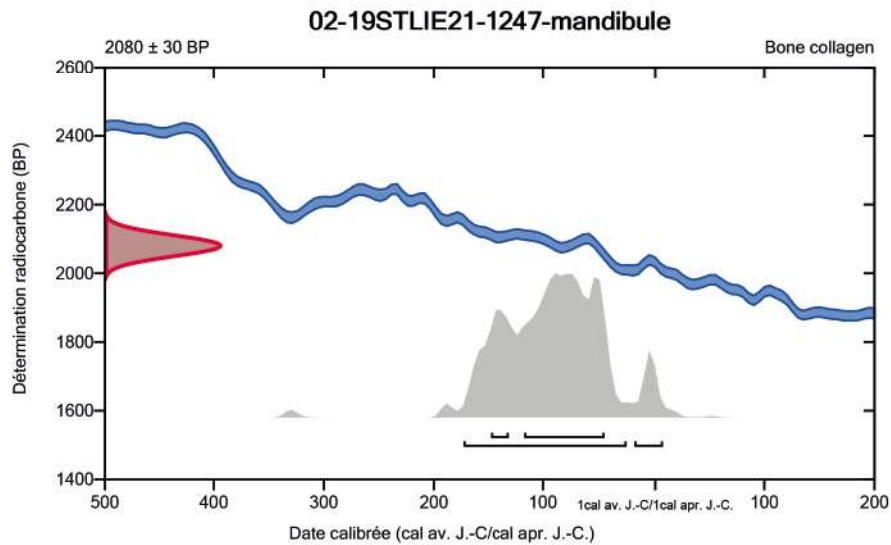
Code laboratoire **Beta-616712****Âge radiocarbone conventionnel** **2080 ± 30 BP**

95.4% probabilité

(89.3%)	175 - 26 cal av. J.-C	(2124 - 1975 cal BP)
(6.1%)	19 cal av. J.-C - 8 cal	(1968 - 1942 cal BP)

68.2% probabilité

(57.4%)	119 - 46 cal av. J.-C	(2068 - 1995 cal BP)
(10.8%)	150 - 133 cal av. J.-C	(2099 - 2082 cal BP)

**Base de données utilisée**
INTCAL20**Références****Références à la méthode de probabilité**

Bronk Ramsey, C. (2009). Bayesian analysis of radiocarbon dates. Radiocarbon, 51(1), 337-360.

Références à la base de données INTCAL20

Reimer, et al., 2020, Radiocarbon 62(4):725-757.

Beta Analytic Radiocarbon Dating Laboratory

4985 S.W. 74th Court, Miami, Florida 33155 • Tel: (305)667-5167 • Fax: (305)663-0964 • Email: beta@radiocarbon.com



Beta Analytic
TESTING LABORATORY

Beta Analytic, Inc.
4985 SW 74th Court
Miami, FL 33155 USA
Tel: 305-667-5167
Fax: 305-663-0964
info@betalabservices.com

ISO/IEC 17025:2017-Accredited Testing Laboratory

Quality Assurance Report

This report provides the results of reference materials used to validate radiocarbon analyses prior to reporting. Known-value reference materials were analyzed quasi-simultaneously with the unknowns. Results are reported as expected values vs measured values. Reported values are calculated relative to NISTSRM-1990C and corrected for isotopic fractionation. Results are reported using the direct analytical measure percent modern carbon (pMC) with one relative standard deviation. Agreement between expected and measured values is taken as being within 2 sigma agreement (error x 2) to account for total laboratory error.

Report Date: February 09, 2022
Submitter: Mr. Gilles Desrayaud

QA MEASUREMENTS

Reference 1

Expected Value: 129.41 +/- 0.06 pMC
Measured Value: 129.44 +/- 0.37 pMC
Agreement: Accepted

Reference 2

Expected Value: 96.69 +/- 0.50 pMC
Measured Value: 97.04 +/- 0.29 pMC
Agreement: Accepted

Reference 3

Expected Value: 0.42 +/- 0.04 pMC
Measured Value: 0.42 +/- 0.03 pMC
Agreement: Accepted

COMMENT: All measurements passed acceptance tests.

Validation:

Signature of B.E. Desrayaud
Digital signature on file

Date: February 09, 2022

3.2. Annexe 2 : Rapport d'analyse archéomagnétique sur le four de tuilier 1074 (Nicolas Warmé, Inrap)

Contacts :

Yves Gallet, Université de Paris, Institut de Physique du Globe de Paris (équipe de Paléomagnétisme), CNRS, 1 rue Jussieu, 75005 Paris.
gallet@ipgp.fr

Agnès Genevey, Sorbonne Université, CNRS, Laboratoire d'Archéologie Moléculaire et Structurale (LAMS), CNRS, 4 place Jussieu, 75005 Paris.
Agnes.genevey@upmc.fr

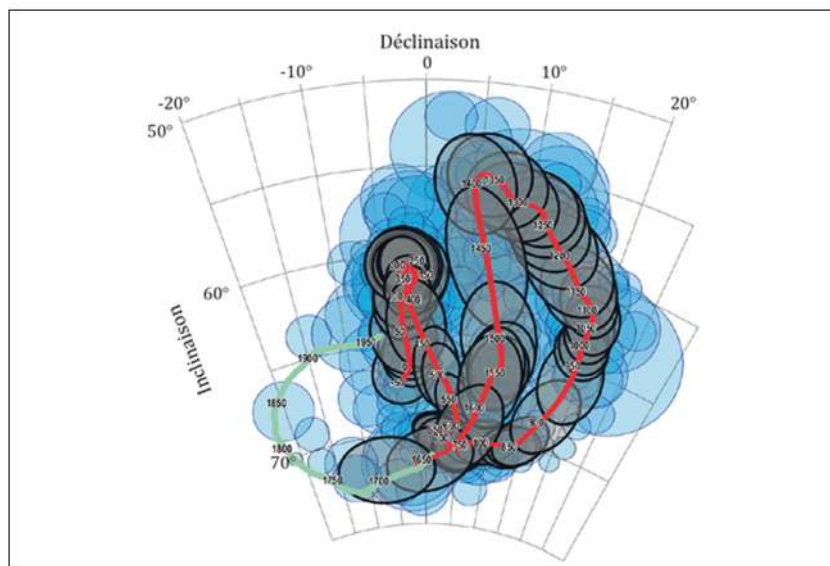
Nicolas Warmé, Institut National de Recherches Archéologiques Préventives, 34-36 avenue Paul Vaillant Couturier 93120 La Courneuve.
nicolas.warme@inrap.fr

3.2.1 Présentation de la méthode utilisée

3.2.1.1 Principes généraux d'une datation archéomagnétique

L'archéomagnétisme repose sur deux phénomènes qui sont d'une part, l'existence d'un champ magnétique terrestre (CMT) dont la direction et l'intensité en un même lieu varient continuellement dans le temps et d'autre part, la propriété des oxydes de fer contenus dans les sols d'acquiescer au cours d'un refroidissement consécutif à un chauffage une aimantation thermorémanente (ATR) de même direction que le champ magnétique environnant et d'intensité proportionnelle à celui-ci. Nous disposons pour la France métropolitaine d'une courbe de référence des variations directionnelles du CMT pour les vingt et un derniers siècles qui peut être utilisée à des fins de datation pour la pratique archéologique (Fig. III-02-01). Celle-ci repose sur l'acquisition depuis plus de 50 ans de nombreuses données archéomagnétiques obtenues à partir de structures de combustion (fours de tuiliers, de potiers, domestiques, fours à chaux) datées, grâce aux contraintes archéologiques, des périodes allant de ~100 avant J.-C. à ~1700 après J.-C. avec une précision inférieure ou égale à 100 ans (voir les synthèses successives des données disponibles faites par Thellier (1981), Bucur (1994) et Le Goff *et al.* (2020), ainsi que la discussion complémentaire faite par Le Goff et Gallet (2019)). La courbe archéomagnétique, qui a été réactualisée (Le Goff *et al.*, 2020), est construite en utilisant la méthode statistique des fenêtres glissantes dont les durées sont ajustées suivant la distribution dans le temps des données disponibles (méthode développée par Le Goff *et al.*, 2002). Pour les périodes plus récentes que 1700 après J.-C., les variations directionnelles sont connues à partir des mesures directes, ou instrumentales, effectuées dans des observatoires (Le Goff et Gallet, 2017). Une datation archéomagnétique est obtenue par comparaison probabiliste et/ou statistique entre une direction archéomagnétique déterminée à partir d'une structure de combustion d'âge inconnu et l'ensemble des directions définissant la courbe de référence des variations directionnelles du CMT (en l'occurrence celles de la Fig. III-02-01 ; voir ci-dessous).

Fig. III-02-01 Variations directionnelles du champ magnétique terrestre en France entre 100 av. J.-C. et 1700 après J.-C. déduites des données archéomagnétiques (courbe moyenne en rouge et ovals de confiance à 95% en grisés ; d'après Le Goff *et al.*, 2020). Entre 1700 et 2000 après J.-C., les directions géomagnétiques sont connues grâce aux données d'observatoire (courbe en vert pâle). Les données ayant été utilisées pour calculer la courbe archéomagnétique moyenne sont également reportées en bleu clair. Toutes les données sont réduites à Paris © Inrap



3.2.1.2 Prélèvements des échantillons et mesure de leur aimantation rémanente

Les échantillons sont prélevés selon la technique du chapeau de plâtre permettant leur orientation in situ par rapport au nord géographique et au nord magnétique actuel (une description précise de la méthode est donnée par Thellier (1981) et Le Goff *et al.* (2020)). Ces échantillons sont extraits de blocs d'argile cuite dégagés dans les parties les plus cuites et les mieux conservées des structures et consolidés à l'aide de bandes plâtrées afin de préserver leur cohésion. Au laboratoire, les blocs sont sciés afin d'isoler les échantillons. Chaque échantillon, auquel est associé un chapeau de plâtre portant son orientation, est placé dans un moule cubique de 12 cm de côté et noyé dans du plâtre. Les échantillons sont alors prêts pour la mesure de leur aimantation. L'aimantation rémanente des échantillons est mesurée au laboratoire d'archéomagnétisme de l'IPGP (Institut Physique du Globe de Paris) situé au sein de l'observatoire magnétique national à Chambon-la-Forêt en utilisant l'inductomètre à rotation continue adapté à la grande taille des échantillons (Le Goff, 1975). Nous rappelons brièvement que l'aimantation rémanente des échantillons est très généralement la simple superposition d'une aimantation thermorémanente (ATR) acquise lors du refroidissement consécutif à la dernière chauffe du four et d'une aimantation rémanente visqueuse (ARV) qui est due au fait que l'aimantation d'une fraction des grains magnétiques préalablement bloquée suivant une direction magnétique ancienne tend à se réaligner suivant la direction du champ magnétique ambiant (par exemple Dunlop et Özdemir, 1997). Pour estimer l'importance de l'ARV par rapport à l'ATR et éliminer l'essentiel de son effet, les échantillons sont laissés en traînage magnétique pendant environ un mois dans la direction du champ géomagnétique ambiant. Après ce laps de temps, l'aimantation rémanente des échantillons est mesurée une première fois. Les échantillons sont ensuite placés en position inverse à la précédente et laissés à nouveau en traînage magnétique pendant une même durée d'environ un mois. Une seconde mesure de leur aimantation permet alors d'estimer par différence vectorielle l'importance de l'ARV par rapport à l'ATR et de corriger son effet sur la direction de l'ATR. Les échantillons qui présentent un taux de viscosité (exprimé en % par le rapport ARV/ATR), trop important (>10-15%) sont éliminés car la direction de leur ATR pourrait être biaisée par une certaine fraction de l'ARV non soustraite.

3.2.1.3 Traitement des données archéomagnétiques

3.2.1.3.1 Calcul de la direction magnétique moyenne

Chaque échantillon mesuré permet d'obtenir une direction caractérisée par deux angles, l'inclinaison (angle entre le vecteur aimantation et l'horizontal) et la déclinaison (angle entre la projection sur l'horizontal du vecteur aimantation et la direction du nord géographique). Pour calculer une direction magnétique moyenne caractéristique du four, nous utilisons la statistique de Fisher qui est l'adaptation de la loi normale sur une sphère de rayon unité (Fisher 1953). Cette statistique permet d'obtenir une estimation de la direction moyenne avec des paramètres de qualité qui sont le facteur de précision K (paramètre de Fisher) et la valeur du demi angle d'ouverture d'un cône circulaire où la vraie direction a 95% de chances de se trouver (appelé α_{95}). Une direction moyenne est d'autant plus précise que K est grand et donc α_{95} petit ($\alpha_{95} \approx 140/\sqrt{KN}$ avec N le nombre d'échantillons).

3.2.1.3.2 Calcul de d'intervalle d'âge

Une datation archéomagnétique repose sur la comparaison entre la direction archéomagnétique moyenne obtenue pour la structure de combustion d'âge inconnu et la courbe de référence datée des variations directionnelles du champ magnétique terrestre. Un intervalle d'âge est obtenu en utilisant deux méthodes différentes mais complémentaires. La première méthode consiste à déterminer la (ou les) période(s) de temps où la direction à dater est le plus proche des directions de la courbe de référence en prenant en compte leurs ovales de confiance à 95%. On calcule le produit des densités de probabilité fonction de la distance angulaire courante entre la direction à dater et une direction de référence. En considérant tour à tour les différentes directions de référence, on obtient une courbe que l'on normalise à la valeur maximale pour obtenir une datation par maximum de proximité avec un niveau de probabilité (relative) à 95%. Ci-après, cette méthode est donc appelée « datation par maximum de proximité ».

La seconde approche, plus restrictive, développée par Le Goff *et al.* (2002), revient à déterminer une datation archéomagnétique en calculant cette fois la probabilité avec laquelle la direction à dater peut être statistiquement incluse ou non dans les ovales de confiance des directions de la courbe de référence avec un seuil de confiance à 95%, en l'occurrence quand leur distance angulaire est inférieure à une certaine valeur critique calculée à 95% (voir McFadden et McElhinny, 1990); dans ce cas, les directions sont considérées compatibles d'un point de vue statistique avec un seuil de confiance à 95%. Cette approche est clairement plus contraignante que la première car elle nécessite un excellent accord entre les directions pour qu'une datation soit mise en avant, quand la première méthode ne repose que sur une proximité relative. Ci-dessous, cette seconde méthode est appelée « datation par compatibilité (ou équivalence) statistique ».

Nous avons ainsi deux niveaux possibles de lecture :

- Le premier niveau correspond à la première méthode basée sur un calcul de maximum de proximité relative (à noter qu'un niveau de probabilité est déterminé à 95%).
- Le second niveau est la datation par équivalence statistique avec un seuil de confiance à 95% (Le Goff *et al.*, 2002).

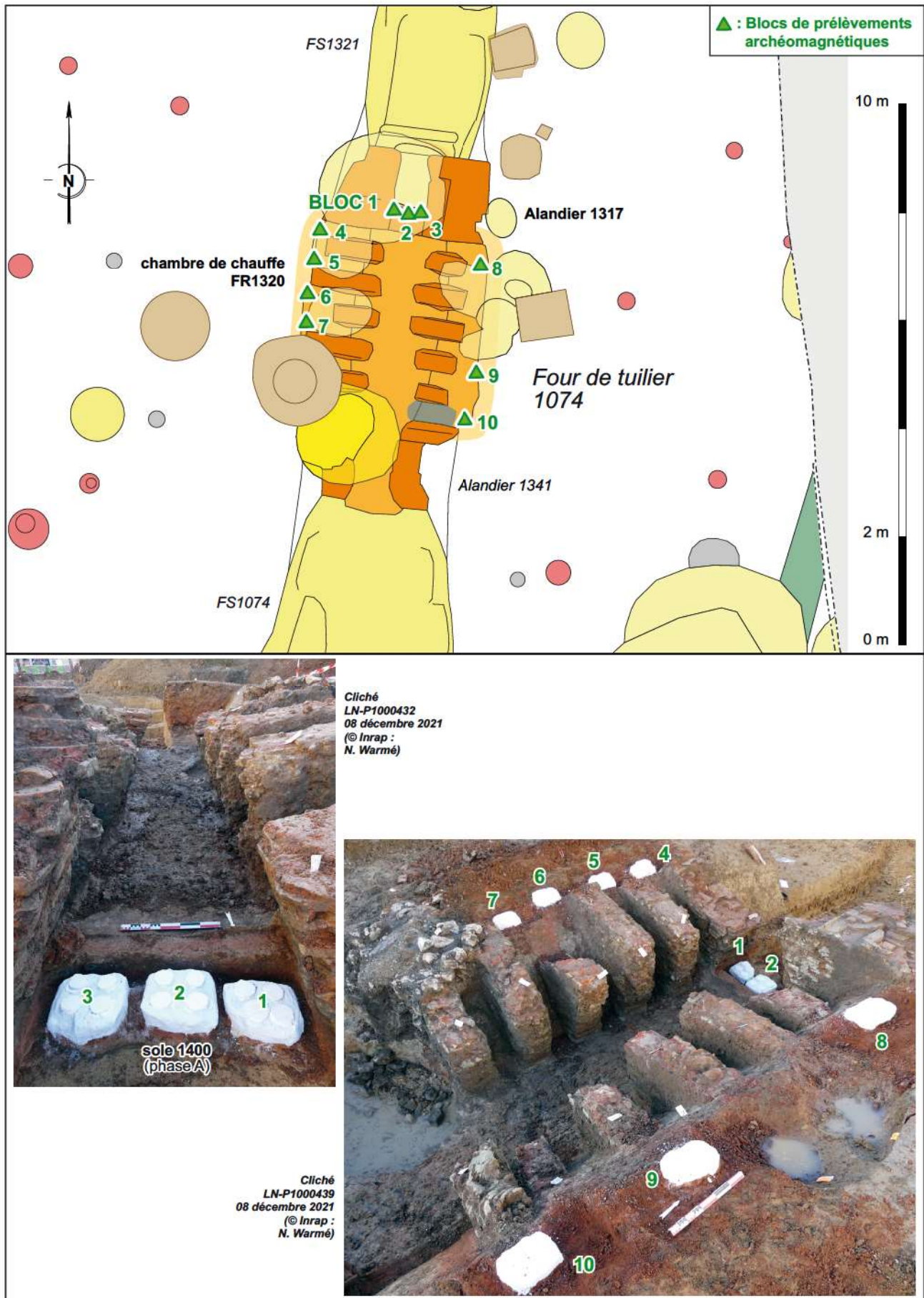


Fig. III-02-02 Localisation des prélèvements archéomagnétiques du four 1074 © Inrap : N. Warmé, G. Desrayaud, R. Touquet

3.2.2 Présentation des résultats archéomagnétiques

Les résultats obtenus sont détaillés et évalués suivant des critères homogènes de qualité, avant d'être comparés à la courbe de référence des variations directionnelles du champ géomagnétique. Une direction archéomagnétique moyenne est calculée à partir de l'ensemble des directions magnétiques individuelles retenues. Elle est donnée avec un bref commentaire sur la sélection des données et sur sa qualité. Cette direction archéomagnétique est transférée à Paris en utilisant la méthode des Pôles Géomagnétiques Virtuels (PGV) afin d'être comparée à la courbe directionnelle de référence qui est calculée elle-même à Paris. La datation archéomagnétique issue de la comparaison en question, établie sous forme d'une figure, repose sur les deux approches décrites précédemment.

3.2.2.1 Four 1074 – (code archéomagnétique MEL 1074)

Echantillonnage effectué le 8 décembre 2021

Localisation du four : Latitude 48° 32' N, Longitude : 002° 39' E

3.2.2.1.1 Commentaire sur le prélèvement

Il s'agit d'un four de tuilier présentant deux états de fonctionnement, le deuxième état correspondant au raccourcissement de la chambre de chauffe du premier état à l'aide d'un muret de tuiles condamnant une partie du fond de la chambre de chauffe.

Trois blocs de 4 échantillons chacun sont issus de l'état 1 du four (phase A ; sole 1400 de l'alandier 1317 ; 12 échantillons au total) et sept blocs de 2 échantillons sont issus de l'état 2 (phase B ; chambre de chauffe FR1320 ; 14 échantillons au total), soit 26 échantillons en tout (Fig. III-02-02). Ces échantillons ont été orientés par rapport au nord magnétique local en utilisant un déclinatoire. La valeur de déclinaison magnétique locale appliquée sur cette structure est celle donnée par le modèle de référence IGRF (pour International Geomagnetic Reference Field) de la 13^{ème} génération, qui est 1,3° au site le 8 décembre 2021.

Pour des questions de temps d'étude, une sélection de 12 échantillons issus des deux états a été réalisée au laboratoire : 6 échantillons de l'état 1 (2 par bloc) et 6 échantillons de l'état 2 (1 par bloc, excepté un bloc).

3.2.2.1.2 Calcul de la direction moyenne

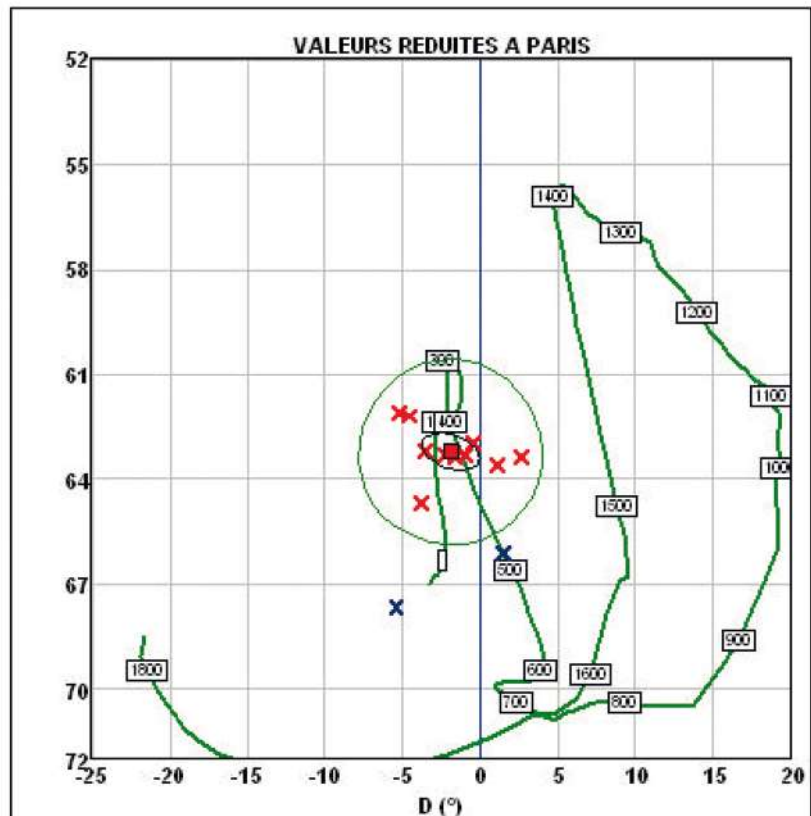
Les directions individuelles qu'elles soient issues de l'un ou l'autre des deux états du four partagent la même distribution statistique (McFadden et McElhinny 1990). A l'échelle de l'archéomagnétisme on ne peut distinguer les deux phases, soit parce qu'elles sont très proches dans le temps (à l'échelle de l'archéomagnétisme), soit que la partie condamnée a malgré tout entièrement rechauffé durant l'utilisation de la partie restée active du four.

Les deux lots sont donc rassemblés pour le calcul d'une direction moyenne.

Les directions individuelles sont dans l'ensemble bien groupées (à l'exception de deux directions (échantillons 07 et 08 issus de l'état 1) qui montrent des valeurs en inclinaison plus élevées que les autres directions) ; ces deux directions sont écartées du calcul de la direction moyenne (Fig. III-02-03).

Fig. III-02-03 Directions archéomagnétiques obtenues pour le four 1074 (en abscisse, les valeurs de déclinaison et en ordonnée, les valeurs d'inclinaison). Les croix rouges indiquent les directions retenues pour le calcul d'une direction moyenne et les croix bleues correspondent aux directions écartées du calcul. Le carré rouge représente la direction moyenne et le trait noir autour, son cercle de confiance à 95%. L'ovale en vert correspond à la zone où les directions individuelles sont considérées comme appartenant à la même distribution statistique (McFadden et McElhinny 1990). Le trait vert épais montre la courbe de référence des variations directionnelles du champ géomagnétique en France au cours des deux derniers millénaires (Le Goff *et al.*, 2020)

© Inrap : N. Warmé



La direction moyenne obtenue est :

- Au site de prélèvement :

Déclinaison: -1.8° , Inclinaison: 62.9° , avec $K=3634$ et $\alpha_{95}=0.70^\circ$ (10 échantillons sur 12)

- Après réduction à Paris, cette direction devient :

Déclinaison: -1.9° , Inclinaison : 63.2°

3.2.2.1.3 Datation archéomagnétique du four 1074

Cette direction transférée à Paris est retenue pour dater la dernière utilisation du four. Les deux méthodes de datation décrites en préambule de ce rapport donnent les résultats suivants (Fig. III-02-04) :

1) Méthode par maximum de proximité : [22 – 166] et [327 – 489] avec un niveau de probabilité de 95% (courbe lie-de-vin dans le diagramme, Fig. III-02-04).

2) Méthode par compatibilité statistique: [22 – 166] et [350 – 498] avec un seuil de confiance à 95% (courbe en bleu dans le diagramme, Fig. III-02-04).

La nature des variations directionnelles du champ géomagnétique, qui décrivent une boucle serrée durant la période romaine (voir Fig. III-02-01), explique la durée relativement longue des intervalles de datation que nous obtenons et la double option de datation. Les deux méthodes de datation que nous utilisons sont différentes dans leur conception mais néanmoins parfaitement complémentaires. Quand les deux méthodes donnent des résultats, comme c'est le cas ici, les résultats obtenus à partir de la seconde méthode, dite par équivalence /ou compatibilité statistique avec un seuil de confiance à 95%, sont à privilégier, à savoir : [22 – 166] et [350 – 498].

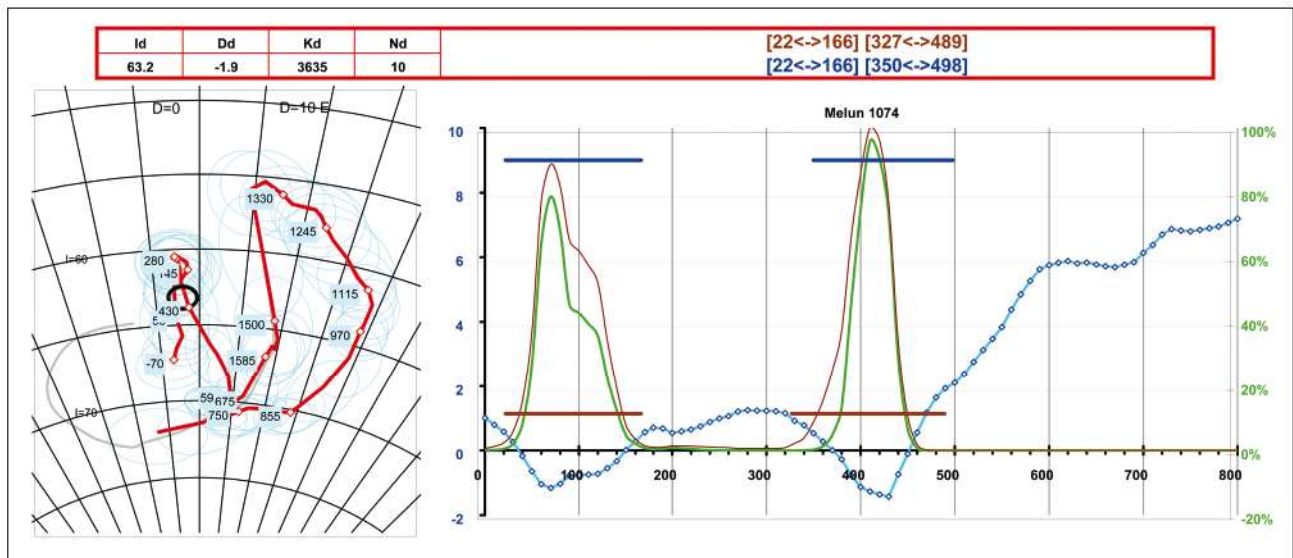


Fig. III-02-04 Datation archéomagnétique du four 1074. Le diagramme présente la datation proprement dite. La courbe lie-de-vin en trait fin montre la courbe des probabilités normalisées déterminée par la comparaison relative des distances angulaires entre la direction à dater et toutes les directions de référence. Le trait horizontal épais de couleur lie-de-vin indique un intervalle possible de datation par maximum de proximité avec un niveau de probabilité de 95%. La courbe en bleu présente les distances angulaires entre la direction à dater et toutes les directions de référence auxquelles sont soustraites les distances critiques associées qui sont déterminées avec un seuil de confiance à 95% (McFadden et McElhinny, 1990). Une datation est possible quand les valeurs sont négatives (Le Goff *et al.*, 2002). Le trait horizontal épais en bleu indique l'intervalle de datation à 95% qui est ainsi obtenu. La courbe en vert présente le paramètre P, c'est à dire l'erreur (en %) que l'on ferait si la direction à dater était considérée différente des directions de référence © Inrap : N. Warmé

Quant aux données archéologiques, la céramique antique recueillie dans les contextes aux alentours du four (fosses et fossés) semble indiquer une occupation qui ne débute pas avant la seconde moitié du I^{er} s. après J.-C. (V. Pissot : chap. 3.4 ; datations).

Les productions les plus récentes sont attribuables, quant à elles, à la seconde moitié du II^e ou au III^e s. et on notera surtout l'absence d'élément gallo-romain tardif (IV^e /V^e s.).

La prise en compte de ces données dans les résultats archéomagnétiques permet ainsi de privilégier le premier intervalle obtenu, à savoir [22 – 166].

3.3. Annexe 3 : Les matériaux de construction en terre cuite gallo-romains (Guillaume Chamarre, Inrap)

3.3.1 Présentation générale

Les matériaux de construction en terre cuite prélevés représentent un lot de 541 restes, pour une masse complète de 469,468 kg. Une relative homogénéité transparaît au travers des types de matériaux de construction antiques représentés. Le corpus se compose essentiellement de restes de tegulae, auxquels s'additionnent des restes d'imbrices et de briques, issus du four de tuilier 1074. À ce corpus s'ajoute un lot de ratés de cuisson, constitués pour l'essentiel d'imbrices. Le parti d'une dissociation de ces ratés de cuisson du reste des tuiles canal a toutefois été retenu, pour des raisons d'appréciation de ces indices de fonctionnement du four.

La provenance de ces matériaux est à l'inverse très inégale, tirés de 17 faits archéologiques différents. La représentation inégale des faits desquels proviennent ce mobilier architectural s'explique par la nature même des vestiges : les matériaux provenant du four de tuilier (FOU1074) représentent près de 84 % de la masse totale de matériaux prélevés, tandis que les matériaux répartis respectivement entre les 16 autres faits (1019, 1040, 1056, 1069, 1071, 1073, 1081, 1082, 1093, 1148, 1179, 1203, 1248, 1303, 1384 et 1518) n'excèdent pas 0,6 % de cette masse totale (Fig. III-03-01 et III-03-02). Tandis qu'une dispersion résiduelle de ces matériaux autour du site de production tuilière a encouragé une collecte aléatoire, le prélèvement des matériaux employés dans les maçonneries du four s'est principalement concentré sur un échantillonnage des éléments complets par unités stratigraphiques construites.

Au terme de l'étude, un protocole de tri est apparu nécessaire en raison du volume important du lot, de l'état de fragmentation poussé du corpus, ainsi que des difficultés d'exploitation d'un certain nombre de restes ayant notamment subi des accidents de cuisson. Parmi les critères d'échantillonnage des terres cuites architecturales, destinées au versement au SRA, ont été retenus la représentation typologique, ainsi que la provenance stratigraphique par types de matériaux. Les modules complets ont été systématiquement conservés.

Une fois l'échantillonnage effectué, 338 restes ont été conservés, soit près de 62,5 % du lot complet étudié, pour une masse de 296,487 kg (*infra* : chap. 3.3.9).

Fig. III-03-01 Répartition par fait / ensemble des terres cuites architecturales

Fait / ENS.	NR	%	Masse (g)	%	Tegula			Imbrices			Briques			Indéterminés			Ratés de cuissons							
					NR	%/Fait	Masse (g)	%/Fait	NR	%/Fait	Masse (g)	NR	%/Fait	Masse (g)	NR	%/Fait	Masse (g)	NR	%/Fait	Masse (g)	%/Fait			
1040	1	0,19	68,8	0,01				1	100	68,8	100													
1056	2	0,37	325,1	0,07	1	50	225,5	69,4	1	50	99,6	30,6												
1069	4	0,74	1503	0,32	2	50	238	15,8	2	50	1265	84,2												
1071	3	0,56	276,4	0,06	2	66,7	107	38,7	1	33,3	169,4	61,3												
1073	1	0,19	95,2	0,02																				
1074	493	91,30	456008,5	97,25	281	57	253196,3	55,5	76	15,4	90291,9	19,8	7	1,4	7086,5	1,6								
1081	2	0,37	263,3	0,06	1	50	226	85,8																
1082	1	0,19	31,7	0,01	1	100	31,7	100																
1093	3	0,56	713,5	0,15	2	66,7	511,5	71,7	1	33,3	202,0	28,3												
1148	1	0,19	117	0,02																				
1179	4	0,74	3183,8	0,68																				
1203	8	1,48	2328,6	0,50	1	12,5	453	19,5	1	12,5	171,9	7,4												
1248	8	1,48	1354	0,29	2	25	360	26,6																
1303	6	1,11	864	0,18	1	16,7	423	49	1	16,7	255	29,5												
1384	1	0,19	78,6	0,02					1	100	78,6	100												
1518	2	0,37	1706	0,36																				
TOT :	540	100	468917,5	100	294	54,4	255772	54,5	85	15,7	92602,2	19,7	7	1,3	7086,5	1,5	1	0,2	37,3	0,01	153	28,3	113419,9	24,2

Fig. III-03-02 Répartition par Us des terres cuites architecturales issues de l'unité de cuisson FOU1074

Fait	US	NR	%	Masse (g)	%	Tegula			Imbrices			Briques			Ratés de cuissons				
						NR	%/US	Masse (g)	%/US	NR	%/US	Masse (g)	%/US	NR	%/US	Masse (g)	%/US	NR	%/US
1074	Ramassage de surface	4	1,42	4408	0,97	1	25	603	75	19,8	3	75	2933,50						
	1317	74	15,01	87500	19,19	74	100	87500											
	1321	72	14,6	112108	24,58	11	15,3	25033	79,2	74	4	5,6	4153	3,7					
	1323	4	0,81	5050	1,11	2	50	3800											
	1336	27	5,48	30150	6,61	27	100	30150											
	1337	60	12,17	66735	14,63	46	76,7	61750	23,3	7,5									
	1340	123	24,95	100195	21,97	2	1,6	1160											
	1341	104	21,1	31150	6,83	104	100	31150											
	1348	7	1,42	7543	1,65	4	57,1	4599,50	28,6	20,1	2	28,6	1513		1	14,3	1430	18,96	
	1358	7	1,42	3539	0,78	3	42,9	1104,70							4	57,1	2434	68,78	
	1520	8	1,62	7631	1,67	7	87,5	6346,10							1	12,5	1285	16,84	
TOTAL		490	100	456009	100	281	57,3	253196	15,5	19,8	76	15,5	7087	1,6	121	24,7	104895	23	

3.3.2 Caractérisation des pâtes argileuses

Une difficulté de caractérisation des pâtes argileuses, employées pour le façonnage des matériaux, a été rencontrée en raison de l'état de conservation du corpus. L'apparition d'une concrétion à la surface apparaît quasi-systématique à l'échelle du lot étudié, à laquelle s'additionne les effets de rubéfaction plus ou moins poussée.

Le matériau argileux employé à la confection de l'essentiel des terres cuites architecturales (*tegulae, imbrices*, briques de maçonnerie) correspond à une pâte argileuse homogène, à tendance hétérogène marbrée peu prononcée au détour de quelques occurrences du corpus. Ce matériau de teinte beige-jaunâtre à orange comprend une fraction non plastique régulière, sous la forme de nodules d'oxydes de fer roulés infra-centimétriques et d'une matrice sableuse éparse. L'apparition de lits blanchâtres dans la matrice argileuse paraît anecdotique, au même titre que des inclusions de nodules calcaires infra-centimétriques observés dans de rares matrices argileuses. De rares inclusions coquillées sont également observées dans la matrice argileuse, correspondant à des restes de coquilles de mollusques gastéropodes, vraisemblablement attribuable à un milieu dulcicole. L'absence notable de cailloutis suggère une épuration poussée de l'argile, communément pratiquée à cette période.

La redondance d'une même matrice argileuse au travers des matériaux de construction de ce site apparaît cohérente avec une activité de production tuilière sur ce secteur. Il apparaît difficile de distinguer, par la seule reconnaissance des pâtes argileuses, les matériaux employés à la construction du four de ceux stratigraphiquement synchrones de l'exploitation du four. Ce constat nous interpelle au sujet de l'approvisionnement du chantier de construction du four en matériaux réfractaires et de la précocité d'une activité tuilière sur ou proche du site. L'approvisionnement en matériaux réfractaires peut impliquer de se fournir auprès d'un atelier distinct déjà existant, privilégiant un fournisseur situé dans l'environnement proche, par gain de temps, de transport et de coût. Cet approvisionnement ne peut pas non-plus exclure une production tuilière précoce sur site. L'atelier auquel est associé ce nouveau four a ainsi pu disposer d'une première unité de cuisson, ayant fourni les matériaux réfractaires. L'emprise restreinte de la fouille peut expliquer la non-reconnaissance d'un premier four associé à cet atelier. Il en découle également la question des compétences nécessaires au montage des maçonneries du four, au^x main^s des exploitants du nouveau four, des fournisseurs des matériaux ou de maçons spécialisés (Charlier 2011, pp. 620-626).

La situation géologique explique vraisemblablement le choix de l'implantation d'une activité tuilière sur ce secteur. L'atelier est positionné en bordure orientale du ru de l'Almont, le long duquel s'intercalent des alluvions d'une épaisseur comprise entre 1,50 et 2,50 m. Ces alluvions se composent de limons argileux, jaunâtres, brunâtres, noirâtres comprenant des débris résiduels de calcaires (Fz). Ces limons reposent sur des niveaux de sables à tendance argileux, chargés de graviers, cailloutis et blocs de calcaires. La disposition de limons argileux et de sables, à laquelle s'additionne la proximité du ruisseau sont autant d'arguments en faveur de l'implantation d'une activité tuilière sur ce site (Labourguigne, Turland 1974, pp. 14-15).

3.3.3 Les tegulae

Les restes de *tegulae* prélevés représentent un lot de 295 fragments, soit une part de près de 54 % du lot complet de matériaux prélevés, pour une masse de 256,322 kg.

La fragmentation importante du lot et un prélèvement raisonné des modules participant aux maçonneries du four expliquent un NMI de 41 individus, obtenu par le décompte des encoches d'emboîtement aval droites, tandis que de seuls 16 modules complets ont été observés.

Les caractères morphologiques

Parmi les principales mesures prises sur les restes de *tegulae* ont été retenues les dimensions générales des modules (longueur et largeur, amont et aval distinctes). Les dimensions des encoches d'emboîtement amont (longueur) et aval (longueur, profondeurs et hauteur) ont également été abordées, avec une distinction systématique des encoches gauches et des encoches droites, pour davantage d'exhaustivité. La masse unitaire des modules complets a également été enregistrée.

La synthèse de ces valeurs tend à dissocier deux gabarits distincts, essentiellement soulignés au travers de la longueur et de la masse unitaire des *tegulae*. L'analyse faite par la distinction de ces deux formats doit cependant être pondérée, en raison du caractère restreint du corpus. Un format de grandes dimensions est représenté par seulement deux modules, tandis qu'un format aux dimensions inférieures au premier est représenté par 29 modules.

Par-ailleurs, la largeur, l'épaisseur du fond aval et les dimensions des encoches d'emboîtements apparaissent relativement uniformes au travers du corpus, sans distinction de format.

Les dimensions générales (longueur et largeur)

La longueur des *tegulae* constitue le principal indice différentiel au travers du corpus étudié. Une analyse comparative des longueurs de ces modules tend à distinguer deux formats distincts (Fig. III-03-03 et III-03-04). À l'inverse, les largeurs amont et aval de ces deux formats tendent à se régulariser.

Format 1 (475 x 310/330 mm)

Un format de *tegulae* aux dimensions nettement supérieures se caractérise par une longueur de 475 mm et une largeur médiane de 320 mm (± 10 mm) (largeur moyenne de 319,25 mm). Un abaissement de la largeur d'amont en aval des modules n'excède pas 10 mm. Cette différence minimale des largeurs amont et aval de *tegulae* apparaît peu adaptée à l'attribution de ces modules à un format trapézoïdal net. Le rapport longueur/largeur sur ces modules est peu variable d'une tuile à l'autre de ce format, compris entre 1,44 et 1,50. En revanche, ce rapport longueur/largeur proche de 5/3 diffère de celui communément admis pour les productions civiles au Nord de la Loire. Ce différentiel est proche des valeurs moyennes (5/3) admises au Sud de la Loire ainsi que dans les sites légionnaires (Goulpeau 1988, pp. 102-103). La circulation et l'utilisation de gabarits en provenance du Sud de la limite ligérienne est plausible.

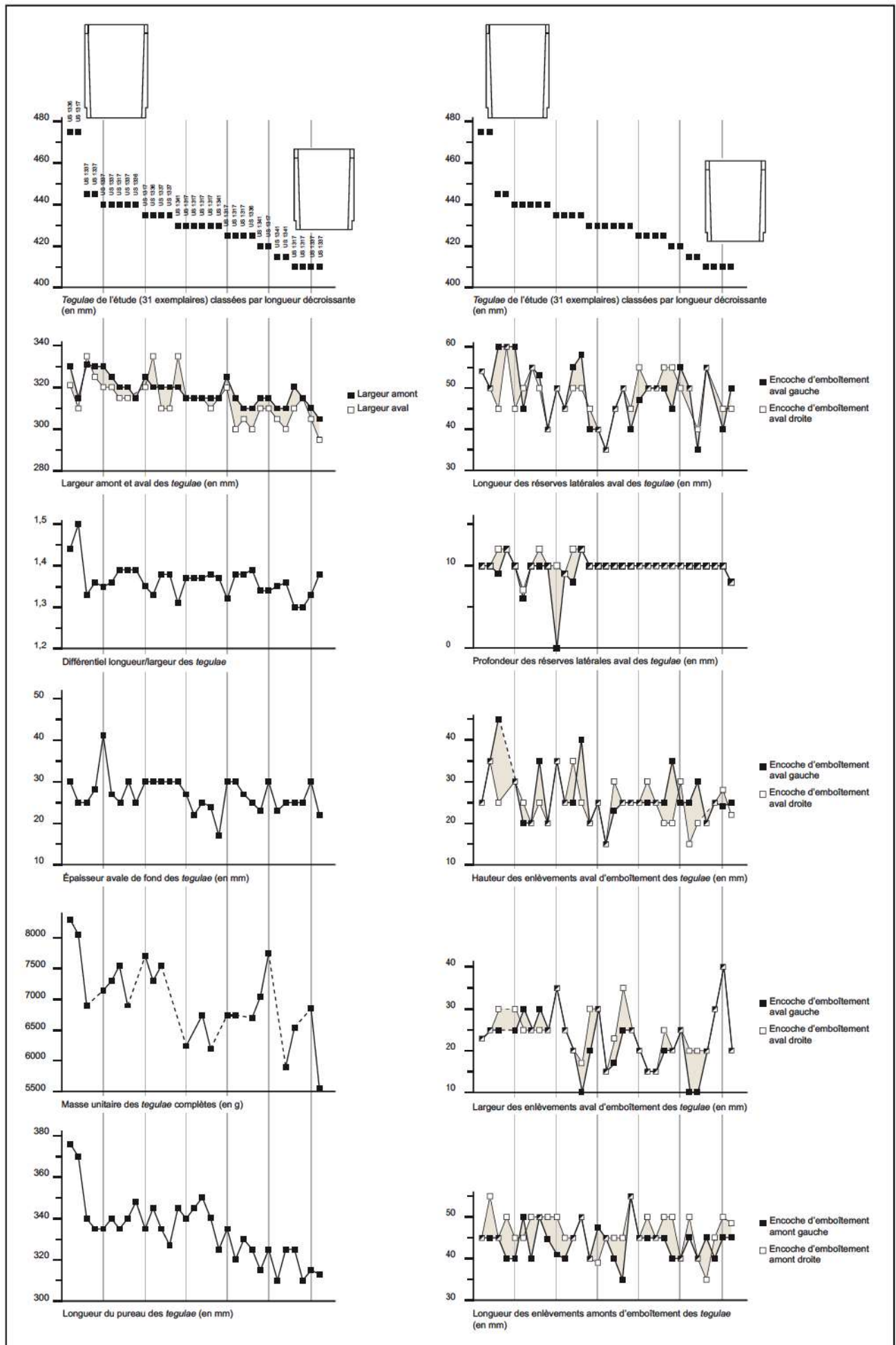


Fig. III-03-03 Tegulae, Melun « 19, rue Saint-Liesne ». Analyse comparée des caractères morphologiques des tegulae d'après la longueur des modules complets du corpus, 01 sur 02 © Inrap : G. Chamarré, d'après Nauleau 2013, pp. 249-253

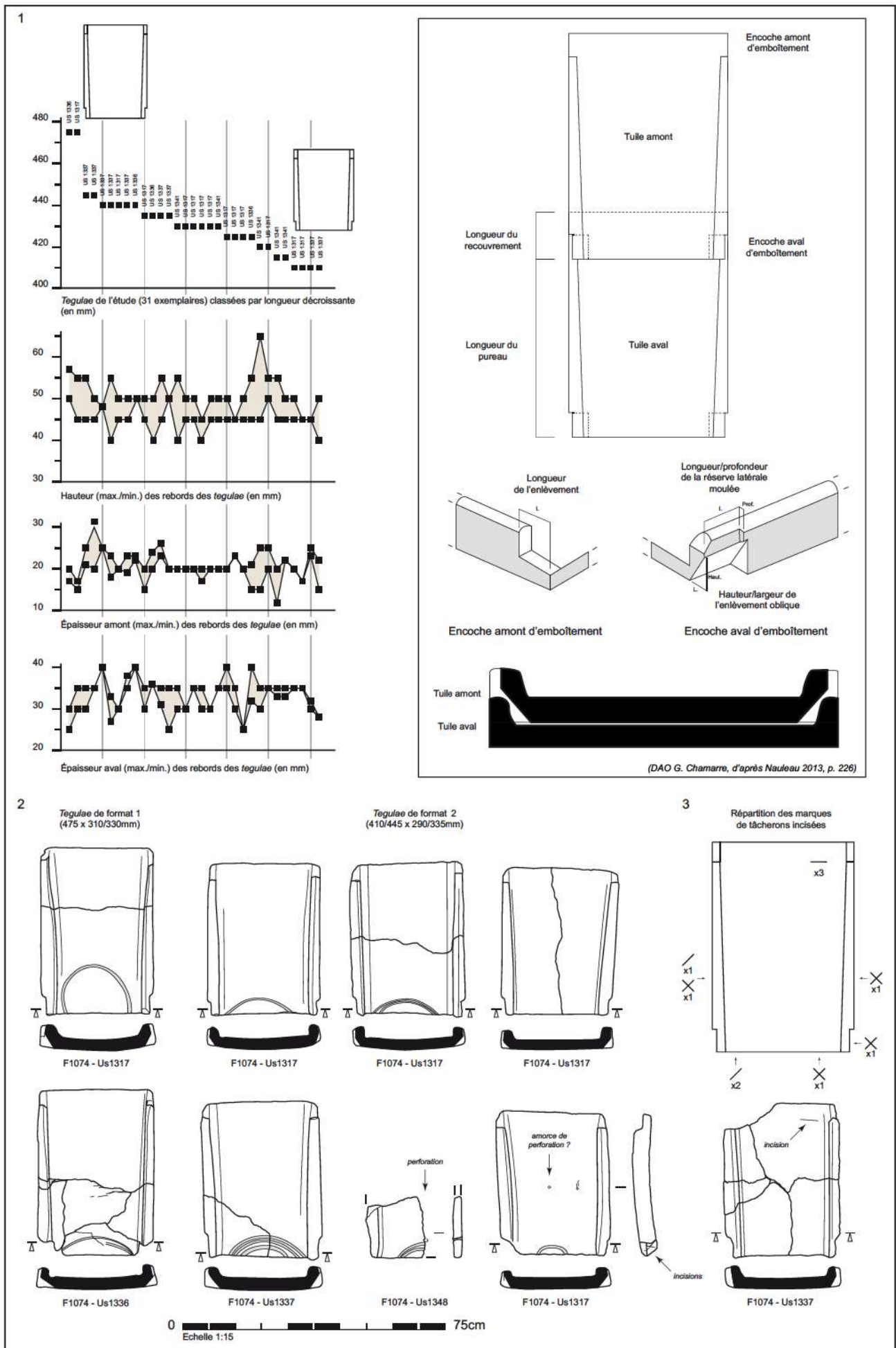


Fig. III-03-04 Tegulae, Melun « 19, rue Saint-Liesne ». 1 : Analyse comparée des caractères morphologiques des tegulae d'après la longueur des modules complets du corps, 02 sur 02 (d'après Nauleau 2013, pp. 249-253) ; 2 : Relevés de tegulae par formats ; 3 : Répartition des marques de tâcherons incisées

© Inrap : G. Chamarre

Format 2 (410/445 x 290/335 mm)

Un format de *tegulae* aux dimensions réduites se caractérise par une longueur médiane de 427,5 mm ($\pm 17,5$ mm) (longueur moyenne de 369 mm) et une largeur médiane de 312,5 mm ($\pm 22,5$ mm) (largeur moyenne de 299 mm). Au même titre que les tuiles de format supérieur, une différenciation de la largeur d'amont en aval des modules apparaît peu adaptée à l'attribution de ces modules à un format trapézoïdal net. Cet écart correspond dans l'essentiel des cas à une réduction de la largeur des modules d'amont en aval, tandis que quelques cas indiquent un élargissement de cette largeur d'amont en aval. Dans les deux cas de figure, cet écart n'excède pas 15 mm. Le rapport longueur/largeur sur ces éléments est relativement constant d'une tuile à l'autre de ce format, compris entre 1,30 à 1,39. Ce rapport longueur/largeur de 4/3 corréle cette fois avec celui admis pour les productions civiles au Nord de la Loire (Goulpeau 1988, pp. 102-103).

À l'exception d'une dissociation nette de ces deux formats de *tegulae* d'après un écart de longueur notable, les variations des autres dimensions par format de tuile apparaissent peu importantes. Ces écarts peuvent résulter de différents facteurs, tels que la plasticité et le comportement du matériau argileux au séchage et à la chauffe. L'utilisation synchrone de plusieurs moules au sein d'un même atelier est également plausible, à l'origine d'infimes variations de dimensions des modules.

Quant à la mise en œuvre de ces productions comme éléments de couverture, ces écarts peuvent apparaître suffisamment infimes permettant leur utilisation sur une même toiture.

L'épaisseur du fond

L'apparition de différents formats de *tegulae* paraît avoir peu d'incidence sur l'épaisseur aval du fond des *tegulae*. Sur les modules de dimensions supérieures, l'épaisseur médiane du fond est de 27,5 mm ($\pm 2,5$ mm), contre une épaisseur médiane de 30 mm (± 13 mm) (épaisseur moyenne de 25 mm) sur les modules de dimensions inférieures (Fig. III-03-03).

La hauteur et largeur des rebords

La prise en compte des rebords comme caractère d'évolution morphologique des *tegulae* est régulièrement admise comme peu fiable. La hauteur et le profil des rebords tendent à diverger sur un même module, d'un rebord à un autre, voire sur un même rebord. Cette irrégularité peut notamment s'expliquer par la technique de modelage et de finition superficielle des rebords aux doigts par l'artisan. Les différences de format des *tegulae* du corpus ne présentent pas non plus d'incidences sur la hauteur des rebords, ni sur la largeur des rebords.

Pour les *tegulae* de grandes dimensions, les rebords présentent une hauteur médiane de 51 mm (± 6 mm) (hauteur moyenne de 51,75 mm) avec des écarts de valeurs compris entre 7 à 10 mm d'un rebord à un autre d'un même module, contre une hauteur médiane de 52,5 mm ($\pm 12,5$ mm) (hauteur moyenne de 38 mm) avec des écarts de valeurs compris entre 5 et 20 mm, pour les *tegulae* de dimensions inférieures (Fig. III-03-04).

La largeur amont des rebords présente des écarts assez similaires, d'une valeur médiane de 17,5 mm ($\pm 2,5$ mm) (largeur moyenne de 17,25 mm) avec des écarts de valeurs compris entre 2 à 3 mm pour les *tegulae* de grandes dimensions, contre une largeur médiane de 21 mm (± 9 mm) (largeur moyenne de 19 mm) avec des écarts de valeurs pouvant atteindre 10 mm pour les *tegulae* de dimensions inférieures.

La largeur aval des rebords présente une valeur médiane de 30 mm (± 5 mm) (largeur moyenne de 30 mm) avec des écarts de valeurs compris entre 2 à 10 mm d'un rebord à un autre d'un même module pour les *tegulae* de grandes dimensions, contre une largeur médiane de 32,5 mm ($\pm 7,5$ mm) (largeur moyenne de 27 mm) avec des écarts de valeurs pouvant atteindre 5 mm pour les *tegulae* de dimensions inférieures (Fig. III-03-04).

Les encoches aval d'emboîtement

Les encoches aval d'emboîtement apparaissent peu représentatives de cette distinction de format des *tegulae*, au même titre que pour les encoches amont d'emboîtement. Ces encoches aval fournissent quatre mesures : la profondeur et la longueur de la réserve latérale moulée, la hauteur et largeur de l'enlèvement oblique (Fig. III-03-04).

La réserve latérale des encoches basses est obtenue lors du moulage de la *tegula* à l'aide de cales placées en ressaut aux angles aval du moule. La surface en saillie est sablée au préalable du moulage, afin de limiter l'adhérence de l'argile aux parois du moule. Ce sablage régulier peut être identifié à la surface. L'apposition de ces réserves latérales dès la phase de moulage de la tuile explique l'importante régularité de la profondeur de ces dernières, tout format confondu. Pour les *tegulae* de grand format, la profondeur est de 10 mm. Pour les *tegulae* de petit format, la profondeur médiane de 10,5 mm ($\pm 4,5$ mm) (profondeur moyenne de 10 mm) accepte de rares écarts de valeurs compris entre 1 et 4 mm d'un rebord à un autre d'un même module. Un module distinct du corpus présente d'une part une réserve latérale aval droite de 10 mm de profondeur et d'autre part un angle aval gauche dépourvu de réserve latérale, pouvant suggérer une erreur au moulage. L'emploi de supports amovibles comme cales peut être proposé. La longueur de ces encoches aval est davantage fluctuante, cela en raison de régulière reprise de ces réserves latérales dans le sens de la longueur. Pour les *tegulae* de grand format, la profondeur médiane est de 52 mm (± 2 mm). Pour les *tegulae* de petit format, la profondeur médiane de 47,5 mm ($\pm 12,5$ mm) (profondeur moyenne de 43,55 mm) accepte des écarts importants de valeurs compris entre 3 et 15 mm d'un rebord à un autre d'un même module.

La reprise non-systématique de la longueur des réserves d'emboîtement aval est simultanée à un enlèvement oblique obtenu au couteau, permettant de dégager l'encoche nécessaire à l'emboîtement de l'encoche aval sur le rebord amont de la tuile recouverte. Cette reprise manuelle au couteau est sujette à d'importants écarts aussi bien en hauteur qu'en largeur. Pour les *tegulae* de grand format, l'enlèvement aval présente une hauteur médiane est de 30 mm (± 5 mm) pour une largeur médiane de 24 mm (± 1 mm). Pour les *tegulae* de petit format, la hauteur médiane est de 30 mm (± 15 mm) (hauteur moyenne de 20,7 mm) avec d'importants écarts de valeurs compris entre 3 et 20 mm d'un rebord à un autre d'un même module, tandis que la largeur médiane est de 25 mm (± 15 mm) (hauteur moyenne de 20 mm) avec d'importants écarts de valeurs compris entre 5 et 10 mm d'un rebord à un autre d'un même module (Fig. III-03-03).

Les encoches amont d'emboîtement

Les encoches d'emboîtement amont présentent des longueurs disparates au travers du corpus, sans distinction nette selon les formats. Sur les *tegulae* de grand format, les encoches amont ont une longueur médiane de 52 mm (± 2 mm), contre une longueur médiane de 47,5 mm ($\pm 12,5$ mm) (longueur moyenne de 43 mm) sur les *tegulae* de petit format. L'irrégularité de la longueur des encoches amont est susceptible d'être observée sur un même module. Sur le corpus de *tegulae* complètes étudiées, près de 19 modules présentent une différence de longueur entre leurs encoches d'emboîtement amont. Ces écarts sont compris entre 3 mm et 15 mm, pour un écart moyen de 6 mm (Fig. III-03-03).

Cette irrégularité peut s'expliquer par la technique d'obtention de ces encoches amont. L'encoche résulte d'un simple enlèvement au couteau, à l'extrémité amont du rebord. Au préalable de cet enlèvement, une incision rectiligne pouvait être marquée à la surface amont des modules, afin de jauger une délimitation à ces enlèvements. Cette pratique reste néanmoins anecdotique et sans réelle incidence sur la régularité des enlèvements amont : sur trois modules pourvus d'un marquage préparatoire, deux modules présentent néanmoins un écart de longueur de leurs encoches amont.

La masse unitaire des tegulae

La masse unitaire des *tegulae* a pu être appréhendée au travers de seulement 22 modules, dont l'état de conservation permettait une pesée suffisamment fiable.

Le format supérieur de *tegulae* présente une masse médiane de 8175g (± 125 g). Le format inférieur de *tegulae* présente une masse médiane sensiblement inférieure de 6650g (± 1100 g) (masse moyenne de 6838g) (Fig. III-03-03). Ces écarts de masse entre les *tegulae* d'un même format peut s'expliquer de plusieurs manières : des différences de dimensions affectant sur la quantité de matière argileuse employée, ainsi que d'infimes différences de composition des matrices argileuses.

Une approche typo-chronologique des tegulae du corpus ?

Une approche typo-chronologique est communément abordée en ce qui concerne l'étude des *tegulae* de l'époque gallo-romaine. Au travers d'une approche métrologique appliquée aux tuiles, une diminution progressive de la longueur des tuiles apparaît comme une tendance répandue au Centre-Est (Clément 2009, p. 624 ; Bontrond 2013, p. 284) et Nord-Ouest de la Gaule (Nauleau 2013, pp. 248-250) entre-autres.

L'application de cette approche métrologique au travers du lot de *tegulae* étudiées reste néanmoins tributaire de plusieurs contraintes : le faible nombre d'individus composant le lot étudié, ainsi que le prélèvement des tuiles plates à rebords issues des maçonneries du four ne documentant que des productions tuilières antérieures au fonctionnement de l'unité de cuisson étudiée.

À l'échelle du Centre-Est de la Gaule, deux sites de productions tuilières ont livrés des *tegulae* dont les dimensions approchent celles de notre corpus. L'atelier de Meudon (Hauts-de-Seine) a livré des *tegulae* de longueurs comprises entre 390 mm et 420 mm, sur une occupation couvrant tout le III^e siècle de notre ère (Barat 2002, pp. 230-236 ; Bontrond 2013, pp. 283-284). Enfin, le site de production de Villeparisis (Seine-et-Marne) a livré des *tegulae* de longueur de près de 490 mm, sur une occupation couvrant tout le IV^e siècle (Mallet, Delage 2007 ; Bontrond 2013, pp. 283-284).

En revanche, un certain nombre d'ateliers tuilier ou occupations urbaines du Centre-Est de la Gaule ont fournis des productions de *tegulae* dont les dimensions sont systématiques inférieures à celles des *tegulae* de notre corpus : le site de Châteaubleau (Seine-et-Marne) dont les productions s'étalent chronologiquement de la seconde moitié du I^{er} siècle à la fin du III^e siècle de notre ère (Bontrond 2013, pp.265-266), l'atelier de Savins (Seine-et-Marne) du début du II^e siècle au milieu du III^e siècle de notre ère, l'atelier de Vrigny (Loiret ; Ferdière 2012 ; Bontrond 2013, pp. 280-286) de la seconde moitié du II^e siècle au milieu du III^e siècle, le site de Saran (Loiret) (Jeset 2014) du VI^e siècle au VII^e siècle, ou le site de production de La Saulsotte (Aube) du début du II^e siècle à la fin du IV^e siècle (Drioux 1943 ; Lenoble 1990 ; Bontrond 2013, pp. 281-284). La longueur des *tegulae* en provenance de ces sites sont systématiquement inférieures à 400 mm.

L'analyse métrologique des productions régionales de *tegulae* comparée aux phases chronologiques associées témoignent donc de disparités importantes. Bien que le rapport longueur/largeur de 4/3 se rapproche des productions civiles de tuiles au Nord de la Loire, les différences notables de dimensions ne permettent pas pour l'heure d'avancer une estimation chronologique fiable des *tegulae* de notre corpus. Une diminution des dimensions de tuile tout au long du Haut-Empire apparaît également discutable.

Il en est de même d'une comparaison extra régionale. Une comparaison avec ce qui apparaît dans le Nord-Ouest de la Gaule Lyonnaise tendrait à se rapprocher du corpus des productions du milieu du I^{er} siècle et du courant du II^e siècle (Nauleau 2013, pp. 248-250).

Quant à l'observation d'un format résiduel de *tegulae* au rapport longueur/largeur de 5/3, l'hypothèse d'une circulation et d'une utilisation opportuniste de gabarits en provenance du Sud de la limite ligérienne peut être avancée. L'acheminement de gabarits ou de tuiles issus d'un site légionnaire semble davantage hasardeux. Un simple défaut métrologique d'un gabarit employé sur place ne peut être écarté. Le signalement de tuiles de longueur sensiblement comparable à Villeparisis (Seine-et-Marne) (Mallet, Delage 2007) contribue également à réinterroger sur la circulation de ces modules de format nettement supérieur aux productions communes observées régionalement.

Ce format est comparable aux productions de la première moitié du I^{er} siècle de notre ère dans le Nord-Ouest de la Gaule Lyonnaise (Nauleau 2013, pp. 248-250).

La provenance stratigraphique des différents gabarits de *tegulae* ne permet pas non plus de préciser une typo-chronologie à l'échelle du site. Les *tegulae* de grand format (475 x 320 mm) observées dans les maçonneries au Nord de l'unité de cuisson (Us 1317 et Us 1336) se trouvent associés à des *tegulae* de format inférieur (400x300 mm). Les *tegulae* de format inférieur sont plus largement employées dans le reste des maçonneries du four (Us 1317, Us 1336 et Us 1341). Sans distinction apparente, ce format de *tegulae* de petit format est également employé a posteriori dans la maçonnerie de bouchage de l'alandier Nord (1337), vraisemblablement contemporaine de la période d'utilisation du four. Les dimensions des tuiles du bouchage d'alandier sont représentatives de toutes les variations métrologiques admises pour ce format. Le comblement d'abandon de la fosse de travail au Sud de l'unité de cuisson (Us 1348) a par-ailleurs fourni un fragment de *tegulae* dont la largeur de 310 mm coïncide avec celle des tuiles les moins larges du corpus (Fig. III-03-03).

L'utilisation synchrone de ces deux formats de tuiles en maçonnerie peut suggérer une contemporanéité de ces formats, impliquant l'emploi simultané de plusieurs moules de gabarits différents, au sein d'un ou plusieurs ateliers. Dans le cas de ce corpus, seule la longueur démontre une réelle différenciation, sans incidences sur le reste des dimensions des modules. À l'inverse, une non-contemporanéité de ces formats peut suggérer un emploi ou réemploi opportuniste de matériaux de construction disponibles en quantité résiduel, en complément d'un principal lot de matériau prévu à l'aménagement du four. L'emploi d'un lot de *tegulae* complètes identiques dans les maçonneries du four s'inscrit dans le schéma d'un approvisionnement en matériaux réfractaires prévus à cet effet. Les matériaux devaient être fournis soit par un atelier extérieur, soit par l'atelier sur site, dont les infrastructures préexistantes permettaient un apport de tuiles. De même, cet approvisionnement en modules complets, distinct d'un approvisionnement en matériaux fragmentaires de récupération, devait répondre aux soucis de stabilité des maçonneries dont dépend l'intégrité même de ces matériaux (Charlier 2011 pp. 620-621).

L'observation régulière de restes fragmentaires de *tegulae* à travers le site doit également être interprétée avec prudence. L'activité de production tuilière et l'occupation antique environnante associée peuvent expliquer la présence de ces matériaux en quantité importante jusque dans la composition de niveaux de comblement bien postérieurs à l'occupation antique du site.

Les systèmes de fixation

Les encoches d'emboîtement, disposées à l'amont et à l'aval des modules, destinées à leur blocage et à leur pose en enfilade, pouvait être doublées par une fixation à la charpente par un clou. La faible représentation de cette pratique dans la documentation suggère qu'il puisse s'agir de tuiles employées à l'éégout de toiture, afin de retenir les files de *tegulae* en bas de toiture (Nauleau 2013, p. 227). La position de ces perforations dans la zone de recouvrement sous la tuile amont devait non-seulement assurer une meilleure accroche des *tegulae* à la charpente mais également une préservation des clous de la corrosion. Le référencement de quelques cas de perforations aménagées à l'aval des modules reste anecdotique.

Un fragment de *tegula* issu du four (FOU1074, Us 1317) présente une perforation traversante centrée dans l'axe longitudinal d'une *tegula*, dans le tiers aval du module. La perforation de section circulaire d'un diamètre de 6 mm est aménagée au préalable de la cuisson du module. L'aménagement d'une perforation traversante, potentiellement à l'usage du passage d'un clou, au moment de façonnage de la *tegula*, apparaît peu dans la documentation.

Dans le Nord-Ouest, cette pratique n'est observée qu'en de rares cas, au détour de perforations aménagées dans la zone de recouvrement sous la tuile amont. Le clou est alors préservé de la corrosion. À l'inverse, les cas de perforations en partie aval d'une tuile sont décrites comme systématiquement réalisées après cuisson, sous la forme d'un martelage en surface et sous-face, jusqu'à permettre le passage du clou au travers du module (Nauleau 2013, p. 6). Outre le risque de corrosion du clou ainsi exposé aux intempéries, la pratique d'une fixation à l'extrémité aval de la tuile répond vraisemblablement à une contrainte de la charpente, excluant le recours à une perforation en extrémité amont. Cette pratique est systématiquement observée sur des modules ayant été déposés après emploi en couverture, or la mise en évidence d'une pratique de perforation précuisson cette fois à l'aval de *tegulae* soulève diverses interrogations. L'hypothèse d'un martelage non pas à la pose de la tuile mais plutôt à la dépose peut être proposée. Le martelage serait le fait d'une tentative de récupération de tuiles ayant été munies d'une fixation en extrémité aval ; la corrosion et l'adhérence de clous dans l'épaisseur des tuiles auraient pu encouragé à un martelage jusqu'à la suppression du clou. La perforation précuisson aurait été dès lors soit masquées par le clou corrodé, soit supprimé lors du martelage.

L'hypothèse d'une pratique isolée à l'échelle de la région ou même d'un atelier ne peut cependant être totalement écarté.

Un énième module en provenance de l'unité de cuisson (FOU1074, Us 1317) présente des traces superficielles d'un outil de pointe. Ces marques prenant la forme de perforations non traversantes, d'un diamètre infra-centimétrique, sont potentiellement imputables à l'outil employé au poinçonnage des tuiles (Fig. III-03-04).

3.3.4 Les *imbrices* antiques

Les restes d'*imbrices* prélevés représentent un lot de 207 fragments, soit une part de près de 38 % du lot complet de matériaux prélevés, pour une masse de 197,662kg.

Il convient de préciser que seuls ont été pris en compte, pour le décompte des *imbrices*, les modules n'ayant pas subi les effets d'une chauffe, écartant de ce fait les ratés de cuisson ou éléments de parois de four. Un NMI de seulement 18 individus a été obtenu par le décompte de extrémités aval identifiées.

Les dimensions

L'analyse des tuiles canal du corpus est tributaire de l'état de fragmentation particulièrement important de ces matériaux de couverture. Une longueur complète n'est mesurée que sur 6 modules, tandis qu'une fragmentation récurrente au niveau des angles des tuiles interfère dans la prise de mesure des largeurs en extrémité amont et aval. Dans la plupart des cas, seule une largeur intermédiaire a pu être mesurée.

Un unique format d'*imbrex* tend à apparaître au travers d'une approche métrologique. La longueur médiane des tuiles canal est de 402,5 mm ($\pm 2,5$ mm) (longueur moyenne de 402 mm). La largeur tend à fluctuer, de 15 à 20 mm, d'une extrémité à une autre de la tuile, selon un élargissement de cette largeur d'amont en aval de la tuile. La largeur amont médiane est de 152,5 mm ($\pm 7,5$ mm) (largeur amont moyenne de 150 mm). La largeur aval médiane est de 175 mm (± 10 mm) (largeur aval moyenne de 174 mm). La hauteur des *imbrices* tend également à fluctuer d'une extrémité à une autre, cependant de manière limitée. Cet écart de hauteur mesuré entre l'extrémité amont et l'extrémité aval reste inférieur à 10 mm. Les hauteurs amont et aval médianes sont de 75 mm (± 15 mm) (hauteur amont moyenne de 72 mm et hauteur aval moyenne de 73 mm).

L'épaisseur des *imbrices* est très fluctuante, d'une valeur médiane de 19 mm (± 6 mm) (épaisseur moyenne de 20 mm), admettant des écarts d'épaisseur de l'ordre du centimètre sur un même module (Fig. III-03-05).

Un reste de tuile canal peut néanmoins être signalé, distinct par une épaisseur sensiblement inférieure à celle des autres tuiles creuses du corpus (comprise entre 13 et 15 mm) et par l'emploi d'un matériau argileux hétérogène marbré. Les modalités de façonnages apparaissent néanmoins identiques à celles des *imbrices* antiques : un lissage en surface et un sablage régulier en sous-face légèrement inégale. Ce reste provient du comblement de la fosse 1040. Le caractère ténu de cette occurrence ne permet pas de justifier du caractère tardif de ce reste, ni de justifier d'une potentielle baisse de l'épaisseur de ces tuiles dans le courant de l'Antiquité tardive.

Deux modules présentent en sous-face du mortier de tuileau assez grossier, comprenant d'abondants fragments millimétriques à décimétriques de terre cuite dont le matériau argileux est comparable aux corpus étudiés. Ce mortier ne porte cependant pas de négatifs de rebords de *tegulae*. Le caractère résiduel de ce mortier peut expliquer cette absence. L'usage de mortier observé en sous-face est traditionnellement attribué à la méthode de pose des couvre-joints. Tandis que le modèle de pose des tuiles canal sur une toiture romaine fait intervenir chacune des *imbrices* en butée contre les *tegulae* amont, le mortier devait favoriser l'étanchéité des couvre-joints et réduire le glissement des files d'*imbrices* (Nauleau 2013, p. 229). La provenance de ces modules depuis des couvre-joints semble donc pouvoir être retenue. La distinction du mortier de tuileau en sous-face de ces *imbrices* et du liant argileux appliqué sur les *tegulae* employées dans les maçonneries du four peut intercéder dans ce sens.

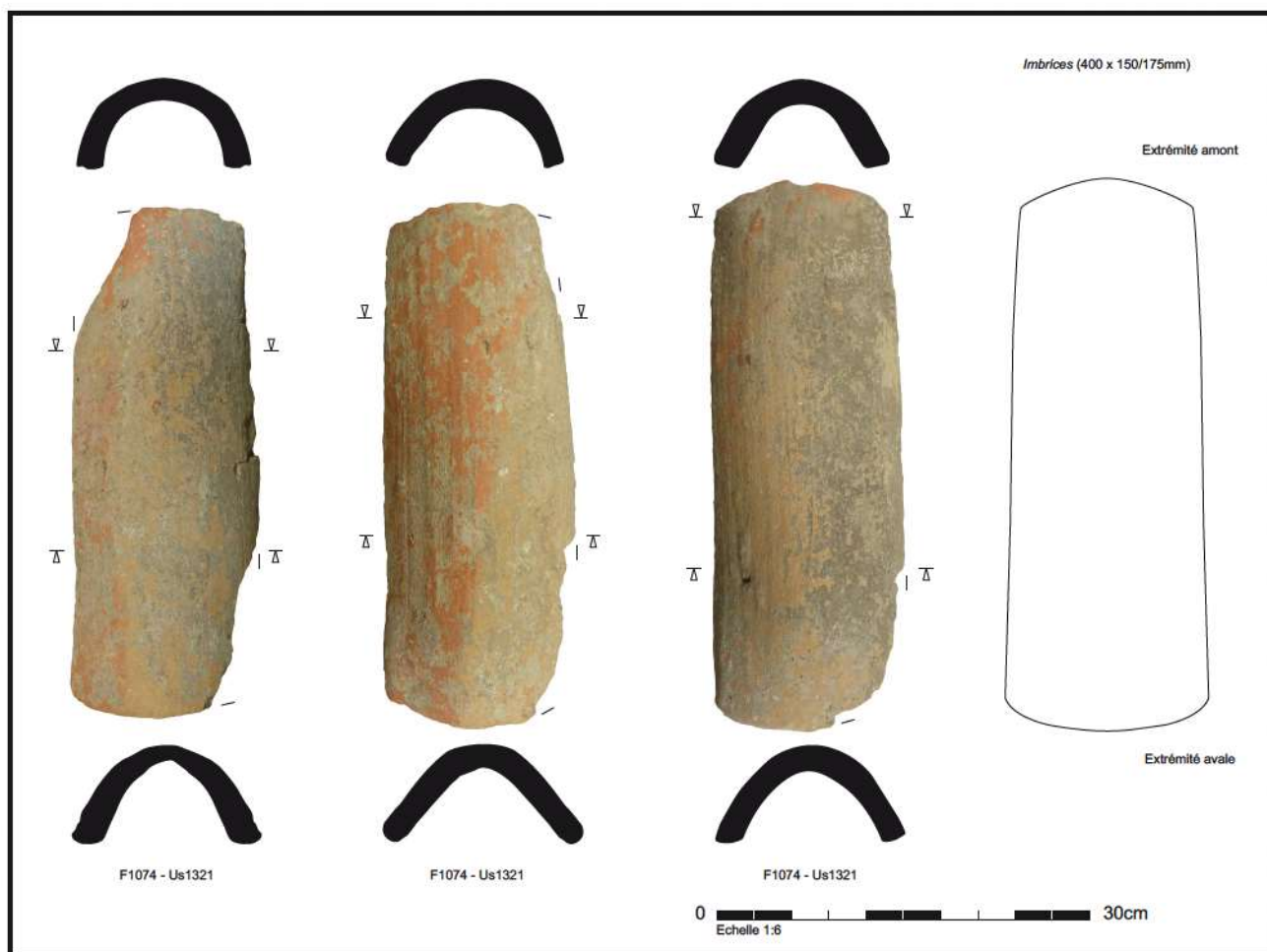


Fig. III-03-05 *Imbrices*, Melun « 19, rue Saint-Liesne » © Inrap : G. Charrière

Une approche typo-chronologique des imbrices antiques

Les dimensions du format d'*imbrices* identifié corrélerent avec les dimensions des *tegulae* aux dimensions les plus basses. Sur ce même constat, les dimensions des *imbrices* du corpus étudié sont supérieures à ce qui a pu être observé dans la plupart des sites régionaux : Châteaubateau (Seine-et-Marne) (Bontrond 2013, p. 289), Vrigny (Loiret ; Ferdière 2012 ; Bontrond 2013, p. 289), Montereau (Bontrond 2013, p. 289), La Terre aux Moines à Colleville (Seine-et-Marne) (Soulignac 1972, pp. 35-50 ; Bontrond 2013, p. 289). Sur ces sites, la longueur des *imbrices* est comprise entre 290 et 365 mm.

La provenance des *imbrices* complètes depuis le niveau d'abandon de la fosse de travail au Nord de l'unité de cuisson plaide pour un rejet dans l'intervalle du fonctionnement de l'unité de cuisson. La dépose de ces tuiles issues d'une couverture justifie d'un probable aménagement bâti disposant d'une couverture en tuiles dans l'environnement proche du site.

3.3.5 Les briques de maçonneries

Les restes de briques de maçonneries prélevés représentent un lot de 7 fragments, soit une part de 1,28 % du lot complet de matériaux prélevés, pour une masse de 7,086kg.

En raison de la fragmentation importante du lot, aucune longueur ou largeur de brique n'est conservée. Les épaisseurs sont comprises entre 40 et 50 mm. Cet écart d'épaisseur relativement minime n'est pas discriminant, ne permettant pas d'y associer tel ou tel format de briques de maçonnerie ou briques bessales (Bontrond 2013, p. 296). Ces fragments ne présentent pas traces de rubéfaction ou marquage au feu particulier.

Ces éléments proviennent de niveaux de ramassage divers sur le four FOU1074 et du comblement d'abandon (Us 1321) de l'aire de travail au Nord de la même unité de cuisson. La relative rareté d'apparition de ces éléments en comparaison des matériaux de couverture doit cependant être interprétée avec prudence. L'absence de briques dans les maçonneries du four peut expliquer ce défaut de visibilité à l'échelle du site, en comparaison des *tegulae* mises en œuvre systématiquement dans ces maçonneries. Ce constat ne permet pas non-plus d'écarter une production briquetière associée à cette unité de cuisson.

3.3.6 Ratés de cuisson

Le prélèvement sur site des matériaux de construction s'est appliqué à l'échantillonnage ~~exhaustif~~ d'un lot important de matériaux portant les indices d'une chauffe non-maîtrisée. Ces matériaux représentent un lot de 153 fragments, pour une masse de 113,420kg, soit une part de près de 21 % de la masse complète de matériaux prélevés.

Les contraintes de chauffe subies par les matériaux prennent l'aspect d'une déformation plastique, d'une scorification voire d'une vitrification, jusqu'à la fusion de rangés de tuiles. Ces éléments correspondent vraisemblablement à des ratés de cuissons. Ces accidents de cuisson peuvent résulter d'une exposition à des températures trop élevées. La présence de fondants en quantité excessive dans les pâtes peut également avoir provoqué un abaissement du point de fusion, conduisant à une vitrification du matériau argileux (Le Ny 1988, p. 29). En revanche, la provenance de ces matériaux des maçonneries de l'unité de cuisson semble pouvoir être écartée, pour diverses raisons : les assemblages de matériaux entre eux corroborent avec les pratiques d'enfournement des tuiles dans le laboratoire d'un four, les déformations subies suggèrent que ces matériaux aient été placés dans un espace non-contraint, les contraintes de chaleur observées sur les matériaux constitutifs des maçonneries du four (rubéfaction restreinte à un rebord longitudinal ou à une extrémité de *tegula*) différent de celles subies par les matériaux déformées (Fig. III-03-06).

Les ratés de cuisson identifiés correspondent quasi-exclusivement à des *imbrices*. Seules trois éléments parmi les agglomérats vitrifiés semblent pouvoir être attribués à des *tegulae*. Les déformations subies lors de la chauffe rendent néanmoins cette identification suggestive.

Les assemblages des *imbrices* fusionnées les unes aux autres permettent de rendre compte brièvement de la disposition du matériel dans le laboratoire. Cette disposition corrobore avec les méthodes d'enfournement de ces pièces courbes, emboîtées l'une dans l'autre en rangées parallèles. Les tuiles canal étaient orientées de façon opposées d'une rangée à l'autre. La courbure assure un espace de réserve entre chaque pièce, permettant un tirage vertical de la chaleur entre chacune des tuiles, et a posteriori un tirage au travers des différents étagements de matériaux ainsi empilés (Charlier 2011 pp. 658-661). L'association de différents matériaux de construction au sein du chargement, lors d'une même cuisson, peut être débattue. La quasi absence de *tegulae* parmi les accidents de cuisson peut être le résultat d'un enfournement différencié par type de matériau. L'enfournement de plusieurs types de matériau lors d'une même cuisson, suggérant une éventuelle partition du laboratoire par matériau peut également être proposée, les températures excessives atteintes à un point restreint du four ayant pu ne pas impacté le chargement dans son intégralité.

er



Fig. III-03-06 Ratés de cuisson, Melun - 19, rue Saint-Liesne - © Inrap : G. Chamarre

Ces éléments proviennent essentiellement du comblement d'abandon de la chambre de chauffe (Us 1323) et d'un amas vitrifié positionné dans un conduit de chauffe (Us 1340), correspondant à près de 86 % de la masse totale de ratés de cuisson prélevés. Une part résiduelle de ratés de cuisson est issue des niveaux de comblement d'abandon de la fosse de travail Sud (Us 1348, Us 1358 et Us 1520) et des comblements de fosse et fossés (F1073, F1148, F1179, F1203, F1248, F1303, F1518). La présence de ratés de cuisson dans la chambre de chauffe ainsi que dans le comblement d'abandon de la fosse de travail peut suggérer qu'il puisse s'agir des restes de l'une des dernières fournées.

La chute d'une grande quantité de matériaux (1340) au travers de la sole séparant le laboratoire de la chambre de chauffe et l'obstruction quasi-complète de l'un des conduits de chauffe par la formation d'un amas vitrifié permettent de nous interroger sur la poursuite d'une utilisation optimale du four. Outre une réfection de la sole nécessaire à la poursuite du chargement du laboratoire, le tirage vertical du flux d'air chaud n'aurait été que partiellement effectif. Une répartition inégale des gaz dans le laboratoire, en raison du comblement d'une conduite de la chambre de chauffe, aurait ainsi compromis une cuisson contrôlée de chargement.

En ce qui concerne les ratés de cuisson découverts dans les comblements d'abandon de la fosse de travail Sud (FS1074), par ailleurs absents du comblement de la fosse de travail Nord (FS1321), ces éléments peuvent plaider pour une exploitation de cette aire de travail Sud jusqu'à la toute fin de l'utilisation du four.

3.3.7 Les marques de tâcherons

Les marques digitées volontaires d'artisan

L'observation de marques digitées à la surface des modules est particulièrement affectée par l'état de conservation du lot. Cette difficulté résulte en majeure partie de la formation quasi-systématique d'une concrétion en surface, à laquelle s'additionnent les effets de rubéfaction ainsi que l'application d'un liant argileux. Ce liant argileux mêlé à un abondant dégraissant végétal affecte en particulier la lecture de surface des moitiés longitudinales ou des extrémités aval de *tegulae* positionnées en parement de maçonnerie de l'unité de cuisson (Fig. III-03-07).

Un marquage digité non-systématique est observé au travers du corpus de *tegulae* et plus anecdotiquement sur un fragment de brique. Aucune marque digitée volontaire n'est en revanche observée sur les *imbrices*.

Les restes de *tegulae* ont ainsi livré 26 marques digitées volontaires d'artisan, apposées à la surface des extrémités aval. La fréquence d'apparition de ces marques reste néanmoins restreinte : parmi les 33 *tegulae* dont les extrémités aval sont complètes, seulement 19 modules sont pourvus d'une marque. L'absence de marque digitée à l'aval de près de 56 % des *tegulae* ne coïncide pas avec la fréquence d'apparition d'un autre marquage par incision.

Parmi les marques d'artisans observées se distinguent 5 types de marquage, classées d'après la typologie proposée par Louis Goulpeau et Françoise Le Ny (Goulpeau, Le Ny 1989 ; Fig. III-03-04) :

- Les arcs de cercles fermés, sous-tendus, dont les extrémités aboutissent sur le bord aval des modules, suivant un tracé demi-circulaire simple (Ba1), double (Ba2), ou triple (Ba3). Ces types de marques apparaissent comme les plus fréquentes : le type d'arc simple est observé sur deux modules, le type d'arc double sur vingt module puis le type d'arc triple sur un seul module.
- Les arcs de cercles fermés, tendus, dont les extrémités aboutissent sur le bord aval des modules, suivant un tracé demi-circulaire outrepassé simple (Bb1). Ce type de marque est observé sur deux modules.



Fig. III-03-07 Détail d'un liant argileux avec négatifs de dégraissant végétal, au revers d'une tegula employée dans les maçonneries de la chambre de chauffe du four FOU1074, Melun « 19, rue Saint-Liesne » © Inrap : G. Chamarre

- Une boucle fermée sans croisement des branches, esquissant une lettre *gamma* renversée, se décline sous la forme d'un tracé simple (Fd1). Ce type de marque est observé sur un unique module. Les tracés en arcs comptent parmi les formes de marques digitées les plus recensées dans une large moitié Nord de la Gaule.

Ces marques volontaires apposées au doigt peuvent être concomitantes avec diverses finitions manuelles des modules une fois démoulés : reprise du profil supérieur des rebords, pratique de gorges internes le long des rebords, masquage de diverses aspérités. L'observation anecdotique d'une petite masse d'argile, inégalement lissées aux doigts à la surface d'une tegula (Us 1321), vraisemblablement en vue du rebouchage d'une brèche, témoigne de cette étape de finition manuelle des tuiles.

Les incisions volontaires d'artisan

Des incisions volontaires apparaissent de manière moins fréquentes que les marques digitées volontaires, observées sur seulement 7 tegulae. Aucune incision de ce type n'a été observée sur les imbrices ou briques. Ces incisions présentent des dispositions assez variés d'une tuile à une autre. Elles sont observées à la surface extérieure des rebords en aval (rebords gauches ou droits sans distinction apparente), sur la tranche aval ou plus anecdotiquement en l'emplacement d'un enlèvement aval gauche de tegulae. Ces incisions apparaissent soit sous la forme d'incisions uniques obliques, soit de doubles incisions croisées, avec des niveaux de représentations équivalents (Fig. III-03-04).

Ces marques volontaires appliquées à l'aide d'un instrument fin et droit peuvent suggérer l'emploi d'un couteau, par ailleurs en usage dans le dégrossissage et la finition des modules une fois démoulés : suppression des éventuelles barbuces résultants de l'adhérence de l'argile au moule, pratique d'un biseautage de surface à l'extrémité aval, ainsi que dans l'exécution des enlèvements d'encoches aval et amont.

La fonction du marquage volontaire des terres cuites architecturales

La fonction conférée à ces marquages digités et aux incisions reste débattues en l'état actuel de nos connaissances. L'attribution de ces marques à une fonction d'indicateurs dans la chaîne opératoire au sein d'un atelier apparaît la plus probable (Bontrond 2013, pp. 273). L'évocation d'un système de décompte de tâches effectuées par un artisan ou plusieurs membres d'un atelier est la plus communément avancée mais reste subjective. La représentation insuffisante des différentes marques identifiées et l'alternance des marquages (digité/incisé) selon les modules de ce corpus ne permettent de pousser davantage cette interprétation. Une variation des gabarits de tegulae ne semble pas non plus discriminer l'apparition de tel ou tel type de marques. Les limites actuelles des connaissances ne permettent pas d'exclure un simple système de suivi des modules dans la chaîne opératoire (signalétique dans le suivi du séchage, etc.).

L'observation de ces marques presque exclusivement sur des tegulae tend à rejoindre un constat partagé sur l'essentiel des sites de productions de terres cuites architecturales antiques : un atelier privilégiant le marquage d'un seul type de production (Goulpeau, Le Ny 1989, p. 113 ; Bontrond 2013, p. 273). Les imbrices prélevées sur ce site semblent exclure le recours à ce type de marquage, tandis que la part résiduelle de briques permet difficilement d'infirmer cette observation.

3.3.8 Synthèse

Les terres cuites architecturales fournissent un bref aperçu des matériaux de construction en usage localement durant la période antique. Ce corpus est composé essentiellement de matériaux de couverture (*tegulae* et *imbrices*), tandis que les briques de maçonneries n'apparaissent qu'à un niveau résiduel. La représentation majoritaire des tuiles peut s'expliquer par une activité de production tuilière sur ce site, ainsi que par les matériaux employés à la réalisation de l'unité de cuisson.

Les tegulae constituent l'essentiel des matériaux mis en œuvre dans les maçonneries de soubassements du four (massifs des alandiers Nord et Sud, murets de soutènement). Les dimensions des tegulae de ce corpus apparaissent sensiblement supérieures à la métrologie admise pour les productions régionales. Deux formats de tegulae apparaissent distinctement : un format de longueur supérieure (rapport longueur/largeur de 5/3) distinct des productions civiles admises au Nord de la Loire ; ainsi qu'un format de dimensions moyennes (rapport longueur/largeur de 4/3). Cet écart de longueur perçu sur seulement deux modules de format supérieur ne peut être expliqué selon un phasage chronologique sur la seule base des données stratigraphiques à notre disposition. Les deux formats de tegulae sont représentés simultanément dans les mêmes maçonneries du four. Le lieu de production de ces matériaux reste inconnu, vraisemblablement attribuables à une production locale proche du site, au regard du matériau argileux comparable aux productions tirées du four. Des tegulae de format moyen sont également mises en œuvre, jointes à des imbrices, dans une maçonnerie de bouchage de l'alandier Nord du four (Us 1337). La pérennité de ce format dans l'intervalle de réalisation du four et de reprise fonctionnelle du four peut nous interroger sur une réelle

dynamique d'évolution à la baisse des dimensions des tegulae, ou sur la rapidité de reprise structurale du four après sa construction.

Parmi les imbrices les mieux préservées du corpus, une série de tuil^S canal provient du comblement de la fosse de travail au Nord du four (Us 1321). Ces imbrices sont quelques fois porteuses de mortier de tuileau en sous-face, suggérant leur utilisation en couvre-joints sur des aménagements bâtis couverts sur le site ou dans son environnement proche.

La production de tuile creuse sur le site apparaît au travers d'une série de déchets de cuisson, dispersés à travers le site et regroupés dans les comblements du four. La formation d'un amas mis au jour dans un conduit de chauffe (Us 1340), formé de l'amalgame d'imbrices et de façon plus subsidiaire de tegulae, est potentiellement concomitante de l'abandon du four. L'effondrement d'une partie du chargement de tuil^S à travers une supposée sole perforée et l'obstruction d'un conduit de diffusion de la chaleur à plus long terme tendent à suggérer une dégradation des conditions d'utilisation du four et un abandon successif de l'unité de cuisson.

La dispersion de restes fragmentaires de tegulae, imbrices et briques de maçonnerie antiques à travers le site doit également être appréhendée avec prudence. L'activité de production tuilière et l'occupation environnante peuvent expliquer la présence de ces matériaux antiques en quantité résiduelle jusque dans les comblements de creusements largement postérieurs à l'occupation antique du site.

3.3.9 Inventaire détaillé des terres cuites architecturales gallo-romaines

Le tableau se développe horizontalement sur les deux pages en vis-à-vis.

Conservation (C)/Non-conservation (N-C)	Dessin, Figures	Fait / ENS	Us	Matériau	Groupe	Type	Description	Pâte	Masse (g)	NR	Période	Masse/ Fait (g)	Masse/ US (g)	NR/ Fait	NR/ US
C		1019		TC	tuile	tegula	Frgt ¼ amont droit incomplet.	Homogène, orange : oxydes ocres à noirs fréquents, poches d'argilite beige, fraction siliceuse régulière.	613	1	GR	550		1	
C		1040	1	TC	tuile	imbrex	Traces d'un tirage longitudinale en surface.	Hétérogène marbrée, beige à orange : litage blanc, oxydes ocres abondants.	68,8	1		68,8		1	
C		1056	B	TC	tuile	imbrex	Traces d'un tirage longitudinale en surface.	Homogène, beige à jaune : oxydes ocres réguliers (<5mm).	99,6	1		325		2	
C		1056	B	TC	tuile	tegula	Frgt ¼ aval gauche incomplet.	Homogène, beige à orange : oxydes ocres fréquents, fraction siliceuse régulière.	225,5	1	GR	325		2	
C		1069		TC	tuile	tegula	Frgt rebord.	Homogène, ocre : oxydes ocres réguliers (<2mm), poches d'argilite blanche (<10mm), fraction siliceuse régulière.	238	2	GR	1503		4	
C		1069		TC	tuile	imbrex		Homogène, beige : oxydes ocres réguliers (<2mm), poches d'argilite blanche (<15mm), fraction siliceuse régulière.	1265	2	GR	1503		4	

Conservation (C)/Non-conservation (N-C)	Dessin, Figures	Fait / ENS	Us	Matériau	Groupe	Type	Description	Pâte	Masse (g)	NR	Période	Masse/ Fait (g)	Masse/ US (g)	NR/ Fait	NR/ US
C		1071		TC	tuile	tegula	Frgt rebord gauche.	Homogène, beige à orange : oxydes ocres à noirs fréquents, fraction siliceuse régulière.	205,5	1	GR	276		3	
C		1071		TC	tuile	tegula	Frgt rebord gauche.	Homogène, beige à jaune : oxydes ocres réguliers (<5mm).	107	1	GR	276		3	
C		1071		TC	tuile	imbrex		Homogène, beige à orange : oxydes ocres à noirs fréquents, fraction siliceuse régulière.	169,4	1	GR	276		3	
C		1073		TC	paroi de four/raté de cuisson		Frgt scorifié.		95,2	1	GR	95,2		1	
C	III-03-04	1074	1317	TC	tuile	tegula	Pièce complète. 1 marque digitée (arc de cercle sous-tendu) en extrémité avale.	Homogène, orange : oxydes ocres réguliers (<2mm), poches d'argilite blanche (<10mm), fraction siliceuse régulière.	6200	2	GR	451600,1	87500	486	74
C		1074	1317	TC	tuile	tegula	Pièce complète. 2 marques digitées (arcs de cercles sous-tendus) en extrémité avale.	Homogène, orange : oxydes ocres réguliers (<2mm), poches d'argilite blanche (<10mm), fraction siliceuse régulière.	7700	5	GR	451600,1	87500	486	74
C	III-03-04	1074	1317	TC	tuile	tegula	Pièce complète.	Homogène, orange : oxydes ocres réguliers (<2mm), poches d'argilite blanche (<10mm), fraction siliceuse régulière.	6550	2	GR	451600,1	87500	486	74
C	III-03-04	1074	1317	TC	tuile	tegula	Pièce complète. 2 marques digitées (arcs de cercles sous-tendus) en extrémité avale.	Homogène, orange : oxydes ocres réguliers (<2mm), poches d'argilite blanche (<10mm), fraction siliceuse régulière.	6250	1	GR	451600,1	87500	486	74
C		1074	1317	TC	tuile	tegula	Pièce presque complète. 2 marques digitées (arcs de cercles sous-tendus) en extrémité avale.	Homogène, orange : oxydes ocres réguliers (<2mm), poches d'argilite blanche (<10mm), fraction siliceuse régulière.	5500	4	GR	451600,1	87500	486	74
C		1074	1317	TC	tuile	tegula	Pièce presque complète. Tranche avale supérieure biseautée. 2 marques digitées (arcs de cercles sous-tendus) en extrémité avale.	Homogène, orange : oxydes ocres réguliers (<2mm), poches d'argilite blanche (<10mm), fraction siliceuse régulière.	5750	9	GR	451600,1	87500	486	74
C		1074	1317	TC	tuile	tegula	Pièce complète. Tranche avale supérieure biseautée. Empreintes digitées par préhension.	Homogène, orange : oxydes ocres réguliers (<2mm), poches d'argilite blanche (<10mm), fraction siliceuse régulière.	6750	4	GR	451600,1	87500	486	74
C		1074	1317	TC	tuile	tegula	Pièce presque complète. 2 marques digitées (arcs de cercles sous-tendus) en extrémité avale.	Homogène, orange : oxydes ocres réguliers (<2mm), poches d'argilite blanche (<10mm), fraction siliceuse régulière.	5950	29	GR	451600,1	87500	486	74

Conservation (C)/Non-conservation (N-C)	Dessin, Figures	Fait / ENS	Us	Matériau	Groupe	Type	Description	Pâte	Masse (g)	NR	Période	Masse/ Fait (g)	Masse/ US (g)	NR/ Fait	NR/ US
C	III-03-04	1074	1317	TC	tuile	tegula	Pièce complète. 1 marque digitée (arc de cercle outre-passé) en extrémité avale.	Homogène, orange : oxydes ocres réguliers (<2mm), poches d'argilite blanche (<10mm), fraction siliceuse régulière.	8050	2	GR	451600,1	87500	486	74
C		1074	1317	TC	tuile	tegula	Pièce complète. 1 incision oblique sur la tranche avale.	Homogène, orange : oxydes ocres réguliers (<2mm), poches d'argilite blanche (<10mm), fraction siliceuse régulière.	7550	5	GR	451600,1	87500	486	74
C		1074	1317	TC	tuile	tegula	Pièce complète. 2 marques digitées (arcs de cercles sous-tendus) en extrémité avale.	Homogène, orange : oxydes ocres réguliers (<2mm), poches d'argilite blanche (<10mm), fraction siliceuse régulière.	6750	5	GR	451600,1	87500	486	74
C		1074	1317	TC	tuile	tegula	Pièce complète. 2 marques digitées (arcs de cercles sous-tendus) en extrémité avale.	Homogène, orange : oxydes ocres réguliers (<2mm), poches d'argilite blanche (<10mm), fraction siliceuse régulière.	6750	5	GR	451600,1	87500	486	74
C		1074	1317	TC	tuile	tegula	Pièce complète. 2 marques digitées (arcs de cercles sous-tendus) en extrémité avale. 1 incision oblique sur la tranche avale.	Homogène, orange : oxydes ocres réguliers (<2mm), poches d'argilite blanche (<10mm), fraction siliceuse régulière.	7750	1	GR	451600,1	87500	486	74
N-C		1074	1321	TC	tuile	imbrex	Élargissement d'amont en avale.	Homogène, ocre : oxydes ocres réguliers (<2mm), poches d'argilite blanche (<10mm), fraction siliceuse régulière.	1464	1	GR	451600,1	112108	486	72
N-C		1074	1321	TC	tuile	imbrex	Élargissement d'amont en avale.	Homogène, orange : oxydes ocres réguliers (<2mm), poches d'argilite blanche (<10mm), fraction siliceuse régulière.	1517	1	GR	451600,1	112108	486	72
N-C		1074	1321	TC	tuile	imbrex	Élargissement d'amont en avale.	Homogène, orange : oxydes ocres réguliers (<2mm), poches d'argilite blanche (<10mm), fraction siliceuse régulière.	1254	1	GR	451600,1	112108	486	72
N-C		1074	1321	TC	tuile	imbrex	Élargissement d'amont en avale.	Homogène, orange : oxydes ocres réguliers (<2mm), poches d'argilite blanche (<10mm), fraction siliceuse régulière.	1761	1	GR	451600,1	112108	486	72
N-C		1074	1321	TC	tuile	imbrex	Élargissement d'amont en avale.	Homogène, orange : oxydes ocres réguliers (<2mm), poches d'argilite blanche (<10mm), fraction siliceuse régulière.	2200	1	GR	451600,1	112108	486	72
N-C		1074	1321	TC	tuile	imbrex	Élargissement d'amont en avale.	Homogène, orange : oxydes ocres réguliers (<2mm), poches d'argilite blanche (<10mm), fraction siliceuse régulière.	1556	1	GR	451600,1	112108	486	72
N-C		1074	1321	TC	tuile	tegula	Frgt ¼ amont gauche.	Homogène, orange : oxydes ocres réguliers (<2mm), poches d'argilite blanche (<10mm), fraction siliceuse régulière.	1647	1	GR	451600,1	112108	486	72

Tegulae													Imbrices					Briques	
Longueur (mm)	Largeur amont (mm)	Largeur avale (mm)	Hauteur de rebord (mm)	Épaisseur de fond (mm)	Épaisseur de rebord (mm)	Épaisseur de rebord amont (mm)	Épaisseur de rebord aval (mm)	Hauteur d'enlèvement aval (g./d.) (mm)	Profondeur d'enlèvement aval (g./d.) (mm)	Profondeur de réserve latérale (g./d.) (mm)	Longueur de réserve latérale (g./d.) (mm)	Longueur d'enlèvement amont (g./d.) (mm)	Longueur (mm)	Largeur amont (mm)	Largeur intermédiaire (mm)	Largeur avale (mm)	Hauteur (amont/avale) (mm)	Épaisseur (min./max.) (mm)	Épaisseur (mm)
475	315	310	45/55	25		15/17	30/35	35	25	10,00	50	45/55							
440	320	315	45/50	25		20	30	20	25	10,00	55	40/50							
425	315	300	45	30		23	30/35	25/30	15	10,00	47/55	45/50							
430	315		40/45	25		17/20	30/35	23/30	17/23	10,00	35	40/45							
420	315	310	50/55	30		20/25	35	25/30	25	25/30	45/55	40							
															160/165		70	20/23	
														150			70	20	
															160/165		70	20	
																175	90	18/20	
															165	185	75	22/25	
															160		70	20	
			50	25		20						40							

Conservation (C)/Non-conservation (N-C)	Dessin, Figures	Fait / ENS	Us	Matériau	Groupe	Type	Description	Pâte	Masse (g)	NR	Période	Masse/ Fait (g)	Masse/ US (g)	NR/ Fait	NR/ US
N-C		1074	1321	TC	tuile	imbrex	Élargissement d'amont en aval.	Homogène, ocre : oxydes ocres réguliers (<2mm), poches d'argilite blanche (<10mm), fraction siliceuse régulière.	1495	1	GR	451600,1	112108	486	72
N-C		1074	1321	TC	tuile	imbrex	Élargissement d'amont en aval.	Homogène, ocre : oxydes ocres réguliers (<2mm), poches d'argilite blanche (<10mm), fraction siliceuse régulière.	1430	1	GR	451600,1	112108	486	72
N-C		1074	1321	TC	tuile	imbrex	Élargissement d'amont en aval.	Homogène, orange : oxydes ocres réguliers (<2mm), poches d'argilite blanche (<10mm), fraction siliceuse régulière.	2000	1	GR	451600,1	112108	486	72
N-C		1074	1321	TC	tuile	imbrex	Élargissement d'amont en aval.	Homogène, orange : oxydes ocres réguliers (<2mm), poches d'argilite blanche (<10mm), fraction siliceuse régulière.	1663	1	GR	451600,1	112108	486	72
N-C		1074	1321	TC	tuile	imbrex	Élargissement d'amont en aval.	Homogène, orange : oxydes ocres réguliers (<2mm), poches d'argilite blanche (<10mm), fraction siliceuse régulière.	1462	1	GR	451600,1	112108	486	72
N-C		1074	1321	TC	tuile	imbrex	Élargissement d'amont en aval.	Homogène, orange : oxydes ocres réguliers (<2mm), poches d'argilite blanche (<10mm), fraction siliceuse régulière.	1141	1	GR	451600,1	112108	486	72
N-C		1074	1321	TC	tuile	imbrex	Élargissement d'amont en aval.	Homogène, orange : oxydes ocres réguliers (<2mm), poches d'argilite blanche (<10mm), fraction siliceuse régulière.	1452	1	GR	451600,1	112108	486	72
N-C		1074	1321	TC	tuile	imbrex		Homogène, orange : oxydes ocres réguliers (<2mm), poches d'argilite blanche (<10mm), fraction siliceuse régulière.	1592	1	GR	451600,1	112108	486	72
N-C		1074	1321	TC	tuile	imbrex	Élargissement d'amont en aval.	Homogène, orange : oxydes ocres réguliers (<2mm), poches d'argilite blanche (<10mm), fraction siliceuse régulière.	1808	1	GR	451600,1	112108	486	72
N-C		1074	1321	TC	tuile	imbrex		Homogène, orange : oxydes ocres réguliers (<2mm), poches d'argilite blanche (<10mm), fraction siliceuse régulière.	383	1	GR	451600,1	112108	486	72
N-C		1074	1321	TC	tuile	imbrex	Élargissement d'amont en aval.	Homogène, orange : oxydes ocres réguliers (<2mm), poches d'argilite blanche (<10mm), fraction siliceuse régulière.	1400	1	GR	451600,1	112108	486	72
N-C		1074	1321	TC	tuile	imbrex	Élargissement d'amont en aval.	Homogène, orange : oxydes ocres réguliers (<2mm), poches d'argilite blanche (<10mm), fraction siliceuse régulière.	1901	2	GR	451600,1	112108	486	72

Tegulae													Imbrices					Briques	
Longueur (mm)	Largeur amont (mm)	Largeur avale (mm)	Hauteur de rebord (mm)	Épaisseur de fond (mm)	Épaisseur de rebord (mm)	Épaisseur de rebord amont (mm)	Épaisseur de rebord aval (mm)	Hauteur d'enlèvement aval (g./d.) (mm)	Profondeur d'enlèvement aval (g./d.) (mm)	Profondeur de réserve latérale (g./d.) (mm)	Longueur de réserve latérale (g./d.) (mm)	Longueur d'enlèvement amont (g./d.) (mm)	Longueur (mm)	Largeur amont (mm)	Largeur intermédiaire (mm)	Largeur avale (mm)	Hauteur (amont/avale) (mm)	Épaisseur (min./max.) (mm)	Épaisseur (mm)
																	70	20/25	
															170			17/25	
															165	175	90	20/23	
														147			60	22/24	
															160		70	20/23	
														155			65	18/23	
																170	75	17/25	
															200				
															175		75	20	
																		20	
														150			65	20/22	
														150	150		65	20	

Conservation (C)/Non-conservation (N-C)	Dessin, Figures	Fait / ENS	Us	Matériau	Groupe	Type	Description	Pâte	Masse (g)	NR	Période	Masse/ Fait (g)	Masse/ US (g)	NR/ Fait	NR/ US
C		1074	1321	TC	tuile	tegula	Frgt ¼ amont droit.	Homogène, orange : oxydes ocres réguliers (<2mm), poches d'argilite blanche (<10mm), fraction siliceuse régulière.	2050	1	GR	451600,1	112108	486	72
C		1074	1321	TC	tuile	tegula	Frgt ¼ aval droit.	Homogène, orange : oxydes ocres réguliers (<2mm), poches d'argilite blanche (<10mm), fraction siliceuse régulière.	2250	1	GR	451600,1	112108	486	72
N-C		1074	1321	TC	tuile	imbrex		Homogène, orange : oxydes ocres réguliers (<2mm), poches d'argilite blanche (<10mm), fraction siliceuse régulière.	1193	1	GR	451600,1	112108	486	72
N-C		1074	1321	TC	tuile	imbrex		Homogène, orange : oxydes ocres réguliers (<2mm), poches d'argilite blanche (<10mm), fraction siliceuse régulière.	1166	1	GR	451600,1	112108	486	72
N-C		1074	1321	TC	tuile	imbrex	Élargissement d'amont en aval.	Homogène, orange : oxydes ocres réguliers (<2mm), poches d'argilite blanche (<10mm), fraction siliceuse régulière.	1681	1	GR	451600,1	112108	486	72
N-C		1074	1321	TC	tuile	imbrex		Homogène, orange : oxydes ocres réguliers (<2mm), poches d'argilite blanche (<10mm), fraction siliceuse régulière.	1505	1	GR	451600,1	112108	486	72
N-C		1074	1321	TC	tuile	imbrex		Homogène, orange : oxydes ocres réguliers (<2mm), poches d'argilite blanche (<10mm), fraction siliceuse régulière.	156,5	1	GR	451600,1	112108	486	72
N-C		1074	1321	TC	tuile	imbrex		Homogène, orange : oxydes ocres réguliers (<2mm), poches d'argilite blanche (<10mm), fraction siliceuse régulière.	319,5	1	GR	451600,1	112108	486	72
C	III-03-05	1074	1321	TC	tuile	imbrex	Pièce presque complète. Élargissement d'amont en aval.	Homogène, orange : oxydes ocres réguliers (<2mm), poches d'argilite blanche (<10mm), fraction siliceuse régulière.	2500	1	GR	451600,1	112108	486	72
N-C		1074	1321	TC	tuile	imbrex	Élargissement d'amont en aval.	Homogène, orange : oxydes ocres réguliers (<2mm), poches d'argilite blanche (<10mm), fraction siliceuse régulière.	1950	1	GR	451600,1	112108	486	72
N-C		1074	1321	TC	tuile	imbrex	Élargissement d'amont en aval.	Homogène, orange : oxydes ocres réguliers (<2mm), poches d'argilite blanche (<10mm), fraction siliceuse régulière.	160	1	GR	451600,1	112108	486	72
N-C		1074	1321	TC	tuile	imbrex		Homogène, orange : oxydes ocres réguliers (<2mm), poches d'argilite blanche (<10mm), fraction siliceuse régulière.	1163	2	GR	451600,1	112108	486	72
C		1074	1321	TC	tuile	tegula	Frgt ¼ amont droit.	Hétérogène marbrée, beige à orange : litage blanc, oxydes ocres abondants (<2mm).	1786	1	GR	451600,1	112108	486	72

Tegulae													Imbrices					Briques	
Longueur (mm)	Largeur amont (mm)	Largeur avale (mm)	Hauteur de rebord (mm)	Épaisseur de fond (mm)	Épaisseur de rebord (mm)	Épaisseur de rebord amont (mm)	Épaisseur de rebord aval (mm)	Hauteur d'enlèvement aval (g./d.) (mm)	Profondeur d'enlèvement aval (g./d.) (mm)	Profondeur de réserve latérale (g./d.) (mm)	Longueur de réserve latérale (g./d.) (mm)	Longueur d'enlèvement amont (g./d.) (mm)	Longueur (mm)	Largeur amont (mm)	Largeur intermédiaire (mm)	Largeur avale (mm)	Hauteur (amont/avale) (mm)	Épaisseur (min./max.) (mm)	Épaisseur (mm)
			50	22/32		22						45							
			47	26			25	22	25	8,00	50								
															165		75	20/23	
																		20	
															170		75	20/23	
															155		80	20/23	
																		18	
																		16/20	
													400	150		165	80	18/20	
															155/165		75	17/20	
														150	1610		65	18/20	
														145			65	20	
			50	25			20					45							

Conservation (C)/Non-conservation (N-C)	Dessin, Figures	Fait / ENS	Us	Matériau	Groupe	Type	Description	Pâte	Masse (g)	NR	Période	Masse/ Fait (g)	Masse/ US (g)	NR/ Fait	NR/ US
C		1074	1321	TC	brique	brique		Homogène, ocre : oxydes ocres réguliers (<2mm).	2173	3	GR	451600,1	112108	486	72
N-C		1074	1321	TC	brique	brique		Homogène, orange : oxydes ocres réguliers (<2mm), poches d'argilite blanche (<10mm), fraction siliceuse régulière.	1980	1	GR	451600,1	112108	486	72
N-C		1074	1321	TC	tuile	imbrex	Frgt extrémité amont ou aval.	Homogène, orange : oxydes ocres réguliers (<2mm), poches d'argilite blanche (<10mm), fraction siliceuse régulière.	1036	1	GR	451600,1	112108	486	72
N-C		1074	1321	TC	tuile	imbrex	Frgt extrémité amont ou aval.	Homogène, orange : oxydes ocres réguliers (<2mm), poches d'argilite blanche (<10mm), fraction siliceuse régulière.	1248	1	GR	451600,1	112108	486	72
N-C		1074	1321	TC	tuile	imbrex	Frgt extrémité amont ou aval.	Homogène, orange : oxydes ocres réguliers (<2mm), poches d'argilite blanche (<10mm), fraction siliceuse régulière.	1115	1	GR	451600,1	112108	486	72
C	III-03-05	1074	1321	TC	tuile	imbrex	Pièce presque complète. Élargissement d'amont en aval.	Homogène, orange : oxydes ocres réguliers (<2mm), poches d'argilite blanche (<10mm), fraction siliceuse régulière.	2500	1	GR	451600,1	112108	486	72
C	III-03-05	1074	1321	TC	tuile	imbrex	Pièce presque complète.	Homogène, orange : oxydes ocres réguliers (<2mm), poches d'argilite blanche (<10mm), fraction siliceuse régulière.	2450	1	GR	451600,1	112108	486	72
N-C		1074	1321	TC	tuile	imbrex	Élargissement d'amont en aval.	Homogène, orange : oxydes ocres réguliers (<2mm), poches d'argilite blanche (<10mm), fraction siliceuse régulière.	1500	1	GR	451600,1	112108	486	72
C		1074	1321	TC	tuile	tegula	Frgt ¼ amont gauche.	Homogène, orange : oxydes ocres réguliers (<2mm), poches d'argilite blanche (<10mm), fraction siliceuse régulière.	2200	1	GR	451600,1	112108	486	72
C		1074	1321	TC	tuile	tegula	Frgt ¼ aval droit. 2 marques digitées (arcs de cercles sous-tendus) en extrémité aval.	Homogène, orange : oxydes ocres réguliers (<2mm), poches d'argilite blanche (<10mm), fraction siliceuse régulière.	1700	1	GR	451600,1	112108	486	72
N-C		1074	1321	TC	tuile	imbrex	Frgt extrémité amont.	Homogène, orange : oxydes ocres réguliers (<2mm), poches d'argilite blanche (<10mm), fraction siliceuse régulière.	1650	1	GR	451600,1	112108	486	72
N-C		1074	1321	TC	tuile	imbrex	Frgt extrémité aval. Mortier de tuileau très grossier en sous-face, avec éléments de TCA milli- à décimétrique.	Homogène, orange : oxydes ocres réguliers (<2mm), poches d'argilite blanche (<10mm), fraction siliceuse régulière.	1700	1	GR	451600,1	112108	486	72

Tegulae													Imbrices					Briques		
Longueur (mm)	Largeur amont (mm)	Largeur avale (mm)	Hauteur de rebord (mm)	Épaisseur de fond (mm)	Épaisseur de rebord (mm)	Épaisseur de rebord amont (mm)	Épaisseur de rebord aval (mm)	Hauteur d'enlèvement aval (g./d.) (mm)	Profondeur d'enlèvement aval (g./d.) (mm)	Profondeur de réserve latérale (g./d.) (mm)	Longueur de réserve latérale (g./d.) (mm)	Longueur d'enlèvement amont (g./d.) (mm)	Longueur (mm)	Largeur amont (mm)	Largeur intermédiaire (mm)	Largeur avale (mm)	Hauteur (amont/avale) (mm)	Épaisseur (min./max.) (mm)	Épaisseur (mm)	
																			45/50	
																			45	
																175	75	22/25		
															170		80	20		
															170		80	19/21		
													405		160/165		70	17/20		
													400		150/160		80	19/20		
														145			60	17/20		
			50	23			23					40			170					
			47	25		35		20	20	13,00	55				170					
														145			65	20/22		
															170	180	70	19/24		

Conservation (C)/Non-conservation (N-C)	Dessin, Figures	Fait / ENS	Us	Matériau	Groupe	Type	Description	Pâte	Masse (g)	NR	Période	Masse/ Fait (g)	Masse/ US (g)	NR/ Fait	NR/ US
N-C		1074	1321	TC	tuile	imbrex		Homogène, orange : oxydes ocres réguliers (<2mm), poches d'argilite blanche (<10mm), fraction siliceuse régulière.	1650	1	GR	451600,1	112108	486	72
N-C		1074	1321	TC	tuile	imbrex		Homogène, orange : oxydes ocres réguliers (<2mm), poches d'argilite blanche (<10mm), fraction siliceuse régulière.	650	1	GR	451600,1	112108	486	72
N-C		1074	1321	TC	tuile	imbrex		Homogène, orange : oxydes ocres réguliers (<2mm), poches d'argilite blanche (<10mm), fraction siliceuse régulière.	450	1	GR	451600,1	112108	486	72
N-C		1074	1321	TC	tuile	imbrex		Homogène, orange : oxydes ocres réguliers (<2mm), poches d'argilite blanche (<10mm), fraction siliceuse régulière.	200	1	GR	451600,1	112108	486	72
N-C		1074	1321	TC	tuile	imbrex	Frgt extrémité avale. Élargissement d'amont en avale.	Homogène, orange : oxydes ocres réguliers (<2mm), poches d'argilite blanche (<10mm), fraction siliceuse régulière.	1800	1	GR	451600,1	112108	486	72
N-C		1074	1321	TC	tuile	imbrex		Homogène, orange : oxydes ocres réguliers (<2mm), poches d'argilite blanche (<10mm), fraction siliceuse régulière.	1250	1	GR	451600,1	112108	486	72
N-C		1074	1321	TC	tuile	imbrex		Homogène, orange : oxydes ocres réguliers (<2mm), poches d'argilite blanche (<10mm), fraction siliceuse régulière.	1200	1	GR	451600,1	112108	486	72
N-C		1074	1321	TC	tuile	imbrex		Homogène, orange : oxydes ocres réguliers (<2mm), poches d'argilite blanche (<10mm), fraction siliceuse régulière.	1150	1	GR	451600,1	112108	486	72
C		1074	1321	TC	tuile	imbrex		Homogène, orange : oxydes ocres réguliers (<2mm), poches d'argilite blanche (<10mm), fraction siliceuse régulière.	2050	1	GR	451600,1	112108	486	72
N-C		1074	1321	TC	tuile	imbrex		Homogène, orange : oxydes ocres réguliers (<2mm), poches d'argilite blanche (<10mm), fraction siliceuse régulière.	2400	1	GR	451600,1	112108	486	72
N-C		1074	1321	TC	tuile	imbrex	Mortier de tuileau très grossier en sous-face, avec éléments de TCA milli- à décimétrique.	Homogène, orange : oxydes ocres réguliers (<2mm), poches d'argilite blanche (<10mm), fraction siliceuse régulière.	1700	1	GR	451600,1	112108	486	72
N-C		1074	1321	TC	tuile	imbrex		Homogène, orange : oxydes ocres réguliers (<2mm), poches d'argilite blanche (<10mm), fraction siliceuse régulière.	1400	1	GR	451600,1	112108	486	72

Tegulae													Imbrices					Briques	
Longueur (mm)	Largeur amont (mm)	Largeur avale (mm)	Hauteur de rebord (mm)	Épaisseur de fond (mm)	Épaisseur de rebord (mm)	Épaisseur de rebord amont (mm)	Épaisseur de rebord aval (mm)	Hauteur d'enlèvement aval (g./d.) (mm)	Profondeur d'enlèvement aval (g./d.) (mm)	Profondeur de réserve latérale (g./d.) (mm)	Longueur de réserve latérale (g./d.) (mm)	Longueur d'enlèvement amont (g./d.) (mm)	Longueur (mm)	Largeur amont (mm)	Largeur intermédiaire (mm)	Largeur avale (mm)	Hauteur (amont/avale) (mm)	Épaisseur (min./max.) (mm)	Épaisseur (mm)
															155/165		70	20	
															170			18/20	
															170			20	
															170			20	
														160		180	75	20/22	
															160/165		70	20	
															165		70	20	
															170			20/22	
													400	150			65/70	20/25	
															160		7/80	19/25	
															170	175	7/75	20/23	
															160		70	19/22	

Conservation (C)/Non-conservation (N-C)	Dessin, Figures	Fait / ENS	Us	Matériau	Groupe	Type	Description	Pâte	Masse (g)	NR	Période	Masse/ Fait (g)	Masse/ US (g)	NR/ Fait	NR/ US
N-C		1074	1321	TC	tuile	imbrex		Homogène, orange : oxydes ocres réguliers (<2mm), poches d'argilite blanche (<10mm), fraction siliceuse régulière.	2500	1	GR	451600,1	112108	486	72
N-C		1074	1321	TC	tuile	imbrex	Frgt extrémité amont ou avale.	Homogène, orange : oxydes ocres réguliers (<2mm), poches d'argilite blanche (<10mm), fraction siliceuse régulière.	1700	1	GR	451600,1	112108	486	72
N-C		1074	1321	TC	tuile	imbrex		Homogène, orange : oxydes ocres réguliers (<2mm), poches d'argilite blanche (<10mm), fraction siliceuse régulière.	1600	1	GR	451600,1	112108	486	72
N-C		1074	1321	TC	tuile	tegula	Frgt ¼ amont droit incomplet.	Homogène, orange : oxydes ocres réguliers (<2mm), poches d'argilite blanche (<10mm), fraction siliceuse régulière.	1500	1	GR	451600,1	112108	486	72
N-C		1074	1321	TC	tuile	tegula	Frgt ¼ amont gauche incomplet.	Hétérogène marbrée, orange : litage blanc, oxydes ocres abondants (<2mm).	6500	1	GR	451600,1	112108	486	72
N-C		1074	1321	TC	tuile	tegula	Frgt ¼ aval droit. 1 marque digitée (boucle fermée sans croisement des branches) en extrémité avale.	Homogène, orange : oxydes ocres réguliers (<2mm), poches d'argilite blanche (<10mm), fraction siliceuse régulière.	1800	1	GR	451600,1	112108	486	72
N-C		1074	1321	TC	tuile	tegula	Frgt ¼ avale gauche. 2 marques digitées (arcs de cercles sous-tendus) en extrémité avale.	Homogène, orange : oxydes ocres réguliers (<2mm), poches d'argilite blanche (<10mm), fraction siliceuse régulière.	2100	1	GR	451600,1	112108	486	72
N-C		1074	1321	TC	tuile	tegula	Frgt ¼ aval droit. 2 marques digitées (arcs de cercles sous-tendus) en extrémité avale. 2 incisions croisées à l'extérieur du rebord. Applique d'une masse argileuse avec lissage digité grossier en surface.	Homogène, ocre : oxydes ocres réguliers (<2mm), poches d'argilite blanche (<10mm), fraction siliceuse régulière.	1500	1	GR	451600,1	112108	486	72
C		1074	1321	TC	tuile	imbrex	Élargissement d'amont en avale.	Homogène, ocre : oxydes ocres réguliers (<2mm), poches d'argilite blanche (<10mm), fraction siliceuse régulière.	2300	1	GR	451600,1	112108	486	72
C		1074	1321	TC	tuile	imbrex	Pièce presque complète. Élargissement d'amont en avale.	Homogène, ocre : oxydes ocres réguliers (<2mm), poches d'argilite blanche (<10mm), fraction siliceuse régulière.	2700	1	GR	451600,1	112108	486	72
N-C		1074	1321	TC	tuile	imbrex	Élargissement d'amont en avale.	Homogène, ocre : oxydes ocres réguliers (<2mm), poches d'argilite blanche (<10mm), fraction siliceuse régulière.	2250	1	GR	451600,1	112108	486	72

Tegulae													Imbrices					Briques	
Longueur (mm)	Largeur amont (mm)	Largeur avale (mm)	Hauteur de rebord (mm)	Épaisseur de fond (mm)	Épaisseur de rebord (mm)	Épaisseur de rebord amont (mm)	Épaisseur de rebord aval (mm)	Hauteur d'enlèvement aval (g./d.) (mm)	Profondeur d'enlèvement aval (g./d.) (mm)	Profondeur de réserve latérale (g./d.) (mm)	Longueur de réserve latérale (g./d.) (mm)	Longueur d'enlèvement amont (g./d.) (mm)	Longueur (mm)	Largeur amont (mm)	Largeur intermédiaire (mm)	Largeur avale (mm)	Hauteur (amont/avale) (mm)	Épaisseur (min./max.) (mm)	Épaisseur (mm)
															170			20/23	
															160		67	17/20	
															155/167		75	18/20	
			40	25		22													
			46	19		27													
			50	30			34	35	20	10,00	40								
			52	32			36	25	15	12,00	45								
			48	29			38	40	15	12,00	50								
													400	150		170	70	20	
													405	150		170	70/80	16/25	
															165	170	90	19/23	

Conservation (C)/Non-conservation (N-C)	Dessin, Figures	Fait / ENS	Us	Matériau	Groupe	Type	Description	Pâte	Masse (g)	NR	Période	Masse/ Fait (g)	Masse/ US (g)	NR/ Fait	NR/ US
N-C		1074	1321	TC	tuile	imbrex	Élargissement d'amont en aval.	Homogène, ocre : oxydes ocres réguliers (<2mm), poches d'argilite blanche (<10mm), fraction siliceuse régulière.	1500	1	GR	451600,1	112108	486	72
C		1074	1323	TC	tuile	tegula	Frgt ½ avale. 2 marques digitées (arcs de cercles sous-tendus) en extrémité aval.	Hétérogène marbrée, orange : litage blanc, oxydes ocres abondants (<2mm).	3800	2	GR	451600,1	5050	486	4
C		1074	1323	TC	tuile	imbrex	Raté de cuisson.	Hétérogène marbrée, orange : litage blanc, oxydes ocres abondants (<2mm).	1250	2	GR	451600,1	5050	486	4
C		1074	1336	TC	tuile	tegula	Frgt ¼ aval droit. 1 marque digitée (arc de cercle outre-passé) en extrémité aval. Empreinte digitée par préhension.	Homogène, ocre : oxydes ocres réguliers (<2mm), poches d'argilite blanche (<10mm), fraction siliceuse régulière.	1550	1	GR	451600,1	30150	486	27
C		1074	1336	TC	tuile	tegula	Pièce presque complète. 2 marques digitées (arcs de cercles sous-tendus) en extrémité aval.	Homogène, ocre : oxydes ocres réguliers (<2mm), poches d'argilite blanche (<10mm), fraction siliceuse régulière.	6700	5	GR	451600,1	30150	486	27
C		1074	1336	TC	tuile	tegula	2 marques digitées (arcs de cercles sous-tendus) en extrémité aval. 1 incision transversale rectiligne en surface supérieur à hauteur des enlèvements amonts.	Homogène, ocre : oxydes ocres réguliers (<2mm), poches d'argilite blanche (<10mm), fraction siliceuse régulière.	6300	6	GR	451600,1	30150	486	27
C		1074	1336	TC	tuile	tegula	Pièce presque complète. 2 marques digitées (arcs de cercles sous-tendus) en extrémité aval.	Homogène, ocre : oxydes ocres réguliers (<2mm), poches d'argilite blanche (<10mm), fraction siliceuse régulière.	7300	9	GR	451600,1	30150	486	27
C	III-03-04	1074	1336	TC	tuile	tegula	Pièce presque complète. 2 marques digitées (arcs de cercles sous-tendus) en extrémité aval. Fissuration en surface (défaut de séchage ?).	Homogène, ocre : oxydes ocres réguliers (<2mm), poches d'argilite blanche (<10mm), fraction siliceuse régulière.	8300	6	GR	451600,1	30150	486	27
C		1074	1337	TC	tuile	tegula	Pièce presque complète. Rubéfaction en extrémité aval.	Homogène, ocre : oxydes ocres réguliers (<2mm), poches d'argilite blanche (<10mm), fraction siliceuse régulière.	7050	7	GR	451600,1	66735	486	60
C		1074	1337	TC	tuile	tegula	Applique d'un liant argileux en extrémité aval. Rubéfaction en extrémité aval.	Homogène, orange : oxydes ocres réguliers (<2mm), poches d'argilite blanche (<10mm), fraction siliceuse régulière.	7400	7	GR	451600,1	66735	486	60

Tegulae													Imbrices					Briques	
Longueur (mm)	Largeur amont (mm)	Largeur avale (mm)	Hauteur de rebord (mm)	Épaisseur de fond (mm)	Épaisseur de rebord (mm)	Épaisseur de rebord amont (mm)	Épaisseur de rebord aval (mm)	Hauteur d'enlèvement aval (g./d.) (mm)	Profondeur d'enlèvement aval (g./d.) (mm)	Profondeur de réserve latérale (g./d.) (mm)	Longueur de réserve latérale (g./d.) (mm)	Longueur d'enlèvement amont (g./d.) (mm)	Longueur (mm)	Largeur amont (mm)	Largeur intermédiaire (mm)	Largeur avale (mm)	Hauteur (amont/avale) (mm)	Épaisseur (min./max.) (mm)	Épaisseur (mm)
															170		70	19/24	
		300	54/56	25			26/30	25/30	25/30	10,00	55								
			45	22			30	20	10	10,00	50								
425	310	300	45/55	25		15/21	32/40	25/20	20/25	10,00	50	45/50							
440	315		50	25		22/23	40	20	25	10,00	40	45/50							
435	320	335	40/50	30		20/24	36	25	25	9,00	45	40/45							
475	322	330	50/57	30		17/20	25/30	25	23	10,00	54	45							
435	320	310	45/55	30		23/26	31/35	25/35	20	8/12	70-55/50	45							
445	330	325	45/50	28		20/30	35			12,00	60	40/50							

Conservation (C)/Non-conservation (N-C)	Dessin, Figures	Fait / ENS	Us	Matériau	Groupe	Type	Description	Pâte	Masse (g)	NR	Période	Masse/ Fait (g)	Masse/ US (g)	NR/ Fait	NR/ US
C	III-03-04	1074	1337	TC	tuile	tegula	Rubéfaction en extrémité avale. Applique d'un liant argileux en extrémité avale. 1 incision transversale rectiligne en surface supérieur à hauteur des enlèvements amonts.	Homogène, ocre : oxydes ocres réguliers (<2mm), poches d'argilite blanche (<10mm), fraction siliceuse régulière.	6750	5	GR	451600,1	66735	486	60
C	III-03-04	1074	1337	TC	tuile	tegula	Pièce presque complète. 1 marque digitée (arc de cercle sous-tendu) en extrémité avale. 2 incisions croisées sur enlèvement aval gauche. Pré-perforation (?) en surface et sous-face centrale + ébauche de perforation déportée en surface. Rubéfaction en extrémité avale.	Homogène, ocre : oxydes ocres réguliers (<2mm), poches d'argilite blanche (<10mm), fraction siliceuse régulière.	6850	1	GR	451600,1	66735	486	60
C		1074	1337	TC	tuile	tegula	Pièce presque complète. 2 incisions croisées sur tranche avale. 2 marques digitées (arcs de cercles sous-tendus) en extrémité avale.	Homogène, ocre : oxydes ocres réguliers (<2mm), poches d'argilite blanche (<10mm), fraction siliceuse régulière.	7300	9	GR	451600,1	66735	486	60
C	III-03-04	1074	1337	TC	tuile	tegula	Pièce complète. 3 marques digitées (arcs de cercles sous-tendus) en extrémité avale. Rubéfaction en extrémité avale.	Homogène, ocre : oxydes ocres réguliers (<2mm), poches d'argilite blanche (<10mm), fraction siliceuse régulière.	7150	2	GR	451600,1	66735	486	60
N-C		1074	1337	TC	tuile	imbrex		Homogène, jaune à orange : oxydes ocres réguliers (<2mm), poches d'argilite blanche (<10mm), fraction siliceuse régulière.	142	1	GR	451600,1	66735	486	60
N-C		1074	1337	TC	tuile	imbrex		Homogène, jaune à orange : oxydes ocres réguliers (<2mm), poches d'argilite blanche (<10mm), fraction siliceuse régulière.	216	1	GR	451600,1	66735	486	60
N-C		1074	1337	TC	tuile	imbrex		Homogène, jaune à orange : oxydes ocres réguliers (<2mm), poches d'argilite blanche (<10mm), fraction siliceuse régulière.	460,5	1	GR	451600,1	66735	486	60
N-C		1074	1337	TC	tuile	imbrex		Homogène, orange : oxydes ocres réguliers (<2mm), poches d'argilite blanche (<10mm), fraction siliceuse régulière.	462	1	GR	451600,1	66735	486	60

Tegulae													Imbrices					Briques		
Longueur (mm)	Largeur amont (mm)	Largeur avale (mm)	Hauteur de rebord (mm)	Épaisseur de fond (mm)	Épaisseur de rebord (mm)	Épaisseur de rebord amont (mm)	Épaisseur de rebord aval (mm)	Hauteur d'enlèvement aval (g./d.) (mm)	Profondeur d'enlèvement aval (g./d.) (mm)	Profondeur de réserve latérale (g./d.) (mm)	Longueur de réserve latérale (g./d.) (mm)	Longueur d'enlèvement amont (g./d.) (mm)	Longueur (mm)	Largeur amont (mm)	Largeur intermédiaire (mm)	Largeur avale (mm)	Hauteur (amont/avale) (mm)	Épaisseur (min./max.) (mm)	Épaisseur (mm)	
435	320	310	50	30		20	25/35	40/25	10/17	12,00	58/50	50								
410	310	305	45	30		23/25	30/32	24/28	40/40	10,00	40/45	45/50								
440	325	320	40/55	27		18/23	27/33	20/25	30/25	7/6	45/50	50/45								
440	330	320	43	48		25	40	30	25/30	10	60/55	40/45								
																		20		
																		19/22		
																		17/20		
																		21/23		

Conservation (C)/Non-conservation (N-C)	Dessin, Figures	Fait / ENS	Us	Matériau	Groupe	Type	Description	Pâte	Masse (g)	NR	Période	Masse / Fait (g)	Masse / US (g)	NR / Fait	NR / US
N-C		1074	1337	TC	tuile	imbrex		Homogène, orange : oxydes ocres réguliers (<2mm), poches d'argilite blanche (<10mm), fraction siliceuse régulière.	228	1	GR	451600,1	66735	486	60
C		1074	1337	TC	tuile	tegula	Pièce complète. 2 marques digitées (arcs de cercles sous-tendus) en extrémité avale. Rubéfaction en extrémité avale.	Homogène, orange : oxydes ocres réguliers (<2mm), poches d'argilite blanche (<10mm), fraction siliceuse régulière.	6800	5	GR	451600,1	66735	486	60
C		1074	1337	TC	tuile	tegula	Pièce complète. 2 marques digitées (arcs de cercles sous-tendus) en extrémité avale. Rubéfaction en extrémité avale.	Homogène, ocre : oxydes ocres réguliers (<2mm), poches d'argilite blanche (<10mm), fraction siliceuse régulière.	5550	7	GR	451600,1	66735	486	60
N-C		1074	1337	TC	tuile	imbrex		Homogène, orange : oxydes ocres réguliers (<2mm), poches d'argilite blanche (<10mm), fraction siliceuse régulière.	982	3	GR	451600,1	66735	486	60
N-C		1074	1337	TC	tuile	imbrex		Homogène, orange : oxydes ocres réguliers (<2mm), poches d'argilite blanche (<10mm), fraction siliceuse régulière.	676,5	1	GR	451600,1	66735	486	60
N-C		1074	1337	TC	tuile	imbrex		Homogène, orange : oxydes ocres réguliers (<2mm), poches d'argilite blanche (<10mm), fraction siliceuse régulière.	272	1	GR	451600,1	66735	486	60
N-C		1074	1337	TC	tuile	imbrex		Homogène, orange : oxydes ocres réguliers (<2mm), poches d'argilite blanche (<10mm), fraction siliceuse régulière.	617	1	GR	451600,1	66735	486	60
N-C		1074	1337	TC	tuile	imbrex		Homogène, orange : oxydes ocres réguliers (<2mm), poches d'argilite blanche (<10mm), fraction siliceuse régulière.	296	1	GR	451600,1	66735	486	60
N-C		1074	1337	TC	tuile	imbrex		Homogène, orange : oxydes ocres réguliers (<2mm), poches d'argilite blanche (<10mm), fraction siliceuse régulière.	153	1	GR	451600,1	66735	486	60
N-C		1074	1337	TC	tuile	imbrex		Homogène, orange : oxydes ocres réguliers (<2mm), poches d'argilite blanche (<10mm), fraction siliceuse régulière.	480	1	GR	451600,1	66735	486	60
C		1074	1337	TC	tuile	tegula	Pièce complète. Applique d'un liant argileux en extrémité avale. Rubéfaction en extrémité avale.	Homogène, orange : oxydes ocres réguliers (<2mm), poches d'argilite blanche (<10mm), fraction siliceuse régulière.	6900	3	GR	451600,1	66735	486	60

Tegulae													Imbrices					Briques		
Longueur (mm)	Largeur amont (mm)	Largeur avale (mm)	Hauteur de rebord (mm)		Épaisseur de fond (mm)	Épaisseur de rebord (mm)	Épaisseur de rebord amont (mm)	Épaisseur de rebord aval (mm)	Hauteur d'enlèvement aval (g./d.) (mm)	Profondeur d'enlèvement aval (g./d.) (mm)	Profondeur de réserve latérale (g./d.) (mm)	Longueur de réserve latérale (g./d.) (mm)	Longueur d'enlèvement amont (g./d.) (mm)	Longueur (mm)	Largeur amont (mm)	Largeur intermédiaire (mm)	Largeur avale (mm)	Hauteur (amont/avale) (mm)	Épaisseur (min./max.) (mm)	Épaisseur (mm)
																			20/23	
445	332	335	45/55	25			21/25	30/35	45/25	25/30	9/12	60/45	45							
410	305	290	40/50	22			15/22	28	25/22	20/20	8,00	50/45	45/47							
																			16/20	
																			20/24	
																			18	
																			20	
																			16/20	
																			16/20	
																			23	
440	320	315	45/50	30			19/23	35/38	35/25	30/25	12/10	53/50	50							

Conservation (C)/Non-conservation (N-C)	Dessin, Figures	Fait / ENS	Us	Matériau	Groupe	Type	Description	Pâte	Masse (g)	NR	Période	Masse/ Fait (g)	Masse/ US (g)	NR/ Fait	NR/ US
N-C		1074	1340	TC	tuile	imbrex	Rubéfaction/déformation/début de vitrification.	Homogène, orange à noire : oxydes ocres réguliers (<2mm), poches d'argilite blanche (<10mm), fraction siliceuse régulière.	11529,4	77	GR	451600,1	100195	486	123
C	III-03-06	1074	1340	TC	tuile	imbrices/tegula	Agglomérat de fragments d'imbrices et tegula assemblés par superposition. Rubéfaction/déformation/vitrification.	Homogène, orange à noire : oxydes ocres réguliers (<2mm), poches d'argilite blanche (<10mm), fraction siliceuse régulière.	8650	1	GR	451600,1	100195	486	123
C	III-03-06	1074	1340	TC	tuile	imbrices	Agglomérat de 11 fragments d'imbrices assemblés par superposition. Rubéfaction/déformation/vitrification.	Homogène, orange à noire : oxydes ocres réguliers (<2mm), poches d'argilite blanche (<10mm), fraction siliceuse régulière.	3500	1	GR	451600,1	100195	486	123
C	III-03-06	1074	1340	TC	tuile	imbrices	Agglomérat de fragments d'imbrices assemblés par superposition. Rubéfaction/déformation/vitrification.	Homogène, orange à noire : oxydes ocres réguliers (<2mm), poches d'argilite blanche (<10mm), fraction siliceuse régulière.	4250	1	GR	451600,1	100195	486	123
C	III-03-06	1074	1340	TC	tuile	imbrices	Agglomérat de fragments d'imbrices assemblés par superposition. Rubéfaction/déformation/vitrification.	Homogène, orange à noire : oxydes ocres réguliers (<2mm), poches d'argilite blanche (<10mm), fraction siliceuse régulière.	7550	1	GR	451600,1	100195	486	123
N-C		1074	1340	TC	tuile	imbrex	Frgt d'imbrices agglomérées (2 à 12 modules agglomérés). Rubéfaction/déformation.	Homogène, orange à noire : oxydes ocres réguliers (<2mm), poches d'argilite blanche (<10mm), fraction siliceuse régulière.	63016,9	32	GR	451600,1	100195	486	123
N-C		1074	1340	TC	indéterminé		Conglomérat argileux. Rubéfaction.		538,5	8	GR	451600,1	100195	486	123
N-C		1074	1340	TC	tuile	tegula	Rubéfaction/déformation.	Homogène, orange à noire : oxydes ocres réguliers (<2mm), poches d'argilite blanche (<10mm), fraction siliceuse régulière.	561	1	GR	451600,1	100195	486	123
N-C		1074	1340	TC	tuile	tegula	Frgt ¼ amont droit.	Homogène, ocre : oxydes ocres réguliers (<2mm), poches d'argilite blanche (<10mm), fraction siliceuse régulière.	599	1	GR	451600,1	100195	486	123
C		1074	1341	TC	tuile	tegula	Pièce complète. Applique d'un liant argileux sur ½ gauche. Rubéfaction en rebord gauche.	Homogène, orange : oxydes ocres réguliers (<2mm), poches d'argilite blanche (<10mm), fraction siliceuse régulière.	7000	4	GR	451600,1	31150	486	104

Tegulae												Imbrices					Briques		
Longueur (mm)	Largeur amont (mm)	Largeur avale (mm)	Hauteur de rebord (mm)	Épaisseur de fond (mm)	Épaisseur de rebord (mm)	Épaisseur de rebord amont (mm)	Épaisseur de rebord aval (mm)	Hauteur d'enlèvement aval (g./d.) (mm)	Profondeur d'enlèvement aval (g./d.) (mm)	Profondeur de réserve latérale (g./d.) (mm)	Longueur de réserve latérale (g./d.) (mm)	Longueur d'enlèvement amont (g./d.) (mm)	Longueur (mm)	Largeur amont (mm)	Largeur intermédiaire (mm)	Largeur avale (mm)	Hauteur (amont/avale) (mm)	Épaisseur (min./max.) (mm)	Épaisseur (mm)
			50	23														17/20	
																		16/18	
																		15/18	
420	315	310	45/65	23		15/25	30/35	35/20	20	10	50/55	40/50							

Conservation (C)/Non-conservation (N-C)	Dessin, Figures	Fait / ENS	Us	Matériau	Groupe	Type	Description	Pâte	Masse (g)	NR	Période	Masse/ Fait (g)	Masse/ US (g)	NR/ Fait	NR/ US
C		1074	1341	TC	tuile	tegula	1 incision transversale rectiligne en surface supérieur à hauteur des enlèvements amonts. Applique d'un liant argileux en extrémité aval. Rubéfaction en extrémité aval.	Homogène, orange : oxydes ocres réguliers (<2mm), poches d'argilite blanche (<10mm), fraction siliceuse régulière.	6550	15	GR	451600,1	31150	486	104
C		1074	1341	TC	tuile	tegula	Applique d'un liant argileux en extrémité aval. Rubéfaction en extrémité aval.	Homogène, orange : oxydes ocres réguliers (<2mm), poches d'argilite blanche (<10mm), fraction siliceuse régulière.	6200	6	GR	451600,1	31150	486	104
C		1074	1341	TC	tuile	tegula	Pièce complète. Applique d'un liant argileux sur ½ gauche. Rubéfaction en rebord gauche.	Homogène, orange : oxydes ocres réguliers (<2mm), poches d'argilite blanche (<10mm), fraction siliceuse régulière.	5900	47	GR	451600,1	31150	486	104
C		1074	1341	TC	tuile	tegula	Applique d'un liant argileux sur ½ gauche. Rubéfaction en rebord gauche.	Homogène, orange : oxydes ocres réguliers (<2mm), poches d'argilite blanche (<10mm), fraction siliceuse régulière.	5500	32	GR	451600,1	31150	486	104
C		1074	1348	TC	tuile	imbrex	Frgt extrémité amont.	Homogène, orange : oxydes ocres réguliers (<2mm), poches d'argilite blanche (<10mm), fraction siliceuse régulière.	1110	1	GR	451600,1	7542,5	486	7
N-C		1074	1348	TC	tuile	imbrex	Applique d'un liant argileux.	Homogène, orange : oxydes ocres réguliers (<2mm), poches d'argilite blanche (<10mm), fraction siliceuse régulière.	403	1	GR	451600,1	7542,5	486	7
C		1074	1348	TC	tuile	imbrices	Agglomérat de 5 fragments d'imbrices assemblés par superposition. Rubéfaction/déformation/vitrification.	Homogène, orange à noire : oxydes ocres réguliers (<2mm), poches d'argilite blanche (<10mm), fraction siliceuse régulière.	1430	1	GR	451600,1	7542,5	486	7
C		1074	1348	TC	tuile	tegula	Frgt ½ aval.	Homogène, orange : oxydes ocres réguliers (<2mm), poches d'argilite blanche (<10mm), fraction siliceuse régulière.	2550	1	GR	451600,1	7542,5	486	7
C	III-03-04	1074	1348	TC	tuile	tegula	Frgt ¼ aval gauche. 1 perforation traversante centrée en aval.	Homogène, orange : oxydes ocres réguliers (<2mm), poches d'argilite blanche (<10mm), fraction siliceuse régulière.	1111	2	GR	451600,1	7542,5	486	7
C		1074	1348	TC	tuile	tegula	Frgt ¼ aval droit.	Homogène, orange : oxydes ocres réguliers (<2mm), poches d'argilite blanche (<10mm), fraction siliceuse régulière.	938,5	1	GR	451600,1	7542,5	486	7

Conservation (C)/Non-conservation (N-C)	Dessin, Figures	Fait / ENS	Us	Matériau	Groupe	Type	Description	Pâte	Masse (g)	NR	Période	Masse/ Fait (g)	Masse/ US (g)	NR/ Fait	NR/ US
C		1074	1358	TC	tuile	tegula	Frgt ¼ aval droit incomplet.	Homogène, orange : oxydes ocres réguliers (<2mm), poches d'argilite blanche (<10mm), fraction siliceuse régulière.	384,5	1	GR	451600,1	3538,7	486	7
N-C		1074	1358	TC	tuile	tegula		Homogène, beige : oxydes ocres réguliers (<2mm), poches d'argilite blanche (<10mm), fraction siliceuse régulière.	528,5	1	GR	451600,1	3538,7	486	7
N-C		1074	1358	TC	tuile	tegula		Homogène, beige : oxydes ocres réguliers (<2mm), poches d'argilite blanche (<10mm), fraction siliceuse régulière.	191,7	1	GR	451600,1	3538,7	486	7
C	III-03-06	1074	1358	TC	tuile	imbrex	Rubéfaction/déformation/vitrification.	Homogène, orange à noire : oxydes ocres réguliers (<2mm), poches d'argilite blanche (<10mm), fraction siliceuse régulière.	1850	3	GR	451600,1	3538,7	486	7
N-C		1074	1358	TC	tuile	imbrex	Rubéfaction/déformation/vitrification.	Homogène, orange à noire : oxydes ocres réguliers (<2mm), poches d'argilite blanche (<10mm), fraction siliceuse régulière.	584	1	GR	451600,1	3538,7	486	7
C		1074	1520	TC	tuile	imbrex	Rubéfaction/déformation/vitrification.	Homogène, orange à noire : oxydes ocres réguliers (<2mm), poches d'argilite blanche (<10mm), fraction siliceuse régulière.	1285	1	GR	451600,1	7631,1	486	8
C		1074	1520	TC	tuile	tegula	Rubéfaction/déformation/vitrification.	Homogène, orange à noire : oxydes ocres réguliers (<2mm), poches d'argilite blanche (<10mm), fraction siliceuse régulière.	169,6	1	GR	451600,1	7631,1	486	8
C		1074	1520	TC	tuile	tegula	Frgt ¼ aval gauche.	Homogène, orange : oxydes ocres réguliers (<2mm), poches d'argilite blanche (<10mm), fraction siliceuse régulière.	1997	1	GR	451600,1	7631,1	486	8
C		1074	1520	TC	tuile	tegula	Frgt ¼ aval gauche incomplet.	Homogène, orange : oxydes ocres réguliers (<2mm), poches d'argilite blanche (<10mm), fraction siliceuse régulière.	1412	1	GR	451600,1	7631,1	486	8
C		1074	1520	TC	tuile	tegula	Frgt ¼ amont droit.	Homogène, orange : oxydes ocres réguliers (<2mm), poches d'argilite blanche (<10mm), fraction siliceuse régulière.	902,5	1	GR	451600,1	7631,1	486	8
C		1074	1520	TC	tuile	tegula	Frgt ¼ aval gauche incomplet. 2 incisions croisées sur rebord extérieur.	Homogène, orange : oxydes ocres réguliers (<2mm), poches d'argilite blanche (<10mm), fraction siliceuse régulière.	465	2	GR	451600,1	7631,1	486	8
C		1074	1520	TC	tuile	tegula	Frgt ¼ aval gauche. 2 marques digitées (arcs de cercles sous-tendus) en extrémité avale. 1 incision oblique sur rebord extérieur gauche.	Homogène, orange : oxydes ocres réguliers (<2mm), poches d'argilite blanche (<10mm), fraction siliceuse régulière.	1400	1	GR	451600,1	7631,1	486	8

Conservation (C)/Non-conservation (N-C)	Dessin, Figures	Fait / ENS	Us	Matériau	Groupe	Type	Description	Pâte	Masse (g)	NR	Période	Masse/ Fait (g)	Masse/ US (g)	NR/ Fait	NR/ US
C		1074	1074 RAM	TC	tuile	imbrex		Hétérogène marbrée, beige à orange : litage blanc, oxydes ocres.	143,4	1	GR	4408		7	
C		1074	1074 RAM	TC	tuile	imbrex		Homogène, beige : oxydes ocres réguliers (<2mm), poches d'argilite blanche (<10mm), fraction siliceuse régulière.	232	1	GR	4408		7	
C		1074	1074 RAM	TC	tuile	imbrex		Homogène, orange : oxydes ocres réguliers (<2mm), poches d'argilite blanche (<10mm), fraction siliceuse régulière.	496,5	1	GR	4408		7	
C		1074	1074 RAM	TC	tuile	tegula	Frgt ¼ aval gauche incomplet.	Homogène, orange : oxydes ocres réguliers (<2mm), poches d'argilite blanche (<10mm), fraction siliceuse régulière.	603	1	GR	4408		7	
C		1074	1074 RAM	TC	brique	brique	1 marque digitée (arc de cercle sous-tendu) en extrémité avale.	Homogène, ocre : oxydes ocres réguliers (<2mm), fraction siliceuse régulière.	1696	1	GR	4408		7	
C		1074	1074 RAM	TC	brique	brique		Homogène, orange : oxydes ocres réguliers (<2mm), fraction siliceuse régulière.	726,5	1	GR	4408		7	
C		1074	1074 RAM	TC	brique	brique		Homogène, orange : oxydes ocres réguliers (<2mm), fraction siliceuse régulière.	511	1	GR	4408		7	
C		1081		TC	tuile	tegula	Frgt rebord droit.	Homogène, orange : oxydes ocres à noirs fréquents, poches d'argilite beige, fraction siliceuse régulière.	226	1	GR	263		2	
C		1081		TC		indéterminé		Homogène, ocre : oxydes ocres fréquents (<2mm), fraction siliceuse régulière.	37,3	1	GR	263		2	
C		1082		TC	tuile	tegula ?	Frgt ¼ amont droit incomplet.	Homogène, beige : oxydes ocres fréquents (<2mm), fraction siliceuse régulière.	31,7	1	GR	31,7		1	
C		1093	2 ^{de} moitié	TC	tuile	tegula	Frgt rebord droit.	Homogène, orange : oxydes ocres à noirs fréquents, poches d'argilite blanche, fraction siliceuse régulière.	381,5	1	GR	714		3	
C		1093	2 ^{de} moitié	TC	tuile	tegula ?		Homogène, orange : oxydes ocres à noirs fréquents, poches d'argilite blanche, fraction siliceuse régulière.	130	1	GR	714		3	
C		1093	2 ^{de} moitié	TC	tuile	imbrex		Homogène, orange : oxydes ocres à noirs fréquents, poches d'argilite blanche, fraction siliceuse régulière.	202	1	GR	714		3	
C		1148		TC	paroi de four/raté de cuisson		Frgt scorifié.		117	1	GR	117		1	
C		1179	iso. 1297	TC	paroi de four/raté de cuisson		Frgt scorifié.		321	1	GR	3184		4	
C		1179	iso. 1297	TC	paroi de four/raté de cuisson		Frgt scorifié.		197,2	1	GR	3184		4	
N-C		1179	iso. 1297	TC	paroi de four/raté de cuisson		Frgt scorifié.		2524,8	1	GR	3184		4	

Conservation (C)/Non-conservation (N-C)	Dessin, Figures	Fait / ENS	Us	Matériau	Groupe	Type	Description	Pâte	Masse (g)	NR	Période	Masse/ Fait (g)	Masse/ US (g)	NR/ Fait	NR/ US
C		1179		TC	paroi de four/raté de cuisson		Frgt scorifié.		140,8	1	GR	3184		4	
N-C		1203	1204	TC	paroi de four/raté de cuisson		Frgt scorifié.		975,9	3	GR	2329	976	8	3
C		1203		TC	tuile	tegula	Frgt ¼ amont droit. Rubéfaction.		453	1	GR	2329		8	
C		1203		TC	tuile	imbrex		Homogène, beige : oxydes ocres à noirs fréquents rares, litage blanc, fraction siliceuse régulière.	171,9	1	GR	2329		8	
N-C		1203		TC	paroi de four/raté de cuisson		Frgt scorifié.		162,3	1	GR	2329		8	
C		1203		TC	tuile	imbrex	Frgt scorifié.		164,5	1	GR	2329		8	
C		1203		TC	paroi de four/raté de cuisson		Frgt de TC agglomérées. 1 imbrex ; 2 fonds de tegulae.		401	1	GR	2329		8	
N-C		1248		TC	paroi de four/raté de cuisson		Frgt scorifié.		994,2	6	GR	1354		8	
C		1248		TC	tuile	tegula	Frgt rebord.		196,8	1	GR	1354		8	
C		1248		TC	tuile	tegula	Frgt scorifié.		163,2	1	GR	1354		8	
C		1303		TC	tuile	imbrex		Homogène, orange : oxydes ocres réguliers (<2mm), fraction siliceuse régulière.	255	1	GR	864		6	
C		1303		TC	tuile	tegula		Homogène, orange : oxydes ocres réguliers (<2mm), fraction siliceuse régulière.	423	1	GR	864		6	
C		1303		TC	paroi de four/raté de cuisson		Frgt scorifié.		186	4	GR	864		6	
C		1384		TC	tuile	tuile canale	Traces d'un tirage longitudinale en surface.	Hétérogène marbrée, beige à orange : litage blanc, oxydes ocres abondants.	78,6	1		78,6		1	
C		1518	1117	TC	paroi de four/raté de cuisson		Agglomérat de fragments d'imbrices. Rubéfaction/déformation.		1706	2	GR	1706		2	

3.4 Annexe 4 : Etude de la céramique antique (Véronique Pissot, Inrap)

L'opération de fouille a porté sur un quartier périphérique de l'agglomération sénone de Melun/*Metlosedum*. Elle a permis la découverte de plusieurs lots de céramiques antiques (Fig. III-04-01 et *infra* : chap. 3.4.3) qui proviennent, pour la plus grande partie, de fossés localisés à proximité d'un imposant four de tuilier. La présence de rebuts de cuisson de tuiles dans le comblement de certains de ces vestiges conduit à s'interroger sur l'évolution du site, en particulier sur la question de savoir si ce comblement des fossés est postérieur ou non à l'abandon du four. La confrontation des données chronologiques fournies par la céramique avec celle des prélèvements du four en vue de datations archéomagnétiques (Nicolas Warmé, Inrap), données qui ne sont pas disponibles à l'heure où sont écrites ces lignes, devraient apporter des éléments de réponse.

Fig. III-04-01 Tableau récapitulatif de datation et de comptage du mobilier céramique par fait
© Inrap : V. Pissot

Us	Datation	Illustration	NR	NMI
1124	1B/2A	iso-1	31	1
1148	1B/3 (1B ?)	peson 4	19	1
1176	1B/3		1	0
1179	1d/2A	iso-2 à 9 ; pesons 1 et iso-2	273	13
1186	1B/3		1	0
1187	1B/3		1	0
1198	2B/3		3	0
1203	antique	peson 5	1	1
1247 RI	1B/3		1	0
1248	2/3	iso-13 et 14, peson 3	25	3
1303	2B/3	iso-14	13	0
1518	2/3	iso-10, 11, 12	10	3
Total général			379	22

Les datations sont fournies de manière abrégée : les chiffres pour les siècles, les lettres capitales pour les demi-siècles et les lettres minuscules pour les quarts de siècle. « 1d/2A » se lira « fin du I^e ou première moitié du II^e s. ». Le NMI est calculé sur le nombre de bords.

3.4.1 Les lots céramiques par fait

FS (?) 1124 (NR = 31 ; NMI = 1 ; Fig. III-04-02) :

Ce probable fond de fosse a livré un unique récipient : une amphore régionale dont la partie supérieure est assez bien conservée. Il s'agit d'une production typique du nord de la cité des Carnutes (*iso 1124-1*).

Datation : seconde moitié du I^er/première moitié du II^e s.

1124-1 : amphore régionale de type Chartres 1543 (Sellès 2001). CC-SAB. Pâte sableuse rouge. Traces d'un lait blanc en surface. Traces bien nettes d'usure (piquetage) sur la face interne, au niveau de l'épaule. Bord = 70%. Une seule anse conservée. Récipient brisé en 31 fragments.

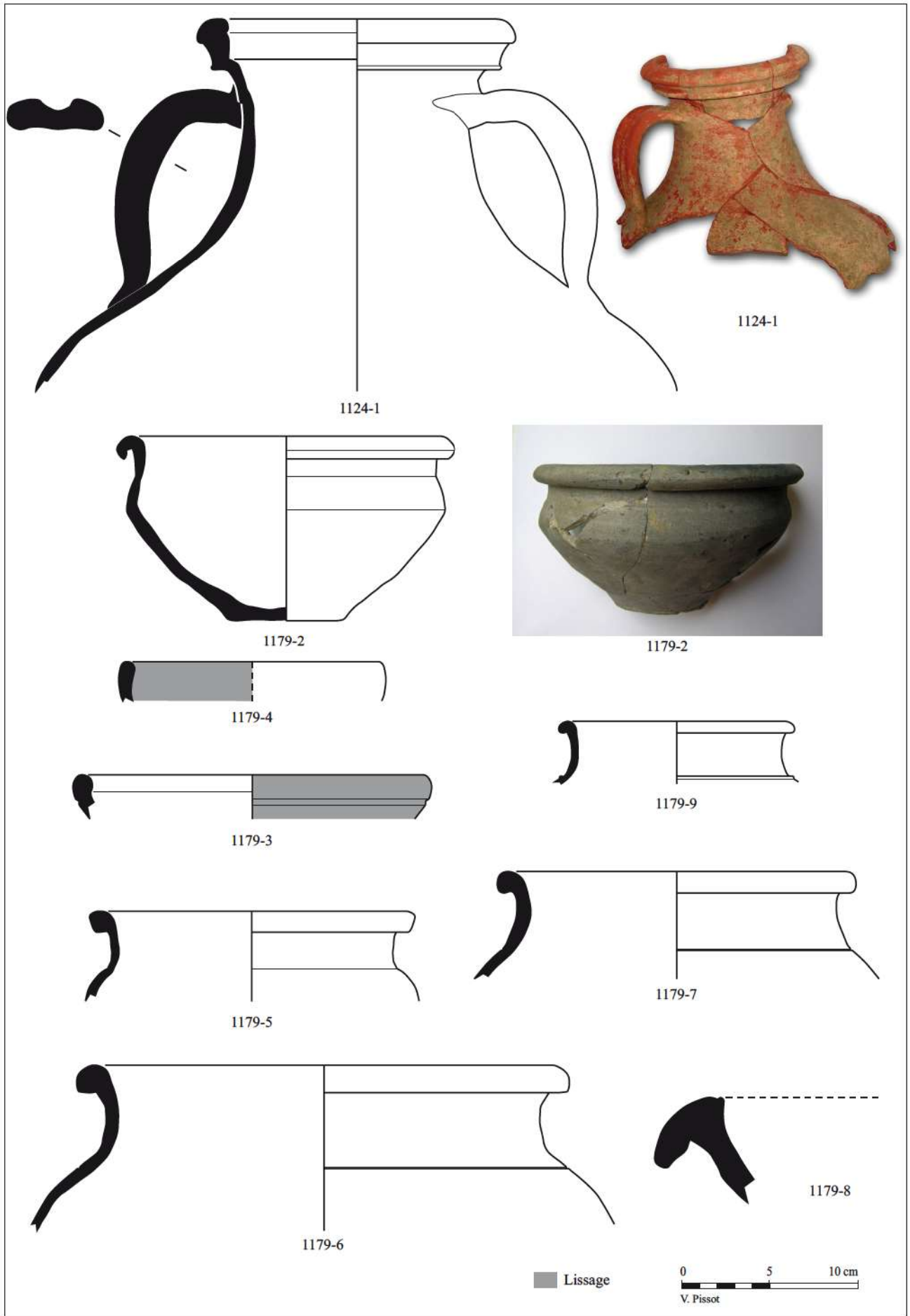


Fig. III-04-02 Melun, 19 rue Saint-Liesne. La céramique antique du fait 1124 et du fossé 1179 © Inrap : V. Pissot

FO 1148 (NR = 19 ; NMI = 1 ; Fig. III-04-03) :

Le lot se compose d'une céramique fine régionale à pâte brune olivâtre, produite vraisemblablement dans un atelier de Melun au cours de la seconde moitié du I^{er} s. (four de la rue Albert-Moreau ; Chanez *et al.* 1980, Barat 1993). Il comprend également des céramiques communes sombres à pâte grise sableuse (surface gris bleu) et des céramiques communes claires, à pâte sableuse également, ces dernières apparaissant dans les contextes melunais au cours de la seconde moitié du I^{er} s. Ces céramiques communes claires à pâte sableuse beige à rosée sont fortement apparentées aux productions de l'atelier de Lizines (77), qui se trouve à une quarantaine de kilomètres à l'est de Melun (Poilane 2017). Enfin, deux anses d'amphore(s) à vin de Narbonnaise sont illustrées. Dans la région, la diffusion de ces conteneurs s'étend de du milieu du I^{er} jusqu'au III^e s.

Un peson a été recueilli dans le fossé (**peson iso 4**).

Datation : seconde moitié du I^{er}/III^e s. (on privilégiera le haut de la fourchette de datation : la seconde moitié I^{er} s.).

Peson iso 4 : pièce incomplète. Base carrée. Un seul côté est entièrement conservé : longueur de 9.5 cm. Partie supérieure manquante. Hauteur conservée de 8.8 cm. A 8.5 cm de la base, une perforation centrale d'un diamètre de 1 cm. Poids : 530 gr.

TR 1176 (NR = 1 ; aucun bord) :

L'unique fragment recueilli dans la structure correspond à la panse d'une amphore régionale à pâte rose sableuse.

Datation : seconde moitié du I^{er}/III^e s.

FO 1179 (NR = 273 ; NMI = 13 ; Fig. III-04-02 et III-04-03) :

Il s'agit du vestige plus riche en mobilier céramique gallo-romain.

Un récipient (**iso 1179-2**) présente un bon état de conservation. Ce type de jatte est bien attesté à Melun : on mentionnera notamment deux exemplaires recueillis dans des caves, l'un au 3, place Lucien Auvert (Delor-Ahü 2012 : US 1132, iso 97, fin du I^{er} s.) et l'autre au 7 bis rue Gatelliet (Pissot 2013 : cave 1, iso 147, première moitié du II^e s.).

Parmi les pièces les plus intéressantes, on citera également une assiette Drag. 36 en sigillée sud-gauloise, un pot de type NPR 150 (**iso 1179-9**), trois pots à col concave et lèvre en bourrelet à pâte grise ou blanche et surface gris bleu (**iso 1179-5 à 1179-7**) ainsi qu'un mortier à longue collerette oblique (**iso 1179-8**). L'ensemble de ce répertoire fournit des données chronologiques convergentes.

Noter également la présence de deux pesons (**pesons iso 1 et 2**).

Datation : fin du I^{er}/première moitié du II^e s.

1179-2 : jatte. CS. Pâte sableuse gris clair. Surface grise à gris bleu. Réalisation très médiocre (défauts de fabrication : irrégularités de la face externe et de l'essuyage interne). Vase passé au feu (suie sur la face externe). Bord = 50%. Fond = 50%.

Récipient brisé en 13 fragments.

1179-3 : jatte ou assiette. CS. Pâte blanche. Surface noire, lissée sur l'extérieur.

1179-4 : jatte. CS. Pâte sableuse grise. Surface gris bleu. Lissage interne. Récipient passé au feu.

1179-5 : pot. CS. Pâte blanche. Surface gris bleu à noire. Face interne usée (piquetage).

1179-6 : grand pot. CS. Pâte sableuse gris clair. Surface gris bleu à noire. Présence de suie sur la face externe.

1179-7 : pot. CS. Pâte sableuse gris rosé. Abondants grains noirs. Surface gris bleu. Présence de suie sur la face externe.

1179-8 : mortier. Pâte sableuse rose. Bord muni d'un bec verseur massif en partie conservé.

1179-9 : pot. CS-NPR. Type NPR 150. Pâte sableuse rouge. Surface noire.
 Peson iso 1 : incomplet. Peson trapézoïdal. Base carrée, entièrement conservée (longueur des côtés de 10 cm). Partie supérieure manquante. Hauteur conservée : 11 cm. A 9.5 cm de la base : une perforation centrale. Poids : 1 060 gr.
 Peson iso 2 : incomplet. Peson trapézoïdal. Base carrée incomplète. Un seul côté entièrement conservé, d'une longueur de 12.5 cm. Partie supérieure manquante. Hauteur conservée : 10 cm. A 9.5 cm de la base : une perforation centrale d'1 cm de diamètre. Poids : 1 100 gr.

FO 1186 (NR = 1 ; aucun bord) :

Une céramique culinaire : céramique commune sombre à pâte sableuse gris clair. Surface noircie (suie).
 Datation : seconde moitié du I^{er}/III^e s.

TP (?) 1187 (NR = 1 ; aucun bord) :

Une amphore régionale à pâte sableuse rose.
 Datation : seconde moitié du I^{er}/III^e s.

FS 1198 (NR = 3 ; aucun bord) :

Une jatte à pâte grise et surface gris bleu, lissée sur la face interne ; une ou deux amphores régionales à pâte sableuse rose.
 Datation : seconde moitié du II^e/III^e s.

FO 1203 (NR = 1 ; NMI = 1 ; Fig. III-04-03) :

Le fragment d'un peson (**peson iso 5**).
 Datation : antique.

Peson iso 5 : incomplet. La partie basse n'est pas conservée. Le sommet est carré ; la longueur des côtés peut être estimée à 5 cm. Hauteur conservée : 11 cm. Une perforation centrale d'un diamètre de 1,5 cm de diamètre est située à 3 cm du sommet. Poids : 600 gr. En surface, des plages noircies.

FO 1247 RI FO 1148 (NR = 1 ; aucun bord) :

Un unique fragment de céramique commune claire à pâte fine orangée.
 Datation : seconde moitié du I^{er}/III^e s.

FO 1248 (NR = 25 ; NMI = 3 ; Fig. III-04-03) :

Ce petit lot est composé de 7 fragments du pot recueilli dans la fosse 1303 (**iso 1303-14**), quelques tessons étant jointifs, ainsi que d'un mortier à bord de profil triangulaire, réalisé dans une pâte rose sableuse (**iso 1248-13**). La morphologie, mais aussi la technologie du récipient, sont typiques du répertoire céramique de la cité voisine des *Parisii*, au cours de la première moitié du II^e s.

Présence d'un fragment de peson (**peson iso 3**).
 Datation : II^e/III^e s.

1248-13 : mortier. Pâte sableuse rose. Râpe interne usée.
 Peson iso 3 : incomplet. Base carrée incomplète. Un seul côté entièrement conservé, d'une longueur de 10 cm. Partie supérieure manquante. Hauteur conservée : 8 cm.
 Poids : 520 gr.

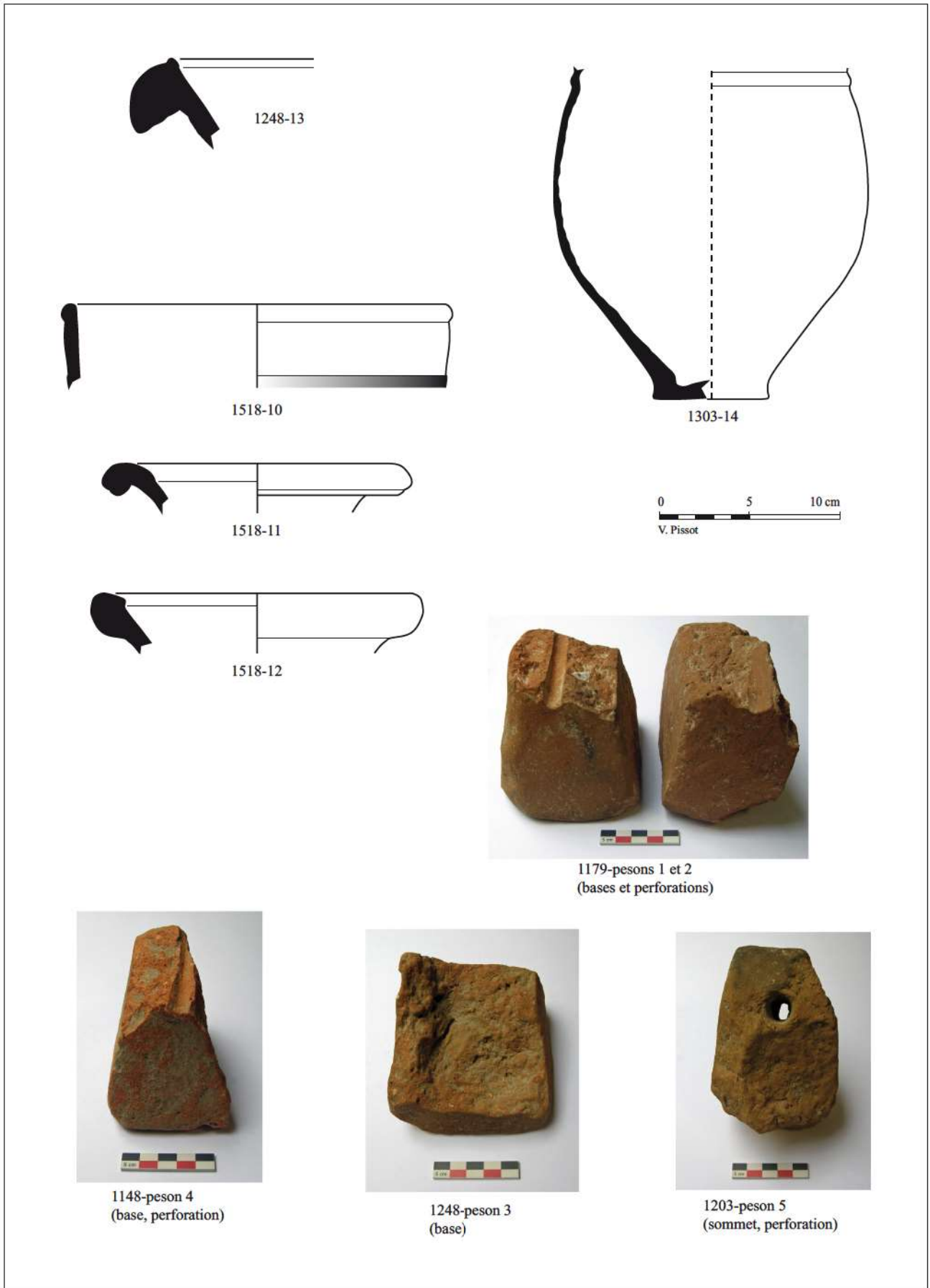


Fig. III-04-03 Melun, 19 rue Saint-Liesne. Céramique antique et pesons © Inrap : V. Pissot

FS 1303 (NR = 13 ; aucun bord ; Fig. III-04-03) :

Tous les fragments recueillis dans la fosse appartiennent au même vase : un pot à épaulement mouluré qui apparaît dans la région au cours de la seconde moitié du II^e s. (iso 1303-14). Des fragments jointifs proviennent du fossé 1248 (cf. *supra*).

Datation : seconde moitié du II^e/III^e s.

1303-14 : pot. CS. Pâte sableuse gris clair. Surface gris clair (intérieur) et gris bleu (extérieur). Plages noircies à l'extérieur (suie). De nombreuses lacunes au niveau de la panse. Fond = 50%. Bord non conservé.

FO 1518 (NR = 10 ; NMI = 3 ; Fig. III-04-03) :

Du fossé proviennent trois pièces intéressantes : une coupe Drag. 37 en sigillée de Centre-Gaule (iso 1518-10 ; fabrique 4 de Lezoux, les années 140/240 ; Delage 2010) et deux amphores régionales très mal conservées qui paraissent correspondre pour l'une au type AS 7a (iso 1518-11 ; Séguier 2004 ; les années 70/160) et pour l'autre au type AS 5b (iso 1518-12 ; les années 150-250).

Datation : II^e/III^e s.

1518-10 : coupe Drag. 37. TS-Centre. Pâte rose. Vernis rouge orangé. Une infime partie du décor conservée (ove).

1518-11 : amphore régionale (type AS 7a ?). CC-SAB. Pâte sableuse rose. Présence de grains blancs, rouges et noirs. Surface beige.

1518-12 : amphore régionale (type AS 5b ?). CC-SAB. Pâte sableuse rose. Surface beige.

3.4.2 Conclusion

La faible densité de mobilier ne permet pas toujours une approche chronologique satisfaisante des différents vestiges. Cependant d'un point de vue général, les données disponibles ne permettent pas d'envisager une occupation avant la seconde moitié du I^{er} s. après J.-C. ; les productions les plus récentes sont attribuables, quant à elles, à la seconde moitié du II^e ou au III^e s. Aucun élément gallo-romain tardif (IV^e/V^e s.) n'a été identifié.

La céramique gallo-romaine est concentrée dans la partie sud de l'emprise. Aucun vestige n'a été recueilli dans, ni aux abords du four de tuilier.

La rareté des vestiges du site de la rue Saint-Liesne contraste véritablement avec ce qu'il est habituel de trouver à Melun, plus au sud, dans la boucle de la Seine qui correspond au cœur de l'agglomération antique où la masse de céramiques est toujours beaucoup plus importante. Il s'agit là typiquement d'un contexte péri-urbain.

Au point de vue fonctionnel, ce matériel évoque les rejets d'un habitat avec son cortège de vaisselle de table, vaisselle culinaire et de conservation. On notera toutefois que le taux de vaisselle commune claire (65% du NR total) est supérieur à la moyenne observée sur l'agglomération, tandis qu'à l'inverse la vaisselle fine y est plus rare (1,3%), de même que la vaisselle culinaire (31%). Cette anomalie est-elle à mettre en relation avec l'atelier des artisans tuiliers ?

Un autre élément marquant est la présence de trois vases qui ont pu être en grande partie remontés. Ce bon état de conservation est l'indice de contextes peu remaniés. Pour deux d'entre eux (iso 1179-2 ; iso 1303-14), on peut envisager qu'ils s'intègrent à un dispositif de bornage : il s'agissait (mais cette pratique existe toujours) d'enfouir au sommet de fossés en voie d'effacement des témoins (ici des vases en terre cuite) sous la borne visible en surface (laquelle peut être déplacée, volontairement ou non). Cette technique de bornage des terres, mentionnée par les arpenteurs romains, est une pratique bien attestée dans la région (Bruant *et al.* 2011, Pissot *et al.* 2013).

Enfin, pas moins de 5 pesons ont été recueillis qui témoignent d'une activité de tissage sur le site ou à proximité. Les pesons en terre cuite ne sont pas rares à Melun : la dernière opération de fouille, au 4-6 rue Dajot¹, avait permis la découverte de 55 exemplaires, de forme trapézoïdale et à perforation unique pour la majorité, à l'instar des pesons de la rue Saint-Liesne. C'est aussi le type de peson le mieux représenté au sein de la production de l'atelier des Sablons de Sens, chef-lieu de la cité des Sénons à laquelle est rattachée Melun (Perrugot 1996).

3.4.3 Inventaire de la céramique antique

«Liste des abréviations :

AMP : amphores du grand commerce ; CC : commune claire ; CS : commune sombre ; FL : commune claire fine lissée ; FO : commune claire à pâte fine orangée ; FR : fine régionale ; MO : mortier ; NMI : nombre minimum d'individus ; NPR : noire à pâte rougeâtre (Denat *et al.* 2014) ; NR : nombre de restes ; SAB : pâte sableuse ; TS : terre sigillée.»

Contexte	US	Précision	Catégorie	Sous-catégorie	NR	Forme	Type	Élément	NMI	Illustration	Note
FS ?	1124		CC	SAB	31	amphore	Chartres 1543	bd, anse	1	1	
FO	1148		AMP	Narbonnaise	5	amphore	Gauloise 3/5	2 anses	0		
FO	1148		CC	SAB	3	amphore		panse	0		
FO	1148		CS	mode B	9	ind.		panse	0		
FO	1148		FR	brune olivâtre	1	forme fermée		panse	0		
FO	1148		PESON		1	peson			1	peson 4	
TR	1176		CC	SAB	1	amphore		panse	0		pâte rose
FO	1179	iso 1297	CC	FL	1	ind.		panse	0		rose
FO	1179	iso 1297	CC	FO	56	amphorette ?		2 anses	0		anses plates
FO	1179	iso 1297	CC	SAB	7	amphore		panse	0		
FO	1179	iso 1297	CS	mode B	1	grand pot		bd	1	7	
FO	1179	iso 1297	MO	SAB	1	mortier		bd, bec	1	8	
FO	1179	iso 1297	PESON		2	peson			2	peson 1, peson 2	
FO	1179	sud	CC	autre	2	ind.		panse	0		
FO	1179	sud	CC	SAB	74	amphore		panse	0		id. US 1179
FO	1179	sud	CS	NPR	1	pot	NPR 150	bd	1	9	
FO	1179		CC	FL	1	ind.		panse	0		pâte rose
FO	1179		CC	FO	3	ind.		panse	0		
FO	1179		CC	SAB	49	amphore		anse	0		id. US 1179 sud
FO	1179		CS	mode A f.	1	ind.		fd	0		
FO	1179		CS	mode B	70	jatte		profil	1	2	
FO	1179		CS	mode B		pot		bd	1	5	
FO	1179		CS	mode B		grand pot		bd	1	6	

1. Melun, 4-6, rue Dajot. Fouille Inrap 2020 sous la responsabilité de Patricia Guinchard-Panseri. Rapport en cours.

Contexte	US	Précision	Catégorie	Sous-catégorie	NR	Forme	Type	Elément	NMI	Illustration	Note
FO	1179		CS	mode B		pot		fd	0		
FO	1179		CS	mode B		jatte/ assiette		bd	1	3	
FO	1179		CS	mode B		jatte		bd	1	4	
FO	1179		CS	mode B		ind.		bd	1		
FO	1179		CS	NPR	1	ind.		panse	0		
FO	1179		Médiéval		1	ind.		bd, anse	1		
FO	1179		TS	sud	2	assiette	Drag. 36	bd, décor	1		beaux fragments
FO	1186		CS	mode B	1	ind.		panse	0		
PO ?	1187		CC	SAB	1	amphore		panse	0		pâte rose
FS	1198		CC	SAB	2	amphore		panse	0		pâtes roses
FS	1198		CS	mode B	1	jatte		panse	0		
FO	1203		PESON		1	peson			1	peson 5	
FO RI	1247	sup. décapage, RI FO1148	CC	FO	1	ind.		panse	0		
FO	1248		CC	FO	1	cruche		panse	0		
FO	1248		CC	SAB	6	ind.		panse	0		
FO	1248		CS		16	ind.		bd, 2 fd	1		
FO	1248		CS			pot		panse	0	14	recollage US 1303
FO	1248		CS			assiette		fd	0		
FO	1248		MO	SAB	1	mortier		bd	1	13	
FO	1248		PESON		1	peson			1	peson 3	
FS	1303		CC	SAB	1	ind.		panse	0		
FS	1303		CS		12	pot		fd	0	14	recollage US 1248, 1 seul vase
FO	1518	US 1123 B	CC	SAB	4	amphore		2 bd	2	11, 12	pâtes roses
FO	1518	US 1123 B	CS	mode B	2	ind.		panse	0		
FO	1518	US 1123 B	TS	Centre	2	coupe	Drag. 37	bd, décor	1	10	
FO	1518	US 1123 B	TS	Centre		ind.		fd	0		
FO	1518		CC	SAB	2	amphore		panse	0		pâte rose

3.5 Annexe 5 : Etude de la céramique médiévale (Annie Lefèvre*, Inrap)

*Annie Lefèvre, Inrap, Craham UMR 6273

3.5.1 Présentation du lot

3.5.1.1. Données chiffrées / Méthodologie

Le lot est assez réduit avec moins de 300 tessons recensés, correspondant à 70 individus pour un poids de 7269 g. On note également qu'une partie de ces céramiques sont peu fragmentées car, malgré ce lot modeste, on se trouve face à une douzaine de pièces archéologiquement complètes. Ces éléments proviennent de 21 unités stratigraphiques datées essentiellement de l'époque mérovingienne.

L'ensemble de la céramique a été vue et enregistrée sur une base de données par production et type. Les éléments les plus représentatifs ont été documentés (dessinés et / ou photographiés ; *infra* : chap : 3.5.4).

Le mobilier céramique altomédiéval de Melun est assez mal connu car les fouilles de cette période ont été rares dans ce secteur géographique. On peut néanmoins citer l'opération réalisée sur l'île Saint-Etienne qui portait sur des niveaux du Bas-Empire, notamment le rempart, et du début de la période mérovingienne (Ciezar *et al.* 2006).

La parcelle jouxtant la fouille de la rue Liesne a également été fouillée anciennement et des indices d'une occupation allant du Bas-Empire à la période carolingienne révélés, cependant la céramique est peu présente et par conséquent peu documentée sur cette fouille (Guinchard-Panseri, Paccard 2007).

3.5.1.2. Datation des unités stratigraphiques

Fig. III-05-01 Melun, 19 rue Saint-Liesne.
Datation proposée des unités stratigraphiques
© Inrap : A. Lefèvre

En fonction des groupes techniques présents, de leurs pourcentages et des types et décors, des datations peuvent être attribuées à ces lots. Ces dernières sont présentées dans la Fig. III-05-01.

Us	NR	NMI	Poids	Période	Datation proposée				Remarques
1008	1		3	Moyen Âge	XI	a	XI	d	
1012	6	3	156	Mérovingien	VI	a	VI	c	
1016	1		2	Moyen Âge	XI		XII		
1040	15	3	327	Transition Bas-Empire - mérovingien	V	d	VI	b	
1056	134	25	3872	Transition Bas-Empire - mérovingien	V	d	VI	b	
1057	57	13	1643	Transition Bas-Empire - mérovingien	V	d	VI	a	
1071	15	7	265	Transition Bas-Empire - mérovingien	V	d	VI	a	
1072 RI	1		23	Moyen Âge (intrusif)	XI		XI		
1073	2		11	Transition Bas-Empire - mérovingien	V	d	VI	a	
1093	5	3	101	Mérovingien	VI	b	VI	d	
1166	2		10	Moyen Âge	XI		XII		
1171	2	1	41	Moyen Âge	XI	a	XI	d	1 tesson mérovingien et 1 tesson médiéval
1175	5		14	Moyen Âge ?	XI		XI		ou plus ancien ?
1177	1		11	Moyen Âge	XI		XI		

Us	NR	NMI	Poids	Période	Datation proposée				Remarques
1180	15	3	205	Moyen Âge	XI	a	XI	b	
1207	1	1		Moyen Âge	XI	a	XI	A	
1241	3	1	135	Transition Bas-Empire - mérovingien	V	d	VI	a	
1298	1		9	Moyen Âge	XI		XI		
1381	2	1	71	Moyen Âge	XI		XI		
1501	16	4	80	Moyen Âge	XI		XII		
1505	14	5	290	Mérovingien	VI	a	VI	b	

* Les siècles sont séparés en 2 parties (A = 1^{ère} moitié, B = 2^{ème} moitié) ou en quart (a = 1^{er} quart, b = 2^e quart, etc.)

La majorité des ensembles peuvent être placés dans une phase assez réduite à situer à l'extrême fin du Bas-Empire ou au début de la période mérovingienne (fin V^e – VI^{ème} siècles ; Fig. III-05-02). En effet si le nombre de structures attribuées au Moyen Âge central est le plus important, celles-ci ont livré peu de mobilier, de surcroît mal conservé.

Fig. III-05-02 Melun, 19 rue Saint-Liesne.
Répartition chronologique des unités stratigraphiques © Inrap : A. Lefèvre

Période	Nombre faits	% faits	NR	% NR	NMI	% NMI
Transition Bas-Empire - mérovingien	6	28,6	139	46,5	26	37,1
Mérovingien	3	14,3	112	37,5	34	48,6
Moyen Âge	12	57,1	48	16	10	14,3
Total =	21		299		70	

3.5.2 Présentation de la céramique

3.5.2.1. La période mérovingienne

Les productions

Certaines pâtes fines semblent directement inspirées des productions gallo-romaine, notamment celles qui présentent des surfaces grises homogènes. L'utilisation fréquente du guillochis pour décorer les poteries renforce cette impression de même que la morphologie de certaines pièces comme les formes ouvertes à pied annulaire rapporté.

Au sein du lot se remarquent des pâtes fines, noires à la fracture beige, soigneusement polies et des pâtes très fines, grises à fracture beige. Un polissage très soigné, sans trace apparent d'outil, est aussi entrepris sur ces dernières. Ces pâtes sont souvent assez denses, mais pas exclusivement, d'aspect limoneux. De fines inclusions sont perceptibles dans le fond de pâte mais invisibles à l'œil nu mélangées à quelques inclusions plus grosses.

Les pâtes granuleuses à fines ou petites inclusions restent cependant les plus fréquentes (Fig. III-05-03). Les inclusions sont souvent inférieures à 1 mm, assez calibrées et bien réparties, leur densité est moyenne. La matrice est parfois parcourue par de fines vacuoles allongées parallèles. Les teintes de ces pâtes tournent autour des beiges, beige orangée ou orangées.

Les formes, surtout celles des pots et des formes ouvertes à carène, sont alors bien ancrées dans la tradition mérovingienne.

Fig. III-05-03 Melun, 19 rue Saint-Liesne.
Pourcentages des productions mérovingiennes
© Inrap : A. Lefèvre

Productions	NR	% NR	NMI	Poids
Résiduels antiques	8	7,1	2	95
Pâtes fines sombres et polies	26	23,2	10	893
Pâtes granuleuses	77	68,8	22	1789
Intrusif médiéval	1	0,9		5
Total =	112		34	2782

Des photographies à la loupe binoculaire ont été réalisées pour permettre de mieux appréhender visuellement ces différents groupes techniques (Fig. III-05-04).

Les formes

Nous décrivons rapidement les principales pièces mis au jour sur le site.

Formes ouvertes en pâte fine

Iso. 1012-1 : forme ouverte à carène de petite taille en pâte fine et sombre (gris-noir à noir) au polissage extérieur horizontal visible sur la panse et le fond, celui-ci est assez soigné. Le bandeau est court, la lèvre infléchie sur l'extérieur, la carène est enfoncée de l'intérieur et marquée par un petit ressaut (Fig. III-05-05).

Iso. 1056-1 : forme ouverte haute de grande taille à carène adoucie et pied annulaire ; la pâte est fine, fumigée, beige à grise à la fracture blanche ; un coup de feu marque la face interne. Un polissage horizontal très doux est visible sur l'ensemble de la pièce. La lèvre forme un petit bourrelet aplatie et repliée sur l'extérieur, un décor de guillochis est appliqué à 2 reprises sur le haut de panse et sous la carène (Fig. III-05-05).

Iso. 1056-2 : gobelet ? pâte fine, orange marron à grise au toucher doux (polissage). La partie supérieure est légèrement rentrante et striée par des cannelures assez profondes. Cet élément a été brûlé sans doute postérieurement à son enfouissement (Fig. III-05-06).

Iso. 1056-12 : forme ouverte à carène en pâte fine orangée, présence de quelques inclusions blanches de calcite. Le bandeau est court et incurvé et la base saillante (Fig. III-05-06).

Iso. 1056-13 : forme ouverte à carène en pâte fine, sombre et polie. La pâte est grise foncé à noire en surface avec une fracture gris sombre. Cette jatte est profonde, avec un bandeau court se terminant par une lèvre épaissie et infléchie sur l'extérieur, la base est annulaire. Un décor de guillochis est appliqué intérieurement et extérieurement sur le bandeau et la panse. Cette pièce est très abîmée avec la présence de nombreux éclats intérieurs et extérieurs sur toute la surface (problème de cuisson ?), de concrétions et une forte usure interne. Le pied est également très usé (Fig. III-05-05).

Iso. 1071-1 : forme ouverte à carène, bandeau droit à petite lèvre éversée, en pâte fine noire à fracture blanche, polissage soigneux. Deux bandes guillochées sont imprimées sur la face interne de la panse (Fig. III-05-08).

Iso. 1071-3 : forme ouverte à carène (?), bandeau court à petite lèvre éversée, en pâte fine beige orangé. Un décor de poinçons (rosaces) est imprimé sur le bandeau (Fig. III-05-08).

Formes fermées en pâte fine

Iso. 1056-3 : fragment de panse de pot biconique en pâte fine, grise, soigneusement polie. Le bas du bord de même que la carène sont saillants. Un décor de guillochis est présent sur le bord et le bas de la panse (Fig. III-05-05).

Iso. 1056-10 : pot biconique en pâte fine, noire à fracture gris clair. Un décor de guillochis est visible sur le bord et sur la panse, de part et d'autre de la carène. Un polissage très soigneux, intérieur et extérieur, donne un aspect poli à l'ensemble. La lèvre est haute et droite, un ressaut la délimite de la panse, de même la carène, situé à mi-hauteur est très marquée. Le fond est rapporté, formant un anneau de type piédouche (Fig. III-05-05).

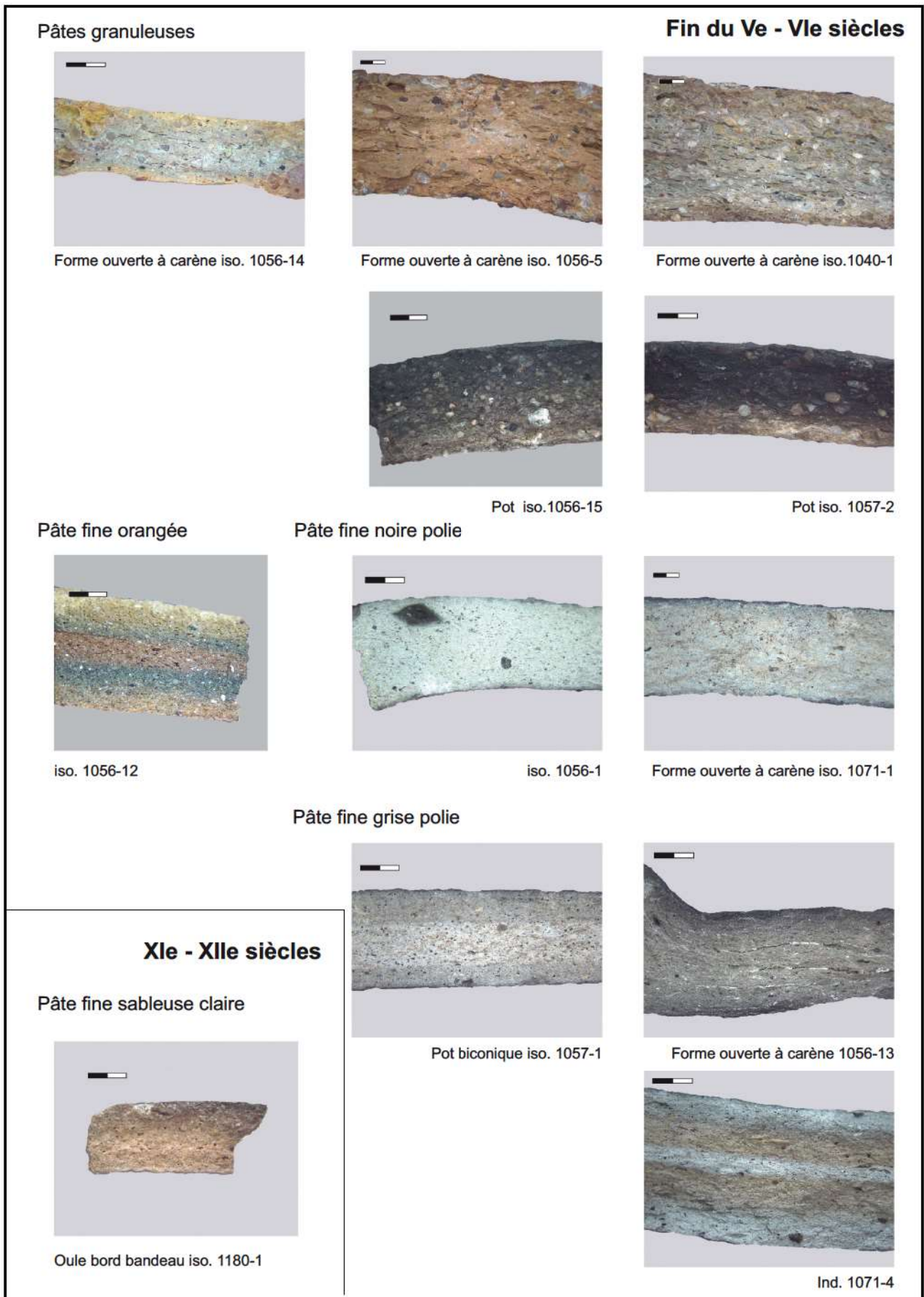


Fig. III-05-04 Melun, 19 rue Saint-Liesne. Photographies des principales productions céramiques médiévales © Inrap : A. Lefèvre

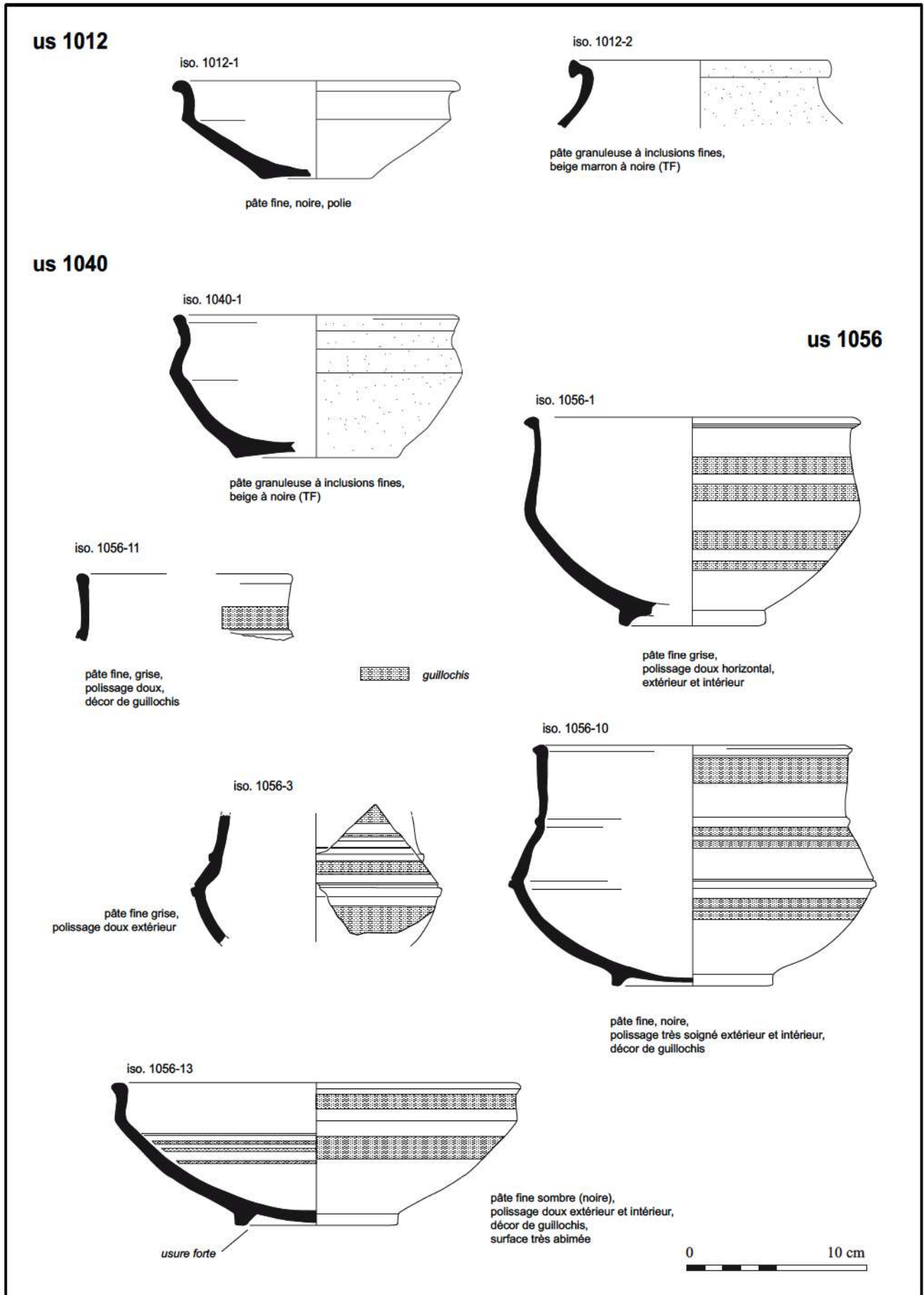


Fig. III-05-05 Melun, 19 rue Saint-Liesne. La céramique mérovingienne (Us 1012, 1040 et 1056) © Inrap : A. Lefèvre

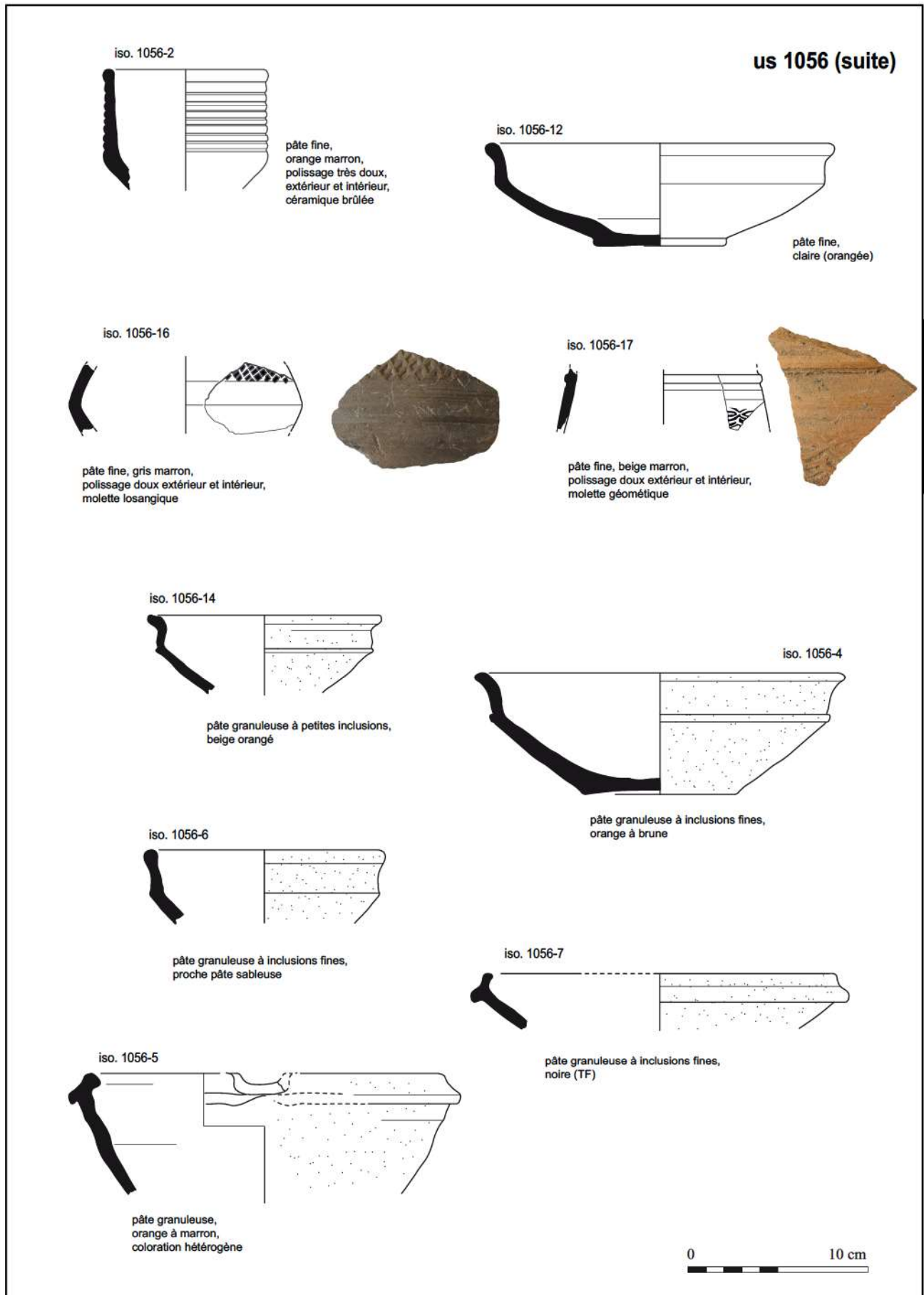


Fig. III-05-06 Melun, 19 rue Saint-Liesne. La céramique mérovingienne (Us 1056 suite) © Inrap : A. Lefèvre

Iso. 1057-1 : pot biconique en pâte fine, grise et polie. La surface est grise à cœur blanc, de petits nodules sombres sont visibles à la fracture. La surface extérieure est douce au toucher, soigneusement lustrée. Le bord est droit, délimité en partie basse par un cordon saillant, la lèvre est très légèrement ourlée. La carène se situe à mi-hauteur du vase, elle aussi soulignée par un ressaut. La base est haute et rajoutée, du type piédouche. Un décor de guillochis est appliqué à 3 reprises, sous et sur la carène et sur la lèvre (Fig. III-05-07).

Iso. 1071-2 : pot biconique en pâte fine, noire à fracture blanche, polissage horizontal extérieur très soigné. Céramique de petite taille, lèvre fine infléchie sur l'extérieur souligné à la base d'un ressaut proéminent, la carène est bien marquée. Un décor de poinçon est appliqué sur 2 registres en partie haute de la panse. Ce dernier associe un petit rectangle au contour composé de petites hachures ou carrés qui encadre 2 croix séparés par un trait vertical (Fig. III-05-08).

Formes ouvertes en pâte granuleuse

Iso. 1040-1 : forme ouverte à carène, forme basse, lèvre infléchie sur l'extérieur, la carène se situe dans le tiers supérieur. La base est large et le fond marqué par des traces de décollage à la ficelle. La pâte est finement granuleuse, de teinte beige, marquée par des traces de feu extérieurement (sauf sur le fond) et sur le bord interne (Fig. III-05-05).

Iso. 1056-4 : forme ouverte à carène, le bandeau est de taille moyenne, la lèvre simplement infléchie sur l'extérieur et la carène soignée d'un petit ressaut. La pâte granuleuse à inclusions fines montre une teinte beige orangé à brun par endroit (coup de feu ; Fig. III-05-06).

Iso. 1056-5 : forme ouverte à collerette, la lèvre est rentrante, de section carrée, la collerette est bien marquée et tombante. Cette jatte semble assez profonde, un verseur est aménagé en appuyant et étirant fortement la partie supérieure de la lèvre. La coloration de cette pièce est hétérogène, marbrée, variant de l'orangé au brun, proche de ce que l'on observe parfois sur des rebuts de cuisson (Fig. III-05-06).

Formes fermées en pâte granuleuse

Iso. 1012-2 : pot en pâte granuleuse à fines inclusions de teinte beige ; la lèvre est éversée, en crochet, légèrement déformée (marmite ? Fig. III-05-05).

Iso. 1056-8 : ce profil de pot a été restitué, la lèvre est courte et relevée au parement extérieur vertical, la forme générale semble globulaire. La pâte est finement granuleuse, grise à noire (traces de feu ; Fig. III-05-07).

Iso. 1056-9 : partie supérieure de pot à lèvre relevée et éversée en pâte granuleuse à petites inclusions, orange à noire (traces de feu ; Fig. III-05-07).

Iso. 1056-15 : pot à lèvre rectangulaire relevée, courte et légèrement creusée, au col individualisé. L'*extremum* de la panse se situe dans la partie supérieure du récipient. La pâte est granuleuse à petites inclusions, de teinte beige marron à noire. Cette pièce est en effet marquée par de fortes traces de feu, on note d'ailleurs des éclats thermiques sur l'*extremum* de panse. Les parois sont épaisses (Fig. III-05-07).

Iso. 1057-2 : pot en pâte granuleuse à petites inclusions, beige orangé à cœur gris, archéologiquement complet. Des traces de feu sont visibles extérieurement, excepté sous le fond. Celui-ci, étroit, porte des traces de décollage à la ficelle ; un dépôt beige interne est aussi visible. La lèvre est relevée, à l'extrémité évasée, le col bien dégagé, les parois sont épaisses (Fig. III-05-07).

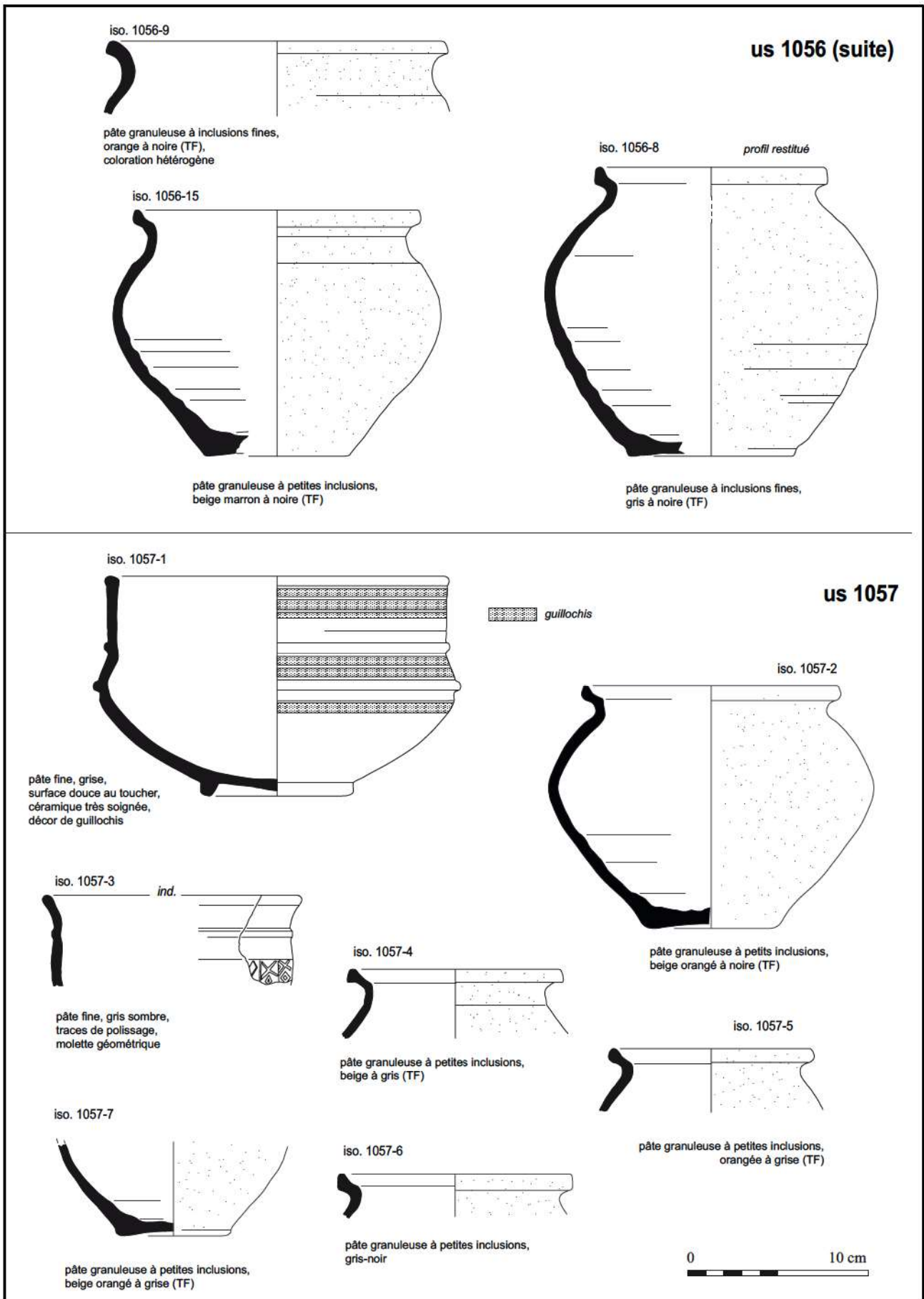


Fig. III-05-07 Melun, 19 rue Saint-Liesne. La céramique mérovingienne (Us 1056 suite et 1057) © Inrap : A. Lefèvre

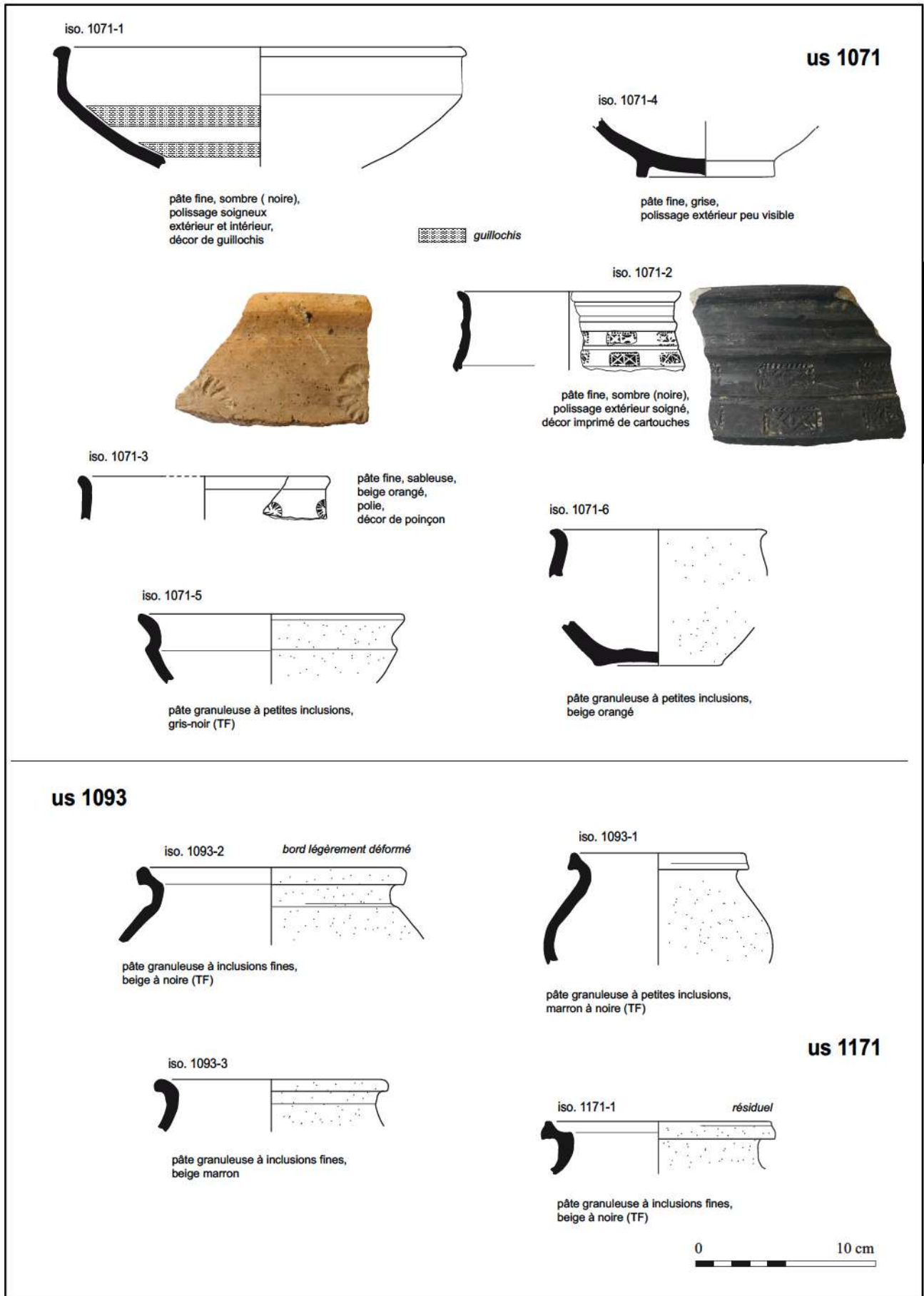


Fig. III-05-08 Melun, 19 rue Saint-Liesne. La céramique mérovingienne (Us 1071, 1093 et 1093) © Inrap : A. Lefèvre

Iso. 1057-4 : bord de pot à lèvres en crochet, pâte granuleuse à petites inclusions, beige à grise (traces de feu ; Fig. III-05-07).

Iso. 1057-7 : fond indéterminé (appartenant sans doute à un pot), pâte granuleuse à petites inclusions, jaune orangé à grise (traces de feu ; Fig. III-05-07).

Les décors

Nous observons beaucoup de décor au guillochis sur des pièces en pâte fine, forme ouverte à carène avec ou sans base saillante (iso. 1056-13, iso. 1071-1) et vases biconiques (iso. 1056-1, iso. 1056-3, iso. 1056-10, iso. 1056-11, iso. 1057-1, iso. 1505-1 : Fig. III-05-09) principalement.

Ces décors, réalisés à l'aide d'une lame vibrante, sont bien connus durant la période antique à partir de la fin du I^{er} et surtout aux II^e et III^e siècles. Au Bas-Empire, dans le secteur de la confluence Seine-Yonne, ce type de décor se rencontre encore dans des contextes datés de la seconde moitié du V^e, voire à la charnière entre le V^e et le VI^e siècle (Séguier 2011, p. 17).

De fait ces motifs guillochés se trouvent régulièrement dans la partie est de la région francilienne jusqu'au milieu du VI^e siècle alors qu'ils semblent abandonnés plus tôt dans le reste de l'Île-de-France. On citera par exemple un gobelet à double carène sur le site de Vignely « La Noue Fenard » (Bertin *et al.* 2003, p. 162) en pâte fine noire à fracture brun rouge et deux exemplaires de bols profonds à panse arrondie à Servon « l'Arpent Ferret » (Gentili, Mahé-Hourlier 1990, Pl. XXIV) et, en Bassée, à Châtenay-sur-Seine « Le Merdat » (Séguier 1995, p. 43). Les fonds ne sont pas documentés sur ces céramiques. Des exemples de décor guilloché sont aussi connus sur le site de Ferrières-en-Brie « Zac des Hauts de Ferrières » (Paccard 1998). Ces fragments sont généralement attribués à la seconde moitié du V^e ou début du VI^e siècle.

Quelques poteries à motif guilloché sont parfois visibles sur des gobelets hauts du VII^e siècle, comme à Brie-Comte-Robert (Pucheu-Lashores 2016, vol. 2, p. 14) ou Serris (Lefèvre, Mahé 2004, p. 116) mais demeurent rares. On envisage souvent des influences provenant du sud-est, du secteur du Sénonais ou de la Bourgogne, pour ces pièces (Lefèvre, Mahé 2004, p. 110).

Deux céramiques montrent aussi des poinçons, l'un de forme rectangulaire constitué d'un cartouche renfermant 2 croix encadrés de petits carrés (iso. 1071-2), le second de forme circulaire, d'un diamètre de 1,3 cm, composé de petits traits rayonnants (iso. 1071-3 ; Fig. III-05-08). La datation des décors au poinçon se situe à la charnière de la période antique et de l'époque mérovingienne, fin V^e – 1^{er} quart du VI^e siècle (Legoux *et al.* 2016, p. 57).

Enfin des décors à la molette sont aussi notés mais malheureusement tous incomplets. Un fragment de panse carénée en pâte fine, gris marron au polissage doux porte une molette losangique (iso. 1056-16, Fig. III-05-06). Dans le même contexte, on remarque une panse, également en pâte fine beige marron, imprimée d'une molette composée de formes allongées concentriques (iso. 1056-17, Fig. III-05-06). Ce motif est par ailleurs signalé sur le site potier de Vanves dans les Hauts-de-Seine en contexte de production (Lefèvre 2009, p. 172). Une dernière molette se compose d'une succession de croix emboîtées (iso. 1057-3, Fig. III-05-07).

Iso. 1056-16 : fragment de panse carénée en pâte fine, sombre et polie (polissage soignée sans traces d'outil). Une molette de croisillons très fine est appliquée au-dessus de la carène.

Iso. 1056-17 : fragment de panse appartenant sans doute à un pot biconique en pâte fine, beige orangé et soigneusement polie. Une molette est visible mais incomplète et peu compréhensible (motifs allongés).

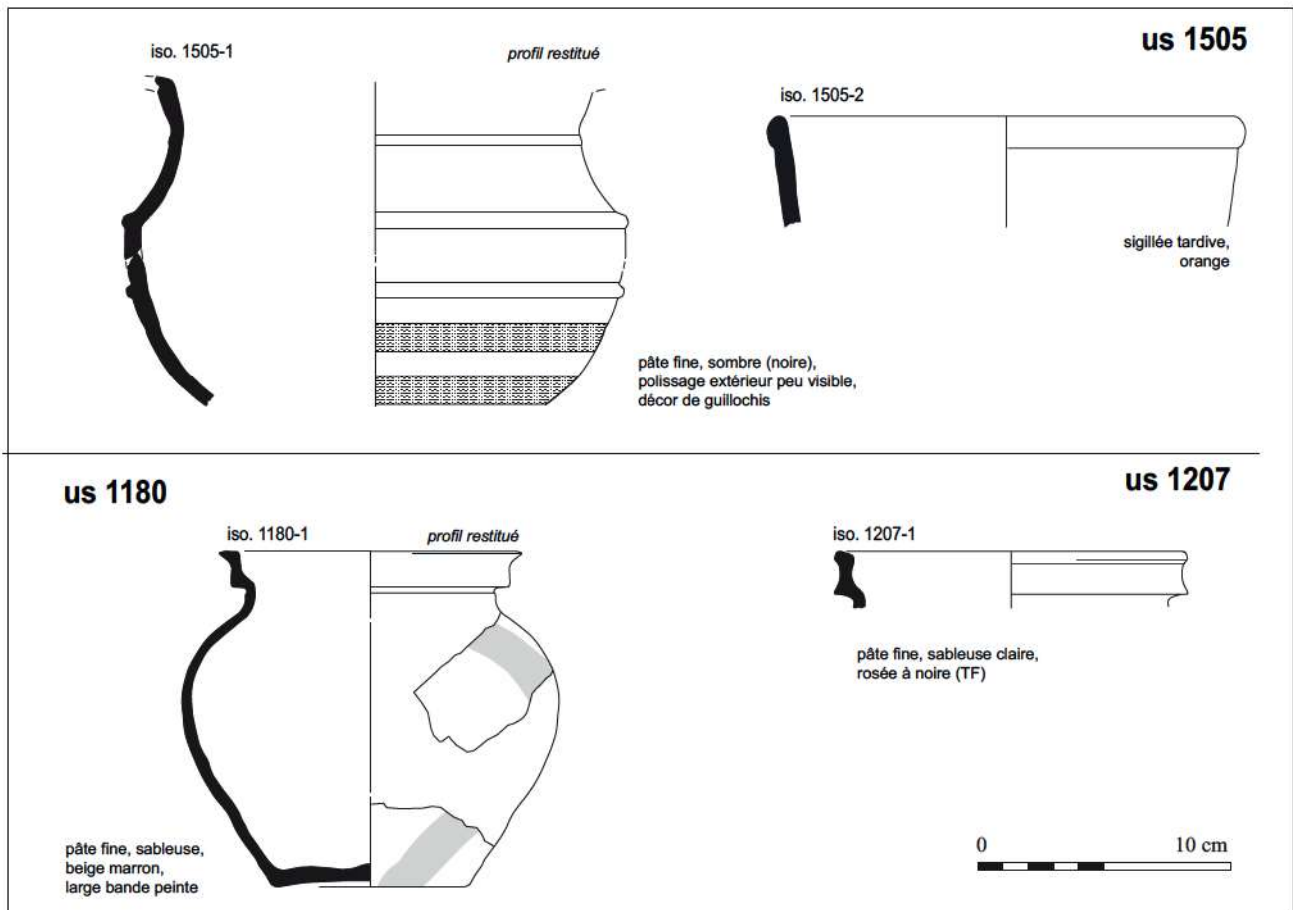


Fig. III-05-09 Melun, 19 rue Saint-Liesne.
La céramique mérovingienne (Us 1505) et
médiévale (Us 1180 et 1207) © Inrap : A. Lefèvre

Iso. 1057-3 : pot biconique ? pâte fine, grise, polissage soigné. Un décor très fin à la molette, composé d'une succession de croix, est appliqué sur le haut de la panse.

Iso. 1241-1 : panse indéterminée, pâte fine grise renfermant des inclusions blanches de petite taille éparses, polissage extérieur très soigné. Un décor imprimé avec un poinçon est visible extérieurement, la rosace mesure 1,3 cm de diamètre et se compose de 19 petits triangles.

Synthèse du mobilier mérovingien

La composition du lot reste relativement atypique rassemblant de nombreuses formes ouvertes, plus ou moins profondes, réalisées en pâte fine et en pâte granuleuse, associées à plusieurs vases biconiques en pâte fine sombre. Des pots leur sont associés, mais en nombre plus restreint que ce que l'on observe habituellement (Fig. III-05-10).

Cet ensemble rassemble ainsi plus de 42 % de formes ouvertes, près de 22 % de pots biconiques et 35 % de pots à cuire, alors que généralement les lots se composent à près de 80 % de pots associés à quelques écuelles (Fig. III-05-11). On notera de même l'absence totale de récipients à liquide du type cruche.

Les pièces en pâte fine fumigée sont fréquemment décorées de bandes guillochées, imprimées à plusieurs reprises sur le corps des vases et même intérieurement en ce qui concerne les écuelles carénées 1056-13 et 1071-1. La surface extérieure est souvent très soigneusement polie, sans trace d'outil visible (Fig. III-05-12). Parmi ces dernières, on distingue principalement des formes ouvertes à carène et des vases biconiques.

Fig. III-05-10 Melun, 19 rue Saint-Liesne. Inventaire et volumes estimés des céramiques mérovingiennes individualisées © Inrap : A. Lefèvre

Type morphologique	Référence	Production	Capacité maximale *	Utilisation estimée
Coupe Chenet 319 / 320 ?	1505-2	sigillée tardive		
Forme ouverte haute	1056-1	pâte fine, fumigée et polie	2,33 litres	2,1 litres
Forme ouverte à carène	1012-1	pâte fine, fumigée et polie	0,51 litre	0,4 litre
	1056-13	pâte fine, fumigée et polie	1,65 litre	1,30 litre
	1071-1	pâte fine, fumigée et polie		
	1071-4	pâte fine, fumigée et polie		
	1056-12	pâte fine claire	0,83 litre	0,60 litre
	1071-3	pâte fine, claire et polie		
	1040-1	pâte granuleuse à inclusions fines	0,97 litre	0,8 litre
	1056-4	pâte granuleuse à inclusions fines	1,04 litre	0,8 litre
	1056-6	pâte granuleuse à inclusions fines		
	1056-14	pâte granuleuse à petites inclusions		
	1071-5	pâte granuleuse à petites inclusions		
Forme ouverte à collerette	us 1241	pâte granuleuse à petites inclusions		
	1056-5	pâte granuleuse à petites inclusions		
	1056-7	pâte granuleuse à inclusions fines		
Gobelet	1056-2	pâte fine claire ?		
Pot biconique	1056-3	pâte fine, fumigée et polie		
	1056-10	pâte fine, fumigée et polie	2,60 litres	2,45 litres
	1056-11	pâte fine, fumigée et polie		
	1056-16	pâte fine, fumigée et polie		
	1056-17	pâte fine, fumigée et polie		
	1071-2	pâte fine, fumigée et polie		
	1057-1	pâte fine, fumigée et polie	2,40 litres	2,26 litres
	1057-3	pâte fine, fumigée et polie		
	1505-1	pâte fine, fumigée et polie		
Pot	1012-2 (ou marmite ?)	pâte granuleuse à inclusions fines		
	us 1012	pâte granuleuse à inclusions fines		
	1171-1 (ou cruche ?)	pâte granuleuse à inclusions fines		
	1093-1	pâte granuleuse à petites inclusions		
	1093-2	pâte granuleuse à inclusions fines		
	1057-2	pâte granuleuse à petites inclusions	2,25 litres	2,09 litres
	1057-4	pâte granuleuse à petites inclusions		
	1057-5	pâte granuleuse à petites inclusions		
	1057-6	pâte granuleuse à petites inclusions		
	us 1057 (3 bords incomplets)	pâte granuleuse à petites inclusions		
	1056-8	pâte granuleuse à inclusions fines	2,38 litres	2,22 litres
	1056-9	pâte granuleuse à inclusions fines		
	1056-15	pâte granuleuse à petites inclusions	1,99 litre	1,77 litre

* Calculs réalisés avec le logiciel de l'Université libre de Bruxelles : <https://capacity.ulb.be/index.php/calcul-de-capacite-dun-recipient/>

Fig. III-05-11 Melun, 19 rue Saint-Liesne.
Pourcentages des différents types de récipients
© Inrap : A. Lefèvre

Types	NTI	% NTI
Coupe Chenet 319 / 320	1	2,4
Forme ouverte haute	1	2,4
Forme ouverte à carène	12	28,6
Forme ouverte à collerette	3	7,1
Gobelet	1	2,4
Vases biconiques	9	21,4
Pots	15	35,7
Total =	42	

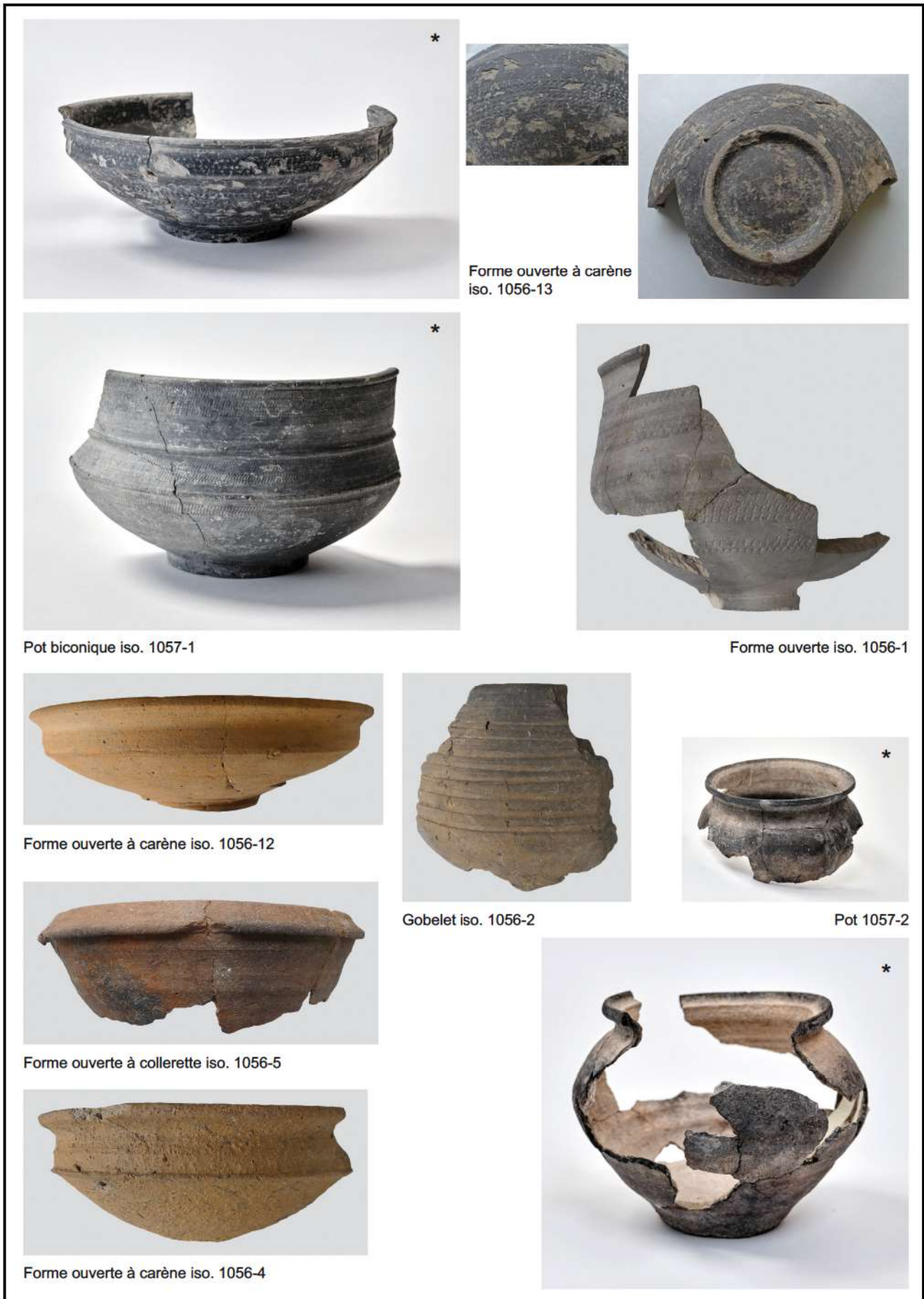


Fig. III-05-12 Melun, 19 rue Saint-Liesne. Photographies de céramiques mérovingiennes issues des Us 1056 et 1057 © Inrap : A. Lefèvre.

Cinq formes ouvertes à carène sont recensées - dont deux très semblables - tournées dans une pâte fine noire, soigneusement lustrée, au décor guilloché (iso. 105613 et 1071-1). Les bandeaux sont courts et s'achèvent par une petite lèvre ourlée. L'exemplaire complet montre une base en couronne. On peut éventuellement lui rapprocher un autre fragment de fond issu de l'us 1071 (iso. 1071-4, Fig. III-05-08).

Des jattes carénées à pied rapporté, en pâte fine micacée, également décorées au guilloché, ont été mises au jour sur le site de Ferrières-en-Brie « Zac des Hauts de Ferrières », à une trentaine de kms plus au nord (Paccard 1998, vol. 2, Pl. XXXIV n°9 et Pl. XXXV n°5). L'occupation prédominante du site a été placée aux V^e – VI^e siècles mais les auteurs remarquent l'absence totale d'éléments appartenant strictement au Bas-Empire et proposent plutôt une datation se situant à la charnière entre les périodes antiques et mérovingiennes (Paccard 1998, vol. 1, p. 42).

En dehors de la région, des exemples morphologiquement très proches proviennent de la nécropole de Brèves-sur-Yonne et sont attribués au VI^e siècle (Mathiaut-Legros 2006, p. 205).

Deux autres jattes carénées sont présentes, l'une en pâte fine orangée est peu profonde avec un bandeau assez court et une petite lèvre éversé (iso. 1056-12). La base est légèrement saillante. La seconde, tournée dans une pâte fine noire, se distingue des exemplaires précédents par un diamètre inférieur, une lèvre mieux individualisée et un fond rentrant (iso. 1012-1). Un autre fragment de bord peut éventuellement appartenir à une jatte mais il est trop mal conservé pour qu'il soit possible de trancher. Il s'agit d'un bord droit à large embouchure en pâte fine sableuse beige orangé décoré d'un poinçon circulaire (iso. 1071-3).

Les volumes d'utilisation estimés¹ de ces coupelles carénées tournent autour d'un demi litre, respectivement 0,40 et 0,60 litre. Seuls les ustensiles en pâte granuleuse ont une contenance légèrement plus importante, d'environ 0,80 litre pour deux d'entre elles, et d'1,30 litre pour l'exemplaire de grande taille (iso. 1056-4) ; elles ont pu servir à la présentation des mets ou pour la consommation individuelle lors des repas.

Deux pots biconiques, étrangement ressemblants, sont présents, l'un est tourné en pâte fine noire (iso. 1056-10) et l'autre en pâte fine grise (iso. 1057-1) ; tous deux sont soigneusement polis laissant une impression douce au toucher et décorés extérieurement de bandes guillochées appliquées à 3 endroits sur la poterie : au niveau du bord, sous le ressaut délimitant le bord de la panse et sous la carène. Le diamètre d'ouverture de ces pièces s'avère important et supérieur à leur hauteur. Le bord est haut également et droit, marqué à la base d'un ressaut, un second ressaut signale l'extrémité de panse et la carène, l'espacement entre ces deux baguettes étant relativement court. Le bas de la panse, très arrondi, surmonte un pied annulaire sans doute rapporté. La forme générale reste relativement atypique et pourrait presque être rapprochée de pots à bandeau caréné mis au jour en Bourgogne et Franche-Comté qui semblent eux-mêmes dérivés du répertoire des DSP (Mathiaut-Legros 2006, p. 205). Nos exemplaires s'en démarquent cependant par une panse beaucoup plus saillante et un col haut et droit.

Deux tessons doivent sans doute appartenir à des récipients de même type, un bord haut à lèvre ourlée (iso. 1056-11, Fig. III-05-05) et une panse carénée à double ressaut décoré de guilloché (iso. 10563), tous deux en pâte fine grise.

Un autre élément peut aussi être signalé, il s'agit d'une panse de grande taille, malheureusement mal conservée, elle aussi décorée de guilloché en partie basse et qui montre un double ressaut en partie médiane (iso. 1505-1). Elle peut également être rapprochée d'un bord de gobelet de grande taille provenant de Ferrières-en-Brie au décor guilloché (Paccard 1998, vol. 2, Pl. XXIX n°9).

1. Le volume estimé est calculé au niveau du col de l'individu.

Une pièce archéologiquement complète montre un profil particulier (iso. 1056-1). Il s'agit d'une grande forme ouverte profonde portant à mi-hauteur une carène douce qui sépare la partie supérieure, légèrement rentrante et s'achevant par une lèvre en bourrelet, de la panse inférieure qui surmonte un fond annulaire. Quatre zones de guillochis décorent l'ensemble de la pièce.

Éventuellement on pourrait considérer qu'il s'agit d'une coupe profonde à profil en S du type CFL1 (Séguier 2011, p. 18) bien que l'exemplaire de Melun possède un bord plus haut. On peut aussi lui trouver une filiation avec le répertoire des DSP et en particulier la forme 15 de Rigoir (Diocer, catégorie DSP²).

Cette coupe pouvait renfermer environ 2 litres de liquide, soit un peu moins que le volume estimé des 2 vases biconiques (2,26 et 2,45 litres), bien que son usage ait pu être sensiblement la même, à savoir un récipient pour la consommation des boissons lors des repas.

Des éléments de pots biconiques de forme plus classique sont aussi notés mais ils demeurent incomplets. Deux bords appartiennent sans doute à des biconiques de type A, l'un est décoré à l'aide d'un cartouche allongé renfermant 2 croix, appliqué à intervalles réguliers sur 2 niveaux (io.1071-2), le second avec une molette géométrique mal identifiée, peut-être à base de croix et de losanges (iso. 1057-3). Deux autres panses peuvent leur être associées, l'une à carène montre aussi une molette losangique (iso. 1057-16), des motifs allongés peu identifiables sont notés sur la seconde (iso. 1056-17). Cette molette pourrait peut-être être assimilée à un décor reconnu à Vanves.

Le dernier élément en pâte fine ne trouve pas beaucoup d'équivalent dans la région, il s'agit d'un gobelet à ouverture réduite et carène basse dont toute la partie supérieure est striée par de profonds ressauts (iso. 10562).

Les formes ouvertes en pâte granuleuse sont plus conformes à ce que l'on connaît en Île-de-France avec la présence de formes ouvertes à carène à bandeau court. Des détails morphologiques les distinguent, une lèvre aplatie et une carène soulignée d'un petit ressaut (iso. 1056-14), un bord épais et une lèvre située dans le prolongement de la paroi (iso. 1056-6, Fig. III-05-06) ou un bandeau très incurvé et une carène enfoncée de l'intérieur et très saillante (iso. 1071-5). L'exemplaire 1056-4 se différencie par une taille plus grande que les autres puisque son diamètre d'ouverture avoisine les 20 cm contre 12 à 15 cm pour les autres jattes.

Nous pouvons signaler aussi une pièce plus profonde, la partie supérieure à la carène est rentrante avant de s'infléchir sur l'extérieur, la lèvre montre un petit repli interne (iso. 1040-1). Cette dernière trouve une équivalence avec un récipient issu de la fouille de Ferrières-en-Brie (Paccard 1998, vol. 2, Pl. XXX n°1). Une autre forme ouverte, plus proche d'un bol est visible dans l'us 1071, mais demeure fragmentaire (iso. 1071-6, Fig. III-05-08).

Quelques formes ouvertes à collerette sont recensées mais en plus petit nombre et toujours incomplètes, deux provenant de l'us 1056 ont néanmoins pu être dessinées. Les lèvres sont rentrantes et les collerettes courtes et tombantes (iso. 1056-5 et iso. 1056-7, Fig. III-05-06). L'isolation n°5 a conservé son verseur qui a été réalisé en appuyant fortement la partie supérieure de la lèvre. On note aussi une coloration hétérogène de cette pièce qui indique un problème lors de la cuisson initiale. Cette remarque au sujet de la couleur peut aussi concerner le pot 1056-9. Une 3^e jatte à collerette provient de l'us 1241, son usure interne indique un probable usage comme mortier (non dessiné).

2. <http://syslat.on-rev.com/DICOCER/dicocer.le?programme=editD3&choix=D-S-P&Submit=submit>

Le nombre de pots est peu élevé au sein de cet ensemble, seulement 15 ayant été reconnus dont 3 archéologiquement complets. Les profils sont habituels pour l'époque, globulaires ou légèrement carénés, avec un extremum situé à mi-hauteur. Les ouvertures sont larges et les fonds légèrement rentrants. Les bords montrent des lèvres variées mais, de nouveau, très classiques. On distingue des pots à lèvre rectangulaire creusée (iso. 1171-1, Fig. III-05-08), parfois relevées (iso. 1056-8, iso. 1056-15, iso. 1057-2, iso. 1057-5 et iso. 10576, Fig. III-05-07), lèvre en hache (iso. 1057-4, lèvre en crochet (iso. 1012-2), lèvre en pseudo-bandeau (us 1012) ou simplement éversée sur l'extérieur (iso. 1056-9).

Le bord du pot 1093-2 est un peu déformé, cette caractéristique de même que la présence d'un ressaut sur l'épaule peut laisser envisager être en présence d'une marmite (Fig. III-05-08).

Leur contenance n'est pas très élevée, allant de 1,8 à 2,2 litres. Les nombreuses traces de feu qui les marquent ne laissent pas de doute sur leur utilisation pour la cuisson ou le réchauffage des aliments.

3.5.2.2. La période médiévale (XI^e-XII^e s.)

Les productions

Les éléments résiduels demeurent assez nombreux, ce qui doit s'expliquer par une occupation atomédiévale importante du secteur. Concrètement, et malgré un nombre de restes restreints ce qui limite la démonstration, on s'aperçoit que la période médiévale voit l'omniprésence des pâtes fines et claires, souvent d'aspect sableux, au détriment des pâtes granuleuses qui ont alors complètement disparues (Fig. III-05-13).

Fig. III-05-13 Melun, 19 rue Saint-Liesne.
Pourcentages des productions médiévales
© Inrap : A. Lefèvre

Productions	NR	% NR	NMI	Poids
Résiduels antiques	14	29,2	4	69
Pâtes granuleuses résiduels	4	8,3	1	36
Pâtes semi fines ou fines claires	10	20,8	1	133
Pâtes sableuses claires	20	41,7	4	231
Total =	48		10	469

Il s'agit de pâtes semi-fines blanches ou beiges et de pâtes très fines et feuilletées, d'aspect sableux, de teinte beige ou marron (Fig. III-05-04). Des tessons peints sont attestés, décorés le plus souvent de motifs de flammules.

Les formes

Seuls des pots à cuire du type oule à bord en bandeau sont identifiables. Un bord assez court, en pâte sableuse beige rosé, provient du contexte 1207. L'extrémité du bandeau est arrondie et la base largement saillante (iso. 1207-1).

Le profil de la seconde oule a pu être restitué graphiquement ; elle est tournée dans une pâte fine sableuse, beige marron à noire (traces de feu). Le bandeau est également court, resserré en partie centrale, à l'apex aplati (iso. 1180-1, Fig. III-05-09). Un col bien dégagé surmonte une panse arrondie, le fond est assez épais et la base concave. La contenance a pu être estimée à 1,20 litre.

Des bandes peintes assez larges sont visibles sur différents tessons, ce type de décor est régulièrement repéré, bien que peu fréquent, dans le sud de la région parisienne, en contexte de consommation comme à Etampes (Peixoto, Celly 2012, vol. 2, p. 29) ou sur le site potier de Saint-Maurice-Montcouronne (Goustard 2015, p. 177).

3.5.3 Conclusion

L'ensemble mérovingien précoce est particulièrement intéressant mêlant des pièces d'inspiration antique à des céramiques déjà bien caractéristiques de la période mérovingienne (Fig. III-05-12). En effet si certaines formes, comme les vases à carène profonds et très ouverts et les formes ouvertes à pied annulaire réalisées en pâte fine grise et décorées au guillochis peuvent évoquer des poteries de tradition antique, les pots à lèvre relevée ou en crochet et jattes à collerette ou carénées en pâte granuleuse appartiennent sans conteste au répertoire mérovingien.

De plus on note l'absence totale de formes appartenant exclusivement au Bas-Empire comme le pots Alzei 27 ou assimilés et les jattes à lèvre en bourrelet (jatte Petit IIIB ou Alzei 9/11), de même que la rareté des fragments de sigillée tardive, avec seulement 2 tessons recensés dont l'isolation 1505-2, sans doute un bord de Chenet 319 / 320 (Fig. III-05-09). Une datation de l'extrême fin du V^e ou du début du VI^e siècle est donc proposée pour une partie des lots (Us 1040, 1056, 1057, 1071, 1073 et 1241), les autres contextes étant attribués plus largement au VI^e siècle. Elle correspond avec celles des quelques rares éléments de récipients en verre creux mis au jour sur le site (Fig. III-05-14). Nous évoquerons ainsi un fragment de bord de gobelet à pied ou de cornet provenant de l'us 1057 qui trouve des correspondances avec des tessons provenant de Lieusaint en Seine-et-Marne (Simon 2012, p. 158). Ces pièces sont généralement attribuées à la fin du V^e ou au début du VI^e siècle pour les gobelets à pied ou au VI^e siècle pour le cornets (Feyeux 2003, p. 74 et p. 180). Un autre bord au diamètre important en verre transparent jaune-vert provient de l'us 1505 et appartient peut-être aussi à un gobelet. Enfin un pied assez haut et étroit pourrait éventuellement se rapporter à un gobelet campaniforme à ouverture évasé (sous réserves) à placer dans le milieu du VI^e siècle (Feyeux 2003, p. 192).

Les similitudes entre certaines céramiques sont frappantes, trahissant sans doute une origine commune, comme par exemple entre les vases 1056-10 et 1057-1 ou entre 1056-13 et 1071-1. On note aussi les surfaces marbrées de certaines pâtes granuleuses qui indiquent des problèmes lors de la cuisson initiale et qui pourrait éventuellement indiquer la présence d'un atelier dans un secteur géographique proche ?

A noter la présence d'un palet en terre cuite provenant du décapage de l'us 1119 mais qui ne peut être datée avec certitude en l'absence de mobilier associé (Fig. III-05-14).

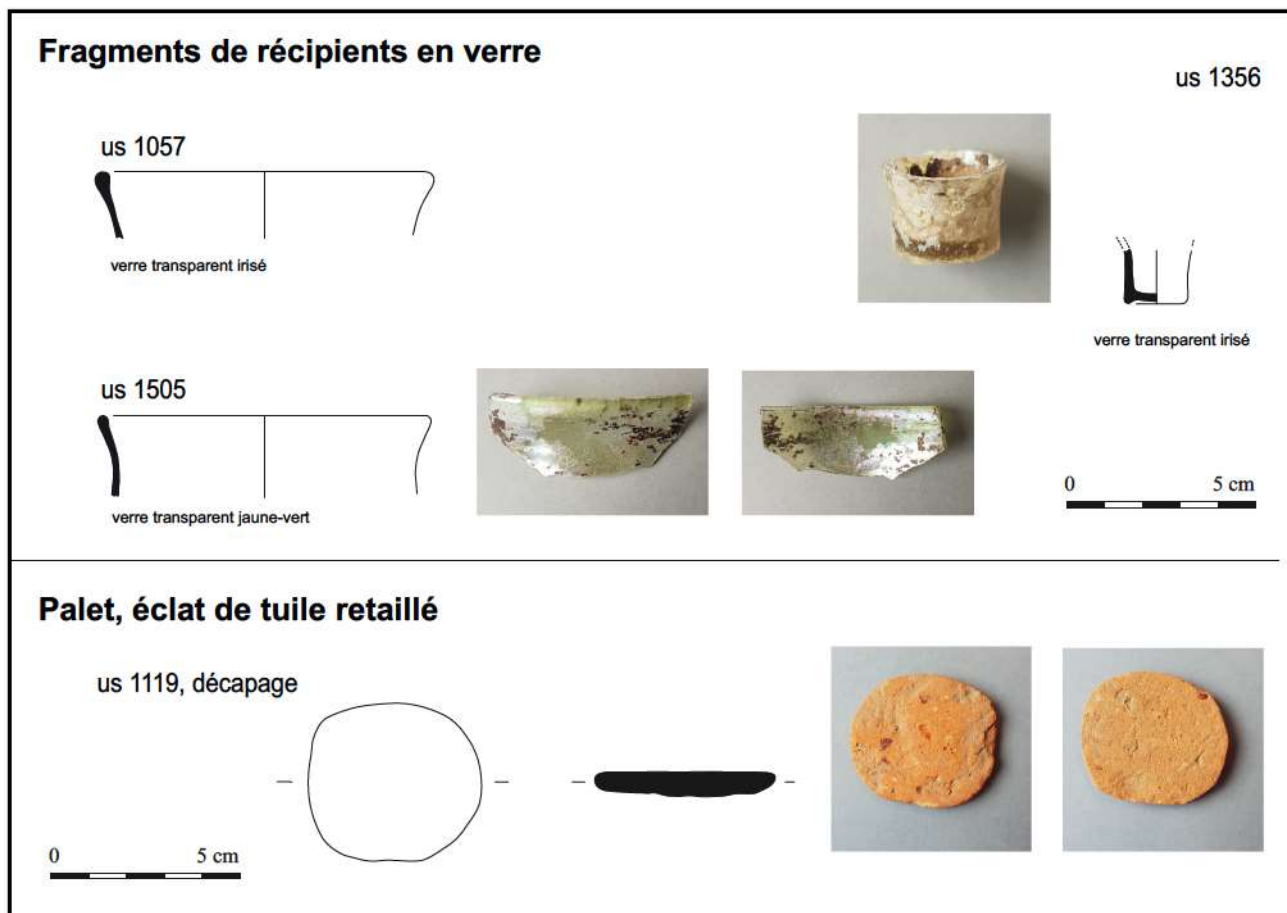


Fig. III-05-14 Melun, 19 rue Saint-Liesne. Les fragments de récipients en verre et le palet en terre cuite © Inrap : A. Lefèvre

3.5.4 Inventaire de la céramique médiévale (V^e-XII^e s.)

Us	rem.	Iso.	Lot	Productions	Traitement de surface	Forme	Type	Décor	NR	NMI	Poids	Période	Datation Us proposée
1008				Semi-fine claire	Peinture			peinture	1		3	Moyen Âge	Moyen Âge
1012		1		Fine sombre	Fumigée et polie	forme ouverte à carène	bandeau court, carène saillante		1	1	67	Mérovingien	Mérovingien
1012				Fine sombre	Fumigée et polie				1		4	Mérovingien	Mérovingien
1012		2		Granuleuse à inclusions fines		pot ou marmite ?	lèvre en crochet		1	1	48	Mérovingien	Mérovingien
1012				Granuleuse à inclusions fines		pot	lèvre relevée, pseudo-bandeau		1	1	10	Mérovingien	Mérovingien
1012			oui	Granuleuse à inclusions fines					2		27	Mérovingien	Mérovingien
1016				Sableuse claire					1		2	Moyen Âge	Moyen Âge
1040		1	oui	Granuleuse à inclusions fines		forme ouverte à carène	lèvre infléchie sur l'extérieur		7	1	137	Mérovingien	Mérovingien
1040	1		oui	Commune claire					4		56	Antique	Transition Bas Empire - méro.
1040	1			Commune sombre					1		2	Antique	Transition Bas Empire - méro.
1040	1			Granuleuse à petites inclusions					1	1	77	Mérovingien	Transition Bas Empire - méro.
1040	2		oui	Granuleuse à petites inclusions					2	1	55	Mérovingien	Transition Bas Empire - méro.

Us	rem,	Iso.	Lot	Productions	Traitement de surface	Forme	Type	Décor	NR	NMI	Poids	Période	Datation Us proposée
1056	A et B	1	oui	Fine sombre	Fumigée et polie	biconique	bord rentrant, carène adoucie, piédouche	guillochis	17	1	231	Transition Bas Empire - méro.	Transition Bas Empire - méro.
1056	A	2		Fine sombre	Fumigée et polie ?	gobelet		décor de ressauts	1	1	40	Transition Bas Empire - méro.	Transition Bas Empire - méro.
1056	A	3		Fine sombre	Fumigée et polie	biconique	carène soulignée d'un ressaut	guillochis	1	1	35	Mérovingien	Transition Bas Empire - méro.
1056	A			Fine sombre	Fumigée et polie	biconique ?			1	1	5	Mérovingien	Transition Bas Empire - méro.
1056	A	4	oui	Granuleuse à inclusions fines		forme ouverte à carène			4	1	434	Mérovingien	Transition Bas Empire - méro.
1056	A	5	oui	Granuleuse à petites inclusions		forme ouverte à collerette			6	1	462	Mérovingien	Transition Bas Empire - méro.
1056	A	6	oui	Granuleuse à inclusions fines		forme ouverte à carène	bandeau moyen incurvé		2	1	35	Mérovingien	Transition Bas Empire - méro.
1056	A	7		Granuleuse à inclusions fines		forme ouverte à collerette	lèvre incliné sur l'intérieur		1	1	11	Mérovingien	Transition Bas Empire - méro.
1056	A	8	oui	Granuleuse à inclusions fines		pot	lèvre rectangulaire		8	1	227	Mérovingien	Transition Bas Empire - méro.
1056	A	9		Granuleuse à inclusions fines		pot	lèvre infléchie sur l'extérieur		1	1	37	Mérovingien	Transition Bas Empire - méro.
1056	A		oui	Granuleuse à inclusions fines					20		224	Mérovingien	Transition Bas Empire - méro.
1056	B	10	oui	Fine sombre		biconique	lèvre haute et droite	guillochis	3	1	135	Mérovingien	Transition Bas Empire - méro.
1056	B	11		Fine sombre		biconique ?	lèvre haute et droite	guillochis	1	1	23	Mérovingien	Transition Bas Empire - méro.
1056	B	12	oui	Fine claire		forme ouverte à carène	bandeau court, base saillante		4	1	287	Mérovingien	Transition Bas Empire - méro.
1056	B	13	oui	Fine sombre	Fumigée et polie	forme ouverte à carène	bandeau court, pied annulaire	guillochis	9	1	600	Mérovingien	Transition Bas Empire - méro.
1056	B	14		Granuleuse à petites inclusions		forme ouverte à carène	bandeau court, carène marquée		1	1	46	Mérovingien	Transition Bas Empire - méro.
1056	B	15	oui	Granuleuse à petites inclusions		pot	lèvre rectangulaire relevée		26	1	589	Mérovingien	Transition Bas Empire - méro.
1056	B	16		Fine sombre	Fumigée et polie			molette	1	1	16	Mérovingien	Transition Bas Empire - méro.
1056	B	17		Fine claire	Polissage			molette	1	1	6	Mérovingien	Transition Bas Empire - méro.
1056	B		oui	Fine sombre	Fumigée et polie				7	3	46	Mérovingien	Transition Bas Empire - méro.
1056	B		oui	Granuleuse à petites inclusions		forme ouverte ?			3	2	209	Mérovingien	Transition Bas Empire - méro.
1056	B		oui	Granuleuse à petites inclusions					13	1	114	Mérovingien	Transition Bas Empire - méro.
1056	B			Granuleuse à inclusions moyennes					1	1	39	Bas-Empire	Transition Bas Empire - méro.
1056	B		oui	Commune claire					2		21	Bas-Empire	Transition Bas Empire - méro.
1057		1	oui	Fine sombre	Fumigée et polie	biconique	lèvre droite, piedouche		4	1	457	Transition Bas Empire - méro.	Transition Bas Empire - méro.
1057		2	oui	Granuleuse à petites inclusions		pot	lèvre relevée		23	1	605	Mérovingien	Transition Bas Empire - méro.
1057		3		Fine sombre	Fumigée et polie	biconique ?		molette	1	1	10	Mérovingien	Transition Bas Empire - méro.
1057		4		Granuleuse à petites inclusions		pot	lèvre en hache		1	1	21	Mérovingien	Transition Bas Empire - méro.

Us	rem.	Iso.	Lot	Productions	Traitement de surface	Forme	Type	Décor	NR	NMI	Poids	Période	Datation Us proposée
1057		5		Granuleuse à petites inclusions		pot	lèvre relevée		1	1	21	Mérovingien	Transition Bas Empire - méro.
1057		6		Granuleuse à petites inclusions		pot	lèvre rectangulaire relevée		1	1	9	Mérovingien	Transition Bas Empire - méro.
1057			oui	Granuleuse à petites inclusions		pot			3	3	14	Mérovingien	Transition Bas Empire - méro.
1057		7	oui	Granuleuse à petites inclusions		pot ?			2	1	170	Mérovingien	Transition Bas Empire - méro.
1057			oui	Granuleuse à petites inclusions					5		39	Mérovingien	Transition Bas Empire - méro.
1057			oui	Granuleuse à petites inclusions					4	1	193	Mérovingien	Transition Bas Empire - méro.
1057			oui	Granuleuse à petites inclusions					6		38	Mérovingien	Transition Bas Empire - méro.
1057			oui	Granuleuse à inclusions fines					4	1	54	Mérovingien	Transition Bas Empire - méro.
1057				Granuleuse à inclusions fines		biconique ?			1	1	6	Mérovingien	Transition Bas Empire - méro.
1057				Fine sombre	Fumigée et polie				1		6	Mérovingien	Transition Bas Empire - méro.
1071				Fine sombre					1	1	8	Antique	Transition Bas Empire - méro.
1071		1	oui	Fine sombre	Fumigée et polie	forme ouverte à carène	lèvre en bourrelet, carène adoucie, bandeau moyen	guillochis	3	1	39	Transition Bas Empire - méro.	Transition Bas Empire - méro.
1071		2		Fine sombre	Fumigée et polie	biconique		poinçon	1	1	20	Mérovingien	Transition Bas Empire - méro.
1071		3		Fine claire	Polissage	forme ouverte à carène ?		poinçon	1	1	5	Transition Bas Empire - méro.	Transition Bas Empire - méro.
1071		4		Fine sombre	Fumigée et polie	forme ouverte à carène ?			1	1	89	Transition Bas Empire - méro.	Transition Bas Empire - méro.
1071			oui	Fine sombre	Fumigée et polie			guillochis	3		23	Transition Bas Empire - méro.	Transition Bas Empire - méro.
1071		5		Granuleuse à petites inclusions		forme ouverte à carène	bandeau court, carène vive		1	1	17	Mérovingien	Transition Bas Empire - méro.
1071		6	oui	Granuleuse à petites inclusions		forme ouverte à carène	bandeau haut		3	1	39	Mérovingien	Transition Bas Empire - méro.
1071				Granuleuse à inclusions fines					1		25	Mérovingien	Transition Bas Empire - méro.
1072				Fine claire					1		23	Moyen Âge	Moyen Âge
1073				Fine sombre	Fumigée et polie				1		2	Transition Bas Empire - méro.	Transition Bas Empire - méro.
1073				Granuleuse à petites inclusions					1		9	Mérovingien	Transition Bas Empire - méro.
1093		1		Granuleuse à petites inclusions		pot	lèvre courte triangulaire		1	1	42	Mérovingien	Mérovingien
1093		2		Granuleuse à inclusions fines		pot	ressaut sur l'épaule et déformation = marmite ?		1	1	24	Mérovingien	Mérovingien
1093		3		Granuleuse à inclusions fines		ind.			1	1	15	Mérovingien	Mérovingien
1093			oui	Granuleuse à petites inclusions					2		20	Mérovingien	Mérovingien
1166			oui	Sableuse claire	Peinture			peinture - flammules	2		10	Moyen Âge	Moyen Âge
1171	2	1		Granuleuse à inclusions fines		pot ou cruche	lèvre rectangulaire à l'extrémité évasée		1	1	25	Moyen Âge	Moyen Âge

Us	rem,	Iso.	Lot	Productions	Traitement de surface	Forme	Type	Décor	NR	NMI	Poids	Période	Datation Us proposée
1171	2			Sableuse claire					1		16	Moyen Âge	Moyen Âge
1175			oui	Commune claire					2		8	Antique	Moyen Âge ?
1175				Granuleuse à inclusions moyennes					1		1	HMA ind.	Moyen Âge ?
1175			oui	Semi-fine claire					2		5	Moyen Âge ?	Moyen Âge ?
1177				Semi-fine claire	Peinture			peinture	1		11	Moyen Âge	Moyen Âge
1180				Fine claire					1		2	Antique	Moyen Âge
1180				Semi-fine claire					1		6	Moyen Âge	Moyen Âge
1180				Semi-fine claire	Peinture			peinture	1		5	Moyen Âge	Moyen Âge
1180		1	oui	Sableuse claire	Peinture	oule	bord en bandeau court	peinture	7	1	139	Moyen Âge	Moyen Âge
1180			oui	Sableuse claire					4	2	44	Moyen Âge	Moyen Âge
1180				Sableuse claire	Peinture			peinture	1		9	Moyen Âge	Moyen Âge
1207		1		Sableuse claire		oule	bord en bandeau court		1	1		Moyen Âge	Moyen Âge
1241		1		Fine sombre	Fumigée et polie			poinçon	1		12	Transition Bas Empire - méro.	Transition Bas Empire - méro.
1241				Fine sombre	Fumigée et polie				1		8	Transition Bas Empire - méro.	Transition Bas Empire - méro.
1241				Granuleuse à petites inclusions		forme ouverte à collerette ?	usure interne		1	1	115	Mérovingien	Transition Bas Empire - méro.
1298				Semi-fine claire	Peinture			peinture	1		9	Moyen Âge	Moyen Âge
1381				Semi-fine claire					1	1	68	Moyen Âge	Moyen Âge
1381				Semi-fine claire	Peinture			peinture	1		3	Moyen Âge	Moyen Âge
1501	1			Fine claire					1	1	6	Antique	Moyen Âge
1501	1		oui	Commune sombre					6	2	39	Antique	Moyen Âge
1501	1		oui	Fine sombre	Fumigée et polie			guillochis	4	1	14	Transition Bas Empire - méro.	Moyen Âge
1501	1		oui	Granuleuse à petites inclusions					2		10	Mérovingien	Moyen Âge
1501	1		oui	Sableuse claire					3		11	Moyen Âge	Moyen Âge
1505				Sigillée tardive					1		7	Bas-Empire	Mérovingien
1505		2		Sigillée tardive		coupe	Chenet 320 ?		1	1	25	Bas-Empire	Mérovingien
1505		1	oui	Fine sombre	Fumigée et polie	biconique ?		guillochis	4	1	88	Transition Bas Empire - méro.	Mérovingien
1505			oui	Fine sombre	Fumigée et polie				5	2	82	Mérovingien	Mérovingien
1505				Granuleuse à petites inclusions					1	1	68	Mérovingien	Mérovingien
1505				Granuleuse à petites inclusions					1		15	Mérovingien	Mérovingien
1505				Sableuse claire					1		5	Moyen Âge ?	Mérovingien
Total =									299	70	7269		

3.6 Annexe 6 : Etude du mobilier céramique médiéval et moderne (Caroline Claude*, avec la collaboration de François Renel**, Inrap)

**Par C. Claude*

Inrap Centre Île-de-France

Centre de recherches archéologiques et historiques anciennes et médiévales (CRAHAM), UMR 6273

La Courneuve, janvier 2023

***Avec la collaboration de F. Renel (céramique moderne à contemporaine)*

Inrap Centre Île-de-France

Equipe APOHR, UMR 7041

Le mobilier céramique recueilli à Melun au 19 rue Saint-Liesne et confié pour étude représente un corpus de 645 tessons datés entre la fin du Moyen Âge et le XIX^e siècles. Dans ces contextes, moins d'une centaine d'éléments sont résiduels des époques gallo-romaine et alto-médiévale.

Aucun élément céramique daté du XIII^e ou de la première moitié du XIV^e siècle, même résiduel au sein d'assemblages plus récents, n'a été reconnu, attestant d'un hiatus chronologique sur cette parcelle pour le Moyen Âge classique et peut-être d'une contraction de l'habitat à cette phase.

Hormis ce mobilier céramique à usage domestique, ont été également examinés les éléments en terre cuite architecturale (plus de 12 kg) ainsi qu'un fragment d'ardoise gravée. Ils seront succinctement décrits plus bas.

3.6.1 Les ustensiles culinaires en céramique

Le corpus provient principalement de fosses (1001, 1004, 1005, 1006, 1013, 1022, 1026, 1027, 1028, 1029, 1029, 1045, 1079, 1080, 1116, 1120, 1129, 1132, 1140, 1142, 1147, 1163, 1181, 1190, 1200, 1206, 1229, 1233, 1236, 1242, 1243, 1521), mais aussi d'excavations (1032, 1037, 1052, 1054, 1063, 1125, 1127, 1151, 1165, 1183, 1184, 1232, 1239, 1307), de puits / bassin profond (1173, 1208, 1381) et également de quelques tranchées de fondation ou structure bâtie (1038, 1161, 1157, 1192), d'Us (1194, 1197, 1201, 1259, 1372) ainsi que de quelques caves (cave 1211 : Us 1212, 1270 ; cave 1267 : Us 1267, 1302 ; cave 1380 : Us 1527, 1526 ;).

Tous les tessons ont fait l'objet d'un comptage en nombre de reste (NR) prenant en compte les types de pâtes et les types de formes. 271 enregistrements par « lot céramique » ont été ainsi créés sur une base File Maker Pro¹. Ces « lots céramiques » décrivent soit un tesson caractéristique d'une pâte ou d'une forme soit un ensemble de tessons rassemblés techniquement et typologiquement. Une fourchette de datation est proposée pour chacun de ces lots céramiques. 144 individus ont été comptabilisés dont 89 NMI Bords².

1. Cf inventaire détaillé en annexe.

2. Les éléments résiduels n'ont pas fait l'objet d'un comptage en NMI.

Fig. III-06-01 Tableau récapitulatif des datations des contextes stratigraphiques

© Inrap : C. Claude

66 enregistrements (**Fig. III-06-01**) regroupent les informations pour chacune des structures (nombre de tessons, datation proposée pour la structure ou l'Us, NR tessons résiduels).

Us / Fait / Ens.	Période chronologique	Fourchette chronologique				NRT	NMIT	Rés. MA	Rés. HMA	Rés. gallo
1001	Moderne		XVI ^e			4	2			
1004	Moderne	Seconde moitié	XVI ^e	Début	XVII ^e	27	6			
1005	Moderne		XVII ^e			2				
1006	Moderne		XVI ^e			4	2			1
1013	Moderne	Seconde moitié	XVI ^e			3	1		1	
1022	Moderne	Seconde moitié	XVI ^e	Début	XVII ^e	1				
1026	Moderne	Seconde moitié	XVI ^e			1				
1027	Moderne		XVII ^e			2	1			
1028	Moderne		XVI ^e			10				4
1029	Moderne		XVII ^e			1	1			
1032	Moderne	Seconde moitié	XVI ^e	Début	XVII ^e	3	1			
1037	Moderne	Fin	XVI ^e		XVII ^e	10	4			
1038	Moderne		XVI ^e			1				
1045	Moderne	Seconde moitié	XVI ^e			2	1			
1052	Moderne		XVII ^e			12	5			
1054	Moderne	Fin	XVI ^e	Première moitié	XVII ^e	4	2			
1063	Moderne		XVII ^e			3				
1079	Moderne	Seconde moitié	XVII ^e			81	30		1	
1080	Moderne	Première moitié	XIX ^e			1				
1116	Moderne	Seconde moitié	XV ^e	Début	XVI ^e	7	1			4
1120	Moyen Âge	Première moitié	XV ^e			96	11			41
1125	Moderne	Fin	XVI ^e	Début	XVII ^e	4	3			
1127	Moderne		XVII ^e			20	7			
1129	Moderne		XVI ^e			1	1			
1132	Moyen Âge		XV ^e			2				
1140	Moyen Âge	Fin	XIV ^e	Première moitié	XV ^e	28	5		1	1
1142	Moyen Âge	Première moitié	XV ^e			8			1	1
1147	Mélange					11		2	2	6
1151	Moderne	Fin	XV ^e	Première moitié	XVI ^e	2	1			
1157	Moderne	Seconde moitié	XVI ^e			4				1
1161	Moyen Âge		XV ^e			2				
1162	Moderne	Seconde moitié	XVI ^e			28	14			
1165	Moderne	Seconde moitié	XVI ^e			2	1			
1172	Moderne		XVI ^e			6	2	2		
1173	Moyen Âge ou Moderne	Entre le	XIV ^e /XV ^e	Et le	XVI ^e	4				
1181	Moderne	Fin	XV ^e	Première moitié	XVI ^e	7	2	1		1
1183	Moderne		XVII ^e			4	2			
1184	Moderne		XVII ^e			2	1			
1190	Moderne	Seconde moitié	XVI ^e	Début	XVII ^e	2	2			
1192	Moderne	Seconde moitié	XVI ^e		XVII ^e	2				
1194	Moderne	Seconde moitié	XVI ^e			6	1			
1197	Moyen Âge		XIV ^e		XV ^e	1	1			
1200	Moderne		XV ^e			4	2			1
1201	Moderne	Première moitié	XVI ^e			2	1			
1206	Moyen Âge					4				1
1208	Moderne					1				1
1212	Moderne	Seconde moitié	XV ^e	Première moitié	XVI ^e	2				1
1229	Moderne	Seconde moitié	XVI ^e			10	1			
1232 RI 1228	Moderne	Seconde moitié	XVI ^e			6	2	2		
1233	Moyen Âge	Première moitié	XV ^e			79	4			1

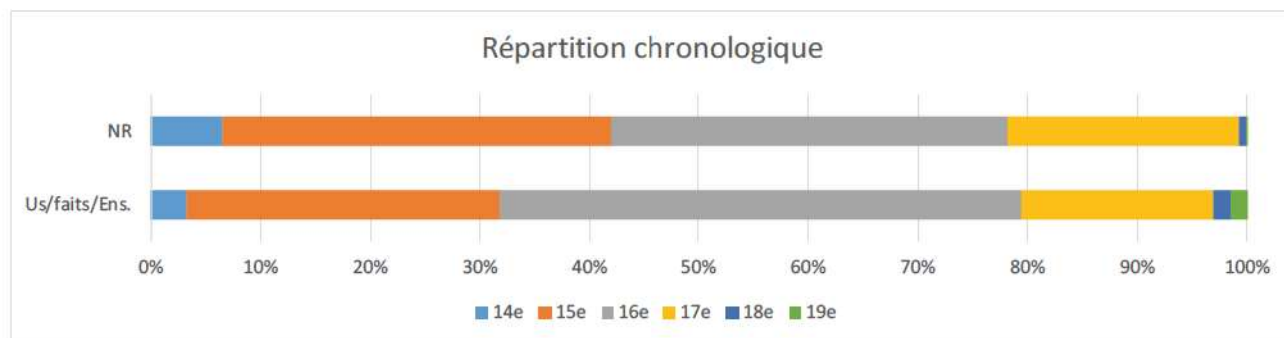
Us / Fait / Ens.	Période chronologique	Fourchette chronologique			NRT	NMIT	Rés. MA	Rés. HMA	Rés. gallo
1236	Moderne		XVI ^e ?			2			1
1239 RI 1408	Moderne	Seconde moitié	XVIII ^e			3	1		
1242	Moderne		XVI ^e		XVII ^e	1			
1243	Moderne	Seconde moitié	XVII ^e			7	2		
1259	Moderne	Seconde moitié	XV ^e	Début	XVI ^e	3	1		2
1267	Moderne	Seconde moitié	XV ^e	Première moitié	XVI ^e	2	1		
1270	Moderne		XVII ^e			6	1		
1302	Moderne	Seconde moitié	XV ^e	Première moitié	XVI ^e	1			
1307	Moderne	Seconde moitié	XV ^e	Début	XVI ^e	2			
1372	Moderne		XV ^e			1			
1380 (1526)	Moderne		XV ^e	Première moitié	XVII ^e	24	6		
1380 (1527)	Moderne		XVI ^e			23	5	1	
1381-A	Moderne		XVI ^e			7	2		
1381-B	Moyen Âge	Milieu	XIV ^e	Début	XV ^e	19	2		
1392	Moderne		XVI ^e			5			
1521	Moderne	Seconde moitié	XV ^e	Début	XVI ^e	10	2	2	3

Le corpus étudié correspond à des récipients à usage domestique : les tessons portent des traces de leur utilisation comme ustensile culinaire (traces de feu externes, usures des fonds) bien que quelques-uns présentent également des stigmates révélant qu'il s'agit de produits de second choix mis en service (couleurs de glaçure, altérations, imperfections) attestant de la proximité d'ateliers de production.

La répartition chronologique des Us / faits / ensembles et des tessons montre une occupation notable entre les XV^e et XVII^e siècles, les périodes périphériques étant très marginales (Fig. III-06-02).

51 contextes comportent moins de 10 tessons, 13 entre 10 et 28 tessons et 3 plus de 70 tessons.

Fig. III-06-02 Répartition chronologique des contextes et des tessons © Inrap : C. Claude

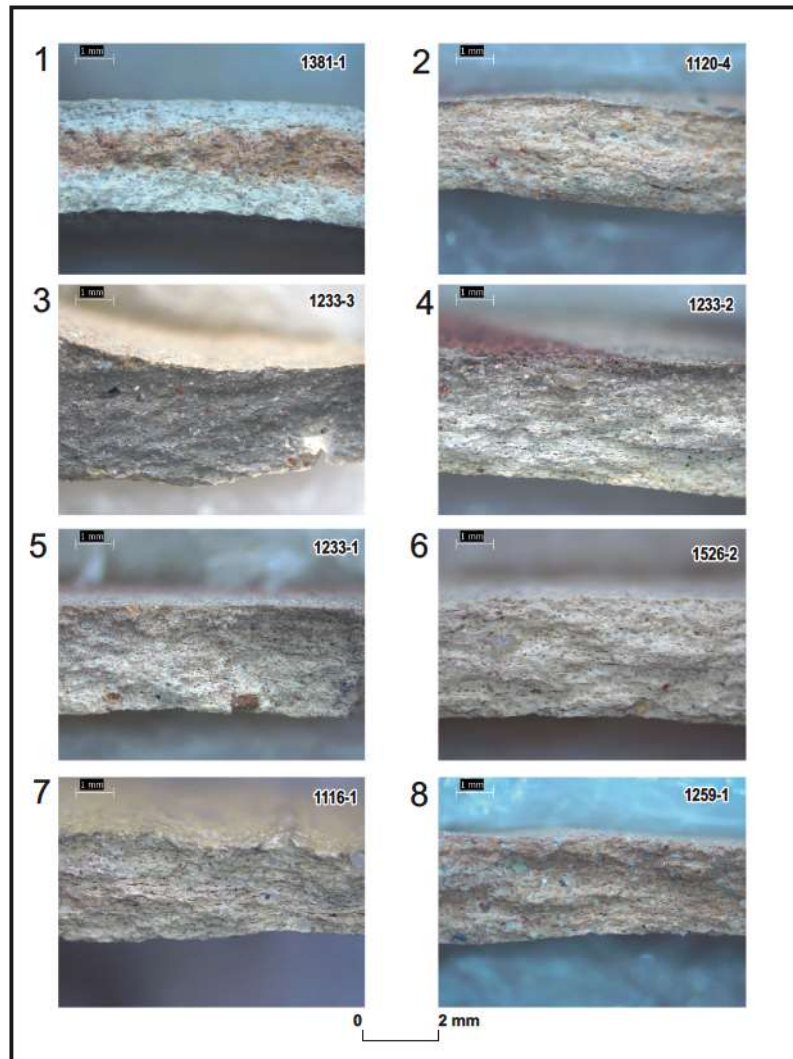


3.6.1.1 La céramique au bas Moyen Âge : seconde moitié XIV^e – première moitié XV^e siècle

3.6.1.1.1 Les productions et les formes

Les productions céramiques identifiées pour le bas Moyen Âge correspondent à celles connues dans la région : il s'agit majoritairement de productions locales ou régionales. Ce sont des pâtes sableuses de teinte claire aux nombreuses inclusions siliceuses régulièrement réparties dans la matrice argileuse (Fig. III-06-03). Les inclusions siliceuses sont de petites tailles et plutôt bien calibrées ; elles sont, sauf exception, inférieures ou égales à 125µm. Elles sont le plus souvent en assez grande quantité et laissent alors peu de place à la matrice argileuse. La structure de la pâte présente un feuilletage plus ou moins marqué.

Fig. III-06-03 Les pâtes céramiques des XIV^e et XV^e siècles © Inrap : C. Claude



Les teintes des pâtes varient extérieurement du beige au beige orangé mais aussi beige jaunâtre à chamois. De rares sont à cœur gris et sont plus fines, la matrice argileuse étant alors un peu plus présente (Fig. III-06-03 : 3).

Hormis ces productions locales, quelques grès en provenance de la région de Beauvais ont été reconnus. Ils représentent 4% des tessons du bas Moyen Âge, toutes Us confondus.

15 récipients du bas Moyen Âge ont été comptabilisés à partir de leur bord dont 12 en pâte sableuse et 3 en grès du Beauvaisis.

Ceux en pâte sableuse appartiennent principalement au répertoire domestique de la cuisson ou la préparation. Quelques vases destinés au service des liquides (pichet) ont été identifiés à partir de fragments de panses.

Le récipient le plus représenté est le coquemar (10 NMI bords). Les plus anciens (3 NMI bords) remontent au XIV^e siècle, ils sont à panse globulaire, base resserrée et bord droit. L'exemplaire le mieux conservé présente un bord droit convexe avec une lèvre légèrement débordante (Fig. III-06-04 : 1). Ce type de coquemar apparaît au XIV^e siècle en Île-de-France et est daté du milieu du XIV^e siècle dans les assemblages parisiens (Debouige 2021, 108, 110) ou dans ceux des ateliers de Fosses (Guadagnin 2007, 359).

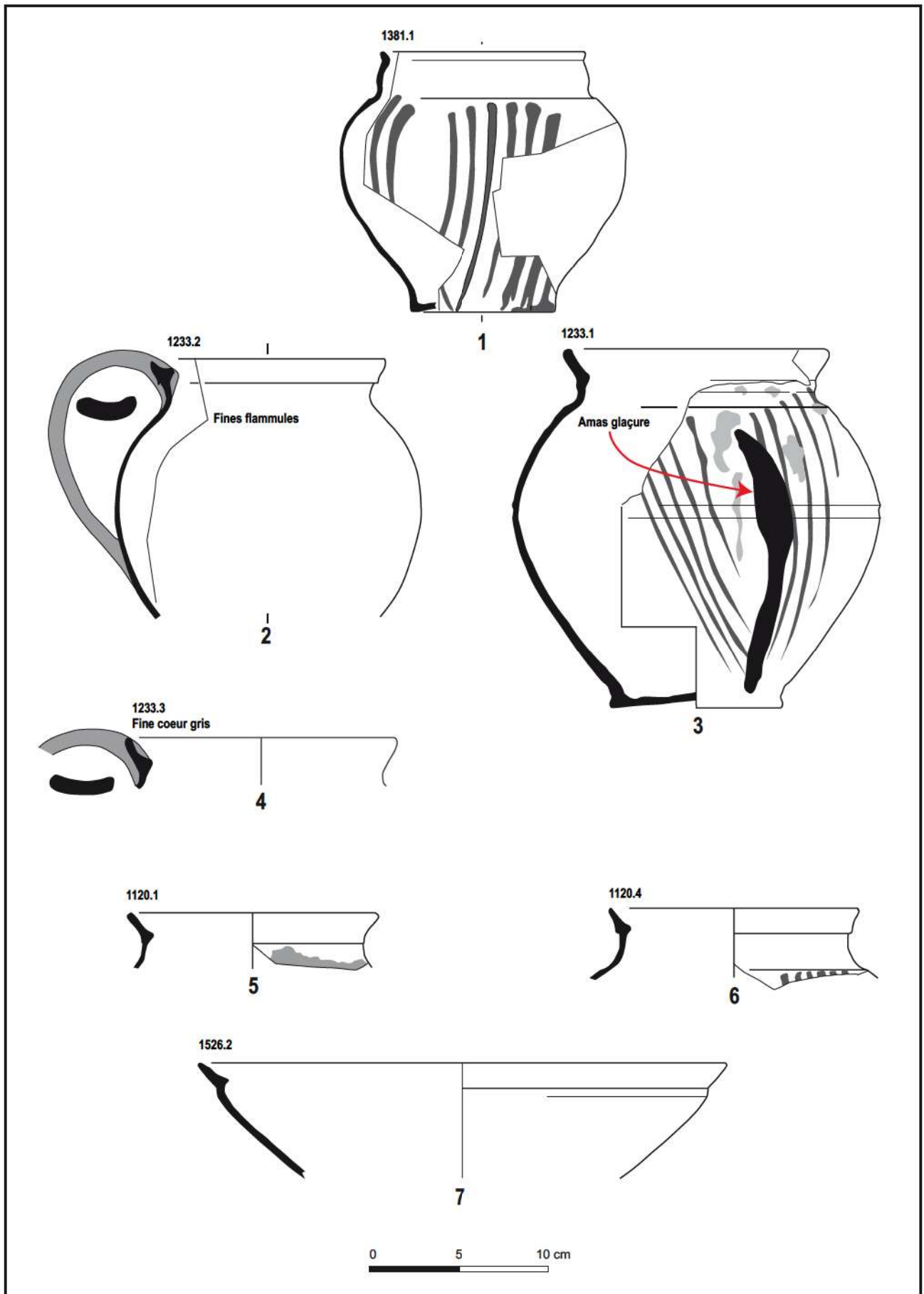


Fig. III-06-04 Les récipients en pâte sableuse du XIV^e et du début du XV^e siècle © Inrap : C. Claude

Les autres coquemars (7 NMIbords) présentent un bord de section triangulaire (Fig. III-06-04 : 2), formant parfois un fin bandeau (Fig. III-06-04 : 5-6) ou un bord éversé fin et court avec une légère gorge interne (Fig. III-06-04 : 3-4). Les anses sont plates et incurvées et fixées sur la lèvre. Ils sont peints de fines flammules ou portent des aplats localisés de glaçure verte.

Ces différents coquemars sont attestés à partir de la fin du XIV^e siècle jusqu'au milieu du XV^e dans les assemblages parisiens (Ravoire, Monnet 1992, 50 ; Claude 2014, 407). A partir du milieu du XV^e, les coquemars présenteront plus systématiquement une lèvre éversée à gorge comme nous le verrons par la suite.

Deux poêlons ont été reconnus, ils sont à lèvre triangulaire très fine, l'un est brut (Fig. III-06-04 : 7) et trouve un équivalent dans le dépotoir du fossé du château du Louvre daté du XV^e siècle (Brut 1991, 50, pl. IX, 3). Dans les ateliers de potiers de Fosses, ils sont datés entre la seconde moitié du XIV^e siècle et le début du XV^e siècle (Guadagnin 2007, 370, 407).

Les autres récipients du bas Moyen Âge appartiennent au registre du service des liquides. Les quelques pichets reconnus (par des fragments de leur panse) sont en pâte sableuse claire avec une glaçure jaune (dont une à décor de panse molette horizontale sous glaçure en 1172, et des panses à décor de fines bandes sous glaçure jaune en 1381B, 1526 et 1527).

Trois vases à boire en grès du Beauvaisis ont été identifiés : 2 godets (Fig. III-06-05 : 2-3) et une tasse (Fig. III-06-05 : 1).

Le godet est un petit vase à boire sur pied haut sans anse. Il est diffusé en Île-de-France à partir du milieu du XIV^e siècle comme dans le dépotoir de la Rue Soufflot à Paris (Nicourt 1986, 77) ou au manoir des Essarts, milieu alors plutôt privilégié (Ravoire 1998, 124).

La tasse présente une panse à ressaut et une anse plate à replis. Ce type de récipient est également attesté à Paris dès le milieu du XIV^e siècle (Ravoire 1998, 174) et aussi au cours du XV^e siècle (Brut 1991, pl. XXXII).

3.6.1.1.2 Les contextes les plus caractéristiques

L'Us 1381-B correspond à un niveau de sédimentation au fond du bassin profond quadrangulaire 1381 et comporte 19 tessons datés du milieu à seconde moitié du XIV^e siècle. Il se compose de récipients en pâte sableuse exclusivement, dont un coquemar à bord droit convexe (Fig. III-06-04 : 1, Fig. III-06-06) en pâte beige jaunâtre à cœur marron (surcuisson). La panse est décorée de flammules formées de 6 traits à l'aide d'un pinceau à plusieurs brins de 5,8 cm de large environ. L'anse est manquante. Il est associé à des fragments de pichets à décor de fines bandes rapportées sous glaçure jaune. Ces quelques tessons représentent l'assemblage céramique le plus ancien du corpus confié pour étude.

Dans la cave 1380, les remblais 1526 comportaient du mobilier d'époque moderne, mais aussi du mobilier du XV^e siècle suffisamment bien conservé pour être décrit. Parmi les 24 tessons de cette Us, 7 relèvent ainsi du bas Moyen Âge. Il s'agit d'éléments en pâte sableuse claire correspondant à un coquemar à bord éversé court avec une glaçure partielle vert olive, deux poêlons dont 1 brut (Fig. III-06-04 : 7) et 1 à glaçure jaune interne et une panse de pichet. En bon état de conservation, ces tessons témoignent d'une occupation sous-jacente du bas Moyen Âge.

La fosses 1233 et le ramassage 1140

79 tessons ont été recueillis au sein de l'Us 1233, exclusivement en pâte sableuse claire, beige orangé à orangé parmi lesquels 3 coquemars caractéristiques de la fin du Moyen Âge (Fig. III-06-04 : 2-4) avec un bord éversé fin formant bandeau.

L'un est bien conservé (1233.1) : il est presque archéologiquement complet, seule l'anse est manquante. Il est en pâte sableuse beige chamois. Il est à panse globulaire marquée en son milieu de deux fines cannelures. Le bord est sur un col marqué et est éversé. Le fond est plat avec une base resserrée. Il est de taille moyenne. Haut de 20 cm, son diamètre d'ouverture est de 18 cm environ tandis que sa contenance maximale est de 4 litres. La panse est ornée de flammules formées de 5 traits. Quelques taches de glaçure jaune verte sont observables extérieurement de même qu'une coulure très épaisse, résultat d'une coulure accidentelle en cours de cuisson. Malgré ce défaut, ce coquemar a été utilisé comme en attestent les traces de feu à l'opposé de l'anse et les dépôts internes sur la moitié inférieure (Fig. III-06-07). Le second coquemar (1233.2 - Fig. III-06-04 : 2) est plus fragmentaire. Il est en pâte sableuse beige orangé, à surface interne beige. Son bord est de section triangulaire avec une gorge sur le parement interne. Il est muni d'une anse ovale à gorge et porte des traces de feu. Un décor de flammules ornait la panse, seul le groupe sous l'anse est encore visible et est formé d'au moins 6 traits.

Le dernier coquemar (1233.3 - Fig. III-06-04 : 4) est en pâte fine grisée. La structure de la pâte est dense et semble avoir subi une forte cuisson (Fig. III-06-03). Il pourrait s'agir d'une production exogène. Si visuellement, cette pâte n'est pas sans évoquer celles des ateliers de la vallée de l'Ysieux dans le nord du Val-d'Oise, il est difficile, au vu de la distance, d'envisager que ce récipient en provienne.

L'Us 1140 (1232 + 1233 RI 1228 + 1229) comporte 28 tessons dont 1 lot de panses de coquemar en pâte sableuse caractéristiques de la fin du Moyen Âge et des éléments en grès. Du Beauvaisis, nous avons un godet (Fig. III-06-05 : 2) et une panse de gourde crapaud et une panse en grès provenant de basse Normandie ayant appartenu à un pot de stockage.

La fosse / excavation 1120 contenait 96 tessons dont 47 résiduels des époques gallo-romaine et alto-médiévale. Le reste est constitué de pâtes sableuses locales et de grès du Beauvaisis. Nous retrouvons les mêmes récipients que ceux déjà décrits : coquemar à bord éversé court et fin (1120.1 et 1120.4 : Fig. III-06-04 : 5-6) dont un présente une glaçure verte altérée de colmatage probable et des petits vases à boire en grès du Beauvaisis : un fond de godet (1120.2 - Fig. III-06-05 : 3) et une tasse (1120.3 - Fig. III-06-05 : 1).

La présence de ces petits vases à boire en grès du Beauvaisis dans plusieurs contextes pourraient signaler la proximité d'un habitat de statut privilégié.

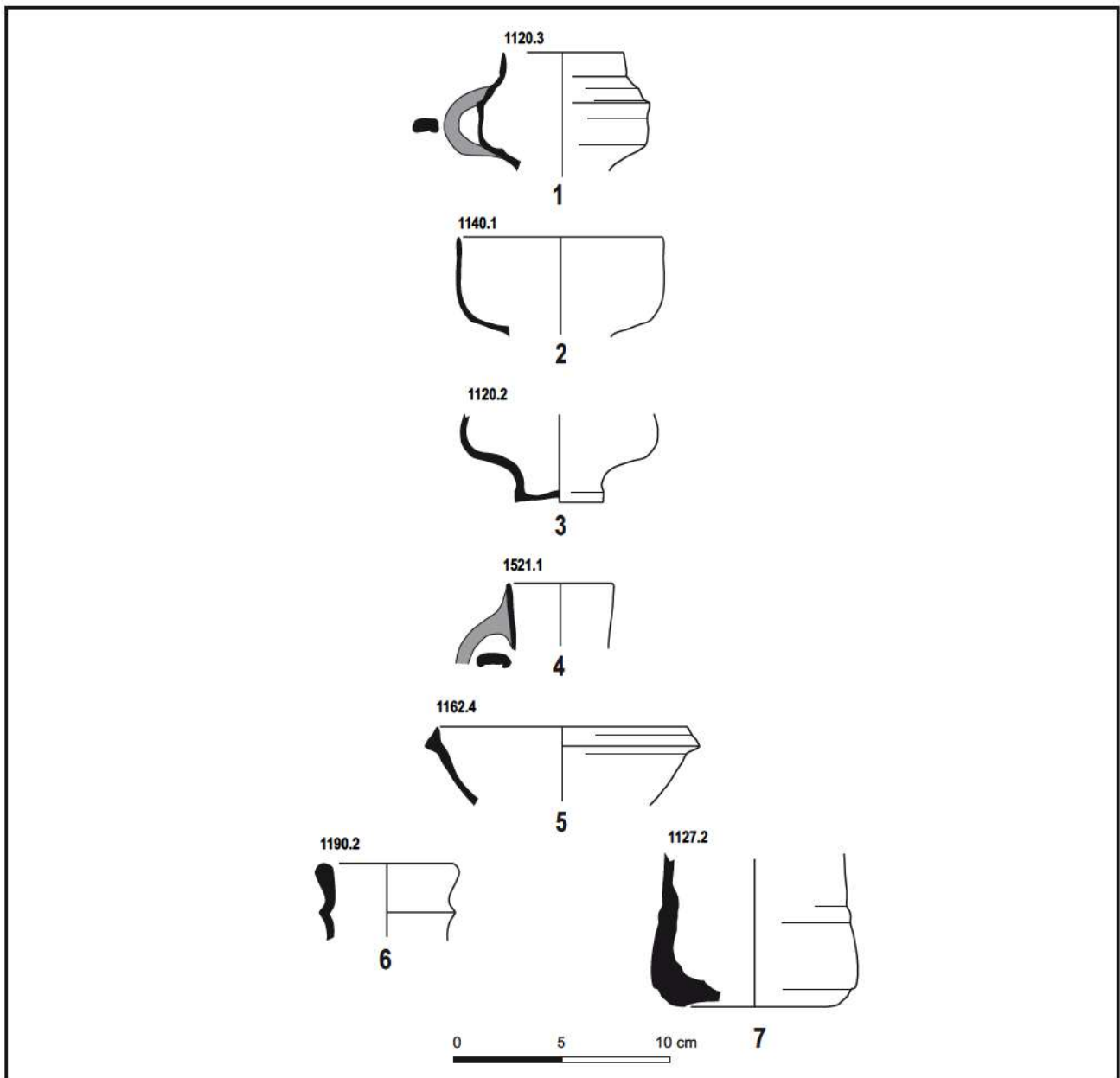


Fig. III-06-05 Les récipients en grès du Beauvaisis © Inrap : C. Claude



Fig. III-06-06 Le coquemar 1381.1 © Inrap : C. Claude

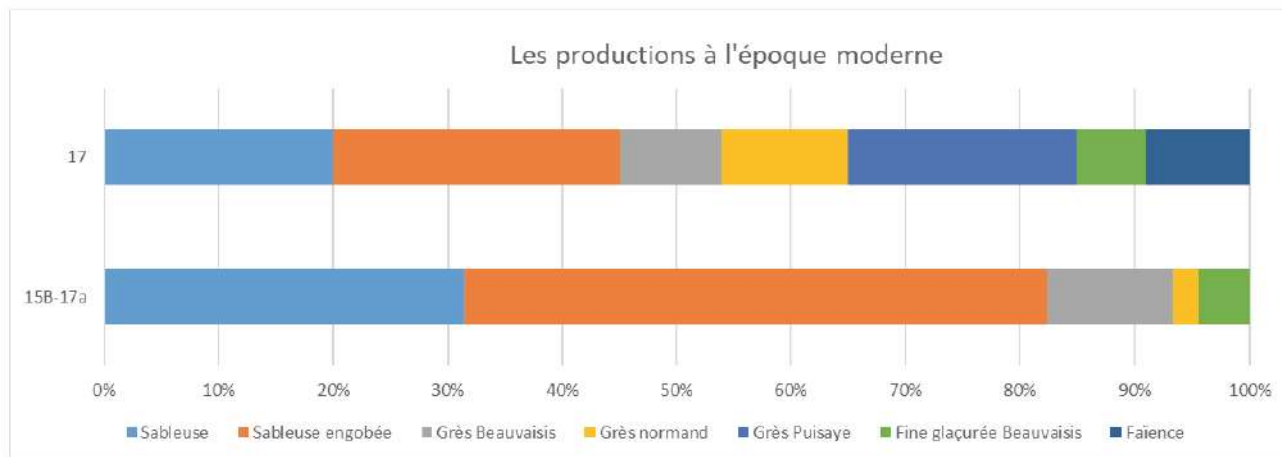


Fig. III-06-07 Le coquemar 1233.1 © Inrap : C. Claude

3.6.1.2 La céramique entre la seconde moitié du XV^e et le XVII^e siècle

Fig. III-06-08 Les productions céramiques à la période moderne © Inrap : C. Claude

Le corpus pour cette période est le plus conséquent en nombre de restes : 347 tessons sont ainsi datés entre le milieu du XV^e et le XVII^e siècle, dont 316 relèvent des XVI^e et XVII^e siècles (Fig. III-06-02).



3.6.1.2.1 Les productions (Fig. III-06-08)

Les pâtes céramiques entre la seconde moitié du XV^e et le tout début du XVI^e siècle restent dans la tradition de celles examinées précédemment. Elles sont pour la plupart de teintes claires et sableuses (Fig. III-06-04 : 7, 8 ; Fig. III-06-09 : 1). Quelques-unes sont orangées. Si les parois conservent au XV^e siècle encore une minceur héritée de la période médiévale, elles vont aller en s'épaississant par la suite.

Quelques tessons complètement engobés font leur apparition vers la fin du XV^e siècle. Ces productions engobées s'installent ensuite durablement à partir du milieu du XVI^e siècle, puisqu'elles représentent entre les XVI^e et XVII^e siècles 67%³ des productions franciliennes (ou 88% au XVI^e siècle). L'engobe adopte des teintes allant du rouge foncé à l'orangé.

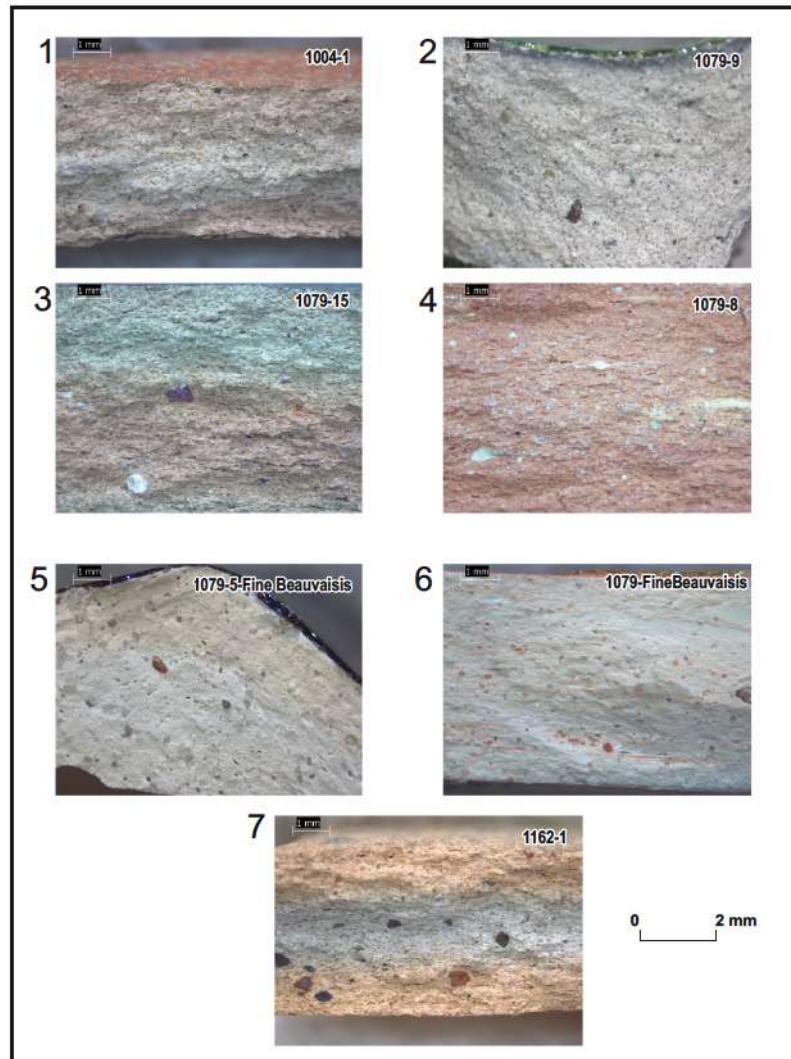
Les pâtes sableuses, qu'elles soient engobées ou non, sont alors de teinte beige, beige orangé (Fig. III-06-09 : 2, 3). Les inclusions siliceuses sont nombreuses et fines et régulièrement réparties dans la matrice argileuse. Quelques inclusions autres, blanches, rouges ou noires, signalent alors des approvisionnements spécifiques (Fig. III-06-09 : 7).

Au XVI^e siècle, on observe quelques tessons en pâte sableuse orangé à rouge (25Nr ou 15,5% des productions sableuses) qui ont quasiment disparu au XVII^e siècle (Fig. III-06-09 : 4). Rappelons que des restes d'un four de potier ont été trouvés en 1994 à Melun dans une fosse de rejet localisée dans l'ancien bourg Saint-Aspais (Galbois 1995). Datée de la Renaissance, la production est de teinte rouge-orangé (Ravoire *et al.* 2004, 57).

Les grès en provenance du Beauvaisis sont présents tout au long de la période. Leurs parois vont en s'épaississant également au cours des siècles. Ils représentent 9% des productions entre les XVI^e et XVII^e siècles. Ils correspondent principalement à des récipients destinés au service des liquides.

3. Les pourcentages des productions sont exprimés à partir des NR

Fig. III-06-09 Les pâtes céramiques d'époque moderne © Inrap : C. Claude



A partir de la seconde moitié du XVI^e siècle et surtout au XVII^e siècle, sont aussi importées du Beauvaisis des productions fines recouvertes d'une glaçure correspondant à des formes ouvertes destinées à la table (Fig. III-06-09: 5, 6). La plupart sont recouvertes d'une glaçure verte et quelques éléments présentent un décor réalisé à la corne.

À partir du milieu du XVII^e siècle, apparaissent les grès de la Puisaye et des faïences en provenance de Nevers.

Si les productions locales sont largement majoritaires entre les XV^e et début XVII^e siècle (82%) face aux grès du Beauvaisis ou de Normandie et productions fines glaçurées du Beauvaisis, elles perdent de l'importance par la suite puisqu'elles ne représentent plus que 38% au cœur du XVII^e siècle (Fig. III-06-08).

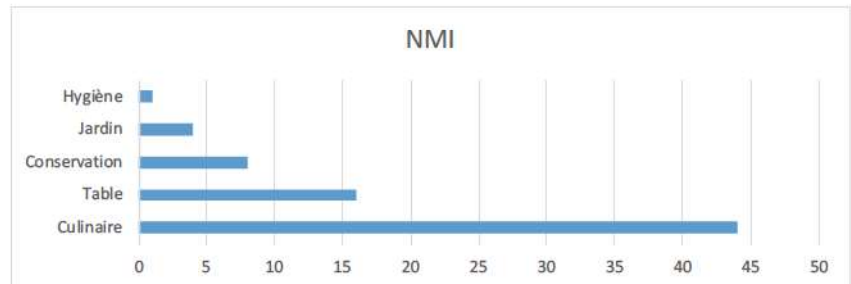
On observe ainsi un basculement de l'approvisionnement car les grès ont pris de l'importance, notamment les grès normands et de la Puisaye avec respectivement 9 et 17%. La faïence représente 7% alors 7% des productions.

3.6.1.2.2 Les ustensiles en céramiques

Les différentes catégories fonctionnelles sont représentées : vaisselle culinaire, vaisselle de table, vaisselle de stockage, et récipients pour des activités de jardinage ou pour l'hygiène (Fig. III-06-10).

Toutes Us ou structures confondues, 73 individus ont été identifiés à partir de leur bord ou 112 individus en pondérant avec les fonds et les panses. Le corpus est dominé par les récipients destinés à la cuisson et la préparation avec 44 individus (soit 60%). La table est représentée par près de 22% des récipients.

Fig. III-06-10 Les différentes catégories fonctionnelles de la fin du XV^e et du XVII^e siècles
© Inrap : C. Claude



La vaisselle culinaire

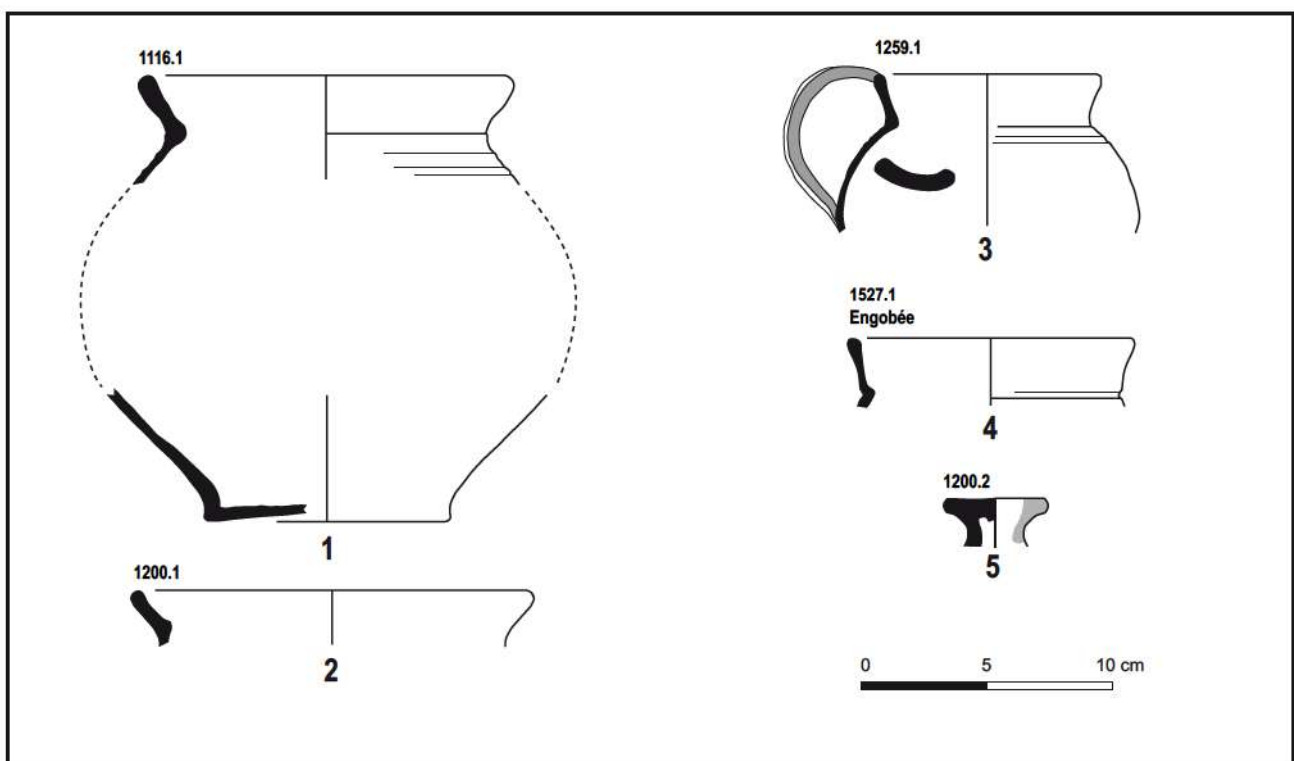
Elle est réalisée exclusivement en pâte sableuse locale.

Le coquemar est l'ustensile le plus fréquemment rencontré au sein des vestiges.

À partir du milieu du XV^e siècle, il présente un bord éversé et haut (Fig. III-06-11 : 1-3) qui se verticalise au XVI^e siècle (Fig. III-06-11 : 4). Il est alors en pâte sableuse claire, rarement engobé.

Au cours du XVI^e siècle apparaît le coquemar (ou marmite) à bord haut formant un bandeau (Fig. III-06-12 : 3-8) qui prédomine à partir du milieu du siècle. Il est quasi-exclusivement réalisé en pâte sableuse engobée. Ce type de coquemar à bord en bandeau est attesté notamment en Île-de-France à partir du XVI^e siècle comme à Monthéry (Renel en cours), Varennes-sur-Seine (Ravoire 2006, 118) ou Paris (Trombetta 1997). Mentionnons au sein du contexte 1032 un très gros module de coquemar à bandeau, plus de 20 cm de diamètre.

Fig. III-06-11 Le mobilier céramique en pâte sableuse claire (sauf mention) des XV^e et XVI^e siècles : coquemar (N°1-4) et couvercle (N°5) © Inrap : C. Claude



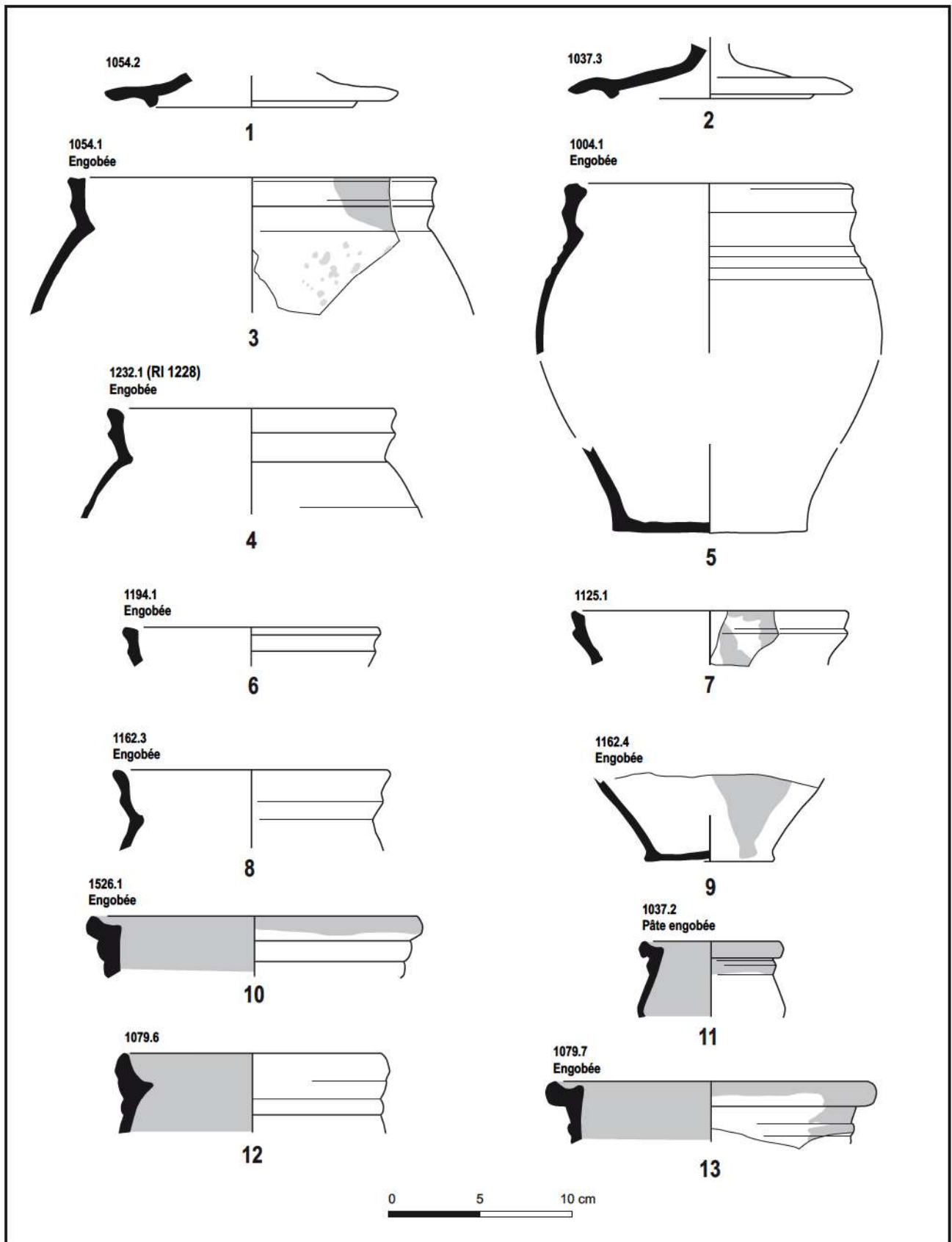


Fig. III-06-12 Le mobilier céramique en pâte sableuse des XVI^e et XVII^e siècles : coquemars (N°3-8), pots tripodes (N°10-13) et couvercles (N°1-2) © Inrap : C. Claude

Apparu à la fin du XVI^e siècle, le pot à cuire avec un bord épaissi saillant, à fortes moulurations et recouvert d'une glaçure verte intérieurement et partiellement extérieurement (Fig. III-06-12 : 10-13) devient exclusif au XVII^e siècle. Il est généralement muni d'une anse en ruban (en 1004). Il est connu pour être tripode mais aucun pote n'a été identifié ici. Il constitue l'élément de base au sein du « potager » francilien du XVII^e siècle ; des récipients comparables se retrouvent notamment sur un grand nombre de sites parisiens (Renel 2017, 192-193). On peut observer sur les quelques exemplaires reconnus ici un module miniature (Fig. III-06-12 : 11).

Quelques couvercles s'adaptant à ces coquemars ont été mis au jour (Fig. III-06-11 : 5 ; Fig. III-06-12 : 1-2).

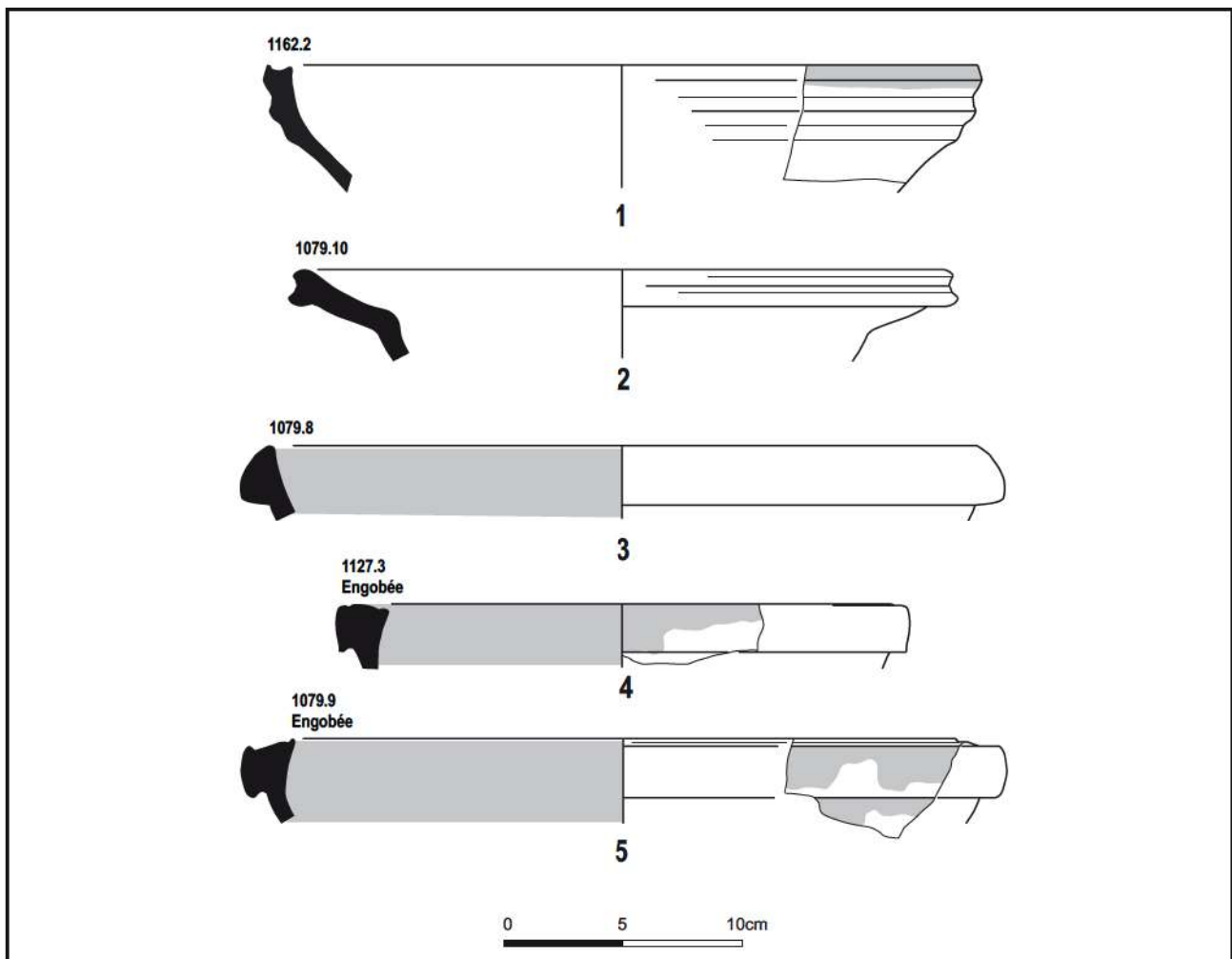
Ils sont réalisés en pâte sableuse claire, rouge ou orangé et ne sont pas engobés et pour certains recouverts d'une glaçure verte.

Les formes ouvertes dédiées à la préparation se répartissent en deux principaux types, la tèle et le bassin ou jatte.

La tèle est dépourvue de glaçure interne, une est à mouluration au niveau du bord formant bandeau (Fig. III-06-13 : 1) et trouve des équivalents à Chelles (Coxall *et al.* 1994, 195) et à Paris (Trombetta 1987) dans des assemblages datés de la fin du XVI^e siècle. Un autre type de tèle a été reconnu au sein de la structure 1079 (Fig. III-06-13 : 2). Elle est avec une lèvre large formant un marli. Ce récipient est généralement associé à la transformation du lait en crème.

Les bassins ou jattes sont recouverts intérieurement d'une glaçure verte et leur bord est massif et saillant (Fig. III-06-13 : 3-5). Plusieurs présentent des perforations au niveau de leur bord pour être suspendus. Des exemplaires similaires trouvés à Paris sont datés entre la seconde moitié du XVI^e et le XVII^e siècle (Ravoire 1998a, 181 ; Renel 2017a, 41).

Fig. III-06-13 Le mobilier céramique en pâte sableuse des XVI^e et XVII^e siècles, les formes ouvertes pour la préparation : tèle (N°1-2), bassin ou jatte (N°3-5) © Inrap : C. Claude



La table

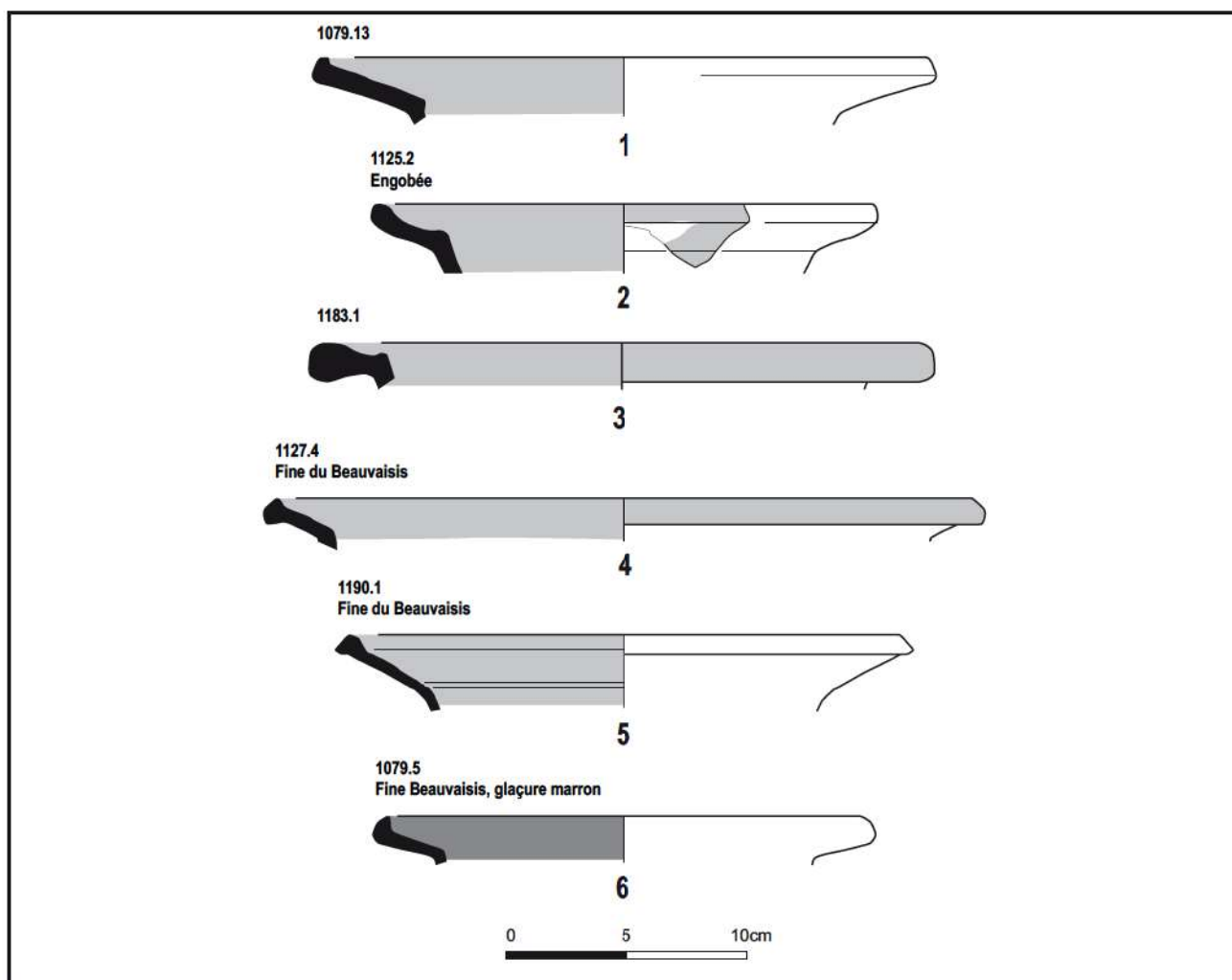
Les récipients destinés à la table répondent à plusieurs usages : la consommation des liquides, la consommation ou la présentation de denrées solides et le réchauffage des denrées à table.

Si la consommation des liquides est très peu attestée au sein des différents assemblages, il est envisageable que d'autres matériaux ait été utilisés pour cela (verre, métal). Les quelques fragments (3 NMIbords) assurant tout de même cette fonction sont en grès du Beauvaisis. Un bord muni d'une anse (Fig. III-06-05 : 4) est susceptible de correspondre à un godet tronconique à anse tel qu'il est attesté au XV^e siècle dans le fossé du donjon du Louvre à Paris (Brut 1991, 89). Une coupelle (Fig. III-06-05 : 5) est à bord triangulaire fin, datée dans les assemblages parisiens entre la fin du XVI^e (Ravoire 1991, 269) et le XVII^e siècle (Renel 2017b, 200).

Parmi les formes ouvertes relevant du service de table et de la présentation, quelques-unes sont réalisées en pâte sableuse francilienne et les autres en pâte fine glaçurée provenant vraisemblablement du Beauvaisis. Elles sont toutes glaçurées intérieurement ainsi que sur le parement externe de la lèvre. Hormis une coupelle présentant un bord en bandeau réalisée en pâte sableuse beige orangé (en 1183), le reste des récipients dédiés au service de la table sont des assiettes ou des plats.

Qu'elles soient en pâte sableuse ou en pâte fine, les assiettes présentent pour la plupart un bord en aile (Fig. III-06-14 : 1-2, 4-6). Une seule, en pâte sableuse, est avec une lèvre débordante à extrémité arrondie (Fig. III-06-14 : 3), des exemplaires identiques trouvés à Montlhéry (Renel en cours) ou Fontainebleau (Ravoire 2013, 105, 107) sont datés de la seconde moitié du XVII^e siècle.

Fig. III-06-14 Le mobilier céramique en pâte sableuse de la fin du XVI^e et du XVII^e siècle, formes ouvertes pour le service : assiette ou écuelle en pâte sableuse (N°1-3) ou en pâte fine du Beauvaisis à glaçure verte sauf mention (N°4-6) © Inrap : C. Claude



Les assiettes ou plats à aile sont pour la plupart à glaçure verte interne. Une est en pâte sableuse engobée (Fig. III-06-14 : 2), à l'instar d'un plat trouvé dans le fossé de l'enceinte urbaine au Carrousel du Louvre et daté entre la seconde moitié du XVI^e – début du XVII^e siècle (Ravoire 1998a, 181). Les assiettes à aile et glaçure verte interne en pâte fine du Beauvaisis (Fig. III-06-14 : 4-5) se rapprochent d'exemplaires trouvés à Paris et datés entre le troisième quart du XVI^e siècle (Ravoire 1990) et le milieu du XVII^e siècle (Renel 2017b) de même que celle en pâte sableuse (Fig. III-06-14 : 1) et celle en pâte fine à glaçure interne marron (Fig. III-06-14 : 6). Une assiette à glaçure verte porte un décor de rouelle estampé sur l'aile (en 1127) caractéristique des décors mis en œuvre dans le Beauvaisis.

Quelques fragments d'assiettes réalisées en pâte fine du Beauvaisis portent un décor réalisé « à la corne » (4NR) : une est à décor peint en blanc sur fond rouge et une autre est à décor peint en rouge sur fond clair (Fig. III-06-15). Cette technique de décor est en vogue dans les productions du Beauvaisis à partir du XVII^e siècle (Ravoire 1990, 101) et au cours du XVIII^e siècle, à l'instar des exemples de la cour Saint-Louis dans le faubourg Saint-Antoine à Paris (Renel 2015, fig. 168, n° 1-2).

Fig. III-06-15 Tessons à décor « à la corne » de la fosse 1079 © Inrap : C. Claude



Plusieurs réchauds (7 NR) ont été reconnus : 2 bords, 2 fragments de socle et des panses. Deux d'entre eux sont en pâte fine glaçurée du Beauvaisis. Le premier réchaud est un bord de vasque de réchaud avec un tenon à décor zoomorphe moulé sur la lèvre (Fig. III-06-16 : 1). La vasque présente une lèvre de section rectangulaire et est recouvert extérieurement d'une glaçure verte et intérieurement d'une glaçure jaune. Il s'agit ici d'un récipient d'apparat. Des exemplaires de réchaud à tenon à décor zoomorphe datés entre la seconde moitié du XVI^e siècle et le début du XVII^e siècle ont été mis au jour au Carrousel du Louvre (Ravoire 1998a, 183) ou à Chelles (Coxall *et al.* 1994, 184, 201). Cette production luxueuse, peu représentée, atteste d'un environnement privilégié.

Le second fragment correspond à un élément de panse de vasque à glaçure verte externe et marron interne avec un possible moulage extérieur mal perçu car mal conservé (en 1022).

Fig. III-06-16 Le mobilier céramique en pâte sableuse des XVI^e et XVII^e siècles, réchauds de table et indéterminés © Inrap : C. Claude

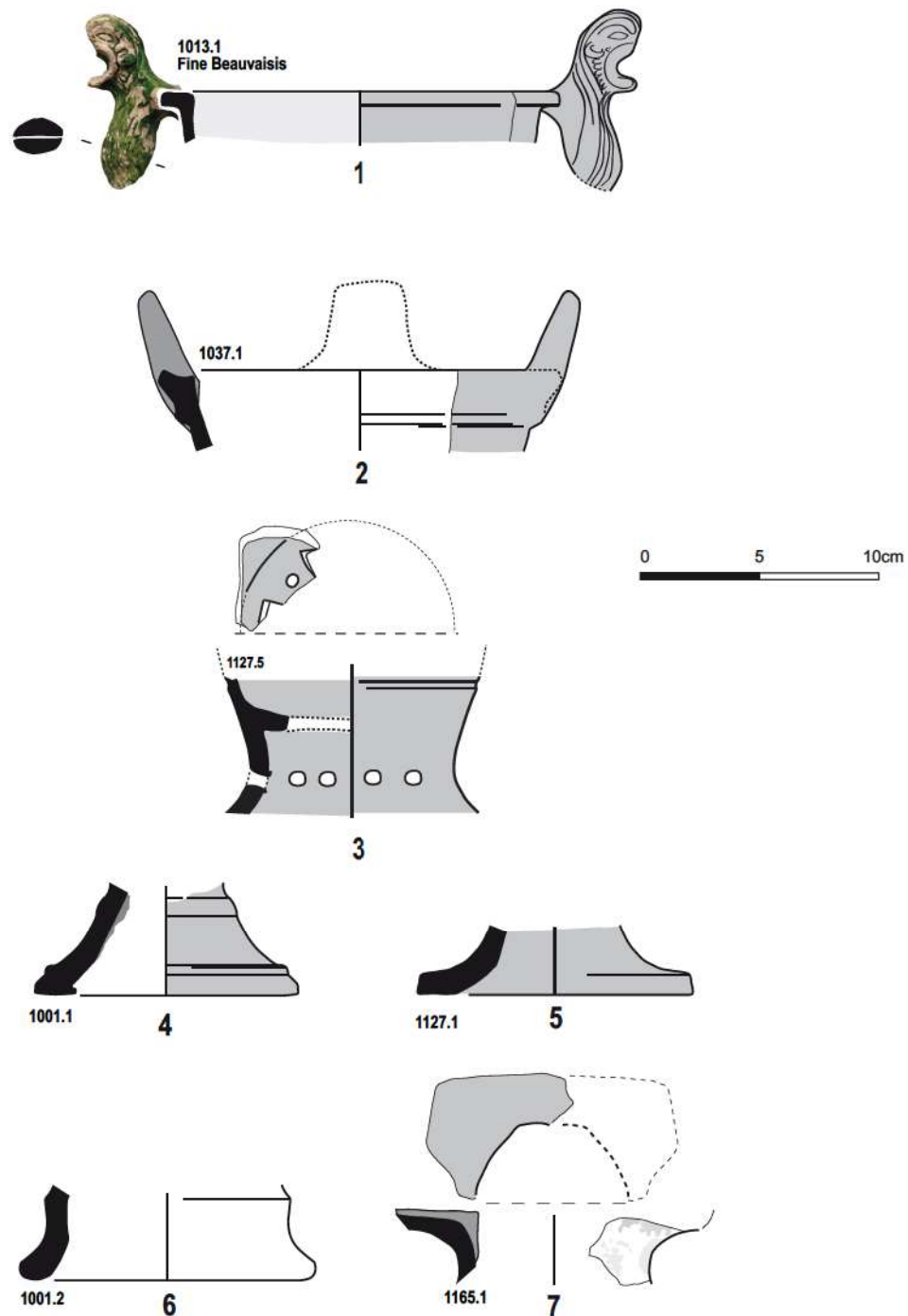




Fig. III-06-17 Socle de réchaud de l'Us 1127 avec infiltration de glaçure dans une fissure
© Inrap : C. Claude

Les autres réchauds sont en pâte sableuse francilienne. L'un est un bord de vasque avec une lèvre à large bandeau et tenon vertical (Fig. III-06-16 : 2). Il se rapproche d'exemplaires parisiens ou chellois datés de la fin du XVI^e siècle (Ravoire 1997, Coxall 1994).

Les deux socles sont recouverts d'une glaçure verte, l'un présentant une fissure avec de la glaçure infiltrée (Fig. III-06-17), l'autre un épais amas interne de glaçure, attestant de produits de second choix.

Un tesson est susceptible d'avoir appartenu à un réchaud (Fig. III-06-16 : 3, Fig. III-06-18). Il s'agit d'un fond présentant des perforations carrées et circulaire. Des perforations circulaires sont également présentes au niveau de la paroi. Il est très fragmenté et sa restitution est hasardeuse. Il pourrait s'agir d'un élément de vasque de réchaud à fond et parois perforées bien que les éléments de comparaison soient rares. Un exemplaire de réchaud à fond et socle ajourés est attesté au fort St-Sébastien à St-Germain-en-Laye (Ravoire 2015, 122) pour les années 1669-1670 mais est bien différent du nôtre aux évidements plus soignés.

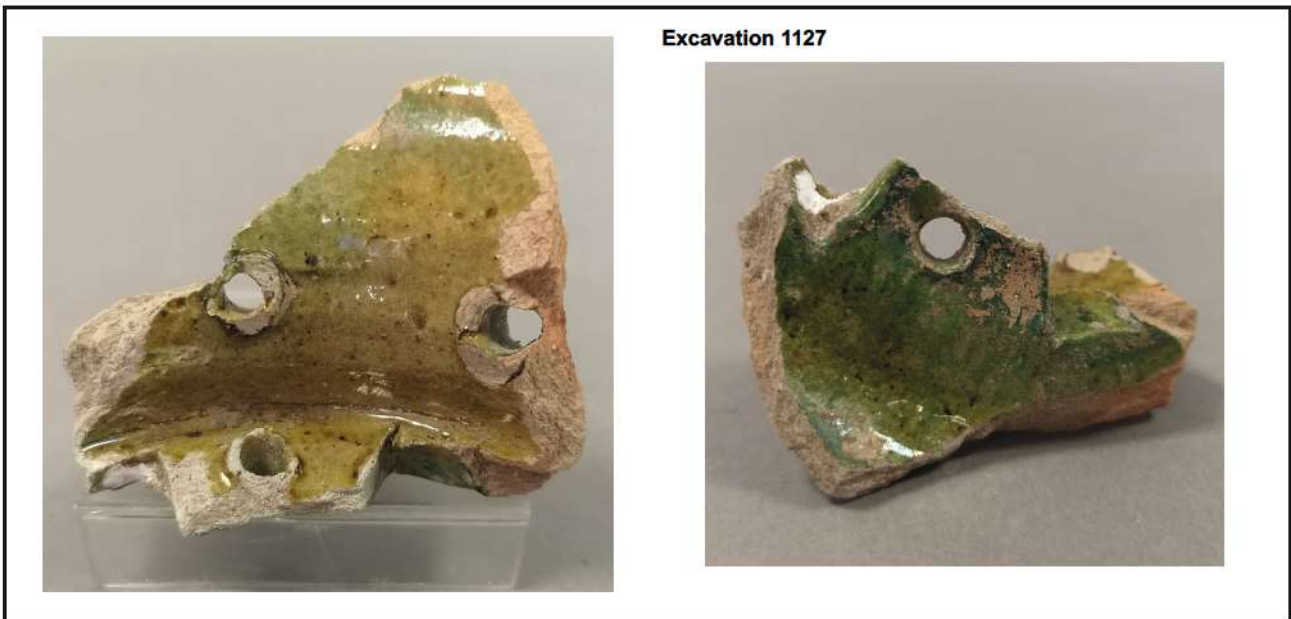


Fig. III-06-18 Fragment de réchaud (?) de l'Us 1127 à glaçure verte © Inrap : C. Claude

Deux autres éléments méritent un examen. Le premier pourrait être un socle de réchaud ou un support de vase (Fig. III-06-16 : 6), il est brut.

Le second est encore une fois difficile à appréhender et donc à décrire. Il est réalisé en pâte sableuse engobée et est constitué de deux éléments distincts (Fig. III-06-16 : 7, Fig. III-06-19). Le premier est une encolure de moins de 10 cm de diamètre paraissant s'évaser pour former une plate-forme sur laquelle a été posée une plaque en argile recouverte de glaçure verte. De la glaçure jaune et verte a été pulvérisée sur la surface extérieure. La fonction de cet objet nous échappe.



Fig. III-06-19 Fragment indéterminé de l'Us 1165 © Inrap : C. Claude

Deux fragments de fonds d'assiette ou de plat sont réalisés en faïence stannifère, très probablement d'origine nivernaise. Le premier est monochrome blanc (1063), le second, très fragmentaire, comporte un décor « *a compendiario* » difficile à restituer (1079 : Fig. III-06-20 : a). Une panse (1243 : Fig. III-06-20 : b), ayant appartenu à une forme fermée, de type pichet, vase ou pot d'apothicaire, présente un décor de grand feu réalisé en camaïeu de bleu rehaussé de manganèse qui est à rapprocher des décors dit « au chinois » des ateliers de Nevers. Si le décor du premier apparaît dans la première moitié du XVII^e siècle, le second, en revanche, en vogue dans le répertoire nivernais au cours de la période 1660-1700 (Rosen 2009, p. 55).



Fig. III-06-20 Fragments de faïences des XVII^e et XVIII^e siècles (a : 1079, b : 1243, c : 1239)

© Inrap : C. Claude

Le stockage

Les pots destinés à la conservation proviennent principalement de niveaux datés du XVII^e siècle et pour la plupart de l'Us 1079. Ils sont réalisés en grès normand, en grès de La Puisaye et en pâte sableuse.

Les pots en grès répondent à plusieurs usages. Les pots en provenance de Normandie, initialement utilisés pour le transport du beurre, ont pu être réutilisés par la suite comme vase de stockage. L'exemplaire le mieux conservé provient de l'Us 1052 (Fig. III-06-21 : 4), il est à lèvre triangulaire fine renforcée par un cordon d'argile sur tout le pourtour. Des bandes de renfort sont aussi présentes sur la panse. Il est à fond large et massif et à paroi tronconique et se rapproche des sinots chellois datés de la fin du XVI^e siècle (Coxall *et al.* 1994, 209). Les pots en grès de la Puisaye, provenant de l'Us 1079, correspondent à des pots à lait ou des saloirs (Fig. III-06-21 : 1-3). Ce type de vase est attesté dès le XVII^e siècle à Melun (Ravoire 2005, 96) ou Varennes-sur-Seine (Ravoire 2006, 119).

Mentionnons une panse en pâte sableuse bicolore d'aspect grésé : de surfaces noires, elle est à cœur noir et rouge (Fig. III-06-21 : 5). Avec son ressaut marquant la liaison du col et de la panse, elle appartient très vraisemblablement à un vase de stockage imitant les pots à beurre bas normand.

Un dernier bord mérite examen (Fig. III-06-21 : 6), il est réalisé dans une pâte sableuse jaunâtre recouverte intérieurement et extérieurement d'un engobe marron. La couleur de l'engobe est peut-être le résultat d'une cuisson mal conduite. La lèvre est saillante, massive et retombante.

Hygiène, soin

Quelques fragments en grès du Beauvaisis ou en faïence se rapportent à l'hygiène ou la toilette. En grès du Beauvaisis, il s'agit de deux fragments d'albarelles (Fig. III-06-05 : 6-7) dont des exemplaires similaires trouvés à Paris (Ravoire 1998b, 244 ; Renel 2017a, 45) ou à Chelles (Coxall *et al.* 1994, 207) sont datés entre la seconde moitié du XVI^e et le milieu du XVII^e siècle. Quelques fragments de pots de chambre en faïence (en 1079) complètent cette catégorie fonctionnelle, très peu représentée sur le site.

Le jardin

Le domaine des activités extérieures, de jardin, est évoqué par des récipients réalisés en pâte sableuse et plus rarement en grès du Beauvaisis.

Deux fonds de nichoir (Fig. III-06-22 : 3-4), dont l'un est réalisé dans une pâte sableuse avec de petits nodules ferreux et argileux (Fig. III-06-09 : 7), ont été ainsi reconnus (en 1052 et 1162) grâce au traitement spécifique du fond, découpé à l'outil, et la perforation à la base permettant l'accrochage au mur. Attestée dans les ateliers de potiers de Fosses aux deux premiers tiers du XVI^e siècle (Guadagnin 2007, 465), cette forme a été aussi retrouvée en plusieurs exemplaires à Paris dans une latrine datée du milieu du XVII^e siècle (Renel 2017a, 42). Les deux fonds mis au jour ont donc été datés entre les XVI^e et XVII^e siècles.

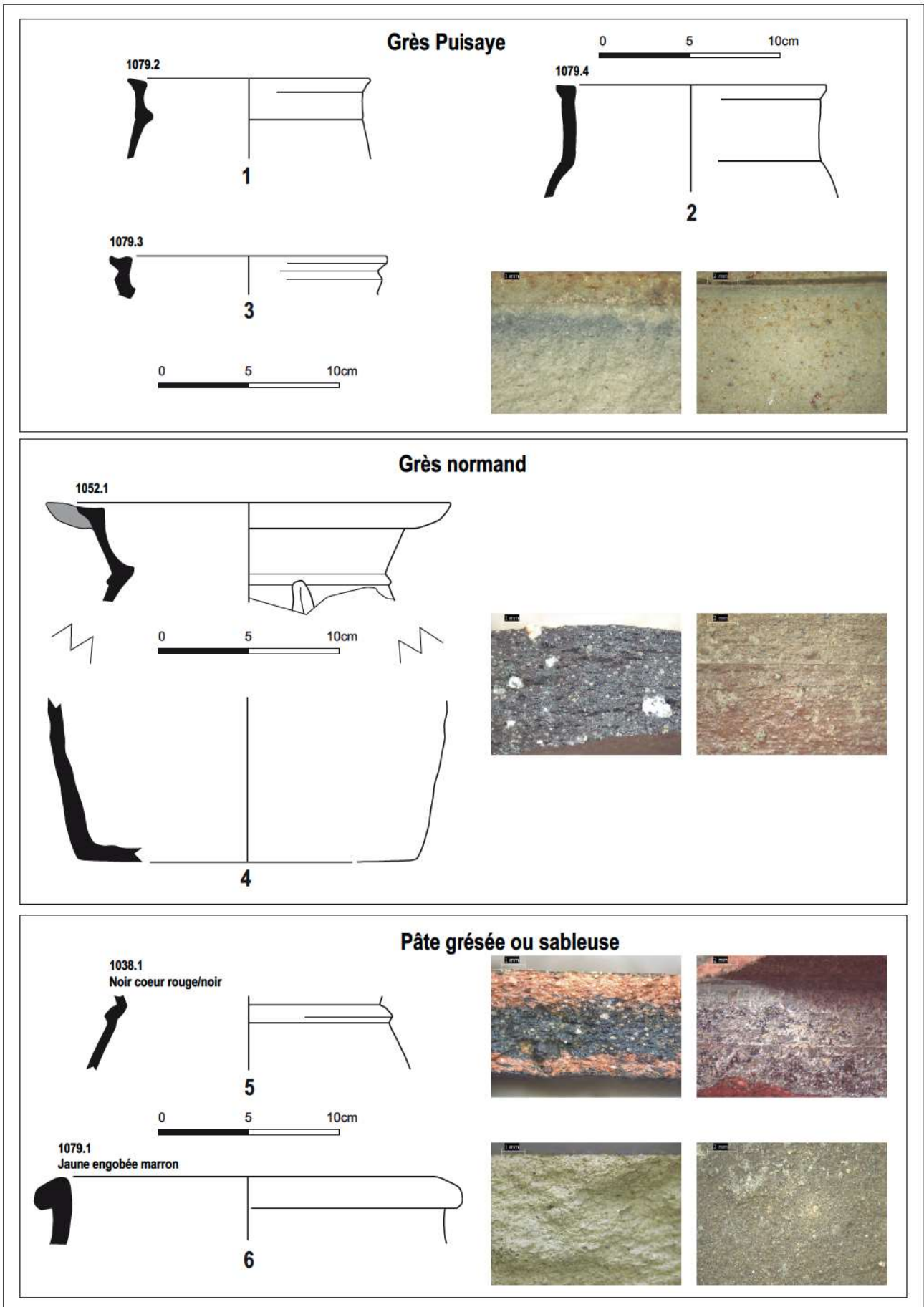


Fig. III-06-21 Le mobilier céramique des XVI^e et XVII^e siècles : pots en grès de la Puisaye (n°1-3) et normand (n°4) et en pâte sableuse (n°5-6) © Inrap : C. Claude

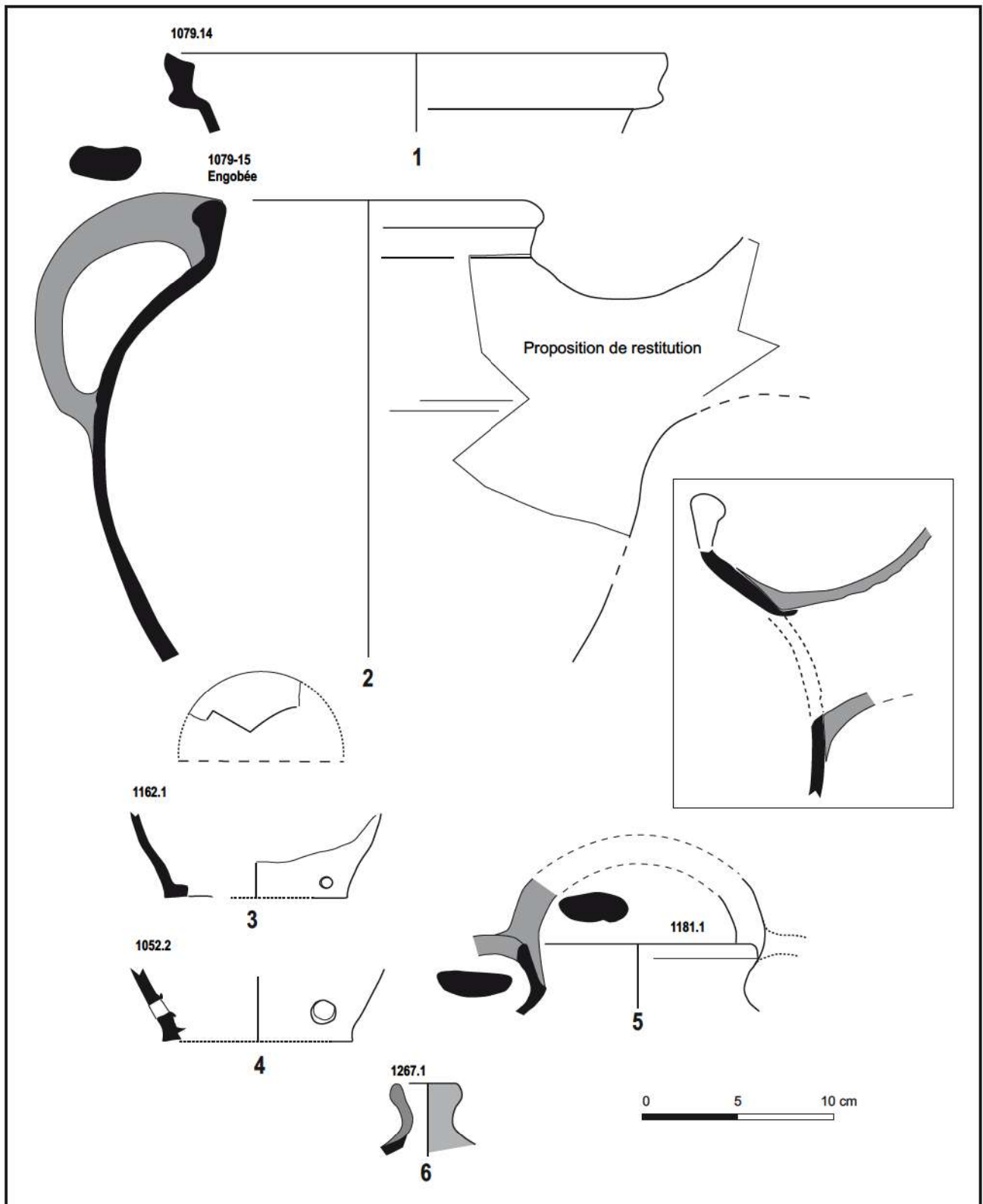


Fig. III-06-22 Le mobilier céramique des XVI^e et XVII^e siècles : récipients destinés aux activités d'extérieur : pot de fleur (N°1), arrosoir (N°2) et nichoir (N°3-4), porte-dîner (N°5) et gourde (N°6) © Inrap : C. Claude

Pour la consommation en extérieur, deux récipients ont été identifiés. Le premier pourrait être interprété comme un porte-dîner (Fig. III-06-11 : 5). Il est réalisé en pâte sableuse et adopte le profil d'un coquemar à bord éversé muni d'une anse dite « en panier ». Contrairement aux autres exemplaires de porte-dîner connu en Île-de-France, celui de Melun est muni en plus d'une à deux anses verticales. Le porte-dîner, destiné au transport et à la consommation de repas à l'extérieur de la maison, est une forme peu répandue dans le répertoire francilien d'époque moderne, bien qu'encore connue jusqu'au XIX^e siècle (Arminjon, Blondel 1984 : 128-129). Un exemplaire, daté de la fin du XV^e siècle et muni d'une anse panier, a été mis au jour dans un dépotoir de Chevreuse (Ravoire 1997). De par la présence d'une anse verticale, ce bord pourrait avoir aussi une autre fonction, celle de cruche ou arrosoir.

Quelques fragments de gourde attestent quant à elle de la consommation des liquides lors d'activités en extérieur. Il s'agit de gourdes dite crapaud (à anse horizontales). La plupart sont en grès du Beauvaisis (fragments de panse et fonds). L'une est en pâte sableuse (goulot en 1267 : Fig. III-06-22 : 6) à couverte de glaçure verte. Qu'il soit en grès du Beauvaisis ou en sableuse, ce type de récipient est généralement daté du XV^e siècle. Des exemplaires de gourde en pâte sableuse à glaçure verte sont attestés à cette période à Paris (Ravoire 1997), Montévrain (Claude *et al.* en cours) ou Chevreuse (Ravoire 1997).

Un pot fleur en pâte sableuse a été reconnu en 1079 (Fig. III-06-22 : 1). Il est à bord saillant mouluré.

Au sein de cette même Us, un arrosoir (Fig. III-06-22 : 2) en pâte sableuse engobée a été identifié. Il se présente comme un gros vase à bord droit muni d'un large bec tubulaire évasé. Ce type de récipient est peu fréquent. Il est néanmoins attesté dès la seconde moitié du XV^e et tout au long du XVI^e siècle à Paris (Ravoire 2014). Des exemplaires sont retrouvés, pour le XVII^e siècle, dans une tessonnière de Fosses (Guadagnin 2007, 649). Celui de Melun pourrait être daté du XVII^e siècle par le mobilier associé et sa ressemblance avec le modèle fossatussien.

3.6.1.2.3 Les contextes les plus caractéristiques

L'excavation 1162 a livré 28 tessons datés de la seconde moitié du XVI^e siècle dont 19 en pâte sableuse, 7 en grès du Beauvaisis -coupelle à bord en bandeau : Fig. III-06-205 : 5, pichet et gourde (panse)- et 2 en grès normand (pot de conserve). En pâte sableuse claire a été réalisé un nichoir (Fig. III-06-22 : 3), en pâte rouge, une tèle à bord en bandeau (Fig. III-06-13 : 1) et en pâte engobée un coquemar à bord éversé et à bord en bandeau (Fig. III-06-12 : 8).

La fosse 1004 rassemble 27 tessons datés entre la seconde moitié du XVI^e siècle et le début du XVII^e siècle. Ils sont tous réalisés en pâte sableuse, majoritairement de teinte claire engobée ou rouge orangé. Ils présentent des imperfections de réalisation attestant de la présence proche d'ateliers de fabrication : glaçure altérée, épaisse, boursofflée. Les formes identifiées sont des coquemars (à bord en bandeau) ou tripode (Fig. III-06-12 : 5) et un couvercle.

L'excavation 1052 comportait 12 tessons datés du XVII^e siècle dont des fragments d'un pot à beurre bas normand (Fig. III-06-21 : 4), 1 base de nichoir (Fig. III-06-22 : 4) et une anse de pichet de type chevrette (ovale) à glaçure verte couvrante fixée sur la panse.

Dans la cave 1380, l'Us 1527 comportait un assemblage de tessons modernes datés du XVI^e siècle. On y retrouve des pâtes sableuses engobées (coquemar éversé et coquemar à bord en bandeau) et des grès du Beauvaisis alors que dans l'Us 1526 (stratigraphiquement plus récente), le coquemar est tripode et associé à un grès normand et une pâte fine glaçurée du Beauvaisis.

La fosse 1079 est représentative de la seconde moitié du XVII^e siècle (81NR). Les tessons proviennent *a priori* de remblais remaniés, les surfaces sont érodées. Plus de 50 % sont des productions locales et le reste des productions importées.

Du Beauvaisis sont importés des assiettes en pâte fine glaçurée soit à glaçure verte (Fig. III-06-14 : 6) ou décorée à la corne (Fig. III-06-15). Un bord de sinot atteste de l'importation de beurre de basse Normandie. De la Puisaye, nous trouvons des pots à lait à anses moulurées ou des saloirs (Fig. III-06-21 : 1, 2, 3). Nous avons également un fond tripode avec un laitier interne. Les productions locales sont dédiées à des usages culinaires (cuisson avec des coquemars tripodes - Fig. III-06-12 : 12, 13 - et préparation avec des jattes, tèles ou bassins - Fig. III-06-13 : 2, 3, 5 -) et aussi pour la table (Fig. III-06-14 : 1). Le récipient le mieux conservé de cet assemblage est un arrosoir en pâte beige orangé engobée (Fig. III-06-22 : 2). Il est fragmentaire : il est en deux fragments sans jonction. L'engobe est de teinte marron et est couvrant extérieurement sur les éléments conservés. L'un des fragments porte un très gros tubulaire évasé non complet fixé en haut de panse. La panse a été découpée pour la pose du tube et rabattue sur tout le pourtour interne du tube. L'autre fragment correspond au quart supérieur du récipient avec l'anse : celle-ci est de section ovale à gorge et fixée sur le rebord. Le bord est droit et avec une lèvre arrondie débordante. L'engobe est couvrant intérieurement partiellement. Une tache de glaçure verte est visible sur le tube.

3.6.1.3 La céramique au XVIII^e siècle

Seuls 3 tessons ont été datés du XVIII^e siècle, et plus précisément de la seconde moitié du XVIII^e siècle. Ils proviennent de la partie supérieure de l'excavation 1239 (RI 1408). Il s'agit de panses en grès de la Puisaye avec un laitier interne et d'un bord d'assiette circulaire à bord contourné en faïence de grand feu à décor peint alternant motifs végétaux et treillis polychromes relevant de la seconde moitié du XVIII^e siècle (Fig. III-06-20 : c).

3.6.1.4 Synthèse sur la céramique domestique

Le mobilier céramique étudié ici atteste donc d'une reprise de l'occupation de la parcelle à partir de la fin du Moyen Âge, aux XIV^e et XV^e siècles et ce au travers notamment du bassin profond 1381 (1381B) et de fosses (1142, 1233). Quelques Us, excavation 1232 / fosse 1233 (1140) et cave 1380 (1526), comportent également du mobilier du bas Moyen Âge.

Les récipients trouvés alors à Melun ne se démarquent pas de ceux connus dans le centre de l'Île-de-France et à Paris pour la même période tant au niveau des formes en présence (coquemars, poêlons) que des productions (pâte sableuse claire et grès du Beauvaisis). On peut juste relever que les pichets, pourtant régulièrement et largement présents à Paris, sont anecdotiques ici et seulement attestés par quelques panses.

En revanche, la part de grès du Beauvaisis (4% des NR pour le bas Moyen Âge toutes Us confondues pour les vases à boire) se rapproche des taux observés dans la capitale. Dans les contextes parisiens privilégiés du milieu du XIV^e siècle, comme le manoir des Essarts au Carrousel du Louvre, la part de grès du Beauvaisis oscille entre 1,5 et 3,7% des tessons (Ravoire 1998c, 127). Dans la latrine de l'hôtel Dieu de Paris, les grès représentent au milieu du XV^e siècle 4% du mobilier céramique (Goret 2020).

La présence à Melun de ces récipients en grès du Beauvaisis, retrouvés assez loin de leur lieu de fabrication, pourrait signaler un environnement privilégié. Ce taux pourrait aussi avoir été favorisé par des facilités d'approvisionnement par la Seine.

Au cours de l'époque moderne, entre la fin du XV^e siècle et le XVII^e siècle, le vaisselier en céramique évolue et se diversifie tant au niveau des productions (Fig. III-06-08) que des formes. On observe également au cours de cette période une modification dans la répartition fonctionnelle des récipients.

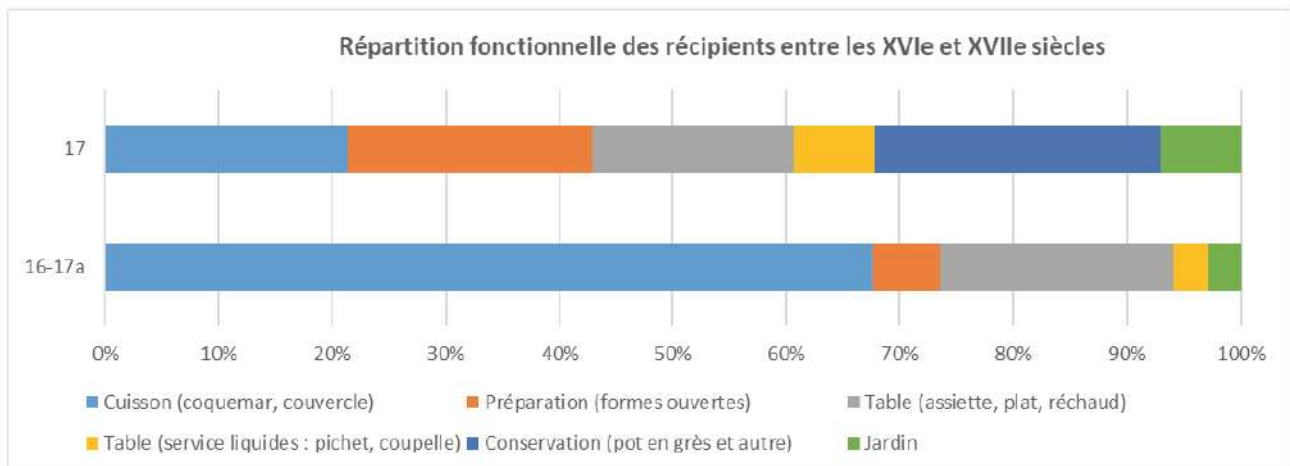
En effet, au début de la période moderne, ceux destinés à la cuisson et à la préparation sont largement majoritaires (plus de 70% des NMI) mais les ustensiles dédiés à la table représentent tout de même plus du quart des récipients identifiés. L'émergence du service de table en céramique est un phénomène observé dès la fin du XV^e siècle et surtout au XVI^e siècle en Île-de-France. Au cours du dernier tiers du XVI^e siècle, le taux de vaisselle de table varie de 20 à 30% quelle que soit la nature des contextes (Ravoire 2000). La part des ustensiles de table de Melun s'inscrit bien dans cette fourchette.

Dans nos assemblages, datés pour la plupart entre la seconde moitié du XVI^e siècle et le XVII^e siècle, ce service de table consiste en de grandes formes ouvertes de types plats et assiettes en pâte sableuse ou pâte fine du Beauvaisis ainsi qu'en plusieurs réchauds. Les petites formes ouvertes de types coupelles sont quasi-inexistantes. Les récipients en grès du Beauvaisis sont peu représentés. Le service des liquides semble assuré par d'autres types de récipients, en verre ou métal.

Les réchauds de table, et notamment celui au décor moulé en pâte fine glaçurée du Beauvaisis, sont des signes extérieurs d'une certaine aisance. Ce constat va de pair avec celui proposé pour la fin du Moyen Âge.

La part des ustensiles de cuisine diminue au XVII^e siècle (42%), ceux de la table restant sur les mêmes taux (25%) tandis que les récipients pour le stockage et les activités de jardin prennent de l'importance (près du tiers des effectifs ; Fig. III-06-23).

Fig. III-06-23 Répartition fonctionnelle des récipients des XVI^e et XVII^e siècles © Inrap : C. Claude



3.6.2 Les éléments en terre cuite architecturale

Près d'une centaine de fragments d'éléments en terre cuite architecturale ont été recueillis sur le site, le plus souvent en association avec les céramiques domestiques étudiées plus haut. Ils sont datés par le mobilier associé entre les XV^e et XVII^e siècles.

Il s'agit principalement de tuiles plates, très fragmentaires, toutes incomplètes. Elles sont pour la plupart réalisées en pâte locale, de teinte rouge à orangée. Quelques-unes sont de teintes claires mais sont minoritaires.

Les épaisseurs varient de 1 à 1,6 cm. Il s'agit de tuiles à crochet, avec un ou deux trous. Un exemplaire présente deux perforations de chaque côté (en 1004, Fig. III-06-24). Les rares exemplaires suffisamment complets montrent des largeurs de 15 à 16 cm.

Deux fragments de carreaux ont été recueillis (Us 1063 et 1526), ils mesurent entre 2,7 et 3,6 cm d'épaisseur. Le premier (excavation 1063) est un carreau de four : la paroi est complètement vitrifiée. Le second (remblais 1526 de la cave 1380) est un carreau de sol ayant été exposé au feu (Fig. III-06-25). Il était glaçuré comme en témoignent les coulures vertes sur les parements latéraux.

3.6.3 Un fragment d'ardoise gravée

Mentionnons enfin en 1172 (<= > 1381-A) un fragment d'ardoise gravée. 6 tessons de céramique ont été trouvés dans cette Us dont 2 du bas Moyen Âge (XIV^e siècle) et 4 du XVI^e siècle (1 bord de coquemar éversé et 3 panses en pâte sableuse engobée).

Elle est gravée des deux côtés de plusieurs cercles et arcs de cercles réalisés au compas (Fig. III-06-26, Fig. III-06-27). La pièce est incomplète, la vision des motifs est donc tronquée.

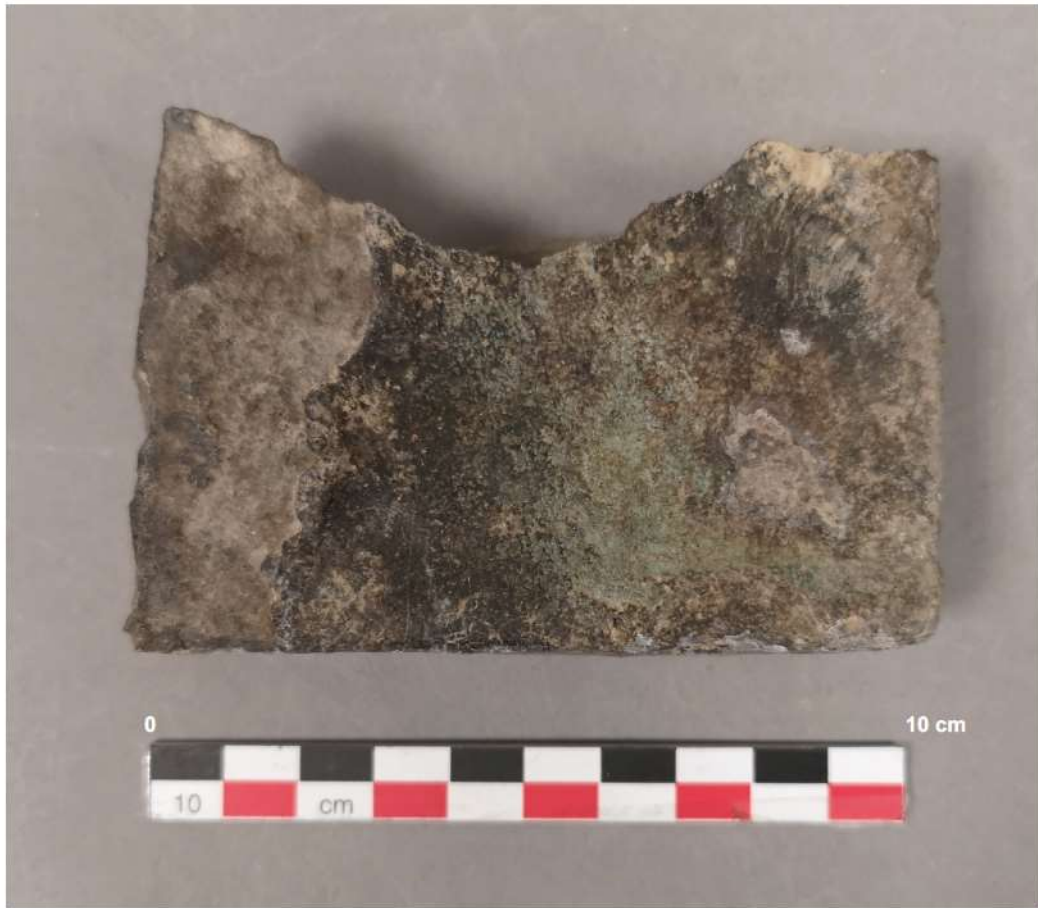
Sur l'un des côtés, le motif est le plus complexe : des arcs de cercle, de différentes tailles, s'imbriquent au sein d'un plus grand. La pointe du compas est visible sur les arcs des cercles les plus grands.

De l'autre côté, plusieurs cercles ont été tracés de différents diamètres (de 12 à 15 cm).

Les ardoises gravées sont assez fréquemment rencontrées dans les contextes modernes car elles sont le support d'écriture opportuniste (Berthon 2016), de plateau de jeu, de dessin... Le fragment de Melun témoigne d'un entraînement au maniement du compas pour la réalisation de motifs géométriques complexe à la finalité indéterminée (ébauche avant gravure ?).



Fig. III-06-24 Tuiles du XVI^e siècle des Us 1004 (a) et 1165 (b) © Inrap : C. Claude



Us 1526, cave 1380



Fig. III-06-25 Carreau issu des remblais 1526 de la cave 1380 © Inrap : C. Claude

Fig. III-06-26 Fragment d'ardoise gravée de l'Us 1172, datée du XVI^e siècle par le mobilier associé © Inrap : C. Claude

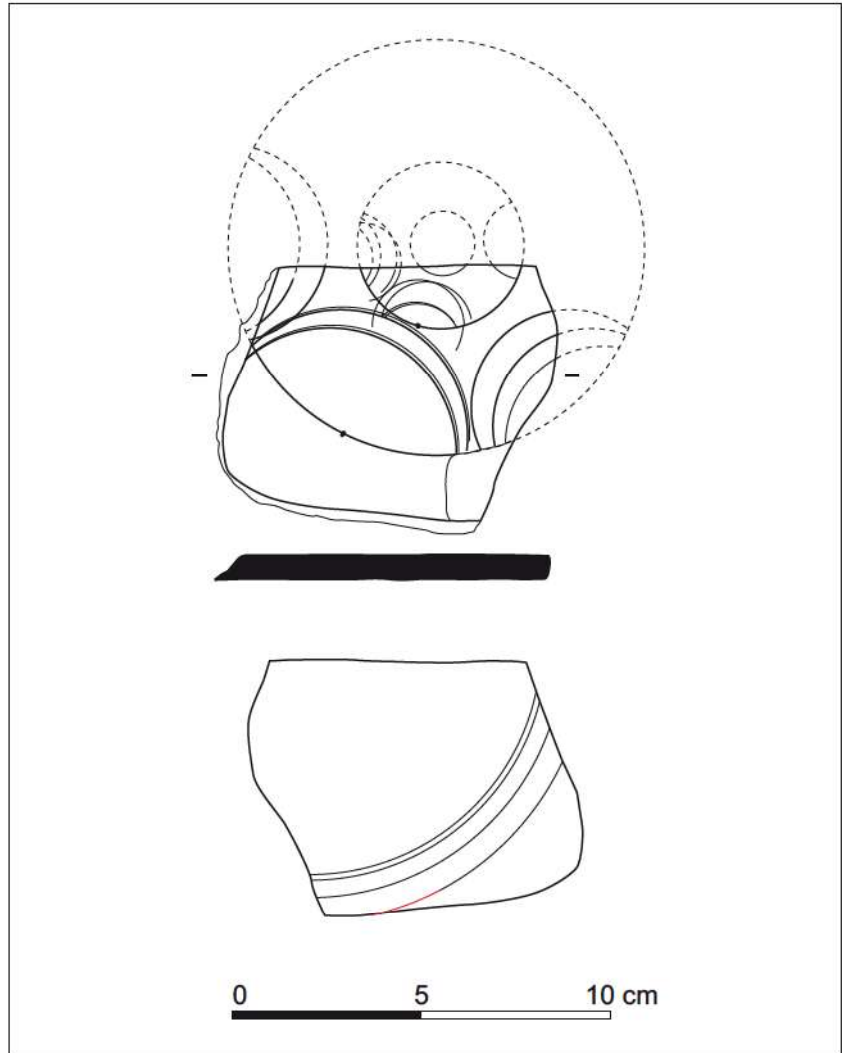


Fig. III-06-27 Fragment d'ardoise gravée de l'Us 1172 © Inrap : C. Claude



3.6.4 Inventaire détaillé de la céramique médiévale et moderne

Us	rem.	Catégorie pâte	Type 1	Type 2	Décor	NMI	A	F	B	P	NRT	Période	Fourchette chronologique			
1001		Grès Beauvaisis								1	1	Moderne		XVIe		
1001		Sableuse claire	Réchaud		Glacure verte	1		1			1	Moderne		XVIe		
1001		Sableuse claire	Coquemar	Bord éversé		1			1		1	Moderne	Seconde moitié	XVe		
1001		Sableuse claire	Socle					1			1	Moderne		XVIe		
1004		Sableuse engobée	Coquemar ou marmite	Bord en bandeau		2		2	2	9	13	Moderne	Seconde moitié	XVIe	Début	XVIIe
1004		Sableuse engobée	Coquemar	Bord en bandeau	Glacure verte	1	1		1	2	4	Moderne	Seconde moitié	XVIe		
1004		Sableuse engobée	Coquemar tripode			1		1		1	2	Moderne	Seconde moitié	XVIe	Début	XVIIe
1004		Sableuse orangé	Couvercle			1			1		1	Moderne		XVIe		
1004		Sableuse rouge	Coquemar			1		1		6	7	Moderne		XVIe		
1005		Grès Puisaye								1	1	Moderne		XVIIe		
1005		Sableuse engobée			Glacure verte					1	1	Moderne		XVIIe		
1006		Commune sombre						1			1	Gallo-romain				
1006		Sableuse engobée	Coquemar		Glacure verte					1	1	Moderne		XVIe		
1006		Sableuse engobée			Glacure verte	1		1			1	Moderne		XVIe		
1006		Sableuse orangé	Coquemar	Bord éversé	Glacure verte	1			1		1	Moderne		XVIe		
1013		Fine glacurée Beauvaisis	Réchaud	Lèvre rectangulaire	Glacure verte	1			1		1	Moderne	Seconde moitié	XVIe		
1013		Granuleuse								1	1	Haut Moyen Âge				
1013		Sableuse engobée						1			1	Moderne		XVIe		
1022		Fine glacurée Beauvaisis	Réchaud		Glacure verte					1	1	Moderne	Seconde moitié	XVIe		
1026		Sableuse engobée			Glacure verte					1	1	Moderne	Seconde moitié	XVIe		
1027		Grès Beauvaisis				1		1			1	Moderne		XVIIe		
1027		Grès Puisaye								1	1	Moderne		XVIIe		
1028		Commune								4	4	Gallo-romain				
1028		Grès normand								1	1	Moderne		XVIe		
1028		Sableuse claire								2	2	Moyen Âge		XVe		
1028		Sableuse engobée								2	2	Moderne		XVIe		
1028		Sableuse engobée								1	1	Moderne		XVIe		
1029		Sableuse claire				1		1			1	Moderne		XVIIe		
1032		Grès								1	1	Moderne		XVIe		XVIIe
1032		Grès normand								1	1	Moderne		XVIe		

Us	rem.	Catégorie pâte	Type 1	Type 2	Décor	NMI	A	F	B	P	NRT	Période	Fourchette chronologique			
1032		Sableuse engobée	Coquemar	Bord en bandeau	Glacure verte	1			1		1	Moderne	Seconde moitié	XVIe		XVIIe
1037		Grès Beauvaisis	Pichet / Cruche				2				2	Moderne		XVIe		XVIIe
1037		Sableuse claire	Réchaud	Bord en bandeau	Glacure verte	1			1		1	Moderne	Seconde moitié	XVIe		
1037		Sableuse claire			Glacure verte			1			1	Moderne		XVIe		XVIIe
1037		Sableuse engobée	Coquemar tripode			1			1		1	Moderne		XVIe		
1037		Sableuse engobée	Coquemar				2			1	3	Moderne		XVIe		XVIIe
1037		Sableuse orangé	Couvercle			1			1		1	Moderne		XVIe		XVIIe
1037		Sableuse orangé	Coquemar tripode			1		1			1	Moderne		XVIe		XVIIe
1038		Sableuse sombre	Pot de conserve							1	1	Moderne		XVIe		
1045		Grès Beauvaisis								1	1	Moderne		XVIe		
1045		Sableuse engobée	Assiette	A aile		1			1		1	Moderne	Seconde moitié	XVIe		
1052		Grès normand	Pot de conserve			1		3	1	3	7	Moderne		XVIIe		
1052		Sableuse claire	Nichoir			1		1			1	Moderne		XVIIe		
1052		Sableuse claire	Chevrette		Glacure verte	2	2			1	3	Moderne		XVIIe		
1052		Sableuse engobée				1		1			1	Moderne		XVIIe		
1054		Grès Beauvaisis	Pichet							1	1	Moderne		XVIe		
1054		Grès Beauvaisis	Gourde							1	1	Moderne		XVIe		
1054		Sableuse engobée	Coquemar	Bord en bandeau	Glacure verte	1			1		1	Moderne	Seconde moitié	XVIe	Début	XVIIe
1054		Sableuse rouge	Couvercle		Glacure verte	1			1		1	Moderne		XVIe		XVIIe
1063		Faïence	Assiette/ plat					1			1	Moderne		XVIIe		
1063		Fine glacurée Beauvaisis	Assiette					1			1	Moderne		XVIIe		
1063		Sableuse engobée			Glacure verte					1	1	Moderne		XVIIe		
1079		Sableuse claire			Glacure verte					1	1	Moderne		XVIe		
1079		Sableuse orangé								1	1	Moderne		XVIe		
1079		Faïence	Pot de chambre				1				2	3	Moderne		XVIIe	
1079		Faïence	Pot de chambre							3	3	Moderne		XVIIe		
1079		Faïence grand feu	Plat			1		1			1	Moderne		XVIIe		
1079		Fine glacurée Beauvaisis	Assiette			2		1	1	1	3	Moderne		XVIIe		
1079		Fine glacurée Beauvaisis	Assiette	A aile		1			1		1	Moderne		XVIIe		
1079		Fine glacurée Beauvaisis	Assiette			1		1			1	Moderne		XVIIe		
1079		Grès Beauvaisis	Pichet			1	1		1		2	Moderne		XVIIe		
1079		Grès normand	Pot de conserve			1			1	2	3	Moderne		XVIIe		

Us	rem.	Catégorie pâte	Type 1	Type 2	Décor	NMI	A	F	B	P	NRT	Période	Fourchette chronologique			
1079		Grès Puisaye	Pot			3	1	1	3		5	Moderne		XVIIe		
1079		Grès Puisaye	Marmite tripode			1		1			1	Moderne		XVIIe		
1079		Grès Puisaye	Pot à lait			1			1		1	Moderne		XVIIe		
1079		Grès Puisaye	Pot							11	11	Moderne		XVIIe		
1079		Sableuse claire	Assiette	A aile		1			1		1	Moderne		XVIIe		
1079		Sableuse claire	Bassin			1			1		1	Moderne		XVIIe		
1079		Sableuse claire	Bassin à suspendre	Lèvre arrondie		1			1		1	Moderne		XVIIe		
1079		Sableuse claire	Plat	A aile		1			1		1	Moderne		XVIIe		
1079		Sableuse claire	Pot de fleur			1			1		1	Moderne		XVIIe		
1079		Sableuse claire								5	5	Moderne		XVIIe		
1079		Sableuse claire			Glacure verte					1	1	Moderne		XVIIe		
1079		Sableuse engobée	Pot de conserve			1			1	4	5	Moderne		XVIIe		
1079		Sableuse engobée	Gourde			1					1	Moderne		XVIIe		
1079		Sableuse engobée	Coquemar tripode		Glacure verte	3		2	3		5	Moderne		XVIIe		
1079		Sableuse engobée						1		2	3	Moderne		XVIIe		
1079		Sableuse engobée	Arrosoir			1			1	9	10	Moderne		XVIIe		
1079		Sableuse orangé	Bassin à suspendre			1			1		1	Moderne		XVIIe		
1079		Sableuse orangé	Tèle			1			1		1	Moderne		XVIIe		
1079		Sableuse orangé	Bassin			1			1		1	Moderne		XVIIe		
1079		Sableuse orangé	Pot de fleur ?			1		2			2	Moderne		XVIIe		
1079		Sableuse orangé	Pot	Lèvre retombante		1			1		1	Moderne		XVIIe		
1079		Sableuse orangé	Jatte	Lèvre saillante		1			1		1	Moderne		XVIIe		
1079		Sableuse rouge	Pot			1		1			1	Moderne		XVIIe		
1079		Granuleuse	Coupe ou coupelle							1	1	Haut Moyen Âge, Mérovingien				
1080		Faïence fine								1	1	Moderne	Première moitié	XIXe		
1116		Commune								4	4	Gallo-romain				
1116		Sableuse claire	Coquemar	Bord éversé		1		1	2		3	Moderne	Seconde moitié	XVe	Début	XVIe
1120	2	Grès Beauvaisis	Godet			1		1			1	Moyen Âge	Seconde moitié	XIVe		XVe
1120	3 lot 12	Grès Beauvaisis	Tasse			1			1		1	Moyen Âge	Seconde moitié	XIVe		XVe
1120	3 lot 12	Sableuse claire	Coquemar ou marmite	Bord droit à méplat	Glacure jaune	1		1	1		2	Moyen Âge	Seconde moitié	XIVe		XVe
1120		Grès Beauvaisis	Godet			1			1		1	Moyen Âge	Seconde moitié	XIVe		XVe
1120		Sableuse claire	Pichet		Glacure jaune	1				1	1	Moyen Âge		XIVe		XVe
1120	1272-1246	Sableuse claire	Coquemar		Peint - Flammules					7	7	Moyen Âge		XVe		

Us	rem.	Catégorie pâte	Type 1	Type 2	Décor	NMI	A	F	B	P	NRT	Période	Fourchette chronologique			
1120	Passé 3	Sableuse claire	Coquemar		Peint - Flammules					13	13	Moyen Âge		XVe		
1120	Passé 3	Sableuse claire	Coquemar	Bord éversé court		1			2	1	3	Moyen Âge		XVe		
1120	Passé 3	Sableuse claire								2	2	Moyen Âge		XVe		
1120		Sableuse claire	Coquemar	Bord éversé court	Peint - Flammules	1			1		1	Moyen Âge	Première moitié	XVe		
1120		Sableuse claire	Coquemar		Peint - Flammules					5	5	Moyen Âge		XVe		
1120		Sableuse claire			Peint - Flammules	3		6		5	11	Moyen Âge		XVe		
1120		Sableuse noircie	Coquemar	Bord éversé court		1			1		1	Moyen Âge	Première moitié	XVe		
1120	1272-1246	Commune								10	10	Gallo-romain				
1120	Passé 3	Commune							1		1	Gallo-romain				
1120	Passé 3	Granuleuse							1		1	Haut Moyen Âge				
1120	passé 3 lot 12	Commune								1	1	Gallo-romain				
1120		Commune								28	28	Gallo-romain ou Haut Moyen Âge				
1120		Granuleuse								5	5	Haut Moyen Âge				
1120		Sigillée								1	1	Gallo-romain				
1125		Fine glacurée Beauvaisis	Assiette							1	1	Moderne		XVIe		XVIIe
1125		Sableuse engobée	Assiette	A aile		1			1		1	Moderne	Fin	XVIe		XVIIe
1125		Sableuse orangé	Coquemar ou marmite	Bord en bandeau	Glacure verte	1			1		1	Moderne	Fin	XVIe	Début	XVIIe
1125		Sableuse rouge	Coquemar	Bord en bandeau		1			1		1	Moderne	Fin	XVIe	Début	XVIIe
1127		Fine glacurée Beauvaisis	Plat	A aile		1			1	1	2	Moderne	Fin	XVIe		XVIIe
1127		Grès normand	Pot de conserve							1	1	Moderne	Fin	XVIe		XVIIe
1127		Sableuse claire								1	1	Moderne	Fin	XVIe		XVIIe
1127		Sableuse engobée	Bassin	Lèvre carrée		1			1		1	Moderne	Fin	XVIe		XVIIe
1127		Fine glacurée Beauvaisis	Assiette	A aile		1			1	1	2	Moderne	Seconde moitié	XVIe	Début	XVIIe
1127		Grès Beauvaisis	Albarelle			1		1			1	Moderne		XVIe		XVIIe
1127		Grès Beauvaisis								2	2	Moderne		XVIe		XVIIe
1127		Sableuse claire								2	2	Moderne		XVIe		XVIIe
1127		Sableuse claire	Réchaud		Glacure verte	1				1	1	Moderne		XVIe		XVIIe
1127		Sableuse engobée								4	4	Moderne		XVIe		XVIIe
1127		Sableuse engobée			Glacure verte					1	1	Moderne		XVIe		XVIIe
1127		Sableuse rouge				1		1			1	Moderne		XVIe		XVIIe
1127		Sableuse claire	Réchaud ?		Glacure verte	1		1			1	Moderne		XVIe		
1129		Sableuse engobée	Coquemar	Bord en bandeau		1			1		1	Moderne		XVIe		

Us	rem.	Catégorie pâte	Type 1	Type 2	Décor	NMI	A	F	B	P	NRT	Période	Fourchette chronologique			
1132		Sableuse claire			Peint - Flammules					2	2	Moyen Âge		XVe		
1140		Commune sombre							1		1	Gallo-romain		IIe		
1140		Granuleuse								1	1	Haut Moyen Âge				
1140		Grès Beauvaisis	Godet			1			1	1	2	Moyen Âge		XIVe		XVe
1140		Grès Beauvaisis ?	Gourde			1				3	3	Moyen Âge		XVe		XVIe
1140		Grès normand	Pot de conserve							1	1	Moyen Âge		XVe		
1140		Sableuse claire	Coquemar		Peint - Flammules	3		3		17	20	Moyen Âge		XVe		
1142		Fine						1			1	Gallo-romain				
1142		Granuleuse								1	1	Haut Moyen Âge				
1142		Sableuse claire			Peint - Flammules			1		5	6	Moyen Âge		XVe		
1147		Commune								6	6	Gallo-romain				
1147		Granuleuse								2	2	Haut Moyen Âge				
1147		Sableuse claire			Peint - Flammules			1		1	2	Moyen Âge		XIe		XIIe
1147		Sableuse engobée	Marmite				1				1	Moderne		XVIe		
1151		Sableuse claire	Coquemar	Bord éversé		1			1	1	2	Moderne	Dernier tiers	XVe	Première moitié	XVIe
1157		Commune claire								1	1	Gallo-romain				
1157		Fine orangée								1	1	Moderne	Seconde moitié	XVIe		
1157		Sableuse engobée			Glacure verte					2	2	Moderne	Seconde moitié	XVIe		
1161		Sableuse claire			Peint - Flammules					2	2	Moyen Âge		XVe		
1162		Grès Beauvaisis	Coupelle	Bord en bandeau		1			1		1	Moderne		XVIe		XVIIe
1162		Grès Beauvaisis	Pichet							3	3	Moderne		XVIe		XVIIe
1162		Grès Beauvaisis	Gourde							1	1	Moderne		XVIe		XVIIe
1162		Grès Beauvaisis				1				2	2	Moderne	Seconde moitié	XVIe		
1162		Grès normand	Pot de conserve							2	2	Moderne	Seconde moitié	XVIe		
1162		Sableuse claire	Nichoir			1		1			1	Moderne	Seconde moitié	XVIe		
1162		Sableuse engobée	Coquemar	Bord en bandeau	Glacure verte	1			1		1	Moderne	Seconde moitié	XVIe		
1162		Sableuse engobée	Coquemar	Bord éversé		5	3		2	4	9	Moderne	Seconde moitié	XVIe		
1162		Sableuse orangé								3	3	Moderne	Seconde moitié	XVIe		
1162		Sableuse claire	Coquemar			1		1			1	Moderne		XVIe		
1162		Sableuse engobée	Coquemar			1		1			1	Moderne		XVIe		
1162		Sableuse engobée	Lêchefrite ?			1		1			1	Moderne		XVIe		
1162		Sableuse orangé	Coquemar	Bord en bandeau		1			1		1	Moderne		XVIe		
1162		Sableuse rouge	Tèle	Bord en bandeau		1			1		1	Moderne		XVIe		

Us	rem.	Catégorie pâte	Type 1	Type 2	Décor	NMI	A	F	B	P	NRT	Période	Fourchette chronologique			
1165		Sableuse claire	Coquemar				1				1	Moderne	Première moitié	XVIe		
1165		Sableuse engobée	Réchaud ?			1				1	1	Moderne	Seconde moitié	XVIe		
1172		Sableuse claire	Coquemar	Bord éversé		1			1		1	Moderne		XVIe		
1172		Sableuse claire	Pichet balustre		Molette horizontale et glaçure jaune	1				1	1	Moyen Âge		XIVe		
1172		Sableuse claire			Peint - Flammules					1	1	Moyen Âge		XIVe		
1172		Sableuse engobée								3	3	Moderne		XVIe		
1173	= 1526	Sableuse claire	Coquemar	Bord droit						2	2	Moyen Âge		XIVe		
1173	= 1526	Sableuse claire			Peint - Flammules			1			1	Moyen Âge		XVe		
1173	= 1526	Sableuse engobée								1	1	Moderne		XVIe		
1181		Commune								1	1	Gallo-romain				
1181		Sableuse claire								3	3	Moderne		XVe	Début	XVIe
1181		Sableuse engobée				1		1			1	Moderne	Fin	XVe	Première moitié	XVIe
1181		Sableuse orangé	Porte-dîner			1			1		1	Moderne		XVIe		
1181		Sableuse rouge						1			1	Moyen Âge				
1183		Sableuse claire			Glacure verte					1	1	Moderne	Seconde moitié	XVIe		XVIIe
1183		Sableuse claire			Glacure verte					1	1	Moderne		XVIe		XVIIe
1183		Sableuse claire	Coupelle	Bord en bandeau	Glacure verte	1			1		1	Moderne		XVIIe		
1183		Sableuse claire	Plat	Lèvre en amande		1			1		1	Moderne		XVIIe		
1184		Sableuse engobée	Coquemar tripode			1			1	1	2	Moderne		XVIIe		
1190		Fine glacurée Beauvaisis	Assiette	A aile		1			1		1	Moderne	Seconde moitié	XVIe		
1190		Grès Beauvaisis	Albarelle			1			1		1	Moderne	Seconde moitié	XVIe		
1192		Fine glacurée Beauvaisis	Plat							1	1	Moderne	Seconde moitié	XVIe		XVIIe
1192		Sableuse engobée								1	1	Moderne		XVIe		XVIIe
1194		Grès Beauvaisis	Pichet							1	1	Moderne		XVIe		
1194		Sableuse engobée	Coquemar	Bord en bandeau		1			1	1	2	Moderne	Seconde moitié	XVIe		
1194		Sableuse engobée								1	1	Moderne	Seconde moitié	XVIe		
1194		Sableuse orangé	Coquemar							2	2	Moderne		XVIe		
1197		Sableuse claire			Glacure jaune	1		1			1	Moyen Âge		XIVe		XVe
1200		Commune								1	1	Gallo-romain				
1200		Sableuse claire	Coquemar	Bord éversé court		1			1		1	Moderne		XVe		
1200		Sableuse claire	Couvercle		Glacure verte	1					1	Moderne		XVe		
1200		Sableuse claire			Peint - Flammules					1	1	Moderne		XVe		

Us	rem.	Catégorie pâte	Type 1	Type 2	Décor	NMI	A	F	B	P	NRT	Période	Fourchette chronologique			
1201		Sableuse claire				1		1			1	Moderne	Première moitié	XVIe		
1201		Sableuse claire			Bandes rapportées					1	1	Moderne	Première moitié	XVIe		
1206		Commune								1	1	Gallo-romain				
1206		Sableuse claire	Oule	Lèvre triangulaire					1	1	2	Moyen Âge		XIe		XIIe
1206		Sableuse claire								1	1	Moyen Âge				
1208		Fine claire	Cruche						1		1	Gallo-romain				
1212		Commune								1	1	Gallo-romain				
1212		Grès Beauvaisis	Pichet				1				1	Moderne	Seconde moitié	XVe	Première moitié	XVIe
1229		Grès Beauvaisis	Pichet							1	1	Moderne		XVIe		
1229		Sableuse engobée	Coquemar			1		2	1	6	9	Moderne		XVIe		
1232		Sableuse claire	Coquemar	Lèvre triangulaire		1			1		1	Moderne		XVe		
1232		Sableuse claire								2	2	Moderne		XVe		
1232		Sableuse claire			Glacure jaune					1	1	Moderne		XVe		
1232	RI 1228	Sableuse engobée	Coquemar	Bord en bandeau		1			1	1	2	Moderne	Seconde moitié	XVIe		
1233		Sableuse claire	Pichet		Glacure jaune	1				1	1	Moyen Âge	Seconde moitié	XIVe	Première moitié	XVe
1233		Sableuse claire	Coquemar	Bord éversé court	Peint - Flammules	1		6	4	56	66	Moyen Âge		XVe		
1233		Sableuse claire	Coquemar	Bord éversé court	Peint - Flammules	1			1	3	4	Moyen Âge		XVe		
1233		Sableuse claire	Coquemar	Bord éversé court		1	1		2	1	4	Moyen Âge		XVe		
1233		Sableuse claire								2	2	Moyen Âge		XVe		
1233		Sableuse claire								1	1	Moyen Âge		XVe		
1233		Commune sombre								1	1	Gallo-romain				
1236		Commune claire								1	1	Gallo-romain				
1236		Sableuse rouge								1	1	Moderne		XVIe		
1239	1239-A RI 1408	Faïence	Assiette			1			1		1	Moderne	Seconde moitié	XVIIIe		
1239	1239-A RI 1408	Grès Puisaye								2	2	Moderne	Seconde moitié	XVIIIe		
1242		Grès Beauvaisis								1	1	Moderne		XVIe		XVIIe
1243		Commune						1		1	2	Moderne		XVIIe		
1243		Faïence								1	1	Moderne	Seconde moitié	XVIIe		
1243		Sableuse claire	Coquemar tripode			1		1	1		2	Moderne	Seconde moitié	XVIIe		
1243		Sableuse claire				1		1			1	Moderne		XVIIe		
1243		Sableuse claire								1	1	Moderne		XVe		XVIe
1259		Commune sombre								2	2	Gallo-romain				
1259	RI 1258 + terrier	Sableuse orangé	Coquemar	Bord éversé		1			1		1	Moderne	Seconde moitié	XVe	Début	XVIe
1267		Sableuse claire	Gourde		Glacure verte	1			1		1	Moderne	Seconde moitié	XVe	Début	XVIe
1267		Sableuse orangé			Glacure verte					1	1	Moderne		XVe		XVIe

Us	rem.	Catégorie pâte	Type 1	Type 2	Décor	NMI	A	F	B	P	NRT	Période	Fourchette chronologique			
1270		Grès Beauvaisis	Gourde			1		4		2	6	Moderne		XVIIe		
1302		Fine claire								1	1	Moderne		XVe		XVIe
1307		Grès Beauvaisis								1	1	Moderne		XVe		
1307		Sableuse claire								1	1	Moderne		XVe		XVIe
1372	= 1284	Grès Beauvaisis	Gourde							1	1	Moderne		XVe		
1381A		Sableuse claire	Coquemar	Bord droit convexe	Peint - Flammules	1			1		1	Moyen Âge	Seconde moitié	XIVe		
1381A		Sableuse claire	Cruche		Peint - Flammules	1		2			2	Moyen Âge		XIVe		
1381A		Grès								1	1	Moderne		XVIe		
1381A		Sableuse claire	Couvercle		Glacure verte						1	Moderne		XVIe		
1381A		Sableuse claire								1	1	Moderne		XVIe		
1381A		Sableuse engobée	Coquemar		Glacure verte		1				1	Moderne		XVIe		
1381B		Sableuse claire	Coquemar	Bord droit convexe	Peint - Flammules	1		3	1	7	11	Moyen Âge	Milieu	XIVe	Seconde moitié	XIVe
1381B		Sableuse claire			Peint - Flammules		1			3	4	Moyen Âge		XIVe		
1381B		Sableuse claire	Pichet		Bandes rapportées - Glacure jaune	1				3	3	Moyen Âge		XIVe		
1381B		Sableuse claire								1	1	Moyen Âge		XIVe		
1392		Sableuse engobée	Coquemar ou marmite					1		4	5	Moderne		XVIe		
1521		Sableuse								2	2	Moyen Âge		XIe		
1521		Sableuse orangé								1	1	Moderne	Seconde moitié	XVe		XVIe
1521		Grès Beauvaisis	Godet à anse			1			1		1	Moderne		XVe		
1521		Sableuse claire	Coquemar	Bord éversé		1			1		1	Moderne		XVe		
1521		Sableuse engobée								1	1	Moderne		XVIe		
1521		Commune claire								1	1	Gallo-romain				
1521		Fine			Impression					1	1	Haut Moyen Âge, Mérovingien				
1521		Sableuse								2	2	Haut Moyen Âge, Mérovingien				
1526 (CAV1380)	remblai abandon	Sableuse claire	Poëlon	Lèvre triangulaire amincie		1			1		1	Moyen Âge		XVe		
1526 (CAV1380)	remblai abandon	Sableuse claire						1			1	Moyen Âge		XVe		
1526 (CAV1380)	remblai abandon	Sableuse claire	Pichet élancé		Bandes rapportées - Glacure jaune	1				1	1	Moyen Âge		XVe		
1526 (CAV1380)	remblai abandon	Sableuse claire	Poëlon			1			1		1	Moyen Âge		XVe		
1526 (CAV1380)	remblai abandon	Sableuse claire	Coquemar	Bord éversé court		1			1		1	Moyen Âge		XVe		
1526 (CAV1380)	remblai abandon	Sableuse claire			Peint - Flammules					2	2	Moyen Âge		XVe		
1526 (CAV1380)	remblai abandon	Fine glacurée Beauvaisis								1	1	Moderne	Fin	XVIe	Première moitié	XVIIe

Us	rem.	Catégorie pâte	Type 1	Type 2	Décor	NMI	A	F	B	P	NRT	Période	Fourchette chronologique			
1526 (CAV1380)	remblai abandon	Sableuse claire								1	1	Moderne		XVIe		XVIIe
1526 (CAV1380)	remblai abandon	Sableuse engobée								6	6	Moderne	Fin	XVIe	Première moitié	XVIIe
1526 (CAV1380)	remblai abandon	Sableuse engobée	Coquemar		Glacure verte	1		3		3	6	Moderne	Fin	XVIe	Première moitié	XVIIe
1526 (CAV1380)	remblai abandon	Grès normand	Pot de conserve							1	1	Moderne		XVIIe		
1526 (CAV1380)	remblai abandon	Sableuse claire			Glacure verte					1	1	Moderne		XVIIe		
1526 (CAV1380)	remblai abandon	Sableuse engobée	Coquemar tripode			1			1		1	Moderne	Première moitié	XVIIe		
1527 (CAV1380)	litages abandon	Semi-fine claire			Peint - Virgules					1	1	Transition Haut Moyen Âge - Moyen Âge		IXe		Xe
1527 (CAV1380)	litages abandon	Sableuse claire	Pichet		Bandes rapportées - Glacure jaune	1				1	1	Moyen Âge		XIVe		XVe
1527 (CAV1380)	litages abandon	Grès Beauvaisis								1	1	Moderne		XVe		
1527 (CAV1380)	litages abandon	Sableuse claire								1	1	Moderne		XVe		
1527 (CAV1380)	litages abandon	Sableuse engobée	Coquemar	Bord éversé		1			1		1	Moderne		XVIe		
1527 (CAV1380)	litages abandon	Sableuse engobée	Coquemar			2	1	3	1	12	17	Moderne		XVIe		
1527 (CAV1380)	litages abandon	Sableuse engobée	Coquemar	Bord en bandeau	Glacure verte	1			1		1	Moderne		XVIe		

3.6.5 Inventaire des terres cuites architecturales médiévales à modernes

Us / fait / Ens.	NR	NMI	Ep.	l	Pâte	Type	Observations
1001	1	1	13		rouge orangé	Tuile plate	
1004	2	1	10	150	rouge	Tuile plate	à crochet et 2 perforations carrées de chaque côté du crochet
1004	1	1	15		orangée	Tuile plate	
1004	1	1	11		beige orangé	Tuile plate	à crochet et 1 perforation
1005	1	1	14		rouge	Tuile plate	
1011	1	1	16		rouge	Tuile plate	
1011	1	1	16		orangé	Tuile plate	
1011	1	1	14		orangé	Tuile plate	
1011	1	1	12		orangé	Tuile plate	
1026	1	1	10		rouge orangé	Tuile plate	
1027	1	1	15		rouge orangé	Tuile plate	
1027	1	1	19		rouge orangé	Tuile plate	
1027	1	1	13		beige orangé	Tuile plate	crochet
1027	1	1	14		orangé	Tuile plate	
1027	1	1	15		beige cœur rouge	Tuile plate	
1028	1	1	15		rouge orangé	Tuile plate	
1028	1	1	15		grisé cœur rouge	Tuile plate	
1029	1	1	12		rouge	Tuile plate	perforation
1032	1	1	14		orangé	Tuile plate	
1035	1	1	16		beige	Tuile plate	
1035	1	1	30		crème	Carreau ? Tegulae ?	
1037	1	1	13	160	orangé	Tuile plate	

Us / fait / Ens.	NR	NMI	Ep.	I	Pâte	Type	Observations
1037	1	1	15		beige rosé cœur gris	Tuile plate	
1037	1	1	12		rouge	Tuile plate	
1045	1	1	13		blanche	Tuile plate	
1054	3	3	13		orangé	Tuile plate	dont 1 perforation
1054	1	1	11		rouge	Tuile plate	
1054	1	1	18		beige cœur rosé	Tuile plate	
1063	2	1	36		rouge	Carreau	Carreau de four : paroi vitrifiée
1079	1	1	12	150	beige rosé	Tuile plate	1 perforation visible
1079	1	1	13	158	beige	Tuile plate	crochet et 1 perforation de chaque côté
1079	2	2	13		beige orangé	Tuile plate	
1104	2	1	19		rouge	Tuile plate	
1105	2	2	23		rouge orangé	Tuile plate	
1105	1	1	15		rouge clair	Tuile plate	
1116	1	1	22		marron	Tegulae	
1116	1	1	15		marron cœur rouge	Tuile plate	
1120	2	1	16		orangé	Tuile plate	avec crochet et perforation à gauche
1125	1	1	15		rouge orangé	Tuile plate	
1127	1	1	13		rouge	Tuile plate	avec 1 perforation
1129	1	1	14		orangé	Tuile plate	
1132	1	1	15		orangé	Tuile plate	avec perforation carrée
1132	1	1	16		rouge	Tuile plate	
1140	2	1	16		orangé	Tuile plate	
1143	1	1	15		rouge	Tuile plate	
1146	1	1	16		rouge	Tuile plate	
1146	1	1	18		orangé	Tuile plate	perforation
1147	1	1	20		rouge clair	Tuile plate	
1147	1	1	20		blanche rosé	Tuile plate	
1151	1	1	17		rouge orangé	Tuile plate	crochet
1151	1	1	14		beige orangé	Tuile plate	
1159	1	1	14	160	rouge	Tuile plate	crochet et perforations
1165	2	2	12		orangé à inclusions rouges	Tuile plate	crochet et perforation
1173	1	1	15		rouge orangé	Tuile plate	
1181	1	1	15		rouge	Tuile plate	
1181	1	1	12		marron cœur gris	Tuile plate	perforation
1183	1	1	12		beige rougeâtre	Tuile plate	
1184	1	1	18		orangée à inclusions rouges	Tuile plate	crochet et 1 perforation
1184	1	1	14		beige orangé	Tuile plate	Crochet
1184	1	1	12		beige orangé	Tuile plate	Crochet et 1 perforation
1184	1	1	12		beige	Tuile plate	
1184	1	1	14		rouge / blanche	Tuile plate	
1191	1	1	11		rosé	Tuile plate	
1192	1	1	11		jaune	Tuile plate	
1200	1	1	20		beige jaunâtre	Tuile plate	
1208	1	1	16		orangée	Tuile plate	
1208	1	1	13		beige orangé	Tuile plate	Crochet et 1 perforation
1232	1	1	17		beige jaunâtre	Tuile plate	
1232	1	1	16		beige cœur gris	Tuile plate	
1233	1	1	15		beige cœur orangé	Tuile plate	
1233	1	1	18		orangé	Tuile plate	
1236	1	1	15		beige orangé	Tuile plate	Un parement avec TF
1243	1	1	13		chamois cœur rose, inclusions rouge et blanche	Tuile plate	Crochet et traces de lissage

Us / fait / Ens.	NR	NMI	Ep.	I	Pâte	Type	Observations
1243	1	1	15		chamois, inclusions noires (ferreuses)	Tuile plate	
1246	2	2	15		orangée	Tuile plate	
1270	2	1	17		orangée à inclusions rouges	Tuile plate	
1302	1	1	14		rouge inclusions rouges	Tuile plate	
1380 (1526)	1	1	27		grise orangée	Carreau glacuré	Glaçure verte mais complètement usée/Traces de feu
1381-A	1	1	13	146	beige jaunâtre	Tuile plate	crochet et perforations et traces de lissage
1381-A	1	1	13		orangée	Tuile plate	perforation
1381-A	1	1	13		rouge inclusions rouges	Tuile plate	
1521	1	1	15		orangé	Tuile plate	

3.7 Annexe 7 : Etude des principaux vestiges fauniques (Céline le Goff-Benzaidi* , Inrap)

**Céline Le Goff-Benzaidi (Inrap CIF, UMR 7041 « Archéologies environnementales »)*

Le site melunais du 19 rue Saint-Liesne, en Essonne, a permis de mettre au jour de nombreux vestiges fauniques exhumés de contextes attribuables aux périodes antique et mérovingienne précoce, ainsi qu'au bas Moyen Âge et à la période moderne (*infra* : chap. 3.8, datations, et chap. 4.4, inventaire du mobilier).

En accord avec G. Desrayaud (RRA), seuls ont été sélectionnés pour cette étude les ensembles a priori les plus cohérents et pertinents. Il s'agit, pour la période antique, d'éléments collectés dans le fossé 1247, pour la période mérovingienne, des vestiges abondants et variés de la fosse profonde 1056 et de la fosse 1057, puis, pour le bas Moyen Âge et la période moderne de restes osseux et dépôts provenant du bassin profond 1381 et des fosses 1028 et 1120.

3.7.1 Méthodes

La détermination anatomique et spécifique a été réalisée au laboratoire d'archéozoologie de Pantin, complétée par les atlas ostéologiques de R. Barone (1986) et de E. Schmid (1972) pour les mammifères, et de A. Cohen et D. Serjeantson (1986) pour les oiseaux. Les travaux de C. Callou (1997) ont été utilisés pour la distinction entre les restes de lapin et de lièvre.

Les restes indéterminés au rang de taxon ont été regroupés en quatre grandes classes en fonction de la taille des animaux identifiés :

- GM : grands mammifères (boeuf, cheval, cerf, ...)
- MM : mammifères de taille moyenne (porc, caprinés, chien, ...)
- Oiseau.

La détermination du sexe s'appuie sur des parties différentes du squelette en fonction des espèces : la forme des canines chez le porc, l'os coxal chez les ruminants et l'ergot chez le coq.

L'estimation de l'âge est abordée à partir des stades d'épiphyse des os longs (Barone 1986) et des stades d'éruption et d'usure dentaires des mandibules (Grant 1982 ; Payne 1973).

Pour la distribution anatomique, le corps des animaux a été divisé en huit grandes parties : tête, mandibule, rachis, thorax, scapula ou ceinture scapulaire, os coxal, membres (ou aile et membre postérieur) et extrémités de membre.

Enfin, toutes les traces présentes sur les os sont observées : effets des conditions environnantes et effets des conditions physico-chimiques des sols (Poplin 1973 ; Lyman 2004), morsures, traces de chauffe et de découpes (Lignereux et Peters 1996).

L'analyse de la coquille d'oie a été réalisée au Microscope Electronique à Balayage par Céline Tomczyk (doctorante, Paris-Nanterre, UMR 7041) en collaboration avec Annelise Binois (Paris I Panthéon-Sorbonne, UMR 7041) et moi-même.

Abbreviations :

NR : Nombre de Restes ;

NME : Nombre Minimum d'Eléments ;

MR : Masse des Restes.

3.7.2 Conservation

Les restes osseux animaux sont dans un bon état de conservation pour l'ensemble des périodes.

La corticale des os est solide et la surface est poreuse. Des fissures fines indiquant la soumission de ces éléments aux variations hygrométriques sont somme toute minimales et marquent un tiers des éléments ; celles-ci sont plus importantes dans la fosse 1120 datée du XV^e siècle (probable). La patine est majoritairement beige à 94 %, les 6 % restant, concernant 76 éléments, présentent une variabilité de teinte allant de fragments légèrement brunis à des restes blancs. Cela est dû pour les premiers à un simple passage à la flamme et pour les seconds au rejet dans le foyer, entraînant pour ces derniers éléments en plus de la teinte blanche des fissures importantes et une déformation de la corticale de l'os.

Des traces de morsure ont été relevées sur 24 restes osseux : 19 sont imputables à des chiens, 1 à un rongeur et 4 à l'homme. Onze proviennent de la fosse profonde 1056, cinq à la fosse 1057 et huit à la fosse 1120. Concernant les traces laissées par l'homme, elles ont atteint de petits ossements d'oiseau et de porc périnatal.

Suite à l'enfouissement, seules des traces de radicelles (1056 et 1057) ont été observées et se révèlent anecdotiques (NR : 4).

Le milieu pré et post-enfouissement n'a que très faiblement altéré les ossements, ces rejets résultent de l'activité anthropique pour chaque occupation, la qualité de la conservation des ossements permet de relever les différentes traces liées à leur exploitation. La bonne conservation des restes est également soulignée par la présence de restes de poissons et d'anoures (crapaud et grenouille).

3.7.3 Fossé gaulois à gallo-romain précoce 1247

Les vestiges de période gauloise à romaine précoce (*supra* : chap. 2.2.2 ; chap. 3.1) se caractérisent par quelques restes de cheval dans un fossé. Il s'agit d'un crâne et de deux mandibules qui n'étaient pas en connexion lors de leur découverte (Fig. III-07-01), d'un os coxal et d'un fémur. Les mandibules et les maxillaires permettent d'estimer l'âge de ce cheval à 2 ½ ans 3 ans (Fig. III-07-02). Aucune trace de traitement n'a été relevée sur ces restes. L'intention de ce dépôt est difficile à caractériser, notamment en raison de la longueur du fossé présente sur l'emprise (une quinzaine de mètres). Cette faible distance ne permet pas d'observer une éventuelle répétition de ce geste avec un dépôt de même nature, et notamment celui du crâne ; ou s'il s'agit simplement d'une évacuation des parties anatomiques encombrantes dans ce fossé de manière opportuniste. Cette dernière hypothèse semble la plus vraisemblable.

3.7.4 L'occupation mérovingienne précoce : fosses 1056 et 1057

Pour cette période, la fosse en fût 1056 (Us A et B) et la fosse 1057 (silo ?) ont été sélectionnées car il s'agit de deux ensembles cohérents, qui, de plus, sont spatialement proches l'un de l'autre (*supra* : chap. 2.2.4.1 ; *infra* : chap. 5 : Pl. 096 et 097). La datation des productions céramiques issues des complements est comprises entre 475 et 550 ap. J.-C. (*supra* : chap. 3.5.2). 1056 n'a été fouillée que partiellement, jusqu'à environ deux mètres de profondeur, en raison de la présence sédiments pollués (par des solvants / hydrocarbures ?). Elle a néanmoins livré l'assemblage le plus important, et tout particulièrement l'Us B avec 1291 éléments minimum, l'Us A n'en ayant fourni que 15. 1057, fouillée dans son intégralité, a livré un ensemble bien moins conséquent avec 81 éléments (Fig. III-07-03).



Fig. III-07-01 Fossé 1247, crâne et mandibules de cheval © Inrap : K. Hutinet, M. Rayati ; voir **chap. 5** : Pl. 072



Fig. III-07-02 Fossé 1247, mandibule de cheval, cliché pour âge dentaire © Inrap : C. Le Goff-Benzaidi

Fig. III-07-03 Répartition des restes osseux animaux dans les Us A et B de la fosse profonde 1056 et dans la fosse 1057, période mérovingienne précoce © Inrap : C. Le Goff-Benzaidi

Taxon	Fosse 1056				Fosse 1057	
	Us A		Us B			
	NME	MR	NME	MR	NME	MR
domestique	15	140	1179	12441	81	1219
bœuf	4	66	134	4770	11	600
caprinés	1	29	92	1132		
porc	10	45	639	6039	61	599
chat					1	1
coq			286	436	8	19
oie			8	38		
canard			20	27		
sauvage			13	15		
lièvre			1	9		
anoure			1	0,5		
brochet			2	2		
cyprinidé			9	3,5		
Taxon indéterminé	3	14	463	1188	5	14
GM	2	11	102	325		
MM	1	3	344	859	5	14
poisson			3	1		
oiseau			14	3		
Total général	18	154	1655	13644	86	1233

Ainsi l'échantillon de la période mérovingienne totalise 1579 restes osseux et dentaires animaux, dont 1288 ont été déterminés au rang de taxon pour une masse de 15 kg, soit 91,9 % de la masse totale des restes (Fig. III-07-04). Le cortège de faunes est assez diversifié avec sept taxons domestiques et quatre sauvages (Fig. III-07-04). Les premiers dominent de manière écrasante cet ensemble avec 99 % des restes déterminés, la part des animaux sauvages est ici tout à fait anecdotique. Parmi les animaux domestiques se trouvent les mammifères de la triade domestique, c'est-à-dire le bœuf, le porc et les caprinés, aucune distinction entre le mouton et la chèvre n'a pu être observée ici, et à la marge du chat. A ceux-ci s'ajoutent des oiseaux domestiques : le coq, l'oie et le canard. Concernant les animaux sauvages, le lièvre est présent avec un reste, les cyprinidés en totalisent dix dont neuf attribuables au brochet et les anoures deux restes. Le poids moyen des fragments osseux indéterminés, dont la participation s'élève à 26,8 %, est de 2,6 g.

3.7.4.1 Les mammifères domestiques (FS1056 et 1057)

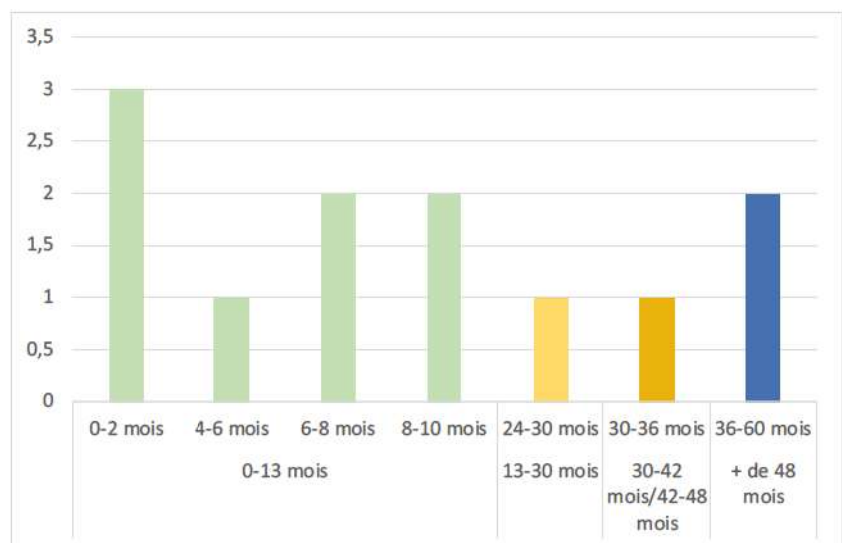
Parmi les mammifères de la triade domestique, la faveur va au porc qui rassemble un peu plus de la moitié des éléments déterminés (55,1 %) et presque la moitié de leur masse (48,4 %). Le bœuf et les caprinés sont loin derrière avec respectivement 11,6 % et 7,2 % des vestiges déterminés, toutefois si l'on considère la masse des restes, l'apport des caprinés demeure faible, en revanche celui du bœuf, est significatif avec 39,3 % de la masse.

Ainsi pour le porc, un Nombre Minimum d'Individus de fréquence (NMI_f) a pu être estimé à quatorze individus à partir de la scapula droite. Cependant, l'estimation des âges réalisée à partir des stades d'usure et d'éruption dentaire des mandibules droites et gauches permet d'affiner ce nombre à dix-huit à partir d'un Nombre Minimum d'Individus de combinaison (NMI_c). La classe d'âge des 0-13 mois (Fig. III-07-05 : en vert sur le graphique) est la mieux représentée et l'on peut souligner la présence de trois porcelets périnataux. Les quatre classes suivantes sont bien moins représentées, on note cependant deux individus plus âgées. Cette répartition met l'accent sur la consommation de viande de très bonne qualité avec une majorité de jeunes individus, deux ont néanmoins été conservés soit

Fig. III-07-04 Spectre de faune pour les fosses 1056 et 1057, période mérovingienne précoce
© Inrap : C. Le Goff-Benzaidi

Taxon		NME	NME %	MR	MR %	NMI
domestique		1275	99%	13800	99,9%	
bœuf	<i>Bos taurus</i>	149	11,6%	5436	39,3%	4
caprinés	<i>Caprinae</i>	93	7,2%	1161	8,4%	7
porc	<i>Sus scrofa domesticus</i>	710	55,1%	6683	48,4%	18
chat	<i>Felis catus</i>	1	0,1%	1	0,0%	1
coq	<i>Gallus gallus</i>	294	22,8%	455	3,3%	29
oie	<i>Anser anser</i>	8	0,6%	38	0,3%	1
canard	<i>Anas sp.</i>	20	1,6%	27	0,2%	3
sauvage		13	1%	15	0,1%	
lièvre	<i>Lepus europeus</i>	1	0,1%	9	0,1%	1
anoure	<i>Anura</i>	1	0,1%	1	0,0%	1
brochet	<i>Esox lucius</i>	2	0,2%	2	0,0%	1
cyprinidé	<i>Cyprinidae</i>	9	0,7%	4	0,0%	1
NME déterminé	1288	1288	100%	13815	100%	
NME déterminé %			73,2%		91,9%	
Taxon indéterminé		471	26,8%	1216	8,1%	
GM		104	5,9%	336	2,2%	
MM		350	19,9%	876	5,8%	
poisson		3	0,2%	1	0,0%	
oiseau		14	0,8%	3	0,0%	
Total général		1759	100%	15031	100%	

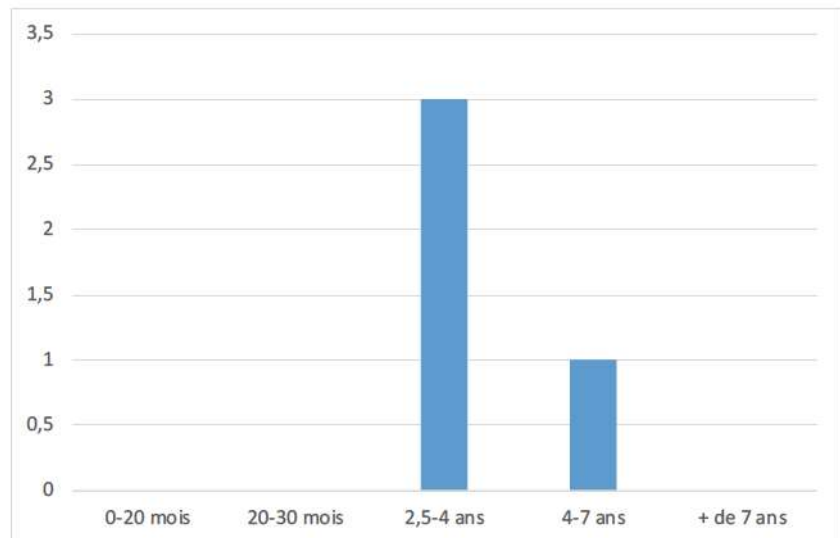
Fig. III-07-05 Fosses 1056 et 1057, distribution des âges au décès des porcs établis à partir des stades d'usure et d'éruption dentaire © Inrap : C. Le Goff-Benzaidi



pour l'engraissement, soit pour la reproduction. Cette dernière éventualité est tout à fait envisageable si l'on considère la présence des individus périnataux. Deux verrats et une truie ont été reconnus.

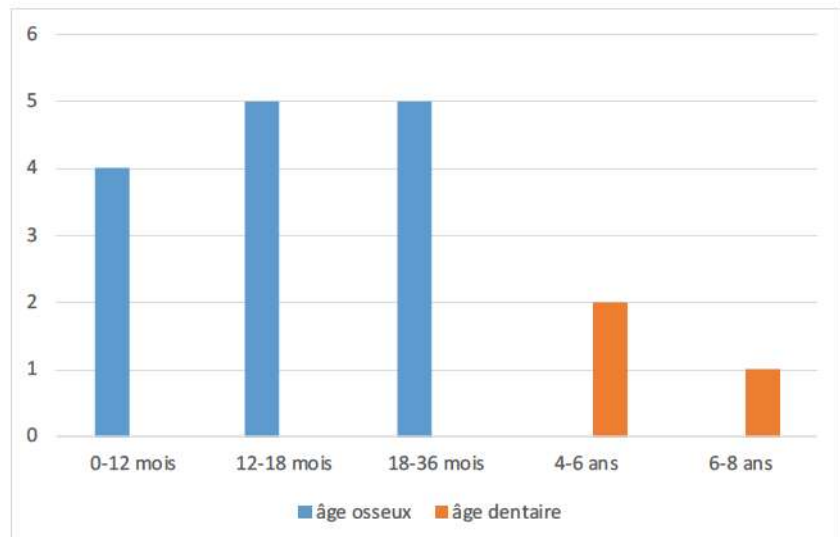
Pour le bœuf, les estimations d'âge au décès n'ont pu être réalisées qu'à partir des stades d'épiphyse des os. Il s'agit ainsi d'animaux jeunes et d'un individu réformé (Fig. III-07-06), mais dont la soudure est en train de se finaliser, ce qui indique qu'il entre tout juste dans la classe d'âge correspondant à celle des animaux réformés. Par conséquent, il ne peut être considéré comme un animal âgé. Un Nombre Minimum d'Individus de fréquence (NMI_f) a ainsi pu être estimé à trois individus à partir des métapodes. Mais un Nombre Minimum d'Individus par combinaison (NMI_c) a pu être réalisé à partir de mise en corrélation des classes d'âge : un quatrième a ainsi pu être ajouté. Enfin, une vache a été reconnue à partir de l'os coxal.

Fig. III-07-06 Fosses 1056 et 1057, distribution des âges au décès des bœuf établis à partir des stades d'épiphyse des os
© Inrap : C. Le Goff-Benzaidi



Pour les caprinés, les estimations d'âge au décès ont été réalisées à partir des stades d'usure et d'éruption dentaire, ainsi que des stades d'épiphyse des os. Cela a permis d'obtenir une vision plus large de la distribution des âges au décès (Fig. III-07-07), où il est possible de constater que les jeunes individus sont les plus importants. On observe d'une part la présence d'un individu périnatal dans la classe des 0-12 mois et d'autre part grâce aux âges dentaires celle d'individus réformés appartenant aux classes d'âge des 4-6 ans et des 6-8 ans. De plus, un mâle a été reconnu à partir du bassin. Le Nombre Minimum d'Individus de fréquence (NMIf) a ainsi pu être estimé quatre individus à partir des mandibules et des tibias. Toutefois, les âges au décès de ces deux parties anatomiques se complètent et offrent un Minimum d'Individus de combinaison (NMIfc) de sept individus.

Fig. III-07-07 Fosses 1056 et 1057, distribution des âges au décès des caprinés établis à partir des stades d'usure et d'éruption dentaire et d'épiphyse des os
© Inrap : C. Le Goff-Benzaidi

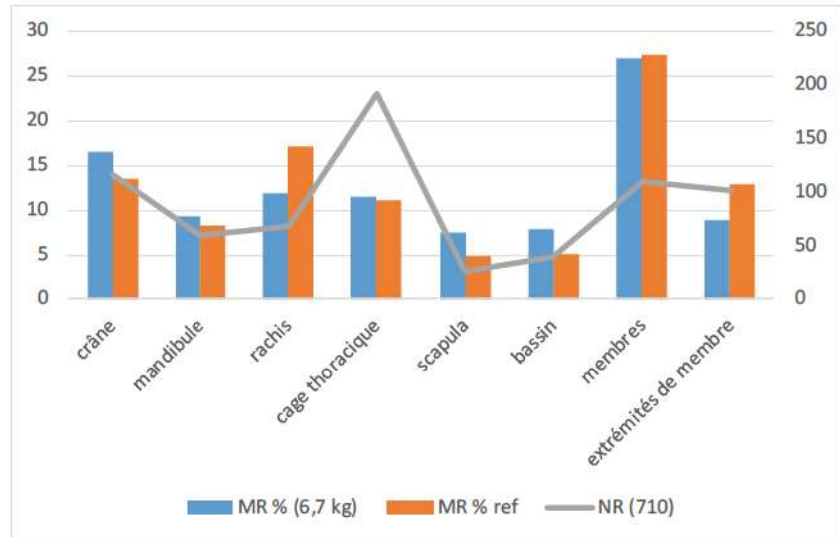


3.7.4.1.1 La répartition anatomique (FS1056 et 1057) :

Le porc

Les vestiges de porc témoignent d'une nette homogénéité entre les restes provenant des fosses 1056 et 1057 et ceux de l'individu de référence (Fig. III-07-08), malgré quelques petites disparités qui peuvent être dues à la contrainte de la collecte réalisée à vue, la fosse en fût n'ayant pu être fouillée intégralement pour les raisons déjà évoquées. Toutefois, la perte entre les rejets initiaux des individus qui ont constitué l'assemblage et les restes exhumés est minimale. Ils témoignent, en outre, d'un traitement de boucherie réalisé dans un contexte domestique.

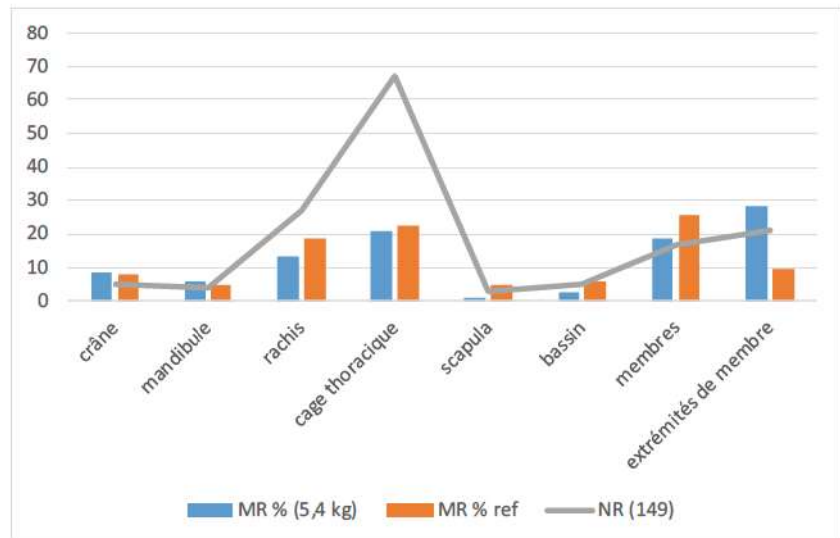
Fig. III-07-08 Répartition anatomique des restes de porc, période mérovingienne, fosses 1056 et 1057 © Inrap : C. Le Goff-Benzaidi



Le bœuf

Les restes de bœuf sont proches de l'individu de référence (Fig. III-07-09) en ce qui concerne le crâne, la mandibule et la cage thoracique, certaines parties sont légèrement sous représentées : le rachis, la scapula, le bassin et les os des membres, enfin les extrémités de membres sont quant à elles présentent en excès. Cela met en évidence une place importante des parties non consommables mises au rebut aux premières étapes de la préparation de la carcasse. A contrario, les parties plus riches en viande sont sous-représentées, mais leur participation est néanmoins prégnante.

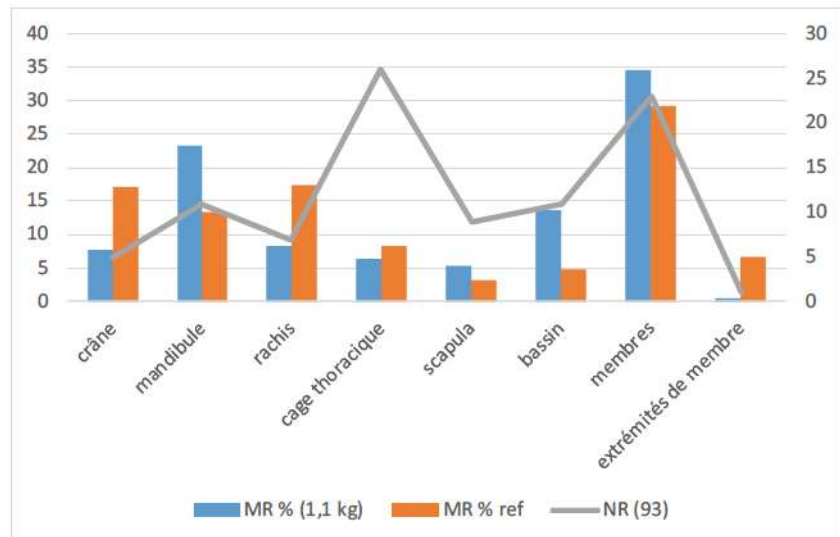
Fig. III-07-09 Répartition anatomique des restes de bœuf, période mérovingienne, fosses 1056 et 1057 © Inrap : C. Le Goff-Benzaidi



Les caprinés

Pour les caprinés, le crâne, le rachis, la cage thoracique sont sous-représentés et les extrémités de membres quasi-inexistants. En revanche, la mandibule, la scapula, le bassin et les os des membres sont en surreprésentation (Fig. III-07-10).

Fig. III-07-10 Répartition anatomique des restes de caprinés, période mérovingienne, fosses 1056 et 1057 © Inrap : C. Le Goff-Benzaidi



3.7.4.1.2 Les traces de traitement (FS1056 et 1057) :

Pour le bœuf, les traces de découpes observées (Fig. III-07-11) relèvent de différentes étapes de traitement d'une carcasse réalisées au couperet pour les sections ou au couteau pour la décarnisation. Il s'agit tout d'abord de l'habillage, qui consiste à mettre au rebut les parties impropres à la consommation (extrémités de membres, rachis et crâne) et la récupération de la langue (section de la mandibule). La découpe de gros et demi-gros a aussi été observée sur les scapulas, bassins et membres, visant à réduire le volume des membres de manière à pouvoir déplacer et manipuler ces parties imposantes, enfin certains os des membres ont été réduits pour des préparations culinaires.

Les étapes décrites précédemment ont également été observées pour le porc (Fig. III-07-12) et les caprinés (Fig. III-07-13), toutefois les traces d'habillage sont plus limitées sur les extrémités de pattes et les membres sont moins fragmentés en raison de leur taille.

Parmi les restes de mammifères domestiques, figure également un humérus de chat (fosse 1057) ne portant aucune trace de traitement. La consommation de cet animal est écartée.

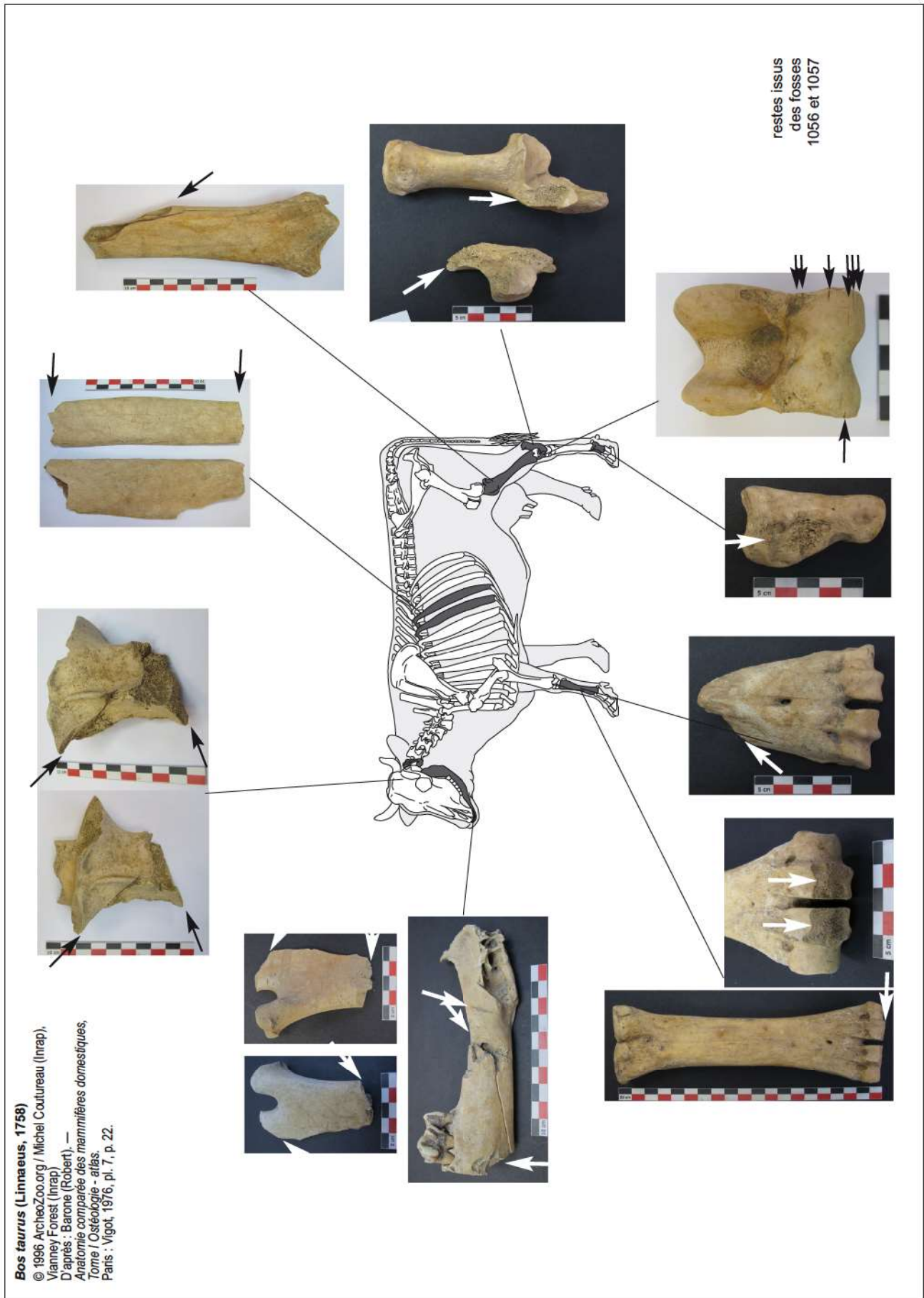


Fig. III-07-11 Traces de traitement sur les restes de bœuf, période mérovingienne, fosses 1056 et 1057 © Inrap : C. Le Goff-Benzaidi

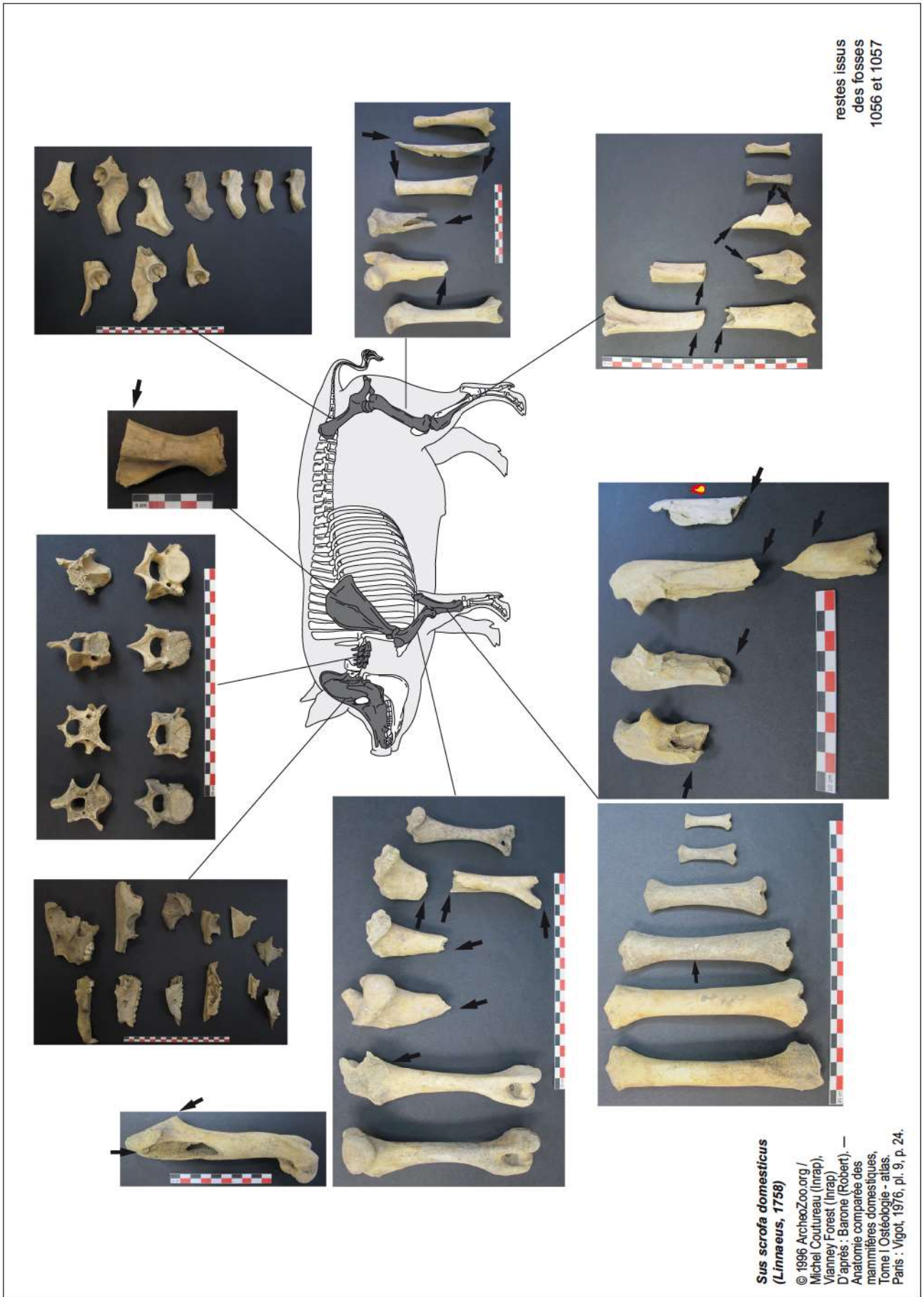


Fig. III-07-12 Traces de traitement sur les restes de porc, période mérovingienne, fosses 1056 et 1057 © Inrap : C. Le Goff-Benzaidi

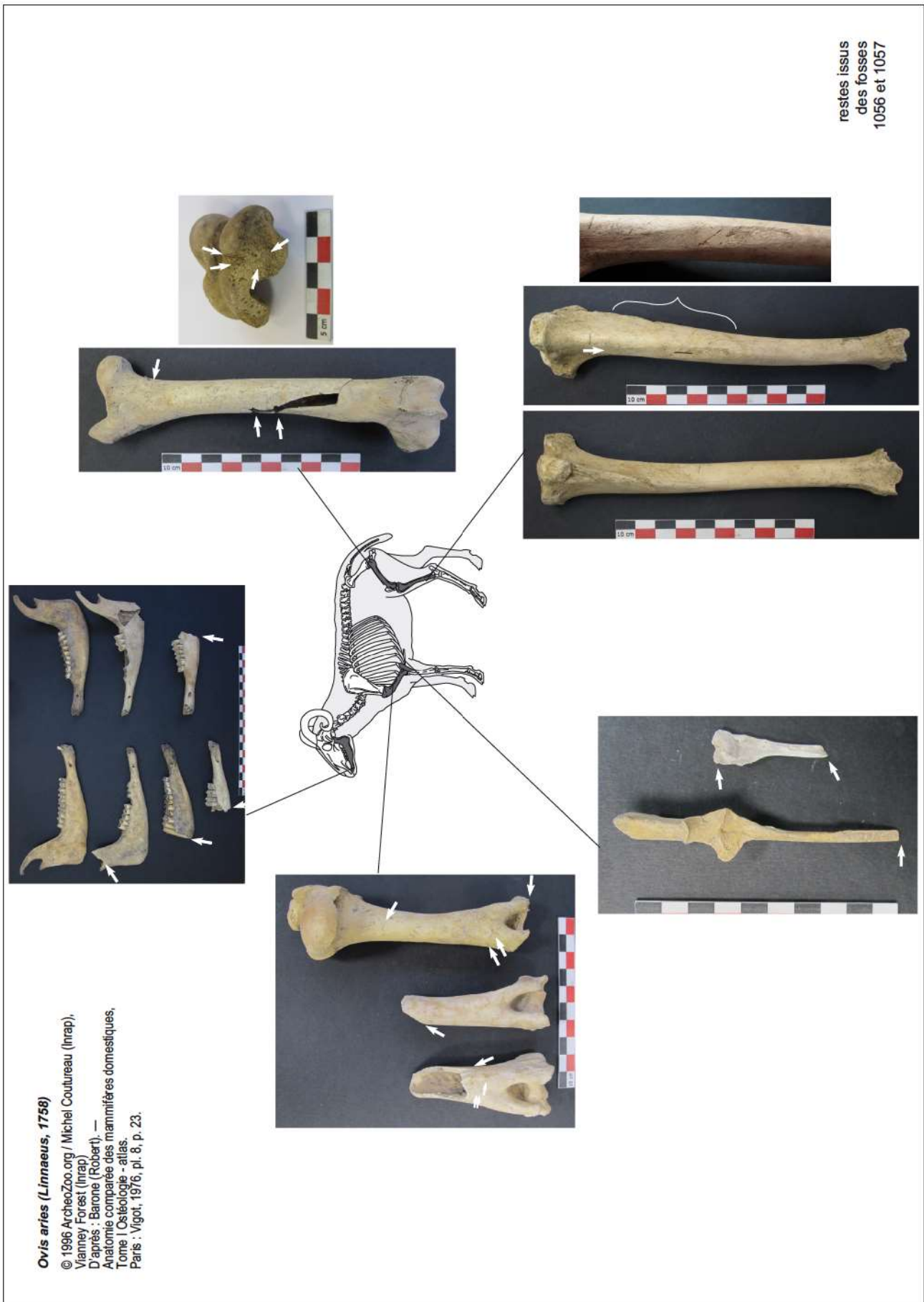


Fig. III-07-13 Traces de traitement sur les restes de caprinés, période mérovingienne, fosses 1056 et 1057 © Inrap : C. Le Goff-Benzaidi

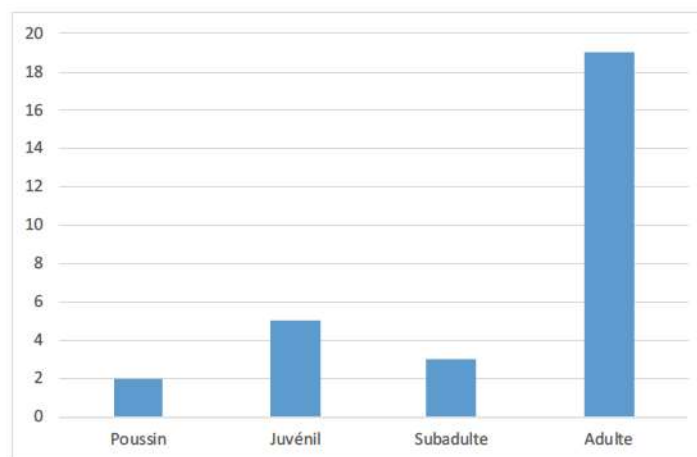
3.7.4.2 Les oiseaux domestiques (FS1056 et 1057)

Chez les oiseaux, le coq est le volatile dominant, alors que le canard et l'oie sont présents de manière anecdotique.

Les ossements de coq s'élèvent à 294, dont 8 seulement proviennent de la fosse 1057. Les restes proviennent de l'ensemble du squelette, du crâne aux phalanges avec une plus forte proportion des os des membres et du tronc. Le Nombre Minimum d'Individus de fréquence (NMI_f) est de 24, estimé à partir des tibio-tarses droits. Toutefois, comme pour les mammifères de la triade domestique, on peut observer que ce nombre est amélioré grâce aux estimations d'âge au décès, ont compte ainsi vingt-neuf individus (Fig. III-07-14). En outre, les tarso-métatarses, droits et gauches, ont permis d'observer la présence de onze femelles et trois mâles (Fig. III-07-15).

Fig. III-07-14 Fosses 1056 et 1057, graphique (a) de distribution des âges au décès des coqs établis à partir des stades d'évolution de la croissance des os et photographie (b)

© Inrap : C. Le Goff-Benzaidi



a





Fig. III-07-15 Fosses 1056 et 1057, sexage des coqs à partir des tarso-métatarses © Inrap : C. Le Goff-Benzaidi

La répartition anatomique du coq montre une forte présence du squelette appendiculaire, la rareté de la mandibule et du crâne est très probablement due à la fragilité de ces parties (Fig. III-07-16).

Toutefois l'absence de tamisage, pour des raisons précédemment évoquées, peut avoir engendré la quasi-absence de petites pièces anatomiques telles que les phalanges et les vertèbres. Mais, la présence d'un crâne et d'une mandibule invite à suggérer que cette volaille était préparée *in situ*.

Parmi ces ossements, 65 portent des traces de traitement (Fig. III-07-17). Les traces relevant d'un couperet ou d'un gros couteau de cuisine intéressent 24 os, principalement des os du squelette appendiculaire, deux tarso-métatarses où les sections sont le plus souvent dans la partie proximale ou distale de la diaphyse et sept pelvis. On note aussi de fines stries, qui se concentrent sur les humérus, fémurs et tibio-tarses. Celles-ci sont essentiellement situées aux extrémités proximales ou distales et sont ainsi liées à la désarticulation. Enfin ces stries peuvent être ponctuellement associés à des fracturations des os des membres, situées dans ce cas vers le centre de la diaphyse.

Fig. III-07-16 Répartition anatomique des restes de coq, période mérovingienne, fosses 1056 et 1057 © Inrap : C. Le Goff-Benzaidi

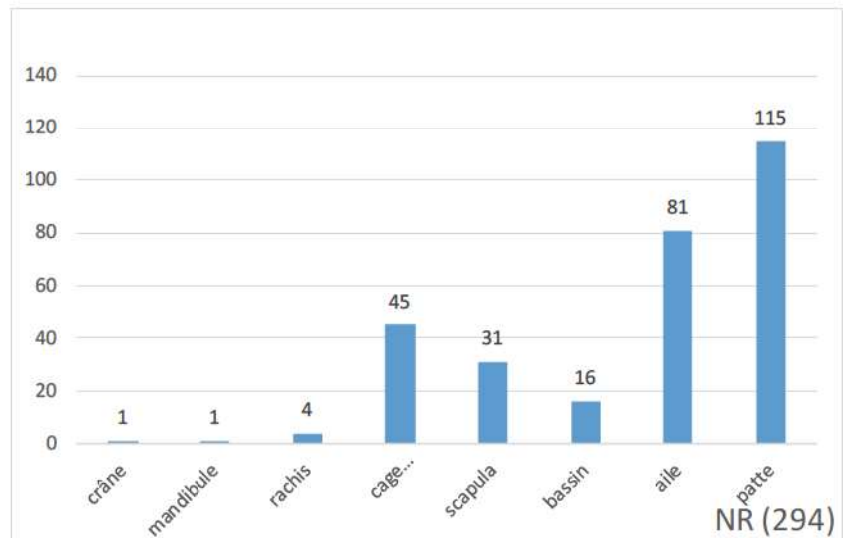


Fig. III-07-17 Fosses 1056 et 1057, traces de désarticulation sur des tibio-tarses de coq
© Inrap : C. Le Goff-Benzaidi



Issus de la fosse en fût 1056, vingt ossements de canard ont été collectés et concernent trois individus : trois coracoïdes droits, deux humérus droits et un gauche, deux radius droits et deux gauches, trois ulnas droits et deux gauches, deux carpo-métacarpes droits et deux gauches, et un tarso-métatarse gauche. Deux humérus portent des traces de section.

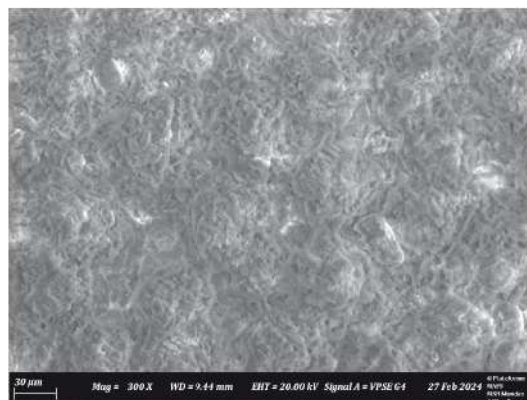
Pour l'oie, le Nombre Minimum d'Éléments s'élève à huit dont l'ensemble provient de 1056. Ces pièces anatomiques sont vraisemblablement attribuables à un seul individu : une clavicule, une scapula, un humérus, un radius, un ulna, un fémur, un tibio-tarse ainsi qu'un carpo-métacarpe. Cinq d'entre eux (la clavicule, la scapula, l'humérus, le tibio-tarse et le fémur) porte des traces de section par coup ou fracture et des stries de décarnisation et de désarticulation.

Une coquille d'œuf a été déterminée comme appartenant à l'oie à partir de l'épaisseur de la coquille dont les mesures comprises entre 650 et 720 microns ont été comparées aux données collectées par T. Jonuks (*Jonuks et alii* 2017).

La surface interne de ces fragments de coquille a également fait l'objet d'une expertise sur le MEB du laboratoire de l'équipe d'Archéologies environnementales de l'UMR 7041 – ArScAn menée par C. Tomczyk, avec la collaboration d'A. Binois (Paris I ; **Fig. III-07-18**).

Les résultats de cette expertise n'ont pas permis de discriminer une espèce en particulier à partir de l'aspect des cônes mamillaires ou mammilles (*Hicks et alii* 2022 ; *Taivalkoski et alii* 2022), ceux-ci apparaissant résorbés ne permettent plus l'identification, mais met en évidence l'éclosion de l'œuf. Toutefois, la combinaison des deux informations à notre disposition nous donne l'assurance à la fois de l'appartenance de ces coquilles à l'oie ainsi qu'à la naissance d'un poussin, qui signale la présence d'un élevage de l'oie sur le site.

Fig. III-07-18 Fosse 1056, coquille d'œuf d'oie, vue interne des mammilles au MEB
© cliché : Céline Tomczyk, Paris I – UMR 7041



3.7.4.3 La faune sauvage (FS1056)

Cette catégorie est faiblement présente. Les restes de faune sauvage sont tous regroupés dans 1056. Ils se caractérisent par un fémur de lièvre, deux cléithrums de brochet et neuf de cyprinidés (un urostyle, une vertèbre caudale, un ptérygophore et une côte) et un fémur d'anouère. Aucun de ces restes ne porte de trace de traitement.

3.7.4.4 Synthèse (FS1056 et 1057)

Les restes étudiés attribuables à la période mérovingienne précoce proviennent de deux ensembles clos : une grande fosse profonde en fût et une fosse subquadrangulaire (silo ?) qui lui est contigüe. Ils ont fourni une quantité importante de vestiges osseux et dentaires animaux, avec 1288 éléments déterminés, malgré la fouille partielle de la fosse «en puits» et l'absence de tamisage, en raison de la pollution présente dans ce secteur.

La diversité taxonomique est moyenne avec sept animaux domestiques, mammifères et oiseaux, dont six ont fait l'objet de consommation, et de quatre taxons sauvages, dont un relève de la chasse, le lièvre, deux de la pêche, le brochet et un cyprinidé («famille des carpes»), quant au quatrième, l'anouère («famille des grenouilles»), sa présence dans la fosse est plus probablement le résultat d'un piégeage naturel d'un animal dans ce creusement profond.

Les taxons domestiques constituent presque l'intégralité de l'assemblage avec 99 % du Nombre Minimum d'Eléments déterminés. Au sein de ce groupe, les trois mammifères domestiques principaux, à savoir le bœuf, le porc et les caprinés (le mouton et la chèvre), dominent ce cortège de faune avec 73,6 % des restes, les oiseaux domestiques : le coq, l'oie et le canard, en composent la seconde et appréciable partie.

Cependant, la composition générale en Nombre Minimum d'Eléments est quelque peu inhabituelle, car si l'on considère l'ensemble des espèces domestiques, mammifères et oiseaux confondus, on constate la prédominance du porc avec un peu plus de la moitié de l'assemblage déterminé, suivi par le coq avec pratiquement un quart du nombre de cet assemblage, viennent ensuite le bœuf et les caprinés.

Si l'on se place du point de vue de la Masse des Restes, le porc conserve la position principale avec un peu moins de la moitié de la masse totale suivi par le bœuf, puis loin derrière les caprinés et sans surprise le coq. Ainsi, si la position privilégiée du porc est ici indiscutable avec dix-huit individus estimés, la place du bœuf dans l'apport carné des résidents est, somme toute, perceptible, alors que celle des caprinés ne représente qu'un mince apport. Parallèlement, il semble indispensable de souligner la participation importante de la volaille et du coq en particulier, pour lequel le Nombre Minimum d'Individus estimé s'élève à 29.

La répartition des restes est tout à fait homogène pour le porc, alors que quelques variabilités peuvent être observées pour le bœuf et les caprinés. La vision globale ne met cependant en évidence aucun choix significatif, malgré quelques lacunes, probablement liées à la taille des ossements (phalanges) dans le cas des caprinés ou de la fragilité de certaines pièces (scapula), dans celui du bœuf. Par ailleurs, tous portent des stigmates de découpe : section par coup ou stries de décarnisation ou désossage. L'ensemble met ainsi en évidence un traitement domestique, de l'abattage au débitage de la carcasse.

Les données biologiques permettent d'observer dans chaque cas la présence privilégiée de jeunes individus associés à quelques rares individus réformés. En effet, le porc dont l'intérêt réside exclusivement dans son apport carné, se caractérise principalement par la présence de très jeunes individus, parmi lesquels deux périnataux, de quelques individus ayant atteint la maturité pondérale et enfin de porcs plus âgés. Cette répartition met l'accent d'une part sur un apport en viande fraîche non négligeable et de très bonne qualité avec les très jeunes et jeunes porcs et d'autre part sur un apport de viande de conserve souligné par les porcs plus âgés qui ont pu être engraisés à cette fin. Par ailleurs, la présence de mâles, de femelles et d'individus périnataux permettent également de mettre en évidence un élevage avec reproduction au sein de l'occupation.

Les données disponibles pour le bœuf sont bien moins nombreuses. Celles qui ont pu être recueillies indiquent uniquement la consommation d'individus ayant atteint la maturité pondérale. Son origine semble de ce fait être extérieur à l'établissement. Par ailleurs, une vache a été identifiée, cela permet, en parallèle des âges d'abattage, d'évoquer son exploitation potentielle pour le lait dans un cadre domestique.

Quant aux caprinés, les données témoignent, à l'instar du porc, mais dans une moindre mesure, de la présence de très jeunes individus, dont un périnatal, d'individus ayant atteint la maturité pondérale, ainsi que d'individus réformés. Un mâle a également été reconnu. Cette répartition permet de nouveau d'évoquer la consommation de viande fraîche grâce à la présence de jeunes individus, de suggérer à travers la présence de l'individu périnatal et des individus âgés de l'éventualité d'un élevage avec reproduction sur place comme pour le porc, bien que les informations concernant le sexe soient ténues, et enfin de proposer qu'ils aient pu être exploités pour une production domestique de laine ou de lait.

Un constat équivalent à celui du porc et des caprinés peut être fait pour le coq, tant au niveau de la répartition anatomique, que de la diversité des âges et des sexes puisque mâles, mâles castrés et femelles ont été identifiées. Ainsi, un élevage comme un traitement sur place de ces volailles paraît envisageable. Cela peut également être suggéré pour l'oie, mais en abordant cette espèce avec un angle différent étant donné la faible quantité d'ossements collectés pour ce volatile. C'est ici la présence d'une coquille d'œuf d'oie dont l'aspect de la surface interne de la coquille (résorption de mammilles) témoignent de l'éclosion de cet œuf ; en découle donc l'hypothèse d'un élevage d'oie au sein de l'occupation. *A contrario* malgré une meilleure représentation des restes de canard par rapport à l'oie, seule sa consommation peut être mise en évidence ici.

En marge, quelques éléments tout à fait anecdotiques proviennent de la chasse et de la pêche.

La composition de l'assemblage centrée sur des animaux domestiques et la répartition anatomique mettent en évidence le caractère domestique de ces vestiges : du rejet de préparation de carcasse et aux vestiges de table. Par ailleurs, la présence dominante du porc et de la volaille ainsi que les âges d'abattage témoignent du statut privilégié des résidents (Blary, Yvinec 2005 ; Putelat, Logel *et alii* 2012 ; Frère, Yvinec 2009).

3.7.5 Le bas Moyen Âge et la période moderne : 1381, 1120 et 1028

Trois contextes ont été sélectionnées pour ces périodes : la fosse de construction (1381-D) du bassin profond 1381 et son comblement initial conservé (1381-B ; *supra* : chap. 2.2.6.1), probablement respectivement datés des XIII^e-XIV^e et du XIV^e siècle, la fosse 1120 attribuée au XV^e siècle, la plus riche, et la fosse 1028, sans doute moderne (TPQ XVI^e siècle).

3.7.5.1 Le «bassin en puits» 1381

Le «bassin profond» 1381 n'a permis d'exhumer qu'un petit assemblage constitué de douze éléments (masse : 348 g.), dont deux proviennent du comblement initial (1381-B) et dix de sa fosse de construction (1381-D ; *supra* : chap. 5 : Pl. 103 et pl. 106). Onze éléments ont été identifiés au rang de taxon (Fig. III-07-19).

Fig. III-07-19 Spectre de faune du bassin profond 1381 (Us B et D) XIII^e à XIV^e siècle probable © Inrap : C. Le Goff-Benzaidi

Bassin profond 1381		NME	MR
1381-B - Sédimentation du fond du fût maçonné		2	4
domestique		1	1
coq	<i>Gallus gallus domesticus</i>	1	1
taxon indéterminé		1	3
oiseau		1	3
1381-D - Fosse de construction SSE		10	344
domestique		10	344
bœuf	<i>Bos taurus</i>	9	314
caprinés	<i>Caprini</i>	1	30
Total		12	348

Les deux éléments prélevés dans le niveau de sédimentation du fond (1381-B) sont un ulna de coq et un membre d'oiseau dont aucun élément spécifique n'a permis sa détermination.

De la fosse de construction, neuf des dix éléments appartiennent à du bœuf. Ceux-ci sont un fragment crânien (arcade zygomatique), trois mandibules fragmentées dont deux gauches, une incisive et une molaire (1 ou 2), qui n'ont pu être associées aux mandibules, une scapula, ainsi qu'une côte. Il s'agit donc essentiellement des parties squelettiques mises au rebut après l'abattage de l'animal. Chacun de ces éléments, hormis les dents, portent des traces de traitement par coup, la scapula porte également des traces de fines incisions liées à la décarnisation de cette pièce. Le dixième ossement est un tibia de capriné, portant également des traces de boucherie.

Le bœuf compose donc la majeure partie de ce maigre assemblage. Les informations biologiques recueillies à partir des mandibules gauches ont permis d'estimer à partir des stades d'éruption et d'usure dentaire qu'elles appartenaient à deux individus distincts ayant entre 24 et 30 mois. Quant au tibia de capriné, il permet d'estimer un âge au décès à 18 mois minimum. Ainsi, l'ensemble de ces vestiges se compose d'animaux domestiques : mammifères et oiseau. La taille de cet assemblage, les parties présentes et les traces de traitement de boucherie viennent souligner leur caractère domestique : préparation de carcasse et rejets de table. Il s'agit pour le bœuf de jeunes animaux abattus au moment de leur maturité pondérale, ce qui indique qu'ils faisaient partie d'un élevage destiné à la consommation. Trop peu d'éléments sont à notre disposition pour les caprinés, il peut tout au plus être constaté que l'individu concerné était également un jeune animal.

Les rejets les plus gros, tout proportion gardée puisque leur un poids moyen est de 34,4 g, proviennent de la fosse de construction 1381-D. Ils ont pu modestement contribuer au remplissage de cet espace, qui a dû servir de zone de rejet opportuniste précédant le moment de son colmatage. En parallèle, les ossements provenant du niveau sédimenté du fond du bassin sont très anecdotiques et de petite taille puisqu'ils se limitent aux deux os d'oiseaux. La rareté de ces vestiges laisse donc penser qu'il n'a pas servi de zone dépotoir au moment de l'arrêt de son exploitation. Même si le caractère domestique de ces rejets ne fait aucun doute, leur quantité, anecdotique, permet de s'interroger sur la proximité de l'espace d'habitat.

3.7.5.2 L'excavation 1120

Cette grande fosse (**chap. 5 : Pl. 108 à 110**), attribuée au XV^e siècle, a permis de mettre au jour 123 restes osseux et dentaires animaux (hors petits individus en connexion), dont 115 ont été déterminés au rang de taxon pour une masse de 11,3 kg soit 99,8 % de la masse totale (**Fig. III-07-20**).

A cela s'ajoute quatre petits animaux en connexion complète ou partielle (non « consommés ») : un chat, deux chiens et un porcelet, ils sont traités en parallèle et n'apparaissent pas dans le tableau de « spectre de faune ».

Fig. III-07-20 Spectre de faune de l'excavation 1120 (hors petits animaux en connexion), XV^e s. probable

© Inrap : C. Le Goff-Benzaidi

Excavation 1120		NME	MR
domestique		115	11393
bœuf	<i>Bos taurus</i>	68	5900
caprinés	<i>Caprinae</i>	6	29
porc	<i>Sus scrofa domesticus</i>	17	521
cheval	<i>Equus caballus</i>	23	4942
chat	<i>Felis catus</i>	1	1
taxon indéterminé		8	28
Total		123	11421

3.7.5.2.1 Les restes fragmentaires (EX1120)

Le cortège de faune se concentre sur les restes fragmentaires des mammifères domestiques : du bœuf, des caprinés, du porc, du cheval et du chat.

Un premier sondage (SD1246) réalisé sur la partie Ouest de la fosse (creusement 1272 ; **chap. 5 : Pl. 108 et 110**). Il a permis d'exhumer, sur l'une des dernières Us (1120-5b-c), un bassin de cheval, en connexion avec son sacrum, ainsi que deux vertèbres lombaires et un fémur de bœuf, sous lesquels se trouvait un porcelet âgé entre 2 et 4 mois, déposé sur son flanc droit, en connexion anatomique (**Fig. III-07-21**). A cela s'ajoute, six os de bœuf (une cheville osseuse, une prémolaire, deux côtes, une scapula et un fémur), six éléments de caprinés (une incisive, un occipital, un ulna, un os coxal et deux fragments de fémur), cinq restes de porc (une molaire, deux humérus, un os coxal et un tibia), trois os de cheval (un crâne et deux vertèbres thoraciques) et un atlas de chat.

Dans la partie Est du sondage, le dépôt se fait plus important (**Fig. III-07-22 ; chap. 5 : Pl. 109**). Ont été exhumés sur deux niveaux (Us 1120-2b / 3a) des crânes de bœuf et de porc (lots 2 et 7), des mandibules de bœuf et de cheval (lots 1, 8 et 10), des vertèbres de bœuf et cheval (lots 5 et 8), des côtes de bœuf et de cheval (lots 1, 5, 10, 11 et 12), des scapulas de porc et cheval (lots 4, 7, 11 et 12), des os coxaux de bœuf (lots 1 et 5), des membres antérieurs de cheval (lots 1 et 4) et postérieurs de bœuf (lots 5 et 8) et des extrémités de membres (lots 5, 10 et 12). Parmi ces éléments, certains étaient en connexion ou peuvent tout au moins être associés, comme le tibia, l'os malléolaire et les os du tarse de bœuf du lot 5, les os du tarse de bœuf du lot 10, les vertèbres cervicales de cheval du lot 3.



Fig. III-07-21 Détail de la faune de la partie Ouest de l'excavation 1120, SD1246-Us 1120-5b-c / 1272, XV^e s. probable © Inrap : F. Métails, E. Saron ; voir chap. 5 : Pl. 108 et 110



Fig. III-07-22 Fouille en cours de la faune (passe 1) de la partie Est de l'excavation 1120, Us-2b / 3a ; vue depuis le SO le 28 octobre 2021 © Inrap : K. Hutinet ; voir chap. 5 : Pl. 109

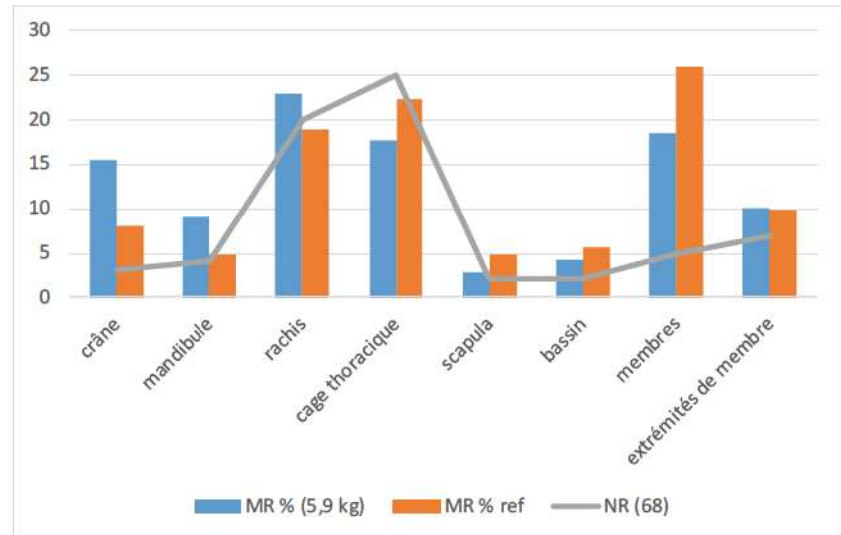
Associés à ces vestiges, se trouvent plusieurs individus complets ou partiels en connexion : un chat (lot 6), un chien (lot 9), auxquels s'ajoute un chiot très partiellement conservé (lot 3).

Pour le bœuf, les données biologiques ont permis d'estimer des âges au décès à partir des stades de croissance des os à 5 ans minimum pour un individu et à partir des stades d'usure dentaire entre 6 et 8 ans pour un second.

Le bœuf est le seul animal pour lequel une répartition anatomique des restes peut être proposée, malgré un nombre de restes insuffisants (Fig. III-07-23 ; Frère, Bayle, Forest 2017). Ainsi, il peut néanmoins être perçu que les parties excédentaires sont le crâne, la mandibule et le rachis. Les extrémités de membres sont équivalentes à l'animal de référence. Les autres parties : thorax, scapula bassin et membres antérieurs et postérieurs sont sous-représentées. Ceci met en évidence une partie plus importante des restes mis au rebut au moment de la préparation de la carcasse après l'abattage, dont la méthode n'a pu être observée ici. Les parties riches en viande sont ainsi légèrement sous évaluées.

Des traces de section par coup et des incisions ont été relevées sur la moitié des restes, soulignant la division du corps et le prélèvement de la chair, ainsi que le désossage.

Fig. III-07-23 Répartition anatomique des restes de bœuf de l'excavation 1120, XV^e s. probable © Inrap : C. Le Goff-Benzaidi



Les restes de caprinés, très discrets dans cet assemblage puisque seulement six restes ont été comptabilisés, proviennent du crâne, de la mandibule (une incisive), du bassin et des membres postérieurs (fémurs et tibia). Un fémur a permis d'observer la présence d'un individu juvénile. Des traces de traitement ont été observées sur trois restes.

Pour le porc, en plus de l'individu périnatal déjà évoqué, dix-sept restes ont été collectés : un crâne et deux fragments crâniens, une mandibule et une molaire isolée, une vertèbre, quatre côtes, une scapula, un os coxal, une fibule, deux humérus, un tibia et une phalange proximale. Les dents de la mandibule ont permis d'estimer un âge au décès entre 2 et 4 mois, que les stades de fusion des os ont très légèrement permis de compléter avec un âge au décès estimé à 12 mois minimum. Une truie a été reconnue. Quatre restes portent des traces de section par coup associées ou non à des incisions faites au couteau permettant la décarnisation.

Vingt-trois éléments ont été enregistrés pour le cheval : un fragment crânien, deux mandibules, onze vertèbres, une côte, quatre scapulas, deux os coxaux, un humérus et un radius. Des âges ont pu être estimés à partir des stades d'usure dentaire compris entre 7 ½ ans et 9 ½ ans et entre 9 ½ ans et 11 ½ ans. Ceci permet ainsi de distinguer deux individus. Six restes portent des traces de section : une mandibule, trois vertèbres dont un axis et deux scapulas. Ainsi, la pratique de l'hippophagie peut ici être mise en avant.

3.7.5.2.2 Les animaux en connexion (EX1120)

Le chat est quasiment complet. La tête et de la ceinture scapulaire reposent sur la scapula et les vertèbres sous-jacentes du lot 7. Cet individu repose sur son flanc droit, les membres antérieurs sont fléchis et les membres postérieurs en extension, donnant à l'ensemble un mouvement d'extension générale dû à la souplesse du corps au moment du rejet.

Le chiot n'est plus représenté que par une mandibule, une scapula, un os coxal (deux éléments), un ulna, un fémur et un tibia. Ces éléments ne sont plus en connexion, mais les os présentent tous les caractéristiques d'un animal périnatal et ont donc été considérés comme appartenant à un même chiot.

Un second chien a été découvert en connexion partielle sur le second niveau sous les lots 6 et 7. Il reste de ce chien : le crâne, la mandibule gauche, douze vertèbres, une côte, la scapula, l'humérus, le radius et l'ulna droits, l'humérus et le radius gauches, le fémur gauche, les deux fibulas, puis trois métapodes et deux phalanges proximales.

3.7.5.2.3 Synthèse de l'excavation 1120

De cette grande fosse, plusieurs points peuvent être mis en évidence. Tout d'abord, l'ensemble ne présente aucun agencement particulier, les différents éléments, qu'ils soient isolés ou en connexion ou qu'il s'agisse d'individus, ont été placés dans cette fosse sans précaution particulière, ni organisation, comme en atteste la position générale du chat en extension.

Deuxièmement, de ce cortège de faune, le bœuf est l'animal le mieux représenté, suivi par le cheval, le porc et enfin les caprinés. Les données relatives aux âges d'abattage et au sexe sont limitées, mais elles indiquent que les deux grands mammifères ont été abattus vieux, après avoir été exploités de leur vivant pour les travaux laborieux, contrairement aux caprinés et au porc. Ceci est habituel pour le porc et témoigne d'un apport en viande fraîche et de qualité. Les restes portent des stigmates de découpe évoquant avant tout des parties mises au rebut au moment de la préparation de la carcasse, pour autant on note pour le bœuf que les parties consommables sont relativement bien représentées. Les restes de bœuf et de cheval se caractérisent donc par des pièces ou parties anatomiques volumineuses, dont la quantité globale associée à celles du porc et des caprinés sont restreintes compte tenu du volume général de la fosse.

A leur côté, les carcasses appartiennent toutes à des animaux sont toutes de petite taille, puisqu'il s'agit d'un chat et de deux chiens. De même, l'individu porcin est un très jeune porcelet. L'absence de traitement sur ces carcasses témoignent de leur mort naturelle, un doute subsiste cependant pour le chiot, qui a pu être abattu pour la régulation de la population. En revanche la non-consommation du porcelet semble sous-entendre cette hypothèse. Il met, par ailleurs, en évidence un probable élevage de porcs au sein de cette occupation.

Ainsi cette fosse de la fin du bas Moyen Âge ou du début de la période moderne a servi de fosse dépotoir dans laquelle ont exclusivement été rejetés des restes d'animaux domestiques, dont une partie seulement a été consommée. La faible concentration d'ossements et leur association avec des carcasses de petits mammifères domestiques, destinés à la consommation ou vivant au côté des résidents, témoignent d'une utilisation ponctuelle et opportuniste de cette excavation. Cela pourrait indiquer une certaine distance avec l'espace domestique de l'occupation.

3.7.5.3 La fosse 1028

Cette fosse, probablement du XVI^e ou du XVII^e siècle, a permis de mettre au jour 83 restes osseux et dentaires animaux, dont 80 ont été déterminés au rang de taxon pour une masse de 3,2 kg soit 99% de la masse.

Seuls deux mammifères domestiques composent cet assemblage : du bœuf et un capriné (Fig. III-07-24).

Fig. III-07-24 Spectre de faune de la fosse 1028 (TPQ XVI^e s. ; moderne ?)

© Inrap : C. Le Goff-Benzaiïf

Fosse 1028		83	3280
domestique		80	3257
bœuf	<i>Bos taurus</i>	76	3215
caprinés	<i>Caprinae</i>	4	42
taxon indéterminé		3	23
GM		3	23
Total général		83	3280

Le bœuf pourrait sembler être l'animal dominant compte tenu du nombre d'éléments, cependant il s'agit des restes d'un même individu, disposés en trois ensembles.

Au nord se trouve la partie antérieure du squelette axiale (Fig. III-07-25). Les vertèbres cervicales, de la troisième à la septième, sont en connexion lâche. Du thorax ont été conservés cinq vertèbres et dix-sept côtes. L'ensemble a été perturbé entraînant le déplacement de plusieurs côtes et l'absence de plusieurs vertèbres, malgré cela la cohérence anatomique est perceptible à partir de la position des côtes et des sternèbres, attestant ainsi du dépôt de cette partie de la cage thoracique entière et en connexion.

Dans la moitié sud de la fosse, a été déposée la partie postérieure du squelette axiale ; les vertèbres thoraciques, de la dixième à la treizième, les vertèbres lombaires, le sacrum et le bassin sont en connexion anatomique. Enfin, un membre antérieur gauche en connexion, de la partie distale du fémur aux phalanges, se situe entre ces deux ensembles disposés en parallèle, sous l'extrémité sternale des côtes et les sternèbres et se prolongeant vers l'ouest de la fosse.

Cet individu est une vache âgée de plus de 5 ans. De cet ensemble, seul le fémur porte des traces de section nettement visible au deux tiers inférieur de la diaphyse.

Les restes du capriné sont une prémolaire, un ulna, un os coxal et un tibia. L'âge au décès a été estimé à 26 mois au minimum.

Les vestiges de cette fosse livrent peu d'informations sur les choix alimentaires des résidents, car il s'agit de deux mammifères domestiques parmi les plus fréquents. Seul l'âge d'abattage de la vache permet de supposer qu'ils ont pu l'exploiter pour son lait. Ces rejets relèvent de la préparation de carcasse, pratiquée dans un espace domestique. Cette vache, constituant quasiment à elle seule le remplissage faunique de cette fosse, met en évidence l'utilisation opportuniste du creusement pour l'élimination de sa carcasse. Les rejets associés étant très limités, cela suggère que là encore, la fosse devait être à distance de l'espace d'habitation.

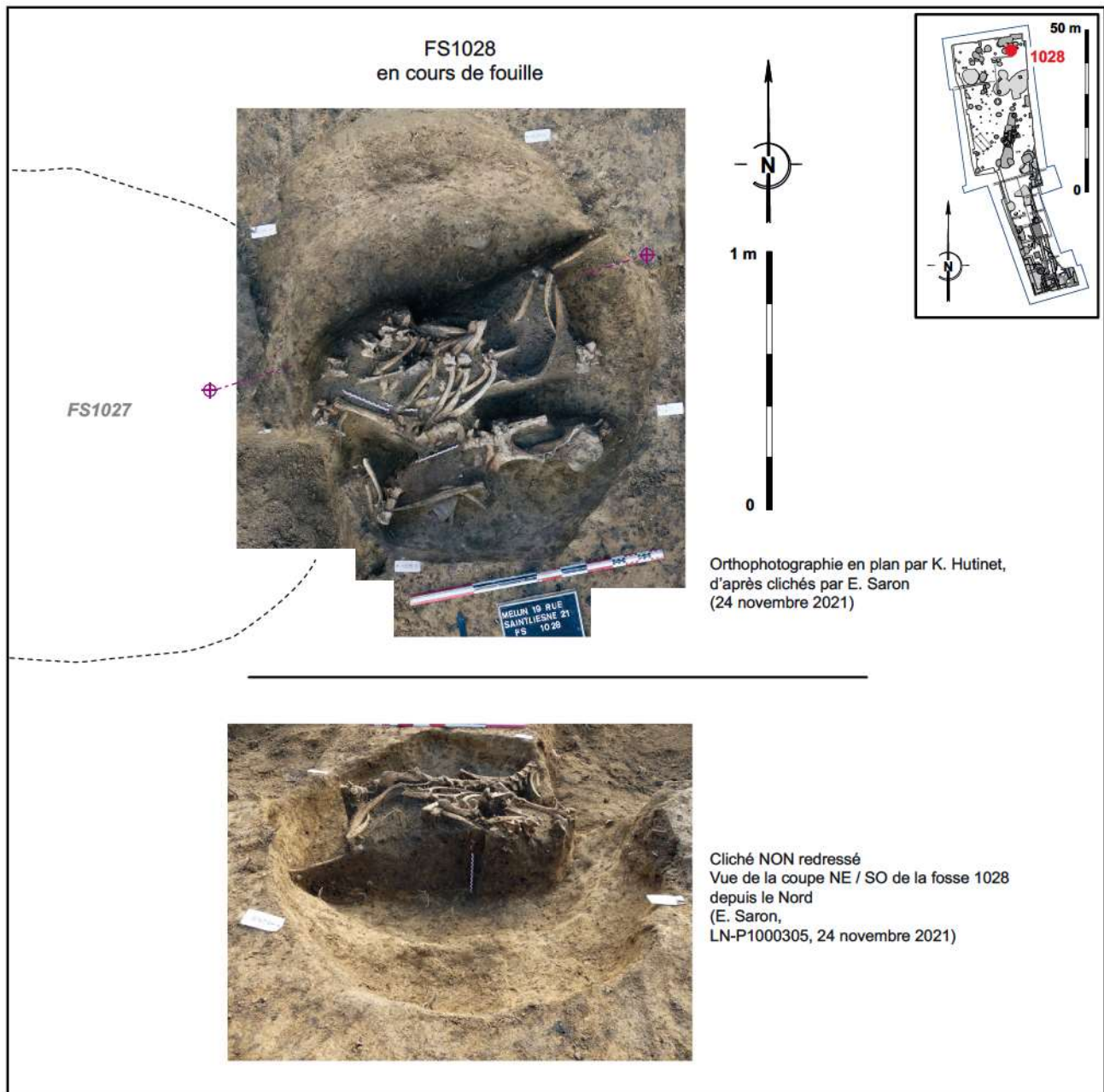


Fig. III-07-25 Vue zénithale et coupe de la fosse 1028 en cours de fouille, vestiges fauniques © Inrap : K. Hutinet, E. Saron

3.7.6 Conclusion

La fouille du 19 rue Saint-Liesne a permis de mettre au jour plusieurs assemblages fauniques de la période gauloise à gallo-romaine précoce, de la période mérovingienne précoce et du bas Moyen Âge et de la période moderne, tous en un bon état de conservation.

La première période se caractérise par quelques ossements d'un jeune cheval, qui ont fait l'objet d'un rejet, sans doute opportuniste, dans un fossé.

L'occupation mérovingienne précoce est bien représentée par deux ensembles clos, dont l'un a livré de nombreux vestiges fauniques. Ceux-ci apportent l'image d'un apport carné de très bonne qualité, malgré une diversité assez moyenne. Ils sont exclusivement basés sur des animaux domestiques, avec des proportions très importantes de porc et notable de coq. On note en revanche l'absence de restes d'équidé, ce qui est plutôt rare à cette période (Decanter, Yvinec 2006).

Les données sur les âges d'abattage tendent à indiquer que les résidents sont des producteurs, qui ont géré leur cheptel pour la consommation de viande et qui ne paraissent pas avoir de besoin particulier en force motrice bovine, pour les travaux agricoles ou le transport, et en apport des matières premières caprines (lait et laine), négligeables. Elles semblent mettre en lumière une vie relativement autarcique et l'exploitation post-mortem des animaux s'est faite dans l'environnement domestique.

Deux estimateurs sociaux, l'abondance de la ressource carnée domestique et la consommation de viande de qualité, font valoir un premier point incontestable : le statut privilégié des résidents (Blary, Derbois, Legros, Yvinec 2005 ; Putelat, Logel *et alii* 2012 ; Frère, Yvinec 2009).

Reste à affiner la nature de ce statut : urbain, seigneurial ou religieux.

La composition de l'assemblage semble exclure l'hypothèse d'un milieu urbain et l'absence de gibier s'oppose à celle d'un site seigneurial (Putelat, Logel *et alii* 2012).

En revanche, la place importante du porc et celle du coq, agrémenté d'un potentiel élevage d'oies, pourrait plaider en faveur d'un établissement religieux (Yvinec 1996 ; Barbier, Clavel *et alii* 2020). Mais les éléments de comparaison sont minces pour cette période, et l'absence de restes d'équidés ne peut être considéré comme argument au profit de cette hypothèse, la viande de cheval ayant été écartée au VIII^e siècle par les papes Grégoire III et Zacharie. Toutefois, un profil avec des critères similaires (abondance du porc, importance de la volaille, absence de cheval, de chien et de sanglier et un peu de lièvre) a été observé dans les rejets d'un dépotoir de la collégiale Saint-Martin de Brive en Corrèze (Barbier, Clavel 2020) daté des VII^e et VIII^e siècles. Cette proposition doit être considérée, mais n'a pas pu être confirmée par les autres mobiliers et vestiges stratigraphiques mis au jour sur la parcelle du 19 rue Saint-Liesne (**chap. 3.5 ; chap. 5 : Pl. 063**).

Trois ensembles clos allant des XIII^e-XIV^e aux XVI^e-XVII^e siècles ont été étudiés : un bassin en « puits » (1381), une excavation (1120) et une fosse (1028). De ces contextes ont été collectés des restes de taxons domestiques et presque exclusivement des mammifères. En dehors du bœuf prélevé dans le creusement de 1381, ceux-ci sont essentiellement des individus réformés, à l'instar du cheval, mais contrairement au porc, comme attendu, et *a priori* aux caprinés.

L'ensemble des vestiges de grands mammifères a pour origine des rejets de préparation de carcasse, comme l'attestent notamment des segments squelettiques en connexion, et met aussi en avant la pratique de l'hippophagie par les résidents au cours du XV^e siècle.

Ce mode de remplissage des fosses, relativement peu fourni en mobilier osseux, associé à des animaux en connexion complète ou partielle, évoque des rejets domestiques ponctuels et une utilisation opportuniste des creusements.

Ces différentes informations mettent en exergue des rejets domestiques de type rural avec, d'une part, une alimentation peu diversifiée et de qualité plutôt moyenne, et, d'autre part, l'hypothèse d'une activité agricole suggérée par le bœuf et le cheval, ainsi que d'élevage avec reproduction sous-entendue par la présence d'un porcelet et d'un agneau.

Enfin, le type de remplissage, déjà évoqué, similaire tout au long de cette période, pourrait indiquer une certaine distance entre le lieu d'enfouissement et l'implantation du secteur d'habitation.

3.8 Annexe 8 : Inventaire détaillé des datations estimées

3.8.1 Tableau synthétique des groupes et intervalles de datation estimés

groupe	type	période estimée	intervalle estimé
00a	Horizons pédologiques	Néolithique à protohistorique ?	-5000 avant / +10 après J.C. ?
00b	Horizon pédologique	Néolithique à début antique ?	-5000 avant / +200 après J.C. ?
01a	Comblement	Gauloise à romaine précoce	-200 avant / +10 après J.C.
01b	Comblement	Gauloise à romaine précoce probable ?	-200 avant / +10 après J.C. ?
02a	Comblements / construction	Romaine (Haut-Empire)	-35 avant / +300 ap. J.-C.
02b	Comblements	Romaine (Haut-Empire) probable ?	-35 avant / +300 ap. J.-C. ?
02Z	comblements	Romaine à alto-médiévale ?	-35 à +300 ap. / 1000-1100 ap. ?
03a	Comblements	Mérovingienne précoce	475-575 après J.-C. [fin V ^e -milieu VI ^e s.]
03b	Comblements / morphologie	Mérovingienne précoce probable ?	475-575 après J.-C. ? [fin V ^e -milieu VI ^e s.]
03c	Comblements	Mérovingienne à médiévale centrale probable ?	500-700 ap. / 1000-1200 ap. J.-C. ? [IV ^e -XII ^e s.]
03Z	Comblements	NON DATÉS : TPQ période mérovingienne	TPQ : 475-700 ap. J.-C.
04a	Bâtiment sur poteau	Impériale tardive à alto-médiévale probable ?	300-550 ap. / 1000-1100 ap. J.-C. ? [IV ^e -X ^e s.]
04b	Horizon de «terre végétale»	Impériale tardive à médiévale centrale	200-550 ap. / 1000-1100 ap. ?
04c	Comblement / sole	Médiévale	475-1100 ap. / 1000-1400 ap.
04d	Horizon de «terre végétale»	Médiévale	475-1100 ap. / 1000-1400 ap.
04e	Horizon de «terre végétale»	Impériale tardive à moderne ?	200-550 ap. / 1600-1825 ap. ?
05a	Comblement / morphologie	Médiévale centrale probable ?	1000-1200 ap. J.-C. ? [X ^e -XI ^e s.]
05Z	Comblements	NON DATÉS : TPQ période médiévale centrale	TPQ : 1000-1200 ap. J.-C.
06a	Bâti / construction	Médiévale centrale tardive à bas Moyen Âge	1200-1400 ap. J.-C. [XIII ^e -XIV ^e s.]
06b	Comblement	du bas Moyen Âge	1300-1400 ap. J.-C. [XIV ^e s.]
07a	Bâti récupéré ? / comblements	du bas Moyen Âge à moderne précoce	1300-1500 ap. J.-C. [XIV ^e -XV ^e s.]
07b	Comblements	du bas Moyen Âge à moderne précoce	1400-1500 ap. J.-C. [XV ^e s.]
07c	Comblements	Médiévale centrale tardive à moderne précoce probable	1200-1400 ap. / 1500-1600 ap. ? [milieu XIII ^e -XVI ^e s.]
07d	Construction / creusement	Médiévale centrale tardive possible à moderne	1200-1400 ap. / 1750-1825 ap. [XIII ^e -fin XVIII ^e s.]
07e	Comblements / remblais	Médiévale tardive à moderne	1400-1500 ap. / 1500-1600 ap. ? [XV ^e -XVI ^e s.]
07Z	Comblements	NON DATÉS : TPQ XIII ^e -XIV ^e s.	TPQ : 1200-1300 ap. J.-C.
08a	Construction / creusement	Médiévale tardive à moderne tardive	1400-1500 ap. / 1750-1825 ap. [XV ^e -fin XVIII ^e s.]
08b	Construction / creusement	Médiévale tardive à contemporaine	1400-1500 ap. / 1825-1950 ap. [XV ^e -début XX ^e s.]
08Z	Comblements	NON DATÉS : TPQ XV ^e s.	TPQ : 1400-1500 ap. J.-C.
09a	Cave 1211	Moderne	1500-1600 ap. / 1600-1750 ap. [XVI ^e -milieu XVIII ^e s.]
09b	Cave 1380	Moderne	1500-1600 ap. / 1750-1825 ap. [XVI ^e -fin XVIII ^e s.]
09c	Comblements	Moderne	1500-1600 ap. / 1600-1750 ap. [XVI ^e -milieu XVIII ^e s.]
09d	Comblements	Moderne	1500-1600 ap. / 1750-1825 ap. [XVI ^e -fin XVIII ^e s.]
09Z	Comblements	NON DATÉS : TPQ XV ^e s.	TPQ : 1500-1600 ap. J.-C.
10a	Comblements	Moderne	1550-1700 ap. / 1750-1825 ap. (2 nd e moitié XVI ^e -fin XVIII ^e s.)
10Z	Comblements	NON DATÉS : TPQ 2 nd e moitié XV ^e -XVII ^e s.	TPQ : 1550-1700 ap. J.-C.
11a	Comblements	Moderne	1575-1700 ap. / 1750-1825 ap. [fin XVI ^e -fin XVIII ^e s.]
11b	Comblements	Moderne	1600-1750 ap. [XVII ^e s. probable]
11c	Construction et comblements	Moderne	1600-1700 ap. / 1750-1825 ap. [XVII ^e -fin XVIII ^e s.]

groupe	type	période estimée	intervalle estimé
11Y	Comblements	NON DATÉS : TPQ XVII ^e s.	TPQ : 1600-1700 ap. J.-C.
11Z	Construction	NON DATÉS : TPQ XVII ^e s. attesté et probables	TPQ : 1600-1700 ap. J.-C. attesté et probable
12a	Remblais de «terre végétale»	Moderne tardive à «contemporaine» précoce	1600-1750 ap. / 1750-1825 ap. [XVII ^e -début XIX ^e s.]
12b	Horizon de «terre végétale» / labours ?	Moderne tardive à «contemporaine»	1600-1750 ap. / 1825-1965 ap. [XVII ^e -milieu XX ^e s.]
13a	Construction	Moderne tardive à «contemporaine»	1650-1825 ap. / 1825-1950 ap. ? [fin XVII ^e -milieu XX ^e s. ?]
13b	Construction	Moderne tardive à «actuelle»	1650-1825 ap. / 1950-2021 ap. [fin XVII ^e -début XXI ^e s.]
13Z	Creusements et comblements	NON DATÉS : TPQ fin XVII ^e s. milieu XIX ^e s.	TPQ : 1650-1850 ap. J.-C.
14a	Construction	«Contemporaine» à «actuelle»	1825-1875 ap. / 2021 ap. [milieu XIX ^e -début XXI ^e s.]
14b	Construction / creusement / comblements	«Contemporaine» à «actuelle»	1825-1900 ap. / 1950-2021 ap. [milieu XIX ^e -début XXI ^e s.]
15a	Horizon de «terre de jardin»	«Contemporaine» à «actuelle»	1825-1950 ap. ? / 2021 ap. [XIX ^e -XX ^e à début XXI ^e s.]
15b	Construction / comblements	«Contemporaine» à «actuelle»	1950-2021 ap. [milieu XX ^e à début XXI ^e s.]
99	divers	Non datés	?

3.8.2 Inventaire des datations estimées par groupe / intervalle

groupe	période / intervalle estimée	Type ENS.	n° ENS.	type fait	n° fait	N° Us / Hz	com. Us-Hz	rem. Us / fait / Ens.	critères de datation	remarques	creus. / fondation	combl. / abandon	combl. / abandon
											TPQ	TPQ	TAQ
00a	Néolithique à début protohistorique ?			Horizon	1325	1325		possible excavation ?	céramique ; stratigraphie	sur Sol brun holocène (I ; 10000-5000 av. J. ; 3 tessons modelés (20 g) ; sous le fossé 1247 et l'HZ1294	10 000-5000 av. J. ?	Néo / Proto.	-175 av. / + 10 ap.
00b	Néolithique à début antique ?			Horizon	1294	1225		Ram. mobilier	stratigraphie	= HZ1294 ; 1 lame à crête à un pan, débitée au percuteur dur. Paléolithique supérieur (phase finale).	Néo. / Proto. (5000 av. J. ?)	Néo. / Proto.	1-200 ap.
00b	Néolithique à début antique ?			Horizon	1294	1226		Ram. mobilier	stratigraphie	= HZ1294 ; 1 fragment distal de lame (lamelle), débitage bipolaire. Paléolithique supérieur (phase finale).	Néo. / Proto. (5000 av. J. ?)	Néo. / Proto.	1-200 ap.
00b	Néolithique à début antique ?			Horizon	1294	1275		Ram. mobilier	stratigraphie	= HZ1294 ; 1 éclat de grès blanc ? Etat de surface frais, débité au percuteur dur. Néolithique ?	Néo. / Proto. (5000 av. J. ?)	Néo. / Proto.	1-200 ap.
00b	Néolithique à début antique ?			Horizon	1294	1294		horizon pédologique	stratigraphie	sur HZ1325 ; relation incertaine avec le fossé 1247 ; antérieur au four de tuiler et aux fossés gallo-romains ; sous l'HZ1278	Néo. / Proto. (5000 av. J. ?)	Néo. / Proto.	1-200 ap.
01a	GAULOIS à GALLO-ROMAIN PRECOCE	SFO?	1247	Fossé	1247	1247		Crâne + mandibule de cheval + divers	C14 ; stratigraphie	Beta - 616711 + Beta - 616712 à 95,4 % ; intervalle 175 cal avant J.-C. à 8 cal après J.-C. ; sous fossés gallo-romains Haut-Empire 1148 et 1179	Gaulois	-175 av. / + 8 ap. ?	Gallo-romain précoce
01b	GAULOIS à GALLO-ROMAIN PRECOCE ?	SFO?	1247	Fossé ?	1295	1295			stratigraphie	<=> FO1247 ? ; sous HZ1278	Gaulois ?	-175 av. / + 8 ap. ?	Gallo-romain précoce
02a	GR (TAQ : 1 ^{er} -milieu II ^e s. ap.)	FOUR	1074	Pile	1317	1317		FOU1074 Phase A (abandon)	stratigraphie	sous la phase B : TAQ 22-166 ap. J.-C. (archéomag. à 95 %)	-30 av. / + 25 ap. ?	-30 av. / + 25 ap.	22-166 ap. J.-C.
02a	GR (TAQ : 1 ^{er} -milieu II ^e s. ap.)	FOUR	1074	Fosse	1321	1072		FOU1074 Phase A (abandon) du four de tuiler	stratigraphie	sous la phase B : TAQ 22-166 ap. J.-C. (archéomag. à 95 %)	-30 av. / + 25 ap. ?	-30 av. / + 25 ap.	22-166 ap. J.-C.
02a	GR (TAQ : 1 ^{er} -milieu II ^e s. ap.)	FOUR	1074	FS	1321	1321		FOU1074 Phase A (fosse de travail)	stratigraphie	sous la phase B : TAQ 22-166 ap. J.-C. (archéomag. à 95 %)	-30 av. / + 25 ap. ?	-30 av. / + 25 ap.	22-166 ap. J.-C.
02a	GR (TAQ : 1 ^{er} -milieu II ^e s. ap.)	FOUR	1074	FS	1321	1322		FOU1074 Phase A (comblement fosse de travail)	stratigraphie	sous la phase B : TAQ 22-166 ap. J.-C. (archéomag. à 95 %)	-30 av. / + 25 ap. ?	-30 av. / + 25 ap.	22-166 ap. J.-C.
02a	GR (TAQ : 1 ^{er} -milieu II ^e s. ap.)	FOUR	1074	FS	1321	1359		FOU1074 Phase A (sol-fosse de travail)	stratigraphie	sous la phase B : TAQ 22-166 ap. J.-C. (archéomag. à 95 %)	-30 av. / + 25 ap. ?	-30 av. / + 25 ap.	22-166 ap. J.-C.
02a	GR (TAQ : 1 ^{er} -milieu II ^e s. ap.)	FOUR	1074	FS	1321	1360		FOU1074 Phase A (sol-fosse de travail)	stratigraphie	sous la phase B : TAQ 22-166 ap. J.-C. (archéomag. à 95 %)	-30 av. / + 25 ap. ?	-30 av. / + 25 ap.	22-166 ap. J.-C.
02a	GR (TAQ : 1 ^{er} -milieu II ^e s. ap.)	FOUR	1074	FS	1321	1361		FOU1074 Phase A (sol-fosse de travail)	stratigraphie	sous la phase B : TAQ 22-166 ap. J.-C. (archéomag. à 95 %)	-30 av. / + 25 ap. ?	-30 av. / + 25 ap.	22-166 ap. J.-C.
02a	GR (TAQ : 1 ^{er} -milieu II ^e s. ap.)	FOUR	1074	FS	1321	1403		FOU1074 Phase A (fosse de travail)	stratigraphie	sous la phase B : TAQ 22-166 ap. J.-C. (archéomag. à 95 %)	-30 av. / + 25 ap. ?	-30 av. / + 25 ap.	22-166 ap. J.-C.
02a	GR (TAQ : 1 ^{er} -milieu II ^e s. ap.)	FOUR	1074	Pile	1336	1336		FOU1074 Phase A (abandon)	stratigraphie	sous la phase B : TAQ 22-166 ap. J.-C. (archéomag. à 95 %)	-30 av. / + 25 ap. ?	-30 av. / + 25 ap.	22-166 ap. J.-C.
02a	GR (TAQ : 1 ^{er} -milieu II ^e s. ap.)	FOUR	1074	Sole	1400	1400		FOU1074 Phase A (abandon)	stratigraphie	sous la phase B : TAQ 22-166 ap. J.-C. (archéomag. à 95 %)	-30 av. / + 25 ap. ?	-30 av. / + 25 ap.	22-166 ap. J.-C.
02a	GALLO-ROMAIN (1 ^{er} -milieu II ^e s. ap.)	FOUR	1074	Fosse	1074	1074		FOU1074 Phase B	archéomag.	dernière chauffe de la phase B estimée à 95 % pendant l'intervalle 22-166 ap. J.-C.	1 ^{er} s. ap. ?	22 ap. J.-C.	166 ap. J.-C.
02a	GALLO-ROMAIN (1 ^{er} -milieu II ^e s. ap.)	FOUR	1074	FS	1074	1363		FOU1074 Phase B (comblement fosse de travail)	archéomag.	dernière chauffe de la phase B estimée à 95 % pendant l'intervalle 22-166 ap. J.-C.	1 ^{er} s. ap. ?	22 ap. J.-C.	166 ap. J.-C.
02a	GALLO-ROMAIN (1 ^{er} -milieu II ^e s. ap.)	FOUR	1074	FS	1074	1364		FOU1074 Phase B (aménagement fosse de travail)	archéomag.	dernière chauffe de la phase B estimée à 95 % pendant l'intervalle 22-166 ap. J.-C.	1 ^{er} s. ap. ?	22 ap. J.-C.	166 ap. J.-C.
02a	GALLO-ROMAIN (1 ^{er} -milieu II ^e s. ap.)	FOUR	1074	FS	1074	1365		FOU1074 Phase B (aménagement fosse de travail)	archéomag.	dernière chauffe de la phase B estimée à 95 % pendant l'intervalle 22-166 ap. J.-C.	1 ^{er} s. ap. ?	22 ap. J.-C.	166 ap. J.-C.
02a	GALLO-ROMAIN (1 ^{er} -milieu II ^e s. ap.)	FOUR	1074	FS	1074	1387		FOU1074 Phase B (aménagement fosse de travail)	archéomag.	dernière chauffe de la phase B estimée à 95 % pendant l'intervalle 22-166 ap. J.-C.	1 ^{er} s. ap. ?	22 ap. J.-C.	166 ap. J.-C.
02a	GALLO-ROMAIN (1 ^{er} -milieu II ^e s. ap.)	FOUR	1074	Fosse	1074	1431		FOU1074 Phase B (aménagement fosse de travail)	archéomag.	dernière chauffe de la phase B estimée à 95 % pendant l'intervalle 22-166 ap. J.-C.	1 ^{er} s. ap. ?	22 ap. J.-C.	166 ap. J.-C.

groupe	période / intervalle estimée	Type ENS.	n° ENS.	type fait	n° fait	N° Us / Hz	com. Us-Hz	rem. Us / fait / Ens.	critères de datation	remarques	creus. / fondation	combl. / abandon	combl. / abandon	combl. / abandon
02a	GALLO-ROMAIN (1 ^{er} -milieu 1 ^{er} s. ap.)	FOUR	1074	FS	1074	1520		FOU1074 Phase B	stratigraphie ; tuiles	Abandon final du four de tuilier	1 ^{er} s. ap. ?	22-166 ap. J.-C.	22-166 ap. J.-C.	idem ?
02a	GALLO-ROMAIN (1 ^{er} -milieu 1 ^{er} s. ap.)	FOUR	1074	PiLe	1318	1318		FOU1074 Phase B (cloison de chambre de chauffe)	archéomag.	dernière chauffe de la phase B estimée à 95 % pendant l'intervalle 22-166 ap. J.-C.	1 ^{er} s. ap. ?	22 ap. J.-C.	22 ap. J.-C.	166 ap. J.-C.
02a	GALLO-ROMAIN (1 ^{er} -milieu 1 ^{er} s. ap.)	FOUR	1074	PiLe	1319	1319		FOU1074 Phase B (cloison de chambre de chauffe)	archéomag.	dernière chauffe de la phase B estimée à 95 % pendant l'intervalle 22-166 ap. J.-C.	1 ^{er} s. ap. ?	22 ap. J.-C.	22 ap. J.-C.	166 ap. J.-C.
02a	GALLO-ROMAIN (1 ^{er} -milieu 1 ^{er} s. ap.)	FOUR	1074	FR	1320	1305		FOU1074 Phase B (comblement d'abandon)	stratigraphie	Abandon final du four de tuilier	1 ^{er} s. ap. ?	22-166 ap. J.-C.	22-166 ap. J.-C.	idem ?
02a	GALLO-ROMAIN (1 ^{er} -milieu 1 ^{er} s. ap.)	FOUR	1074	FR	1320	1320		FOU1074 Phase B (chambre de chauffe)	archéomag.	dernière chauffe de la phase B estimée à 95 % pendant l'intervalle 22-166 ap. J.-C.	1 ^{er} s. ap. ?	22 ap. J.-C.	22 ap. J.-C.	166 ap. J.-C.
02a	GALLO-ROMAIN (1 ^{er} -milieu 1 ^{er} s. ap.)	FOUR	1074	FR	1320	1323		FOU1074 Phase B (comblement d'abandon)	stratigraphie	Abandon final du four de tuilier	1 ^{er} s. ap. ?	22-166 ap. J.-C.	22-166 ap. J.-C.	idem ?
02a	GALLO-ROMAIN (1 ^{er} -milieu 1 ^{er} s. ap.)	FOUR	1074	FR	1320	1340		FOU1074 Phase B (ratés de cuisson vitrifiés)	archéomag.	dernière chauffe de la phase B estimée à 95 % pendant l'intervalle 22-166 ap. J.-C.	1 ^{er} s. ap. ?	22 ap. J.-C.	22 ap. J.-C.	166 ap. J.-C.
02a	GALLO-ROMAIN (1 ^{er} -milieu 1 ^{er} s. ap.)	FOUR	1074	FR	1320	1511		FOU1074 Phase B (chambre de chauffe)	archéomag.	dernière chauffe de la phase B estimée à 95 % pendant l'intervalle 22-166 ap. J.-C.	1 ^{er} s. ap. ?	22 ap. J.-C.	22 ap. J.-C.	166 ap. J.-C.
02a	GALLO-ROMAIN (1 ^{er} -milieu 1 ^{er} s. ap.)	FOUR	1074	PiLe	1330	1330		FOU1074 Phase B (cloison de chambre de chauffe)	archéomag.	dernière chauffe de la phase B estimée à 95 % pendant l'intervalle 22-166 ap. J.-C.	1 ^{er} s. ap. ?	22 ap. J.-C.	22 ap. J.-C.	166 ap. J.-C.
02a	GALLO-ROMAIN (1 ^{er} -milieu 1 ^{er} s. ap.)	FOUR	1074	PiLe	1331	1331		FOU1074 Phase B (cloison de chambre de chauffe)	archéomag.	dernière chauffe de la phase B estimée à 95 % pendant l'intervalle 22-166 ap. J.-C.	1 ^{er} s. ap. ?	22 ap. J.-C.	22 ap. J.-C.	166 ap. J.-C.
02a	GALLO-ROMAIN (1 ^{er} -milieu 1 ^{er} s. ap.)	FOUR	1074	PiLe	1332	1332		FOU1074 Phase B (cloison de chambre de chauffe)	archéomag.	dernière chauffe de la phase B estimée à 95 % pendant l'intervalle 22-166 ap. J.-C.	1 ^{er} s. ap. ?	22 ap. J.-C.	22 ap. J.-C.	166 ap. J.-C.
02a	GALLO-ROMAIN (1 ^{er} -milieu 1 ^{er} s. ap.)	FOUR	1074	PiLe	1333	1333		FOU1074 Phase B (cloison de chambre de chauffe)	archéomag.	dernière chauffe de la phase B estimée à 95 % pendant l'intervalle 22-166 ap. J.-C.	1 ^{er} s. ap. ?	22 ap. J.-C.	22 ap. J.-C.	166 ap. J.-C.
02a	GALLO-ROMAIN (1 ^{er} -milieu 1 ^{er} s. ap.)	FOUR	1074	PiLe	1334	1334		FOU1074 Phase B (cloison de chambre de chauffe)	archéomag.	dernière chauffe de la phase B estimée à 95 % pendant l'intervalle 22-166 ap. J.-C.	1 ^{er} s. ap. ?	22 ap. J.-C.	22 ap. J.-C.	166 ap. J.-C.
02a	GALLO-ROMAIN (1 ^{er} -milieu 1 ^{er} s. ap.)	FOUR	1074	PiLe	1335	1335		FOU1074 Phase B (cloison de chambre de chauffe)	archéomag.	dernière chauffe de la phase B estimée à 95 % pendant l'intervalle 22-166 ap. J.-C.	1 ^{er} s. ap. ?	22 ap. J.-C.	22 ap. J.-C.	166 ap. J.-C.
02a	GALLO-ROMAIN (1 ^{er} -milieu 1 ^{er} s. ap.)	FOUR	1074	MR	1337	1337		FOU1074 Phase B (paroi de chambre de chauffe)	archéomag.	dernière chauffe de la phase B estimée à 95 % pendant l'intervalle 22-166 ap. J.-C.	1 ^{er} s. ap. ?	22 ap. J.-C.	22 ap. J.-C.	166 ap. J.-C.
02a	GALLO-ROMAIN (1 ^{er} -milieu 1 ^{er} s. ap.)	FOUR	1074	PiLe	1338	1338		FOU1074 Phase B (cloison de chambre de chauffe)	archéomag.	dernière chauffe de la phase B estimée à 95 % pendant l'intervalle 22-166 ap. J.-C.	1 ^{er} s. ap. ?	22 ap. J.-C.	22 ap. J.-C.	166 ap. J.-C.
02a	GALLO-ROMAIN (1 ^{er} -milieu 1 ^{er} s. ap.)	FOUR	1074	PiLe	1339	1339		FOU1074 Phase B (cloison de chambre de chauffe)	archéomag.	dernière chauffe de la phase B estimée à 95 % pendant l'intervalle 22-166 ap. J.-C.	1 ^{er} s. ap. ?	22 ap. J.-C.	22 ap. J.-C.	166 ap. J.-C.
02a	GALLO-ROMAIN (1 ^{er} -milieu 1 ^{er} s. ap.)	FOUR	1074	PiLe	1341	1341		FOU1074 Phase B (alandier)	archéomag.	dernière chauffe de la phase B estimée à 95 % pendant l'intervalle 22-166 ap. J.-C.	1 ^{er} s. ap. ?	22 ap. J.-C.	22 ap. J.-C.	166 ap. J.-C.
02a	GALLO-ROMAIN (1 ^{er} -milieu 1 ^{er} s. ap.)	FOUR	1074	PiLe	1349	1349		FOU1074 Phase B (alandier)	archéomag.	dernière chauffe de la phase B estimée à 95 % pendant l'intervalle 22-166 ap. J.-C.	1 ^{er} s. ap. ?	22 ap. J.-C.	22 ap. J.-C.	166 ap. J.-C.
02a	GALLO-ROMAIN (1 ^{er} -milieu 1 ^{er} s. ap.)	FOUR	1074	SOLE	1401	1401		FOU1074 Phase B (fosse de travail et alandier)	archéomag.	dernière chauffe de la phase B estimée à 95 % pendant l'intervalle 22-166 ap. J.-C.	1 ^{er} s. ap. ?	22 ap. J.-C.	22 ap. J.-C.	166 ap. J.-C.
02a	GALLO-ROMAIN (1 ^{er} -milieu 1 ^{er} s. ap.)	FOUR	1074	div.	div.	1348		FOU1074 Phase B (abandon fosse de travail et alandier)	stratigraphie	Abandon final du four de tuilier	1 ^{er} s. ap. ?	22-166 ap. J.-C.	22-166 ap. J.-C.	idem ?
02a	GALLO-ROMAIN (1 ^{er} -milieu 1 ^{er} s. ap.)	FOUR	1074	div.	div.	1350		FOU1074 Phase B (abandon fosse de travail et alandier)	stratigraphie	Abandon final du four de tuilier	1 ^{er} s. ap. ?	22-166 ap. J.-C.	22-166 ap. J.-C.	idem ?
02a	GALLO-ROMAIN (1 ^{er} -milieu 1 ^{er} s. ap.)	FOUR	1074	div.	div.	1351		FOU1074 Phase B (comblement de fosse de travail et alandier)	archéomag.	dernière chauffe de la phase B estimée à 95 % pendant l'intervalle 22-166 ap. J.-C.	1 ^{er} s. ap. ?	22 ap. J.-C.	22 ap. J.-C.	166 ap. J.-C.
02a	GALLO-ROMAIN (1 ^{er} -milieu 1 ^{er} s. ap.)	FOUR	1074	div.	div.	1358		FOU1074 Phase B (abandon fosse de travail et alandier)	stratigraphie	Abandon final du four de tuilier	1 ^{er} s. ap. ?	22-166 ap. J.-C.	22-166 ap. J.-C.	idem ?

groupe	période / intervalle estimée	type ENS.	n° ENS.	type Fait	n° Fait	N° Us / Hz	com. Us-Hz	rem. Us / fait / Ens.	critères de datation	remarques	creus. / fondation		combl. / abandon		combl. / abandon	
											TPQ	TAQ	TPQ	TAQ		
02a	GALLO-ROMAIN (Haut-Empire)	SFO	1148	Fossé	1148	1148			céramique ; morphologie ; stratigraphie	sur fossé 1247 ; «limite» gallo-romaine <=> FO1248 (tessons II-II ^r ap.) ; 19 tessons interv. 50 à 300 ap.	GR	100-300 ap.	300 ap. ?			
02a	GALLO-ROMAIN (Haut-Empire)	SFO	1148	Fossé	1248	1248			céramique ; morphologie ; stratigraphie	«limite» gallo-romaine <=> FO1148 ; 24 tessons interv. 100 à 300 ap.	GR	100-300 ap.	300 ap. ?			
02a	GALLO-ROMAIN (Haut-Empire)	SFO?	1179	Fossé	1179	1179			céramique ; stratigraphie	Sur FO1247 ; sur FO1186 ? ; 270 tessons gallo-romains / NMI = 11 + 2 pesons	50 ap. ?	75-150 ap. J.-C.	200 ap. ?			
02a	GALLO-ROMAIN (Haut-Empire)	SFO?	1179	Fossé	1179	1297		iso. mobilier = 1179	céramique ; stratigraphie	= 1179	50 ap. ?	75-150 ap. J.-C.	200 ap. ?			
02a	GALLO-ROMAIN (Haut-Empire)	SFO ?	1179	Fossé	1518	1114		Us 1114 = FO1518	céramique ; morphologie ; stratigraphie	FO1518 = 10 tessons TPO II-II ^r s. ap. ; «limite» gallo-romaine ; <=> FO1179 (f) sur FO1247	GR	100-300 ap.	300 ap. ?			
02a	GALLO-ROMAIN (Haut-Empire)	SFO ?	1179	Fossé	1518	1117		Us 1117 = FO1518	céramique ; morphologie ; stratigraphie	FO1518 = 10 tessons TPO II-II ^r s. ap. ; «limite» gallo-romaine ; <=> FO1179 (f) sur FO1247	GR	100-300 ap.	300 ap. ?			
02a	GALLO-ROMAIN (Haut-Empire)	SFO ?	1179	Fossé	1518	1123	B	Us 1123-B = FO1518 sup. (CPI252)	céramique ; morphologie ; stratigraphie	FO1518 = 10 tessons TPO II-II ^r s. ap. ; «limite» gallo-romaine ; <=> FO1179 (f) sur FO1247	GR	100-300 ap.	300 ap. ?			
02a	GALLO-ROMAIN (Haut-Empire)	SFO ?	1179	Fossé	1518	1263		Us 1123-B = FO1518 sup. (CPI252)	céramique ; morphologie ; stratigraphie	FO1518 = 10 tessons TPO II-II ^r s. ap. ; «limite» gallo-romaine ; <=> FO1179 (f) sur FO1247	GR	100-300 ap.	300 ap. ?			
02a	GALLO-ROMAIN (Haut-Empire)	SFO ?	1179	Fossé	1518	1518		Us 1123-B = FO1518 sup. (CPI252)	céramique ; morphologie ; stratigraphie	FO1518 = 10 tessons TPO II-II ^r s. ap. ; «limite» gallo-romaine ; <=> FO1179 (f) sur FO1247	GR	100-300 ap.	300 ap. ?			
02a	GALLO-ROMAIN (Haut-Empire)			Fossé	1186	1186			céramique ; morphologie ; stratigraphie ; tuiles	«limite» gallo-romaine ; sous FO1179 ? ; 1 tessons interv. 50 à 300 ap. ; frags de tuiles gallo-romaines ; sous HZ1197 = 1278	GR	50-300 ap.	75-150 ap. J.-C. ?			
02a	GALLO-ROMAIN (Haut-Empire ?)			Fossé	1203	1203			peson ; tuiles	Gros frags de peson, de tuiles (dont ratés de cuisson vitrifiés) gallo-romain	Gallo-romain	-50 av. / + 300 ap.	Gallo-romain			
02a	GALLO-ROMAIN (Haut-Empire ?)			Fossé	1203	1204		recreusement ?	tuiles ; stratigraphie	320	Gallo-romain	-50 av. / + 300 ap.	Gallo-romain			
02a	GALLO-ROMAIN (Haut-Empire)			FoSse	1303	1303			céramique ; stratigraphie	moitié de vase ; sous HZ1278	150-300 ap. ?	150-300 ap.	idem ?			
02a	GALLO-ROMAIN (Haut-Empire)			Fossé	1517	1517			stratigraphie ; tuiles	gros frags de tuiles gallo-romaines ; sous fossé 1518	GR	-50 av. / + 300 ap.	300 ap. ?			
02b	GALLO-ROMAIN (Haut-Empire) ?			FoSse	1069	1069			tuiles ; stratigraphie	2 frags de tegulae + 1 frag d'imbrex (1,5 kg) ; sous bâtiment TPQ 1825-1965 ap.	?	-35 av. / + 300 ap.	1825-1965 ap.			
02b	GALLO-ROMAIN (Haut-Empire) ?			FoSse	1124	1124		Fond de fosse	céramique	Partie sup. d'amphore de type Chartres 1543 ; sous IHZ1278	idem combi. ?	50-150 ap.	idem ?			
02Z	Gallo-romaine à HMA ?			FoSse	1198	1198			céramique ; stratigraphie	3 tessons 150-300 ap. J.-C. ; sous 1197 = 1278 ; sous EX1191 et EX1421	?	150-300 ap.	475-1100 ap. ?			
02Z	Gallo-romaine à HMA ?			FoSse	1249	1249			stratigraphie	sur fossés 1248 et 1518 ; sous HZ1278	100-300 ap.	100-300 ap.	475-1100 ap. ?			
02Z	Gallo-romaine à HMA ?			FoSse	1447	1447			tuiles ; stratigraphie	sur 1294 ; petits frags de tuiles gallo-romaines ; sous FS 1093 (HMA ?) ; sous HZ1278	?	-50 av. / + 300 ap.	475-1100 ap. ?			
03a	MEROVINGIEN			FoSse	1056	1056		profonde en «fûb» ; 1056-A + 1056-B (fouille partielle jusqu'à -2m)	céramique	134 tessons ; assemblage transition Bas-Empire / méro.	idem combi. ?	475-550 ap.	475-550 ap.			
03a	MEROVINGIEN			FoSse	1057	1057		Silo ?	céramique	57 tessons ; assemblage transition Bas-Empire / méro.	idem combi. ?	475-525 ap.	550 ap. ?			
03b	MEROVINGIEN ?			FoSse	1040	1040		Petit silo ?	céramique ; stratigraphie	10 tessons transition Bas-Empire/mérovien ; sous FD1038 et FS1521	idem combi. ?	475-550 ap.	Méro. ?			

groupe	période / intervalle estimé-e	Type ENS.	n° ENS.	type Fait	n° Fait	N° Us / Hz	com. Us-Hz	rem. Us / fait / Ens.	critères de datation	remarques	creus. / fondation TPQ	combl. / abandon TPQ	combl. / abandon TAQ
03b	MÉROVINGIEN ?			FoSse	1071	1071		Petit silo ?	céramique ; morphologie	14 tessons transition Bas-Empire / méro.	idem combl. ?	475-525 ap.	Méro. ?
03c	Mérovngien à Moyen Age central ?			FoSse	1012	1012		Petit silo ?	céramique ; morphologie ; stratigraphie	6 tessons mérovingiens ; silo (?) ; sous FS1011	idem combl. ?	500-575 ap.	Méro. ?
03c	Mérovngien à Moyen Age central ?			Silo	1096	1096		Petit silo ; DIAG. 2019 ; SH09	céramique ; morphologie ; stratigraphie	2 tessons mérovingiens + 4 HMA ; sous IHZ1407	?	500-650 ap.	1200 ap. ?
03Z	NON DATÉ ; TPQ Méro.			FoSse	1073	1073			céramique ; bois de cervidé	2 tessons transition Bas-Empire / méro. ; bois de cerf «travaillé»	idem combl. ?	475-525 ap.	1000-1200 ap. ?
03Z	NON DATÉ ; TPQ Méro.			FoSse	1093	1093			céramique	5 tessons mérovingiens ; sous HZI 278	?	525-700 ap.	1000-1100 ap. ?
03Z	NON DATÉ ; TPQ Méro.			FoSse	1241	1241		Possible petit silo ?	céramique ; stratigraphie	3 tessons 475-525 ap. ; sous FS1243 (TPQ : 1650-1700 ap.)	?	475-525 ap.	1950-1985 ap.
03Z	NON DATÉ ; TPQ Méro.			FoSse	1505	1505		Fosse profonde en fût	céramique ; stratigraphie	sur 1348 ; 2 tessons Bas-Empire + 11 tessons mérovingiens	GR	500-550 ap.	?
04a	Bas-Empire à haut Moyen Age ?	BAT ?	1082	Poteau	1082	1082		Trou de poteau	Morphologie ; tuile	1 frag. de tegula GR ; Probable bâtiment sur poteaux BAT1082	idem combl. ?	300-500 ap. ?	1000-1100 ap. ?
04a	Bas-Empire à haut Moyen Age ?	BAT ?	1082	Poteau	1095	1095		Trou de poteau	Morphologie	Probable bâtiment sur poteaux BAT1082	?	300-500 ap. ?	1000-1100 ap. ?
04a	Bas-Empire à haut Moyen Age ?	BAT ?	1082	Poteau	1100	1100		Trou de poteau	Morphologie	Probable bâtiment sur poteaux BAT1082 ; 1 frag. de tuile GR	?	300-500 ap. ?	1000-1100 ap. ?
04a	Bas-Empire à haut Moyen Age ?	BAT ?	1082	Poteau	1108	1108		Trou de poteau	Morphologie	Probable bâtiment sur poteaux BAT1082	?	300-500 ap. ?	1000-1100 ap. ?
04a	Bas-Empire à haut Moyen Age ?	BAT ?	1082	Poteau	1304	1304		Trou de poteau	Morphologie	Probable bâtiment sur poteaux BAT1082	?	300-500 ap. ?	1000-1100 ap. ?
04a	Bas-Empire à haut Moyen Age ?	BAT ?	1082	Poteau	1306	1306		Trou de poteau	stratigraphie ; Morphologie	Probable bâtiment sur poteaux BAT1082 ; sous IHZ1278	?	300-500 ap. ?	1000-1100 ap. ?
04b	Bas-Empire à médiévale centrale			Horizon	1278	1197		«terre végétale» ancienne	stratigraphie	= 1278	200-550 ap.	475-550 ap.	1000-1100 ap. ?
04b	Bas-Empire à médiévale centrale			Horizon	1278	1278		«terre végétale» ancienne	stratigraphie	sur fossés Haut-Empire et four de tuilier gallo-romain FOU1074 ; scellement sup. postérieur aux fossés mérovingiens 1056 et 1057 ; sous fosse 1180 ; X ^e s. ; sous HZI259 / 1407 (TAQ : XV)	200-550 ap.	475-550 ap.	1000-1100 ap. ?
04c	Médiévale			Foyer ?	1423	1423		Sole ?	stratigraphie	sur IHZ1197 = 1278 ; sous IHZ1259 <=> 1407	475-550 ap.	475-550 ap.	1000-1400 ap.
04d	Médiévale	HRZ	1259	Horizon	1259	1259		«terre végétale» ancienne	stratigraphie	sur HZI197 / 1278 ; = HZI1407 (TPQ : 475-550 ap.) ; antérieur au BAS1381 (TAQ : XIV)	475-550 ap.	475-1100 ap.	1200-1400 ap.
04d	Médiévale	HRZ	1259	Horizon	1407	1407		«terre végétale» ancienne	stratigraphie	sur HZI278 ; = 1259 = antérieur au BAS1381 (TAQ : XIVe)	475-550 ap.	475-1100 ap.	1200-1400 ap.
04e	Bas-Empire à moderne ?			Horizon	1409	1409		«terre végétale» ancienne / possible labours ?	stratigraphie	<=> 1278 et/ou 1407 mais pas scellée par RB1292 / 1420 ; sous 1408	200-550 ap.	475-1400 ap.	1600-1825 ap. ?
05a	Moyen Age central ?			FoSse	1180	1180		Petit silo ?	céramique	sur IHZ1278 ; 14 tessons du Moyen-Âge central (X ^e s.)	idem combl. ?	1000-1100 ap.	idem ?
05Z	?			Poteau ?	1008	1008			céramique ; stratigraphie	1 tesson X ^e s. ; sous «remises / garages» TPQ 1825-TAQ 1965 ap. (in apparence pas sur le cadastre de 1826 ni sur la carte de l'état-major de 1820-1866 ap. ; présentes sur photo aérienne de 1950-1965 ap.)	?	1000-1100 ap. ?	1825-1965 ap.
05Z	?			Fait indét.	1016	1016		Trou de poteau ?	céramique	1 tesson X ^e -XII ^e s.	?	1000-1200 ap. ?	?
05Z	?			Poteau ?	1175	1175			céramique ; stratigraphie	1 possible tesson X ^e s. ; sous TR1176	?	1000-1100 ap. ?	1400-1825 ap.

groupe	période / intervalle estimé-e	Type ENS.	n° ENS.	type fait	n° fait	N° Us / Hz	com. Us-Hz	rem. Us / fait / Ens.	critère-s de datation	remarques	creus./ fondation	combl./ abandon	combl./ abandon
											TPQ	TPQ	TAQ
05Z	?			FoSse	1177	1177			céramique ; stratigraphie	sur FO1148 ; 1 tesson X ^m ; sous TR1176	GR	1000-1100 ap. ?	1400-1825 ap.
05Z	TPQ 1000-1200 ap.			FoSse	1206	1206			céramique ; stratigraphie	3 tessons X ^m -X ^l ; sous cave 1211 (intervalle TPQ 1500-7AQ 1750-1825 ap.)	idem comb. ?	1000-1200 ap.	1750-1825 ap.
05Z	?			FoSse	1207	1207			céramique ; stratigraphie	1 tesson X ^m ; sous cave 1211 (intervalle TPQ 1500-7AQ 1750-1825 ap.)	idem comb. ?	1000-1100 ap. ?	1750-1825 ap.
05Z	TPQ 1000-1200 ap.			FoSse	1501	1344			céramique	= FS1501	idem comb. ?	1000-1200 ap.	?
05Z	TPQ 1000-1200 ap.			FoSse	1501	1501		Silo ?	céramique	3 tessons X ^m -X ^l s.	idem comb. ?	1000-1200 ap.	?
06a	X ^l -X ^m ?	BAS	1381	BaSsin	1381	1381	D	1381-D, fosse de construction du bassin maçonné 1381-C	stratigraphie	sous 1151-C ? ; antérieur à 1381-C et 1381-B (X ^m s. ?)	1200-1300 ap. ?	1200-1300 ap.	1300-1400 ap. ?
06a	X ^l -X ^m (?) à moderne	BAS	1381	BaSsin	1381	1381	C	1381-C, maçonneries du bassin rectangulaire 1381-A.		sur 1381-D ; antérieur à la sédimentation 1381-B (X ^m s.)	1200-1400 ap.	1500-1600 ap.	1600-1750 ap.
06b	Bas Moyen Âge (X ^l ?)	BAS	1381	BaSsin	1381	1381	B	1381-B, sédimentation du fond du bassin profond maçonné 1380	céramique ; stratigraphie	1380B = 7 tessons X ^m + 1 tiers de coquemar 1325-1400 ap. ; sous récupération 1381-A = X ^m s. ?	X	1325-1400 ap.	Idem ?
07a	Bas Moyen Âge / début MODERNE			Excavation	1232	1231		comblements	céramique ; stratigraphie	= 1232	X	1400-1500 ap.	Idem ?
07a	Bas Moyen Âge / début MODERNE			Excavation	1232	1232		Cave récupérée ?	céramique ; stratigraphie	4 tessons X ^m ; sous FS1233	?	1400-1500 ap.	Idem ?
07a	Bas Moyen Âge / début MODERNE			Excavation	1232	1235		comblements	céramique ; stratigraphie	= 1232	X	1400-1500 ap.	Idem ?
07b	fin Bas Moyen Âge / début MODERNE			Excavation	1120	1120		Lots 01 à 12 + passe 3 + Us1272/SB1246 + Us 1120-2	céramique	6 tessons X ^m -X ^l + 43 tessons X ^m	idem comb. ?	1400-1500 ap.	Idem ?
07b	fin Bas Moyen Âge / début MODERNE			Excavation	1120	1272		creusement	stratigraphie	<=> FS1120 = 6 tessons X ^m -X ^l + 43 tessons X ^m	idem comb. ?	1400-1500 ap.	Idem ?
07b	fin Bas Moyen Âge / début MODERNE			Excavation	1120	1273		creusement	stratigraphie	<=> FS1120 = 6 tessons X ^m -X ^l + 43 tessons X ^m	idem comb. ?	1400-1500 ap.	Idem ?
07b	fin Bas Moyen Âge / début MODERNE			Excavation	1120	1288		concrétions	stratigraphie	<=> FS1120 = 6 tessons X ^m -X ^l + 43 tessons X ^m	idem comb. ?	1400-1500 ap.	Idem ?
07b	fin Bas Moyen Âge / début MODERNE			FoSse	1233	1140		ramassage EX1232 + FS1233 + DIAG 2019 : Cave 01	céramique	Fosse 1233 sur EX1232 = 77 tessons (dont 1 coquemar) X ^m ; Ram. 1140 = 2 tessons X ^m -X ^l + 21 tessons X ^m + 1 tesson X ^m -X ^l	idem comb. ?	1400-1500 ap.	Idem ?
07b	fin Bas Moyen Âge / début MODERNE			FoSse	1233	1233		voir également 1140	céramique ; stratigraphie	sur EX1232 ; 77 tessons (dont 1 coquemar presque complet) X ^m	1400-1500 ap.	1400-1500 ap.	Idem ?
07b	fin Bas Moyen Âge / début MODERNE			FoSse	1233	1234		comblement	céramique ; stratigraphie	= 1234	1400-1500 ap.	1400-1500 ap.	Idem ?
07c	fin MAC / BMA / début MOD			FoSse	1143	1143			stratigraphie ; tuiles	frags de tuiles plates à crochet ; sous 1419 et 1151-C	1200-1400 ap. ?	1200-1400 ap.	1500-1600 ap. ?
07c	fin MAC / BMA / début MOD			FoSse	1146	1146			tuiles	frags de tuiles plates à crochet ; <=> 1143 ? ; sous RB1292	1200-1400 ap. ?	1200-1400 ap.	1500-1600 ap. ?
07c	fin MAC / BMA / début MOD			RemBlais	1419	1419			stratigraphie	sur FS1143 ; sous RB1292 ; sous EX1151	1200-1400 ap.	1200-1400 ap.	1500-1600 ap. ?
07d	fin MAC / BMA / MOD			EXcavation	1151	1151	C	Creusement rectangulaire en pailiers (maçonneries ?), lié au bassin 1381-C, cave ?	stratigraphie	sur RB1419 ; sous 1151-A	1200-1400 ap.	1500-1600 ap.	1600-1750 ap.
07d	fin MAC / BMA / MOD			FonDation	1155	1155		Fondation de mur	stratigraphie	sur HZ1259 ; sous EX1421	1200-1400 ap.	1500-1600 ap.	1750-1825 ap.
07d	fin MAC / BMA / MOD	BAS	1381	FoSse	1171	1171	B	Creusement	stratigraphie	Liée au bassin profond 1381-C ?	1200-1300 ap. ?	1500-1600 ap.	1600-1750 ap.

groupe	période / intervalle estimée	Type ENS.	n° ENS.	type fait	n° fait	N° Us / Hz	com. Us-Hz	rem. Us / fait / Ens.	critères de datation	remarques	creus. / fondation	combl. / abandon	combl. / abandon
											TPQ	TPQ	TAQ
07d	fin MAC / BMA / MOD			TRanchée	1176	1176		tranchée de fondation récupérée	localisation ; stratigraphie ; tuiles	sur HZ1259 ; petits fragments de tuiles plates à crochet ; approx. parallèle à la TR1126 et perpendiculaire aux TR1137, 1141 et 1282 ; (1176A <=> 1381-A ou 1526 A ?) ; sous fondation TAQ 2021 <=> 1156	1200-1400 ap.	1500-1600 ap. ?	1750-1825 ap.
07d	fin MAC / BMA / MOD			Puits	1208	1208		puits à eau	stratigraphie ; tuiles	sur HZ1259 / 1407 ; frags de tuiles plates à crochet dans macramerie 1208B ; 1413 <=> 1208A2 <=> 1421, sous HZ1422	1200-1400 ap.	1500-1600 ap.	1750-1825 ap.
07e	fin BMA / MODERNE			RB	1292	1292		horizon de remblais	stratigraphie	sur FS1233 ; sous TR1126	1400-1500 ap.	1400-1500 ap.	1500-1600 ap. ?
07Z	NON DATÉS : TPQ XIII-XIV s.			FoSse	1011	1011			tuiles	frags de tuiles plates à crochet	?	1200-1400 ap.	?
07Z	NON DATÉS : TPQ XIII-XIV s.			FoSse	1035	1035			céramique ; stratigraphie	1 frag de tuile plate à crochet ; sous «garage Nord» TPQ 1950-1965 ap. (n'apparaît pas sur photo aérienne de 1950-1965 + apparaît sur cadastre de 1969-1986)	?	1200-1400 ap. ?	1950-1985 ap.
07Z	NON DATÉS : TPQ XIII-XIV s.			EXcavation	1104	1104		Grande fosse	tuile ; stratigraphie	2 frags de tuiles plates à crochet ; sous RB1420	?	1200-1400 ap.	1750-1825 ap.
07Z	NON DATÉS : TPQ XIII-XIV s.			FoSse	1105	1105			tuiles ; stratigraphie	3 frags de tuiles plates à crochet ; sous «remises / garages» TPQ 1825-1965 ap.	?	1200-1400 ap.	1825-1950 ap.
07Z	NON DATÉS : TPQ XIII-XIV s.			FoSse	1116	1116		RI 1244	céramique ; stratigraphie ; tuiles	sur HZ1259 ; 1 tesson 1450-1525 ap. RI 1244 ; frags de tuiles plates à crochet ; sous bâtiment TPQ 1825-1965 ap.	1200-1400 ap.	1450-1525 ap. ?	1825-1965 ap.
07Z	NON DATÉS : TPQ XIII-XIV s.			FoSse	1255	1255			stratigraphie ; tuiles	frags de tuiles plates à crochet ; sous HZ1408 = sous bâtiment TPQ 1825-1965 ap.	idem combi. ?	1200-1400 ap.	1825-1965 ap.
07Z	NON DATÉS : TPQ XIII-XIV s.			FoSse	1298	1298			plâtre ; stratigraphie	sur FO1148 ; 1 tesson Xle ; frags de plâtre ; sous 1267-B	idem combi. ?	1200-1400 ap. ?	1600-1750 ap.
07Z	NON DATÉS : TPQ XIII-XIV s.			FoSse	1394	1394			stratigraphie ; tuiles	frags de tuiles plates à crochet ; sous HZ1408 ? ; sous HZ1410	idem combi. ?	1200-1400 ap.	1825-1965 ap. ?
07Z	NON DATÉS : TPQ XIII-XIV s.			RemBlais	1420	1420			stratigraphie	sur HZ1407 et FS1104 ; <=> RB1292 ? ; sous HZ1408	1200-1400 ap.	1400-1500 ap. ?	1750-1825 ap.
07Z	NON DATÉS : TPQ XIII-XIV s.			FoSse	1448	1448			stratigraphie	sur 1407 ; <=> 1420 ? ; sous 1408	1200-1400 ap. ?	1400-1500 ap. ?	1750-1825 ap.
08a	fin BMA / MODERNE (à début contemp. ?)	BAT	1126	TRanchée	1126	1126		Fondation de mur récupérée	plan ancien ; stratigraphie	<=> TR1137 sur FS1233 ; sur HZ1292 ; sous EX1127 ; abandon <=> RB1416 sous HZ1415 ; n'apparaît pas sur le cadastre de 1826	1400-1500 ap.	1500-1600 ap.	1750-1825 ap.
08a	fin BMA / MODERNE (à début contemp. ?)	BAT	1126	TRanchée	1137	1137		Fondation de mur récupérée	stratigraphie	sur FS1233 et RB1292 ; <=> TR1126 ; n'apparaît pas sur le cadastre de 1826.	1400-1500 ap.	1500-1600 ap.	1750-1825 ap.
08a	fin BMA / MODERNE (à début contemp. ?)	BAT	1126	TRanchée	1141	1141		Fondation de mur récupérée	stratigraphie	sur RB1292 ; <=> TR1126 et 1137 ; n'apparaît pas sur le cadastre de 1826.	1400-1500 ap.	1500-1600 ap.	1750-1825 ap.
08a	fin BMA / MODERNE (à début contemp. ?)	BAT	1126	TRanchée	1141	1397		Fondation de mur récupérée	stratigraphie	= 1141	1400-1500 ap.	1500-1600 ap.	1750-1825 ap.
08a	fin BMA / MODERNE (à début contemp. ?)	BAT	1126	TRanchée	1282	1282		Fondation de mur récupérée	plan ancien ; stratigraphie	<=> 1126 <=> TR1137 sur FS1233 ; sur HZ1292 ; n'apparaît pas sur le cadastre de 1826	1400-1500 ap.	1500-1600 ap.	1750-1825 ap.
08a	fin BMA / MODERNE (à début contemp. ?)	BAT	1126	TRanchée	1411	1411		récupération de fondation de mur	stratigraphie	sur RB1292 ; <=> TR1282 ; <=> EX1413	1400-1500 ap.	1500-1600 ap.	1750-1825 ap.
08a	fin BMA / MODERNE (à début contemp. ?)	BAT	1126	TRanchée	1412	1412		récupération de fondation de mur	stratigraphie	sur RB1292 ; <=> TR1411 ; <=> EX1413	1400-1500 ap.	1500-1600 ap.	1750-1825 ap.
08a	fin BMA / MODERNE (à début contemp. ?)	BAT	1126	EXcavation	1413	1413		récupération de bâti / de sol ?	stratigraphie	sur RB1292 ; <=> TR1411 ; <=> TR1412 ; sous HZ1422	1400-1500 ap.	1500-1600 ap.	1750-1825 ap.
08a	fin BMA / MODERNE (à début contemp. ?)	BAT	1126	TRanchée	1414	1414		récupération de fondation de mur	stratigraphie	sur RB1282 ; <=> TR1411 ; <=> EX1413	1400-1500 ap.	1500-1600 ap.	1750-1825 ap.
08a	fin BMA / MODERNE (à début contemp. ?)	BAT	1126	RemBlai	1428	1428		remblai de récupération	stratigraphie	sur HZ1292 ; = 1412A2	1400-1500 ap.	1500-1600 ap.	1750-1825 ap.

groupe	période / intervalle estimée	Type ENS.	n° ENS.	type fait	n° fait	N° Us / Hz	com. Us-Hz	rem. Us / fait / Ens.	critères de datation	remarques	creus. / fondation	combl. / abandon	combl. / abandon
											TPQ	TPQ	TAQ
08a	fin BMA / MODERNE (à début contemp. ?)			FoSse	1228	1228		fosse aménagée récupérée ?	localisation ; morphologie ; stratigraphie	sur RB1292 ; similiaire à et proche de 1229 ; sous RB1416	1400-1500 ap.	1500-1600 ap. ?	1750-1825 ap.
08a	fin BMA / MODERNE (à début contemp. ?)			FoSse	1229	1229		fosse aménagée récupérée ?	céramique ; stratigraphie	sur RB1292 ; 2 tessons X ^m ; sous RB1416	1400-1500 ap.	1500-1600 ap.	1750-1825 ap.
08a	fin BMA / MODERNE (à début contemp. ?)			EXcavation	1421	1421		récupération de bâti / de sol ?	stratigraphie	sur FD1155 ; <=> 1208A2 <=> 1413 ; sous HZ1422 et MR1156	1400-1500 ap.	1500-1600 ap.	1750-1825 ap.
08b	fin BMA / Moderne à Contemporain	BAT	1126	MuR	1121	1121	B	MUR1121	photo aérienne ; plan ancien ; stratigraphie	1121-B2 (fondation) recoupe le RB1292 et la FS1120 ; en partie synchrones avec 1126-B ? ; 1121-B1 (élévation) = limite figurée sur le cadastre de 1826, mais n'apparaît plus sur photo aérienne de 1950-1965	1400-1500 ap.	1825 ap.	1825-1950 ap.
08b	fin BMA / Moderne à Contemporain	BAT	1126	MuR	1139	1139	B	MUR1139	plan ancien ; stratigraphie	1139-B = ancienne fondation de mur reprise par 1139-A2 ; Comme pour le MUR1121. Limite figurée sur le cadastre de 1826,	1400-1500 ap.	1825 ap.	1825-1950 ap.
08Z	NON DATÉS : TPQ X ^m s.			FoSse	1033	1033			verre	1 frag de verre "bleu / vert" au plomb	?	1450-1800 ap. ?	?
08Z	NON DATÉS : TPQ X ^m s.			FoSse	1122	1122			comblement ; stratigraphie	sur 1292 ? ; comblement crayeux d'aspect «récent» ? ; dans l'angle des MR1121 et 1139	1400-1500 ap. ?	1825 ap. ap. ?	2021 ap. ?
08Z	NON DATÉS : TPQ X ^m s.			FoSse	1132	1132			céramique	2 tessons X ^m s.	idem combl. ?	1400-1500 ap.	?
08Z	NON DATÉS : TPQ X ^m s.			FoSse	1244	1244			céramique ; stratigraphie	sur FS1116 = 1 tesson 1450-1525 ap. RI 1244 ; sous bâtiment TPQ 1825-1965 ap.	1450-1525 ap. ?	1450-1525 ap. ?	1825-1965 ap.
08Z	NON DATÉS : TPQ X ^m s.			FoSse	1258	1258		Tranchée de récupération ?	stratigraphie	sur HZ1259 ; liée à 1519B ? ; sous 1519A	1400-1500 ap. ?	1400-1600 ap.	1825-1950 ap.
08Z	NON DATÉS : TPQ X ^m s.			EXcavation	1284	1284			stratigraphie	<=> 1372 (1 tesson X ^m) ; frags de tuiles plates à crochet ; ; sous bâtiment TPQ 1825-1965 ap.	?	1400-1500 ap. ?	1825-1965 ap.
08Z	NON DATÉS : TPQ X ^m s.			EXcavation	1284	1372		Remblais sup.	céramique ; stratigraphie	1 tesson X ^m ; ; sous bâtiment TPQ 1825-1965 ap.	?	1400-1500 ap. ?	1825-1965 ap.
08Z	NON DATÉS : TPQ X ^m s.			Excavation	1307	1307			céramique ; stratigraphie	sur RB1420 ; 1 tesson XV + 1 tesson XV-XVI ; sous HZ1408 ; sous «remises / garages» TPQ 1825-TAQ 1965 ap. (n'apparaissent pas sur le cadastre de 1826 ni sur la carte de l'état-major de 1820-1866 ap. ; présentes sur photo aérienne de 1950-1965 ap.)	1400-1500 ap. ?	1400-1600 ap.	1825-1965 ap.
08Z	NON DATÉS : TPQ X ^m s.			EXcavation	1519	1519			stratigraphie	sur HZ1259 ; dans l'angle des murs 1121 et 1139 ; sous MR 1121-A / 1139-A et BS1250	1400-1500 ap. ?	1400-1600 ap.	1825-1950 ap.
09a	MODerne	CAV	1211	MuR	1211	1211			stratigraphie	sur FS1181 ; sous remblais d'abandon 1183 / 1184	1500-1600 ap.	1600-1700 ap.	1600-1750 ap.
09a	MODerne	CAV	1211	MuR	1211	1230		negatif / récupération d'escalier	stratigraphie	<=> MR1211 ; sous remblais d'abandon 1183 / 1184	1500-1600 ap.	1600-1700 ap.	1600-1750 ap.
09a	MODerne	CAV	1211	Sol	1212	1212			stratigraphie	sur FS1181 / MR1211 ; 1 tesson 1450-1550 ap. ; sous remblais d'abandon 1183 / 1184	1500-1600 ap.	1600-1700 ap.	1600-1750 ap.
09a	MODerne	CAV	1211	TR	1213	1213		tranchée de fondation de mur	stratigraphie	<=> MR1211 ; sous remblais d'abandon 1183 / 1184	1500-1600 ap.	1600-1700 ap.	1600-1750 ap.
09a	MODerne	CAV	1211	TR	1268	1268		tranchée de fondation de mur	stratigraphie	<=> MR1211 ; sous remblais d'abandon 1183 / 1184	1500-1600 ap.	1600-1700 ap.	1600-1750 ap.
09a	MODerne	CAV	1211	FD	1269	1269		fondation de muret	stratigraphie	<=> MR1211 ; sous sol 1212	1500-1600 ap.	1600-1700 ap.	1600-1750 ap.
09a	MODerne	CAV	1211	SL	1270	1270		sol	stratigraphie	sous SL1212 ; sur FD1269	1500-1600 ap.	1600-1700 ap.	1600-1750 ap.
09b	MODerne	CAV	1380	Mur	1379	1173	B	maçonnerie de la cave 1380	stratigraphie	= 1379	1500-1600 ap.	1600-1700 ap.	1750-1825 ap.

groupe	période / intervalle estimée	Type ENS.	n° ENS.	type fait	n° fait	N° Us / Hz	com. Us-Hz	rem. Us / fait / Ens.	critères de datation	remarques	creus. / fondation	combl. / abandon	combl. / abandon
											TPQ	TPQ	TAQ
09b	MODerne	CAV	1380	Mur	1379	1379			stratigraphie	sur 1381-A ; sous 1527 et 1526 (remblais d'abandon)	1500-1600 ap.	1600-1700 ap.	1750-1825 ap.
09b	MODerne	CAV	1380	Mur	1380	1380			stratigraphie	sur 1381-A ; sous 1527 et 1526 (remblais d'abandon)	1500-1600 ap.	1600-1700 ap.	1750-1825 ap.
09b	MODerne	CAV	1380	TR	1382	1382	B	Négatif de récupération du MR1380		<=> 1526-52	1500-1600 ap.	1600-1700 ap.	1750-1825 ap.
09c	MODerne	BAS	1381	FoSse	1171	1171	A	Comblement d'abandon	stratigraphie	<=> 1172	1500-1600 ap.	1500-1600 ap.	1600-1750 ap.
09c	MODerne	BAS	1381	BaSsin	1381	1172		Remblais de récupération / abandon	céramique ; stratigraphie	= 1381A	1500-1600 ap.	1500-1600 ap.	1600-1750 ap.
09c	MODerne	BAS	1381	BaSsin	1381	1381	A	Remblais de récupération / abandon		sur 1381-B ; 1381-A + 1172 = 6 tessons XVI* ; sous cave 1380 (intervalle TPQ 1500-1825 ap.)	1500-1600 ap.	1500-1600 ap.	1600-1750 ap.
09c	MODerne			EXcavation	1151	1151	A	Remblais de récupération / abandon	céramique ; stratigraphie	= 1172 / 1381-A = TPQ XVI* s. ; tesson 1465-1550 ap. ; sous cave 1380 (intervalle TPQ 1500-1825 ap.)	X	1500-1600 ap.	1600-1750 ap.
09c	MODerne			FoSse	1166	1166		Fosse ? Fond de TR ?	stratigraphie	sur 1200 / 1236 ; sous RB1201	1500-1600 ap.	1500-1600 ap.	1600-1750 ap.
09c	MODerne			FoSse	1181	1181		Grande fosse / excavation	céramique ; stratigraphie	2 tessons 1400-1550 ap. + 1 tesson XVI* ; sous cave 1211 (intervalle TPQ 1500-1750 ap.)	idem combl. ?	1500-1600 ap.	1600-1750 ap.
09c	MODerne			RemBlais	1201	1201			céramique ; stratigraphie	sur FS1236 ; 2 tessons 1500-1550 ap. ; sous 1183/1184 (abandon CAM1211)	1500-1600 ap. ?	1500-1550 ap.	1600-1750 ap.
09c	MODerne			FoSse	1236	1200		Us de comblement	céramique ; stratigraphie	sur Us1236-a = 1 tesson XVI* ; 3 tessons XVI* ; sous RB1201	idem combl. ?	1500-1600 ap. ?	1600-1750 ap.
09c	MODerne			FoSse	1236	1236			céramique ; stratigraphie	Us1236-a = 1 tesson XVI* ; Us 1200 = 3 tessons XVI* ; sous RB1201	idem combl. ?	1500-1600 ap. ?	1600-1750 ap.
09c	MODerne			RemBlais	1430	1430			stratigraphie	sur RB1201 ; 1430A = sous EX1165 ; 1430B sous RB1183-1184	1500-1550 ap.	1500-1550 ap.	1600-1750 ap.
09d	MODerne			FoSse	1142	1142		Fosse profonde en «fûb»	céramique ; combl. / morpho. / loca. ; stratigraphie	6 tessons XVI* ; semblable à 1147 TPQ XVI* ; sous cave 1135 TPQ 1826 ap. ; sous HZ1415	idem combl. ?	1500-1600 ap. ?	1750-1825 ap.
09d	MODerne			FoSse	1147	1147		Fosse profonde en tronconique	céramique ; combl. / localisation / morphologie ; tuiles	frags de tuiles plates à crochet ; 1 tesson XVI* ; semblable à 1142 TPQ XVI* ; sous HZ1415	idem combl. ?	1500-1600 ap.	1750-1825 ap.
09d	MODerne			FoSse	1149	1149		décapage partiel	stratigraphie ; tuiles	sur FS1147 ; frags de tuiles plates à crochet ; sous HZ1415	1500-1600 ap. ?	1500-1600 ap. ?	1750-1825 ap.
09d	MODerne			PT	1208	1159		comblement de puits	stratigraphie ; tuiles	sur 1208-B ; frags de tuiles plates à crochet ; sous HZ1422	X	1500-1600 ap.	1750-1825 ap.
09d	MODerne			RemBlais	1416	1392		ramassage au dessus de la TR1141, = 1416	céramique ; stratigraphie	1 tesson XVI* ; = RB1416	1500-1600 ap.	1500-1600 ap.	1750-1825 ap.
09d	MODerne			RemBlais	1416	1416		Horizon de remblais	céramique ; stratigraphie	sur 1229 = 2 tessons XVI* ; = 1392 (1 tesson XVI*) ; sous HZ1415	1500-1600 ap.	1500-1600 ap.	1750-1825 ap.
09Z	NON DATÉS ; TPQ XVI* s.			FoSse	1001	1001			céramique ; stratigraphie	sur 1013 ; 4 tessons XVI* ; sous puisard 1002	1550-1600 ap.	1550-1600 ap.	1950-2020 ap.
09Z	NON DATÉS ; TPQ XVI* s.			FoSse	1004	1004			céramique ; stratigraphie	12 tessons XVIe + 15 tessons 1550-1625 ap. ; sous «garage Nord» TPQ 1950-1985 ap. (n'apparaît pas sur photo aérienne de 1950-1965 + apparaît sur cadastre de 1969-1986)	idem combl. ?	1550-1625 ap.	1950-1985 ap.
09Z	NON DATÉS ; TPQ XVI* s.			FoSse	1006	1006			céramique ; stratigraphie	3 tessons XVI* ; sous HZ1410 ; synchron. avec 1005 ?	idem combl. ?	1500-1600 ap.	1900-2021 ap.

groupe	période / intervalle estimée	type ENS.	n° ENS.	type Fait	n° Fait	N° Us / Hz	com. Us-Hz	rem. Us / fait / Ens.	critères de datation	remarques	creus. / fondation	combl. / abandon	combl. / abandon
											TPQ	TPQ	TAQ
09Z	NON DATÉS : TPQ XVI ^e s.			FoSse	1013	1013			céramique ; stratigraphie	1 tesson XVI ^e + 1 tesson 1550-1600 ap. ; sous FS1001	idem combi. ?	1550-1600 ap.	1950-2020 ap.
09Z	NON DATÉS : TPQ XVI ^e s.			FoSse	1014	1014			stratigraphie	sur 1013	1550-1600 ap.	1550-1600 ap.	?
09Z	NON DATÉS : TPQ XVI ^e s.			FoSse	1022	1022			céramique ; stratigraphie	1 tesson 1550-1600 ap. ; sous 1021 ; sous «garage Nord-TPQ 1950-1985 ap. (n'apparaît pas sur photo aérienne de 1950-1965 + apparaît sur cadastre de 1969-1986)	idem combi. ?	1550-1600 ap. ?	1950-1985 ap.
09Z	NON DATÉS : TPQ XVI ^e s.			FoSse	1026	1026			céramique ; stratigraphie	1 tesson 1550-1600 ap. ; sous-garage Nord-TPQ 1950-1985 ap. (n'apparaît pas sur photo aérienne de 1950-1965 + apparaît sur cadastre de 1969-1986)	idem combi. ?	1550-1600 ap. ?	1950-1985 ap.
09Z	NON DATÉS : TPQ XVI ^e s.			FoSse	1028	1028			céramique ; stratigraphie	2 tessons XVI ^e + 4 tessons XVI ^e ; sous FS1027 ; sous «garage Nord-TPQ 1950-1985 ap. (n'apparaît pas sur photo aérienne de 1950-1965 + apparaît sur cadastre de 1969-1986)	idem combi. ?	1500-1600 ap.	1950-1985 ap.
09Z	NON DATÉS : TPQ XVI ^e s.			EXcavation	1037	1037			céramique ; stratigraphie	8 tessons XVI ^e -XVII ^e ; sous «garage Nord-TPQ 1950-1985 ap. (n'apparaît pas sur photo aérienne de 1950-1965 + apparaît sur cadastre de 1969-1986)	idem combi. ?	1500-1700 ap.	1950-1985 ap.
09Z	NON DATÉS : TPQ XVI ^e s.			FonDation	1038	1038			céramique ; stratigraphie	sur FS1040 ; sur HZ1409 ; 1 tesson XVI ^e ; sous EX1032	idem combi. ?	1500-1600 ap. ?	1600-1825 ap. ?
09Z	NON DATÉS : TPQ XVI ^e s.			FoSse	1045	1045			céramique	2 tessons XVI ^e	idem combi. ?	1500-1600 ap.	1950-2020 ap.
09Z	NON DATÉS : TPQ XVI ^e s.			FoSse	1119	1119			stratigraphie	sur RB1372 ; sous bâtiment TPQ 1825-1965 ap.	1500-1600 ap.	1500-1600 ap.	1825-1965 ap.
09Z	NON DATÉS : TPQ XVI ^e s.			FoSse	1242	1242			céramique ; stratigraphie	1 tesson XVI ^e -XVII ^e ; sous FS1243 (TPQ : 1650-1700 ap.)	idem combi. ?	1500-1700 ap.	1825-1950 ap.
09Z	NON DATÉS : TPQ XVI ^e s.			FoSse	1265	1265			stratigraphie	sur FS1119 sur RB1372 ; sous bâtiment TPQ 1825-1965 ap.	1500-1600 ap.	1500-1600 ap.	1825-1965 ap.
09Z	NON DATÉS : TPQ XVI ^e s.			FoSse	1429	1429			stratigraphie	sur 1413A ; <=> HZ1422 ? ; sous FDI154 ?	1500-1700 ap.	1500-1700 ap.	1750-1825 ap. ?
09Z	NON DATÉS : TPQ XVI ^e s.			FoSse	1521	1521			céramique	sur 1045 ; 2 tessons XVI ^e + 1 tesson 1450-1500 + 1 tesson XVI ^e ; sous HZ1408	1500-1600 ap.	1500-1600 ap.	?
10a	MODerne			Excavation	1162	1162		partiellement fouillée	céramique ; stratigraphie	sur FS1181 TPQ XVI ^e ; 5 tessons XVI ^e + 18 tessons 2nde moit. XVI ^e + 5 tessons XVI ^e -XVII ^e ; sous FDI157	1500-1600 ap.	1550-1700 ap.	1750-1825 ap.
10a	MODerne			Excavation	1162	1163		comblement	stratigraphie	= EX1162	1500-1600 ap.	1550-1700 ap.	1750-1825 ap.
10a	MODerne			EXcavation	1162	1223		creusement	stratigraphie	<=> 1162	1500-1600 ap.	1550-1700 ap.	1750-1825 ap.
10a	MODerne			EXcavation	1162	1399		creusement	stratigraphie	<=> 1162	1500-1600 ap.	1550-1700 ap.	1750-1825 ap.
10a	MODerne			EXcavation	1191	1191		remblai de «scellement»	stratigraphie	sur 1421 ; sur 1192 ; sous fondations 1156 et 1157	1550-1700 ap.	1550-1700 ap.	1750-1825 ap.
10a	MODerne			FoSse	1192	1192		fosse «empierreée»	céramique ; stratigraphie	1 tesson 1550-1700 + 1 tesson 1500-1700 ; sous 1191	?	1550-1700 ap.	1750-1825 ap.
10Z	NON DATÉS : TPQ 1550-1700 ap.			EXcavation	1165	1165			céramique ; stratigraphie	sur Us 1162 ; 2 tessons XVI ^e ; sous MR1157 ? ; sous remblais 1194	1550-1700 ap.	1550-1700 ap.	?
11a	Moderne (fin XVI ^e -XVII ^e ?)			EXcavation	1125	1125		EX (grande fosse)	céramique ; stratigraphie	sur TR1412 ; 1 tesson XVI ^e -XVII ^e + 2 tessons fin XVI ^e -début XVI ^e + 1 tesson fin XVI ^e -XVII ^e ; <=> 1129 ; sous HZ1415 et fondation 1128 TPQ 1826 ap.	idem ?	1575-1700 ap.	1750-1825 ap.
11a	Moderne (fin XVI ^e -XVII ^e ?)			EXcavation	1127	1127		EX (grande fosse)	céramique ; stratigraphie	sur TR1126/RB1416 ; 13 tessons XVI ^e -XVII ^e + 1 tesson 1550-1625 ap. + 5 tessons 1575-1700 ap. ; sous HZ1415	idem ?	1575-1700 ap.	1750-1825 ap.

groupe	période / intervalle estimé-e	Type ENS.	n° ENS.	type fait	n° fait	N° Us / Hz	com. Us-Hz	rem. Us / fait / Ens.	critères de datation	remarques	creus. / fondation	combl. / abandon	combl. / abandon
11a	Moderne (fin XVI ^e -XVII ^e ?)			EXcavation	1129	1129		EX (grande fosse)	céramique ; stratigraphie ; tuiles	1 tesson XVI ^e ; <=> ou sur 1125 ; sur TR1412 ; sous MR1128 ; frags de tuiles plates à crochet	Idem ?	1575-1700 ap.	1750-1825 ap.
11b	Moderne (XVII ^e -début XVIII ^e)			FoSse	1079	1079		Décapage partiel	céramique ; stratigraphie	78 tessons / NM I = 30 du XVII ^e s. ; sous HZ1408 ; bâtiment TPQ 1825-1965 ap.	Idem ?	1600-1700 ap.	1750 ap. ?
11c	Moderne (XVII ^e -XVIII ^e)	CAV	1211	EXcavation	1183	1183		récupération + remblais d'abandon (après incendie de la CAV1211 ?)	céramique ; stratigraphie	sur FS1181 et RB1201 ; sur sol 1212 ; 2 tessons XV ^e -XVI ^e + 2 tessons XVI ^e ; = 1184 = 1 tesson XVI ^e ; sous 1267A <=> 1526	1600-1700 ap.	1600-1700 ap.	1750-1825 ap.
11c	Moderne (XVII ^e -XVIII ^e)	CAV	1211	EXcavation	1183	1184		comblement d'abandon	céramique ; stratigraphie	= 1183 ; 1 tesson XVI ^e	1600-1700 ap.	1600-1700 ap.	1750-1825 ap.
11c	Moderne (XVII ^e -XVIII ^e)	CAV	1267	EXcavation	1267	1267	A	remblais d'abandon	stratigraphie	sur 1267A ; 1267A <=> 1526 (CAV1380) ; sous MR1185 TAQ 1825	1600-1700 ap.	1600-1700 ap.	1750-1825 ap.
11c	Moderne (XVII ^e -XVIII ^e)	CAV	1267	EXcavation	1267	1267	B	creusement (cave)	stratigraphie	sur remblais 1183/1184 de la CAV1211 ; sous remblais 1267A <=> 1526 (CAV1380)	1600-1700 ap.	1600-1700 ap.	1750-1825 ap.
11c	Moderne (XVII ^e -XVIII ^e)	CAV	1267	Puits	1302	1302		fosse en fût / puisard ?	stratigraphie	<=> EX1267	1600-1700 ap.	1600-1700 ap.	1750-1825 ap.
11c	Moderne (XVII ^e -XVIII ^e)	CAV	1380	RemBlais	1526	1173	A	Remblais de récupération / abandon	stratigraphie	= 1526	1600-1700 ap.	1600-1700 ap.	1750-1825 ap.
11c	Moderne (XVII ^e -XVIII ^e)	CAV	1380	RemBlais	1526	1526		remblais abandon CAV1380	céramique ; stratigraphie	<=> 1267A sur remblais 1183/1184 de la CAV1211 ; pas de tesson XVII ^e ; sous murs TAQ 1825 ap.	1600-1700 ap.	1600-1700 ap.	1750-1825 ap.
11c	Moderne (XVII ^e -XVIII ^e)	CAV	1380	NiVeau	1527	1527		abandon CAV1380	céramique ; stratigraphie	sur 1381-A ; 19 tessons (NM) : 4) XVI ^e ; sur 1526-B ; sous 1526-A	1600-1700 ap.	1600-1700 ap.	1750-1825 ap.
11c	Moderne (XVII ^e -XVIII ^e)			FoSse	1189	1189			plâtre ; tuiles ; stratigraphie	frags de plâtre et tuiles plates à crochet <=> 1526A ? ; sous FHZ1415	?	1600-1700 ap. ?	1750-1825 ap.
11c	Moderne (XVII ^e -XVIII ^e)			FoSse	1190	1190			stratigraphie	sur 1526-A (abandon CAV1380) ; sous FD1188 et 1506	1600-1700 ap.	1600-1700 ap.	1750-1825 ap.
11c	Moderne (XVII ^e -XVIII ^e)			EXcavation	1438	1438			stratigraphie	sur 1183-A ; sous MR1185	1600-1700 ap.	1600-1700 ap.	1750-1825 ap.
11Y	NON DATES : TPQ XVII ^e s.			FoSse	1005	1005			céramique ; stratigraphie	2 tessons XVI ^e ; sous HZ1408	idem combl. ?	1600-1700 ap.	1825-1950 ap.
11Y	NON DATES : TPQ XVII ^e s.			FoSse	1021	1021			stratigraphie ; verre	sur 1022 et 1243 (TPQ : 1650-1700 ap.) ; frags abondants de "criche de maraicher / à melon" en verre "bleu / vert" au plomb ; sous "garage Nord" TPQ 1950 / TAQ 1986 ap. (n'apparaît pas sur photo aérienne de 1950-1965, figuré sur cadastre de 1969-1986)	1650-1700 ap.	1650-1700 ap.	1950-1985 ap.
11Y	NON DATES : TPQ XVII ^e s.			FoSse	1027	1027			céramique ; stratigraphie	sur FS1028 ; 2 tessons XVI ^e ; sous "garage Nord" TPQ 1950 / TAQ 1986 ap. (n'apparaît pas sur photo aérienne de 1950-1965 + apparaît sur cadastre de 1969-1986)	1500-1600 ap.	1600-1700 ap.	1950-1985 ap.
11Y	NON DATES : TPQ XVII ^e s.			FoSse	1029	1029			céramique	1 tesson XVI ^e	idem combl. ?	1600-1700 ap. ?	1950-2020 ap.
11Y	NON DATES : TPQ XVII ^e s.			Excavation	1032	1032		DIAG. 2019 : SI-01	céramique ; stratigraphie	sur FD1038 ; 3 tessons XVI ^e + 3 tessons XV ^e -XVI ^e + 1 tesson XVI ^e ; sous HZ1408 ; sous "remises / garages" TPQ 1825-1965 ap.	1500-1600 ap.	1600-1700 ap.	1825-1965 ap.
11Y	NON DATES : TPQ XVII ^e s.			Excavation	1052	1052		Excavation profonde	céramique ; stratigraphie	4 tessons XVI ^e s. ; sous TR1041 ; sous HZ1408	Idem ?	1600-1700 ap.	1825-1950 ap.
11Y	NON DATES : TPQ XVII ^e s.			EXcavation	1054	1054		Sondage 1281	céramique ; stratigraphie	4 tessons XV ^e -XVI ^e dont un 1550-1625 ap. ; sur 1063-a ; sous HZ1408 ; sous "garage Nord" TPQ 1950-1986 ap. (n'apparaît pas sur photo aérienne de 1950-1965 + apparaît sur cadastre de 1969-1986)	1600-1700 ap.	1600-1700 ap.	1825-1985 ap.
11Y	NON DATES : TPQ XVII ^e s.			EXcavation	1063	1063		Grande fosse	céramique ; stratigraphie	sous 1054-A1 ; 3 tessons XVI ^e ; sous HZ1408	Idem ?	1600-1700 ap.	1825-1950 ap.

groupe	période / intervalle estimé-e	Type ENS.	n° ENS.	type fait	n° fait	N° Us / Hz	com. Us-Hz	rem. Us / fait / Ens.	critère-s de datation	remarques	creus./ fondation	combl./ abandon	combl./ abandon
											TPQ	TPQ	TAQ
11Y	NON-DATÉS : TPQ XVII ^e s.			Excavation	1239	1239		excavation profonde en fût	céramique ; stratigraphie	1239A = 2 tessons 1750-1800 ap. (sous ou = HZ1408 : effet de tassement comblé par 1408 ?), sous «garage Nord» TPQ 1950-TAQ 1985 ap. (n'apparaît pas sur photo aérienne de 1950/1965 + apparaît sur cadastre de 1969-1986)	?	1600-1700 ap. ?	1650-1985 ap.
11Y	NON-DATÉS : TPQ XVII ^e s.			FoSse	1243	1243			céramique ; stratigraphie	sur FS1242 : 2 tessons XVI ^e + 2 tessons 1650-1750 ap. ; sous «garage Nord» TPQ 1950-TAQ 1985 ap. (n'apparaît pas sur photo aérienne de 1950-1965 + apparaît sur cadastre de 1969-1986)	1650-1700 ap.	1650-1700 ap.	1950-1985 ap.
11Z	NON-DATÉS : TPQ XVII ^e s.			Tranchée	1025	1025		creusement et récupération de fondation de mur	localisation ; plan ancien ; stratigraphie	perpendiculaire aux milieux modernes à contemporaines (dont 1041-A : TPQ 1600-1700 ap.) ; limite non figurée sur le cadastre de 1826 ; sous «garage Nord» TPQ 1950 / TAQ 1986 ap. (n'apparaît pas sur photo aérienne de 1950-1965, figuré sur cadastre de 1969-1986)	1600-1700 ap. ?	1600-1700 ap. ?	1950-1985 ap.
11Z	NON-DATÉS : TPQ XVII ^e s.			Tranchée	1041	1041		creusement (B) et récupération (A) de fondation de mur	plan ancien ; stratigraphie	sur 1052 : limite figurée sur le cadastre de 1826 ; sous «garage Nord» TPQ 1950 / TAQ 1986 ap. (n'apparaît pas sur photo aérienne de 1950-1965, figuré sur cadastre de 1969-1986)	1600-1700 ap.	1600-1700 ap.	1950-1965 ap.
11Z	NON-DATÉS : TPQ XVII ^e s.			Puits	1062	1062		Puits maçonné	comblement ; plan ancien ; stratigraphie	figuré sur le cadastre de 1826 ; encore «actif» en 2021 ap.	1600-1700 ap. ?	2021 ap.	2021 ap.
12a	fin MOD à début CONT			Horizon	1415	1415	Sud	Remblai de «terre végétale»	stratigraphie	HZ1415-Sud <=> 1422 : sur 1526A (abandon CAVI 380, TPQ : 1600-1700 ap.) ; sous FDI1506 et 1507 (TAQ : 1825 ap.)	1600-1700 ap.	1600-1700 ap.	1750-1825 ap.
12a	fin MOD à début CONT			Horizon	1422	1422		Remblai de «terre végétale»	stratigraphie	sur EX1413 ; sous FDI1154 et 1156 (TAQ : 1825 ap.) ; <=> HZ1415	1600-1700 ap.	1600-1700 ap.	1750-1825 ap.
12b	fin MOD à CONT			Horizon	1408	1408		«Terre végétale» / (labours ?)	stratigraphie	<=> HZ1415-Nord ; développé sur FS1243 (TPQ : 1650-1700 ap.) ; sous bâtiments TPQ 1825-TAQ 1963 ; sous HZ1410	1650-1700 ap.	1825 ap.	1950-1965 ap.
12b	fin MOD à CONT			Horizon	1415	1415	Nord	Remblai de «terre végétale»	stratigraphie	HZ1415-Nord (TPQ = 1415-Sud) ; sous bâtiments TPQ 1825-TAQ 1965 ; <=> HZ1408 ; sur EX1125 et 1127 (TPQ : 1575-1700 ap.)	1600-1700 ap.	1600-1700 ap.	1825-1965 ap.
13a	MOD / CONT			Fondation	1158	1158		Fondation de mur	stratigraphie	s'appuie contre la fondation du MR1157 ; sur FEX1162 ; sous remblais 1194 et SB1195	1600-1825 ap.	1600-1825 ap.	1950 ap. ?
13a	MOD / CONT			Fondation	1158	1217		Renfort de fondation <=> 1158	stratigraphie	= 1158 ; s'appuie contre la fondation du MR1157 ; sur FEX1162 ; sous remblais 1194 et SB1195	1600-1825 ap.	1600-1825 ap.	1950 ap. ?
13b	MOD / CONT			Fondation	1154	1154		Fondation de mur	plan ancien ; stratigraphie	sur EX1413 <=> TR1411 <=> TR1282 ; sur HZ1422 <=> HZ1415 ; <=> MR1156 ? ; bâtiment figuré sur cadastre de 1826 ; sous carrelage TAQ 2021 ap. (élévation tronquée ou démolie ?)	1600-1825 ap.	1950 ap. ?	2000-2018 ap.
13b	MOD / CONT			MuR	1156	1156		Fondation + élévation	plan ancien ; stratigraphie	sur HZ1422 <=> 1415 ; <=> MR1168 et 1185 ? ; figuré sur cadastre de 1826 ; en élévation en 2021 ap.	1600-1825 ap.	2021 ap.	2021 ap.
13b	fin moderne à / et contemporaine			MuR	1157	1157		Fondation + élévation	stratigraphie	sur EX1162 et FS1181 <=> 1156 sur 1422 ; en élévation en 2021 ap. (Brasserie-Bistrot "L'Ecrivain"....)	1600-1825 ap.	2021 ap.	2021 ap.
13b	fin moderne à / et contemporaine			MuR	1157	1160		Fondation	stratigraphie	= 1157	1600-1825 ap.	2021 ap.	2021 ap.
13b	fin moderne à / et contemporaine			MuR	1157	1168		Fondation + élévation	plan ancien ; stratigraphie	= 1157 ; sur 1200 et 1201 ; en élévation en 2021 ap. (Brasserie-Bistrot "L'Ecrivain"....)	1600-1825 ap.	2021 ap.	2021 ap.
13b	MOD / CONT			MuR	1185	1185			plans anciens ; stratigraphie	sur 1267 A et 1183 (caves remblayées) ; sur HZ1415 ; bâtiment figuré sur le cadastre de 1826 ; encore en élévation en 2021 ap.	1600-1825 ap.	2021 ap.	2021 ap.
13b	MOD / CONT			Fondation	1188	1188			photo, aérienne ; plans anciens ; stratigraphie	sur 1526 (abandon CAVI 380) ; <=> FDI 506 ; mur figuré sur les cadastres de 1826 et 1969/1986 ; n'apparaît plus sur photo aérienne de 2000-2005 ap.	1600-1825 ap.	1969-1986 ap.	2005 ap.

groupe	période / intervalle estimé-e	Type ENS.	n° ENS.	type Fait	n° Fait	N° Us / Hz	com. Us-Hz	rem. Us / fait / Ens.	critères de datation	remarques	creus. / fondation	combl. / abandon	combl. / abandon
											TPQ	TPQ	TAQ
13b	MOD / CONT			FonDation	1506	1506			photo, aérienne ; plans anciens ; stratigraphie	sur 1526 (abandon CAV1380) ; <=> FD1188 ; mur figuré sur les cadastres de 1826 et 1969-1986 ; n'apparaît plus sur photo aérienne de 2000-2005 ap.	1600-1825 ap.	1969-1986 ap.	2005 ap.
13b	MOD / CONT			FonDation	1507	1507			photo, aérienne ; plans anciens ; stratigraphie	sur 1526 (abandon CAV1380) ; sur HZ1415 ; mur figuré sur le cadastre de 1826 ; sur photo aérienne de 1950-1965 ap. ; n'apparaît plus sur le cadastre de 1969-1986 ap.	1600-1825 ap.	1950-1965 ap.	1969-1986 ap.
13Z	NON DATÉES : TPQ 1650-1850 ap.	REM	1194	RemBlais	1194	1194		arasement + nivellement	stratigraphie	sur FD1158 ; sur EX1165 ; <=> 1196 ? ; sous SB1195	1600-1850 ap.	1600-1850 ap.	1950 ap. ?
13Z	NON DATÉES : TPQ 1650-1850 ap.	REM	1194	RemBlais	1196	1196		arasement + nivellement	stratigraphie	sur FD1158, sur 1194, sous SB1195	1600-1850 ap.	1600-1950 ap.	1950 ap. ?
13Z	NON DATÉES : TPQ 1650-1850 ap.	FSA	1398	FoSse	1150	1150		néгатif de démolition 08/2021	stratigraphie	<=> 1398 ? ; sur HZ1415	1600-1850 ap.	1600-1950 ap.	2000-2005 ap.
13Z	NON DATÉES : TPQ 1650-1850 ap.	FSA	1398	FS	1398	1398		Fosse / tranchée aménagée ?	stratigraphie	postérieur à / contre la FD1154 ; <=> 1150 ? ; sous pavés TAQ 2000-2005 ap.	1600-1850 ap.	1600-1950 ap.	2000-2005 ap.
13Z	NON DATÉES : TPQ 1650-1850 ap.			FoSse	1003	1003			comblement ; stratigraphie	sur HZ1408 ; sous RB1443 sous «garage Nord» TPQ 1950 / TAQ 1986 ap. n'apparaît pas sur photo aérienne de 1950-1965, figuré sur cadastre de 1969-1986.	1650-1850 ap.	1650-1950 ap.	1950-1985 ap.
13Z	NON DATÉES : TPQ 1650-1850 ap.			St. Bâte	1161	1161		Fondation ? Contrefort ?	céramique ; stratigraphie	1 tesson XV* ; s'appuie contre la fondation du mur 1157	1600-1850 ap.	1600-1950 ap.	1950 ap. ?
13Z	NON DATÉES : TPQ 1650-1850 ap.			St. Bâte	1195	1195		fosse aménagée	stratigraphie	sur FD1158 ; sur RB1196 ; sous le sol TAQ 2021 ap.	1600-1850 ap.	1600-1950 ap.	1950 ap. ?
13Z	NON DATÉES : TPQ 1650-1850 ap.			FoSse	1262	1262			stratigraphie	sur HZ1408 développé sur 1243 (TPQ : 1650-1700 ap.) ; sous RB1437 ; sous bâtiment TPQ 1825-TAQ 1965 ap.	1650-1850 ap.	1650-1950 ap.	1825-1965 ap.
13Z	NON DATÉES : TPQ 1650-1850 ap.			FoSse	1417	1417			stratigraphie	sur HZ1415 ; sous pavés / grave (TAQ 2000-2005 ap.)	1600-1850 ap.	1600-1950 ap.	2000-2005 ap.
13Z	NON DATÉES : TPQ 1650-1850 ap.			FoSse	1432	1432			stratigraphie	sur HZ1408 développé sur 1243 (TPQ : 1650-1700 ap.) ; sur ES1079 ; sous 1437 ; sous la limite Nord du bâtiment TPQ 1825-TAQ 1965 ap.	1650-1850 ap.	1650-1950 ap.	1825-1965 ap.
13Z	NON DATÉES : TPQ 1650-1850 ap.			RemBlai	1441	1441			stratigraphie	sur HZ1408 ; sous 1442 ; sous «remises / garages» TPQ 1825-TAQ 1965 ap. n'apparaît pas sur le cadastre de 1826 ni sur la carte de l'état-major de 1820-1866 ap. ; présentées sur photo aérienne de 1950-1965 ap.)	1650-1850 ap.	1650-1965 ap.	1825-1965 ap.
14a	XIX* à début XXI* s.	MUR	1121	Mur	1121-A	1121	A	MUR 1121 Est.	photo aérienne ; plan ancien ; stratigraphie	1121-A2 = reprise de 1121-B2 ; 1121-A2 <=> 11282 <=> 1139-A2 ; sous BS1250 ; 1121-A1 encore en élévation en 2021	1825-1875 ap.	2021 ap.	2021 ap.
14a	XIX* à début XXI* s.			Mur	1128	1128		Fondation + élévation	plan ancien ; stratigraphie	sur EX1125 ; <=> 1121-A et 1139-A ; mur de bâtiment non figuré sur le cadastre de 1826 ; apparaît sur photo aérienne de 1950-1965 ap. ; encore en élévation en juillet 2021	1825-1875 ap.	2021 ap.	2021 ap.
14a	XIX* à début XXI* s.	CAV	1135	divers	1135	1135		cave contemporaine	plan ancien ; stratigraphie	cave sous bâtiment en élévation en 2021, non figuré sur le cadastre de 1826 ap., apparaît sur photo aérienne de 1950-1965 ap.	1825-1875 ap.	2021 ap.	2021 ap.
14a	XIX* à début XXI* s.	MUR	1139	Mur	1139	1139	A	Fondation + élévation	stratigraphie	<=> MR1121-A et MR1128 ; sous BAS1250	1825-1875 ap.	2021 ap.	2021 ap.
14a	XIX* à début XXI* s.			Mur	1152	1152		Fondation + élévation	plan ancien ; stratigraphie	<=> cave 1035 sous bâtiment en élévation en 2021, non figuré sur le cadastre de 1826.	1825-1875 ap.	2021 ap.	2021 ap.
14a	XIX* à début XXI* s.			Mur	1153	1153		Fondation + élévation	plan ancien ; stratigraphie	<=> cave 1035 sous bâtiment en élévation en 2021, non figuré sur le cadastre de 1826.	1825-1875 ap.	2021 ap.	2021 ap.
14b	XIX* à début XXI* s.	ALI	1075	Pilier	1075	1075		Pile de fondation quadrangulaire	facture ; plans anciens ; photo aérienne	Bâtiment TPQ 1825-TAQ 1965 n'apparaît pas sur le cadastre de 1826 et la carte de l'état-major de 1820-1866 ; apparaît sur photo aérienne de 1950-1965.	1825-1900 ap.	1825-1950 ap.	2021 ap.
14b	XIX* à début XXI* s.	ALI	1075	Pilier	1076	1076		Pile de fondation quadrangulaire	facture ; plans anciens ; photo aérienne	Bâtiment TPQ 1825-TAQ 1965 n'apparaît pas sur le cadastre de 1826 et la carte de l'état-major de 1820-1866 ; apparaît sur photo aérienne de 1950-1965.	1825-1900 ap.	1825-1950 ap.	2021 ap.

groupe	période / intervalle estimée-e	Type ENS.	n° ENS.	type fait	n° fait	N° Us / Hz	com. Us-Hz	rem. Us / fait / Ens.	critères de datation	remarques	creus. / fondation TPQ	combl. / abandon TPQ	combl. / abandon TAQ
14b	XIX ^e à début XXI ^e s.	AL17	1075	FoSse	1089	1089		potEAU arraché ?	comblement	LA noir, graviers ; <=> bâtiment TPQ 1825-1965 ap. ?	1825-1900 ap. ?	1825-1950 ap. ?	2021 ap.
14b	XIX ^e à début XXI ^e s.	AL1	1075	Pilier	1102	1102		Pile de fondation quadrangulaire	facture ; plans anciens ; photo aérienne	Bâtiment TPQ 1825-1965 (n'apparaît pas sur le cadastre de 1826 et la carte de l'état-major de 1820-1866 ; apparaît sur photo aérienne de 1950-1965).	1825-1900 ap. ?	1825-1950 ap. ?	2021 ap.
14b	XIX ^e à début XXI ^e s.			PT	1002	1002		Petit «puisard» maçonné	comblement ; stratigraphie	sur RB1436 /1437	1825-1900 ap.	1950 ap.	2021 ap.
14b	XIX ^e à début XXI ^e s.			FoSse	1080	1080			céramique ; comblement	1 tesson 1800-1850 ap. ; LA noir, graviers ; <=> bâtiment TPQ 1825-1965 ap. ?	1825-1900 ap. ?	1800-1850 ap.	?
14b	XIX ^e à début XXI ^e s.			PO	1090	1090		trou de «pique/poteau» quadrangulaire	comblement	LA noir, graviers ; <=> bâtiment TPQ 1825-1965 ap. ?	1825-1900 ap. ?	1825-1950 ap. ?	2021 ap.
14b	XIX ^e à début XXI ^e s.			PT	1097	1097		Petit «puisard» maçonné	comblement ; stratigraphie	sur RB1436 /1437	1825-1900 ap.	1950 ap.	2021 ap.
14b	XIX ^e à début XXI ^e s.			PT	1098	1098		Petit «puisard» maçonné	comblement ; stratigraphie	sur RB1436 /1437	1825-1900 ap.	1950 ap.	2021 ap.
14b	XIX ^e à début XXI ^e s.			BaSein	1250	1250		Bassin / cuve		après MR1121A et MR1139A ; facture antérieure à 1950 ap.	1825-1900 ap.	1825-1900 ap.	1950-2021 ap.
14b	XIX ^e à début XXI ^e s.			BaSein	1250	1250		= 1250		après MR1121A et MR1139A	1825-1900 ap.	1825-1950 ap.	1950-2021 ap.
14b	XIX ^e à début XXI ^e s.			RemBlais	1424	1424			stratigraphie	sur MR1139A et EX1519 ; sous FSI425	1825-1900 ap.	1825-1900 ap.	1950 ap. ?
14b	XIX ^e à début XXI ^e s.			FonDatton	1425	1425			stratigraphie	sur EX1519, sur MR1121A ; <=> BS1250 ?	1825-1900 ap.	1825-1950 ap.	1950-2021 ap.
14b	XIX ^e à début XXI ^e s.			St. Bâtie	1426	1426			stratigraphie	sur RB1427 ; sur et <=> 1250B	1825-1900 ap.	1825-1950 ap.	1950-2021 ap.
14b	XIX ^e à début XXI ^e s.			RemBlai	1427	1427		remblai de préparation de sol	stratigraphie	sur RB1424 ; sous 1250 ? ; sous 1426-B	1825-1900 ap.	1825-1900 ap.	1950 ap. ?
14b	XIX ^e à début XXI ^e s.			FoSse	1433	1433			comblement ; stratigraphie	sur 1432 ; comblement noirâtre récent (<=> SB1088 ?) ; liée aux activités du bâtiment TPQ 1825-1965 ap. ?	1825-1950 ap. ?	2021 ap.	2021 ap.
14b	XIX ^e à début XXI ^e s.			RemBlais	1436	1436			stratigraphie	sur 1121-A ; lié à la construction des «dépendances» TPQ 1825-1965 ap. (n'apparaissent pas sur le cadastre de 1826 ni sur la carte de l'état-major de 1820-1866 ap. ; présentes sur photo aérienne de 1950-1965 ap.)	1825-1900 ap.	1825-1900 ap.	1950-1965 ap.
14b	XIX ^e à début XXI ^e s.			RemBlais	1437	1437			stratigraphie	sur 1436 ; <=> 1436 ?	1825-1900 ap.	1825-1900 ap.	1950-1965 ap.
14b	XIX ^e à début XXI ^e s.			Rembais	1442	1442			stratigraphie	sur RB1436 et 1441 ; sous «remises / garages» TPQ 1825-1965 ap. (n'apparaissent pas sur le cadastre de 1826 ni sur la carte de l'état-major de 1820-1866 ap. ; présentes sur photo aérienne de 1950-1965 ap.)	1825-1900 ap.	1825-1900 ap.	1950-1965 ap.
14b	XIX ^e à début XXI ^e s.			Rembais	1444	1444			stratigraphie	sur 1441 ; <=> 1445 / 1446 ? ; liés aux «remises / garages» TPQ 1825-1965 ap. (n'apparaissent pas sur le cadastre de 1826 ni sur la carte de l'état-major de 1820-1866 ap. ; présentes sur photo aérienne de 1950-1965 ap.)	1825-1900 ap.	1825-1900 ap.	1950-1965 ap.
14b	XIX ^e à début XXI ^e s.			Rembais	1445	1445			stratigraphie	lié à la construction des «box» = «remises / garages» TPQ 1825-1965 ap. (n'apparaissent pas sur le cadastre de 1826 ni sur la carte de l'état-major de 1820-1866 ap. ; présents sur photo aérienne de 1950-1965 ap.)	1825-1900 ap.	1825-1900 ap.	1950-1965 ap.
14b	XIX ^e à début XXI ^e s.			fondations	div.	1446		fondations contemporaines	photo aérienne ; plans anciens ; stratigraphie	fondations des «box» = «remises / garages» TPQ 1825-1965 ap. (n'apparaissent pas sur le cadastre de 1826 ni sur la carte de l'état-major de 1820-1866 ap. ; présents sur photo aérienne de 1950-1965 ap.)	1825-1900 ap.	2021 ap.	2021 ap.
15a	XIX ^e ou XX ^e à début XXI ^e s.			Horizon	1410	1410		«terre végétale» contemporaine / «actuelle»	stratigraphie	sur RB1437 (TPQ 1825-1900 ap.) sur 1408 développé sur FSI1243 (TPQ : 1650-1700 ap.)	1825 ap.-1950 ap. ?	2021 ap.	2021 ap.

groupe	période / intervalle estimé-e	type ENS.	n° ENS.	type Fait	n° Fait	N° Us / Hz	com. Us-Hz	rem. Us / fait / Ens.	critères de datation	remarques	creus. / fondation	combl. / abandon	combl. / abandon
15b	milieu XX ^e à début XXI ^e s.			FoSse	1051	1051			béton industriel	frags de béton industriel	1950 ap. ?	1950 ap.	2021 ap.
15b	milieu XX ^e à début XXI ^e s.			FoSse	1055	1055		Fosse de plantation récente	comblement	<=> HZI1410	1950 ap. ?	1950 ap. ?	2021 ap.
15b	milieu XX ^e à début XXI ^e s.			SB	1088	1088		fosse quadrangulaire bâtie	béton industriel	Parois en parpaings de béton industriels	1950 ap.	1950 ap.	2021 ap.
15b	milieu XX ^e à début XXI ^e s.			Rembais	1443	1443			mobilier ; stratigraphie	goudron, frags de fibrociment ; sous puisard classé en 1985 ; sous fondation du «garage Nord» TPO 1950/TAQ 1985 ap. (n'apparaît pas sur photo aérienne de 1950-1965 + apparaît sur cadastre de 1969-1986)	1950 ap. ?	1950 ap.	2018 ap.
15b	milieu XX ^e à début XXI ^e s.			divers	1450	1450		fondations / poteaux contemporains	photo aérienne ; plans anciens ; stratigraphie	Quart Nord (apparaît sur photo aérienne de 2006-2010 ap. ; abandonnée en 2019 ap. = TPO3diag.) du «garage Nord» TPO 1950/TAQ 1986 ap. (n'apparaît pas sur photo aérienne de 1950-1965, figuré sur cadastre de 1969-1986) ; sur RBI443	1950-1965 ap.	2006-2010 ap.	2019 ap.
99a	TAQ XIV ^e			Poteau	1081	1081		Trou de poteau	stratigraphie ; tuile	2 frags de tegulae ; sous HZI278 ? ; sous HZI 407	idem comb. ?	-50 av. / + 300 ap.	1200-1400 ap. ?
99a	TAQ XIV ^e			FoSse	1136	1136			stratigraphie	sous HZI259 / 1407	?	?	1200-1400 ap.
99a	TAQ XIV ^e			Poteau ?	1256	1256			stratigraphie	1 tesson de céramique non tournée ; sous HZI259 ?	?	?	475-1400 ap. ?
99a	TAQ XIV ^e			FaiT indéf.	1371	1371			stratigraphie	sous HZI259	?	?	475-1400 ap.
99a	TAQ XIV ^e			FoSse	1516	1516		fosse rectangulaire	stratigraphie	sous HZI259	?	?	475-1400 ap.
99b	TAQ XIV ^e			FoSse	1418	1418			stratigraphie	sur HZI294 ; sous RBI 419	?	?	1250-1600 ap. ?
99c	TAQ 1825 ap.			FoSse	1048	1048		Fosse rectangulaire	stratigraphie	sous FS1045 sous FS1521	?	?	1500-1825 ap. ?
99c	TAQ 1825 ap.			FoSse	1053	1053			stratigraphie	sous EX1052	?	?	1450-1800 ap. ?
99c	TAQ 1825 ap.			FaiT indéf.	1115	1115			stratigraphie	sous FS1116	?	?	1450-1800 ap. ?
99c	TAQ 1825 ap.			Poteau ?	1279	1279			stratigraphie	sous FS1189	?	?	1600-1825 ap.
99c	TAQ 1825 ap.			Poteau ?	1523	1523			stratigraphie	sous FD1038	?	?	1500-1825 ap. ?
99d	NON DATÉ : MED / MOD			FaiT indéf.	1449	1449			stratigraphie	sur HZI259 ; sous EX1413	475-1100 ap.	475-1100 ap.	1500-1825 ap.
99e	NON DATÉ : TPO GR / TAQ 1825 ap.			Poteau	1167	1167		Trou de poteau	stratigraphie	sur fossé gallo-romain 1203 ; sous MR1157	GR	GR	1825 ap.
99e	NON DATÉ : TPO GR / TAQ 1825 ap.			FoSse	1178	1178			stratigraphie	sur FO1148	GR	GR	1400-1825 ap. ?
99e	NON DATÉ : TPO GR / TAQ 1825 ap.			FoSse	1384	1384			stratigraphie ; tuiles	2 frags de tuiles romaines ; sous HZI1409	?	?	475-1825 ap. ?
99f	NON DATÉ : TPO GR			FoSse	1015	1015			tuile-s	petits frags de tuile-s indéf.	?	?	-50 av. / + 300 ap. ?
99f	NON DATÉ : TPO GR			FoSse	1019	1019			tuile ; stratigraphie	1 frag. de tegula GR ; sous «garage Nord» TPO 1950 / TAQ 1986 ap. (n'apparaît pas sur photo aérienne de 1950-1965, figuré sur cadastre de 1969-1986)	?	?	1960-1985 ap.

groupe	période / intervalle estimée	type ENS.	n° ENS.	type Fait	n° Fait	N° Us / Hz	com. Us-Hz	rem. Us / fait / Ens.	critères de datation	remarques	creus. / fondation	combi. / abandon	combi. / abandon
											TPQ	TPQ	TAQ
99f	NON DATÉ : TPQ GR			FoSse	1109	1109			stratigraphie	sur four de tuilier GR ; 1 tesson GR ; 1 frag. de tuile indét.	GR	-50 av. / + 300 ap.	?
99f	NON DATÉ : TPQ GR			FoSse	1110	1110			stratigraphie	sur four de tuilier GR (Us 1520) ; 5 tessons GR ; 1 frag. de tuile indét. ; sous IHZ1408	GR	-50 av. / + 300 ap.	1825-1965 ap.
99f	NON DATÉ : TPQ GR			Fait indét.	1113	1113			tuile	1 frag. de tegula.	GR	-50 av. / + 300 ap.	?
99f	NON DATÉ : TPQ GR			Poteau ?	1174	1174			céramique	2 petits tessons gallo-romains (3 g)	GR ?	-50 av. / + 300 ap.	?
99f	NON DATÉ : TPQ GR			Poteau ?	1187	1187			stratigraphie	sur fossé 1179	75-150 ap. J.-C.	75-150 ap.	?
99f	NON DATÉ : TPQ GR			FoSse	1309	1309			stratigraphie	sur FR1320 / FOU1074 Ph. B	GR	-50 av. / + 300 ap.	?
99f	NON DATÉ : TPQ GR			FoSse	1310	1310			stratigraphie	sur Us 1305 / FOU1074 Ph. B	GR	-50 av. / + 300 ap.	?
99f	NON DATÉ : TPQ GR			FoSse	1311	1311			stratigraphie	sur FR1320 / FOU1074 Ph. B ; sous PL1102 = bâtiment TPQ 1825-1965 (n'apparaît pas sur le cadastre de 1826 et la carte de l'état major de 1820-1866 ; apparaît sur photo aérienne de 1950-1965).	GR	-50 av. / + 300 ap.	1950-1965 ap.
99f	NON DATÉ : TPQ GR			FoSse	1311	1367			stratigraphie	= 1311	GR	-50 av. / + 300 ap.	1950-1965 ap.
99f	NON DATÉ : TPQ GR			FoSse	1316	1316			stratigraphie	sur Us 1305 / FOU1074 Ph. B	GR	-50 av. / + 300 ap.	?
99f	NON DATÉ : TPQ GR			Poteau ?	1356	1356			verre	X	GR ?	-50 av. / + 300 ap.	?
99f	NON DATÉ : TPQ GR			FS	1362	1362			stratigraphie	sur abandon du FOU1074 (Us 1520) ; sous IHZ1408	GR	-50 av. / + 300 ap.	1825-1965 ap.
99f	NON DATÉ : TPQ GR			FoSse	1435	1435			stratigraphie	sur four de tuilier GR (Us 1520) ; sous IHZ1408	GR	-50 av. / + 300 ap.	1825-1965 ap.
99f	NON DATÉ : TPQ GR			FoSse	1502	1502			stratigraphie	sur Us 1305 (abandon FOU1074)	GR	-50 av. / + 300 ap.	?
99f	NON DATÉ : TPQ GR			FoSse	1504	1504			stratigraphie	sur Us 1305 (abandon FOU1074)	GR	-50 av. / + 300 ap.	?
99Z	NON DATÉ			FoSse	1007	1007			X	X	?	?	?
99Z	NON DATÉ			Poteau ?	1009	1009			stratigraphie	sous «remises / garages» TPQ 1825-TAQ 1965 ap.	?	?	1825-1965 ap.
99Z	NON DATÉ			Fait indét.	1010	1010			stratigraphie	sous «remises / garages» TPQ 1825-TAQ 1965 ap.	?	?	1825-1965 ap.
99Z	NON DATÉ			Fait indét.	1017	1017			X	X	?	?	?
99Z	NON DATÉ			Fait indét.	1018	1018			X	X	?	?	?
99Z	NON DATÉ			Fait indét.	1023	1023			X	X	?	?	?
99Z	NON DATÉ			Fait indét.	1024	1024			stratigraphie	sous «garage Nord» TPQ 1950-TAQ 1985 ap. (n'apparaît pas sur photo aérienne de 1950-1965 + apparaît sur cadastre de 1969-1986)	?	?	1950-1985 ap.
99Z	NON DATÉ			Fait indét.	1030	1030			stratigraphie	sous FSI029	?	?	?
99Z	NON DATÉ			FoSse	1031	1031			X	X	?	?	?
99Z	NON DATÉ			Fait indét.	1034	1034			X	X	?	?	?
99Z	NON DATÉ			Fait indét.	1036	1036			X	X	?	?	?
99Z	NON DATÉ			FoSse	1039	1039			X	X	?	?	?

groupe	période / intervalle estimée	type ENS.	n° ENS.	type Fait	n° Fait	N° Us / Hz	com. Us-Hz	rem. Us / fait / Ens.	critères de datation	remarques	creus. / fondation		combi. / abandon	
											TPQ	TAQ	TPQ	TAQ
99Z	NON DATÉ			Fait indéf.	1042	1042			X	X	?	?	?	?
99Z	NON DATÉ			Fait indéf.	1043	1043			X	X	?	?	?	?
99Z	NON DATÉ			Fait indéf.	1044	1044			X	X	?	?	?	?
99Z	NON DATÉ			FoSse	1047	1047			X	X	?	?	?	?
99Z	NON DATÉ			Fait indéf.	1049	1049			X	X	?	?	?	?
99Z	NON DATÉ			Fait indéf.	1050	1050			X	X	?	?	?	?
99Z	NON DATÉ			Fait indéf.	1058	1058			X	X	?	?	?	?
99Z	NON DATÉ			Poteau ?	1059	1059			X	X	?	?	?	?
99Z	NON DATÉ			Fait indéf.	1060	1060			X	X	?	?	?	?
99Z	NON DATÉ			Poteau ?	1061	1061			torchis	4 frags de torchis rubéfié	?	?	?	?
99Z	NON DATÉ			Poteau ?	1064	1064			céramique	3 tessons de céramique modelée	?	?	?	?
99Z	NON DATÉ			Poteau	1065	1065		Trou de poteau	X	X	?	?	?	?
99Z	NON DATÉ			Poteau ?	1066	1066			X	X	?	?	?	?
99Z	NON DATÉ			Poteau ?	1067	1067			fer	1 frag. d'objet en fer	?	?	?	?
99Z	NON DATÉ			Poteau ?	1068	1068			X	X	?	?	?	?
99Z	NON DATÉ			Fait indéf.	1070	1070			X	X	?	?	?	?
99Z	NON DATÉ			FoSse	1077	1077			stratigraphie	sous bâtiment TPQ 1825-1965 ap.	?	?	?	1825-1965 ap.
99Z	NON DATÉ			FoSse	1078	1078			stratigraphie	sous bâtiment TPQ 1825-1965 ap.	?	?	?	1825-1965 ap.
99Z	NON DATÉ			Poteau	1083	1083		Trou de poteau ; DIAG. 2019 ; PO-07	X	X	?	?	?	?
99Z	NON DATÉ			PO ?	1084	1084			X	X	?	?	?	?
99Z	NON DATÉ			Fait indéf.	1085	1085			X	X	?	?	?	?
99Z	NON DATÉ			PO ?	1087	1087			X	X	?	?	?	?
99Z	NON DATÉ			PO ?	1092	1092			X	X	?	?	?	?
99Z	NON DATÉ			Poteau	1094	1094		Trou de poteau	stratigraphie	sous bâtiment TPQ 1825-1965 ap.	?	?	?	1825-1965 ap.
99Z	NON DATÉ			Fait indéf.	1101	1101			X	X	?	?	?	?
99Z	NON DATÉ			PO ?	1103	1103			X	X	?	?	?	?
99Z	NON DATÉ			Fait indéf.	1106	1106			X	X	?	?	?	?
99Z	NON DATÉ			Fait indéf.	1107	1107			X	X	?	?	?	?
99Z	NON DATÉ			Fait indéf.	1111	1111			X	X	?	?	?	?
99Z	NON DATÉ			PO ?	1112	1112			X	X	?	?	?	?
99Z	NON DATÉ			Fait indéf.	1130	1130			X	X	?	?	?	?
99Z	NON DATÉ			Fait indéf.	1133	1133			stratigraphie	sous fondation bâtiment TPQ 1825 ap. <=> MR1128.	?	?	?	1825-1950 ap.
99Z	NON DATÉ			Fait indéf.	1134	1134			X	X	?	?	?	?
99Z	NON DATÉ			Fait indéf.	1138	1138			X	X	?	?	?	?
99Z	NON DATÉ			FoSse	1145	1145			X	X	?	?	?	?

groupe	période / intervalle estimé-e	type ENS.	n° ENS.	type Fait	n° Fait	N° Us / Hz	com. Us-Hz	rem. Us / fait / Ens.	critères de datation	remarques	creus. / fondation		combl. / abandon	
											TPQ	TPQ	TPQ	TAQ
99Z	NON DATÉ			FoSse	1170	1170			X	X	?	?	?	?
99Z	NON DATÉ			Poteau ?	1251	1251			X	X	?	?	?	?
99Z	NON DATÉ			Poteau ?	1280	1280			X	X	?	?	?	?
99Z	NON DATÉ			Poteau ?	1355	1355			X	X	?	?	?	?
99Z	NON DATÉ			FoSse	1366	1366			stratigraphie	sous PL1102	?	?	?	1825-1965 ap.
99Z	NON DATÉ			Poteau ?	1395	1395			X	X	?	?	?	?
99Z	NON DATÉ			Fait indéf.	1396	1396			X	X	?	?	?	?
99Z	NON DATÉ			Fait indéf.	1406	1406			stratigraphie	sous la FS1027	?	?	?	1600-1985 ap.
99Z	NON DATÉ			FoSse	1434	1434			stratigraphie	relation incertaine avec les HZ1259 et 1408 ; sous SB1088 ; sous bâtiment TPQ1825-1965 ap.	?	?	?	1825-1965 ap.
99Z	NON DATÉ			Poteau ?	1522	1522			X	X	?	?	?	?

3.8.3 Inventaire des datations estimées par n° d'Hz / Us

N° Us / Hz	com. Us-Hz	type Fait	n° Fait	type ENS.	n° ENS.	rem. Us / fait / Ens.	critère-s de datation	remarques	creus./ fondation	combl./ abandon	combl./ abandon	période / intervalle estimée	groupe
1001		FoSse	1001				céramique ; stratigraphie	sur 1013 ; 4 tessons XVI ^e ; sous puisard 1002	TPQ	TPQ	1550-1600 ap.	NON DATÉS : TPQ XIV ^e s.	09Z
1002		PT	1002			Petit «puisard» maçonné	comblement ; stratigraphie	sur RB1436 /1437	1825-1900-ap.	1950 ap.	2021 ap.	XIX ^e à début XXI ^e s.	14b
1003		FoSse	1003				comblement ; stratigraphie	sur HZ1408 : sous «garage Nord» TPQ 1950 / TAQ 1986 ap. (n'apparaît pas sur photo aérienne de 1950-1965, figuré sur cadastre de 1969-1986)	1650-1850 ap.	1650-1950 ap.	1950-1985 ap.	NON DATÉS : TPQ 1650-1850 ap.	13Z
1004		FoSse	1004				céramique ; stratigraphie	12 tessons XVI ^e + 15 tessons 1550-1625 ap. ; sous «garage Nord» TPQ 1950/TAQ 1985 ap. (n'apparaît pas sur photo aérienne de 1950-1965 + apparaît sur cadastre de 1969-1986)	idem combl. ?	1550-1625 ap.	1950-1985 ap.	NON DATÉS : TPQ XIV ^e s.	09Z
1005		FoSse	1005				céramique ; stratigraphie	2 tessons XVI ^e ; sous HZ1408	idem combl. ?	1600-1700 ap.	1825-1950 ap.	NON DATÉS : TPQ XVII ^e s.	11Y
1006		FoSse	1006				céramique ; stratigraphie	3 tessons XVI ^e ; sous HZ1410 ; synch. avec 1005 ?	idem combl. ?	1500-1600 ap.	1900-2021 ap.	NON DATÉS : TPQ XIV ^e s.	09Z
1007		FoSse	1007				X		?	?	?	NON DATÉ	99Z
1008		Poteau ?	1008				céramique ; stratigraphie	1 tesson XI ^e s. ; sous «remises / garages» TPQ 1825-TAQ 1965 ap. (n'apparaissent pas sur le cadastre de 1826 ni sur la carte de rétat-major de 1820-1866 ap. ; présentes sur photo aérienne de 1950-1965 ap.)	?	1000-1100 ap. ?	1825-1965 ap.	?	05Z
1009		Poteau ?	1009				stratigraphie	sous «remises / garages» TPQ 1825-TAQ 1965 ap.	?	?	1825-1965 ap.	NON DATÉ	99Z
1010		Fait indét.	1010				stratigraphie	sous «remises / garages» TPQ 1825-TAQ 1965 ap.	?	?	1825-1965 ap.	NON DATÉ	99Z
1011		FoSse	1011				tuiles	frags de tuile-s plate-s à crochet	?	1200-1400 ap.	?	NON DATÉS : TPQ XIII ^e -XIV ^e s.	07Z
1012		FoSse	1012			Petit silo ?	céramique ; morphologie ; stratigraphie	6 tessons mérovingiens ; silo (?) ; sous FS1011	idem combl. ?	500-575 ap.	Méro. ?	Mérovingien à Moyen Age central ?	03c
1013		FoSse	1013				céramique ; stratigraphie	1 tesson XVI ^e + 1 tesson 1550-1600 ap. ; sous FS1001	idem combl. ?	1550-1600 ap.	1950-2020 ap.	NON DATÉS : TPQ XIV ^e s.	09Z
1014		FoSse	1014				stratigraphie	sur 1013	1550-1600 ap.	1550-1600 ap.	?	NON DATÉS : TPQ XIV ^e s.	09Z
1015		FoSse	1015				tuile-s	petits frags de tuile-s indét.	?	-50 av. / + 300 ap. ?	?	NON DATÉ : TPQ GR	99f
1016		Fait indét.	1016			Trou de poteau ?	céramique	1 tessons XI ^e -XII ^e s.	?	1000-1200 ap. ?	?	?	05Z
1017		Fait indét.	1017				X		?	?	?	NON DATÉ	99Z
1018		Fait indét.	1018				X		?	?	?	NON DATÉ	99Z
1019		FoSse	1019				tuile ; stratigraphie	1 frag. de tegula GR ; sous «garage Nord» TPQ 1950 / TAQ 1986 ap. (n'apparaît pas sur photo aérienne de 1950-1965, figuré sur cadastre de 1969-1986)	?	-50 av. / + 300 ap. ?	1950-1985 ap.	NON DATÉ : TPQ GR	99f
1020		X	X			n° décapage : 1241 + 1242	X		?	?	?	X	
1021		FoSse	1021				stratigraphie ; verre	sur 1022 et 1243 (TPQ : 1650-1700 ap.) ; frags abondants de «cloche de maraicher / à melon» en verre «bleu / vert» au plomb ; sous «garage Nord» TPQ 1950 / TAQ 1986 ap. (n'apparaît pas sur photo aérienne de 1950-1965, figuré sur cadastre de 1969-1986)	1650-1700 ap.	1650-1700 ap.	1950-1985 ap.	NON DATÉS : TPQ XVII ^e s.	11Y
1022		FoSse	1022				céramique ; stratigraphie	1 tesson 1550-1600 ap. ; sous 1021 ; sous «garage Nord» TPQ 1950/TAQ 1985 ap. (n'apparaît pas sur photo aérienne de 1950-1965 + apparaît sur cadastre de 1969-1986)	idem combl. ?	1550-1600 ap. ?	1950-1985 ap.	NON DATÉS : TPQ XIV ^e s.	09Z
1023		Fait indét.	1023				X		?	?	?	NON DATÉ	99Z

N° Us / Hz	com. Us-Hz	type Fait	n° Fait	Type ENS.	n° ENS.	rem. Us / fait / Ens.	critères de datation	remarques	creus. / fondation	combl. / abandon	combl. / abandon	période / intervalle estimé-e	groupe
									TPQ	TPQ	TAQ		
1024		Fait indét.	1024				stratigraphie	sous «garage Nord» TPO 1950-7AO 1985 ap. (n'apparaît pas sur photo aérienne de 1950-1965 + apparaît sur cadastre de 1969-1986)	?	?	1950-1985 ap.	NON DATE	99Z
1025		TRanchée	1025			creusement et récupération de fondation de mur	localisation ; plan ancien ; stratigraphie	perpendiculaire aux milites modernes à contemporaines (dont 1041 A ; TPO 1600-1700 ap.) ; limite non figurée sur le cadastre de 1826 ; sous «garage Nord» TPO 1950-7AO 1986 ap. (n'apparaît pas sur photo aérienne de 1950-1965, figuré sur cadastre de 1969-1986)	1600-1700 ap. ?	1600-1700 ap. ?	1950-1985 ap.	NON DATES : TPQ XVII ^e s.	11Z
1026		FoSse	1026				céramique ; stratigraphie	1 tesson 1550-1600 ap. ; sous-garage Nord» TPO 1950-7AO 1985 ap. (n'apparaît pas sur photo aérienne de 1950-1965 + apparaît sur cadastre de 1969-1986)	idem combl. ?	1550-1600 ap. ?	1950-1985 ap.	NON DATES : TPQ XVI ^e s.	09Z
1027		FoSse	1027				céramique ; stratigraphie	sur FSI1028 ; 2 tessons XVII ^e ; sous «garage Nord» TPO 1950-7AO 1985 ap. (n'apparaît pas sur photo aérienne de 1950-1965 + apparaît sur cadastre de 1969-1986)	1500-1600 ap.	1600-1700 ap.	1950-1985 ap.	NON DATES : TPQ XVII ^e s.	11Y
1028		FoSse	1028				céramique ; stratigraphie	2 tessons XV ^e + 4 tessons XV ^e ; sous FSI1027 ; sous «garage Nord» TPO 1950-7AO 1985 ap. (n'apparaît pas sur photo aérienne de 1950-1965 + apparaît sur cadastre de 1969-1986)	idem combl. ?	1500-1600 ap.	1950-1985 ap.	NON DATES : TPQ XVI ^e s.	09Z
1029		FoSse	1029				céramique	1 tesson XVII ^e	idem combl. ?	1600-1700 ap. ?	1950-2020 ap.	NON DATES : TPQ XVII ^e s.	11Y
1030		Fait indét.	1030				stratigraphie	sous FSI1029	?	?	?	NON DATE	99Z
1031		FoSse	1031				X	X	?	?	?	NON DATE	99Z
1032		Excavation	1032			DIAG. 2019 : Si-O1	céramique ; stratigraphie	sur FD1038 ; 3 tessons XV ^e + 3 tessons XV ^e -XVII ^e + 1 tesson XVII ^e ap. ; sous HZI1408 ; sous «remises / garages» TPQ 1825-7AO 1965	1500-1600 ap.	1600-1700 ap.	1825-1965 ap.	NON DATES : TPQ XVII ^e s.	11Y
1033		FoSse	1033				verre	1 frag de verre «bleu / vert» au plomb	?	1450-1800 ap. ?	?	NON DATES : TPQ XVI ^e s.	08Z
1034		Fait indét.	1034				X	X	?	?	?	NON DATE	99Z
1035		FoSse	1035				céramique ; stratigraphie	1 frag de tuile plate à crochet ; sous «garage Nord» TPO 1950-7AO 1985 ap. (n'apparaît pas sur photo aérienne de 1950-1965 + apparaît sur cadastre de 1969-1986)	?	1200-1400 ap. ?	1950-1985 ap.	NON DATES : TPQ XVII ^e -XIV ^e s.	07Z
1036		Fait indét.	1036				X	X	?	?	?	NON DATE	99Z
1037		Excavation	1037				céramique ; stratigraphie	8 tessons XV ^e XVII ^e ; sous «garage Nord» TPO 1950-7AO 1985 ap. (n'apparaît pas sur photo aérienne de 1950-1965 + apparaît sur cadastre de 1969-1986)	idem combl. ?	1500-1700 ap.	1950-1985 ap.	NON DATES : TPQ XVI ^e s.	09Z
1038		FonDation	1038				céramique ; stratigraphie	sur FSI1040 ; sur HZI1409 ; 1 tesson XV ^e ; sous EX1032 sous HZI1408	idem combl. ?	1500-1600 ap. ?	1600-1825 ap. ?	NON DATES : TPQ XVI ^e s.	09Z
1039		FoSse	1039				X	X	?	?	?	NON DATE	99Z
1040		FoSse	1040			Petit silo ?	céramique ; stratigraphie	10 tessons transition Bas-Empire/mérovingien ; sous FD1038 et FSI1521	idem combl. ?	475-550 ap.	Méro. ?	MÉROVINGIEN ?	03b
1041		TRanchée	1041			creusement (B) et récupération (A) de fondation de mur	plan ancien ; stratigraphie	sur 1052 ; limite figurée sur le cadastre de 1826 ; sous «garage Nord» TPO 1950-7AO 1986 ap. (n'apparaît pas sur photo aérienne de 1950-1965, figuré sur cadastre de 1969-1986)	1600-1700 ap.	1600-1700 ap.	1950-1965 ap.	NON DATES : TPQ XVII ^e s.	11Z
1042		Fait indét.	1042				X	X	?	?	?	NON DATE	99Z
1043		Fait indét.	1043				X	X	?	?	?	NON DATE	99Z
1044		Fait indét.	1044				X	X	?	?	?	NON DATE	99Z
1045		FoSse	1045				céramique	2 tessons XV ^e	idem combl. ?	1500-1600 ap.	1950-2020 ap.	NON DATES : TPQ XVI ^e s.	09Z
1046		X	X			anomalie	X	X	X	X	X	X	X
1047		FoSse	1047				X	X	?	?	?	NON DATE	99Z

N° Us / Hz	com. Us-Hz	type Fait	n° Fait	type ENS.	n° ENS.	rem. Us / fait / Ens.	critères de datation	remarques	creus. / fondation		combl. / abandon		période / intervalle estimé-e	groupe
									TPQ	TPQ	TPQ	TAQ		
1048		FoSse	1048			Fosse rectangulaire	stratigraphie	sous FS1045 sous FS1521	?	?	1500-1825 ap.?	TAQ 1825 ap.	99c	
1049		Fait indét.	1049				X	X	?	?	?	NON DATÉ	99Z	
1050		Fait indét.	1050				X	X	?	?	?	NON DATÉ	99Z	
1051		FoSse	1051				béton industriel	frags de béton industriel	1950 ap.?	1950 ap.	2021 ap.	milieu XX ^e à début XXI ^e s.	15b	
1052		Excavation	1052			Excavation profonde	céramique ; stratigraphie	4 tessons XVI ^e s. ; sous TR1041 ; sous HZ1408	Idem ?	1600-1700 ap.	1825-1950 ap.	NON DATÉS : TPQ XVII ^e s.	11Y	
1053		FoSse	1053				stratigraphie	sous EX1052	?	?	1450-1800 ap.?	TAQ 1825 ap.	99c	
1054		Excavation	1054			Sondage 1281	céramique ; stratigraphie	4 tessons XVI-XVII ^e dont un 1550-1625 ap. ; sur 1063a ; sous HZ1408 ; sous -garage Nord- TPQ 1950-1985 ap. (n'apparaît pas sur photo aérienne de 1950-1965 + apparaît sur cadastre de 1969-1986)	1600-1700 ap.	1600-1700 ap.	1825-1985 ap.	NON DATÉS : TPQ XVII ^e s.	11Y	
1055		FoSse	1055			Fosse de plantation récente	comblement	<=> HZ1410	1950 ap.?	1950 ap.?	2021 ap.	milieu XX ^e à début XXI ^e s.	15b	
1056		FoSse	1056			profonde en «rtbs» ; 1056-A + 1056-B (feuille partielle jusqu'à 2m)	céramique	134 tessons : assemblage transition Bas-Empire / méro.	idem combi. ?	475-550 ap.	475-550 ap.	MEROVINGIEN	03a	
1057		FoSse	1057			Silo ?	céramique	57 tessons : assemblage transition Bas-Empire / méro.	idem combi. ?	475-525 ap.	550 ap. ?	MEROVINGIEN	03a	
1058		Fait indét.	1058				X	X	?	?	?	NON DATÉ	99Z	
1059		POteau ?	1059				X	X	?	?	?	NON DATÉ	99Z	
1060		Fait indét.	1060				X	X	?	?	?	NON DATÉ	99Z	
1061		POteau ?	1061				torchis	4 frags de torchis rubéfié	?	?	?	NON DATÉ	99Z	
1062		Puits	1062			Puits maçonné	comblement plan ancien ; stratigraphie	figuré sur le cadastre de 1826 ; encore «actif» en 2021 ap.	1600-1700 ap.?	2021 ap.	2021 ap.	NON DATÉS : TPQ XVII ^e s.	11Z	
1063		Excavation	1063			Grande fosse	céramique ; stratigraphie	sous 1054-A1 ; 3 tessons XVII ^e ; sous HZ1408	Idem ?	1600-1700 ap.	1825-1950 ap.	NON DATÉS : TPQ XVII ^e s.	11Y	
1064		POteau ?	1064				céramique	3 tessons de céramique modelée	?	?	?	NON DATÉ	99Z	
1065		POteau	1065			Trou de poteau	X	X	?	?	?	NON DATÉ	99Z	
1066		POteau ?	1066				X	X	?	?	?	NON DATÉ	99Z	
1067		POteau ?	1067				fer	1 frag. d'objet en fer	?	?	?	NON DATÉ	99Z	
1068		POteau ?	1068				X	X	?	?	?	NON DATÉ	99Z	
1069		FoSse	1069				tuiles ; stratigraphie	2 frags de tegulae + 1 frag d'imbrex (1,5 kg) ; sous bâtiment TPQ 1825-1965 ap.	?	-35 av. / + 300 ap.	1825-1965 ap.	GALLO-ROMAIN (Haut-Empire) ?	02b	
1070		Fait indét.	1070				X	X	?	?	?	NON DATÉ	99Z	
1071		FoSse	1071			Petit silo ?	céramique ; morphologie	14 tessons transition Bas-Empire / méro.	idem combi. ?	475-525 ap.	Méro. ?	MEROVINGIEN ?	03b	
1072		FoSse	1321	FOUR	1074	FOU1074 Phase A (abandon) du four de tuilier	stratigraphie	sous la phase B : TAQ 22-166 ap. J.-C. (archéomag. à 95 %)	-30 av. / + 25 ap. ?	22-166 ap. J.-C.	22-166 ap. J.-C.	GR (TAQ) I ^{er} -milieu II ^e s. ap.)	02a	
1073		FoSse	1073				céramique ; bois de cervidé	2 tessons transition Bas-Empire / méro. ; bois de cerf «travillé»	idem combi. ?	475-525 ap.	1000-1200 ap.?	NON DATÉ : TPQ Méro.	03Z	

N° Us / Hz	com. Us-Hz	type Fait	n° Fait	type ENS.	n° ENS.	rem. Us / fait / Ens.	critères de datation	remarques	creus. / fondation TPQ	combl. / abandon TPQ	combl. / abandon TAQ	période / intervalle estimée	groupe
1074		FoSse	1074	FOUr	1074	FOU1074 Phase B	archéomag,	dernière chauffe de la phase B estimée à 95 % pendant l'intervalle 22-166 ap.-J.-C.	1 ^{er} s. ap. ?	22 ap. J.-C.	166 ap. J.-C.	GALLO-ROMAIN (1 ^{er} -milieu II ^e s. ap.)	02a
1075		PIlIer	1075	ALI	1075	Pile de fondation quadrangulaire	facture ; plans anciens ; photo aérienne	Bâtiment TPQ 1825-TAQ 1965 (n'apparaît pas sur le cadastre de 1826 et la carte de l'état major de 1820-1866 ; apparaît sur photo aérienne de 1950-1965).	1825-1900-ap.	1825-1950 ap.	2021 ap.	XIX ^e à début XXI ^e s.	14b
1076		PIlIer	1076	ALI	1075	Pile de fondation quadrangulaire	facture ; plans anciens ; photo aérienne	Bâtiment TPQ 1825-TAQ 1965 (n'apparaît pas sur le cadastre de 1826 et la carte de l'état major de 1820-1866 ; apparaît sur photo aérienne de 1950-1965).	1825-1900-ap.	1825-1950 ap.	2021 ap.	XIX ^e à début XXI ^e s.	14b
1077		FoSse	1077				stratigraphie	sous bâtiment TPQ 1825-1965 ap.	?	?	1825-1965 ap.	NON DATÉ	99Z
1078		FoSse	1078				stratigraphie	sous bâtiment TPQ 1825-1965 ap.	?	?	1825-1965 ap.	NON DATÉ	99Z
1079		FoSse	1079			Décapage partiel	céramique ; stratigraphie	78 tessons / NM1 = 30 du XVI ^e s. ; sous HZ1408 ; bâtiment TPQ 1825-1965 ap.	Idem ?	1600-1700 ap.	1750 ap. ?	Moderne (XVII ^e -début XVIII ^e)	11b
1080		FoSse	1080				céramique ; comblement	1 tesson 1800-1850 ap. ; LA noir, graviers ; <=> bâtiment TPQ 1825-TAQ 1965 ap. ?	1825-1900 ap. ?	1800-1850 ap.	?	XIX ^e à début XXI ^e s.	14b
1081		PÔteau	1081			Trou de poteau	stratigraphie ; tuile	2 frags de tegulae ; sous HZ1278 ? ; sous HZ1407	idem combl. ?	50 av. / + 300 ap.	1200-1400 ap. ?	TAQ XIV ^e	99a
1082		PÔteau	1082	BAT ?	1082	Trou de poteau	Morphologie ; tuile	1 frag. de tegula GR ; Probable bâtiment sur poteaux BATT1082	idem combl. ?	300-500 ap. ?	1000-1100 ap. ?	Bas-Empire à haut Moyen Age ?	04a
1083		PÔteau	1083			Trou de poteau PO07	X		?	?	?	NON DATÉ	99Z
1084		PO ?	1084				X		?	?	?	NON DATÉ	99Z
1085		Fait indét.	1085				X		?	?	?	NON DATÉ	99Z
1086		X	X			anomalie	X		X	X	X	X	
1087		PO ?	1087				X		?	?	?	NON DATÉ	99Z
1088		SB	1088			fosse quadrangulaire bâtie	béton industriel	Parois en pampangs de béton industriels	1950 ap.	1950 ap.	2021 ap.	milieu XX ^e à début XXI ^e s.	15b
1089		FoSse	1089	ALI ?	1075	poteau arraché ?	comblement	LA noir, graviers ; <=> bâtiment TPQ 1825-1965 ap. ?	1825-1900 ap. ?	1825-1950 ap. ?	2021 ap.	XIX ^e à début XXI ^e s.	14b
1090		PO	1090			trou de «pique/poteau» quadrangulaire	comblement	LA noir, graviers ; <=> bâtiment TPQ 1825-1965 ap. ?	1825-1900 ap. ?	1825-1950 ap. ?	2021 ap.	XIX ^e à début XXI ^e s.	14b
1091		X	X			n° décapage	X		?	?	?	X	
1092		PO ?	1092				X		?	?	?	NON DATÉ	99Z
1093		FoSse	1093				céramique	5 tessons mérovingiens ; sous HZ1278	?	525-700 ap.	1000-1100 ap. ?	NON DATÉ : TPQ Méro.	03Z
1094		PÔteau	1094			Trou de poteau	stratigraphie	sous bâtiment TPQ 1825-1965 ap.	?	?	1825-1965 ap.	NON DATÉ	99Z
1095		PÔteau	1095	BAT ?	1082	Trou de poteau	Morphologie	Probable bâtiment sur poteaux BATT1082	?	300-500 ap. ?	1000-1100 ap. ?	Bas-Empire à haut Moyen Age ?	04a
1096		Silo	1096			Petit silo ; DIAG. 2019 ; SH09	céramique ; morphologie ; stratigraphie	2 tessons mérovingiens + 4 HMA ; sous HZ1407	?	500-650 ap.	1200 ap. ?	Mérovingien à Moyen Age central ?	03c
1097		PT	1097			Petit «puisard» maçonné	comblement ; stratigraphie	sur RB1436 /1437	1825-1900-ap.	1950 ap.	2021 ap.	XIX ^e à début XXI ^e s.	14b
1098		PT	1098			Petit «puisard» maçonné	comblement ; stratigraphie	sur RB1436 /1437	1825-1900-ap.	1950 ap.	2021 ap.	XIX ^e à début XXI ^e s.	14b

N° Us / Hz	com. Us-Hz	type Fait	n° Fait	type ENS.	n° ENS.	rem. Us / fait / Ens.	critères de datation	remarques	creus. / fondation TPQ	combi. / abandon TPQ	combi. / abandon TAQ	période / intervalle estimé-e	groupe
1099		X				Horizon d'altération	X	X	?	?	?	X	
1100		Poteau	1100	BAT ?	1082	Trou de poteau	Morphologie	Probable bâtiment sur poteaux BAT1082 ; 1 frag. de tuile GR	?	300-500 ap. ?	1000-1100 ap. ?	Bas-Empire à haut Moyen Age ?	04a
1101		Fait indét.	1101				X	X	?	?	?	NON DATE	99Z
1102		PILLIER	1102	ALI	1075	Pile de fondation quadrangulaire	facture ; plans anciens ; photo aérienne	Bâtiment TPQ 1825-TAQ 1965 n'apparaît pas sur le cadastre de 1826 et la carte de l'état major de 1820-1866 ; apparaît sur photo aérienne de 1950-1965).	1825-1900-ap.	1825-1950 ap.	2021 ap.	XIX ^e à début XX ^e s.	14b
1103		PO ?	1103				X	X	?	?	?	NON DATE	99Z
1104		EXcavation	1104			Grande fosse	tuile ; stratigraphie	2 frags de tuile-s plate-s à crochet ; sous RBL420	?	1200-1400 ap.	1750-1825 ap.	NON DATES : TPQ XIII ^e -XIV ^e s.	07Z
1105		FoSee	1105				tuiles ; stratigraphie	3 frags de tuile-s plate-s à crochet ; sous «remises / garages» TPQ 1825-TAQ 1965 ap.	?	1200-1400 ap.	1825-1950 ap.	NON DATES : TPQ XIII ^e -XIV ^e s.	07Z
1106		Fait indét.	1106				X	X	?	?	?	NON DATE	99Z
1107		Fait indét.	1107				X	X	?	?	?	NON DATE	99Z
1108		Poteau	1108	BAT ?	1082	Trou de poteau	Morphologie	Probable bâtiment sur poteaux BAT1082	?	300-500 ap. ?	1000-1100 ap. ?	Bas-Empire à haut Moyen Age ?	04a
1109		FoSee	1109				stratigraphie	sur four de tuilier GR ; 1 tesson GR ; 1 frag. de tuile indét.	GR	50 av. / + 300 ap.	?	NON DATE : TPQ GR	99F
1110		FoSee	1110				stratigraphie	sur four de tuilier GR (Us 1520) ; 5 tessons GR ; 1 frag. de tuile indét. ; sous IHZI 408	GR	50 av. / + 300 ap.	1825-1965 ap.	NON DATE : TPQ GR	99F
1111		Fait indét.	1111				X	X	?	?	?	NON DATE	99Z
1112		PO ?	1112				X	X	?	?	?	NON DATE	99Z
1113		Fait indét.	1113				tuile	1 frag. de tegula.	GR	50 av. / + 300 ap.	?	NON DATE : TPQ GR	99F
1114		FoSee	1518	SFO ?	1179	Us 1114 = FO1518	céramique ; morphologie ; stratigraphie	FO1518 = 10 tessons TPQ II ^e -III ^e s. ap. ; «limite» gallo-romaine ; <=> FO1179 (?) sur FO1247	GR	100-300 ap.	300 ap. ?	GALLO-ROMAIN (Haut-Empire)	02a
1115		Fait indét.	1115				stratigraphie	sous FS1116	?	?	1450-1800 ap. ?	TAQ 1825 ap.	99c
1116		FoSee	1116			RI 1244	céramique ; stratigraphie ; tuiles	sur IHZI259 ; 1 tesson 1450-1525 ap. RLI 1244 ; frags de tuiles plates à crochet ; sous bâtiment TPQ 1825-TAQ 1965 ap.	1200-1400 ap.	1450-1525 ap. ?	1825-1965 ap.	NON DATES : TPQ XIII ^e -XIV ^e s.	07Z
1117		FoSee	1518	SFO ?	1179	Us 1117 = FO1518	céramique ; morphologie ; stratigraphie	FO1518 = 10 tessons TPQ II ^e -III ^e s. ap. ; «limite» gallo-romaine ; <=> FO1179 (?) sur FO1247	GR	100-300 ap.	300 ap. ?	GALLO-ROMAIN (Haut-Empire)	02a
1118		X	X			anomalie	X	X	X	X	X	X	
1119		FoSee	1119				stratigraphie	sur RBL 372 ; sous bâtiment TPQ 1825-1965 ap.	1500-1600 ap.	1500-1600 ap.	1825-1965 ap.	NON DATES : TPQ XVI ^e s.	09Z
1120		EXcavation	1120			Lots 01 à 12 + passe 3 + Us1272/SD1246 + Us 1120-2	céramique	6 tessons XIV ^e -XV ^e + 43 tessons XV ^e	idem combi. ?	1400-1500 ap.	idem ?	fin Bas Moyen Age / début MODerne	07b
1121	B	MUR	1121	BAT	1126	MUR1121	photo aérienne ; plan ancien ; stratigraphie	1121-B2 (fondation) recoupe le RBL292 et la FS1120 ; en partie synchrone avec 1126B ? ; 1121-B1 (élévation) = limite figurée sur le cadastre de 1826, mais n'apparaît plus sur photo aérienne de 1950-1965	1400-1500 ap.	1825 ap.	1825-1950 ap.	fin BMA / Moderne à Contemporain	08b
1121	A	MUR	1121-A	MUR	1121	MUR 1121 Est.	photo aérienne ; plan ancien ; stratigraphie	1121-A2 = reprise de 1121-B2 ; 1121-A2 <=> 11282 <=> 1139-A2 ; sous BS1250 ; 1121-A1 encore en élévation en 2021	1825-1875-ap.	2021 ap.	2021 ap.	XIX ^e à début XX ^e s.	14a

N° Us / Hz	com. Us-Hz	type Fait	n° Fait	type ENS.	n° ENS.	rem. Us / fait / Ens.	critères de datation	remarques	creus. / fondation	combl. / abandon	combl. / abandon	période / intervalle estimée	groupe
1122		FoSee	1122				comblement ; stratigraphie	sur 1292 ? ; comblement crayeux d'aspect «récent» ? ; dans l'angle des MR1121 et 1139	1400-1500 ap. ?	1825 ap. ap. ?	2021 ap. ?	NON DATÉS ; TPQ XV ^e s.	08Z
1123	B	FoSee	1518	SFO ?	1179	Us 1123-B = FO1518 sup. (CP1252)	céramique ; morphologie ; stratigraphie	FO1518 = 10 tessons TPQ II ^e -III ^e s. ap. ; «limite» gallo-romaine ; <=> FO1179 (?) sur FO1247	GR	100-300 ap.	300 ap. ?	GALLO-ROMAIN (Haut-Empire)	02a
1124		FoSee	1124			Fond de fosse	céramique	Partie sup. d'amphore de type Chartres 1543 ; sous IHZ1278	idem combl. ?	50-150 ap.	idem ?	GALLO-ROMAIN (Haut-Empire) ?	02b
1125		EXcavation	1125			EX (grande fosse)	céramique ; stratigraphie	sur TR1412 ; 1 tesson XV ^e -XVI ^e + 2 tessons fin XV ^e -début XVI ^e + 1 tesson fin XV ^e -XVI ^e ; <=> 1129 ; sous HZ1415 et fondation 1128 TPQ 1825 ap.	Idem ?	1575-1700 ap.	1750-1825 ap.	Moderne (fin XV ^e -XVII ^e ?)	11a
1126		TRanchée	1126	BAT	1126	Fondation de mur récupérée	plan ancien ; stratigraphie	<=> TR1137 sur FS1233 ; sur HZ1292 ; sous EX1127 ; abandon sur le cadastre de 1826 ; apparaît sur photo aérienne de 1950-1965 ap. ; encore en élévation en juillet 2021	1400-1500 ap.	1500-1600 ap.	1750-1825 ap.	fin BMA / MODERNE (à début contemp. ?)	08a
1127		EXcavation	1127			EX (grande fosse)	céramique ; stratigraphie	sur TR1126 / RB1416 ; 13 tessons XV ^e -XVI ^e + 1 tesson 1550-1625 ap. + 5 tessons 1575-1700 ap. ; sous HZ1415	Idem ?	1575-1700 ap.	1750-1825 ap.	Moderne (fin XV ^e -XVII ^e ?)	11a
1128		MuR	1128			Fondation + élévation	plan ancien ; stratigraphie	sur EX1125 ; <=> 1121-A et 1139-A ; mur de bâtiment non figuré sur le cadastre de 1826 ; apparaît sur photo aérienne de 1950-1965 ap. ; encore en élévation en juillet 2021	1825-1875-ap.	2021 ap.	2021 ap.	XIX ^e à début XX ^e s.	1.4a
1129		EXcavation	1129			EX (grande fosse)	céramique ; stratigraphie ; tuiles	1 tesson XV ^e ; <=> ou sur 1125 ; sur TR1412 ; sous MR1128 ; frags de tuiles plates à crochet	Idem ?	1575-1700 ap.	1750-1825 ap.	Moderne (fin XV ^e -XVII ^e ?)	11a
1130		Fait indét.	1130				X	X	?	?	?	NON DATE	99Z
1131		X	X			Ramassage	X	X	?	?	?	X	
1132		FoSee	1132				céramique	2 tessons XV ^e s.	idem combl. ?	1400-1500 ap.	?	NON DATÉS ; TPQ XV ^e s.	08Z
1133		Fait indét.	1133				stratigraphie	sous fondation bâtiment TPQ 1825 ap. <=> MR1128.	?	?	1825-1950 ap.	NON DATE	99Z
1134		Fait indét.	1134				X	X	?	?	?	NON DATE	99Z
1135		divers	1135	CAV	1135	cave contemporaine	plan ancien ; stratigraphie	cave sous bâtiment en élévation en 2021, non figuré sur le cadastre de 1826 ap., apparaît sur photo aérienne de 1950-1965 ap.	1825-1875-ap.	2021 ap.	2021 ap.	XIX ^e à début XX ^e s.	1.4a
1136		FoSee	1136				stratigraphie	sous HZ1259 / 1407	?	?	1200-1400 ap.	TAQ XIV ^e	99a
1137		TRanchée	1137	BAT	1126	Fondation de mur récupérée	stratigraphie	sur FS1233 et RB1292 ; <=> TR1126 ; n'apparaît pas sur le cadastre de 1826.	1400-1500 ap.	1500-1600 ap.	1750-1825 ap.	fin BMA / MODERNE (à début contemp. ?)	08a
1138		Fait indét.	1138				X	X	?	?	?	NON DATE	99Z
1139	B	MuR	1139	BAT	1126	MUR1139	plan ancien ; stratigraphie	1139-B = ancienne fondation de mur reprise par 1139-A2 ; Comme pour le MUR1121. Limite figurée sur le cadastre de 1826.	1400-1500 ap.	1825 ap.	1825-1950 ap.	fin BMA / Moderne à Contemporain	08b
1139	A	MuR	1139	MUR	1139	Fondation + élévation	stratigraphie	<=> MR1121-A et MR1128 ; sous BAS1250	1825-1875-ap.	2021 ap.	2021 ap.	XIX ^e à début XX ^e s.	1.4a
1140		FoSee	1233			ramassage EX1232 + FS1233 + DIAG 2019 : Cave 01	céramique	Fosse 1233 sur EX1232 = 77 tessons (dont 1 coquemar) XV ^e ; Ram. 1140 = 2 tessons XVI ^e -XV ^e + 21 tessons XV ^e + 1 tesson XV ^e -XVI ^e	idem combl. ?	1400-1500 ap.	idem ?	fin Bas Moyen Âge / début MODERNE	07b
1141		TRanchée	1141	BAT	1126	Fondation de mur récupérée	stratigraphie	sur RB1292 ; <=> TR1126 et 1137 ; n'apparaît pas sur le cadastre de 1826.	1400-1500 ap.	1500-1600 ap.	1750-1825 ap.	fin BMA / MODERNE (à début contemp. ?)	08a
1142		FoSee	1142			Fosse profonde en effût	céramique ; combl. / morpho. / loc.a. ; stratigraphie	6 tessons XV ^e ; semblable à 1147 TPQ XV ^e ; sous cave 1135 TPQ 1825 ap. ; sous IHZ1415	idem combl. ?	1500-1600 ap. ?	1750-1825 ap.	Moderne	09d
1143		FoSee	1143				stratigraphie ; tuiles	frags de tuiles plates à crochet ; sous 1419 et 1151-C	1200-1400 ap. ?	1200-1400 ap.	1500-1600 ap. ?	fin MAC / BMA / début MOD	07c

N° Us / Hz	com. Us-Hz	type Fait	n° Fait	Type ENS.	n° ENS.	rem. Us / fait / Ens.	critère-s de datation	remarques	creus. / fondation	combl. / abandon	combl. / abandon	combl. / abandon	combl. / abandon	combl. / abandon	combl. / abandon	période / intervalle estimée	groupe
									TPQ	TPQ	TPQ	TAQ	TAQ	TAQ	TAQ		
1165		EXcavation	1165				céramique ; stratigraphie	sur Us 1162 ; 2 tessons X ^{VI} ; sous MR1157 ? ; sous remblais 1194	1550-1700 ap.	1550-1700 ap.	1550-1700 ap.	?	?	NON DATES : TPQ 1550-1700 ap.		10Z	
1166		FoSse	1166			Fosse ? Fond de TR ?	stratigraphie	sur 1200 / 1236 ; sous RB1201	1500-1600 ap.	1500-1600 ap.	1500-1600 ap.	1600-1750 ap.	1600-1750 ap.	MODerne		09c	
1167		POteau	1167			Trou de poteau	stratigraphie	sur fossé gallo-romain 1203 ; sous MR1157	GR	-50 av. / + 300 ap.	1825 ap.	1825 ap.	NON DATE : TPQ GR / TAQ 1825 ap.		99e		
1168		MuR	1157			Fondation + élévation	plan ancien ; stratigraphie	= 1157 ; sur 1200 et 1201 ; en élévation en 2021 ap. (Brasserie-Bistrot "L'Ecrivain"...) ;	1600-1825 ap.	2021 ap.	2021 ap.	2021 ap.	2021 ap.	fin moderne à / et contemporaine		13b	
1169		X	X			SD, Us technique	X	X	X	X	X	X	X	X			
1170		FoSse	1170				X	X	?	?	?	?	?	NON DATE		99Z	
1171	B	FoSse	1171	BAS	1381	Creusement	stratigraphie	Liée au bassin profond 1381-C ?	1200-1300 ap. ?	1500-1600 ap.	1500-1600 ap.	1600-1750 ap.	1600-1750 ap.	fin MAC / BMA / MOD		07d	
1171	A	FoSse	1171	BAS	1381	Comblement d'abandon	stratigraphie	<=> 1172	1500-1600 ap.	1500-1600 ap.	1600-1750 ap.	1600-1750 ap.	1600-1750 ap.	MODerne		09c	
1172		BaSsin	1381	BAS	1381	Remblais de récupération / abandon	céramique ; stratigraphie	= 1381-A	1500-1600 ap.	1500-1600 ap.	1600-1700 ap.	1600-1750 ap.	1600-1750 ap.	MODerne		09c	
1173	B	Mur	1379	CAV	1380	maçonnerie de la cave 1380	stratigraphie	= 1379	1500-1600 ap.	1600-1700 ap.	1750-1825 ap.	1750-1825 ap.	1750-1825 ap.	MODerne (XVII ^e -XVIII ^e)		11c	
1173	A	Remblais	1526	CAV	1380	Remblais de récupération / abandon	stratigraphie	= 1526	1600-1700 ap.	1600-1700 ap.	1750-1825 ap.	1750-1825 ap.	1750-1825 ap.	MODerne		09b	
1174		Poteau ?	1174				céramique	2 petits tessons gallo-romains (3 g)	GR ?	-50 av. / + 300 ap. ?	?	?	?	NON DATE : TPQ GR		99f	
1175		POteau ?	1175				céramique ; stratigraphie	1 possible tesson XI ^e s. ; sous TR1176	?	1000-1100 ap. ?	1400-1825 ap.	1400-1825 ap.	1400-1825 ap.	?		05Z	
1176		TRanchée	1176			tranchée de fondation récupérée	localisation ; stratigraphie ; tuiles	sur HZ1259 ; petits fragments de tuiles plates à crochet ; approx. parallèle à la TR1126 et perpendiculaire aux TR1137, 1141 et 1282 ; (1176-A <=> 1381-A ou 1526-A ? ; sous fondation TAQ 2021 <=> 1156	1200-1400 ap.	1500-1600 ap. ?	1750-1825 ap.	1750-1825 ap.	1750-1825 ap.	fin MAC / BMA / MOD		07d	
1177		FoSse	1177				céramique ; stratigraphie	sur FO1148 ; 1 tesson XI ^e ; sous TR1176	GR	1000-1100 ap. ?	1400-1825 ap.	1400-1825 ap.	1400-1825 ap.	?		05Z	
1178		FoSse	1178				stratigraphie	sur FO1148	GR	-50 av. / + 300 ap.	1400-1825 ap. ?	1400-1825 ap. ?	1400-1825 ap. ?	NON DATE : TPQ GR / TAQ 1825 ap.		99e	
1179		FoSsé	1179	SFO ?	1179		céramique ; stratigraphie	sur FO1247 ; sur FO1186 ? ; 270 tessons gallo-romains / NMI = 11 + 2 pesons	50 ap. ?	75-150 ap. J.C.	200 ap. ?	200 ap. ?	200 ap. ?	GALLO-ROMAIN (Haut-Empire)		02a	
1180		FoSse	1180			Petit silo ?	céramique	sur l'HZ1278 ; 14 tessons du Moyen-Âge central (X ^e s.)	idem combl. ?	1000-1100 ap.	idem ?	idem ?	idem ?	Moyen Âge central ?		05a	
1181		FoSse	1181			Grande fosse / excavation	céramique ; stratigraphie	2 tessons 1400-1550 ap. + 1 tesson X ^{VI} ; sous cave 1211 (intervalle TPQ 1500-TAQ 1750 ap.)	idem combl. ?	1500-1600 ap.	1600-1750 ap.	1600-1750 ap.	1600-1750 ap.	MODerne		09c	
1182		X	X			n° décapage = 1206+1207	X	X	X	X	X	X	X	X			
1183		EXcavation	1183	CAV	1211	récupération + remblais d'abandon (après incendie de la CAV1211 ?)	céramique ; stratigraphie	sur FSI181 et RB1201 ; sur sol 1212 ; 2 tessons XV ^e -XVI ^e + 2 tessons X ^{VI} ; = 1184 = 1 tesson X ^{VI} ; sous 1267-A <=> 1526	1600-1700 ap.	1600-1700 ap.	1750-1825 ap.	1750-1825 ap.	1750-1825 ap.	MODerne (XVII ^e -XVIII ^e)		11c	
1184		EXcavation	1183	CAV	1211	comblement d'abandon	céramique ; stratigraphie	= 1183 ; 1 tesson X ^{VI}	1600-1700 ap.	1600-1700 ap.	1750-1825 ap.	1750-1825 ap.	1750-1825 ap.	MODerne (XVII ^e -XVIII ^e)		11c	
1185		MuR	1185				plans anciens ; stratigraphie	sur 1267-A et 1183 (caves remblayées) ; sur HZ1415 ; bâtiment figuré sur le cadastre de 1826 ; encore en élévation en 2021 ap.	1600-1825 ap.	2021 ap.	2021 ap.	2021 ap.	2021 ap.	MOD / CONT		13b	

N° Us / Hz	com. Us-Hz	type Fait	n° Fait	type ENS.	n° ENS.	rem. Us / fait / Ens.	critères de datation	remarques	creus. / fondation	combl. / abandon	combl. / abandon	combl. / abandon	période / intervalle estimé-e	groupe
									TPQ	TPQ	TPQ	TAQ		
1186		Fossé	1186				céramique ; morphologie ; stratigraphie ; tuiles	«mitre» gallo-romaine ; sous FO1179 ? : 1 tesson interv. 50 à 300 ap. ; frags de tuiles gallo-romaines ; sous HZ1197 = 1278	GR	50-300 ap.	75-150 ap. J.C. ?	TAQ	GALLO-ROMAIN	02a
1187		Poteau ?	1187				stratigraphie	sur fossé 1179	75-150 ap. J.C.	75-150 ap.	?	?	NON DATÉ : TPQ GR	99f
1188		Fondation	1188				photo, aérienne ; plans anciens ; stratigraphie	sur 1526 (abandon CAV1380) : <=> FD1506 ; mur figuré sur les cadastres de 1926 et 1969-1986 ; n° apparaît plus sur photo aérienne de 2000-2009 ap.	1600-1825 ap.	1969-1986 ap.	2005 ap.	2005 ap.	MOD / CONT	13b
1189		Fosse	1189				plâtre ; tuiles ; stratigraphie	frags de plâtre et tuiles plates à crochet <=> 1526-A ? ; sous HZ1415	?	1600-1700 ap. ?	1750-1825 ap.	1750-1825 ap.	Moderne (XVII ^e -XVIII ^e)	11c
1190		Fosse	1190				stratigraphie	sur 1526-A (abandon CAV1380) ; sous FD1188 et 1506	1600-1700 ap.	1600-1700 ap.	1750-1825 ap.	1750-1825 ap.	Moderne (XVII ^e -XVIII ^e)	11c
1191		Excavation	1191			remblai de «scellement»	stratigraphie	sur 1421 ; sur 1192 ; sous fondations 1156 et 1157	1550-1700 ap.	1550-1700 ap.	1600-1850 ap.	1950 ap. ?	MODerne	10a
1192		Fosse	1192			fosse «empierreée»	céramique ; stratigraphie	1 tesson 1550-1700 + 1 tesson 1500-1700 ; sous 1191	?	1550-1700 ap.	1750-1825 ap.	1750-1825 ap.	MODerne	10a
1193		X	X			CouPe, Us technique	X		X	X	X	X	X	
1194		Remblais	1194	REM	1194	arasement + nivellement	stratigraphie	sur FD1158 ; sur EX1165 ; <=> 1196 ? ; sous SB1195	1600-1850 ap.	1600-1850 ap.	1600-1850 ap.	1950 ap. ?	NON-DATÉS : TPQ 1650-1850 ap.	13Z
1195		St. Bâtie	1195			fosse aménagée	stratigraphie	sur FD1158 ; sur RB1196 ; sous le sol TAQ 2021 ap.	1600-1850 ap.	1600-1950 ap.	1600-1950 ap.	1950 ap. ?	NON-DATÉS : TPQ 1650-1850 ap.	13Z
1196		Remblais	1196	REM	1194	arasement + nivellement	stratigraphie	sur FD1158, sur 1194, sous SB1195	1600-1850 ap.	1600-1950 ap.	1600-1950 ap.	1950 ap. ?	NON-DATÉS : TPQ 1650-1850 ap.	13Z
1197		Horizon	1278			«terre végétale» ancienne	stratigraphie	= 1278	200-550 ap.	475-550 ap.	1000-1100 ap. ?	475-1100 ap. ?	Bas-Empire à médiévale centrale	04b
1198		Fosse	1198				céramique ; stratigraphie	3 tessons 150-300 ap. J.C. ; sous 1197 = 1278 ; sous EX1191 et EX1421	?	150-300 ap.	475-1100 ap. ?	475-1100 ap. ?	Gallo-romain à HMA ?	02Z
1199		X	X			CouPe, Us technique	X		X	X	X	X	X	
1200		Fosse	1236			Us de comblement	céramique ; stratigraphie	sur Us1236-a = 1 tesson XV ^e ; 3 tessons XV ^e ; sous RB1201	idem combl. ?	1500-1600 ap. ?	1600-1750 ap.	1600-1750 ap.	MODerne	09c
1201		Remblais	1201				stratigraphie	sur FS1236 ; 2 tessons 1500-1550 ap. ; sous 1183/1184 (abandon CAV1211)	1500-1600 ap. ?	1500-1550 ap.	1600-1750 ap.	1600-1750 ap.	MODerne	09c
1202		X	X			CouPe, Us technique	X		X	X	X	X	X	
1203		Fossé	1203				peson ; tuiles	Gros frags de peson, de tuiles (dont ratés de cuisson vitrifiés) gallo-romain	Gallo-romain	50 av. / + 300 ap.	Gallo-romain	Gallo-romain	GALLO-ROMAIN (Haut-Empire ?)	02a
1204		Fossé	1203			recreusement ?	tuiles ; stratigraphie	320	Gallo-romain	50 av. / + 300 ap.	Gallo-romain	Gallo-romain	GALLO-ROMAIN (Haut-Empire ?)	02a
1205		X	X			CouPe, Us technique	X		X	X	X	X	X	
1206		Fosse	1206				céramique ; stratigraphie	3 tessons X ^e -XII ^e ; sous cave 1211 (intervalle TPQ 1500-TAQ 1750-1825 ap.)	idem combl. ?	1000-1200 ap.	1750-1825 ap.	1750-1825 ap.	TPQ 1000-1200 ap.	05Z
1207		Fosse	1207				céramique ; stratigraphie	1 tesson X ^e ; sous cave 1211 (intervalle TPQ 1500-TAQ 1750-1825 ap.)	idem combl. ?	1000-1100 ap. ?	1750-1825 ap.	1750-1825 ap.	?	05Z
1208		Puits	1208			puits à eau	stratigraphie ; tuiles	sur HZ1259 / 1407 ; frags de tuiles plates à crochet dans maçonnerie 1208B ; 1415 <=> 1208A2 <=> 1421, sous HZ1422	1200-1400 ap.	1500-1600 ap.	1750-1825 ap.	1750-1825 ap.	fin MAC / BMA / MOD	07d
1209		X	X			CouPe, Us technique	X		X	X	X	X	X	

N° Us / Hz	com. Us-Hz	type Fait	n° Fait	type ENS.	n° ENS.	rem. Us / fait / Ens.	critères de datation	remarques	creus. / fondation TPQ	combl. / abandon TPQ	combl. / abandon TAQ	période / intervalle estimée	groupe
1210		X	X			CouPe, Us technique	X	X	X	X	X	X	
1211		MuR	1211	CAV	1211		stratigraphie	sur FSI181 ; sous remblais d'abandon 1183 / 1184	1500-1600 ap.	1600-1700 ap.	1600-1750 ap.	MODerne	09a
1212		Sol	1212	CAV	1211		stratigraphie	sur FSI181 / MR1211 ; 1 tesson 14501550 ap. ; sous remblais d'abandon 1183 / 1184	1500-1600 ap.	1600-1700 ap.	1600-1750 ap.	MODerne	09a
1213		TR	1213	CAV	1211		stratigraphie	<=> MR1211 ; sous remblais d'abandon 1183 / 1184	1500-1600 ap.	1600-1700 ap.	1600-1750 ap.	MODerne	09a
1214		X	X			CouPe, Us technique	X	X	X	X	X	X	
1215		X	X			CouPe, Us technique	X	X	X	X	X	X	
1216		X	X			Ram. mobilier ; 1381-ARI 1526	X	X	X	X	X	X	
1217		FonDation	1158			Renfort de fondation <=> 1158	stratigraphie	= 1158 ; s'appuie contre la fondation du MR1157 ; sur l'EX1162 ; sous remblais 1194 et SB1195	1600-1825 ap.	1600-1825 ap.	1950 ap.?	MOD / CONT	13a
1218		X	X			CouPe, Us technique	X	X	X	X	X	X	
1219		X	X			Ram. mobilier	X	X	X	X	X	X	
1220		X	X			Ram. mobilier	X	X	X	X	X	X	
1221		X	X			Ram. mobilier	X	X	X	X	X	X	
1222		X	X			Ram. mobilier	X	X	X	X	X	X	
1223		EXcavation	1162			creusement	stratigraphie	<=> 1162	1500-1600 ap.	1550-1700 ap.	1750-1825 ap.	MODerne	10a
1224		X	X			Ram. mobilier	X	X	X	X	X	X	
1225		HoRizon	1294			Ram. mobilier	stratigraphie	= HZ1294 ; 1 lame à crête à un pan, débitée au percuteur dur. Paléolithique supérieur (phase finale).	Néo. / Proto. (5000 av.?)	Néo. / Proto.	1-200 ap.	Néolithique à début antique ?	00b
1226		HoRizon	1294			Ram. mobilier	stratigraphie	= HZ1294 ; 1 fragment distal de lame (lamelle), débitage bipolaire. Paléolithique supérieur (phase finale).	Néo. / Proto. (5000 av.?)	Néo. / Proto.	1-200 ap.	Néolithique à début antique ?	00b
1227		X	X			CouPe, Us technique	X	X	X	X	X	X	
1228		FoSse	1228			fosse aménagée récupérée ?	localisation ; morphologie ; stratigraphie	sur RB1292 ; similaire à et proche de 1229 ; sous RB1416	1400-1500 ap.	1500-1600 ap.?	1750-1825 ap.	fin BMA / MODERNE (à début contemp. ?)	08a
1229		FoSse	1229			fosse aménagée récupérée ?	céramique ; stratigraphie	sur RB1292 ; 2 tessons XV* ; sous RB1416	1400-1500 ap.	1500-1600 ap.	1750-1825 ap.	fin BMA / MODERNE (à début contemp. ?)	08a
1230		MuR	1211	CAV	1211	négatif / récupération d'escalier	stratigraphie	<=> MR1211 ; sous remblais d'abandon 1183 / 1184	1500-1600 ap.	1600-1700 ap.	1600-1750 ap.	MODerne	09a
1231		Excavation	1232			comblements	céramique ; stratigraphie	= 1232	X	1400-1500 ap.	idem ?	Bas Moyen Âge / début MODerne	07a
1232		Excavation	1232			Cave récupérée ?	céramique ; stratigraphie	4 tessons XV* ; sous FSI233	?	1400-1500 ap.	idem ?	Bas Moyen Âge / début MODerne	07a
1233		FoSse	1233			voir également 1140	stratigraphie	sur EX1232 ; 77 tessons (dont 1 coquemar presque complet) XV*	1400-1500 ap.	1400-1500 ap.	idem ?	fin Bas Moyen Âge / début MODerne	07b

N° Us / Hz	com. Us-Hz	type Fait	n° Fait	type ENS.	n° ENS.	rem. Us / fait / Ens.	critères de datation	remarques	creus. / fondation TPQ	combl. / abandon TPQ	combl. / abandon TAQ	période / intervalle estimé-e	groupe
1234		FoSse	1233			comblement	céramique ; stratigraphie	= 1234	1400-1500 ap.	1400-1500 ap.	idem ?	fin Bas Moyen Âge / début MODerne	07b
1235		Excavation	1232			complements	céramique ; stratigraphie	= 1232	X	1400-1500 ap.	idem ?	Bas Moyen Âge / début MODerne	07a
1236		FoSse	1236				céramique ; stratigraphie	Us 1236-a = 1 tessons XV ^e ; Us 1200 = 3 tessons XV ^e ; sous RB1 201	idem comb. ?	1500-1600 ap. ?	1600-1750 ap.	MODerne	09c
1237	X	X	X			CouPe. Us technique	X	X	X	X	X	X	
1238	X	X	X			CouPe. Us technique	X	X	X	X	X	X	
1239		Excavation	1239			excavation profonde en fût	céramique ; stratigraphie	1239-A = 2 tessons 1750-1800 ap. (sous ou = HZI 408 ; effet de tassement comblé par 1408 ?) ; sous -garage Nord- TPQ 1950-7AO 1985 ap. (n'apparaît pas sur photo aérienne de 1950-1965 + apparaît sur cadastre de 1969-1986)	?	1600-1700 ap. ?	1650-1985 ap.	NON DATES : TPQ XVII ^e s.	11Y
1240	X	X	X			CouPe. Us technique	X	X	X	X	X	X	
1241		FoSse	1241			Possible petit sifo ?	céramique ; stratigraphie	3 tessons 475-525 ap. ; sous FS1243 (TPQ : 1650-1700 ap.)	?	475-525 ap.	1950-1985 ap.	NON DATE : TPQ Méro.	03Z
1242		FoSse	1242				céramique ; stratigraphie	1 tesson XV ^e -XVII ^e ; sous FS1243 (TPQ : 1650-1700 ap.) sous HZI 408	idem comb. ?	1500-1700 ap.	1825-1950 ap.	NON DATES : TPQ XV ^e s.	09Z
1243		FoSse	1243				céramique ; stratigraphie	sur FS1242 ; 2 tessons XVII ^e + 2 tessons 1650-1750 ap. ; sous -garage Nord- TPQ 1950-7AO 1985 ap. (n'apparaît pas sur photo aérienne de 1950-1965 + apparaît sur cadastre de 1969-1986)	1650-1700 ap.	1650-1700 ap.	1950-1985 ap.	NON DATES : TPQ XVII ^e s.	11Y
1244		FoSse	1244				céramique ; stratigraphie	sur FS1116 = 1 tesson 1450-1525 ap. RI 1244 ; sous bâtiment TPQ 1825-1965 ap.	1450-1525 ap. ?	1450-1525 ap. ?	1825-1965 ap.	NON DATES : TPQ XV ^e s.	08Z
1245	X	X	X			CouPe. Us technique	X	X	X	X	X	X	
1246	X	X	X			CouPe. Us technique	X	X	X	X	X	X	
1247	FoSSé		1247	SFO7	1247	Crâne + mandibule de cheval + divers	C14 ; stratigraphie	Beta - 616711 + Beta - 616712 à 95.4 % ; intervalle 175 cal avant J.-C. à 8 cal après J.-C. ; sous fossés gallo-romains HautEmpire 1148 et 1179	Gaulois	-175 av. / + 8 ap.	Gallo-romain précoce	GAULOIS à GALLO-ROMAIN PRECOCE	01a
1248	FoSSé		1248	SFO	1148		céramique ; morphologie ; stratigraphie	-limite- gallo-romaine <=> FO1148 ; 24 tessons interv. 100 à 300 ap.	GR	100-300 ap.	300 ap. ?	GALLO-ROMAIN (Haut-Empire)	02a
1249	FoSse		1249				stratigraphie	sur fossés 1248 et 1518 ; sous HZI1278	100-300 ap.	100-300 ap.	475-1100 ap. ?	Gallo-romaine à HMA ?	02Z
1250	BaSin		1250			Bassin / cuve		après MR1121-A et MR1139-A ; lecture antérieure à 1950 ap.	1825-1900-ap.	1825-1900 ap.	1950-2021 ap.	XIX ^e à début XX ^e s.	14b
1251	POteau ?		1251				X	X	?	?	?	NON DATE	99Z
1252	X	X	X			CouPe. Us technique	X	X	X	X	X	X	
1253	X	X	X			CouPe. Us technique	X	X	X	X	X	X	
1254	X	X	X			CouPe. Us technique	X	X	X	X	X	X	
1255	FoSse		1255				stratigraphie ; tuiles	frags de tuiles plates à crochet ; sous HZI 408 = sous bâtiment TPQ 1825-7AO 1965 ap.	idem comb. ?	1200-1400 ap.	1825-1965 ap.	NON DATES : TPQ XIII ^e -XIV ^e s.	07Z
1256	POteau ?		1256				stratigraphie	1 tesson de céramique non tournée ; sous HZI 259 ?	?	?	475-1400 ap. ?	TAQ XIV ^e	99a

N° Us / Hz	com. Us-Hz	type Fait	n° Fait	type ENS.	n° ENS.	rem. Us / fait / Ens.	critères de datation	remarques	creus. / fondation		combl. / abandon		période / intervalle estimé-e	groupe
									TPQ	TAQ	TPQ	TAQ		
1257		BaSan	1250			= 1250		après MR1121-A et MR1139-A	1825-1900-ap.	1825-1950 ap.	1950-2021 ap.	XIX ^e à début XX ^e s.	14b	
1258		FoSse	1258			Tranchée de récupération ?	stratigraphie	sur HZ1259 ; liée à 1519B ? ; sous 1519A	1400-1500 ap. ?	1400-1600 ap.	1825-1950 ap.	NON DATES : TPQ XV ^e s.	08Z	
1259		Horizon	1259	HRZ	1259	«terre végétale» ancienne	stratigraphie	sur HZ1197 / 1278 ; = HZ1407 (TPQ : 475-550 ap.) ; antérieur au BAS1381 (TAQ : XIV ^e)	475-550 ap.	475-1100 ap.	1200-1400 ap.	Médiévale	04d	
1260		X	X			CouPe. Us technique	X	X	X	X	X	X		
1261		X	X			CouPe. Us technique	X	X	X	X	X	X		
1262		FoSse	1262				stratigraphie	sur HZ1408 développé sur 1243 (TPQ : 1650-1700 ap.) ; sous RB1437 ; sous bâtiment TPQ 1825-TAQ 1965 ap.	1650-1850 ap.	1650-1950 ap.	1825-1965 ap.	NON DATES : TPQ 1650-1850 ap.	13Z	
1263		Foissé	1518	SFO ?	1179	Us 1123-B = FO1518 sup. (CP1252)	céramique ; morphologie ; stratigraphie	FO1518 = 10 tessons TPQ II-III s. ap. ; -limite- gallo-romaine ; <=> FO1179 (?) sur FO1247	GR	100-300 ap.	300 ap. ?	GALLO-ROMAIN (Haut-Empire)	02a	
1264		X	div.			N° de travail	X	X	X	X	X	X		
1265		FoSse	1265				stratigraphie	sur FS1119 sur RB1372 ; sous bâtiment TPQ 1825-1965 ap.	1500-1600 ap.	1500-1600 ap.	1825-1965 ap.	NON DATES : TPQ XVI ^e s.	09Z	
1266		X	X			CouPe. Us technique	X	X	X	X	X	X		
1267	A	EXcavation	1267	CAV	1267	remblais d'abandon	stratigraphie	sur 1267-A ; 1267-A <=> 1526 (CAV1380) ; sous MR1185 TAQ 1825	1600-1700 ap.	1600-1700 ap.	1750-1825 ap.	Moderne (XVII ^e -XVIII ^e)	11c	
1267	B	EXcavation	1267	CAV	1267	creusement (caeve)	stratigraphie	sur remblais 1183/1184 de la CAV1211 ; sous remblais 1267-A <=> 1526 (CAV1380)	1600-1700 ap.	1600-1700 ap.	1750-1825 ap.	Moderne (XVII ^e -XVIII ^e)	11c	
1268		TR	1268	CAV	1211	tranchee de fondation de mur	stratigraphie	<=> MR1211 ; sous remblais d'abandon 1183 / 1184	1500-1600 ap.	1600-1700 ap.	1600-1750 ap.	MODerne	09a	
1269		FD	1269	CAV	1211	fondation de muret	stratigraphie	<=> MR1211 ; sous sol 1212	1500-1600 ap.	1600-1700 ap.	1600-1750 ap.	MODerne	09a	
1270		SL	1270	CAV	1211	sol	stratigraphie	sous SL1212 ; sur FD1269	1500-1600 ap.	1600-1700 ap.	1600-1750 ap.	MODerne	09a	
1271		X	X			CouPe. Us technique	X	X	X	X	X	X		
1272		EXcavation	1120			creusement	stratigraphie	<=> FS1120 = 6 tessons XIV-XV ^e + 43 tessons XV ^e	idem comb. ?	1400-1500 ap.	idem ?	fin Bas Moyen Age / début MODerne	07b	
1273		EXcavation	1120			creusement	stratigraphie	<=> FS1120 = 6 tessons XIV-XV ^e + 43 tessons XV ^e	idem comb. ?	1400-1500 ap.	idem ?	fin Bas Moyen Age / début MODerne	07b	
1274		X	X			SonDage / CouPe. Us technique	X	X	X	X	X	X		
1275		Horizon	1294			Ram. mobilier	stratigraphie	= HZ1294 ; 1 éclat de grès blanc ? Etat de surface frais, débité au percuteur dur. Néolithique ?	Néo. / Proto. (5000 av. ?)	Néo. / Proto.	1-200 ap.	Néolithique à début antique ?	00b	
1276		X	X			CouPe. Us technique	X	X	X	X	X	X		
1277		X	X			SonDage, Us technique	X	X	X	X	X	X		
1278		Horizon	1278			«terre végétale» ancienne	stratigraphie	sur fossés Haut-Empire et four de tuiler gallo-romain FOU1074 ; scellement sup. postérieur aux fosses mérovingiennes 1056 et 1057 ; sous fosse 1180 : XI ^e s. ; ; sous HZ1259 / 1407 (TAQ : XV ^e)	200-550 ap.	475-550 ap.	1000-1100 ap. ?	Bas-Empire à médiévale centrale	04b	
1279		POteau ?	1279				stratigraphie	sous FS1189	?	?	1600-1825 ap.	TAQ 1825 ap.	99c	

N° Us / Hz	com. Us-Hz	type Fait	n° Fait	type ENS.	n° ENS.	rem. Us / fait / Ens.	critères de datation	remarques	creus. / fondation	combl. / abandon	combl. / abandon	periode / intervalle estimée	groupe
									TPQ	TPQ	TAQ		
1280		Poteau ?	1280				X	X	?	?	?	NON DATÉ	99Z
1281		X	X			Sondage, Us technique	X	X	X	X	X	X	
1282		TRanchée	1282	BAT	1126	Fondation de mur récupérée	Plan ancien ; stratigraphie	<=> 1126 <=> TR1137 sur FS1233 ; sur HZ1292, n'apparaît pas sur le cadastre de 1826	1400-1500 ap.	1500-1600 ap.	1750-1825 ap.	fin BMA / MODERNE (à début contemp.?)	08a
1283		X	X			CouPe, Us technique	X	X	X	X	X	X	
1284		EXcavation	1284				stratigraphie	<=> 1372 (1 tesson XV ^e) ; frags de tuiles plates à crochet ; ; sous bâtiment TPQ 1825-1965 ap.	?	1400-1500 ap.?	1825-1965 ap.	NON DATÉS ; TPQ XV ^e s.	08Z
1285		X	X			CouPe, Us technique	X	X	X	X	X	X	
1286		X	X			Sondage / CouPes, Us technique	X	X	X	X	X	X	
1287		X	X			CouPe, Us technique	X	X	X	X	X	X	
1288		EXcavation	1120			concrétions	stratigraphie	<=> FS1120 = 6 tessons XIV ^e -XV ^e + 43 tessons XV ^e	idem combi.?	1400-1500 ap.	idem ?	fin Bas Moyen Âge / début MODERNE	07b
1289		X	X			CouPe, Us technique	X	X	X	X	X	X	
1290		X	X			CouPe, Us technique	X	X	X	X	X	X	
1291		X	X			CouPe, Us technique	X	X	X	X	X	X	
1292		RB	1292			horizon de remblais	stratigraphie	sur FS1233 ; sous TR1126	1400-1500 ap.	1400-1500 ap.	1500-1600 ap.?	fin BMA / MODERNE	07e
1293		X	X			CouPe, Us technique	X	X	X	X	X	X	
1294		Horizon	1294			horizon pédologique	stratigraphie	sur HZ1325 ; relation incertaine avec le fossé 1247 ; antérieur au four de tuilier et aux fossés gallo-romains ; sous HZ1278	Néo. / Proto. (5000 av.?)	Néo. / Proto.	1-200 ap.	Néolithique à début antique ?	00b
1295		F0ssé ?	1295	SFO?	1247		stratigraphie	<=> FO1247 ? ; sous HZ1278	Gaulois ?	-175 av. / + 8 ap.?	Gallo-roman précoce ?	GAULOIS à GALLO-ROMAIN PRÉCOCE ?	01b
1296		X	X			CouPe, Us technique	X	X	X	X	X	X	
1297		F0ssé	1179	SFO?	1179	iso. mobilier = 1179	céramique ; stratigraphie	= 1179	50 ap.?	75-150 ap. J.C.	200 ap.?	GALLO-ROMAIN (Haut-Empire)	02a
1298		FoSee	1298				Plâtre ; stratigraphie	sur FO1148 ; 1 tesson XV ^e ; frags de plâtre ; sous 1267B	idem combi.?	1200-1400 ap.?	1600-1750 ap.	NON DATÉS ; TPQ XII ^e -XIV ^e s.	07Z
1299		X	X			CouPe, Us technique	X	X	X	X	X	X	
1300		X	X			CouPe, Us technique	X	X	X	X	X	X	
1301		X	X			CouPe, Us technique	X	X	X	X	X	X	
1302		PuTs	1302	CAV	1267	fosse en fût / puisard ?	stratigraphie	<=> EX1267	1600-1700 ap.	1600-1700 ap.	1750-1825 ap.	Moderne (XVII ^e -XVIII ^e)	11c
1303		FoSee	1303				céramique ; stratigraphie	moitié de vase ; sous HZ1278	150-300 ap.?	150-300 ap.	idem ?	GALLO-ROMAIN (Haut-Empire)	02a

N° Us / Hz	com. Us-Hz	type Fait	n° Fait	type ENS.	n° ENS.	rem. Us / fait / Ens.	critères de datation	remarques	creus. / fondation	combi. / abandon	combi. / abandon	période / intervalle estimée	groupe
1304		Poteau	1304	BAT ?	1082	Trou de poteau	Morphologie	Probable bâtiment sur poteaux BAT1082	?	300-500 ap. ?	1000-1100 ap. ?	Bas Empire à haut Moyen Age ?	04a
1305		FR	1320	FOUR	1074	FOU1074 Phase B (complètement d'abandon)	archéomag,	dernière chauffe de la phase B estimée à 95 % pendant l'intervalle 22-166 ap. J.-C.	1 ^{re} s. ap. ?	22 ap. J.-C.	166 ap. J.-C.	GALLO-ROMAIN (1 ^{re} -milieu II ^e s. ap.)	02a
1306		Poteau	1306	BAT ?	1082	Trou de poteau	Stratigraphie ; Morphologie	Probable bâtiment sur poteaux BAT1082 ; sous HZI 278	?	300-500 ap. ?	1000-1100 ap. ?	Bas Empire à haut Moyen Age ?	04a
1307		Excavation	1307				céramique ; stratigraphie	sur RB1420 ; 1 ^{re} leçon XV ^e -XVI ^e ; sous HZI 408 ; sous remises / garages. TPO 1825-TAQ 1965 ap. n'apparaissent pas sur le cadastre de 1826 n sur la carte de l'état-major de 1820-1866 ap. ; présentes sur photo aérienne de 1950-1965 ap.)	1400-1500 ap. ?	1400-1600 ap.	1825-1965 ap.	NON DATÉ : TPO X ^e s.	08Z
1308		X	X			CouPe, Us technique	X	X	X	X	X	X	
1309		FoSse	1309				stratigraphie	sur FRI 320 / FOU1074 Ph. B	GR	-50 av. / + 300 ap.	?	NON DATÉ : TPO GR	99f
1310		FoSse	1310				stratigraphie	sur Us 1305 / FOU1074 Ph. B	GR	-50 av. / + 300 ap.	?	NON DATÉ : TPO GR	99f
1311		FoSse	1311				stratigraphie	sur FRI 320 / FOU1074 Ph. B ; sous PL1102 = bâtiment TPO 1825-1950 n'apparaît pas sur le cadastre de 1826 et la carte de l'état-major de 1820-1866 ; apparaît sur photo aérienne de 1950-1965).	GR	-50 av. / + 300 ap.	1950-1965 ap.	NON DATÉ : TPO GR	99f
1312		X	X			CouPe, Us technique	X	X	X	X	X	X	
1313		X	X			CouPe, Us technique	X	X	X	X	X	X	
1314		X	X			CouPe, Us technique	X	X	X	X	X	X	
1315		X	X			CouPe, Us technique	X	X	X	X	X	X	
1316		FoSse	1316				stratigraphie	sur Us 1305 / FOU1074 Ph. B	GR	-50 av. / + 300 ap.	?	NON DATÉ : TPO GR	99f
1317		PIle	1317	FOUR	1074	FOU1074 Phase A (alandier)	stratigraphie	sous la phase B : TAQ 22-166 ap. J.-C. (archéomag. à 95 %)	-30 av. / + 25 ap. ?	-30 av. / + 25 ap.	22-166 ap. J.-C.	GR (TAQ : 1 ^{re} -milieu II ^e s. ap.)	02a
1318		PIle	1318	FOUR	1074	FOU1074 Phase B (cloison de chambre de chauffe)	archéomag,	dernière chauffe de la phase B estimée à 95 % pendant l'intervalle 22-166 ap. J.-C.	1 ^{re} s. ap. ?	22 ap. J.-C.	166 ap. J.-C.	GALLO-ROMAIN (1 ^{re} -milieu II ^e s. ap.)	02a
1319		PIle	1319	FOUR	1074	FOU1074 Phase B (cloison de chambre de chauffe)	archéomag,	dernière chauffe de la phase B estimée à 95 % pendant l'intervalle 22-166 ap. J.-C.	1 ^{re} s. ap. ?	22 ap. J.-C.	166 ap. J.-C.	GALLO-ROMAIN (1 ^{re} -milieu II ^e s. ap.)	02a
1320		FR	1320	FOUR	1074	FOU1074 Phase B (chambre de chauffe)	archéomag,	dernière chauffe de la phase B estimée à 95 % pendant l'intervalle 22-166 ap. J.-C.	1 ^{re} s. ap. ?	22 ap. J.-C.	166 ap. J.-C.	GALLO-ROMAIN (1 ^{re} -milieu II ^e s. ap.)	02a
1321		FS	1321	FOUR	1074	FOU1074 Phase A (fosse de travail)	stratigraphie	sous la phase B : TAQ 22-166 ap. J.-C. (archéomag. à 95 %)	-30 av. / + 25 ap. ?	-30 av. / + 25 ap.	22-166 ap. J.-C.	GR (TAQ : 1 ^{re} -milieu II ^e s. ap.)	02a
1322		FS	1321	FOUR	1074	FOU1074 Phase A (complètement fosse de travail)	stratigraphie	sous la phase B : TAQ 22-166 ap. J.-C. (archéomag. à 95 %)	-30 av. / + 25 ap. ?	-30 av. / + 25 ap.	22-166 ap. J.-C.	GR (TAQ : 1 ^{re} -milieu II ^e s. ap.)	02a
1323		FR	1320	FOUR	1074	FOU1074 Phase B (complètement d'abandon)	archéomag,	dernière chauffe de la phase B estimée à 95 % pendant l'intervalle 22-166 ap. J.-C.	1 ^{re} s. ap. ?	22 ap. J.-C.	166 ap. J.-C.	GALLO-ROMAIN (1 ^{re} -milieu II ^e s. ap.)	02a
1324		X	X			CouPe, Us technique	X	X	X	X	X	X	

N° Us / Hz	com. Us-Hz	type Fait	n° Fait	type ENS.	n° ENS.	rem. Us / fait / Ens.	critères de datation	remarques	creus./ fondation TPQ	combl./ abandon TPQ	combl./ abandon TAQ	période / intervalle estimée	groupe
1343		X	X			CouPe, Us technique	X	X	X	X	X	X	
1344		Fosse	1501					= FS1501	idem combi. ?	1000-1200 ap.	?	TPQ 1000-1200 ap.	05Z
1345		X	X			point topo. 3D, Us technique	X	X	X	X	X	X	
1346		X	X			point topo. 3D, Us technique	X	X	X	X	X	X	
1347		X	X			CouPe, Us technique annulée	X	X	X	X	X	X	
1348		div.	div.	FOUR	1074	FOU1074 Phase B (abandon fosse de travail et alandier)	archéomag.	dernière chauffe de la phase B estimée à 95 % pendant l'intervalle 22-166 ap. J.-C.	1 ^{re} s. ap. ?	22 ap. J.-C.	166 ap. J.-C.	GALLO-ROMAIN (1 ^{re} -milieu 1 ^{re} s. ap.)	02a
1349		Pile	1349	FOUR	1074	FOU1074 Phase B (alandier)	archéomag.	dernière chauffe de la phase B estimée à 95 % pendant l'intervalle 22-166 ap. J.-C.	1 ^{re} s. ap. ?	22 ap. J.-C.	166 ap. J.-C.	GALLO-ROMAIN (1 ^{re} -milieu 1 ^{re} s. ap.)	02a
1350		div.	div.	FOUR	1074	FOU1074 Phase B (abandon fosse de travail et alandier)	archéomag.	dernière chauffe de la phase B estimée à 95 % pendant l'intervalle 22-166 ap. J.-C.	1 ^{re} s. ap. ?	22 ap. J.-C.	166 ap. J.-C.	GALLO-ROMAIN (1 ^{re} -milieu 1 ^{re} s. ap.)	02a
1351		div.	div.	FOUR	1074	FOU1074 Phase B (comblement de fosse de travail et alandier)	archéomag.	dernière chauffe de la phase B estimée à 95 % pendant l'intervalle 22-166 ap. J.-C.	1 ^{re} s. ap. ?	22 ap. J.-C.	166 ap. J.-C.	GALLO-ROMAIN (1 ^{re} -milieu 1 ^{re} s. ap.)	02a
1352		X	X			CouPe, Us technique	X	X	X	X	X	X	
1353		X	X			CouPe, Us technique	X	X	X	X	X	X	
1354		X	X			CouPe, Us technique	X	X	X	X	X	X	
1355		Poteau ?	1355				X	X	?	?	?	NON DATÉ	99Z
1356		Poteau ?	1356				verre	X	GR ?	-50 av. / + 300 ap. ?	?	NON DATÉ : TPQ GR	99f
1357		X	X			CouPe, Us technique	X	X	X	X	X	X	
1358		div.	div.	FOUR	1074	FOU1074 Phase B (abandon fosse de travail et alandier)	archéomag.	dernière chauffe de la phase B estimée à 95 % pendant l'intervalle 22-166 ap. J.-C.	1 ^{re} s. ap. ?	22 ap. J.-C.	166 ap. J.-C.	GALLO-ROMAIN (1 ^{re} -milieu 1 ^{re} s. ap.)	02a
1359		FS	1321	FOUR	1074	FOU1074 Phase A (<sol- fosse de travail)	stratigraphie	sous la phase B : TAQ 22-166 ap. J.-C. (archéomag. à 95 %)	-30 av. / + 25 ap. ?	-30 av. / + 25 ap.	22-166 ap. J.-C.	GR (TAQ : 1 ^{re} -milieu 1 ^{re} s. ap.)	02a
1360		FS	1321	FOUR	1074	FOU1074 Phase A (<sol- fosse de travail)	stratigraphie	sous la phase B : TAQ 22-166 ap. J.-C. (archéomag. à 95 %)	-30 av. / + 25 ap. ?	-30 av. / + 25 ap.	22-166 ap. J.-C.	GR (TAQ : 1 ^{re} -milieu 1 ^{re} s. ap.)	02a
1361		FS	1321	FOUR	1074	FOU1074 Phase A (<sol- fosse de travail)	stratigraphie	sous la phase B : TAQ 22-166 ap. J.-C. (archéomag. à 95 %)	-30 av. / + 25 ap. ?	-30 av. / + 25 ap.	22-166 ap. J.-C.	GR (TAQ : 1 ^{re} -milieu 1 ^{re} s. ap.)	02a
1362		FS	1362				stratigraphie	sur abandon du FOU1074 (Us 1520) ; sous IHZ1408	GR	-50 av. / + 300 ap.	1825-1965 ap.	NON DATÉ : TPQ GR	99f
1363		FS	1074	FOUR	1074	FOU1074 Phase B (comblement fosse de travail)	archéomag.	dernière chauffe de la phase B estimée à 95 % pendant l'intervalle 22-166 ap. J.-C.	1 ^{re} s. ap. ?	22 ap. J.-C.	166 ap. J.-C.	GALLO-ROMAIN (1 ^{re} -milieu 1 ^{re} s. ap.)	02a

N° Us / Hz	com. Us-Hz	type fait	n° fait	type ENS.	n° ENS.	rem. Us / fait / Ens.	critères de datation	remarques	creus. / fondation		combi. / abandon		période / intervalle estimée	groupe
									TPQ	TPQ	TPQ	TAQ		
1364		FS	1074	FOUr	1074	FOU1074 Phase B (aménagement, fosse de travail)	archéomag,	dernière chauffée de la phase B estimée à 95 % pendant l'intervalle 22-166 ap. J.-C.	1 ^{re} s. ap. ?	22 ap. J.-C.	166 ap. J.-C.		GALLO-ROMAIN (1 ^{re} -milieu 1 ^{re} s. ap.)	02a
1365		FS	1074	FOUr	1074	FOU1074 Phase B (aménagement, fosse de travail)	archéomag,	dernière chauffée de la phase B estimée à 95 % pendant l'intervalle 22-166 ap. J.-C.	1 ^{re} s. ap. ?	22 ap. J.-C.	166 ap. J.-C.		GALLO-ROMAIN (1 ^{re} -milieu 1 ^{re} s. ap.)	02a
1366		FoSse	1366				stratigraphie	sous PL1102	?	?	1825-1965 ap.		NON DATE	99Z
1367		FoSse	1311				stratigraphie	= 1311	GR	50 av. / + 300 ap.	1950-1965 ap.		NON DATE : TPQ GR	99F
1368		X	X			CouPe, Us technique	X	X	X	X	X		X	
1369		X	X			CouPe, Us technique	X	X	X	X	X		X	
1370		X	X			CouPe, Us technique	X	X	X	X	X		X	
1371		Fait indét.	1371				stratigraphie	sous HZ1259	?	?	475-1400 ap.		TAQ XIV ^e	99a
1372		EXcavation	1284			Remblais sup.	céramique ; stratigraphie	1 tesson XV ^e ; sous bâtiment TPQ 1825-1965 ap.	?	1400-1500 ap. ?	1825-1965 ap.		NON DATES : TPQ XV ^e s.	08Z
1373		X	X			SonDage, Us technique	X	X	X	X	X		X	
1374		X	X			CouPe, Us technique	X	X	X	X	X		X	
1375		X	X			CouPe, Us technique	X	X	X	X	X		X	
1376		X	X			CouPe, Us technique	X	X	X	X	X		X	
1377		X	X			CouPe, Us technique	X	X	X	X	X		X	
1378		X	X			CouPe, Us technique	X	X	X	X	X		X	
1379		Mur	1379	CAV	1380		stratigraphie	sur 1381-A ; sous 1527 et 1526 (remblais d'abandon)	1500-1600 ap.	1600-1700 ap.	1750-1825 ap.		MODerne	09b
1380		Mur	1380	CAV	1380		stratigraphie	sur 1381-A ; sous 1527 et 1526 (remblais d'abandon)	1500-1600 ap.	1600-1700 ap.	1750-1825 ap.		MODerne	09b
1381	C	BaSSin	1381	BAS	1381	1381-C, maçonneries du bassin rectangulaire 1381.		sur 1381-D ; antérieur à la sédimentation 1381-B (XIV ^e s.)	1200-1400 ap.	1500-1600 ap.	1600-1750 ap.		XII ^e -XIV ^e (?) à moderne	06a
1381	D	BaSSin	1381	BAS	1381	1381-D, fosse de construction du bassin maçonnerie 1381-C	stratigraphie	sous 1151-C ? ; antérieur à 1381-C et 1381-B (XIV ^e s. ?)	1200-1300 ap. ?	1200-1300 ap. ?	1300-1400 ap. ?		XII ^e -XIV ^e ?	06a
1381	B	BaSSin	1381	BAS	1381	1381-B, sédimentation du fond du bassin profond maçonnerie 1380	céramique ; stratigraphie	1380-B = 7 tessons XIV ^e + 1 tiers de coquemar 1325-1400 ap. ; sous récupération 1381-A = XIV ^e s. ?	X	1325-1400 ap.	Idem ?		Bas Moyen Âge (XIV ^e ?)	06b
1381	A	BaSSin	1381	BAS	1381	Remblais de récupération / abandon		sur 1381-B ; 1381-A + 1172 = 6 tessons XV ^e ; sous cave 1380 (intervalle TPQ 1500-1750 ap.)	1500-1600 ap.	1500-1600 ap.	1600-1750 ap.		MODerne	09c

N° Us / Hz	com. Us-Hz	type Fait	n° Fait	type ENS.	n° ENS.	rem. Us / fait / Ens.	critères de datation	remarques	creus. / fondation / TPQ	combi. / abandon / TPQ	combi. / abandon / TAQ	période / intervalle estimée	groupe
1382	B	TR	1382	CAV	1380	Négatif de récupération du MRL1380		<=> 1526B2	1500-1600 ap.	1600-1700 ap.	1750-1825 ap.	MODerne	09b
1383		X	X			CouPe, Us technique	X	X	X	X	X	X	
1384		FoSe	1384				Stratigraphie ; tuiles	2 frags de tuiles romaines ; sous HZ1409	?	-50 av. / +300 ap. ?	475-1825 ap.	NON DATÉ : TPQ GR / TAQ 1825 ap.	99e
1385		X	X			CouPe, Us technique	X	X	X	X	X	X	
1386		X	X			CouPe, Us technique	X	X	X	X	X	X	
1387		FS	1074	FOUr	1074	FOU1074 Phase B (aménagement, fosse de travail)	archéomag,	dernière chauffe de la phase B estimée à 95 % pendant l'intervalle 22-166 ap. J.-C.	1 ^{er} s. ap. ?	22 ap. J.-C.	166 ap. J.-C.	GALLO-ROMAIN (1 ^{er} -milieu 1 ^{er} s. ap.)	02a
1388		X	X			CouPe, Us technique	X	X	X	X	X	X	
1389		X	X			CouPe, Us technique	X	X	X	X	X	X	
1390		X	X			CouPe, Us technique	X	X	X	X	X	X	
1391		X	X			CouPe, Us technique	X	X	X	X	X	X	
1392		RemBlais	1416			ramassage au dessus de la TR1141 ; = 1416	céramique ; stratigraphie	1 tesson XVI ^e ; = RB1416	1500-1600 ap.	1500-1600 ap.	1750-1825 ap.	MODerne	09d
1393		X	X			CouPe, Us technique	X	X	X	X	X	X	
1394		FoSe	1394				stratigraphie ; tuiles	frags de tuiles plates à crochet ; sous HZ1408 ? ; sous HZ1410	idem combi. ?	1200-1400 ap.	1825-1965 ap. ?	NON DATÉS : TPQ XIII-XIV ^e s.	07Z
1395		POteau ?	1395				X	X	?	?	?	NON DATÉ	99Z
1396		Fait indét.	1396				X	X	?	?	?	NON DATÉ	99Z
1397		TRanchée	1141	BAT	1126	Fondation de mur récupérée	stratigraphie	= 1141	1400-1500 ap.	1500-1600 ap.	1750-1825 ap.	fin BNA / MODERNE (à début contemp. ?)	08a
1398		FS	1398	FSA	1398	Fosse / tranchée aménagée ?	stratigraphie	postérieur à / contre la FD1154 ; <=> 1150 ? ; sous pavés TAQ 2000-2005 ap.	1600-1850 ap.	1600-1950 ap.	2000-2005 ap.	NON DATÉS : TPQ 1650-1850 ap.	13Z
1399		EXcavation	1162			creusement	stratigraphie	<=> 1162	1500-1600 ap.	1550-1700 ap.	1750-1825 ap.	MODerne	10a
1400		S0le	1400	FOUr	1074	FOU1074 Phase A (alandier)	stratigraphie	sous la phase B : TAQ 22-166 ap. J.-C. (archéomag. à 95 %)	-30 av. / +25 ap. ?	-30 av. / +25 ap. ?	22-166 ap. J.-C.	GR (TAQ : 1 ^{er} -milieu 1 ^{er} s. ap.)	02a
1401		S0le	1401	FOUr	1074	FOU1074 Phase B (fosse de travail et alandier)	archéomag,	dernière chauffe de la phase B estimée à 95 % pendant l'intervalle 22-166 ap. J.-C.	1 ^{er} s. ap. ?	22 ap. J.-C.	166 ap. J.-C.	GALLO-ROMAIN (1 ^{er} -milieu 1 ^{er} s. ap.)	02a
1402		X	X			CouPe, Us technique	X	X	X	X	X	X	
1403		FS	1321	FOUr	1074	FOU1074 Phase A (fosse de travail)	stratigraphie	sous la phase B : TAQ 22-166 ap. J.-C. (archéomag. à 95 %)	-30 av. / +25 ap. ?	-30 av. / +25 ap. ?	22-166 ap. J.-C.	GR (TAQ : 1 ^{er} -milieu 1 ^{er} s. ap.)	02a
1404		X	X			CouPe, Us technique	X	X	X	X	X	X	
1405		X	X			SonDage, CouPes, Us technique	X	X	X	X	X	X	

N° Us / Hz	com. Us-Hz	type Fait	n° Fait	type ENS.	n° ENS.	rem. Us / fait / Ens.	critères de datation	remarques	creus. / fondation	combl. / abandon	combl. / abandon	comb. / abandon	période / intervalle estimée	groupe
									TPQ	TPQ	TPQ	TAQ	estime-e	
1406		Fait indét.	1406				stratigraphie	sous la FS1027	?	?	1600-1985 ap.	1600-1985 ap.	NON DATE	99Z
1407		Horizon	1407	HRZ	1259	«terre végétale» ancienne	stratigraphie	sur HZ1278 ; = 1259 = antérieur au BASI 381 (TAQ : XM)	475-550 ap.	475-1100 ap.	1200-1400 ap.	1200-1400 ap.	Médiévale	04d
1408		Horizon	1408			«Terre végétale» / (labours ?)	stratigraphie	<=> HZ1415-Nord ; développé sur FS1243 (TPQ : 1650-1700 ap.) ; sous bâtiments TPQ 1825-TAQ 1965 ; sous HZ1410	1650-1700 ap.	1825 ap.	1950-1965 ap.	1950-1965 ap.	fin MOD à CONT	12b
1409		Horizon	1409			«terre végétale» ancienne / possible labours ?	stratigraphie	<=> 1278 et/ou 1407 mais pas scellée par RB1292 / 1420 ; sous 1408	200-550 ap.	475-1400 ap.	1600-1825 ap. ?	1600-1825 ap. ?	Bas-Empire à moderne ?	04e
1410		Horizon	1410			«terre végétale» contemporaine / «actuelle»	stratigraphie	sur RB 1437 (TPQ 1825-1900 ap.) sur 1408 développé sur FS1243 (TPQ : 1650-1700 ap.)	1825 ap.-1950 ap. ?	2021 ap.	2021 ap.	2021 ap.	XIX ^e ou XX ^e à début XXI ^e s.	15a
1411		TRanchée	1411	BAT	1126	«récupération de fondation de mur	stratigraphie	sur RB1292 ; <=> TR1282 ; <=> EX1413	1400-1500 ap.	1500-1600 ap.	1750-1825 ap.	1750-1825 ap.	fin BMA / MODERNE (à début contemp. ?)	08a
1412		TRanchée	1412	BAT	1126	«récupération de fondation de mur	stratigraphie	sur RB1292 ; <=> TR1411 ; <=> EX1413	1400-1500 ap.	1500-1600 ap.	1750-1825 ap.	1750-1825 ap.	fin BMA / MODERNE (à début contemp. ?)	08a
1413		EXcavation	1413	BAT	1126	«récupération de bâti / de sol ?	stratigraphie	sur RB1292 ; <=> TR1411 ; <=> TR1412 ; sous HZ1422	1400-1500 ap.	1500-1600 ap.	1750-1825 ap.	1750-1825 ap.	fin BMA / MODERNE (à début contemp. ?)	08a
1414		TRanchée	1414	BAT	1126	«récupération de mur	stratigraphie	sur RB1282 ; <=> TR1411 ; <=> EX1413	1400-1500 ap.	1500-1600 ap.	1750-1825 ap.	1750-1825 ap.	fin BMA / MODERNE (à début contemp. ?)	08a
1415	Sud	Horizon	1415			Remblai de «terre végétale»	stratigraphie	HZ1415-Sud <=> 1422 ; sur 1525A (abandon CAVI 380, TPQ : 1600-1700 ap.) ; sous FD1506 et 1507 (TAQ : 1825 ap.)	1600-1700 ap.	1600-1700 ap.	1750-1825 ap.	1750-1825 ap.	fin MOD à début CONT	12a
1415	Nord	Horizon	1415			Remblai de «terre végétale»	stratigraphie	HZ1415-Nord (TPQ = 1415-Sud) ; sous bâtiments TPQ 1825-TAQ 1965 ; <=> HZ1408 ; sur EX1125 et 1127 (TPQ : 1575-1700 ap.)	1600-1700 ap.	1600-1700 ap.	1825-1965 ap.	1825-1965 ap.	fin MOD à CONT	12b
1416		RemBlais	1416			Horizon de remblai-s	céramique ; stratigraphie	sur 1229 = 2 tessons XV ^e ; = 1392 (1 tesson XV ^e) ; sous HZ1415	1500-1600 ap.	1500-1600 ap.	1750-1825 ap.	1750-1825 ap.	MODERNE	09d
1417		FoSse	1417				stratigraphie	sur HZ1415 ; sous pavés / grave (TAQ 2000-2005 ap.)	1600-1850 ap.	1600-1950 ap.	2000-2005 ap.	2000-2005 ap.	NON DATÉS : TPQ 1650-1850 ap.	13Z
1418		FoSse	1418				stratigraphie	sur HZ1294 ; sous RB1419	?	?	1250-1600 ap. ?	1250-1600 ap. ?	TAQ XVI ^e	99b
1419		RemBlais	1419				stratigraphie	sur FS1143 ; sous RB1292 ; sous EX1151	1200-1400 ap.	1200-1400 ap.	1500-1600 ap. ?	1500-1600 ap. ?	fin MAC / BMA / début MOD	07c
1420		RemBlais	1420				stratigraphie	sur HZ1407 et FS1104 ; <=> RB1292 ? ; sous HZ1408	1200-1400 ap.	1400-1500 ap. ?	1750-1825 ap.	1750-1825 ap.	NON DATÉS : TPQ XIII-XIV ^e s.	07Z
1421		EXcavation	1421			«récupération de bâti / de sol ?	stratigraphie	sur FD1155 ; <=> 1208-A2 <=> 1413 ; sous HZ1422 et MR1156	1400-1500 ap.	1500-1600 ap.	1750-1825 ap.	1750-1825 ap.	fin BMA / MODERNE (à début contemp. ?)	08a
1422		Horizon	1422			Remblai de «terre végétale»	stratigraphie	sur EX1413 ; sous FD1154 et 1156 (TAQ : 1825 ap.) ; <=> HZ1415	1600-1700 ap.	1600-1700 ap.	1750-1825 ap.	1750-1825 ap.	fin MOD à début CONT	12a
1423		FoYer ?	1423			Sole ?	stratigraphie	sur FHZ1197 = 1278 ; sous FHZ1259 <=> 1407	475-550 ap.	475-550 ap.	1000-1400 ap.	1000-1400 ap.	Médiévale	04c
1424		RemBlais	1424				stratigraphie	sur MR1139-A et EX1519 ; sous FS1425	1825-1900-ap.	1825-1900 ap.	1950 ap. ?	1950 ap. ?	XIX ^e à début XX ^e s.	14b
1425		FonDation	1425				stratigraphie	sur EX1519, sur MR1121-A ; <=> BS1250 ?	1825-1900-ap.	1825-1950 ap.	1950-2021 ap.	1950-2021 ap.	XIX ^e à début XX ^e s.	14b
1426		St. Bâtie	1426				stratigraphie	sur RB1427 ; sur et <=> 1250B	1825-1900-ap.	1825-1950 ap.	1950-2021 ap.	1950-2021 ap.	XIX ^e à début XX ^e s.	14b

N° Us / Hz	com. Us-Hz	type Fait	n° Fait	Type ENS.	n° ENS.	rem. Us / fait / Ens.	critères de datation	remarques	creus. / fondation TPQ	combl. / abandon TPQ	combl. / abandon TAQ	période / intervalle estimée	groupe
1427		RemBlai	1427			remblai de préparation de sol	stratigraphie	sur RB1424 ; sous 1250 ? ; sous 1426B	1825-1900-ap.	1825-1900 ap.	1950 ap. ?	XIX ^e à début XXI ^e s.	14b
1428		RemBlai	1428	BAT	1126	remblai de récupération	stratigraphie	sur HZ1292 ; = 1412-A2	1400-1500 ap.	1500-1600 ap.	1750-1825 ap.	fin BNA / MODERNE (à début contemp. ?)	08a
1429		FoSe	1429				stratigraphie	sur 1413A ; <=> HZ1422 ? ; sous FD1154 ?	1500-1700 ap.	1500-1700 ap.	1750-1825 ap. ?	NON DATÉS : TPQ XVI ^e s.	09Z
1430		RemBlais	1430				stratigraphie	sur RB1201 ; 1430A = sous EX1165 ; 1430B sous RB1183-1184	1500-1550 ap.	1500-1550 ap.	1600-1750 ap.	MODERNE	09c
1431		FoSe	1074	FOUR	1074	FOU1074 Phase B (aménagement fosse de travail)	archéomag,	dernière chauffe de la phase B estimée à 95 % pendant l'intervalle 22-166 ap. J.-C.	1 ^{er} s. ap. ?	22 ap. J.-C.	166 ap. J.-C.	GALLO-ROMAIN (1 ^{er} -milieu II ^e s. ap.)	02a
1432		FoSe	1432				stratigraphie	sur HZ1408 développé sur 1243 (TPQ : 1650-1700 ap.) ; sur FSU070 ; sous 1437 ; sous la limite Nord du bâtiment TPQ 1825-1900-1965 ap.	1650-1850 ap.	1650-1950 ap.	1825-1965 ap.	NON DATÉS : TPQ 1650-1850 ap.	13Z
1433		FoSe	1433				comblement ; stratigraphie	sur 1432 ; comblement noirâtre récent (<=> SB1088 ?) ; liés aux activités du bâtiment TPQ 1825-1965 ap. ?	1825-1950 ap. ?	2021 ap.	2021 ap.	XIX ^e à début XXI ^e s.	14b
1434		FoSe	1434				stratigraphie	relation incertaine avec les HZ1259 et 1408 ; sous SB1088 ; sous bâtiment TPQ 1825-1965 ap.	?	?	1825-1965 ap.	NON DATE	99Z
1435		FoSe	1435				stratigraphie	sur four de tuilier GR (Us 1520) ; sous HZ1 408	GR	-50 av. / + 300 ap.	1825-1965 ap.	NON DATE : TPQ GR	99f
1436		RemBlais	1436				stratigraphie	sur 1121A ; lié à la construction des « dépendances » TPQ 1825-1900-1965 ap. (il apparaît pas sur le cadastre de 1826 ni sur la carte de l'échelle de 1820-1866 ap. ; présentés sur photo aérienne de 1950-1965 ap.)	1825-1900-ap.	1825-1900 ap.	1950-1965 ap.	XIX ^e à début XXI ^e s.	14b
1437		RemBlais	1437				stratigraphie	sur 1436 ; <=> 1436 ?	1825-1900-ap.	1825-1900 ap.	1950-1965 ap.	XIX ^e à début XXI ^e s.	14b
1438		EXcavation	1438				stratigraphie	sur 1183A ; sous MR1185	1600-1700 ap.	1600-1700 ap.	1750-1825 ap.	Moderne (XVII ^e -XVIII ^e)	11c
1439		X	X			CouPe, Us technique	X	X	X	X	X	X	
1440		X	X			CouPes / Sondage, Us technique	X	X	X	X	X	X	
1441		RemBlai	1441				stratigraphie	sur HZ1408 ; sous 1442 ; sous «remises / garages» TPQ 1825-1900-1965 ap. (il apparaît pas sur le cadastre de 1826 ni sur la carte de l'échelle de 1820-1866 ap. ; présentés sur photo aérienne de 1950-1965 ap.)	1650-1950 ap.	1650-1965 ap.	1825-1965 ap.	NON DATÉS : TPQ 1650-1850 ap.	13Z
1442		Rembais	1442				stratigraphie	sur RB1436 et 1441 ; sous «remises / garages» TPQ 1825-1900-1965 ap. (il apparaît pas sur le cadastre de 1826 ni sur la carte de l'échelle de 1820-1866 ap. ; présentés sur photo aérienne de 1950-1965 ap.)	1825-1900-ap.	1825-1900 ap.	1950-1965 ap.	XIX ^e à début XXI ^e s.	14b
1443		Rembais	1443				moblier ; stratigraphie	goudron, frags de filcroiment ; sous puisard d'assainissement en béton ; sous fondation du «garage Nord» TPQ 1950-1965-1985 ap. (il apparaît pas sur photo aérienne de 1950-1965 + apparaît sur cadastre de 1965-1986)	1950 ap. ?	1950 ap.	2018 ap.	milieu XX ^e à début XXI ^e s.	15b
1444		Rembais	1444				stratigraphie	sur 1441 ; <=> 1445 / 1446 ? ; liés aux «remises / garages» TPQ 1825-1900-1965 ap. (il apparaît pas sur le cadastre de 1826 ni sur la carte de l'échelle de 1820-1866 ap. ; présentés sur photo aérienne de 1950-1965 ap.)	1825-1900-ap.	1825-1900 ap.	1950-1965 ap.	XIX ^e à début XXI ^e s.	14b
1445		Rembais	1445				stratigraphie	lié à la construction des «bois» = «remises / garages» TPQ 1825-1900-1965 ap. (il apparaît pas sur le cadastre de 1826 ni sur la carte de l'échelle de 1820-1866 ap. ; présentés sur photo aérienne de 1950-1965 ap.)	1825-1900-ap.	1825-1900 ap.	1950-1965 ap.	XIX ^e à début XXI ^e s.	14b

N° Us / Hz	com. Us-Hz	type Fait	n° Fait	type ENS.	n° ENS.	rem. Us / fait / Ens.	critères de datation	remarques	creus./ fondation TPQ	combl./ abandon TPQ	combl./ abandon TAQ	période / intervalle estimée	groupe
1446		fondations	div.			fondations contemporaines	photo aérienne ; plans anciens ; stratigraphie	fondations des «box» = «remises / garages» TPQ 1825-TAQ 1965 ap. (n'apparaissent pas sur le cadastre de 1826 ni sur la carte de l'état-major de 1820-1866 ap. ; présents sur photo aérienne de 1950-1965 ap.)	1825-1900-ap.	2021 ap.	2021 ap.	XIX ^e à début XXI ^e s.	14b
1447		FoSse	1447				tuiles ; stratigraphie	sur 1294 ; petits frags de tuiles gallo-romaines ; sous FS 1093 (HMA ?) ; sous HZ1278	?	50 av. / + 300 ap.	475-1100 ap. ?	Gallo-romaine à HMA ?	02Z
1448		FoSse	1448				stratigraphie	sur 1407 ; <=> 1420 ? ; sous 1408	1200-1400 ap. ?	1400-1500 ap. ?	1750-1825 ap.	NON DATES : TPQ XIII ^e -XIV ^e s.	07Z
1449		FaIT Indét.	1449				stratigraphie	sur HZ1259 ; sous EX1413	475-1100 ap.	475-1100 ap.	1500-1825 ap.	NON DATÉ : MED / MOD	99d
1450		divers	1450			fondations / poutres contemporaines	photo aérienne ; plans anciens ; stratigraphie	Quart Nord (apparaît sur photo aérienne de 2006-2010 ap. ; abandonnée en 2019 ap. = [0-3]diag.) du «garage Nord» TPQ 1950 / TAQ 1986 ap. (n'apparaît pas sur photo aérienne de 1950-1965, figuré sur cadastre de 1969-1986) ; sur RB144.3	1950-1965 ap.	2006-2010 ap.	2019 ap.	milieu XX ^e à début XXI ^e s.	15b
1451						n° non attribué	X	X	X	X	X	X	
1500						n° non attribué	X	X	X	X	X	X	
1501		FoSse	1501			Silo ?	céramique	3 tessons XI ^e -XII ^e s.	idem combl. ?	1000-1200 ap.	?	TPQ 1000-1200 ap.	05Z
1502		FoSse	1502				stratigraphie	sur Us 1305 (abandon FOU1074)	GR	50 av. / + 300 ap.	?	NON DATÉ : TPQ GR	99f
1503		X	X			CouPe, Us technique	X	X	X	X	X	X	
1504		FoSse	1504				stratigraphie	sur Us 1305 (abandon FOU1074)	GR	50 av. / + 300 ap.	?	NON DATÉ : TPQ GR	99f
1505		FoSse	1505			Fosse profonde en fût	céramique ; stratigraphie	sur 1348 ; 2 tessons Bas-Empire + 11 tessons mérovingiens	GR	500-550 ap.	?	NON DATÉ : TPQ Méro.	03Z
1506		FonDation	1506				photo, aérienne ; plans anciens ; stratigraphie	sur 1526 (abandon CAV1380) ; <=> FD1188 ; mur figuré sur les cadastres de 1826 et 1969-1986 ; n'apparaît plus sur photo aérienne de 2000-2005 ap.	1600-1825 ap.	1969-1986 ap.	2005 ap.	MOD / CONT	13b
1507		FonDation	1507				photo, aérienne ; plans anciens ; stratigraphie	sur 1526 (abandon CAV1380) ; sur HZ1415 ; mur figuré sur le cadastre de 1826 ; sur photo aérienne de 1950-1965 ap. ; n'apparaît plus sur le cadastre de 1969-1986 ap.	1600-1825 ap.	1950-1965 ap.	1969-1986 ap.	MOD / CONT	13b
1508		X	X			SonDage + CouPes, Us technique	X	X	X	X	X	X	
1509		X	X			CouPe, Us technique	X	X	X	X	X	X	
1510		X	X			SonDage, CouPes, Us technique	X	X	X	X	X	X	
1511		FR	1320	FOUR	1074	FOU1074 Phase B (chambre de chauffe)	archéomag.	dernière chauffe de la phase B estimée à 95 % pendant l'intervalle 22-166 ap. J.-C.	1 ^{er} s. ap. ?	22 ap. J.-C.	166 ap. J.-C.	GALLO-ROMAIN (1 ^{er} -milieu II ^e s. ap.)	02a
1512		X	X			CouPe, Us technique	X	X	X	X	X	X	
1513		X	X			CouPe, Us technique	X	X	X	X	X	X	
1514		X	X			CouPe, Us technique	X	X	X	X	X	X	
1515		X	X			CouPe, Us technique	X	X	X	X	X	X	
1516		FoSse	1516			fosse rectangulaire	stratigraphie	sous HZ1259	?	?	475-1400 ap.	TAQ XIV ^e	99a

N° Us / Hz	com. Us-Hz	type Fait	n° Fait	type ENS.	n° ENS.	rem. Us / fait / Ens.	critères de datation	remarques	creus. / fondation		combi. / abandon		période / intervalle estimé-e	groupe
									TPQ	GR	TPQ	TAQ		
1517		Fossé	1517				stratigraphie ; tuiles	gros frags de tuiles gallo-romaines ; sous fossé 1518	GR	-50 av. / + 300 ap.	300 ap. ?		GALLO-ROMAIN (Haut-Empire)	02a
1518		Fossé	1518	SFO ?	1179	Us 1123-B = FO1518 sup. (CP1252)	céramique ; morphologie ; stratigraphie	FO1518 = 10 tessons TPQ II ^e s. ap. ; « limite » gallo-romaine ; <=> FO1179 (?) sur FO1247 ; sous HZ1278	GR	100-300 ap.	300 ap. ?		GALLO-ROMAIN (Haut-Empire)	02a
1519		EXcavation	1519				stratigraphie	sur HZ1259 ; dans l'angle des murs 1121 et 1139 ; sous MR 1121-A / 1139-A et BS1250	1400-1500 ap. ?	1400-1600 ap.	1825-1950 ap.		NON DATÉS : TPQ XV ^e s.	08Z
1520		FS	1074	FOUR	1074	FOU1074 Phase B	archéomag.	dernière chauffe de la phase B estimée à 95 % pendant l'intervalle 22-166 ap. J.-C.	I ^e s. ap. ?	22 ap. J.-C.	166 ap. J.-C.		GALLO-ROMAIN (I ^e -milieu II ^e s. ap.)	02a
1521		FoSse	1521				céramique	sur I045 ; 2 tessons XV ^e + 1 tesson 1450-1500 + 1 tesson XV ^e ; sous IHZ1408	1500-1600 ap.	1500-1600 ap.	?		NON DATÉS : TPQ XV ^e s.	09Z
1522		POteau ?	1522				X	X	?	?	?		NON DATÉ	99Z
1523		POteau ?	1523				stratigraphie	sous FD1038	?	?	1500-1825 ap. ?		TAQ 1825 ap.	99c
1524		X	X			CouPe. Us technique	X	X	X	X	X		X	
1525		X	X			SonDage + CouPes. Us technique	X	X	X	X	X		X	
1526		RemBlais	1526	CAV	1380	remblais abandon CAV1380	céramique ; stratigraphie	<=> 1267-A sur remblais 1183/1184 de la CAV1211 ; pas de tesson XVII ^e ; sous murs TAQ 1825 ap.	1600-1700 ap.	1600-1700 ap.	1750-1825 ap.		Moderne (XVI ^e -XVIII ^e)	11c
1527		NiVeau	1527	CAV	1380	abandon CAV1380	céramique ; stratigraphie	sur 1381-A ; 19 tessons (NMI : 4) XV ^e ; sur 1526-B ; sous 1526-A	1600-1700 ap.	1600-1700 ap.	1750-1825 ap.		Moderne (XVI ^e -XVIII ^e)	11c



IV. **Inventaires techniques**

4.1. Inventaire descriptif des horizons et unités stratigraphiques et techniques

Année de l'opération	2021	Commune	Melun	Lieu-dit / adresse	19, rue Saint-Liesne	CRA Inrap IDF	Pantin	Code Inrap	F134120
Section	AR	Département	Seine-et-Marne (77)	Type opération	Fouille	RRA	G. Desrayaud	Code OA	1011544
Parcelle	245	Récapitulatif parcelles	Melun, sect. AR, p. 245	Date début terrain	20/09/2021	Date fin terrain	17/12/2021	N° INSEE commune	77288

(A : argile-ux ; L : limon-eux ; S : sablon-neux)

*Hz/Us : 1001 *Fait : FS1001

*Type Us : composite *Ident. : fosse *Sect. : A-04

*N° Planche-s (n°Us / Fait / Ens.) : 011, 066, 067

*Z sol 2018 ap. : 43 *Z sup. obs. ou niv. décap. (m NGF) : 41,85

*Tech. fle. : méc. + man. *% flé : 100

*Forme (plan) : ovoïde *Profil : bord NO presque vertical, bord SE évasé, fond arrondi

**Dim. max. obs (m) : *Long. : 2,6 *larg. : 2,1 *Prof./Ht (obs. / restit.) : 1

*Descri. :

-1001-a : Mottes de LA brun très sombre à brun foncé, petit cailloutis et frags de plâtre/mortier blanchâtre épars à erratiques.

-1001-b : Idem a, avec petites mottes brun jaunâtre et frags de tuiles plates à crochet épars à erratiques.

*SOUS : 1002 *SUR : 1013 *Rel. indét. : 1014

*Hz/Us : 1002 *Fait : PT1002

*Type Us : composite *Ident. : puits / puisard contemporain *Sect. : A-04

*N° Planche-s (n°Us / Fait / Ens.) : 011, 070

*Z sol 2018 ap. : 43 *Z sup. obs. ou niv. décap. (m NGF) : 42,95

*Tech. fle. : mécanique *% flé : 100

*Forme (plan) : circulaire *Profil : cylindrique

**Dim. max. obs (m) : *Diam. : 1,85 *Prof./Ht (obs. / restit.) : 1,35

*Descri. :

-1002-A : Comblement de LA noir (pollué ?).

-1002-B : Couronne cylindrique de pierres.

*SUR : 1442 *Rel. indét. : 1003 ; 1443

*Hz/Us : 1003 *Fait : FS1003

*Type Us : composite *Ident. : fosse / fondation ?

*Sect. : A-04

*N° Planche-s (n°Us / Fait / Ens.) : 011, 070

*Z sol 2018 ap. : 43 *Z sup. obs. ou niv. décap. (m NGF) : 42,3

*Tech. fle. : mécanique *% flé : ?

*Forme (plan) : subrectangulaire *Profil : évasé à vertical à fond lég. concave

**Dim. max. obs (m) : *Long. : env. 1,6 *larg. : 0,7

*Prof./Ht (obs. / restit.) : 0,55

*Descri. : Vrac de petites pierres, LAS gris à noirâtre.

-Fond à 41,75 m NGF.

*SOUS : 1443 *SUR : 1408 *Synch. : 1002 ? *Rel. indét. : 1002 ?

*Hz/Us : 1004 *Fait : FS1004

*Type Us : composite *Ident. : fosse *Sect. : A-04

*N° Planche-s (n°Us / Fait / Ens.) : 011, 066, 067

*Z sol 2018 ap. : 43 *Z sup. obs. ou niv. décap. (m NGF) : 41,9

*Tech. fle. : mécanique *% flé : 100

*Forme (plan) : subcirculaire *Profil : bords verticaux, fond plat à irrégulier

**Dim. max. obs (m) : *Long. : 2,15 *larg. : 2 *Prof./Ht (obs. / restit.) : 0,6

*Descri. :

-1004-a : LAS gris brun très sombre, grosses mottes de LAS beige et petites pierres / frags de tuiles éparses.

-1004-b : LAS beige jaunâtre, cailloutis anguleux : petites pierres épars à erratiques.

*SOUS : 1408 ? *SUR : 1409 ?

*Hz/Us : 1005 *Fait : FS1005

*Type Us : composite *Ident. : fosse *Sect. : B-04

*N° Planche-s (n°Us / Fait / Ens.) : 012, 044, 067, 068

*Rem. : En limite Nord de fouille, partiellement décapée.

*Z sol 2018 ap. : 42,6 *Z sup. obs. ou niv. décap. (m NGF) : 42,1

*Tech. fle. : mécanique *% flé : 100

*Forme (plan) : ovale *Profil : bord S oblique rentrant, bord N évasé en 2 « paliers », fond plat

**Dim. max. obs (m) : *Long. : 2,75 *larg. : 2 ?

*Prof./Ht (obs. / restit.) : 0,7

*Descri. :

-1005-a : LAS brun très foncé, petit cailloutis épars à erratique.

-1005-b : LAS brun gris très foncé, petit cailloutis épars à erratique, quelques mottes d'ALS jaunâtre.

*SOUS : 1408 *Synch. : 1006 ? ; 1243 ? *Rel. indét. : 1006 ; 1243

*Hz/Us : 1006 *Fait : FS1006

*Type Us : composite *Ident. : fosse *Sect. : B-04

*N° Planche-s (n°Us / Fait / Ens.) : 012, 066, 067

*Rem. : En limite Nord de fouille, partiellement décapée.

*Z sol 2018 ap. : 42,6 *Z sup. obs. ou niv. décap. (m NGF) : 42,15

*Tech. fle. : mécanique *% flé : 100

*Forme (plan) : ovulaire à subrectangulaire ?? *Profil : bord S vertical, bord O évasé, fond plat à lég. concave
 **Dim. max. obs (m) : *Long. : > 3,65 *larg. : > 1,6
 *Prof./Ht (obs. / restit.) : 1,05
 *Descri. :
 -1006-a : LAS brun très foncé, petit cailloutis épars à erratique.
 -1006-b : LAS brun gris très foncé, petit cailloutis épars à erratique, quelques mottes d'ALS jaunâtre.
 *SOUS : 1408 *Synch. : 1005 ? *Rel. indét. : 1005

*Hz/Us : 1007 *Fait : FS1007
 *Type Us : composite *Ident. : fosse *Sect. : B-04
 *N° Planche-s (n°Us / Fait / Ens.) : 012
 *Z sol 2018 ap. : 42,6 *Z sup. obs. ou niv. décap. (m NGF) : 42,05
 *Tech. fle. : mécanique *% flé : 100
 *Forme (plan) : ovulaire *Profil : fond irrégulier, «couronne» lég. surcreusée
 **Dim. max. obs (m) : *Long. : 1,65 *larg. : 1,35
 *Prof./Ht (obs. / restit.) : 0,15
 *Descri. : LAS brun très sombre, petit cailloutis épars à erratique.

*Hz/Us : 1008 *Fait : PO1008
 *Type Us : composite *Ident. : trou de poteau ?
 *Sect. : A-04
 *N° Planche-s (n°Us / Fait / Ens.) : 011, 064
 *Z sol 2018 ap. : 43 *Z sup. obs. ou niv. décap. (m NGF) : 41,7
 *Tech. fle. : manuelle *% flé : 100
 *Forme (plan) : circulaire *Profil : fond concave
 **Dim. max. obs (m) : *Diam. : 0,7 *Prof./Ht (obs. / restit.) : 0,1
 *Descri. : LA brun gris à gris brun sombre.

*Hz/Us : 1009 *Fait : PO1009
 *Type Us : composite *Ident. : trou de poteau ?
 *Sect. : A-04
 *N° Planche-s (n°Us / Fait / Ens.) : 011
 *Z sol 2018 ap. : 43 *Z sup. obs. ou niv. décap. (m NGF) : 41,7
 *Tech. fle. : manuelle *% flé : 100
 *Forme (plan) : circulaire *Profil : cuvette
 **Dim. max. obs (m) : *Diam. : 0,9 *Prof./Ht (obs. / restit.) : 0,25
 *Descri. : LA gris à brun gris

*Hz/Us : 1010 *Fait : FT1010
 *Type Us : composite *Ident. : creusement indéterminé
 *Sect. : A-04
 *N° Planche-s (n°Us / Fait / Ens.) : 011
 *Z sol 2018 ap. : 43 *Z sup. obs. ou niv. décap. (m NGF) : 41,75
 *Tech. fle. : manuelle *% flé : 100
 *Forme (plan) : ovale *Profil : cuvette
 **Dim. max. obs (m) : *Long. : 0,75 *larg. : 0,6
 *Prof./Ht (obs. / restit.) : 0,05
 *Descri. : LA brun à brun gris. Douteux ?

*Hz/Us : 1011 *Fait : FS1011
 *Type Us : composite *Ident. : fosse / trou de poteau ?
 *Sect. : A-04
 *N° Planche-s (n°Us / Fait / Ens.) : 011, 099
 *Z sol 2018 ap. : 43 *Z sup. obs. ou niv. décap. (m NGF) : 41,85
 *Tech. fle. : mécanique *% flé : 100
 *Forme (plan) : circulaire *Profil : évasé à vertical à fond lég. concave
 **Dim. max. obs (m) : *Diam. : 0,9 *Prof./Ht (obs. / restit.) : 0,35
 *Descri. : LA brun gris foncé à gris brun sombre, gros cailloutis et frags de tuiles plates à crochet épars à erratiques.
 *SUR : 1012

*Hz/Us : 1012 *Fait : FS1012
 *Type Us : composite *Ident. : fosse / silo ? *Sect. : A-04
 *N° Planche-s (n°Us / Fait / Ens.) : 011, 063, 064, 099
 *Z sol 2018 ap. : 43 *Z sup. obs. ou niv. décap. (m NGF) : 41,85
 *Tech. fle. : mécanique *% flé : 100
 *Forme (plan) : subcirculaire *Profil : bords verticaux/ rentrants à évasés, fond concave
 **Dim. max. obs (m) : *Long. : 1,55 *larg. : 1,5
 *Prof./Ht (obs. / restit.) : 0,65
 *Descri. :
 -1012-A1 : Comblement de LAS gris brun très sombre, petites pierres éparses à erratiques.
 -1012-A2 : Comblement, LAS brun sombre, petits frags rubéfiés rougeâtres épars à erratiques. Au centre/ fond, concentration de petites pierres silico-calcaires.
 -1012-A3 : Creusement en cuvette (bords évasés à fond concave). P : 0,45.
 -1012-B1 : Comblement de mottes de LAS brun gris et brun jaunâtre, petits charbons épars à erratiques.
 -1012-B2 : Au fond, sédiment charbonneux noirâtre.
 -1012-B3 : Creusement, bords verticaux à rentrants, fond concave.
 *SOUS : 1011

*Hz/Us : 1013 *Fait : FS1013
 *Type Us : composite *Ident. : fosse *Sect. : A-04
 *N° Planche-s (n°Us / Fait / Ens.) : 011, 066, 067
 *Z sol 2018 ap. : 43 *Z sup. obs. ou niv. décap. (m NGF) : 41,9
 *Tech. fle. : mécanique *% flé : 100
 *Forme (plan) : circulaire tronquée ? *Profil : évasé fond plat horizontal
 **Dim. max. obs (m) : *Diam. : 1,9 ? *Prof./Ht (obs. / restit.) : 1
 *Descri. :
 -1013-a : Mottes de LAS brun foncé et gris brun très sombre, frags de tuiles erratiques.
 -1013-b : Litages / mottes de LAS/ALS brun foncé à jaunâtres.
 *SOUS : 1001 ; 1014

*Hz/Us : 1014 *Fait : FS1014
 *Type Us : composite *Ident. : fosse *Sect. : A-04
 *N° Planche-s (n°Us / Fait / Ens.) : 011, 066, 067
 *Z sol 2018 ap. : 43 *Z sup. obs. ou niv. décap. (m NGF) : 41,9
 *Tech. fle. : mécanique *% flé : 100
 *Forme (plan) : *Profil : évasé fond plat horizontal
 **Dim. max. obs (m) : *Long. : 1,75 *larg. : 1,55
 *Prof./Ht (obs. / restit.) : 0,7
 *Descri. :
 -1014-A1 : Comblement de LAS gris brun très sombre, petits cailloutis et mottes brunes épars.
 -1014-A2 : Creusement (sur 1013). Bords évasés à fond lég. concave. P : 0,45.
 -1014-B1 : Relation avec 1013- ? Litages de petites mottes de LAS/ALS brun foncé et jaunâtres et de LAS gris brun sombre.
 -1014-B2 : Creusement, bords évasés et fond plat.
 *SUR : 1013 *Rel. indét. : 1001

*Hz/Us : 1015 *Fait : FS1015
 *Type Us : composite *Ident. : fosse / trou de poteau ?
 *Sect. : A-04
 *N° Planche-s (n°Us / Fait / Ens.) : 011
 *Z sol 2018 ap. : 43 *Z sup. obs. ou niv. décap. (m NGF) : 41,9
 *Tech. fle. : méc. + man. *% flé : 100
 *Forme (plan) : circulaire *Profil : cuvette
 **Dim. max. obs (m) : *Diam. : 0,8 *Prof./Ht (obs. / restit.) : 0,2
 *Descri. : LAS brun gris à gris brun sombre, rares frags de tuile-s.

*Hz/Us : 1016 *Fait : FT1016
 *Type Us : composite *Ident. : creusement indét. / poteau ? *Sect. : A-04
 *N° Planche-s (n°Us / Fait / Ens.) : 011, 064
 *Z sol 2018 ap. : 43 *Z sup. obs. ou niv. décap. (m NGF) : 41,85
 *Tech. fle. : manuelle *% flé : 100
 *Forme (plan) : circulaire *Profil : cylindrique
 **Dim. max. obs (m) : *Diam. : 0,45 *Prof./Ht (obs. / restit.) : 0,15
 *Descri. : LA brun gris à gris brun très sombre, petit cailloutis épars.

*Hz/Us : 1017 *Fait : FT1017
 *Type Us : composite *Ident. : creusement indéterminé / anomalie ? *Sect. : A-04
 *N° Planche-s (n°Us / Fait / Ens.) : 011
 *Z sol 2018 ap. : 43 *Z sup. obs. ou niv. décap. (m NGF) : 41,85
 *Tech. fle. : manuelle *% flé : 100
 *Forme (plan) : circulaire *Profil : arasé
 **Dim. max. obs (m) : *Diam. : 0,45 *Prof./Ht (obs. / restit.) : 0,05
 *Descri. : LA brun jaune à brun gris. Douteux.

*Hz/Us : 1018 *Fait : FT1018
 *Type Us : composite *Ident. : creusement

indéterminé / anomalie ? *Sect. : A-04
 *N° Planche-s (n°Us / Fait / Ens.) : 011
 *Z sol 2018 ap. : 43,05 *Z sup. obs. ou niv. décap. (m NGF) : 42
 *Tech. fle. : méc. + man. *% flé : 100
 *Forme (plan) : circulaire ? *Profil : cuvette
 **Dim. max. obs (m) : *Diam. : 0,5 ? *Prof./Ht (obs. / restit.) : 0,15
 *Descri. : LA brun et 2 pierres silico-calcaires, dans "Sol brun" naturel ?

*Hz/Us : 1019 *Fait : FS1019
 *Type Us : composite *Ident. : fosse *Sect. : A-04
 *N° Planche-s (n°Us / Fait / Ens.) : 011
 *Z sol 2018 ap. : 43,05 *Z sup. obs. ou niv. décap. (m NGF) : 42
 *Tech. fle. : méc. + man. *% flé : 100
 *Forme (plan) : circulaire *Profil : cuvette
 **Dim. max. obs (m) : *Diam. : 0,8 *Prof./Ht (obs. / restit.) : 0,2
 *Descri. : LAS brun gris à gris brun sombre, 1 pierre silico-calcaire, frags de faune épars. 1 frag. de tegula.
 *Rel. indét. : 1035

*Hz/Us : 1020
 *Type Us : n° décapage *Ident. : fosses
 *Rem. : 1241 + 1242

*Hz/Us : 1021 *Fait : FS1021
 *Type Us : composite *Ident. : fond de fosse *Sect. : B-04
 *N° Planche-s (n°Us / Fait / Ens.) : 012
 *Z sol 2018 ap. : 43 *Z sup. obs. ou niv. décap. (m NGF) : 42
 *Tech. fle. : manuelle *% flé : 100
 *Forme (plan) : circulaire *Profil : cuvette
 **Dim. max. obs (m) : *Diam. : 0,5 *Prof./Ht (obs. / restit.) : 0,15
 *Descri. : LA gris brun sombre, frags abondants de "cloche de maraîcher / à melon" en verre "bleu / vert" au plomb.
 *SUR : 1022 ; 1242

*Hz/Us : 1022 *Fait : FS1022
 *Type Us : composite *Ident. : fosse *Sect. : B-04
 *N° Planche-s (n°Us / Fait / Ens.) : 012, 100
 *Z sol 2018 ap. : 43 *Z sup. obs. ou niv. décap. (m NGF) : 42
 *Tech. fle. : mécanique *% flé : 100
 *Forme (plan) : ovale *Profil : évasé fond plat horizontal
 **Dim. max. obs (m) : *Long. : 1,55 *larg. : 1,2
 *Prof./Ht (obs. / restit.) : 0,2
 *Descri. : Mottes de LAS gris brun sombre et brun gris, petit cailloutis épars.
 *SOUS : 1021 *Rel. indét. : 1243

*Hz/Us : 1023 *Fait : FT1023
 *Type Us : composite *Ident. : creusement indéterminé *Sect. : B-04

*N° Planche-s (n°Us / Fait / Ens.) : 012

*Z sol 2018 ap. : 42,7 *Z sup. obs. ou niv. décap. (m NGF) : 42

*Tech. fle. : méc. + man. *% flé : 100

*Forme (plan) : circulaire *Profil : cuvette

**Dim. max. obs (m) : *Diam. : 0,2 *Prof./Ht (obs. / restit.) : 0,05

*Descri. : LAS gris brun sombre.

*Hz/Us : 1024 *Fait : FT1024

*Type Us : composite *Ident. : creusement indéterminé

*Sect. : A-04

*N° Planche-s (n°Us / Fait / Ens.) : 011

*Z sol 2018 ap. : 43 *Z sup. obs. ou niv. décap. (m NGF) : 42

*Tech. fle. : méc. + man. *% flé : 100

*Forme (plan) : subcirculaire *Profil : arasé

**Dim. max. obs (m) : *Diam. : 0,9 *Prof./Ht (obs. / restit.) : 0,05

*Descri. : LA brun gris à jaunâtre, 1 pierre silico-calcaire.

*Hz/Us : 1025 *Fait : TR1025

*Type Us : composite *Ident. : tranchée de récupération (de mur) *Sect. : A-04, B-04

*N° Planche-s (n°Us / Fait / Ens.) : 011, 012, 067, 068, 070

*Rem. : OSO/ENE. Perpendiculaire à la TR1041, à env. 6,5 m plus au Sud.

-1025 n'apparaît pas sur le cadastre napoléonien de 1826

*Z sol 2018 ap. : 43,05 / 42,85 *Z sup. obs. ou niv. décap. (m NGF) : 42,00 / 42,15

*Tech. fle. : mécanique *% flé : 100

*Forme (plan) : linéaire *Profil : évasé à vertical à fond plat

**Dim. max. obs (m) : *Long. : 6,15 *larg. : 0,4

*Prof./Ht (obs. / restit.) : 0,25

*Descri. :

-1025-A : Comblement de récupération. Mottes de LAS gris brun très sombre et brunes à jaunâtres.

-1025-B : Creusement de fondation / récupération.

*Rel. indét. : 1026 ; 1408

*Hz/Us : 1026 *Fait : FS1026

*Type Us : composite *Ident. : fosse *Sect. : A-04, B-04

*N° Planche-s (n°Us / Fait / Ens.) : 011, 012, 066

*Z sol 2018 ap. : 43,05 *Z sup. obs. ou niv. décap. (m NGF) : 42,1

*Tech. fle. : mécanique *% flé : 100

*Forme (plan) : ovale *Profil : évasé à vertical à fond plat

**Dim. max. obs (m) : *Long. : 1,45 *larg. : 1,1

*Prof./Ht (obs. / restit.) : 0,25

*Descri. : Mottes de LAS gris brun sombre et d'ALS brun gris à beige jaunâtre, cailloutis épars à erratique, petits frags de tuiles plates à crochet erratiques.

*Rel. indét. : 1025

*Hz/Us : 1027 *Fait : FS1027

*Type Us : composite *Ident. : fosse *Sect. : B-04

*N° Planche-s (n°Us / Fait / Ens.) : 012, 067, 068

*Z sol 2018 ap. : 43,00 / 42,70 *Z sup. obs. ou niv. décap. (m NGF) : 42,05

*Tech. fle. : mécanique *% flé : 100

*Forme (plan) : ovale *Profil : évasé fond plat horizontal

**Dim. max. obs (m) : *Long. : 2,25 *larg. : 1,85

*Prof./Ht (obs. / restit.) : 0,75

*Descri. :

-1027-a : LAS/ALS brun jaune, petites mottes jaunâtres et gris brun sombre éparses, petites pierres / frags de plâtre-mortier / frags de tuiles plates à crochet épars.

-1027-b : LAS gris brun sombre, litages / petites mottes interstitiels d'ALS jaunâtre, cailloutis épars à erratiques.

-1027-c : En "dôme" sur le fond, LAS/ALS brun beige, petites mottes jaunâtres éparses, cailloutis épars à erratique.

*SUR : 1028 ; 1406

*Hz/Us : 1028 *Fait : FS1028

*Type Us : composite *Ident. : fosse *Sect. : B-04

*N° Planche-s (n°Us / Fait / Ens.) : 012, 066, 067

*Z sol 2018 ap. : 42,7 *Z sup. obs. ou niv. décap. (m NGF) : 42,1

*Tech. fle. : manuelle *% flé : 100

*Forme (plan) : ovale *Profil : bords évasé à composites, fond plat

**Dim. max. obs (m) : *Long. : 1,65 *larg. : 1,45

*Prof./Ht (obs. / restit.) : 0,5

*Descri. : LAS gris brun très sombre, dépôt de faune, quelques pierres erratiques.

*SOUS : 1027

*Hz/Us : 1029 *Fait : FS1029

*Type Us : composite *Ident. : fosse *Sect. : B-04

*N° Planche-s (n°Us / Fait / Ens.) : 012

*Z sol 2018 ap. : 42,7 *Z sup. obs. ou niv. décap. (m NGF) : 42,1

*Tech. fle. : mécanique *% flé : 100

*Forme (plan) : circulaire *Profil : bords verticaux, fond lég. concave

**Dim. max. obs (m) : *Diam. : 0,7 *Prof./Ht (obs. / restit.) : 0,45

*Descri. :

-1029-a : LAS brun gris très sombre, gros cailloutis et frags de tuiles plates à crochet erratiques.

-1029-b : ALS beige jaunâtre (encaissant géologique remanié).

*SUR : 1030

*Hz/Us : 1030 *Fait : FT1030

*Type Us : composite *Ident. : creusement indéterminé

*Sect. : B-04

*N° Planche-s (n°Us / Fait / Ens.) : 012

*Z sol 2018 ap. : 42,7 *Z sup. obs. ou niv. décap. (m NGF) : 42,1

*Tech. fle. : méc. + man. *% flé : 100

*Forme (plan) : ovale tronqué *Profil : arasé
 **Dim. max. obs (m) : *Long. : 0,6 *larg. : 0,5 ?
 *Prof./Ht (obs. / restit.) : 0,05
 *Descri. : Petites mottes de LAS gris brun et d'ALS jaunâtre (encaissant).
 *SOUS : 1029

*Hz/Us : 1031 *Fait : FS1031
 *Type Us : composite *Ident. : fosse *Sect. : B-04
 *N° Planche-s (n°Us / Fait / Ens.) : 012
 *Rem. : Coupée par TR04 du diag. 2019.
 *Z sol 2018 ap. : 42,65 *Z sup. obs. ou niv. décap. (m NGF) : 42,05
 *Tech. fle. : méc. + man. *% flé : 100
 *Forme (plan) : circulaire tronqué ? *Profil : fond plat
 **Dim. max. obs (m) : *Diam. : 0,9 *Prof./Ht (obs. / restit.) : 0,1
 *Descri. : LAS gris brun sombre.

*Hz/Us : 1032 *Fait : EX1032 *N° diag. : SI-01
 *Type Us : composite *Ident. : excavation *Sect. : A-04
 *N° Planche-s (n°Us / Fait / Ens.) : 003, 011, 067, 068, 128, 129
 *Z sol 2018 ap. : 43,05 *Z sup. obs. ou niv. décap. (m NGF) : 42,35 (diag. 2019)
 *Tech. fle. : sondé méca. *% flé : 70 ?
 *Forme (plan) : subcirculaire *Profil : évasé en partie sup. (P. : 0,65 sous 1408). Dans encaissants d'ALS jaune (P. : 1,45), bords obliques à rentrants, fond approx. plat.
 **Dim. max. obs (m) : *Diam. : > 5 *Prof./Ht (obs. / restit.) : 2,1
 *Descri. :

-1032-a : LAS beige foncé à brun gris clair, cailloutis anguleux épars à erratique.
 -1032-b : LAS brun gris à gris brun, cailloutis / petites pierres calcaires abondants à éparses, petites mottes chauffées erratiques.
 -1032-c : LAS gris brun sombre, charbons épars.
 -1032-d : LAS brun gris à gris brun.
 -1032-e : LAS brun gris à brun, cailloutis épars.
 -1032-f : Vrac de gros cailloutis / petites pierres calcaires, LAS interstitiel grisâtre, frags de tuiles plates à crochet épars à erratiques.
 -1032-g : LAS brun, cailloutis épars.
 -1032-h : Vrac de gros cailloutis / petites pierres calcaires, LAS interstitiel grisâtre, frags de tuiles plates à crochet épars à erratiques.
 -1032-i : LAS / ALS brun à grisâtre, poches jaunâtres.
 -SD1373 : fond à env. 40,25 m NGF.
 *SOUS : 1408 *SUR : 1038 ; 1409

*Hz/Us : 1033 *Fait : FS1033
 *Type Us : composite *Ident. : fosse *Sect. : A-04
 *N° Planche-s (n°Us / Fait / Ens.) : 011
 *Z sol 2018 ap. : 43,05 *Z sup. obs. ou niv. décap. (m NGF) : 42
 *Tech. fle. : mécanique *% flé : 100
 *Forme (plan) : circulaire *Profil : évasé fond arrondi

**Dim. max. obs (m) : *Diam. : 0,75 *Prof./Ht (obs. / restit.) : 0,25
 *Descri. :
 -1033-a : LAS brun gris sombre, rares graviers anguleux.
 -1033-b : LAS brun jaunâtre.
 -1033-c : LAS gris clair à brun jaunâtre.
 *Rel. indét. : 1039

*Hz/Us : 1034 *Fait : FT1034
 *Type Us : composite *Ident. : creusement indéterminé *Sect. : A-04
 *N° Planche-s (n°Us / Fait / Ens.) : 011
 *Z sol 2018 ap. : 43,05 *Z sup. obs. ou niv. décap. (m NGF) : 42,1
 *Tech. fle. : manuelle *% flé : 100
 *Forme (plan) : circulaire *Profil : évasé
 **Dim. max. obs (m) : *Diam. : 0,35 *Prof./Ht (obs. / restit.) : 0,15
 *Descri. : LAS gris sombre, rares charbons et nodules rubéfiés.

*Hz/Us : 1035 *Fait : FS1035
 *Type Us : composite *Ident. : fosse / trou de poteau ? *Sect. : A-04
 *N° Planche-s (n°Us / Fait / Ens.) : 011
 *Z sol 2018 ap. : 43,05 *Z sup. obs. ou niv. décap. (m NGF) : 42
 *Tech. fle. : mécanique *% flé : 100
 *Forme (plan) : circulaire *Profil : cuvette
 **Dim. max. obs (m) : *Diam. : 0,6 *Prof./Ht (obs. / restit.) : 0,15
 *Descri. : LAS gris brun foncé, rare cailloutis.
 *Rel. indét. : 1019

*Hz/Us : 1036 *Fait : FT1036
 *Type Us : composite *Ident. : creusement indéterminé *Sect. : A-04, B-04
 *N° Planche-s (n°Us / Fait / Ens.) : 011, 012
 *Z sol 2018 ap. : 43,05 *Z sup. obs. ou niv. décap. (m NGF) : 42,15
 *Tech. fle. : mécanique *% flé : 100
 *Forme (plan) : ovale *Profil : cuvette
 **Dim. max. obs (m) : *Long. : 1,65 *larg. : 1,2
 *Prof./Ht (obs. / restit.) : 0,15
 *Descri. : LAS brun à brun jaunâtre, petites "poches" (mottes ?) grises.

*Hz/Us : 1037 *Fait : EX1037
 *Type Us : composite *Ident. : excavation en puits *Sect. : B-04
 *N° Planche-s (n°Us / Fait / Ens.) : 012, 066, 067
 *Z sol 2018 ap. : 43 *Z sup. obs. ou niv. décap. (m NGF) : 42,2
 *Tech. fle. : mécanique *% flé : 50
 *Forme (plan) : ovale *Profil : évasé
 **Dim. max. obs (m) : *Long. : 3,35 *larg. : 2,6
 *Prof./Ht (obs. / restit.) : 2,5
 *Descri. : Litages de remblais avec effondrements de bords interstitiels. Coupe 1510-NE inférieure non

nettoyée, pour cause d'effondrements...

-1037-a : LAS gris brun sombre, gros cailloutis anguleux épars à abondant, frags de tuiles plates à crochet épars à erratiques.

-1037-b : Gros cailloutis anguleux et sédiment sableux beige (mortier dégradé ?).

-1037-c : LAS gris brun sombre, gros cailloutis anguleux épars à abondant, frags de tuiles plates à crochet épars à erratiques. Niveaux interstitiels de LAS jaune et brun orangé.

-1037-d : LAS jaunâtre (encaissant remanié).

-1037-e : LA brun à gris brun sombre, petit cailloutis épars.

*SUR : 1053 *Rel. indét. : 1052

*Hz/Us : 1038 *Fait : FD1038 *N° diag. : TR-09

*Type Us : composite *Ident. : tranchée de fondation de mur *Sect. : A-04

*N° Planche-s (n°Us / Fait / Ens.) : 011, 066, 067, 068, 098

*Rem. : N'est pas figurée sur le cadastre napoléonien de 1826.

-Léger changement d'orientation en partie Est (2/3 occidentaux = OSO/ENE ; 1/3 oriental = O/E).

*Z sol 2018 ap. : 43,10 *Z sup. obs. ou niv. décap. (m NGF) : 42,00 / 42,10

*Tech. fle. : mécanique *% flé : 100

*Forme (plan) : linéaire *Profil : évasé à vertical à fond lég. concave

**Dim. max. obs (m) : *Long. : 7,75 *larg. : 0,8

*Prof./Ht (obs. / restit.) : 0,4 / 0,5

*Descri. :

-1038-A ? : Récupération ? LA gris brun sombre ?

-1038-B : Vrac de petites pierres (très majoritairement calcaires / silico-calcaires), frags de tuiles plates à crochet épars à erratiques, LAS gris brun sombre interstitiel.

*SOUS : 1032 ; 1408 *SUR : 1040 ; 1278 ; 1409 *Rel. indét. : 1041 ; 1407 ; 1420

*Hz/Us : 1039 *Fait : FS1039 *N° diag. : FO-02 ?

*Type Us : composite *Ident. : fosse *Sect. : A-04

*N° Planche-s (n°Us / Fait / Ens.) : 011

*Rem. : Fond de fosse.

-Voir orthophoto. du décapage du 06 octobre 2021.

*Z sol 2018 ap. : 43,10 *Z sup. obs. ou niv. décap. (m NGF) : 42

*Tech. fle. : mécanique *% flé : 100

*Forme (plan) : ovale *Profil : arasé

**Dim. max. obs (m) : *Long. : 2,9 *larg. : 2,2 *Prof./Ht (obs. / restit.) : < 0,2 ?

*Descri. : LAS gris brun sombre, petit cailloutis épars à erratique.

*Rel. indét. : 1033 ; 1523

*Hz/Us : 1040 *Fait : FS1040

*Type Us : composite *Ident. : fosse (silo ?) *Sect. : A-04

*N° Planche-s (n°Us / Fait / Ens.) : 011, 063, 098

*Z sol 2018 ap. : 43,1 *Z sup. obs. ou niv. décap. (m

NGF) : 42,05

*Tech. fle. : méc. + man. *% flé : 100

*Forme (plan) : ovale *Profil : évasé fond arrondi

**Dim. max. obs (m) : *Long. : 1,7 *larg. : 1,5 *Prof./Ht (obs. / restit.) : 0,9

*Descri. :

-1040-a : LAS gris.

-1040-b : LAS gris brun et mottes brun gris à brunes (rare cailloutis).

-1040-c : LAS gris foncé, faune et rares petites pierres.

-1040-d : LAS gris brun et mottes brun gris à brunes (avec cailloutis).

*SOUS : 1038 ; 1521

*Hz/Us : 1041 *Fait : TR1041

*Type Us : composite *Ident. : tranchée de récupération *Sect. : A-04

*N° Planche-s (n°Us / Fait / Ens.) : 011, 067, 068, 070, 130

*Rem. : Limite figurée sur le cadastre napoléonien de 1826.

-Orientée N(NO/S(SE), (approximativement) perpendiculaire à la TR1025 et à la TR1038-Est.

*Z sol 2018 ap. : 43,15 *Z sup. obs. ou niv. décap. (m NGF) : 42,1

*Tech. fle. : mécanique *% flé : 100

*Forme (plan) : linéaire *Profil : évasé à vertical à fond lég. concave

**Dim. max. obs (m) : *Long. : 3,05 *larg. : 0,55

*Prof./Ht (obs. / restit.) : 0,15

*Descri. : 1041-A : LAS gris brun sombre, gros graviers anguleux et frags. de tuiles plates à crochet épars à abondants.

-1041-B : Creusement de fondation / récupération.

*SUR : 1052 *Rel. indét. : 1408

*Hz/Us : 1042 *Fait : FT1042

*Type Us : composite *Ident. : creusement indéterminé / anomalie ? *Sect. : A-04

*N° Planche-s (n°Us / Fait / Ens.) : 003, 011

*Rem. : Partiellement décapé en limite Ouest de fouille.

*Z sol 2018 ap. : 43,1 *Z sup. obs. ou niv. décap. (m NGF) : 41,85

*Tech. fle. : mécanique *% flé : 100

*Forme (plan) : oblongue *Profil : irrégulier

**Dim. max. obs (m) : *Long. : 2,1 ? *larg. : 1,05

*Prof./Ht (obs. / restit.) : 0,05

*Descri. : Poches de LAS brun et gis, cailloutis épars.

*Hz/Us : 1043 *Fait : FT1043

*Type Us : composite *Ident. : creus. indét. / anomalie ? *Sect. : A-04

*N° Planche-s (n°Us / Fait / Ens.) : 011

*Z sol 2018 ap. : 43,1 *Z sup. obs. ou niv. décap. (m NGF) : 41,85

*Tech. fle. : manuelle *% flé : 100

*Forme (plan) : circulaire *Profil : arasé

**Dim. max. obs (m) : *Diam. : 0,55 *Prof./Ht (obs. / restit.) : 0,05

*Descri. : LAS brun à brun gris.

*Hz/Us : 1044 *Fait : FT1044

*Type Us : composite *Ident. : creus. indé. / anomalie ? *Sect. : A-04

*N° Planche-s (n°Us / Fait / Ens.) : 011

*Tech. fle. : manuelle *% flé : 100

*Forme (plan) : subcirculaire *Profil : arasé

**Dim. max. obs (m) : *Diam. : 0,55 *Prof./Ht (obs. / restit.) : < 0,05

*Descri. : LAS brun à brun gris.

*Hz/Us : 1045 *Fait : FS1045 *N° diag. : PO-05

*Type Us : composite *Ident. : fosse *Sect. : A-04

*N° Planche-s (n°Us / Fait / Ens.) : 011

*Z sol 2018 ap. : 43,1 *Z sup. obs. ou niv. décap. (m NGF) : 42,35

*Tech. fle. : mécanique *% flé : 100

*Forme (plan) : ovale *Profil : cuvette

**Dim. max. obs (m) : *Long. : 1,3 *larg. : 0,8 *Prof./Ht (obs. / restit.) : 0,55

*Descri. : LAS gris brun sombre et mottes brun jaunâtres éparses, quelques petites pierres.

*SOUS : 1521 *SUR : 1048 ; 1407

*Hz/Us : 1046

*Type Us : anomalie ; non-retenu *Ident. : néant / annulé

*Hz/Us : 1047 *Fait : FS1047

*Type Us : composite *Ident. : fond de fosse ? *Sect. : A-04

*N° Planche-s (n°Us / Fait / Ens.) : 011

*Z sol 2018 ap. : 43,1 *Z sup. obs. ou niv. décap. (m NGF) : 42,05

*Tech. fle. : manuelle *% flé : 100

*Forme (plan) : circulaire *Profil :

**Dim. max. obs (m) : *Diam. : 0,5 *Prof./Ht (obs. / restit.) : < 0,05

*Descri. : LAS gris brun sombre.

*Hz/Us : 1048 *Fait : FS1048

*Type Us : composite *Ident. : fosse *Sect. : A-04

*N° Planche-s (n°Us / Fait / Ens.) : 011

*Z sol 2018 ap. : 43,1 *Z sup. obs. ou niv. décap. (m NGF) : 42

*Tech. fle. : mécanique *% flé : 100

*Forme (plan) : subrectangulaire *Profil : évasé à vertical à fond plat

**Dim. max. obs (m) : *Long. : 1,75 *larg. : 1,25

*Prof./Ht (obs. / restit.) : 0,45

*Descri. : LA brun orangé à brun clair, rares cailloux anguleux.

*SOUS : 1045

*Hz/Us : 1049 *Fait : FT1049

*Type Us : composite *Ident. : creus. indé. / anomalie ? *Sect. : A-04

*N° Planche-s (n°Us / Fait / Ens.) : 011

*Z sol 2018 ap. : 43,15 *Z sup. obs. ou niv. décap. (m

NGF) : 42,05

*Tech. fle. : manuelle *% flé : 100

*Forme (plan) : circulaire *Profil : arasé

**Dim. max. obs (m) : *Diam. : 0,2 *Prof./Ht (obs. / restit.) : < 0,05

*Descri. : LAS gris brun sombre.

*Hz/Us : 1050 *Fait : FT1050

*Type Us : composite *Ident. : creusement indéterminé *Sect. : A-04

*N° Planche-s (n°Us / Fait / Ens.) : 011

*Z sol 2018 ap. : 43,15 *Z sup. obs. ou niv. décap. (m NGF) : 42,05

*Tech. fle. : manuelle *% flé : 100

*Forme (plan) : circulaire *Profil : cuvette

**Dim. max. obs (m) : *Diam. : 0,25 *Prof./Ht (obs. / restit.) : 0,1

*Descri. : LAS gris brun sombre.

*Hz/Us : 1051 *Fait : FS1051

*Type Us : composite *Ident. : fosse contemporaine

*Sect. : A-04, B-04

*N° Planche-s (n°Us / Fait / Ens.) : 011, 012, 070

*Z sol 2018 ap. : 43,2 *Z sup. obs. ou niv. décap. (m NGF) : 42,15

*Tech. fle. : mécanique *% flé : 100

*Forme (plan) : circulaire *Profil : cylindrique

**Dim. max. obs (m) : *Diam. : 1,2 *Prof./Ht (obs. / restit.) : 0,3 / > 1 ?

*Descri. :

-LAS noirâtre (pollué), petites pierres éparses, fragments de béton industriel.

*SUR : 1052

*Hz/Us : 1052 *Fait : EX1052

*Type Us : composite *Ident. : excavation *Sect. : A-04, B-04

*N° Planche-s (n°Us / Fait / Ens.) : 003, 011, 012, 067, 068, 130

*Z sol 2018 ap. : 43,2 *Z sup. obs. ou niv. décap. (m NGF) : 42,15

*Tech. fle. : sondé méca. *% flé : 40 ?

*Forme (plan) : ovale *Profil : évasé à vertical, fond plat avec surcreusement en cuvette au centre

**Dim. max. obs (m) : *Long. : 5,75 *larg. : 4,6

*Prof./Ht (obs. / restit.) : 1,5

*Descri. :

-1052-a : Mottes de LAS gris brun sombre et brunes à jaune beige, cailloutis anguleux épar à erratique, rares frags de tuiles plates à crochet.

-1052-b : LA gris brun sombre à noirâtre, cailloutis anguleux épars, rares frags de tuiles plates à crochet.

-1052-c : Mottes de LA gris sombre et de LAS jaunâtre, mottes noirâtres vers le fond...

*SOUS : 1041 *SUR : 1053 *Rel. indé. : 1037 ; 1054

*Hz/Us : 1053 *Fait : FS1053

*Type Us : composite *Ident. : fosse *Sect. : A-04, B-04

*N° Planche-s (n°Us / Fait / Ens.) : 011, 012

*Rem. : Tronquée par les excavations 1037 et 1052.
 *Z sol 2018 ap. : 43,20 *Z sup. obs. ou niv. décap. (m NGF) : 42,1
 *Tech. fle. : mécanique *% flé : 50
 *Forme (plan) : « angle droit » conservé *Profil : évasé à vertical à fond plat
 **Dim. max. obs (m) : *Long. : 1,2 *larg. : 1,05
 *Prof./Ht (obs. / restit.) : 0,2
 *Descri. : LAS gris brun, quelques mottes brunes.
 *SOUS : 1037 ; 1052

*Hz/Us : 1054 *Fait : EX1054 *N° diag. : FS-13
 *Type Us : composite *Ident. : excavation *Sect. : B-04
 *N° Planche-s (n°Us / Fait / Ens.) : 003, 012, 045, 067, 068, 131, 132
 *Z sol 2018 ap. : 43,15 *Z sup. obs. ou niv. décap. (m NGF) : 42,55
 *Tech. fle. : sondé méca. *% flé : 25 ?
 *Forme (plan) : ovale *Profil : évasé avec palier
 **Dim. max. obs (m) : *Long. : 8 ? *larg. : 5,7 *Prof./Ht (obs. / restit.) : 2,9
 *Descri. : *CP1240 (Sud / Nord) :
 -1054-A1 : Litages de pierres, LAS beige à brun à gris brun et frags de calcaire.
 -1054-A2 : LAS brun sombre.
 -1054-A3 : Petites pierres calcaires, LAS beige à jaunâtre et frags de tuiles plates à crochets.
 -1054-A4 : LAS brun foncé et petites mottes d'ALS jaunâtre.
 -1054-A5 : LAS brun sombre à grisâtre.
 -1054-B : Remblais de LAS brun et ALS jaunâtre (encaissants remaniés), cailloutis calcaire épars.
 -1054-C : Creusement évasé à fond relativement plat (P. max. : 2,9), avec palier au Nord (P. max. : 1,95 m).
 *SOUS : 1055 ; 1408 *SUR : 1063-a *Rel. indét. : 1052

*Hz/Us : 1055 *Fait : FS1055
 *Type Us : composite *Ident. : fosse contemporaine
 *Sect. : B-04
 *N° Planche-s (n°Us / Fait / Ens.) : 012, 070
 *Rem. : Fosse de plantation ?
 *Z sol 2018 ap. : 43,15 *Z sup. obs. ou niv. décap. (m NGF) : 42,15
 *Tech. fle. : mécanique *% flé : 100
 *Forme (plan) : carrée *Profil : évasé à vertical à fond plat
 **Dim. max. obs (m) : *Long. : 0,85 *larg. : 0,85
 *Prof./Ht (obs. / restit.) : 0,25
 *Descri. : Terre végétale noirâtre, fragments d'ardoise.
 *SUR : 1054 *Synch. : 1410 ?

*Hz/Us : 1056 *Fait : FS1056
 *Type Us : composite *Ident. : fosse profonde en fût
 *Sect. : A-03
 *N° Planche-s (n°Us / Fait / Ens.) : 003, 009, 063, 096
 *Rem. : Fond non atteint ; au-delà d'1,9 à 2 m depuis le niv. de décap. = pollution (solvants / hydrocarbures ?).
 *Z sol 2018 ap. : 43,15 *Z sup. obs. ou niv. décap. (m NGF) : 41,85

*Tech. fle. : manuelle *% flé : >80 ?
 *Forme (plan) : ovale à subcirculaire *Profil : cylindrique à piriforme
 **Dim. max. obs (m) : *Long. : 1,4 *larg. : 1,3 *Prof./Ht (obs. / restit.) : > 2
 *Descri. :
 -1056-A1 : LAS brun gris, frags de torchis rubéfiés abondants.
 -1056-A2 : Plages de LA charbonneux noirâtre, LAS brun et frags de torchis épars et de frags rubéfiés agglomérés.
 -1056-B1 : LAS brun gris (plus ou moins lité) avec charbons / nodules rubéfiés et calcaires épars, frags de faune épars.
 -1056-B2 : LAS gris brun à gris foncé (plus ou moins lité) avec charbons / nodules rubéfiés et calcaires épars à erratiques, frags de faune épars.
 -1056-B3 : (fond du sondage manuel) poches d'encaissant remanié (LAS brun à jaunâtre) sur LAS gris foncé et charbons épars, frags de faune épars.
 -1056-C : Creusement général avec effet d'effondrements de bords (verticaux et en sape). Diam. max. observé vers le fond = 1,8 m.
 *SOUS : 1278 ? *SUR : 1294 *Synch. : 1057 ?

*Hz/Us : 1057 *Fait : FS1057
 *Type Us : composite *Ident. : fosse (silo ?) *Sect. : A-03
 *N° Planche-s (n°Us / Fait / Ens.) : 003, 009, 063, 097
 *Z sol 2018 ap. : 43,25 *Z sup. obs. ou niv. décap. (m NGF) : 41,9
 *Tech. fle. : méc. + man. *% flé : 100
 *Forme (plan) : ovale à subrectangulaire *Profil : vertical fond plat
 **Dim. max. obs (m) : *Long. : 1,55 *larg. : 1,3
 *Prof./Ht (obs. / restit.) : 1
 *Descri. :
 -1057-a : LAS brun sombre, gros charbons et frags rubéfiés épars à abondants.
 -1057-b : Litages de LAS brun orangé, mottes de LAS brun gris avec mottes d'ALS jaunâtre éparses, charbons et cailloux épars à erratiques, liseré d'ALS jaunâtre son fond de la couche.
 -1057-c : LAS brun gris à gris, charbons petites poches charbonneuses éparses, cailloux épars à erratiques.
 -1057-d : LAS brun à brun gris.
 -1057-e : Sur fond, ALS beige.
 -1057-f : Creusement.
 *SOUS : 1278 ? *SUR : 1294 *Synch. : 1056 ? *Rel. indét. : 1280

*Hz/Us : 1058 *Fait : FT1058
 *Type Us : composite *Ident. : creusement indéterminé
 *Sect. : A-03
 *N° Planche-s (n°Us / Fait / Ens.) : 009
 *Rem. : Douteux. Anomalie dans 1294 ?
 *Z sol 2018 ap. : 43,20 *Z sup. obs. ou niv. décap. (m NGF) : 41,85
 *Tech. fle. : manuelle *% flé : 100
 *Forme (plan) : subcirculaire *Profil : arasé

****Dim. max. obs (m) :** *Diam. : 0,5 *Prof./Ht (obs. / restit.) : <0.05

*Descri. : LAS brun à brun sombre.

*SUR : 1294 *Rel. indét. : 1278

*Hz/Us : 1059 *Fait : PO1059

*Type Us : composite *Ident. : fosse / trou de poteau ?

*Sect. : A-03, A-04

*N° Planche-s (n°Us / Fait / Ens.) : 009, 011, 045

*Z sol 2018 ap. : 43,25 *Z sup. obs. ou niv. décap. (m NGF) : 41,95

*Tech. fle. : manuelle *% flé : 100

*Forme (plan) : ovulaire *Profil : arasé

****Dim. max. obs (m) :** *Long. : 0,6 *larg. : 0,45

*Prof./Ht (obs. / restit.) : <0,05

*Descri. : LAS brun sombre.

*SUR : 1294 *Rel. indét. : 1278

*Hz/Us : 1060 *Fait : FT1060

*Type Us : composite *Ident. : creusement indéterminé

*Sect. : A-04

*N° Planche-s (n°Us / Fait / Ens.) : 011

*Rem. : Douteux. Anomalie dans 1294 ?

*Z sol 2018 ap. : 43,10 *Z sup. obs. ou niv. décap. (m NGF) : 42,05

*Tech. fle. : manuelle *% flé : 100

*Forme (plan) : subcirculaire *Profil : arasé

****Dim. max. obs (m) :** *Diam. : 0,3 *Prof./Ht (obs. / restit.) : <0.05

*Descri. : LAS brun sombre.

*SUR : 1294 *Rel. indét. : 1278

*Hz/Us : 1061 *Fait : PO1061

*Type Us : composite *Ident. : trou de poteau ?

*Sect. : A-03

*N° Planche-s (n°Us / Fait / Ens.) : 009

*Z sol 2018 ap. : 43,25 *Z sup. obs. ou niv. décap. (m NGF) : 42

*Tech. fle. : mécanique *% flé : 100

*Forme (plan) : circulaire *Profil : cuvette

****Dim. max. obs (m) :** *Diam. : 0,35 *Prof./Ht (obs. / restit.) : 0,1

*Descri. : LAS brun sombre.

*SUR : 1294 *Rel. indét. : 1278

*Hz/Us : 1062 *Fait : PT1062

*Type Us : composite *Ident. : puits à eau *Sect. :

A-03, A-04, B-03, B-04

*N° Planche-s (n°Us / Fait / Ens.) : 003, 009, 010, 011, 012, 067, 068, 070

*Rem. : Figuré sur le cadastre napoléonien de 1826. -Encore «actif» / non comblé en juillet 2021.

*Z sol 2018 ap. : 43,20 *Z sup. obs. ou niv. décap. (m NGF) : 43,2

*Tech. fle. : non-fouillé *% flé : 0

*Forme (plan) : circulaire *Profil : cylindrique

****Dim. max. obs (m) :** *Diam. : 2,1 *Prof./Ht (obs. / restit.) : > 4

*Descri. : Maçonnerie cylindrique de pierres.

*Rel. indét. : 1408

*Hz/Us : 1063 *Fait : EX1063

*Type Us : composite *Ident. : excavation *Sect. : B-04

*N° Planche-s (n°Us / Fait / Ens.) : 012, 067, 068, 087, 132

*Rem. : Coupe partiellement nettoyée.

*Z sol 2018 ap. : 43,25 *Z sup. obs. ou niv. décap. (m NGF) : 42,6

*Tech. fle. : sondé méca. *% flé : 65

*Forme (plan) : subrectangulaire *Profil : évasé à vertical à fond plat

****Dim. max. obs (m) :** *Long. : 2,8 *larg. : 2,5 *Prof./Ht (obs. / restit.) : 1,8

*Descri. :

-1063-a : Litages de LAS brun sombre avec petites pierres / gros cailloutis calcaire épars.

-1063-b : LAS brun sombre avec gros cailloutis calcaire anguleux abondant.

*SOUS : 1054-A1 ; 1416 *Synch. : 1054 ?

*Hz/Us : 1064 *Fait : PO1064

*Type Us : composite *Ident. : trou de poteau ?

*Sect. : A-03

*N° Planche-s (n°Us / Fait / Ens.) : 009

*Z sol 2018 ap. : 43,25 *Z sup. obs. ou niv. décap. (m NGF) : 42

*Tech. fle. : manuelle *% flé : 100

*Forme (plan) : circulaire *Profil : vertical fond arrondi

****Dim. max. obs (m) :** *Diam. : 0,5 *Prof./Ht (obs. / restit.) : 0,2

*Descri. : LAS brun gris à brun sombre.

*SUR : 1294 *Rel. indét. : 1278

*Hz/Us : 1065 *Fait : PO1065

*Type Us : composite *Ident. : trou de poteau *Sect. : A-03

*N° Planche-s (n°Us / Fait / Ens.) : 009

*Z sol 2018 ap. : 43,2 *Z sup. obs. ou niv. décap. (m NGF) : 41,9

*Tech. fle. : manuelle *% flé : 100

*Forme (plan) : circulaire *Profil : évasé à vertical à fond lég. concave

****Dim. max. obs (m) :** *Diam. : 0,5 *Prof./Ht (obs. / restit.) : 0,25

*Descri. : LAS brun gris à gris brun sombre.

*SUR : 1294 *Rel. indét. : 1278

*Hz/Us : 1066 *Fait : PO1066

*Type Us : composite *Ident. : trou de poteau ?

*Sect. : A-03

*N° Planche-s (n°Us / Fait / Ens.) : 009

*Z sol 2018 ap. : 43,2 *Z sup. obs. ou niv. décap. (m NGF) : 41,9

*Tech. fle. : manuelle *% flé : 100

*Forme (plan) : circulaire *Profil : cuvette

****Dim. max. obs (m) :** *Diam. : 0,34 *Prof./Ht (obs. / restit.) : 0,1

*Descri. : LAS gris brun.

*SUR : 1294 *Rel. indét. : 1278

*Hz/Us : 1067 *Fait : PO1067
 *Type Us : composite *Ident. : trou de poteau ?
 *Sect. : A-03
 *N° Planche-s (n°Us / Fait / Ens.) : 009
 *Z sol 2018 ap. : 43,25 *Z sup. obs. ou niv. décap. (m NGF) : 42
 *Tech. fle. : manuelle *% flé : 100
 *Forme (plan) : circulaire *Profil : évasé fond arrondi
 **Dim. max. obs (m) : *Diam. : 0,3 *Prof./Ht (obs. / restit.) : 0,2
 *Descri. : LAS gris brun sombre, petits charbons et nodules rubéfiés épars, 1 frag. d'objet en fer.
 *SUR : 1294 *Rel. indé. : 1278

*Hz/Us : 1068 *Fait : PO1068
 *Type Us : composite *Ident. : trou de poteau ?
 *Sect. : A-03
 *N° Planche-s (n°Us / Fait / Ens.) : 009
 *Z sol 2018 ap. : 43,25 *Z sup. obs. ou niv. décap. (m NGF) : 42
 *Tech. fle. : manuelle *% flé : 100
 *Forme (plan) : circulaire *Profil : évasé à vertical à fond lég. concave
 **Dim. max. obs (m) : *Diam. : 0,3 *Prof./Ht (obs. / restit.) : 0,25
 *Descri. : LAS gris brun sombre, petits charbons et nodules calcaires épars.
 *SUR : 1294 *Rel. indé. : 1278

*Hz/Us : 1069 *Fait : FS1069
 *Type Us : composite *Ident. : fosse *Sect. : A-03, B-03
 *N° Planche-s (n°Us / Fait / Ens.) : 009, 010, 062
 *Z sol 2018 ap. : 43,25 *Z sup. obs. ou niv. décap. (m NGF) : 42,15
 *Tech. fle. : méc. + man. *% flé : 100
 *Forme (plan) : ovale *Profil : évasé à vertical à fond plat
 **Dim. max. obs (m) : *Long. : 1,65 *larg. : 1,35
 *Prof./Ht (obs. / restit.) : 0,2
 *Descri. : Mottes de LAS / ALS beige à jaunâtre, petites pierres calcaires et gros frags de tuiles gallo-romaines épars à erratiques.
 *SOUS : 1278 ? *SUR : 1294

*Hz/Us : 1070 *Fait : FT1070
 *Type Us : composite *Ident. : creusement indéterminé
 *Sect. : B-03
 *N° Planche-s (n°Us / Fait / Ens.) : 010
 *Z sol 2018 ap. : 43,25 *Z sup. obs. ou niv. décap. (m NGF) : 42,15
 *Tech. fle. : méc. + man. *% flé : 100
 *Forme (plan) : subcirculaire *Profil : cuvette
 **Dim. max. obs (m) : *Diam. : 0,5 *Prof./Ht (obs. / restit.) : 0,05
 *Descri. : LAS beige à gris brun.

*Hz/Us : 1071 *Fait : FS1071
 *Type Us : composite *Ident. : fosse (silo ?) *Sect. : B-03

*N° Planche-s (n°Us / Fait / Ens.) : 010, 063, 087, 098
 *Z sol 2018 ap. : 43,2 *Z sup. obs. ou niv. décap. (m NGF) : 42,45
 *Tech. fle. : méc. + man. *% flé : 100
 *Forme (plan) : ovale *Profil : vertical fond arrondi
 **Dim. max. obs (m) : *Long. : 1,6 *larg. : 1,25
 *Prof./Ht (obs. / restit.) : 1,15
 *Descri. :
 -1071-a : LA gris sombre, petits charbons et graviers épars à erratiques.
 -1071-b : LA gris brun foncé.
 -1071-c : LA gris foncé, petits charbons et graviers épars, petites mottes beiges erratiques.
 -1071-d1 : LA gris brun, petites mottes beiges éparses.
 -1071-d2 : LA gris foncé, petits charbons et graviers épars.
 *SOUS : 1278 ? ; 1409 ? *SUR : 1294 *Synch. : 1056 ?

*Hz/Us : 1072 *Fait : FS1321 *Ens. : FOU1074
 *Type Us : comblement *Ident. : remblai d'abandon / scellement *Sect. : B-03
 *N° Planche-s (n°Us / Fait / Ens.) : 086, 087, 090
 *Rem. : Abandon de la fosse de travail de la Phase A du four de tuilier gallo-romain.
 -Bord N de la FS1321.
 *Z sol 2018 ap. : 43,20 / 43,50 *Z sup. obs. ou niv. décap. (m NGF) : 42,4
 *Tech. fle. : manuelle *% flé : 100
 **Dim. max. obs (m) : *Prof./Ht (obs. / restit.) : 0,3
 *Descri. :
 -LAS / ALS beige à jaunâtre (encaissant II remanié).
 *SOUS : 1321-A1 *SUR : 1321-A3 *Egal. : 1321-A2

*Hz/Us : 1073 *Fait : FS1073
 *Type Us : composite *Ident. : fosse *Sect. : B-03
 *N° Planche-s (n°Us / Fait / Ens.) : 010, 063, 064, 073, 076, 086, 100
 *Z sol 2018 ap. : 43,20 / 43,50 *Z sup. obs. ou niv. décap. (m NGF) : 42,5
 *Tech. fle. : manuelle *% flé : 100
 *Forme (plan) : subcirculaire avec surcreusement ovalaire *Profil : évasé avec surcreusement vertical à évasé à fond concave
 **Dim. max. obs (m) : *Diam. : 1,5 *Prof./Ht (obs. / restit.) : 1,1
 *Descri. :
 -1073-a : LAS gris brun à brun gris, pierres et mottes loessiques jaunâtres éparses à erratiques, petits nodules rubéfiés épars à erratiques.
 -1073-b : LAS / ALS brun gris à brun jaunâtre, frags rubéfiés abondants à épars, frags de tuiles romaines épars à erratiques.
 -1073-c : LAS gris sombre, frags rubéfiés épars.
 -1073-d : Creusement sup. et surcreusement ovalaire (1 m X 0,8 m).
 *SOUS : 1408 *SUR : 1072 ; 1321-A1 *Rel. indé. : 1278 ; 1407 ; 1409

*Hz/Us : 1074 *Fait : FS1074 *Ens. : FOU1074
 *Type Us : composite *Ident. : fosse de travail de four
 *Sect. : B-03
 *N° Planche-s (n°Us / Fait / Ens.) : 003, 010, 062, 073, 074, 075, 076, 077, 078, 079, 080, 082, 083, 084
 *Rem. : Fosse de travail Sud du FOU1074 = Phase B.
 *Z sol 2018 ap. : 43,5 *Z sup. obs. ou niv. décap. (m NGF) : 42,3
 *Tech. fle. : méc. + man. *% flé : 100
 *Forme (plan) : ovale *Profil : évasé à vertical à fond concave
 **Dim. max. obs (m) : *Long. : 6,5 *larg. : 3,65
 *Prof./Ht (obs. / restit.) : 1,2
 *1074-a : Remblais d'abandon / scellement.
 -1074-a1 = 1520 : Gros frags très abondants de tuiles gallo-romaines, frags rubéfiés épars, LAS gris brun sombre. Probable effet de creusement sur 1074-a2 et 1074-a3.
 -1074-a2 = 1348 : LAS / ALS brun à brun gris, gros frags de tuiles gallo-romaines et frags rubéfiés épars à abondants.
 -1074-a3 = 1350 : Litages de LAS/ALS brun à beige jaunâtre et de terre rubéfiée remaniée, frags de tuiles gallo-romaines épars à erratique (1350-a). En partie basse, couche de terre rubéfiée remaniée orangé foncé (1350-b).
 -1074-a4 = 1358 : Fragments abondants de tuiles gallo-romaines, de ratés de cuisson et parois vitrifiés / indurés, frags rubéfiés épars, LAS brun gris à gris.
 *1074-b : Complements de réaménagement / fonctionnement.
 -1074-b1 = 1351 : Couche charbonneuse au niveau de l'alandier.
 -1074-b2 = 1401-a1 : Effet de sole au niveau de l'embouchure de l'alandier, fine couche d'argile indurée / vitrifiée.
 -1074-b3 = 1363 : Remblai de LAS / ALS brun compacté, tapissant la partie basse de la fosse et comblant / condamnant les négatifs d'aménagements 1364 / 1365 et 1387 / 1341.
 *1074-c : Creusements / aménagements initiaux.
 -1074-c1 = 1401-a2 : Sole, couche d'argile indurée / vitrifiée au niveau de l'alandier.
 -1074-c2 : Creusement général et négatifs d'aménagements récupérés (paire d'encoches 1364 et 1365 + paire de creusements 1387 et 1431).
 *SOUS : 1278 *SUR : 1294 *Synch. : 1341 ; 1349 ; 1401
 *Hz/Us : 1075 *Fait : PL1075 *Ens. : ALI1075
 *Type Us : composite *Ident. : fondation de pile / pilier contemporaine *Sect. : B-03
 *N° Planche-s (n°Us / Fait / Ens.) : 010, 070, 075
 *Rem. : Bâti en élévation de juillet 2021 ?
 -Bâtiment TPQ 1850-1965 (n'apparaît pas sur le cadastre de 1826 et la carte de l'état-major de 1820-1866 ; apparaît sur photo aérienne de 1950-1965).
 *Z sol 2018 ap. : 43,25 *Z sup. obs. ou niv. décap. (m NGF) : 42,8

*Tech. fle. : mécanique *% flé : 100
 *Forme (plan) : trapézoïdale *Profil : vertical fond plat
 **Dim. max. obs (m) : *Long. : 0,75 *larg. : 0,75
 *Prof./Ht (obs. / restit.) : 0,7
 *Descri. :
 -1075-a : Moellons équarris de calcaire / silico-calcaires liés au mortier / plâtre blanc.
 -1075-b : Fosse de fondation et LAS noirâtre.
 *SUR : 1408

*Hz/Us : 1076 *Fait : PL1076 *Ens. : ALI1075
 *Type Us : composite *Ident. : fondation de pile / pilier contemporaine *Sect. : B-03
 *N° Planche-s (n°Us / Fait / Ens.) : 010, 070, 087
 *Rem. : Bâti en élévation de juillet 2021 ?
 -Bâtiment TPQ 1850-1965 (n'apparaît pas sur le cadastre de 1826 et la carte de l'état major de 1820-1866 ; apparaît sur photo aérienne de 1950-1965).
 *Z sol 2018 ap. : 43,25 *Z sup. obs. ou niv. décap. (m NGF) : 42,85
 *Tech. fle. : mécanique *% flé : 100
 *Forme (plan) : rectangulaire *Profil : évasé à vertical à fond plat
 **Dim. max. obs (m) : *Long. : 0,8 *larg. : 0,7 *Prof./Ht (obs. / restit.) : 0,75
 *Descri. :
 -1076-a : Moellons plus ou moins équarris de calcaire / silico-calcaires liés au mortier / plâtre blanc.
 -1076-b : Fosse de fondation et LAS noirâtre.
 *SUR : 1408

*Hz/Us : 1077 *Fait : FS1077
 *Type Us : composite *Ident. : fosse *Sect. : B-03
 *N° Planche-s (n°Us / Fait / Ens.) : 010
 *Z sol 2018 ap. : 43,25 *Z sup. obs. ou niv. décap. (m NGF) : 42,65
 *Tech. fle. : mécanique *% flé : 100
 *Forme (plan) : ovale *Profil : cuvette
 **Dim. max. obs (m) : *Long. : 1,05 *larg. : 0,85
 *Prof./Ht (obs. / restit.) : 0,4
 *Descri. :
 -1077-a : LAS gris brun sombre, cailloutis erratique.
 -1077-a : Mottes de LAS gris brun et d'ALS jaunâtre, cailloutis erratique.
 *SUR : 1294 *Rel. indét. : 1408

*Hz/Us : 1078 *Fait : FS1078
 *Type Us : composite *Ident. : fosse *Sect. : B-03
 *N° Planche-s (n°Us / Fait / Ens.) : 010
 *Z sol 2018 ap. : 43,25 *Z sup. obs. ou niv. décap. (m NGF) : 42,65
 *Tech. fle. : mécanique *% flé : 100
 *Forme (plan) : circulaire *Profil : cuvette
 **Dim. max. obs (m) : *Diam. : 0,7 *Prof./Ht (obs. / restit.) : 0,35
 *Descri. : LAS gris brun sombre.
 *SUR : 1294 *Rel. indét. : 1408

*Hz/Us : 1079 *Fait : FS1079
 *Type Us : composite *Ident. : fosse *Sect. : B-03, B-04

*N° Planche-s (n°Us / Fait / Ens.) : 003, 010, 012, 067, 068, 127

*Rem. : En limite de décapage, partiellement dégagée.

*Z sol 2018 ap. : 43,25 / 43,35 *Z sup. obs. ou niv. décap. (m NGF) : 42,75

*Tech. fle. : mécanique *% flé : ?

*Forme (plan) : subrectangulaire ? *Profil : évasé à vertical à fond plat

**Dim. max. obs (m) : *Long. : 3,4 *larg. : > 1,5

*Prof./Ht (obs. / restit.) : 1

*Descri. :

-1079-a : LAS gris brun sombre.

-1079-b : LAS / ALS brun orangé à jaune orangé (encaissant I remanié).

-1079-c : Petites pierres calcaires / silico-calcaires abondantes et LAS gris, frags de tuiles plates à crochet épars.

-1079-d : LAS gris foncé à sombre, petites pierres / gros cailloutis épars à erratique.

-1079-e : LAS / ALS brun à brun jaunâtre, cailloutis et frags. de tuiles épars à erratiques.

-1079-f : LAS brun gris à gris brun sombre, nodules calcaires anguleux épars à abondants.

-1079-g : Creusement.

*SOUS : 1408 *SUR : 1294

*Hz/Us : 1080 *Fait : FS1080

*Type Us : composite *Ident. : fosse contemporaine

*Sect. : B-03

*N° Planche-s (n°Us / Fait / Ens.) : 010, 070

*Rem. : Surdécapée.

*Z sol 2018 ap. : 43,35 *Z sup. obs. ou niv. décap. (m NGF) : 43,2

*Tech. fle. : mécanique *% flé : 100

*Forme (plan) : ovale *Profil :

**Dim. max. obs (m) : *Long. : > 1 *larg. : > 0,75

*Prof./Ht (obs. / restit.) : 0,95

*Descri. : LAS noirâtre (type SB1088 / FS1433), graviers anguleux épars.

*SUR : 1408 *Synch. : 1433 ?

*Hz/Us : 1081 *Fait : PO1081

*Type Us : composite *Ident. : trou de poteau *Sect. : A-03

*N° Planche-s (n°Us / Fait / Ens.) : 009

*Z sol 2018 ap. : 43,3 *Z sup. obs. ou niv. décap. (m NGF) : 41,8

*Tech. fle. : manuelle *% flé : 100

*Forme (plan) : circulaire *Profil : évasé à vertical à fond plat

**Dim. max. obs (m) : *Diam. : 0,55 *Prof./Ht (obs. / restit.) : 0,2

*Descri. : LAS gris brun, 2 frags de *tegula-e*.

*SOUS : 1278 ? *SUR : 1294

*Hz/Us : 1082 *Fait : PO1082 *Ens. : BAT1082 ?

*Type Us : composite *Ident. : trou de poteau ?

*Sect. : A-03

*N° Planche-s (n°Us / Fait / Ens.) : 009, 063, 101

*Z sol 2018 ap. : 42,3 *Z sup. obs. ou niv. décap. (m

NGF) : 41,85

*Tech. fle. : manuelle *% flé : 100

*Forme (plan) : circulaire *Profil : évasé à vertical à fond lég. concave

**Dim. max. obs (m) : *Diam. : 0,3 *Prof./Ht (obs. / restit.) : 0,25

*Descri. : LAS gris brun foncé, petites pierres calcaires, nodules rubéfiés épars.

*SOUS : 1278 ? *SUR : 1294 *Synch. : 1304 ? ; 1306

*Hz/Us : 1083 *Fait : PO1083 *N° diag. : PO-07

*Type Us : composite *Ident. : trou de poteau *Sect. : A-03

*N° Planche-s (n°Us / Fait / Ens.) : 009

*Z sol 2018 ap. : 43,3 *Z sup. obs. ou niv. décap. (m NGF) : 41,95

*Tech. fle. : manuelle *% flé : 100

*Forme (plan) : circulaire *Profil : cuvette

**Dim. max. obs (m) : *Diam. : 0,4 *Prof./Ht (obs. / restit.) : 0,3

*Descri. : LAS gris brun foncé, nodules rubéfiés épars.

*SOUS : 1278 ? *SUR : 1294

*Hz/Us : 1084 *Fait : FT1084

*Type Us : composite *Ident. : creusement indéterminé *Sect. : A-03

*N° Planche-s (n°Us / Fait / Ens.) : 009

*Rem. : Douteux. Anomalie dans 1294 ?

*Z sol 2018 ap. : 43,30 *Z sup. obs. ou niv. décap. (m NGF) : 41,95

*Tech. fle. : manuelle *% flé : 100

*Forme (plan) : circulaire *Profil : arasé

**Dim. max. obs (m) : *Diam. : 0,3 *Prof./Ht (obs. / restit.) : < 0,05

*Descri. : LAS gris brun.

*SUR : 1294 *Rel. indét. : 1278

*Hz/Us : 1085 *Fait : PO1085

*Type Us : composite *Ident. : trou de poteau ? *Sect. : A-03

*N° Planche-s (n°Us / Fait / Ens.) : 009

*Rem. : Douteux.

*Z sol 2018 ap. : 43,3 *Z sup. obs. ou niv. décap. (m NGF) : 42,05

*Tech. fle. : manuelle *% flé : 100

*Forme (plan) : circulaire *Profil : cuvette

**Dim. max. obs (m) : *Diam. : 0,35 *Prof./Ht (obs. / restit.) : 0,15

*Descri. : LAS gris brun à brun jaune.

*SUR : 1294 *Rel. indét. : 1278

*Hz/Us : 1086

*Type Us : anomalie ; non-retenu *Ident. : néant/annulé

*Rem. : Terrier

*Tech. fle. : manuelle *% flé : 50

*Hz/Us : 1087 *Fait : PO1087

*Type Us : composite *Ident. : trou de poteau ?

*Sect. : A-04

*N° Planche-s (n°Us / Fait / Ens.) : 011

*Rem. : Douteux.

*Z sol 2018 ap. : 43 *Z sup. obs. ou niv. décap. (m NGF) : 41,8

*Tech. fle. : manuelle *% flé : 100

*Forme (plan) : circulaire *Profil : cuvette

**Dim. max. obs (m) : *Diam. : 0,6 *Prof./Ht (obs. / restit.) : 0,15

*Descri. : LAS gris brun à brun jaunâtre.

*SUR : 1294 *Rel. indét. : 1409

*Hz/Us : 1088 *Fait : SB1088

*Type Us : composite *Ident. : fosse contemporaine

*Sect. : B-03

*N° Planche-s (n°Us / Fait / Ens.) : 010, 046, 070

*Rem. : Parois en parpaings de béton industriels.

*Z sol 2018 ap. : 43,35 *Z sup. obs. ou niv. décap. (m NGF) : 43,1

*Tech. fle. : non-fouillé *% flé : < 10

*Forme (plan) : quadrangulaire *Profil : vertical

**Dim. max. obs (m) : *Long. : 1,6 *larg. : ? *Prof./Ht (obs. / restit.) : > 0,55

*Descri. :

-1088-a : Sédiment / limon meuble noirâtre (malodorant), cailloutis épars.

-1088-b : Coffrage de parpaings industriels.

*SUR : 1408

*Hz/Us : 1089 *Fait : FS1089 *Ens. : ALI1075 ?

*Type Us : composite *Ident. : fosse contemporaine

*Sect. : B-03

*N° Planche-s (n°Us / Fait / Ens.) : 010, 070

*Rem. : Surdécapé.

*Z sol 2018 ap. : 43,35 *Z sup. obs. ou niv. décap. (m NGF) : 42,8

*Tech. fle. : méc. + man. *% flé : 100

*Forme (plan) : subcirculaire *Profil : évasé à vertical à fond plat

**Dim. max. obs (m) : *Long. : 0,8 *larg. : 0,7 *Prof./Ht (obs. / restit.) : 0,45

*Descri. :

-1089-b : Négatif de creusement quadrangulaire comblé par LAS noir (type SB1088 et FS1433), graviers anguleux.

-1089-b : LAS brun gris sombre (fosse de fondation ?).

*SUR : 1408 *Synch. : 1075 ?

*Hz/Us : 1090 *Fait : PO1090

*Type Us : composite *Ident. : trou de poteau / piquet contemporain *Sect. : B-03

*N° Planche-s (n°Us / Fait / Ens.) : 010

*Rem. : Surdécapé.

*Z sol 2018 ap. : 43,35 *Z sup. obs. ou niv. décap. (m NGF) : 42,8

*Tech. fle. : manuelle *% flé : 100

*Forme (plan) : carrée *Profil : vertical fond arrondi

**Dim. max. obs (m) : *Long. : 0,25 *larg. : 0,25

*Prof./Ht (obs. / restit.) : 0,5

*Descri. : LAS noir (type SB1088 et FS1433), graviers anguleux.

*SUR : 1408

*Hz/Us : 1091 *Fait : FR1320 *Ens. : FOU1074

*Type Us : n° décapage *Ident. :

*Rem. : Au décapage, zone d'encaissant rubéfié de la chambre de chauffe 1320 du FOU1074.

*Egal. : 1320

*Hz/Us : 1092 *Fait : PO1092

*Type Us : composite *Ident. : trou de poteau ?

*Sect. : B-03

*N° Planche-s (n°Us / Fait / Ens.) : 010

*Rem. : Surdécapé.

*Z sol 2018 ap. : 43,35 *Z sup. obs. ou niv. décap. (m NGF) : 42,8

*Tech. fle. : non-fouillé *% flé : ?

*Forme (plan) : circulaire *Profil : ?

**Dim. max. obs (m) : *Diam. : 0,3 *Prof./Ht (obs. / restit.) : > 0,15

*Descri. : LAS gris brun.

*SUR : 1294 *Rel. indét. : 1259 ; 1408

*Hz/Us : 1093 *Fait : FS1093

*Type Us : composite *Ident. : fosse *Sect. : A-03

*N° Planche-s (n°Us / Fait / Ens.) : 009, 063, 100

*Z sol 2018 ap. : 43,4 *Z sup. obs. ou niv. décap. (m NGF) : 41,85

*Tech. fle. : manuelle *% flé : 100

*Forme (plan) : ovale *Profil : évasé à vertical à fond lég. concave

**Dim. max. obs (m) : *Long. : 1,1 *larg. : 0,7 *Prof./Ht (obs. / restit.) : 0,95

*Descri. :

-1093-a : LAS brun gris à beige, charbons épars à erratiques.

-1093-b : LAS gris brun, charbons et cailloutis anguleux épars à erratiques, partie de bucrane de bovidé.

-1093-c : ALS brun à brun orangé (encaissants I / 1294 remaniés) et cailloutis anguleux abondant, petites mottes de LA gris et charbons épars.

*SOUS : 1278 ? *SUR : 1294 ; 1447 *Rel. indét. : 1278

*Hz/Us : 1094 *Fait : PO1094

*Type Us : composite *Ident. : trou de poteau *Sect. : A-03

*N° Planche-s (n°Us / Fait / Ens.) : 009

*Z sol 2018 ap. : 43,3 *Z sup. obs. ou niv. décap. (m NGF) : 41,85

*Tech. fle. : manuelle *% flé : 100

*Forme (plan) : circulaire *Profil : évasé à vertical à fond plat

**Dim. max. obs (m) : *Diam. : 0,35 *Prof./Ht (obs. / restit.) : 0,2

*Descri. : LAS brun gris.

*SUR : 1294 *Rel. indét. : 1278

*Hz/Us : 1095 *Fait : PO1095 *Ens. : BAT1082 ?

*Type Us : composite *Ident. : trou de poteau *Sect. : A-03

*N° Planche-s (n°Us / Fait / Ens.) : 009, 101

*Z sol 2018 ap. : 43,4 *Z sup. obs. ou niv. décap. (m NGF) : 41,9

*Tech. fle. : manuelle *% flé : 100

*Forme (plan) : circulaire *Profil : évasé à vertical à fond lég. concave

**Dim. max. obs (m) : *Diam. : 0,4 *Prof./Ht (obs. / restit.) : 0,3

*Descri. : LAS brun gris

*SUR : 1294 *Synch. : 1100 ? ; 1108 ? *Rel. indét. : 1278

*Hz/Us : 1096 *Fait : SI1096 *N° diag. : SI-09

*Type Us : composite *Ident. : petit silo *Sect. : A-03

*N° Planche-s (n°Us / Fait / Ens.) : 009, 063, 064, 099

*Z sol 2018 ap. : 43,4 *Z sup. obs. ou niv. décap. (m NGF) : 41,95

*Tech. fle. : méc. + man. *% flé : 100

*Forme (plan) : circulaire *Profil : évasé (sup.) à piriforme (inf.)

**Dim. max. obs (m) : *Diam. : 1 *Prof./Ht (obs. / restit.) : 0,8

*Descri. :

-1096-a : LAS gris à gris brun sombre, charbons et frags de tuiles gallo-romaines épars à erratiques.

-1096-b : Mottes / litages de LAS / ALS brune à gris brun, cailloutis anguleux épars à erratique.

-1096-c : LAS gris à gris brun sombre, charbons épars à erratiques.

*SOUS : 1407 *SUR : 1294 *Rel. indét. : 1278

*Hz/Us : 1097 *Fait : PT1097

*Type Us : composite *Ident. : Puisard / petit puits contemporain *Sect. : A-03

*N° Planche-s (n°Us / Fait / Ens.) : 009, 070

*Z sol 2018 ap. : 43,35 *Z sup. obs. ou niv. décap. (m NGF) : 43,15 / 43,35

*Tech. fle. : sondé méca. *% flé : ?

*Forme (plan) : circulaire *Profil : cylindrique

**Dim. max. obs (m) : *Diam. : 1,3 *Prof./Ht (obs. / restit.) : > 1,25

*Descri. :

-1097-A : Comblement de LA noir (pollué ?).

-1097-B : Couronne cylindrique de pierres.

*SUR : 1436 ; 1437

*Hz/Us : 1098 *Fait : PT1098

*Type Us : composite *Ident. : Puisard / petit puits contemporain *Sect. : B-03

*N° Planche-s (n°Us / Fait / Ens.) : 010, 070, 073, 088

*Z sol 2018 ap. : 43,45 *Z sup. obs. ou niv. décap. (m NGF) : 43,20 / 43,45

*Tech. fle. : mécanique *% flé : 100

*Forme (plan) : circulaire *Profil : cylindrique

**Dim. max. obs (m) : *Diam. : 1,7 *Prof./Ht (obs. / restit.) : 2,1 / 2,35

*Descri. :

-1098-A1 : Remblai de grave / fragments de béton.

-1098-A2 : Comblement de LA noir (pollué ?).

-1098-B : Couronne cylindrique de pierres liées à la terre.

*SUR : 1436 ; 1437

*Hz/Us : 1099

*Type Us : horizon d'altération

*Sect. : B-03

*N° Planche-s (n°Us / Fait / Ens.) : 010

*Z sol 2018 ap. : 43,45 *Z sup. obs. ou niv. décap. (m NGF) : 42,2

*Tech. fle. : sondé méca.

**Dim. max. obs (m) : *larg. : 0,2 / 0,4 *Prof./Ht (obs. / restit.) :

*Descri. : Grisonnement / blanchiment hydromorphe des encaissants I et II sur bords et fond de la fosse en puits 1505.

*SUR : 1505 ? *Synch. : 1505 ?

*Hz/Us : 1100 *Fait : PO1100 *Ens. : BAT1082 ?

*Type Us : composite *Ident. : trou de poteau *Sect. : A-03

*N° Planche-s (n°Us / Fait / Ens.) : 009, 101

*Z sol 2018 ap. : 43,4 *Z sup. obs. ou niv. décap. (m NGF) : 41,95

*Tech. fle. : méc. + man. *% flé : 100

*Forme (plan) : circulaire *Profil : évasé fond arrondi

**Dim. max. obs (m) : *Diam. : 0,75 *Prof./Ht (obs. / restit.) : 0,55

*Descri. :

-1100-A : (Négatif cylindrique : diam. : 0,35 ; P : > 0,4 ?) LAS gris à gris brun sombre, frags rubéfiés épars, 1 frag. de tuile gallo-romaine.

-1100-B : (Avant-trou), frags rubéfiés abondants (B1), LAS / ALS brun gris à orangé (B2), petit cailloutis et LAS brun à gris, charbons et nodules rubéfiés épars à erratiques (B3).

*SOUS : 1278 ? ; 1407 *SUR : 1294 *Synch. : 1095 ? ; 1108 ? *Rel. indét. : 1278

*Hz/Us : 1101 *Fait : FT1101

*Type Us : composite *Ident. : creusement indéterminé

*Sect. : A-03

*N° Planche-s (n°Us / Fait / Ens.) : 009

*Rem. : Anomalie dans 1294 ?

*Z sol 2018 ap. : 43,40 *Z sup. obs. ou niv. décap. (m NGF) : 41,95

*Tech. fle. : manuelle *% flé : 100

*Forme (plan) : subcirculaire *Profil : cuvette

**Dim. max. obs (m) : *Diam. : 0,3 *Prof./Ht (obs. / restit.) : 0,15

*Descri. : LAS gris brun à brun beige.

*SUR : 1294 *Rel. indét. : 1278

*Hz/Us : 1102 *Fait : PL1102 *Ens. : ALI1075

*Type Us : composite *Ident. : fondation de pile / pilier contemporaine *Sect. : B-03

*N° Planche-s (n°Us / Fait / Ens.) : 010, 070

*Rem. : Bâti en élévation de juillet 2021 ?

-Bâtiment TPQ 1850-1965 (n'apparaît pas sur le cadastre de 1826 et la carte de l'état major de 1820-1866 ; apparaît sur photo aérienne de 1950-1965).

*Z sol 2018 ap. : 43,35 / 43,50

*Tech. fle. : mécanique *% flé : 100

*Forme (plan) : rectangulaire *Profil : évasé à vertical à fond plat

**Dim. max. obs (m) : *Long. : 0,95 *larg. : 0,85

*Prof./Ht (obs. / restit.) : 0,75

*Descri. :

-1102-a : Moellons plus ou moins équarris de calcaire / silico-calcaires liés au mortier / plâtre blanc.

-1102-b : Fosse de fondation et LAS noirâtre.

*SUR : 1408

*Hz/Us : 1103 *Fait : PO1103

*Type Us : composite *Ident. : trou de poteau ?

*Sect. : B-03

*N° Planche-s (n°Us / Fait / Ens.) : 010

*Z sol 2018 ap. : 43,35 / 43,50 *Z sup. obs. ou niv. décap. (m NGF) : 42,6

*Tech. fle. : manuelle *% flé : 100

*Forme (plan) : circulaire *Profil : évasé à vertical à fond lég. concave

**Dim. max. obs (m) : *Diam. : 0,3 *Prof./Ht (obs. / restit.) : 0,25

*Descri. : LAS brun gris foncé, nodules rubéfiés épars.

*SOUS : 1408 *SUR : 1294 *Rel. indét. : 1259 ; 1407

*Hz/Us : 1104 *Fait : EX1104

*Type Us : composite *Ident. : excavation *Sect. : A-02, A-03

*N° Planche-s (n°Us / Fait / Ens.) : 009, 037, 065

*Rem. : Partiellement décapée / fouillée.

*Z sol 2018 ap. : 43,4 *Z sup. obs. ou niv. décap. (m NGF) : 42,25

*Tech. fle. : sondé méca. *% flé : ?

*Forme (plan) : indéterminée, partiellement décapée

*Profil : bord Nord en sape

**Dim. max. obs (m) : *Long. : > 1,6 *larg. : > 1,1

*Prof./Ht (obs. / restit.) : > 1

*Descri. :

-1104-a : (similaire au RB1420) LAS brun beige à gris brun, petit cailloutis calcaire épars.

-1104-b : LAS brun à gris, cailloutis anguleux abondant, charbons et nodules rubéfiés épars à erratiques, frags de tuiles plates à crochet erratiques.

*SOUS : 1420 *SUR : 1407

*Hz/Us : 1105 *Fait : FS1105

*Type Us : composite *Ident. : fosse *Sect. : A-03

*N° Planche-s (n°Us / Fait / Ens.) : 009

*Z sol 2018 ap. : 43,4 *Z sup. obs. ou niv. décap. (m NGF) : ≥ 42,25

*Tech. fle. : mécanique *% flé : 100

*Forme (plan) : circulaire *Profil : évasé fond plat horizontal

**Dim. max. obs (m) : *Diam. : 0,9 *Prof./Ht (obs. / restit.) : ≥ 0,8

*Descri. : LAS gris brun sombre, petit cailloutis épars, rares mottes d'encaissants I / II remaniés, frags erratiques de tuile-s plate-s à crochet.

*SUR : 1248 *Rel. indét. : 1407

*Hz/Us : 1106 *Fait : FT1106

*Type Us : composite *Ident. : creusement indéterminé

*Sect. : A-03

*N° Planche-s (n°Us / Fait / Ens.) : 009

*Rem. : Effet de pelle au décapage ?

*Z sol 2018 ap. : 43,40 *Z sup. obs. ou niv. décap. (m NGF) : 41,85

*Tech. fle. : mécanique *% flé : 100

*Forme (plan) : circulaire *Profil : non relevé

**Dim. max. obs (m) : *Diam. : 0,4 *Prof./Ht (obs. / restit.) : > 0,15

*Descri. : LAS gris brun sombre, 1 pierre calcaire.

*SUR : 1294 *Rel. indét. : 1278

*Hz/Us : 1107 *Fait : FT1107

*Type Us : composite *Ident. : trou de poteau ?

*Sect. : A-03

*N° Planche-s (n°Us / Fait / Ens.) : 009

*Rem. : Surdécapé.

*Z sol 2018 ap. : 43,4 *Z sup. obs. ou niv. décap. (m NGF) : 41,85

*Tech. fle. : manuelle *% flé : 100

*Forme (plan) : circulaire *Profil : cuvette

**Dim. max. obs (m) : *Diam. : 0,35 *Prof./Ht (obs. / restit.) : 0,15

*Descri. : LAS noirâtre et LAS brun gris.

*SUR : 1294 *Rel. indét. : 1278

*Hz/Us : 1108 *Fait : PO1108 *Ens. : BAT1082 ?

*Type Us : composite *Ident. : trou de poteau *Sect. : A-03

*N° Planche-s (n°Us / Fait / Ens.) : 009, 101

*Z sol 2018 ap. : 43,4 *Z sup. obs. ou niv. décap. (m NGF) : 41,95

*Tech. fle. : méc. + man. *% flé : 100

*Forme (plan) : circulaire *Profil : évasé à vertical à fond plat

**Dim. max. obs (m) : *Diam. : 0,3 *Prof./Ht (obs. / restit.) : 0,25

*Descri. :

-1108-A : (Négatif cylindrique ; Diam. : 0,2 ; P : 0,25) Petites mottes le LAS gris brun sombre, brunes et d'ALS jaunâtre, charbons et frags rubéfiés épars à erratiques.

-1108-B : (Avant-trou) LAS / ALS brun à beige jaunâtre (encaissants 1294 et I remaniés).

*SOUS : 1278 *SUR : 1294

*Hz/Us : 1109 *Fait : FS1109

*Type Us : composite *Ident. : fosse *Sect. : A-03, B-03

*N° Planche-s (n°Us / Fait / Ens.) : 009, 010

*Z sol 2018 ap. : 43,5 *Z sup. obs. ou niv. décap. (m NGF) : ≥ 42,10

*Tech. fle. : méc. + man. *% flé : 100

*Forme (plan) : ovale *Profil : cuvette

**Dim. max. obs (m) : *Long. : 2,25 *larg. : 1,5

*Prof./Ht (obs. / restit.) : ≥ 0,3

*Descri. : LAS gris brun sombre à gris brun, cailloutis anguleux épars.

*SUR : 1074 ; 1520 *Rel. indét. : 1278

*Hz/Us : 1110 *Fait : FS1110
 *Type Us : composite *Ident. : fosse *Sect. : B-03
 *N° Planche-s (n°Us / Fait / Ens.) : 010, 073, 076
 *Z sol 2018 ap. : 43,5 *Z sup. obs. ou niv. décap. (m NGF) : ≥ 42,30
 *Tech. fle. : méc. + man. *% flé : 100
 *Forme (plan) : ovale *Profil : cuvette
 **Dim. max. obs (m) : *Long. : 2,3 *larg. : 1,7 *Prof./Ht (obs. / restit.) : ≥ 0,35
 *Descri. : LAS gris brun sombre à brun, petit cailloutis et frags rubéfiés et de tuiles GR épars à erratiques.
 *SOUS : 1408 *SUR : 1520 *Rel. indét. : 1278 ; 1362 ; 1435

*Hz/Us : 1111 *Fait : FT1111
 *Type Us : composite *Ident. : creusement indéterminé
 *Sect. : B-03
 *N° Planche-s (n°Us / Fait / Ens.) : 010
 *Rem. : Anomalie dans 1294 ?
 *Z sol 2018 ap. : 43,50 *Z sup. obs. ou niv. Décap. (m NGF) : 42,45
 *Tech. fle. : mécanique *% flé : 100
 *Forme (plan) : subcirculaire *Profil : non relevé
 **Dim. max. obs (m) : *Diam. : 0,25 *Prof./Ht (obs. / restit.) : < 0,1 ?
 *Descri. : LAS gris brun.
 *SUR : 1294 *Rel. indét. : 1259 ; 1407

*Hz/Us : 1112 *Fait : PO1112
 *Type Us : composite *Ident. : trou de poteau ?
 *Sect. : B-03
 *N° Planche-s (n°Us / Fait / Ens.) : 010
 *Z sol 2018 ap. : 43,5 *Z sup. obs. ou niv. décap. (m NGF) : 42,7
 *Tech. fle. : mécanique *% flé : 100
 *Forme (plan) : circulaire *Profil : non relevé
 **Dim. max. obs (m) : *Diam. : 0,3 *Prof./Ht (obs. / restit.) : > 0,2
 *Descri. : LAS gris brun.
 *SUR : 1294 *Rel. indét. : 1259

*Hz/Us : 1113 *Fait : FT1113
 *Type Us : composite *Ident. : creusement indéterminé
 *Sect. : B-03
 *N° Planche-s (n°Us / Fait / Ens.) : 010
 *Rem. : Anomalie dans 1294 ?
 *Z sol 2018 ap. : 43,50 *Z sup. obs. ou niv. décap. (m NGF) : 42,45
 *Tech. fle. : manuelle *% flé : 100
 *Forme (plan) : circulaire *Profil : cuvette
 **Dim. max. obs (m) : *Diam. : 0,25 *Prof./Ht (obs. / restit.) : 0,15
 *Descri. : LAS gris sombre, 1 frag. de *tegula*.
 *SUR : 1294 *Rel. indét. : 1259 ; 1278

*Hz/Us : 1114 *Fait : FO1518 *Ens. : SFO1179 ?
 *Type Us : composite *Ident. : fossé *Sect. : B-03
 *N° Planche-s (n°Us / Fait / Ens.) : 010
 *Rem. : Fossé 1518 entre FS1116 et CP1261.

-Voir CP1261.

-Voir 1518.

*Z sol 2018 ap. : 43,50 *Z sup. obs. ou niv. décap. (m NGF) : 42,75
 *Tech. fle. : mécanique *% flé : 100
 *Forme (plan) : linéaire *Profil : cuvette
 **Dim. max. obs (m) : *Long. : > 2,3 *larg. : 0,9
 *Prof./Ht (obs. / restit.) : 0,4
 *Descri. : *CP1261 :
 -1114-A = 1518-A : LAS brun gris, frags de tuiles gallo-romaines épars à abondants.
 -1114-B = 1518-B : LAS brun beige à blanchi, rares frags de tuiles gallo-romaines.
 *SOUS : 1259 *SUR : 1294 *Egal. : 1518

*Hz/Us : 1115 *Fait : FT1115
 *Type Us : composite *Ident. : creus. indét. / anomalie ? *Sect. : B-03
 *N° Planche-s (n°Us / Fait / Ens.) : 010
 *Rem. : Anomalie dans 1294 ?
 -Tronqué par la FS1116.
 *Z sol 2018 ap. : 43,5 *Z sup. obs. ou niv. décap. (m NGF) : 42,7
 *Tech. fle. : mécanique *% flé : 100
 *Forme (plan) : semi-circulaire *Profil : non relevé
 **Dim. max. obs (m) : *Long. : 0,95 *larg. : > 0,5
 *Prof./Ht (obs. / restit.) : > 0,15 ?
 *Descri. : LAS brun à brun gris.
 *SOUS : 1116 *SUR : 1294

*Hz/Us : 1116 *Fait : FS1116
 *Type Us : composite *Ident. : fosse *Sect. : B-03
 *N° Planche-s (n°Us / Fait / Ens.) : 010, 065, 113
 *Z sol 2018 ap. : 43,5 *Z sup. obs. ou niv. décap. (m NGF) : 42,9
 *Tech. fle. : mécanique *% flé : 100
 *Forme (plan) : ovale *Profil : évasé fond plat horizontal
 **Dim. max. obs (m) : *Long. : 3,4 *larg. : 3 *Prof./Ht (obs. / restit.) : 1,5
 *Descri. :
 -1116-a : LA/LAS brun foncé, petites pierres silico-calcaires éparses.
 -1119-b : LAS brun beige foncé, petit cailloutis anguleux épars à erratique, rares pierres.
 -1116-c : Litages / mottes de LAS brun sombre à brun gris et de LAS brun orangé à jaunâtre (encaissants I / II remaniés), gros cailloutis anguleux et frags rubéfiés et de tuiles plates à crochets épars à erratiques.
 *SOUS : 1244 *SUR : 1259 *Rel. indét. : 1284 ; 1372

*Hz/Us : 1117 *Fait : FO1518 *Ens. : SFO1179 ?
 *Type Us : composite, DOUBLON *Ident. : fossé
 *Sect. : B-03
 *N° Planche-s (n°Us / Fait / Ens.) : 010
 *Rem. : Fossé 1518 entre FS1122 et FS1244.
 *Descri. : Voir 1114 et 1518.
 *Egal. : 1123-B ; 1114 ; 1518

*Hz/Us : 1118
 *Type Us : anomalie ; non-retenu *Ident. : néant/
 annulé

*Hz/Us : 1119 *Fait : FS1119
 *Type Us : composite *Ident. : fosse *Sect. : B-03
 *N° Planche-s (n°Us / Fait / Ens.) : 010, 048, 066, 067
 *Rem. : Partiellement dégagée en limite de fouille.
 *Z sol 2018 ap. : 43,5 *Z sup. obs. ou niv. décap. (m NGF) : 43
 *Tech. fle. : mécanique *% flé : 100
 *Forme (plan) : subrectangulaire ? *Profil : évasé fond irrégulier
 **Dim. max. obs (m) : *Long. : > 2,1 *larg. : 2 *Prof./Ht (obs. / restit.) : 0,75
 *Descri. :
 -1119-a : LAS brun à brun beige foncé, cailloutis anguleux épars à erratique.
 -1119-b : Gros cailloutis / petites pierres silico-calcaires / calcaires anguleux abondants, LAS gris brun à brun gris.
 -1119-c : ALS lœssique (encaissant II) remanié (effondrement ?).
 *SOUS : 1265 ; 1436 *SUR : 1259 ; 1372

*Hz/Us : 1120 *Fait : EX1120
 *Type Us : composite *Ident. : excavation *Sect. : B-03
 *N° Planche-s (n°Us / Fait / Ens.) : 003, 008, 010, 065, 108, 109, 110
 *Rem. :
 -Principal dépôt de faune dans la moitié Est (en-deçà de 41,75 / 41,80 m NGF) = Us 1120-2b et 1120-3a (passe 1 et 2).
 -Passe 3 = Us 7 à 11 (LO-P1010438).
 -Dépôt de faune également dans surcreusement SO (1272), = Us 5b / 5c.
 *Z sol 2018 ap. : 43,50 *Z sup. obs. ou niv. décap. (m NGF) : 43
 *Tech. fle. : mec. + man. *% flé : 100
 *Forme (plan) : subcirculaire *Profil : évasé à vertical à fond lég. concave
 **Dim. max. obs (m) : *Long. : > 3,3 *larg. : > 3,05
 *Prof./Ht (obs. / restit.) : 1,9
 *Descri. : COUPE 1245-Est :
 *(Creus. sup. = 1120-3b) :
 -1120-1 : LAS gris brun sombre, cailloutis et frags de tuiles plates à crochet épars à erratiques.
 -1120-2a : LAS brun à brun gris et ALS brun, petites pierres éparses à erratiques.
 -1120-2b : LAS brun gris à gris brun, petites inclusions d'ALS jaunâtre et cailloux anguleux épars, FAUNE.
 -1120-3a : Fine couche (ép. : 0,05 m) de LAS gris foncé "tapissant" le fond du creusement 1120-3b, FAUNE.
 -1120-3b : Effet de creusement vertical évasé à fond concave sur 1120-4 et les encaissants I et II. Fond à env. 41,45 m NGF.
 *(Creus inf. 1272, au SO) :
 -1120-4 : Terre rubéfiée remaniée / frags rubéfiés abondants rouge orangé.
 -1120-5a : Encaissant II (ALS jaune) remanié à mottes

de II et de LAS/ALS brun à brun gris.
 -1120-5b : LAS gris foncé, petites mottes brunes et frags rubéfiés épars à erratiques.
 -1120-5c : Fine couche / liseré de LAS gris sombre, petits charbons épars.
 -1120-6 : Mottes d'ALS jaunâtre à blanchi (encaissant II remanié) et de LAS noirâtre "charbonneux".
 -1120-7 (<=> 1120-9) : LAS gris à brun gris, rares petites pierres.
 -1120-8 (<=> 1120-11b) : Fine couche de LAS gris foncé à sombre.
 -1272 (<=> 1273) : Creusement en excroissance ovalaire, bords verticaux à concaves et fond lég. concave, dans l'encaissant lœssique II. Fond à 41,05 m NGF.
 *(Creus inf. 1273, "moitié" Est de la fosse) :
 -1120-5a : Encaissant II (ALS jaune) remanié à mottes de II et de LAS/ALS brun à brun gris.
 -1120-9a : LAS gris foncé, petites mottes brunes et frags rubéfiés épars à erratiques.
 -1120-9b : Fine couche / liseré de LAS gris foncé.
 -1120-9c (<=> 1120-7) : LAS gris à brun gris, rares petites pierres.
 -1120-10 (<=> 1120-11a ?) : ALS brun foncé et petites mottes jaunâtre.
 -1120-11a : Mottes / litages d'ALS jaunâtre à blanchi (encaissant II remanié).
 -1120-11b (<=> 1120-8) : LAS gris foncé, quelques petits charbons.
 -1273 (<=> 1272) : Creusement ovalaire, bords verticaux à concaves et fond lég. convexe, dans l'encaissant lœssique II. Fond à 41,20 m NGF.
 *SOUS : 1121-B2 *SUR : 1259 *Egal. : 1188 ; 1272 ; 1273 *Rel. indét. : 1292

*Hz/Us : 1121 *Fait : MR1121 *Ens. : MUR1121
 *Type Us : composite *Ident. : fondations et élévations de mur *Sect. : B-02
 *N° Planche-s (n°Us / Fait / Ens.) : 003, 008, 035, 048, 049, 066, 067, 068, 070, 081
 *Rem. : Mur OSO/ENE.
 -Mur 1121-A = reprise de 1121-B après 1825 ap., encore en élévation en juillet 2021 (voir cadastre de 2021).
 -Mur 1121-B = à l'Ouest, limite figurée sur le cadastre de 1826 ap., mais n'apparaît plus sur photo aérienne de 1950-1965 ap.
 *Z sol 2018 ap. : 43,55 / 43,80 *Z sup. obs. ou niv. décap. (m NGF) : 43,35 / > 43,80
 *Tech. fle. : mécanique *% flé : 80
 *Forme (plan) : linéaire *Profil : vertical fond plat
 **Dim. max. obs (m) : *Long. : 21 *larg. : 0,7 *Prof./Ht (obs. / restit.) : > 4 (élévation + fondation)
 *Mur 1121-A (à l'Est) :
 -1121-A1 (<=> 1139-A1) : Elévation Est (L : env. 13 m ; l. : 0,5 m ; Ht : > 3 m). Double parement de moellons plus ou moins équarris, principalement silico-calcaires, et calage interne de pierres, liés au mortier sableux/sablonneux brun orangé à jaunâtre.
 -1121-A2 (<=> 1139-A2) : Fondation Est (L : env. 13 m ; l. : 0,7 m ; P : 0,9 m). Double parement de

moellons plus ou moins équarris, principalement silico-calcaires, calage interne de pierres, liés au mortier sableux/sablonneux brun orangé. CP1253 (à l'Est) = fond à 42,60 m NGF.

-1121-A3 : Creusement / tranchée de fondation sur 1519-A1 (CP1253). Comblement = 1519-A1 remanié.
*Mur 1121-B :

-1121-B1 : élévation Ouest (sous "pavés / grave" ; L : 9 m ? ; l. : 0,65 m ; P : 0,6 m). Double parement de moellons plus ou moins équarris, de calcaire blanc et silico-calcaires, calage interne de pierres, liés au mortier sableux brun orangé.

-1121-B2 (<=> 1139-B) : Fondation (en partie conservée sous 1121-A2 ; L : 14 m ? ; l. : 0,5 m ; P : 0,5 m). Double parement sommaire / vrac de pierres principalement de calcaire blanc, liées à la terre. CP1509 (à l'Ouest) = fond à 42,20 m NGF.

*SOUS : 1424 ; 1436 *SUR : 1292 ; 1519-A1

*Synch. : 1139-A ; 1139-B

*Hz/Us : 1122 *Fait : FS1122

*Type Us : composite *Ident. : fosse *Sect. : B-02

*N° Planche-s (n°Us / Fait / Ens.) : 008, 066, 067, 068, 070

*Rem. : Surdécapé.

*Z sol 2018 ap. : 43,8 *Z sup. obs. ou niv. décap. (m NGF) : ≥ 42,60 (43,50 ?)

*Tech. fle. : mécanique *% flé : 100

*Forme (plan) : subcirculaire *Profil : évasé à vertical à fond lég. concave

**Dim. max. obs (m) : *Diam. : 1,8 *Prof./Ht (obs. / restit.) : ≥ 0,3 (1,2 ?)

*Descri. :

-1122-a : Au centre (subcirculaire, Diam. : 0,7 m), sédiment meuble beige blanchâtre et frags de calcaire blanc épars.

-1122-b : Fond et "couronne" de LAS gris à gris brun sombre.

-Fond à 42,30 m NGF.

*SUR : 1292 ? *Rel. indét. : 1121 ; 1139

*Hz/Us : 1123

*Type Us : n° décapage *Ident. :

*Rem. : FO1517 + FO1518 (= 1123-B)

*Hz/Us : 1124 *Fait : FS1124

*Type Us : composite ? *Ident. : fond de fosse *Sect. : B-02

*N° Planche-s (n°Us / Fait / Ens.) : 008, 062

*Rem. : Tronquée par la FD1121-B2.

*Z sol 2018 ap. : 43,8 *Z sup. obs. ou niv. décap. (m NGF) : 42,3

*Tech. fle. : manuelle *% flé : 100

*Forme (plan) : subcirculaire ? *Profil : cuvette ?

**Dim. max. obs (m) : *Diam. : 0,4 ? *Prof./Ht (obs. / restit.) : 0,15 ?

*Descri. : LAS / ALS beige à brun beige (similaire à l'encaissant 1294), partie sup. d'amphore gallo-romaine.

*SOUS : 1278 *SUR : 1294

*Hz/Us : 1125 *Fait : EX1125

*Type Us : composite *Ident. : excavation / grande fosse *Sect. : B-02

*N° Planche-s (n°Us / Fait / Ens.) : 003, 008, 050, 067, 068, 125

*Z sol 2018 ap. : 43,85 *Z sup. obs. ou niv. décap. (m NGF) : 43,6

*Tech. fle. : mécanique *% flé : 100

*Forme (plan) : irrégulière *Profil : évasé à vertical / en sape et fond plat

**Dim. max. obs (m) : *Long. : > 5 *larg. : > 4,3

*Prof./Ht (obs. / restit.) : 2,4

*Descri. :

-1125-a = 1129-a : Remblai de LA brun à brun et brun gris, petit cailloutis calcaire blanc épars à erratique.

-1125-b = 1129-b : Petites pierres / gros cailloutis calcaire blanc très abondant, LAS brun à brun gris avec frags de tuiles plates à crochet épars à erratiques.

-1125-c : ALS jaunâtre (encaissant II remanié).

-1125-d : LAS brun gris sombre, mottes brun jaune et cailloutis épars à erratiques.

-1125-e : ALS/LAS brun à jaunâtre (encaissants I et II remaniés).

-1125-f : LAS brun très sombre, grosses mottes brun jaune (CP1286-E) et cailloutis calcaire blanc épars.

-1125-g : Mottes de LAS/ALS brun à jaunâtre (encaissants I et II remaniés ; CP1286-O).

-1125-h : Creusement.

-CP1286-O : Fond à 41,20 m NGF.

*SOUS : 1128 ; 1415 *SUR : 1412 *Synch. : 1127 ? ; 1129

*Hz/Us : 1126 *Fait : TR1126 *Ens. : BAT1126

*Type Us : composite *Ident. : tranchée de récupération *Sect. : B-01, B-02

*N° Planche-s (n°Us / Fait / Ens.) : 003, 006, 008, 031, 032, 033, 066, 067

*Rem. : Mur SSO/NNE.

-Perpendiculaire à et s'arrête sur la fondation 1121-B2. -Vue sur le palier occidental de la partie Sud du décapage.

*Z sol 2018 ap. : 43,60 / 43,85 *Z sup. obs. ou niv. décap. (m NGF) : 43,1

*Tech. fle. : mécanique *% flé : < 10

*Forme (plan) : linéaire *Profil : évasé à vertical à fond lég. concave

**Dim. max. obs (m) : *Long. : 20 *larg. : 0,8 *Prof./Ht (obs. / restit.) : 0,9

*Descri. :

-1126-A1 = 1416-c : Comblement de récupération. Couche de mottes d'ALS jaunâtre.

-1126-A2 : Comblement de récupération. LAS/ALS brun à brun jaunâtre, plages de mottes brun gris et gros cailloutis / petites pierres calcaires épars.

-1126-B : Creusement de fondation / récupération.

*SOUS : 1127 ; 1397 ; 1415 ; 1416 *SUR : 1233 ; 1292 *Synch. : 1137 ; 1141 ; 1411

*Hz/Us : 1127 *Fait : EX1127
 *Type Us : composite *Ident. : excavation *Sect. : B-02
 *N° Planche-s (n°Us / Fait / Ens.) : 008, 032, 033, 067, 068, 126
 *Z sol 2018 ap. : 43,85 *Z sup. obs. ou niv. décap. (m NGF) : 43,1
 *Tech. fle. : mécanique *% flé : 80
 *Forme (plan) : subovale *Profil : évasé à vertical / en sape à fond lég. concave.
 **Dim. max. obs (m) : *Long. : 3,5 *larg. : 2,5 *Prof./Ht (obs. / restit.) : 2,15
 *Descri. :
 -1127-a : Vrac de gros cailloutis / petites pierres de calcaire blanc, frags de tuiles plates à crochet épars, LAS brun à brun gris.
 -1127-b : LAS gris brun à gris sombre, petit cailloutis de calcaire blanc épars à erratique.
 -1127-c : Gros cailloutis / petites pierres de calcaire blanc très abondants, frags de tuiles plates à crochet épars, LAS gris.
 -Fond à 40,95 m NGF.
 *SOUS : 1415 *SUR : 1126 ; 1416

*Hz/Us : 1128 *Fait : MR1128
 *Type Us : composite *Ident. : mur contemporain
 *Sect. : B-02
 *N° Planche-s (n°Us / Fait / Ens.) : 008, 052, 053, 070
 *Rem. : Mur OSO/ENE.
 -Non figurée sur le cadastre de 1826 ; encore en élévation en juillet 2021.
 *Z sol 2018 ap. : 43,90 *Z sup. obs. ou niv. décap. (m NGF) : > 43,90
 *Tech. fle. : mécanique *% flé : 60
 *Forme (plan) : linéaire *Profil : vertical fond plat
 **Dim. max. obs (m) : *Long. : 5,1 *larg. : 0,7 *Prof./Ht (obs. / restit.) : > 4 (élev. + fd)
 *Descri. : *Mur 1128 :
 -1128-A1 (<=> 1139-A1) : Elévation (L : env. 5,1 m ; l. : 0,5 m ; Ht : > 3 m). Double parement de moellons plus ou moins équarris, de grès et silico-calcaires, calage interne de pierres, liés au mortier sableux / plâtre blanchâtre.
 -1128-A2 (<=> 1139-A2) : Fondation (L : env. 5,1 m ; l. : 0,7 m ; P : 1,1 m). Double parement de moellons plus ou moins équarris, principalement de grès et silico-calcaires, calage interne de pierres, liés au mortier sableux blanchâtre et à la terre.
 -CP1286-E et 1291 = fond à 42,50 m NGF.
 *SUR : 1125 ; 1129 *Synch. : 1121-A ; 1139-A ; 1135 ; 1152

*Hz/Us : 1129 *Fait : EX1129
 *Type Us : composite *Ident. : excavation / grande fosse *Sect. : B-02
 *N° Planche-s (n°Us / Fait / Ens.) : 008, 067, 068, 125
 *Z sol 2018 ap. : 43,9 *Z sup. obs. ou niv. décap. (m NGF) : 43,6
 *Tech. fle. : mécanique *% flé : 100
 *Forme (plan) : oblongue à subrectangulaire *Profil : vertical / en sape à fond plat.

**Dim. max. obs (m) : *Long. : >3,2 *larg. : >2,3
 *Prof./Ht (obs. / restit.) : 1,95
 *Descri. :
 -1129-a = 1125-a : Remblai de LA brun à brun et brun gris, petit cailloutis calcaire blanc épars à erratique.
 -1129-b = 1125-b : Petites pierres / gros cailloutis calcaire blanc très abondant, LAS brun à brun gris avec frags de tuiles plates à crochet épars à erratiques.
 -1129-c : LAS brun foncé et mottes d'ALS jaunâtre (encaissant II remanié).
 -CP1286-O : Fond à 41,65 m NGF.
 *SOUS : 1128 *SUR : 1413 *Synch. : 1125

*Hz/Us : 1130 *Fait : FT1130
 *Type Us : composite *Ident. : creusement indéterminé
 *Sect. : B-02
 *N° Planche-s (n°Us / Fait / Ens.) : 008
 *Rem. : Anomalie dans l'HZ1294 ?
 *Z sol 2018 ap. : 43,90 *Z sup. obs. ou niv. décap. (m NGF) : 42,2
 *Tech. fle. : méc. + man. *% flé : 100
 *Forme (plan) : subcirculaire *Profil : cuvette
 **Dim. max. obs (m) : *Diam. : 0,35 *Prof./Ht (obs. / restit.) : 0,15
 *Descri. : LAS gris à brun.
 *SUR : 1294 *Rel. indét. : 1278

*Hz/Us : 1131
 *Type Us : ramassage mobilier
 *Sect. : B-02
 *N° Planche-s (n°Us / Fait / Ens.) : 008
 *Rem. : 5 petits frags (18 g) indét. (céramique modelée ? TCA ? Raté de cuisson ?).
 -Terrier ?
 *Z sol 2018 ap. : 43,90 *Z sup. obs. ou niv. décap. (m NGF) : 42,05
 *Tech. fle. : manuelle *SUR : 1294 *Rel. indét. : 1278

*Hz/Us : 1132 *Fait : FS1132
 *Type Us : composite *Ident. : fosse *Sect. : B-02
 *N° Planche-s (n°Us / Fait / Ens.) : 008
 *Z sol 2018 ap. : 43,85 *Z sup. obs. ou niv. décap. (m NGF) : ≥ 42,60
 *Tech. fle. : méc. + man. *% flé : 100
 *Forme (plan) : ovale *Profil : évasé à vertical / en sape à fond lég. concave
 **Dim. max. obs (m) : *Long. : >1,2 *larg. : >0,9
 *Prof./Ht (obs. / restit.) : ≥ 1,15
 *Descri. :
 -1132-a : LAS gris brun foncé, petites pierres / gros cailloutis de calcaire blanc épars à erratique, quelques mottes brunes et frags de tuiles plates à crochet.
 -1132-b : LAS/ALS brun orangé (encaissant I remanié).
 -1132-c : Litages de LAS gris brun sombre et brun beige foncé, petites pierres / gros cailloutis de calcaire blanc épars à erratique, quelques mottes brunes et frags de tuiles plates à crochet.
 -1132-d : LAS gris brun sombre à noirâtre, gros charbons de bois épars.
 -Fond à 41,45 m NGF.
 *SOUS : 1415 *SUR : 1259 ; 1407 *Rel. indét. : 1292

*Hz/Us : 1133 *Fait : FT1133
 *Type Us : composite *Ident. : creusement indéterminé
 *Sect. : B-02
 *N° Planche-s (n°Us / Fait / Ens.) : 008
 *Rem. : Anomalie dans l'HZ1294 ?
 -Sous fondation bâtiment TPQ 1825 ap. <=>
 MR1128.
 *Z sol 2018 ap. : 43,90 *Z sup. obs. ou niv. décap. (m NGF) : ≥ 42,35
 *Tech. fle. : manuelle *% flé : 100
 *Forme (plan) : circulaire *Profil : cuvette
 **Dim. max. obs (m) : *Diam. : 0,25 *Prof./Ht (obs. / restit.) : ≥ 0,15 ?
 *Descri. : LAS brun gris, quelques charbons.
 *SUR : 1294 *Rel. indét. : 1278

*Hz/Us : 1134 *Fait : FT1134
 *Type Us : composite *Ident. : creusement indéterminé
 *Sect. : B-02
 *N° Planche-s (n°Us / Fait / Ens.) : 008
 *Z sol 2018 ap. : 43,85 *Z sup. obs. ou niv. décap. (m NGF) : ≥ 42,25
 *Tech. fle. : méc. + man. *% flé : 100
 *Forme (plan) : ovale *Profil : cuvette
 **Dim. max. obs (m) : *Long. : >0,65 *larg. : >0,4
 *Prof./Ht (obs. / restit.) : ≥ 0,2
 *Descri. : LAS gris brun.
 *SUR : 1294 *Rel. indét. : 1278 ; 1282

*Hz/Us : 1135 *Fait : divers *Ens. : CAV1135
 *Type Us : composites et bâties *Ident. : fondations / parements / sol / escalier contemporains *Sect. : B-02
 *N° Planche-s (n°Us / Fait / Ens.) : 003, 008, 054, 055, 070, 124
 *Rem. : Cave avec escalier en fonction / sous bâtiment en élévation en juillet 2021 ap. (non figuré sur le cadastre de 1826, apparaît sur photo aérienne de 1950-1965 ap.).
 *Z sol 2018 ap. : 43,90 / 44,00 *Z sup. obs. ou niv. décap. (m NGF) : 43,9
 *Tech. fle. : mécanique *% flé : ?
 *Forme (plan) : rectangulaire *Profil : vertical fond plat
 **Dim. max. obs (m) : *Long. : 6,5 *larg. : > 4,5
 *Prof./Ht (obs. / restit.) : 2,5
 *Descri. :
 -Escalier (OSO/ENE, sur le côté Nord) : 3,5 X 1,3 X 2,3 m.
 -Cave (NNO/SSO) : 5,1 X >4,5 X 2,5 m. Sol de béton à 41,70 m NGF.
 -Maçonneries de moellons / pierres principalement silico-calcaires, liés au mortier sableux brun orangé à beige jaunâtre.
 -Fond des fondations : env. 41,40 m NGF.
 *SUR : 1415

*Hz/Us : 1136 *Fait : FS1136
 *Type Us : composite *Ident. : fosse *Sect. : B-02
 *N° Planche-s (n°Us / Fait / Ens.) : 008, 032, 033
 *Rem. : Tronquée par l'EX1127.

-Partiellement décapée en limite de fouille.
 *Z sol 2018 ap. : 43,85 *Z sup. obs. ou niv. décap. (m NGF) : ≥ 42,20
 *Tech. fle. : mécanique *% flé : ?
 *Forme (plan) : indéterminée, partiellement décapée
 *Profil : cuvette
 **Dim. max. obs (m) : *Long. : > 0,7 *larg. : > 0,6
 *Prof./Ht (obs. / restit.) : ≥ 0,25
 *Descri. : LAS gris brun foncé à sombre, se distinguant difficilement de l'HZ1278, petit cailloutis blanc épars à erratique.
 *SOUS : 1278 ? ; 1259 ; 1407 *Rel. indét. : 1278

*Hz/Us : 1137 *Fait : TR1137 *Ens. : BAT1126
 *Type Us : composite *Ident. : tranchée de récupération *Sect. : B-02
 *N° Planche-s (n°Us / Fait / Ens.) : 008, 029, 030, 031, 066, 067
 *Z sol 2018 ap. : 43,85 *Z sup. obs. ou niv. décap. (m NGF) : 43,1
 *Tech. fle. : mécanique *% flé : ?
 *Forme (plan) : linéaire *Profil : évasé à vertical à fond lég. concave
 **Dim. max. obs (m) : *Long. : ≥ 4,8 ? *larg. : 0,7
 *Prof./Ht (obs. / restit.) : 0,7
 *Descri. :
 -1137-A1 = 1416-c : Comblement de récupération. Couche de mottes d'ALS jaunâtre.
 -1137-A2 : Comblement de récupération. LAS/ALS brun à brun jaunâtre, plages de mottes brun gris et gros cailloutis / petites pierres calcaires épars, frags de tuiles plates à crochet épars.
 -1137-B : Creusement de fondation / récupération.
 -Fond à 42,40 m NGF.
 *SOUS : 1415 ; 1416 *SUR : 1233 ; 1292 *Synch. : 1126

*Hz/Us : 1138 *Fait : FT1138
 *Type Us : composite *Ident. : creusement indéterminé
 *Sect. : B-02
 *N° Planche-s (n°Us / Fait / Ens.) : 008
 *Z sol 2018 ap. : 43,9 *Z sup. obs. ou niv. décap. (m NGF) : 42,35
 *Tech. fle. : mécanique *% flé : 100
 *Forme (plan) : circulaire *Profil : cuvette
 **Dim. max. obs (m) : *Diam. : 0,75 *Prof./Ht (obs. / restit.) : ≥ 0,2
 *Descri. : LAS gris brun à brun gris.
 *SUR : 1294 *Rel. indét. : 1278 ; 1282

*Hz/Us : 1139 *Fait : MR1139 *Ens. : MUR1139
 *Type Us : composite *Ident. : fondations et élévation de mur *Sect. : B-02
 *N° Planche-s (n°Us / Fait / Ens.) : 008, 050, 051, 066, 067, 068, 070
 *Rem. : Mur NNO/SSE.
 -Mur 1139-A (<=> 1121-A) = reprise de 1139-B après 1825 ap., encore en élévation en juillet 2021 (voir cadastre de 2021).
 -Fondation 1139-B <=> 1121-B2.

*Z sol 2018 ap. : 43,85 *Z sup. obs. ou niv. décap. (m NGF) : > 43,85

*Tech. fle. : mécanique *% flé : 60

*Forme (plan) : linéaire *Profil : vertical fond plat

**Dim. max. obs (m) : *Long. : 7 *larg. : 0,65 *Prof./Ht (obs. / restit.) : > 3 (élev. + fd)

*Mur 1139-A :

-1139-A1 (<=> 1121-A1) : Elévation (L : env. 7 m ; l. : 0,55 m ; Ht : > 2 m). Double parement de moellons plus ou moins équarris, calcaires et silico-calcaires, calage interne de pierres, liés au mortier sableux/sablonneux brun orangé à jaunâtre.

-1139-A2 (<=> 1121-A2) : Fondation (L : env. 7 m ; l. : 0,65 m ; P : 0,5 m). Double parement de moellons plus ou moins équarris, principalement silico-calcaires, calage interne de pierres, liés au mortier sableux/sablonneux brun orangé et à la terre. CP1252 = fond à 43,00 m NGF.

*Mur 1121-B :

-1121-B (<=> 1121-B2) : Fondation (en partie conservée sous 1139-A2 ; L : 7 m ? ; l. : 0,65 m ; P : 0,25 m). Double parement sommaire / vrac de pierres principalement de calcaire blanc, liées à la terre. CP1252 = fond à 42,70 m NGF.

*SOUS : 1424 *SUR : 1292 *Synch. : 1121 ; 1128

*Hz/Us : 1140 *N° diag. : CAV-01

*Type Us : n° décapage / ramassage de mobilier

*Ident. : fosses / cave *Sect. : B-02

*N° Planche-s (n°Us / Fait / Ens.) : 008

*Rem. : 1228 + 1229 + 1232 + 1233 + 1235 entre 42,25 et 42,00 NGF.

*Z sol 2018 ap. : 43,8

*Hz/Us : 1141 *Fait : TR1141 *Ens. : BAT1126

*Type Us : composite *Ident. : tranchée de récupération *Sect. : B-01

*N° Planche-s (n°Us / Fait / Ens.) : 006, 026, 027, 028, 029, 066, 067

*Z sol 2018 ap. : 43,7 *Z sup. obs. ou niv. décap. (m NGF) : 43,05

*Tech. fle. : mécanique *% flé : ?

*Forme (plan) : linéaire *Profil : évasé à vertical à fond lég. concave

**Dim. max. obs (m) : *Long. : ≥ 4,8 ? *larg. : 0,7

*Prof./Ht (obs. / restit.) : 0,85

*Descri. :

-1141-A1 = 1416-c : Comblement de récupération. Couche de mottes d'ALS jaunâtre.

-1141-A2 : Comblement de récupération. LAS/ALS brun à brun jaunâtre, plages de mottes brun gris et gros cailloutis / petites pierres calcaires épars, frags de tuiles plates à crochet épars à erratiques.

-1141-B : Creusement de fondation / récupération.

-Fond à 42,20 m NGF.

*SOUS : 1416 *SUR : 1142 ? ; 1292 ; 1417 *Synch. : 1126 ; 1137 ; 1414 ? *Rel. indét. : 1142

*Hz/Us : 1142 *Fait : FS1142

*Type Us : composite *Ident. : Fosse profonde en fût /

en puits *Sect. : B-01, B-02

*N° Planche-s (n°Us / Fait / Ens.) : 006, 008, 066, 067, 124

*Z sol 2018 ap. : 43,75 *Z sup. obs. ou niv. décap. (m NGF) : 43,00 / 43,25

*Tech. fle. : méc. + man. *% flé : 50

*Forme (plan) : circulaire *Profil : évasé à vertical / en sape à fond plat

**Dim. max. obs (m) : *Diam. : 1,1 *Prof./Ht (obs. / restit.) : 2,75 / 3

*FS1142 :

-1142-a : LAS brun gris sombre, petit cailloutis blanc épars à erratique, rares frags de tuiles plates à crochet.

-1142-b : Grosses mottes LAS brun gris sombre

à noirâtre et brunes (encaissant I remanié / effondrement), petit cailloutis blanc épars à erratique.

-1142-c : LAS brun gris sombre, petit cailloutis blanc épars à erratique, rares frags de tuiles plates à crochet.

-1142-d : ALS jaune à calcaire (encaissant II remanié).

-1142-e : Litages de LA gris sombre à noirâtre et "tourbeux" bariolé "lie de vin", petit cailloutis blanc épars à erratique.

-1142-f : Creusement.

-Fond à 40,25 m NGF. Altération blanchie hydromorphe des parois de l'encaissant "loessique".

*Encaissants holocène et pléistocènes :

-I : Sol brun, LA brun orangé.

-II-1 : Lit de cailloutis anguleux / calcaire dégradé.

-II-2 : LAS / ALS beige à jaunâtre, éléments de calcaire dégradé épars à erratiques.

-II-3 : LAS / ALS jaune orangé, éléments de calcaire dégradé épars à erratiques.

*SOUS : 1135 ; 1415 *SUR : 1278 ; 1259 ; 1407 ; 1419 ? *Rel. indét. : 1141 ; 1292 ; 1419

*Hz/Us : 1143 *Fait : FS1143 *N° diag. : CAV-02

*Type Us : composite *Ident. : fosse *Sect. : B-01

*N° Planche-s (n°Us / Fait / Ens.) : 006, 026, 027, 065

*Z sol 2018 ap. : 43,6 *Z sup. obs. ou niv. décap. (m NGF) : 42,3

*Tech. fle. : mécanique *% flé : 95

*Forme (plan) : ovale *Profil : évasé à fond lég. concave

**Dim. max. obs (m) : *Long. : 2,5 *larg. : 1,7 *Prof./Ht (obs. / restit.) : 0,6

*Descri. :

-1143-a : LAS brun gris à gris, frags abondants de calcaire blanc / plâtre et tuiles plates à crochets, charbons épars à erratiques.

-1143-b : LAS/ALS brun à gris brun, charbons et cailloutis épars à erratiques.

-Fond à 41,70 m NGF.

*SOUS : 1419 *SUR : 1294 *Synch. : 1146 ? *Rel. indét. : 1146

*Hz/Us : 1144

*Type Us : anomalie ; non-retenu *Ident. : néant/annulé

*Rem. : Anomalie, terriers dans l'HZ1294.

*Hz/Us : 1145 *Fait : FS1145
 *Type Us : composite *Ident. : fosse *Sect. : B-01
 *N° Planche-s (n°Us / Fait / Ens.) : 006
 *Z sol 2018 ap. : 43,65 *Z sup. obs. ou niv. décap. (m NGF) : ≥ 42,40
 *Tech. fle. : méc. + man. *% flé : 100
 *Forme (plan) : circulaire *Profil : cuvette
 **Dim. max. obs (m) : *Diam. : 0,55 *Prof./Ht (obs. / restit.) : ≥ 0,25
 *Descri. :
 -LAS grun brun sombre.
 *SUR : 1294 *Rel. indét. : 1278 ; 1419

*Hz/Us : 1146 *Fait : FS1146
 *Type Us : composite *Ident. : fosse *Sect. : B-01
 *N° Planche-s (n°Us / Fait / Ens.) : 006, 065
 *Z sol 2018 ap. : 43,6 *Z sup. obs. ou niv. décap. (m NGF) : 42,5
 *Tech. fle. : mécanique *% flé : 100
 *Forme (plan) : ovale *Profil : évasé à vertical fond plat oblique
 **Dim. max. obs (m) : *Long. : 1,25 *larg. : 0,85
 *Prof./Ht (obs. / restit.) : 0,65
 *Descri. :
 -LAS brun gris à gris, frags abondants de calcaire blanc / plâtre et de tuiles plates à crochets.
 -Fond à 41,85 m NGF.
 *SOUS : 1292 ; 1419 ? *SUR : 1259 ; 1407 *Synch. : 1143 ? *Rel. indét. : 1143 ; 1419

*Hz/Us : 1147 *Fait : FS1147
 *Type Us : composite *Ident. : Fosse profonde en fût / tronconique *Sect. : B-01
 *N° Planche-s (n°Us / Fait / Ens.) : 006, 066, 067, 124
 *Z sol 2018 ap. : 43,7 *Z sup. obs. ou niv. décap. (m NGF) : 43,00 / 43,15
 *Tech. fle. : mécanique *% flé : 100
 *Forme (plan) : ovale *Profil : vertical à tronconique / en sape à fond lég concave.
 **Dim. max. obs (m) : *Long. : 1,3 *larg. : 1,05
 *Prof./Ht (obs. / restit.) : 2,80 / 2,95
 *FS1147 :
 -1147-a : LAS brun gris sombre, petit cailloutis blanc épars à erratique, rares frags de tuiles plates à crochet.
 -1147-b : Grosses mottes LAS brun gris et brun orangé (encaissant I remanié / effondrement).
 -1147-c : LAS brun gris sombre à noirâtre, petit cailloutis blanc épars à erratique, rares frags de tuiles plates à crochet.
 -1147-d1 : Mottes de LAS gris brun sombre, brunes et d'ALS jaunâtre (encaissant II remanié).
 -1147-d2 : ALS jaune (encaissant II remanié).
 -1147-e : Au moins 5 litages alternant LA gris sombre et sédiment "tourbeux" couleur rouille à "lie de vin", petit cailloutis et mottes d'ALS jaune / calcaires épars à erratiques.
 -1147-f : Creusement.
 -Fond à 40,20 m NGF. Sur le fond, fine altération blanchie hydromorphe de l'encaissant "lössique".
 *Encaissants holocène et pléistocènes :

-I : Sol brun, LA brun orangé.
 -II-1 : Horizon de cailloutis anguleux / calcaire dégradé épars à erratiques.
 -II-2a : LAS / ALS beige à jaunâtre.
 -II-2b : LAS / ALS beige à jaunâtre, éléments de calcaire dégradé épars à abondants.
 -II-3 : LAS / ALS jaunâtre, éléments de calcaire dégradé épars à erratiques.
 *SOUS : 1149 ; 1415 *SUR : 1278 ; 1259 *Synch. : 1142 ? *Rel. indét. : 1292

*Hz/Us : 1148 *Fait : FO1148 *Ens. : SFO1148
 *Type Us : composite *Ident. : fossé *Sect. : B-01, B-02
 *N° Planche-s (n°Us / Fait / Ens.) : 006, 008, 062
 *Rem. : S'aligne sur le fossé 1248.
 *Z sol 2018 ap. : 43,60 / 43,70 *Z sup. obs. ou niv. décap. (m NGF) : 42,65
 *Tech. fle. : méc. + man. *% flé : 100
 *Forme (plan) : linéaire *Profil : évasé fond arrondi
 **Dim. max. obs (m) : *Long. : >13 *larg. : <1,1
 *Prof./Ht (obs. / restit.) : 0,5
 *Descri. :
 -LAS brun beige foncé à gris beige, cailloutis / petites pierres silico-calcaires éparses, tessons et frags de tuiles gallo-romains erratiques.
 -Fond à 42,15 m NGF.
 *SOUS : 1278 *SUR : 1247 ; 1294 *Synch. : 1248
 *Egal. : 1248

*Hz/Us : 1149 *Fait : FS1149
 *Type Us : composite *Ident. : fosse *Sect. : B-01
 *N° Planche-s (n°Us / Fait / Ens.) : 006, 066, 067
 *Z sol 2018 ap. : 43,7 *Z sup. obs. ou niv. décap. (m NGF) : 43,00 / 43,15
 *Tech. fle. : mécanique *% flé : 100
 *Forme (plan) : subrectangulaire *Profil : évasé à vertical à fond lég. concave
 **Dim. max. obs (m) : *Long. : >1,7 *larg. : >0,9
 *Prof./Ht (obs. / restit.) : 0,95 / 1,1
 *Descri. : Frags abondants de calcaire blanc et de tuiles plates à crochet, cailloutis et LAS gris brun.
 *SOUS : 1415 *SUR : 1147 *Rel. indét. : 1292 ; 1416

*Hz/Us : 1150 *Fait : FS1150 *Ens. : FSA1398
 *Type Us : composite *Ident. : fosse / négatif de structure bâtie ? *Sect. : B-01
 *N° Planche-s (n°Us / Fait / Ens.) : 006
 *Rem. : Démolition août 2021 ap.
 *Z sol 2018 ap. : 43,65 *Z sup. obs. ou niv. décap. (m NGF) : 43,25
 *Tech. fle. : mécanique *% flé : 100
 *Forme (plan) : rectangulaire *Profil : vertical fond plat
 **Dim. max. obs (m) : *Long. : 1,85 *larg. : 1,65
 *Prof./Ht (obs. / restit.) : 1,25 ?
 *Descri. :
 -Sous pavés / grave.
 -Bâti arraché ? Comblé par démolition 08 / 2021 ap.
 -Surcreusement de la FS1398 ?

-Fond à env. 42,00 m NGF.

*SUR : 1415 *Synch. : 1398

*Hz/Us : 1151 *Fait : EX1151

*Type Us : composite *Ident. : excavation / cave ?

*Sect. : B-01

*N° Planche-s (n°Us / Fait / Ens.) : 003, 006, 022, 023, 024, 025, 065, 066, 103, 104, 111

*Rem. : Cave récupérée ?

-Liée au bassin 1381 ?

-Tronquée par la cave 1380.

-Partiellement dégagée en limite de fouille.

*Z sol 2018 ap. : 43,6 *Z sup. obs. ou niv. décap. (m NGF) : 42,85

*Tech. fle. : mécanique *% flé : ?

*Forme (plan) : quadrangulaire ? (angle dégagé = env. 100°) *Profil : vertical, avec 1 palier, fond plat.

**Dim. max. obs (m) : *Long. : 4,85 *larg. : >3,2

*Prof./Ht (obs. / restit.) : 1,85

*Descri. :

-1151-A <=> 1171-A <=> 1381-A1 : Remblais d'abandon / scellement après récupération. Litages massifs de LAS brun à gris avec frags plus ou moins abondants de calcaire blanc (/ et chaux ?), frags de tuiles plates à crochets et mottes jaunâtres épars à erratiques.

-1151-B : Quelques grandes pierres silico-calcaires (L. max. : env. 0,5) de chant conservées sur le bord des creusement 1151-C1 et 1151-C2.

-1151-C : Creusement en paliers. Sur fosses de construction (1381-D) du bassin 1381-C.

1151-C1 : Partie supérieur avec palier d'env. 0,8 m de large à env. 41,50 m NGF. L. = 3,5 ; l. : >3,2 ; P. : 1,45.

1151-C2 : Fond / surcreusement inférieur. L. : 3,9 ; l. : >2,5 ; P. : 0,5 ; CP1525-C = fond à 41 m NGF.

*SOUS : 1380 *SUR : 1419 *Synch. : 1381 ? *Rel. indét. : 1292

*Hz/Us : 1152 *Fait : MR1152 *Ens. : CAV1135

*Type Us : composite *Ident. : mur contemporain

*Sect. : B-02

*N° Planche-s (n°Us / Fait / Ens.) : 008, 070

*Rem. : Mur Nord de la cave 1135, se prolongeant vers la limite orientale bâtie de parcelle. Fondation + élévation.

-Bâtiment en élévation en juillet 2021 ap. (non figuré sur le cadastre de 1826, apparaît sur photo aérienne de 1950-1965 ap.).

*Z sol 2018 ap. : 43,70 *Z sup. obs. ou niv. décap. (m NGF) : 43,7

*Tech. fle. : mécanique *% flé : ?

*Forme (plan) : linéaire *Profil : vertical fond plat

**Dim. max. obs (m) : *Long. : 6 *larg. : 0,5 *Prof./Ht (obs. / restit.) : > 4,3 (élévation + fondation)

*Descri. :

-Double parement de moellons / pierres principalement silico-calcaires, liés au mortier sableux brun orangé à beige jaunâtre.

-Fond des fondations : env. 41,40 m NGF.

*SUR : 1413 *Synch. : 1153 *Egal. : 1135

*Hz/Us : 1153 *Fait : MR1153 *Ens. : CAV1135

*Type Us : composite *Ident. : mur contemporain

*Sect. : B-01, B-02

*N° Planche-s (n°Us / Fait / Ens.) : 006, 008, 070

*Rem. : Mur Sud de la cave 1135, se prolongeant vers la limite orientale bâtie de parcelle. Fondation + élévation.

-Bâtiment en élévation en juillet 2021 ap. (non figuré sur le cadastre de 1826, apparaît sur photo aérienne de 1950-1965 ap.).

*Z sol 2018 ap. : 43,70 *Z sup. obs. ou niv. décap. (m NGF) : 43,7

*Tech. fle. : mécanique *% flé : ?

*Forme (plan) : linéaire *Profil : vertical fond plat

**Dim. max. obs (m) : *Long. : 6 *larg. : 0,4 / 0,6

*Prof./Ht (obs. / restit.) : > 4,3 (élévation + fondation)

*Descri. :

-Double parement de moellons / pierres principalement silico-calcaires, liés au mortier sableux brun orangé à beige jaunâtre.

-Fond des fondations (l. : 0,6 m) : env. 41,40 m NGF.

*SUR : 1413 *Synch. : 1152 *Egal. : 1135

*Hz/Us : 1154 *Fait : FD1154

*Type Us : composite *Ident. : fondation de mur

*Sect. : C-01

*N° Planche-s (n°Us / Fait / Ens.) : 007, 056, 068, 070

*Rem. : Limite OSO/ENE figurée sur le cadastre de 1826.

-Moins profonde que celles des MR1154 et MR1157.

-Sous carrelage TAQ 2021 ap. (LO-P1000708).

-Trace de l'élévation (plâtrée), encore visible sur la limite orientale bâtie de parcelle.

*Z sol 2018 ap. : 43,70 *Z sup. obs. ou niv. décap. (m NGF) : 43,5

*Tech. fle. : mécanique *% flé : ?

*Forme (plan) : linéaire *Profil : évasé à vertical à fond lég. concave

**Dim. max. obs (m) : *Long. : 5,7 *larg. : 0,7 *Prof./Ht (obs. / restit.) : 0,55

*Descri. :

-Moellons / pierres de calcaire blanc et silico-calcaires, de tailles hétérogènes, plus ou moins organisés en parements, liés à la terre.

-CP1285 : fond à 42,95 m NGF.

*SUR : 1422 ; 1429 *Synch. : 1154

*Hz/Us : 1155 *Fait : FD1155

*Type Us : composite *Ident. : fondation de mur

*Sect. : C-01

*N° Planche-s (n°Us / Fait / Ens.) : 007, 057, 065, 066, 067

*Rem. : Mur OSO/ENE.

-Tronquée par l'EX1421.

*Z sol 2018 ap. : 43,70 *Z sup. obs. ou niv. décap. (m NGF) : 43,2

*Tech. fle. : mécanique *% flé : ?

*Forme (plan) : linéaire *Profil : vertical fond plat

**Dim. max. obs (m) : *Long. : >5 ? *larg. : 0,6

*Prof./Ht (obs. / restit.) : 0,45

***Descri. :**

-Double parement de pierres / moellons plus ou moins équarris, liés au mortier sableux fin compact jaune.

-CP1209 : fond à 42,75 m NGF.

*SOUS : 1421 ; 1422 *SUR : 1259 *Rel. indét. : 1176 ; 1208

*Hz/Us : 1156 *Fait : MR1156

*Type Us : composite *Ident. : mur contemporain

*Sect. : C-01

*N° Planche-s (n°Us / Fait / Ens.) : 007, 058, 068, 070

*Rem. : En élévation en juillet 2021. Elévation détruite en août 2021 (non observée).

-Figuré sur cadastre de 1826.

*Z sol 2018 ap. : 43,70 *Z sup. obs. ou niv. décap. (m NGF) : 43,7

*Tech. fle. : mécanique *% flé : ?

*Forme (plan) : linéaire *Profil : évasé à vertical à fond lég. concave

**Dim. max. obs (m) : *Long. : 5,5 *larg. : 0,6 *Prof./Ht (obs. / restit.) : >2,7 (élévation + fondation)

*Descri. :

-Fondation (P. : 0,7 m) : moellons / pierres de calcaire blanc et silico-calcaires, de tailles hétérogènes, plus ou moins organisés en parements. Liés à la terre.

-CP1202 : fond à 43,00 m NGF.

*SUR : 1191 ; 1422 *Synch. : 1154 ; 1157 ?

*Hz/Us : 1157 *Fait : MR1157

*Type Us : composite *Ident. : mur *Sect. : C-01

*N° Planche-s (n°Us / Fait / Ens.) : 007, 014, 015, 058, 059, 068, 070, 114, 115

*Rem. : Bâtiment figuré sur le cadastre de 1826.

-Encore en élévation en juillet 2021 ap. (Brasserie-Bistrot "L'Écrivain" ...).

-Elévation démolie en août 2021 (non observée).

*Z sol 2018 ap. : 43,6 *Z sup. obs. ou niv. décap. (m NGF) : 43,50 (fondation)

*Tech. fle. : sondé méca. *% flé : ?

*Forme (plan) : linéaire *Profil : évasé à vertical à fond plat

**Dim. max. obs (m) : *Long. : >10 ? *larg. : 1 (fondation) *Prof./Ht (obs. / restit.) : >1,8 (fondation)

*Descri. :

-1157-A2 (fondation) : Double parement, plus ou moins homogène, de moellons plus ou moins équarris et pierres, principalement silico-calcaires et de calcaire blanc, avec quelques grès, avec calage interne de pierres, liés à la terre.

-1157-B : Creusement / tranchée de fondation

(CP1199-a).

-CP1205-b : Fond en deçà de 41,95 m NGF.

-Mur NNO/SSE. -Sur fosse 1181, fond en deçà de 41,70 m NGF.

-CP1199-a (1168) : Fond à 42;50 m NGF.

*SOUS : 1158 *SUR : 1162 ; 1181 ; 1191 ; 1430

*Synch. : 1156 ? ; 1158 ? *Egal. : 1168

*Hz/Us : 1158 *Fait : FD1158

*Type Us : construite *Ident. : parement de fondation

de mur *Sect. : C-01

*N° Planche-s (n°Us / Fait / Ens.) : 007, 059, 068

*Rem. : En limite de fouille. Partiellement mis au jour (CP1205-b).

-S'appuie contre la fondation du MR1157.

-Tronqué par le remblai 1194-A et la fosse aménagée 1195.

*Z sol 2018 ap. : 43,60 *Z sup. obs. ou niv. décap. (m NGF) : 43,2

*Tech. fle. : non-fouillé *% flé : 0

*Forme (plan) : linéaire *Profil : bord Sud vertical

**Dim. max. obs (m) : *Long. : > 1,6 *larg. : ≥ 0,5 ?

*Prof./Ht (obs. / restit.) : > 1,25

*Descri. :

-1158-A1 : Parement de moellons / pierres silico-calcaires non calibrés, liés à la terre. Ht. conservée = 0,75 m.

-1158-A2 = 1217 : Parement de fondation dans surcreusement de l'EX1162. En léger ressaut sous 1158-A1. L. = 0,75 ; l. > 0,3 ; Ht > 0,55 / 0,65 m.

Moellons et pierres silico-calcaires liés à la terre.

CP1205-b = fond en deçà de 41,95 m NGF.

-1158-B : Creusement / tranchée de fondation.

*SOUS : 1194 ; 1195 *SUR : 1157 ; 1162 *Synch. : 1217

*Hz/Us : 1159 *Fait : PT1208

*Type Us : comblement *Ident. : puits *Sect. : C-01

*N° Planche-s (n°Us / Fait / Ens.) : 007, 057

*Rem. : Voir 1208.

*Z sol 2018 ap. : 43,70 *Z sup. obs. ou niv. décap. (m NGF) : 43,25

*Tech. fle. : mécanique *% flé : 100

**Dim. max. obs (m) : *Prof./Ht (obs. / restit.) : 0,95

*Descri. : 1159 = 1208-A3 : Vrac de gros frags de plâtre / calcaire blanc et de tuiles plates à crochet.

*SOUS : 1208-A2 *Egal. : 1208-A3

*Hz/Us : 1160 *Fait : MR1157

*Type Us : composite, DOUBLON *Ident. : fondation de mur

*Rem. : Partie Ouest de la FD1157 dans la coupe

*Egal. : 1157

*Hz/Us : 1161 *Fait : SB1161

*Type Us : composite *Ident. : fond de fondation / de fosse aménagée ? *Sect. : C-01

*N° Planche-s (n°Us / Fait / Ens.) : 007, 068, 070

*Rem. : Tronquée au décapage par le sondage mécanique 1169.

-Contre et le long du bord NO de la fondation 1157.

-Contrefort ? "Banquette" ?

*Z sol 2018 ap. : 43,60 *Z sup. obs. ou niv. décap. (m NGF) : 43,5

*Tech. fle. : mécanique *% flé : ?

*Forme (plan) : linéaire *Profil : évasé à vertical à fond plat

**Dim. max. obs (m) : *Long. : > 0,85 *larg. : > 0,65

*Prof./Ht (obs. / restit.) : 1,4

*Descri. : *Niveau du décapage = 42,60 m NGF.

-1161-A : Pierres / moellons calcaires / silico-calcaires, 1 pavé de grès conservé en parement contre 1157, liés au plâtre blanc et LAS gris.

-1161-B1 : LAS brun sombre à gris, petit cailloutis blanc épars.

-1161-B2 : Liseré charbonneux noirs et gros charbons de bois épars.

-1161-C : Creusement.

-CP1215 et 1218 : Fond à 42,10 m NGF.

*SUR : 1157 ; 1207

*Hz/Us : 1162 *Fait : EX1162

*Type Us : composite *Ident. : excavation *Sect. : C-01

*N° Planche-s (n°Us / Fait / Ens.) : 007, 059, 060, 067
*Rem. : Tronquée par l'EX1165 et les FD1157 et 1158.

*Z sol 2018 ap. : 43,60 *Z sup. obs. ou niv. décap. (m NGF) : 43,1

*Tech. fle. : méc. + man. *% flé : ?

*Forme (plan) : indéterminée tronquée *Profil : évasé à vertical (?) avec palier

**Dim. max. obs (m) : *Long. : > 3,8 *larg. : > 2,4

*Prof./Ht (obs. / restit.) : > 1

*Descri. : *CP1193 :

-1162-A1 : LAS brun clair, gros cailloutis anguleux épars.

-1162-A2 : LAS brun à gris brun, gros cailloutis anguleux / petites pierres / frags de plâtre épars à abondants.

-1162-A3 : LAS gris brun foncé, gros cailloutis anguleux épars.

-1162-A4 : LAS brun clair, gros cailloutis anguleux épars.

-1162-A5 : LAS gris brun foncé, gros cailloutis anguleux épars.

-1162-A6 : LAS brun clair, gros cailloutis anguleux épars.

-1162-A7 : LAS gris brun foncé, cailloutis anguleux épars, tessons épars à erratiques.

-1162-A8 : LAS brun clair, cailloutis anguleux épars.

-1162-A9 : LAS gris brun sombre, cailloutis anguleux épars, tessons épars à erratiques.

-1162-B : Creusement. Palier à environ 42,50 m NGF (bord Nord) et à environ 42,25 m NGF (bord Sud, sous 1163).

-Fond non atteint, en deçà de 42,10 m NGF.

*SOUS : 1157 ; 1158 ; 1165 *SUR : 1181 ; 1201 ?

*Egal. : 1163 *Rel. indét. : 1201

*Hz/Us : 1163 *Fait : EX1162

*Type Us : comblement *Ident. : excavation *Sect. : C-01

*N° Planche-s (n°Us / Fait / Ens.) : 007

*Rem. : Partiellement fouillée.

-Bord / "palier" Sud de l'excavation 1162.

-Tronqué par l'EX1165.

*Z sol 2018 ap. : 43,60 *Z sup. obs. ou niv. décap. (m NGF) : > 42,45

*Tech. fle. : méc. + man. *% flé : ?

**Dim. max. obs (m) : *Prof./Ht (obs. / restit.) : > 0,2

*Descri. : *CP1169-Est : niv. décap. = 42,45 m NGF.

-1163-a : Mottes de LAS gris brun sombre et brun foncé.

-1163-b : LAS gris et petit charbons épars.

-Fond observé dans sondage / surdécapage 1169 = 42,25 m NGF.

*SOUS : 1162-A2/3

*Hz/Us : 1164

*Type Us : anomalie ; non-retenu *Ident. : néant/annulé

*Rem. : Poche de cailloutis dans LAS jaune géologique.

*SOUS : 1163

*Hz/Us : 1165 *Fait : EX1165

*Type Us : composite *Ident. : excavation *Sect. : C-01

*N° Planche-s (n°Us / Fait / Ens.) : 007, 060, 067

*Rem. : Partiellement décapée et fouillée.

*Z sol 2018 ap. : 43,6 *Z sup. obs. ou niv. décap. (m NGF) : 43,2

*Tech. fle. : méc. + man. *% flé : ?

*Forme (plan) : ovulaire ? *Profil : évasé (bord Nord) à vertical (bord Sud)

**Dim. max. obs (m) : *Long. : 4,8 ? *larg. : > 2

*Prof./Ht (obs. / restit.) : > 1,1

*Descri. :

-1165-A1a : LAS/ALS brun et petites pierres / gros cailloutis anguleux abondants à épars, frags de plâtre et de tuiles plates à crochet épars à erratiques.

-1165-A1b : (partie Sud) Liseré/ fine couche de charbons de bois.

-1165-A1c : Idem A1a.

-1165-A2 : LAS Brun gris clair, gros cailloutis épars.

-1165-A3 : (bord/paroi Nord) Fine couche (< 0,1 m) de LAS gris brun sombre.

-1165-B : Creusement.

-Fond non atteint, en deçà de 42,10 m NGF.

*SOUS : 1157 ? ; 1194 *SUR : 1162 ; 1201 *Rel.

indét. : 1157

*Hz/Us : 1166 *Fait : FS1166

*Type Us : composite *Ident. : fosse / tranchée ?

*Sect. : C-01

*N° Planche-s (n°Us / Fait / Ens.) : 007, 014, 015, 066
*Rem. : Partiellement décapée, en limite de fouille (CP1199-a).

*Z sol 2018 ap. : 43,60 *Z sup. obs. ou niv. décap. (m NGF) : 42,75

*Tech. fle. : méc. + man. *% flé : ?

*Forme (plan) : rectangulaire *Profil : évasé à vertical à fond plat

**Dim. max. obs (m) : *Long. : > 0,9 *larg. : 0,65

*Prof./Ht (obs. / restit.) : 0,25

*Descri. :

-1166-a : LAS / ALS brun.

-1166-b : Mottes de LAS / ALS brun à brun jaunâtre et de LAS gris brun avec charbons épars.

-1166-c : LAS gris brun, petits charbons épars à erratiques.

-1166-d : Creusement sur FS1236.
-Fond à 42,50 m NGF.
*SOUS : 1201 *SUR : 1200 ; 1236

*Hz/Us : 1167 *Fait : PO1167
*Type Us : composite *Ident. : trou de poteau *Sect. : C-01
*N° Planche-s (n°Us / Fait / Ens.) : 007
*Rem. : Tronqué par la fondation 1157 = 1168.
*Z sol 2018 ap. : 43,60 *Z sup. obs. ou niv. décap. (m NGF) : 42,55
*Tech. fle. : manuelle *% flé : 100
*Forme (plan) : circulaire *Profil : vertical fond arrondi
**Dim. max. obs (m) : *Diam. : 0,4 *Prof./Ht (obs. / restit.) : 0,25
*Descri. : LAS brun sombre, rares nodules rubéfiés.
*SOUS : 1157 ; 1168 *SUR : 1203 ; 1204

*Hz/Us : 1168 *Fait : MR1157
*Type Us : composite, DOUBLON *Ident. : fondation de mur *Sect. : C-01
*N° Planche-s (n°Us / Fait / Ens.) : 007
*Rem. : Voir MR1157.
-1168 = 1157 dans la coupe 1199-a.
*SUR : 1430 *Egal. : 1157

*Hz/Us : 1169 *Fait : SD1169
*Type Us : sondage / surdécapage
*Sect. : C-01
*N° Planche-s (n°Us / Fait / Ens.) : 007
*Rem. : Surdécapage en dessous du Sol Brun dans le secteur de la cave 1211.
*Z sol 2018 ap. : 43,60 *Z sup. obs. ou niv. décap. (m NGF) : 42,45
*Tech. fle. : mécanique
**Dim. max. obs (m) : *Long. : 3,5 *larg. : 3,5 *Prof./Ht (obs. / restit.) : 0,2

*Hz/Us : 1170 *Fait : FS1170
*Type Us : composite *Ident. : fosse *Sect. : B-01
*N° Planche-s (n°Us / Fait / Ens.) : 006
*Z sol 2018 ap. : 43,6 *Z sup. obs. ou niv. décap. (m NGF) : ≥ 42,50
*Tech. fle. : méc. + man. *% flé : 100
*Forme (plan) : oblongue *Profil : évasé fond arrondi
**Dim. max. obs (m) : *Long. : > 1,15 *larg. : > 0,5
*Prof./Ht (obs. / restit.) : ≥ 0,35
*Descri. : LAS gris brun sombre, petites mottes brun beige, cailloutis et charbons épars à erratiques.
*SUR : 1294 *Rel. indéf. : 1197 ; 1278

*Hz/Us : 1171 *Fait : FS1171 *Ens. : BAS1381
*Type Us : composite *Ident. : fosse *Sect. : B-01
*N° Planche-s (n°Us / Fait / Ens.) : 006, 065, 104
*Rem. : Excroissance semi-circulaire sur le bord Nord du creusement du puits 1381.
-Surdécapé.
*Z sol 2018 ap. : 43,6 *Z sup. obs. ou niv. décap. (m NGF) : 42,9

*Tech. fle. : mécanique *% flé : 100
*Forme (plan) : semi-circulaire *Profil : évasé à vertical à fond lég. concave
**Dim. max. obs (m) : *Long. : > 1 *larg. : > 0,9
*Prof./Ht (obs. / restit.) : 1,1
*Descri. :
-1171-A1 : Litage de 1381-A1, frags de calcaire blanc très abondants et LAS gris clair, quelques frags de tuiles plates à crochet.
-1171-A2 : Litage de 1381-A1, LAS gris brun et frags de calcaire blanc épars.
-Fond à 41,80 m NGF.
-1171-B : Creusement de fondation / récupération.
-1171-C : Petit surcreusement en cuvette (larg. : 0,3 m ; P. : 0,1) sur le fond du bord N, contenant du LAS gris foncé et petits charbons épars. Fond de creusement antérieur ?
*SOUS : 1415 ; 1526 *Synch. : 1172 ; 1381

*Hz/Us : 1172 *Fait : BS1381 *Ens. : BAS1381
*Type Us : composite *Ident. : remblais de récupération / scellement *Sect. : B-01
*N° Planche-s (n°Us / Fait / Ens.) : 006, 105, 106
*Rem. : = 1381-A <=> 1151-A
*Z sol 2018 ap. : 43,60 *Z sup. obs. ou niv. décap. (m NGF) : 43
*Tech. fle. : méc. + man. *% flé : 100
**Dim. max. obs (m) : *Long. : 3 *larg. : 2,85 *Prof./Ht (obs. / restit.) : 2,9
*Descri. :
-1172-A1 = 1381-A1 <=> 1151-A : Remblais d'abandon / scellement après récupération. Litages massifs de LAS brun à gris avec frags plus ou moins abondants de calcaire blanc (/ et chaux ?), frags de tuiles plates à crochets et mottes jaunâtres épars à erratiques.
-1172-A2 = 1381-A2 = LA/LAS brun sombre à gris foncé, gros cailloutis calcaire petites mottes d'ALS jaunâtre, frags rubéfiés et de tuiles plates à crochet épars à erratiques.
-1172-A3 = 1381-A3 <=> 1151-B : Creusement de récupération / démolition du bassin 1381-C.
-Fond (= fond 1381-C/D) ; 40,10 m NGF.
*SOUS : 1379 ; 1380 ; 1526 *SUR : 1381-B *Synch. : 1151-A *Egal. : 1173-A ; 1381-A

*Hz/Us : 1173 *Fait : FS1173 *Ens. : CAV1380
*Type Us : composite *Ident. : fosse *Sect. : B-01
*N° Planche-s (n°Us / Fait / Ens.) : 006, 105, 106
*Rem. : Comblement = 1526-A.
-Voir coupe 1296.
-Liée à l'installation de l'angle des murs 1379 / 1380 de la cave 1380 sur le bassin 1381-C.
*Z sol 2018 ap. : 43,60 *Z sup. obs. ou niv. décap. (m NGF) : 43,00 ?
*Tech. fle. : mécanique *% flé : 100
*Forme (plan) : excroissance arrondie *Profil : vertical (/ en sape ?)
**Dim. max. obs (m) : *Long. : 1,35 *larg. : 0,3
*Prof./Ht (obs. / restit.) :

***Descri. :**

-1173-A1 = 1526-A : Remblais d'abandon / récupération. LAS gris, cailloutis calcaire et frags de tuiles plates à crochet épars.
 -1173-A2 = 1526-B : Creusement de démolition sur MR1379.
 -1173-B1 = 1379-A2 : Calage de fondation du MR 1379 de la cave 1380. Contre encaissant lœssique II. Vrac de petites pierres calcaires anguleuses liées au mortier fin sableux beige. Apparaît à 42,00 m NGF.
 -1173-B2 (<=> 1379-B) : Creusement. Fond à 41,60 m NGF.
 *SOUS : 1415 *SUR : 1172 ; 1381-A *Egal. : 1379 ; 1526 *Rel. indé. : 1176

*Hz/Us : 1174 *Fait : PO1174

*Type Us : composite *Ident. : trou de poteau ?

*Sect. : B-01

*N° Planche-s (n°Us / Fait / Ens.) : 006

*Z sol 2018 ap. : 43,6 *Z sup. obs. ou niv. décap. (m NGF) : ≥ 42,60

*Tech. fle. : méc. + man. *% flé : 100

*Forme (plan) : circulaire *Profil : évasé à vertical à fond plat

**Dim. max. obs (m) : *Diam. : 0,3 *Prof./Ht (obs. / restit.) : ≥ 0,4

***Descri. :**

-LAS gris sombre, petits charbons et nodules rubéfiés épars.

-Fond à 42,20 m NGF.

*SUR : 1294 *Rel. indé. : 1175 ; 1278

*Hz/Us : 1175 *Fait : PO1175

*Type Us : composite *Ident. : trou de poteau ?

*Sect. : B-01

*N° Planche-s (n°Us / Fait / Ens.) : 006, 064, 102

*Z sol 2018 ap. : 43,6 *Z sup. obs. ou niv. décap. (m NGF) : ≥ 42,60

*Tech. fle. : méc. + man. *% flé : 100

*Forme (plan) : circulaire *Profil : évasé à vertical à fond lég. concave

**Dim. max. obs (m) : *Diam. : 0,3 *Prof./Ht (obs. / restit.) : ≥ 0,5

***Descri. :**

-LAS gris sombre, petits charbons et nodules rubéfiés épars.

-Fond à 42,10 m NGF.

*SOUS : 1176 *SUR : 1294 *Rel. indé. : 1174 ; 1278

*Hz/Us : 1176 *Fait : TR1176

*Type Us : composite *Ident. : tranchée de fondation récupérée *Sect. : B-01, C-01

*N° Planche-s (n°Us / Fait / Ens.) : 006, 007, 065, 066, 067

*Rem. : Surdécapée.

-Parallèle à la TR1126 et perpendiculaire aux TR1137, 1141 et 1282.

*Z sol 2018 ap. : 43,70 *Z sup. obs. ou niv. décap. (m NGF) : 43,00 ?

*Tech. fle. : méc. + man. *% flé : 100

*Forme (plan) : linéaire *Profil : évasé à vertical à fond plat

**Dim. max. obs (m) : *Long. : > 3,6 *larg. : 0,6

*Prof./Ht (obs. / restit.) : 0,75 ?

***Descri. :**

-1176-A : (<=> 1381- A ou 1526 A ?) LAS brun à gris / gris sombre, gros cailloutis calcaire épars à abondant, petits fragments de tuiles plates à crochet épars à erratiques.

-1176-B : Creusement de fondation / récupération.

-Fond à 42,25 m NGF.

*SOUS : 1156 ; 1415 ; 1422 *SUR : 1148 ; 1175 ; 1177 ; 1259 *Rel. indé. : 1155

*Hz/Us : 1177 *Fait : FS1177

*Type Us : composite *Ident. : fosse *Sect. : C-01

*N° Planche-s (n°Us / Fait / Ens.) : 007, 064, 102

*Z sol 2018 ap. : 43,7 *Z sup. obs. ou niv. décap. (m NGF) : ≥ 42,60

*Tech. fle. : méc. + man. *% flé : 100

*Forme (plan) : circulaire *Profil : évasé à vertical à fond lég. concave

**Dim. max. obs (m) : *Diam. : 0,85 *Prof./Ht (obs. / restit.) : ≥ 0,45

***Descri. :**

-LAS gris brun à gris sombre, pierre silico-calcaire, petit cailloutis épars.

-Fond à 42,15 m NGF.

*SOUS : 1176 *SUR : 1148 *Rel. indé. : 1259 ; 1278

*Hz/Us : 1178 *Fait : FS1178

*Type Us : composite *Ident. : fosse *Sect. : B-01, C-01

*N° Planche-s (n°Us / Fait / Ens.) : 006, 007

*Z sol 2018 ap. : 43,7 *Z sup. obs. ou niv. décap. (m NGF) : ≥ 42,60

*Tech. fle. : méc. + man. *% flé : 100

*Forme (plan) : subcirculaire *Profil : évasé à vertical à fond lég. concave

**Dim. max. obs (m) : *Diam. : 0,85 *Prof./Ht (obs. / restit.) : ≥ 0,45

***Descri. :**

-LAS gris brun à gris sombre, petites pierre silico-calcaires / petit cailloutis épars, petits charbons et nodules rubéfiés épars à erratiques.

-Fond à 42,15 m NGF.

*SOUS : 1422 ? *SUR : 1148 *Rel. indé. : 1176

*Hz/Us : 1179 *Fait : FO1179 *Ens. : SFO1179 ?

*Type Us : composite *Ident. : fossé *Sect. : B-01, B-02, C-01

*N° Planche-s (n°Us / Fait / Ens.) : 006, 007, 008, 056, 057, 062, 072, 095

*Rem. : Tronqué par les caves 1211 et 1135.

-S'aligne sur le fossé 1179, 15 mètres plus au SSO.

-Parallèle au fossé 1148.

*Z sol 2018 ap. : 43,60 / 43,70 *Z sup. obs. ou niv. décap. (m NGF) : 42,9

*Tech. fle. : méc. + man. *% flé : 100

*Forme (plan) : linéaire *Profil : évasé fond plat à lég. concave

****Dim. max. obs (m) : *Long. : > 13,2 *larg. : 1,2**
***Prof./Ht (obs. / restit.) : 0,6**
***Descri. :**
 -LAS / ALS Beige foncé à lég. verdâtre, petites pierres, tessons et frags. de tuiles gallo-romains épars à erratiques.
 -CP1214 : Fond à 42,20 m NGF.
 -CP1285 et 1299 : Fond à 42,05 m NGF.
***SOUS : 1197 ; 1278 *SUR : 1186 ? ; 1247 ; 1294**
***Synch. : 1518 ? *Rel. indé. : 1148 ; 1186**

***Hz/Us : 1180 *Fait : FS1180**
***Type Us : composite *Ident. : fosse (silo ?) *Sect. : C-01**
***N° Planche-s (n°Us / Fait / Ens.) : 007, 064, 102**
***Rem. : Tronquée par la fondation du mur 1188.**
 -Très probable silo médiéval.
***Z sol 2018 ap. : 43,6 *Z sup. obs. ou niv. décap. (m NGF) : ≥ 42,80 ?**
***Tech. fle. : méc. + man. *% flé : 100**
***Forme (plan) : subcirculaire *Profil : évasé à vertical / en sape à fond plat / lég. convexe**
****Dim. max. obs (m) : *Long. : 1 *larg. : 0,9 *Prof./Ht (obs. / restit.) : > 0,8 (≥ 1,15 ?)**
***Descri. :**
 -1180-a : LAS brun foncé, pierres/cailloutis et petites mottes jaunâtres / calcaires (encaissant II remanié) épars à erratiques.
 -1180-b : LAS gris à gris brun foncé, pierres/cailloutis épars à erratiques.
 -Fond à 41,65 m NGF.
***SOUS : 1188 *SUR : 1179 ; 1197 ; 1278 *Rel. indé. : 1259**

***Hz/Us : 1181 *Fait : FS1181**
***Type Us : composite *Ident. : fosse *Sect. : C-01**
***N° Planche-s (n°Us / Fait / Ens.) : 007, 066, 114, 115**
***Rem. : Surdécapée dans le SD1169.**
 -Partiellement fouillée.
 -Tronquée par la cave 1211, le mur 1157 et l'EX1162.
***Z sol 2018 ap. : 43,60 *Z sup. obs. ou niv. décap. (m NGF) : ≥ 42,90**
***Tech. fle. : méc. + man. *% flé : ?**
***Forme (plan) : ovale à irrégulière ? *Profil : vertical et en sape**
****Dim. max. obs (m) : *Long. : > 2,4 *larg. : 1,9**
***Prof./Ht (obs. / restit.) : ≥ 1,85**
***Descri. :**
 -1181-a1 : LAS gris brun sombre, gros cailloutis anguleux / frags de plâtre (dont certains avec moulure) épars à abondants, galets siliceux roulés et frags de tuiles plates à crochet erratiques.
 -1181-a2 : idem a1 mais LAS brun foncé.
 -1181-a3 : Litage idem a1 et a2.
 -1181-b1 et 2 : LAS jaunâtre et LAS beige à brun jaunâtre (encaissant II remanié).
 -1181-b3 : Liseré similaire à a1.
 -1181-b4 : LAS brun jaune à lég. orangé (encaissant II remanié).
 -1181-c : Creusement.

-CP1218 : Fond à 41,05 m NGF.
***SOUS : 1157 ; 1162 ; 1163 ; 1211 *SUR : 1197 ; 1278**

***Hz/Us : 1182**
***Type Us : n° décapage *Ident. :**
***Rem. : FS1206 + FS1207, partiellement tronquées par le SD1169.**

***Hz/Us : 1183 *Fait : EX1183 *Ens. : CAV1211**
***Type Us : composite *Ident. : excavation de récupération et remblais *Sect. : C-01**
***N° Planche-s (n°Us / Fait / Ens.) : 007, 014, 015, 016, 017, 116, 117**
***Rem. : Récupération de la cave 1211 et de son escalier 1230.**
 -1184 : Gravats d'incendie ?
***Z sol 2018 ap. : 43,50 / 43,60 *Z sup. obs. ou niv. décap. (m NGF) : 43,4**
***Tech. fle. : méc. + man. *% flé : ?**
****Dim. max. obs (m) : *Long. : 6,25 *larg. : > 4**
***Prof./Ht (obs. / restit.) : 2,1**
***Descri. :**
***1183-A et 1184 : comblements.**
 -1183-A : Litages de LAS brun et brun beige, petites pierres / gros cailloutis anguleux silico-calcaires et calcaires, plages de mortier sableux brun beige remanié, frags de tuiles plates à crochet épars à erratiques.
 -1184 -a : LAS brun foncé, frags de tuiles plates à crochet / briques abondants.
 -1184-b : LAS brun, petits frags anguleux de calcaire blanc épars à abondants.
 -1184-c1 : (gravats) Frags de calcaire blanc / plâtre, pierres calcaires et silico-calcaires et frags de tuiles plates à crochets / briques.
 -1184-c2 : (gravats) Idem c1 avec charbons épars.
 -1184-d : (gravats) Conglomérat de chaux / plâtre pulvérulent à induré (parfois rubéfié), avec inclusions de frags de tuiles plates à crochet et de calcaire beige fragmenté.
 -1184-e : (gravats) LAS brun foncé à lég. rougi, frags de calcaire et de tuiles plates à crochet / briques abondants, charbons épars.
***1183-B : Creusement de récupération / démolition.**
***SOUS : 1267-B ; 1526-B *SUR : 1212 *Synch. : 1184**
***Rel. indé. : 1380**

***Hz/Us : 1184 *Fait : EX1183 *Ens. : CAV1211**
***Type Us : comblements *Ident. : excavation de récupération et remblais *Sect. : C-01**
***N° Planche-s (n°Us / Fait / Ens.) : 007, 016, 017, 117, 118, 119, 120**
***Rem. : Gravats d'incendie ?**
***Z sol 2018 ap. : 43,50 / 43,60 *Z sup. obs. ou niv. décap. (m NGF) : 42,75**
***Tech. fle. : méc. + man. *% flé : ?**
****Dim. max. obs (m) : *Prof./Ht (obs. / restit.) : 1,45**
***Descri. :**
 -1184 -a : LAS brun foncé, frags de tuiles plates à crochet / briques abondants.

-1184-b : LAS brun, petits frags anguleux de calcaire blanc épars à abondants.

-1184-c1 : (gravats) Frags de calcaire blanc / plâtre, pierres calcaires et silico-calcaires et frags de tuiles plates à crochets / briques.

-1184-c2 :(gravats) Idem c1 avec charbons épars.

-1184-d :(gravats) Conglomérat de chaux / plâtre pulvérulent à induré (parfois rubéfié), avec inclusions de frags de tuiles plates à crochet et de calcaire beige fragmenté.

-1184-e : (gravats) LAS brun foncé à lég. rougi, frags de calcaire et de tuiles plates à crochet / briques abondants, charbons épars.

*SOUS : 1183-A *SUR : 1212 *Synch. : 1183

*Hz/Us : 1185 *Fait : MR1185

*Type Us : composite *Ident. : mur (élévation + fondation) *Sect. : C-01

*N° Planche-s (n°Us / Fait / Ens.) : 007, 016, 017, 068, 070

*Rem. : Bâtiment figuré sur le cadastre de 1826.

-Encore en élévation en juillet 2021 ap. (Brasserie-Bistrot "L'Ecrivain"...).

-Elévation démolie en août 2021 (non observée).

-Mur NNO/SSE.

*Z sol 2018 ap. : 43,6 *Z sup. obs. ou niv. décap. (m NGF) : 43,40 (fondation)

*Tech. fle. : méc. + man. *% flé : ?

*Forme (plan) : linéaire *Profil : vertical fond plat

**Dim. max. obs (m) : *Long. : 6,2 ? *larg. : 0,7

*Prof./Ht (obs. / restit.) : $\geq 1,35$ (fondation)

*Descri. :

-1185-A2 (fondation) : Double parement, plus ou moins homogène, de moellons plus ou moins équarris et pierres, principalement silico-calcaires et de calcaire blanc, avec quelques grès, avec calage interne de pierres, liés à la terre.

-1185-B : Creusement de fondation.

-CP1199-a / 1210, sur remblais 1183 et 1267-A : Fond à à 42,05 m NGF.

-Sur fosse 1180, "hors EX1267" : Fond à 42,35 m NGF.

*SUR : 1267 ; 1438 *Synch. : 1156 ; 1188 ; 1506

*Hz/Us : 1186 *Fait : FO1186

*Type Us : composite *Ident. : fossé *Sect. : C-01

*N° Planche-s (n°Us / Fait / Ens.) : 007, 057, 058, 062, 095

*Rem. : Surdécapé en partie Sud.

*Z sol 2018 ap. : 43,60 / 43,70 *Z sup. obs. ou niv. décap. (m NGF) : 42,9

*Tech. fle. : méc. + man. *% flé : ?

*Forme (plan) : linéaire *Profil : évasé fond arrondi

**Dim. max. obs (m) : *Long. : > 7 *larg. : 0,8 *Prof./Ht (obs. / restit.) : 0,55

*Descri. :

-LAS/ALS gris beige à beige lég. verdâtre, pierres silico-calcaires anguleuses abondantes à éparses/erratiques, frags de tuiles gallo-romaines épars.

-CP1209 : Fond à 42,35 m NGF.

*SOUS : 1197 ; 1278 *SUR : 1294 *Rel. indét. : 1179 ; 1517

*Hz/Us : 1187 *Fait : PO1187

*Type Us : composite *Ident. : trou de poteau ?

*Sect. : C-01

*N° Planche-s (n°Us / Fait / Ens.) : 007

*Z sol 2018 ap. : 43,7 *Z sup. obs. ou niv. décap. (m NGF) : $\geq 42,80$

*Tech. fle. : méc. + man. *% flé : 100

*Forme (plan) : circulaire *Profil : évasé à vertical à fond lég. concave

**Dim. max. obs (m) : *Diam. : 0,25 *Prof./Ht (obs. / restit.) : $\geq 0,45$

*Descri. :

-LAS gris à gris brun sombre.

-Fond à 42,35 m NGF.

*SUR : 1179 *Rel. indét. : 1197 ; 1278

*Hz/Us : 1188 *Fait : FD1188

*Type Us : composite *Ident. : fondation de mur

*Sect. : B-01, C-01

*N° Planche-s (n°Us / Fait / Ens.) : 006, 007, 068, 070, 121

*Rem. : Mur figuré sur les cadastres de 1826 et de 1969-1986.

-N'apparaît plus sur photo aérienne de 2000-2005.

-Tronqué par la démolition d'août 2021 ap.

*Z sol 2018 ap. : 43,55 *Z sup. obs. ou niv. décap. (m NGF) : 42,80 / 43,30

*Tech. fle. : mécanique *% flé : 100

*Forme (plan) : linéaire *Profil : vertical fond plat

**Dim. max. obs (m) : *Long. : 4,25 *larg. : 0,65

*Prof./Ht (obs. / restit.) : $\geq 1,75$ (fondation)

*Descri. :

-1188-A (fondation) : Double parement, plus ou moins homogène, de moellons plus ou moins équarris et pierres, principalement silico-calcaires et de calcaire blanc, avec quelques grès, avec calage interne de pierres, liés à la terre et/ ou au mortier sableux beige.

-1188-B : Creusement de fondation.

-Au contact avec 1185 : Fond à 42,40 m NGF sur Sol brun I.

-CP1378, angle avec 1506 : Fond à 41,55 m NGF sur FS1190 / remblais 1526.

*SUR : 1190 ; 1526 *Synch. : 1185 ; 1506

*Hz/Us : 1189 *Fait : FS1189

*Type Us : composite *Ident. : fosse *Sect. : B-01

*N° Planche-s (n°Us / Fait / Ens.) : 006

*Z sol 2018 ap. : 43,55 *Z sup. obs. ou niv. décap. (m NGF) : 42,75 ?

*Tech. fle. : méc. + man. *% flé : 100

*Forme (plan) : excroissance en «triangle» arrondi

*Profil : évasé à vertical à fond plat

**Dim. max. obs (m) : *Long. : 1 *larg. : 0,8 *Prof./Ht (obs. / restit.) : 0,45 ?

*Descri. :

-Comblement similaire à 1526-A.

-LAS brun gris à gris / gris brun sombre, cailloutis

calcaire / frags de plâtre et frags de tuiles plates à crochet épars à erratiques.

-Fond à 42,30 m NGF.

*SOUS : 1415 *SUR : 1197 ; 1278 ; 1279 *Synch. : 1173-A ? ; 1526-A ? *Rel. indét. : 1173-A ; 1526-A

*Hz/Us : 1190 *Fait : FS1190

*Type Us : composite *Ident. : fosse *Sect. : B-01

*N° Planche-s (n°Us / Fait / Ens.) : 006, 121

*Z sol 2018 ap. : 43,55 *Z sup. obs. ou niv. décap. (m NGF) : ≥ 42,75

*Tech. file. : mécanique *% flé : 100

*Forme (plan) : ovulaire *Profil : évasé à vertical à fond lég. concave

**Dim. max. obs (m) : *Long. : 2,1 *larg. : 1,5 *Prof./Ht (obs. / restit.) : ≥ 1,4

*Descri. :

-LA/LAS gris brun sombre à noirâtre, mottes de LAS brun et frags calcaires / de plâtre et de tuiles plates à crochet épars.

-CP1378 : Fond à 41,35 m NGF.

*SOUS : 1188 ; 1506 *SUR : 1526-A *Rel. indét. : 1415

*Hz/Us : 1191 *Fait : EX1191

*Type Us : composite *Ident. : excavation *Sect. : C-01

*N° Planche-s (n°Us / Fait / Ens.) : 007, 058, 067

*Rem. : Vue sur les coupes 1202 et 1205-a.

-Surdécapée.

*Z sol 2018 ap. : 43,6 *Z sup. obs. ou niv. décap. (m NGF) : 43,5

*Tech. file. : mécanique *% flé : ?

*Forme (plan) : indéterminée, partiellement décapé-e

*Profil : évasé à vertical à fond lég. concave

**Dim. max. obs (m) : *Long. : > 3 *larg. : > 3 *Prof./Ht (obs. / restit.) : 0,6

*Descri. :

-1191-A : LAS / ALS brun à brun jaunâtre (encaissants I et II remaniés ?), pierres calcaires et silico-calcaires abondantes à erratiques, frags rubéfiés et de tuiles plates à crochet épars à erratiques.

-1191-B : Creusement sur 1192, 1198 et 1421.

-CP1202 et 1205-a : Fond à 42,90 m NGF.

*SOUS : 1156 ; 1157 *SUR : 1192 ; 1198 ; 1421 *Rel. indét. : 1207 ; 1422

*Hz/Us : 1192 *Fait : FS1192

*Type Us : composite *Ident. : fosse «empierrée»

*Sect. : C-01

*N° Planche-s (n°Us / Fait / Ens.) : 007, 058, 067

*Rem. : Surdécapée.

-Vue sur les coupes 1202 et 1205-a.

*Z sol 2018 ap. : 43,60 *Z sup. obs. ou niv. décap. (m NGF) : 42,85

*Tech. file. : méc. + man. *% flé : ?

*Forme (plan) : indéterminée, partiellement décapé-e

*Profil : évasé fond plat horizontal

**Dim. max. obs (m) : *Long. : > 1,4 *larg. : > 1

*Prof./Ht (obs. / restit.) : 0,45

*Descri. :

-LAS gris brun sombre, petites mottes brun jaunâtre et grosses pierres (L.<0,4) éparses.

-CP1202 et 1205-a : Fond à 42,10 m NGF.

*SOUS : 1191 *SUR : 1197 *Rel. indét. : 1198

*Hz/Us : 1193 *Fait : CP1193

*Type Us : coupe

*Sect. : C-01

*N° Planche-s (n°Us / Fait / Ens.) : 007, 013, 060

*Rem. : NNO/SSE, limite de fouille SE.

*Z sol 2018 ap. : 43,60 *Z sup. obs. ou niv. décap. (m NGF) : 43,5

*Tech. file. : méc. + man.

**Dim. max. obs (m) : *Prof./Ht (obs. / restit.) : 1,4

*Descri. : Partielle sur EX1162, EX1165 et FS1236.

*Hz/Us : 1194 *Fait : RB1194 *Ens. : REM1194

*Type Us : composite *Ident. : niveau d'arasement puis remblais *Sect. : C-01

*N° Planche-s (n°Us / Fait / Ens.) : 007, 059, 060

*Rem. : CP1193 et 1205-b.

-Tronque la FD1158 en partie sup.

-Préparation de sol à l'Est de la FD1157.

*Z sol 2018 ap. : 43,60 *Z sup. obs. ou niv. décap. (m NGF) : 43,35

*Tech. file. : mécanique *% flé : ?

**Dim. max. obs (m) : *Long. : > 6 *larg. : > 2 *Prof./Ht (obs. / restit.) : 0,3

*Descri. :

-1194-A : LAS gris brun sombre, petites mottes brunes et petit cailloutis calcaire blanc épars.

-1194-B : LAS / ALS brun jaune, petites pierres calcaires éparses.

-1194-C : LAS gris brun à brun gris, petites pierres / cailloutis épars.

-1194-D : Niveau d'arasement / creusement sur FD1158 et EX1165.

*SOUS : 1195 ; 1196 *SUR : 1157 ; 1158 ; 1165

*Synch. : 1196 ?

*Hz/Us : 1195 *Fait : SB1195

*Type Us : composite *Ident. : structure bâtie excavée / fosse aménagée *Sect. : C-01

*N° Planche-s (n°Us / Fait / Ens.) : 007, 059, 060, 070

*Rem. : CP1193 et 1205-b.

-Surdécapée.

-Décapage partiel.

*Z sol 2018 ap. : 43,6 *Z sup. obs. ou niv. décap. (m NGF) : 43,5

*Tech. file. : mécanique *% flé : ?

*Forme (plan) : subrectangulaire à ovulaire ? *Profil : évasé à vertical à fond lég. concave

**Dim. max. obs (m) : *Long. : > 1,3 *larg. : > 0,9

*Prof./Ht (obs. / restit.) : 0,6

*Descri. :

-1195-A : Sédiment charbonneux noir et petites mottes brunes éparses à erratiques.

-1195-B1 : Couche ("nougat") de plâtre avec inclusion de gros fragments de briques.

-1195-B2 : Litages de pierres et mortier / plâtre blanc et de LAS gris brun sombre.
 -1195-C1 : LAS brun.
 -1195-C2 : Creusement sur la FD1157, l'EX1162 et les RB1194 / 1196.
 -CP1193 et 1205-b : Fond à 42,90 m NGF.
 *SUR : 1158 ; 1194 ; 1196

*Hz/Us : 1196 *Fait : RB1196 *Ens. : REM1194
 *Type Us : composite *Ident. : préparation de sol
 *Sect. : C-01
 *N° Planche-s (n°Us / Fait / Ens.) : 007, 060
 *Rem. : CP1193.
 -Préparation de sol à l'Est de la FD1157.
 *Z sol 2018 ap. : 43,60 *Z sup. obs. ou niv. décap. (m NGF) : 43,55
 *Tech. fle. : mécanique *% flé : ?
 **Dim. max. obs (m) : *Long. : > 6 *larg. : > 2 *Prof./Ht (obs. / restit.) : 0,25

*Descri. :
 -1196-A : LAS brun à gris, petit cailloutis épars.
 -1196-B : Sablon jaunâtre.
 *SOUS : 1195 *SUR : 1158 ; 1194 *Synch. : 1194 ?

*Hz/Us : 1197 *Fait : HZ1278
 *Type Us : composite, DOUBLON *Ident. : horizon (Hz) pédologique / terre végétale ancienne
 *N° Planche-s (n°Us / Fait / Ens.) : 057
 *Rem. : CP1202, 1209 et 1285.
 *Z sol 2018 ap. : 43,7 *Z sup. obs. ou niv. décap. (m NGF) : 42,95
 *Tech. fle. : méc. + man. *% flé : ?
 **Dim. max. obs (m) : *Prof./Ht (obs. / restit.) : 0,3 / 0,35
 *Descri. :
 -Terre "végétale" / "de jardin" / "terre noire" = HZ1278 ; SOUS HZ1259 <=> 1407.
 -LAS gris brun sombre à gris foncé, fin cailloutis anguleux épars à erratique.
 *SOUS : 1259 ; 1407 ; 1423 *SUR : 1179 ; 1186
 *Egal. : 1278 *Rel. indét. : 1198

*Hz/Us : 1198 *Fait : FS1198
 *Type Us : composite *Ident. : fosse *Sect. : C-01
 *N° Planche-s (n°Us / Fait / Ens.) : 007, 058, 063
 *Z sol 2018 ap. : 43,60 / 43,70 *Z sup. obs. ou niv. décap. (m NGF) : 42,85
 *Tech. fle. : non-fouillé *% flé : 50 ?
 *Forme (plan) : ovale *Profil : évasé à vertical à fond lég. concave
 **Dim. max. obs (m) : *Long. : > 1,4 *larg. : 1,15
 *Prof./Ht (obs. / restit.) : 0,45
 *Descri. :
 -1198-a : LAS gris brun sombre, petites mottes brune éparses à erratiques, petit cailloutis épars.
 -1198-b : Las gris noirâtre à charbonneux noir.
 *SOUS : 1197 ; 1278 ; 1421

*Hz/Us : 1199 *Fait : CP1199
 *Type Us : coupe

*Sect. : B-01, C-01
 *N° Planche-s (n°Us / Fait / Ens.) : 006, 007, 013, 014, 015, 016, 017, 018, 019
 *Rem. : ENE/OSO, limite SSE de la fouille, palier supérieur.
 *Z sol 2018 ap. : 43,50 / 43,60 *Z sup. obs. ou niv. décap. (m NGF) : 43,5
 *Tech. fle. : méc. + man.
 **Dim. max. obs (m) : *Long. : 14 *Prof./Ht (obs. / restit.) : 1,5

*Hz/Us : 1200 *Fait : FS1236
 *Type Us : comblement *Ident. : fosse
 *N° Planche-s (n°Us / Fait / Ens.) : 014, 015, 060
 *Rem. : CP1193 et CP1199-a.
 *Z sol 2018 ap. : 43,6 *Z sup. obs. ou niv. décap. (m NGF) : 42,75
 *Tech. fle. : mécanique *% flé : ?
 **Dim. max. obs (m) : *Prof./Ht (obs. / restit.) : 0,4
 *Descri. : *Fosse 1236, comblements sup. :
 -1200-a : LAS / ALS brun foncé orangé, petites mottes / litage de LAS grisâtre.
 -1200-b : LAS brun foncé à lég. verdâtre.
 -1200-c : LAS / ALS brun foncé orangé, petites mottes de LAS grisâtre et sablonneuse jaunâtres.
 *SOUS : 1201 *SUR : 1236-a

*Hz/Us : 1201 *Fait : RB1201
 *Type Us : comblement *Ident. : niveau de circulation et remblais *Sect. : C-01
 *N° Planche-s (n°Us / Fait / Ens.) : 007, 014, 015, 060
 *Rem. : CP1193 et CP1199-a.
 -Partiellement dégagé, tronqué par l'EX1165, la cave 1211 et la FD1157.
 *Z sol 2018 ap. : 43,60 *Z sup. obs. ou niv. décap. (m NGF) : 43,1
 *Tech. fle. : mécanique *% flé : ?
 **Dim. max. obs (m) : *Prof./Ht (obs. / restit.) : 0,3
 *Descri. :
 -1201-A1 : LAS gris brun et gros cailloutis calcaire / frags de plâtre abondants.
 -1201-A2 : LAS gris foncé avec charbons de bois à sédiment charbonneux noir, frags de plâtre / calcaire blanc abondants, frags de tuiles plates à crochet épars à erratiques.
 -1201-B1 : Liseré / fine couche de LAS gris foncé à charbonneux, fin cailloutis calcaire épars à erratique.
 -1201-B2 : Poche grise cendreuse en cuvette (Ht. : 0,1 m) dans la coupe 1193.
 -1201-B3 : Liseré gris noir à charbonneux noir.
 -1201-C1 : Liseré d'ALS beige à jaunâtre.
 -1201-C2 : Effet de creusement sur le fossé 1203, la fosse 1166 et la fosse 1236-Us 1200.
 *SOUS : 1430 *SUR : 1166

*Hz/Us : 1202 *Fait : CP1202
 *Type Us : coupe
 *Sect. : C-01
 *N° Planche-s (n°Us / Fait / Ens.) : 007, 013, 058
 *Rem. : NO/SE, limite de fouille, sur 1191, 1197, 1198.

*Z sol 2018 ap. : 43,60 / 43,70 *Z sup. obs. ou niv. décap. (m NGF) : 43,5

*Tech. fle. : méc. + man.

**Dim. max. obs (m) : *Long. : 3 *Prof./Ht (obs. / restit.) : 1,5

*Hz/Us : 1203 *Fait : FO1203

*Type Us : composite *Ident. : fossé *Sect. : C-01

*N° Planche-s (n°Us / Fait / Ens.) : 007, 014, 015, 060, 062, 095, 116

*Rem. : Partiellement décapé, limite de fouille SE. -Tronqué par la FS1236 et la cave 1211.

-Pendage vers l'OSO.

*Z sol 2018 ap. : 43,50 *Z sup. obs. ou niv. décap. (m NGF) : 42,9

*Tech. fle. : méc. + man. *% flé : ?

*Forme (plan) : linéaire *Profil : évasé fond plat à canal central

**Dim. max. obs (m) : *Long. : > 3,5 *larg. : > 1,5

*Prof./Ht (obs. / restit.) : 0,95

*Descri. : *CP1199-a et 1218 :

-1203-1a = 1204-a : LAS beige foncé à lég. gris verdâtre, frags de tuiles (dont ratés de cuisson) gallo-romaines épars.

-1203-1b = 1204-b : Creusement sur 1203-2.

-1203-2a : LAS beige à lég. verdâtre fin cailloutis épars à erratique.

-1203-2b : Litages de LAS beige à brun gris à lég. verdâtre et d'ALS brun à jaunâtre avec cailloutis anguleux, gros frags de tuiles gallo-romaines épars à erratiques.

-1203-2c : Creusement.

-CP1193 : Fond à 42,15 m NGF.

-CP1218 : Fond 1203-c à 41,95 m NGF.

*SOUS : 1183 ; 1204 ; 1236 *SUR : 1294

*Hz/Us : 1204 *Fait : FO1203

*Type Us : composite *Ident. : fossé *Sect. : C-01

*N° Planche-s (n°Us / Fait / Ens.) : 007, 095

*Rem. : Recreusement du fossé 1203-1.

-Pendage vers l'OSO

*Z sol 2018 ap. : 43,50 *Z sup. obs. ou niv. décap. (m NGF) : 42,9

*Tech. fle. : méc. + man. *% flé : ?

*Forme (plan) : linéaire *Profil : évasé fond arrondi

**Dim. max. obs (m) : *Long. : > 3,5 *larg. : > 1,2

*Prof./Ht (obs. / restit.) : 0,75

*Descri. : *CP1218 :

-1203-1a = 1204-a : LAS beige foncé à lég. gris verdâtre, frags de tuiles (dont ratés de cuisson) gallo-romaines épars.

-1203-1b = 1204-b : Recreusement sur 1203-2.

CP1218 = fond à 42,15 m NGF.

*SOUS : 1236 *SUR : 1203-2 *Egal. : 1203-1

*Hz/Us : 1205 *Fait : CP1205

*Type Us : coupe

*Sect. : C-01

*N° Planche-s (n°Us / Fait / Ens.) : 007, 013, 058, 059

*Rem. : Limite de fouille (1205-a et 1205-b).

-FD1157 / 1160, FD1158, EX1191, FS1192.

-CP1205-a : ONO / ESE.

-CP1205-b : OSO / ENE

*Z sol 2018 ap. : 43,6 *Z sup. obs. ou niv. décap. (m NGF) : 43,5

*Tech. fle. : méc. + man.

**Dim. max. obs (m) : *Long. : 3,5 *Prof./Ht (obs. / restit.) : 1,5

*Hz/Us : 1206 *Fait : FS1206

*Type Us : composite *Ident. : fosse *Sect. : C-01

*N° Planche-s (n°Us / Fait / Ens.) : 007, 064, 102

*Rem. : Surdécapée et tronquée par la cave 1211.

*Z sol 2018 ap. : 43,60 *Z sup. obs. ou niv. décap. (m NGF) : 42,90 ?

*Tech. fle. : méc. + man. *% flé : 100

*Forme (plan) : ovale *Profil : évasé à vertical à fond plat

**Dim. max. obs (m) : *Long. : > 1,5 *larg. : > 0,9

*Prof./Ht (obs. / restit.) : 0,9 ?

*Descri. :

-LAS gris brun sombre, petit cailloutis épars.

-Fond à 42,00 m NGF.

*SOUS : 1183 ; 1211 *SUR : 1278 *Rel. indét. : 1207

*Hz/Us : 1207 *Fait : FS1207

*Type Us : composite *Ident. : fosse *Sect. : C-01

*N° Planche-s (n°Us / Fait / Ens.) : 007, 064, 102

*Rem. : Surdécapée et tronquée par le SD1169.

*Z sol 2018 ap. : 43,6 *Z sup. obs. ou niv. décap. (m NGF) : 42,90 ?

*Tech. fle. : méc. + man. *% flé : 100

*Forme (plan) : indéterminée tronquée *Profil : cuvette

**Dim. max. obs (m) : *Long. : > 1,75 *larg. : > 0,75 ?

*Prof./Ht (obs. / restit.) : 0,8 ?

*Descri. :

-LAS gris brun sombre, petit cailloutis épars.

-Fond à 42,10 m NGF ?

*SOUS : 1161 ; 1183 ; 1211 *SUR : 1278 ? *Rel. indét. : 1206

*Hz/Us : 1208 *Fait : PT1208

*Type Us : composite *Ident. : puits à eau maçonné

*Sect. : C-01

*N° Planche-s (n°Us / Fait / Ens.) : 007, 057, 065, 066, 067, 112

*Rem. : Récupéré en partie supérieure (CP1209).

-Partiellement sondé, pour des raisons de sécurité.

*Z sol 2018 ap. : 43,70 *Z sup. obs. ou niv. décap. (m NGF) : 43,35

*Tech. fle. : mécanique *% flé : ?

*Forme (plan) : circulaire *Profil : vertical

**Dim. max. obs (m) : *Diam. : 1,8 *Prof./Ht (obs. / restit.) : > 1,8

*Descri. :

*1208-A : remblais d'abandon / démolition.

-1208-A1 : Similaire à l'horizon de terre végétale 1422.

LAS gris brun foncé à sombre, petit cailloutis épars.

Effet de tassement ?.

-1208-A2 <=> 1413 /1421 : Remblai de petites mottes

de LAS/ALS beiges à jaunâtres, petites mottes brun gris, frags de plâtre/calcaires et de tuiles plates à crochet épars à erratiques.

-1208-A3 = 1159 : Vrac de gros frags de plâtre / calcaire blanc et de tuiles plates à crochet.

-1208-A4 : Mottes d'ALS jaunâtre et de LAS brun gris.

-1208-A5 : LAS gris à gris brun sombre, mattes jaunâtres éparses.

-1208-A6 : Vrac de petites pierres /cailloutis de de calcaires blanc et de sédiment crayeux à argileux beige à jaune pâle.

-1208-A7 : Creusement de démolition. Jusqu'à environ 42,20 m NGF.

*1208-B : Maçonnerie cylindrique : Diam. fût = env. 0,85.

-Parement du fût et calage interne en moellons / pierres calcaires et silico-calcaires, liées à la terres, frags de tuiles plates à crochet.

*Fond du sondage à 41,55 m NGF.

*SOUS : 1422 *SUR : 1259 ; 1407 *Rel. indét. : 1155

*Hz/Us : 1209 *Fait : CP1209

*Type Us : coupe

*Sect. : C-01

*N° Planche-s (n°Us / Fait / Ens.) : 007, 013, 057

*Rem. : NNO/SSE, limite SE de la fouille.

-Sur 1155, 1186, 1208...

*Z sol 2018 ap. : 43,70 *Z sup. obs. ou niv. décap. (m NGF) : 43,55

*Tech. fle. : méc. + man.

**Dim. max. obs (m) : *Long. : 3,65 *Prof./Ht (obs. / restit.) : 1,55

*Hz/Us : 1210 *Fait : CP1210

*Type Us : coupe

*Sect. : C-01

*N° Planche-s (n°Us / Fait / Ens.) : 007, 015, 017, 115, 116, 117, 118

*Rem. : Limite Sud de la fouille, palier inférieur.

-ENE/OSO, sur CAV1211.

*Z sol 2018 ap. : 43,50 / 43,60 *Z sup. obs. ou niv. décap. (m NGF) : 42,20 / 42,50

*Tech. fle. : manuelle

**Dim. max. obs (m) : *Long. : 8,9 *Prof./Ht (obs. / restit.) : 1,5

*Descri. : CP1210, encaissants pléistocènes :

-IIa : LAS / ALS jaunâtre.

-IIb : LAS / ALS jaunâtre et cailloutis roulé siliceux et calcaire anguleux épars à abondant.

-IIc : LAS / ALS jaunâtre.

-IId : LAS / ALS jaunâtre et cailloutis roulé siliceux épars et calcaire anguleux épars à abondant.

-IIe : ALS jaunâtre.

*Hz/Us : 1211 *Fait : MR1211 *Ens. : CAV1211

*Type Us : composite *Ident. : fondation de mur

*Sect. : C-01

*N° Planche-s (n°Us / Fait / Ens.) : 003, 007, 014, 015, 016, 017, 066, 067, 114, 115, 116, 117, 118, 119, 120

*Rem. : CP1210.

-Tronqué par 1183-B.

-Mur NNO/SSE, mur oriental de la cave 1211.

*Z sol 2018 ap. : 43,60 *Z sup. obs. ou niv. décap. (m NGF) : > 42,90

*Tech. fle. : manuelle *% flé : 100

*Forme (plan) : linéaire *Profil : vertical à lég. en sape à fond plat

**Dim. max. obs (m) : *Long. : 3,05 *larg. : 0,45

*Prof./Ht (obs. / restit.) : > 1,65

*Descri. :

-1211-A : Récupération = 1183.

-1211-B : Mur. Parement double de moellons / pierres silico-calcaires / calcaires, calage de petites pierres et gros fragments de plâtre (réemploi), liés au mortier "maigre" beige jaune sableux friable.

-1211-C : Creusement de fondation.

-CP1210 : Fond à 41,25 m NGF.

*SOUS : 1212 *SUR : 1181 *Synch. : 1213 ; 1230 ; 1268

*Hz/Us : 1212 *Fait : SL1212 *Ens. : CAV1211

*Type Us : comblement *Ident. : sol *Sect. : C-01

*N° Planche-s (n°Us / Fait / Ens.) : 007, 017, 114, 116, 117, 118, 119, 120

*Rem. : Dernier litage de sol conservé de la cave 1211.

*Z sol 2018 ap. : 43,50 / 43,60 *Z sup. obs. ou niv. décap. (m NGF) : 41,35

*Tech. fle. : manuelle *% flé : 90 ?

**Dim. max. obs (m) : *Long. : 5,5 *larg. : > 2,35

*Prof./Ht (obs. / restit.) : 0,15

*Descri. :

-1212-a1 : Liseré / plages de charbon de bois noir.

-1212-a2 : Plages rubéfiées de 1212-a3 <=> 1270-a et de 1212-b <=> 1270-b.

-1212-a3 = 1270-a : LAS gris brun à gris avec petites inclusions de calcaire / plâtre blanc éparses.

-1212-b <=> 1270-b : Liseré / fine couche d'encaissant "loessique" II (ALS jaunâtre avec cailloutis) induré / remanié (=1212-b, à l'Est de la FD1269) à remanié (=1270-b, sur et à l'Ouest de la FD1269).

*SOUS : 1183 ; 1184 *SUR : 1211 ; 1269 ; 1270-c

*Hz/Us : 1213 *Fait : TR1213 *Ens. : CAV1211

*Type Us : composite *Ident. : tranchée de fondation de mur *Sect. : C-01

*N° Planche-s (n°Us / Fait / Ens.) : 007, 115

*Rem. : OSO/ENE, mur Nord de la cave 1211, à l'Est de la FD1169.

-A l'Ouest, tronquée par l'EX1267.

*Z sol 2018 ap. : 43,60 *Z sup. obs. ou niv. décap. (m NGF) : > 42,90

*Tech. fle. : manuelle *% flé : 100

*Forme (plan) : linéaire *Profil : vertical à lég. en sape à fond plat

**Dim. max. obs (m) : *Long. : 2,20 ? *larg. : 0,45

*Prof./Ht (obs. / restit.) : > 1,65

*Descri. :

-1213-A : Récupération = 1183.

-1213-B : Lambeaux de mortier "maigre" beige jaune sableux friable.

-1213-C : Creusement de fondation.
 -Fond à 41,25 m NGF.
 *SOUS : 1183 *SUR : 1206 *Synch. : 1211 ; 1269 ?
 *Hz/Us : 1214 *Fait : CP1214
 *Type Us : coupe
 *Sect. : C-01
 *N° Planche-s (n°Us / Fait / Ens.) : 007, 095
 *Rem. : Coupe ENE/ OSO sur fossés 1179 et 1186.
 *Z sol 2018 ap. : 43,70 *Z sup. obs. ou niv. décap. (m NGF) : 42,65
 *Tech. fle. : manuelle
 **Dim. max. obs (m) : *Long. : 2 *Prof./Ht (obs. / restit.) : 0,6
 *Hz/Us : 1215 *Fait : CP1215
 *Type Us : coupe
 *Sect. : C-01
 *N° Planche-s (n°Us / Fait / Ens.) : 007, 059
 *Rem. : OSO-ENE sur 1206, 1207, 1161, 1157 (bord Nord du sondage / surdécapage 1169) + sondage manuel partiel sur 1162.
 *Z sol 2018 ap. : 43,60 *Z sup. obs. ou niv. décap. (m NGF) : 42,55
 *Tech. fle. : méc. + man.
 **Dim. max. obs (m) : *Long. : 5 *Prof./Ht (obs. / restit.) : 0,6
 *Hz/Us : 1216
 *Type Us : ramassage mobilier *Ident. :
 *Rem. : Iso. (=1526), 1 ferreux.
 *Z sol 2018 ap. : 43,50 *Z sup. obs. ou niv. décap. (m NGF) : 42,3
 *Tech. fle. : détecteur
 *Egal. : 1526
 *Hz/Us : 1217 *Fait : FD1158
 *Type Us : composite *Ident. : parement de fondation
 *Sect. : C-01
 *N° Planche-s (n°Us / Fait / Ens.) : 007, 059
 *Rem. : CP1205-b, partiellement dégagé.
 -Renfort de la fondation 1158 à l'endroit d'un surcreusement de l'excavation 1162.
 *Z sol 2018 ap. : 43,60 *Z sup. obs. ou niv. décap. (m NGF) : 42,45
 *Tech. fle. : non-fouillé *% flé : 0
 *Forme (plan) : quadrangulaire ? *Profil : bord Sud vertical
 **Dim. max. obs (m) : *Long. : 0,75 *larg. : >0,3
 *Prof./Ht (obs. / restit.) : >0,55 / 0,65
 *Descri. :
 -Parement de fondation : moellons et pierres silico-calcaires.
 -CP1205-b : Fond en deçà de 41,95 m NGF.
 *SOUS : 1194 *SUR : 1157 ; 1162 ; 1223 *Synch. : 1158 *Rel. indét. : 1223
 *Hz/Us : 1218 *Fait : CP1218
 *Type Us : coupe
 *Sect. : C-01

*N° Planche-s (n°Us / Fait / Ens.) : 007, 095, 114
 *Rem. : NNO/SSE sur SB1161, FS1181 et FO1203.
 *Z sol 2018 ap. : 43,60 *Z sup. obs. ou niv. décap. (m NGF) : 42,55
 *Tech. fle. : méc. + man.
 **Dim. max. obs (m) : *Long. : 5,3 *Prof./Ht (obs. / restit.) : 1,6
 *Descri. : CP1218, encaissants pléistocènes :
 -IIa : LAS / ALS jaunâtre.
 -IIb1 : LAS / ALS jaunâtre et cailloutis roulé siliceux et calcaire anguleux épars à abondant.
 -IIb2 : Poche / amas de petite pierres calcaires / silico-calcaires (calcaire dégradé).
 -IIc : LAS / ALS jaunâtre.
 -IId : LAS / ALS jaunâtre et cailloutis roulé siliceux épars et calcaire anguleux épars à abondant.
 -IIe : ALS jaunâtre.
 *Hz/Us : 1219
 *Type Us : ramassage mobilier
 *Sect. : B-03
 *N° Planche-s (n°Us / Fait / Ens.) : 010
 *Rem. : Iso. (FS1119 ou terrier ?), 1 petit ferreux.
 -Non topographié (oubli).
 *Z sol 2018 ap. : 43,50 *Z sup. obs. ou niv. décap. (m NGF) : 42,65
 *Tech. fle. : détecteur
 *Hz/Us : 1220
 *Type Us : ramassage mobilier
 *Sect. : A-03
 *N° Planche-s (n°Us / Fait / Ens.) : 009
 *Rem. : Iso. (terrier ?), 1 ferreux.
 *Z sol 2018 ap. : 43,40 *Z sup. obs. ou niv. décap. (m NGF) : 41,8
 *Tech. fle. : détecteur
 *Hz/Us : 1221
 *Type Us : ramassage mobilier *Ident. :
 *Rem. : Iso. (ramassage, détecteur), 1 petit ferreux.
 *Z sol 2018 ap. : ? *Z sup. obs. ou niv. décap. (m NGF) : ?
 *Tech. fle. : détecteur
 *Hz/Us : 1222
 *Type Us : ramassage mobilier
 *Sect. : B-03
 *N° Planche-s (n°Us / Fait / Ens.) : 010
 *Rem. : Iso. (terrier), 1 ferreux.
 *Z sol 2018 ap. : 43,35 *Z sup. obs. ou niv. décap. (m NGF) : 42,65
 *Tech. fle. : détecteur
 *Hz/Us : 1223 *Fait : EX1162
 *Type Us : creusement *Ident. : excavation *Sect. : C-01
 *N° Planche-s (n°Us / Fait / Ens.) : 007
 *Rem. : Comblé par 1162.
 -Surcreusement en demi-cercle dans la paroi du "palier" Nord de l'EX1162.

-Partiellement dégagé (1205-b et SD1215).

*Z sol 2018 ap. : 43,60 *Z sup. obs. ou niv. décap. (m NGF) : 42,5

*Tech. fle. : manuelle *% flé : ?

*Forme (plan) : semi-circulaire *Profil : vertical

**Dim. max. obs (m) : *Long. : 0,55 *larg. : 0,25

*Prof./Ht (obs. / restit.) : > 0,4

*Descri. : Voir 1162.

*SOUS : 1162-A9 *Synch. : 1162-B

*Hz/Us : 1224

*Type Us : ramassage mobilier *Ident. :

*Rem. : Iso. (ramassage), 1 ferreux.

-Non topographié (oubli).

*Z sol 2018 ap. : ? *Z sup. obs. ou niv. décap. (m NGF) : ?

*Tech. fle. : détecteur

*Hz/Us : 1225 *Fait : HZ1294

*Type Us : ramassage mobilier *Ident. : niveau stratigraphique / horizon pédologique *Sect. : B-02

*N° Planche-s (n°Us / Fait / Ens.) : 008

*Rem. : Iso. (HZ1294), 1 lame à crête à un pan, débitée au percuteur dur. Paléolithique supérieur (phase finale).

*Z sol 2018 ap. : 43,50 *Z sup. obs. ou niv. décap. (m NGF) : 42,15

*Tech. fle. : manuelle

*Egal. : 1294

*Hz/Us : 1226 *Fait : HZ1294

*Type Us : ramassage mobilier *Ident. : niveau stratigraphique / horizon pédologique *Sect. : B-03

*N° Planche-s (n°Us / Fait / Ens.) : 010

*Rem. : Iso. (HZ1294), 1 fragment distal de lame (lamelle), débitage bipolaire. Paléolithique supérieur (phase finale).

*Z sol 2018 ap. : 43,50 *Z sup. obs. ou niv. décap. (m NGF) : 42,3

*Tech. fle. : manuelle

*Egal. : 1294

*Hz/Us : 1227 *Fait : CP1227

*Type Us : coupe

*Sect. : B-01, B-02

*N° Planche-s (n°Us / Fait / Ens.) : 006, 008, 013, 028, 029

*Rem. : SSE/NNO, limite SO de fouille, palier inf. -Sur 1233 et 1232.

*Z sol 2018 ap. : 43,65 / 43,85 *Z sup. obs. ou niv. décap. (m NGF) : 42,8

*Tech. fle. : mécanique

**Dim. max. obs (m) : *Long. : 5,2 *Prof./Ht (obs. / restit.) : 1,8

*Hz/Us : 1228 *Fait : FS1228

*Type Us : composite *Ident. : fosse *Sect. : B-01, B-02

*N° Planche-s (n°Us / Fait / Ens.) : 006, 008, 028, 066, 067

*Rem. : Comblements et position stratigraphique similaires à 1229.

-Coupe TR01 du diag. et CP1227.

*Z sol 2018 ap. : 43,7 *Z sup. obs. ou niv. décap. (m NGF) : 43,1

*Tech. fle. : mécanique *% flé : 30

*Forme (plan) : circulaire *Profil : cylindrique

**Dim. max. obs (m) : *Diam. : 0,9 *Prof./Ht (obs. / restit.) : 1,1

*Descri. :

-1228-A : (gravats) frags de calcaire blanc / plâtre, petites pierres, LAS gris brun, frags de tuiles plates à crochet et de briques épars.

-1228-B : Couche de chaux / mortier beige à blanchâtre, petit cailloutis épars.

-1228-C : LAS gris brun, gros cailloutis anguleux épars.

-1228-D : Creusement sur 1292 et 1232.

-CP1227 : Fond à 42,00 m NGF.

*SOUS : 1416 *SUR : 1292 *Synch. : 1229 ?

*Hz/Us : 1229 *Fait : FS1229 *N° diag. : MR-04

*Type Us : composite *Ident. : fosse *Sect. : B-02

*N° Planche-s (n°Us / Fait / Ens.) : 008, 028, 031, 066, 067

*Rem. : Comblements et position stratigraphique similaires à 1228.

-Coupe TR01 du diag. et CP1227.

*Z sol 2018 ap. : 43,8 *Z sup. obs. ou niv. décap. (m NGF) : 43,1

*Tech. fle. : mécanique *% flé : 90

*Forme (plan) : circulaire *Profil : cylindrique

**Dim. max. obs (m) : *Diam. : 0,9 *Prof./Ht (obs. / restit.) : 1

*Descri. :

-1229-A : LAS brun à gris brun, inclusions de calcaire / plâtre et petites pierres éparses, charbons épars, frags de tuiles plates à cochets épars à erratiques.

-1229-B : Couche de chaux / mortier beige à blanchâtre, petit cailloutis épars.

-1229-C : LAS gris brun sombre, charbons épars.

-1228-D : Creusement sur 1292 et 1232.

-CP1227 : Fond à 42,10 m NGF.

*SOUS : 1416 *SUR : 1292 *Synch. : 1228 ?

*Hz/Us : 1230 *Fait : ES1230 *Ens. : CAV1211

*Type Us : composite *Ident. : récupération d'escalier

*Sect. : C-01

*N° Planche-s (n°Us / Fait / Ens.) : 007, 015

*Rem. : Escalier de la cave 1211 (angle SE).

-5 niveaux de marches observés (en incluant la TR1268) en partie basse (à partir d'env. 42,50 m NGF), entre les CP1199-a et 1210.

*Z sol 2018 ap. : 43,60 *Z sup. obs. ou niv. décap. (m NGF) : 43,40 ?

*Tech. fle. : manuelle *% flé : 30 ?

*Forme (plan) : subrectangulaire *Profil : en escalier

**Dim. max. obs (m) : *Long. : > 1,2 *larg. : ≥ 1,35

*Prof./Ht (obs. / restit.) : 2,1 ?

***Descri. :**

-1230-A = 1183.
 -1230-B : Lambeaux de maçonnerie <=> 1211-B.
 -1230-C : Creusement de fondation.
 -CP1210, TR1268 : Fond à 41,30 m NGF.
 *SOUS : 1183 *SUR : 1201 ; 1430 *Synch. : 1211 ; 1213 *Egal. : 1268

*Hz/Us : 1231 *Fait : EX1232 *N° diag. : CAV-01
 *Type Us : comblement *Ident. : excavation
 *Z sol 2018 ap. : 43,65 *Z sup. obs. ou niv. décap. (m NGF) : 42,25
 *Tech. fle. : mécanique *% flé : ?
 **Dim. max. obs (m) : *Prof./Ht (obs. / restit.) : 0,55
 *Descri. : 1231 = 1232-b.
 *SOUS : 1232-a *SUR : 1235 *Egal. : 1232-b

*Hz/Us : 1232 *Fait : EX1232 *N° diag. : CAV-01
 *Type Us : composite *Ident. : excavation *Sect. : B-01, B-02
 *N° Planche-s (n°Us / Fait / Ens.) : 003, 006, 008, 028, 029, 065, 107
 *Rem. : Ramassage mobilier RI 1228.
 -Cave récupérée ?
 -Partiellement décapée, limite de fouille.
 -CP1227 et 1290.

*Z sol 2018 ap. : 43,80 *Z sup. obs. ou niv. décap. (m NGF) : 42,85
 *Tech. fle. : mécanique *% flé : ?
 *Forme (plan) : subrectangulaire ? *Profil : évasé à vertical à fond lég. concave
 **Dim. max. obs (m) : *Long. : 5 *larg. : > 2 *Prof./Ht (obs. / restit.) : 1,55

*Descri. :
 -1232-a : Litages de LAS brun à brun gris, cailloutis anguleux / frags calcaires abondants à épars.
 -1232-b = 1231 : Litages de LAS brun à brun, brun gris, cailloutis anguleux / frags calcaires abondants à erratiques.
 -1232-c = 1235 : LAS gris brun sombre à brun gris (perturbé par terriers).
 -1232-d : Creusement.
 -CP1227 : Fond à 41,30 m NGF.
 *SOUS : 1233 *SUR : 1259 *Synch. : 1231 ; 1235

*Hz/Us : 1233 *Fait : FS1233
 *Type Us : composite *Ident. : fosse *Sect. : B-02
 *N° Planche-s (n°Us / Fait / Ens.) : 008, 028, 029, 030, 059, 065, 107
 *Rem. : Partiellement décapée, limite de fouille.
 -CP1227 et 1290.
 *Z sol 2018 ap. : 43,80 *Z sup. obs. ou niv. décap. (m NGF) : 42,85
 *Tech. fle. : mécanique *% flé : 50 ?
 *Forme (plan) : ovale ou circulaire ? *Profil : bord Sud évasé, bord Nord vertical, fond en cuvette
 **Dim. max. obs (m) : *Long. : 3,2 *larg. : > 2 *Prof./Ht (obs. / restit.) : 1,4
 *Descri. :
 -1233-a1 : LAS brun gris sombre à gris brun sombre,

charbons et petit cailloutis épars à erratiques.

-1233-a2 : 1233-b1 remanié.
 -1233-a3 : LAS brun gris sombre, charbons et petit cailloutis épars.
 -1233-b1 = 1234 : Litages d'ALS / SLA jaune foncé (horizon géologique remanié) / ALS brun gris, cailloux anguleux et frags rubéfiés épars à erratiques.
 -1233-b2 : LAS brun gris foncé.
 -1233-b3 : ALS / SLA jaune foncé (horizon géologique remanié) et gros frags rubéfiés épars, cailloux anguleux épars à erratiques.
 -1233-c : LAS brun gris sombre à noirâtre, charbons épars à abondants, petit cailloutis calcaire blanc épars.
 -1233-d : Creusement sur 1233.
 -CP1227 : Fond à 41,45 m NGF.
 *SOUS : 1137 ; 1228 ; 1229 ; 1292 *SUR : 1232 ; 1259 *Egal. : 1234

*Hz/Us : 1234 *Fait : FS1233
 *Type Us : comblement *Ident. : fosse
 *Z sol 2018 ap. : 43,8 *Z sup. obs. ou niv. décap. (m NGF) : 42,35
 *Tech. fle. : mécanique *% flé : ?
 *Descri. : 1234 = 1233-b1.
 *SOUS : 1233-a *SUR : 1233-b2 *Egal. : 1233-b1

*Hz/Us : 1235 *Fait : EX1232
 *Type Us : composite *Ident. : excavation *Sect. : B-01, B-02
 *N° Planche-s (n°Us / Fait / Ens.) : 006, 008, 107
 *Rem. : 3 ferreux trouvés au détecteur = terriers.
 *Z sol 2018 ap. : 43,70 *Z sup. obs. ou niv. décap. (m NGF) : 42,25
 *Tech. fle. : mécanique *% flé : 90 ?
 **Dim. max. obs (m) : *Prof./Ht (obs. / restit.) : 0,5
 *Descri. :
 -1235-a = 1232-c.
 -1235-b : Légère excroissance du creusement 1232-d (angle SE de la FS1232).
 *SOUS : 1231 ; 1232-a *SUR : 1232-d *Egal. : 1232-c

*Hz/Us : 1236 *Fait : FS1236
 *Type Us : composite *Ident. : fosse *Sect. : C-01
 *N° Planche-s (n°Us / Fait / Ens.) : 007, 014, 015, 060, 066
 *Rem. : Partiellement décapée (CP1193 et 1199-a).
 -Tronquée par l'EX1165.
 *Z sol 2018 ap. : 43,60 *Z sup. obs. ou niv. décap. (m NGF) : 42,75
 *Tech. fle. : méc. + man. *% flé : ?
 *Forme (plan) : indéterminée, partiellement décapée
 *Profil : cuvette
 **Dim. max. obs (m) : *Long. : > 1,4 *larg. : > 1,2
 *Prof./Ht (obs. / restit.) : 0,55
 *Descri. : *Fosse 1236 :
 -1200-a : LAS / ALS brun foncé orangé, petites mottes / litage de LAS grisâtre.
 -1200-b : LAS brun foncé à lég. verdâtre.
 -1200-c : LAS / ALS brun foncé orangé, petites mottes de LAS grisâtre et sablonneuse jaunâtres.

-1236-a1 : LAS brun foncé à brun gris lég. verdâtre.
 -1236-a2 : LAS gris avec taches verdâtres, gros cailloutis / petites pierres éparses.
 -1236-b : Liseré de charbons de bois sur le fond.
 -Fond à 42,20 m NGF (CP1193).
 *SOUS : 1166 ; 1201 *SUR : 1203 ; 1204 *Egal. : 1200

*Hz/Us : 1237 *Fait : CP1237
 *Type Us : coupe
 *Sect. : A-04
 *N° Planche-s (n°Us / Fait / Ens.) : 011
 *Rem. : Coupe ENE/OSO de la FS1004.
 *Z sol 2018 ap. : 43 *Z sup. obs. ou niv. décap. (m NGF) : 41,95
 *Tech. fle. : mécanique
 **Dim. max. obs (m) : *Long. : 2,5 *Prof./Ht (obs. / restit.) : 0,9

*Hz/Us : 1238 *Fait : CP1238
 *Type Us : coupe
 *Sect. : A-04
 *N° Planche-s (n°Us / Fait / Ens.) : 011, 013, 042
 *Rem. : OSO / ENE, Limite N de la fouille.
 -Sur EX1239 sup., HZ1408, 1409.
 -En partie reprise par la CP1386.
 *Z sol 2018 ap. : 43
 *Tech. fle. : méc. + man.
 **Dim. max. obs (m) : *Long. : 6,5 *Prof./Ht (obs. / restit.) : 1,4

*Hz/Us : 1239 *Fait : EX1239 *N° diag. : FS-10
 *Type Us : composite *Ident. : excavation profonde en fût *Sect. : A-04
 *N° Planche-s (n°Us / Fait / Ens.) : 011, 043, 067, 068
 *Rem. : Partiellement décapé, limite Nord de la fouille (CP1386).
 *Z sol 2018 ap. : 42,80 *Z sup. obs. ou niv. décap. (m NGF) : ≥ 42,00
 *Tech. fle. : mécanique *% flé : ?
 *Forme (plan) : circulaire ? *Profil : cylindrique à tronconique ?
 **Dim. max. obs (m) : *Diam. : > 1,8 (2,6 ?) *Prof./Ht (obs. / restit.) : > 2,35

*Descri. :
 -1239-a : (sous ou = 1408 : effet de tassement comblé par 1408 ?) Similaire à 1408, LAS gris brun sombre, fin cailloutis blanc épars (jusqu'à environ 41,60 m NGF).
 -1239-b : Litages de LAS brun à gris foncé, cailloutis anguleux abondant à erratique.
 -Fond non atteint : Sondage inondé.
 -Fond du sondage (CP1386) : 39,65 m NGF.
 *SOUS : 1410 *Rel. indét. : 1243 ; 1408

*Hz/Us : 1240 *Fait : CP1240
 *Type Us : coupe / sondage
 *Sect. : B-04
 *N° Planche-s (n°Us / Fait / Ens.) : 012, 131
 *Rem. : S/N sur l'EX1054.

*Z sol 2018 ap. : 43,20 *Z sup. obs. ou niv. décap. (m NGF) : 42, 20 / 42,40
 *Tech. fle. : mécanique
 **Dim. max. obs (m) : *Long. : 7,2 *larg. : 1,8 *Prof./Ht (obs. / restit.) : 2,6

*Hz/Us : 1241 *Fait : FS1241
 *Type Us : composite *Ident. : fosse *Sect. : A-04
 *N° Planche-s (n°Us / Fait / Ens.) : 011, 063, 064, 100
 *Rem. : Tronquée par la FS1243.
 *Z sol 2018 ap. : 42,9 *Z sup. obs. ou niv. décap. (m NGF) : 42
 *Tech. fle. : mécanique *% flé : 100
 *Forme (plan) : ovale *Profil : bord en sape, fond concave
 **Dim. max. obs (m) : *Long. : 1,3 *larg. : > 0,75
 *Prof./Ht (obs. / restit.) : 0,7

*Descri. :
 -1241-a : LAS brun à noirâtre et petits charbons épars à abondants.
 -1241-b : LAS brun foncé, cailloutis et petites inclusions d'ALS jaunâtre épars à erratiques.
 -CP1524 : Fond à 41,30 m NGF.
 *SOUS : 1243 *Rel. indét. : 1242

*Hz/Us : 1242 *Fait : FS1242
 *Type Us : composite *Ident. : fosse *Sect. : A-04, B-04
 *N° Planche-s (n°Us / Fait / Ens.) : 011, 012
 *Rem. : Tronquée par la FS1243.
 *Z sol 2018 ap. : 42,9 *Z sup. obs. ou niv. décap. (m NGF) : 42
 *Tech. fle. : manuelle *% flé : 100
 *Forme (plan) : ovale tronquée ? *Profil : cuvette
 **Dim. max. obs (m) : *Long. : > 1,15 *larg. : > 0,5
 *Prof./Ht (obs. / restit.) : 0,2
 *Descri. :
 -LAS brun à noirâtre, cailloutis et petits charbons épars à abondants.
 -Fond à 41,80 m NGF.
 *SOUS : 1243 *Rel. indét. : 1242

*Hz/Us : 1243 *Fait : FS1243 *N° diag. : FS-11
 *Type Us : composite *Ident. : fosse *Sect. : A-04, B-04
 *N° Planche-s (n°Us / Fait / Ens.) : 011, 012, 044, 067, 068, 100
 *Z sol 2018 ap. : 42,9 *Z sup. obs. ou niv. décap. (m NGF) : 42,05
 *Tech. fle. : mécanique *% flé : 95
 *Forme (plan) : ovale *Profil : évasé à vertical à fond lég. concave
 **Dim. max. obs (m) : *Long. : 3,2 ? *larg. : 2,6
 *Prof./Ht (obs. / restit.) : 1,2
 *Descri. :
 -1243-a : LAS brun foncé.
 -1243-b : Mottes d'ALS jaune (encaissant II) et de LAS brun foncé.
 -1243-c : LAS gris brun à gris, cailloutis épars.
 -1243-d : Mottes d'ALS jaune (encaissant II) et

LAS gris brun à gris, cailloutis et charbons épars à erratiques.

-1243-e : Creusement sur 1241 et 1242.

-CP1439 : Fond à 40,85 m NGF.

*SOUS : 1408 *SUR : 1241 ; 1242 *Rel. indét. : 1005

*Hz/Us : 1244 *Fait : FS1244

*Type Us : composite *Ident. : fosse *Sect. : B-03

*N° Planche-s (n°Us / Fait / Ens.) : 010, 066, 067, 113

*Z sol 2018 ap. : 43,5 *Z sup. obs. ou niv. décap. (m NGF) : 42,9

*Tech. fle. : mécanique *% flé : 100

*Forme (plan) : subrectangulaire *Profil : évasé à vertical (palier sur bord SSE ?) à fond plat horizontal à lég. concave

**Dim. max. obs (m) : *Long. : 3,1 *larg. : 2,5 *Prof./Ht (obs. / restit.) : 0,8

*Descri. :

-1244-a : LA gris brun sombre.

-1244-b : Terre rubéfiée remaniée en remblai.

-1244-c : LAS brun gris foncé à brun très sombre, petit cailloutis épars à erratique, rares frags rubéfiés.

-1244-d : Creusement sur 1116-a et b.

*SOUS : 1436 *SUR : 1116 ; 1259 *Rel. indét. : 1372

*Hz/Us : 1245 *Fait : CP1245

*Type Us : coupe

*Sect. : B-03

*N° Planche-s (n°Us / Fait / Ens.) : 010, 113

*Rem. : NNE/SSO sur FS1116 et FS1244.

*Z sol 2018 ap. : 43,5 *Z sup. obs. ou niv. décap. (m NGF) : 42,55

*Tech. fle. : mécanique

**Dim. max. obs (m) : *Long. : 4,4 *Prof./Ht (obs. / restit.) : 1,25

*Hz/Us : 1246 *Fait : CP1246

*Type Us : coupes / sondage

*Sect. : B-02, B-03

*N° Planche-s (n°Us / Fait / Ens.) : 008, 010, 108, 109, 110

*Rem. :

-CP1246-E : NNE/SSO sur FS1120.

-CP1246-O : Profil sédimentaire géol.

*Z sol 2018 ap. : 43,5 *Z sup. obs. ou niv. décap. (m NGF) : 42,35 / 42,45

*Tech. fle. : méc. + man.

**Dim. max. obs (m) : *Long. : 4,3 *larg. : 1,7 *Prof./Ht (obs. / restit.) : 1,5

*Descri. :

*CP1246-E : à partir de 42,45 m NGF (décapage).

-Voir 1120.

*CP1246-O (Log : photo LN-1000206) : à partir de 42,35 m NGF (décapage).

-HZ1294 : (lambeaux) LAS brun beige cailloutis épars.

-I : Sol Brun holocène, LAS / ALS brun orangé.

-IIa : Lœssique, LAS / ALS jaunâtre pâle, marbrures / concrétions calcaires éparses.

-IIb : Lœssique, LAS / ALS jaunâtre foncé, marbrures / concrétions calcaires erratiques.

-IIc : Sable fin brun jaune orangé.

-IId : Lœssique, LAS / ALS brun jaunâtre.

-IIe : Sable grossier, inclusions hétérogènes anguleuses et roulées, cailloutis calcaire anguleux épars.

-IIf : Lœssique, LAS / ALS brun jaunâtre.

-Fond du sondage : env. 40,90 m NGF.

*Hz/Us : 1247 *Fait : FO1247 *Ens. : SFO1247 ?

*Type Us : composite *Ident. : fossé *Sect. : B-01, B-02

*N° Planche-s (n°Us / Fait / Ens.) : 006, 008, 057, 061, 072, 124

*Rem. : Gaulois à gallo-romain précoce (C14 sur faune).

-Fossé NO / SE.

-Probable SFO1247 (1247 + 1295) = plus de 14,5 m de longueur, pendage vers le NO.

*Z sol 2018 ap. : 43,70 / 43,80 *Z sup. obs. ou niv. décap. (m NGF) : 42,50 ou 42,60

*Tech. fle. : méc. + man. *% flé : 100

*Forme (plan) : linéaire rectiligne *Profil : évasé fond en cuvette

**Dim. max. obs (m) : *Long. : > 9 *larg. : 1,4 ?

*Prof./Ht (obs. / restit.) : 0,6 ou 0,7

*Descri. :

-LAS brun foncé à brun gris (difficilement perceptible dans l'encaissant de Sol brun I).

-CP1299 et 1414 : Fond à 41,85 / 41,90 m NGF.

*SOUS : 1148 ; 1179 ; 1186 *SUR : 1325 *Synch. : 1295 ? *Egal. : 1295 ? *Rel. indét. : 1294

*Hz/Us : 1248 *Fait : FO1248 *Ens. : SFO1148

*Type Us : composite *Ident. : fossé *Sect. : B-02

*N° Planche-s (n°Us / Fait / Ens.) : 008, 050, 052, 053, 062

*Rem. : Tronqué par la cave 1135.

-Fossé N(NO) / S(SE).

-S'aligne sur le fossé 1148 (6,5 m plus au SSE).

*Z sol 2018 ap. : 43,90 *Z sup. obs. ou niv. décap. (m NGF) : 42,7

*Tech. fle. : mécanique *% flé : 100

*Forme (plan) : linéaire *Profil : cuvette

**Dim. max. obs (m) : *Long. : > 10 *larg. : 1,1

*Prof./Ht (obs. / restit.) : 0,3

*Descri. :

-LAS beige à gris beige lég. verdâtre.

-CP1252 : Fond à 42,40 m NGF.

-CP1402 : Fond à 42,00 m NGF.

*SOUS : 1249 ; 1278 *SUR : 1294 *Egal. : 1148 *Rel. indét. : 1303 ; 1518

*Hz/Us : 1249 *Fait : FS1249

*Type Us : composite *Ident. : fosse *Sect. : B-02

*N° Planche-s (n°Us / Fait / Ens.) : 008, 054, 055, 063

*Rem. : Partiellement décapée.

-Limite de fouille, CP1293.

*Z sol 2018 ap. : 43,90 *Z sup. obs. ou niv. décap. (m NGF) : 42,65

*Tech. fle. : mécanique *% flé : ?

*Forme (plan) : ovale ? *Profil : vertical à évasé à fond lég. convexe.

****Dim. max. obs (m) :** *Long. : 2,45 *larg. : > 0,9
***Prof./Ht (obs. / restit.) :** 0,45
***Descri. :**

-LAS gris brun, lég. verdâtre, petit cailloutis épars à erratique.

-CP1293 : Fond à 42,20 m NGF.

***SOUS :** 1278 ***SUR :** 1248 ; 1518

***Hz/Us :** 1250 ***Fait :** BS1250

***Type Us :** composite ***Ident. :** petit bassin contemporain ***Sect. :** B-02

***N° Planche-s (n°Us / Fait / Ens.) :** 008, 048, 049, 070

***Rem. :** Voir CP1253.

-Tronqué par démolition d'août 2021.

***Z sol 2018 ap. :** 43,85 ***Z sup. obs. ou niv. décap. (m NGF) :** 43,6

***Tech. fle. :** mécanique **.*% flé :** 90 ?

***Forme (plan) :** rectangulaire ***Profil :** vertical fond plat

****Dim. max. obs (m) :** *Long. : 1,8 *larg. : > 1,7 ?

***Prof./Ht (obs. / restit.) :** > 0,7

***Descri. :**

-1250-A : Comblement d'abandon, LAS brun gris, un long moellon de grès...

-1250-B1 : Carreaux de céramique sur le fond et enduit de plâtre à l'intérieur du bassin (1,05 X 1,05 X 0,5 m ?). Fond à 43,10 m NGF.

-1250-B2 : Mortier de tuileau du fond du bassin (Ép. : 0,1 m). Compact beige jaunâtre avec inclusions de petits fragments de terre cuite.

-1250-B3 : Murets conservés Nord et Sud. Parements simple à double de petits moellons / pierres calcaires et silico-calcaires, calage de pierres, liés au mortier sableux / sablonneux beige à beige jaunâtre.

***SUR :** 1121-A ; 1139-A ; 1424 ; 1427 ***Synch. :** 1425 ? ; 1426 ?

***Hz/Us :** 1251 ***Fait :** PO1251

***Type Us :** composite ***Ident. :** trou de poteau ?

***Sect. :** A-03

***N° Planche-s (n°Us / Fait / Ens.) :** 009

***Z sol 2018 ap. :** 43,3 ***Z sup. obs. ou niv. décap. (m NGF) :** 41,8

***Tech. fle. :** manuelle **.*% flé :** 100

***Forme (plan) :** subrectangulaire ***Profil :** cuvette

****Dim. max. obs (m) :** *Long. : 0,4 *larg. : 0,25

***Prof./Ht (obs. / restit.) :** 0,1

***Descri. :** LAS gris brun sombre.

***SUR :** 1294 ***Rel. indét. :** 1278

***Hz/Us :** 1252 ***Fait :** CP1252

***Type Us :** coupe

***Sect. :** B-02

***N° Planche-s (n°Us / Fait / Ens.) :** 008, 013, 050, 051

***Rem. :** En limite Est de la fouille.

-ENE/OSO sur MR1139, FO1517 et FO1518.

***Z sol 2018 ap. :** 43,85 ***Z sup. obs. ou niv. décap. (m NGF) :** 43,85

***Tech. fle. :** méc. + man.

****Dim. max. obs (m) :** *Long. : 4,9 ***Prof./Ht (obs. / restit.) :** 1,95

***Hz/Us :** 1253 ***Fait :** CP1253

***Type Us :** coupe

***Sect. :** B-02

***N° Planche-s (n°Us / Fait / Ens.) :** 008, 013, 048, 049

***Rem. :** En limite Est de la fouille.

-NNO/SSE sur FS1519 et bassin contemporain.

-Se superpose en partie avec la CP1261.

***Z sol 2018 ap. :** 43,50 / 43,85 ***Z sup. obs. ou niv. décap. (m NGF) :** 43,50 / 43,85

***Tech. fle. :** méc. + man.

****Dim. max. obs (m) :** *Long. : 7,1 ***Prof./Ht (obs. / restit.) :** 2,05

***Hz/Us :** 1254 ***Fait :** CP1254

***Type Us :** coupe

***Sect. :** B-03

***N° Planche-s (n°Us / Fait / Ens.) :** 010, 013, 046, 047

***Rem. :** En limite Est de la fouille.

-N(NO) / S(SE) sur FS1255, PO1256, l'HZ1408....

***Z sol 2018 ap. :** 43,35 / 43,50 ***Z sup. obs. ou niv. décap. (m NGF) :** 43,35 / 43,40

***Tech. fle. :** méc. + man.

****Dim. max. obs (m) :** *Long. : 6,7 ***Prof./Ht (obs. / restit.) :** 1

***Hz/Us :** 1255 ***Fait :** FS1255

***Type Us :** composite ***Ident. :** fosse ***Sect. :** B-03

***N° Planche-s (n°Us / Fait / Ens.) :** 010, 047

***Rem. :** CP1254.

-Très partiellement décapée, en limite de fouille.

***Z sol 2018 ap. :** 43,35 / 43,50 ***Z sup. obs. ou niv. décap. (m NGF) :** 42,9

***Tech. fle. :** méc. + man. **.*% flé :** ?

***Forme (plan) :** indéterminée, partiellement décapé-e

***Profil :** évasé fond arrondi

****Dim. max. obs (m) :** *Long. : 1,45 *larg. : ? ***Prof./Ht (obs. / restit.) :** 0,5

***Descri. :** LAS brun foncé à brun gris, petites pierres et gros frags de tuiles plates à crochet épars à erratiques.

***SOUS :** 1408 ***SUR :** 1256 ; 1259

***Hz/Us :** 1256 ***Fait :** PO1256

***Type Us :** composite ***Ident. :** trou de poteau ?

***Sect. :** B-03

***N° Planche-s (n°Us / Fait / Ens.) :** 010, 047

***Rem. :** Vu dans la coupe 1254.

***Z sol 2018 ap. :** 43,35 ***Z sup. obs. ou niv. décap. (m NGF) :** 42,85

***Tech. fle. :** méc. + man. **.*% flé :** ?

***Forme (plan) :** indéterminée, partiellement décapé-e

***Profil :** évasé à vertical à fond lég. concave

****Dim. max. obs (m) :** *Diam. : 0,3 ? ***Prof./Ht (obs. / restit.) :** 0,45

***Descri. :**

-1256-a : LAS beige à gris beige clair, 1 petite pierre.

-1256-b : Au fond, LAS grisâtre sombre à noirâtre.

***SOUS :** 1255 ; 1259 ? ; 1408 ***SUR :** 1294

***Hz/Us :** 1257 ***Fait :** BS1250

***Type Us :** composite, DOUBLON ***Ident. :** petit bassin contemporain

*Rem. : Voir n°1250 et CP1253.

*Z sol 2018 ap. : 43,85 *Z sup. obs. ou niv. décap. (m NGF) : 43,6

*Egal. : 1250

*Hz/Us : 1258 *Fait : FS1258

*Type Us : composite *Ident. : tranchée (de récupération ?) / fosse *Sect. : B-02

*N° Planche-s (n°Us / Fait / Ens.) : 008, 049

*Rem. : Vue dans la CP1253.

-Surdécapée.

*Z sol 2018 ap. : 43,85 *Z sup. obs. ou niv. décap. (m NGF) : 43,3

*Tech. fle. : mécanique *% flé : ?

*Forme (plan) : indéterminée tronquée *Profil : vertical fond arrondi

**Dim. max. obs (m) : *Long. : ? *larg. : > 0,35

*Prof./Ht (obs. / restit.) : 0,45

*Descri. :

-1258-A : Remblai de SLA / ALS jaune foncé et de LAS brun beige avec inclusions calcaires anguleuses (horizon-s géologique-s remanié-s).

-1258-B : Creusement.

*SOUS : 1519-A *Synch. : 1519-B ? *Rel. indét. : 1139-B

*Hz/Us : 1259 *Fait : HZ1259 *Ens. : HRZ1259

*Type Us : comblement *Ident. : horizon pédologique / horizon de terre végétale ancienne

*N° Planche-s (n°Us / Fait / Ens.) : 030, 031, 032, 034, 046, 047, 048, 050, 051, 052, 053, 054, 055, 056, 057, 081

*Rem. : Egal à l'HZ1407.

- "Scellé" par les RB1292.

*Z sol 2018 ap. : 43,05 / 43,90 *Z sup. obs. ou niv. décap. (m NGF) : 42,20 / 43,30

*Tech. fle. : mécanique *% flé : ?

**Dim. max. obs (m) : *Long. : 60 *larg. : > 20 *Prof./Ht (obs. / restit.) : 0,3

*Descri. :

-Terre "végétale" / "de jardin" / "terre noire" = HZ1407.

-LAS brun gris sombre à gris brun foncé (+ clair et brun que 1197 = 1278), cailloutis anguleux épars à erratique.

-CP1285 : limite entre 1197 = 1278 et 1259 = 1407 marquée par la "sole" 1423.

*SOUS : 1292 ; 1419 ; 1420 *SUR : 1197 ; 1278 ; 1423 *Egal. : 1407

*Hz/Us : 1260 *Fait : CP1260

*Type Us : coupe

*Sect. : B-03, B-04

*N° Planche-s (n°Us / Fait / Ens.) : 010, 012, 013, 045, 046, 127

*Rem. : Limite Est de la fouille.

-SSE/NNO, depuis 1088 jusqu'à 1054. Sur 1079.

*Z sol 2018 ap. : 43,10 / 43,35 *Z sup. obs. ou niv. décap. (m NGF) : 43,10 / 43,25

*Tech. fle. : méc. + man.

**Dim. max. obs (m) : *Long. : 13 *Prof./Ht (obs. / restit.) : 0,7 à 1,6

*Hz/Us : 1261 *Fait : CP1261

*Type Us : coupe

*Sect. : B-03

*N° Planche-s (n°Us / Fait / Ens.) : 010, 013, 047, 048

*Rem. : Limite Est de la fouille.

-SSE/NNO, depuis 1119 jusqu'à 1262.

*Z sol 2018 ap. : 43,50 *Z sup. obs. ou niv. décap. (m NGF) : 43,30 / 43,50

*Tech. fle. : méc. + man.

**Dim. max. obs (m) : *Long. : 7,8 *Prof./Ht (obs. / restit.) : 1,6

*Hz/Us : 1262 *Fait : FS1262

*Type Us : composite *Ident. : fosse *Sect. : B-03

*N° Planche-s (n°Us / Fait / Ens.) : 010, 047

*Rem. : Voir CP1261.

-Vue en coupe. Surdécapée.

*Z sol 2018 ap. : 43,5 *Z sup. obs. ou niv. décap. (m NGF) : 43

*Tech. fle. : mécanique *% flé : ?

*Forme (plan) : indéterminée, partiellement décapé-e

*Profil : cuvette

**Dim. max. obs (m) : *Long. : 0,9 *larg. : ? *Prof./Ht (obs. / restit.) : 0,3

*Descri. :

-1262-a : LAS gris brun à gris, quelques grosses mottes brun jaune.

-1262-b : Petites pierres / gros cailloutis anguleux et LAS gris brun, rares frags de tuile-s.

-1262-c : LAS brun gris à gris brun.

*SOUS : 1436 ; 1437 *SUR : 1408

*Hz/Us : 1263 *Fait : FO1518

*Type Us : composite, DOUBLON *Ident. : fossé

*Rem. : CP1261 sup. = 1518-A.

*Egal. : 1518-B

*Hz/Us : 1264

*Type Us : n° de travail *Ident. : divers

*Rem. : CP1261 sup. = Bord Nord de l'Us1372 + FO1518-A.

*Egal. : 1518-B ; 1372

*Hz/Us : 1265 *Fait : FS1265

*Type Us : composite *Ident. : fosse *Sect. : B-03

*N° Planche-s (n°Us / Fait / Ens.) : 010, 066, 067

*Rem. : CP1253 et CP1261.

-Partiellement dégagée en limite de fouille.

*Z sol 2018 ap. : 43,5 *Z sup. obs. ou niv. décap. (m NGF) : 43

*Tech. fle. : mécanique *% flé : 100

*Forme (plan) : circulaire / ovale ? *Profil : cuvette

**Dim. max. obs (m) : *Diam. : 1,5 ? *Prof./Ht (obs. / restit.) : 0,45

*Descri. : Mottes / litages de LAS brun foncé à brun beige et gris brun, petit cailloutis épars à erratique.

*SOUS : 1436 *SUR : 1119 ; 1259

*Hz/Us : 1266 *Fait : CP1266
 *Type Us : coupe
 *Sect. : C-01
 *N° Planche-s (n°Us / Fait / Ens.) : 007, 115, 119
 *Rem. : SSE/NNO sur CAV1211 et EX1267.
 *Z sol 2018 ap. : 43,5 *Z sup. obs. ou niv. décap. (m NGF) : 42,5
 *Tech. fle. : mec. + man.
 **Dim. max. obs (m) : *Long. : 2,9 *Prof./Ht (obs. / restit.) : 1,5
 *Descri. : CP1266, encaissants holocène et pléistocènes :
 -I : Sol brun, LAS brun orangé.
 -IIa : LAS / ALS jaunâtre.
 -IIb : LAS / ALS jaunâtre et cailloutis roulé siliceux et calcaire anguleux épars à abondant.
 -IIc : LAS / ALS jaunâtre.
 -IId : LAS / ALS jaunâtre et cailloutis roulé siliceux épars et calcaire anguleux épars à abondant.
 -IIe : ALS jaunâtre.

*Hz/Us : 1267 *Fait : EX1267 *Ens. : CAV1267
 *Type Us : composite *Ident. : excavation *Sect. : C-01
 *N° Planche-s (n°Us / Fait / Ens.) : 007, 067, 068, 115, 119, 120, 123
 *Rem. : Au fond de la "cave" 1267 = le "puisard" 1302.
 *Z sol 2018 ap. : 43,50 *Z sup. obs. ou niv. décap. (m NGF) : ≥ 43,00
 *Tech. fle. : mec. + man. *% flé : 90
 *Forme (plan) : subrectangulaire *Profil : évasé à vertical / en sape et fond plat
 **Dim. max. obs (m) : *Long. : > 3,5 *larg. : 3,5
 *Prof./Ht (obs. / restit.) : ≥ 1,8
 *Descri. :
 *1267-A : Remblais d'abandon <=> 1380-A = 1526.
 -1267-A1 = 1526-A1 : Litages de vrac de gravats (frags de plâtre, tuiles, briques, petites pierres) avec LAS gris sombre à brun gris, quelques couches de LAS bruns avec mottes jaunâtres à gris brun sombre. Dans la coupe 1300, effet d'écoulement en entonnoir des remblais vers la cave 1380, plus profonde.
 -1267-A2 : Dans la CP1266, au fond, sur bord Nord, encaissants I et II effondrés.
 -1267-A3 : Dans la CP1266, au fond, sur bord Nord, LA gris foncé.
 *1267-B1 = 1526-B : Creusement de démolition / abandon, évasé ou en sape.
 *1267-B2 : Vers le fond, négatif de pièce OSO/ENE, trapézoïdale allongée (L. : 3,4 ; l. : 1,5 à 1,8 m ; Fond à 41,20 m NGF) sur les remblais de démolition 1183 / 1184 et reprenant le bord Nord de la CAV1211.
 *SOUS : 1185 *SUR : 1183 ; 1184 *Synch. : 1302 ; 1526

*Hz/Us : 1268 *Fait : TR1268 *Ens. : CAV1211
 *Type Us : composite *Ident. : tranchée de fondation / base d'escalier *Sect. : C-01

*N° Planche-s (n°Us / Fait / Ens.) : 007
 *Rem. : ENE/OSO.
 -Base / dernière marche récupérée de l'escalier 1230, dans l'angle SE de la cave 1211.
 *Z sol 2018 ap. : 43,60 *Z sup. obs. ou niv. décap. (m NGF) : 41,5
 *Tech. fle. : manuelle *% flé : ?
 *Forme (plan) : linéaire *Profil : évasé à vertical à fond plat
 **Dim. max. obs (m) : *Long. : ≥ 1,35 *larg. : 0,35
 *Prof./Ht (obs. / restit.) : 0,2
 *Descri. :
 -1268-A = 1183.
 -1268-B <=> 1230-B : Creusement dans encaissant "lœssique" II.
 -CP1210 : Fond à 41,30 m NGF.
 *SOUS : 1212 *Synch. : 1211 ; 1230

*Hz/Us : 1269 *Fait : FD1269 *Ens. : CAV1211
 *Type Us : composite *Ident. : fondation de muret *Sect. : C-01
 *N° Planche-s (n°Us / Fait / Ens.) : 007, 115, 119
 *Rem. : Marche / palier ?
 -Fondation NNO/SSE. Division transversale de la cave 1211, antérieure au et tronquée par le sol 1212.
 *Z sol 2018 ap. : 43,60 *Z sup. obs. ou niv. décap. (m NGF) : 41,25
 *Tech. fle. : manuelle *% flé : ?
 *Forme (plan) : linéaire, lég. courbe. *Profil : évasé à vertical à fond plat
 **Dim. max. obs (m) : *Long. : > 2,3 *larg. : 0,35
 *Prof./Ht (obs. / restit.) : 0,3
 *Descri. :
 -1269-A : Parement à l'Ouest, pierre / moellons calcaires / silico-calcaires, calage de petites pierres, liés à la terre.
 -1269-B : Creusement sur l'encaissant "lœssique" II.
 -CP1210 : Fond à 40,95 m NGF.
 *SOUS : 1212 ; 1270-c

*Hz/Us : 1270 *Fait : SL1270 *Ens. : CAV1211
 *Type Us : comblement *Ident. : sol *Sect. : C-01
 *N° Planche-s (n°Us / Fait / Ens.) : 007, 118, 119, 120
 *Rem. : Sur et à l'Ouest de la FD1269.
 -Litages de sols synchrones avec (sur FD1269) et antérieurs à 1212.
 *Z sol 2018 ap. : 43,50 / 43,60 *Z sup. obs. ou niv. décap. (m NGF) : 41,3
 *Tech. fle. : manuelle *% flé : 80 ?
 **Dim. max. obs (m) : *Long. : 3,5 *larg. : > 2,35
 *Prof./Ht (obs. / restit.) : 0,15
 *Descri. :
 -1270-a = 1212-a3 : LAS gris brun à gris avec petites inclusions de calcaire / plâtre blanc éparses.
 -1270-b <=> 1212-b : (sur et à l'Ouest de la FD1269) Liseré de mottes / fine couche d'encaissant "lœssique" II (ALS jaunâtre avec cailloutis) remanié.
 -1270-c1 : LAS gris sombre à noirâtre, petites inclusions de calcaire / plâtre.
 -1270-c2 : LAS brun gris à beige, petites inclusions de calcaire / plâtre.

-1270-c3 : LAS gris, petites inclusions de calcaire / plâtre.

*SOUS : 1212-a1 *SUR : 1269 *Synch. : 1212-b

*Hz/Us : 1271 *Fait : CP1271

*Type Us : coupe

*Sect. : A-03

*N° Planche-s (n°Us / Fait / Ens.) : 009, 100

*Rem. : NNO/SSE sur FS1093.

*Z sol 2018 ap. : 43,4 *Z sup. obs. ou niv. décap. (m NGF) : 41,8

*Tech. fle. : manuelle

*Hz/Us : 1272 *Fait : EX1120

*Type Us : creusement *Ident. : fosse *Sect. : B-02

*N° Planche-s (n°Us / Fait / Ens.) : 008, 108, 109, 110

*Z sol 2018 ap. : 43,5 *Z sup. obs. ou niv. décap. (m NGF) : 41,95

*Tech. fle. : manuelle *% flé : 100

*Forme (plan) : excroissance ovulaire *Profil : bords verticaux à concaves et fond lég. concave

**Dim. max. obs (m) : *Long. : 1,8 *larg. : 1 *Prof./Ht (obs. / restit.) : 0,85

*Descri. : Partie inf. SO de la fosse 1120, dans l'encaissant lœssique II. Fond à 41,10 m NGF.

*SOUS : 1120-8 *Synch. : 1273

*Hz/Us : 1273 *Fait : EX1120

*Type Us : creusement *Ident. : fosse *Sect. : B-03

*N° Planche-s (n°Us / Fait / Ens.) : 010, 108, 109, 110

*Z sol 2018 ap. : 43,5 *Z sup. obs. ou niv. décap. (m NGF) : 41,85

*Tech. fle. : manuelle *% flé : 100

*Forme (plan) : ovulaire *Profil : bords verticaux à concaves et fond lég. convexe

**Dim. max. obs (m) : *Long. : 2,7 *larg. : 2 *Prof./Ht (obs. / restit.) : 0,6

*Descri. : Partie Est de la fosse 1120, dans l'encaissant lœssique II. Fond à 41,25 m NGF.

*SOUS : 1120-11b *Synch. : 1272

*Hz/Us : 1274 *Fait : SD1274

*Type Us : coupe / sondage

*Sect. : A-04, B-04

*N° Planche-s (n°Us / Fait / Ens.) : 011, 012, 130

*Rem. : OSO/ENE sur laTR1041, l'EX1052 et la fosse 1051.

*Z sol 2018 ap. : 43,20 *Z sup. obs. ou niv. décap. (m NGF) : 42,15

*Tech. fle. : mécanique

**Dim. max. obs (m) : *Long. : 5 *larg. : 1,6 *Prof./Ht (obs. / restit.) : 1,6

*Hz/Us : 1275 *Fait : HZ1294

*Type Us : ramassage mobilier

*Sect. : A-03

*N° Planche-s (n°Us / Fait / Ens.) : 009

*Rem. : 1 éclat de grès blanc ? Etat de surface frais, débité au percuteur dur. Néolithique ?

*Z sol 2018 ap. : 43,50 *Z sup. obs. ou niv. décap. (m

NGF) : 41,8

*Tech. fle. : manuelle

*Egal. : 1294

*Hz/Us : 1276 *Fait : CP1276

*Type Us : coupe

*Sect. : A-03

*N° Planche-s (n°Us / Fait / Ens.) : 009, 013, 037

*Rem. : N(NO) / S(SE), limite Ouest de la fouille, palier inférieur.

-Sur 1104, 1294...

*Z sol 2018 ap. : 43,40 *Z sup. obs. ou niv. décap. (m NGF) : 42,5

*Tech. fle. : mécanique

**Dim. max. obs (m) : *Long. : 5 *Prof./Ht (obs. / restit.) : 1,2

*Hz/Us : 1277 *Fait : SD1277 *N° diag. : SD08

*Type Us : composite *Ident. : Sondage diag. 2019

*Sect. : A-02, A-03

*N° Planche-s (n°Us / Fait / Ens.) : 009, 037

*Rem. : SD08 du diag. = erreur de localisation sur les plans du rapport de 2020 (GUINCHARD 2020).

-Remblais 2019 ap.

-Vu dans coupes 1276 et 1289. -Fond à 41,80 m NGF.

*Z sol 2018 ap. : 43,40 *Z sup. obs. ou niv. décap. (m NGF) : 43,4

*Tech. fle. : mécanique

**Dim. max. obs (m) : *Long. : 1,4 *larg. : > 1 *Prof./Ht (obs. / restit.) : 1,6

*Hz/Us : 1278 *Fait : HZ1278

*Type Us : composite *Ident. : horizon (Hz)

pédologique / terre végétale ancienne

*N° Planche-s (n°Us / Fait / Ens.) : 030, 031, 032,

033, 034, 035, 036, 037, 038, 050, 051, 052, 053,

054, 055, 056, 057, 058, 082, 084, 085, 086, 099

*Rem. : Voir coupes en limite de fouille.

-"Scellé" par 1259 = 1407.

-Niveau d'arasement sur four de tuilier et fossés gallo-romains.

-Scellement sup. postérieur aux fosses mérovingiennes 1056 et 1057.

*Z sol 2018 ap. : 43,00 / 43,85 *Z sup. obs. ou niv. décap. (m NGF) : 42,05 / 43,00

*Tech. fle. : méc. + man. *% flé : ?

**Dim. max. obs (m) : *Long. : 63 *larg. : > 17 *Prof./Ht (obs. / restit.) : 0,4

*Descri. : Terre "végétale" / "de jardin" / "terre noire" = 1197 ; SOUS HZ1259 <=> 1407.

-LAS gris brun sombre à gris foncé, fin cailloutis anguleux épars à erratique.

*SOUS : 1180 ; 1259 ; 1407 ; 1423 *SUR : 1056 ; 1074 ; 1248 ; 1518 *Egal. : 1197 ; 1409 ?

*Hz/Us : 1279 *Fait : PO1279

*Type Us : composite *Ident. : trou de poteau ?

*Sect. : B-01

*N° Planche-s (n°Us / Fait / Ens.) : 006

*Z sol 2018 ap. : 43,55 *Z sup. obs. ou niv. décap. (m

NGF) : ≥ 42,50

*Tech. file. : méc. + man. *% flé : 100

*Forme (plan) : circulaire *Profil : vertical fond arrondi

**Dim. max. obs (m) : *Long. : 0,35 *Prof./Ht (obs. / restit.) : ≥ 0,3

*Descri. : LAS brun sombre à noirâtre.

*SOUS : 1189 *SUR : 1294 *Rel. indét. : 1278

*Hz/Us : 1280 *Fait : PO1280

*Type Us : composite *Ident. : fosse / trou de poteau ?

*Sect. : A-03

*N° Planche-s (n°Us / Fait / Ens.) : 009

*Z sol 2018 ap. : 43,2 *Z sup. obs. ou niv. décap. (m NGF) : ≥ 41,90

*Tech. file. : manuelle *% flé : 100

*Forme (plan) : circulaire *Profil : cuvette

**Dim. max. obs (m) : *Diam. : 0,35 *Prof./Ht (obs. / restit.) : ≥ 0,25

*Descri. : LAS gris brun sombre.

*SUR : 1294 *Rel. indét. : 1057 ; 1278

*Hz/Us : 1281 *Fait : SD1281

*Type Us : coupe / sondage

*Sect. : B-04

*N° Planche-s (n°Us / Fait / Ens.) : 012, 132

*Rem. : NNO/SSE sur les EX1054 et EX1063.

*Z sol 2018 ap. : 43,25 / 43,35 *Z sup. obs. ou niv. décap. (m NGF) : 42,4

*Tech. file. : mécanique

**Dim. max. obs (m) : *Long. : 5,5 *larg. : 1,6 *Prof./Ht (obs. / restit.) : 1,9

*Hz/Us : 1282 *Fait : TR1282 *Ens. : BAT1126

*Type Us : composite *Ident. : tranchée de récupération *Sect. : B-02

*N° Planche-s (n°Us / Fait / Ens.) : 008, 030, 031, 032, 066, 067

*Rem. : S'aligne sur la TR1411 à l'Est.

-// à la FD11211 au Nord.

-Surdécapée.

*Z sol 2018 ap. : 43,85 *Z sup. obs. ou niv. décap. (m NGF) : 43,1

*Tech. file. : mécanique *% flé : 95

*Forme (plan) : linéaire rectiligne *Profil : vertical fond arrondi

**Dim. max. obs (m) : *Long. : ≥ 4,8 ? *larg. : 0,6

*Prof./Ht (obs. / restit.) : 0,6

*Descri. :

-1282-A : Comblement de récupération. LAS/ALS brun à brun jaunâtre, plages de mottes brun gris et gros cailloutis / petites pierres calcaires épars.

-1282-B : Creusement de fondation / récupération.

-CP1287 : Fond à 42,50 m NGF.

*SOUS : 1416 *SUR : 1292 *Synch. : 1126 *Egal. : 1411 ?

*Hz/Us : 1283 *Fait : CP1283

*Type Us : coupe

*Sect. : B-03

*N° Planche-s (n°Us / Fait / Ens.) : 010

*Rem. : SSO/NNE, sur PL1102 et test Sol brun (I).

*Z sol 2018 ap. : 43,55 *Z sup. obs. ou niv. décap. (m NGF) : 42,45

*Tech. file. : mécanique

**Dim. max. obs (m) : *Long. : 2,4 *Prof./Ht (obs. / restit.) : 0,45

*Hz/Us : 1284 *Fait : EX1284

*Type Us : composite *Ident. : excavation avec fosse centrale *Sect. : B-03

*N° Planche-s (n°Us / Fait / Ens.) : 010, 047, 048, 066, 067

*Rem. : CP1261.

-Partiellement décapée, en limite de fouille.

*Z sol 2018 ap. : 43,50 *Z sup. obs. ou niv. décap. (m NGF) : 43

*Tech. file. : mécanique *% flé : ?

*Forme (plan) : ovale ? *Profil : très évasé (1372) puis creusement central à bords évasés à fond plat (1284)

**Dim. max. obs (m) : *Long. : > 4,8 *larg. : ? *Prof./Ht (obs. / restit.) : 0,65

*Descri. :

-1372-A : LAS brun sombre, cailloutis anguleux épars à erratique, quelques petits frags de tuiles plates à crochet.

-1284-A : Mottes de LAS brun foncé à brun jaune, cailloutis anguleux épars à erratique, quelques petits frags de tuiles plates à crochet.

-1372-B : Creusement sup., très évasé (L. > 4,8 ; P. max. : 0,35 m.).

-1284-B : Surcreusement central (L. : 2,25 ; P. max. : 0,35 m). Fond à 42,35 m NGF.

*SOUS : 1119 *SUR : 1259 *Egal. : 1372 *Rel. indét. : 1116 ; 1244 ; 1408

*Hz/Us : 1285 *Fait : CP1285

*Type Us : coupe

*Sect. : C-01

*N° Planche-s (n°Us / Fait / Ens.) : 007, 013, 056

*Rem. : NNO/SSE, limite Sud Est de fouille.

-Sur FD1154, EX1413...

*Z sol 2018 ap. : 43,70 *Z sup. obs. ou niv. décap. (m NGF) : 43,50 / 43,70

*Tech. file. : méc. + man.

**Dim. max. obs (m) : *Long. : 5,25 *Prof./Ht (obs. / restit.) : 1,7

*Hz/Us : 1286 *Fait : SD1286

*Type Us : coupes / sondage

*Sect. : B-02

*N° Planche-s (n°Us / Fait / Ens.) : 008, 125

*Rem. : NNO/SSE (1286-E) et SSE/NNO (1286-O) sur EX1125 et EX1129.

*Z sol 2018 ap. : 43,90 *Z sup. obs. ou niv. décap. (m NGF) : 42,85

*Tech. file. : mécanique

**Dim. max. obs (m) : *Long. : 6,75 *larg. : 1,5 / 1,7

*Prof./Ht (obs. / restit.) : 1,75

*Hz/Us : 1287 *Fait : CP1287

*Type Us : coupe

*Sect. : B-02

*N° Planche-s (n°Us / Fait / Ens.) : 008, 013, 031, 032, 033

*Rem. : SSE/NNO, limite Ouest de la fouille, palier inférieur.

-Sur 1282, 1259 = 1407, 1278, 1294...

*Z sol 2018 ap. : 43,85 *Z sup. obs. ou niv. décap. (m NGF) : 42,85

*Tech. fle. : mécanique

**Dim. max. obs (m) : *Long. : 5,5 *Prof./Ht (obs. / restit.) : 0,95

*Hz/Us : 1288 *Fait : EX1120

*Type Us : liseré de concrétions *Ident. : fosse

*Z sol 2018 ap. : 43,5 *Z sup. obs. ou niv. décap. (m NGF) : 41,8

*Tech. fle. : manuelle *% flé : 100

**Dim. max. obs (m) : *Long. : 0,3 *larg. : 0,3 *Prof./Ht (obs. / restit.) : <0,05

*Descri. : Au centre Nord de la fosse 1120-3b, interface entre 1120-2a et 1120-2b ?

-Plage d'environ 0,3 X 0,3 m, liseré oblique (pendage comblements de la fosse) de concrétions de "rouille" / indurées (< 0,05 m)...

*SOUS : 1120-1 *SUR : 1120-3b *Egal. : 1120-2

*Hz/Us : 1289 *Fait : CP1289

*Type Us : coupe

*Sect. : A-03

*N° Planche-s (n°Us / Fait / Ens.) : 009, 013, 036

*Rem. : ENE/OSO, limite Ouest de fouille. Palier inférieur.

-Entre SD08 et TR02 du diag. Sur 1407, 1278, 1294...

*Z sol 2018 ap. : 43,45 *Z sup. obs. ou niv. décap. (m NGF) : 42,7

*Tech. fle. : mec. + man.

**Dim. max. obs (m) : *Long. : 7 *Prof./Ht (obs. / restit.) : 1,35

*Hz/Us : 1290 *Fait : CP1290

*Type Us : coupe

*Sect. : B-01, B-02

*N° Planche-s (n°Us / Fait / Ens.) : 006, 008, 107

*Rem. : SSE/NNO, reprise partielle de la coupe Ouest de la Tr01 du diag. de 2019.

-Limite Ouest de la fouille.

-Sur 1232 et 1233...

*Z sol 2018 ap. : 43,70 *Z sup. obs. ou niv. décap. (m NGF) : 42,1

*Tech. fle. : mécanique

**Dim. max. obs (m) : *Long. : 8,05 *Prof./Ht (obs. / restit.) : 0,65

*Hz/Us : 1291 *Fait : CP1291

*Type Us : coupe

*Sect. : B-02

*N° Planche-s (n°Us / Fait / Ens.) : 008, 013, 052, 053, 095

*Rem. : Limite Est de la fouille.

-CP1291-a (partie Sud, 2 m) = SSE/NNO.

-CP1291-b (partie Nord, 1,6 m) = S(SO)/N(NO).

-Sur FD1128, fossé 1248, FS1303...

*Z sol 2018 ap. : 43,85 / 43,90 *Z sup. obs. ou niv. décap. (m NGF) : 43,8

*Tech. fle. : mécanique

**Dim. max. obs (m) : *Long. : 3,6 *Prof./Ht (obs. / restit.) : 1,7

*Hz/Us : 1292 *Fait : RB1292

*Type Us : composite *Ident. : horizon stratigraphique, remblais +/- «végétalisés»

*N° Planche-s (n°Us / Fait / Ens.) : 026, 027, 028, 029, 030, 031, 050, 051, 052, 053, 081

*Rem. : Horizon général de remblais plus ou moins hétérogènes.

-Moitié méridionale de la parcelle.

*Z sol 2018 ap. : 43,40 / 43,85 *Z sup. obs. ou niv. décap. (m NGF) : 42,65 / 43,10

*Tech. fle. : mécanique

**Dim. max. obs (m) : *Long. : > 30 *larg. : > 15

*Prof./Ht (obs. / restit.) : 0,4

*Descri. :

*CP1252-1291 : (Ép. max. : 0,4 m ; NGF sup. : 43,10 m)

-1292 : LAS gris à gris brun, petites mottes brun beige éparées à erratiques, petits cailloutis et petits frags de terre cuite éparés à erratiques.

*Tr01-diag. cpe Ouest : (Ép. max. : 0,25 m ; NGF sup. : 43,10 m).

-1292-a : LAS brun gris à gris, cailloutis calcaire éparés.

-1292-b : Plage de mottes de LAS/ALS brun beige à jaunâtre.

*CP1276 : 1420 <=> 1292 ? (Ép. max. : 0,3 / 0,5 m ; NGF sup. : 42,65 m).

-1420 : LAS brun à brun gris, petit cailloutis calcaire éparés.

*SOUS : 1126 ; 1412 ; 1416 *SUR : 1233 ; 1259 ; 1419 *Synch. : 1420 ? *Egal. : 1420 ?

*Hz/Us : 1293 *Fait : CP1293

*Type Us : coupe

*Sect. : B-02

*N° Planche-s (n°Us / Fait / Ens.) : 008, 013, 052, 054, 055

*Rem. : NNO/SSE, limite Est de la fouille.

-Sur FS1249, 1278, 1259, 1411n 1413...

*Z sol 2018 ap. : 43,90 *Z sup. obs. ou niv. décap. (m NGF) : 43,8

*Tech. fle. : mécanique

**Dim. max. obs (m) : *Long. : 5,2 *Prof./Ht (obs. / restit.) : 1,8

*Hz/Us : 1294 *Fait : HZ1294

*Type Us : composite *Ident. : niveau stratigraphique / horizon pédologique *Sect. : A-03, A-04, B-01 à B-04

*N° Planche-s (n°Us / Fait / Ens.) : 024, 026, 027, 028, 030, 031, 032, 033, 034, 035, 036, 037, 038, 039, 040, 046, 047, 048, 050, 051, 081, 087, 099, 104, 106

***Rem.** : Colluvions probables. Remblai possible.
 -Antérieur aux vestiges gallo-romains.
 -Postérieur au Sol Brun holocène et aux sédimentations de l'HZ1325.
 -Pas de mobilier, sauf 3 pièces lithiques (1225, 1226 et 1275), paléolithique sup. à néolithique probables...
***Z sol 2018 ap.** : 43,00 / 43,90 ***Z sup. obs. ou niv. décap. (m NGF)** : 41,75 / 42,95
***Tech. fle.** : mécanique ***% flé** : ?
****Dim. max. obs (m)** : ***Long.** : > 73 ***larg.** : > 20
***Prof./Ht (obs. / restit.)** : 0,2 / 0,4
***Descri.** : Observé sur l'ensemble de la parcelle, sauf dans l'angle NE.
 -LAS beige à brun beige, petit cailloutis anguleux épars, par endroits, plages plus ou moins étendues de petites pierres silico-calcaires anguleuses éparses.
***SOUS** : 1074 ; 1124 ; 1179 ; 1321 ***SUR** : 1325 ***Rel. indét.** : 1247 ; 1295

***Hz/Us** : 1295 ***Fait** : FO1295 ***Ens.** : SFO1247 ?
***Type Us** : composite ***Ident.** : fossé ? ***Sect.** : B-02
***N° Planche-s (n°Us / Fait / Ens.)** : 008, 030, 061
***Rem.** : Prolongement du FO1247 vers le NO ?
 -Probable SFO1247 (1247 + 1295) = plus de 14,5 m de longueur, pendage vers le NO.
 -Tronqué par l'EX1232.
***Z sol 2018 ap.** : 43,80 ***Z sup. obs. ou niv. décap. (m NGF)** : 41,90 ou 42,25
***Tech. fle.** : mécanique ***% flé** : ?
***Forme (plan)** : linéaire ***Profil** : évasé fond arrondi
****Dim. max. obs (m)** : ***Long.** : > 1,3 ***larg.** : > 0,75
***Prof./Ht (obs. / restit.)** : 0,4 ou 0,65
***Descri.** :
 -LAS brun foncé à brun gris (difficilement perceptible dans l'encaissant de Sol brun I).
 -CP1227 : Fond à 41,50 m NGF.
***SOUS** : 1278 ***SUR** : 1325 ***Synch.** : 1247 ? ***Egal.** : 1247 ? ***Rel. indét.** : 1294

***Hz/Us** : 1296 ***Fait** : CP1296
***Type Us** : coupe
***Sect.** : B-01
***N° Planche-s (n°Us / Fait / Ens.)** : 006
***Rem.** : NNO/SSE.
 -Sur excroissance 1173-B = 1379 en limite de 1172 = 1381-A.
 -Us 1172 + 1173.
***Z sol 2018 ap.** : 43,60 ***Z sup. obs. ou niv. décap. (m NGF)** : 42,40 (décap.)
***Tech. fle.** : méc. + man.
****Dim. max. obs (m)** : ***Long.** : 1,7 ***Prof./Ht (obs. / restit.)** : 0,9

***Hz/Us** : 1297 ***Fait** : FO1179
***Type Us** : ramassage mobilier ***Ident.** : fossé ***Sect.** : C-01
***N° Planche-s (n°Us / Fait / Ens.)** : 007
***Rem.** : Céramique, pesons, gros frag. de paroi de four.
 -Dans FO1179 (entre FD1155 et FD1156).

***Hz/Us** : 1298 ***Fait** : FS1298
***Type Us** : composite ***Ident.** : fosse ***Sect.** : C-01
***N° Planche-s (n°Us / Fait / Ens.)** : 007, 065, 120
***Rem.** : Tronquée par l'EX1267.
 -Relation incertaine avec la cave 1211. Fosse 1298 probablement antérieure ?
 -CP1301.
***Z sol 2018 ap.** : 43,55 ***Z sup. obs. ou niv. décap. (m NGF)** : ≥ 42,70
***Tech. fle.** : méc. + man. ***% flé** : 100
***Forme (plan)** : ovale à circulaire tronquée ?
***Profil** : évasé fond irrégulier
****Dim. max. obs (m)** : ***Long.** : 2,2 ***larg.** : > 0,6
***Prof./Ht (obs. / restit.)** : ≥ 1,3
***Descri.** :
 -1298-a : LAS brun gris sombre, cailloutis épars.
 -1298-b : LAS gris brun sombre, petites pierres et cailloutis abondants, petits frags de plâtre et de calcaire blanc épars.
 -1298-c : LAS brun gris sombre.
 -1298-d : remblai plus ou moins lité de mottes de LAS brun gris sombre et de LAS / ALS brun orangé à jaunâtre (encaissants I et II remaniés).
 -CP1301 : Fond à 41,40 m NGF.
***SOUS** : 1267-B ***SUR** : 1148 ; 1278 ***Rel. indét.** : 1183 ; 1211

***Hz/Us** : 1299 ***Fait** : CP1299
***Type Us** : coupe
***Sect.** : C-01
***N° Planche-s (n°Us / Fait / Ens.)** : 007, 072
***Rem.** : NE/SO sur le FO1247.
***Z sol 2018 ap.** : 43,7 ***Z sup. obs. ou niv. décap. (m NGF)** : 42,45
***Tech. fle.** : manuelle
****Dim. max. obs (m)** : ***Long.** : 1,5 ***Prof./Ht (obs. / restit.)** : 0,55

***Hz/Us** : 1300 ***Fait** : CP1300
***Type Us** : coupe
***Sect.** : C-01
***N° Planche-s (n°Us / Fait / Ens.)** : 007, 115, 120
***Rem.** : SSE/NNO sur la CAV1211 et l'EX1267.
 -Voir CP1375.
***Z sol 2018 ap.** : 43,5 ***Z sup. obs. ou niv. décap. (m NGF)** : 42,6
***Tech. fle.** : méc. + man.
****Dim. max. obs (m)** : ***Long.** : 2,8 ***Prof./Ht (obs. / restit.)** : 1,6 / 2,5
***Descri.** : CP1300 et sondage PT1302, encaissants holocène et pléistocènes :
 -I : Sol brun, LAS brun orangé.
 -IIa : LAS / ALS jaunâtre.
 -IIb : LAS / ALS jaunâtre et cailloutis roulé siliceux et calcaire anguleux épars à abondant.
 -IIc : LAS / ALS jaunâtre.
 -IId : LAS / ALS jaunâtre et cailloutis roulé siliceux épars et calcaire anguleux épars à abondant.
 -IIe : ALS jaunâtre.
 -IIIf : Gravier et calcaire dégradé.
 -Fond sondage PT1302 à env. 40,10 m NGF.

*Hz/Us : 1301 *Fait : CP1301
 *Type Us : coupe
 *Sect. : C-01
 *N° Planche-s (n°Us / Fait / Ens.) : 007, 115
 *Rem. : OSO/ENE, bord N de l'EX1267, sur la FS1298.
 *Z sol 2018 ap. : 43,55 *Z sup. obs. ou niv. décap. (m NGF) : 42,6
 *Tech. fle. : manuelle
 **Dim. max. obs (m) : *Long. : 3,2 *Prof./Ht (obs. / restit.) : 1,4
 *Descri. : CP1301, encaissants holocène et pléistocènes :
 -I : Sol brun, LAS brun orangé.
 -IIa : LAS / ALS jaunâtre.
 -IIb : LAS / ALS jaunâtre et cailloutis roulé siliceux et calcaire anguleux épars à abondant.
 -IIc : LAS / ALS jaunâtre.
 -IId : LAS / ALS jaunâtre et cailloutis roulé siliceux épars et calcaire anguleux épars à abondant.
 -Ile : ALS jaunâtre.

*Hz/Us : 1302 *Fait : PT1302 *Ens. : CAV1267
 *Type Us : composite *Ident. : fosse en fût *Sect. : C-01
 *N° Planche-s (n°Us / Fait / Ens.) : 007, 067, 115
 *Rem. : "Puisard" ? Fosse cylindrique au fond de la "cave" 1267.
 *Z sol 2018 ap. : 43,50 *Z sup. obs. ou niv. décap. (m NGF) : 41,2
 *Tech. fle. : méc. + manu. *% flé : 100
 *Forme (plan) : subcirculaire *Profil : vertical fond plat
 **Dim. max. obs (m) : *Long. : 1,1 *larg. : 1,05
 *Prof./Ht (obs. / restit.) : 1
 *Descri. :
 -1302-A = 1267-A1 : (env. 41,20 à 40,70 m NGF)
 Litages de vrac de gravats (frags de plâtre, tuiles, briques, petites pierres) avec LAS gris sombre à brun gris.
 -1302-B : (env. 40,70 à 40,20 m NGF) LA gris à noirâtre hydromorphe / "organique", cailloutis épars.
 -1302-C : Creusement depuis sol de la cave 1267 dans encaissant II ("lœssique").
 -Fond à environ 40,20 m NGF.
 *SUR : 1212 *Synch. : 1267

*Hz/Us : 1303 *Fait : FS1303
 *Type Us : composite *Ident. : fosse *Sect. : B-02
 *N° Planche-s (n°Us / Fait / Ens.) : 008, 052, 053, 062, 095
 *Rem. : Relation incertaine avec le fossé Haut-Empire 1248. Fosse 1303 antérieure ?
 -Partiellement décapée, en limite de fouille.
 -CP1291-b.
 *Z sol 2018 ap. : 43,85 *Z sup. obs. ou niv. décap. (m NGF) : ≥ 42,50
 *Tech. fle. : méc. + man. *% flé : 50 ?
 *Forme (plan) : ovale ? *Profil : évasé à vertical / en sape à fond plat
 **Dim. max. obs (m) : *Long. : 0,9 *larg. : > 0,5

*Prof./Ht (obs. / restit.) : ≥ 0,75
 *Descri. :
 -1303-a : Similaire à 1248, LAS beige à lég. verdâtre.
 -1303-b : LAS brun à brun gris, quelques mottes d'ALS jaunâtre (encaissant II remanié).
 -1303-c : LAS brun, frags de tuiles gallo-romaines épars.
 -1303-d : LAS gris foncé, petits charbons épars.
 -Fond à 41,75 m NGF
 *SOUS : 1248 ? ; 1278 *SUR : 1294 *Rel. indét. : 1248

*Hz/Us : 1304 *Fait : PO1304 *Ens. : BAT1082 ?
 *Type Us : composite *Ident. : trou de poteau *Sect. : A-03
 *N° Planche-s (n°Us / Fait / Ens.) : 009, 101
 *Z sol 2018 ap. : 43,3 *Z sup. obs. ou niv. décap. (m NGF) : 41,9
 *Tech. fle. : manuelle *% flé : 100
 *Forme (plan) : circulaire *Profil : évasé à vertical à fond lég. concave
 **Dim. max. obs (m) : *Diam. : 0,35 *Prof./Ht (obs. / restit.) : 0,45
 *Descri. : LAS gris à gris brun.
 *SOUS : 1278 ? *SUR : 1294

*Hz/Us : 1305 *Fait : FR1320 *Ens. : FOU1074
 *Type Us : comblement *Ident. : chambre de chauffe
 *N° Planche-s (n°Us / Fait / Ens.) : 084, 085, 092, 093
 *Rem. : Abandon / scellement de la chambre de chauffe <=> 1350.
 -Phase B du four de tuilier.
 *Z sol 2018 ap. : 43,4 *Z sup. obs. ou niv. décap. (m NGF) : 42,3
 *Tech. fle. : manuelle *% flé : 100
 **Dim. max. obs (m) : *Long. : 3,5 *larg. : 2,6 *Prof./Ht (obs. / restit.) : 0,4
 *Descri. : 1305 : couche de terre rubéfiée remaniée orangé foncé, frags de tuiles gallo-romaines épars à erratique.
 *SOUS : 1348 *SUR : 1323 *Egal. : 1350

*Hz/Us : 1306 *Fait : PO1306 *Ens. : BAT1082 ?
 *Type Us : composite *Ident. : trou de poteau *Sect. : A-03
 *N° Planche-s (n°Us / Fait / Ens.) : 009, 038, 101
 *Rem. : CP1393. En limite de fouille.
 *Z sol 2018 ap. : 43,3 *Z sup. obs. ou niv. décap. (m NGF) : 41,85
 *Tech. fle. : mécanique *% flé : 40
 *Forme (plan) : circulaire *Profil : évasé à vertical à fond plat
 **Dim. max. obs (m) : *Diam. : 0,4 *Prof./Ht (obs. / restit.) : 0,3
 *Descri. :
 -1306-a : (Négatif cylindrique, diam. : 0,2 m), LAS gris.
 -1306-b : (avant-trou) LAS brun gris.
 *SOUS : 1278 *SUR : 1294

*Hz/Us : 1307 *Fait : EX1307

*Type Us : composite *Ident. : excavation *Sect. : A-03

*N° Planche-s (n°Us / Fait / Ens.) : 009, 038, 066, 067, 068

*Rem. : En limite de fouille, CP1393.

-Bord Nord non relevé / nettoyé = sédiments pollués (solvants / hydrocarbures ?).

*Z sol 2018 ap. : 43,30 *Z sup. obs. ou niv. décap. (m NGF) : 42,6

*Tech. fle. : mécanique *% flé : ?

*Forme (plan) : indéterminée, partiellement décapé-e

*Profil : évasé à fond convexe

**Dim. max. obs (m) : *Long. : 5,35 ? *larg. : ?

*Prof./Ht (obs. / restit.) : 1,15

*Descri. :

-1307-a : LAS gris brun très sombre, quelques litages interstitiels (bord Sud) LAS brun et mottes jaunâtres.

-1307-b : Bord Sud, au fond, mortier sableux beige (reste de fondation ?).

-1307-c : Creusement.

-Fond à 41,45 m NGF.

*SOUS : 1408 *SUR : 1420

*Hz/Us : 1308 *Fait : CP1308 *Ens. : FOU1074

*Type Us : coupe

*Sect. : B-03

*N° Planche-s (n°Us / Fait / Ens.) : 010

*Rem. : ESE/ONO sur la partie basse de la FS1501 (Us 1344), à l'intérieur de l'alandier Nord (Phase A) du four de tuilier.

-Surcreusement de l'encaissant loessique.

*Z sol 2018 ap. : 43,40 *Z sup. obs. ou niv. décap. (m NGF) : 41,5

*Tech. fle. : manuelle

**Dim. max. obs (m) : *Long. : 1 *Prof./Ht (obs. / restit.) : 0,6

*Hz/Us : 1309 *Fait : FS1309

*Type Us : composite *Ident. : fosse *Sect. : B-03

*N° Planche-s (n°Us / Fait / Ens.) : 010

*Z sol 2018 ap. : 43,4 *Z sup. obs. ou niv. décap. (m NGF) : ≥ 42,50

*Tech. fle. : manuelle *% flé : 100

*Forme (plan) : ovale *Profil : cuvette

**Dim. max. obs (m) : *Long. : 0,75 *larg. : 0,55

*Prof./Ht (obs. / restit.) : ≥ 0,1

*Descri. : LAS gris brun et cailloutis épars.

*SUR : 1320 *Rel. indéf. : 1259 ; 1278 ; 1408

*Hz/Us : 1310 *Fait : FS1310

*Type Us : composite *Ident. : fosse *Sect. : B-03

*N° Planche-s (n°Us / Fait / Ens.) : 010

*Rem. : = 1366 ?

*Z sol 2018 ap. : 43,4 *Z sup. obs. ou niv. décap. (m NGF) : ≥ 42,50

*Tech. fle. : manuelle *% flé : 100

*Forme (plan) : ovale *Profil : cuvette

**Dim. max. obs (m) : *Long. : 1,2 *larg. : 0,95

*Prof./Ht (obs. / restit.) : ≥ 0,5

*Descri. : LAS gris, frags rubéfié erratiques.

-Fond à 42,00 m NGF.

*SUR : 1305 *Rel. indéf. : 1278 ; 1311 ; 1366

*Hz/Us : 1311 *Fait : FS1311

*Type Us : composite *Ident. : fosse *Sect. : B-03

*N° Planche-s (n°Us / Fait / Ens.) : 010

*Rem. : = 1367 (fond).

*Z sol 2018 ap. : 43,4 *Z sup. obs. ou niv. décap. (m NGF) : ≥ 42,50

*Tech. fle. : manuelle *% flé : 100

*Forme (plan) : ovale *Profil : cuvette

**Dim. max. obs (m) : *Long. : 1,2 *larg. : 0,95

*Prof./Ht (obs. / restit.) : ≥ 0,3

*Descri. : LAS gris, frags rubéfié erratiques.

-Fond (1367) à 42,20 m.

*SOUS : 1102 *SUR : 1320 *Egal. : 1367 *Rel. indéf. : 1278 ; 1310 ; 1366

*Hz/Us : 1312 *Fait : CP1312 *Ens. : FOU1074

*Type Us : coupe

*Sect. : B-03

*N° Planche-s (n°Us / Fait / Ens.) : 010, 090

*Rem. : ONO/ESE Sur la FS1321 (Phase A du four de tuilier).

*Z sol 2018 ap. : 43,50 *Z sup. obs. ou niv. décap. (m NGF) : 42,6

*Tech. fle. : manuelle

**Dim. max. obs (m) : *Long. : 2,25 *Prof./Ht (obs. / restit.) : 1,35

*Hz/Us : 1313 *Fait : CP1313 *Ens. : FOU1074

*Type Us : coupe

*Sect. : B-03

*N° Planche-s (n°Us / Fait / Ens.) : 010, 092

*Rem. : ESE/ONO sur FS1502 et FR1320 (Phase B du four de tuilier).

*Z sol 2018 ap. : 43,40 *Z sup. obs. ou niv. décap. (m NGF) : 42,4

*Tech. fle. : manuelle

**Dim. max. obs (m) : *Long. : 3,9 *Prof./Ht (obs. / restit.) : 1,15

*Hz/Us : 1314 *Fait : CP1314 *Ens. : FOU1074

*Type Us : coupe

*Sect. : B-03

*N° Planche-s (n°Us / Fait / Ens.) : 010, 092

*Rem. : 1314 = coupe sup. ONO/ESE sur complements du FR1320.

-1391 = coupe inf. profonde ESE/ONO à travers FR1320.

*Z sol 2018 ap. : 43,4 *Z sup. obs. ou niv. décap. (m NGF) : 42,5

*Tech. fle. : méc. + man.

**Dim. max. obs (m) : *Long. : 5,6 *Prof./Ht (obs. / restit.) : 1,85

*Egal. : 1391

*Hz/Us : 1315 *Fait : CP1315 *Ens. : FOU1074

*Type Us : coupe

*Sect. : B-03

*N° Planche-s (n°Us / Fait / Ens.) : 010, 093

*Rem. : ESE/ONO sur comblements du FR1320 (Phase B du four de tuilier).

*Z sol 2018 ap. : 43,50 *Z sup. obs. ou niv. décap. (m NGF) : 42,4

*Tech. fle. : manuelle

**Dim. max. obs (m) : *Long. : 2,3 *Prof./Ht (obs. / restit.) : 1,3

*Hz/Us : 1316 *Fait : FS1316

*Type Us : composite *Ident. : fosse *Sect. : B-03

*N° Planche-s (n°Us / Fait / Ens.) : 010

*Z sol 2018 ap. : 43,4 *Z sup. obs. ou niv. décap. (m NGF) : ≥ 42,50

*Tech. fle. : manuelle *% flé : 100

*Forme (plan) : ovale *Profil : cuvette

**Dim. max. obs (m) : *Long. : 1 *larg. : 0,6 *Prof./Ht (obs. / restit.) : ≥ 0,5

*Descri. : LAS gris, frags rubéfié erratiques.

-Fond à 42,00 m NGF.

*SUR : 1305 *Rel. indét. : 1278 ; 1366

*Hz/Us : 1317 *Fait : PL1317 *Ens. : FOU1074

*Type Us : composite *Ident. : pile d'alandier *Sect. : B-03

*N° Planche-s (n°Us / Fait / Ens.) : 010, 080, 089, 091

*Rem. : Pile Est de l'alandier Nord (ALA1317), Phase A du four de tuilier (FOU1074).

-Partie supérieur / voûte tronquée par l'HZ1278 et la FS1501.

*Z sol 2018 ap. : 43,40 *Z sup. obs. ou niv. décap. (m NGF) : 42,5

*Tech. fle. : méc. + man. *% flé : 100

*Forme (plan) : quadrangulaire *Profil : en V

**Dim. max. obs (m) : *Long. : 1,5 *larg. : 1,4 *Prof./Ht (obs. / restit.) : 1,2

*Descri. : Environ 18 arases conservées de tuiles plates (*tegulae*, entières et gros fragments) à plat, liées à l'argile.

*SOUS : 1321-B ; 1337 *Synch. : 1321-C *Egal. : 1336

*Hz/Us : 1318 *Fait : PL1318 *Ens. : FOU1074

*Type Us : construite *Ident. : pile de cloison de chambre de chauffe *Sect. : B-03

*N° Planche-s (n°Us / Fait / Ens.) : 010, 080, 091, 092

*Rem. : Pile Ouest de la 1^{ère} cloison (CLO1318) en partant du Nord de la chambre de chauffe FR1320 (Phase B du four de tuilier FOU1074).

-Partie sup. / voûte détruite (démolition <=> 1323 ?).

*Z sol 2018 ap. : 43,40 *Z sup. obs. ou niv. décap. (m NGF) : 42,1

*Tech. fle. : méc. + man. *% flé : 100

*Forme (plan) : rectangulaire *Profil : en V

**Dim. max. obs (m) : *Long. : 1,1 *larg. : 0,42

*Prof./Ht (obs. / restit.) : 0,95

*Descri. : Lignes / arases de tuiles plates dans le sens de la longueur (*tegulae* entières et gros frags), liées à l'argile. Surfaces extérieures recouvertes par une fine

couche d'argile. Le tout induré / vitrifié.

*SOUS : 1323 *SUR : 1320 *Synch. : 1330 *Egal. : 1319

*Hz/Us : 1319 *Fait : PL1319 *Ens. : FOU1074

*Type Us : construite *Ident. : pile de cloison de chambre de chauffe *Sect. : B-03

*N° Planche-s (n°Us / Fait / Ens.) : 010, 080, 091, 092

*Rem. : Pile Est de la 1^{ère} cloison (CLO1318) en partant du Nord de la chambre de chauffe FR1320 (Phase B du four de tuilier FOU1074).

-Partie sup. / voûte détruite (démolition <=> 1323 ?).

*Z sol 2018 ap. : 43,40 *Z sup. obs. ou niv. décap. (m NGF) : 42

*Tech. fle. : méc. + man. *% flé : 100

*Forme (plan) : rectangulaire *Profil : en V

**Dim. max. obs (m) : *Long. : 0,9 *larg. : 0,43

*Prof./Ht (obs. / restit.) : 0,85

*Descri. : Lignes / arases de tuiles plates dans le sens de la longueur (*tegulae* entières et gros frags), liées à l'argile. Surfaces extérieures recouvertes par une fine couche d'argile. Le tout induré / vitrifié.

*SOUS : 1323 *SUR : 1320 *Synch. : 1331 *Egal. : 1318

*Hz/Us : 1320 *Fait : FR1320 *Ens. : FOU1074

*Type Us : composite *Ident. : chambre de chauffe *Sect. : B-03

*N° Planche-s (n°Us / Fait / Ens.) : 010, 062, 073, 074, 075, 076, 077, 078, 079, 080, 084, 085, 088, 089, 091, 092

*Rem. : Sole / parois de la chambre de chauffe. Phase B du four de tuilier.

*Z sol 2018 ap. : 43,5 *Z sup. obs. ou niv. décap. (m NGF) : 42,5

*Tech. fle. : méc. + man. *% flé : 100

*Forme (plan) : rectangulaire *Profil : bords Ouest et Est évasés, bords Nord et Sud verticaux, fond plat horizontal

**Dim. max. obs (m) : *Long. : 3,45 *larg. : 2,75

*Prof./Ht (obs. / restit.) : 1,3

*Descri. :

-1320-a = 1401-a : Sole indurée / "vitrifiée", couche d'argile recouvrant les parois (sur 1317, 1336, 1337, 1511).

-CP1315 : Fond à 41,15 m. NGF.

-1320-b = 1401-b : Encaissant rubéfié / rougi.

*SOUS : 1323 ; 1358 *SUR : 1337 ; 1400 *Synch. : 1401

*Hz/Us : 1321 *Fait : FS1321 *Ens. : FOU1074

*Type Us : composite *Ident. : fosse

*N° Planche-s (n°Us / Fait / Ens.) : 062, 073, 074, 075, 076, 077, 078, 079, 080, 086, 087, 090

*Rem. : Fosse de travail Nord du FOU1074.

*Z sol 2018 ap. : 43,35 *Z sup. obs. ou niv. décap. (m NGF) : 42,5

*Tech. fle. : manuelle *% flé : 100

*Forme (plan) : subrectangulaire *Profil : évasé à vertical à fond lég. concave

****Dim. max. obs (m) : *Long. : 4,3 *Prof./Ht (obs. / restit.) : 1,15**

***Descri. :**

*1321-A : Remblai-s d'abandon / scellement.

-1321-A1 <=> 1322 : Gros frags de tuiles rondes abondants, LA gris interstitiel, frags de tegulae et mottes rubéfiées épars, plage / petit amas de mortier sableux rose orangé (1322).

-1321-A2 = 1072 : LA jaunâtre à brun jaune (Lœssique = II remanié).

-1321-A3 : Frags de tuiles abondants, LAS interstitiel grisâtre.

*1321-B : Complements de fonctionnement.

-1321-B1 = 1359 : LA brun à brun gris, plus ou moins lité, une plage et mottes rubéfiées éparses à erratiques, petits charbons épars à erratiques.

-1321-B2 = 1360 : Remblai d'encaissant lœssique jaunâtre remanié (II).

-1321-B3 = 1361 : LA brun à brun gris et plage de sédiment rubéfié remanié, petits charbons épars à erratiques.

*1321-C : Creusements.

-1321-C : Creusement général (sous 1361) et voir 1403.

-CP1312 : Fond à 41,25 m NGF.

*SOUS : 1337 *Synch. : 1317 ; 1336 ; 1400 *Egal. : 1072 ; 1322

*Hz/Us : 1322 *Fait : FS1321 *Ens. : FOU1074

*Type Us : comblement *Ident. : fosse

*N° Planche-s (n°Us / Fait / Ens.) : 090

*Z sol 2018 ap. : 43,4 *Z sup. obs. ou niv. décap. (m NGF) : 42,5

*Tech. fle. : manuelle *% flé : 100

****Dim. max. obs (m) : *Prof./Ht (obs. / restit.) : 0,25**

***Descri. : Plage / petit amas de mortier sableux rose orangé dans 1321-A1.**

***Egal. : 1321-A**

*Hz/Us : 1323 *Fait : FR1320 *Ens. : FOU1074

*Type Us : comblement *Ident. : chambre de chauffe

*N° Planche-s (n°Us / Fait / Ens.) : 084, 085, 092, 093

*Rem. : Abandon / scellement de la chambre de chauffe <=> 1358.

-Phase B du four de tuilier.

*Z sol 2018 ap. : 43,4 *Z sup. obs. ou niv. décap. (m NGF) : 42,1

*Tech. fle. : manuelle *% flé : 100

****Dim. max. obs (m) : *Long. : 3,5 *larg. : 2,6 *Prof./Ht (obs. / restit.) : 0,8**

***Descri. : 1323 : Litages de vrac de fragments, plutôt petits, de tuiles gallo-romaines, de ratés de cuisson et parois vitrifiés / indurés, frags rubéfiés épars, LAS brun gris à gris. Quelques tuiles presque entières.**

*SOUS : 1305 *SUR : 1320 ; 1330 ; 1333 ; 1337

*Egal. : 1358

*Hz/Us : 1324 *Fait : CP1324

*Type Us : coupe

*Sect. : B-01

*N° Planche-s (n°Us / Fait / Ens.) : 006, 013, 026, 027

*Rem. : NNO/SSE, limite Ouest de la fouille, palier inférieur.

-Sur 1143, 1417, 1419...

*Z sol 2018 ap. : 43,60 *Z sup. obs. ou niv. décap. (m NGF) : 42,60 / 42,75

*Tech. fle. : mécanique

****Dim. max. obs (m) : *Long. : 4,2 *Prof./Ht (obs. / restit.) : 1,5**

*Hz/Us : 1325 *Fait : HZ1325

*Type Us : composite *Ident. : niveau stratigraphique / horizon pédologique *Sect. : B-01

*N° Planche-s (n°Us / Fait / Ens.) : 024, 026, 027, 028, 030, 032, 033, 034, 104, 106, 124

*Rem. : CP1324 et SD1508, coupes sur FS1142 et 1147.

-Colluvions ? Petite dépression "naturelle" ?

*Z sol 2018 ap. : 43,65 / 43,80 *Z sup. obs. ou niv. décap. (m NGF) : 42,05 / 42,15

*Tech. fle. : mécanique

****Dim. max. obs (m) : *Long. : > 24 *larg. : > 6**

***Prof./Ht (obs. / restit.) : 0,7**

***Descri. : *CP1324 :**

-1325-a : LAS brun gris, gros et petit cailloutis anguleux plutôt erratiques.

-1325-b : LAS / ALS brun beige à orangé pâle, gros et petit cailloutis anguleux plutôt erratiques.

-1325-c : LAS / ALS brun à brun orangé, petites pierres / gros cailloutis silico-calcaires et calcaires anguleux abondants.

-1325-d : Effet d'ablation / creusement sur Sol Brun holocène (I).

-Fond à 41,20 m NGF.

*SOUS : 1247 ; 1294 ; 1295 *SUR : Sol brun (I)

*Hz/Us : 1326 *Ens. : FOU1074

*Type Us : point topo pour 3D

*Z sup. obs. ou niv. décap. (m NGF) : 41,86

*Hz/Us : 1327 *Ens. : FOU1074

*Type Us : point topo pour 3D

*Z sup. obs. ou niv. décap. (m NGF) : 41,78

*Hz/Us : 1328 *Fait : CP1328 *Ens. : FOU1074

*Type Us : coupe

*Sect. : B-03

*N° Planche-s (n°Us / Fait / Ens.) : 010

*Rem. : Coupe ONO/ESE partielle, sup FR1320, PL1338 / 1339.

*Z sol 2018 ap. : 43,50 *Z sup. obs. ou niv. décap. (m NGF) : 42,5

*Tech. fle. : manuelle

****Dim. max. obs (m) : *Long. : 2,3 *Prof./Ht (obs. / restit.) : 0,45**

*Hz/Us : 1329 *Fait : CP1329 *Ens. : FOU1074

*Type Us : coupe

*Sect. : B-03

*N° Planche-s (n°Us / Fait / Ens.) : 010, 093

*Rem. : ESE/ONO, sur FS1505 (partielle), 1350, 1358 et alandier 1341 du four de tuilier.

*Z sol 2018 ap. : 43,50 *Z sup. obs. ou niv. décap. (m NGF) : 42,45

*Tech. fle. : manuelle

**Dim. max. obs (m) : *Long. : 2,9 *Prof./Ht (obs. / restit.) : 1,5

*Hz/Us : 1330 *Fait : PL1330 *Ens. : FOU1074

*Type Us : construite *Ident. : pile de cloison de chambre de chauffe *Sect. : B-03

*N° Planche-s (n°Us / Fait / Ens.) : 010, 080

*Rem. : Pile Ouest de la 2^{ème} cloison (CLO1330) en partant du Nord de la chambre de chauffe FR1320 (Phase B du four de tuilier FOU1074).

-Partie sup. / voûte détruite (démolition <=> 1323 ?).

*Z sol 2018 ap. : 43,50 *Z sup. obs. ou niv. décap. (m NGF) : 42,25

*Tech. fle. : méc. + man. *% flé : 100

*Forme (plan) : rectangulaire *Profil : en V

**Dim. max. obs (m) : *Long. : 1,3 *larg. : 0,42

*Prof./Ht (obs. / restit.) : 1,1

*Descri. : Lignes / arases de tuiles plates dans le sens de la longueur (tegulae entières et gros frags), liées à l'argile. Surfaces extérieures recouvertes par une fine couche d'argile. Le tout induré / vitrifié.

*SOUS : 1323 *SUR : 1320 *Egal. : 1331

*Hz/Us : 1331 *Fait : PL1331 *Ens. : FOU1074

*Type Us : construite *Ident. : pile de cloison de chambre de chauffe *Sect. : B-03

*N° Planche-s (n°Us / Fait / Ens.) : 010, 080

*Rem. : Pile Est de la 2^{ème} cloison (CLO1330) en partant du Nord de la chambre de chauffe FR1320 (Phase B du four de tuilier FOU1074).

-Partie sup. / voûte détruite (démolition <=> 1323 ?).

*Z sol 2018 ap. : 43,40 *Z sup. obs. ou niv. décap. (m NGF) : 42,2

*Tech. fle. : méc. + man. *% flé : 100

*Forme (plan) : rectangulaire *Profil : en V

**Dim. max. obs (m) : *Long. : 1,1 *larg. : 0,41

*Prof./Ht (obs. / restit.) : 1,05

*Descri. : Lignes / arases de tuiles plates dans le sens de la longueur (tegulae entières et gros frags), liées à l'argile. Surfaces extérieures recouvertes par une fine couche d'argile. Le tout induré / vitrifié.

*SOUS : 1323 *SUR : 1320 *Synch. : 1332 *Egal. : 1330

*Hz/Us : 1332 *Fait : PL1332 *Ens. : FOU1074

*Type Us : construite *Ident. : pile de cloison de chambre de chauffe *Sect. : B-03

*N° Planche-s (n°Us / Fait / Ens.) : 010, 080, 092

*Rem. : Pile Ouest de la 3^{ème} cloison (CLO1332) en partant du Nord de la chambre de chauffe FR1320 (Phase B du four de tuilier FOU1074).

-Partie sup. / voûte détruite (démolition <=> 1323 ?).

-Tronqué" par la FS1504.

*Z sol 2018 ap. : 43,4 *Z sup. obs. ou niv. décap. (m NGF) : 41,95

*Tech. fle. : méc. + man. *% flé : 100

*Forme (plan) : rectangulaire *Profil : en V

**Dim. max. obs (m) : *Long. : 0,85 *larg. : 0,35

*Prof./Ht (obs. / restit.) : 0,85

*Descri. : Lignes / arases de tuiles plates dans le sens de la longueur (tegulae entières et gros frags), liées à l'argile. Surfaces extérieures recouvertes par une fine couche d'argile. Le tout induré / vitrifié.

*SOUS : 1323 *SUR : 1320 *Synch. : 1334 *Egal. : 1333

*Hz/Us : 1333 *Fait : PL1333 *Ens. : FOU1074

*Type Us : construite *Ident. : pile de cloison de chambre de chauffe *Sect. : B-03

*N° Planche-s (n°Us / Fait / Ens.) : 010, 080, 092

*Rem. : Pile Est de la 3^{ème} cloison (CLO1332) en partant du Nord de la chambre de chauffe FR1320 (Phase B du four de tuilier FOU1074).

-Partie sup. / voûte détruite (démolition <=> 1323 ?).

*Z sol 2018 ap. : 43,40 *Z sup. obs. ou niv. décap. (m NGF) : 42,15

*Tech. fle. : méc. + man. *% flé : 100

*Forme (plan) : rectangulaire *Profil : en V

**Dim. max. obs (m) : *Long. : 1 *larg. : 0,4 *Prof./Ht (obs. / restit.) : 1,05

*Descri. : Lignes / arases de tuiles plates dans le sens de la longueur (tegulae entières et gros frags), liées à l'argile. Surfaces extérieures recouvertes par une fine couche d'argile. Le tout induré / vitrifié.

*SOUS : 1323 *SUR : 1320 *Synch. : 1339 *Egal. : 1332

*Hz/Us : 1334 *Fait : PL1334 *Ens. : FOU1074

*Type Us : construite *Ident. : pile de cloison de chambre de chauffe *Sect. : B-03

*N° Planche-s (n°Us / Fait / Ens.) : 010, 080

*Rem. : Pile Ouest de la 4^{ème} cloison (CLO1334) en partant du Nord de la chambre de chauffe FR1320 (Phase B du four de tuilier FOU1074).

-Partie sup. / voûte détruite (démolition <=> 1323 ?).

-Tronquée par le PT1098.

*Z sol 2018 ap. : 43,5 *Z sup. obs. ou niv. décap. (m NGF) : 42,15

*Tech. fle. : méc. + man. *% flé : 100

*Forme (plan) : rectangulaire *Profil : en V

**Dim. max. obs (m) : *Long. : 1,25 *larg. : 0,4

*Prof./Ht (obs. / restit.) : 1

*Descri. : Lignes / arases de tuiles plates dans le sens de la longueur (tegulae entières et gros frags), liées à l'argile. Surfaces extérieures recouvertes par une fine couche d'argile. Le tout induré / vitrifié.

*SOUS : 1323 *SUR : 1320 *Synch. : 1338 *Egal. : 1335

*Hz/Us : 1335 *Fait : PL1335 *Ens. : FOU1074

*Type Us : construite *Ident. : pile de cloison de chambre de chauffe *Sect. : B-03

*N° Planche-s (n°Us / Fait / Ens.) : 010, 080

*Rem. : Pile Est de la 4^{ème} cloison (CLO1334) en partant du Nord de la chambre de chauffe FR1320

(Phase B du four de tuilier FOU1074).
 -Partie sup. / voûte détruite (démolition <=> 1323 ?).
 *Z sol 2018 ap. : 43,50 *Z sup. obs. ou niv. décap. (m NGF) : 42,05
 *Tech. fle. : méc. + man. *% flé : 100
 *Forme (plan) : rectangulaire *Profil : en V
 **Dim. max. obs (m) : *Long. : 0,8 *larg. : 0,4 *Prof./Ht (obs. / restit.) : 0,9
 *Descri. : Lignes / arases de tuiles plates dans le sens de la longueur (tegulae entières et gros frags), liées à l'argile. Surfaces extérieures recouvertes par une fine couche d'argile. Le tout induré / vitrifié.
 *SOUS : 1323 *SUR : 1320 *Synch. : 1339 *Egal. : 1334

*Hz/Us : 1336 *Fait : PL1336 *Ens. : FOU1074
 *Type Us : composite *Ident. : pile d'alandier *Sect. : B-03

*N° Planche-s (n°Us / Fait / Ens.) : 010, 080, 091
 *Rem. : Pile Ouest de l'alandier Nord (ALA1317), Phase A du four de tuilier (FOU1074).
 -Partie supérieur / voûte tronquée par la FS1501).
 *Z sol 2018 ap. : 43,40 *Z sup. obs. ou niv. décap. (m NGF) : 42,25
 *Tech. fle. : non-fouillé *% flé : 100
 *Forme (plan) : trapézoïdale *Profil : évasé fond plat horizontal
 **Dim. max. obs (m) : *Long. : 1,5 *larg. : 1,3 *Prof./Ht (obs. / restit.) : 0,95
 *Descri. : Une dizaine d'arases conservées de tuiles plates (tegulae, entières et gros fragments) à plat, liées à l'argile.
 *SOUS : 1321-B ; 1337 *Synch. : 1321-A *Egal. : 1317

*Hz/Us : 1337 *Fait : MR1337 *Ens. : FOU1074
 *Type Us : construite *Ident. : mur / paroi *Sect. : B-03
 *N° Planche-s (n°Us / Fait / Ens.) : 010, 080, 085, 089, 091
 *Rem. : Bouchage de l'alandier Nord de la Phase A.
 -Phase B du four de tuilier.
 -Tronqué en partie sup. par la FS1501.
 *Z sol 2018 ap. : 43,4 *Z sup. obs. ou niv. décap. (m NGF) : 41,85
 *Tech. fle. : manuelle *% flé : 100
 *Forme (plan) : rectangulaire *Profil : vertical (N et S) et en «V» inversé (O/E), fond plat
 **Dim. max. obs (m) : *Long. : 1 *larg. : 0,45 *Prof./Ht (obs. / restit.) : 0,65
 *Descri. : Une douzaine d'arases conservées de tuiles plates (tegulae, entières et gros fragments) à plat, liées à l'argile.
 *SOUS : 1320-a ; 1323 *SUR : 1317 ; 1336 *Synch. : 1341

*Hz/Us : 1338 *Fait : PL1338 *Ens. : FOU1074
 *Type Us : construite *Ident. : pile de cloison de chambre de chauffe *Sect. : B-03
 *N° Planche-s (n°Us / Fait / Ens.) : 010, 080

*Rem. : Pile Ouest de la 5ème cloison (CLO1338) en partant du Nord de la chambre de chauffe FR1320 (Phase B du four de tuilier FOU1074).
 -Partie sup. / voûte détruite (démolition <=> 1323 ?).
 -Tronquée par le PT1098.
 *Z sol 2018 ap. : 43,5 *Z sup. obs. ou niv. décap. (m NGF) : 42
 *Tech. fle. : méc. + man. *% flé : 100
 *Forme (plan) : rectangulaire *Profil : en V
 **Dim. max. obs (m) : *Long. : 0,5 *larg. : 0,4 *Prof./Ht (obs. / restit.) : 0,85
 *Descri. : Lignes / arases de tuiles plates dans le sens de la longueur (tegulae entières et gros frags), liées à l'argile. Surfaces extérieures recouvertes par une fine couche d'argile. Le tout induré / vitrifié.
 *SOUS : 1323 *SUR : 1320 *Synch. : 1334 *Egal. : 1339

*Hz/Us : 1339 *Fait : PL1339 *Ens. : FOU1074
 *Type Us : construite *Ident. : pile de cloison de chambre de chauffe *Sect. : B-03
 *N° Planche-s (n°Us / Fait / Ens.) : 010, 080, 088
 *Rem. : Pile Est de la 5ème cloison (CLO1338) en partant du Nord de la chambre de chauffe FR1320 (Phase B du four de tuilier FOU1074).
 -Partie sup. / voûte détruite (démolition <=> 1323 ?).
 *Z sol 2018 ap. : 43,50 *Z sup. obs. ou niv. décap. (m NGF) : 41,75
 *Tech. fle. : méc. + man. *% flé : 100
 *Forme (plan) : rectangulaire *Profil : en V
 **Dim. max. obs (m) : *Long. : 0,5 *larg. : 0,35 *Prof./Ht (obs. / restit.) : 0,6
 *Descri. : Lignes / arases de tuiles plates dans le sens de la longueur (tegulae entières et gros frags), liées à l'argile. Surfaces extérieures recouvertes par une fine couche d'argile. Le tout induré / vitrifié.
 *SOUS : 1323 *SUR : 1320 *Synch. : 1335 *Egal. : 1338

*Hz/Us : 1340 *Fait : FR1320
 *Type Us : comblement *Ident. : chambre de chauffe *Sect. : B-03
 *N° Planche-s (n°Us / Fait / Ens.) : 010, 080, 088, 093
 *Rem. : Ratés de cuisson vitrifiés entre la PL1339 et la paroi 1511 de l'alandier Sud.
 -Phase B du four de tuilier FOU1074.
 *Z sol 2018 ap. : 43,5 *Z sup. obs. ou niv. décap. (m NGF) : 42,15
 *Tech. fle. : méc. + man. *% flé : 100
 **Dim. max. obs (m) : *Long. : 0,8 *larg. : 0,4 *Prof./Ht (obs. / restit.) : 1
 *Descri. : Amas de tuiles rondes déformées / fondues / vitrifiées par la chaleur.
 *SOUS : 1323 *SUR : 1339 ; 1341 ; 1511

*Hz/Us : 1341 *Fait : PL1341 *Ens. : FOU1074
 *Type Us : composite *Ident. : pile d'alandier *Sect. : B-03
 *N° Planche-s (n°Us / Fait / Ens.) : 010, 080, 088
 *Rem. : Pile Est de l'alandier Sud (ALA1341), Phase B du four de tuilier FOU1074.

-1341-A (<=> sole 1401) : (Nouvel ?) alandier Sud = Phase 2.

-1341-B = 1511 : Ancienne paroi de la chambre de chauffe de la Phase A en réemploi (<=> sole 1400 ?) ?
*Z sol 2018 ap. : 43,50 *Z sup. obs. ou niv. décap. (m NGF) : 42,25

*Tech. fle. : méc. + man. *% flé : 100

*Forme (plan) : subrectangulaire *Profil : en V

**Dim. max. obs (m) : *Long. : 1,6 *larg. : 1,05

*Prof./Ht (obs. / restit.) : 1,1

*Descri. :

-1341-A : (alandier, sup. 41,90 m NGF ; Ht. : 0,7) Une douzaine d'arases conservées de tuiles plates (*tegulae*, entières et gros fragments) à plat, liées à l'argile.

-1341-B = 1511 : (paroi au Nord, sup. 42,25 m NGF ; Ht. : 1,1) Lignes / arases de tuiles plates dans le sens de la longueur (*tegulae* entières et gros frags), liées à l'argile. Surfaces extérieure (vers chambre de chauffe) recouverte par une fine couche d'argile. Le tout induré / vitrifié.

*SOUS : 1340 ; 1351 *Synch. : 1074-C ; 1401 *Egal. : 1349

*Hz/Us : 1342

*Type Us : anomalie ; non-retenu *Ident. : néant/annulé

*Tech. fle. : mécanique

*Hz/Us : 1343 *Fait : CP1343 *Ens. : FOU1074

*Type Us : coupe

*Sect. : B-03

*N° Planche-s (n°Us / Fait / Ens.) : 010, 086

*Rem. : N(NE) / S(SO) sur FS1321.

*Z sol 2018 ap. : 43,4 *Z sup. obs. ou niv. décap. (m NGF) : 42,4

*Tech. fle. : manuelle

**Dim. max. obs (m) : *Long. : 3,5 *Prof./Ht (obs. / restit.) : 1,15

*Hz/Us : 1344 *Fait : FS1501

*Type Us : composite *Ident. : fosse *Sect. : B-03

*N° Planche-s (n°Us / Fait / Ens.) : 010, 085, 091

*Rem. : Surcreusement au fond la FS1501 (médiévale ? Qui reprend en partie les limites internes de l'alandier Nord et du bouchage MR1337 du four de tuilier gallo-romain FOU1074).

*Z sol 2018 ap. : 43,40 *Z sup. obs. ou niv. décap. (m NGF) : 41,2

*Tech. fle. : manuelle *% flé : 100

*Forme (plan) : ovale *Profil : cuvette

**Dim. max. obs (m) : *Long. : 0,65 *larg. : 0,5

*Prof./Ht (obs. / restit.) : 0,4

*Descri. :

-1344-a = 1501-d : LA brun, cailloutis, mottes de LA gris sombre et mottes/frags rubéfiés épars.

-1344-b = 1501-e : creusement.

*SUR : 1305 ; 1321-A *Egal. : 1501 *Rel. indét. : 1502

*Hz/Us : 1345 *Ens. : FOU1074

*Type Us : point topo pour 3D

*Z sup. obs. ou niv. décap. (m NGF) : 41,15

*Hz/Us : 1346 *Ens. : FOU1074

*Type Us : point topo pour 3D

*Z sup. obs. ou niv. décap. (m NGF) : 41,12

*Hz/Us : 1347

*Type Us : coupe *Ident. : néant/annulé

*Rem. : Coupe intermédiaire ENE-OSO prévue sur FS1321, environ 0,55 m plus au Nord de la CP1312.

-Non conservée.

*Tech. fle. : manuelle

*Hz/Us : 1348 *Fait : div. *Ens. : FOU1074

*Type Us : comblement *Ident. : fosse de travail et alandier

*N° Planche-s (n°Us / Fait / Ens.) : 082, 083, 084, 085, 093, 094

*Rem. : Abandon / scellement de la fosse de travail Sud (FS1074) et de l'alandier 1341.

-Phase B du four de tuilier.

*Z sol 2018 ap. : 43,5 *Z sup. obs. ou niv. décap. (m NGF) : 42,3

*Tech. fle. : méc. + man. *% flé : 100

**Dim. max. obs (m) : *Prof./Ht (obs. / restit.) : 0,65

*Descri. : 1348 : LAS / ALS brun à brun gris, gros frags de tuiles gallo-romaines et frags rubéfiés épars à abondant.

*SOUS : 1520 *SUR : 1305 ; 1350 *Egal. : 1074-a2

*Hz/Us : 1349 *Fait : PL1349 *Ens. : FOU1074

*Type Us : composite *Ident. : pile d'alandier *Sect. : B-03

*N° Planche-s (n°Us / Fait / Ens.) : 010, 080, 088, 094

*Rem. : Pile Ouest de l'alandier Sud (ALA1341. Phase B du four de tuilier (FOU1074).

-Tronquée par la fosse profonde 1505.

*Z sol 2018 ap. : 43,50 *Z sup. obs. ou niv. décap. (m NGF) : 41,75

*Tech. fle. : méc. + man. *% flé : 100

*Forme (plan) : rectangulaire *Profil : en V

**Dim. max. obs (m) : *Long. : 0,75 *larg. : 0,55

*Prof./Ht (obs. / restit.) : 0,55

*Descri. : Une dizaine d'arases conservées de tuiles plates (*tegulae*, entières et gros fragments) à plat, liées à l'argile.

*SOUS : 1351 ; 1363 *Synch. : 1074-C ; 1401 *Egal. : 1341-A

*Hz/Us : 1350 *Fait : div. *Ens. : FOU1074

*Type Us : comblement *Ident. : fosse de travail et alandier

*N° Planche-s (n°Us / Fait / Ens.) : 082, 083, 084, 093, 094

*Rem. : Abandon / scellement de la fosse de travail Sud (FS1074) et de l'alandier 1341.

-Phase B du four de tuilier.

*Z sol 2018 ap. : 43,5 *Z sup. obs. ou niv. décap. (m NGF) : 42,2

*Tech. file. : méc. + man. *% flé : 100
 **Dim. max. obs (m) : *Prof./Ht (obs. / restit.) : 0,7
 *Descri. :
 -1350-a : Litages de LAS/ALS brun à beige jaunâtre et de terre rubéfiée remaniée, frags de tuiles gallo-romaines épars à erratique.
 -1350-b : En partie basse, couche de terre rubéfiée remaniée orangé foncé.
 *SOUS : 1348 *SUR : 1358 *Egal. : 1074-a3 ; 1305

*Hz/Us : 1351 *Fait : div. *Ens. : FOU1074
 *Type Us : comblement *Ident. : fosse de travail et alandier
 *N° Planche-s (n°Us / Fait / Ens.) : 084, 093, 094
 *Rem. : Couche charbonneuse sur sole de l'alandier Sud (ALA1341).
 *Z sol 2018 ap. : 43,50 *Z sup. obs. ou niv. décap. (m NGF) : 41,2
 *Tech. file. : manuelle *% flé : 100
 **Dim. max. obs (m) : *Prof./Ht (obs. / restit.) : 0,05
 *Descri. : 1351 : Fins litages charbonneux noirs et de LAS gris avec petits nodules calcaires blancs.
 *SOUS : 1358 *SUR : 1363 ; 1401-a1

*Hz/Us : 1352 *Fait : CP1352
 *Type Us : coupe
 *Sect. : B-04
 *N° Planche-s (n°Us / Fait / Ens.) : 012
 *Rem. : OSO/ENE sur fosses 1029 et 1030.
 *Z sol 2018 ap. : 42,65 *Z sup. obs. ou niv. décap. (m NGF) : 42,1
 *Tech. file. : mécanique
 **Dim. max. obs (m) : *Long. : 1,5 *Prof./Ht (obs. / restit.) : 0,45

*Hz/Us : 1353 *Fait : CP1353
 *Type Us : coupe
 *Sect. : A-04, B-04
 *N° Planche-s (n°Us / Fait / Ens.) : 011, 012
 *Rem. : SSE/NNO sur 1036, 1026 et 1025.
 *Z sol 2018 ap. : 43,05 *Z sup. obs. ou niv. décap. (m NGF) : 42,05
 *Tech. file. : mécanique
 **Dim. max. obs (m) : *Long. : 3,2 *Prof./Ht (obs. / restit.) : 0,65

*Hz/Us : 1354 *Fait : CP1354
 *Type Us : coupe
 *Sect. : A-04
 *N° Planche-s (n°Us / Fait / Ens.) : 011
 *Rem. : O(SO) / E(NE) sur 1019 et 1035.
 *Z sol 2018 ap. : 43,05 *Z sup. obs. ou niv. décap. (m NGF) : 42,05
 *Tech. file. : mécanique
 **Dim. max. obs (m) : *Long. : 1,5 *Prof./Ht (obs. / restit.) : 0,55

*Hz/Us : 1355 *Fait : PO1355
 *Type Us : composite *Ident. : trou de poteau ?
 *Sect. : A-04

*N° Planche-s (n°Us / Fait / Ens.) : 011
 *Z sol 2018 ap. : 43,05 *Z sup. obs. ou niv. décap. (m NGF) : ≥ 42,00
 *Tech. file. : méc. + man. *% flé : 100
 *Forme (plan) : circulaire *Profil : vertical fond arrondi
 **Dim. max. obs (m) : *Diam. : ≥ 0,3 *Prof./Ht (obs. / restit.) : ≥ 0,4
 *Descri. : Limon Argileux gris clair.
 *SUR : 1294 *Rel. indét. : 1039 ; 1278 ; 1409

*Hz/Us : 1356 *Fait : PO1356
 *Type Us : composite *Ident. : trou de poteau ?
 *Sect. : A-04
 *N° Planche-s (n°Us / Fait / Ens.) : 011
 *Z sol 2018 ap. : 43,05 *Z sup. obs. ou niv. décap. (m NGF) : ≥ 41,85
 *Tech. file. : méc. + man. *% flé : 100
 *Forme (plan) : circulaire *Profil : évasé à vertical à fond lég. concave
 **Dim. max. obs (m) : *Diam. : 0,6 *Prof./Ht (obs. / restit.) : ≥ 0,4
 *Descri. : LA gris.
 *SUR : 1294 *Rel. indét. : 1278 ; 1409

*Hz/Us : 1357 *Fait : CP1357
 *Type Us : coupe
 *Sect. : A-04
 *N° Planche-s (n°Us / Fait / Ens.) : 011, 098
 *Rem. : SSE/NNO sur FS1040 et FD1038.
 *Z sol 2018 ap. : 43,1 *Z sup. obs. ou niv. décap. (m NGF) : 42
 *Tech. file. : mécanique
 **Dim. max. obs (m) : *Long. : 2,7 *Prof./Ht (obs. / restit.) : 1,1

*Hz/Us : 1358 *Fait : div. *Ens. : FOU1074
 *Type Us : comblement *Ident. : fosse de travail et alandier
 *N° Planche-s (n°Us / Fait / Ens.) : 082, 083, 084, 092, 093, 094
 *Rem. : Abandon / scellement de la fosse de travail Sud (FS1074) et de l'alandier 1341.
 -Phase B du four de tuilier.
 *Z sol 2018 ap. : 43,5 *Z sup. obs. ou niv. décap. (m NGF) : 41,4
 *Tech. file. : manuelle *% flé : 100
 **Dim. max. obs (m) : *Prof./Ht (obs. / restit.) : 0,25
 *Descri. : Fragments abondants de tuiles gallo-romaines, de ratés de cuisson et parois vitrifiés / indurés, frags rubéfiés épars, LAS brun gris à gris.
 *SOUS : 1350 *SUR : 1351 *Egal. : 1074-a4 ; 1323

*Hz/Us : 1359 *Fait : FS1321 *Ens. : FOU1074
 *Type Us : comblement *Ident. : fosse
 *N° Planche-s (n°Us / Fait / Ens.) : 086, 090
 *Rem. : Fonctionnement de la fosse de travail Nord.
 *Z sol 2018 ap. : 43,4 *Z sup. obs. ou niv. décap. (m NGF) : 41,50 / 41,85
 *Tech. file. : manuelle *% flé : 100

****Dim. max. obs (m) : *Long. : 3,25 *larg. : 1,9**
***Prof./Ht (obs. / restit.) : 0,2**
***Descri. : 1321-B1 = 1359 : LA brun à brun gris, plus ou moins lité, une plage et mottes rubéfiées éparses à erratiques, petits charbons épars à erratiques.**
***SOUS : 1321-A *SUR : 1360 *Egal. : 1321-B**

***Hz/Us : 1360 *Fait : FS1321 *Ens. : FOU1074**
***Type Us : comblement *Ident. : fosse**
***N° Planche-s (n°Us / Fait / Ens.) : 086, 090**
***Rem. : Fonctionnement de la fosse de travail Nord (“rechapage” sol avec encaissant remanié).**
***Z sol 2018 ap. : 43,40 *Z sup. obs. ou niv. décap. (m NGF) : 41,6**
***Tech. fle. : manuelle *% flé : 100**
****Dim. max. obs (m) : *Long. : 1,9 *larg. : 1,9 *Prof./Ht (obs. / restit.) : 0,15**
***Descri. : 1321-B2 = 1360 : Remblai d'encaissant lœssique jaunâtre remanié (II).**
***SOUS : 1359 *SUR : 1361 *Egal. : 1321-B**

***Hz/Us : 1361 *Fait : FS1321 *Ens. : FOU1074**
***Type Us : comblement *Ident. : fosse**
***N° Planche-s (n°Us / Fait / Ens.) : 086, 090**
***Rem. : Fonctionnement de la fosse de travail Nord.**
***Z sol 2018 ap. : 43,4 *Z sup. obs. ou niv. décap. (m NGF) : 41,5**
***Tech. fle. : manuelle *% flé : 100**
****Dim. max. obs (m) : *Long. : > 1,6 ? *larg. : 1,9**
***Prof./Ht (obs. / restit.) : 0,1**
***Descri. :**
 -1321-B3 = 1361 : LA brun à brun gris et plage de sédiment rubéfié remanié, petits charbons épars à erratiques.
 -1321-C : Creusement général (sous 1361).
 -CP1312 : Fond à 41,25 m NGF.
***SOUS : 1360 *SUR : 1317 ; 1321-C ; 1336 *Egal. : 1321-B**

***Hz/Us : 1362 *Fait : FS1362**
***Type Us : composite *Ident. : fosse *Sect. : B-03**
***N° Planche-s (n°Us / Fait / Ens.) : 010**
***Rem. : Surcreusement de la FS1110 ?**
***Z sol 2018 ap. : 43,50 *Z sup. obs. ou niv. décap. (m NGF) : ≥ 42,30**
***Tech. fle. : méc. + man. *% flé : 100**
***Forme (plan) : ovale *Profil : cuvette**
****Dim. max. obs (m) : *Long. : 1,8 *larg. : 1 *Prof./Ht (obs. / restit.) : ≥ 0,35**
***Descri. : LAS gris brun sombre à brun, petit cailloutis et frags rubéfiés et de tuiles gallo-romaines épars à erratiques.**
***SOUS : 1408 *SUR : 1520 *Synch. : 1110 ? *Rel. indét. : 1110 ; 1278**

***Hz/Us : 1363 *Fait : FS1074 *Ens. : FOU1074**
***Type Us : comblement *Ident. : fosse**
***N° Planche-s (n°Us / Fait / Ens.) : 082, 083, 084, 094**
***Rem. : Réaménagement / fonctionnement de la fosse de travail Sud.**

-Phase B du four de tuilier.
***Z sol 2018 ap. : 43,5 *Z sup. obs. ou niv. décap. (m NGF) : 41,75**
***Tech. fle. : manuelle *% flé : 100**
****Dim. max. obs (m) : *Long. : 5,2 *larg. : 2,6 *Prof./Ht (obs. / restit.) : 0,25**
***Descri. : 1363 : Remblai de LAS / ALS brun compacté, tapissant la partie basse de la fosse et comblant / condamnant les négatifs d'aménagements 1364 / 1365 et 1387 / 1341.**
***SOUS : 1351 ; 1401-a1 *SUR : 1364 ; 1365 ; 1387 ; 1431**

***Hz/Us : 1364 *Fait : FS1074 *Ens. : FOU1074**
***Type Us : négatif d'aménagement récupéré + lambeaux de mortier *Ident. : fosse de travail de four**
***Sect. : B-03**
***N° Planche-s (n°Us / Fait / Ens.) : 010, 080**
***Rem. : Encoche / négatif dans la paroi NE de la FS1074.**
 -En face de 1365.
***Z sol 2018 ap. : 43,50 *Z sup. obs. ou niv. décap. (m NGF) : 41,65**
***Tech. fle. : manuelle *% flé : 100**
***Forme (plan) : encoche en demi-lune *Profil : lég. en sape, concave**
****Dim. max. obs (m) : *Long. : 0,45 *larg. : 0,35**
***Prof./Ht (obs. / restit.) : 0,25**
***Descri. : Comblé / scellé par l'Us 1363.**
 -1364-a : Plaquage de mortier sableux rose avec gravillons arrondis.
 -1364-b : Creusement dans encaissant II. Fond à 41,40 m NGF.
***SOUS : 1363 *Synch. : 1365**

***Hz/Us : 1365 *Fait : FS1074 *Ens. : FOU1074**
***Type Us : négatif d'aménagement récupéré *Ident. : fosse de travail de four *Sect. : B-03**
***N° Planche-s (n°Us / Fait / Ens.) : 010, 080, 083**
***Rem. : Encoche / négatif dans la paroi NO de la FS1074.**
 -En face de 1364.
***Z sol 2018 ap. : 43,50 *Z sup. obs. ou niv. décap. (m NGF) : 41,65**
***Tech. fle. : manuelle *% flé : 100**
***Forme (plan) : encoche en demi-lune *Profil : lég. en sape, concave**
****Dim. max. obs (m) : *Long. : 0,45 *larg. : 0,35**
***Prof./Ht (obs. / restit.) : 0,25**
***Descri. : Comblé / scellé par l'Us 1363.**
 -1365 : Creusement dans encaissant II. Fond à 41,40 m NGF.
***SOUS : 1363 *Synch. : 1364**

***Hz/Us : 1366 *Fait : FS1366**
***Type Us : composite *Ident. : fosse *Sect. : B-03**
***N° Planche-s (n°Us / Fait / Ens.) : 010**
***Rem. : CP1314 = 1391.**
***Z sol 2018 ap. : 43,4 *Z sup. obs. ou niv. décap. (m NGF) : ≥ 42,50**

*Tech. file. : manuelle *% flé : 100
 *Forme (plan) : circulaire *Profil : cuvette
 **Dim. max. obs (m) : *Diam. : 0,8 *Prof./Ht (obs. / restit.) : $\geq 0,35$
 *Descri. : LAS gris.
 -Fond à 42,15 m NGF.
 *SOUS : 1102 *Rel. indét. : 1278 ; 1310 ; 1311 ; 1316

*Hz/Us : 1367 *Fait : FS1311
 *Type Us : composite *Ident. : fosse *Sect. : B-03
 *N° Planche-s (n°Us / Fait / Ens.) : 010
 *Rem. : 1367 = fond de la fosse 1311.
 *Z sol 2018 ap. : 43,40 *Z sup. obs. ou niv. décap. (m NGF) : 42,3

*Tech. file. : manuelle *% flé : 100
 **Dim. max. obs (m) : *Long. : 0,5 *larg. : 0,35
 *Prof./Ht (obs. / restit.) : 0,1
 *Descri. : LAS gris, frags rubéfié erratiques.
 -Fond à 42,20 m.
 *SOUS : 1102 *Egal. : 1311 *Rel. indét. : 1310 ; 1366

*Hz/Us : 1368 *Fait : CP1368
 *Type Us : coupe
 *Sect. : B-02
 *N° Planche-s (n°Us / Fait / Ens.) : 008
 *Rem. : OSO / ENE sur FS1122 et FO1518 après redécapage.
 *Z sol 2018 ap. : 43,9 *Z sup. obs. ou niv. décap. (m NGF) : 42,45
 *Tech. file. : mécanique
 **Dim. max. obs (m) : *Long. : 2,9 *Prof./Ht (obs. / restit.) : 0,7

*Hz/Us : 1369 *Fait : CP1369 *Ens. : FOU1074
 *Type Us : coupe / axe
 *Sect. : B-03
 *N° Planche-s (n°Us / Fait / Ens.) : 010, 088
 *Rem. : Axe ONO / ESE, embouchure méridionale de l'alandier Sud du FOU1074.
 -Voir modèle 3D.
 *Z sol 2018 ap. : 43,50 *Z sup. obs. ou niv. décap. (m NGF) : 42
 *Tech. file. : manuelle
 **Dim. max. obs (m) : *Long. : 2,2 *Prof./Ht (obs. / restit.) : 0,9

*Hz/Us : 1370 *Fait : CP1370 *Ens. : FOU1074
 *Type Us : coupe
 *Sect. : B-03
 *N° Planche-s (n°Us / Fait / Ens.) : 010, 091
 *Rem. : ESE / ONO profonde, embouchure méridionale de l'alandier Sud du FOU1074 et encaissant I et II.
 *Z sol 2018 ap. : 43,40 *Z sup. obs. ou niv. décap. (m NGF) : 42,5
 *Tech. file. : mécanique
 **Dim. max. obs (m) : *Long. : 4,7 *Prof./Ht (obs. / restit.) : 1,7 / 1,8
 *Descri. : *CP1370, à partir de 42,50 m NGF
 *Encaissants :

-HZ1294 : (lambeaux) LAS brun beige cailloutis épars.
 -I : Sol Brun Holocène, LAS / ALS brun orangé.
 -IIa : Lœssique, LAS / ALS jaunâtre pâle, marbrures / concrétions calcaires éparses.
 -IIb : Lœssique, LAS / ALS jaunâtre foncé.
 -IIc : Sable fin brun jaune orangé.
 -IId : Lœssique, LAS / ALS brun jaunâtre.
 -IIe : Litage d'inclusions calcaires anguleuses éparses.
 -IIf : Lœssique, LAS / ALS brun jaunâtre.
 -Fond du sondage : env. 40,70 m NGF.

*Hz/Us : 1371 *Fait : FT1371
 *Type Us : composite *Ident. : creusement indéterminé
 *Sect. : B-02
 *N° Planche-s (n°Us / Fait / Ens.) : 008, 048
 *Rem. : Vu sur la CP1253.
 *Z sol 2018 ap. : 43,85 *Z sup. obs. ou niv. décap. (m NGF) : $\geq 42,75$
 *Tech. file. : mécanique *% flé : ?
 *Forme (plan) : indéterminée, partiellement décapé-e
 *Profil : cuvette
 **Dim. max. obs (m) : *Long. : ? *larg. : 0,5 *Prof./Ht (obs. / restit.) : $\geq 0,1$
 *Descri. : LAS brun beige, quelques cailloux et 1 frag. rubéfié.
 *SOUS : 1259 *Rel. indét. : 1294 ; 1517

*Hz/Us : 1372 *Fait : EX1284
 *Type Us : composite *Ident. : excavation avec fosse centrale *Sect. : B-03
 *N° Planche-s (n°Us / Fait / Ens.) : 010, 047, 048
 *Rem. : CP1261.
 -Partiellement décapée, en limite de fouille.
 *Z sol 2018 ap. : 43,50 *Z sup. obs. ou niv. décap. (m NGF) : 43
 *Tech. file. : mécanique *% flé : ?
 *Forme (plan) : ovale ? *Profil : très évasé (1372) puis creusement central à bords évasés à fond plat (1284)
 **Dim. max. obs (m) : *Long. : $> 4,8$ *larg. : ? *Prof./Ht (obs. / restit.) : 0,65
 *Descri. :
 -1372-A : LAS brun sombre, cailloutis anguleux épars à erratique, quelques petits frags de tuiles plates à crochet.
 -1284-A : Mottes de LAS brun foncé à brun jaune, cailloutis anguleux épars à erratique, quelques petits frags de tuiles plates à crochet.
 -1372-B : Creusement sup., très évasé (L. $> 4,8$; P. max. : 0,35 m).
 -1284-B : Surcreusement central (L. : 2,25 ; P. max. : 0,35 m). Fond à 42,35 m NGF.
 *SOUS : 1119 *SUR : 1259 *Egal. : 1284 *Rel. indét. : 1116 ; 1244 ; 1408

*Hz/Us : 1373 *Fait : SD1373
 *Type Us : coupe / sondage
 *Sect. : A-04
 *N° Planche-s (n°Us / Fait / Ens.) : 011, 129
 *Rem. : Sur l'EX1032.

*Z sol 2018 ap. : 43,05 *Z sup. obs. ou niv. décap. (m NGF) : 41,8

*Tech. fle. : mécanique

**Dim. max. obs (m) : *Long. : 6,4 *larg. : 1,65 / 1,9

*Prof./Ht (obs. / restit.) : 1,8

*Hz/Us : 1374 *Fait : CP1374 *Ens. : FOU1074

*Type Us : coupe

*Sect. : B-03

*N° Planche-s (n°Us / Fait / Ens.) : 010

*Rem. : ESE / ONO sur PL1341 de l'alandier Sud du FOU1074.

*Z sol 2018 ap. : 43,50 *Z sup. obs. ou niv. décap. (m NGF) : 41,8

*Tech. fle. : manuelle

**Dim. max. obs (m) : *Long. : 0,5 *Prof./Ht (obs. / restit.) : 0,6

*Hz/Us : 1375 *Fait : CP1375

*Type Us : coupe

*Sect. : B-01, C-01

*N° Planche-s (n°Us / Fait / Ens.) : 006, 007, 103, 106, 123

*Rem. : NNO / SSE sur 1381, FD1188 et CAV1380.

*Z sol 2018 ap. : 43,60 *Z sup. obs. ou niv. décap. (m NGF) : 42,3

*Tech. fle. : mécanique

**Dim. max. obs (m) : *Long. : 8,25 *Prof./Ht (obs. / restit.) : 1,9 / 2,1

*Descri. : CP1375-Sud, encaissants holocène et pléistocènes :

-I : Sol brun, LAS brun orangé.

-IIa : LAS / ALS jaunâtre.

-IIb : LAS / ALS jaunâtre et cailloutis roulé siliceux et calcaire anguleux épars à abondant.

-IIc : LAS / ALS jaunâtre.

-IId : LAS / ALS jaunâtre et cailloutis roulé siliceux épars et calcaire anguleux épars à abondant.

-IIe : ALS jaunâtre.

*Hz/Us : 1376 *Fait : CP1376

*Type Us : coupe

*Sect. : B-01

*N° Planche-s (n°Us / Fait / Ens.) : 006, 103, 105

*Rem. : NNO / SSE sur 1381-A, MR1380 et 1526 / 1527.

*Z sol 2018 ap. : 43,40 *Z sup. obs. ou niv. décap. (m NGF) : 41,55

*Tech. fle. : mécanique

**Dim. max. obs (m) : *Long. : 3,3 *Prof./Ht (obs. / restit.) : 1

*Hz/Us : 1377 *Fait : CP1377

*Type Us : coupe

*Sect. : B-01

*N° Planche-s (n°Us / Fait / Ens.) : 006, 013, 020, 021, 022, 023

*Rem. : SSE / NNO sur EX1151, TR1382 et CAV1380.

*Z sol 2018 ap. : 43,25 / 43,55 *Z sup. obs. ou niv.

décap. (m NGF) : 41,60 / 41,75

*Tech. fle. : mécanique

**Dim. max. obs (m) : *Long. : 9,8 *Prof./Ht (obs. / restit.) : 1,25

*Hz/Us : 1378 *Fait : CP1378

*Type Us : coupe

*Sect. : B-01

*N° Planche-s (n°Us / Fait / Ens.) : 006, 121

*Rem. : ENE / OSO sur FD1188 / 1506, FS1190 et CAV1380..

*Z sol 2018 ap. : 43,40 / 43,55 *Z sup. obs. ou niv. décap. (m NGF) : 42,25

*Tech. fle. : mécanique

**Dim. max. obs (m) : *Long. : 2,6 *Prof./Ht (obs. / restit.) : 1,65

*Hz/Us : 1379 *Fait : MR1379 *Ens. : CAV1380

*Type Us : composite *Ident. : parement et fondation de mur de cave *Sect. : B-01

*N° Planche-s (n°Us / Fait / Ens.) : 006, 105, 106

*Rem. : Forme un angle à 90° avec le MR3180.

-Tronqué par démolition / remblais 1526.

*Z sol 2018 ap. : 43,55 *Z sup. obs. ou niv. décap. (m NGF) : 41,60 / 42,00

*Tech. fle. : méc. + man. *% flé : 100

*Forme (plan) : linéaire *Profil : vertical fond plat

**Dim. max. obs (m) : *Long. : 0,9 *larg. : 0,95

*Prof./Ht (obs. / restit.) : 1,5 / 1,9

*Descri. :

-1379-A1 : Parement. En partie sup., grands moellons calcaires (réemploi de 1381-B ?). En partie basse, petits moellons calcaires et silico-calcaires. Le tout lié / enduit au mortier sableux compact beige à blanchâtre.

-1379-A2 = 1173-B1 : Calage de fondation du MR 1379 de la cave 1380. Contre encaissant lœssique II / remblais 1381-A. Vrac de petites pierres calcaires anguleuses liées au mortier fin sableux beige. Apparaît à 42,00 m NGF dans la coupe 1296.

-1379-B = 1173-B2 : Creusement de fondation.

*SOUS : 1527 *SUR : 1381-A *Synch. : 1380

*Hz/Us : 1380 *Fait : MR1380 *Ens. : CAV1380

*Type Us : composite *Ident. : parement et fondation de mur de cave *Sect. : B-01

*N° Planche-s (n°Us / Fait / Ens.) : 003, 006, 016, 017, 018, 019, 020, 021, 022, 023, 024, 025, 066, 067, 068, 103, 104, 105, 106, 121, 122, 123

*Rem. : OSO / ENE, mur Nord de la cave 1380, sur le bassin profond 1381-B.

-Tronqué par démolition / remblais 1526.

*Z sol 2018 ap. : 43,55 *Z sup. obs. ou niv. décap. (m NGF) : 41,6

*Tech. fle. : méc. + man. *% flé : 100

*Forme (plan) : linéaire *Profil : vertical fond plat

**Dim. max. obs (m) : *Long. : 1,5 *larg. : 0,8 *Prof./Ht (obs. / restit.) : 1,5

*Descri. :

-1380-A1 : Parement. En partie sup., grands moellons calcaires (réemploi de 1381-B ?). En partie basse, petits

moellons calcaires et silico-calcaires. Le tout lié / enduit au mortier sableux compact beige à blanchâtre.

-1380-A2 : Calage de fondation. Contre les remblais 1381-A. Vrac de petites pierres calcaires anguleuses liées au mortier fin sableux beige.

-1380-B : Creusement de fondation.

*SOUS : 1527 *SUR : 1381-B *Synch. : 1151-B ? ; 1379 ; 1381-A ?

*Hz/Us : 1381 *Fait : BS1381 *Ens. : BAS1381

*Type Us : composite *Ident. : bassin profond rectangulaire (fondation + démolition) *Sect. : B-01
*N° Planche-s (n°Us / Fait / Ens.) : 003, 006, 065, 066, 103, 104, 105, 106

*Z sol 2018 ap. : 46,6 *Z sup. obs. ou niv. décap. (m NGF) : 43

*Tech. fle. : méc. + man. *% flé : 100

*Forme (plan) : rectangulaire *Profil : évasé à vertical à fond plat

**Dim. max. obs (m) : *Long. : 3,4 *larg. : 2,5 *Prof./Ht (obs. / restit.) : 2,9

*Descri. :

*1381-A : Remblais d'abandon / scellement après récupération / démolition.

-1381-A1 = 1172-A1 <=> 1151-A : Remblais d'abandon / scellement après récupération. Litages massifs de LAS brun à gris avec frags plus ou moins abondants de calcaire blanc (/ et chaux ?), frags de tuiles plates à crochets et mottes jaunâtres épars à erratiques.

-1381-A2 = 1172-A2 = LA/LAS brun sombre à gris foncé, gros cailloutis calcaire petites mottes d'ALS jaunâtre, frags rubéfiés et de tuiles plates à crochet épars à erratiques.

-1381-A3 = 1172-A3 <=> 1151-B : Creusement de récupération / démolition du bassin 1381-C. Fond (= fond 1381-C/D) ; 40,10 m NGF.

*1381-B : Sédimentation du fond du bassin (sous 11381-A).

-LAS gris sombre à noirâtre (hydromorphe / organique). Tessons épars à erratiques. Fond à 40,10 m NGF.

*1381-C : Maçonneries (bassin NNO/SSE, intérieur rectangulaire : Long. : 1,85 m ; larg. : 1,25 m ; Prof. : 2,9 m).

-C1 : Bord OSO, partiellement conservé sur une assise (env. 0,25 m de Ht ; larg. : 0,4 m). Moellons équarris carrés / rectangulaires de calcaire et de grès, liés au mortier sableux beige à jaunâtre.

-C2 : Bord SSE, conservé jusqu'à 1,1 m de hauteur pour 0,5 m de largeur. Parement intérieur de moellons de calcaire, calage de pierres (sur 1381-D), liés au mortier sableux beige à jaunâtre.

*1381-D : Creusements de fondation/implantation du bassin.

-1381-D1 : LAS gris sombre à noirâtre.

-1381-D2 : Creusement. Sur bord SSE, excroissance circulaire en sape (L. : 1,25 ; l. : 0,5 ; Ht. : 1,3).

-Fond à 40,10 m NGF.

*SOUS : 1379 ; 1380 *SUR : 1259 ; 1419 ? *Synch. : 1151

*Hz/Us : 1382 *Fait : TR1382 *Ens. : CAV1380

*Type Us : composite *Ident. : tranchée de récupération *Sect. : B-01

*N° Planche-s (n°Us / Fait / Ens.) : 006, 022, 023

*Rem. : Récupération du MR1380, OSO/ENE.

-Se poursuit au-delà de la limite de fouille (CP1377).

*Z sol 2018 ap. : 43,45 *Z sup. obs. ou niv. décap. (m NGF) : 42

*Tech. fle. : méc. + man. *% flé : ?

*Forme (plan) : linéaire *Profil : vertical / en sape, à fond plat

**Dim. max. obs (m) : *Long. : > 1,2 *larg. : 0,8

*Prof./Ht (obs. / restit.) : 1,05

*Descri. :

-1382-A = 1526-A2 : Litages de gravats (frags de calcaire blanc / plâtre abondants et LAS brun à gris à gris sombre) et de LAS brun jaunâtre à beige jaunâtre.

-1382-B : Creusement, négatif de 1380-A.

-CP1377 : Fond à 40,95 m NGF.

*SOUS : 1415 *SUR : 1380-A *Synch. : 1526

*Hz/Us : 1383 *Fait : CP1383

*Type Us : coupe

*Sect. : A-04

*N° Planche-s (n°Us / Fait / Ens.) : 011, 013, 041

*Rem. : OSO/ENE, limite NO de la fouille.

-Sur HZ1408, 1409...

*Z sol 2018 ap. : 43,00 *Z sup. obs. ou niv. décap. (m NGF) : 42,85 / 43,00

*Tech. fle. : mécanique

**Dim. max. obs (m) : *Long. : 7,9 *Prof./Ht (obs. / restit.) : 2,1

*Hz/Us : 1384 *Fait : FS1384

*Type Us : composite *Ident. : fosse *Sect. : A-04

*N° Planche-s (n°Us / Fait / Ens.) : 011, 039, 040

*Rem. : En limite de fouille = CP1385.

*Z sol 2018 ap. : 43 *Z sup. obs. ou niv. décap. (m NGF) : 41,8

*Tech. fle. : méc. + man. *% flé : 70 ?

*Forme (plan) : circulaire ? *Profil : évasé à vertical à fond plat

**Dim. max. obs (m) : *Diam. : 0,85 ? *Prof./Ht (obs. / restit.) : 0,3

*Descri. : LAS brun à noirâtre, 1 pierre silico-calcaire posée sur le fond.

*SOUS : 1409 *SUR : 1294

*Hz/Us : 1385 *Fait : CP1385

*Type Us : coupe

*Sect. : A-04

*N° Planche-s (n°Us / Fait / Ens.) : 011, 013, 039, 040

*Rem. : S(SE) / N(NO), limite NO de la fouille.

-Sur FS1384, HZ1408, 1409...

*Z sol 2018 ap. : 43,00 *Z sup. obs. ou niv. décap. (m NGF) : 42,85 / 43,00

*Tech. fle. : mécanique

**Dim. max. obs (m) : *Long. : 8,8 *Prof./Ht (obs. / restit.) : 1,75

*Hz/Us : 1386 *Fait : CP1386
 *Type Us : coupe
 *Sect. : A-04, B-04
 *N° Planche-s (n°Us / Fait / Ens.) : 011, 012, 013, 043, 044
 *Rem. : OSO/ENE, limite Nord de la fouille.
 -Reprend en partie et poursuit la CP1238 vers l'Est.
 -Sur 1005, 1239, 1243 et 1408.
 *Z sol 2018 ap. : 42,60 / 42,90 *Z sup. obs. ou niv. décap. (m NGF) : 42,60 / 42,90
 *Tech. fle. : mécanique
 **Dim. max. obs (m) : *Long. : 5,8 *Prof./Ht (obs. / restit.) : 1,7 à 3,25
 *Egal. : 1238

*Hz/Us : 1387 *Fait : FS1074 *Ens. : FOU1074
 *Type Us : négatif d'aménagement récupéré *Ident. : fosse de travail de four *Sect. : B-03
 *N° Planche-s (n°Us / Fait / Ens.) : 010, 080, 083
 *Z sol 2018 ap. : 43,5 *Z sup. obs. ou niv. décap. (m NGF) : 41,6
 *Tech. fle. : manuelle *% flé : 100
 *Forme (plan) : subovale / oblongue *Profil : lég. en sape à vertical, fond lég. concave
 **Dim. max. obs (m) : *Long. : 1,55 *larg. : 0,7
 *Prof./Ht (obs. / restit.) : 0,45
 *Descri. : Comblé / scellé par l'Us 1363.
 -1387 : Creusement dans l'encaissant II. Fond à 41,15 m NGF.
 *SOUS : 1363 *Synch. : 1364 ; 1365 ; 1431

*Hz/Us : 1388 *Fait : CP1388 *Ens. : FOU1074
 *Type Us : coupe
 *Sect. : B-03
 *N° Planche-s (n°Us / Fait / Ens.) : 010, 089, 091
 *Rem. :
 -1388-sup. : ONO / ESE, paroi Nord de la chambre de chauffe 1320 / bouchage 1337 (Phase B). Ancien exutoire de l'alandier Nord (Phase A).
 -1388-inf. : ESE / ONO, coupe profonde. Au ras des PL1319 et 1318.
 *Z sol 2018 ap. : 43,40 *Z sup. obs. ou niv. décap. (m NGF) : 42,3
 *Tech. fle. : mécanique
 **Dim. max. obs (m) : *Long. : 4,05 *Prof./Ht (obs. / restit.) : 1,3

*Hz/Us : 1389 *Fait : CP1389 *Ens. : FOU1074
 *Type Us : coupe
 *Sect. : B-03
 *N° Planche-s (n°Us / Fait / Ens.) : 010, 088
 *Rem. : ONO/ESE sur FS1505 et au ras de l'amas vitrifié 1340.
 -Coupe profonde.
 *Z sol 2018 ap. : 43,5 *Z sup. obs. ou niv. décap. (m NGF) : 42,25
 *Tech. fle. : mécanique
 **Dim. max. obs (m) : *Long. : 3,8 *Prof./Ht (obs. / restit.) : 1,8 à 2,5
 *Descri. : *CP1389, à partir de 42,25 m NGF,

encaissants :
 -I : Sol Brun Holocène, LAS / ALS brun orangé.
 -IIa : Lössique, LAS / ALS jaunâtre pâle, marbrures / concrétions calcaires éparses.
 -IIb : Lössique, LAS / ALS jaunâtre foncé, marbrures / concrétions calcaires erratiques.
 -IIc : Sable fin brun jaune orangé.
 -IId : Lössique, LAS / ALS jaunâtre foncé, marbrures / concrétions calcaires erratiques.
 -IIe : Litage diffus d'inclusions calcaires anguleuses éparses.
 -IIf : Lössique, LAS / ALS jaunâtre foncé, marbrures / concrétions calcaires erratiques.
 -IIg : Sous le fond de la fosse 1505, horizon gris verdâtre = pollution ?.
 -Fond du sondage (sous 1505) : env. 39,30 m NGF.

*Hz/Us : 1390 *Fait : CP1390
 *Type Us : coupe
 *Sect. : B-01
 *N° Planche-s (n°Us / Fait / Ens.) : 006, 021, 122
 *Rem. : ENE / OSO sur FD1506 et Us 1526 / 1527 de la cave 1380.
 -Limite Sud de la fouille.
 *Z sol 2018 ap. : 43,25 / 43,50 *Z sup. obs. ou niv. décap. (m NGF) : 42,45
 *Tech. fle. : mécanique
 **Dim. max. obs (m) : *Long. : 3,4 *Prof./Ht (obs. / restit.) : 1,95

*Hz/Us : 1391 *Fait : CP1391 *Ens. : FOU1074
 *Type Us : coupe
 *Sect. : B-03
 *N° Planche-s (n°Us / Fait / Ens.) : 010, 092
 *Rem. :
 -1314 = coupe sup. ONO/ESE sur complements du FR1320.
 -1391 = coupe inf. profonde ESE/ONO à travers FR1320.
 *Z sol 2018 ap. : 43,4 *Z sup. obs. ou niv. décap. (m NGF) : 42,5
 *Tech. fle. : méc. + man.
 **Dim. max. obs (m) : *Long. : 5,6 *Prof./Ht (obs. / restit.) : 1,85
 *Egal. : 1314

*Hz/Us : 1392 *Fait : RB1416
 *Type Us : ramassage mobilier *Ident. :
 *Rem. : Coupe palier sup. au-dessus de 1141.
 *Z sol 2018 ap. : 43,65 *Z sup. obs. ou niv. décap. (m NGF) : 43,1
 *Tech. fle. : méc. + man. *SUR : 1141
 *Egal. : 1416

*Hz/Us : 1393 *Fait : CP1393
 *Type Us : coupe
 *Sect. : A-03
 *N° Planche-s (n°Us / Fait / Ens.) : 009, 013, 038
 *Rem. : SSE / NNO, limite Ouest de la fouille, palier inf.

-Sur 1306, 1307...

-Renumérotation doublon 1305.

*Z sol 2018 ap. : 43,30 *Z sup. obs. ou niv. décap. (m NGF) : 42,35

*Tech. fle. : mécanique

**Dim. max. obs (m) : *Long. : 6,8 *Prof./Ht (obs. / restit.) : 0,85

*Hz/Us : 1394 *Fait : FS1394 *N° diag. : FS-12

*Type Us : composite *Ident. : fosse *Sect. : B-04

*N° Planche-s (n°Us / Fait / Ens.) : 012

*Rem. : FS-12 du diag. 2019, Tr04.

*Z sol 2018 ap. : 42,65 *Z sup. obs. ou niv. décap. (m NGF) : 42,1

*Tech. fle. : non-fouillé *% flé : 0

*Forme (plan) : indéterminée, partiellement décapé-e

*Profil : ?

**Dim. max. obs (m) : *Long. : 1,55 *larg. : > 0,6

*Prof./Ht (obs. / restit.) : ?

*Descri. : LAS brun à brun gris, petites pierres / gros cailloutis anguleux silico-calcaire abondants à épars, frags erratiques de tuiles plates à crochet.

*SOUS : 1408 ? ; 1416 *Rel. indét. : 1408

*Hz/Us : 1395 *Fait : PO1395 *N° diag. : PO-03

*Type Us : composite *Ident. : fosse / trou de poteau ?

*Sect. : A-04

*N° Planche-s (n°Us / Fait / Ens.) : 011

*Rem. : PO-03 du diag. 2019, Tr-02.

*Z sol 2018 ap. : 43,10 *Z sup. obs. ou niv. décap. (m NGF) : ≥ 42,00

*Tech. fle. : manuelle *% flé : 100

*Forme (plan) : subrectangulaire *Profil : cuvette

**Dim. max. obs (m) : *Long. : 0,4 *larg. : 0,35

*Prof./Ht (obs. / restit.) : ≥ 0,2

*Descri. : LAS brun.

*SUR : 1294 *Rel. indét. : 1048 ; 1278 ; 1409

*Hz/Us : 1396 *Fait : FT1396 *N° diag. : PO-06

*Type Us : composite *Ident. : creusement indéterminé

*Sect. : A-04

*N° Planche-s (n°Us / Fait / Ens.) : 011

*Rem. : PO-06 du diag. 2019, Tr-02.

*Z sol 2018 ap. : 43,20 *Z sup. obs. ou niv. décap. (m NGF) : 42

*Tech. fle. : manuelle *% flé : 100

*Forme (plan) : circulaire *Profil : cuvette

**Dim. max. obs (m) : *Diam. : 0,5 *Prof./Ht (obs. / restit.) : 0,35

*Descri. : LAS brun, nodules rubéfiés épars.

*SUR : 1294 *Rel. indét. : 1278 ; 1409

*Hz/Us : 1397 *Fait : TR1141 *Ens. : BAT1126 *N° diag. : MR-01

*Type Us : composite, DOUBLON *Ident. : tranchée de récupération de mur

*Rem. : MR-01 du diag. 2019, Tr-01.

*Egal. : 1141

*Hz/Us : 1398 *Fait : FS1398 *Ens. : FSA1398 *N° diag. : MR-02

*Type Us : composite *Ident. : fosse / tranchée aménagée ? *Sect. : B-01

*N° Planche-s (n°Us / Fait / Ens.) : 006, 022, 024, 025, 026, 068, 070

*Rem. : "MR-02" du diag. 2019, Tr-01 : ne correspond PAS à une fondation de mur de bâtiment. Bande OSO / ENE.

-Sous pavés / grave TPQ 1950-1986 ap. s.

-Lié à 1150 ? Petit bassin ?

-Son bord Nord s'aligne sur la FD1154...

*Z sol 2018 ap. : 43,6 *Z sup. obs. ou niv. décap. (m NGF) : 43,25

*Tech. fle. : mécanique *% flé : ?

*Forme (plan) : subrectangulaire *Profil : évasé à vertical à fond lég. concave

**Dim. max. obs (m) : *Long. : > 5,5 *larg. : 2,5

*Prof./Ht (obs. / restit.) : 0,55 / > 0,75 ?

*Descri. :

-CP1508-O :

-Surdécaissé pendant la démolition / le décapage.

-1398-A : Litages de LAS / ALS brun à brun gris et cailloutis calcaire épars, 1 litage intermédiaire de sablon jaune. Fond à 42,70 m NGF.

-CP-Tr01-diag (partielle) :.

-1398-B : LAS / ALS brun à gris, petites pierres calcaires abondantes à éparses (fondation/muret ?). Fond entre 42,25 et 42,50 m NGF ?.

*SUR : 1143 ; 1151 ; 1154 ; 1415 *Synch. : 1150 ?

*Hz/Us : 1399 *Fait : EX1162

*Type Us : creusement *Ident. : excavation *Sect. : C-01

*N° Planche-s (n°Us / Fait / Ens.) : 007, 059

*Rem. : Comblé par 1162.

-Surcreusement dans la paroi du "palier" Nord de l'EX1162.

-Partiellement dégagé (CP1193 et SD1215).

*Z sol 2018 ap. : 43,60 *Z sup. obs. ou niv. décap. (m NGF) : 42,45

*Tech. fle. : manuelle *% flé : ?

*Forme (plan) : indéterminée, partiellement décapé-e

*Profil : vertical

**Dim. max. obs (m) : *Long. : ? *larg. : > 0,15

*Prof./Ht (obs. / restit.) : > 0,35

*Descri. : Voir 1162

*SOUS : 1162-A9 *Synch. : 1162-B

*Hz/Us : 1400 *Fait : SO1400 *Ens. : FOU1074

*Type Us : composite *Ident. : sole d'alandier *Sect. : B-03

*N° Planche-s (n°Us / Fait / Ens.) : 010, 080, 085, 091

*Rem. : Sole de l'alandier Nord.

-Tronquée par la FS1344 / 1501.

-Conservée sous le bouchage MR1337 (3 prélèvements archéomagnétiques).

*Z sol 2018 ap. : 43,40 *Z sup. obs. ou niv. décap. (m NGF) : 41,2

*Tech. fle. : méc. + man. *% flé : 100

*Forme (plan) : subrectangulaire *Profil : fond plat
 **Dim. max. obs (m) : *Long. : 1,75 *larg. : 1,05
 *Prof./Ht (obs. / restit.) : 0,13
 *Descri. :
 -1400-a : Sole indurée / “vitrifiée” (ép. : env. 0,05).
 -1400-b : Encaissant rubéfié / rougi (ép. : env. 0,08).
 *SOUS : 1321 ; 1337 *Synch. : 1317 ; 1336

*Hz/Us : 1401 *Fait : SO1401 *Ens. : FOU1074
 *Type Us : composite *Ident. : sole d’alandier *Sect. : B-03
 *N° Planche-s (n°Us / Fait / Ens.) : 010, 080, 084, 088
 *Rem. : Sole de l’alandier Sud (Phase B du four de tuilier).
 *Z sol 2018 ap. : 43,50 *Z sup. obs. ou niv. décap. (m NGF) : 41,15
 *Tech. fle. : manuelle *% flé : 100
 **Dim. max. obs (m) : *Prof./Ht (obs. / restit.) : voir description.

*Descri. :
 -1401-a1 : Effet / réfection de sole au niveau de l’embouchure de l’alandier, fine couche d’argile indurée / vitrifiée (ép. : 0,05 m).
 -1401-a2 : Sole, couche d’argile indurée / vitrifiée au niveau de l’alandier (ép. : 0,05 m).
 -1401-b = 1320-b : Encaissant (II) en place rubéfié / rougi (ép. : 0,1 m).
 *SOUS : 1351 *Synch. : 1341 ; 1349 *Egal. : 1320

*Hz/Us : 1402 *Fait : CP1402
 *Type Us : coupe
 *Sect. : B-02
 *N° Planche-s (n°Us / Fait / Ens.) : 008
 *Rem. : Sur FO1248.
 *Z sol 2018 ap. : 43,9 *Z sup. obs. ou niv. décap. (m NGF) : 42,15 / 42,40
 *Tech. fle. : mécanique
 **Dim. max. obs (m) : *Long. : 1,5 *Prof./Ht (obs. / restit.) : 0,4

*Hz/Us : 1403 *Fait : FS1321 *Ens. : FOU1074
 *Type Us : creusement *Ident. : fosse *Sect. : B-03
 *N° Planche-s (n°Us / Fait / Ens.) : 010, 080, 086
 *Rem. : Négatif de petite sablière basse parallèle à l’embouchure de l’alandier Nord ? Deux encoches visibles dans les parois et bande étroite surcreusée sur le fond.
 *Z sol 2018 ap. : 43,40 *Z sup. obs. ou niv. décap. (m NGF) : 41,3
 *Tech. fle. : manuelle *% flé : 100
 *Forme (plan) : linéaire rectiligne *Profil : cuvette
 **Dim. max. obs (m) : *Long. : 1,35 *larg. : 0,2
 *Prof./Ht (obs. / restit.) : 0,1
 *Descri. : Creusement 1403 comblé par 1361 (remaniée ?) sous 1360.
 -1360 : Remblai d’encaissant loessique jaunâtre remanié (II).
 -1361 : LA brun à brun gris et plage de sédiment rubéfié remanié, petits charbons épars à erratiques.
 *SOUS : 1360 *Synch. : 1321-C

*Hz/Us : 1404 *Fait : CP1404
 *Type Us : coupe
 *Sect. : B-01
 *N° Planche-s (n°Us / Fait / Ens.) : 006, 072
 *Rem. : SSE / NNO sur fossé 1247, à l’Est de la faune (crâne et mandibule).
 *Z sol 2018 ap. : 43,70 *Z sup. obs. ou niv. décap. (m NGF) : 42,55
 *Tech. fle. : manuelle
 **Dim. max. obs (m) : *Long. : 2,5 *Prof./Ht (obs. / restit.) : 0,7

*Hz/Us : 1405 *Fait : SD1405
 *Type Us : sondage / coupes
 *Sect. : B-03
 *N° Planche-s (n°Us / Fait / Ens.) : 010
 *Rem. : Test méca. / coupes SE / NO sur FS1110 / FS1362.
 *Z sol 2018 ap. : 43,5 *Z sup. obs. ou niv. décap. (m NGF) : 42,25
 *Tech. fle. : mécanique
 **Dim. max. obs (m) : *Long. : 1,9 *larg. : 1,8 *Prof./Ht (obs. / restit.) : 0,2 / 0,5

*Hz/Us : 1406 *Fait : FT1406
 *Type Us : composite *Ident. : creusement indéterminé
 *Sect. : B-04
 *N° Planche-s (n°Us / Fait / Ens.) : 012
 *Rem. : Non relevé en coupe.
 -Tronqué par la FS1027.
 *Z sol 2018 ap. : 43 *Z sup. obs. ou niv. décap. (m NGF) : 42,1
 *Tech. fle. : mécanique *% flé : 100
 *Forme (plan) : circulaire tronqué ? *Profil : ??
 **Dim. max. obs (m) : *Diam. : 0,7 ? *Prof./Ht (obs. / restit.) : > 0,2 ?
 *Descri. : LAS brun gris à gris brun.
 *SOUS : 1027 *Rel. indét. : 1278

*Hz/Us : 1407 *Fait : HZ1407 *Ens. : HRZ1259
 *Type Us : comblement *Ident. : horizon pédologique / horizon de terre végétale ancienne
 *N° Planche-s (n°Us / Fait / Ens.) : 030, 031, 032, 034, 035, 037, 038, 050, 051, 052, 081, 082, 084, 085, 086, 099
 *Rem. : N° créé pour la partie NE du site mais égal à l’HZ1259.
 -“Scellé” par les RB1292.
 -CP1285 : limite entre 1197 = 1278 et 1259 = 1407 marquée par la “sole” 1423.
 *Z sol 2018 ap. : 43,05 / 43,90 *Z sup. obs. ou niv. décap. (m NGF) : 42,20 / 43,30
 *Tech. fle. : mécanique *% flé : ?
 **Dim. max. obs (m) : *Long. : 60 *larg. : > 20 *Prof./Ht (obs. / restit.) : 0,3
 *Descri. : Terre “végétale” / “de jardin” / “terre noire” = HZ259.
 -LAS brun gris sombre à gris brun foncé (+ clair et brun que 1197 = 1278), cailloutis anguleux épars à erratique.

*SOUS : 1292 ; 1419 ; 1420 *SUR : 1197 ; 1278 ; 1423 *Egal. : 1259

*Hz/Us : 1408 *Fait : HZ1408

*Type Us : composite *Ident. : horizon de terre végétale ancienne / labours (?) *Sect. : A-03, A-04, B-02 à B-04

*N° Planche-s (n°Us / Fait / Ens.) : 036, 037, 038, 039, 040, 041, 042, 043, 044, 045, 046, 047, 081, 082, 084, 085, 086, 087, 099, 127, 128

*Rem. : Moitié Nord de la parcelle, au NORD du MR1121.

-Voir CP1289, 1276, 1393, 1385, 1383...

-“Scellé” et/ ou tronqué par les remblais de construction / nivellement XIX^e-XX^e s. (RB1436, 1437, 1441, 1444, 1445).

-<=> HZ1415 (moitié Sud de la parcelle).

*Z sol 2018 ap. : 43,00 / 43,55 *Z sup. obs. ou niv. décap. (m NGF) : 42,10 / 43,40

*Tech. fle. : mécanique *% flé : ?

**Dim. max. obs (m) : *Long. : > 43,5 *larg. : > 19

*Prof./Ht (obs. / restit.) : ≤ 0,6

*Descri. : Remblai de terre “végétale” / “de jardin” / “labours”.

-LAS gris sombre à gris brun sombre, petit cailloutis anguleux épars à erratique.

*SOUS : 1410 ; 1436 ; 1437 ; 1441 *SUR : 1292 ; 1372 ; 1407 ; 1420 *Synch. : 1422 ? *Egal. : 1415

*Hz/Us : 1409 *Fait : HZ1409

*Type Us : composite *Ident. : horizon (Hz) pédologique / terre végétale ancienne *Sect. : A-03, A-04, B-04

*N° Planche-s (n°Us / Fait / Ens.) : 039, 040, 041, 042, 086, 087

*Rem. : Angle NO de la parcelle, voir CP1385, 1385 et 1238.

-<=> HZ1278 mais pas “scellé” par l’HZ1407.

-A pu être remanié après le dépôt de 1407.

*Z sol 2018 ap. : 43,00 *Z sup. obs. ou niv. décap. (m NGF) : 42,00 / 42,10

*Tech. fle. : mécanique *% flé : ?

**Dim. max. obs (m) : *Long. : > 11 *larg. : > 9

*Prof./Ht (obs. / restit.) : ≤ 0,35

*Descri. : Terre “végétale” / “de jardin” / “terre noire” : SOUS 1408.

-LAS brun gris foncé à gris brun sombre (moins foncé que 1408), petit cailloutis anguleux épars à erratique.

*SOUS : 1408 *SUR : 1294 *Egal. : 1278 ? ; 1407 ?

*Hz/Us : 1410 *Fait : HZ1410

*Type Us : composite *Ident. : Horizon pédologique / terre végétale actuelle *Sect. : B-04

*N° Planche-s (n°Us / Fait / Ens.) : 042, 044, 045

*Rem. : Angle NE de la parcelle, voir CP1238, 1386, 1440, Tr-02 du diag., 1260.

*Z sol 2018 ap. : 42,90 / 43,10 *Z sup. obs. ou niv. décap. (m NGF) : 42,60 / 43,10

*Tech. fle. : mécanique *% flé : ?

**Dim. max. obs (m) : *Long. : > 19 *larg. : > 10

*Prof./Ht (obs. / restit.) : 0,2 / 0,3

*Descri. : Terre végétale à jardin noirâtre, XIX^e à XXI^e s., angle NE du décapage.

-LAS noirâtre (plus sombre que 1408), fin cailloutis épars à erratique.

*SUR : 1408

*Hz/Us : 1411 *Fait : TR1411 *Ens. : BAT1126

*Type Us : composite *Ident. : tranchée de récupération *Sect. : B-02

*N° Planche-s (n°Us / Fait / Ens.) : 008, 054, 055, 066, 067

*Rem. : S’aligne sur la TR1282 à l’Ouest.

-Parallèle avec la FD1121 (sur cadastre napoléonien de 1826) au Nord.

-Au fond de l’EX1413.

*Z sol 2018 ap. : 43,90 *Z sup. obs. ou niv. décap. (m NGF) : 43,25

*Tech. fle. : mécanique *% flé : ?

*Forme (plan) : linéaire *Profil : évasé à vertical à fond plat

**Dim. max. obs (m) : *Long. : ≥ 4,8 ? *larg. : 0,5

*Prof./Ht (obs. / restit.) : 0,2

*Descri. :

-1411-A1 (<=> 1412-A1 / 1413-A1) : Remblai après récupération. Mottes de LAS / ALS brun jaune et de LAS gris brun sombre, petit cailloutis calcaire blanc épars à erratique.

-1411-A2 (<=> 1412-A2 / 1413-A2 / 1428) : Mottes de LAS / ALS brun jaune et de LAS gris brun sombre, petit cailloutis calcaire blanc épars à erratique.

-CP1293 : Fond à 43,05 m NGF.

*SUR : 1292 *Synch. : 1282 ; 1412 ; 1413

*Hz/Us : 1412 *Fait : TR1412 *Ens. : BAT1126

*Type Us : composite *Ident. : tranchée de récupération *Sect. : B-02

*N° Planche-s (n°Us / Fait / Ens.) : 008, 052, 053, 066, 067

*Rem. : // avec la FD1121 (sur cadastre napoléonien de 1826) au Nord ?

-// avec la TR1411.

-Bord Nord de l’EX1413.

*Z sol 2018 ap. : 43,85 *Z sup. obs. ou niv. décap. (m NGF) : 43,65

*Tech. fle. : mécanique *% flé : ?

*Forme (plan) : linéaire *Profil : vertical fond lég. concave

**Dim. max. obs (m) : *Long. : ≥ 4,8 ? *larg. : 0,6 ?

*Prof./Ht (obs. / restit.) : 0,55

*Descri. :

-1412-A1 (<=> 1411-A1 / 1413-A1) : Remblai après récupération. Mottes de LAS / ALS brun jaune et de LAS gris brun sombre, petit cailloutis calcaire blanc épars à erratique.

-1412-A2 (<=> 1411-A2 / 1412-A2 / 1428) : Mottes de LAS / ALS brun jaune et de LAS gris brun sombre, petit cailloutis calcaire blanc épars à erratique.

-1412-B : Creusement de fondation / récupération.

-CP1291 : Fond à 43,10 m NGF.

*SOUS : 1128 *SUR : 1292 *Synch. : 1411 ; 1413
*Rel. indét. : 1125

*Hz/Us : 1413 *Fait : EX1413 *Ens. : BAT1126
*Type Us : composite *Ident. : niveau de récupération (bâtiment ?) excavé *Sect. : B-01, C-01
*N° Planche-s (n°Us / Fait / Ens.) : 007, 008, 052, 053, 054, 055, 056, 057
*Rem. : Moitié Sud de la parcelle, limite est de la fouille, de la TR1412 jusqu'au puits 1208.
-Tronqué par la cave 1135.
*Z sol 2018 ap. : 43,70 / 43,85 *Z sup. obs. ou niv. décap. (m NGF) : 43,40 / 43,60
*Tech. fle. : mécanique *% flé : ?
*Forme (plan) : indéterminée tronqué *Profil : fond plat à lég irrégulier
**Dim. max. obs (m) : *Long. : 18,5 *larg. : > 2,2
*Prof./Ht (obs. / restit.) : 0,4 / 0,55
*Descri. :
*CP1293 :
-1413-A1 (<=> 1411-A1 / 1412-A1) : Remblai après récupération. Mottes de LAS / ALS brun jaune et de LAS gris brun sombre, petit cailloutis calcaire blanc épars à erratique.
-1413-A2 (<=> 1411-A2 / 1412-A2 / 1428) : Mottes de LAS / ALS brun jaune et de LAS gris brun sombre, petit cailloutis calcaire blanc épars à erratique.
-1413-B (<=> 1411-B / 1412-B) : Creusement de fondation / récupération.
-Fond à 43,20 m NGF.
*CP1285 :
-1413-A1 : LAS gris brun sombre et mottes de LAS / ALS brun jaune, cailloutis et petites pierres épars à erratiques.
-1413-A2 <=> 1414-A1 : Mottes de LAS / ALS brun jaune et de LAS gris brun sombre, petit cailloutis calcaire blanc épars à erratique.
-1413-B <=> 1414-B : Creusement de fondation / récupération.
-Fond à 43,05 m NGF.
*SOUS : 1422 *SUR : 1292 *Synch. : 1208-A2 ; 1411 ; 1412 ; 1421

*Hz/Us : 1414 *Fait : TR1414 *Ens. : BAT1126
*Type Us : composite *Ident. : tranchée de récupération *Sect. : B-01, B-02
*N° Planche-s (n°Us / Fait / Ens.) : 006, 008, 056, 066, 067
*Rem. : // avec la TR1137 et la TR1141.
-Décallee avec la TR1141, presque en face à l'Ouest.
*Z sol 2018 ap. : 43,70 *Z sup. obs. ou niv. décap. (m NGF) : 43,1
*Tech. fle. : mécanique *% flé : ?
*Forme (plan) : linéaire *Profil : vertical fond plat
**Dim. max. obs (m) : *Long. : ≥ 4,8 ? *larg. : 0,6
*Prof./Ht (obs. / restit.) : 0,3
*Descri. :
-1414-A1 : Mottes de LAS / ALS jaunâtre à brun jaune.
-1414-A2 : LAS beige à gris et cailloutis calcaire blanc abondant.
-1414-B : Creusement de fondation / récupération.

-CP1285 : Fond à 42,80 m NGF.
*SOUS : 1153 *SUR : 1292 *Synch. : 1411 ; 1413

*Hz/Us : 1415 *Fait : HZ1415
*Type Us : composite *Ident. : remblai / horizon de terre végétale *Sect. : B-01, B-02
*N° Planche-s (n°Us / Fait / Ens.) : 018, 019, 020, 021, 022, 023, 024, 025, 026, 027, 028, 029, 030, 031, 032, 033, 081
*Rem. : Moitié Sud de la parcelle, au Sud du MR1121-B, limite Ouest de fouille.
-Voir CP1199-a (Sud) à CP1509 (Nord).
*Z sol 2018 ap. : 43,60 / 43,90 *Z sup. obs. ou niv. décap. (m NGF) : 43,40 / 43,65
*Tech. fle. : mécanique *% flé : ?
**Dim. max. obs (m) : *Long. : > 36,5 *larg. : > 5,5
*Prof./Ht (obs. / restit.) : ≤ 0,5
*Descri. : Remblai de terre "végétale" / "de jardin" / "labours".
-LAS gris sombre à gris brun sombre, petit cailloutis anguleux épars à erratique.
*SOUS : 1398 ; 1506 ; 1507 *SUR : 1416 ; 1526
*Synch. : 1408 ; 1422 *Egal. : 1408 ; 1422

*Hz/Us : 1416 *Fait : RB1416
*Type Us : composite *Ident. : horizon de remblais *Sect. : B-01, B-02
*N° Planche-s (n°Us / Fait / Ens.) : 028, 029, 030, 031
*Rem. : Voir CP-Tr01-diag et CP1227
-Localisé entre les TR1282 et 1141.
*Z sol 2018 ap. : 43,85 *Z sup. obs. ou niv. décap. (m NGF) : 43,3
*Tech. fle. : sondé méca. *% flé : ?
**Dim. max. obs (m) : *Long. : 11,5 *larg. : > 6 ?
*Prof./Ht (obs. / restit.) : 0,2
*Descri. : Horizon de remblais.
-1416-a : LAS brun et gris, mottes de LAS jaunâtre, frags de tuiles plates à crochet épars à erratiques.
-1416-b : Fine couche de mottes d'ALS jaunâtre = 1126-A2 / 1137-A2 / 1141-A2 / 1229-A2.
*SOUS : 1415 *SUR : 1126 ; 1137 ; 1141 *Synch. : 1413 ? *Egal. : 1392

*Hz/Us : 1417 *Fait : FS1417
*Type Us : composite *Ident. : fosse *Sect. : B-01
*N° Planche-s (n°Us / Fait / Ens.) : 006, 026, 027, 068, 070
*Rem. : Voir CP1324.
-Partiellement décapée.
*Z sol 2018 ap. : 43,65 *Z sup. obs. ou niv. décap. (m NGF) : 43,25
*Tech. fle. : mécanique *% flé : ?
*Forme (plan) : ovale *Profil : évasé fond arrondi
**Dim. max. obs (m) : *Long. : > 1,8 *larg. : 1,9
*Prof./Ht (obs. / restit.) : 1,15
*Descri. :
-1417-a : Petites pierres calcaires et silico-calcaires anguleuses abondantes et LAS gris brun à gris.
-1417-b : LAS brun gris à gris brun sombre (plus foncé que 1419).
*SUR : 1141 ; 1415

*Hz/Us : 1418 *Fait : FS1418

*Type Us : composite *Ident. : fosse *Sect. : B-01

*N° Planche-s (n°Us / Fait / Ens.) : 006, 025

*Rem. : Voir CP1508-O.

-Tronquée par l'EX1551.

*Z sol 2018 ap. : 43,60 *Z sup. obs. ou niv. décap. (m NGF) : 42,05

*Tech. fle. : mécanique *% flé : ?

*Forme (plan) : indéterminée tronquée *Profil : vertical fond plat / arrondi

**Dim. max. obs (m) : *Long. : > 0,6 *larg. : > 0,3

*Prof./Ht (obs. / restit.) : 0,3

*Descri. :

-1418-a : Mottes de LAS / ALS brun à brun orangé.

-1418-b : LAS gris à brun gris, petit cailloutis épars à erratique, rares petits frags rubéfiés.

*SOUS : 1151 ; 1419 *SUR : 1294

*Hz/Us : 1419 *Fait : RB1419

*Type Us : composite *Ident. : remblai-s / excavation

*Sect. : B-01

*N° Planche-s (n°Us / Fait / Ens.) : 006, 024, 025, 026, 027, 065

*Rem. : Voir CP1324.

-Tronque l'HZ1259 / 1407.

*Z sol 2018 ap. : 43,60 *Z sup. obs. ou niv. décap. (m NGF) : 42,85

*Tech. fle. : mécanique *% flé : ?

*Forme (plan) : indéterminée, partiellement décapé-e

*Profil : fond plat à lég. concave

**Dim. max. obs (m) : *Long. : > 2,7 *larg. : ? *Prof./Ht (obs. / restit.) : 0,6

*Descri. : LAS brun foncé à brun sombre noirâtre, cailloutis anguleux épars à erratiques, rares frags de tuiles plates à crochet.

*SOUS : 1151 ; 1292 ; 1417 *SUR : 1143 ; 1259 ; 1407 ; 1418

*Hz/Us : 1420 *Fait : RB1420

*Type Us : composite *Ident. : remblai-s *Sect. : A-03

*N° Planche-s (n°Us / Fait / Ens.) : 009, 037

*Rem. : CP1276.

-<=> HZ1292 ?

*Z sol 2018 ap. : 43,4 *Z sup. obs. ou niv. décap. (m NGF) : 42,65

*Tech. fle. : mécanique *% flé : ?

**Dim. max. obs (m) : *Long. : > 12 *larg. : ? *Prof./Ht (obs. / restit.) : 0,3 / 0,5

*Descri. : *CP1276 : 1420 <=> 1292 ? (Ép. max. : 0,3 / 0,5 m ; NGF sup. : 42,65 m)

-1420 : LAS brun à brun gris, fin cailloutis calcaire épars.

*SOUS : 1408 *SUR : 1104 ; 1407 *Synch. : 1292 ? ; 1448 ? *Egal. : 1292 ? *Rel. indét. : 1307

*Hz/Us : 1421 *Fait : EX1421

*Type Us : composite *Ident. : excavation / récupération *Sect. : C-01

*N° Planche-s (n°Us / Fait / Ens.) : 007, 057, 058

*Rem. : Relevé R17 Us 3 : CP1209.

-Récupération de bâti / de sol ?

*Z sol 2018 ap. : 43,70 *Z sup. obs. ou niv. décap. (m NGF) : 43,35

*Tech. fle. : mécanique *% flé : ?

*Forme (plan) : indéterminée tronquée *Profil :

**Dim. max. obs (m) : *Long. : 2,8 *larg. : ? *Prof./Ht (obs. / restit.) : 0,3

*Descri. : Remblai de petites mottes de LAS/ALS beiges à jaunâtres, petites mottes brun gris, frags de plâtre / calcaires et de tuiles plates à crochet épars à erratiques.

*SOUS : 1156 ; 1191 ; 1422 *SUR : 1155 ; 1259 ; 1407 *Synch. : 1208-A2 ; 1413

*Hz/Us : 1422 *Fait : HZ1422

*Type Us : comblement *Ident. : remblai / horizon de terre végétale *Sect. : C-01

*N° Planche-s (n°Us / Fait / Ens.) : 056, 057, 058

*Rem. : CP1202 et 1209.

*Z sol 2018 ap. : 43,70 *Z sup. obs. ou niv. décap. (m NGF) : 43,55

*Tech. fle. : mécanique *% flé : ?

**Dim. max. obs (m) : *Long. : > 5,2 *larg. : > 4

*Prof./Ht (obs. / restit.) : 0,2

*Descri. : Remblai de terre "végétale" / "de jardin" / "labours".

-LAS gris sombre à gris brun sombre, petit cailloutis anguleux épars à erratique.

*SOUS : 1156 ; 1191 *SUR : 1413 ; 1421 *Synch. : 1415 *Egal. : 1415 ?

*Hz/Us : 1423 *Fait : FY1423

*Type Us : composite *Ident. : fond fosse / foyer ou sole *Sect. : C-01

*N° Planche-s (n°Us / Fait / Ens.) : 007, 056

*Rem. : Vue en coupe 1285. Surdécapé. En limite de fouille.

-Marque et confirme la limite entre les horizons de "terre végétale" 1197 / 1278 et 1259 / 1407.

*Z sol 2018 ap. : 43,70 *Z sup. obs. ou niv. décap. (m NGF) : 42,95

*Tech. fle. : méc. + man. *% flé : ?

*Forme (plan) : indéterminée tronquée *Profil : évasé fond plat horizontal

**Dim. max. obs (m) : *Long. : ? *larg. : 0,6 *Prof./Ht (obs. / restit.) : 0,1

*Descri. : Mottes / sole de sédiment loessique jaune rubéfié en partie supérieure.

*SOUS : 1259 *SUR : 1197 ; 1278

*Hz/Us : 1424 *Fait : RB1424

*Type Us : composite *Ident. : Niveau de remblai-s

*Sect. : B-02

*N° Planche-s (n°Us / Fait / Ens.) : 008, 049, 050, 051

*Rem. : CP1252 et CP1253.

*Z sol 2018 ap. : 43,85 *Z sup. obs. ou niv. décap. (m NGF) : 43,55

*Tech. fle. : mécanique *% flé : ?

**Dim. max. obs (m) : *Long. : > 1,5 *larg. : > 1,5

*Prof./Ht (obs. / restit.) : 0,2

*Descri. : LAS gris clair à beige, petit cailloutis calcaire abondant.

*SOUS : 1250 ; 1427 *SUR : 1139-A ; 1519-A1

*Hz/Us : 1425 *Fait : FD1425
 *Type Us : composite *Ident. : fondation *Sect. : B-02
 *N° Planche-s (n°Us / Fait / Ens.) : 008, 048, 049
 *Rem. : CP1253.
 -Bord Nord du bassin 1250.
 -Surdécapée. En limite de fouille.
 *Z sol 2018 ap. : 43,85 *Z sup. obs. ou niv. décap. (m NGF) : > 43,55
 *Tech. fle. : mécanique *% flé : ?
 *Forme (plan) : indéterminée, tronquée / partiellement décapé-e *Profil : vertical fond plat
 **Dim. max. obs (m) : *Long. : ? *larg. : 0,65 *Prof./Ht (obs. / restit.) : > 0,25
 *Descri. : Vrac de petites pierres calcaire liées au mortier sableux beige à jaunâtre.
 -CP1253 : Fond à 43,30 m NGF.
 *SUR : 1519-A1 ; 1250-B3 ? *Synch. : 1250-B3 ?

*Hz/Us : 1426 *Fait : SB1426
 *Type Us : composite *Ident. : bâti en creux / sol bâti
 *Sect. : B-02
 *N° Planche-s (n°Us / Fait / Ens.) : 008, 049
 *Rem. : Aménagement le long du bord Sud du bassin 1250.
 -Vue dans la coupe 1253.
 -Surdécapée. En limite de fouille.
 *Z sol 2018 ap. : 43,85 *Z sup. obs. ou niv. décap. (m NGF) : 43,65
 *Tech. fle. : mec. + man. *% flé : ?
 *Forme (plan) : indéterminée, tronquée / partiellement décapé-e *Profil :
 **Dim. max. obs (m) : *Long. : ? *larg. : 0,65 *Prof./Ht (obs. / restit.) : > 0,25
 *Descri. :
 -1426-A : Comblement sur 1250-B3 et 1426-B. Poche / liseré de charbons de bois, LAS brun, frags de mortier blanchâtre.
 -1426-B : Bordure / sol. Une arase horizontale de pierres calcaires liées au mortier sableux beige à jaunâtre, fin enduit de plâtre en surface.
 -Surf. sup. : 43,55 / 43,60 m NGF. Ép. : 0,15 m.
 *SUR : 1250-B3 ; 1427 *Synch. : 1250-B1 ?

*Hz/Us : 1427 *Fait : RB1427
 *Type Us : composite *Ident. : remblai de préparation de sol *Sect. : B-02
 *N° Planche-s (n°Us / Fait / Ens.) : 008, 049, 050, 051
 *Rem. : CP1252 et CP1253.
 *Z sol 2018 ap. : 43,85 *Z sup. obs. ou niv. décap. (m NGF) : 43,8
 *Tech. fle. : mécanique *% flé : ?
 **Dim. max. obs (m) : *Long. : > 1,5 *larg. : > 0,9
 *Prof./Ht (obs. / restit.) : 0,3
 *Descri. : Sablon / sable / LAS brun jaune à brun, fin cailloutis épars.
 *SOUS : 1250-B ? ; 1426-A *SUR : 1139-A ; 1424

*Hz/Us : 1428 *Fait : RB1428 *Ens. : BAT1126
 *Type Us : composite *Ident. : remblai de récupération
 *Sect. : B-02

*N° Planche-s (n°Us / Fait / Ens.) : 008, 050, 051, 052, 053
 *Rem. : CP1252 et CP1291.
 *Z sol 2018 ap. : 43,85 *Z sup. obs. ou niv. décap. (m NGF) : 43,65
 *Tech. fle. : mécanique *% flé : ?
 *Forme (plan) : indéterminée tronquée *Profil : fond plat, pendage vers l'OSO
 **Dim. max. obs (m) : *Long. : > 1,8 *larg. : > 1,8
 *Prof./Ht (obs. / restit.) : 0,25
 *Descri. : Mottes d'ALS / LAS jaunâtre abondantes, petites mottes de LAS gris clair et cailloutis anguleux épars à erratique.
 *SOUS : 1412-A1 *SUR : 1292 *Synch. : 1412-A2 ; 1413-A2

*Hz/Us : 1429 *Fait : FS1429
 *Type Us : composite *Ident. : fosse *Sect. : C-01
 *N° Planche-s (n°Us / Fait / Ens.) : 007, 056
 *Rem. : CP1285.
 *Z sol 2018 ap. : 43,7 *Z sup. obs. ou niv. décap. (m NGF) : 43,5
 *Tech. fle. : mécanique *% flé : ?
 *Forme (plan) : indéterminée, tronquée / partiellement décapé-e *Profil : évasé fond irrégulier
 **Dim. max. obs (m) : *Long. : > 1,3 *larg. : ? *Prof./Ht (obs. / restit.) : 0,35
 *Descri. : Comblement semblable à l'HZ1422
 -LAS gris sombre à gris brun sombre, petit cailloutis anguleux épars à erratique.
 *SOUS : 1154 ? *SUR : 1413 *Synch. : 1422 ? *Rel. indét. : 1154 ; 1422

*Hz/Us : 1430 *Fait : RB1430
 *Type Us : composite *Ident. : horizon de remblais / circulation *Sect. : C-01
 *N° Planche-s (n°Us / Fait / Ens.) : 007, 014, 015, 060
 *Rem. : CP1193 et CP1199-a.
 -Partiellement dégagé.
 -Pas d'équivalence directe entre 1430-A et 1430-B. Relation tronqué par la FD1157 et un creusement de démolition d'août 2021.
 *Z sol 2018 ap. : 43,60 *Z sup. obs. ou niv. décap. (m NGF) : 43,3
 *Tech. fle. : mécanique *% flé : ?
 **Dim. max. obs (m) : *Prof./Ht (obs. / restit.) : 0,2 / 0,3
 *Descri. :
 *CP1193-1199-a :
 -1430-A : (sous 1165) LAS brun gris, petites mottes jaunâtres et cailloutis anguleux épars à erratique.
 -Possible creusement sur le remblai 1201-A1.
 *CP1199-a :
 -1430-B1 : (sous 1183-B) LAS brun gris foncé.
 -1430-B2 : Mottes d'ALS jaunâtre et de LAS brun gris, petit cailloutis de calcaire blanc épars à erratique.
 -1430-B3 : Fins litages compactés de LAS brun, d'ALS jaunâtre et de LAS brun beige à gris cendreuse.
 *SOUS : 1165 ; 1183-B *SUR : 1201

*Hz/Us : 1431 *Fait : FS1074 *Ens. : FOU1074
 *Type Us : négatif d'aménagement *Ident. : fosse de travail de four *Sect. : B-03
 *N° Planche-s (n°Us / Fait / Ens.) : 010, 080
 *Rem. : Encoche / négatif dans la paroi O de la FS1074.
 -En face de 1387.
 *Z sol 2018 ap. : 43,50 *Z sup. obs. ou niv. décap. (m NGF) : 41,75
 *Tech. file. : manuelle *% flé : 100
 *Forme (plan) : semi-ovalaire *Profil : lég. en sape, concave
 **Dim. max. obs (m) : *Long. : 1,65 *larg. : 0,35
 *Prof./Ht (obs. / restit.) : 0,4
 *Descri. : Comblé / scellé par l'Us 1363.
 1431 : Creusement dans encaissant II. Fond à 41,35 m NGF.
 *SOUS : 1363 *Synch. : 1364 ; 1365 ; 1387

*Hz/Us : 1432 *Fait : FS1432
 *Type Us : composite *Ident. : fosse / tranchée ?
 *Sect. : B-03
 *N° Planche-s (n°Us / Fait / Ens.) : 010, 045, 046
 *Rem. : Vue dans la CP1260.
 *Z sol 2018 ap. : 43,35 *Z sup. obs. ou niv. décap. (m NGF) : 43,2
 *Tech. file. : sondé méca. *% flé : ?
 *Forme (plan) : ? *Profil : évasé à fond plat (palier au Nord ?)
 **Dim. max. obs (m) : *Long. : ? *larg. : > 1,2 *Prof./Ht (obs. / restit.) : 0,2
 *Descri. : Petites pierres anguleuses de calcaire blanc, frags de briques / tuiles plates à crochet, LAS gris brun foncé.
 *SOUS : 1433 *SUR : 1408

*Hz/Us : 1433 *Fait : FS1433
 *Type Us : composite *Ident. : fosse contemporaine
 *Sect. : B-03
 *N° Planche-s (n°Us / Fait / Ens.) : 010, 046
 *Rem. : Vue dans la CP1260.
 *Z sol 2018 ap. : 43,35 *Z sup. obs. ou niv. décap. (m NGF) : 43,2
 *Tech. file. : sondé méca. *% flé : ?
 *Forme (plan) : ? *Profil : vertical fond irrégulier
 **Dim. max. obs (m) : *Long. : ? *larg. : 0,7 *Prof./Ht (obs. / restit.) : 0,7
 *Descri. : Sédiment / limon "pulvérulent" meuble noirâtre, cailloutis et frags épars de tuile/brique contemporaines.
 *SUR : 1408 ; 1432 *Synch. : 1080 ?

*Hz/Us : 1434 *Fait : FS1434
 *Type Us : composite *Ident. : fosse *Sect. : B-03
 *N° Planche-s (n°Us / Fait / Ens.) : 010, 046
 *Rem. : Vue dans la CP1254.
 -Surdécapée. En limite de décapage.
 *Z sol 2018 ap. : 43,35 *Z sup. obs. ou niv. décap. (m NGF) : 42,80 ?
 *Tech. file. : sondé méca. *% flé : ?

*Forme (plan) : ? *Profil : évasé à fond lég. concave
 **Dim. max. obs (m) : *Long. : 1,65 ? *larg. : ?
 *Prof./Ht (obs. / restit.) : 0,15 ?
 *Descri. : LAS brun gris à gris brun avec petit cailloutis épars à erratique similaire à 1259 et 1408...
 *SOUS : 1088 ; 1408 ? *SUR : 1294 *Rel. indét. : 1259 ; 1408

*Hz/Us : 1435 *Fait : FS1435
 *Type Us : composite *Ident. : fosse *Sect. : B-03
 *N° Planche-s (n°Us / Fait / Ens.) : 010
 *Z sol 2018 ap. : 43,5 *Z sup. obs. ou niv. décap. (m NGF) : ≥ 42,25
 *Tech. file. : méc. + man. *% flé : 100
 *Forme (plan) : ovalaire *Profil : cuvette
 **Dim. max. obs (m) : *Long. : 0,7 *larg. : 0,5 *Prof./Ht (obs. / restit.) : ≥ 0,35
 *Descri. : LAS gris / gris brun sombre, petits cailloutis et frags rubéfiés épars, rares charbons.
 *SOUS : 1408 *SUR : 1520 *Synch. : 1110 ? *Rel. indét. : 1110 ; 1278

*Hz/Us : 1436 *Fait : RB1436
 *Type Us : composite *Ident. : Horizon de remblais de nivellement *Sect. : A-02 à A-04, B-03, B-04
 *N° Planche-s (n°Us / Fait / Ens.) : 009, 010, 036, 037, 047, 048, 049, 081, 082, 084, 099, 128
 *Rem. : Partie Nord de la parcelle, au Nord du MR1121 (CP1289 à 1393, et Tr02-diag-ST21 à l'Ouest et CP1253 à 1261 à l'Est).
 -Synchrone avec les remblais 1437 ?
 -Lié à la construction des bâtiments TPQ 1850 / TAQ 1965 ap. ?
 *Z sol 2018 ap. : 43,50 *Z sup. obs. ou niv. décap. (m NGF) : 43,30 / 43,40
 *Tech. file. : mécanique
 **Dim. max. obs (m) : *Long. : > 35 *larg. : > 19
 *Prof./Ht (obs. / restit.) : 0,4
 *Descri. : Episode de nivellement par remblais à base de produits de démolition.
 -1436-a1 : Litages de frags de plâtre /tuiles plates à crochets / tommettes abondants, LAS grisâtre, petites pierres calcaires éparses à erratiques...
 -1436-a2 : (CP1261 et Tr02-diag-ST21) Niveau de "piétinement" à la base des remblais, frags de calcaire blanc...
 -1436-b : Creusement contre le mur 1121-A et sur l'HZ de "terre végétale" 1408.
 *SOUS : 1437 ; 1442 ; 1445 *SUR : 1121-A ; 1408
 *Rel. indét. : 1441

*Hz/Us : 1437 *Fait : RB1437
 *Type Us : composite *Ident. : Horizon de remblais de nivellement *Sect. : B-03, B-04
 *N° Planche-s (n°Us / Fait / Ens.) : 010, 045, 046, 047, 085, 086, 087
 *Rem. : Au Nord de la partie Est des RB1436.
 -Synchrone avec les remblais 1436 ?
 -Lié à la construction des bâtiments TPQ 1850 / TAQ 1965 ap. ?

*Z sol 2018 ap. : 43,50 *Z sup. obs. ou niv. décap. (m NGF) : 43,3

*Tech. file. : mécanique

**Dim. max. obs (m) : *Prof./Ht (obs. / restit.) : 0,25

*Descri. :

-1437-a : Litages de LAS meuble noirâtre, ALS brun à jaunâtre et cailloutis, petits frags calcaire et de TCA épars à erratiques.

-1437-b : Effet de creusement sur l'HZ de "terre végétale" 1408.

*SOUS : 1088 ; 1433 *SUR : 1436 *Synch. : 1436 ?

*Hz/Us : 1438 *Fait : EX1438

*Type Us : composite *Ident. : excavation / remblais

*Sect. : C-01

*N° Planche-s (n°Us / Fait / Ens.) : 007, 014, 015, 016, 017

*Rem. : Vue dans la coupe CP1199-a.

-Tronquée par démolition 08/2021 ap.

*Z sol 2018 ap. : 43,50 / 43,60 *Z sup. obs. ou niv. décap. (m NGF) : 43,4

*Tech. file. : mécanique *% flé : ?

*Forme (plan) : indéterminée, partiellement décapé-e

*Profil : cuvette

**Dim. max. obs (m) : *Long. : > 3,1 *larg. : ? *Prof./Ht (obs. / restit.) : 0,45

*Descri. : *Coupe 1199-a :

-1438-A1 : Mottes de LAS gris brun sombre et brunes, pierres et petites mottes jaunâtres éparses.

-1438-A2 : Sablon beige.

-1438-A3 : Petits frags calcaires blancs / plâtre et LAS brun à beige, frags de tuiles plates à crochets épars à erratiques.

-1438-B : Creusement sur 1183-A.

-Fond à 42,95 m NGF.

*SOUS : 1185 *SUR : 1183-A ; 1415 ? ; 1526 ? *Rel. indét. : 1415 ; 1526

*Hz/Us : 1439 *Fait : CP1439

*Type Us : coupe

*Sect. : A-04, B-04

*N° Planche-s (n°Us / Fait / Ens.) : 011, 012

*Rem. : Ouest / Est, sur FS1005 et 1243.

*Z sol 2018 ap. : 42,90 *Z sup. obs. ou niv. décap. (m NGF) : 41,95

*Tech. file. : mécanique

**Dim. max. obs (m) : *Long. : 4,4 *Prof./Ht (obs. / restit.) : 1,1

*Hz/Us : 1440

*Type Us : coupes / sondage

*Sect. : B-04

*N° Planche-s (n°Us / Fait / Ens.) : 012, 013

*Rem. : Sur fosses 1005 et 1006.

-Angle NE de la fouille.

-CP1440-O + CP1440-N + CP1440-E.

*Z sol 2018 ap. : 42,6 *Z sup. obs. ou niv. décap. (m NGF) : 42,6

*Tech. file. : mécanique

**Dim. max. obs (m) : *Long. : 3,6 *larg. : 2,8 *Prof./Ht (obs. / restit.) : 1,6

*Hz/Us : 1441 *Fait : RB1441

*Type Us : composite *Ident. : Remblai

*N° Planche-s (n°Us / Fait / Ens.) : 039, 040, 041

*Rem. : Angle NO de la parcelle, CP1383 et CP1385. -Tronqué par les remblais 1445-A.

*Z sol 2018 ap. : 43,00 *Z sup. obs. ou niv. décap. (m NGF) : 42,5

*Tech. file. : mécanique

**Dim. max. obs (m) : *Long. : > 8 *larg. : > 4 *Prof./Ht (obs. / restit.) : 0,4

*Descri. : LAS gris sombre à brun beige, petit cailloutis calcaire blanc épars à abondant.

*SOUS : 1442 ; 1444 ; 1445 *SUR : 1408 *Rel. indét. : 1436 ; 1437

*Hz/Us : 1442 *Fait : RB1442

*Type Us : composite *Ident. : remblais

*N° Planche-s (n°Us / Fait / Ens.) : 041

*Rem. : Limite NNO de la parcelle (tr02-diag et CP1383).

*Z sol 2018 ap. : 43,00 *Z sup. obs. ou niv. décap. (m NGF) : 42,65

*Tech. file. : mécanique *% flé : ?

**Dim. max. obs (m) : *Long. : 5 *larg. : > 4 *Prof./Ht (obs. / restit.) : 0,4

*Descri. :

-1442-a : LAS / ALS brun orange.

-1442-b : LAS gris brun sombre à gris sombre, mottes de LAS / ALS brun orange éparses à erratiques.

-Possible effet de creusement sur 1441.

*SOUS : 1443 ; 1445-A *SUR : 1436 ; 1441 *Rel. indét. : 1437

*Hz/Us : 1443 *Fait : RB1443

*Type Us : composite *Ident. : remblais récents

*N° Planche-s (n°Us / Fait / Ens.) : 041, 042

*Z sol 2018 ap. : 43 *Z sup. obs. ou niv. décap. (m NGF) : 42,8

*Tech. file. : mécanique *% flé : ?

**Dim. max. obs (m) : *Long. : 8,8 *larg. : > 4 *Prof./Ht (obs. / restit.) : 0,5

*Descri. : Litages de LAS brun sombre à noirâtre, frags de goudron, de fibrociment épars...

*SOUS : grave ; puisard béton *SUR : 1410 ; 1442

*Hz/Us : 1444 *Fait : RB1444

*Type Us : composite *Ident. : remblais *Sect. : A-03, A-04

*N° Planche-s (n°Us / Fait / Ens.) : 009, 011, 039, 040

*Rem. : Limite Ouest de la partie Nord de la fouille.

-Remblais sombres / noirâtres présents sous certains box = «remises / garages» TPQ 1825 / TAQ 1965 ap.

(n'apparaissent pas sur le cadastre de 1826 ni sur la carte de l'état-major de 1820-1866 ap. ; présents sur photo aérienne de 1950-1965 ap.).

*Z sol 2018 ap. : 43,00 / 43,20 *Z sup. obs. ou niv. décap. (m NGF) : 42,80 / 43,00

*Tech. file. : mécanique *% flé : ?

**Dim. max. obs (m) : *Prof./Ht (obs. / restit.) : voir descri.

***Descri.** : RB1444 = remblais sombres / noirâtres à l'intérieur des "box", au contraire des remblais 1445, bruns à jaunâtres, également à l'intérieur des "box"...

-Numérotation des "box" depuis le Nord :

-1444-A (remblai intérieur du box n°02, CP1385) : LAS gris très sombre à noirâtre, cailloutis épars (Ép. env. 0,4).

-1444-B (remblai intérieur du box n°04, CP1385) : LAS gris clair à gris sombre, sable et cailloutis épars (Ép. env. 0,6).

-1444-C (remblai intérieur du box n°06, non relevé, secteur pollué) : Sédiments noirâtres (Ép. env. 0,6).

-1444-D (remblai intérieur du box n°09, SD06-diag) : LAS brun foncé à brun gris sombre, cailloutis calcaire épars à erratique (Ép. env. 0,35).

***SUR** : 1436 ; 1441 ***Synch.** : 1445 ? ; 1446 ?

***HZ/Us** : 1445

***Type Us** : composite ***Ident.** : excavations / remblais de construction ***Sect.** : A-03, A-04

***N° Planche-s** (n°Us / Fait / Ens.) : 009, 011, 038, 039, 040, 041

***Rem.** : Limite Ouest de la partie Nord de la fouille.

-Excavations / remblais de constructions de certains box = «remises / garages» TPQ 1825 / TAQ1965 ap. (n'apparaissent pas sur le cadastre de 1826 ni sur la carte de l'état-major de 1820-1866 ap. ; présents sur photo aérienne de 1950-1965 ap.).

***Z sol 2018 ap.** : 43,00 / 43,30 ***Z sup. obs. ou niv. décap.** (m NGF) : 42,70 / 43,00

***Tech. fle.** : mécanique *% flé : ?

****Dim. max. obs (m)** : ***Prof./Ht (obs. / restit.)** : voir descri.

***Descri.** : RB1445 = remblais bruns à jaunâtres et gravats à l'intérieur des "box", au contraire des remblais 1444, sombres à noirâtres, également à l'intérieur des "box"...

-Numérotation des "box" depuis le Nord :

-1445-A (remblai intérieur du box n°01, CP1383 / 1385) : Cailloutis calcaire blanc et LAS beige à jaunâtre (Ép. > 0,2).

-1445-B (remblai intérieur du box n°03, CP1385) : Sable brun roux et LAS gris avec cailloutis (Ép. : 0,65).

-1445-C ("box" n°05 et 06, SD05-diag) : Gravats (calcaire, plâtre, frags de briques), "sablons" brun roux à beige (Ép. : 0,7 m).

-1445-D ("box" n°08, non relevé, secteur pollué) : En partie sup., LAS gris clair et cailloutis calcaire, en partie inf., SLA brun jaunâtre (Ép. totale : env. 0,6).

-1445-E ("box" n°10 et 11, non relevé, secteur pollué) : (Ép. totale : env. 0,6) Litages de LAS brun gris et de gravats (plâtre / calcaire).

***SUR** : 1436 ; 1441 ***Synch.** : 1444 ? ; 1446 ?

***HZ/Us** : 1446 ***Fait** : divers

***Type Us** : composite ***Ident.** : fondations de murs / murets ***Sect.** : A-03, A-04

***N° Planche-s** (n°Us / Fait / Ens.) : 009, 011, 039, 040, 070

***Rem.** : Limite Ouest de la partie Nord de la fouille.

-Fondations de murs de box = «remises / garages» TPQ 1825 / TAQ 1965 ap. (n'apparaissent pas sur le cadastre de 1826 ni sur la carte de l'état-major de 1820-1866 ap. ; présents sur photo aérienne de 1950-1965 ap.).

***Z sol 2018 ap.** : 43,00 / 43,30 ***Z sup. obs. ou niv. décap.** (m NGF) : 42,80 / 43,00

***Tech. fle.** : mécanique *% flé : ?

****Dim. max. obs (m)** : ***Prof./Ht (obs. / restit.)** : 0,6 / 1

***Descri.** : Numérotation des "box" depuis le Nord :

-Parements doubles de fondation, moellons plus ou moins équarris calcaires, silico-calcaires ou de grès, liés au mortier sableux jaune et/ou à la terre.

-1446-A (entre box 01 et 02) ; 1446-B (entre box 02 et 03) ; 1446-C (entre box 03 et 04) ; 1446-D (entre box 04 et 05) ; 1446-E ? (entre box 05 et 06) : (non observée) ; 1446-F (entre box 06 et 07) ; 1446-G (entre box 07 et 08) ; 1446-H (entre box 08 et 09) ; 1446-I (entre box 09 et 10) ; 1446-J ? (entre box 10 et 11) : (non observée) ; 1446-K ? (entre box 11 et 12) : (non observée) ; Pas de fondation observée plus au Sud (box 12 à 15).

***SUR** : 1441 ***Synch.** : 1444 ? ; 1445 ?

***HZ/Us** : 1447 ***Fait** : FS1447

***Type Us** : composite ***Ident.** : fond de fosse ? ***Sect.** : A-03

***N° Planche-s** (n°Us / Fait / Ens.) : 009, 062

***Rem.** : SD07-diag., nettoyage FS1093 et CP1276.

***Z sol 2018 ap.** : 43,40 ***Z sup. obs. ou niv. décap.** (m NGF) : 41,9

***Tech. fle.** : méc. + man. *% flé : ?

***Forme (plan)** : indéterminée, partiellement décapé-e

***Profil** : évasé

****Dim. max. obs (m)** : ***Long.** : 2 ***larg.** : ? ***Prof./Ht (obs. / restit.)** : 0,15

***SOUS** : 1093 ; 1278 ***SUR** : 1294

***HZ/Us** : 1448 ***Fait** : FS1448

***Type Us** : composite ***Ident.** : fosse ***Sect.** : A-03

***N° Planche-s** (n°Us / Fait / Ens.) : 009, 037

***Rem.** : Vue dans la coupe 1276.

-Tronquée par le SD07-diag.

***Z sol 2018 ap.** : 43,4 ***Z sup. obs. ou niv. décap.** (m NGF) : 42,3

***Tech. fle.** : mécanique *% flé : ?

***Forme (plan)** : indéterminée, partiellement décapé-e

***Profil** : évasé (bord Sud) à fond lég. concave

****Dim. max. obs (m)** : ***Long.** : 3,2 ? ***larg.** : ? ***Prof./Ht (obs. / restit.)** : 0,35

***Descri.** : Comblement similaire à 1420 : LAS brun à brun gris, petit cailloutis calcaire épars.

***SOUS** : 1408 ***SUR** : 1407 ***Synch.** : 1420 ? ***Egal.** : 1420 ?

***HZ/Us** : 1449 ***Fait** : FT1449

***Type Us** : composite ***Ident.** : creusement indéterminé

***Sect.** : C-01

***N° Planche-s** (n°Us / Fait / Ens.) : 007, 056

*Rem. : CP1285.

*Z sol 2018 ap. : 43,7 *Z sup. obs. ou niv. décap. (m NGF) : 43,05

*Tech. fle. : mécanique *% flé : ?

*Forme (plan) : indéterminée, tronquée / partiellement décapé-e *Profil : évasé à vertical à fond lég. concave
**Dim. max. obs (m) : *Long. : ? *larg. : 0,6 *Prof./Ht (obs. / restit.) : 0,35

*Descri. : LAS gris foncé et petites mottes d'ALS beige jaunâtre et petit cailloutis épars à erratique.

*SOUS : 1413 *SUR : 1259

*Hz/Us : 1450 *Fait : divers

*Type Us : composite *Ident. : fondations / poteaux contemporains *Sect. : A-04, B-04

*N° Planche-s (n°Us / Fait / Ens.) : 011, 012, 042, 044, 070

*Rem. : Quart Nord (apparaît sur photo aérienne de 2006-2010 ap. ; abandonnée en 2019 ap. = Tr03-diag.) du «garage Nord» TPQ 1950-1985 ap. (n'apparaît pas sur photo aérienne de 1950-1965 + apparaît sur cadastre de 1969-1986).

-CP1238 et 1386.

*Z sol 2018 ap. : 42,60 / 42,90 *Z sup. obs. ou niv. décap. (m NGF) : 42,60 / 42,90

*Tech. fle. : mécanique *% flé : ?

*Forme (plan) : indéterminée tronquée *Profil : vertical fond arrondi

**Dim. max. obs (m) : *Prof./Ht (obs. / restit.) : voir descri.

*Descri. :

-1550-A (Ouest) : larg. = 0,25 ; P. = 0,55. Mortier sableux beige et petites pierres.

-1550-B (Est) : larg. = 0,35 ; P. = 0,75. Mortier sableux beige et terre végétale 1410 remaniée.

*SUR : 1410 ; 1443

*1451 à 1500 : n° non attribués

*Hz/Us : 1501 *Fait : FS1501

*Type Us : composite *Ident. : fosse *Sect. : B-03

*N° Planche-s (n°Us / Fait / Ens.) : 010, 064, 073, 085, 086

*Rem. : Tronque et reprend en partie les limites internes de l'alandier Nord (ALA1317) et du bouchage MR1337 du four de tuilier gallo-romain FOU1074.

*Z sol 2018 ap. : 43,40 *Z sup. obs. ou niv. décap. (m NGF) : 42,45

*Tech. fle. : manuelle *% flé : 100

*Forme (plan) : subcirculaire *Profil : vertical à évasé à irrégulier

**Dim. max. obs (m) : *Long. : 2,35 *larg. : 2,05

*Prof./Ht (obs. / restit.) : 1,5

*Descri. :

-1501-a : LA gris brun foncé, petits frags de tuiles, rubéfiés et graviers épars à erratiques.

-1501-b : Litages de 1305 (frags de tuiles gallo-romaines et mottes/frags rubéfiés) remanié et de LA gris brun sombre.

-1501-c : LA gris sombre, cailloutis épars à erratique.

-1501-d = 1344-a : LA brun, cailloutis, mottes de LA gris sombre et mottes/frags rubéfiés épars.

-1501-e = 1344-b : creusement.

*SUR : 1305 *Egal. : 1344 *Rel. indét. : 1278 ; 1407 ; 1502

*Hz/Us : 1502 *Fait : FS1502

*Type Us : composite *Ident. : fosse *Sect. : B-03

*N° Planche-s (n°Us / Fait / Ens.) : 010

*Rem. : CP1313.

*Z sol 2018 ap. : 43,4 *Z sup. obs. ou niv. décap. (m NGF) : ≥ 42,30

*Tech. fle. : manuelle *% flé : 100

*Forme (plan) : circulaire *Profil : cuvette

**Dim. max. obs (m) : *Diam. : 1,15 *Prof./Ht (obs. / restit.) : ≥ 0,3

*Descri. : LAS gris, petits frags rubéfiés épars.

-Fond à 42,00 m NGF.

*SOUS : 1408 ; 1437 *SUR : 1305 *Rel. indét. : 1278 ; 1407 ; 1501

*Hz/Us : 1503 *Fait : CP1503 *Ens. : FOU1074

*Type Us : coupe

*Sect. : B-03

*N° Planche-s (n°Us / Fait / Ens.) : 010

*Rem. : ONO/ESE, sur FS1309 et sur FS1501 jusqu'au sommet de 1337 (FOU1074).

*Z sol 2018 ap. : 43,40 *Z sup. obs. ou niv. décap. (m NGF) : 42,20 / 42,50

*Tech. fle. : manuelle

**Dim. max. obs (m) : *Long. : 4,2 *Prof./Ht (obs. / restit.) : 0,5

*Hz/Us : 1504 *Fait : FS1504

*Type Us : composite *Ident. : fosse *Sect. : B-03

*N° Planche-s (n°Us / Fait / Ens.) : 010, 073

*Z sol 2018 ap. : 43,40 / 43,50 *Z sup. obs. ou niv. décap. (m NGF) : ≥ 42,30

*Tech. fle. : manuelle *% flé : 100

*Forme (plan) : ovale *Profil : évasé fond plat horizontal

**Dim. max. obs (m) : *Long. : 1,2 *larg. : 0,9 *Prof./Ht (obs. / restit.) : ≥ 0,5

*Descri. : LAS gris, cailloutis anguleux et petits frags rubéfiés épars à erratiques.

-Fond à 41,80 m NGF.

*SOUS : 1408 *SUR : 1305 ; 1348 *Rel. indét. : 1278 ; 1407

*Hz/Us : 1505 *Fait : FS1505

*Type Us : composite *Ident. : fosse profonde en «fût» *Sect. : B-03

*N° Planche-s (n°Us / Fait / Ens.) : 010, 063, 064, 073, 075, 084, 088, 093

*Rem. : CP1329, CP1389.

*Z sol 2018 ap. : 43,5 *Z sup. obs. ou niv. décap. (m NGF) : ≥ 42,30

*Tech. fle. : méc. + man. *% flé : 100

*Forme (plan) : circulaire avec surcreusement ovale

*Profil : évasé à vertical, en «fût», fond lég. concave

****Dim. max. obs (m) :** *Diam. : 1,9 *Prof./Ht (obs. / restit.) : $\geq 2,8$

***Descri. :** *CP1329 / 1389 :

-1505-A1 : LAS brun gris, cailloutis et frags rubéfiés erratiques.

-1505-A2 : LAS gris hydromorphe, rare petit cailloutis.

-1505-A3 : LAS brun à brun gris.

-1505-A4 : (sous sole 1320 / 1401, dans encaissants "loessiques" II) LAS gris foncé hydromorphe, lambeaux d'encaissant II effondré.

-1505-B : Creusement. En partie basse, sous sole 1320 / 1401 (41,15 m NGF), creusement ovalaire (1,25 x 1,6 m) en "fût".

-Z fond : 39,50 NGF.

-1099 : Altération hydromorphe des encaissants (bords et fond).

*SOUS : 1098 ; 1408 *SUR : 1305 ; 1348 *Synch. : 1099 ? *Rel. indét. : 1278 ; 1407

*Hz/Us : 1506 *Fait : FD1506

*Type Us : composite *Ident. : fondation de mur

*Sect. : B-01, C-01

*N° Planche-s (n°Us / Fait / Ens.) : 006, 007, 018, 019, 068, 070, 121, 122

*Rem. : Mur figuré sur les cadastres de 1826 et de 1969-1986 ; n'apparaît plus sur une photo aérienne de 2000-2005 ap. (élévation détruite).

-Tronqué par démolition d'août 2021 ap.

*Z sol 2018 ap. : 43,25 / 43,25 *Z sup. obs. ou niv. décap. (m NGF) : 42,65 / 42,80

*Tech. fle. : mécanique % flé : 60 ?

*Forme (plan) : linéaire rectiligne *Profil : vertical fond plat

****Dim. max. obs (m) :** *Long. : 6,1 ? *larg. : 0,6

*Prof./Ht (obs. / restit.) : 1,25

***Descri. :**

-1506-A : (fondation) double parement, plus ou moins homogène, de moellons plus ou moins équarris et pierres, principalement silico-calcaires et de calcaire blanc, avec quelques grès, avec calage interne de pierres, liés au mortier sableux beige.

-1506-B : Creusement de fondation.

-CP1390 : Fond à 41,55 m NGF.

*SUR : 1190 ; 1415 ; 1526 *Synch. : 1188 ; 1507 ?

*Hz/Us : 1507 *Fait : FD1507

*Type Us : composite *Ident. : fondation de mur

*Sect. : B-01

*N° Planche-s (n°Us / Fait / Ens.) : 006, 018, 019, 021, 068, 070

*Rem. : Mur figuré sur le cadastre de 1826 ; sur photo aérienne de 1950-1965 ap. ; n'apparaît plus sur le cadastre de 1969-1986 ap. (élévation détruite).

-Tronqué par démolition d'août 2021 ap.

-Non sondé (palier de sécurité).

-Partiellement dégagé en limite de fouille.

*Z sol 2018 ap. : 43,25 / 43,45 *Z sup. obs. ou niv. décap. (m NGF) : 42,85

*Tech. fle. : mécanique % flé : ?

*Forme (plan) : linéaire rectiligne *Profil : vertical fond plat

****Dim. max. obs (m) :** *Long. : > 5 *larg. : 0,6 *Prof./Ht (obs. / restit.) : ? ($> 0,3$)

***Descri. :** Parement Est, plus ou moins homogène, de moellons plus ou moins équarris et pierres, principalement silico-calcaires et de calcaire blanc, avec quelques grès, avec calage interne de pierres, liés au mortier sableux beige.

*SUR : 1415 ; 1526 *Synch. : 1506 ?

*Hz/Us : 1508 *Fait : SD1508

*Type Us : sondage / coupes

*Sect. : B-01

*N° Planche-s (n°Us / Fait / Ens.) : 006, 024, 025, 111

*Rem. : Sur EX1151, Hz1325, FS1418 et RB1419.

-CP1508-N (OSO / ENE) + 1508-O + 1508-S.

*Z sol 2018 ap. : 43,65 *Z sup. obs. ou niv. décap. (m NGF) : 42,7

*Tech. fle. : mécanique

****Dim. max. obs (m) :** *Long. : 3,6 *larg. : 1,5 / 1,6

*Prof./Ht (obs. / restit.) : 1,7

*Hz/Us : 1509 *Fait : CP1509

*Type Us : coupe

*Sect. : B-02

*N° Planche-s (n°Us / Fait / Ens.) : 008, 013, 034, 035

*Rem. : SSE / NNO, limite Ouest de la fouille, palier inf.

-Sur FD1121, Hz1294.

*Z sol 2018 ap. : 43,50 / 43,85 *Z sup. obs. ou niv. décap. (m NGF) : 42,50 / 42,80

*Tech. fle. : mécanique

****Dim. max. obs (m) :** *Long. : 11,2 *Prof./Ht (obs. / restit.) : 1,4

*Hz/Us : 1510 *Fait : SD1510

*Type Us : sondage / coupes

*Sect. : A-04, B-04

*N° Planche-s (n°Us / Fait / Ens.) : 011, 012

*Rem. : Sur EX1037 (1510-NE, NO / SE) et FS1053 (1510-SO).

*Z sol 2018 ap. : 43,10 *Z sup. obs. ou niv. décap. (m NGF) : 42,1

*Tech. fle. : mécanique

****Dim. max. obs (m) :** *Long. : 4 *larg. : 1,55 / 1,8

*Prof./Ht (obs. / restit.) : 2,7

*Hz/Us : 1511 *Fait : PR1511 *Ens. : FOU1074

*Type Us : composite *Ident. : paroi de chambre de chauffe / d'alancier *Sect. : B-03

*N° Planche-s (n°Us / Fait / Ens.) : 010, 080, 088, 093

*Rem. : Ancienne paroi de la chambre de chauffe de la Phase A (sole 1400) ?

-Partiellement réintégrée dans le nouvel alancier Sud, Phase B (sole 1401) ?

*Z sol 2018 ap. : 43,50 *Z sup. obs. ou niv. décap. (m NGF) : 42,25

*Tech. fle. : méc. + man. % flé : 100

*Forme (plan) : rectangulaire *Profil : en V

****Dim. max. obs (m) :** *Long. : 1,05 *larg. : 0,4

*Prof./Ht (obs. / restit.) : 1,1

***Descri.** : 1511 = 1341-B : Lignes / arases de tuiles plates dans le sens de la longueur (tegulae entières et gros frags), liées à l'argile. Surfaces extérieure (vers chambre de chauffe) recouverte par une fine couche d'argile. Le tout induré / vitrifié.

***SOUS** : 1341-A ? ; 1401 ? ***Egal.** : 1341-B

***Hz/Us** : 1512 ***Fait** : CP1512 ***Ens.** : FOU1074

***Type Us** : coupe

***Sect.** : B-03

***N° Planche-s** (n°Us / Fait / Ens.) : 010, 094

***Rem.** : Sur comblements de l'alancier Sud (ALA1341) du four de tuilier (FOU1074).

-Sup. ONO / ESE, Prof. : 0,5 m.

-Inf. ESE / ONO, Prof. : 0,7 m.

***Z sol 2018 ap.** : 43,50 ***Z sup. obs. ou niv. décap.** (m NGF) : 42,3

***Tech. fle.** : manuelle

****Dim. max. obs (m)** : ***Long.** : 3,8 ***Prof./Ht (obs. / restit.)** : 1,2

***Hz/Us** : 1513 ***Fait** : CP1513 ***Ens.** : FOU1074

***Type Us** : coupe

***Sect.** : B-03

***N° Planche-s** (n°Us / Fait / Ens.) : 010, 056

***Rem.** : ESE / ONO sur Sol Brun holocène et comblements sup. de la fosse de travail Sud 1074 du four de tuilier (FOU1074).

***Z sol 2018 ap.** : 43,50 ***Z sup. obs. ou niv. décap.** (m NGF) : 42,3

***Tech. fle.** : manuelle

****Dim. max. obs (m)** : ***Long.** : 4,3 ***Prof./Ht (obs. / restit.)** : 0,7

***Hz/Us** : 1514 ***Fait** : CP1514 ***Ens.** : FOU1074

***Type Us** : coupe

***Sect.** : B-03

***N° Planche-s** (n°Us / Fait / Ens.) : 010, 082, 083, 084

***Rem.** : En surface, points visibles sur photographies du 25/11/2021 (drone, 3D) = 1514 (coupe non réalisée).

-En surface, points de coupe réelle = 1514-B.

-1514-B = coupe longitudinale SSO / NNE de la fosse de travail Sud 1074 du four de tuilier et encaissants.

***Z sol 2018 ap.** : 43,50 ***Z sup. obs. ou niv. décap.** (m NGF) : 42,2

***Tech. fle.** : méc. + man.

****Dim. max. obs (m)** : ***Long.** : 6,5 ***Prof./Ht (obs. / restit.)** : 1,4

***Hz/Us** : 1515 ***Fait** : CP1515 ***Ens.** : FOU1074

***Type Us** : coupe

***Sect.** : B-03

***N° Planche-s** (n°Us / Fait / Ens.) : 010, 094

***Rem.** : Coupe transversale ESE / ONO de la fosse de travail Sud 1074 du four de tuilier.

***Z sol 2018 ap.** : 43,50 ***Z sup. obs. ou niv. décap.** (m NGF) : 42,05 / 42,25

***Tech. fle.** : manuelle

****Dim. max. obs (m)** : ***Long.** : 3,15 ***Prof./Ht (obs. / restit.)** : 1,15

***Hz/Us** : 1516 ***Fait** : FS1516

***Type Us** : composite ***Ident.** : fosse ***Sect.** : B-02

***N° Planche-s** (n°Us / Fait / Ens.) : 008

***Z sol 2018 ap.** : 43,85 ***Z sup. obs. ou niv. décap.** (m NGF) : 42,95

***Tech. fle.** : mécanique *% **flé** : 100

***Forme (plan)** : subrectangulaire / rectangulaire

***Profil** : vertical / en sape à fond plat

****Dim. max. obs (m)** : ***Long.** : 1,4 ***larg.** : 0,95

***Prof./Ht (obs. / restit.)** : 1

***Descri.** : LAS beige (sup.) à gris beige (inf.). Rare cailloutis.

-Coupe SSE / NNO : Fond à 41,95 m NGF.

***SOUS** : 1259 ***SUR** : 1294 ***Rel. indét.** : 1278 ; 1517

***Hz/Us** : 1517 ***Fait** : FO1517

***Type Us** : composite ***Ident.** : fossé ***Sect.** : B-02

***N° Planche-s** (n°Us / Fait / Ens.) : 008, 048, 050, 051, 062

***Rem.** : Partiellement décapé.

***Z sol 2018 ap.** : 43,50 / 43,85 ***Z sup. obs. ou niv. décap.** (m NGF) : 42,8

***Tech. fle.** : méc. + man. *% **flé** : ?

***Forme (plan)** : linéaire lég. courbe ***Profil** : évasé fond arrondi

****Dim. max. obs (m)** : ***Long.** : > 4,5 ***larg.** : 0,7

***Prof./Ht (obs. / restit.)** : 0,3

***Descri.** : LAS / ALS brun beige à brun gris, gros frags. de tuiles gallo-romaines épars à erratiques.

-CP1253 (Nord) : Fond à 42,60 m NGF.

-CP1252 : Fond à 42,50 m NGF.

***SOUS** : 1518 ***SUR** : 1294 ***Rel. indét.** : 1371 ; 1516

***Hz/Us** : 1518 ***Fait** : FO1518 ***Ens.** : SFO1179 ?

***Type Us** : composite ***Ident.** : fossé ***Sect.** : B-02

***N° Planche-s** (n°Us / Fait / Ens.) : 008, 047, 048, 050, 051, 054, 055, 062

***Rem.** : FO1518 = 1114 + 1123-B + 1117 + 1518.

-S'aligne sur le fossé 1179, 15 mètres plus au SSO.

***Z sol 2018 ap.** : 43,50 / 43,80 ***Z sup. obs. ou niv. décap.** (m NGF) : 42,8

***Tech. fle.** : méc. + man. *% **flé** : 100

***Forme (plan)** : linéaire courbe ***Profil** : cuvette

****Dim. max. obs (m)** : ***Long.** : > 14 ***larg.** : 1,6

***Prof./Ht (obs. / restit.)** : 0,45 / 0,65

***Descri.** :

*CP1261 (au Nord) :

-1114-A = 1518-A : LAS brun gris, frags de tuiles gallo-romaines épars à abondants.

-1114-B = 1518-B : LAS brun beige à blanchi, rares frags de tuiles gallo-romaines.

-1114-C = 1518-C : Creusement, fond à 42,35 m NGF.

*CP1252 (au Sud) :

-1518-A : LAS gris brun à brun gris, frags de tuiles gallo-romaines abondants.

-1518-B : LAS brun à brun beige, rares frags de tuiles gallo-romaines.

-1518-C : Creusement, fond à env. 42,15 m NGF.

***SOUS** : 1278 ***SUR** : 1517 ***Synch.** : 1179 ? ***Rel. indét.** : 1248

*Hz/Us : 1519 *Fait : EX1519
 *Type Us : composite *Ident. : excavation profonde / «cave» récupérée ? *Sect. : B-02
 *N° Planche-s (n°Us / Fait / Ens.) : 008, 048, 049, 066, 067, 068
 *Rem. : Structure bâtie en creux récupérée ?
 -En limite de fouille (CP1253).
 *Z sol 2018 ap. : 43,85 *Z sup. obs. ou niv. décap. (m NGF) : 43,3
 *Tech. fle. : mécanique *% flé : ?
 *Forme (plan) : rectangulaire ? (surdécapée / décap. partiel) *Profil : Bord Nord en paliers verticaux à fond plat / Bord Sud vertical / en sape à évasé
 **Dim. max. obs (m) : *Long. : 3,6 *larg. : > 1,5
 *Prof./Ht (obs. / restit.) : > 1,5
 *Descri. :
 -1519-A1 : Litages de Mottes de LAS / ALS brun foncé et brun, petit cailloutis anguleux abondant à épars, cailloutis brûlé et frags de «pains» de terre crue brun jaune orangé (briques crues ?) épars à erratiques.
 -1519-A2 : Litages de LAS brun foncé à gris brun sombre, cailloutis anguleux épar à erratique.
 -1519-A3 : ALS brun jaune à brun beige et cailloutis silico-calcaire abondant.
 -1519-A4 : Litages de sédiment sablonneux / LAS brun sombre à noirâtre, poches cendreuse et mottes brunes éparses, rare cailloutis.
 -1519-B : Creusement de fondation / récupération.
 -CP1353, fond non atteint, < 41,80 m NGF.
 *SOUS : 1121-A ; 1139-A ; 1250 ; 1424 *SUR : 1258 ; 1259 *Synch. : 1121-B ? ; 1139-B ? *Rel. indét. : 1139-B
 *Hz/Us : 1520 *Fait : FS1074 *Ens. : FOU1074
 *Type Us : comblement + creusement *Ident. : fosse
 *N° Planche-s (n°Us / Fait / Ens.) : 082, 083
 *Z sol 2018 ap. : 43,5 *Z sup. obs. ou niv. décap. (m NGF) : 42,3
 *Tech. fle. : méc. + man. *% flé : 100
 **Dim. max. obs (m) : *Long. : 4,5 *larg. : 3,65
 *Prof./Ht (obs. / restit.) : 0,8
 *Descri. :
 -1520-a : Gros frags très abondants de tuiles gallo-romaines, frags rubéfiés épars, LAS gris brun sombre.
 -1520-b : Probable effet de creusement sur comblements 1348 et 1350.
 *SOUS : 1278 *SUR : 1348 *Egal. : 1074-a1
 *Hz/Us : 1521 *Fait : FS1521 *N° diag. : PO-04
 *Type Us : composite *Ident. : fosse *Sect. : A-04
 *N° Planche-s (n°Us / Fait / Ens.) : 011
 *Rem. : Surdécapée.
 *Z sol 2018 ap. : 43,1 *Z sup. obs. ou niv. décap. (m NGF) : 42,35
 *Tech. fle. : méc. + man. *% flé : 100
 *Forme (plan) : ovale *Profil : cuvette
 **Dim. max. obs (m) : *Long. : > 1,2 *larg. : > 0,8
 *Prof./Ht (obs. / restit.) : 0,9
 *Descri. :

-LAS gris sombre et petites mottes brun jaune éparses, petit cailloutis épars à erratique.
 -Coupe SSE / NNO : Fond à 41,45 m NGF.
 *SOUS : 1408 *SUR : 1040 ; 1045 ; 1407 *Rel. indét. : 1038

*Hz/Us : 1522 *Fait : PO1522
 *Type Us : composite *Ident. : trou de poteau ?
 *Sect. : A-04
 *N° Planche-s (n°Us / Fait / Ens.) : 011
 *Rem. : Proche FS1039.
 -Surdécapé.
 *Z sol 2018 ap. : 43,05 *Z sup. obs. ou niv. décap. (m NGF) : ≥ 42,00
 *Tech. fle. : méc. + man. *% flé : 100
 *Forme (plan) : circulaire *Profil : évasé à vertical à fond lég. concave
 **Dim. max. obs (m) : *Diam. : > 0,25 *Prof./Ht (obs. / restit.) : ≥ 0,4
 *Descri. : LAS gris clair, nodules rubéfiés épars.
 -Fond à 41,60 m NGF.
 *SOUS : 1408 *SUR : 1294 *Rel. indét. : 1409

*Hz/Us : 1523 *Fait : PO1523
 *Type Us : composite *Ident. : trou de poteau ?
 *Sect. : A-04
 *N° Planche-s (n°Us / Fait / Ens.) : 011
 *Rem. : Surdécapé.
 *Z sol 2018 ap. : 43,1 *Z sup. obs. ou niv. décap. (m NGF) : ≥ 42,00
 *Tech. fle. : méc. + man. *% flé : 100
 *Forme (plan) : circulaire *Profil : évasé à vertical à fond lég. concave
 **Dim. max. obs (m) : *Diam. : > 0,25 *Prof./Ht (obs. / restit.) : ≥ 0,55
 *Descri. : LAS gris clair, nodules rubéfiés épars.
 -Fond à 41,45 m NGF.
 *SOUS : 1038 *SUR : 1294 *Rel. indét. : 1039

*Hz/Us : 1524 *Fait : CP1524
 *Type Us : coupe
 *Sect. : A-04, B-04
 *N° Planche-s (n°Us / Fait / Ens.) : 011, 012, 100
 *Rem. : ONO/ESE sur FS1241, 1243 et 1022.
 *Z sol 2018 ap. : 42,90 *Z sup. obs. ou niv. décap. (m NGF) : 41,80 / 42,00
 *Tech. fle. : mécanique
 **Dim. max. obs (m) : *Long. : 4 *Prof./Ht (obs. / restit.) : 1

*Hz/Us : 1525 *Fait : SD1525
 *Type Us : sondage et coupes
 *Sect. : B-01
 *N° Planche-s (n°Us / Fait / Ens.) : 006, 013, 021, 023, 024, 025, 103, 104
 *Rem. : Palier / sondage partiel sur HZ1415, cave 1380 et EX1551.
 *Z sol 2018 ap. : 43,25 à 43,65 *Z sup. obs. ou niv. décap. (m NGF) : 42,6
 *Tech. fle. : mécanique

****Dim. max. obs (m) : *Prof./Ht (obs. / restit.) : 2,2**

***Descri. :**

*CP1525-A : SSE / NNO, limite Ouest de la fouille, palier inférieur.

-9,8 m de long. ; d'env. 42,40 à 42,60 m NGF sup. ; d'env. 0,75 à 1,25 m de hauteur.

*CP1525-B/C/D : coupes du sondage 1525 partiel sur l'EX1551 et le BAS1381.

-3,2 m de longueur ; 1,6 de larg. ; env. 42,00 / 42,15 m NGF sup. ; 1,6 m de hauteur.

***Hz/Us : 1526 *Fait : RB1526 *Ens. : CAV1380**

***Type Us : composite *Ident. : excavation de récupération / scellement *Sect. : B-01**

***N° Planche-s (n°Us / Fait / Ens.) : 006, 016, 017, 018, 019, 020, 021, 022, 023, 024, 025, 068, 104, 105, 106, 121, 122, 123**

***Rem. : 1526 : Remblais après récupération de la cave 1380.**

-Angle SO de la fouille, cave 1380 partiellement dégagée.

-Synchrone avec l'abandon / récupération de la "cave" 1267.

***Z sol 2018 ap. : 43,25 / 43,60 *Z sup. obs. ou niv. décap. (m NGF) : 42,65 / 43,20**

***Tech. fle. : méc. + man. *% flé : ?**

***Forme (plan) : rectangulaire *Profil : Bord Nord en paliers à fond plat, Bord Est évasé à vertical / en sape.**

****Dim. max. obs (m) : *Long. : > 9,9 *larg. : > 4,8**

***Prof./Ht (obs. / restit.) : 2**

***Descri. :**

-1526-A1 = 1267-A : Litages de vrac de gravats (frags de plâtre, tuiles, briques, petites pierres) avec LAS gris sombre à brun gris, quelques couches de LAS bruns avec mottes jaunâtres à gris brun sombre.

-1526-A2 = 1382-A : (Bord Sud) Litages LAS brun jaunâtre à beige jaunâtre et de gravats (frags de calcaire blanc / plâtre abondants et LAS brun à gris à gris sombre).

-1527 : Litages / Liserés de LAS gris brun à gris sombre et de LAS brun jaunâtre.

-1526-B1 : (sup.) Creusement de récupération / démolition.

-1526-B2 <=> 1382-B : (inf.) Négatifs des murs 1379 et 1380.

-CP1378 : Fond à 40,50 / 40,55 m NGF.

-CP1390 : Fond à 40,55 / 40,60 m NGF.

***SOUS : 1415 ; 1506 ; 1507 *SUR : 1183-A ; 1379 ; 1380 *Synch. : 1267-A ; 1267-B1**

***Hz/Us : 1527 *Fait : NV1527 *Ens. : CAV1380**

***Type Us : comblement *Ident. : niveau / effet de piétinement *Sect. : B-01**

***N° Planche-s (n°Us / Fait / Ens.) : 006, 020, 021, 022, 023, 105, 106, 121, 122**

***Rem. : Litages / "effet de piétinement" sur le fond de la cave 1380, reposant sur l'encaissant naturel "loessique" II à l'état brut.**

-Principalement dans la partie Nord.

-Postérieur à la récupération des maçonneries de la cave.

***Z sol 2018 ap. : 43,25 / 43,60 *Z sup. obs. ou niv. décap. (m NGF) : 41, / 41,05**

***Tech. fle. : méc. + man. *% flé : ?**

****Dim. max. obs (m) : *Prof./Ht (obs. / restit.) : ≤ 0,2 / 0,4**

***Descri. :**

-1527 : Litages / Liserés de LAS gris brun à gris sombre et de LAS brun jaunâtre.

-1526-B2 : (inf.) Négatif de la base du MR1379.

-CP1378 : Fond à 40,45 m NGF.

-CP1390 : Fond à 40,65 m NGF.

***SOUS : 1382-A ; 1526-A *SUR : 1379-A ; 1380-A ;**

1526-B *Synch. : 1526-B

4.2. Inventaire des faits par type et n°

Année de l'opération	2021	Commune	Melun	Lieu-dit / adresse	19, rue Saint-Liesne	CRA Inrap IDF	Pantin	Code Inrap	F134120
Section	AR	Département	Seine-et-Marne (77)	Type opération	Fouille	RRA	G. Desrayaud	Code OA	1011544
Parcelle	245	Récapitulatif parcelles	Melun, sect. AR, p. 245	Date début terrain	20/09/2021	Date fin terrain	17/12/2021	N° INSEE commune	77288

4.2.1 Faits stratigraphiques

nb	FAIT strati.	Hz / Us	ENSEmble	ENS bis	Identification	nb type	
1	BS1250	1250 1257			petit bassin contemporain	1	
2	BS1381	1172 1381	BAS1381		remblais de récupération / scellement bassin profond rectangulaire (fondation + démolition)	2	BS
3	ES1230	1230	CAV1211		récupération d'escalier	1	ES
4	EX1032	1032			excavation	1	
5	EX1037	1037			excavation en puits	2	
6	EX1052	1052			excavation	3	
7	EX1054	1054			excavation	4	
8	EX1063	1063			excavation	5	
9	EX1104	1104			excavation	6	
10	EX1120	1120 1272 1273 1288			excavation	7	
11	EX1125	1125			excavation / grande fosse	8	
12	EX1127	1127			excavation	9	
13	EX1129	1129			excavation / grande fosse	10	
14	EX1151	1151			excavation / cave ?	11	
15	EX1162	1162 1163 1223 1399			excavation	12	
16	EX1165	1165			excavation	13	
17	EX1183	1183 1184	CAV1211		excavation de récupération et remblais	14	
18	EX1191	1191			excavation	15	
19	EX1232	1231 1232 1235			excavation	16	
20	EX1239	1239			excavation profonde en fût	17	
21	EX1267	1267	CAV1267		excavation	18	
22	EX1284	1284 1372			excavation avec fosse centrale	19	
23	EX1307	1307			excavation	20	
24	EX1413	1413	BAT1126		niveau de récupération (bâtiment ?) excavé	21	
25	EX1421	1421			excavation / récupération	22	
26	EX1438	1438			excavation / remblais	23	
27	EX1519	1519			excavation profonde / «cave» récupérée ?	24	EX
28	FD1038	1038			tranchée de fondation de mur	1	
29	FD1135	1135	CAV1135		fondations / parements / sol / escalier contemporains	2	

nb	FAIT strat.	Hz / Us	ENSEmble	ENS bis	Identification	nb type	
30	FD1139-B	1139-B	BAT1126	MUR1139	fondation de mur	3	
31	FD1154	1154			fondation de mur	4	
32	FD1155	1155			fondation de mur	5	
33	FD1158	1158			parement de fondation de mur	6	
		1217			parement de fondation		
34	FD1188	1188			fondation de mur	7	
35	FD1269	1269	CAV1211		fondation de muret	8	
36	FD1425	1425			fondation	9	
37	FD1446	1446			fondations de murs / murets	10	
38	FD1450	1450			fondations / poteaux contemporains	11	
39	FD1506	1506			fondation de mur	12	
40	FD1507	1507			fondation de mur	13	FD
41	FO1148	1148	SFO1148		fossé	1	
42	FO1179	1179	SFO1179 ?		fossé	2	
		1297					
43	FO1186	1186			fossé	3	
44	FO1203	1203			fossé	4	
		1204					
45	FO1247	1247	SFO1247 ?		fossé	5	
46	FO1248	1248	SFO1148		fossé	6	
47	FO1295	1295	SFO1247 ?		fossé ?	7	
48	FO1517	1517			fossé	8	
49	FO1518	1114	SFO1179 ?		fossé	9	FO
		1117					
		1263					
		1518					
50	FR1320	1091	FOU1074		chambre de chauffe	1	FR
		1305					
		1320					
		1323					
		1340					
51	FS1001	1001			fosse	1	
52	FS1003	1003			fosse / fondation ?	2	
53	FS1004	1004			fosse	3	
54	FS1005	1005			fosse	4	
55	FS1006	1006			fosse	5	
56	FS1007	1007			fosse	6	
57	FS1011	1011			fosse / trou de poteau ?	7	
58	FS1012	1012			fosse / silo ?	8	
59	FS1013	1013			fosse	9	
60	FS1014	1014			fosse	10	
61	FS1015	1015			fosse / trou de poteau ?	11	
62	FS1019	1019			fosse	12	
63	FS1021	1021			fond de fosse	13	
64	FS1022	1022			fosse	14	
65	FS1026	1026			fosse	15	
66	FS1027	1027			fosse	16	
67	FS1028	1028			fosse	17	
68	FS1029	1029			fosse	18	
69	FS1031	1031			fosse	19	
70	FS1033	1033			fosse	20	
71	FS1035	1035			fosse / trou de poteau ?	21	
72	FS1039	1039			fosse	22	
73	FS1040	1040			fosse (silo ?)	23	
74	FS1045	1045			fosse	24	

nb	FAIT strat.	Hz / Us	ENSEmble	ENS bis	Identification	nb type
75	FS1047	1047			fond de fosse ?	25
76	FS1048	1048			fosse	26
77	FS1051	1051			fosse contemporaine	27
78	FS1053	1053			fosse	28
79	FS1055	1055			fosse contemporaine	29
80	FS1056	1056			fosse profonde en fût	30
81	FS1057	1057			fosse (silo ?)	31
82	FS1069	1069			fosse	32
83	FS1071	1071			fosse (silo ?)	33
84	FS1073	1073			fosse	34
85	FS1074	1074	FOU1074		fosse de travail de four	35
		1363				
		1364				
		1365				
		1387				
		1431				
		1520				
86	FS1077	1077			fosse	36
87	FS1078	1078			fosse	37
88	FS1079	1079			fosse	38
89	FS1080	1080			fosse contemporaine	39
90	FS1089	1089	ALI1075 ?		fosse contemporaine	40
91	FS1093	1093			fosse	41
92	FS1105	1105			fosse	42
93	FS1109	1109			fosse	43
94	FS1110	1110			fosse	44
95	FS1116	1116			fosse	45
96	FS1119	1119			fosse	46
97	FS1122	1122			fosse	47
98	FS1124	1124			fond de fosse	48
99	FS1132	1132			fosse	49
100	FS1136	1136			fosse	50
101	FS1142	1142			Fosse profonde en fût / en puits	51
102	FS1143	1143			fosse	52
103	FS1145	1145			fosse	53
104	FS1146	1146			fosse	54
105	FS1147	1147			fosse profonde en fût / tronconique	55
106	FS1149	1149			fosse	56
107	FS1150	1150	FSA1398		fosse / négatif de structure bâtie ?	57
108	FS1166	1166			fosse / tranchée ?	58
109	FS1170	1170			fosse	59
110	FS1171	1171	BAS1381		fosse	60
111	FS1173	1173	CAV1380		fosse	61
112	FS1177	1177			fosse	62
113	FS1178	1178			fosse	63
114	FS1180	1180			fosse (silo ?)	64
115	FS1181	1181			fosse	65
116	FS1189	1189			fosse	66
117	FS1190	1190			fosse	67
118	FS1192	1192			fosse «empierrée»	68
119	FS1198	1198			fosse	69
120	FS1206	1206			fosse	70
121	FS1207	1207			fosse	71
122	FS1228	1228			fosse	72
123	FS1229	1229			fosse	73

nb	FAIT strati.	Hz / Us	ENSEmble	ENS bis	Identification	nb type	
124	FS1233	1233			fosse	74	
		1234					
125	FS1236	1200			fosse	75	
		1236					
126	FS1241	1241			fosse	76	
127	FS1242	1242			fosse	77	
128	FS1243	1243			fosse	78	
129	FS1244	1244			fosse	79	
130	FS1249	1249			fosse	80	
131	FS1255	1255			fosse	81	
132	FS1258	1258			tranchée (de récupération ?) / fosse	82	
133	FS1262	1262			fosse	83	
134	FS1265	1265			fosse	84	
135	FS1298	1298			fosse	85	
136	FS1303	1303			fosse	86	
137	FS1309	1309			fosse	87	
138	FS1310	1310			fosse	88	
139	FS1311	1311			fosse	89	
		1367					
140	FS1316	1316			fosse	90	
141	FS1321	1072	FOU1074		remblai d'abandon / scellement	91	
		1321			fosse de travail de four		
		1322					
		1359					
		1360					
		1361					
142	FS1362	1362			fosse	92	
143	FS1366	1366			fosse	93	
144	FS1384	1384			fosse	94	
145	FS1394	1394			fosse	95	
146	FS1398	1398	FSA1398		fosse / tranchée aménagée ?	96	
147	FS1417	1417			fosse	97	
148	FS1418	1418			fosse	98	
149	FS1429	1429			fosse	99	
150	FS1432	1432			fosse / tranchée ?	100	
151	FS1433	1433			fosse contemporaine	101	
152	FS1434	1434			fosse	102	
153	FS1435	1435			fosse	103	
154	FS1447	1447			fond de fosse ?	104	
155	FS1448	1448			fosse	105	
156	FS1501	1344			fosse	106	
		1501					
157	FS1502	1502			fosse	107	
158	FS1504	1504			fosse	108	
159	FS1505	1505			fosse profonde en «fût»	109	
160	FS1516	1516			fosse	110	
161	FS1521	1521			fosse	111	FS
162	FT1010	1010			creusement indéterminé	1	
163	FT1016	1016			creusement indét. / poteau ?	2	
164	FT1017	1017			creusement indéterminé / anomalie ?	3	
165	FT1018	1018			creusement indéterminé / anomalie ?	4	
166	FT1023	1023			creusement indéterminé	5	
167	FT1024	1024			creusement indéterminé	6	
168	FT1030	1030			creusement indéterminé	7	

nb	FAIT strati.	Hz / Us	ENSEmble	ENS bis	Identification	nb type	
169	FT1034	1034			creusement indéterminé	8	
170	FT1036	1036			creusement indéterminé	9	
171	FT1042	1042			creusement indéterminé / anomalie ?	10	
172	FT1043	1043			creus. indét. / anomalie ?	11	
173	FT1044	1044			creus. indét. / anomalie ?	12	
174	FT1049	1049			creus. indét. / anomalie ?	13	
175	FT1050	1050			creusement indéterminé	14	
176	FT1058	1058			creusement indéterminé	15	
177	FT1060	1060			creusement indéterminé	16	
178	FT1070	1070			creusement indéterminé	17	
179	FT1084	1084			creusement indéterminé	18	
180	FT1101	1101			creusement indéterminé	19	
181	FT1106	1106			creusement indéterminé	20	
182	FT1107	1107			trou de poteau ?	21	
183	FT1111	1111			creusement indéterminé	22	
184	FT1113	1113			creusement indéterminé	23	
185	FT1115	1115			creus. indét. / anomalie ?	24	
186	FT1130	1130			creusement indéterminé	25	
187	FT1133	1133			creusement indéterminé	26	
188	FT1134	1134			creusement indéterminé	27	
189	FT1138	1138			creusement indéterminé	28	
190	FT1371	1371			creusement indéterminé	29	
191	FT1396	1396			creusement indéterminé	30	
192	FT1406	1406			creusement indéterminé	31	
193	FT1449	1449			creusement indéterminé	32	FT
194	FY1423	1423			fond fosse / foyer ou sole	1	FY
195	HZ1259	1259	HRZ1259		horizon pédologique / horizon de terre végétale ancienne	1	
196	HZ1278	1197 1278			horizon (Hz) pédologique / terre végétale ancienne	2	
197	HZ1294	1225 1226 1275 1294			niveau stratigraphique / horizon pédologique	3	
198	HZ1325	1325			niveau stratigraphique / horizon pédologique	4	
199	HZ1407	1407	HRZ1259		horizon pédologique / horizon de terre végétale ancienne	5	
200	HZ1408	1408			horizon de terre végétale ancienne / labours (?)	6	
201	HZ1409	1409			horizon (Hz) pédologique / terre végétale ancienne	7	
202	HZ1410	1410			Horizon pédologique / terre végétale actuelle	8	
203	HZ1415	1415			remblai / horizon de terre végétale	9	
204	HZ1422	1422			remblai / horizon de terre végétale	10	HZ
205	MR1121-A	1121-A	MUR1121		fondation et élévation de mur	1	
206	MR1121-B	1121-B	BAT1126	MUR1121	fondation et élévation de mur	2	
207	MR1128	1128			mur contemporain	3	
208	MR1139-A	1139-A	MUR1139		fondation et élévation de mur	4	
209	MR1152	1152	CAV1135		mur contemporain	5	
210	MR1153	1153	CAV1135		mur contemporain	6	
211	MR1156	1156			mur contemporain	7	
212	MR1157	1157 1160 1168			mur fondation de mur fondation de mur	8	
213	MR1185	1185			mur (élévation + fondation)	9	
214	MR1211	1211	CAV1211		fondation de mur	10	
215	MR1337	1337	FOU1074		mur / paroi	11	
216	MR1379	1379	CAV1380		parement et fondation de mur de cave	12	
217	MR1380	1380	CAV1380		parement et fondation de mur de cave	13	MR

nb	FAIT strat.	Hz / Us	ENSEmble	ENS bis	Identification	nb type	
218	NV1527	1527	CAV1380		niveau / effet de piétinement	1	NV
219	PL1075	1075	ALI1075		fondation de pile / pilier contemporaine	1	
220	PL1076	1076	ALI1075		fondation de pile / pilier contemporaine	2	
221	PL1102	1102	ALI1075		fondation de pile / pilier contemporaine	3	
222	PL1317	1317	FOU1074	ALA1317	pile d'alandier	4	
223	PL1318	1318	FOU1074	CLO1318	pile de cloison de chambre de chauffe	5	
224	PL1319	1319	FOU1074	CLO1318	pile de cloison de chambre de chauffe	6	
225	PL1330	1330	FOU1074	CLO1330	pile de cloison de chambre de chauffe	7	
226	PL1331	1331	FOU1074	CLO1330	pile de cloison de chambre de chauffe	8	
227	PL1332	1332	FOU1074	CLO1332	pile de cloison de chambre de chauffe	9	
228	PL1333	1333	FOU1074	CLO1332	pile de cloison de chambre de chauffe	10	
229	PL1334	1334	FOU1074	CLO1334	pile de cloison de chambre de chauffe	11	
230	PL1335	1335	FOU1074	CLO1334	pile de cloison de chambre de chauffe	12	
231	PL1336	1336	FOU1074	ALA1317	pile d'alandier	13	
232	PL1338	1338	FOU1074	CLO1338	pile de cloison de chambre de chauffe	14	
233	PL1339	1339	FOU1074	CLO1338	pile de cloison de chambre de chauffe	15	
234	PL1341	1341	FOU1074	ALA1341	pile d'alandier	16	
235	PL1349	1349	FOU1074	ALA1341	pile d'alandier	17	PL
236	PO1008	1008			trou de poteau ?	1	
237	PO1009	1009			trou de poteau ?	2	
238	PO1059	1059			fosse / trou de poteau ?	3	
239	PO1061	1061			trou de poteau ?	4	
240	PO1064	1064			trou de poteau ?	5	
241	PO1065	1065			trou de poteau	6	
242	PO1066	1066			trou de poteau ?	7	
243	PO1067	1067			trou de poteau ?	8	
244	PO1068	1068			trou de poteau ?	9	
245	PO1081	1081			trou de poteau	10	
246	PO1082	1082	BAT1082 ?		trou de poteau ?	11	
247	PO1083	1083			trou de poteau	12	
248	PO1085	1085			trou de poteau ?	13	
249	PO1087	1087			trou de poteau ?	14	
250	PO1090	1090			trou de poteau / piquet contemporain	15	
251	PO1092	1092			trou de poteau ?	16	
252	PO1094	1094			trou de poteau	17	
253	PO1095	1095	BAT1082 ?		trou de poteau	18	
254	PO1100	1100	BAT1082 ?		trou de poteau	19	
255	PO1103	1103			trou de poteau ?	20	
256	PO1108	1108	BAT1082 ?		trou de poteau	21	
257	PO1112	1112			trou de poteau ?	22	
258	PO1167	1167			trou de poteau	23	
259	PO1174	1174			trou de poteau ?	24	
260	PO1175	1175			trou de poteau ?	25	
261	PO1187	1187			trou de poteau ?	26	
262	PO1251	1251			trou de poteau ?	27	
263	PO1256	1256			trou de poteau ?	28	
264	PO1279	1279			trou de poteau ?	29	
265	PO1280	1280			fosse / trou de poteau ?	30	
266	PO1304	1304	BAT1082 ?		trou de poteau	31	
267	PO1306	1306	BAT1082 ?		trou de poteau	32	
268	PO1355	1355			trou de poteau ?	33	
269	PO1356	1356			trou de poteau ?	34	
270	PO1395	1395			fosse / trou de poteau ?	35	
271	PO1522	1522			trou de poteau ?	36	
272	PO1523	1523			trou de poteau ?	37	PO

nb	FAIT strat.	Hz / Us	ENSEmble	ENS bis	Identification	nb type	
273	PR1511	1511	FOU1074	ALA1341	paroi de chambre de chauffe / d'alandier	1	PR
274	PT1002	1002			puits / puisard contemporain	1	
275	PT1062	1062			puits à eau	2	
276	PT1097	1097			Puisard / petit puits contemporain	3	
277	PT1098	1098			Puisard / petit puits contemporain	4	
278	PT1208	1159			abandon puits	5	
		1208			puits à eau maçonné		
279	PT1302	1302	CAV1267		fosse en fût	6	PT
280	RB1194	1194	REM1194		niveau d'arasement puis remblais	1	
281	RB1196	1196	REM1194		préparation de sol	2	
282	RB1201	1201			niveau de circulation et remblais	3	
283	RB1292	1292			horizon stratigraphique, remblais +/- «végétalisés»	4	
284	RB1416	1392			horizon de remblais	5	
		1416					
285	RB1419	1419			Remblai-s / excavation	6	
286	RB1420	1420			remblai-s	7	
287	RB1424	1424			Niveau de remblai-s	8	
288	RB1427	1427			remblai de préparation de sol	9	
289	RB1428	1428	BAT1126		remblai de récupération	10	
290	RB1430	1430			horizon de remblais / circulation	11	
291	RB1436	1436			Horizon de remblais de nivellement	12	
292	RB1437	1437			Horizon de remblais de nivellement	13	
293	RB1441	1441			Remblai	14	
294	RB1442	1442			remblais	15	
295	RB1443	1443			remblais récents	16	
296	RB1444	1444			remblais	17	
297	RB1526	1526	CAV1380		excavation de récupération / scellement	18	RB
298	SB1088	1088			fosse contemporaine	1	
299	SB1161	1161			fond de fondation / de fosse aménagée ?	2	
300	SB1195	1195			structure bâtie excavée / fosse aménagée	3	
301	SB1426	1426			bâti en creux / sol bâti	4	SB
302	SI1096	1096			petit silo	1	SI
303	SL1212	1212	CAV1211		sol	1	
304	SL1270	1270	CAV1211		sol	2	SL
305	SO1400	1400	FOU1074	ALA1317	sole d'alandier	1	
306	SO1401	1401	FOU1074	ALA1341	sole d'alandier	2	SO
307	TR1025	1025			tranchée de récupération (de mur)	1	
308	TR1041	1041			tranchée de récupération	2	
309	TR1126	1126	BAT1126		tranchée de récupération	3	
310	TR1137	1137	BAT1126		tranchée de récupération	4	
311	TR1141	1141	BAT1126		tranchée de récupération	5	
		1397	BAT1126				
312	TR1176	1176			tranchée de fondation récupérée	6	
313	TR1213	1213	CAV1211		tranchée de fondation de mur	7	
314	TR1268	1268	CAV1211		tranchée de fondation / base d'escalier	8	
315	TR1282	1282	BAT1126		tranchée de récupération	9	
316	TR1382	1382	CAV1380		tranchée de récupération	10	
317	TR1411	1411	BAT1126		tranchée de récupération	11	
318	TR1412	1412	BAT1126		tranchée de récupération	12	
319	TR1414	1414	BAT1126		tranchée de récupération	13	TR

4.2.2 Faits / Us techniques

nb	fait tech.	Us tech.	Identification
1	CP1193	1193	coupe
2	CP1199	1199	coupe
3	CP1202	1202	coupe
4	CP1205	1205	coupe
5	CP1209	1209	coupe
6	CP1210	1210	coupe
7	CP1214	1214	coupe
8	CP1215	1215	coupe
9	CP1218	1218	coupe
10	CP1227	1227	coupe
11	CP1237	1237	coupe
12	CP1238	1238	coupe
13	CP1240	1240	coupe
14	CP1245	1245	coupe
15	CP1246	1246	coupe
16	CP1252	1252	coupe
17	CP1253	1253	coupe
18	CP1254	1254	coupe
19	CP1260	1260	coupe
20	CP1261	1261	coupe
21	CP1266	1266	coupe
22	CP1271	1271	coupe
23	CP1276	1276	coupe
24	CP1283	1283	coupe
25	CP1285	1285	coupe
26	CP1287	1287	coupe
27	CP1289	1289	coupe
28	CP1290	1290	coupe
29	CP1291	1291	coupe
30	CP1293	1293	coupe
31	CP1296	1296	coupe
32	CP1299	1299	coupe
33	CP1300	1300	coupe
34	CP1301	1301	coupe
35	CP1308	1308	coupe
36	CP1312	1312	coupe
37	CP1313	1313	coupe
38	CP1314	1314	coupe
39	CP1315	1315	coupe
40	CP1324	1324	coupe
41	CP1328	1328	coupe
42	CP1329	1329	coupe
43	CP1343	1343	coupe
44	CP1352	1352	coupe
45	CP1353	1353	coupe
46	CP1354	1354	coupe
47	CP1357	1357	coupe

nb	fait tech.	Us tech.	Identification
48	CP1368	1368	coupe
49	CP1369	1369	coupe
50	CP1370	1370	coupe
51	CP1374	1374	coupe
52	CP1375	1375	coupe
53	CP1376	1376	coupe
54	CP1377	1377	coupe
55	CP1378	1378	coupe
56	CP1383	1383	coupe
57	CP1385	1385	coupe
58	CP1386	1386	coupe
59	CP1388	1388	coupe
60	CP1389	1389	coupe
61	CP1390	1390	coupe
62	CP1391	1391	coupe
63	CP1393	1393	coupe
64	CP1402	1402	coupe
65	CP1404	1404	coupe
66	CP1439	1439	coupe
67	CP1503	1503	coupe
68	CP1509	1509	coupe
69	CP1512	1512	coupe
70	CP1513	1513	coupe
71	CP1514	1514	coupe
72	CP1515	1515	coupe
73	CP1524	1524	coupe
74	SD1169	1169	sondage / coupe-s
75	SD1274	1274	sondage / coupe-s
76	SD1277	1277	sondage diag. 2019
77	SD1281	1281	sondage / coupe-s
78	SD1286	1286	sondage / coupe-s
79	SD1373	1373	sondage / coupe-s
80	SD1405	1405	sondage / coupe-s
81	SD1508	1508	sondage / coupe-s
82	SD1510	1510	sondage / coupe-s
83	SD1525	1525	sondage / coupe-s

4.3. Inventaire des ensembles par type et n°

Année de l'opération	2021	Commune	Melun	Lieu-dit / adresse	19, rue Saint-Liesne	CRA Inrap IDF	Pantin	Code Inrap	F134120
Section	AR	Département	Seine-et-Marne (77)	Type opération	Fouille	RRA	G. Desrayaud	Code OA	1011544
Parcelle	245	Récapitulatif parcelles	Melun, sect. AR, p. 245	Date début terrain	20/09/2021	Date fin terrain	17/12/2021	N° INSEE commune	77288

nb	ENSEmble	ENS bis	Phase	fait	Hz / Us	Identification
	ALI1075			PL1075	1075	fondation de pile / pilier contemporaine
	ALI1075			PL1076	1076	fondation de pile / pilier contemporaine
	ALI1075			PL1102	1102	fondation de pile / pilier contemporaine
1	ALI1075 ?			FS1089	1089	fosse contemporaine
	BAS1381			BS1381	1172	remblais de récupération / scellement
	BAS1381				1381	bassin profond rectangulaire (fondation + démolition)
1	BAS1381			FS1171	1171	fosse
	BAT1082 ?			PO1082	1082	trou de poteau ?
	BAT1082 ?			PO1095	1095	trou de poteau
	BAT1082 ?			PO1100	1100	trou de poteau
	BAT1082 ?			PO1108	1108	trou de poteau
	BAT1082 ?			PO1304	1304	trou de poteau
	BAT1082 ?			PO1306	1306	trou de poteau
	BAT1126			EX1413	1413	niveau de récupération (bâtiment ?) excavé
	BAT1126			RB1428	1428	remblai de récupération
	BAT1126			TR1126	1126	tranchée de récupération
	BAT1126			TR1137	1137	tranchée de récupération
	BAT1126			TR1141	1141	tranchée de récupération
	BAT1126				1397	tranchée de récupération de mur
	BAT1126			TR1282	1282	tranchée de récupération
	BAT1126			TR1411	1411	tranchée de récupération
	BAT1126			TR1412	1412	tranchée de récupération
2	BAT1126			TR1414	1414	tranchée de récupération
	CAV1135			divers	1135	fondations / parements / sol / escalier contemporains
	CAV1135			MR1152	1152	mur contemporain
	CAV1135			MR1153	1153	mur contemporain
	CAV1211			ES1230	1230	récupération d'escalier
	CAV1211			EX1183	1183	excavation de récupération et remblais
	CAV1211				1184	excavation de récupération et remblais
	CAV1211			FD1269	1269	fondation de muret
	CAV1211			MR1211	1211	fondation de mur
	CAV1211			SL1212	1212	sol
	CAV1211			SL1270	1270	sol
	CAV1211			TR1213	1213	tranchée de fondation de mur
	CAV1211			TR1268	1268	tranchée de fondation / base d'escalier
	CAV1267			EX1267	1267	excavation
	CAV1267			PT1302	1302	fosse en fût
	CAV1380			FS1173	1173	fosse
	CAV1380			MR1379	1379	parement et fondation de mur de cave
	CAV1380			MR1380	1380	parement et fondation de mur de cave
	CAV1380			NV1527	1527	niveau / effet de piétinement
	CAV1380			RB1526	1526	excavation de récupération / scellement
4	CAV1380			TR1382	1382	tranchée de récupération

nb	ENSEmble	ENS bis	Phase	fait	Hz / Us	Identification
	FOU1074	ALA1317	A	PL1317	1317	pile d'alandier
	FOU1074	ALA1317	A	PL1336	1336	pile d'alandier
	FOU1074	ALA1317	A	SO1400	1400	sole d'alandier
	FOU1074		A	FS1321	1072	remblai d'abandon / scellement
	FOU1074		A		1321	fosse de travail de four
	FOU1074		A		1322	fosse de travail de four
	FOU1074		A		1359	fosse de travail de four
	FOU1074		A		1360	fosse de travail de four
	FOU1074		A		1361	fosse de travail de four
	FOU1074		A		1403	fosse de travail de four
	FOU1074	ALA1341	B	PL1341	1341	pile d'alandier
	FOU1074	ALA1341	B	PL1349	1349	pile d'alandier
	FOU1074	ALA1341	B	PR1511	1511	paroi de chambre de chauffe / d'alandier
	FOU1074	ALA1341	B	SO1401	1401	sole d'alandier
	FOU1074	CLO1318	B	PL1318	1318	pile de cloison de chambre de chauffe
	FOU1074	CLO1318	B	PL1319	1319	pile de cloison de chambre de chauffe
	FOU1074	CLO1330	B	PL1330	1330	pile de cloison de chambre de chauffe
	FOU1074	CLO1330	B	PL1331	1331	pile de cloison de chambre de chauffe
	FOU1074	CLO1332	B	PL1332	1332	pile de cloison de chambre de chauffe
	FOU1074	CLO1332	B	PL1333	1333	pile de cloison de chambre de chauffe
	FOU1074	CLO1334	B	PL1334	1334	pile de cloison de chambre de chauffe
	FOU1074	CLO1334	B	PL1335	1335	pile de cloison de chambre de chauffe
	FOU1074	CLO1338	B	PL1338	1338	pile de cloison de chambre de chauffe
	FOU1074	CLO1338	B	PL1339	1339	pile de cloison de chambre de chauffe
	FOU1074		B	FR1320	1091	chambre de chauffe
	FOU1074		B		1305	chambre de chauffe
	FOU1074		B		1320	chambre de chauffe
	FOU1074		B		1323	chambre de chauffe
	FOU1074		B	FS1074	1074	fosse de travail de four
	FOU1074		B		1363	fosse de travail de four
	FOU1074		B		1364	fosse de travail de four
	FOU1074		B		1365	fosse de travail de four
	FOU1074		B		1387	fosse de travail de four
	FOU1074		B		1431	fosse de travail de four
	FOU1074		B		1520	fosse de travail de four
1	FOU1074		B	MR1337	1337	mur / paroi de four
	FSA1398			FS1150	1150	fosse / négatif de structure bâtie ?
1	FSA1398			FS1398	1398	fosse / tranchée aménagée ?
	HRZ1259			HZ1259	1259	horizon pédologique / horizon de terre végétale ancienne
1	HRZ1259			HZ1407	1407	horizon pédologique / horizon de terre végétale ancienne
	MUR1121	BAT1126		MR1121	1121	fondations et élévations de mur
1	MUR1139	BAT1126		MR1139	1139	fondations et élévation de mur
	REM1194			RB1194	1194	niveau d'arasement puis remblais
1	REM1194			RB1196	1196	préparation de sol
	SFO1148			FO1148	1148	fossé
	SFO1148			FO1248	1248	fossé
	SFO1179 ?			FO1179	1179	fossé
	SFO1179 ?			FO1518	1114	fossé
	SFO1179 ?				1117	fossé
	SFO1179 ?				1518	fossé
	SFO1247 ?			FO1247	1247	fossé
3	SFO1247 ?			FO1295	1295	fossé ?
16	: TOT					

4.5 Inventaire des prélèvements

Année de l'opération	2021	Commune	Melun	Lieu-dit / adresse	19, rue Saint-Liesne	CRA Inrap IDF	Pantin	Code Inrap	F134120
Section	AR	Département	Seine-et-Marne (77)	Type opération	Fouille	RRA	G. Desrayaud	Code OA	1011544
Parcelle	245	Récapitulatif parcelles	Melun, sect. AR, p. 245	Date début terrain	20/09/2021	Date fin terrain	17/12/2021	N° INSEE commune	77288

N° Us	rem. Us	VRAC
1120	EX1120 sous faune LOT 4	840
1120	EX1120 sous faune LOT 3	1540
1120	EX1120 Us 1288	6650
1179	Fossé 1179 Us 1297	2150
1247	Fossé 1247, dans crâne et sous crâne	2125
	TOTAUX	13305

4.6. Inventaires de la documentation de l'opération

Année de l'opération	2021	Commune	Melun	Lieu-dit / adresse	19, rue Saint-Liesne	CRA Inrap IDF	Pantin	Code Inrap	F134120
Section	AR	Département	Seine-et-Marne (77)	Type opération	Fouille	RRA	G. Desrayaud	Code OA	1011544
Parcelle	245	Récapitulatif parcelles	Melun, sect. AR, p. 245	Date début terrain	20/09/2021	Date fin terrain	17/12/2021	N° INSEE commune	77288

4.6.1 Documentation écrite

3 cahiers d'enregistrement des Us / faits à spirale format A4 (disponibles en .pdf):

-F134120-19STLIE21-CAHIER-ENR-01-1001-1250.pdf

-F134120-19STLIE21-CAHIER-ENR-02-1251-1500.pdf

-F134120-19STLIE21-CAHIER-ENR-03-1501-1527.pdf

2 carnets d'enregistrement des photographies format A6 (disponibles en .pdf):

-F134120-19STLIE21-Carnet-PHOTOS-01-Lumix-orange.pdf

-F134120-19STLIE21-Carnet-PHOTOS-02-Lumix-noir.pdf

4.6.2 Documents graphiques / relevés de terrain

Disponibles en .pdf :

-F134120-19STLIE21-Calques-A3-R01-10.pdf

-F134120-19STLIE21-Calques-A3-R11-20.pdf

-F134120-19STLIE21-Calques-A3-R21-30.pdf

-F134120-19STLIE21-Calques-A3-R31-35.pdf

N°	observations	Hz / Us en plan	Hz / Us en coupe	Hz / Us en mention	auteur-s
R01	Papier A3, plan du décapage annoté.				G. Desrayaud R. Touquet
R02	Papier A3, plan du four de tuilier 1074 annoté.				G. Desrayaud R. Touquet
R03	Papier A3, plan du four de tuilier 1074 annoté.				R. Touquet E. Saron
R04	Calque A3.	1040, 1045, 1521		1007, 1015, 1016, 1031, 1042, 1043, 1044, 1242, 1522, 1523	G. Desrayaud M. Rayati
R05	Calque A3.	1110, 1362			F. Métais M. Rayati
R06	Calque A3.		1038, 1040		E. Saron
R07	Papier mil. A3.	1027, 1028	1028		E. Saron
R08	Papier A3. Orthophoto. du four 1074 annotée.	1072, 1309, 1310, 1311, 1321, 1322			K. Hutinet E. Saron
R09	Calque A3		1120, 1246, 1272, 1273	1008, 1009, 1010, 1034, 1046, 1047, 1059, 1064, 1069, 1070, 1087	E. Saron divers
R10	Calque A3	1310, 1311, 1501			E. Saron
R11	Calque A3		1184, 1185, 1212, 1267, 1270, 1298, 1300, 1301	1142, 1147, 1149	G. Desrayaud
R12	Calque A3		1165, 1183, 1184, 1185, 1203, 1204, 1210, 1211, 1212, 1268, 1269, 1270		G. Desrayaud
R13	Calque A3		1184, 1210, 1212, 1269, 1270	1180, 1302	G. Desrayaud
R14	Calque A3	1176, 1177, 1180, 1189, 1279	1177, 1180, 1184, 1185, 1189, 1212, 1266, 1267, 1270, 1279	1086, 1089, 1113, 1133, 1170, 1178	G. Desrayaud
R15	Calque A3		1126, 1128, 1248, 1282, 1287, 1291, 1292, 1294, 1303, 1412		K. Hutinet
R16	Calque A3		1179, 1247, 1248, 1249, 1293, 1299, 1402, 1411, 1413		K. Hutinet
R17	Calque A3		1155, 1156, 1159, 1186, 1191, 1192, 1197, 1198, 1202, 1208, 1209		K. Hutinet
R18	Calque A3	1071	1071, 1104, 1108, 1154, 1179, 1276, 1277, 1278, 1285, 1413, 1414		K. Hutinet
R19	Calque A3	1093, 1169, 1206, 1207	1093, 1206	1008, 1016, 1017, 1018, 1024, 1049, 1050, 1058, 1060, 1061, 1065, 1066, 1067, 1068, 1081, 1082, 1083, 1084, 1085, 1094, 1095, 1101, 1107, 1109, 1130, 1134, 1144, 1145, 1174, 1175, 1176, 1251, 1280	G. Desrayaud K. Hutinet M. Rayati
R20	Calque A3	1105	1100, 1105, 1116, 1244		K. Hutinet M. Rayati
R21	Calque A3. Croquis secteur FS1180 et TR1176.				K. Hutinet
R22	Calque A3. CP1227 supérieure.		1137, 1141, 1179, 1186, 1214, 1227, 1228, 1229, 1231, 1232, 1233, 1234		K. Hutinet
R23	Papier mil. A3. CP1246-O.		1246		E. Saron

N°	observations	Hz / Us en plan	Hz / Us en coupe	Hz / Us en mention	auteur-s
R24	Calque A3. CP1227 complète.		1137, 1141, 1227, 1228, 1229, 1231, 1232, 1233, 1234, 1235, 1294, 1295	1100, 1105, 1107, 1108	G. Desrayaud
R25	Calque A3. Croquis + relevés 1/20e.		1077, 1078, 1090	1054, 1103, 1079, 1080, 1240	F. Métails E. Saron
R26	Calque A3		1004, 1237		K. Hutinet
R27	Calque A3. CP1260 sup.		1054, 1079, 1088, 1260		F. Métails E. Saron
R28	Calque A3. CP1261 sup.		1114, 1119, 1121, 1254, 1261, 1262, 1263, 1264, 1265, 1284, 1517, 1518		F. Métails E. Saron
R29	Calque A3		1162, 1165, 1193, 1194, 1195, 1196, 1200, 1201, 1203, 1236, 1430		G. Desrayaud M. Rayati
R30	Calque A3		1166, 1168, 1183, 1184, 1185, 1199, 1200, 1201, 1203, 1230, 1236, 1430, 1438		G. Desrayaud
R31	Calque A3		1161, 1169, 1181, 1201, 1203, 1204, 1218	1167	G. Desrayaud
R32	Calque A3		1157, 1161, 1162, 1206, 1207, 1215		M. Rayati
R33	Calque A3. CP1252 et 1253 sup.		1121, 1123, 1139, 1250, 1252, 1253, 1257, 1258, 1259, 1517, 1518, 1519		F. Métails E. Saron
R34	Calque A3. Coupe, relevé de parements.		1157, 1158, 1160, 1191, 1192, 1195, 1205, 1217, 1233		M. Rayati
R35	Calque A3		1254, 1255, 1256		F. Métails E. Saron

4.6.3 Photographies (numériques)

4.6.3.1 Tableau synthétique d'inventaire des photographies

date-s	Code «appareil»	code N°	auteur-s	sujet-s	format	nb	Poids (Go)
an / mois / jour							
2019-11-19 à 22	DIAG 2019	DIAG	équipe de diag.	diagnostic	jpeg	61	0,232
2021-07-22 et 2021-09-01	PREP	PREP	Luc Daguzon	prépa.	jpeg	7	0,0035
2021-09-15 à 2021-12-13	LUMIX ORANGE	LO	équipe de fouille	prépa. et terrain	jpeg	843	4,4
2021-09-29 à 2022-01-20	LUMIX NOIR	LN	équipe de fouille	terrain et mobiliers	jpeg	726	4,06
2021-10-06	RT	RT	Régis Touquet	décapage : 3D/ortho.	jpeg	169	0,865
2021-10-28a	KH	KH	Kévin Hutinet	FS1120, faune : 3D/ortho.	jpeg	72	0,665
2021-10-28b	KH	KH	Kévin Hutinet	FS1120, faune : 3D/ortho.	jpeg	69	0,668
2021-11-04a	KH	KH	Kévin Hutinet	CAV1211 : 3D/ortho.	tiff	191	20,3
2021-11-04b	KH	KH	Kévin Hutinet	FOU1074 : 3D/ortho.	tiff	163	16
2021-11-10	KH	KH	Kévin Hutinet	FOU1074 : 3D/ortho.	jpeg	90	0,867
2021-11-19	KH	KH	Kévin Hutinet	FOU1074 : 3D/ortho.	tiff	226	23,7
2021-11-25a	KH	KH	Kévin Hutinet	FOU1074 : 3D/ortho.	tiff	328	11,7
2021-11-29	KH	KH	Kévin Hutinet	FOU1074 : 3D/ortho.	tiff	281	9,8
2021-12-09	KH	KH	Kévin Hutinet	CAV1380 : 3D/ortho.	tiff	111	4,18
2021-11-25b	MY	MY	Myr Muratet	Ambiance	jpeg	49	0,123
2021-12-08	MY	MY	Myr Muratet	Ambiance	jpeg	39	0,53
2021-11-25c	PR	PR	Pascal Raymond	Drone, 1074 : 3D/ortho.	jpeg	225	0,991
					TOT. :	3650	99,01

4.6.3.2 Photographies : DIAG 2019

Code	N° photo	date	vue de-puis	Hz / Us	Commentaire	auteur-s
DIAG 2019	DIAG-02	2019-11-19	N	1394	Tr04	Patricia Guincharde-Panseri
DIAG 2019	DIAG-03	2019-11-19	N	1394	Tr04	Patricia Guincharde-Panseri
DIAG 2019	DIAG-05	2019-11-19	S	1054	Tr04	Patricia Guincharde-Panseri
DIAG 2019	DIAG-07	2019-11-19	SSO	1054	Tr04	Patricia Guincharde-Panseri
DIAG 2019	DIAG-08	2019-11-19	NO	1394	Tr04	Patricia Guincharde-Panseri
DIAG 2019	DIAG-09	2019-11-19	NE		Tr03	Patricia Guincharde-Panseri
DIAG 2019	DIAG-10	2019-11-19	O	1054	Tr04. Profil sédimentaire.	Patricia Guincharde-Panseri
DIAG 2019	DIAG-11	2019-11-19	ENE	1239, 1241, 1243	Tr03	Patricia Guincharde-Panseri
DIAG 2019	DIAG-12	2019-11-19	OSO	1239, 1241, 1243, 1386	Tr03	Patricia Guincharde-Panseri
DIAG 2019	DIAG-13	2019-11-19	SSE	1032, 1408, 1445	Diag. SD05, topographié. Erreur de localisation sur plans du rapport de 2020.	Patricia Guincharde-Panseri
DIAG 2019	DIAG-14	2019-11-19	SO		Tr02, partie Nord, bord oriental sup.	Patricia Guincharde-Panseri
DIAG 2019	DIAG-15	2019-11-19	NO		Tr02, partie Nord en cours	Patricia Guincharde-Panseri
DIAG 2019	DIAG-16	2019-11-19	NO		Tr02 en cours	Patricia Guincharde-Panseri
DIAG 2019	DIAG-17	2019-11-19	SSE	1032, 1408, 1445	Diag. SD05, topographié. Erreur de localisation sur plans du rapport de 2020.	Patricia Guincharde-Panseri
DIAG 2019	DIAG-18	2019-11-19	NNO	1278, 1407, 1408, 1444	Diag. SD06, topographié. Erreur de localisation sur plans du rapport de 2020. Au fond, transition Hz1278 / Hz1294 (=FS14+).	Patricia Guincharde-Panseri
DIAG 2019	DIAG-19	2019-11-19	O	1444	Diag. SD06, topographié. Erreur de localisation sur plans du rapport de 2020. Au fond, transition Hz1278 / Hz1294 (=FS14+).	Patricia Guincharde-Panseri
DIAG 2019	DIAG-20	2019-11-21	ENE	1282	Extrémité Nord de la Tr01.	Patricia Guincharde-Panseri
DIAG 2019	DIAG-21	2019-11-21	ENE	1032, 1408, 1436	-Tr02, bord Ouest, coupe partielle EX1032. -SD06 du rapport / SD05 topo. en arrière-plan (voir clichés DIAG-13 et DIAG-17).	Nathalie Royer-Perez
DIAG 2019	DIAG-22	2019-11-21	SSE	1395	Tr02, PO-03	Patricia Guincharde-Panseri
DIAG 2019	DIAG-22a	2019-11-21	SSE	1395	Tr02, PO-03, coupe	Patricia Guincharde-Panseri
DIAG 2019	DIAG-23	2019-11-21	NNO	1140, 1232, 1233, 1282, 1397, 1398	Tr01, vue générale.	Patricia Guincharde-Panseri
DIAG 2019	DIAG-24	2019-11-21	NNO	1137, 1140, 1229, 1232, 1233, 1397	Tr01.	Patricia Guincharde-Panseri
DIAG 2019	DIAG-25	2019-11-21	ENE	1137, 1140, 1229, 1232, 1233, 1416	CP-Tr01-diag.	Patricia Guincharde-Panseri
DIAG 2019	DIAG-25a	2019-11-21	ENE	1140, 1229, 1232, 1233, 1397, 1416	CP-Tr01-diag.	Patricia Guincharde-Panseri
DIAG 2019	DIAG-25b	2019-11-21	ENE	1137, 1140, 1229, 1232, 1233, 1416	CP-Tr01-diag.	Patricia Guincharde-Panseri
DIAG 2019	DIAG-26	2019-11-21	ENE	1278, 1282, 1292, 1294, 1407, 1415, 1416	CP-Tr01-diag, SSE/NNO, extrémité Nord, entre points topo. 12 et 13	Patricia Guincharde-Panseri
DIAG 2019	DIAG-26a	2019-11-21	ENE	1137, 1229, 1233, 1292, 1415, 1416	CP-Tr01-diag, SSE/NNO, détail.	Patricia Guincharde-Panseri
DIAG 2019	DIAG-26b	2019-11-21	ENE	1278, 1282, 1292, 1294, 1407, 1415, 1416	CP-Tr01-diag, SSE/NNO, extrémité Nord, entre points topo. 12 et 13	Patricia Guincharde-Panseri
DIAG 2019	DIAG-26c	2019-11-21	ENE	1137, 1229, 1233, 1292, 1415, 1416	CP-Tr01-diag, SSE/NNO, détail.	Patricia Guincharde-Panseri
DIAG 2019	DIAG-26d	2019-11-21	ENE	1229, 1233, 1292, 1415, 1416	CP-Tr01-diag, SSE/NNO, détail.	Patricia Guincharde-Panseri
DIAG 2019	DIAG-26e	2019-11-21	ENE	1232, 1233, 1292, 1415, 1416	CP-Tr01-diag, SSE/NNO, détail.	Patricia Guincharde-Panseri
DIAG 2019	DIAG-26f	2019-11-21	ENE	1232, 1397, 1415, 1416	CP-Tr01-diag, SSE/NNO, détail.	Patricia Guincharde-Panseri
DIAG 2019	DIAG-26g	2019-11-21	ENE	1233, 1397	CP-Tr01-diag, SSE/NNO, détail.	Patricia Guincharde-Panseri
DIAG 2019	DIAG-26h	2019-11-21	ENE	1137	CP-Tr01-diag, SSE/NNO, détail, entre clou topo 12 et TR1137	Patricia Guincharde-Panseri
DIAG 2019	DIAG-27	2019-11-21	ENE	1137, 1140, 1229, 1232, 1233	CP-Tr01-diag.	Patricia Guincharde-Panseri
DIAG 2019	DIAG-27a	2019-11-21	ENE	1140, 1229, 1232, 1233, 1397	CP-Tr01-diag.	Patricia Guincharde-Panseri
DIAG 2019	DIAG-28	2019-11-21	NE	1398	Extrémité Sud de la Tr01.	Patricia Guincharde-Panseri
DIAG 2019	DIAG-29	2019-11-21	N	1398	Extrémité Sud de la Tr01.	Patricia Guincharde-Panseri
DIAG 2019	DIAG-30	2019-11-21	ENE	1141, 1397	Tr01.	Patricia Guincharde-Panseri
DIAG 2019	DIAG-31	2019-11-21	S	1397	Tr01.	Patricia Guincharde-Panseri

Code	N° photo	date	vue de-puis	Hz / Us	Commentaire	auteur-s
DIAG 2019	DIAG-32	2019-11-21	SSE	1232, 1233	Tr01.	Patricia Guinchar-Panseri
DIAG 2019	DIAG-33	2019-11-21	NNO	1397	Tr01.	Patricia Guinchar-Panseri
DIAG 2019	DIAG-34	2019-11-21	NNO	1398	Tr01.	Patricia Guinchar-Panseri
DIAG 2019	DIAG-35	2019-11-21	SSE	1143, 1146	Tr01.	Patricia Guinchar-Panseri
DIAG 2019	DIAG-36	2019-11-21	SSE	1143, 1398	Tr01, extrémité Sud.	Patricia Guinchar-Panseri
DIAG 2019	DIAG-37	2019-11-21	ENE	1141, 1143, 1292, 1397, 1398, 1415, 1417, 1419	Tr01, extrémité Sud.	Patricia Guinchar-Panseri
DIAG 2019	DIAG-37c	2019-11-21	ENE	1143, 1397, 1398	CP-Tr01-diag, SSE/NNO, extrémité Sud.	Patricia Guinchar-Panseri
DIAG 2019	DIAG-38	2019-11-21	ENE	1143, 1397	CP-Tr01-diag, SSE/NNO.	Patricia Guinchar-Panseri
DIAG 2019	DIAG-39	2019-11-21	ESE	1143, 1398	Tr01, extrémité Sud.	Patricia Guinchar-Panseri
DIAG 2019	DIAG-40	2019-11-21	SO	1278	Tr02, centre, bord oriental et bâtiments..	Patricia Guinchar-Panseri
DIAG 2019	DIAG-40a	2019-11-21	SE		Tr02, SD-07 et 08 du rapport.	Patricia Guinchar-Panseri
DIAG 2019	DIAG-41	2019-11-21	ENE	1277, 1407	SD08 du diag. Non localisé en topographie de diag. = SD1277 de la fouille de 2021. Erreur de localisation sur les plans du rapport de 2020 (GUINCHARD 2020)	Patricia Guinchar-Panseri
DIAG 2019	DIAG-41a	2019-11-21	ENE	1104, 1277, 1407, 1408, 1420, 1436	SD08 du diag. Non localisé en topographie de diag. = SD1277 de la fouille de 2021. Erreur de localisation sur les plans du rapport de 2020 (GUINCHARD 2020)	Patricia Guinchar-Panseri
DIAG 2019	DIAG-42	2019-11-21	ENE	1408, 1420, 1436, 1447, 1448	Diag. SD07, topographié. Erreur de localisation sur plans du rapport de 2020.	Patricia Guinchar-Panseri
DIAG 2019	DIAG-43a	2019-11-21	ENE	1277, 1408, 1420	SD08 du diag. Non localisé en topographie de diag. = SD1277 de la fouille de 2021. Erreur de localisation sur les plans du rapport de 2020 (GUINCHARD 2020)	Patricia Guinchar-Panseri
DIAG 2019	DIAG-44a	2019-11-22	SSE	1436, 1442, 1443	TR02, partie Nord.	Patricia Guinchar-Panseri
DIAG 2019	DIAG-45	2019-11-22	O	1096	TR02, coupe NNO/SSE du silo 1096.	Nathalie Royer-Perez
DIAG 2019	DIAG-45a	2019-11-22	O	1096, 1278, 1294, 1407, 1408, 1436	TR02, coupe NNO/SSE du silo 1096.	Nathalie Royer-Perez
DIAG 2019	DIAG-45b	2019-11-22	O	1096	TR02, coupe NNO/SSE du silo 1096.	Nathalie Royer-Perez
DIAG 2019	DIAG-46	2019-11-22	OSO	1096	TR02, coupe NNO/SSE du silo 1096.	Nathalie Royer-Perez
DIAG 2019	DIAG-47a	2019-11-22	OSO	1096	TR02, coupe NNO/SSE du silo 1096.	Nathalie Royer-Perez
DIAG 2019	DIAG-47b	2019-11-22	OSO	1096	TR02, coupe NNO/SSE du silo 1096.	Nathalie Royer-Perez

4.6.3.3 Photographies : PREP

Code	N° photo	date	vue depuis	Hz / Us	Commentaire	auteur
PREP	PREP-DSCN7521	2021-07-22	N		Fissures dans l'angle des murs mitoyens centre Ouest.	Luc Daguzon
PREP	PREP-DSCN7522	2021-07-22	ENE		Fissures dans l'angle des murs mitoyens centre Ouest.	Luc Daguzon
PREP	PREP-DSCN7954	2021-09-01	SSO	1062	Démolition en cours. Puits contemporain 1062.	Luc Daguzon
PREP	PREP-DSCN7955	2021-09-01	O	1062	Démolition en cours. Puits contemporain 1062.	Luc Daguzon
PREP	PREP-DSCN7965	2021-09-01	N		Démolition en cours. Fissures dans l'angle des murs mitoyens centre Ouest.	Luc Daguzon
PREP	PREP-DSCN7975	2021-09-01	NNO		Démolition en cours. Fissures dans l'angle des murs mitoyens centre Ouest.	Luc Daguzon
PREP	PREP-DSCN7981	2021-09-01	E		Démolition en cours. Fissures dans l'angle des murs mitoyens centre Ouest.	Luc Daguzon

4.6.3.4 Photographies : LUMIX ORANGE

Code	N° photo	date	vue de-puis	Hz / Us	Commentaire	auteur-s
LUMIX ORANGE	LO-P1000642	2021-09-15			LO-P1000642 à LO-P1000645 : Base vie rue Fréteau de Peny le 15/09/2021.	Gilles Desrayaud
LUMIX ORANGE	LO-P1000645	2021-09-15			LO-P1000642 à LO-P1000645 : Base vie le 15/09/2021.	Gilles Desrayaud
LUMIX ORANGE	LO-P1000646	2021-09-16			LO-P1000646 à LO-P1000730 : Terrain et couverture photographique des murs mitoyens le 16/09/2021.	Gilles Desrayaud
LUMIX ORANGE	LO-P1000730	2021-09-16			LO-P1000646 à LO-P1000730 : Terrain et couverture photographique des murs mitoyens le 16/09/2021.	Gilles Desrayaud
LUMIX ORANGE	LO-P1000731	2021-09-16			LO-P1000731 à LO-P1000735 : Base vie le 16/09/2021.	Gilles Desrayaud
LUMIX ORANGE	LO-P1000735	2021-09-16			LO-P1000731 à LO-P1000735 : Base vie le 16/09/2021.	Gilles Desrayaud
LUMIX ORANGE	LO-P1000736	2021-09-17			LO-P1000736 à LO-P1000742 : Entrée du 19 rue Saint-Liesne et base vie le 17/09/2021.	Gilles Desrayaud
LUMIX ORANGE	LO-P1000742	2021-09-17			LO-P1000736 à LO-P1000742 : Entrée du 19 rue Saint-Liesne et base vie le 17/09/2021.	Gilles Desrayaud
LUMIX ORANGE	LO-P1000743	2021-09-21	O		Nord du décapage en cours.	Kevin Hutinet
LUMIX ORANGE	LO-P1000744	2021-09-21	O		Nord du décapage en cours.	Kevin Hutinet
LUMIX ORANGE	LO-P1000745	2021-09-21	NO		Nord du décapage en cours.	Kevin Hutinet
LUMIX ORANGE	LO-P1000747	2021-09-21	E		Nord du décapage en cours.	Kevin Hutinet
LUMIX ORANGE	LO-P1000761	2021-09-24		divers	LO-P1000761 à LO-P1010194 : Couverture photographique du décapage en cours pour 3D / orthophoto.	Kevin Hutinet
LUMIX ORANGE	LO-P1000770	2021-09-24		1003		Kevin Hutinet
LUMIX ORANGE	LO-P1000777	2021-09-24		1021		Kevin Hutinet
LUMIX ORANGE	LO-P1000789	2021-09-24		1031		Kevin Hutinet
LUMIX ORANGE	LO-P1000808	2021-09-24		1024		Kevin Hutinet
LUMIX ORANGE	LO-P1000836	2021-09-24		1018		Kevin Hutinet
LUMIX ORANGE	LO-P1000839	2021-09-24		1024, 1025, 1026		Kevin Hutinet
LUMIX ORANGE	LO-P1000844	2021-09-24		1025, 1027, 1028, 1406		Kevin Hutinet
LUMIX ORANGE	LO-P1000847	2021-09-24		1025, 1029, 1030		Kevin Hutinet
LUMIX ORANGE	LO-P1010194	2021-09-24		divers	LO-P1000761 à LO-P1010194 : Couverture photographique du décapage en cours pour 3D / orthophoto.	Kevin Hutinet
LUMIX ORANGE	LO-P1010196	2021-09-27	NO		Décapage en cours.	Gilles Desrayaud
LUMIX ORANGE	LO-P1010197	2021-09-27	NE	1278, 1407, 1408, 1436	Décapage en cours.	Gilles Desrayaud
LUMIX ORANGE	LO-P1010198	2021-09-27	SE	1278, 1407, 1408, 1436, 1444, 1445	Décapage en cours.	Gilles Desrayaud
LUMIX ORANGE	LO-P1010199	2021-09-27	S		Décapage en cours.	Gilles Desrayaud
LUMIX ORANGE	LO-P1010200	2021-09-27	S		Décapage en cours.	Gilles Desrayaud
LUMIX ORANGE	LO-P1010201	2021-09-27	N		Décapage en cours.	Gilles Desrayaud
LUMIX ORANGE	LO-P1010202	2021-09-27	S		Décapage en cours.	Gilles Desrayaud
LUMIX ORANGE	LO-P1010205	2021-09-29	ENE	1135	Cave contemporaine en cours de dégagement.	Kevin Hutinet
LUMIX ORANGE	LO-P1010208	2021-09-29	NNO	1135	Cave contemporaine en cours de dégagement.	Kevin Hutinet
LUMIX ORANGE	LO-P1010213	2021-09-29	SSE	1135	Cave contemporaine en cours de dégagement.	Kevin Hutinet
LUMIX ORANGE	LO-P1010214	2021-10-04	S		Vue du décapage.	Kevin Hutinet

Code	N° photo	date	vue de-puis	Hz / Us	Commentaire	auteur-s
LUMIX ORANGE	LO-P1010215	2021-10-04			LO-P1010215 à LO-P1010237 : Vues de la partie Sud du décapage.	Kevin Hutinet
LUMIX ORANGE	LO-P1010237	2021-10-04			LO-P1010215 à LO-P1010237 : Vues de la partie Sud du décapage.	Kevin Hutinet
LUMIX ORANGE	LO-P1010238	2021-10-05		1169	LO-P1010238 à LO-P1010249 : Vues de l'angle SE du décapage après un premier nettoyage.	Kevin Hutinet
LUMIX ORANGE	LO-P1010249	2021-10-05		1188	LO-P1010238 à LO-P1010249 : Vues de l'angle SE du décapage après un premier nettoyage.	Kevin Hutinet
LUMIX ORANGE	LO-P1010252	2021-10-06	SO	1156, 1186, 1191, 1192, 1197, 1198, 1202	CP1202	Kevin Hutinet
LUMIX ORANGE	LO-P1010253	2021-10-06	SO	1156, 1186, 1191, 1192, 1197, 1198, 1202	CP1202	Kevin Hutinet
LUMIX ORANGE	LO-P1010254	2021-10-07	SO	1156, 1191, 1192, 1197, 1198, 1202	CP1202	Kevin Hutinet
LUMIX ORANGE	LO-P1010255	2021-10-07	SO	1156, 1191, 1192, 1197, 1198, 1202	CP1202	Kevin Hutinet
LUMIX ORANGE	LO-P1010256	2021-10-07	SO	1159, 1179, 1186, 1197, 1208, 1209	CP1209	Kevin Hutinet
LUMIX ORANGE	LO-P1010258	2021-10-07	SO	1159, 1179, 1186, 1197, 1208, 1209	CP1209	Kevin Hutinet
LUMIX ORANGE	LO-P1010259	2021-10-07	SSE	1157, 1161, 1162, 1163, 1169, 1181, 1183, 1206, 1207, 1211, 1212	SD1169 après nettoyage.	Mohammad Rayati
LUMIX ORANGE	LO-P1010260	2021-10-07	SSE	1157, 1161, 1162, 1163, 1169, 1181, 1183, 1206, 1207, 1211, 1212	SD1169 après nettoyage.	Mohammad Rayati
LUMIX ORANGE	LO-P1010262	2021-10-07	NNO	1168, 1183, 1201, 1203, 1204, 1210, 1211, 1212	CP1210	Gilles Desrayaud
LUMIX ORANGE	LO-P1010263	2021-10-07	SSE	1157, 1158, 1160, 1161, 1169, 1192, 1195	Secteur de la FD1157	Gilles Desrayaud
LUMIX ORANGE	LO-P1010264	2021-10-07	OSO	1157, 1158, 1160, 1161, 1165, 1169, 1192, 1193, 1195	Secteur de la FD1157	Gilles Desrayaud
LUMIX ORANGE	LO-P1010265	2021-10-08		1157, 1162, 1163, 1169, 1181, 1211	LO-P1010265 à LO-P1010272 : «Sommitales» secteur de la FD1157 et SD1169.	Kevin Hutinet Mohammad Rayati
LUMIX ORANGE	LO-P1010272	2021-10-08		1157, 1162, 1163, 1169, 1181, 1211	LO-P1010265 à LO-P1010272 : «Sommitales» secteur de la FD1157 et SD1169.	Kevin Hutinet Mohammad Rayati
LUMIX ORANGE	LO-P1010273	2021-10-08	NNO	1168, 1183, 1201, 1203, 1204, 1210, 1211, 1212	CP1210	Kevin Hutinet
LUMIX ORANGE	LO-P1010274	2021-10-08	NNO	1168, 1183, 1201, 1203, 1204, 1210, 1211, 1212	CP1210	Kevin Hutinet
LUMIX ORANGE	LO-P1010275	2021-10-12	NNO	1179, 1186, 1214	CP1214	Kevin Hutinet
LUMIX ORANGE	LO-P1010276	2021-10-12	NNO	1179, 1186, 1214	CP1214	Kevin Hutinet
LUMIX ORANGE	LO-P1010277	2021-10-12	NNO	1139, 1252, 1259, 1517, 1518	CP1252 sup.	Frédéric Métais Emmanuelle Saron
LUMIX ORANGE	LO-P1010278	2021-10-12	NNO	1139, 1252, 1259, 1517	CP1252 sup.	Frédéric Métais Emmanuelle Saron
LUMIX ORANGE	LO-P1010280	2021-10-12	OSO	1250, 1253, 1257, 1258, 1259, 1372, 1519	CP1253 sup.	Frédéric Métais Emmanuelle Saron
LUMIX ORANGE	LO-P1010281	2021-10-12	OSO	1250, 1253, 1257, 1258, 1259, 1372, 1519	CP1253 sup.	Frédéric Métais Emmanuelle Saron
LUMIX ORANGE	LO-P1010282	2021-10-12	OSO	1250, 1253, 1257, 1258, 1259, 1519	CP1253 sup.	Frédéric Métais Emmanuelle Saron
LUMIX ORANGE	LO-P1010283	2021-10-12	NO	1139, 1250, 1252, 1253, 1257, 1258, 1259, 1519	CP1252 et CP1253 sup.	Frédéric Métais Emmanuelle Saron
LUMIX ORANGE	LO-P1010285	2021-10-12	SSE	1157, 1158, 1162, 1193, 1217, 1223, 1399	Parement 1158 et SB1217.	Mohammad Rayati
LUMIX ORANGE	LO-P1010287	2021-10-12	NNO	1158, 1162, 1193, 1205, 1217, 1223, 1399	«Sommitale» : parement 1158 et SB1217.	Mohammad Rayati
LUMIX ORANGE	LO-P1010288	2021-10-13	O	1092, 1222, 1254, 1294, 1408, 1434, 1437	-ERREUR plaque : FS1181. -Coupe 1254 Nord.	Frédéric Métais Emmanuelle Saron.
LUMIX ORANGE	LO-P1010289	2021-10-13	O	1222, 1254, 1255, 1256	-ERREUR plaque : FS1181. -Coupe 1254 Sud.	Frédéric Métais Emmanuelle Saron.
LUMIX ORANGE	LO-P1010290	2021-10-13	O	1222, 1254, 1255, 1256, 1259, 1294, 1408, 1437	-ERREUR plaque : FS1181. -Coupe 1254 Sud.	Frédéric Métais Emmanuelle Saron.
LUMIX ORANGE	LO-P1010291	2021-10-13	SSE	1158, 1195, 1205, 1217, 1223, 1399	CP1205-b : PR1158.	Mohammad Rayati
LUMIX ORANGE	LO-P1010292	2021-10-13	SSE	1158, 1162, 1193, 1195, 1205, 1217, 1223, 1399	CP1205-b : PR1158.	Mohammad Rayati

Code	N° photo	date	vue de-puis	Hz / Us	Commentaire	auteur-s
LUMIX ORANGE	LO-P1010293	2021-10-13	SSE	1158, 1195, 1205, 1217, 1223, 1399	CP1205-b : PR1158.	Mohammad Rayati
LUMIX ORANGE	LO-P1010294	2021-10-13	ENE	1126, 1137, 1141, 1227, 1228, 1229, 1232, 1233, 1235	CP1227 sup.	Kevin Hutinet
LUMIX ORANGE	LO-P1010295	2021-10-13	ENE	1126, 1137, 1141, 1227, 1228, 1229, 1232, 1233, 1235	CP1227 sup.	Kevin Hutinet
LUMIX ORANGE	LO-P1010296	2021-10-14	ENE	1126, 1137, 1141, 1227, 1228, 1229, 1232, 1233, 1235	CP1227 sup.	Kevin Hutinet
LUMIX ORANGE	LO-P1010304	2021-10-14	OSO	1126, 1232, 1233, 1235	-Sommitale- : TR1126, FS1232 et 1233.	Kevin Hutinet
LUMIX ORANGE	LO-P1010306	2021-10-15	OSO	1114, 1259, 1261, 1262, 1284, 1372, 1518, 1436, 1437	CP1261 sup.	Frédéric Métais Emmanuelle Saron
LUMIX ORANGE	LO-P1010307	2021-10-15	OSO	1114, 1261, 1262	CP1261 sup., détail.	Frédéric Métais Emmanuelle Saron
LUMIX ORANGE	LO-P1010308	2021-10-15	OSO	1114, 1261, 1284, 1372	CP1261 sup., détail.	Frédéric Métais Emmanuelle Saron
LUMIX ORANGE	LO-P1010309	2021-10-15	OSO	1119, 1121, 1261, 1265, 1284, 1372	CP1261 sup., détail.	Frédéric Métais Emmanuelle Saron
LUMIX ORANGE	LO-P1010310	2021-10-15	OSO	1119, 1261, 1265, 1284, 1372	CP1261 sup., détail.	Frédéric Métais Emmanuelle Saron
LUMIX ORANGE	LO-P1010311	2021-10-15	OSO	1119, 1121, 1261, 1265, 1372, 1517	CP1261 sup., détail.	Frédéric Métais Emmanuelle Saron
LUMIX ORANGE	LO-P1010312	2021-10-15	OSO	1079, 1088, 1260, 1372, 1408, 1432, 1433, 1437	CP1260.	Frédéric Métais Emmanuelle Saron
LUMIX ORANGE	LO-P1010313	2021-10-15	OSO	1079, 1260, 1408, 1432	CP1260 sup.	Frédéric Métais Emmanuelle Saron
LUMIX ORANGE	LO-P1010314	2021-10-15	OSO	1054, 1260, 1408, 1410	CP1260 sup.	Frédéric Métais Emmanuelle Saron
LUMIX ORANGE	LO-P1010315	2021-10-15	NNO	1166, 1168, 1199, 1200, 1201, 1203, 1204, 1236, 1430	CP1199-a.	Gilles Desrayaud
LUMIX ORANGE	LO-P1010316	2021-10-15	NNO	1166, 1167, 1168, 1199, 1200, 1201, 1203, 1204, 1236, 1430	CP1199-a.	Gilles Desrayaud
LUMIX ORANGE	LO-P1010317	2021-10-15	OSO	1165, 1193, 1200, 1201, 1203, 1236, 1430	CP1193.	Gilles Desrayaud
LUMIX ORANGE	LO-P1010318	2021-10-15	OSO	1165, 1193, 1200, 1201, 1203, 1236	CP1193.	Gilles Desrayaud
LUMIX ORANGE	LO-P1010319	2021-10-18	NNO	1004, 1017, 1237	CP1237, FS1004.	Kevin Hutinet
LUMIX ORANGE	LO-P1010320	2021-10-18	NNO	1004, 1017, 1237	CP1237, FS1004.	Kevin Hutinet
LUMIX ORANGE	LO-P1010323	2021-10-18	SSE	1003, 1238, 1239, 1243, 1408, 1409, 1410, 1443, 1550	CP1238.	Kevin Hutinet
LUMIX ORANGE	LO-P1010324	2021-10-18	SSE	1003, 1238, 1239, 1243	CP1238.	Kevin Hutinet
LUMIX ORANGE	LO-P1010325	2021-10-18	E	1054, 1240	EX1054, CP1240.	Emmanuelle Saron
LUMIX ORANGE	LO-P1010326	2021-10-18	E	1054, 1240	EX1054, CP1240.	Emmanuelle Saron
LUMIX ORANGE	LO-P1010327	2021-10-18	E	1054, 1240	EX1054, CP1240.	Emmanuelle Saron
LUMIX ORANGE	LO-P1010328	2021-10-18	E	1054, 1240	EX1054, CP1240.	Emmanuelle Saron
LUMIX ORANGE	LO-P1010329	2021-10-19	NNO	1005, 1021, 1022, 1023, 1241, 1242, 1243	-Sommitale- : Redécapage FS1243 et FS1005.	Kevin Hutinet
LUMIX ORANGE	LO-P1010330	2021-10-19	NNO	1005, 1021, 1022, 1023, 1241, 1242, 1243	-Sommitale- : Redécapage FS1243 et FS1005.	Kevin Hutinet
LUMIX ORANGE	LO-P1010331	2021-10-19	E	1054, 1240	LO-P1010331 à LO-P1010342 : EX1054, CP1240.	Emmanuelle Saron
LUMIX ORANGE	LO-P1010342	2021-10-19	E	1054, 1240	LO-P1010331 à LO-P1010342 : EX1054, CP1240.	Emmanuelle Saron
LUMIX ORANGE	LO-P1010343	2021-10-19	OSO	1079, 1260	FS1079, CP1260	Emmanuelle Saron
LUMIX ORANGE	LO-P1010344	2021-10-19	OSO	1079, 1260	FS1079, CP1260	Emmanuelle Saron

Code	N° photo	date	vue de-puis	Hz / Us	Commentaire	auteur-s
LUMIX ORANGE	LO-P1010346	2021-10-20	ENE	1093	FS1093, coupe, bucrane.	Kevin Hutinet
LUMIX ORANGE	LO-P1010348	2021-10-20	ENE	1093	FS1093, coupe, bucrane.	Kevin Hutinet
LUMIX ORANGE	LO-P1010349	2021-10-20	ENE	1093, 1447	FS1093, coupe, bucrane.	Kevin Hutinet
LUMIX ORANGE	LO-P1010350	2021-10-20	ENE	1184, 1213, 1266, 1267, 1269, 1270	CAV1211 / EX1267, CP1266, FD1269.	Gilles Desrayaud
LUMIX ORANGE	LO-P1010351	2021-10-20	ENE	1184, 1212, 1266, 1267, 1269, 1270	CAV1211 / EX1267, CP1266, FD1269.	Gilles Desrayaud
LUMIX ORANGE	LO-P1010352	2021-10-20	NNO	1184, 1212, 1213, 1266, 1267, 1269, 1270	-Sommitale : CAV1211 / EX1267, CP1266, FD1269.	Gilles Desrayaud
LUMIX ORANGE	LO-P1010353	2021-10-20	S	1184, 1212, 1213, 1266, 1267, 1269, 1270	-Sommitale : CAV1211 / EX1267, CP1266, FD1269.	Gilles Desrayaud
LUMIX ORANGE	LO-P1010355	2021-10-20	S	1120, 1246, 1272	FS1120, SD1246, détail : squelette de porcelet.	Emmanuelle Saron
LUMIX ORANGE	LO-P1010356	2021-10-20	S	1120, 1246, 1272	FS1120, SD1246, détail : squelette de porcelet.	Emmanuelle Saron
LUMIX ORANGE	LO-P1010357	2021-10-20	ONO	1120, 1246, 1272	FS1120, SD1246, détail : squelette de porcelet.	Emmanuelle Saron
LUMIX ORANGE	LO-P1010358	2021-10-20	NNE	1120, 1246, 1272	FS1120, SD1246, détail : squelette de porcelet.	Emmanuelle Saron
LUMIX ORANGE	LO-P1010359	2021-10-20	NNE	1120, 1246, 1272	FS1120, SD1246, détail : squelette de porcelet.	Emmanuelle Saron
LUMIX ORANGE	LO-P1010360	2021-10-20	NNE	1120, 1246, 1272	FS1120, SD1246, détail : squelette de porcelet.	Emmanuelle Saron
LUMIX ORANGE	LO-P1010363	2021-10-21	ENE	1093	FS1093, coupe.	Kevin Hutinet
LUMIX ORANGE	LO-P1010364	2021-10-21	ENE	1093	FS1093, coupe.	Kevin Hutinet
LUMIX ORANGE	LO-P1010365	2021-10-22	E	1104, 1276, 1277, 1278, 1294, 1407, 1408, 1420, 1436	CP1276.	Kevin Hutinet Mohammad Rayati
LUMIX ORANGE	LO-P1010367	2021-10-22	E	1104, 1276, 1277, 1278	CP1276.	Kevin Hutinet Mohammad Rayati
LUMIX ORANGE	LO-P1010368	2021-10-22	O	1105	Coupe FS1105.	Mohammad Rayati
LUMIX ORANGE	LO-P1010369	2021-10-22	O	1105, 1278, 1294	Coupe FS1105.	Mohammad Rayati
LUMIX ORANGE	LO-P1010383	2021-10-22	O	1105, 1278, 1294	Coupe FS1105.	Mohammad Rayati
LUMIX ORANGE	LO-P1010384	2021-10-22	O	1100	Coupe PO1100.	Kevin Hutinet
LUMIX ORANGE	LO-P1010385	2021-10-22	O	1100	Coupe PO1100.	Kevin Hutinet
LUMIX ORANGE	LO-P1010387	2021-10-22	O	1105, 1278, 1294	Coupe FS1105.	Mohammad Rayati
LUMIX ORANGE	LO-P1010390	2021-10-22	E	1104, 1276, 1278, 1294, 1407, 1408, 1420, 1436, 1447, 1448	CP1276.	Kevin Hutinet
LUMIX ORANGE	LO-P1010391	2021-10-22	E	1276, 1278	CP1276.	Kevin Hutinet
LUMIX ORANGE	LO-P1010392	2021-10-25	NNO	1108	Coupe du PO1108.	Mohammad Rayati
LUMIX ORANGE	LO-P1010393	2021-10-25	NNO	1108	Coupe du PO1108.	Mohammad Rayati
LUMIX ORANGE	LO-P1010395	2021-10-25	O	1100	Coupe PO1100.	Mohammad Rayati
LUMIX ORANGE	LO-P1010396	2021-10-25	O	1100, 1108	Coupe PO1100.	Mohammad Rayati
LUMIX ORANGE	LO-P1010397	2021-10-25	O	1056, 1057, 1059, 1064, 1278, 1294, 1407, 1408, 1444, 1445, 1446	Palier pollué, limite Ouest de la fouille, au niveau d'un test dans la FS1056.	Gilles Desrayaud
LUMIX ORANGE	LO-P1010400	2021-10-25	OSO	1054, 1063, 1281	CP1281.	Kevin Hutinet
LUMIX ORANGE	LO-P1010402	2021-10-25	SSO	1054, 1063, 1281	CP1281.	Kevin Hutinet
LUMIX ORANGE	LO-P1010403	2021-10-25	SSO	1054, 1063, 1281	CP1281.	Kevin Hutinet
LUMIX ORANGE	LO-P1010404	2021-10-25	NE	1071	Coupe de la FS1071.	Kevin Hutinet

Code	N° photo	date	vue de-puis	Hz / Us	Commentaire	auteur-s
LUMIX ORANGE	LO-P1010405	2021-10-25	NE	1071	Coupe de la FS1071.	Kevin Hutinet
LUMIX ORANGE	LO-P1010406	2021-10-25	SO	1076	Coupe du PL1076.	Kevin Hutinet
LUMIX ORANGE	LO-P1010407	2021-10-25	SO	1076	Coupe du PL1076.	Kevin Hutinet
LUMIX ORANGE	LO-P1010408	2021-10-26	OSO	1153, 1154, 1179, 1285	CP1285 sup.	Kevin Hutinet
LUMIX ORANGE	LO-P1010409	2021-10-26	OSO	1153, 1154, 1179, 1197, 1278, 1285, 1413, 1414, 1423, 1429	CP1285 sup.	Kevin Hutinet
LUMIX ORANGE	LO-P1010410	2021-10-26	ENE	1126, 1282, 1287, 1294	CP1287	Kevin Hutinet
LUMIX ORANGE	LO-P1010411	2021-10-26	ENE	1126, 1282, 1287, 1294	CP1287	Kevin Hutinet
LUMIX ORANGE	LO-P1010414	2021-10-27	S	1247	Crâne et mandibule de cheval dans la partie SE du fossé 1247.	Kevin Hutinet Mohammad Rayati
LUMIX ORANGE	LO-P1010415	2021-10-27	N	1247	Crâne et mandibule de cheval dans la partie SE du fossé 1247.	Kevin Hutinet Mohammad Rayati
LUMIX ORANGE	LO-P1010416	2021-10-27	NO	1247, 1404	Crâne et mandibule de cheval dans la partie SE du fossé 1247.	Kevin Hutinet Mohammad Rayati
LUMIX ORANGE	LO-P1010419	2021-10-27	SE	1247	Crâne et mandibule de cheval dans la partie SE du fossé 1247.	Kevin Hutinet Mohammad Rayati
LUMIX ORANGE	LO-P1010422	2021-10-27	SO	1247	Crâne et mandibule de cheval dans la partie SE du fossé 1247.	Kevin Hutinet Mohammad Rayati
LUMIX ORANGE	LO-P1010424	2021-10-28	OSO	1154, 1179, 1247, 1404	Coupe NNO/SSO sur le fossé 1247, bord Ouest du fossé 1179.	Kevin Hutinet Mohammad Rayati
LUMIX ORANGE	LO-P1010427	2021-10-28	SE	1247	Tronçon du FO1247 vidé.	Kevin Hutinet Mohammad Rayati
LUMIX ORANGE	LO-P1010429	2021-10-28	NNO	1278, 1289, 1294	CP1289.	Kevin Hutinet Mohammad Rayati
LUMIX ORANGE	LO-P1010430	2021-10-28	NNO	1278, 1289, 1294	CP1289.	Kevin Hutinet Mohammad Rayati
LUMIX ORANGE	LO-P1010431	2021-10-28	O	1128, 1248, 1291, 1292	CP1291-b	Kevin Hutinet Mohammad Rayati
LUMIX ORANGE	LO-P1010432	2021-10-28	O	1128, 1248, 1291, 1292	CP1291-b	Kevin Hutinet Mohammad Rayati
LUMIX ORANGE	LO-P1010435	2021-10-28	OSO	1128, 1248, 1249, 1292, 1293	CP1293	Kevin Hutinet Mohammad Rayati
LUMIX ORANGE	LO-P1010437	2021-10-28	OSO	1128, 1248, 1249, 1292, 1293	CP1293	Kevin Hutinet Mohammad Rayati
LUMIX ORANGE	LO-P1010438	2021-10-28	SO	1120, 1273	Fond de la partie Est de la FS1120 en cours de fouille.	Frédéric Métais
LUMIX ORANGE	LO-P1010439	2021-10-28	ONO	1120, 1273	Tessons de céramique sur le fond de la FS1120, partie Est, passe n°03.	Frédéric Métais
LUMIX ORANGE	LO-P1010441	2021-10-28	ONO	1120, 1273	Tessons de céramique sur le fond de la FS1120, partie Est, passe n°03.	Frédéric Métais
LUMIX ORANGE	LO-P1010445	2021-10-29	ENE	1173, 1296, 1381, 1381-C, 1526	CP1296.	Mohammad Rayati
LUMIX ORANGE	LO-P1010446	2021-10-29	ENE	1173, 1296, 1381, 1526	CP1296.	Mohammad Rayati
LUMIX ORANGE	LO-P1010449	2021-10-29	ENE	1173, 1296, 1381, 1526	CP1296.	Mohammad Rayati
LUMIX ORANGE	LO-P1010450	2021-11-02	ENE	1155, 1179, 1297	-Sommitale- : Lot 1297 dans le fossé 1179.	Mohammad Rayati
LUMIX ORANGE	LO-P1010451	2021-11-02	ENE	1155, 1179, 1297	-Sommitale- : Lot 1297 dans le fossé 1179.	Mohammad Rayati
LUMIX ORANGE	LO-P1010453	2021-11-02	OSO	1155, 1179, 1297	Lot 1297 dans le fossé 1179.	Mohammad Rayati
LUMIX ORANGE	LO-P1010454	2021-11-02	OSO	1155, 1179, 1297	Lot 1297 dans le fossé 1179.	Mohammad Rayati
LUMIX ORANGE	LO-P1010458	2021-11-02	NO	1179, 1209, 1247, 1285, 1299	CP1299 sur le fossé 1247.	Kevin Hutinet
LUMIX ORANGE	LO-P1010459	2021-11-02	NO	1179, 1209, 1247, 1285, 1299	CP1299 sur le fossé 1247.	Kevin Hutinet
LUMIX ORANGE	LO-P1010462	2021-11-02	E	1126, 1127, 1136, 1294	Coupe S/N sur l'EX1127.	Mohammad Rayati
LUMIX ORANGE	LO-P1010464	2021-11-02	E	1126, 1127, 1136, 1294	Coupe S/N sur l'EX1127.	Mohammad Rayati
LUMIX ORANGE	LO-P1010465	2021-11-03	OSO	1153, 1154, 1179, 1299	Coupe 1285.	Kevin Hutinet

Code	N° photo	date	vue de-puis	Hz / Us	Commentaire	auteur-s
LUMIX ORANGE	LO-P1010466	2021-11-03	OSO	1153, 1154, 1179, 1299	Coupe 1285.	Kevin Hutinet
LUMIX ORANGE	LO-P1010468	2021-11-03	NNO	1278, 1289, 1294	CP1289	Mohammad Rayati
LUMIX ORANGE	LO-P1010470	2021-11-03	NNO	1104, 1278, 1289, 1294, 1407, 1408, 1436	CP1289	Mohammad Rayati
LUMIX ORANGE	LO-P1010472	2021-11-03	SO	1155, 1159, 1186, 1208, 1209, 1285	Coupe NO/SE de la partie sup. du puits 1208.	Gilles Desrayaud
LUMIX ORANGE	LO-P1010473	2021-11-03	SO	1155, 1159, 1186, 1208, 1209, 1285	Coupe NO/SE de la partie sup. du puits 1208.	Gilles Desrayaud
LUMIX ORANGE	LO-P1010475	2021-11-04	OSO	1155, 1179, 1186, 1208, 1209, 1247	CP1209.	Kevin Hutinet
LUMIX ORANGE	LO-P1010476	2021-11-04	OSO	1154, 1179, 1285	CP1285.	Kevin Hutinet
LUMIX ORANGE	LO-P1010477	2021-11-04	OSO	1154, 1179, 1186, 1259, 1278, 1285, 1413, 1414, 1422, 1423, 1429	CP1285.	Kevin Hutinet
LUMIX ORANGE	LO-P1010478	2021-11-04	OSO	1128, 1248, 1259, 1291, 1292, 1303	CP1291.	Kevin Hutinet
LUMIX ORANGE	LO-P1010479	2021-11-04	OSO	1128, 1248, 1259, 1291, 1292, 1303, 1412, 1413, 1428	CP1291.	Kevin Hutinet
LUMIX ORANGE	LO-P1010480	2021-11-04	OSO	1248, 1291, 1303	FS1303.	Kevin Hutinet
LUMIX ORANGE	LO-P1010481	2021-11-04	OSO	1179, 1249, 1259, 1292, 1293, 1411, 1413, 1518 ?	CP1293	Kevin Hutinet
LUMIX ORANGE	LO-P1010482	2021-11-04	OSO	1179, 1249, 1293	CP1293	Kevin Hutinet
LUMIX ORANGE	LO-P1010483	2021-11-04	OSO	1291, 1303	CP1291, FS1303.	Kevin Hutinet
LUMIX ORANGE	LO-P1010484	2021-11-04	OSO	1291, 1303	CP1291, FS1303.	Kevin Hutinet
LUMIX ORANGE	LO-P1010485	2021-11-04	NNO	1248, 1402	CP1402, FO1248.	Kevin Hutinet
LUMIX ORANGE	LO-P1010486	2021-11-04	NNO	1248, 1402	CP1402, FO1248.	Kevin Hutinet
LUMIX ORANGE	LO-P1010487	2021-11-05	ENE	1278, 1294, 1304, 1306, 1307, 1393, 1407, 1408, 1436	-ERREUR PLAQUE : CP1305. -CP1393.	Mohammad Rayati
LUMIX ORANGE	LO-P1010489	2021-11-05	ENE	1294, 1304, 1306, 1307, 1393	-ERREUR PLAQUE : CP1305. -CP1393.	Mohammad Rayati
LUMIX ORANGE	LO-P1010490	2021-11-09	ONO	1317, 1336, 1337, 1344	Alandier 1317 (Nord), en cours de dégagement.	Kevin Hutinet
LUMIX ORANGE	LO-P1010491	2021-11-09	ONO	1317, 1336, 1337, 1344	Alandier 1317 (Nord), en cours de dégagement.	Kevin Hutinet
LUMIX ORANGE	LO-P1010492	2021-11-09	ONO	1317, 1336, 1337, 1344	Alandier 1317 (Nord), en cours de dégagement.	Kevin Hutinet
LUMIX ORANGE	LO-P1010493	2021-11-09	ONO	1317, 1336, 1337, 1344	Alandier 1317 (Nord), en cours de dégagement.	Kevin Hutinet
LUMIX ORANGE	LO-P1010494	2021-11-09	N	1313, 1317, 1336, 1337, 1344	Alandier 1317 (Nord), en cours de dégagement.	Kevin Hutinet
LUMIX ORANGE	LO-P1010497	2021-11-09	N	1313, 1317, 1336, 1337, 1344	Alandier 1317 (Nord), en cours de dégagement.	Kevin Hutinet
LUMIX ORANGE	LO-P1010498	2021-11-09	ONO	1313, 1317, 1336, 1337, 1344	Alandier 1317 (Nord), en cours de dégagement.	Kevin Hutinet
LUMIX ORANGE	LO-P1010499	2021-11-09	ONO	1313, 1317, 1336, 1337, 1344	Alandier 1317 (Nord), en cours de dégagement.	Kevin Hutinet
LUMIX ORANGE	LO-P1010500	2021-11-09	SSO	1305, 1314, 1332, 1504	CP1314 en cours.	Emmanuelle Saron
LUMIX ORANGE	LO-P1010501	2021-11-09	SSO	1305, 1314, 1332, 1504	CP1314 en cours.	Emmanuelle Saron
LUMIX ORANGE	LO-P1010503	2021-11-15	SSO	1312, 1321, 1322, 1359, 1360, 1361	CP1312, ONO/ESE, sur la FS1321.	Kevin Hutinet
LUMIX ORANGE	LO-P1010504	2021-11-15	SSO	1312, 1321, 1322, 1359, 1360, 1361	CP1312, ONO/ESE, sur la FS1321.	Kevin Hutinet
LUMIX ORANGE	LO-P1010505	2021-11-15	SSO	1312, 1321, 1322, 1359, 1360, 1361	CP1312, ONO/ESE, sur la FS1321.	Kevin Hutinet
LUMIX ORANGE	LO-P1010507	2021-11-15	NNE	1308, 1344, 1501, 1503	Coupe 1503 sur FS1344/1501 dans l'alandier Nord.	Kevin Hutinet
LUMIX ORANGE	LO-P1010510	2021-11-15	NNE	1308, 1344, 1501, 1503	Coupe 1503 sur FS1344/1501 dans l'alandier Nord.	Kevin Hutinet

Code	N° photo	date	vue de-puis	Hz / Us	Commentaire	auteur-s
LUMIX ORANGE	LO-P1010511	2021-11-15	SSO	1098, 1328, 1348, 1505, 1511	Coupe 1328 sup.	Kevin Hutinet
LUMIX ORANGE	LO-P1010513	2021-11-15	S	1098, 1328, 1348, 1505, 1511	Coupe 1328 sup.	Kevin Hutinet
LUMIX ORANGE	LO-P1010514	2021-11-15	NNE	1329, 1348, 1505	Coupe 1329 sup.	Frédéric Métais
LUMIX ORANGE	LO-P1010515	2021-11-15	N	1098, 1305, 1315, 1329, 1348, 1505	Coupe 1329 sup.	Frédéric Métais
LUMIX ORANGE	LO-P1010516	2021-11-15	NNE	1074, 1329, 1348, 1505, 1511	Coupe 1329 sup.	Frédéric Métais
LUMIX ORANGE	LO-P1010519	2021-11-15	NE	1074, 1329, 1348, 1505, 1511	Coupe 1329 sup.	Frédéric Métais
LUMIX ORANGE	LO-P1010520	2021-11-15	NNE	1305, 1315, 1317, 1323, 1336, 1337, 1344, 1348	FOU1074 en cours de fouille.	Emmanuelle Saron
LUMIX ORANGE	LO-P1010521	2021-11-15	NNE	1305, 1315, 1317, 1323, 1336, 1337, 1344, 1348	FOU1074 en cours de fouille.	Emmanuelle Saron
LUMIX ORANGE	LO-P1010523	2021-11-15	NNE	1305, 1315, 1317, 1323, 1336, 1337, 1344, 1348	FOU1074 en cours de fouille.	Emmanuelle Saron
LUMIX ORANGE	LO-P1010524	2021-11-15	ONO	1310, 1315, 1316, 1317, 1319, 1320, 1323, 1331, 1333, 1335	FOU1074, piles/cloisons de la chambre de chauffe en cours de fouille.	Emmanuelle Saron
LUMIX ORANGE	LO-P1010526	2021-11-15	ONO	1310, 1315, 1316, 1317, 1319, 1320, 1323, 1331, 1333, 1335	FOU1074, piles/cloisons de la chambre de chauffe en cours de fouille.	Emmanuelle Saron
LUMIX ORANGE	LO-P1010527	2021-11-15	ESE	1305, 1318, 1320, 1323, 1330, 1332, 1334, 1336	FOU1074, piles/cloisons de la chambre de chauffe en cours de fouille.	Emmanuelle Saron
LUMIX ORANGE	LO-P1010528	2021-11-15	ESE	1318, 1320, 1323, 1330, 1332, 1334	FOU1074, piles/cloisons de la chambre de chauffe en cours de fouille.	Emmanuelle Saron
LUMIX ORANGE	LO-P1010530	2021-11-15	NNE	1305, 1315, 1323, 1348, 1350	CP1315	Emmanuelle Saron
LUMIX ORANGE	LO-P1010531	2021-11-15	NNE	1305, 1315, 1323, 1348, 1350	CP1315	Emmanuelle Saron
LUMIX ORANGE	LO-P1010532	2021-11-16	NNE	1329	Four 1074 en cours de fouille.	Kevin Hutinet
LUMIX ORANGE	LO-P1010534	2021-11-16	ONO	1329, 1340	Four 1074 en cours de fouille.	Kevin Hutinet
LUMIX ORANGE	LO-P1010535	2021-11-16	SSE	1320	Four 1074 en cours de fouille.	Kevin Hutinet
LUMIX ORANGE	LO-P1010536	2021-11-16	ESE	1320	Four 1074 en cours de fouille.	Kevin Hutinet
LUMIX ORANGE	LO-P1010537	2021-11-16	ONO	1340	Raté de cuisson 1340 en cours de dégagement.	Kevin Hutinet
LUMIX ORANGE	LO-P1010539	2021-11-17	ONO	1340	Raté de cuisson 1340 en cours de dégagement.	Kevin Hutinet
LUMIX ORANGE	LO-P1010540	2021-11-17	ONO	1339, 1340, 1341, 1511	Raté de cuisson 1340 en cours de dégagement.	Kevin Hutinet
LUMIX ORANGE	LO-P1010541	2021-11-17	ONO	1339, 1340, 1341, 1511	Raté de cuisson 1340 en cours de dégagement.	Kevin Hutinet
LUMIX ORANGE	LO-P1010542	2021-11-17	NE	1099, 1329, 1339, 1340, 1348, 1350, 1505, 1511	CP1329.	Kevin Hutinet
LUMIX ORANGE	LO-P1010543	2021-11-17	NE	1329, 1339, 1340, 1505, 1511	CP1329.	Kevin Hutinet
LUMIX ORANGE	LO-P1010544	2021-11-17	NE	1074, 1329, 1339, 1340, 1505, 1511	CP1329.	Kevin Hutinet
LUMIX ORANGE	LO-P1010545	2021-11-18	ESE	1102, 1283	CP1283.	Mohammad Rayati
LUMIX ORANGE	LO-P1010546	2021-11-18	ESE	1102, 1283	CP1283.	Mohammad Rayati
LUMIX ORANGE	LO-P1010547	2021-11-18	NNE	1344, 1337	FS1344 vidée.	Emmanuelle Saron
LUMIX ORANGE	LO-P1010549	2021-11-18	NNE	1344, 1337, 1400, 1403	FS1344 vidée.	Emmanuelle Saron
LUMIX ORANGE	LO-P1010550	2021-11-18	NNE	1344, 1337, 1400	FS1344 vidée.	Emmanuelle Saron
LUMIX ORANGE	LO-P1010552	2021-11-18	SSO	1341, 1348, 1512	CP1512 en cours.	Kevin Hutinet
LUMIX ORANGE	LO-P1010554	2021-11-18	SSE	1057		Mohammad Rayati
LUMIX ORANGE	LO-P1010558	2021-11-18	E	1057		Mohammad Rayati

Code	N° photo	date	vue de-puis	Hz / Us	Commentaire	auteur-s
LUMIX ORANGE	LO-P1010563	2021-11-22	NNE	1341, 1349, 1350, 1351, 1401, 1505, 1512	CP1512 inf., alandier Sud.	Kevin Hutinet
LUMIX ORANGE	LO-P1010565	2021-11-22	NO	1339, 1340, 1341, 1349, 1350, 1351, 1401, 1505, 1511, 1512	CP1512 inf., alandier Sud.	Kevin Hutinet
LUMIX ORANGE	LO-P1010566	2021-11-22	NNO	1339, 1340, 1341, 1348, 1349, 1350, 1351, 1401, 1505, 1511, 1512, 1513	CP1512 inf., alandier Sud.	Kevin Hutinet
LUMIX ORANGE	LO-P1010568	2021-11-22	N	1339, 1340, 1341, 1348, 1349, 1350, 1351, 1401, 1505, 1511, 1512, 1513	CP1512 inf., alandier Sud.	Kevin Hutinet
LUMIX ORANGE	LO-P1010569	2021-11-22	SSE	1027, 1028	Coupe de la FS1027.	Mohammad Rayati
LUMIX ORANGE	LO-P1010572	2021-11-22	SSE	1027, 1028	Coupe de la FS1027.	Mohammad Rayati
LUMIX ORANGE	LO-P1010573	2021-11-22	SSE	1029, 1030, 1352	Coupe	Mohammad Rayati
LUMIX ORANGE	LO-P1010574	2021-11-22	SSE	1029, 1030, 1352	Coupe	Mohammad Rayati
LUMIX ORANGE	LO-P1010576	2021-11-22	ONO	1072, 1321, 1343	Test sur l'Us1072 de la FS1321.	Kevin Hutinet
LUMIX ORANGE	LO-P1010577	2021-11-22	ONO	1072, 1321, 1343	Test sur l'Us1072 de la FS1321.	Kevin Hutinet
LUMIX ORANGE	LO-P1010578	2021-11-22	ENE	1025, 1026, 1036, 1353	Coupe 1353.	Mohammad Rayati
LUMIX ORANGE	LO-P1010580	2021-11-22	SSE	1019, 1035, 1354	Coupe 1354.	Mohammad Rayati
LUMIX ORANGE	LO-P1010581	2021-11-22	SSE	1019, 1035, 1354	Coupe 1354.	Mohammad Rayati
LUMIX ORANGE	LO-P1010582	2021-11-22	SO	1072, 1321, 1343, 1359	Coupe 1343 sur la FS1321.	Kevin Hutinet
LUMIX ORANGE	LO-P1010583	2021-11-22	OSO	1072, 1321, 1343, 1359	Coupe 1343 sur la FS1321.	Kevin Hutinet
LUMIX ORANGE	LO-P1010585	2021-11-22	OSO	1072, 1073, 1075, 1321, 1343	Coupe 1343 sur la FS1321.	Kevin Hutinet
LUMIX ORANGE	LO-P1010586	2021-11-23	ESE	1073	Coupe «presque complète» de la FS1073.	Kevin Hutinet
LUMIX ORANGE	LO-P1010587	2021-11-23	ESE	1073	Coupe «presque complète» de la FS1073.	Kevin Hutinet
LUMIX ORANGE	LO-P1010588	2021-11-23	ENE	1038, 1040, 1357	Coupe SSE/NNO.	Mohammad Rayati
LUMIX ORANGE	LO-P1010589	2021-11-23	ENE	1038, 1040, 1357	Coupe SSE/NNO.	Mohammad Rayati
LUMIX ORANGE	LO-P1010591	2021-11-23	ENE	1143, 1151, 1294, 1324, 1325, 1398, 1417, 1419, 1508	Coupe 1324 Sud, profonde, palier inf.	Mohammad Rayati
LUMIX ORANGE	LO-P1010592	2021-11-23	ENE	1143, 1151, 1294, 1324, 1325, 1417, 1419, 1508	Coupe 1324 Sud, profonde, palier inf.	Mohammad Rayati
LUMIX ORANGE	LO-P1010593	2021-11-23	ENE	1141, 1143, 1151, 1294, 1324, 1325, 1397, 1417, 1419, 1508	Coupe 1324, profonde, palier inf.	Mohammad Rayati
LUMIX ORANGE	LO-P1010594	2021-11-23	ENE	1141, 1143, 1151, 1294, 1324, 1325, 1397, 1417, 1419, 1508	Coupe 1324, profonde, palier inf.	Mohammad Rayati
LUMIX ORANGE	LO-P1010600	2021-11-24	SO	1072, 1073, 1075, 1321, 1359, 1360, 1361	FS1321, Us 1072 / 1321 vidée.	Kevin Hutinet
LUMIX ORANGE	LO-P1010602	2021-11-24	S	1072, 1073, 1075, 1321, 1359, 1360, 1361	FS1321, Us 1072 / 1321 vidée.	Kevin Hutinet
LUMIX ORANGE	LO-P1010603	2021-11-24	ESE	1321, 1359	FS1321, Us 1072 / 1321 vidée.	Kevin Hutinet
LUMIX ORANGE	LO-P1010604	2021-11-24	ESE	1321, 1359	FS1321, Us 1072 / 1321 vidée.	Kevin Hutinet
LUMIX ORANGE	LO-P1010605	2021-11-24	SSO	1321, 1359, 1360, 1361	FS1321, Us 1072 / 1321 vidée, test sur 1359 et 1360.	Kevin Hutinet
LUMIX ORANGE	LO-P1010606	2021-11-24	ONO	1321, 1343, 1359, 1360, 1361	FS1321, Us 1072 / 1321 vidée, coupe sur 1359 et 1360.	Kevin Hutinet
LUMIX ORANGE	LO-P1010607	2021-11-24	ONO	1321, 1343, 1359, 1360, 1361	FS1321, Us 1072 / 1321 vidée, coupe sur 1359 et 1360.	Kevin Hutinet
LUMIX ORANGE	LO-P1010608	2021-11-24	ONO	1321, 1343, 1359, 1360, 1361, 1403	FS1321, Us 1072 / 1321 vidée, coupe sur 1359, 1360 et 1361.	Kevin Hutinet

Code	N° photo	date	vue de-puis	Hz / Us	Commentaire	auteur-s
LUMIX ORANGE	LO-P1010609	2021-11-24	ONO	1321, 1343, 1359, 1360, 1361, 1403	FS1321, Us 1072 / 1321 vidée, coupe sur 1359, 1360 et 1361.	Kevin Hutinet
LUMIX ORANGE	LO-P1010610	2021-12-06	SSO	1317, 1320, 1336, 1337	Paroi 1337 avant démontage.	Kevin Hutinet
LUMIX ORANGE	LO-P1010611	2021-12-06	S	1317, 1320, 1336, 1337	Paroi 1337 avant démontage.	Kevin Hutinet
LUMIX ORANGE	LO-P1010612	2021-12-06	SSO	1317, 1320, 1336, 1337	-Mise à nue- du bouchage 1337 avant démontage.	Kevin Hutinet
LUMIX ORANGE	LO-P1010613	2021-12-06	SSO	1317, 1320, 1336, 1337	-Mise à nue- du bouchage 1337 avant démontage.	Kevin Hutinet
LUMIX ORANGE	LO-P1010614	2021-12-06	SSO	1317, 1320, 1336, 1337	-Mise à nue- du bouchage 1337 avant démontage.	Kevin Hutinet
LUMIX ORANGE	LO-P1010615	2021-12-06	SSO	1337	Bouchage 1337 en cours de démontage.	Kevin Hutinet
LUMIX ORANGE	LO-P1010619	2021-12-06	SSO	1337	Bouchage 1337 en cours de démontage.	Kevin Hutinet
LUMIX ORANGE	LO-P1010620	2021-12-06	SSO	1337	Bouchage 1337 en cours de démontage.	Kevin Hutinet
LUMIX ORANGE	LO-P1010621	2021-12-06	SSO	1337	Bouchage 1337 en cours de démontage.	Kevin Hutinet
LUMIX ORANGE	LO-P1010623	2021-12-06	SSO	1337	Bouchage 1337 en cours de démontage. Dernière assise de tegulae.	Kevin Hutinet
LUMIX ORANGE	LO-P1010624	2021-12-06	SSO	1337	Bouchage 1337 en cours de démontage. Dernière assise de tegulae.	Kevin Hutinet
LUMIX ORANGE	LO-P1010625	2021-12-07	NNE	1317, 1336, 1337, 1344, 1400, 1503	Démontage / coupe de l'alandier Nord. Bouchage 1337 : dernière assise de tegulae.	Kevin Hutinet
LUMIX ORANGE	LO-P1010626	2021-12-07	NNE	1317, 1336, 1337, 1344, 1400, 1503	Démontage / coupe de l'alandier Nord. Bouchage 1337 : dernière assise de tegulae.	Kevin Hutinet
LUMIX ORANGE	LO-P1010632	2021-12-07	ONO	1317, 1336, 1337, 1344, 1400, 1503	Démontage / coupe de l'alandier Nord. Bouchage 1337 : dernière assise de tegulae.	Kevin Hutinet
LUMIX ORANGE	LO-P1010634	2021-12-07	NNE	1341, 1349, 1374, 1401	Coupe 1374 sur la maçonnerie 1341 de l'alandier Sud. 1511 démonté.	Kevin Hutinet
LUMIX ORANGE	LO-P1010635	2021-12-07	NNE	1341, 1349, 1374, 1401	Coupe 1374 sur la maçonnerie 1341 de l'alandier Sud. 1511 démonté.	Kevin Hutinet
LUMIX ORANGE	LO-P1010636	2021-12-07	NO	1320, 1340, 1341, 1374, 1401, 1511	Coupe 1374 sur la maçonnerie 1341 de l'alandier Sud. 1511 démonté.	Kevin Hutinet
LUMIX ORANGE	LO-P1010642	2021-12-13	SO	1375, 1379, 1380, 1381	Puits 1381 et angle NE de la CAV1380.	Gilles Desrayaud
LUMIX ORANGE	LO-P1010644	2021-12-13	NNE	1318, 1319, 1320, 1388	Coupe profonde 1388, ESE/ONO, sur chambre de chauffe, entre paroi 1337 et cloison 1318/1319.	Kevin Hutinet
LUMIX ORANGE	LO-P1010645	2021-12-13	NNE	1318, 1319, 1320, 1388	Coupe profonde 1388, ESE/ONO, sur chambre de chauffe, entre paroi 1337 et cloison 1318/1319.	Kevin Hutinet
LUMIX ORANGE	LO-P1010648	2021-12-13	SSO	1099, 1320, 1338, 1340, 1389, 1401, 1505, 1511	Coupe profonde 1389, ONO/ESE, sur chambre de chauffe, sous 1341/1511 démonté, au ras du raté de cuisson vitrifié 1340.	Kevin Hutinet
LUMIX ORANGE	LO-P1010652	2021-12-13		1340	Partie du bloc vitrifié de raté de cuisson 1340 non prélevée. Hors contexte.	Kevin Hutinet
LUMIX ORANGE	LO-P1010653	2021-12-13		1340	Partie du bloc vitrifié de raté de cuisson 1340 non prélevée. Hors contexte.	Kevin Hutinet
LUMIX ORANGE	LO-P1010654	2021-12-13		1340	Partie du bloc vitrifié de raté de cuisson 1340 non prélevée. Hors contexte.	Kevin Hutinet

4.6.3.5 Photographies : LUMIX NOIR

Code	N° photo	date	vue de-puis	Hz / Us	Commentaire	auteur-s
LUMIX NOIR	LN-P1000006	2021-09-21	NO	1135	Angle NO de la cave contemporaine 1135 en cours de dégagement.	Kevin Hutinet
LUMIX NOIR	LN-P1000009	2021-09-21	NO	1135	Angle NO de la cave contemporaine 1135 en cours de dégagement.	Kevin Hutinet
LUMIX NOIR	LN-P1000016	2021-09-21	ENE	1135	Angle NO de la cave contemporaine 1135 en cours de dégagement.	Kevin Hutinet
LUMIX NOIR	LN-P1000017	2021-10-01	SSO	1106	LN-P1000017 à LN-P1000052 : décapage en cours le 01/10/2021.	Gilles Desrayaud
LUMIX NOIR	LN-P1000018	2021-10-01	SSE	1121	LN-P1000017 à LN-P1000052 : décapage en cours le 01/10/2021.	Gilles Desrayaud
LUMIX NOIR	LN-P1000019	2021-10-01	NE	1097	LN-P1000017 à LN-P1000052 : décapage en cours le 01/10/2021.	Gilles Desrayaud

Code	N° photo	date	vue de-puis	Hz / Us	Commentaire	auteur-s
LUMIX NOIR	LN-P1000023	2021-10-01	SO	1110, 1362	LN-P1000017 à LN-P1000052 : décapage en cours le 01/10/2021.	Gilles Desrayaud
LUMIX NOIR	LN-P1000027	2021-10-01	O	1125, 1129	LN-P1000017 à LN-P1000052 : décapage en cours le 01/10/2021.	Gilles Desrayaud
LUMIX NOIR	LN-P1000031	2021-10-01	OSO	1135, 1152, 1153	LN-P1000017 à LN-P1000052 : décapage en cours le 01/10/2021.	Gilles Desrayaud
LUMIX NOIR	LN-P1000034	2021-10-01	SO	1150	LN-P1000017 à LN-P1000052 : décapage en cours le 01/10/2021.	Gilles Desrayaud
LUMIX NOIR	LN-P1000036	2021-10-01	SO	1191	LN-P1000017 à LN-P1000052 : décapage en cours le 01/10/2021.	Gilles Desrayaud
LUMIX NOIR	LN-P1000037	2021-10-01	SO	1169	LN-P1000017 à LN-P1000052 : décapage en cours le 01/10/2021.	Gilles Desrayaud
LUMIX NOIR	LN-P1000042	2021-10-01	NE	1149	LN-P1000017 à LN-P1000052 : décapage en cours le 01/10/2021.	Gilles Desrayaud
LUMIX NOIR	LN-P1000047	2021-10-01	ENE	1126, 1127, 1132	LN-P1000017 à LN-P1000052 : décapage en cours le 01/10/2021.	Gilles Desrayaud
LUMIX NOIR	LN-P1000049	2021-10-01	SE	1124	LN-P1000017 à LN-P1000052 : décapage en cours le 01/10/2021.	Gilles Desrayaud
LUMIX NOIR	LN-P1000051	2021-10-01	NNO	1122, 1258, 1517, 1519	LN-P1000017 à LN-P1000052 : décapage en cours le 01/10/2021.	Gilles Desrayaud
LUMIX NOIR	LN-P1000052	2021-10-01	NNO		LN-P1000017 à LN-P1000052 : décapage en cours le 01/10/2021.	Gilles Desrayaud
LUMIX NOIR	LN-P1000053	2021-10-01	S		LN-P1000053 à LN-P1000056 : entrée du chantier le 01/10/2021.	Gilles Desrayaud
LUMIX NOIR	LN-P1000056	2021-10-01	S		LN-P1000053 à LN-P1000056 : entrée du chantier le 01/10/2021.	Gilles Desrayaud
LUMIX NOIR	LN-P1000062	2021-10-06	OSO	1162, 1163, 1164, 1165, 1193, 1194, 1195, 1196, 1200, 1201	Coupe.	Mohammad Rayati
LUMIX NOIR	LN-P1000064	2021-10-06	OSO	1162, 1163, 1164, 1165, 1193, 1194, 1195, 1196, 1200, 1201	Coupe.	Mohammad Rayati
LUMIX NOIR	LN-P1000066	2021-10-07	SSO	1157, 1160, 1191, 1192, 1205	Coupe 1205-a.	Mohammad Rayati
LUMIX NOIR	LN-P1000067	2021-10-07	SSO	1157, 1160, 1191, 1192, 1205	Coupe 1205-a.	Mohammad Rayati
LUMIX NOIR	LN-P1000069	2021-10-07	SSE	1157, 1158, 1160, 1162, 1195, 1205	Coupe 1205-b.	Mohammad Rayati
LUMIX NOIR	LN-P1000071	2021-10-07	SSE	1157, 1158, 1160, 1162, 1195, 1205, 1399	Coupe 1205-b.	Mohammad Rayati
LUMIX NOIR	LN-P1000072	2021-10-07	SSE	1157, 1158, 1160, 1162, 1191, 1192, 1195, 1205, 1399	Coupe 1205.	Mohammad Rayati
LUMIX NOIR	LN-P1000074	2021-10-07	SSO	1157, 1158, 1160, 1161, 1162, 1191, 1192, 1194, 1195, 1196, 1205, 1399	Coupe 1205.	Mohammad Rayati
LUMIX NOIR	LN-P1000076	2021-10-07	NNO	1164, 1168, 1183, 1185, 1199, 1200, 1201, 1203, 1204, 1211	Coupe 1199-a.	Gilles Desrayaud
LUMIX NOIR	LN-P1000077	2021-10-07	NNO	1164, 1168, 1183, 1185, 1199, 1200, 1201, 1203, 1204, 1210, 1211	Coupe 1199-a.	Gilles Desrayaud
LUMIX NOIR	LN-P1000078	2021-10-07	NNO	1164, 1166, 1168, 1183, 1199, 1200, 1201, 1203, 1204, 1211, 1430	Partie Est de la coupe 1199-a.	Gilles Desrayaud
LUMIX NOIR	LN-P1000080	2021-10-07	NNO	1183, 1185, 1199, 1201, 1211	Partie centrale de la coupe 1199-a.	Gilles Desrayaud
LUMIX NOIR	LN-P1000081	2021-10-11	SSE	1169, 1181, 1183, 1211, 1212	Sondage 1169 après nettoyage.	Gilles Desrayaud
LUMIX NOIR	LN-P1000082	2021-10-11	ENE	1169, 1181, 1183, 1211, 1212, 1213	Sondage 1169 après nettoyage.	Gilles Desrayaud
LUMIX NOIR	LN-P1000083	2021-10-11	NNO	1169, 1181, 1183, 1211, 1212, 1213	Sondage 1169 après nettoyage.	Gilles Desrayaud

Code	N° photo	date	vue de-puis	Hz / Us	Commentaire	auteur-s
LUMIX NOIR	LN-P1000084	2021-10-11	NNO	1139, 1248, 1252, 1259, 1292, 1517, 1518	Coupe 1252 sup.	Frédéric Métais Emmanuelle Saron
LUMIX NOIR	LN-P1000085	2021-10-11	NNO	1139, 1248, 1252, 1259, 1292, 1517, 1518	Coupe 1252 sup.	Frédéric Métais Emmanuelle Saron
LUMIX NOIR	LN-P1000086	2021-10-11	OSO	1121, 1250, 1253, 1257, 1258, 1259, 1424, 1425, 1426, 1427, 1519	Coupe 1253 sup.	Frédéric Métais Emmanuelle Saron
LUMIX NOIR	LN-P1000087	2021-10-11	OSO	1121, 1250, 1253, 1257, 1258, 1259, 1519	Coupe 1253 sup.	Frédéric Métais Emmanuelle Saron
LUMIX NOIR	LN-P1000088	2021-10-11	OSO	1252, 1253	Coupes 1252 et 1253 sup.	Frédéric Métais Emmanuelle Saron
LUMIX NOIR	LN-P1000089	2021-10-12	SO	1161, 1163, 1164, 1181, 1218	Coupe de la FS1181.	Gilles Desrayaud
LUMIX NOIR	LN-P1000090	2021-10-12	SO	1181, 1218	Coupe de la FS1181.	Gilles Desrayaud
LUMIX NOIR	LN-P1000091	2021-10-12	ONO	1157, 1181, 1211, 1218	Coupe de la FS1181.	Gilles Desrayaud
LUMIX NOIR	LN-P1000092	2021-10-13	SO	1203, 1204, 1218	Coupe du fossé 1203.	Gilles Desrayaud
LUMIX NOIR	LN-P1000093	2021-10-13	O	1203, 1204, 1218	Coupe du fossé 1203.	Gilles Desrayaud
LUMIX NOIR	LN-P1000094	2021-10-13	NO	1183, 1199, 1210, 1211, 1230, 1268	Escalier 1230.	Gilles Desrayaud
LUMIX NOIR	LN-P1000095	2021-10-13	NNO	1183, 1199, 1203, 1210, 1211, 1230, 1268	Escalier 1230.	Gilles Desrayaud
LUMIX NOIR	LN-P1000096	2021-10-13	OSO	1183, 1230, 1268	Escalier 1230.	Gilles Desrayaud
LUMIX NOIR	LN-P1000097	2021-10-13	OSO	1183, 1230, 1268	Escalier 1230.	Gilles Desrayaud
LUMIX NOIR	LN-P1000098	2021-10-19	ENE	1184, 1212, 1213, 1266, 1267	Coupe 1266, CAV1211 et EX1267.	Gilles Desrayaud
LUMIX NOIR	LN-P1000099	2021-10-19	SE	1184, 1212, 1213, 1266, 1267, 1270	Coupe 1266, CAV1211 et EX1267.	Gilles Desrayaud
LUMIX NOIR	LN-P1000100	2021-10-19	NNO	1183, 1184, 1185, 1210, 1212, 1438	Coupe 1210, CAV1211.	Gilles Desrayaud
LUMIX NOIR	LN-P1000101	2021-10-19	NO	1183, 1184, 1185, 1210, 1212	Coupe 1210, CAV1211.	Gilles Desrayaud
LUMIX NOIR	LN-P1000102	2021-10-19	ENE	1210, 1211, 1212, 1213, 1266, 1267	Coupes 1210 et 1266.	Gilles Desrayaud
LUMIX NOIR	LN-P1000103	2021-10-19	NE	1183, 1210, 1211, 1212, 1213, 1230, 1266, 1267	Coupes 1210 et 1266.	Gilles Desrayaud
LUMIX NOIR	LN-P1000105	2021-10-20	ONO	1116, 1244, 1245	Coupe NNE/SSO.	Emmanuelle Saron
LUMIX NOIR	LN-P1000106	2021-10-20	ONO	1116, 1244, 1245	Coupe NNE/SSO.	Emmanuelle Saron
LUMIX NOIR	LN-P1000109	2021-10-20	ONO	1120, 1246, 1272, 1273	Coupe 1246-E, NNE/SSO. Partielle sur la FS1120, au-dessus de 1120-4 (rejets de frags rubéfiés).	Emmanuelle Saron
LUMIX NOIR	LN-P1000110	2021-10-20	ONO	1120, 1246, 1272, 1273	Coupe 1246-E, NNE/SSO. Partielle sur la FS1120, au-dessus de 1120-4 (rejets de frags rubéfiés).	Emmanuelle Saron
LUMIX NOIR	LN-P1000113	2021-10-20	ONO	1120, 1246, 1272, 1273	Coupe 1246-E, NNE/SSO. Partielle sur la FS1120, au niveau de 1120-6 ; faune partie Ouest de 1120.	Emmanuelle Saron
LUMIX NOIR	LN-P1000114	2021-10-20	ONO	1120, 1246, 1272, 1273	Coupe 1246-E, NNE/SSO. Partielle sur la FS1120, au niveau de 1120-6 ; faune partie Ouest de 1120.	Emmanuelle Saron
LUMIX NOIR	LN-P1000115	2021-10-20	ONO	1120, 1246, 1272	Partie Ouest de la FS1120, SD1246, faune sup. dans l'Us 1120-6.	Emmanuelle Saron
LUMIX NOIR	LN-P1000116	2021-10-20	N	1120, 1246, 1272	Partie Ouest de la FS1120, SD1246, faune sup. dans l'Us 1120-6.	Emmanuelle Saron
LUMIX NOIR	LN-P1000117	2021-10-20	N	1120, 1246, 1272	Partie Ouest de la FS1120, SD1246, détail de la faune dans l'Us 1120-6.	Emmanuelle Saron
LUMIX NOIR	LN-P1000118	2021-10-20	N	1120, 1246, 1272	Partie Ouest de la FS1120, SD1246, détail de la faune dans l'Us 1120-6 : «bassin sur porcelet».	Emmanuelle Saron
LUMIX NOIR	LN-P1000119	2021-10-20	N	1120, 1246, 1272	Partie Ouest de la FS1120, SD1246, détail de la faune dans l'Us 1120-6 : «bassin sur porcelet».	Emmanuelle Saron
LUMIX NOIR	LN-P1000120	2021-10-20	N	1120, 1246, 1272	Partie Ouest de la FS1120, SD1246, détail de la faune dans l'Us 1120-6 : «bassin sur porcelet».	Emmanuelle Saron
LUMIX NOIR	LN-P1000121	2021-10-20	N	1120, 1246, 1272	Partie Ouest de la FS1120, SD1246, détail de la faune dans l'Us 1120-6 : «bassin sur porcelet».	Emmanuelle Saron

Code	N° photo	date	vue de-puis	Hz / Us	Commentaire	auteur-s
LUMIX NOIR	LN-P1000122	2021-10-20	NE	1120, 1246, 1272	Partie Ouest de la FS1120, SD1246, détail de la faune dans l'Us 1120-6 : «bassin sur porcelet».	Emmanuelle Saron
LUMIX NOIR	LN-P1000123	2021-10-20	S	1120, 1246, 1272	Partie Ouest de la FS1120, SD1246, détail de la faune dans l'Us 1120-6 : «bassin sur porcelet».	Emmanuelle Saron
LUMIX NOIR	LN-P1000124	2021-10-20	S	1120, 1246, 1272	Partie Ouest de la FS1120, SD1246, détail de la faune dans l'Us 1120-6 : «bassin sur porcelet».	Emmanuelle Saron
LUMIX NOIR	LN-P1000125	2021-10-20	S	1120, 1246, 1272	Partie Ouest de la FS1120, SD1246, détail de la faune dans l'Us 1120-6 : «bassin sur porcelet».	Emmanuelle Saron
LUMIX NOIR	LN-P1000126	2021-10-20	ONO	1120, 1246, 1272	Partie Ouest de la FS1120, SD1246, détail de la faune dans l'Us 1120-6 : «bassin sur porcelet».	Emmanuelle Saron
LUMIX NOIR	LN-P1000127	2021-10-20	S	1120, 1246, 1272	Partie Ouest de la FS1120, creusement 1272, SD1246, détail de la faune inf. dans l'Us 1120-6 à 7 : «porcelet».	Emmanuelle Saron
LUMIX NOIR	LN-P1000128	2021-10-20	S	1120, 1246, 1272	Partie Ouest de la FS1120, creusement 1272, SD1246, détail de la faune inf. dans l'Us 1120-6 à 7 : «porcelet».	Emmanuelle Saron
LUMIX NOIR	LN-P1000129	2021-10-20	S	1120, 1246, 1272	Partie Ouest de la FS1120, creusement 1272, SD1246, détail de la faune inf. dans l'Us 1120-6 à 7 : «porcelet».	Emmanuelle Saron
LUMIX NOIR	LN-P1000130	2021-10-20	S	1120, 1246, 1272	Partie Ouest de la FS1120, creusement 1272, SD1246, détail de la faune inf. dans l'Us 1120-6 à 7 : «porcelet».	Emmanuelle Saron
LUMIX NOIR	LN-P1000131	2021-10-21	S	1120, 1246, 1272	Partie Ouest de la FS1120, creusement 1272, SD1246, détail de la faune inf. dans l'Us 1120-6 à 7 : «porcelet» et coupe 1246-E.	Emmanuelle Saron
LUMIX NOIR	LN-P1000134	2021-10-21	SSO	1120, 1246, 1272	Partie Ouest de la FS1120, creusement 1272, SD1246, faune inf. dans l'Us 1120-6 à 7 : «porcelet» et coupe 1246-E.	Emmanuelle Saron
LUMIX NOIR	LN-P1000135	2021-10-21	SO	1120, 1246, 1272	Partie Ouest de la FS1120, creusement 1272, SD1246, faune inf. dans l'Us 1120-6 à 7 : «porcelet» et coupe 1246-E.	Emmanuelle Saron
LUMIX NOIR	LN-P1000136	2021-10-21		1120, 1246, 1272	LN-P1000136 à LN-P1000141 : Partie Ouest de la FS1120, creusement 1272, SD1246, faune inf. dans l'Us 1120-6 / 7 : «porcelet» et coupe 1246-E.	Emmanuelle Saron
LUMIX NOIR	LN-P1000141	2021-10-21		1120, 1246, 1272	LN-P1000136 à LN-P1000141 : Partie Ouest de la FS1120, creusement 1272, SD1246, faune inf. dans l'Us 1120-6 / 7 : «porcelet» et coupe 1246-E.	Emmanuelle Saron
LUMIX NOIR	LN-P1000143	2021-10-21	ONO	1120, 1246, 1272	Coupe 1246-E complète sur la FS1120.	Emmanuelle Saron
LUMIX NOIR	LN-P1000145	2021-10-21	ONO	1120, 1246, 1272	Coupe 1246-E complète sur la FS1120.	Emmanuelle Saron
LUMIX NOIR	LN-P1000146	2021-10-21	ONO	1120, 1246, 1272	Coupe 1246-E complète sur la FS1120.	Emmanuelle Saron
LUMIX NOIR	LN-P1000149	2021-10-22	SSE	1041, 1052, 1274	Coupe 1274 sur l'EX1052.	Emmanuelle Saron
LUMIX NOIR	LN-P1000150	2021-10-22	SSE	1041, 1052, 1274	Coupe 1274 sur l'EX1052.	Emmanuelle Saron
LUMIX NOIR	LN-P1000151	2021-10-22	NO	1179, 1180, 1185	Coupe ENE/OSO sur la FS1180.	Gilles Desrayaud
LUMIX NOIR	LN-P1000152	2021-10-22	NO	1179, 1180, 1185	Coupe ENE/OSO sur la FS1180.	Gilles Desrayaud
LUMIX NOIR	LN-P1000153	2021-10-26	OSO	1125, 1128, 1129, 1286	Coupe 1286-E, NNO/SSE, sur les EX1125 et EX1129.	Gilles Desrayaud
LUMIX NOIR	LN-P1000154	2021-10-26	O	1125, 1128, 1129, 1286	Coupe 1286-E, NNO/SSE, sur les EX1125 et EX1129.	Gilles Desrayaud
LUMIX NOIR	LN-P1000155	2021-10-26	ENE	1125, 1129, 1286	Coupe 1286-O, SSE/NNO, sur les EX1125 et EX1129.	Gilles Desrayaud
LUMIX NOIR	LN-P1000156	2021-10-26	ENE	1125, 1129, 1286	Coupe 1286-O, SSE/NNO, sur les EX1125 et EX1129.	Gilles Desrayaud
LUMIX NOIR	LN-P1000157	2021-10-26	OSO	1120, 1288	Faune de la partie Est de la FS1120 en cours de fouille, niveau induré / concrétions 1288 (<=>1120-2 ?).	Emmanuelle Saron
LUMIX NOIR	LN-P1000158	2021-10-26	O	1120, 1288	Faune de la partie Est de la FS1120 en cours de fouille, niveau induré / concrétions 1288 (<=>1120-2 ?).	Emmanuelle Saron
LUMIX NOIR	LN-P1000159	2021-10-26	ONO	1120, 1288	Faune de la partie Est de la FS1120 en cours de fouille, niveau induré / concrétions 1288 (<=>1120-2 ?).	Emmanuelle Saron
LUMIX NOIR	LN-P1000160	2021-10-26	O	1120, 1288	Faune de la partie Est de la FS1120 en cours de fouille, niveau induré / concrétions 1288 (<=>1120-2 ?).	Emmanuelle Saron
LUMIX NOIR	LN-P1000161	2021-10-28	NE	1132	Coupe SE/NO de la FS1132.	Gilles Desrayaud
LUMIX NOIR	LN-P1000162	2021-10-28	NE	1132, 1325	Coupe SE/NO de la FS1132.	Gilles Desrayaud
LUMIX NOIR	LN-P1000163	2021-10-28	NE	1132	Coupe SE/NO de la FS1132.	Gilles Desrayaud

Code	N° photo	date	vue de-puis	Hz / Us	Commentaire	auteur-s
LUMIX NOIR	LN-P1000164	2021-10-28	ENE	1140, 1227, 1232, 1233, 1235, 1290	Coupe 1290, SSE/NN0, sur 1140 = 1232 + 1233 + 1235.	Gilles Desrayaud
LUMIX NOIR	LN-P1000165	2021-10-28	ENE	1140, 1227, 1232, 1233, 1235, 1290	Coupe 1290, SSE/NN0, sur 1140 = 1232 + 1233 + 1235.	Gilles Desrayaud
LUMIX NOIR	LN-P1000166	2021-10-28	ENE	1137, 1140, 1141, 1227, 1228, 1231, 1232, 1233, 1234, 1235, 1295	Coupe 1227, SSE/NN0, sur 1140 = 1232 + 1233 + 1235.	Gilles Desrayaud
LUMIX NOIR	LN-P1000167	2021-10-28	ENE	1137, 1140, 1141, 1227, 1228, 1231, 1232, 1233, 1234, 1235, 1295	Coupe 1227, SSE/NN0, sur 1140 = 1232 + 1233 + 1235.	Gilles Desrayaud
LUMIX NOIR	LN-P1000169	2021-10-29		1120, 1273	LN-P000169 à LN-P1000201 : clichés pour 3D, partie Est de la FS1120, vidée.	Emmanuelle Saron
LUMIX NOIR	LN-P1000201	2021-10-29		1120, 1273	LN-P000169 à LN-P1000201 : clichés pour 3D, partie Est de la FS1120, vidée.	Emmanuelle Saron
LUMIX NOIR	LN-P1000203	2021-10-29	ESE	1246	SD1246, coupe Ouest : profil sédimentaire géologique.	Emmanuelle Saron
LUMIX NOIR	LN-P1000205	2021-10-29	ESE	1246	SD1246, coupe Ouest : profil sédimentaire géologique.	Emmanuelle Saron
LUMIX NOIR	LN-P1000206	2021-10-29	ESE	1246	SD1246, coupe Ouest : profil sédimentaire géologique.	Emmanuelle Saron
LUMIX NOIR	LN-P1000207	2021-11-02	NNO	1183, 1184, 1185, 1199, 1210, 1212, 1267, 1269, 1270, 1438	Partie Ouest de la CP1210, CAV1211, nettoyage partiel.	Gilles Desrayaud
LUMIX NOIR	LN-P1000208	2021-11-02	ENE	1183, 1184, 1210, 1267, 1298, 1300, 1301	CP1300, CAV1211 / EX1267, nettoyage partiel.	Gilles Desrayaud
LUMIX NOIR	LN-P1000209	2021-11-02	ENE	1183, 1184, 1210, 1213, 1267, 1269, 1270, 1298, 1300, 1301	CP1300, CAV1211 / EX1267, nettoyage partiel.	Gilles Desrayaud
LUMIX NOIR	LN-P1000210	2021-11-02	SSE	1185, 1267, 1298, 1301	CP1301, CAV1211 / FS1298, nettoyage partiel.	Gilles Desrayaud
LUMIX NOIR	LN-P1000212	2021-11-04	SSO	1074	FOU1074, vue d'ensemble après premier nettoyage de surface.	Gilles Desrayaud
LUMIX NOIR	LN-P1000213	2021-11-05	ENE	1184, 1212, 1267, 1300, 1301	CP1300.	Gilles Desrayaud
LUMIX NOIR	LN-P1000214	2021-11-05	ENE	1184, 1210, 1211, 1212, 1213, 1267, 1269, 1270, 1300, 1301	CP1300 et vue d'ensemble de la CAV1211.	Gilles Desrayaud
LUMIX NOIR	LN-P1000215	2021-11-05	NNO	1183, 1184, 1185, 1199, 1210, 1212, 1270	Partie Ouest de la CP1210, CAV1211.	Gilles Desrayaud
LUMIX NOIR	LN-P1000216	2021-11-05	N	1183, 1184, 1185, 1199, 1212, 1267, 1269, 1270, 1300, 1302	Partie Ouest de la CP1210, CAV1211.	Gilles Desrayaud
LUMIX NOIR	LN-P1000218	2021-11-05	SSO	1305, 1501, 1503	CP1503 sup. sur FS1501.	Emmanuelle Saron
LUMIX NOIR	LN-P1000219	2021-11-05	ONO	1305, 1309, 1317, 1501, 1503	CP1503 sup. sur FS1501.	Emmanuelle Saron
LUMIX NOIR	LN-P1000220	2021-11-05	ESE	1305, 1317, 1336, 1501, 1502, 1503	CP1503 sup. sur FS1501.	Emmanuelle Saron
LUMIX NOIR	LN-P1000221	2021-11-05	SSO	1305, 1501, 1503	CP1503 sup. sur FS1501.	Emmanuelle Saron
LUMIX NOIR	LN-P1000222	2021-11-05	SSO	1305, 1501, 1503	CP1503 sup. sur FS1501.	Emmanuelle Saron
LUMIX NOIR	LN-P1000223	2021-11-08	SSO	1317, 1320, 1336, 1337, 1501, 1503	CP1503 sup. sur FS1501.	Emmanuelle Saron
LUMIX NOIR	LN-P1000225	2021-11-08	SSO	1317, 1320, 1336, 1337, 1501, 1503	CP1503 sup. sur FS1501.	Emmanuelle Saron
LUMIX NOIR	LN-P1000226	2021-11-08	ESE	1305, 1313, 1317, 1318, 1319, 1320, 1336, 1503	Sondage CP1313/CP1503 sur partie Nord de la chambre de chauffe du FOU1074.	Emmanuelle Saron
LUMIX NOIR	LN-P1000227	2021-11-08	ESE	1305, 1313, 1317, 1318, 1319, 1320, 1336, 1503	Sondage CP1313/CP1503 sur partie Nord de la chambre de chauffe du FOU1074.	Emmanuelle Saron
LUMIX NOIR	LN-P1000228	2021-11-08	ONO	1305, 1309, 1313, 1317, 1318, 1319, 1320, 1336, 1503	Sondage CP1313/CP1503 sur partie Nord de la chambre de chauffe du FOU1074.	Emmanuelle Saron

Code	N° photo	date	vue de-puis	Hz / Us	Commentaire	auteur-s
LUMIX NOIR	LN-P1000229	2021-11-08	ONO	1305, 1313, 1317, 1318, 1319, 1320, 1336, 1503	Sondage CP1313/CP1503 sur partie Nord de la chambre de chauffe du FOU1074.	Emmanuelle Saron
LUMIX NOIR	LN-P1000230	2021-11-08	NNE	1305, 1313, 1318, 1319, 1323, 1502	CP1313.	Emmanuelle Saron
LUMIX NOIR	LN-P1000231	2021-11-08	NNE	1305, 1313, 1318, 1319, 1323	CP1313.	Emmanuelle Saron
LUMIX NOIR	LN-P1000232	2021-11-08	ONO	1313, 1319, 1320	PL1319, CP1313.	Emmanuelle Saron
LUMIX NOIR	LN-P1000233	2021-11-08	ONO	1313, 1319, 1320	PL1319, CP1313.	Emmanuelle Saron
LUMIX NOIR	LN-P1000234	2021-11-08	NO	1319, 1320	PL1319.	Emmanuelle Saron
LUMIX NOIR	LN-P1000235	2021-11-08	ONO	1319, 1320	PL1319.	Emmanuelle Saron
LUMIX NOIR	LN-P1000236	2021-11-08	ONO	1313, 1319, 1320, 1323	PL1319.	Emmanuelle Saron
LUMIX NOIR	LN-P1000237	2021-11-08	ONO	1319, 1320	PL1319.	Emmanuelle Saron
LUMIX NOIR	LN-P1000238	2021-11-08	ONO	1320	Sole 1320 entre 1317 et 1319.	Emmanuelle Saron
LUMIX NOIR	LN-P1000239	2021-11-09	NO	1135, 1142, 1247	Coupe partielle ENE/OSO sur la FS1142.	Gilles Desrayaud
LUMIX NOIR	LN-P1000240	2021-11-09	NO	1135, 1142, 1247	Coupe partielle ENE/OSO sur la FS1142 (fouille à 1/4).	Gilles Desrayaud
LUMIX NOIR	LN-P1000241	2021-11-09	NNO	1199, 1506, 1507, 1526	CP1199-b (Ouest).	Gilles Desrayaud
LUMIX NOIR	LN-P1000242	2021-11-09	NNO	1143, 1146, 1151, 1199	Vue du décapage de l'angle SO de la fouille.	Gilles Desrayaud
LUMIX NOIR	LN-P1000243	2021-11-10	NO	1147	Coupe NE/SO de la FS1147. 1149 surdécapé.	Gilles Desrayaud
LUMIX NOIR	LN-P1000244	2021-11-10	NO	1147	Coupe NE/SO de la FS1147. 1149 surdécapé.	Gilles Desrayaud
LUMIX NOIR	LN-P1000245	2021-11-10	NNO	1143, 1146, 1325	Coupe ENE/OSO des fosses 1146 et 1143	Gilles Desrayaud
LUMIX NOIR	LN-P1000246	2021-11-10	ENE	1141, 1143, 1294, 1324, 1325, 1397, 1417, 1419	CP1324 Nord.	Gilles Desrayaud
LUMIX NOIR	LN-P1000247	2021-11-10	ENE	1141, 1143, 1294, 1324, 1325, 1397, 1417, 1419	CP1324 Nord.	Gilles Desrayaud
LUMIX NOIR	LN-P1000248	2021-11-15	SSE	1294, 1325, 1418, 1419, 1508	CP1508-N.	Gilles Desrayaud
LUMIX NOIR	LN-P1000249	2021-11-15	SSE	1294, 1325, 1418, 1419, 1508	CP1508-N.	Gilles Desrayaud
LUMIX NOIR	LN-P1000250	2021-11-15	ENE	1151, 1294, 1325, 1398, 1418, 1508	CP1508-O.	Gilles Desrayaud
LUMIX NOIR	LN-P1000251	2021-11-15	NNO	1151, 1294, 1508	CP1508-S.	Gilles Desrayaud
LUMIX NOIR	LN-P1000252	2021-11-15	NNO	1151, 1294, 1508	CP1508-S.	Gilles Desrayaud
LUMIX NOIR	LN-P1000253	2021-11-15	SSE	1057	Coupe OSO/ENE.	Gilles Desrayaud
LUMIX NOIR	LN-P1000254	2021-11-15	SSE	1057	Coupe OSO/ENE.	Gilles Desrayaud
LUMIX NOIR	LN-P1000255	2021-11-16	ENE	1121, 1126, 1278, 1294, 1407, 1415, 1509	CP1509.	Gilles Desrayaud
LUMIX NOIR	LN-P1000256	2021-11-16	ENE	1121, 1126, 1278, 1294, 1407, 1415, 1509	CP1509 Nord.	Gilles Desrayaud
LUMIX NOIR	LN-P1000257	2021-11-16	ENE	1121, 1126, 1259, 1278, 1294, 1415, 1509	CP1509 Sud.	Gilles Desrayaud
LUMIX NOIR	LN-P1000258	2021-11-17	ENE	1121, 1278, 1294, 1509	CP1509, sous FD1121, irrégularité de l'Hz 1294, test méca.	Gilles Desrayaud
LUMIX NOIR	LN-P1000259	2021-11-17	SO	1045, 1048	Coupe NO/SE sur FS1048.	Gilles Desrayaud
LUMIX NOIR	LN-P1000260	2021-11-17	SO	1037, 1510	CP1510-NE sur l'EX1037.	Gilles Desrayaud
LUMIX NOIR	LN-P1000261	2021-11-17	SO	1037, 1510	CP1510-NE sur l'EX1037, détail mire.	Gilles Desrayaud
LUMIX NOIR	LN-P1000262	2021-11-17	NE	1052, 1053, 1510	CP1510-SO sur la FS1053 et l'EX1052.	Gilles Desrayaud
LUMIX NOIR	LN-P1000263	2021-11-17	E	1073, 1321	1ère coupe sur la FS1073, Sud/Nord.	Gilles Desrayaud
LUMIX NOIR	LN-P1000264	2021-11-17	SE	1073, 1321	1ère coupe sur la FS1073, Sud/Nord.	Gilles Desrayaud
LUMIX NOIR	LN-P1000265	2021-11-19	SSO	1098, 1338	FOU1074 en cours de fouille.	Gilles Desrayaud
LUMIX NOIR	LN-P1000266	2021-11-19	SO	1098, 1338, 1511	FOU1074 en cours de fouille.	Gilles Desrayaud
LUMIX NOIR	LN-P1000267	2021-11-19	SSE	1098, 1338, 1511	FOU1074 en cours de fouille.	Gilles Desrayaud
LUMIX NOIR	LN-P1000268	2021-11-19	NNO	1321	FOU1074 en cours de fouille.	Gilles Desrayaud

Code	N° photo	date	vue de-puis	Hz / Us	Commentaire	auteur-s
LUMIX NOIR	LN-P1000269	2021-11-23	SSO	1341, 1349, 1401	FOU1074 en cours de fouille.	Gilles Desrayaud
LUMIX NOIR	LN-P1000270	2021-11-23	NNE	1074, 1515	FOU1074 en cours de fouille. CP1515 en cours.	Gilles Desrayaud
LUMIX NOIR	LN-P1000271	2021-11-23	NNE	1340, 1341, 1349, 1401, 1505, 1511	FOU1074 en cours de fouille. Alandier Sud.	Gilles Desrayaud
LUMIX NOIR	LN-P1000274	2021-11-24	ENE	1038, 1040, 1357	CP1357, SSE/NNO sur FD1038 et FS1040.	Mohammad Rayati
LUMIX NOIR	LN-P1000275	2021-11-24	ENE	1038, 1040, 1048, 1357	CP1357, SSE/NNO sur FD1038 et FS1040.	Mohammad Rayati
LUMIX NOIR	LN-P1000280	2021-11-24	ENE	1033, 1039, 1355	Coupe SSE/NNO.	Mohammad Rayati
LUMIX NOIR	LN-P1000281	2021-11-24	ENE	1033, 1039, 1355	Coupe SSE/NNO.	Mohammad Rayati
LUMIX NOIR	LN-P1000287	2021-11-24	SE	1110, 1362, 1405, 1435	Test méca. sur la FS1110. Coupe SO/NE sur 1362.	Mohammad Rayati
LUMIX NOIR	LN-P1000288	2021-11-24	SE	1110, 1362, 1405, 1435	Test méca. sur la FS1110. Coupe SO/NE sur 1362.	Mohammad Rayati
LUMIX NOIR	LN-P1000289	2021-11-24	NNE	1074, 1348, 1350, 1358, 1363, 1365, 1401, 1514, 1515	FS1074, CP1515.	Gilles Desrayaud
LUMIX NOIR	LN-P1000290	2021-11-24	NNE	1074, 1348, 1350, 1358, 1363, 1364, 1365, 1515	FS1074, CP1515.	Gilles Desrayaud
LUMIX NOIR	LN-P1000291	2021-11-24	NNE	1074, 1348, 1350, 1358, 1363, 1364, 1365, 1515	FS1074, CP1515.	Gilles Desrayaud
LUMIX NOIR	LN-P1000292	2021-11-24	NO	1074, 1364, 1515	FS1074, CP1515.	Gilles Desrayaud
LUMIX NOIR	LN-P1000293	2021-11-24	NE	1074, 1349, 1364, 1365, 1401, 1514, 1515	FS1074, CP1515.	Gilles Desrayaud
LUMIX NOIR	LN-P1000294	2021-11-24	SSE	1028	Fosse 1028. Faune.	Emmanuelle Saron
LUMIX NOIR	LN-P1000295	2021-11-24	SSE	1028	Fosse 1028. Faune.	Emmanuelle Saron
LUMIX NOIR	LN-P1000296	2021-11-24	E	1028	Fosse 1028. Faune.	Emmanuelle Saron
LUMIX NOIR	LN-P1000297	2021-11-24	NNO	1028	Fosse 1028. Faune.	Emmanuelle Saron
LUMIX NOIR	LN-P1000298	2021-11-24	O	1028	Fosse 1028. Faune.	Emmanuelle Saron
LUMIX NOIR	LN-P1000299	2021-11-24		1028	LN-P1000299 à LN-P1000315 : fosse 1028, faune, détails.	Emmanuelle Saron
LUMIX NOIR	LN-P1000315	2021-11-24		1028	LN-P1000299 à LN-P1000315 : fosse 1028, faune, détails.	Emmanuelle Saron
LUMIX NOIR	LN-P1000316	2021-11-25	NNO	1073, 1075, 1321, 1403	FOU1074 en cours de fouille.	Gilles Desrayaud
LUMIX NOIR	LN-P1000317	2021-11-29	ENE	1040	Moitié Ouest de la FS1040 en cours de fouille. Faune : Us 1040-02 sup.	Emmanuelle Saron
LUMIX NOIR	LN-P1000318	2021-11-29	E	1040, 1045, 1521	Moitié Ouest de la FS1040 en cours de fouille. Faune : Us 1040-02 sup.	Emmanuelle Saron
LUMIX NOIR	LN-P1000319	2021-11-29		1040	LN-P1000319 à LN-P1000324 : moitié Ouest de la FS1040 en cours de fouille ; faune, Us 1040-02 sup., détails.	Emmanuelle Saron
LUMIX NOIR	LN-P1000324	2021-11-29		1040	LN-P1000319 à LN-P1000324 : moitié Ouest de la FS1040 en cours de fouille ; faune, Us 1040-02 sup., détails.	Emmanuelle Saron
LUMIX NOIR	LN-P1000325	2021-11-29	ENE	1045, 1521	Coupe SSE/NNO sur la FS1521.	Emmanuelle Saron
LUMIX NOIR	LN-P1000327	2021-11-29	ENE	1045, 1521	Coupe SSE/NNO sur la FS1521.	Emmanuelle Saron
LUMIX NOIR	LN-P1000329	2021-11-29	ENE	1038, 1040, 1045, 1521	Moitié Ouest de la FS1040 vidée. Coupe SSE/NNO sur la FS1521.	Emmanuelle Saron
LUMIX NOIR	LN-P1000330	2021-11-29	ESE	1074, 1294, 1348, 1350, 1358, 1363, 1514, 1520	CP1514-B sur FS1074.	Gilles Desrayaud
LUMIX NOIR	LN-P1000331	2021-11-29	SE	1074, 1110, 1514, 1520	CP1514-B sur FS1074.	Gilles Desrayaud
LUMIX NOIR	LN-P1000332	2021-11-29	NE	1074, 1294, 1348, 1349, 1350, 1358, 1363, 1365, 1511, 1514, 1520	CP1514-B sur FS1074.	Gilles Desrayaud
LUMIX NOIR	LN-P1000333	2021-11-30	SSE	1018, 1019, 1035	FS1019 : faune.	Emmanuelle Saron
LUMIX NOIR	LN-P1000334	2021-11-30	SSE	1019, 1035	FS1019 : faune.	Emmanuelle Saron
LUMIX NOIR	LN-P1000335	2021-11-30	SSE	1019, 1035	FS1019 : faune.	Emmanuelle Saron
LUMIX NOIR	LN-P1000336	2021-11-30	S	1019, 1035	FS1019 : faune.	Emmanuelle Saron

Code	N° photo	date	vue de-puis	Hz / Us	Commentaire	auteur-s
LUMIX NOIR	LN-P1000337	2021-12-01	SSO	1022, 1241, 1243, 1524	CP1524, ONO/ESE.	Gilles Desrayaud
LUMIX NOIR	LN-P1000338	2021-12-01	SSO	1022, 1241, 1243, 1524	CP1524, ONO/ESE.	Gilles Desrayaud
LUMIX NOIR	LN-P1000339	2021-12-01	NNO	1139, 1248, 1252, 1259, 1292, 1517, 1518	CP1252	Mohammad Rayati
LUMIX NOIR	LN-P1000340	2021-12-01	NNO	1139, 1248, 1252, 1253, 1259, 1292, 1424, 1427, 1428, 1516, 1517, 1518	CP1252	Mohammad Rayati
LUMIX NOIR	LN-P1000346	2021-12-01	SSE	1122, 1368, 1518		Mohammad Rayati
LUMIX NOIR	LN-P1000347	2021-12-01	SSE	1122, 1368, 1517, 1518		Mohammad Rayati
LUMIX NOIR	LN-P1000348	2021-12-01	OSO	1516	Coupe SSE/NNO.	Mohammad Rayati
LUMIX NOIR	LN-P1000349	2021-12-01	OSO	1250, 1253, 1371, 1516	Coupe SSE/NNO.	Mohammad Rayati
LUMIX NOIR	LN-P1000350	2021-12-01	ENE	1151, 1381, 1525, 1526	SD1525 : CP1525-A et 1525-B, SSE/NNO.	Gilles Desrayaud
LUMIX NOIR	LN-P1000351	2021-12-01	ENE	1151, 1381, 1525, 1526	SD1525 : CP1525-A et 1525-B, SSE/NNO.	Gilles Desrayaud
LUMIX NOIR	LN-P1000352	2021-12-01	NNO	1151, 1171, 1172, 1381, 1525, 1526	SD1525 : CP1525-C, ENE/OSO.	Gilles Desrayaud
LUMIX NOIR	LN-P1000353	2021-12-01	NNO	1151, 1381, 1525, 1526	SD1525 : CP1525-C, ENE/OSO.	Gilles Desrayaud
LUMIX NOIR	LN-P1000354	2021-12-01	OSO	1171, 1294, 1381, 1525	SD1525 : CP1525-D, SSE/NNO.	Gilles Desrayaud
LUMIX NOIR	LN-P1000355	2021-12-01	OSO	1171, 1294, 1381, 1525	SD1525 : CP1525-D, SSE/NNO.	Gilles Desrayaud
LUMIX NOIR	LN-P1000359	2021-12-02	E	1005, 1440	Coupe Sud/Nord.	Mohammad Rayati
LUMIX NOIR	LN-P1000360	2021-12-02	E	1005, 1440	Coupe Sud/Nord.	Mohammad Rayati
LUMIX NOIR	LN-P1000363	2021-12-02	SSE	1005, 1006, 1408, 1410, 1440	Coupe OSO/ENE.	Mohammad Rayati
LUMIX NOIR	LN-P1000364	2021-12-02	SSE	1005, 1006, 1440	Coupe OSO/ENE.	Mohammad Rayati
LUMIX NOIR	LN-P1000367	2021-12-02	O	1006, 1440	Coupe Nord/Sud. Tr-04 du diag. remblayée.	Mohammad Rayati
LUMIX NOIR	LN-P1000368	2021-12-02	O	1006, 1440	Coupe Nord/Sud. Tr-04 du diag. remblayée.	Mohammad Rayati
LUMIX NOIR	LN-P1000376	2021-12-02	NNE	1317, 1336, 1337, 1344, 1370, 1400	CP1370, profonde, ESE/ONO, au ras de l'embouchure de l'alandier Nord du FOU1074.	Mohammad Rayati
LUMIX NOIR	LN-P1000377	2021-12-02	NNE	1317, 1336, 1337, 1344, 1370, 1400	CP1370, profonde, ESE/ONO, au ras de l'embouchure de l'alandier Nord du FOU1074.	Mohammad Rayati
LUMIX NOIR	LN-P1000382	2021-12-02	NNE	1317, 1336, 1337, 1344, 1370, 1400	CP1370, profonde, ESE/ONO, au ras de l'embouchure de l'alandier Nord du FOU1074.	Mohammad Rayati
LUMIX NOIR	LN-P1000385	2021-12-02	SSE	1056	FS1056, coupe OSO/ENE en cours.	Mohammad Rayati
LUMIX NOIR	LN-P1000387	2021-12-03	SSE	1056	FS1056, coupe OSO/ENE, partielle. Fond non atteint ; au-delà d'1,9 à 2 m depuis le niv. de décap. = pollution (hydrocarbures ?).	Mohammad Rayati
LUMIX NOIR	LN-P1000389	2021-12-03	SSE	1056	FS1056, coupe OSO/ENE, partielle. Fond non atteint ; au-delà d'1,9 à 2 m depuis le niv. de décap. = pollution (hydrocarbures ?).	Mohammad Rayati
LUMIX NOIR	LN-P1000391	2021-12-03	SSE	1056	FS1056, coupe OSO/ENE, partielle. Fond non atteint ; au-delà d'1,9 à 2 m depuis le niv. de décap. = pollution (hydrocarbures ?).	Gilles Desrayaud
LUMIX NOIR	LN-P1000392	2021-12-03	ESE	1056	FS1056, coupe OSO/ENE, partielle. Fond non atteint ; au-delà d'1,9 à 2 m depuis le niv. de décap. = pollution (hydrocarbures ?).	Gilles Desrayaud
LUMIX NOIR	LN-P1000393	2021-12-03	SO	1056	FS1056, coupe OSO/ENE, partielle. Fond non atteint ; au-delà d'1,9 à 2 m depuis le niv. de décap. = pollution (hydrocarbures ?).	Gilles Desrayaud
LUMIX NOIR	LN-P1000394	2021-12-03	OSO	1119, 1121, 1248, 1250, 1252, 1253, 1257, 1258, 1259, 1265, 1291, 1292, 1371, 1372, 1518, 1519	Coupe profonde 1253.	Gilles Desrayaud

Code	N° photo	date	vue de-puis	Hz / Us	Commentaire	auteur-s
LUMIX NOIR	LN-P1000395	2021-12-03	OSO	1119, 1121, 1250, 1252, 1253, 1257, 1258, 1259, 1265, 1371, 1372, 1424, 1425, 1426, 1427, 1436, 1517, 1519	Coupe profonde 1253.	Gilles Desrayaud
LUMIX NOIR	LN-P1000396	2021-12-06	ESE	1074, 1294, 1348, 1350, 1358, 1363, 1401, 1520, 1514	Coupe profonde 1514-B, SSO/NNE, FS1074.	Gilles Desrayaud
LUMIX NOIR	LN-P1000397	2021-12-06	ESE	1074, 1294, 1348, 1350, 1358, 1363, 1401, 1520, 1514	Coupe profonde 1514-B, SSO/NNE, FS1074.	Gilles Desrayaud
LUMIX NOIR	LN-P1000398	2021-12-06	ESE	1074, 1294, 1348, 1350, 1358, 1363, 1401, 1520, 1514	Coupe profonde 1514-B, SSO/NNE, FS1074.	Gilles Desrayaud
LUMIX NOIR	LN-P1000400	2021-12-06	OSO	1114, 1119, 1253, 1261, 1284, 1294, 1372, 1436, 1518	Coupe profonde 1261.	Gilles Desrayaud
LUMIX NOIR	LN-P1000401	2021-12-07	SSE	1032, 1373	SD1373, coupe OSO/ENE partielle sur l'EX1032.	Gilles Desrayaud
LUMIX NOIR	LN-P1000402	2021-12-07	ESE	1032, 1373	SD1373, coupe OSO/ENE partielle sur l'EX1032.	Gilles Desrayaud
LUMIX NOIR	LN-P1000404	2021-12-07	SSE	1056	FS1056, moitié Nord, Us-A vidée, Us-B partiellement : fond non atteint ; au-delà d'1,9 à 2 m depuis le niv. de décap. = pollution (hydrocarbures ?).	Mohammad Rayati
LUMIX NOIR	LN-P1000406	2021-12-07	SSE	1056	FS1056, moitié Nord, Us-A vidée, Us-B partiellement : fond non atteint ; au-delà d'1,9 à 2 m depuis le niv. de décap. = pollution (hydrocarbures ?).	Mohammad Rayati
LUMIX NOIR	LN-P1000414	2021-12-07	NE	1001, 1013, 1014	Coupe SE/NO.	Mohammad Rayati
LUMIX NOIR	LN-P1000415	2021-12-07	NE	1001, 1013, 1014	Coupe SE/NO.	Mohammad Rayati
LUMIX NOIR	LN-P1000416	2021-12-07	S	1005, 1238, 1243, 1408, 1439	Coupe Ouest/Est.	Mohammad Rayati
LUMIX NOIR	LN-P1000421	2021-12-07	S	1005, 1238, 1243, 1439	Coupe Ouest/Est.	Mohammad Rayati
LUMIX NOIR	LN-P1000422	2021-12-07	ENE	1377, 1525	CP1377 et 1525-A centrales avant nettoyage.	Gilles Desrayaud
LUMIX NOIR	LN-P1000423	2021-12-07	NNO	1376, 1377, 1378	CP1376, 1377 et 1378 avant nettoyage.	Gilles Desrayaud
LUMIX NOIR	LN-P1000424	2021-12-07	OSO	1375, 1375, 1525	CP1375 sup. et 1376 avant nettoyage.	Gilles Desrayaud
LUMIX NOIR	LN-P1000426	2021-12-08	SSE	1383, 1408, 1409, 1441, 1442, 1443, 1445	Coupe profonde 1383.	Mohammad Rayati
LUMIX NOIR	LN-P1000428	2021-12-08	SSE	1383	Coupe profonde 1383.	Mohammad Rayati
LUMIX NOIR	LN-P1000429	2021-12-08	NNE	1400	Prélèvements pour archéomagnétisme in situ : n° 01, 02 et 03 (sole 1400 sous 1337).	Nicolas Warmé
LUMIX NOIR	LN-P1000430	2021-12-08	NNE	1400	Prélèvements pour archéomagnétisme in situ : n° 01, 02 et 03 (sole 1400 sous 1337).	Nicolas Warmé
LUMIX NOIR	LN-P1000432	2021-12-08	NNE	1400	Prélèvements pour archéomagnétisme in situ : n° 01, 02 et 03 (sole 1400 sous 1337).	Nicolas Warmé
LUMIX NOIR	LN-P1000434	2021-12-08	ONO	1320	Prélèvements pour archéomagnétisme in situ : n° 04, 05, 06, et 07 (bord sup. occidental de la chambre de chauffe, sole 1320).	Nicolas Warmé
LUMIX NOIR	LN-P1000435	2021-12-08	SO	1320	Prélèvements pour archéomagnétisme in situ : n° 04, 05, 06, et 07 (bord sup. occidental de la chambre de chauffe, sole 1320).	Nicolas Warmé
LUMIX NOIR	LN-P1000437	2021-12-08	SE	1320	Prélèvements pour archéomagnétisme in situ : n° 08, 09 et 10 (bord sup. oriental de la chambre de chauffe, sole 1320).	Nicolas Warmé
LUMIX NOIR	LN-P1000439	2021-12-08	ESE	1320	Prélèvements pour archéomagnétisme in situ.	Nicolas Warmé
LUMIX NOIR	LN-P1000440	2021-12-08	SE	1320	Prélèvements pour archéomagnétisme in situ.	Nicolas Warmé
LUMIX NOIR	LN-P1000441	2021-12-08	ENE	1151, 1377, 1382, 1525, 1526, 1527	Parties Nord des coupes 1377, 1525-A et palier sup.	Gilles Desrayaud
LUMIX NOIR	LN-P1000442	2021-12-08	NNE	1151, 1377, 1378, 1382, 1525, 1526, 1527	Parties Nord des coupes 1377, 1525-A et palier sup.	Gilles Desrayaud
LUMIX NOIR	LN-P1000443	2021-12-08	OSO	1190, 1375, 1379, 1380, 1381, 1376, 1525, 1526, 1527	CP1375 sup., CP1376, partie inf. Sud de la CP1525-D.	Gilles Desrayaud
LUMIX NOIR	LN-P1000444	2021-12-08	O	1190, 1375, 1379, 1380, 1381, 1376, 1525, 1526, 1527	CP1375 sup., CP1376, partie inf. Sud de la CP1525-D.	Gilles Desrayaud

Code	N° photo	date	vue de-puis	Hz / Us	Commentaire	auteur-s
LUMIX NOIR	LN-P1000445	2021-12-08	NO	1188, 1375, 1379, 1380, 1381, 1376, 1377, 1378, 1525, 1526, 1527	CP1375 sup., CP1376, partie inf. Sud de la CP1525-D.	Gilles Desrayaud
LUMIX NOIR	LN-P1000446	2021-12-08	NO	1188, 1375, 1379, 1380, 1381, 1376, 1377, 1378, 1525, 1526, 1527	CP1375 sup., CP1376, partie inf. Sud de la CP1525-D.	Gilles Desrayaud
LUMIX NOIR	LN-P1000447	2021-12-08	SSE	1239, 1386	Coupe profonde 1386 sur l'EX1239. Fond non atteint, inondé.	Kevin Hutinet
LUMIX NOIR	LN-P1000448	2021-12-08	SSE	1239, 1386	Coupe profonde 1386 sur l'EX1239. Fond non atteint, inondé.	Kevin Hutinet
LUMIX NOIR	LN-P1000449	2021-12-08	NE	1011, 1012	Coupe SE/NO sur FS1011 et FS1012.	Kevin Hutinet
LUMIX NOIR	LN-P1000450	2021-12-08	NE	1011, 1012	Coupe SE/NO sur FS1011 et FS1012.	Kevin Hutinet
LUMIX NOIR	LN-P1000451	2021-12-09	ENE	1384, 1385	FS1384, pierre dans la coupe 1385.	Mohammad Rayati
LUMIX NOIR	LN-P1000452	2021-12-09	ENE	1384, 1385	FS1384, pierre dans la coupe 1385.	Mohammad Rayati
LUMIX NOIR	LN-P1000453	2021-12-09	SSE	1005, 1243, 1386	Partie Est de la coupe 1386.	Kevin Hutinet
LUMIX NOIR	LN-P1000455	2021-12-09	SSE	1005, 1239, 1243, 1386, 1408, 1410, 1550	Coupe 1386.	Kevin Hutinet
LUMIX NOIR	LN-P1000456	2021-12-09	NO	1188, 1190, 1378, 1506, 1526, 1527	Coupe 1378.	Gilles Desrayaud
LUMIX NOIR	LN-P1000457	2021-12-09	NO	1188, 1190, 1378, 1506, 1526, 1527	Coupe 1378.	Gilles Desrayaud
LUMIX NOIR	LN-P1000458	2021-12-09	SO	1375, 1379, 1380, 1381, 1525, 1526	Angle NE de la CAV1380 sur puits rectangulaire 1381-C.	Gilles Desrayaud
LUMIX NOIR	LN-P1000459	2021-12-09	OSO	1188, 1375, 1378, 1379, 1380, 1381, 1525, 1526, 1527	Angle NE de la CAV1380 sur puits rectangulaire 1381-C.	Gilles Desrayaud
LUMIX NOIR	LN-P1000460	2021-12-09	ESE	1074, 1365, 1387, 1514	Moitié orientale de la FS1074 vidée.	Gilles Desrayaud
LUMIX NOIR	LN-P1000461	2021-12-09	S	1074, 1365, 1387, 1514	Moitié orientale de la FS1074 vidée.	Gilles Desrayaud
LUMIX NOIR	LN-P1000462	2021-12-09	N	1074, 1365, 1387, 1514	Moitié orientale de la FS1074 vidée.	Gilles Desrayaud
LUMIX NOIR	LN-P1000463	2021-12-09	SSE	1074, 1365, 1387, 1514	Moitié orientale de la FS1074 vidée.	Gilles Desrayaud
LUMIX NOIR	LN-P1000464	2021-12-10	OSO	1188, 1294, 1375, 1378, 1379, 1380, 1381, 1526, 1527	Coupe 1375. Angle NE de la CAV1380 sur puits rectangulaire 1381-C.	Gilles Desrayaud
LUMIX NOIR	LN-P1000465	2021-12-10	OSO	1188, 1294, 1375, 1378, 1379, 1380, 1381, 1526, 1527	Coupe 1375. Angle NE de la CAV1380 sur puits rectangulaire 1381-C.	Gilles Desrayaud
LUMIX NOIR	LN-P1000466	2021-12-10	SO	1188, 1294, 1375, 1378, 1379, 1380, 1381, 1526, 1527	Coupe 1375. Angle NE de la CAV1380 sur puits rectangulaire 1381-C.	Gilles Desrayaud
LUMIX NOIR	LN-P1000467	2021-12-10	NO	1188, 1294, 1375, 1378, 1379, 1380, 1381, 1526, 1527	Coupe 1375. Angle NE de la CAV1380 sur puits rectangulaire 1381-C.	Gilles Desrayaud
LUMIX NOIR	LN-P1000468	2021-12-10	NE	1379, 1380, 1381, 1382, 1526, 1527	«Sommitale» : Coupe 1375, angle NE de la CAV1380 sur puits rectangulaire 1381-C.	Gilles Desrayaud
LUMIX NOIR	LN-P1000469	2021-12-13	OSO	1188, 1294, 1375, 1378, 1379, 1380, 1381, 1526, 1527	-Coupe 1375. Angle NE de la CAV1380 sur puits rectangulaire 1381-C. -1381-B et 1381-D vidés.	Gilles Desrayaud
LUMIX NOIR	LN-P1000470	2021-12-13	SO	1188, 1294, 1375, 1378, 1379, 1380, 1381, 1526, 1527	-Coupe 1375. Angle NE de la CAV1380 sur puits rectangulaire 1381-C. -1381-B et 1381-D vidés.	Gilles Desrayaud
LUMIX NOIR	LN-P1000471	2021-12-13	NE	1379, 1380, 1381, 1382, 1526, 1527	«Sommitale» : Coupe 1375, angle NE de la CAV1380 sur puits rectangulaire 1381-C. -1381-B et 1381-D vidés	Gilles Desrayaud
LUMIX NOIR	LN-P1000472	2021-12-13	NO	1188, 1294, 1375, 1378, 1379, 1380, 1381, 1526, 1527	Coupe 1375. Angle NE de la CAV1380 sur puits rectangulaire 1381-C.	Gilles Desrayaud
LUMIX NOIR	LN-P1000473	2021-12-13	SSO	1099, 1320, 1340, 1389, 1505, 1511	Coupe profonde 1389, ESE/ONO au ras de l'amas vitrifié de raté de cuisson 1340. 1511 démonté.	Kevin Hutinet
LUMIX NOIR	LN-P1000474	2021-12-13	SSO	1320, 1340, 1389, 1505, 1511	Coupe profonde 1389, ESE/ONO au ras de l'amas vitrifié de raté de cuisson 1340. 1511 démonté.	Kevin Hutinet
LUMIX NOIR	LN-P1000475	2021-12-14	ENE	1377, 1390, 1507, 1525, 1526, 1527	Partie Sud des coupes 1377 et 1525-A, ainsi que palier sup.	Kevin Hutinet

Code	N° photo	date	vue de-puis	Hz / Us	Commentaire	auteur-s
LUMIX NOIR	LN-P1000476	2021-12-14	ENE	1377, 1390, 1507, 1525, 1526, 1527	Partie Sud des coupes 1377 et 1525-A, ainsi que palier sup.	Kevin Hutinet
LUMIX NOIR	LN-P1000477	2021-12-14	NE	1199, 1377, 1390, 1506, 1507, 1525, 1526, 1527	Partie Sud des coupes 1377 et 1525-A, ainsi que palier sup. ; coupes 1199-b et 1390.	Kevin Hutinet
LUMIX NOIR	LN-P1000478	2021-12-14	NNO	1199, 1267, 1390, 1506, 1526, 1527	Coupes 1199-b et 1390.	Kevin Hutinet
LUMIX NOIR	LN-P1000479	2021-12-14	NNO	1199, 1267, 1390, 1506, 1526, 1527	Coupes 1199-b et 1390.	Kevin Hutinet
LUMIX NOIR	LN-P1000480	2021-12-14	NO	1199, 1267, 1375, 1390, 1506, 1526, 1527	Coupes 1199-b, 1375 Sud et 1390.	Kevin Hutinet
LUMIX NOIR	LN-P1000481	2021-12-14	OSO	1190, 1267, 1294, 1375, 1390, 1526, 1527	Coupe 1375 Sud, bord oriental de la CAV1380.	Kevin Hutinet
LUMIX NOIR	LN-P1000482	2021-12-14	OSO	1190, 1267, 1294, 1375, 1390, 1526, 1527	Coupe 1375 Sud, bord oriental de la CAV1380.	Kevin Hutinet
LUMIX NOIR	LN-P1000483	2021-12-14	NNE	1314, 1320, 1332, 1333, 1366, 1391, 1504	-Coupe profonde 1391 (suite de la CP1314). -ESE/NNO entre cloisons 1330/1331 et 1332/1333.	Kevin Hutinet
LUMIX NOIR	LN-P1000484	2021-12-14	NNE	1314, 1320, 1332, 1333, 1366, 1391, 1504	-Coupe profonde 1391 (suite de la CP1314). -ESE/NNO entre cloisons 1330/1331 et 1332/1333.	Kevin Hutinet
LUMIX NOIR	LN-P1000485	2021-12-16	ENE	1384, 1385	CP1385.	Gilles Desrayaud
LUMIX NOIR	LN-P1000486	2021-12-16	ENE	1294, 1384, 1385, 1408, 1409, 1441, 1444, 1445, 1446	CP1385.	Gilles Desrayaud
LUMIX NOIR	LN-P1000487	2021-12-17			LN-P1000487 à LN-P1000511 : murs mitoyens et états du terrain le vendredi 17/12/2021.	Gilles Desrayaud
LUMIX NOIR	LN-P1000511	2021-12-17			LN-P1000487 à LN-P1000511 : murs mitoyens et états du terrain le vendredi 17/12/2021.	Gilles Desrayaud
LUMIX NOIR	LN-P1000521	2022-01-05		1012, 1040	Mobilier après lavage.	G. Desrayaud, K. Hutinet, M. Rayati
LUMIX NOIR	LN-P1000522	2022-01-05		1057	Mobilier après lavage.	G. Desrayaud, K. Hutinet, M. Rayati
LUMIX NOIR	LN-P1000524	2022-01-05		1056	Mobilier après lavage.	G. Desrayaud, K. Hutinet, M. Rayati
LUMIX NOIR	LN-P1000525	2022-01-05		1056	Mobilier après lavage.	G. Desrayaud, K. Hutinet, M. Rayati
LUMIX NOIR	LN-P1000526	2022-01-05		1056	Mobilier après lavage.	G. Desrayaud, K. Hutinet, M. Rayati
LUMIX NOIR	LN-P1000527	2022-01-05		1056	Mobilier après lavage.	G. Desrayaud, K. Hutinet, M. Rayati
LUMIX NOIR	LN-P1000528	2022-01-05		1056	Mobilier après lavage.	G. Desrayaud, K. Hutinet, M. Rayati
LUMIX NOIR	LN-P1000529	2022-01-05		1056	Mobilier après lavage.	G. Desrayaud, K. Hutinet, M. Rayati
LUMIX NOIR	LN-P1000531	2022-01-05		1056	Mobilier après lavage.	G. Desrayaud, K. Hutinet, M. Rayati
LUMIX NOIR	LN-P1000532	2022-01-05		1056	Mobilier après lavage.	G. Desrayaud, K. Hutinet, M. Rayati
LUMIX NOIR	LN-P1000533	2022-01-05		1056	Mobilier après lavage.	G. Desrayaud, K. Hutinet, M. Rayati
LUMIX NOIR	LN-P1000534	2022-01-05		1056	Mobilier après lavage.	G. Desrayaud, K. Hutinet, M. Rayati
LUMIX NOIR	LN-P1000535	2022-01-05		1056	Mobilier après lavage.	G. Desrayaud, K. Hutinet, M. Rayati
LUMIX NOIR	LN-P1000536	2022-01-05		1056	Mobilier après lavage.	G. Desrayaud, K. Hutinet, M. Rayati
LUMIX NOIR	LN-P1000537	2022-01-05		1056	Mobilier après lavage.	G. Desrayaud, K. Hutinet, M. Rayati
LUMIX NOIR	LN-P1000538	2022-01-05		1056	Mobilier après lavage.	G. Desrayaud, K. Hutinet, M. Rayati
LUMIX NOIR	LN-P1000539	2022-01-05		1056	Mobilier après lavage.	G. Desrayaud, K. Hutinet, M. Rayati
LUMIX NOIR	LN-P1000540	2022-01-05		1056	Mobilier après lavage.	G. Desrayaud, K. Hutinet, M. Rayati

Code	N° photo	date	vue de-puis	Hz / Us	Commentaire	auteur-s
LUMIX NOIR	LN-P1000542	2022-01-06		1056	Mobilier après lavage.	G. Desrayaud, K. Hutinet, M. Rayati
LUMIX NOIR	LN-P1000543	2022-01-06		1056	Mobilier après lavage.	G. Desrayaud, K. Hutinet, M. Rayati
LUMIX NOIR	LN-P1000544	2022-01-06		1056	Mobilier après lavage.	G. Desrayaud, K. Hutinet, M. Rayati
LUMIX NOIR	LN-P1000545	2022-01-06		1056	Mobilier après lavage.	G. Desrayaud, K. Hutinet, M. Rayati
LUMIX NOIR	LN-P1000547	2022-01-06		1056	Mobilier après lavage.	G. Desrayaud, K. Hutinet, M. Rayati
LUMIX NOIR	LN-P1000548	2022-01-06		1056	Mobilier après lavage.	G. Desrayaud, K. Hutinet, M. Rayati
LUMIX NOIR	LN-P1000550	2022-01-06		1056	Mobilier après lavage.	G. Desrayaud, K. Hutinet, M. Rayati
LUMIX NOIR	LN-P1000551	2022-01-06		1056	Mobilier après lavage.	G. Desrayaud, K. Hutinet, M. Rayati
LUMIX NOIR	LN-P1000552	2022-01-06		1056	Mobilier après lavage.	G. Desrayaud, K. Hutinet, M. Rayati
LUMIX NOIR	LN-P1000553	2022-01-06		1056	Mobilier après lavage.	G. Desrayaud, K. Hutinet, M. Rayati
LUMIX NOIR	LN-P1000554	2022-01-06		1056	Mobilier après lavage.	G. Desrayaud, K. Hutinet, M. Rayati
LUMIX NOIR	LN-P1000555	2022-01-06		1056	Mobilier après lavage.	G. Desrayaud, K. Hutinet, M. Rayati
LUMIX NOIR	LN-P1000556	2022-01-06		1001, 1004	Mobilier après lavage.	G. Desrayaud, K. Hutinet, M. Rayati
LUMIX NOIR	LN-P1000557	2022-01-06		1004, 1005, 1006, 1011, 1013	Mobilier après lavage.	G. Desrayaud, K. Hutinet, M. Rayati
LUMIX NOIR	LN-P1000558	2022-01-06		1021, 1022	Mobilier après lavage.	G. Desrayaud, K. Hutinet, M. Rayati
LUMIX NOIR	LN-P1000559	2022-01-06		1026, 1027, 1029, 1032	Mobilier après lavage.	G. Desrayaud, K. Hutinet, M. Rayati
LUMIX NOIR	LN-P1000560	2022-01-06		1035, 1037, 1038, 1045	Mobilier après lavage.	G. Desrayaud, K. Hutinet, M. Rayati
LUMIX NOIR	LN-P1000561	2022-01-06		1052, 1054	Mobilier après lavage.	G. Desrayaud, K. Hutinet, M. Rayati
LUMIX NOIR	LN-P1000563	2022-01-06		1063	Mobilier après lavage.	G. Desrayaud, K. Hutinet, M. Rayati
LUMIX NOIR	LN-P1000564	2022-01-06		1079	Mobilier après lavage.	G. Desrayaud, K. Hutinet, M. Rayati
LUMIX NOIR	LN-P1000565	2022-01-06		1079	Mobilier après lavage.	G. Desrayaud, K. Hutinet, M. Rayati
LUMIX NOIR	LN-P1000566	2022-01-06		1079	Mobilier après lavage.	G. Desrayaud, K. Hutinet, M. Rayati
LUMIX NOIR	LN-P1000567	2022-01-06		1120	Mobilier après lavage.	G. Desrayaud, K. Hutinet, M. Rayati
LUMIX NOIR	LN-P1000568	2022-01-06		1001, 1004, 1005, 1013	Mobilier après lavage.	G. Desrayaud, K. Hutinet, M. Rayati
LUMIX NOIR	LN-P1000569	2022-01-06		1019, 1045	Mobilier après lavage.	G. Desrayaud, K. Hutinet, M. Rayati
LUMIX NOIR	LN-P1000570	2022-01-06		1012	Mobilier après lavage.	G. Desrayaud, K. Hutinet, M. Rayati
LUMIX NOIR	LN-P1000571	2022-01-06		1029, 1037, 1038, 1082	Mobilier après lavage.	G. Desrayaud, K. Hutinet, M. Rayati
LUMIX NOIR	LN-P1000572	2022-01-06		1040	Mobilier après lavage.	G. Desrayaud, K. Hutinet, M. Rayati
LUMIX NOIR	LN-P1000573	2022-01-06		1022	Mobilier après lavage.	G. Desrayaud, K. Hutinet, M. Rayati
LUMIX NOIR	LN-P1000574	2022-01-06		1054	Mobilier après lavage.	G. Desrayaud, K. Hutinet, M. Rayati
LUMIX NOIR	LN-P1000575	2022-01-06		1057	Mobilier après lavage.	G. Desrayaud, K. Hutinet, M. Rayati
LUMIX NOIR	LN-P1000576	2022-01-06		1071, 1073	Mobilier après lavage.	G. Desrayaud, K. Hutinet, M. Rayati
LUMIX NOIR	LN-P1000577	2022-01-06		1079	Mobilier après lavage.	G. Desrayaud, K. Hutinet, M. Rayati

Code	N° photo	date	vue de-puis	Hz / Us	Commentaire	auteur-s
LUMIX NOIR	LN-P1000578	2022-01-06		1079	Mobilier après lavage.	G. Desrayaud, K. Hutinet, M. Rayati
LUMIX NOIR	LN-P1000579	2022-01-06		1093	Mobilier après lavage.	G. Desrayaud, K. Hutinet, M. Rayati
LUMIX NOIR	LN-P1000580	2022-01-06		1105, 1109, 1110, 1116, 1123, 1125, 1518	Mobilier après lavage.	G. Desrayaud, K. Hutinet, M. Rayati
LUMIX NOIR	LN-P1000581	2022-01-07		1247	Faune 1247 avant lavage.	Mohammad Rayati
LUMIX NOIR	LN-P1000582	2022-01-07		1247	Faune 1247 avant lavage.	Mohammad Rayati
LUMIX NOIR	LN-P1000583	2022-01-07		1247	Faune 1247 avant lavage.	Mohammad Rayati
LUMIX NOIR	LN-P1000584	2022-01-07		1247	Faune 1247 avant lavage.	Mohammad Rayati
LUMIX NOIR	LN-P1000585	2022-01-07		1247	Faune 1247 avant lavage.	Mohammad Rayati
LUMIX NOIR	LN-P1000586	2022-01-07		1247	Faune 1247 avant lavage.	Mohammad Rayati
LUMIX NOIR	LN-P1000588	2022-01-07		1247	Faune 1247 avant lavage.	Céline Le Goff
LUMIX NOIR	LN-P1000589	2022-01-07		1247	Faune 1247 avant lavage.	Céline Le Goff
LUMIX NOIR	LN-P1000590	2022-01-07		1247	Faune 1247 avant lavage.	Céline Le Goff
LUMIX NOIR	LN-P1000591	2022-01-07		1247	Faune 1247 avant lavage.	Céline Le Goff
LUMIX NOIR	LN-P1000592	2022-01-07		1247	Faune 1247 avant lavage.	Céline Le Goff
LUMIX NOIR	LN-P1000593	2022-01-07		1247	Faune 1247 avant lavage.	Céline Le Goff
LUMIX NOIR	LN-P1000594	2022-01-10		1123, 1124, 1518	Mobilier après lavage.	G. Desrayaud, K. Hutinet, M. Rayati
LUMIX NOIR	LN-P1000595	2022-01-10		1148, 1176, 1186, 1187, 1198	Mobilier après lavage.	G. Desrayaud, K. Hutinet, M. Rayati
LUMIX NOIR	LN-P1000596	2022-01-10		1179, 1297	Mobilier après lavage.	G. Desrayaud, K. Hutinet, M. Rayati
LUMIX NOIR	LN-P1000597	2022-01-10		1179, 1297	Mobilier après lavage.	G. Desrayaud, K. Hutinet, M. Rayati
LUMIX NOIR	LN-P1000598	2022-01-10		1179	Mobilier après lavage.	G. Desrayaud, K. Hutinet, M. Rayati
LUMIX NOIR	LN-P1000599	2022-01-10		1179	Mobilier après lavage.	G. Desrayaud, K. Hutinet, M. Rayati
LUMIX NOIR	LN-P1000600	2022-01-10		1179	Mobilier après lavage.	G. Desrayaud, K. Hutinet, M. Rayati
LUMIX NOIR	LN-P1000601	2022-01-10		1179	Mobilier après lavage.	G. Desrayaud, K. Hutinet, M. Rayati
LUMIX NOIR	LN-P1000602	2022-01-10		1203, 1248	Mobilier après lavage.	G. Desrayaud, K. Hutinet, M. Rayati
LUMIX NOIR	LN-P1000603	2022-01-10		1071, 1073, 1093, 1241	Mobilier après lavage.	G. Desrayaud, K. Hutinet, M. Rayati
LUMIX NOIR	LN-P1000604	2022-01-10		1116, 1120, 1125, 1246	Mobilier après lavage.	G. Desrayaud, K. Hutinet, M. Rayati
LUMIX NOIR	LN-P1000605	2022-01-10		1104, 1105	Mobilier après lavage.	G. Desrayaud, K. Hutinet, M. Rayati
LUMIX NOIR	LN-P1000606	2022-01-10		1127, 1129	Mobilier après lavage.	G. Desrayaud, K. Hutinet, M. Rayati
LUMIX NOIR	LN-P1000607	2022-01-10		1132, 1140, 1140	Mobilier après lavage.	G. Desrayaud, K. Hutinet, M. Rayati
LUMIX NOIR	LN-P1000608	2022-01-10		1143, 1146, 1147, 1151	Mobilier après lavage.	G. Desrayaud, K. Hutinet, M. Rayati
LUMIX NOIR	LN-P1000609	2022-01-10		1157, 1159, 1161, 1162	Mobilier après lavage.	G. Desrayaud, K. Hutinet, M. Rayati
LUMIX NOIR	LN-P1000610	2022-01-10		1165, 1172, 1172, 1181	Mobilier après lavage.	G. Desrayaud, K. Hutinet, M. Rayati
LUMIX NOIR	LN-P1000611	2022-01-10		1183, 1184	Mobilier après lavage.	G. Desrayaud, K. Hutinet, M. Rayati
LUMIX NOIR	LN-P1000612	2022-01-10		1190, 1191, 1192, 1194, 1197, 1200	Mobilier après lavage.	G. Desrayaud, K. Hutinet, M. Rayati
LUMIX NOIR	LN-P1000613	2022-01-10		1201, 1206, 1208	Mobilier après lavage.	G. Desrayaud, K. Hutinet, M. Rayati
LUMIX NOIR	LN-P1000614	2022-01-10		1212, 1229, 1232	Mobilier après lavage.	G. Desrayaud, K. Hutinet, M. Rayati
LUMIX NOIR	LN-P1000615	2022-01-10		1233	Mobilier après lavage.	G. Desrayaud, K. Hutinet, M. Rayati

Code	N° photo	date	vue de-puis	Hz / Us	Commentaire	auteur-s
LUMIX NOIR	LN-P1000616	2022-01-10		1236, 1239, 1242, 1243, 1259, 1267	Mobilier après lavage.	G. Desrayaud, K. Hutinet, M. Rayati
LUMIX NOIR	LN-P1000618	2022-01-10		1057	Mobilier après lavage.	G. Desrayaud, K. Hutinet, M. Rayati
LUMIX NOIR	LN-P1000619	2022-01-10		1216, 1219, 1220, 1221, 1222, 1224, 1225, 1226, 1275	Mobilier après lavage.	G. Desrayaud, K. Hutinet, M. Rayati
LUMIX NOIR	LN-P1000621	2022-01-10		1067, 1080, 1081, 1082, 1088, 1292	Mobilier après lavage.	G. Desrayaud, K. Hutinet, M. Rayati
LUMIX NOIR	LN-P1000622	2022-01-10		1019, 1061, 1110, 1162, 1185, 1198	Mobilier après lavage.	G. Desrayaud, K. Hutinet, M. Rayati
LUMIX NOIR	LN-P1000624	2022-01-10		1120	Mobilier après lavage.	G. Desrayaud, K. Hutinet, M. Rayati
LUMIX NOIR	LN-P1000626	2022-01-11		1179, 1248	Mobilier après lavage.	G. Desrayaud, K. Hutinet, M. Rayati
LUMIX NOIR	LN-P1000627	2022-01-11		1203, 1204	Mobilier après lavage.	G. Desrayaud, K. Hutinet, M. Rayati
LUMIX NOIR	LN-P1000630	2022-01-11		1117, 1518	Mobilier après lavage.	G. Desrayaud, K. Hutinet, M. Rayati
LUMIX NOIR	LN-P1000631	2022-01-11		1008, 1016, 1033, 1072, 1110, 1119, 1175, 1177	Mobilier après lavage.	G. Desrayaud, K. Hutinet, M. Rayati
LUMIX NOIR	LN-P1000632	2022-01-11		1080, 1109, 1174, 1248, 1298	Mobilier après lavage.	G. Desrayaud, K. Hutinet, M. Rayati
LUMIX NOIR	LN-P1000633	2022-01-11		1132, 1140, 1142, 1144	Mobilier après lavage.	G. Desrayaud, K. Hutinet, M. Rayati
LUMIX NOIR	LN-P1000634	2022-01-11		1147, 1148, 1151, 1162	Mobilier après lavage.	G. Desrayaud, K. Hutinet, M. Rayati
LUMIX NOIR	LN-P1000635	2022-01-11		1165, 1175, 1176, 1177, 1178, 1180	Mobilier après lavage.	G. Desrayaud, K. Hutinet, M. Rayati
LUMIX NOIR	LN-P1000636	2022-01-11		1181, 1186, 1200, 1206, 1233, 1239	Mobilier après lavage.	G. Desrayaud, K. Hutinet, M. Rayati
LUMIX NOIR	LN-P1000637	2022-01-11		1241, 1242, 1243	Mobilier après lavage.	G. Desrayaud, K. Hutinet, M. Rayati
LUMIX NOIR	LN-P1000638	2022-01-11		1247	Mobilier après lavage.	G. Desrayaud, K. Hutinet, M. Rayati
LUMIX NOIR	LN-P1000639	2022-01-11		1247	Mobilier après lavage.	G. Desrayaud, K. Hutinet, M. Rayati
LUMIX NOIR	LN-P1000640	2022-01-11		1247	Mobilier après lavage.	G. Desrayaud, K. Hutinet, M. Rayati
LUMIX NOIR	LN-P1000641	2022-01-11		1247	Mobilier après lavage.	G. Desrayaud, K. Hutinet, M. Rayati
LUMIX NOIR	LN-P1000642	2022-01-11		1270, 1302, 1372, 1381	Mobilier après lavage.	G. Desrayaud, K. Hutinet, M. Rayati
LUMIX NOIR	LN-P1000644	2022-01-11		1381, 1392, 1521	Mobilier après lavage.	G. Desrayaud, K. Hutinet, M. Rayati
LUMIX NOIR	LN-P1000645	2022-01-11		1526	Mobilier après lavage.	G. Desrayaud, K. Hutinet, M. Rayati
LUMIX NOIR	LN-P1000646	2022-01-11		1028, 1527	Mobilier après lavage.	G. Desrayaud, K. Hutinet, M. Rayati
LUMIX NOIR	LN-P1000647	2022-01-11		1120	Mobilier après lavage.	G. Desrayaud, K. Hutinet, M. Rayati
LUMIX NOIR	LN-P1000648	2022-01-11		1505	Mobilier après lavage.	G. Desrayaud, K. Hutinet, M. Rayati
LUMIX NOIR	LN-P1000649	2022-01-11		1166, 1171, 1180, 1207, 1381	Mobilier après lavage.	G. Desrayaud, K. Hutinet, M. Rayati
LUMIX NOIR	LN-P1000650	2022-01-11		1064, 1131, 1247, 1256, 1325	Mobilier après lavage.	G. Desrayaud, K. Hutinet, M. Rayati
LUMIX NOIR	LN-P1000651	2022-01-11		1307, 1356, 1363, 1501	Mobilier après lavage.	G. Desrayaud, K. Hutinet, M. Rayati
LUMIX NOIR	LN-P1000652	2022-01-11		1303, 1518	Mobilier après lavage.	G. Desrayaud, K. Hutinet, M. Rayati
LUMIX NOIR	LN-P1000653	2022-01-11		1120, 1272, 1384	Mobilier après lavage.	G. Desrayaud, K. Hutinet, M. Rayati
LUMIX NOIR	LN-P1000654	2022-01-12		1247	1247, frag. crâne + frag. mandibule pour envoi C14.	Gilles Desrayaud

Code	N° photo	date	vue de-puis	Hz / Us	Commentaire	auteur-s
LUMIX NOIR	LN-P1000655	2022-01-12		1248, 1381	Mobilier après lavage.	G. Desrayaud, K. Hutinet, M. Rayati
LUMIX NOIR	LN-P1000656	2022-01-12		1392, 1501, 1505, 1520, 1521	Mobilier après lavage.	G. Desrayaud, K. Hutinet, M. Rayati
LUMIX NOIR	LN-P1000657	2022-01-12		1028	Mobilier après lavage.	G. Desrayaud, K. Hutinet, M. Rayati
LUMIX NOIR	LN-P1000658	2022-01-12		1028	Mobilier après lavage.	G. Desrayaud, K. Hutinet, M. Rayati
LUMIX NOIR	LN-P1000659	2022-01-12		1028	Mobilier après lavage.	G. Desrayaud, K. Hutinet, M. Rayati
LUMIX NOIR	LN-P1000660	2022-01-12		1028	Mobilier après lavage.	G. Desrayaud, K. Hutinet, M. Rayati
LUMIX NOIR	LN-P1000661	2022-01-12		1028	Mobilier après lavage.	G. Desrayaud, K. Hutinet, M. Rayati
LUMIX NOIR	LN-P1000662	2022-01-12		1120, 1246, 1272	Faune, FS1120, partie Ouest : SD1246, 1272.	G. Desrayaud, K. Hutinet, M. Rayati
LUMIX NOIR	LN-P1000663	2022-01-12		1120, 1246, 1272	Faune, FS1120, partie Ouest : SD1246, 1272.	G. Desrayaud, K. Hutinet, M. Rayati
LUMIX NOIR	LN-P1000664	2022-01-12		1120, 1246, 1272	Faune, FS1120, partie Ouest : SD1246, 1272.	G. Desrayaud, K. Hutinet, M. Rayati
LUMIX NOIR	LN-P1000665	2022-01-12		1120	Faune, FS1120, partie Est : Lot 01	G. Desrayaud, K. Hutinet, M. Rayati
LUMIX NOIR	LN-P1000666	2022-01-12		1120	Faune, FS1120, partie Est : Lot 02	G. Desrayaud, K. Hutinet, M. Rayati
LUMIX NOIR	LN-P1000667	2022-01-12		1120	Faune, FS1120, partie Est : Lots 03 + 04	G. Desrayaud, K. Hutinet, M. Rayati
LUMIX NOIR	LN-P1000668	2022-01-12		1120	Faune, FS1120, partie Est : Lot 05	G. Desrayaud, K. Hutinet, M. Rayati
LUMIX NOIR	LN-P1000669	2022-01-12		1120	Faune, FS1120, partie Est : Lot 06	G. Desrayaud, K. Hutinet, M. Rayati
LUMIX NOIR	LN-P1000670	2022-01-12		1120	Faune, FS1120, partie Est : Lot 07	G. Desrayaud, K. Hutinet, M. Rayati
LUMIX NOIR	LN-P1000671	2022-01-12		1120	Faune, FS1120, partie Est : Lot 08	G. Desrayaud, K. Hutinet, M. Rayati
LUMIX NOIR	LN-P1000672	2022-01-12		1120	Faune, FS1120, partie Est : Lot 08	G. Desrayaud, K. Hutinet, M. Rayati
LUMIX NOIR	LN-P1000673	2022-01-12		1120	Faune, FS1120, partie Est : Lot 09	G. Desrayaud, K. Hutinet, M. Rayati
LUMIX NOIR	LN-P1000674	2022-01-12		1120	Faune, FS1120, partie Est : Lot 10 (sous Lot 08).	G. Desrayaud, K. Hutinet, M. Rayati
LUMIX NOIR	LN-P1000675	2022-01-12		1120	Faune, FS1120, partie Est : Lot 11	G. Desrayaud, K. Hutinet, M. Rayati
LUMIX NOIR	LN-P1000676	2022-01-12		1120	Faune, FS1120, partie Est : Lot 12	G. Desrayaud, K. Hutinet, M. Rayati
LUMIX NOIR	LN-P1000678	2022-01-12		1120	Faune, FS1120, partie Est / passe 03 et 1120-Us 01	G. Desrayaud, K. Hutinet, M. Rayati
LUMIX NOIR	LN-P1000679	2022-01-12		1120	Faune, FS1120, partie Est : os bougés.	G. Desrayaud, K. Hutinet, M. Rayati
LUMIX NOIR	LN-P1000680	2022-01-13		1069	Tuiles / TCA	G. Desrayaud, K. Hutinet, M. Rayati
LUMIX NOIR	LN-P1000681	2022-01-13			Tuiles / TCA : FOU1074 RAMassage	G. Desrayaud, K. Hutinet, M. Rayati
LUMIX NOIR	LN-P1000682	2022-01-13		1317	Tuiles / TCA	G. Desrayaud, K. Hutinet, M. Rayati
LUMIX NOIR	LN-P1000683	2022-01-13		1317	Tuiles / TCA	G. Desrayaud, K. Hutinet, M. Rayati
LUMIX NOIR	LN-P1000684	2022-01-13		1317	Tuiles / TCA	G. Desrayaud, K. Hutinet, M. Rayati
LUMIX NOIR	LN-P1000685	2022-01-13		1317	Tuiles / TCA	G. Desrayaud, K. Hutinet, M. Rayati
LUMIX NOIR	LN-P1000686	2022-01-13		1317	Tuiles / TCA	G. Desrayaud, K. Hutinet, M. Rayati
LUMIX NOIR	LN-P1000687	2022-01-13		1317	Tuiles / TCA	G. Desrayaud, K. Hutinet, M. Rayati
LUMIX NOIR	LN-P1000688	2022-01-13		1317	Tuiles / TCA	G. Desrayaud, K. Hutinet, M. Rayati

Code	N° photo	date	vue de-puis	Hz / Us	Commentaire	auteur-s
LUMIX NOIR	LN-P1000689	2022-01-13		1317	Tuiles / TCA	G. Desrayaud, K. Hutinet, M. Rayati
LUMIX NOIR	LN-P1000690	2022-01-13		1317	Tuiles / TCA	G. Desrayaud, K. Hutinet, M. Rayati
LUMIX NOIR	LN-P1000691	2022-01-13		1317	Tuiles / TCA	G. Desrayaud, K. Hutinet, M. Rayati
LUMIX NOIR	LN-P1000692	2022-01-13		1317	Tuiles / TCA	G. Desrayaud, K. Hutinet, M. Rayati
LUMIX NOIR	LN-P1000693	2022-01-13		1317	Tuiles / TCA	G. Desrayaud, K. Hutinet, M. Rayati
LUMIX NOIR	LN-P1000694	2022-01-13		1317	Tuiles / TCA	G. Desrayaud, K. Hutinet, M. Rayati
LUMIX NOIR	LN-P1000695	2022-01-13		1321	Tuiles / TCA : LN-P1000695 à LN-P1000717 = Us 1321 /FS1321 /FOU1074.	G. Desrayaud, K. Hutinet, M. Rayati
LUMIX NOIR	LN-P1000717	2022-01-14		1321	Tuiles / TCA : LN-P1000695 à LN-P1000717 = Us 1321 /FS1321 /FOU1074.	G. Desrayaud, K. Hutinet, M. Rayati
LUMIX NOIR	LN-P1000718	2022-01-14		1323	Tuiles / TCA	G. Desrayaud, K. Hutinet, M. Rayati
LUMIX NOIR	LN-P1000719	2022-01-14		1336	Tuiles / TCA	G. Desrayaud, K. Hutinet, M. Rayati
LUMIX NOIR	LN-P1000720	2022-01-14		1336	Tuiles / TCA	G. Desrayaud, K. Hutinet, M. Rayati
LUMIX NOIR	LN-P1000721	2022-01-14		1336	Tuiles / TCA	G. Desrayaud, K. Hutinet, M. Rayati
LUMIX NOIR	LN-P1000722	2022-01-14		1336	Tuiles / TCA	G. Desrayaud, K. Hutinet, M. Rayati
LUMIX NOIR	LN-P1000723	2022-01-14		1336	Tuiles / TCA	G. Desrayaud, K. Hutinet, M. Rayati
LUMIX NOIR	LN-P1000724	2022-01-14		1337	Tuiles / TCA	G. Desrayaud, K. Hutinet, M. Rayati
LUMIX NOIR	LN-P1000725	2022-01-14		1337	Tuiles / TCA	G. Desrayaud, K. Hutinet, M. Rayati
LUMIX NOIR	LN-P1000726	2022-01-14		1337	Tuiles / TCA	G. Desrayaud, K. Hutinet, M. Rayati
LUMIX NOIR	LN-P1000727	2022-01-14		1337	Tuiles / TCA	G. Desrayaud, K. Hutinet, M. Rayati
LUMIX NOIR	LN-P1000728	2022-01-14		1337	Tuiles / TCA	G. Desrayaud, K. Hutinet, M. Rayati
LUMIX NOIR	LN-P1000729	2022-01-14		1337	Tuiles / TCA	G. Desrayaud, K. Hutinet, M. Rayati
LUMIX NOIR	LN-P1000730	2022-01-14		1337	Tuiles / TCA	G. Desrayaud, K. Hutinet, M. Rayati
LUMIX NOIR	LN-P1000731	2022-01-14		1337	Tuiles / TCA	G. Desrayaud, K. Hutinet, M. Rayati
LUMIX NOIR	LN-P1000732	2022-01-14		1337	Tuiles / TCA	G. Desrayaud, K. Hutinet, M. Rayati
LUMIX NOIR	LN-P1000733	2022-01-14		1337	Tuiles / TCA	G. Desrayaud, K. Hutinet, M. Rayati
LUMIX NOIR	LN-P1000734	2022-01-14		1340	Tuiles / TCA : LN-P1000734 à LN-P1000746 = amas vitrifié de ratés de cuisson 1340 (environ 2/3 prélevés).	G. Desrayaud, K. Hutinet, M. Rayati
LUMIX NOIR	LN-P1000746	2022-01-14		1340	Tuiles / TCA : LN-P1000734 à LN-P1000746 = amas vitrifié de ratés de cuisson 1340 (environ 2/3 prélevés).	G. Desrayaud, K. Hutinet, M. Rayati
LUMIX NOIR	LN-P1000747	2022-01-17		1341	Tuiles / TCA	G. Desrayaud, K. Hutinet, M. Rayati
LUMIX NOIR	LN-P1000748	2022-01-17		1341	Tuiles / TCA	G. Desrayaud, K. Hutinet, M. Rayati
LUMIX NOIR	LN-P1000749	2022-01-17		1341	Tuiles / TCA	G. Desrayaud, K. Hutinet, M. Rayati
LUMIX NOIR	LN-P1000750	2022-01-17		1341	Tuiles / TCA	G. Desrayaud, K. Hutinet, M. Rayati
LUMIX NOIR	LN-P1000752	2022-01-17		1341	Tuiles / TCA	G. Desrayaud, K. Hutinet, M. Rayati
LUMIX NOIR	LN-P1000753	2022-01-17		1348	Tuiles / TCA	G. Desrayaud, K. Hutinet, M. Rayati
LUMIX NOIR	LN-P1000754	2022-01-17		1348	Tuiles / TCA	G. Desrayaud, K. Hutinet, M. Rayati

Code	N° photo	date	vue de-puis	Hz / Us	Commentaire	auteur-s
LUMIX NOIR	LN-P1000755	2022-01-17		1358	Tuiles / TCA	G. Desrayaud, K. Hutinet, M. Rayati
LUMIX NOIR	LN-P1000756	2022-01-17		1520	Tuiles / TCA	G. Desrayaud, K. Hutinet, M. Rayati
LUMIX NOIR	LN-P1000757	2022-01-17		1520	Tuiles / TCA	G. Desrayaud, K. Hutinet, M. Rayati
LUMIX NOIR	LN-P1000760	2022-01-17		1056	«Torchis», Us 1056-A : LNP1000760 à LNP1000819 = photos de détail (58 clichés)	Kevin Hutinet
LUMIX NOIR	LN-P1000819	2022-01-17		1056	«Torchis», Us 1056-A : LNP1000760 à LNP1000819 = photos de détail (58 clichés).	Kevin Hutinet
LUMIX NOIR	LN-P1000820	2022-01-18			Mobilier ferreux, détails : LNP1000820 à LNP1000880 (14 clichés).	Mohammad Rayati
LUMIX NOIR	LN-P1000880	2022-01-20			Mobilier ferreux, détails : LNP1000820 à LNP1000880 (14 clichés).	Mohammad Rayati
LUMIX NOIR	LN-P1000884	2022-01-20		1028, 1054, 1140, 1172	Mobilier «Pb, Cu» : détails	Mohammad Rayati
LUMIX NOIR	LN-P1000887	2022-01-20		1151, 1208, 1292, 1356	Mobilier «cuivreux» (Cu) : détails	Mohammad Rayati
LUMIX NOIR	LN-P1000896	2022-01-20		1057	«Polissoir / aiguiser» en grès 1/2	Mohammad Rayati
LUMIX NOIR	LN-P1000898	2022-01-20		1057	«Polissoir / aiguiser» en grès 2/2	Mohammad Rayati
LUMIX NOIR	LN-P1000899	2022-01-20		1057	«Lapidaire»	Mohammad Rayati
LUMIX NOIR	LN-P1000901	2022-01-20		1057	«Lapidaire»	Mohammad Rayati
LUMIX NOIR	LN-P1000904	2022-01-20		1225, 1226	Lithique taillé	Mohammad Rayati
LUMIX NOIR	LN-P1000905	2022-01-20		1225, 1226	Lithique taillé	Mohammad Rayati
LUMIX NOIR	LN-P1000908	2022-01-20		1162, 1275	Lithique taillé	Mohammad Rayati
LUMIX NOIR	LN-P1000909	2022-01-20		1162, 1275	Lithique taillé	Mohammad Rayati
LUMIX NOIR	LN-P1000910	2022-01-20		1056	Frag. de pierre à aiguiser.	Mohammad Rayati
LUMIX NOIR	LN-P1000914	2022-01-20		1040, 1071, 1079	Scories : détails.	Mohammad Rayati
LUMIX NOIR	LN-P1000915	2022-01-20		1151, 1159, 1356	Scories : détails.	Mohammad Rayati

4.6.3.6 Photographies : RT

Code	N° photo	date	vue de-puis	Hz / Us	Commentaire	auteur
RT	RT-P1180980	2021-10-06		divers	-RT-P1180980 à RT-P1190149 (169 clichés) : décapage le 06/10/2021, pour 3D / orthophoto. -10-F134120-19STLIE21-Metashape-3D/2021-10-06-DECAPAGE-REGIS-TOUQUET/OrthoGen_Décap	Régis Touquet
RT	RT-P1190051	2021-10-06		1436		Régis Touquet
RT	RT-P1190129	2021-10-06		1121, 1415		Régis Touquet
RT	RT-P1190130	2021-10-06		1121, 1415		Régis Touquet
RT	RT-P1190149	2021-10-06		divers	-RT-P1180980 à RT-P1190149 (169 clichés) : décapage le 06/10/2021, pour 3D / orthophoto. -10-F134120-19STLIE21-Metashape-3D/2021-10-06-DECAPAGE-REGIS-TOUQUET/OrthoGen_Décap	Régis Touquet

4.6.3.7 Photographies : KH

Code	N° photo	date	vue de-puis	Hz / Us	Commentaire	auteur
KH	KHDSC_1876	2021-10-28a		1120	-KHDSC_1876 à KHDSC_1947 (72 fichiers) : FS1120, faune sup., partie Est -10F134120-19STLIE21-Metashape-3D/Melun/2021-10-28-FS1120-partie-est-matin	Kevin Hutinet
KH	KHDSC_1947	2021-10-28a		1120	-KHDSC_1876 à KHDSC_1947 (72 fichiers) : FS1120, faune sup., partie Est -10F134120-19STLIE21-Metashape-3D/Melun/2021-10-28-FS1120-partie-est-matin	Kevin Hutinet
KH	KHDSC_1953	2021-10-28b		1120	-KHDSC_1876 à KHDSC_2021 (69 clichés) : FS1120, faune inf., partie Est -10F134120-19STLIE21-Metashape-3D/Melun/2021-10-28-FS1120-partie-est-midi	Kevin Hutinet
KH	KHDSC_2021	2021-10-28b		1120	-KHDSC_1876 à KHDSC_2021 (69 clichés) : FS1120, faune inf., partie Est -10F134120-19STLIE21-Metashape-3D/Melun/2021-10-28-FS1120-partie-est-midi	Kevin Hutinet
KH	KHDSC_2023	2021-11-04a		1211, 1267	-KHDSC_2023 à KHDSC_2213 (191 clichés) : CAV1211 et EX1267. -10F134120-19STLIE21-Metashape-3D/Melun/2021-11-04-Cave-1211	Kevin Hutinet
KH	KHDSC_2213	2021-11-04a		1211, 1267	-KHDSC_2023 à KHDSC_2213 (191 clichés) : CAV1211 et EX1267. -10F134120-19STLIE21-Metashape-3D/Melun/2021-11-04-Cave-1211	Kevin Hutinet
KH	KHDSC_2215	2021-11-04b		1074, 1320, 1321	-KHDSC_2215 à KHDSC_2377 (163 clichés) : FOU1074, premier nettoyage. -10F134120-19STLIE21-Metashape-3D/Melun/Four/Decapage	Kevin Hutinet
KH	KHDSC_2377	2021-11-04b		1074, 1320, 1321	-KHDSC_2215 à KHDSC_2377 (163 clichés) : FOU1074, premier nettoyage. -10F134120-19STLIE21-Metashape-3D/Melun/Four/Decapage	Kevin Hutinet
KH	KHDSC_2398	2021-11-10		1320, 1321	-KHDSC_2398 à KHDSC_2488 (90 clichés) : FOU1074, fouille en cours, partie Nord. -10F134120-19STLIE21-Metashape-3D/Melun/Four/101121	Kevin Hutinet
KH	KHDSC_2488	2021-11-10		1320, 1321	-KHDSC_2398 à KHDSC_2488 (90 clichés) : FOU1074, fouille en cours, partie Nord. -10F134120-19STLIE21-Metashape-3D/Melun/Four/101121	Kevin Hutinet
KH	KH_DSC2529	2021-11-19		1320, 1321	-KH_DSC2529 à KH_DSC2754 (226 clichés) : FOU1074, fouille en cours. -10F134120-19STLIE21-Metashape-3D/Melun/Four/191121	Kevin Hutinet
KH	KH_DSC2754	2021-11-19		1320, 1321	-KH_DSC2529 à KH_DSC2754 (226 clichés) : FOU1074, fouille en cours. -10F134120-19STLIE21-Metashape-3D/Melun/Four/191121	Kevin Hutinet
KH	KH_DSC2888	2021-11-25a		1074, 1320, 1321	-KH_DSC2888 à KH_DSC3221 (328 clichés) : FOU1074, fouille en cours. -10F134120-19STLIE21-Metashape-3D/Melun/Four/251121	Kevin Hutinet
KH	KH_DSC2899	2021-11-25a		1098, 1099, 1338		Kevin Hutinet
KH	KH_DSC3221	2021-11-25a		1074, 1320, 1321	-KH_DSC2888 à KH_DSC3221 (328 clichés) : FOU1074, fouille en cours. -10F134120-19STLIE21-Metashape-3D/Melun/Four/251121	Kevin Hutinet
KH	KH_DSC3223	2021-11-29		1074, 1320, 1321	-KH_DSC3223 à KH_DSC3504 (281 clichés) : FOU1074, fouille en cours. -10F134120-19STLIE21-Metashape-3D/Melun/Four/291121	Kevin Hutinet
KH	KH_DSC3243	2021-11-29		1074, 1431		Kevin Hutinet
KH	KH_DSC3360	2021-11-29		1340, 1341, 1511		Kevin Hutinet
KH	KH_DSC3362	2021-11-29		1074, 1431		Kevin Hutinet
KH	KH_DSC3399	2021-11-29		1341, 1511		Kevin Hutinet
KH	KH_DSC3445	2021-11-29		1340, 1341, 1511		Kevin Hutinet
KH	KH_DSC3481	2021-11-29		1340, 1341, 1511		Kevin Hutinet
KH	KH_DSC3504	2021-11-29		1074, 1320, 1321	-KH_DSC3223 à KH_DSC3504 (281 clichés) : FOU1074, fouille en cours. -10F134120-19STLIE21-Metashape-3D/Melun/Four/291121	Kevin Hutinet

Code	N° photo	date	vue de-puis	Hz / Us	Commentaire	auteur
KH	KH_DSC3506	2021-12-09		1380, 1381	-KH_DSC3506 à KH_DSC3623 (111 clichés) : CAV1380 / Puits 1381, fouille en cours. -10F134120-19STLIE21-Metashape-3D/Melun/2021-12-09-Cave 2-1380	Kevin Hutinet
KH	KH_DSC3623	2021-12-09		1380, 1381	-KH_DSC3506 à KH_DSC3623 (111 clichés) : CAV1380 / Puits 1381, fouille en cours. -10F134120-19STLIE21-Metashape-3D/Melun/2021-12-09-Cave 2-1380	Kevin Hutinet

4.6.3.8 Photographies : MY

Code	N° photo	date	Commentaire	auteur
MY	MY-1125-018	2021-11-25b	-MY-1125-018 à MY-1125-251 (49 clichés) : ambiance fouille	Myr Muratet(photographe indépendant)
MY	MY-1125-251	2021-11-25b	-MY-1125-018 à MY-1125-251 (49 clichés) : ambiance fouille	Myr Muratet(photographe indépendant)
MY	MY-1208-002-MM	2021-12-08	-MY-1208-002-MM à MY-1208-143-MM (39 clichés) : ambiance fouille.	Myr Muratet(photographe indépendant)
MY	MY-1208-143-MM	2021-12-08	-MY-1208-002-MM à MY-1208-143-MM (39 clichés) : ambiance fouille.	Myr Muratet(photographe indépendant)

4.6.3.9 Photographies : PR

Code	N° photo	date	vue de-puis	Hz / Us	Commentaire	auteur
PR	PR-DJL_0001	2021-11-25c			-PR-DJL_0001 à PR-DJL_0311 (225 clichés) : couverture aérienne par drone, fouille, four 1074 et contexte urbain. -10F134120-19STLIE21-Metashape-3D/Melun/Four/Drone251121	Pascal Raymond
PR	PR-DJL_0311	2021-11-25c			-PR-DJL_0001 à PR-DJL_0311 (225 clichés) : couverture aérienne par drone, fouille, four 1074 et contexte urbain. -10F134120-19STLIE21-Metashape-3D/Melun/Four/Drone251121	Pascal Raymond

4.6.4 Documents / fichiers numériques

4.6.4.1 Plan topographique (.dwg)

-2024-04-17-F134120-19STLIE21-PlanGen.dwg

4.6.4.2 Inventaires numériques (FileMaker Pro)

-F134120-19STLIE21-INVUs.fp7
-F134120-19STLIE21-photosbase.fp7
-F134120-19STLIE21-plancoupe.fp7

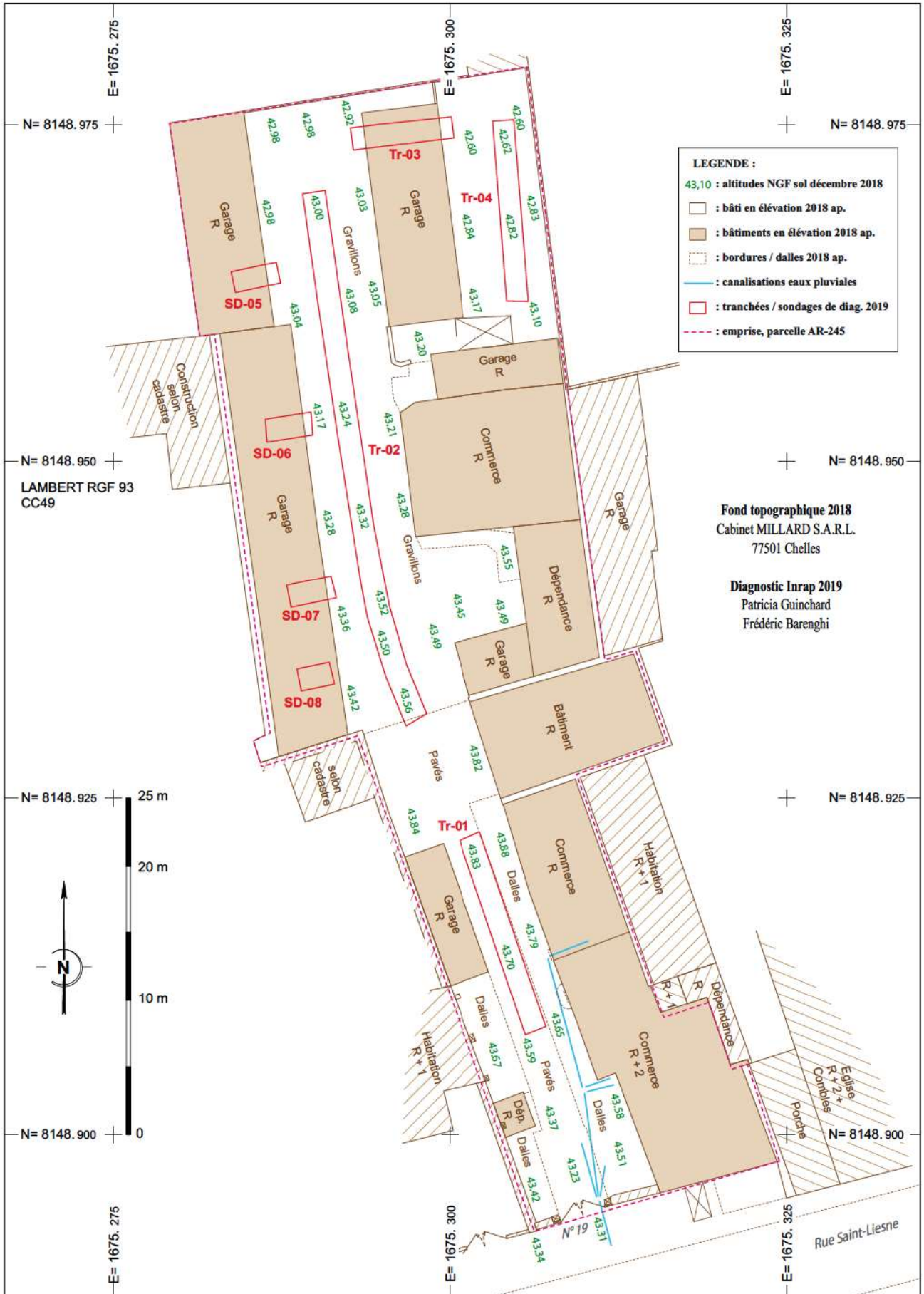
4.6.4.3 Modèles 3D (.psx / .psz)

date prise de vue	for-mat	dossier chemin	nom 3D	auteur	sujet
2021-09-24	.psz	10F134120-19STLIE21-Metashape-3D/ Melun/	2021-09-24-Decapage Nord.psz	K. Hutinet	Nord du décapage
2021-10-06	.psx	10F134120-19STLIE21-Metashape-3D/ 2021-10-06-DECAPAGE-REGIS-TOUQUET/ OrthoGen_Décap/	2021F_MELUN_Decap1.psx	R. Touquet	Décapage
2021-10-20	.psz	10F134120-19STLIE21-Metashape-3D/ Melun/	2021-10-20-FS1120 PARTIE OUEST 01.psz	K. Hutinet	faune, Ouest EX1120
2021-10-21	.psz	10F134120-19STLIE21-Metashape-3D/ Melun/	2021-10-21-FS1120 PARTIE OUEST 02.psz	K. Hutinet	faune, Ouest EX1120
2021-10-28	.psz	10F134120-19STLIE21-Metashape-3D/ Melun/	2021-10-30-FS1120-partieEst-faune.psz	K. Hutinet	faune, Est EX1120

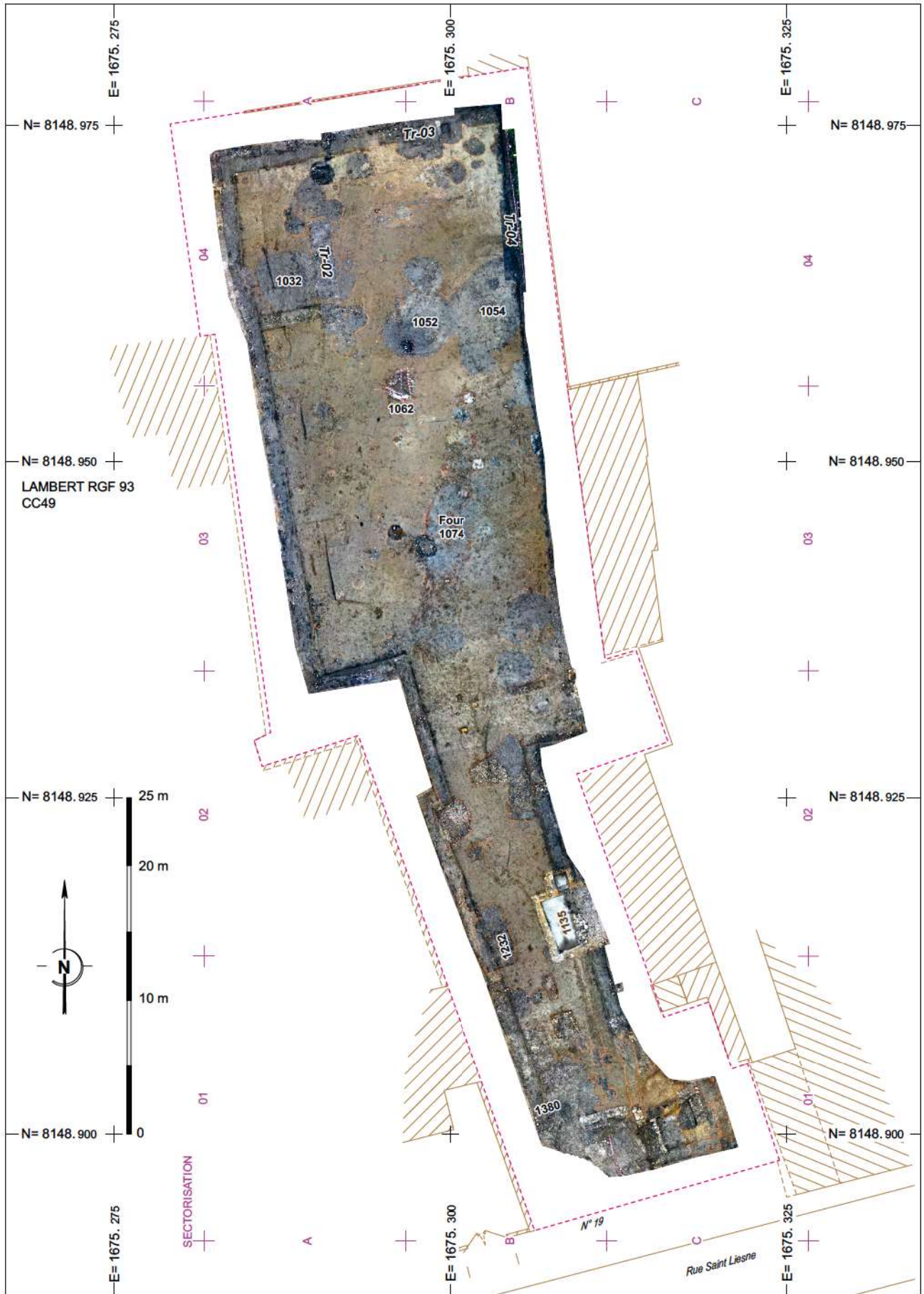
date prise de vue	for-mat	dossier chemin	nom 3D	auteur	sujet	
2021-11-04a	.psx		melun.psx	K. Hutinet	Cave 1211	
2021-11-04b					Four de tuilier 1074	
2021-11-10						
2021-11-19		10F134120-19STLIE21-Metashape-3D/				
2021-11-25a		Melun/				
2021-11-25c						Drone, four
2021-11-29						Four 1074
2021-12-09						Cave 1380
2021-11-24	.psz	10F134120-19STLIE21-Metashape-3D/ Melun/	2021-11-24-FS1028.psz	K. Hutinet	Faune 1028	

v. **Planches illustrées**

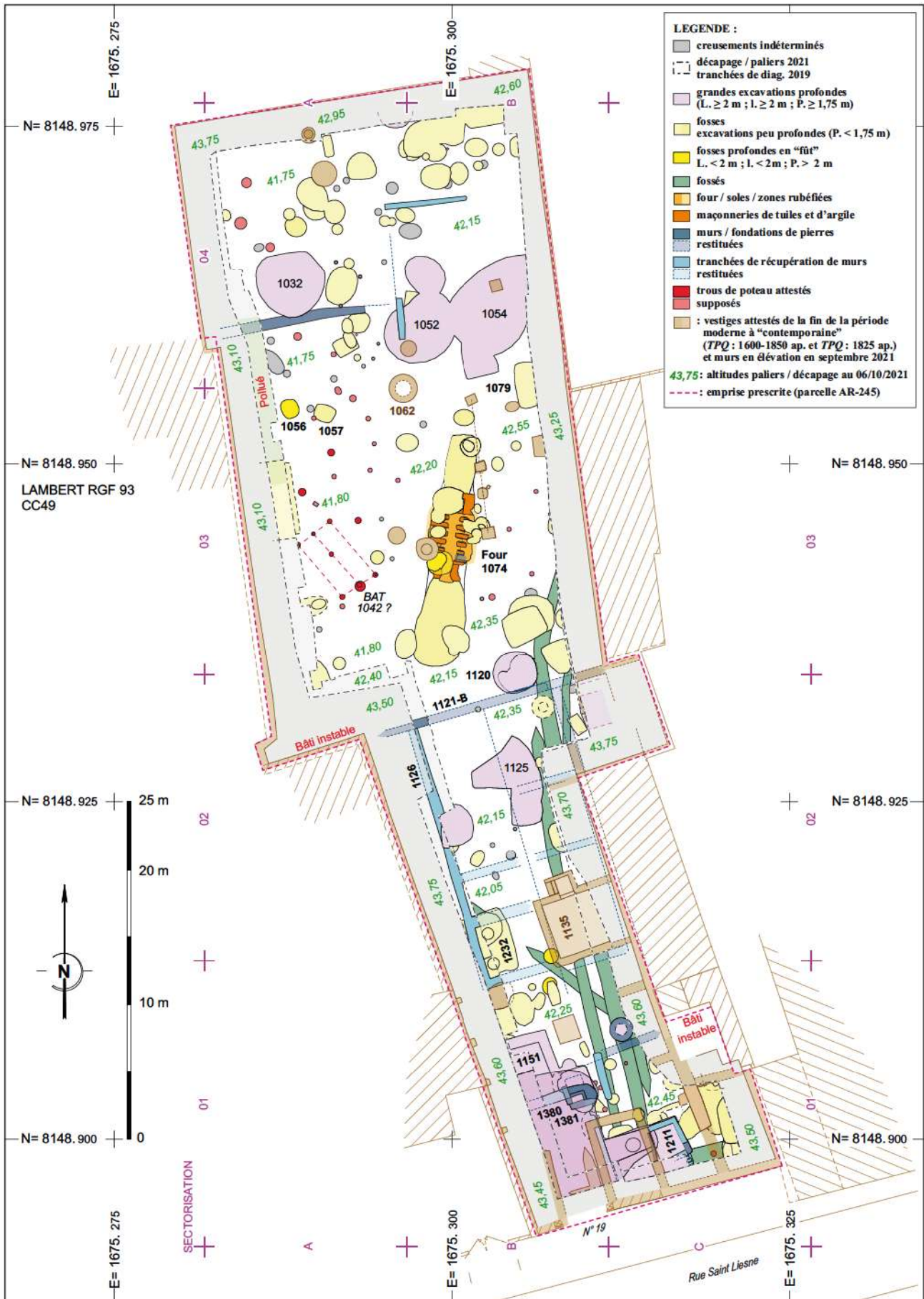
Plans généraux



PI. 001 Melun, 19 rue Saint-Liesne. Plan de masse de décembre 2018, avec localisation (corrigée) des tranchées et sondages de diagnostic archéologique de novembre 2019 © Cabinet Millard 2018-2019 ; © Inrap : P. Guinchard, F. Barenghi 2019-2020 / G Desrayaud 2024



PI. 002 Melun, 19 rue Saint-Liesne. Plan orthophotogrammétrique du décapage le 06 octobre 2021 © Inrap : R. Touquet

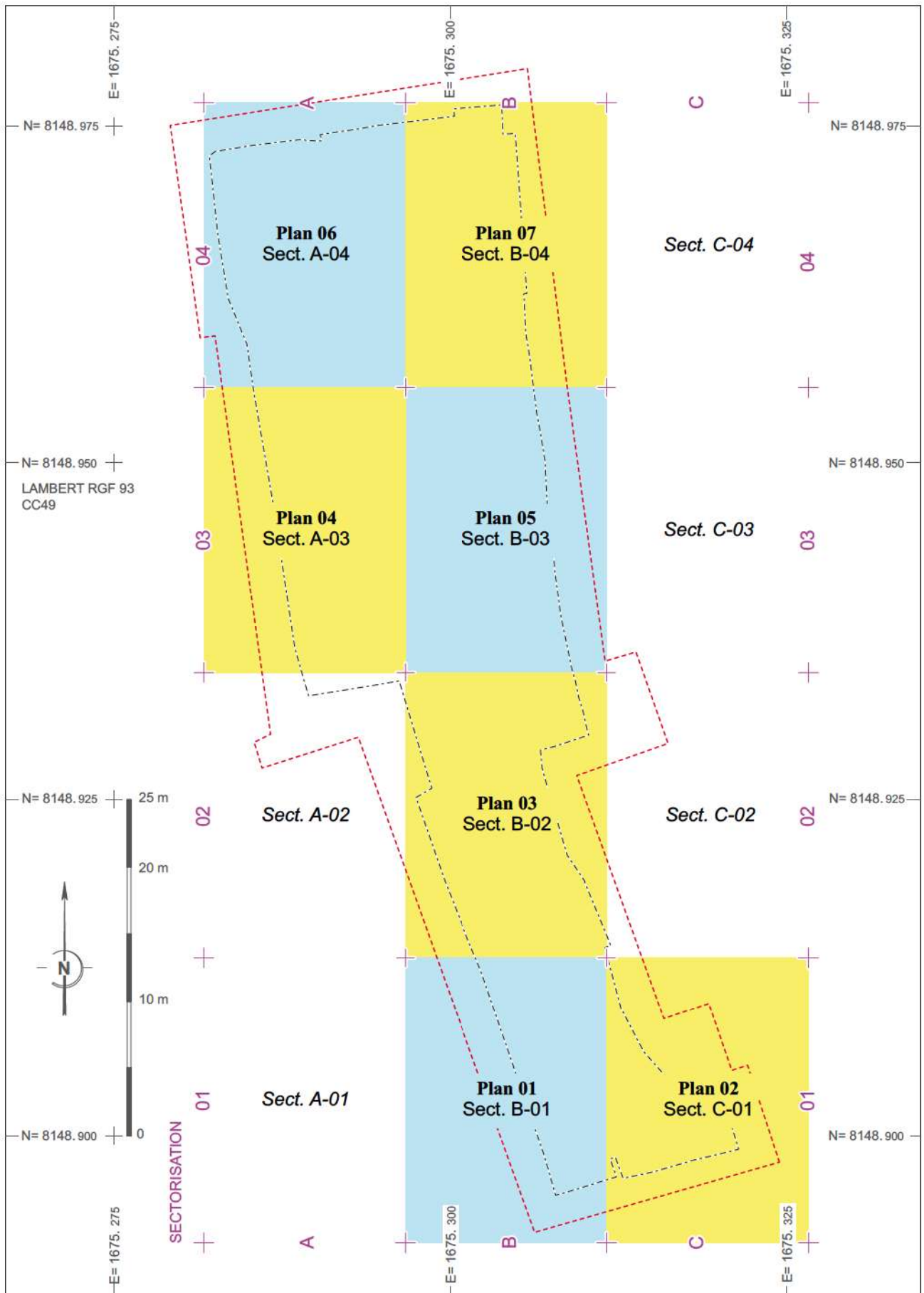


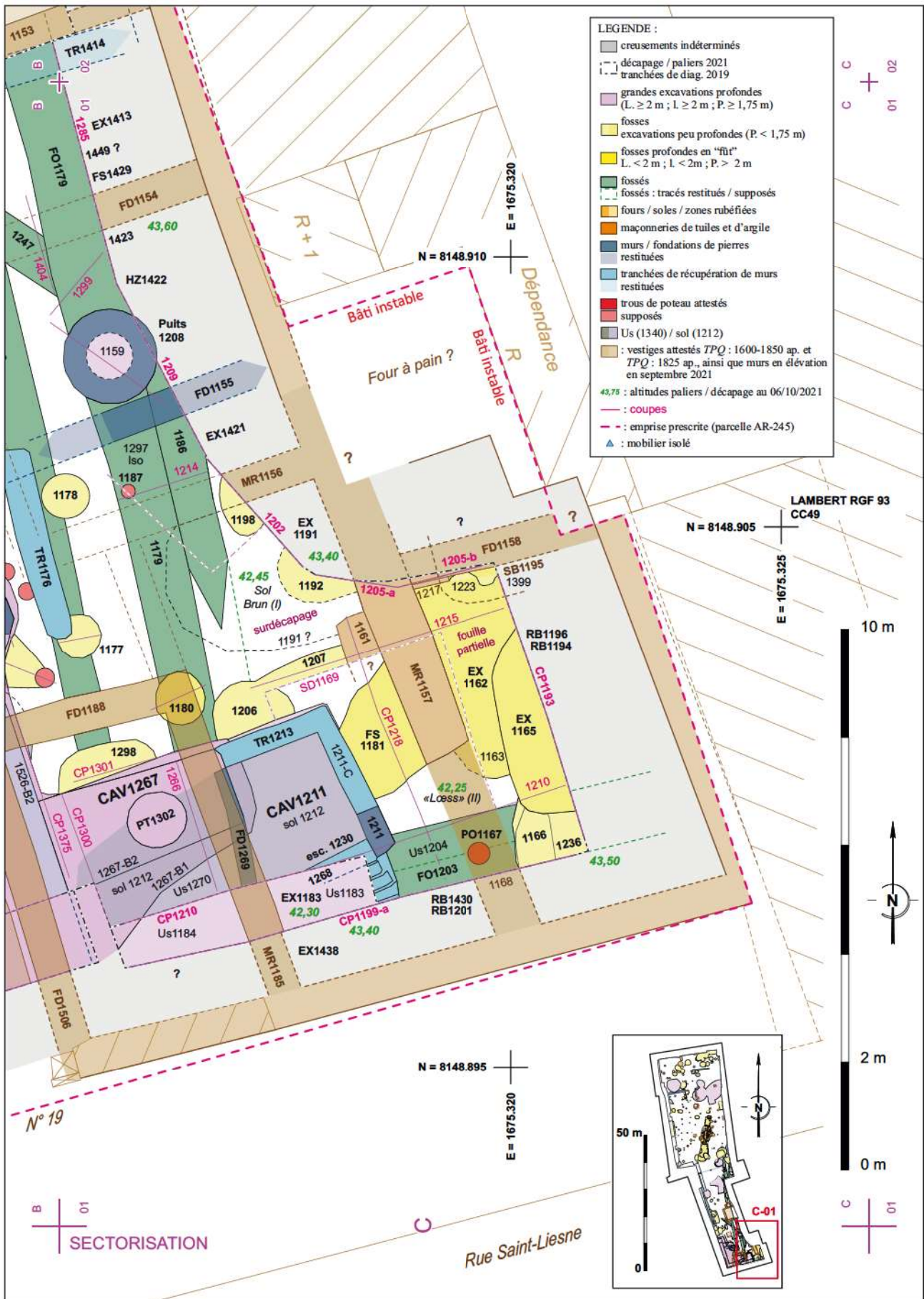
PI. 003 Melun, 19 rue Saint-Liesne, fouille 2021, plan général des vestiges © Inrap : G. Desrayaud, R. Touquet, M. Ferrari



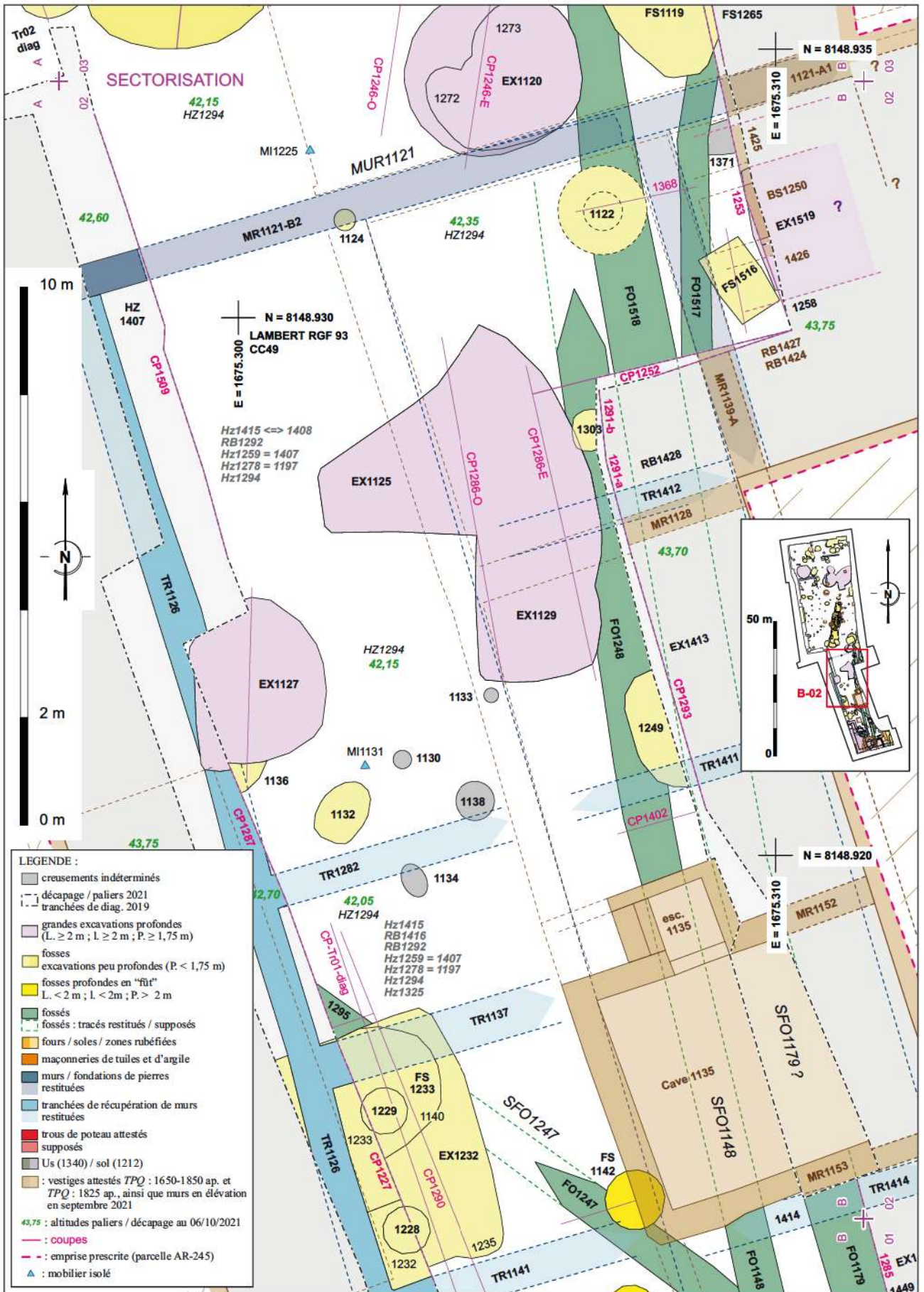
Pl. 004 Melun, 19 rue Saint-Liesne. Photographie aérienne (drone) de la fouille le 25 novembre 2021 © Inrap : P. Raymond

Plans de détail par secteur

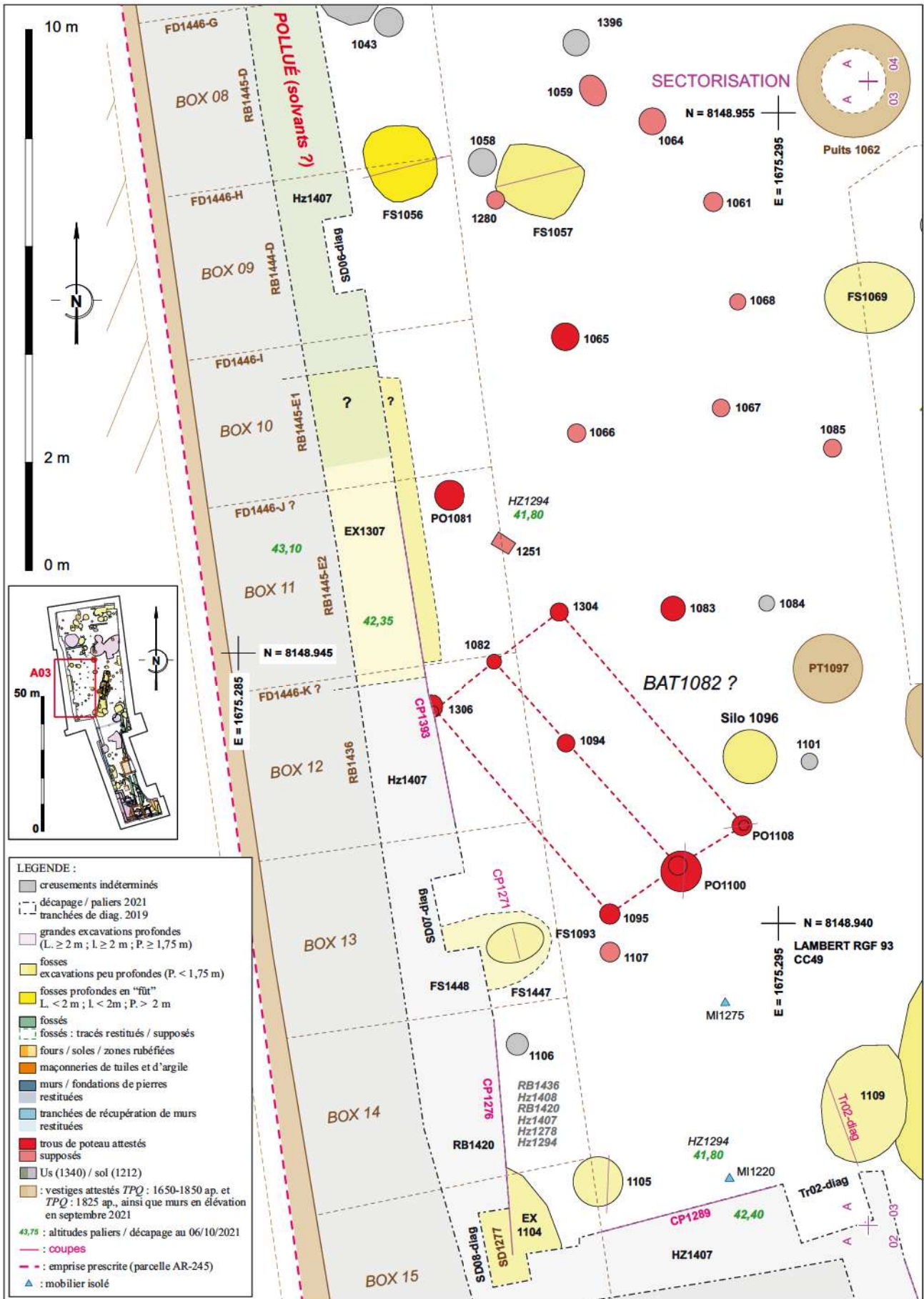




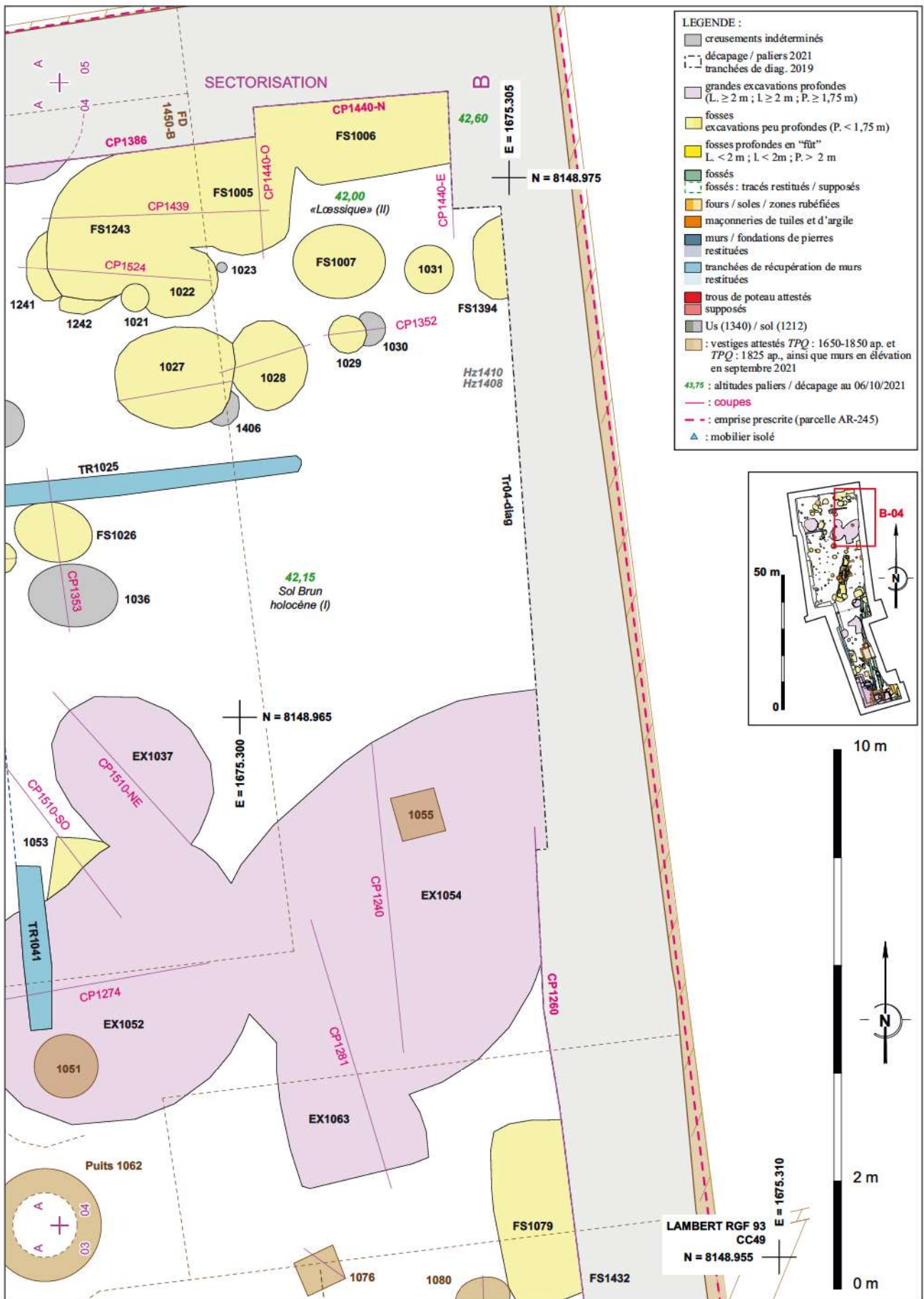
PI. 007 Melun, 19 rue Saint-Liesne, fouille 2021, Secteur C-01 / plan de détail 02 sur 07 © Inrap : G. Desrayaud, R. Touquet



Pl. 008 Melun, 19 rue Saint-Liesne, fouille 2021, Secteur B-02 / plan de détail 03 sur 07 © Inrap : G. Desrayaud, R. Touquet

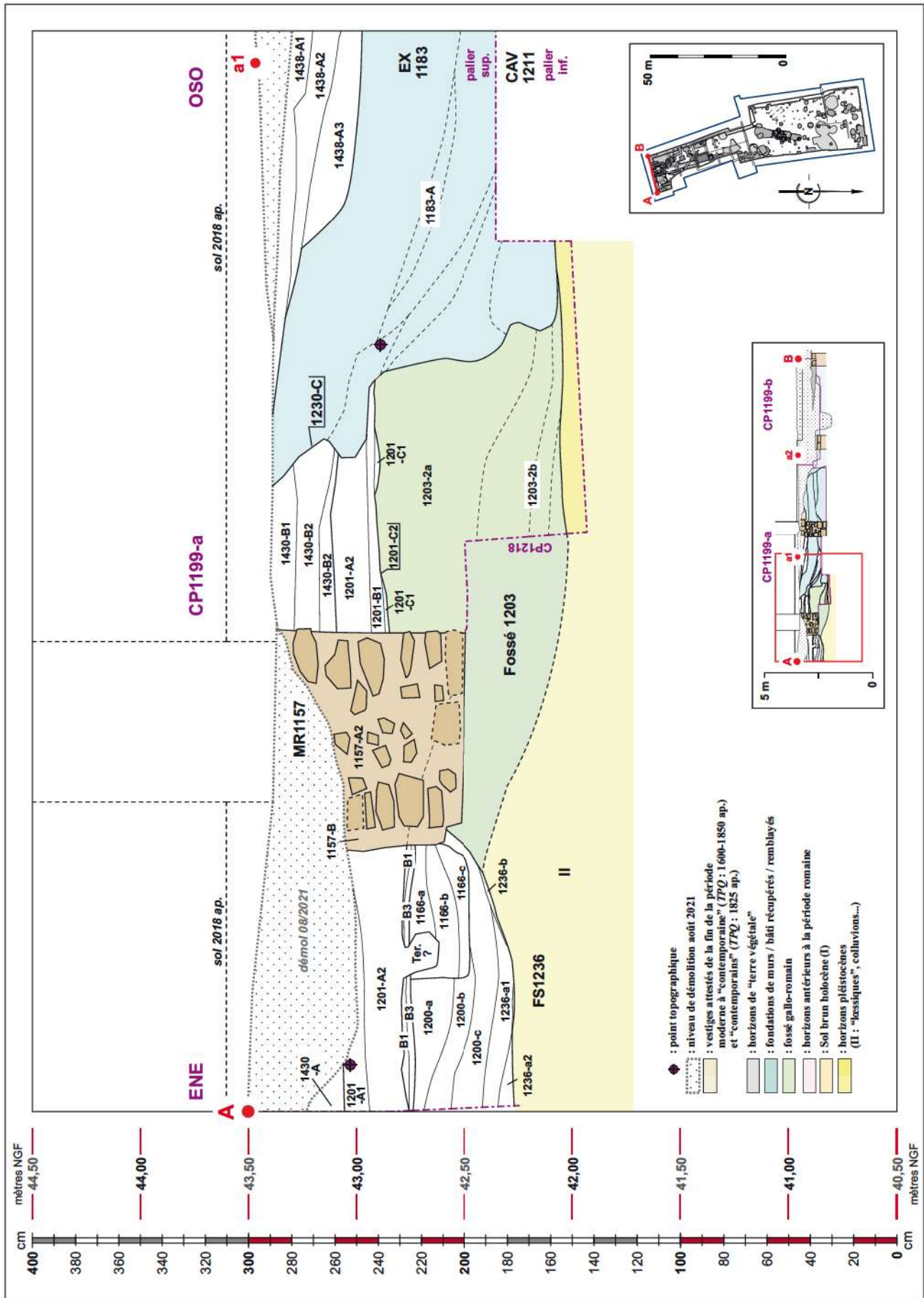


PI. 009 Melun, 19 rue Saint-Liesne, fouille 2021, Secteur A-03 / plan de détail 04 sur 07 © Inrap : G. Desrayaud, R. Touquet



PI. 012 Melun, 19 rue Saint-Liesne, fouille 2021, Secteur B-04 / plan de détail 07 sur 07 © Inrap : G. Desrayaud, R. Touquet

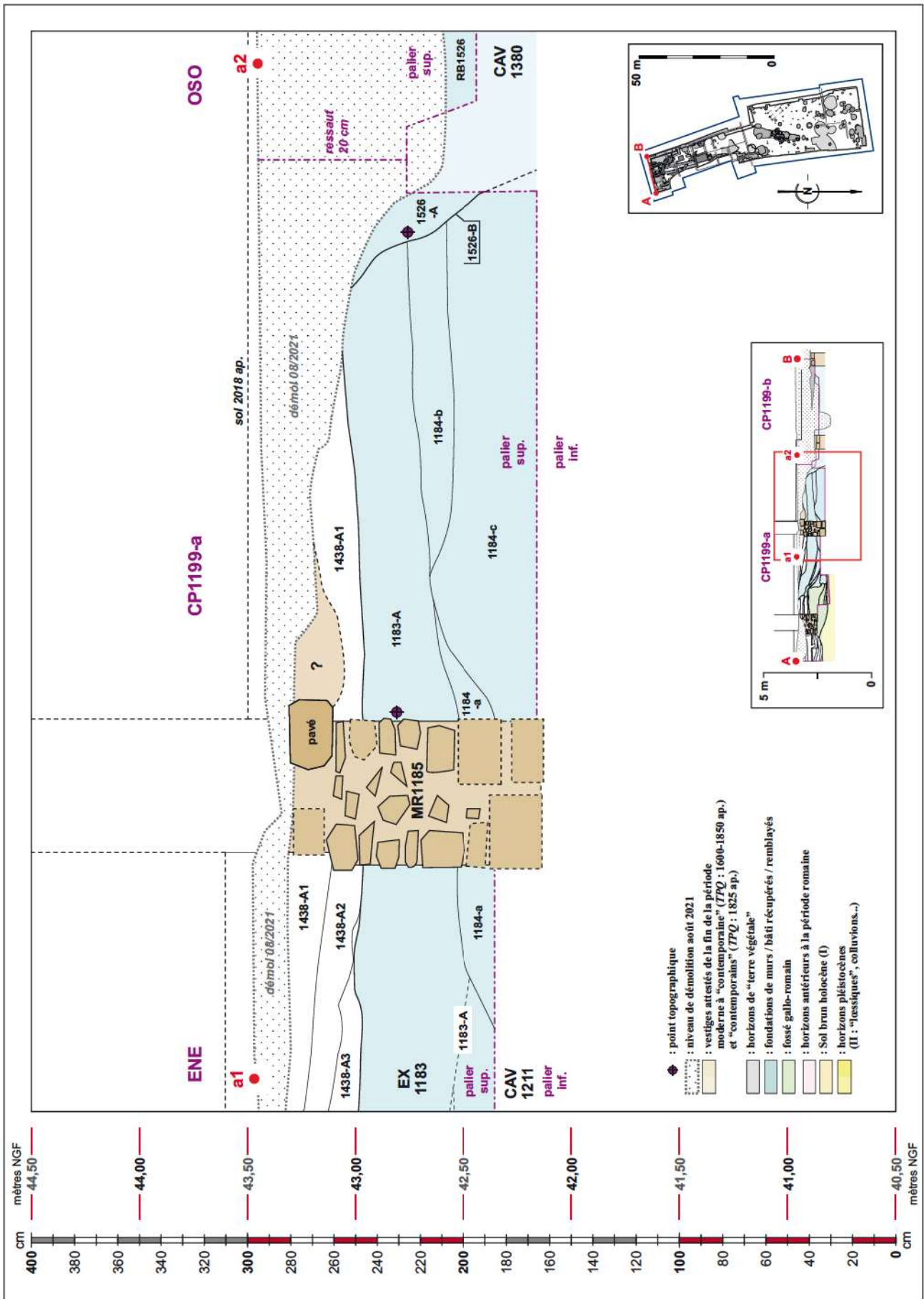
Coupes stratigraphiques de référence - Coupe A-B



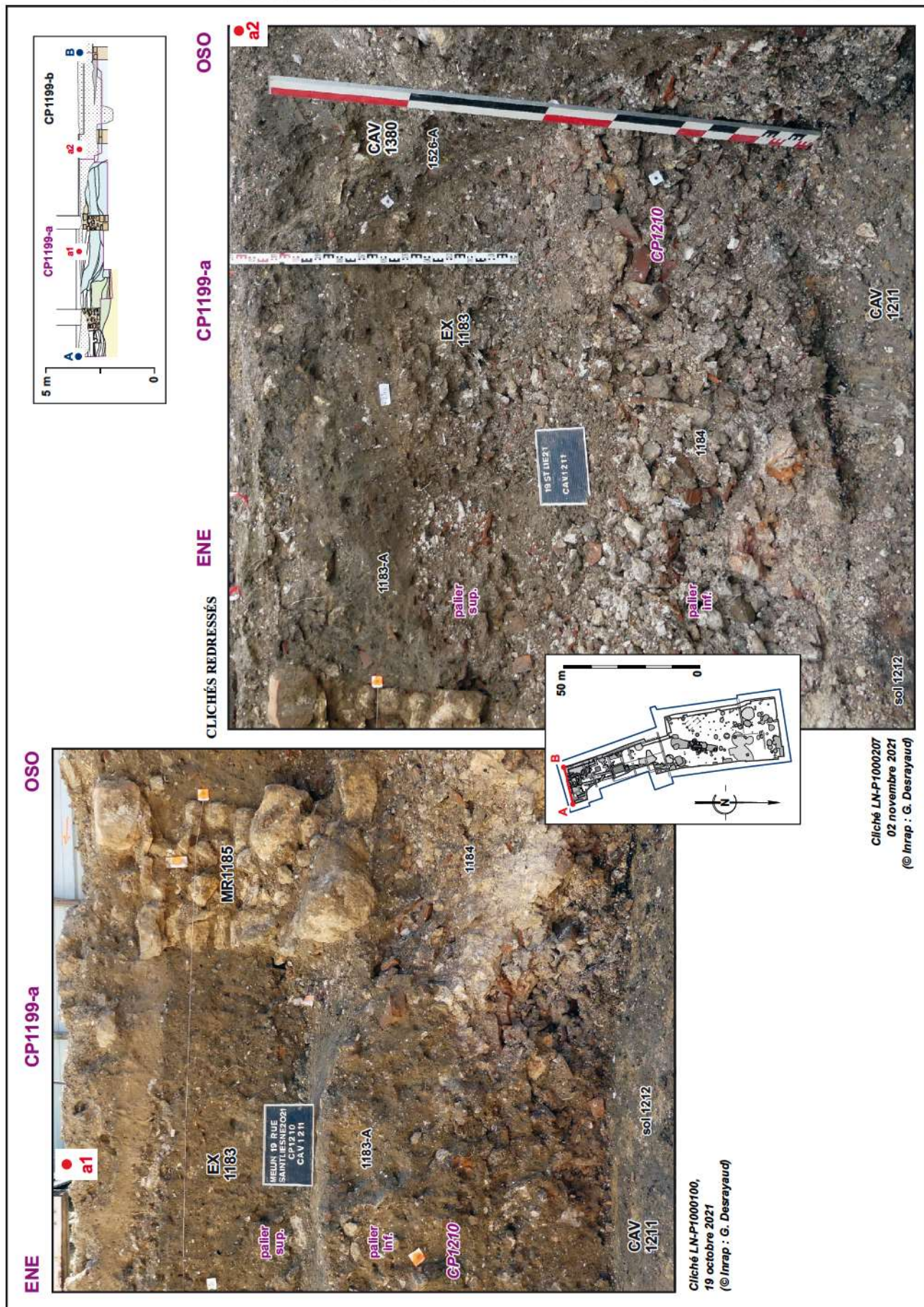
Pl. 014 Dessin, limite Sud de la fouille, palier supérieur, partie Est de la coupe ENE / OSO 1199-a. Coupe stratigraphique de référence. AB 01 sur 06 © Inrap : G. Desrayaud



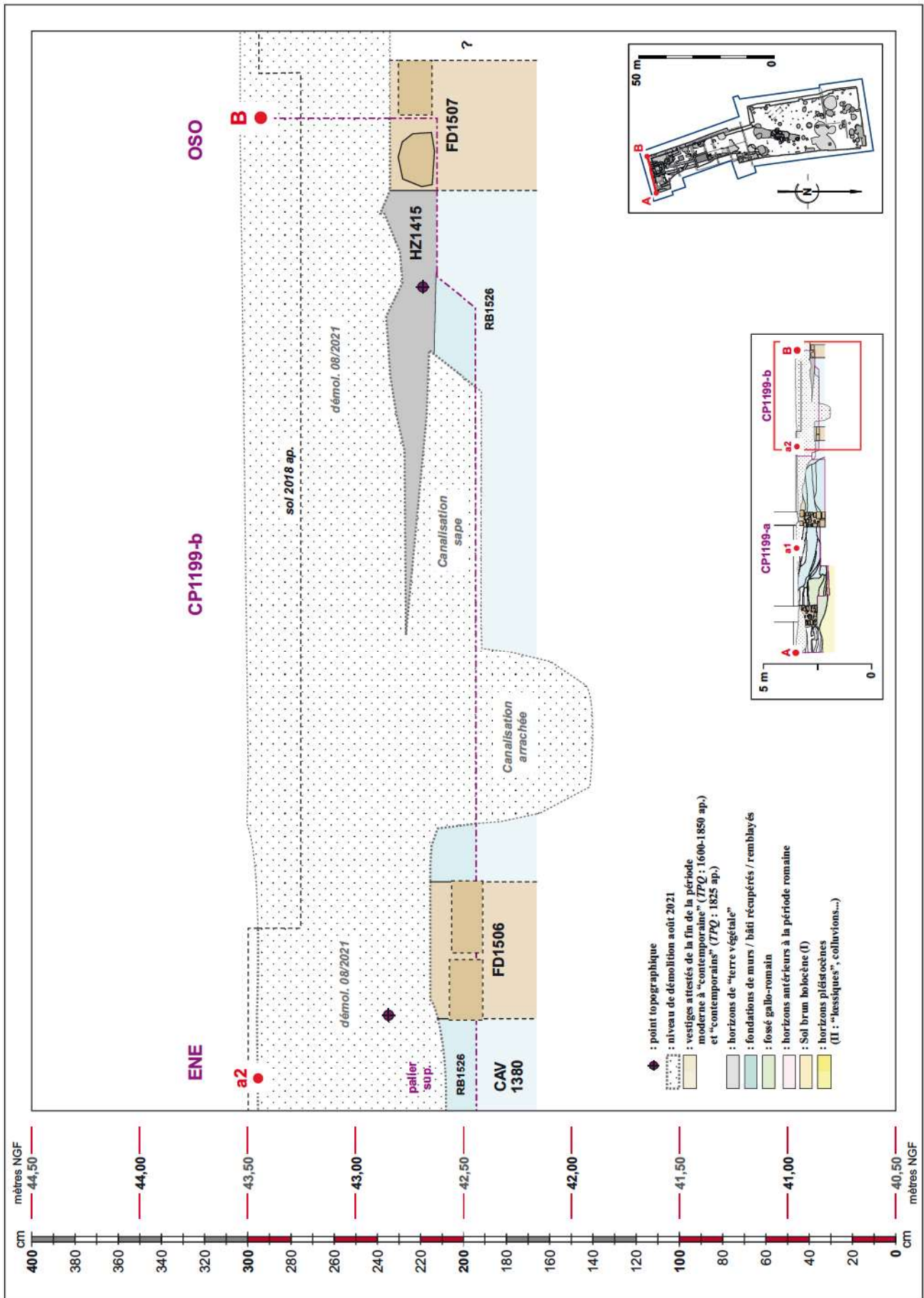
PI. 015 Photographies, limite Sud de la fouille, partie Est de la coupe ENE / OSO 1199-a. Coupe stratigraphique de référence. AB 02 sur 06 © Inrap : G. Desrayaud



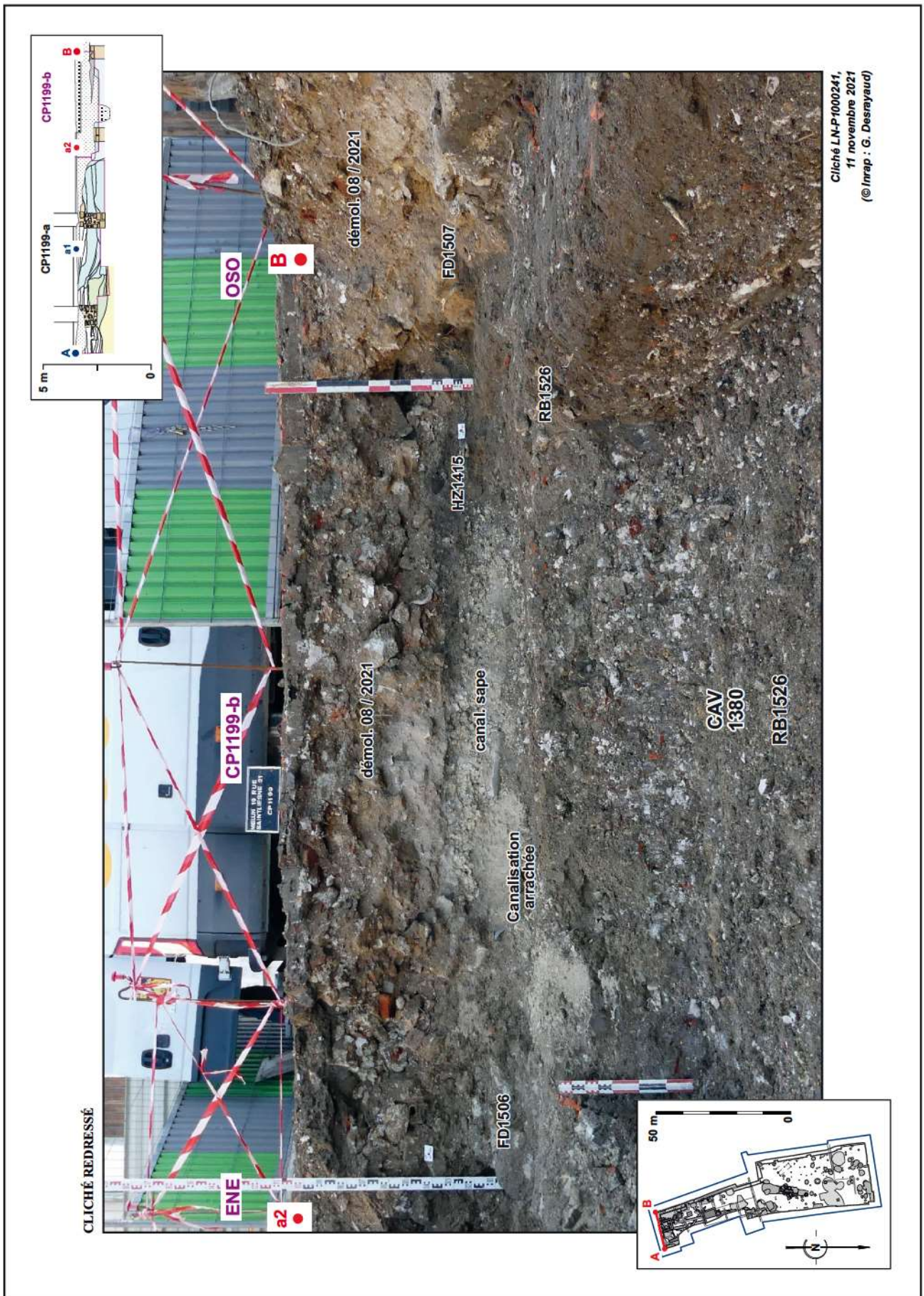
PI. 016 Dessin, limite Sud de la fouille, palier supérieur, partie Ouest de la coupe ENE / OSO 1199-a. Coupe stratigraphique de référence. AB 03 sur 06 © Inrap : G. Desrayaud



PI. 017 Photographies, limite Sud de la fouille, partie Ouest de la coupe ENE / OSO 1199-a. Coupe stratigraphique de référence. AB 04 sur 06 © Inrap : G. Desrayaud

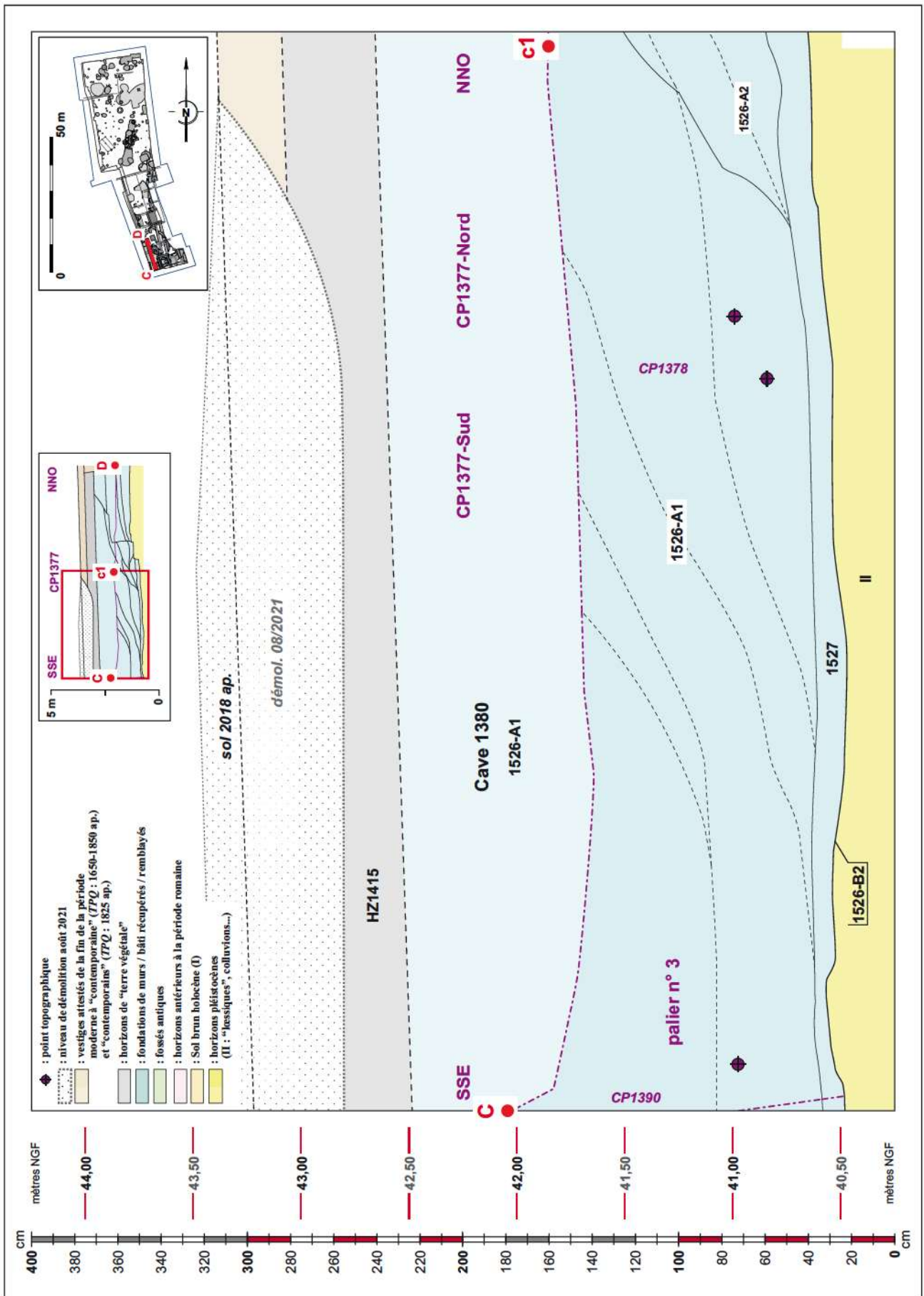


Pl. 018 Dessin, limite Sud de la fouille, palier supérieur, coupe ENE / OSO 1199-b. Coupe stratigraphique de référence. AB 05 sur 06 © Inrap : G. Desrayaud

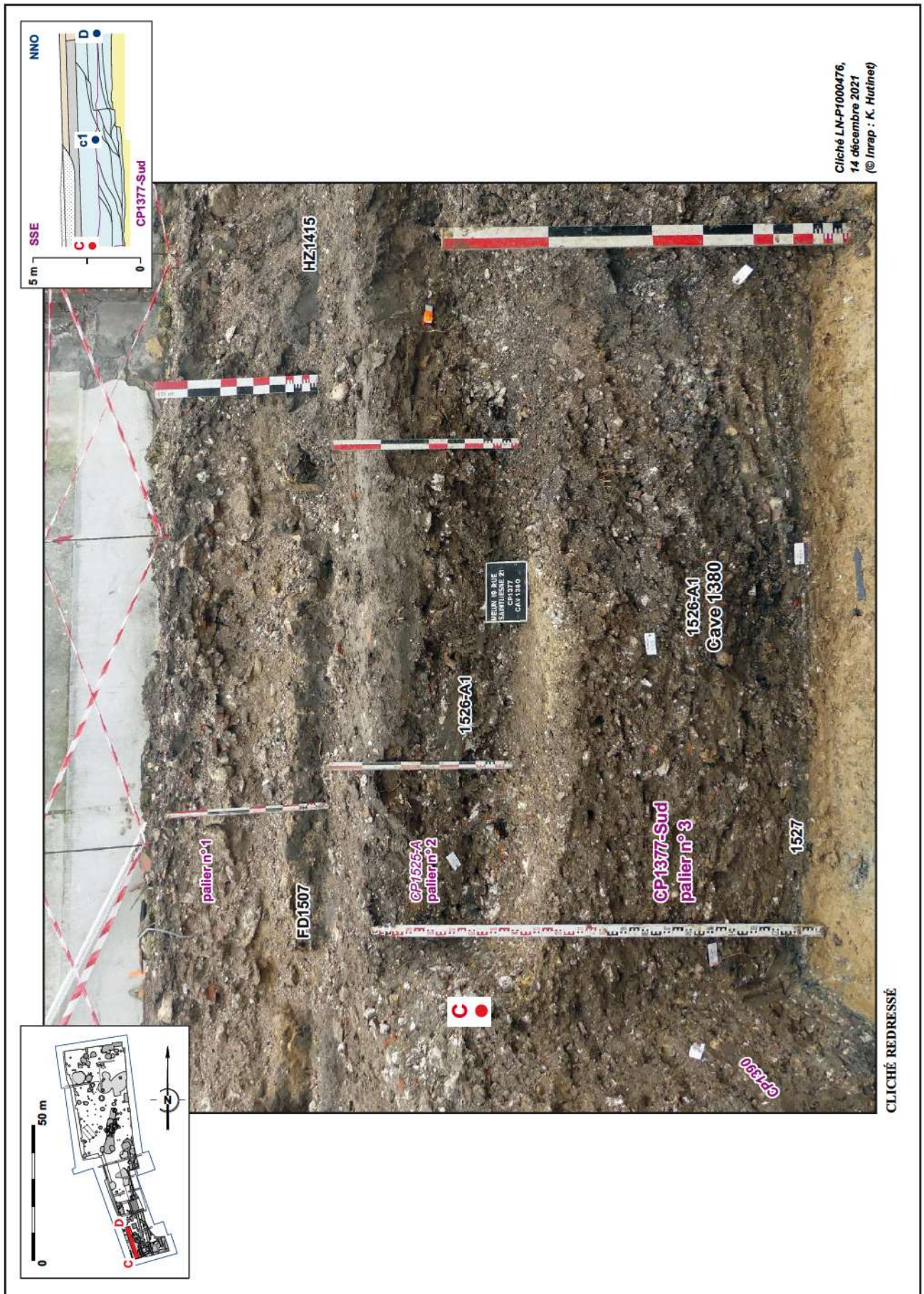


PI. 019 Photographie, limite Sud de la fouille, coupe ENE / OSO 1199-b. Coupe stratigraphique de référence. AB 06 sur 06 © Inrap : G. Desrayaud

Coupes stratigraphiques de référence - Coupe C-D

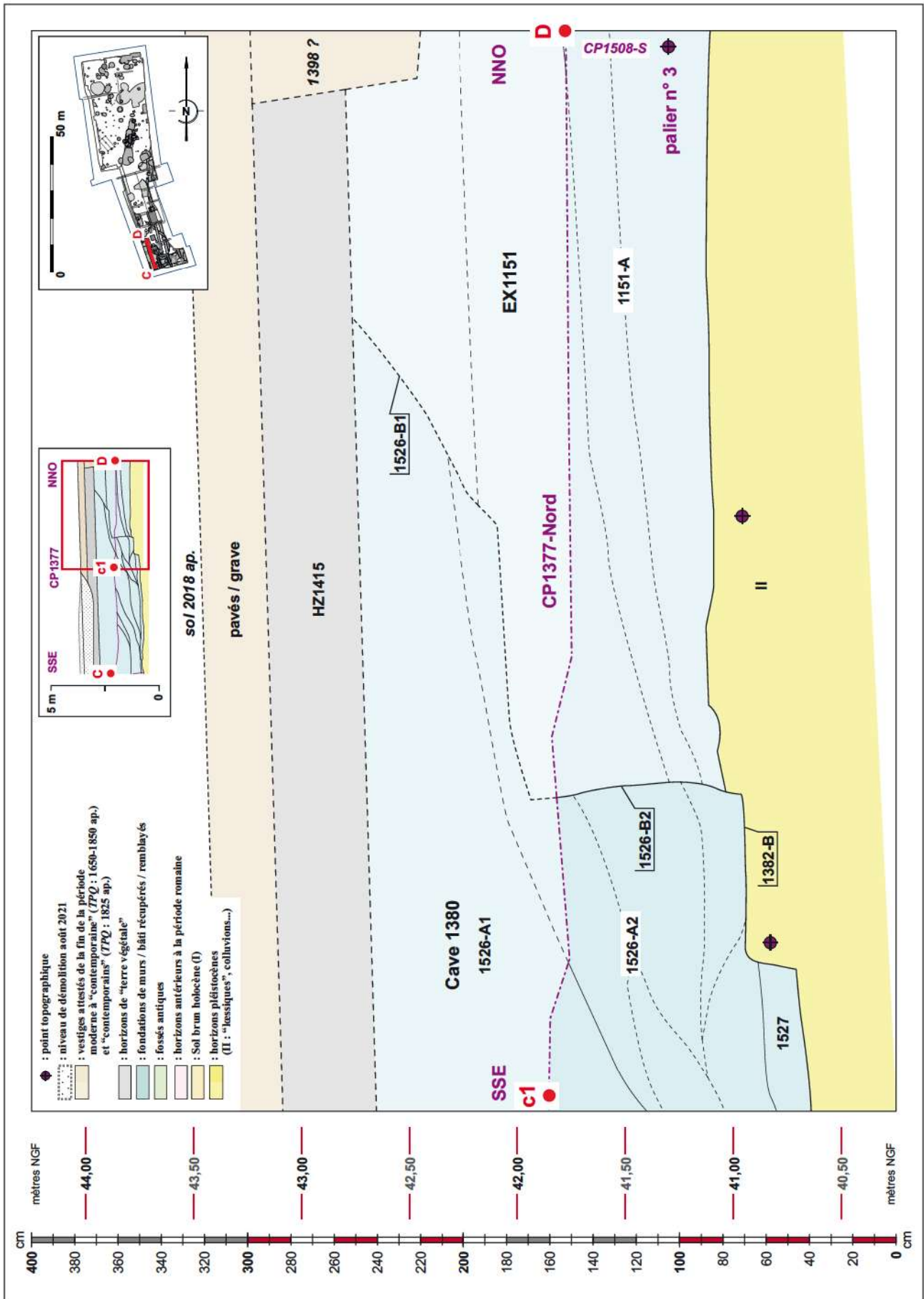


PI. 020 Dessin, limite SSO de la fouille, palier n°3 (inf.), partie Sud de la coupe SSE / NNO 1377. Coupe stratigraphique de référence. CD 01 sur 04 © Inrap : G. Desrayaud

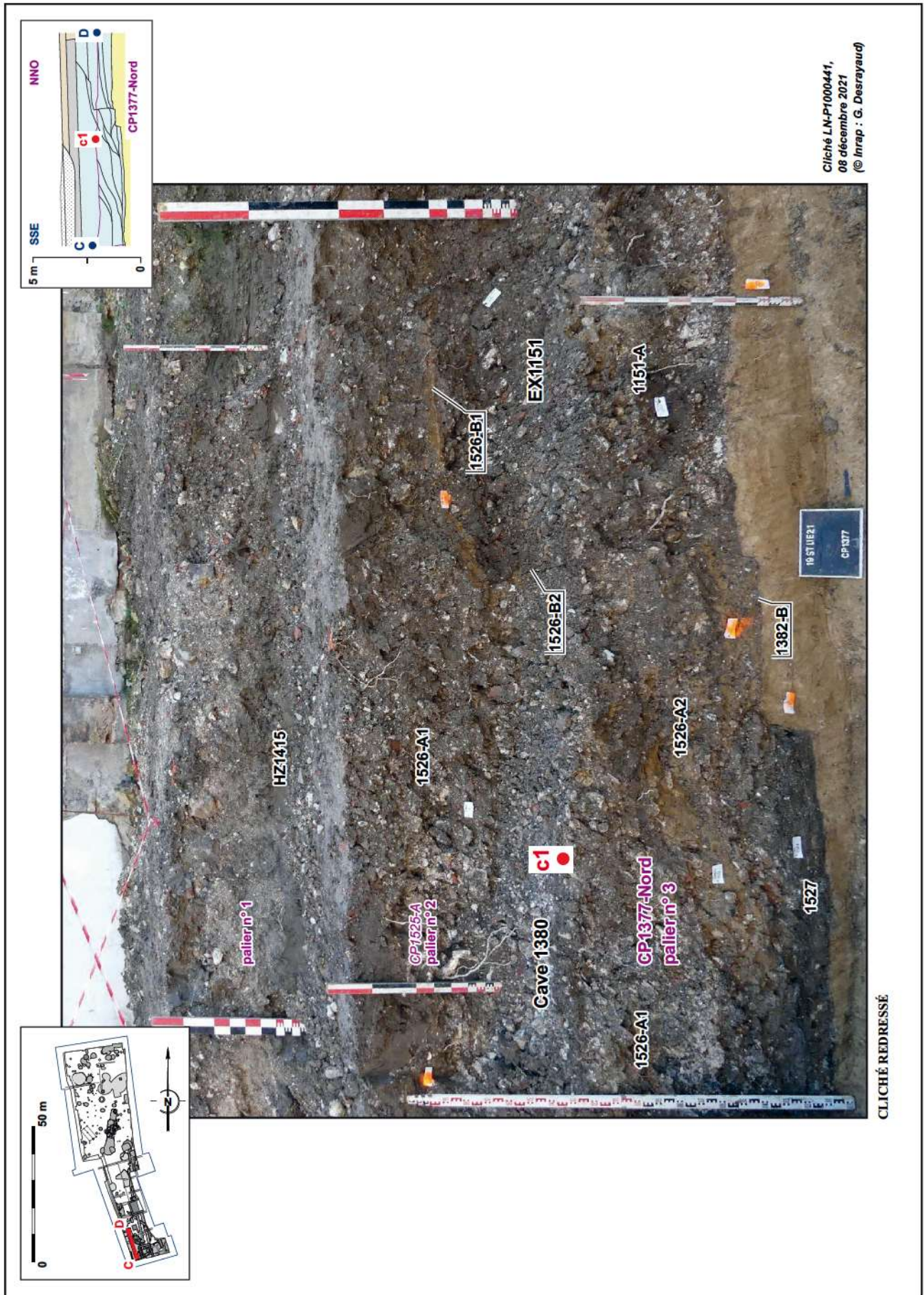


Cliché LN-P1000476,
14 décembre 2021
© Inrap - K. Hutinet

Pl. 021 Photographie, limite SSO de la fouille, partie Sud de la coupe SSE / NNO 1377. Coupe stratigraphique de référence. CD 02 sur 04 © Inrap : G. Desrayaud, K. Hutinet

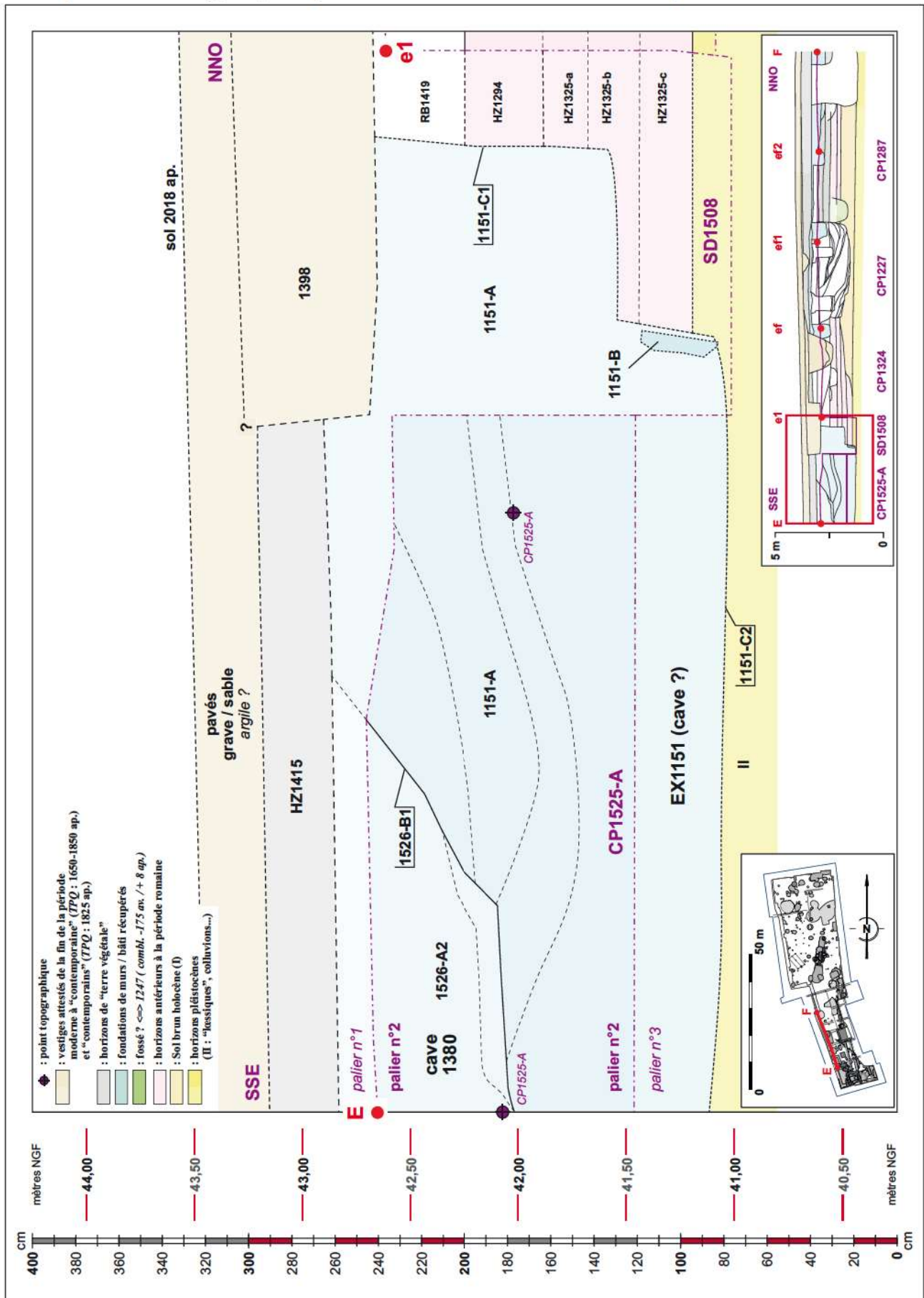


PI. 022 Dessin, limite SSO de la fouille, palier n°3 (inf.), partie Nord de la coupe SSE / NNO 1377. Coupe stratigraphique de référence. CD 03 sur 04 © Inrap : G. Desrayaud

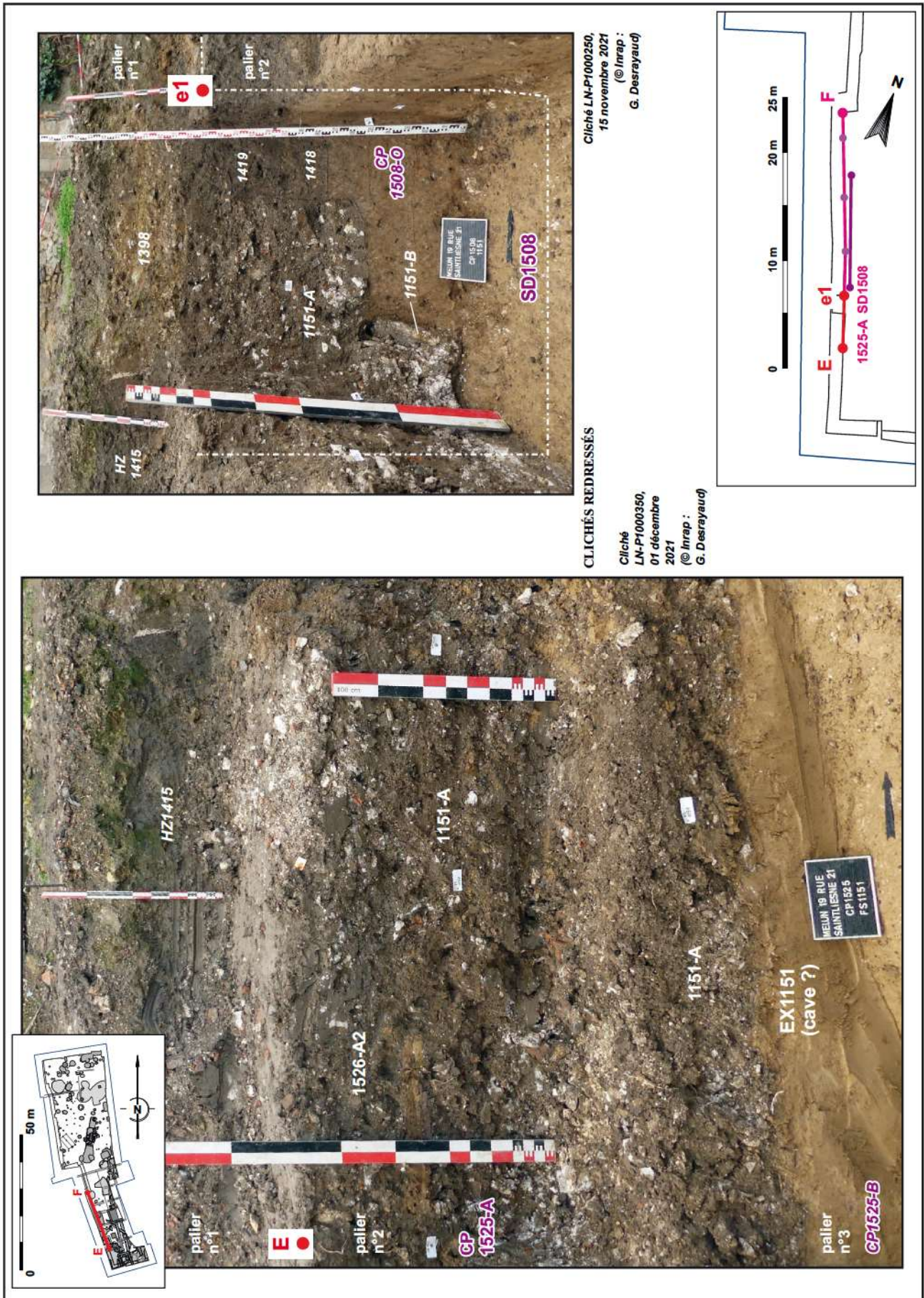


PI. 023 Photographie, limite SSO de la fouille, palier n°3 (inf.), partie Nord de la coupe SSE / NNO 1377. Coupe stratigraphique de référence. CD 04 sur 04
 © Inrap : G. Desrayaud

Coupes stratigraphiques de référence - Coupe E-F



PI. 024 Dessin, limite SO de la fouille, palier n°2, SSE / NNO, partie Nord de la coupe 1525-A et SD1508. Coupe stratigraphique de référence. EF 01 sur 10

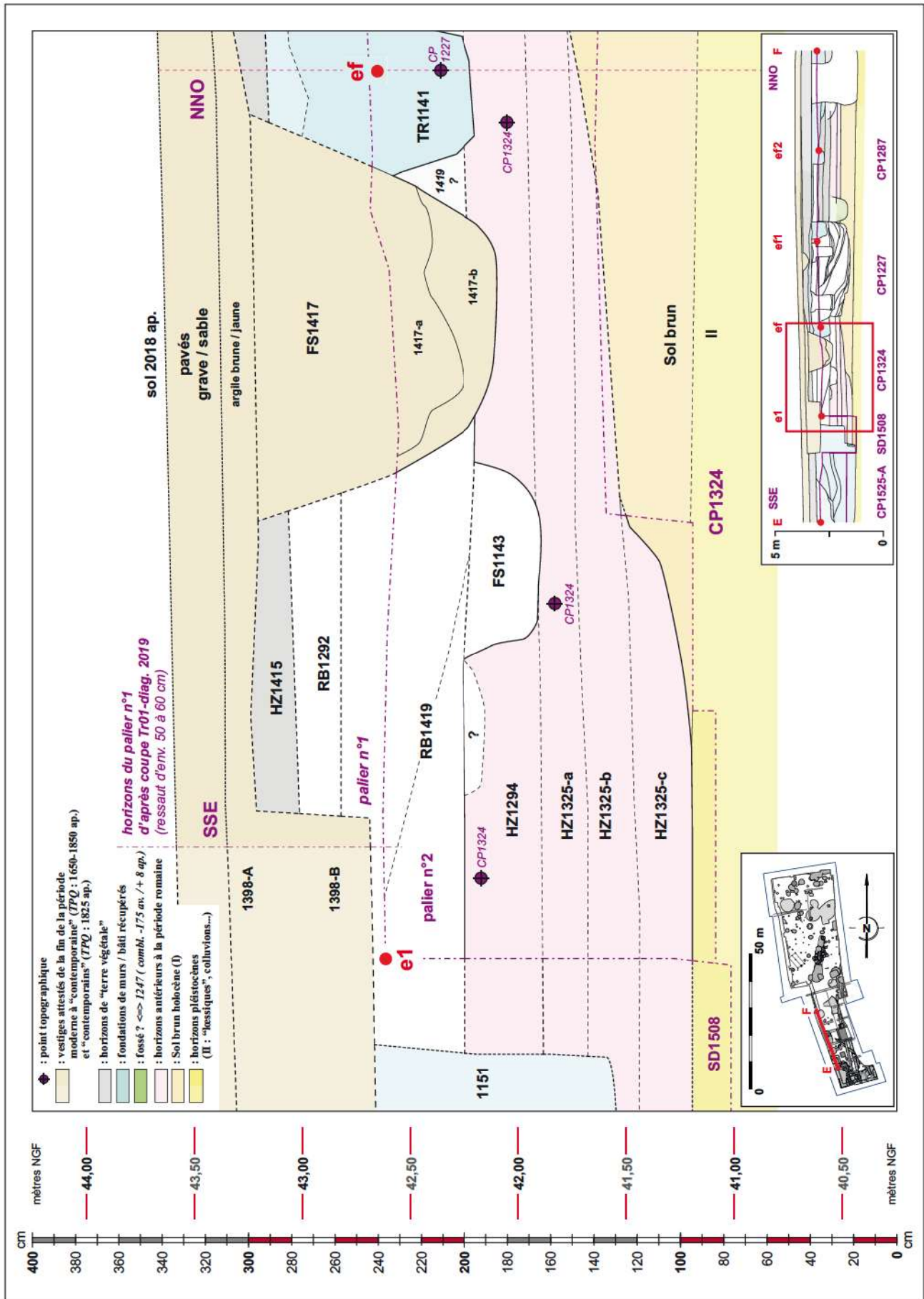


CLICHÉS REDRESSÉS

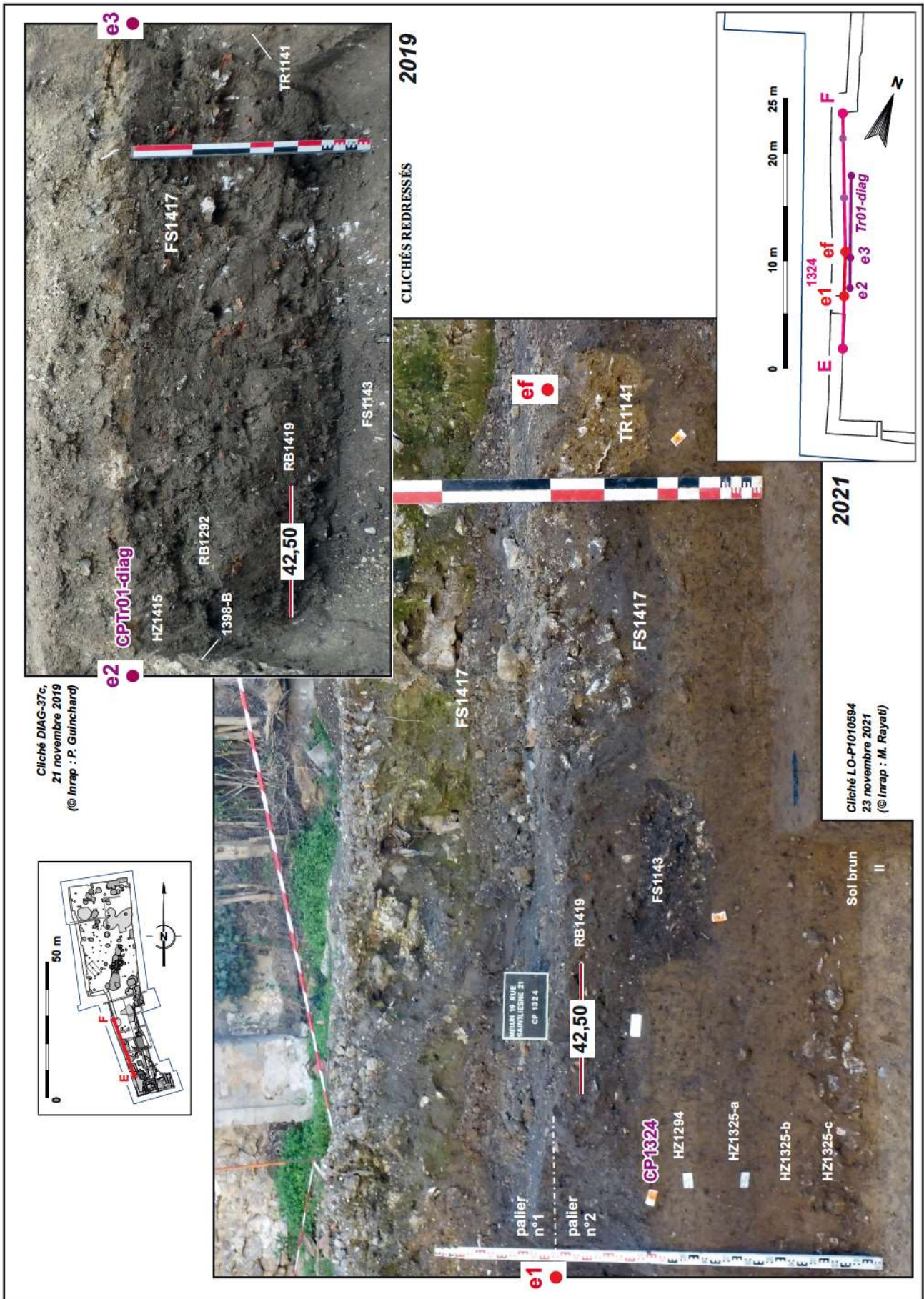
Cliché LN-P1000350,
01 décembre
2021
(© Inrap :
G. Desrayaud)

Cliché LN-P1000250,
15 novembre 2021
(© Inrap :
G. Desrayaud)

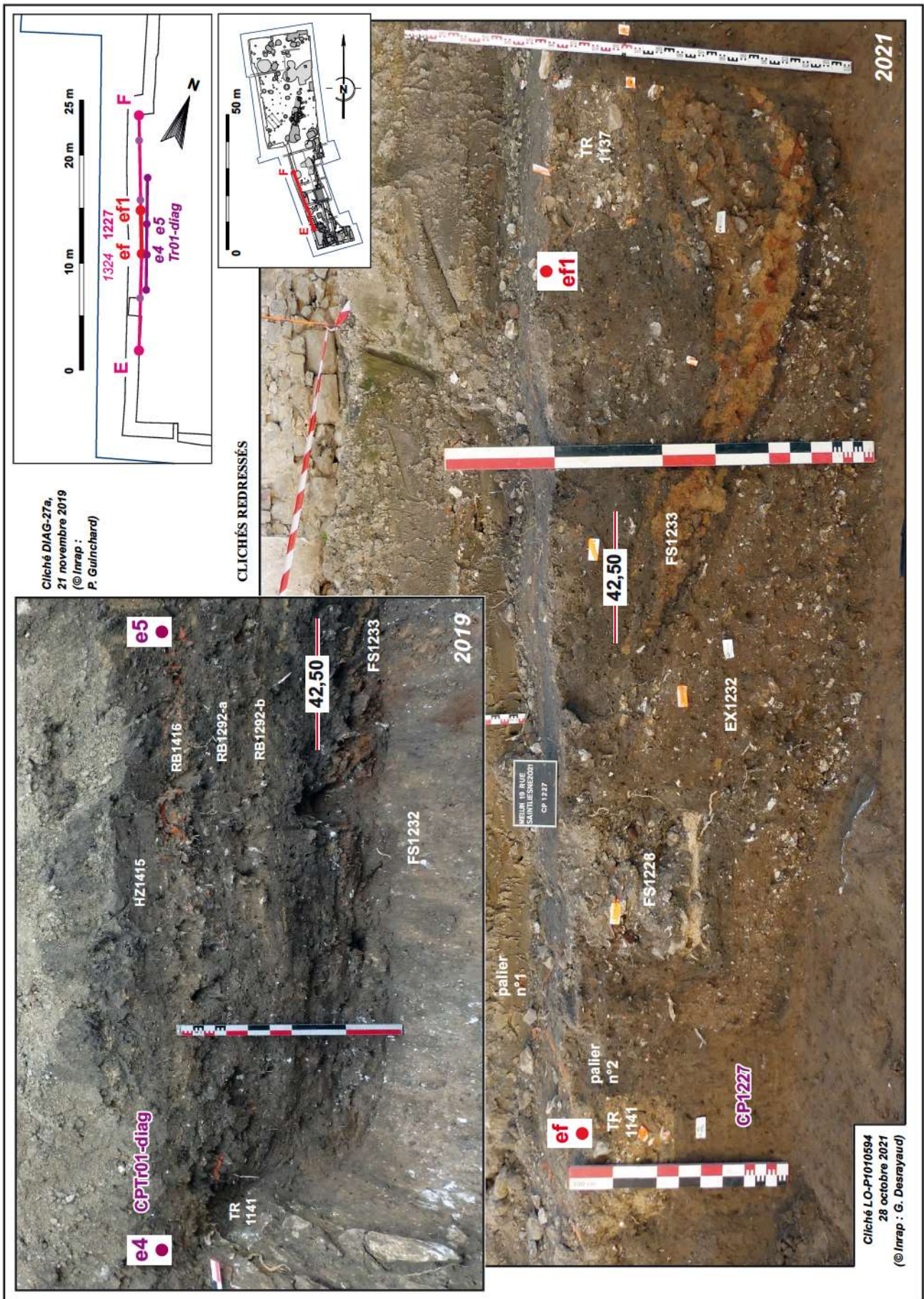
Pl. 025 Photographies, limite SO de la fouille, SSE / NNO, partie Nord de la coupe 1525-A et SD1508. Coupe stratigraphique de référence. EF 02 sur 10 © Inrap : G. Desrayaud



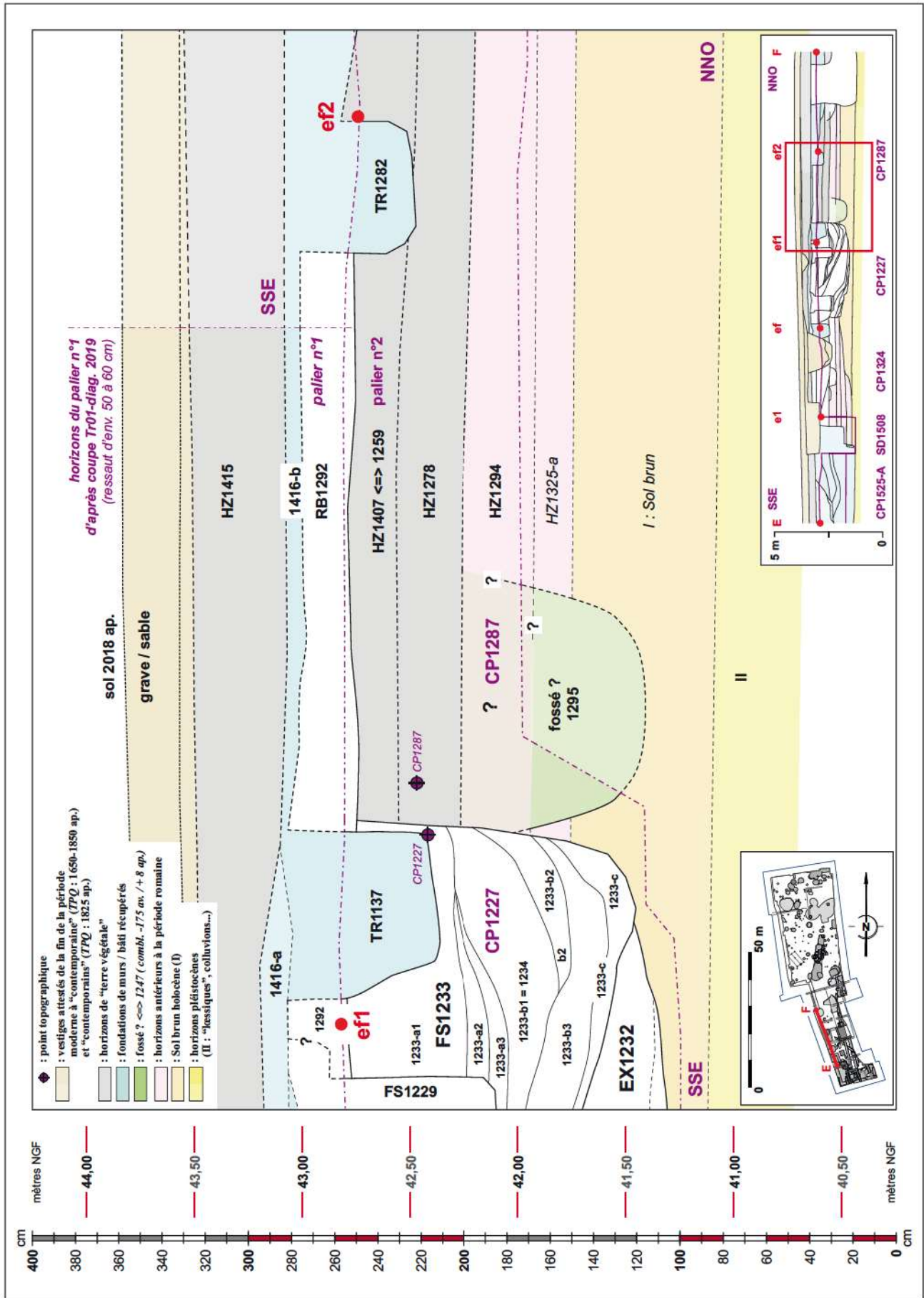
PI. 026 Dessin, limite SO de la fouille, palier n°2, SSE / NNO, coupe 1324. Coupe stratigraphique de référence. EF 03 sur 10 © Inrap : G. Desrayaud



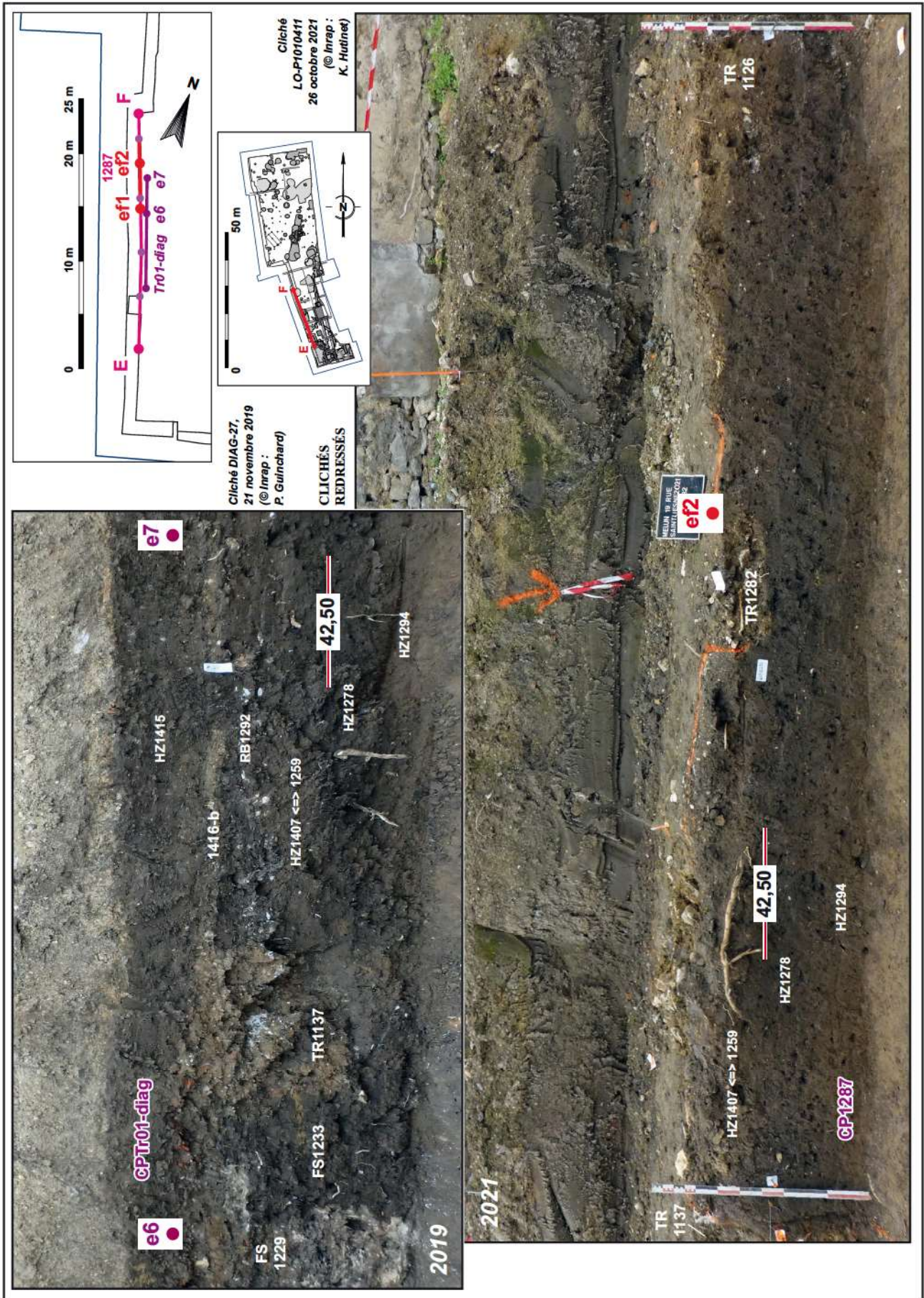
PI. 027 Photographies, limite SO de la fouille, SSE / NNO, partie Sud de la coupe Tr01-diag et coupe 1324. Coupe stratigraphique de référence. EF 04 sur 10
 © Inrap : G. Desrayaud, P. Guinchart, M. Rayati



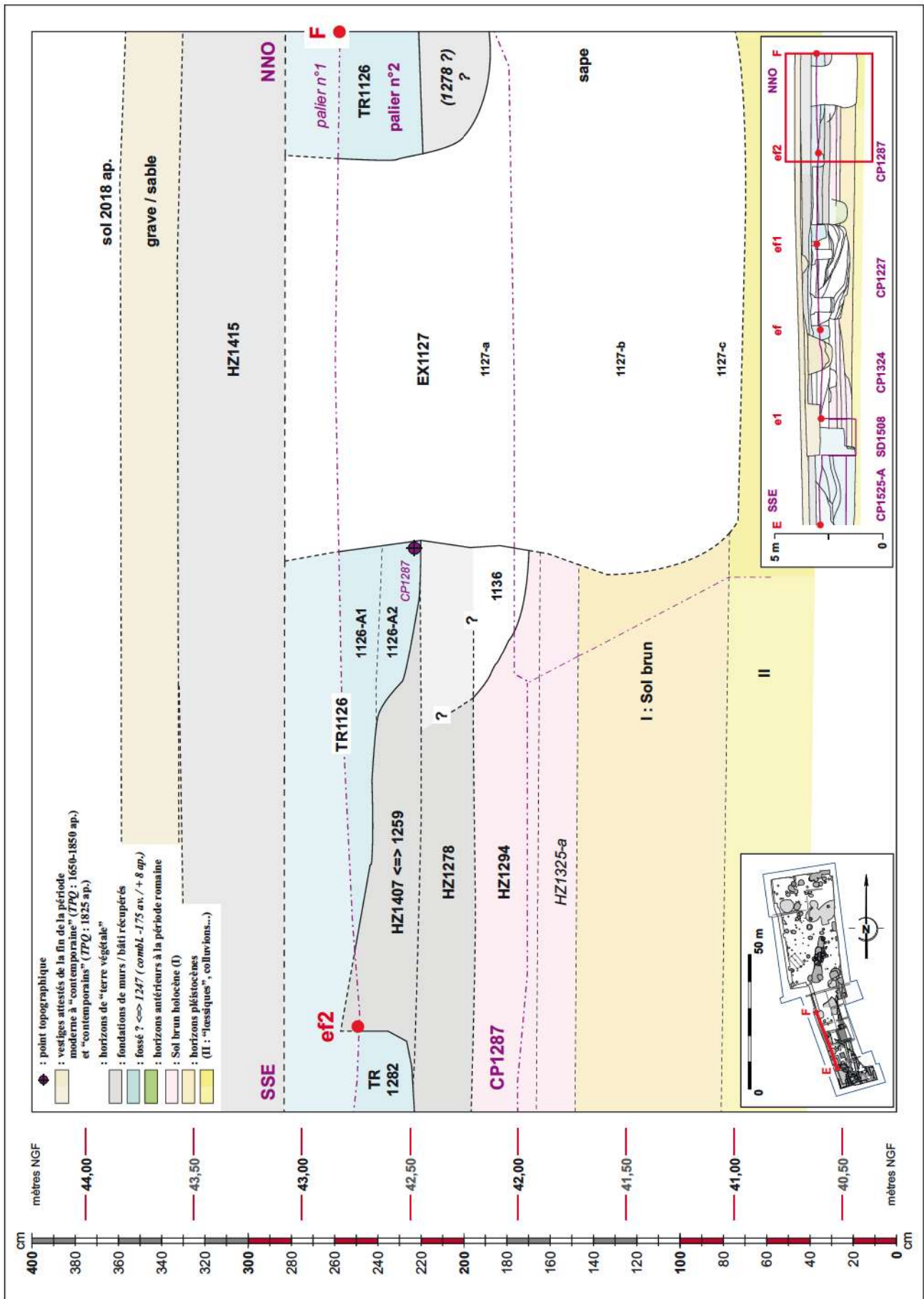
PI. 029 Photographies, limite SO de la fouille, SSE / NNO, partie centrale de la coupe Tr01-diaq et coupe 1227. Coupe stratigraphique de référence. EF 06 sur 10
© Inrap : G. Desrayaud, P. Guinchart



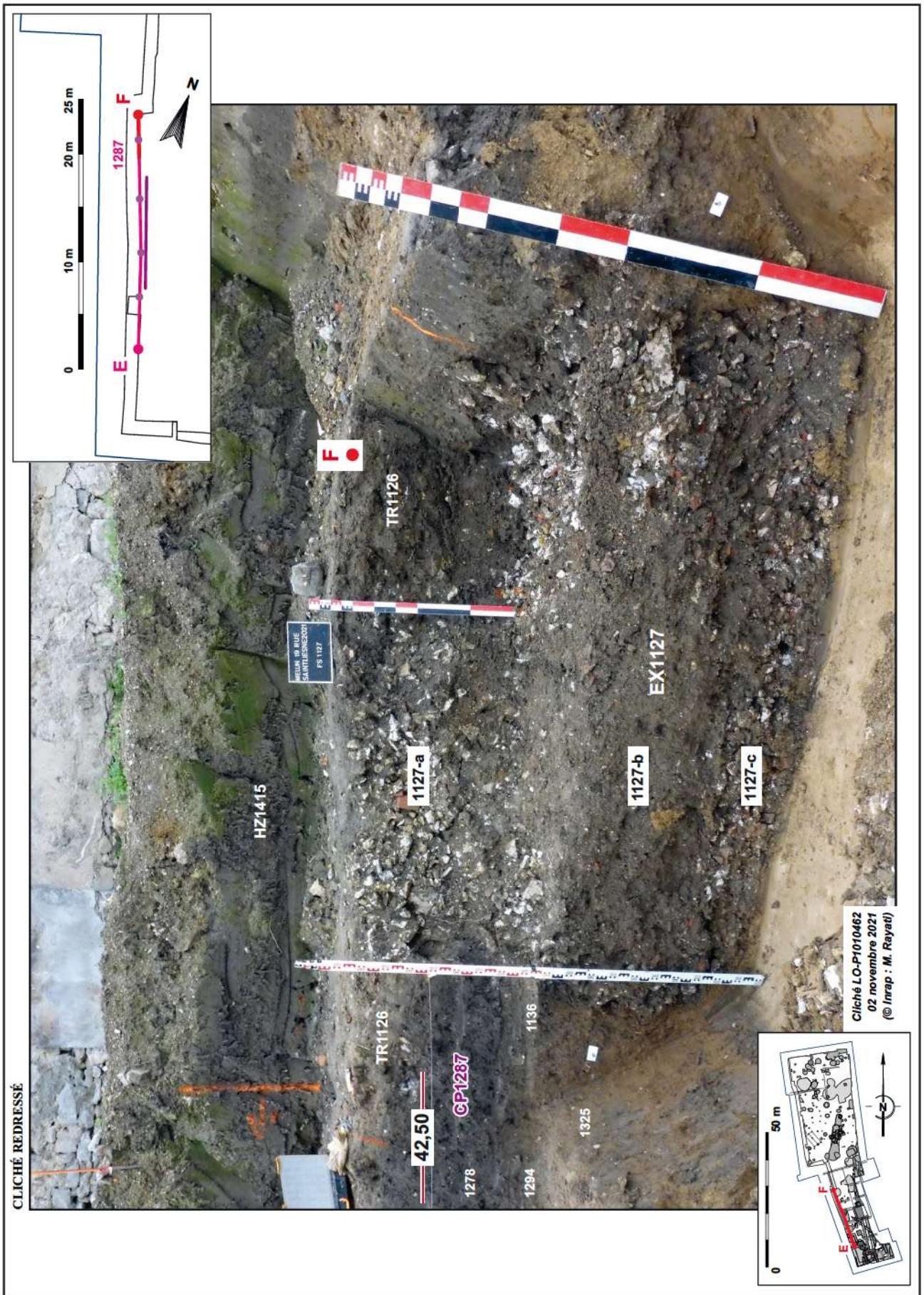
PI. 030 Dessin, limite SO de la fouille, palier n°2, SSE / NNO, coupes 1227 / 1287. Coupe stratigraphique de référence. EF 07 sur 10 © Inrap : G. Desrayaud



PI. 031 Photographies, limite SO de la fouille, SSE / NNO, partie Nord de la coupe Tr01-diag et coupe 1287. Coupe stratigraphique de référence. EF 08 sur 10
 © Inrap : G. Desrayaud, P. Guincharad, K. Hutinet

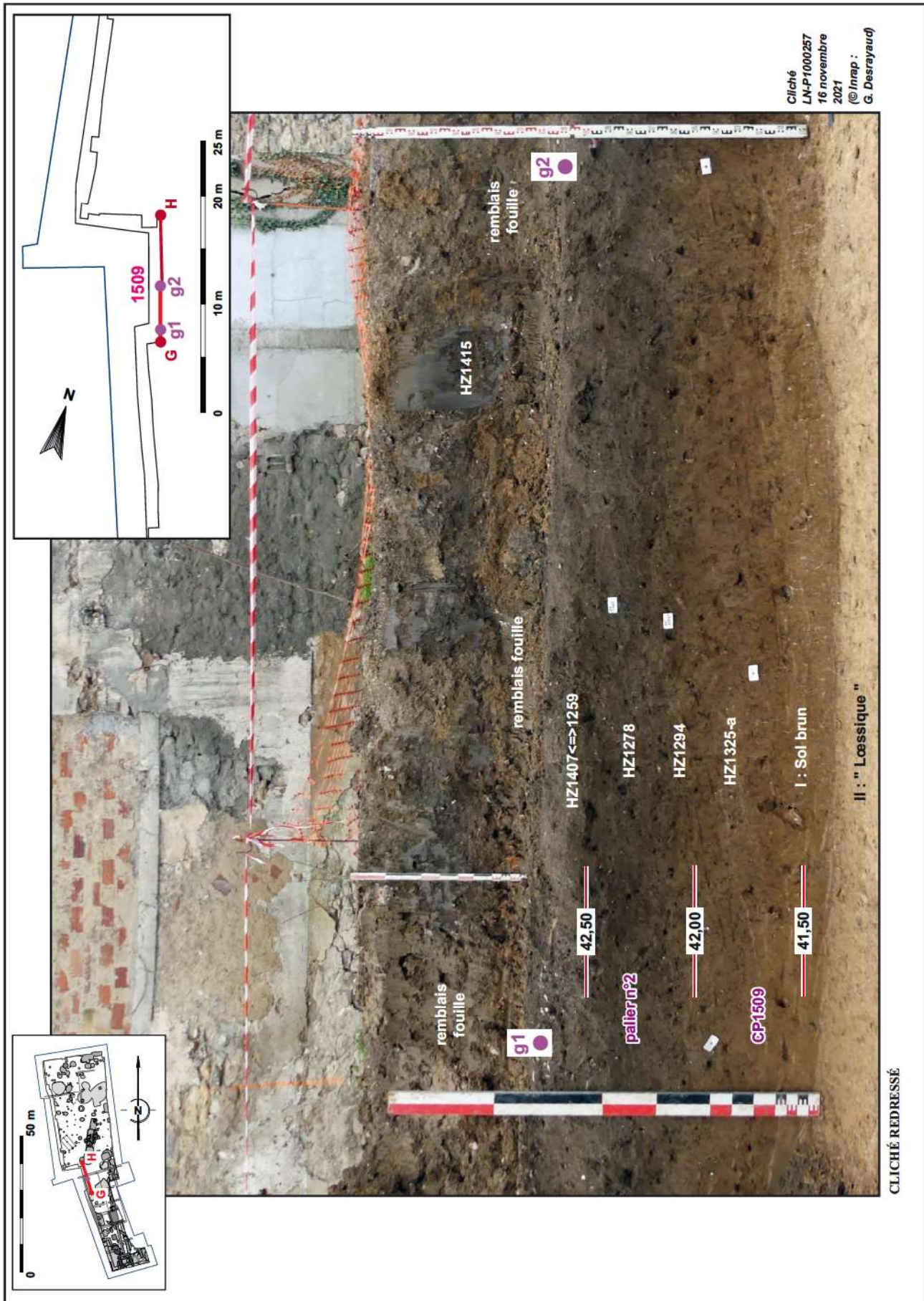


Pl. 032 Dessin, limite SO de la fouille, palier n°2, SSE / NNO, partie Nord de la coupe 1287. Coupe stratigraphique de référence. EF 09 sur 10 © Inrap : G. Desrayaud



Pl. 033 Photographie, limite SO de la fouille, partie Nord de la coupe SSE / NNO 1287 et coupe S / N sur l'EX1127. Coupe stratigraphique de référence. EF 10 sur 10 © Inrap : G. Desrayaud, M. Rayati

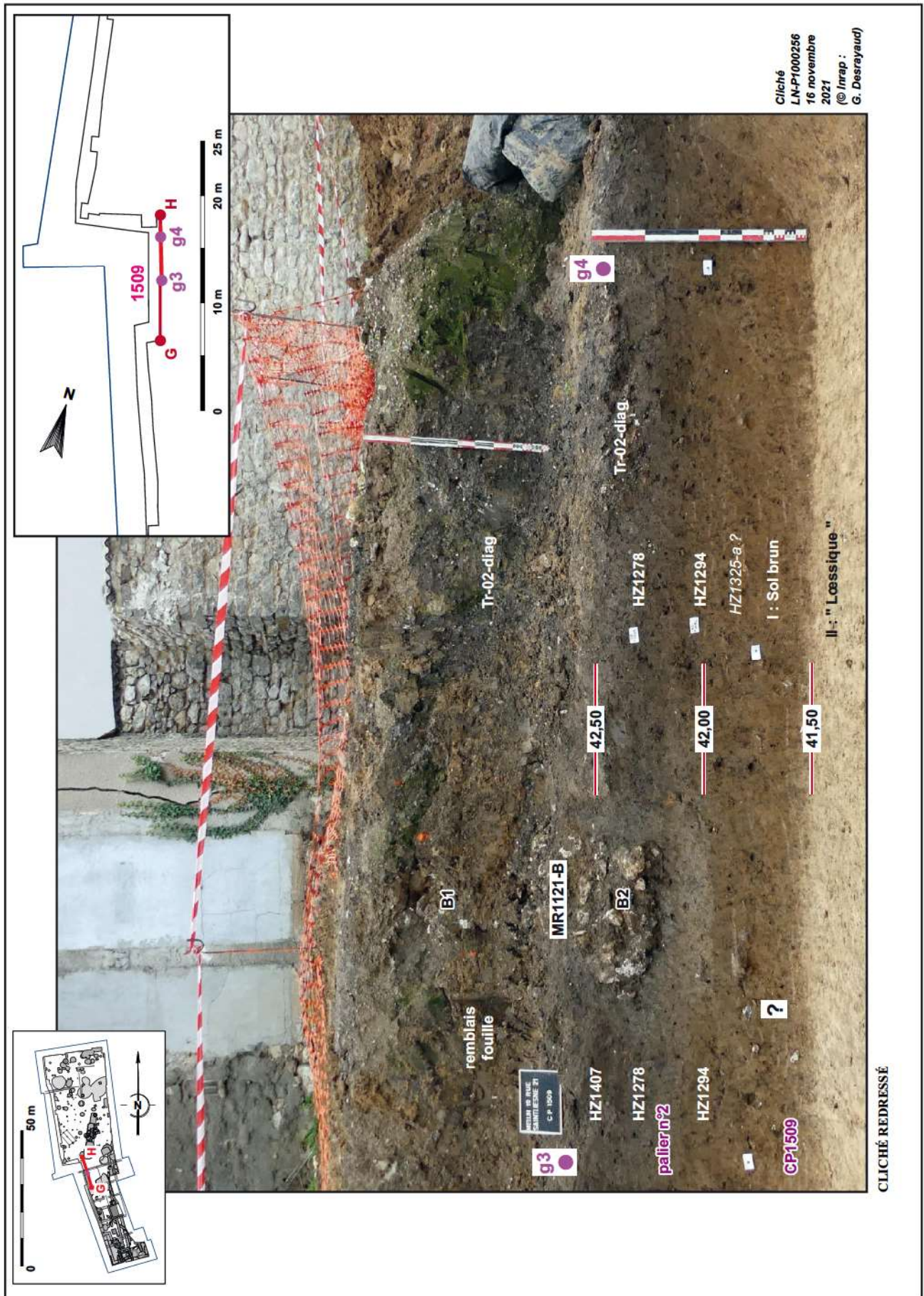
Coupes stratigraphiques de référence - Coupe G-H



Cliché
LN-P1000257
16 novembre
2021
(© Inrap :
G. Desrayaud)

CLICHÉ REDRESSÉ

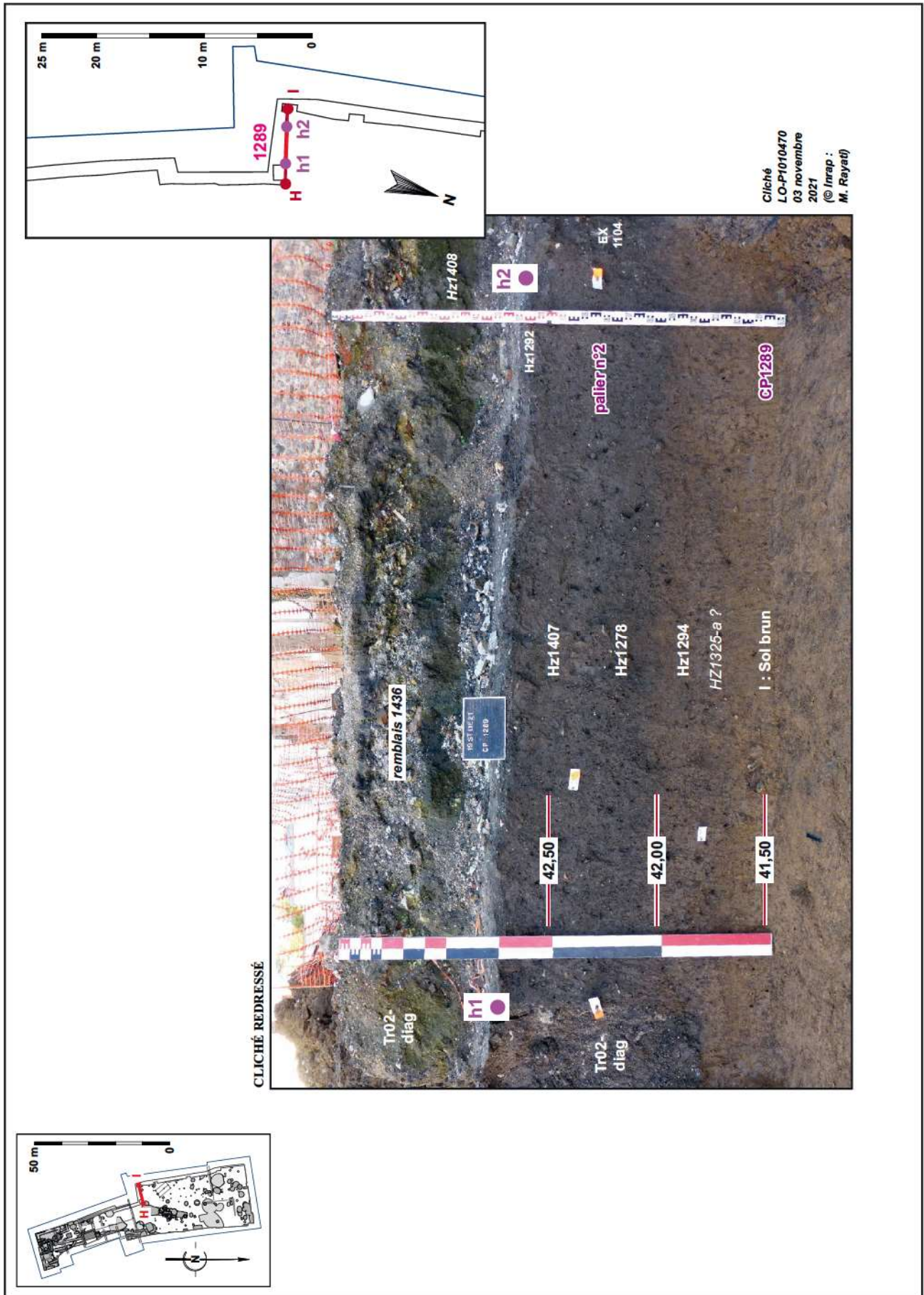
Pl. 034 Photographie, limite centre Ouest de la fouille, palier n°2, partie Sud de la coupe SSE / NNO 1509. Coupe stratigraphique de référence. GH 01 sur 02
© Inrap : G. Desrayaud



Cliché
LN-P1000256
16 novembre
2021
(© Inrap :
G. Desrayaud)

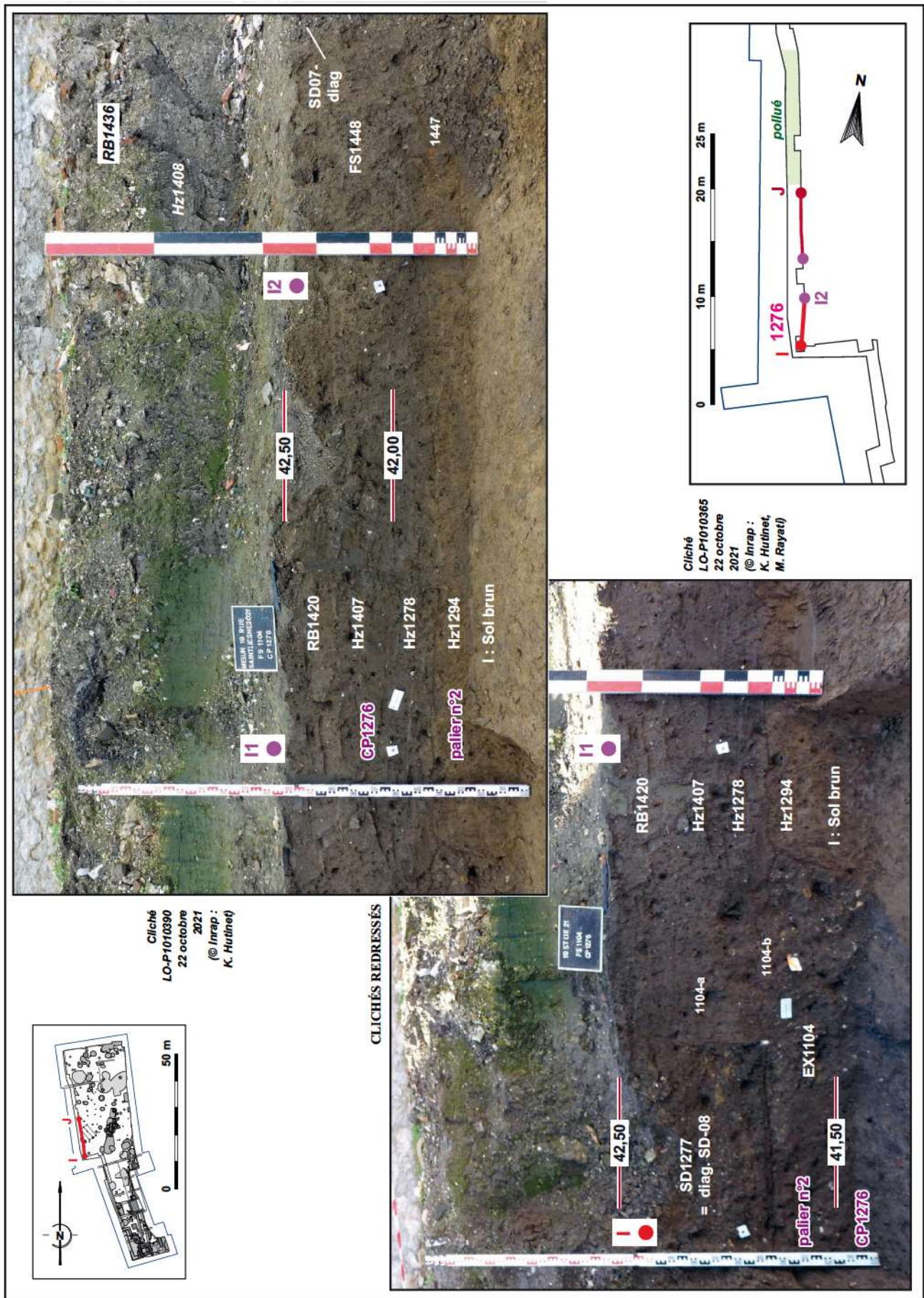
PI. 035 Photographie, limite centre Ouest de la fouille, palier n°2, partie Nord de la coupe SSE / NNO 1509. Coupe stratigraphique de référence. GH 02 sur 02
© Inrap : G. Desrayaud

Coupes stratigraphiques de référence - Coupe H-I

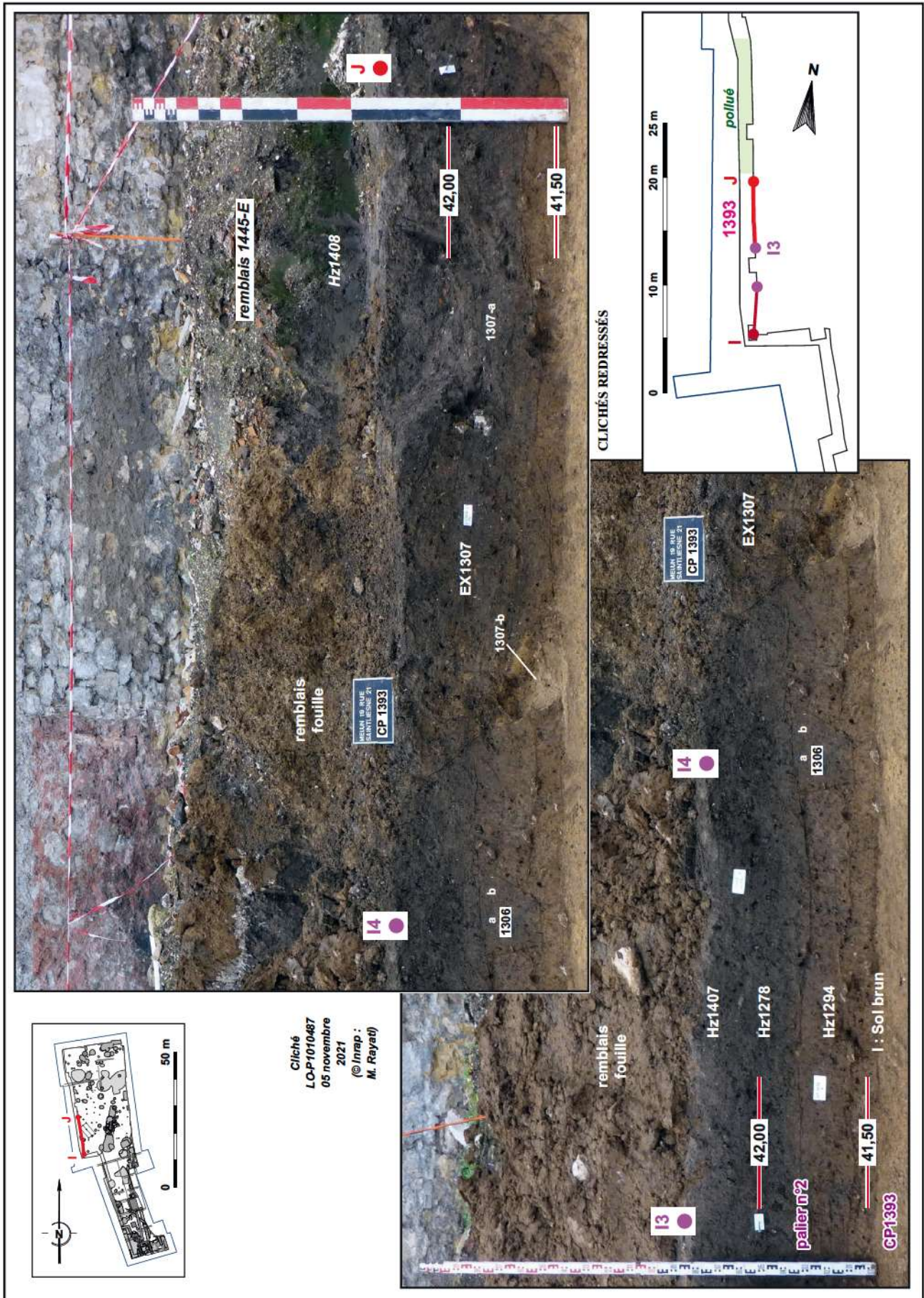


Pl. 036 Photographie, limite centre Ouest de la fouille, palier n°2, coupe ENE / OSO 1289. Coupe stratigraphique de référence. HI 01 sur 01 © Inrap : G. Desrayaud, M. Rayati

Coupes stratigraphiques de référence - Coupe I-J

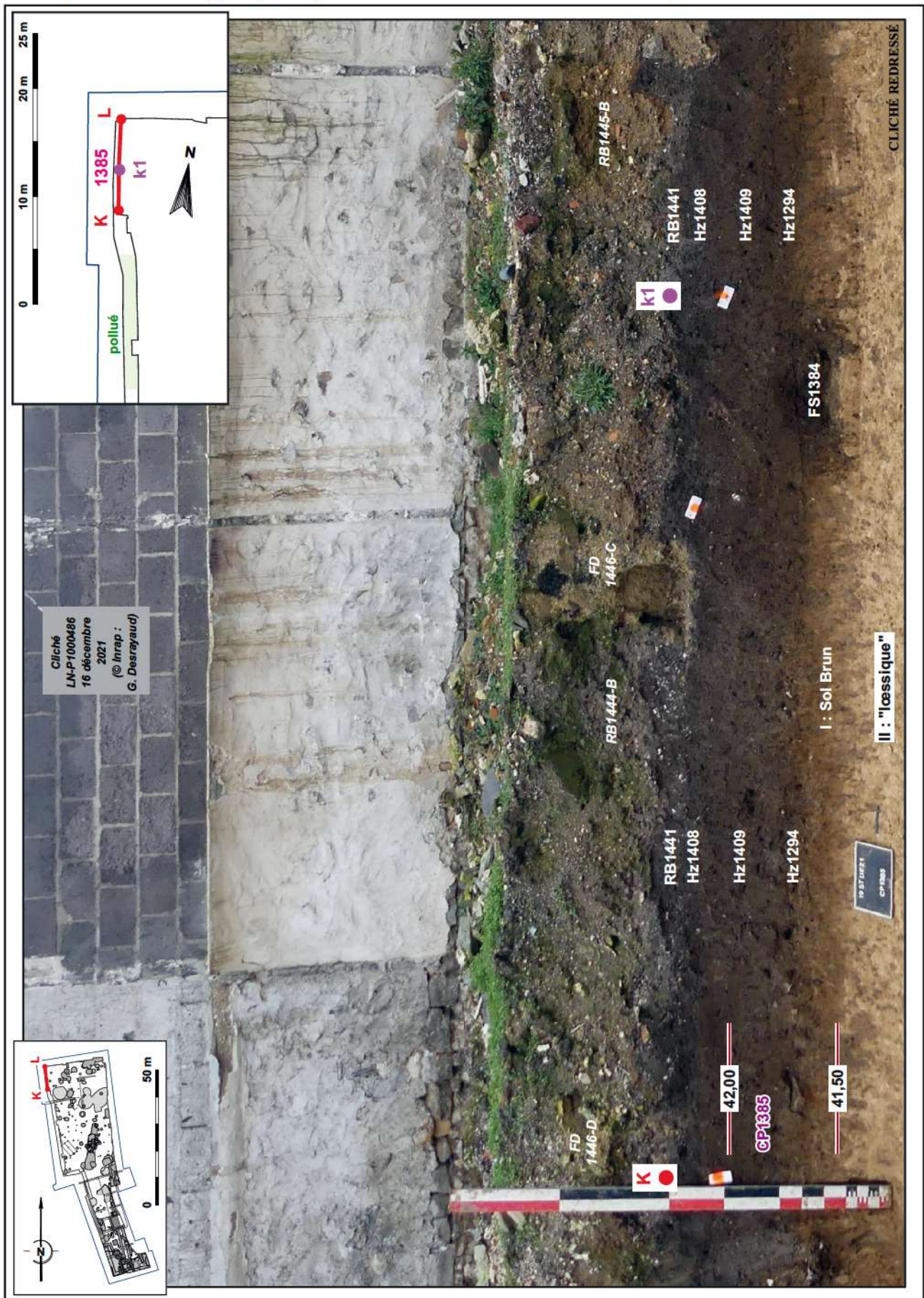


PI. 037 Photographies, limite NO de la fouille, palier n°2, coupe S(SE) / N(NO) 1276. Coupe stratigraphique de référence. IJ 01 sur 02 © Inrap : G. Desrayaud, K. Hutinet, M. Rayati

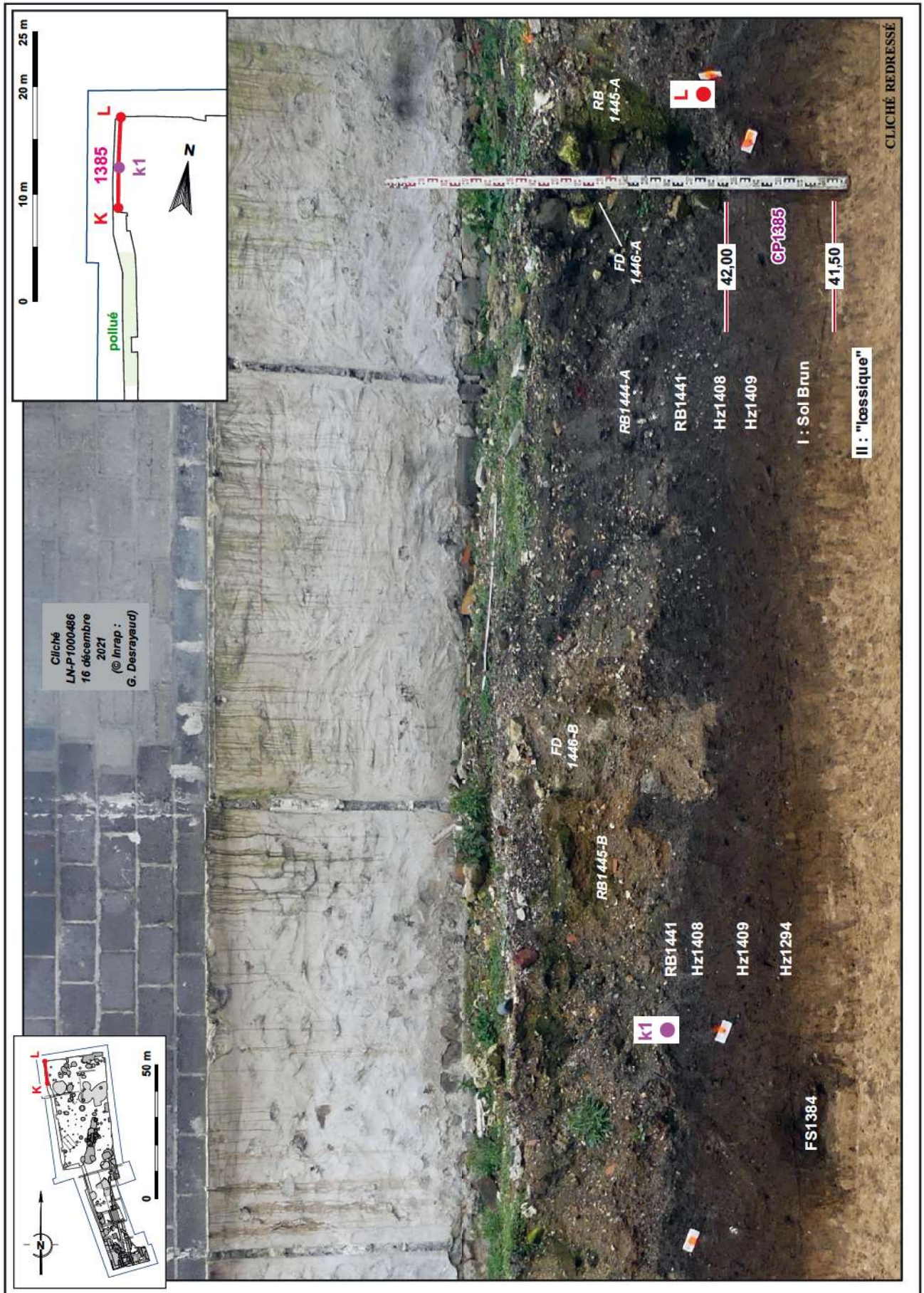


Pl. 038 Photographie, limite NO de la fouille, palier n°2, coupe SSE / NNO 1393. Coupe stratigraphique de référence. IJ 02 sur 02 © Inrap : G. Desrayaud, M. Rayati

Coupes stratigraphiques de référence - Coupe K-L

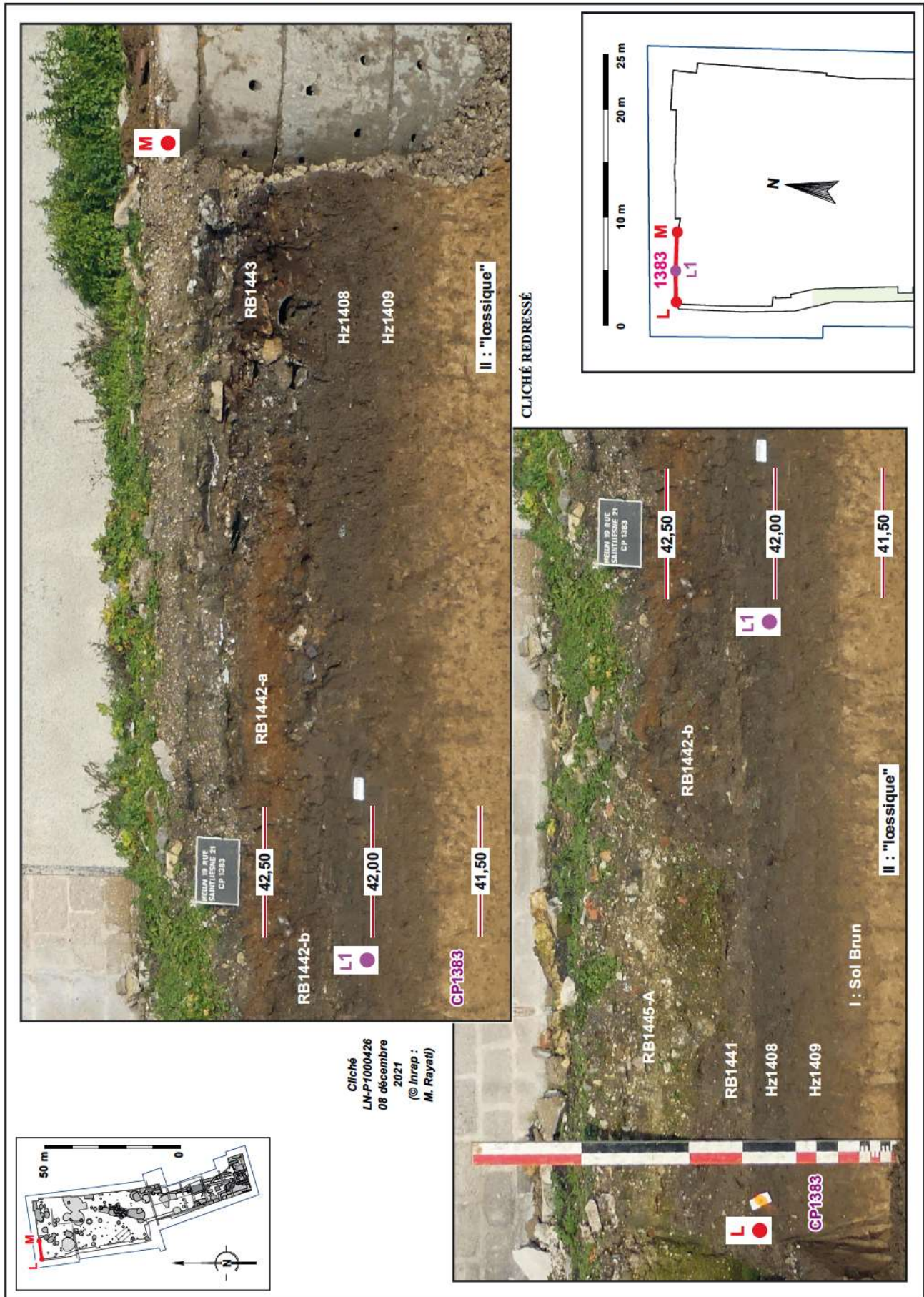


Pl. 039 Photographie, limite NNO de la fouille, partie Sud de la coupe SSE / NNO 1385. Coupe stratigraphique de référence. KL 01 sur 02 © Inrap : G. Desrayaud



Pl. 040 Photographie, limite NNO de la fouille, partie Nord de la coupe SSE / NNO 1385. Coupe stratigraphique de référence. KL 02 sur 02 © Inrap : G. Desrayaud

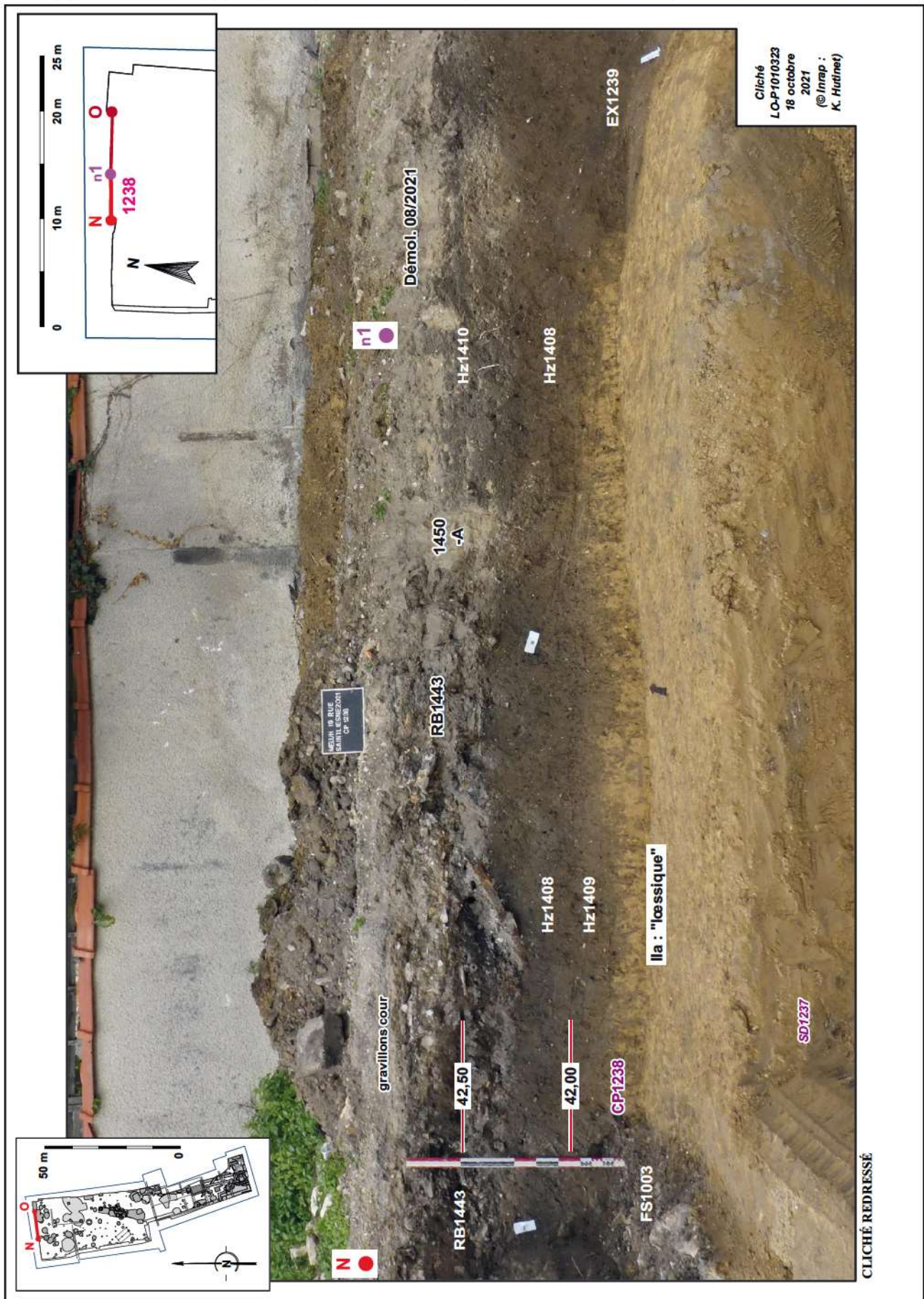
Coupes stratigraphiques de référence - Coupe L-M



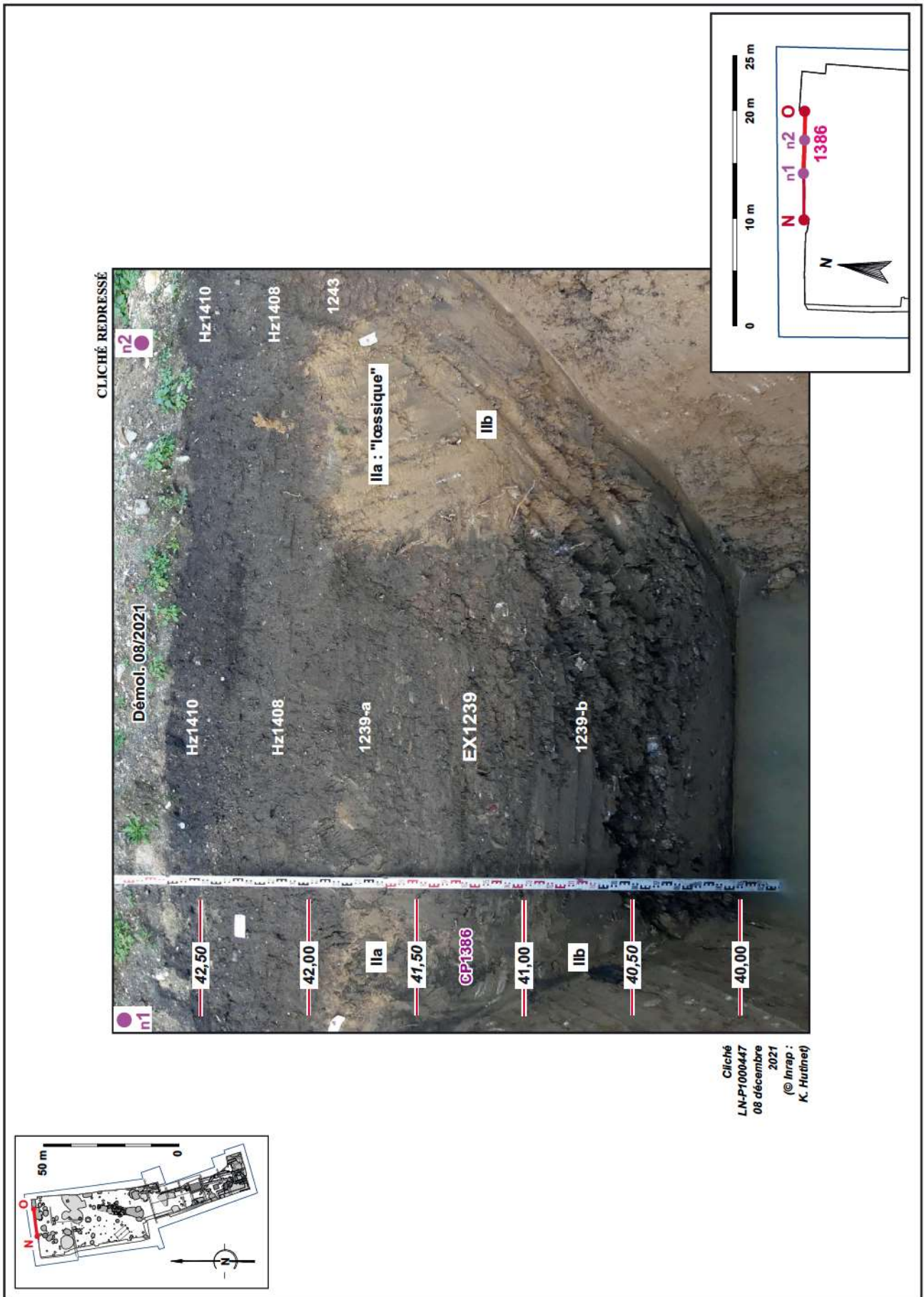
Cliché
LN-P1000426
08 décembre
2021
(© Inrap :
M. Rayati)

PI. 041 Photographie, limite NNO de la fouille, coupe OSO / ENE 1383. Coupe stratigraphique de référence. LM 01 sur 01 © Inrap : G. Desrayaud, M. Rayati

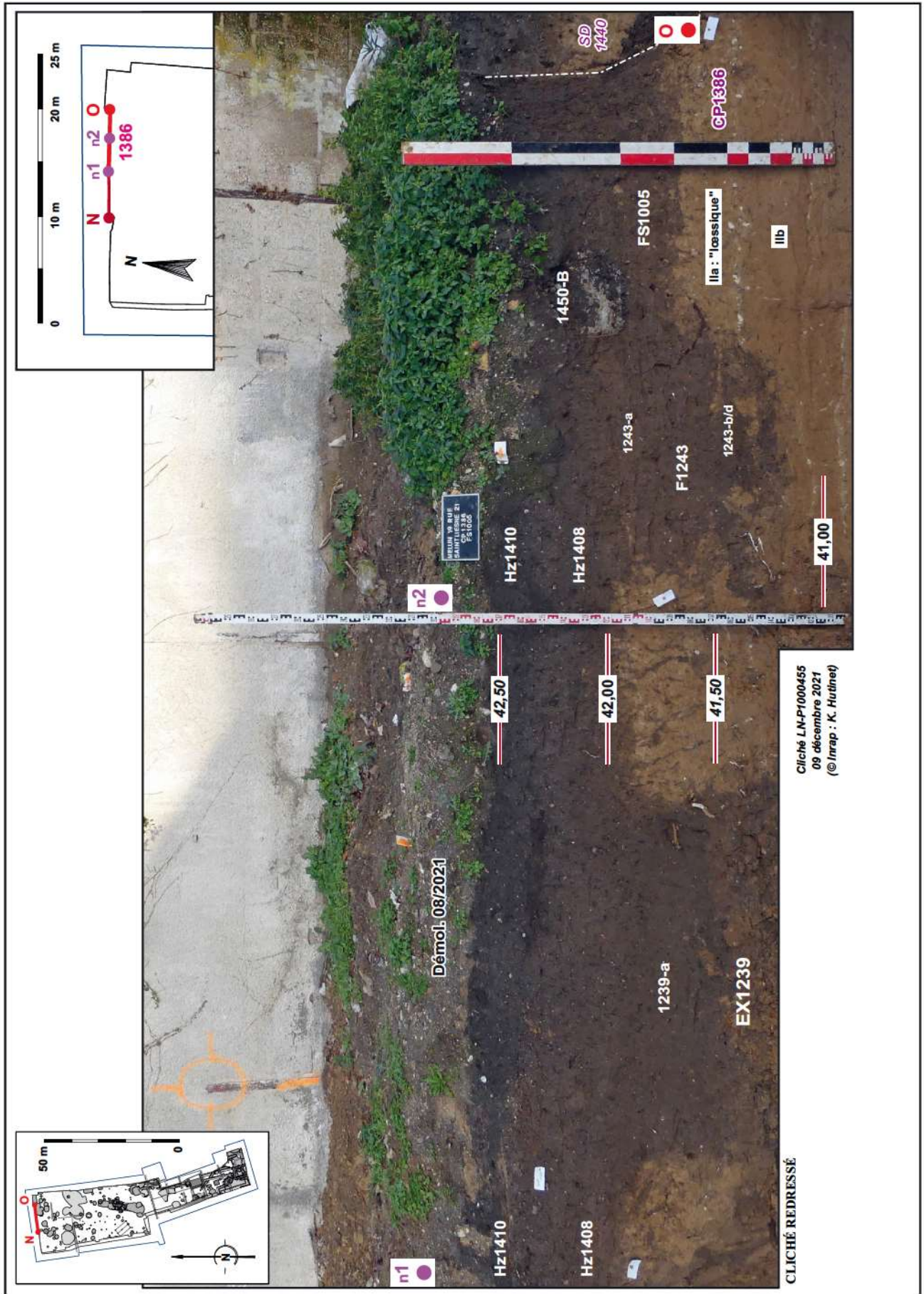
Coupes stratigraphiques de référence - Coupe N-O



Pl. 042 Photographie, limite Nord de la fouille, coupe OSO / ENE 1238. Coupe stratigraphique de référence. Csr-NO 01 sur 03 © Inrap : G. Desrayaud, K. Hutinet

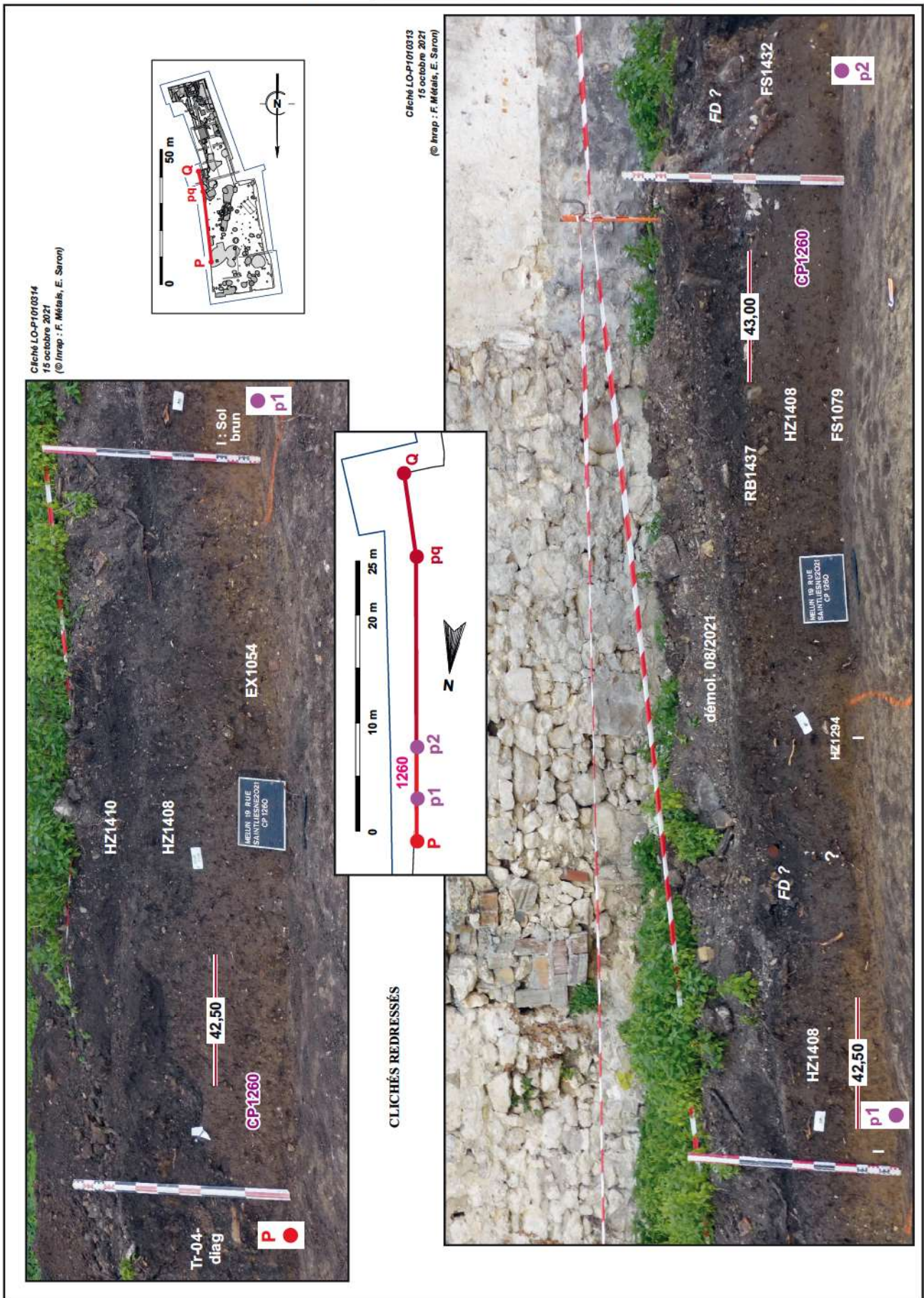


Pl. 043 Photographie, limite Nord de la fouille, partie Ouest de la coupe OSO / ENE 1386. Coupe stratigraphique de référence. Csr-NO 02 sur 03 © Inrap : G. Desrayaud, K. Hutinet

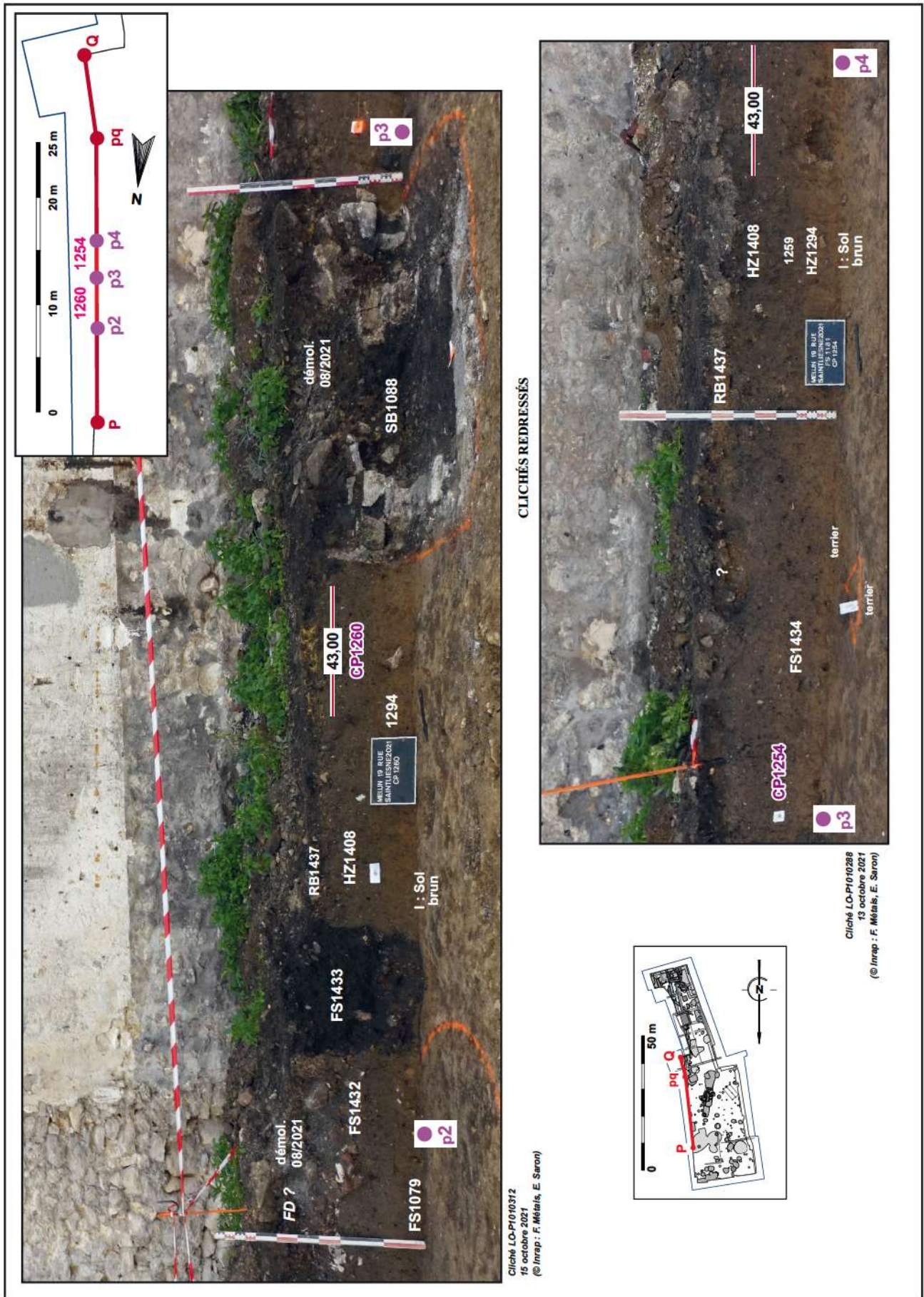


Pl. 044 Photographie, limite Nord de la fouille, partie Est de la coupe OSO / ENE 1386. Coupe stratigraphique de référence. Csr-NO 03 sur 03 © Inrap : G. Desrayaud, K. Hutinet

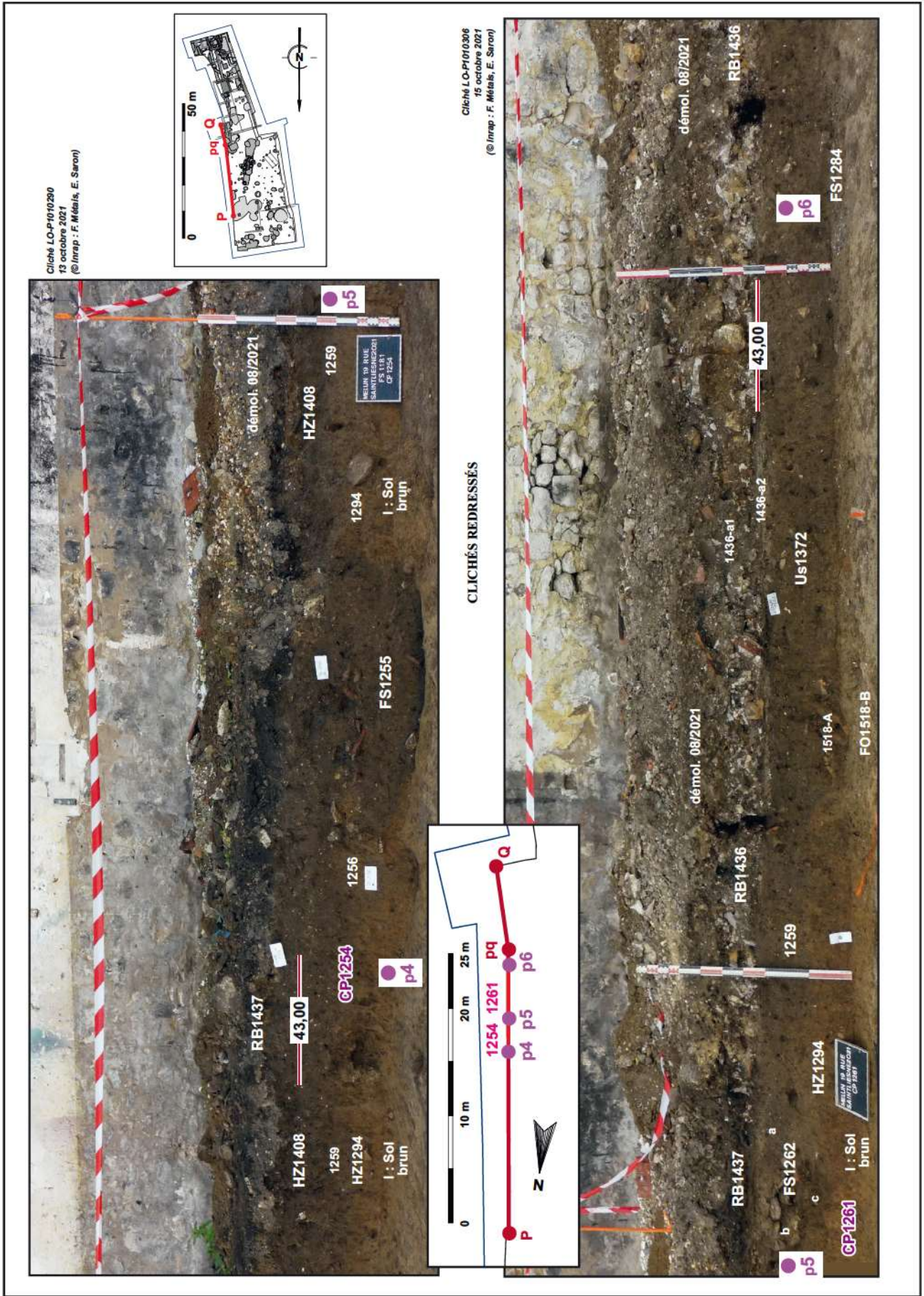
Coupes stratigraphiques de référence - Coupe P-Q



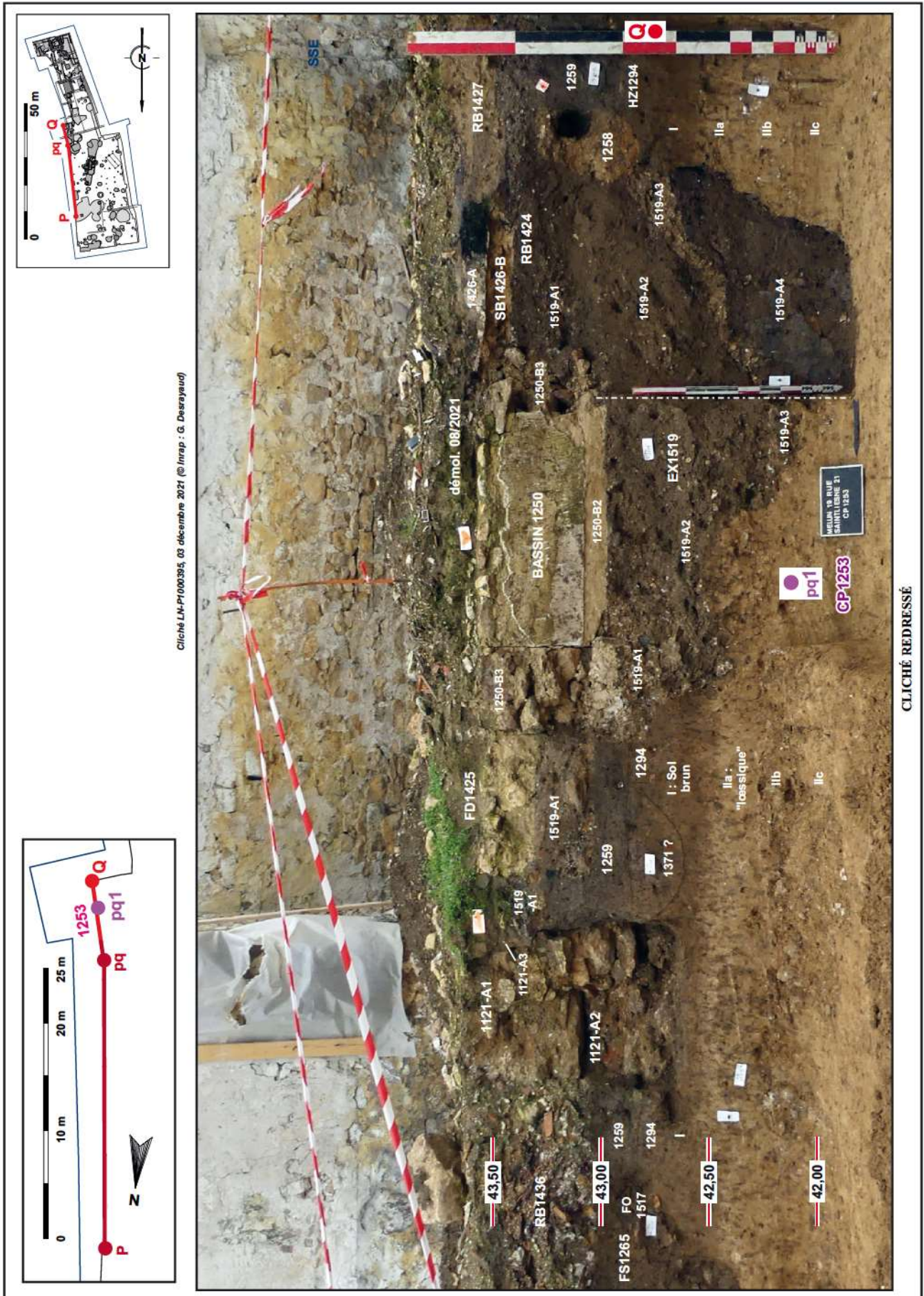
PI. 045 Photographies, limite NE de la fouille, coupe (N(NO) / S(SE) 1260. Coupe stratigraphique de référence. PQ 01 sur 05 © Inrap : G. Desrayaud, F. Métails, E. Saron



Pl. 046 Photographies, limite NE de la fouille, coupe (N/N0) / (S/SE) 1260 et 1254. Coupe stratigraphique de référence. PQ 02 sur 05 © Inrap : G. Desrayaud, F. Métais, E. Saron



Pl. 047 Photographies, limite NE de la fouille, coupe N(N) / S(SE) 1254 et 1261 (sup.). Coupe stratigraphique de référence. PQ 03 sur 05 © Inrap : G. Desrayaud, F. Métails, E. Saron

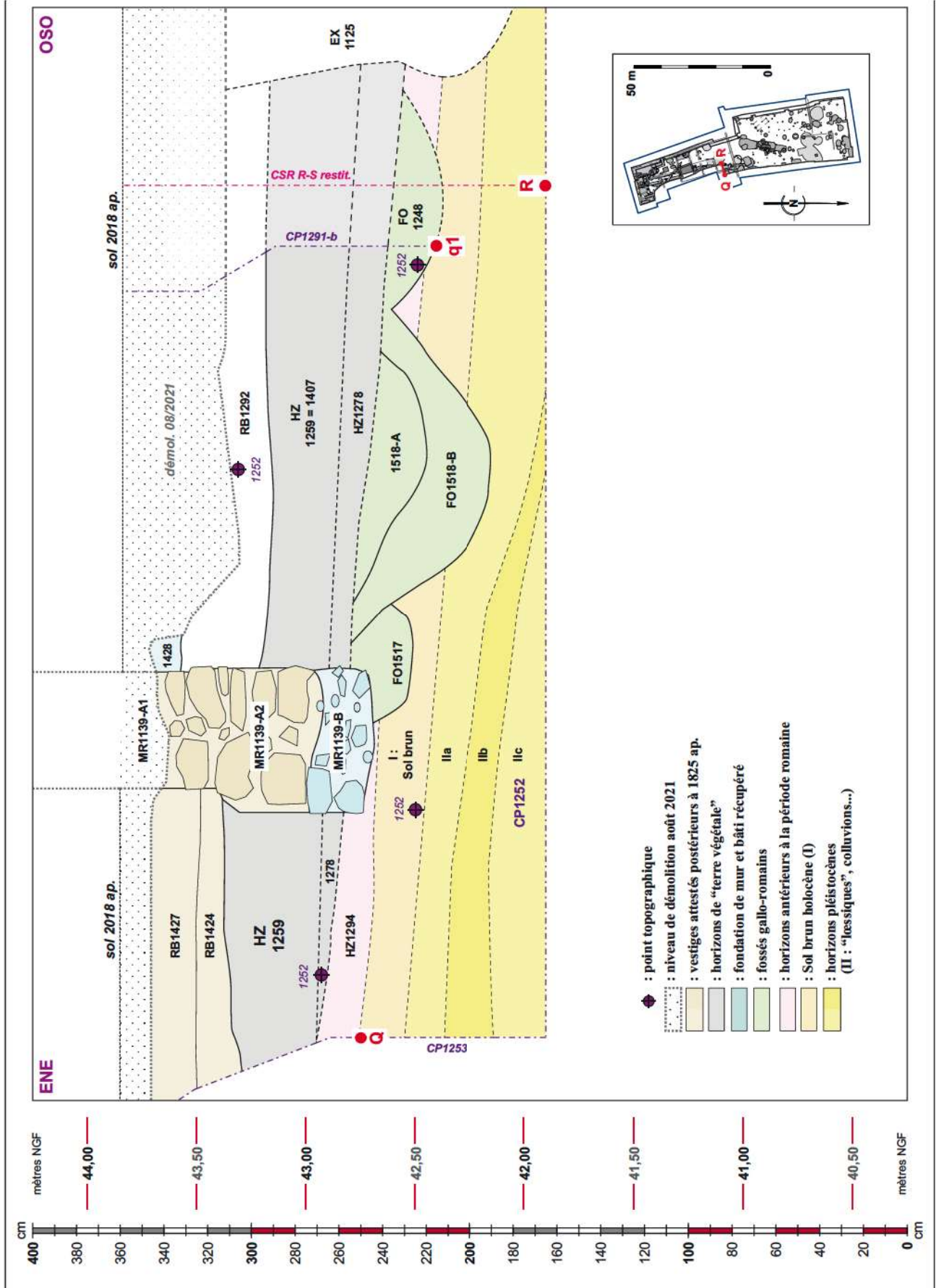


Cliché LN-PI000395, 03 décembre 2021 (© Inrap : G. Desrayaud)

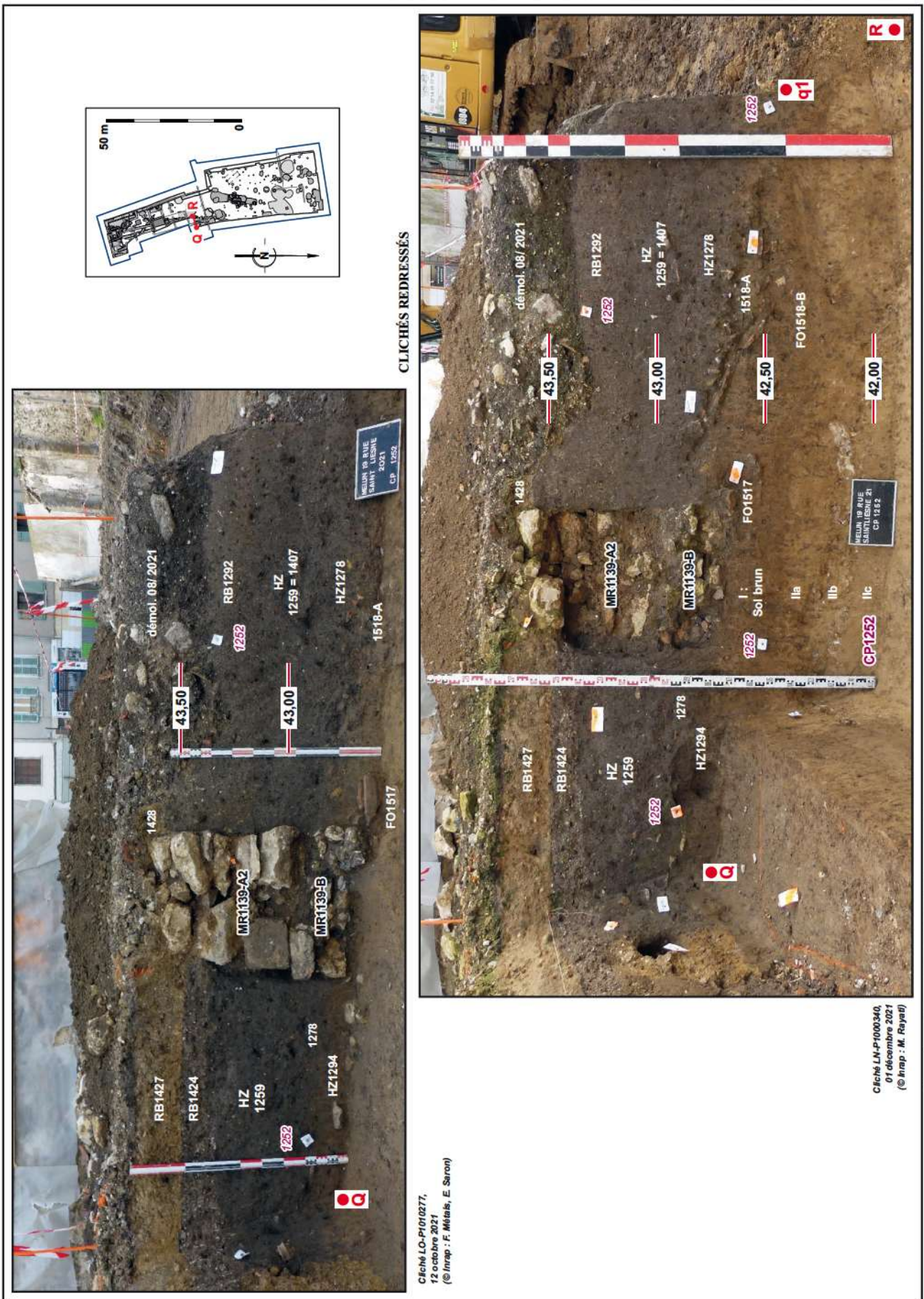
CLICHÉ REDRESSÉ

Pl. 049 Photographie, limite centre Est de la fouille, partie Sud de la coupe NNO/SSE 1253. Coupe stratigraphique de référence. PQ 05 sur 05 © Inrap : G. Desrayaud

Coupes stratigraphiques de référence - Coupe Q-R

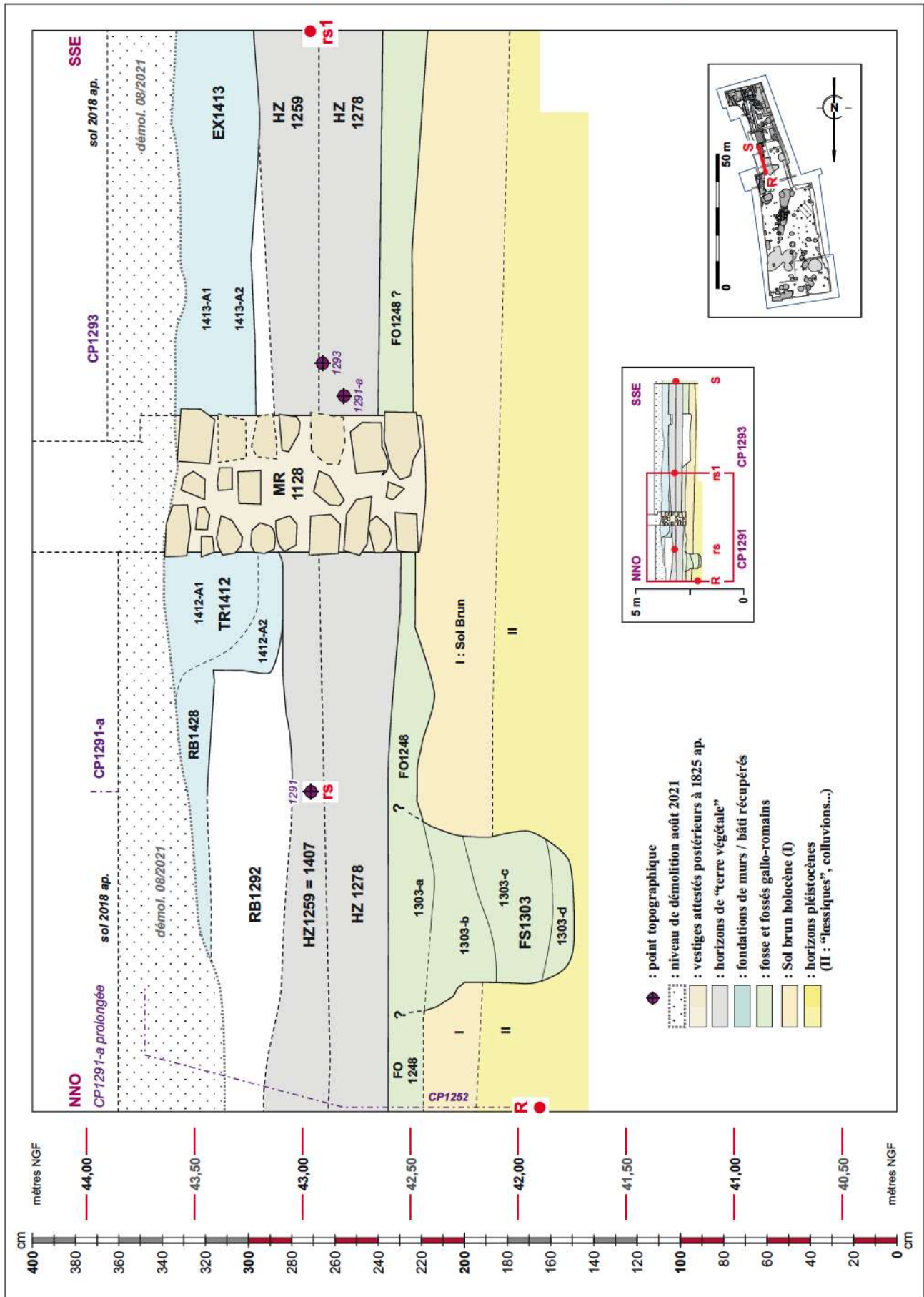


Pl. 050 Dessin, limite centre Est de la fouille, ENE / OSO, coupe 1252. Coupe stratigraphique de référence. QR 01 sur 02 © Inrap : G. Desrayaud

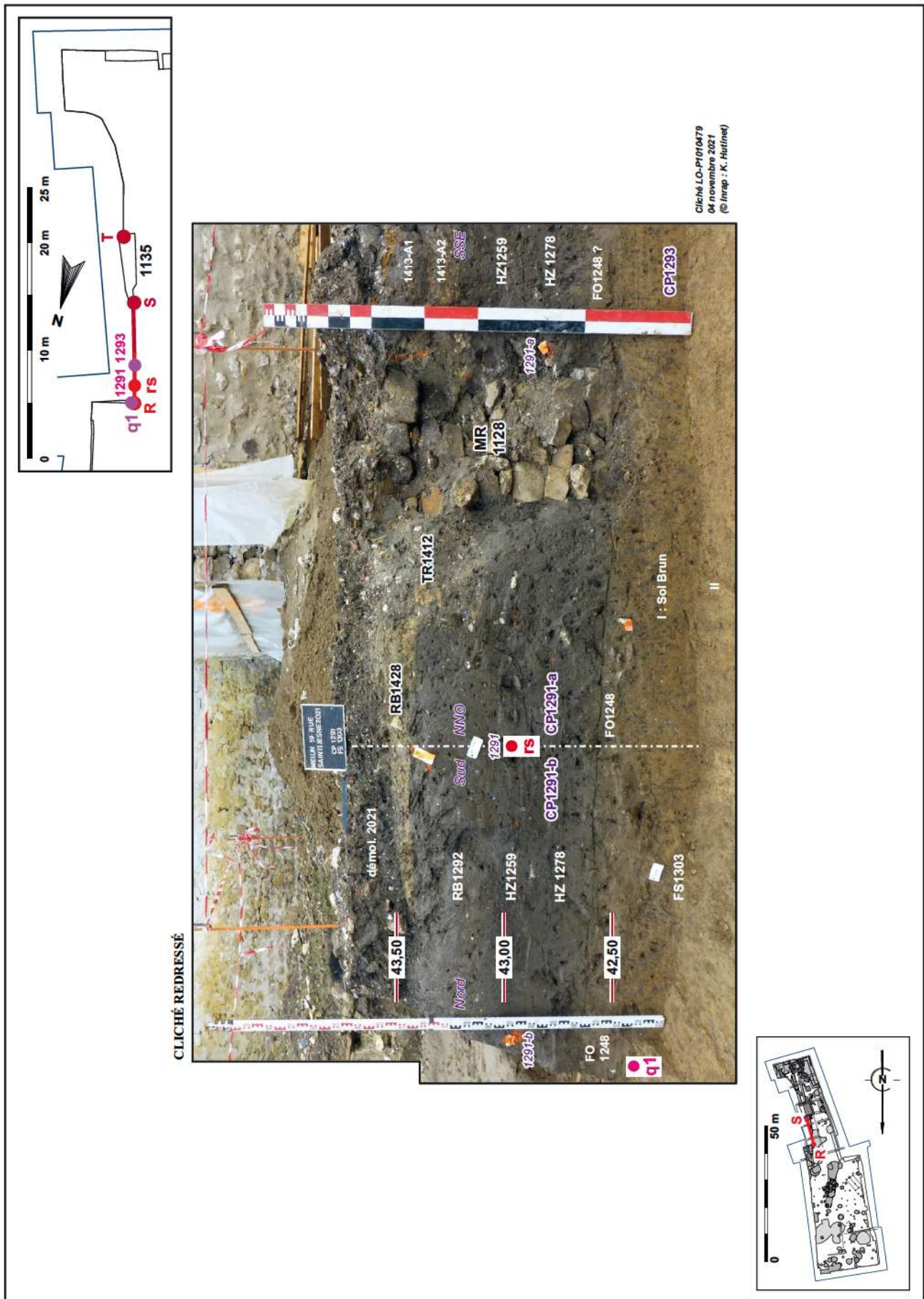


PI. 051 Photographies, limite centre Est de la fouille, ENE / OSO, coupe 1252. Coupe stratigraphique de référence. QR 02 sur 02 © Inrap : G. Desrayaud, F. Métais, M. Rayat, E. Saron

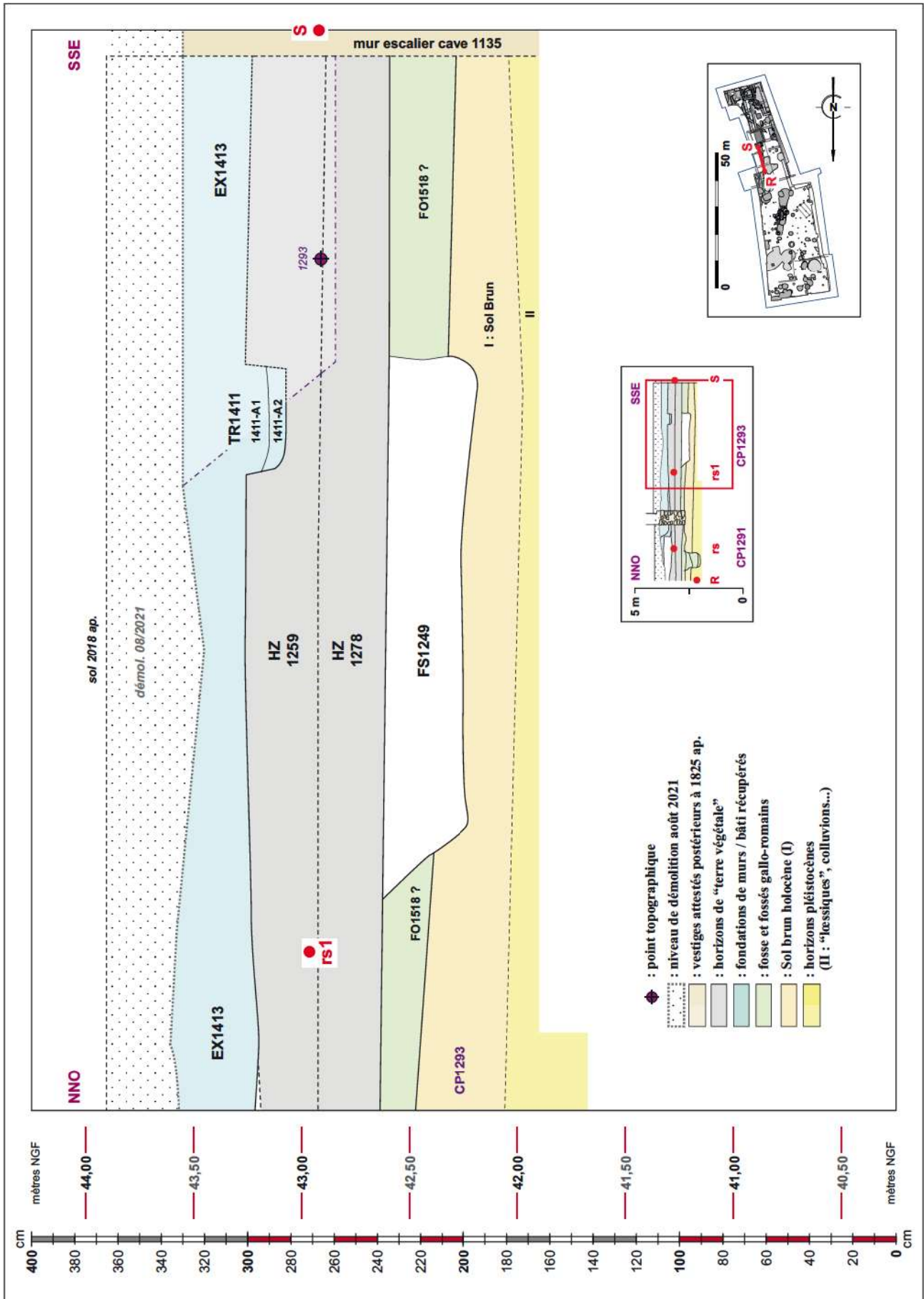
Coupes stratigraphiques de référence - Coupe R-S



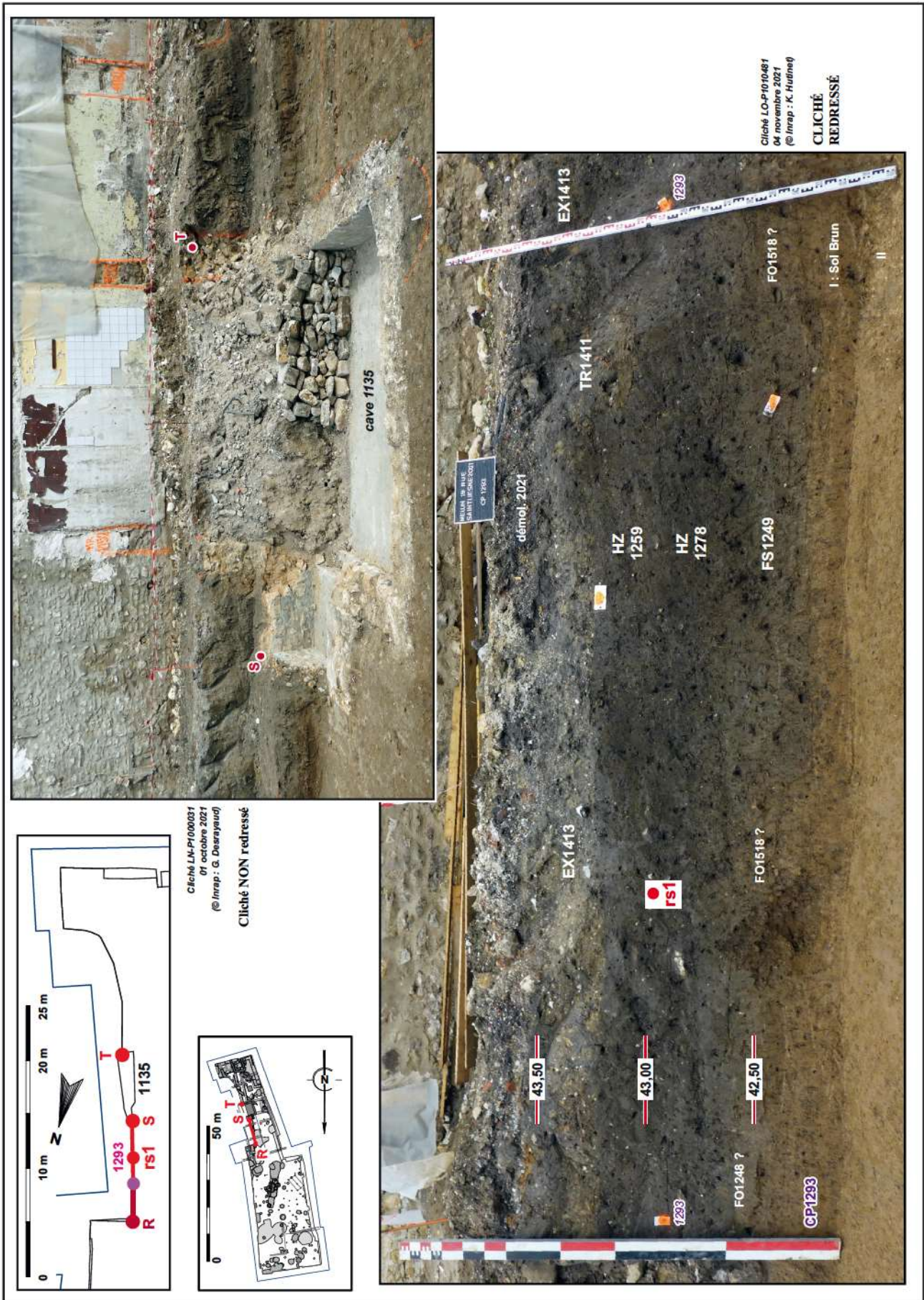
PI. 052 Dessin, limite SE de la fouille, NNO / SSE, coupes 1291 et 1293 Nord. Coupe stratigraphique de référence. RS 01 sur 04 © Inrap : G. Desrayaud



PI. 053 Photographie, limite SE de la fouille, coupes Nord / Sud 1291-b et NNO / SSE 1291-a. Coupe stratigraphique de référence. RS 02 sur 04 © Inrap : G. Desrayaud, K. Hutinet.



Pl. 054 Dessin, limite SE de la fouille, NNO / SSE, coupe 1293. Coupe stratigraphique de référence. RS 03 sur 04 © Inrap : G. Desrayaud



Pl. 055 Photographies, limite SE de la fouille, coupe NNO / SSE 1293 et vue de la cave contemporaine 1135. Coupe stratigraphique de référence. RS 04 sur 04
© Inrap : G. Desrayaud, K. Hutinet

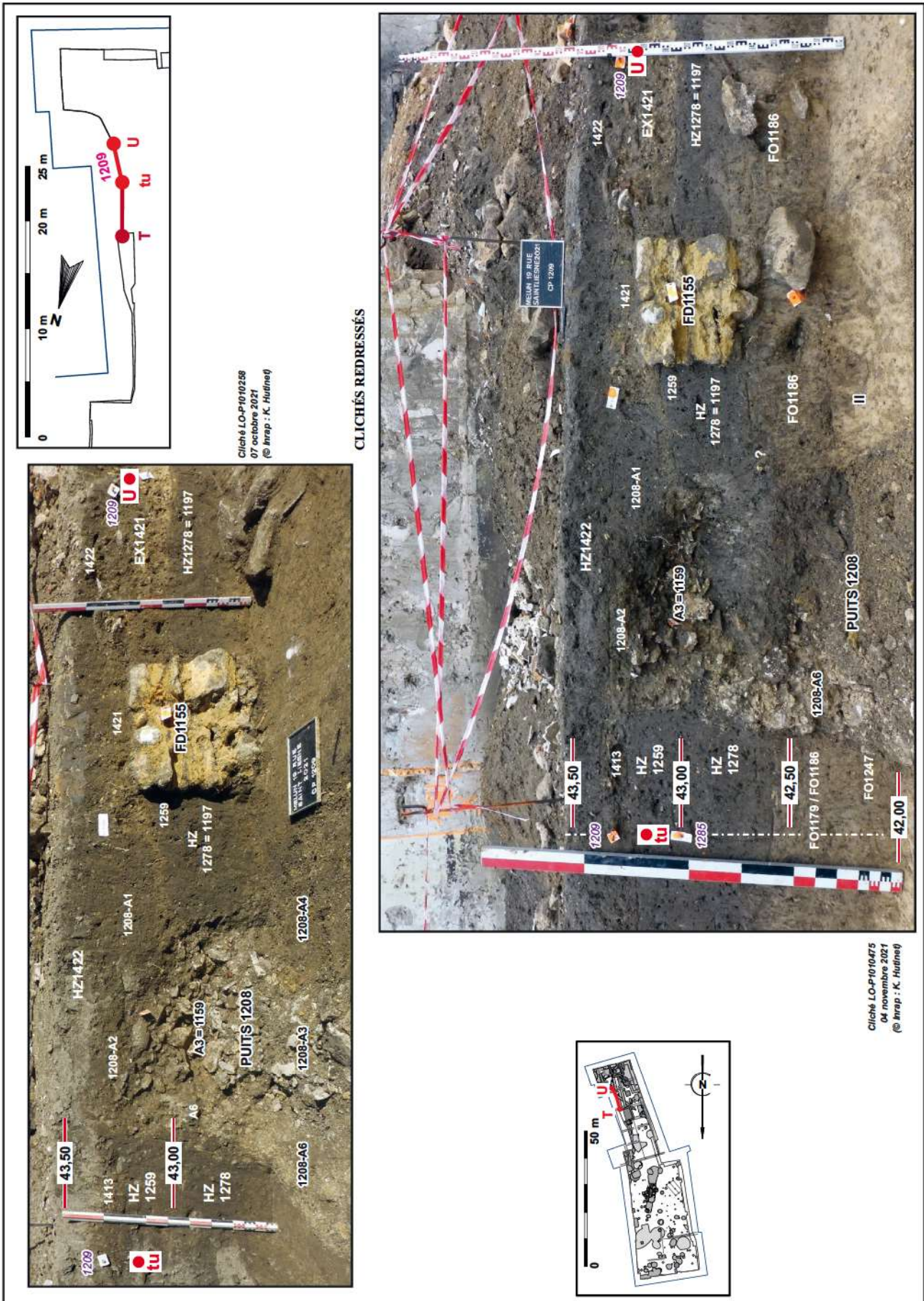
Coupes stratigraphiques de référence - Coupe T-U



Cliché LO-P1010409
26 octobre 2021
(© Inrap : K. Hutheg)

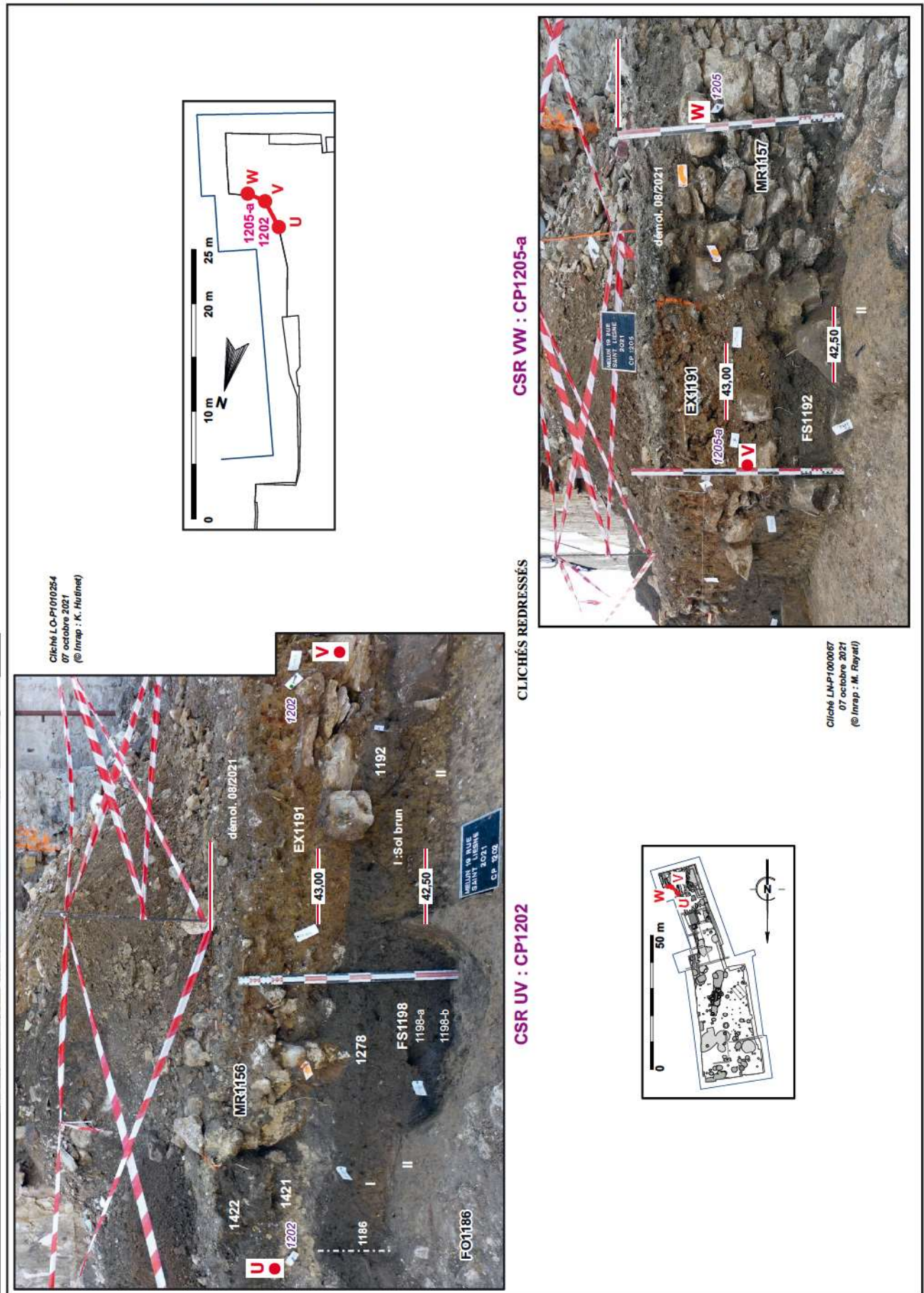
Cliché LO-P1010477
04 novembre 2021
(© Inrap : K. Hutheg)

PI. 056 Photographies, limite SE de la fouille, coupe NNO / SSE 1285. Coupe stratigraphique de référence. TU 01 sur 02 © Inrap : G. Desrayaud, K. Hutinet



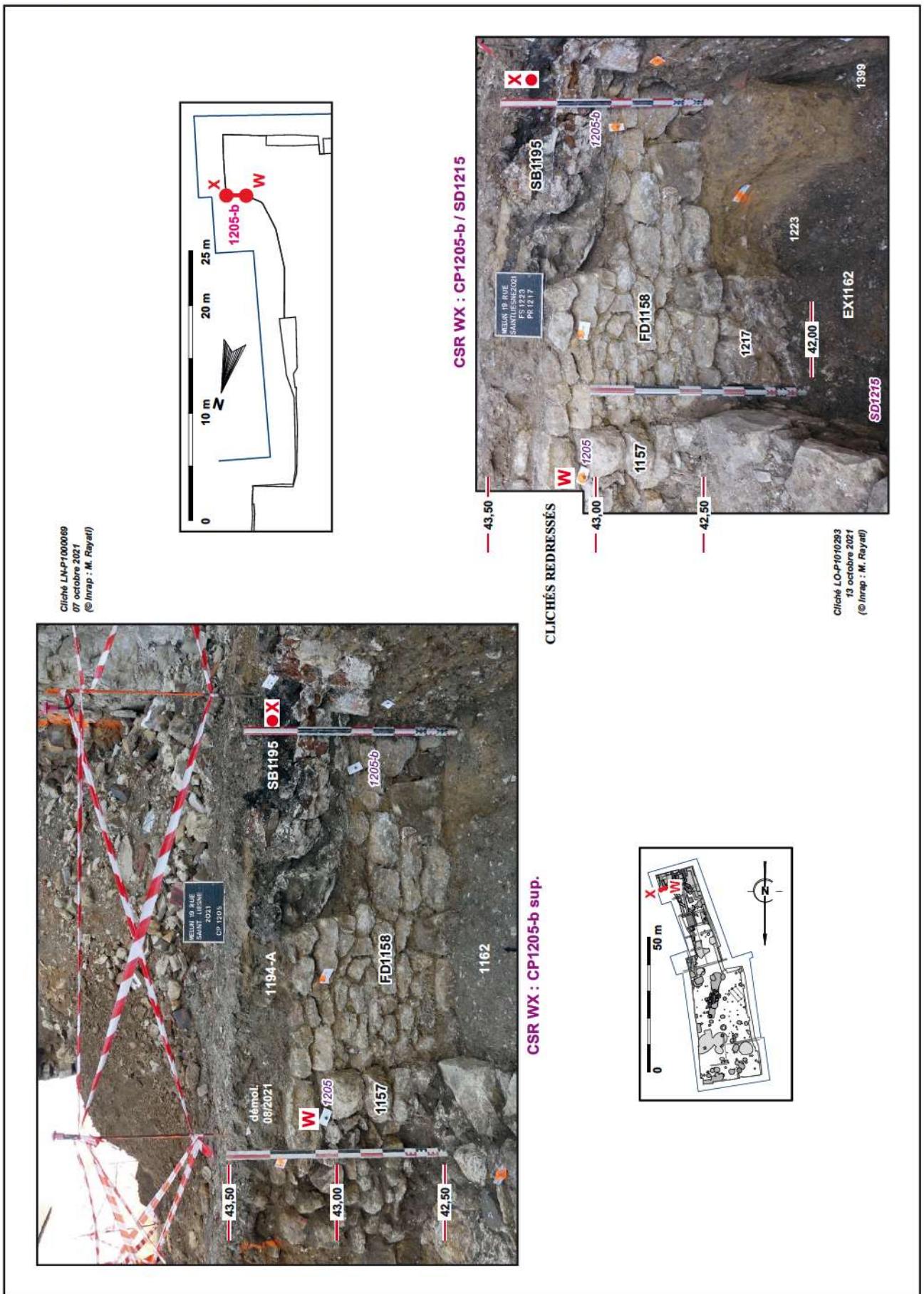
PI. 057 Photographies, limite SE de la fouille, coupe (NNO / (S)SE 1209. Coupe stratigraphique de référence. TU 02 sur 02 © Inrap : G. Desrayaud, K. Hutinet

Coupes stratigraphiques de référence - Coupes U-V et V-W



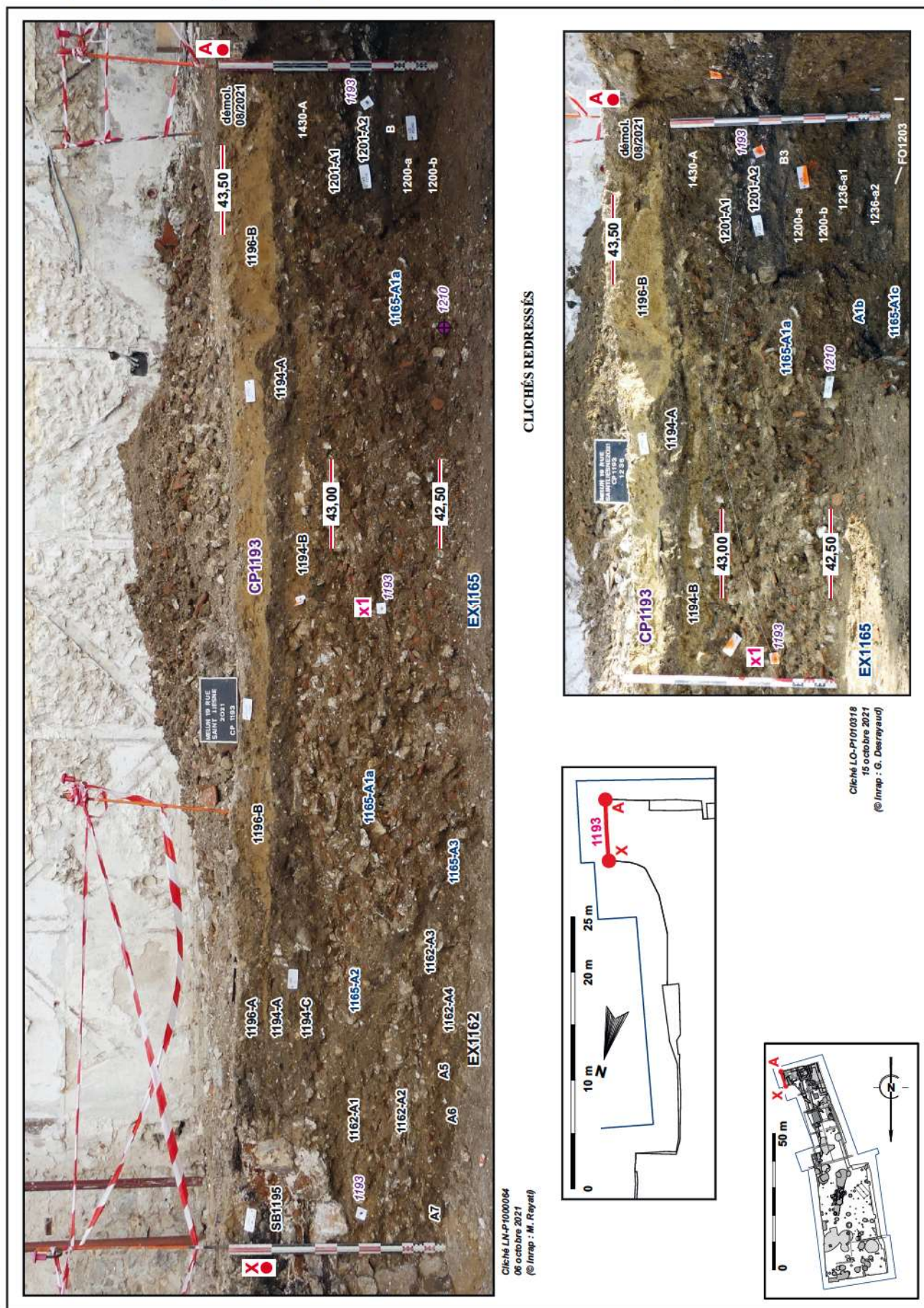
Pl. 058 Photographies, limite SSE de la fouille, coupes NO / SE 1202 et ONO / ESE 1205-a. Coupes stratigraphiques de référence. UV et VW 01 sur 01 © Inrap : G. Desrayaud, K. Hutinet, M. Rayati

Coupes stratigraphiques de référence - Coupe W-X



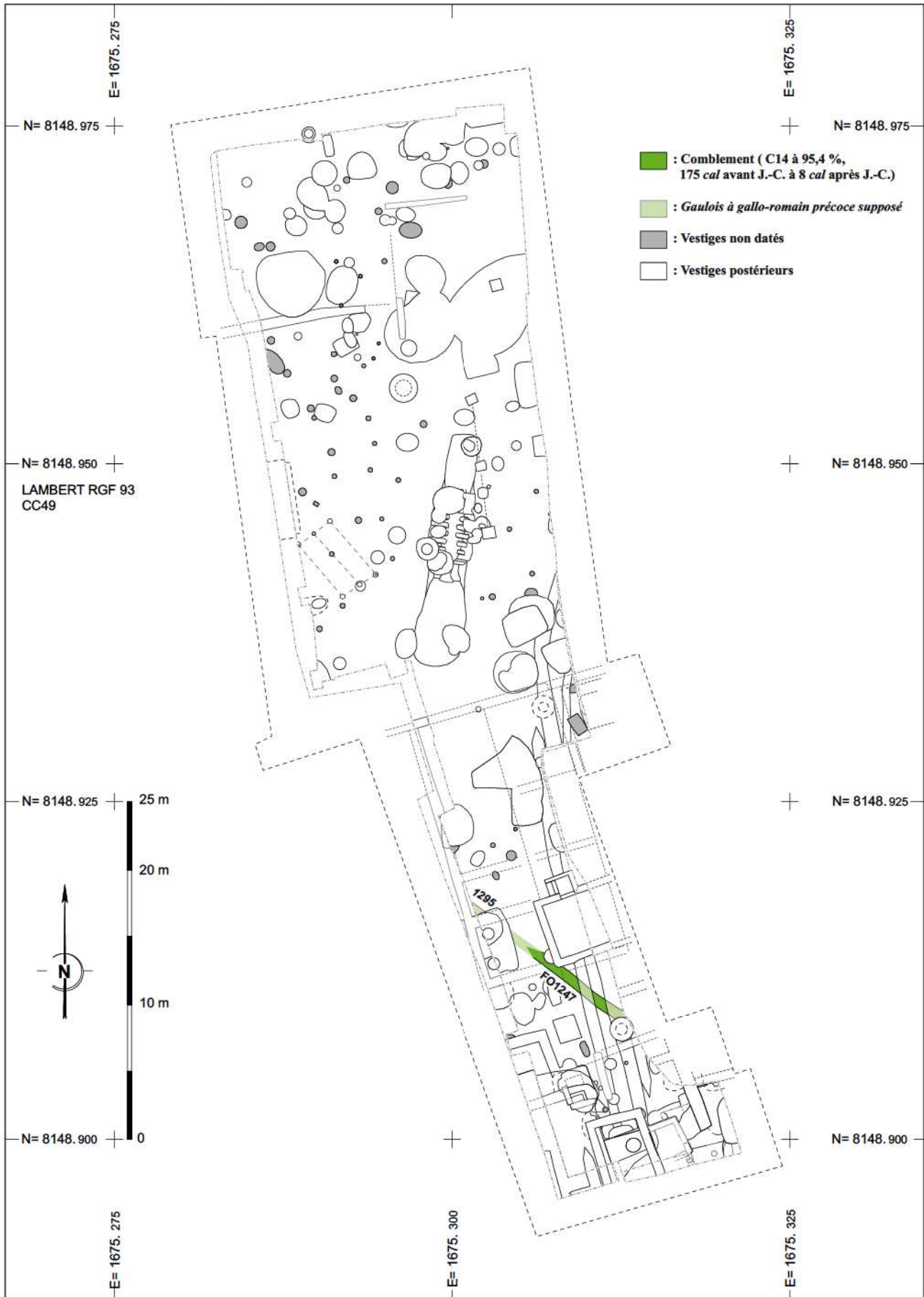
PI. 059 Photographies, limite SSE de la fouille, coupe 1205-b (parements de fondation) OSO / ENE. Coupe stratigraphique de référence. WX 01 sur 01 © Inrap : G. Desrayaud, M. Rayati

Coupes stratigraphiques de référence - Coupe X-A



Pl. 060 Photographies, limite SSE de la fouille, coupe NNO / SSE 1193. Coupe stratigraphique de référence. XA 01 sur 01 © Inrap : G. Desrayaud, M. Rayati

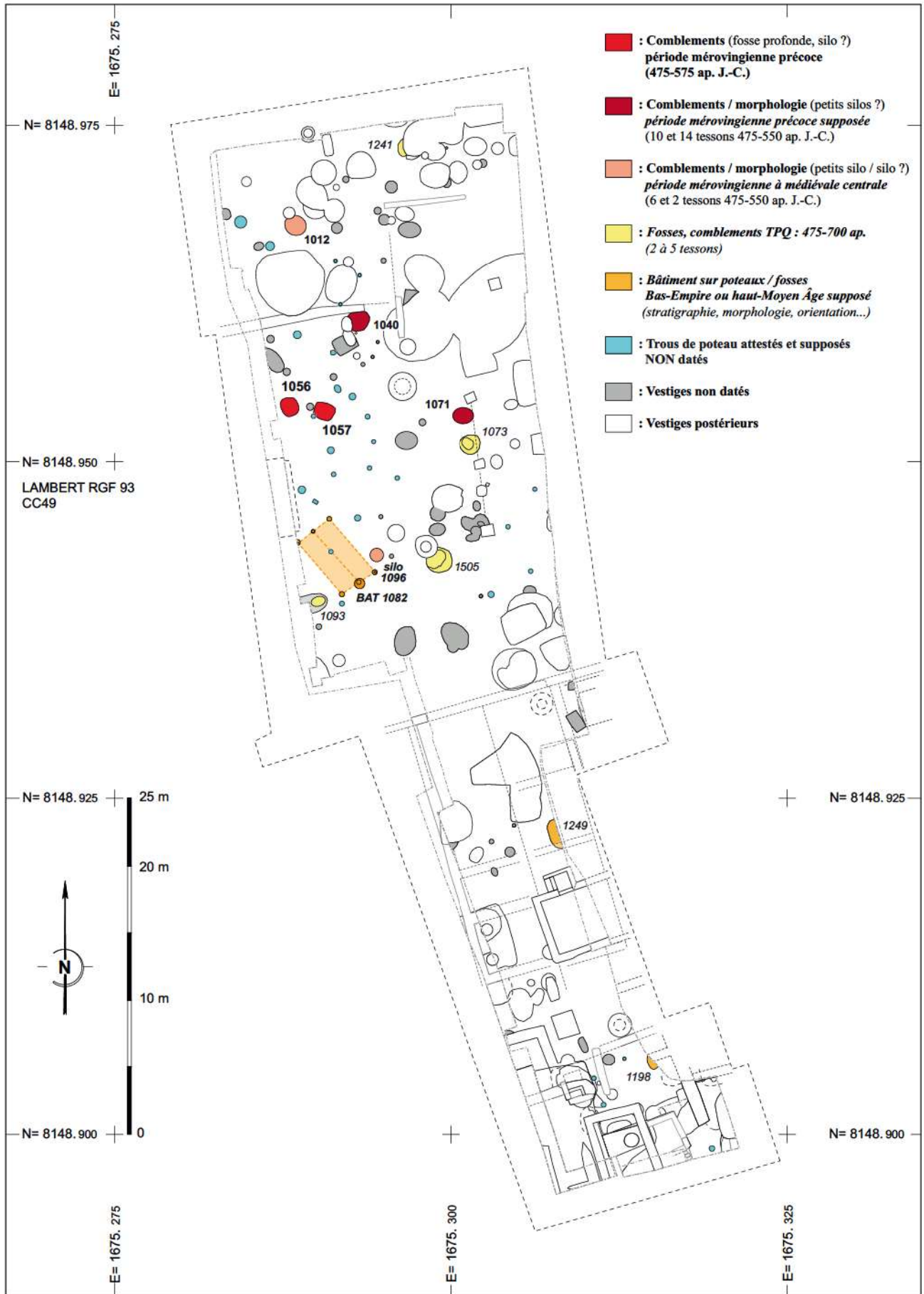
Plans phasés par période estimée



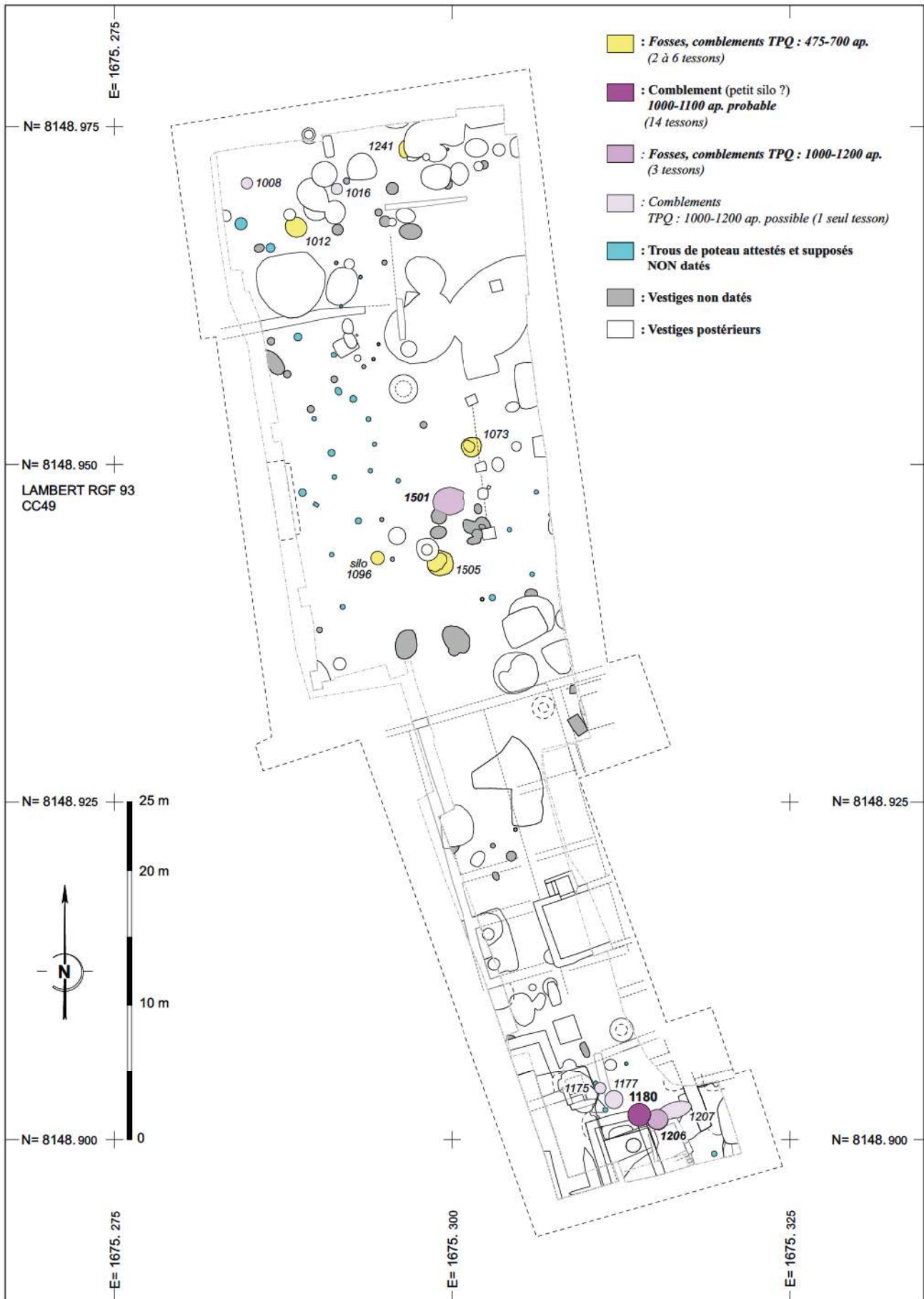
PI. 061 Melun, 19 rue Saint-Liesne. Proposition de phasage en plan pour la période gauloise à romaine précoce, intervalle 200 avant-10 après J.-C. © Inrap : G. Desrayaud



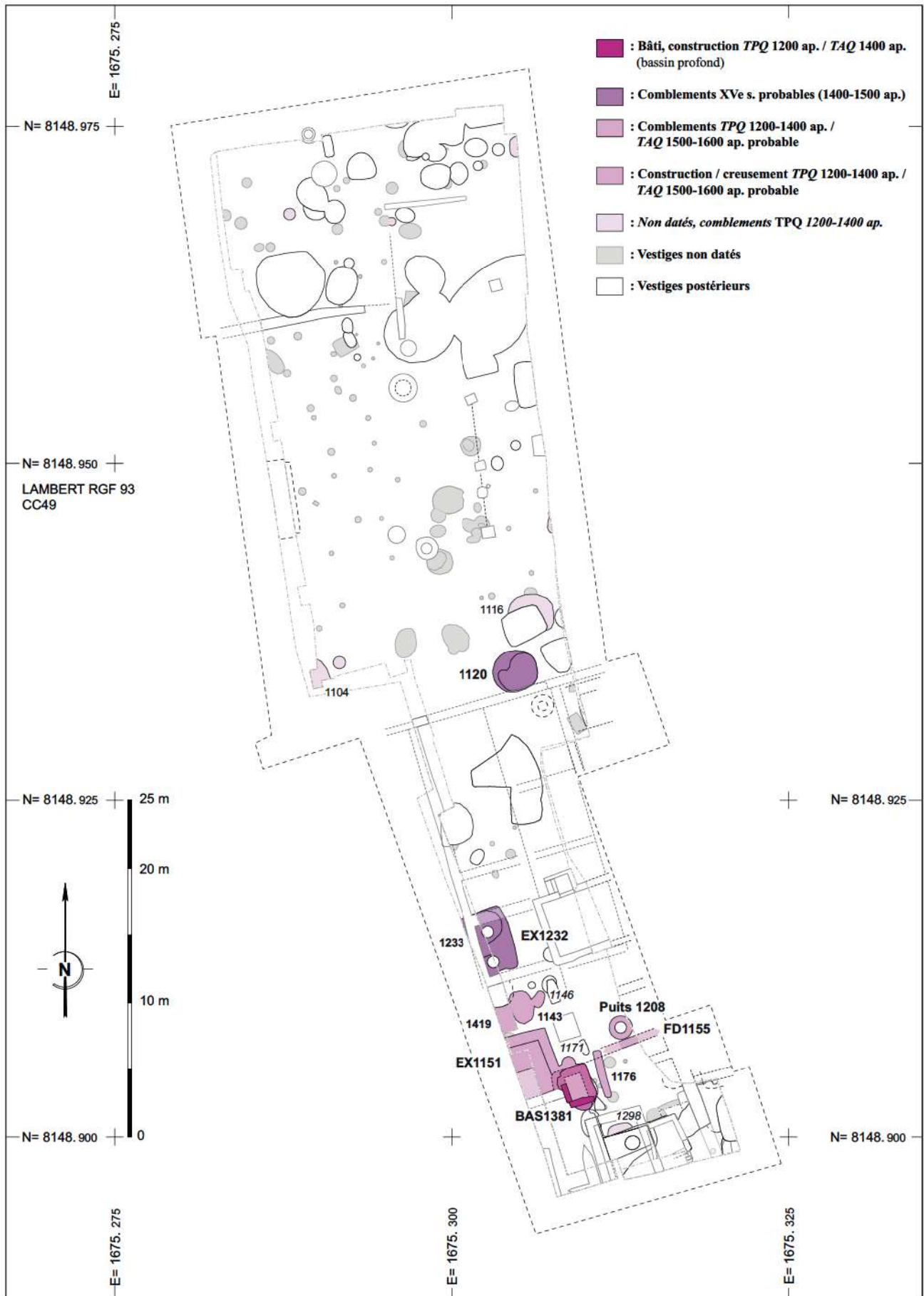
Pl. 062 Melun, 19 rue Saint-Liesne. Proposition de phasage en plan pour la période romaine (Haut-Empire), intervalle 35 avant-300 après J.-C. © Inrap : G. Desrayaud



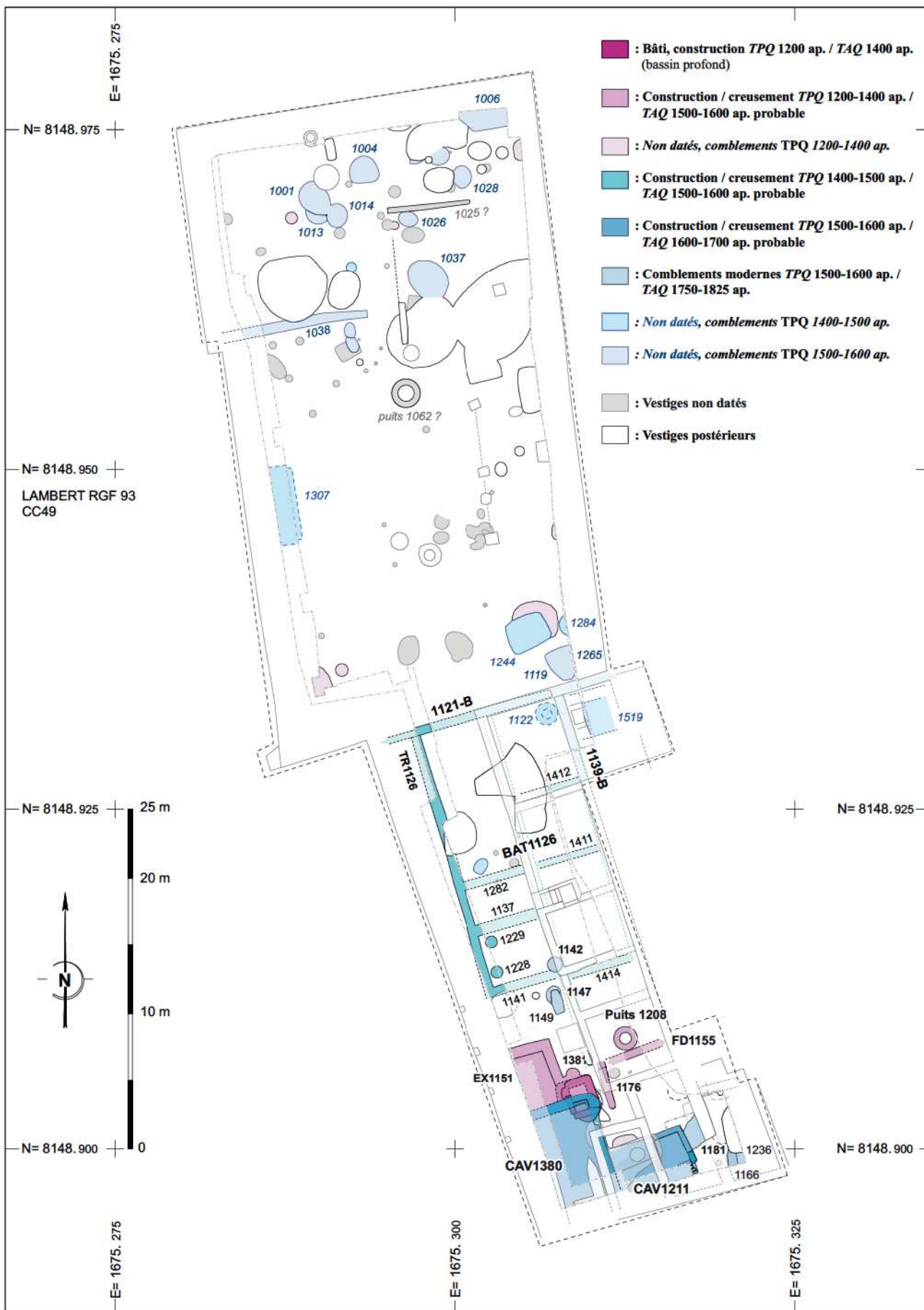
Pl. 063 Melun, 19 rue Saint-Liesne. Proposition de phasage en plan pour la période mérovingienne précoce (fin V^e-milieu VI^e s.), intervalle 475-575 ap. J.-C. © Inrap : G. Desrayaud



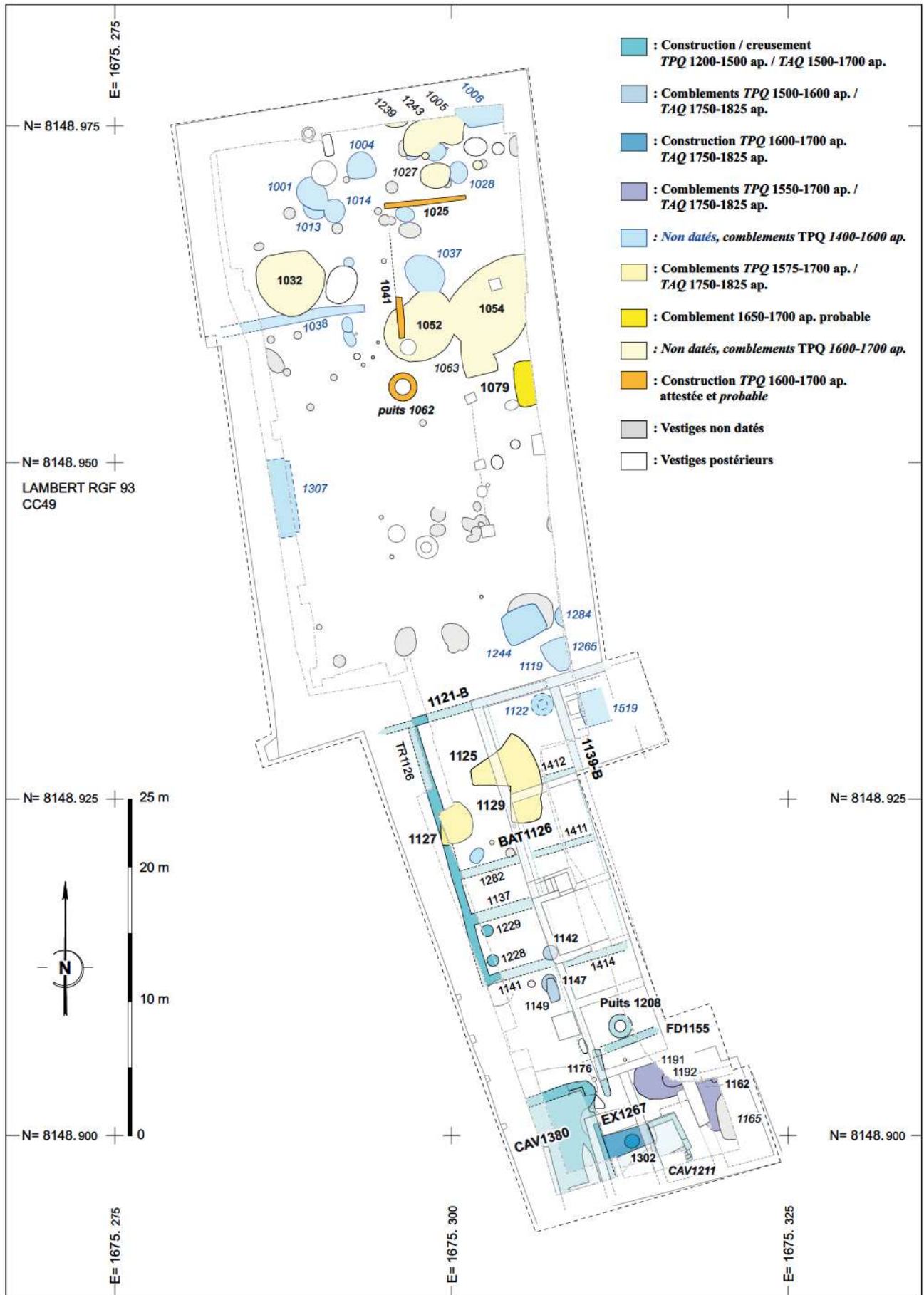
Pl. 064 Melun, 19 rue Saint-Liesne. Proposition de phasage en plan pour la période médiévale centrale (XI^e-XII^e s.), intervalle 1000-1200 ap. J.-C. © Inrap : G. Desrayaud



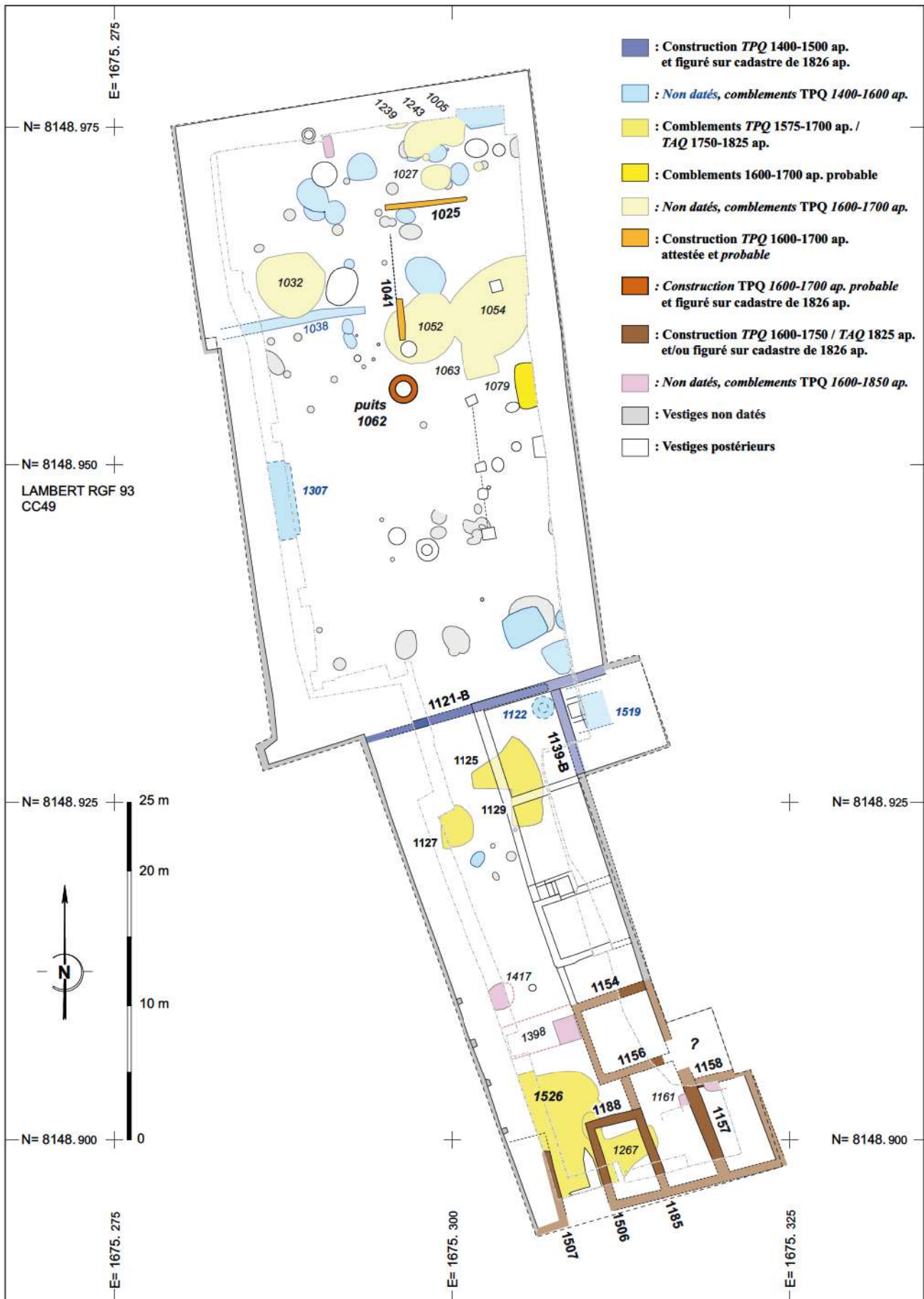
Pl. 065 Melun, 19 rue Saint-Liesne. Proposition de phasage en plan pour la période du bas Moyen Âge (XIII^e-XV^e s.), intervalle 1200-1500 ap. J.-C. © Inrap : G. Desrayaud



PI. 066 Melun, 19 rue Saint-Liesne. Proposition de phasage en plan pour la première partie de la période moderne (XV^e-XVI^e s.), intervalle 1400-1600 ap. J.-C.



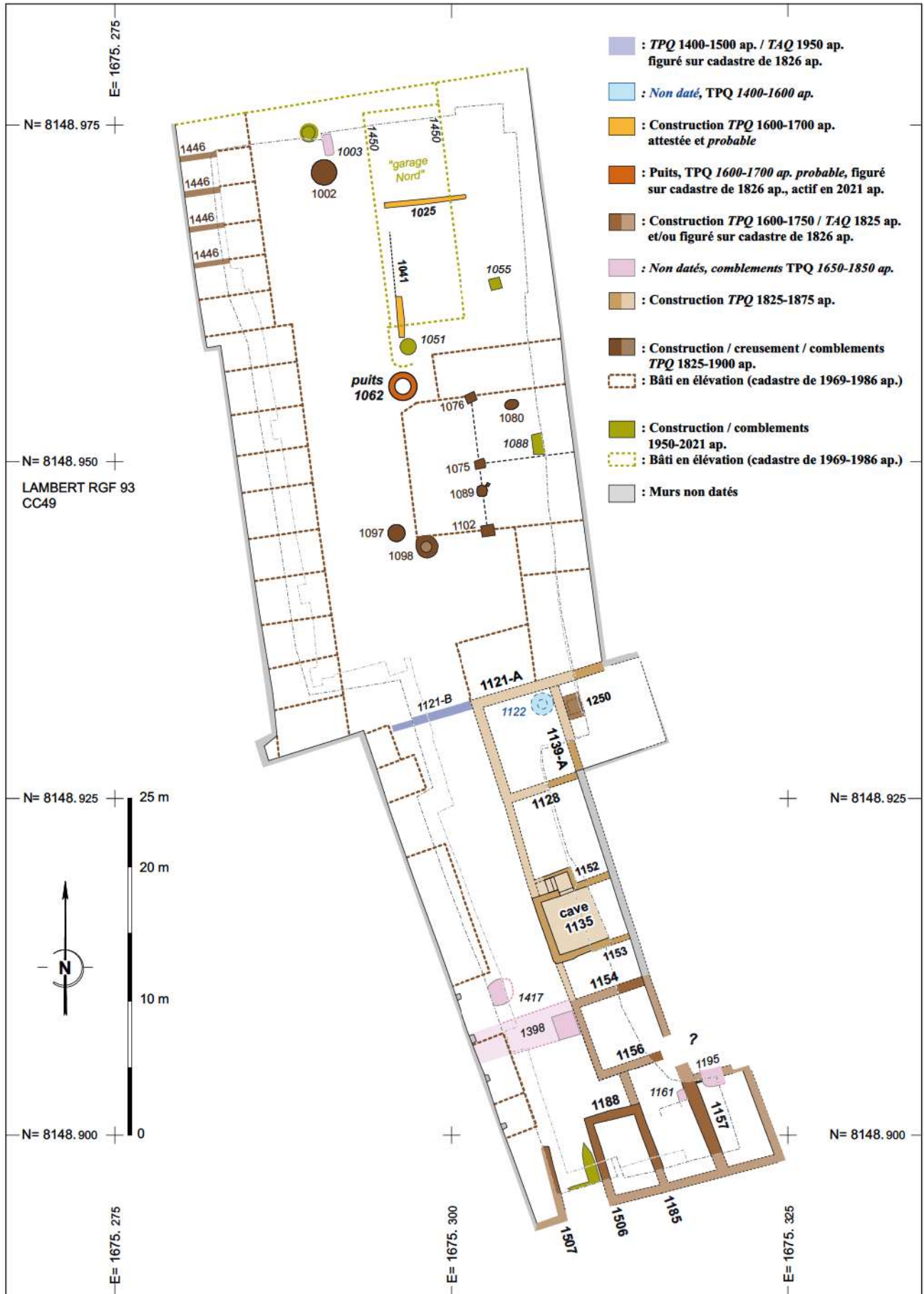
Pl. 067 Melun, 19 rue Saint-Liesne. Proposition de phasage en plan pour la seconde partie de la période moderne (2^{de} moitié XVI^e-XVIII^e s.), intervalle 1550-1700 / 1750-1825 ap. J.-C. © Inrap : G. Desrayaud



PI. 068 Melun, 19 rue Saint-Liesne. Proposition de phasage en plan pour la fin de la période moderne et le début de la période «contemporaine» (XVIII^e-début XIX^e s.), intervalle 1700-1825 ap. J.-C. © Inrap : G. Desrayaud



PI. 069 Melun, 19 rue Saint-Liesne. Extrait du cadastre «napoléonien» de 1826 © Archives départementales de Seine-et-Marne, cote 4P37/689 ; © Inrap ; G. Desrayaud

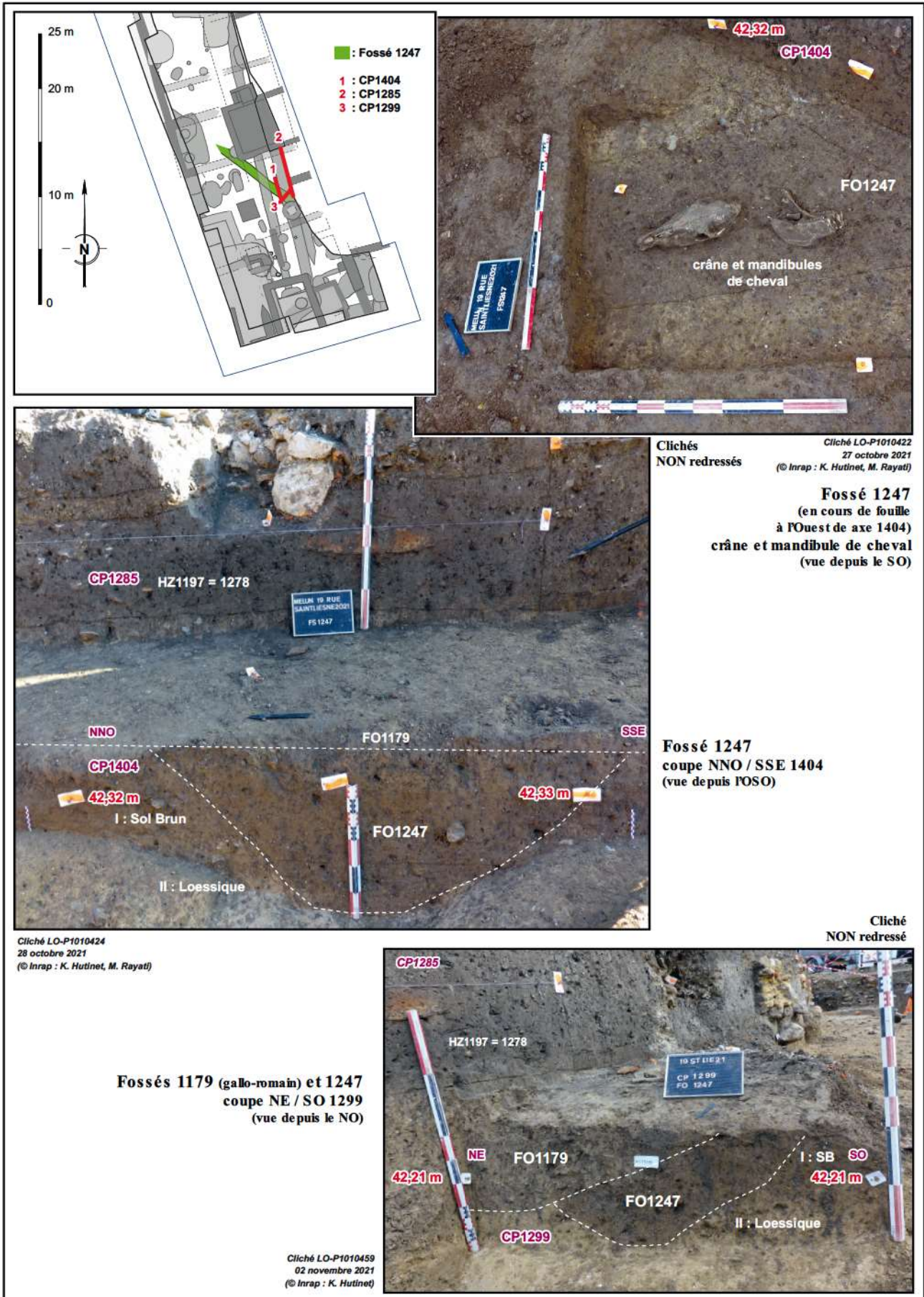


PI. 070 Melun, 19 rue Saint-Liesne. Proposition de phasage en plan pour la période «contemporaine» à «actuelle» (XIX^e-début XXI^e s.), intervalle 1825-2021 ap. J.-C.
 © Inrap : G. Desrayaud

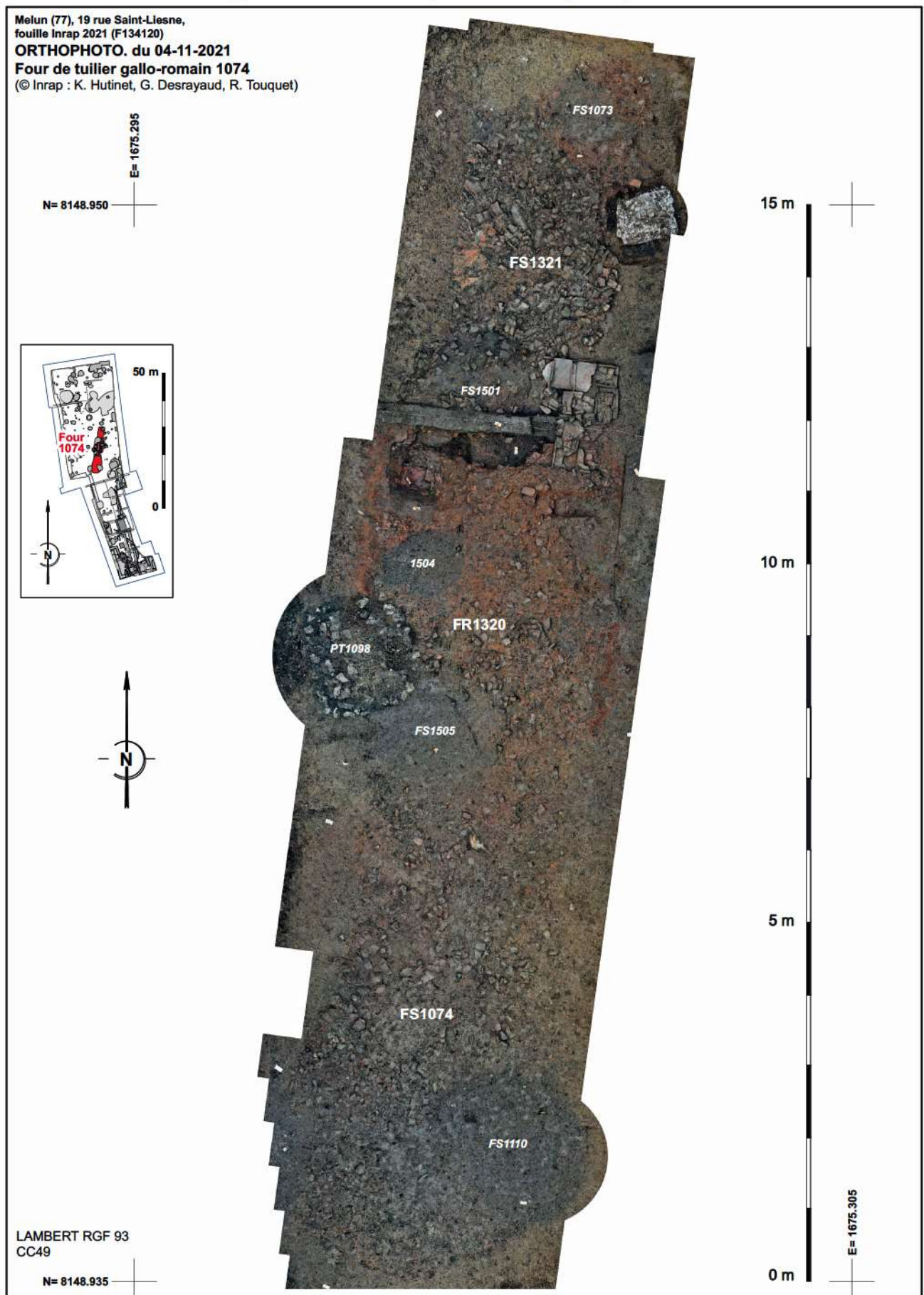


PI. 071 Melun, 19 rue Saint-Liesne. Extrait du cadastre de 1969-1986 et photographies aériennes redressées de 1950-1965 et de 2000-2005 © Archives départementales de Seine-et-Marne, doc. 2566W10655 ; © IGN ; © Inrap ; G. Desrayaud

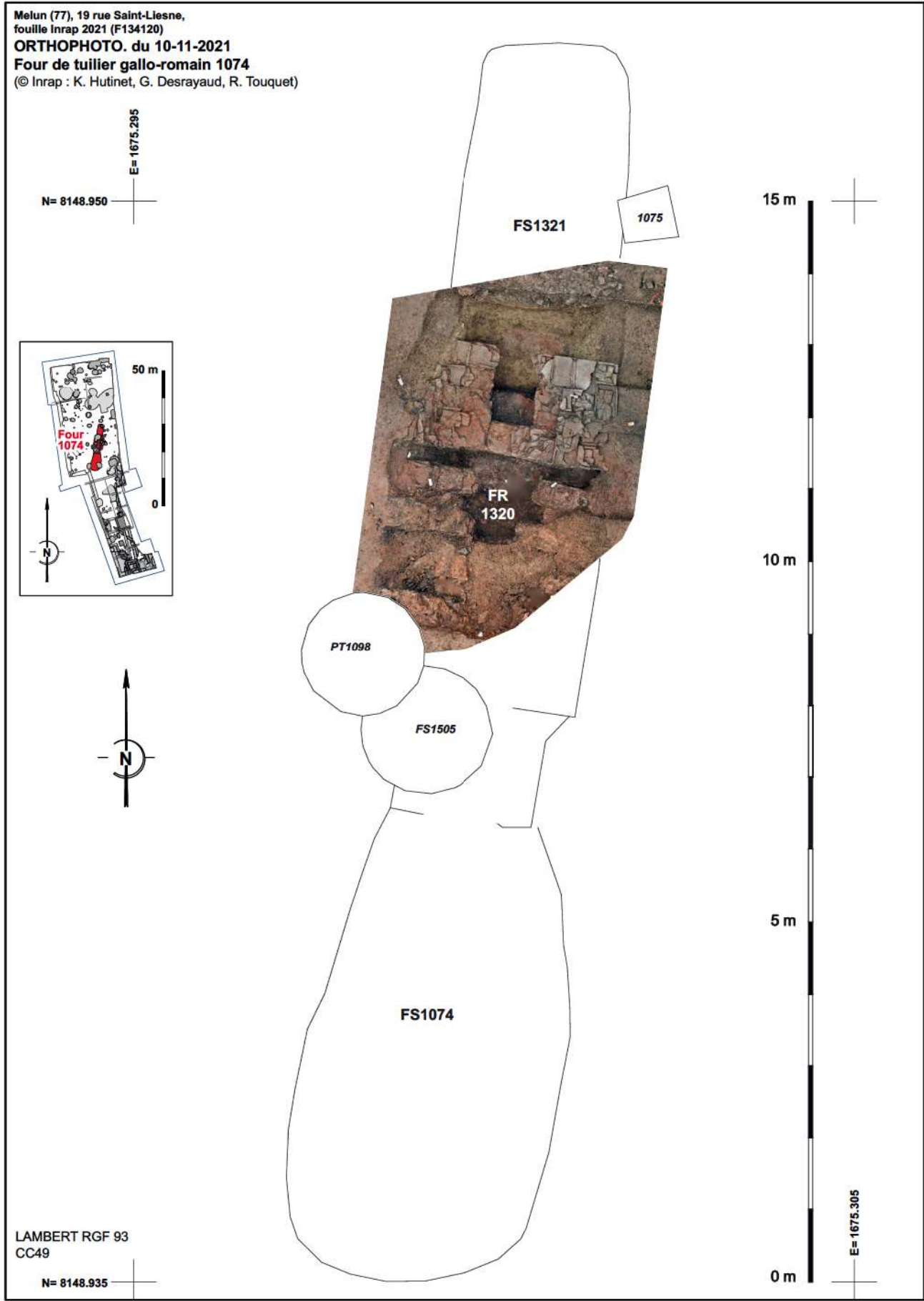
Fossé gaulois à gallo-romain précoce



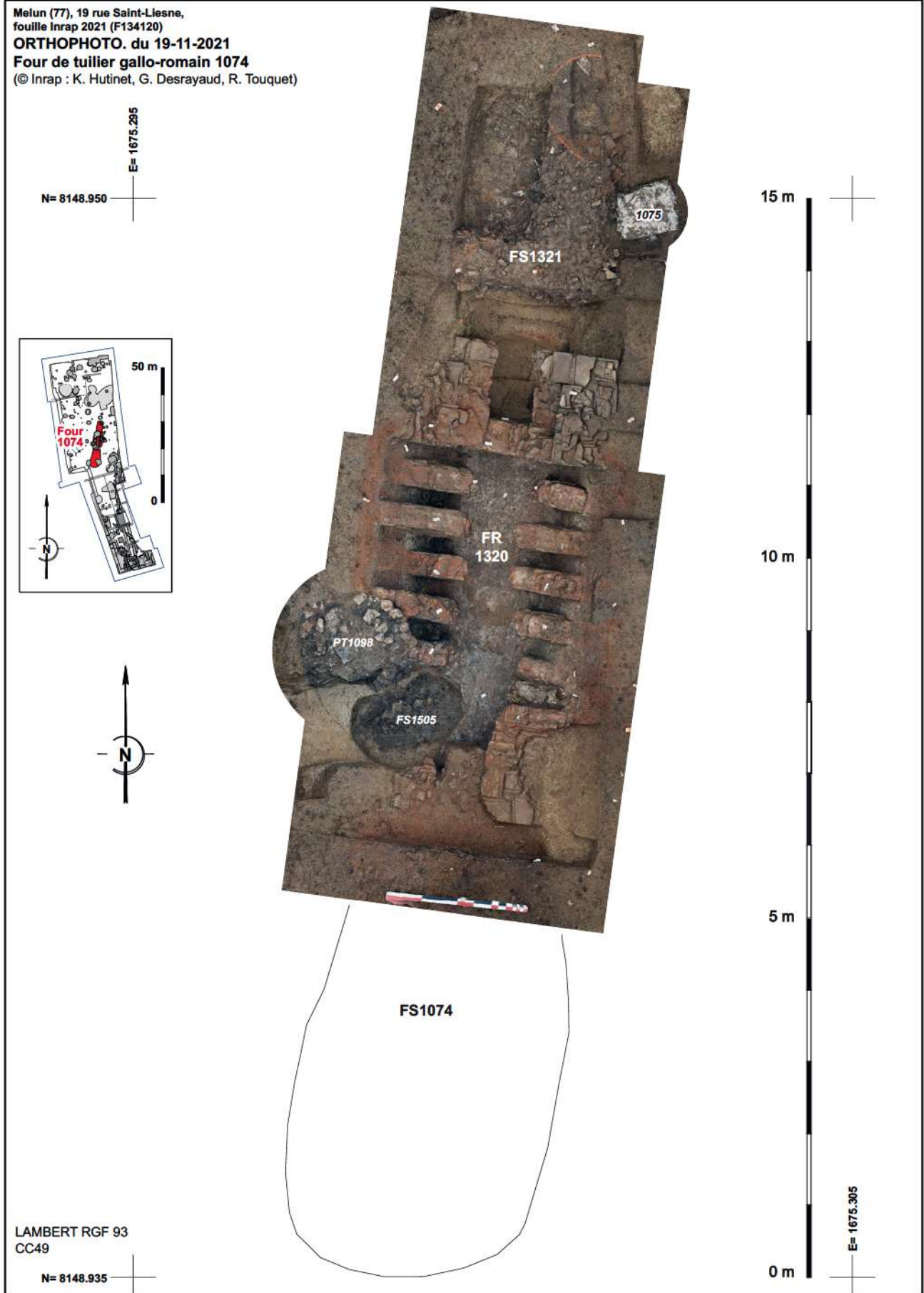
Four de tuilier gallo-romain (Haut-Empire)



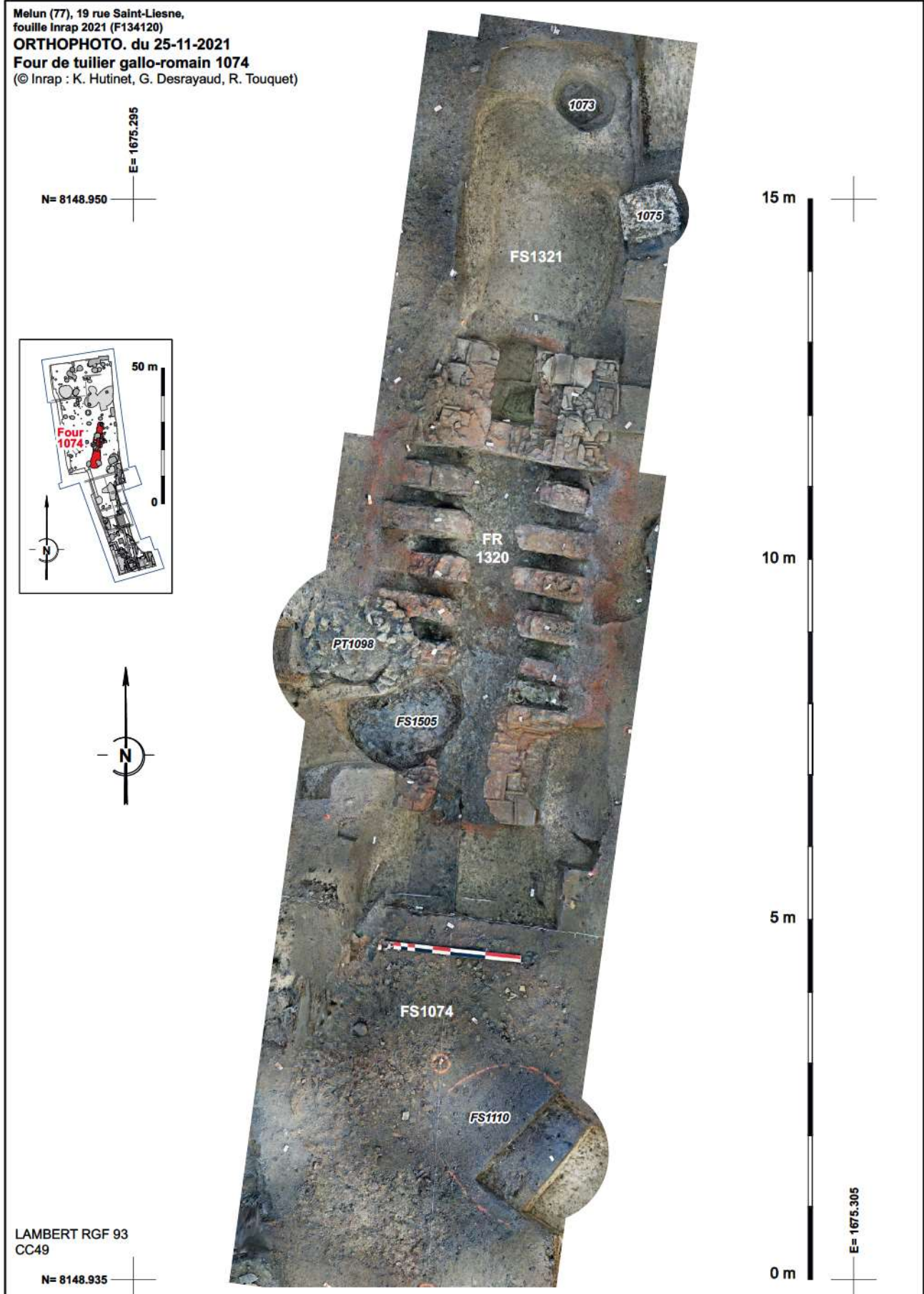
PI. 073 Melun, 19 rue Saint-Liesne. Plan orthophotographique du four de tuilier 1074 le 04 novembre 2021. FOU1074 n°01 sur 22 © Inrap : K. Hutinet, G. Desrayaud, R. Touquet



Pl. 074 Melun, 19 rue Saint-Liesne. Plan orthophotographique du four de tuilier 1074 le 10 novembre 2021. FOU1074 n°02 sur 22 © Inrap : K. Hutinet, G. Desrayaud, R. Touquet

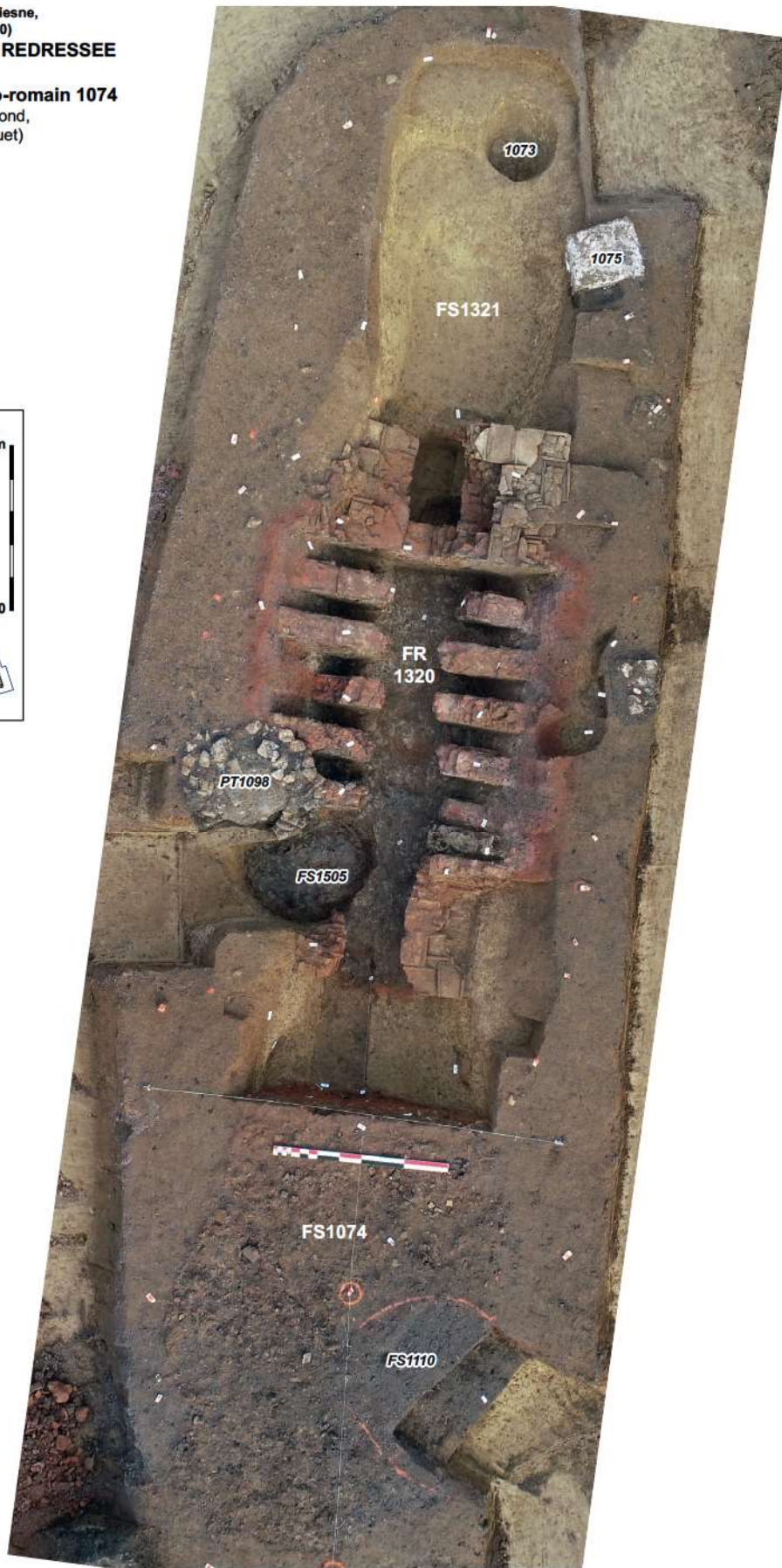
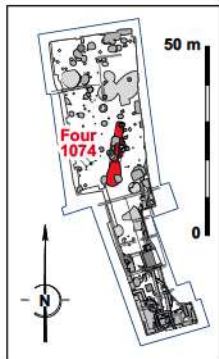


Pl. 075 Melun, 19 rue Saint-Liesne. Plan orthophotographique du four de tuilier 1074 le 19 novembre 2021. FOU1074 n°03 sur 22 © Inrap : K. Hutinet, G. Desrayaud, R. Touquet

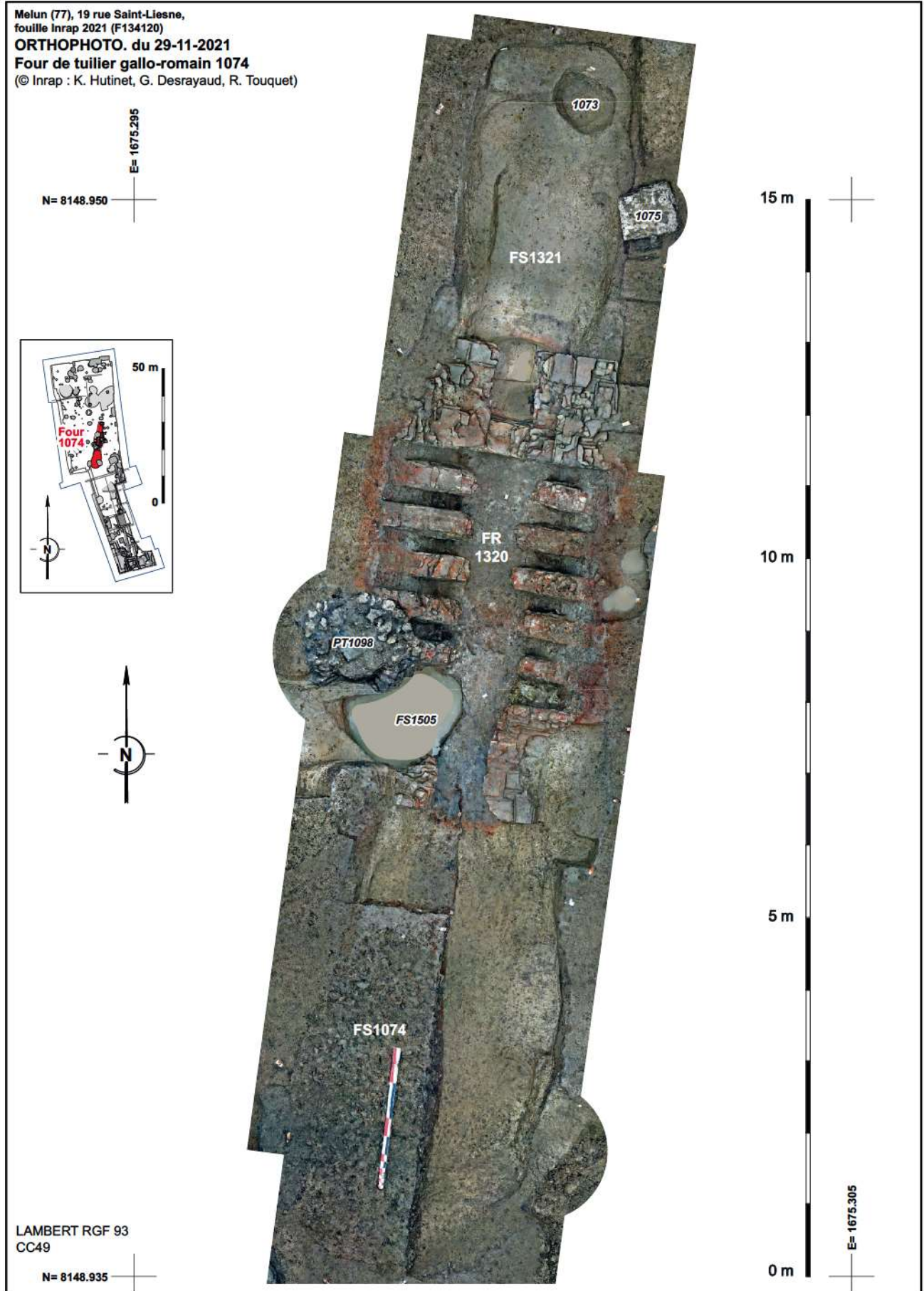


Pl. 076 Melun, 19 rue Saint-Liesne. Plan orthophotographique du four de tuilier 1074 le 25 novembre 2021. FOU1074 n°04 sur 22 © Inrap : K. Hutinet, G. Desrayaud, R. Touquet

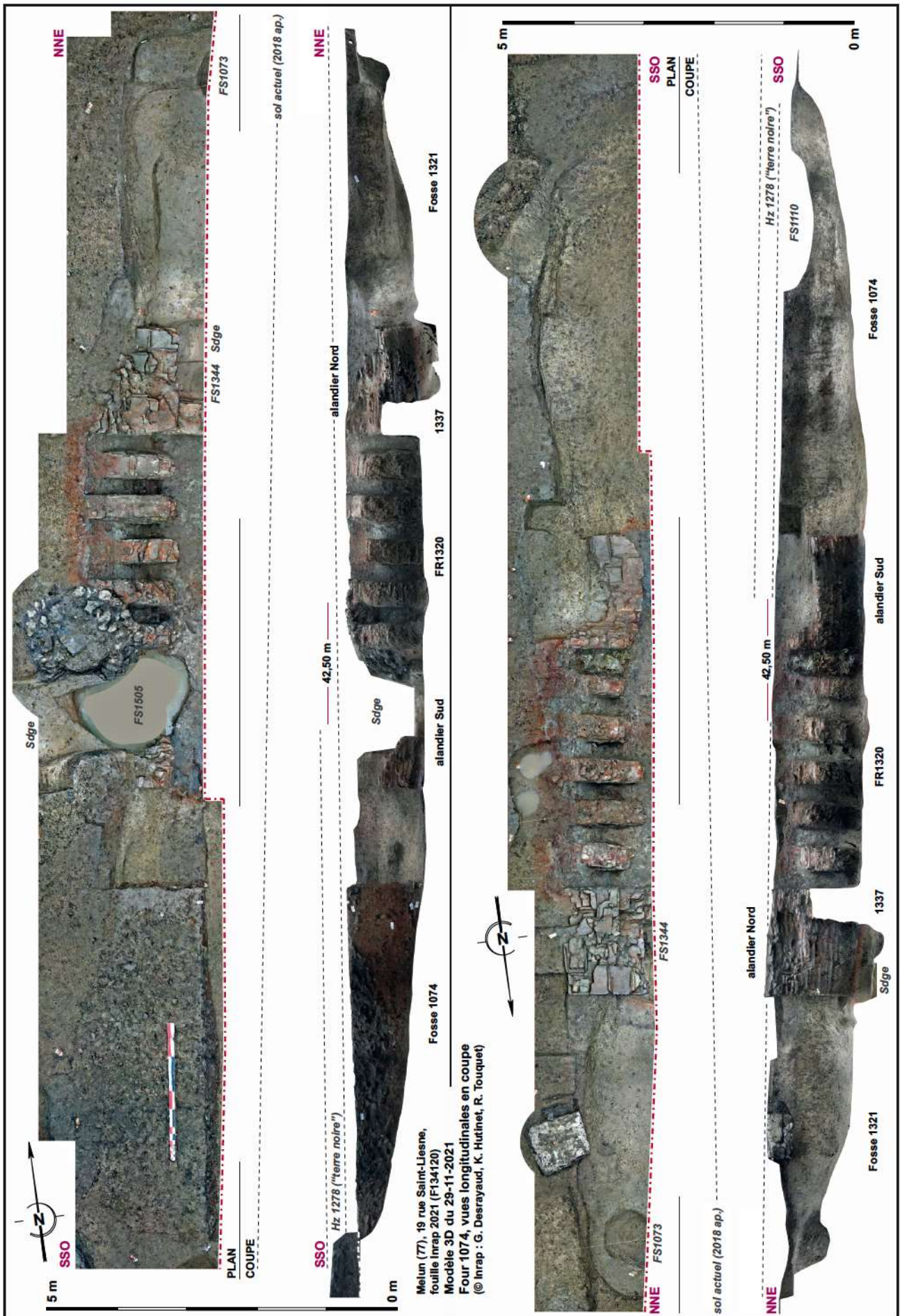
Melun (77), 19 rue Saint-Liesne,
 fouille Inrap 2021 (F134120)
PHOTO AERIENNE REDRESSEE
 du 25-11-2021
Four de tuilier gallo-romain 1074
 (© Inrap : Pascal Raymond,
 G. Desrayaud, R. Touquet)



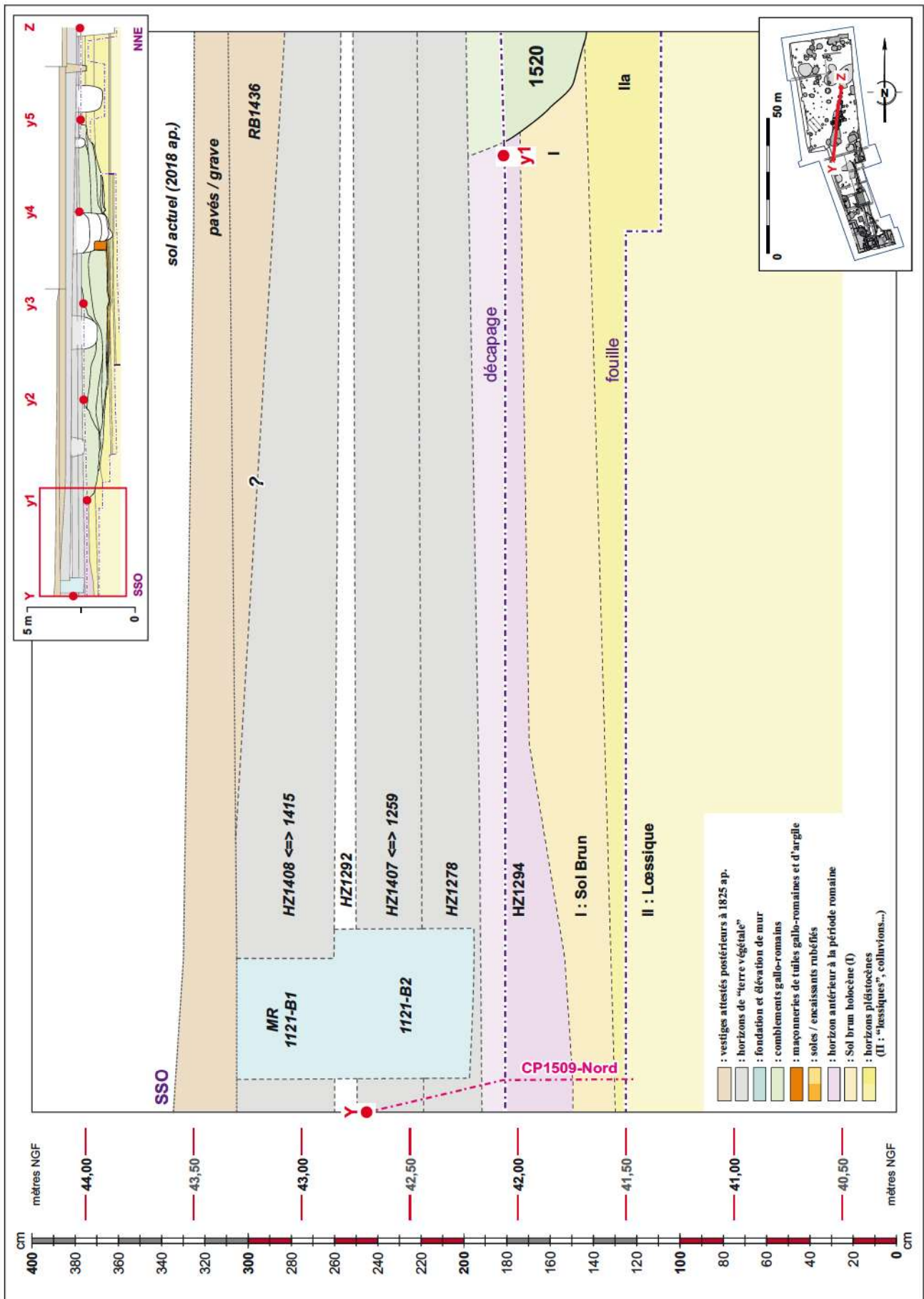
Pl. 077 Melun, 19 rue Saint-Liesne. Photographie aérienne redressée (drone) du four de tuilier 1074 le 25 novembre 2021. FOU1074 n°05 sur 22 © Inrap : P. Raymond, G. Desrayaud, R. Touquet



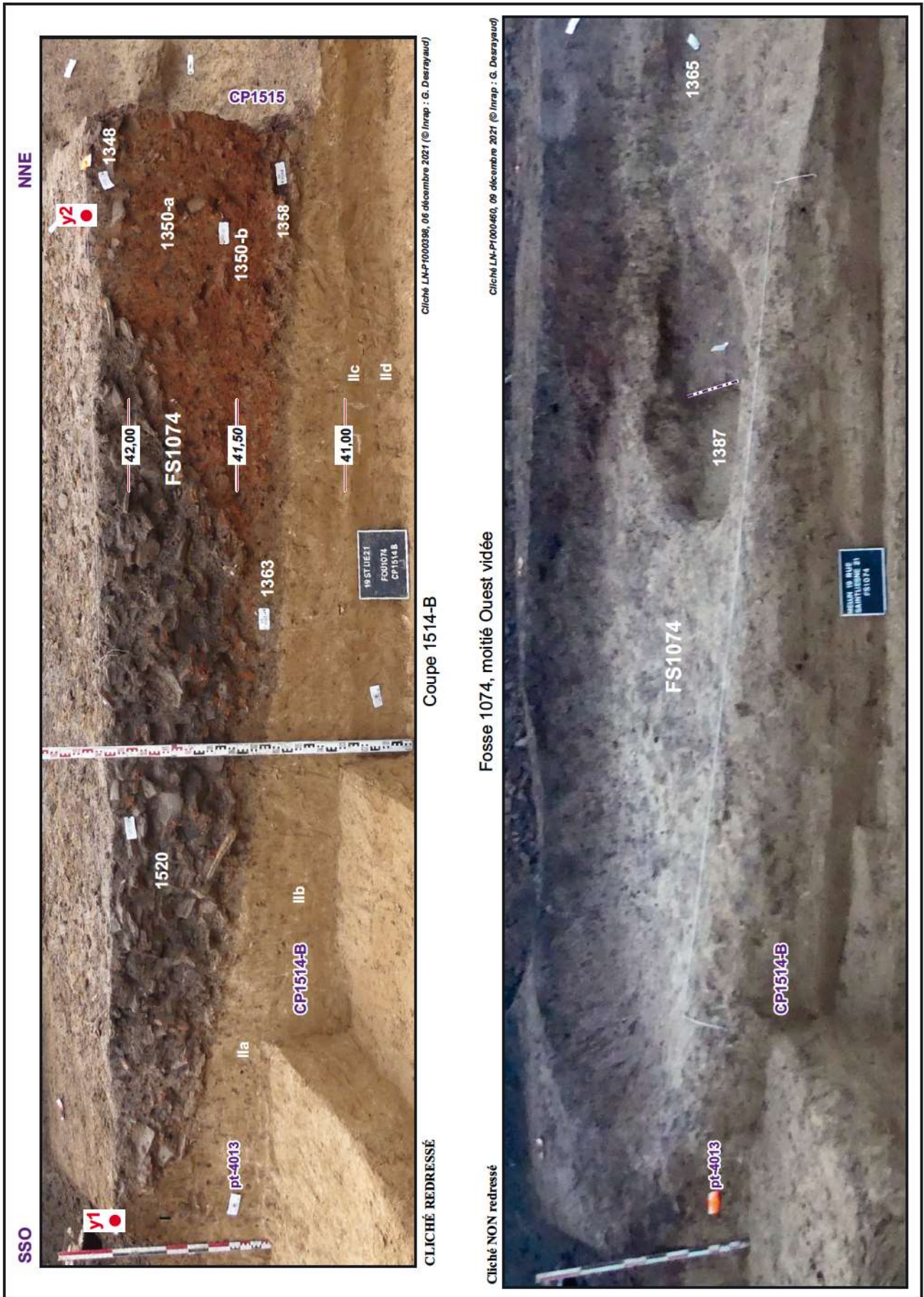
Pl. 078 Melun, 19 rue Saint-Liesne. Plan orthophotographique du four de tuilier 1074 le 29 novembre 2021. FOU1074 n°06 sur 22 © Inrap : K. Hutinet, G. Desrayaud, R. Touquet



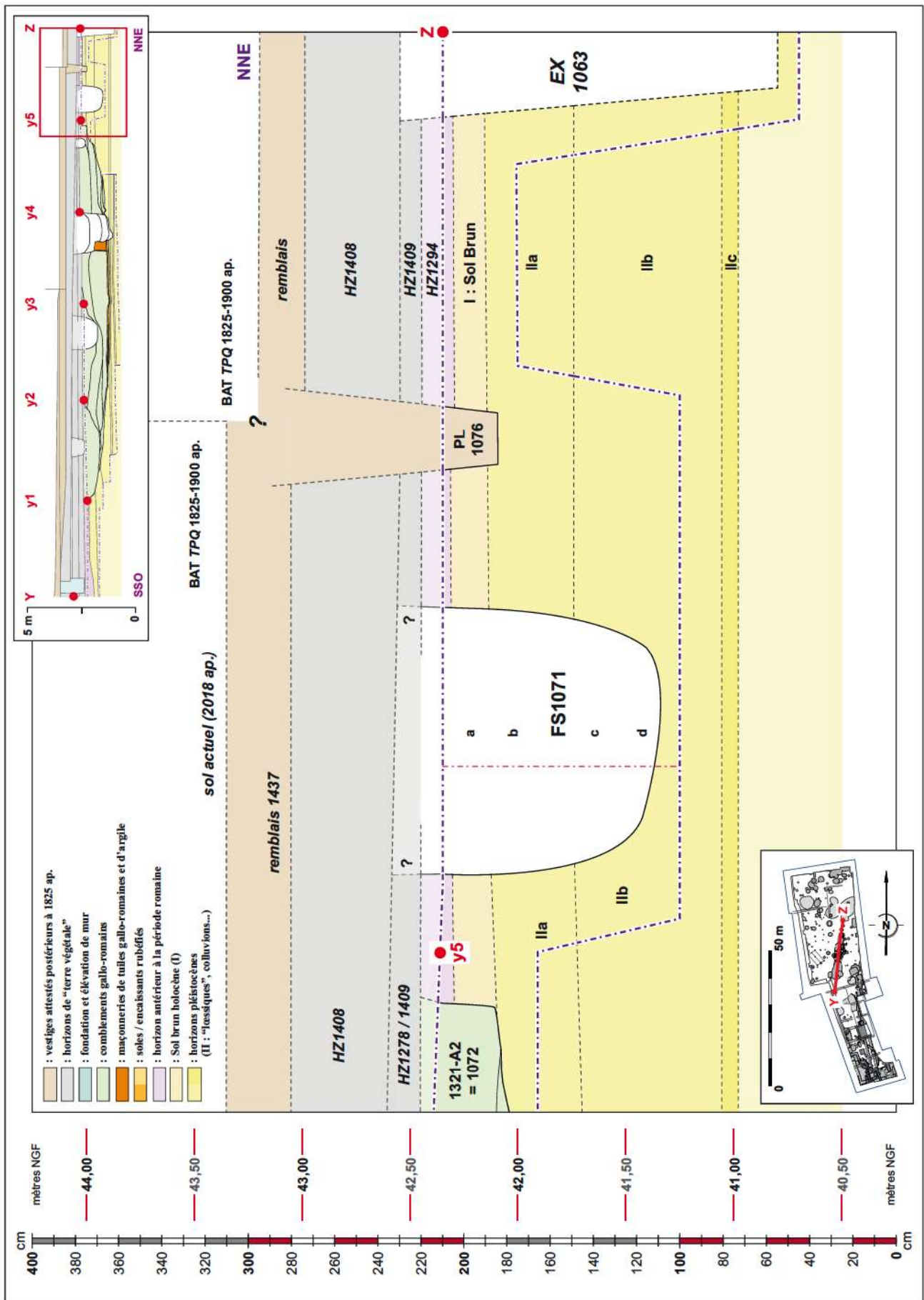
Pl. 079 Melun, 19 rue Saint-Liesne. Coupes longitudinales SSO / NNE et NNE / SSO du four de tuilier 1074, d'après modèle 3D du 29 novembre 2021. FOU1074 n°07 sur 22 © Inrap : G. Desrayaud, K. Hutinet, R. Touquet



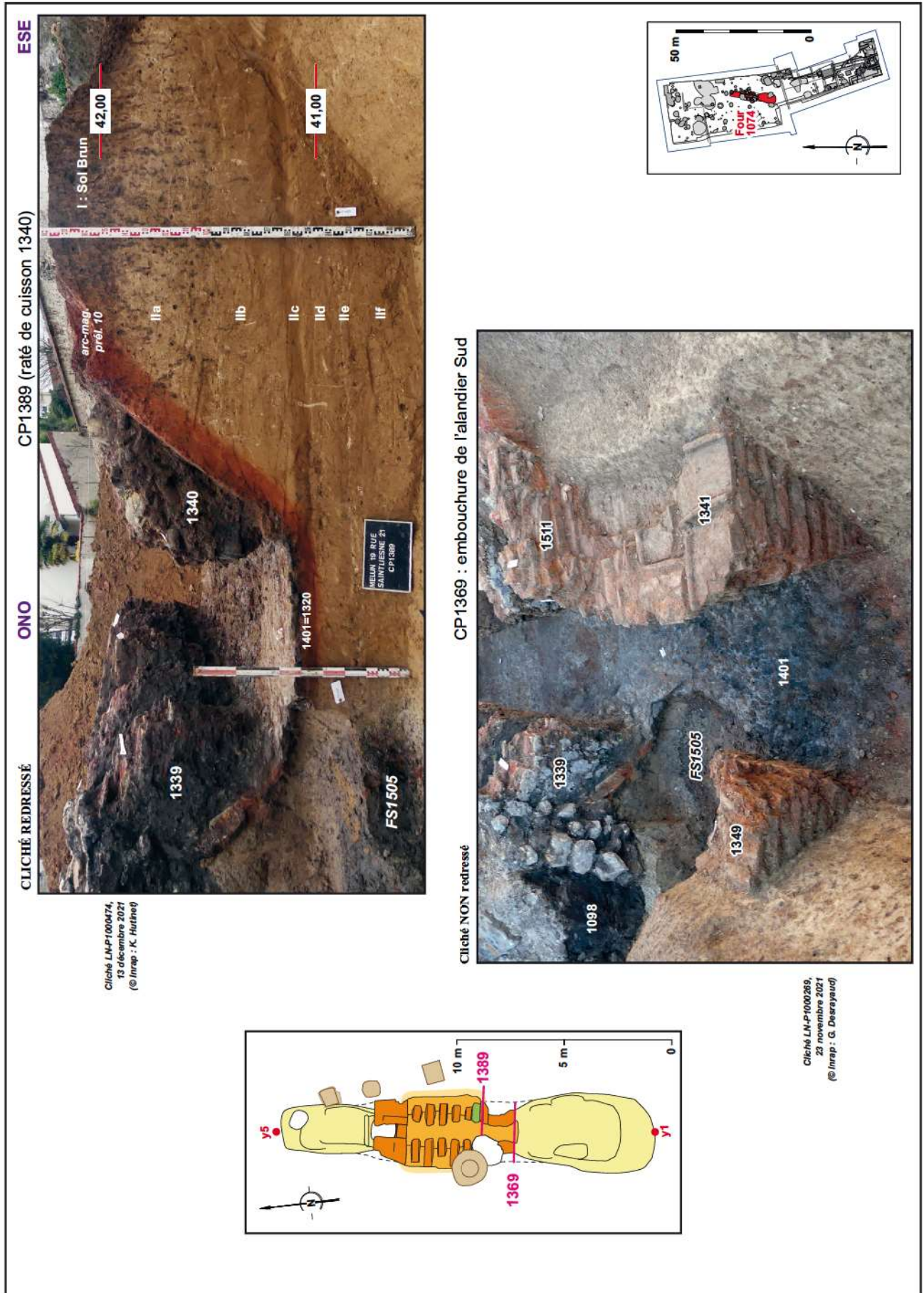
Pl. 081 Dessin, coupe longitudinale SSO / NNE du four de tuilier 1074. Coupe strati. de réf. YZ 01 sur 07. FOU1074 n°09 sur 22 © Inrap : G. Desrayaud



Pl. 083 Photographies, coupe longitudinale SSO / NNE 1514-B et moitié Ouest vidée de la fosse 1074 du four de tuilier gallo-romain. Coupe stratigraphique de référence YZ 03 sur 07. FOU1074 n°11 sur 22 © Inrap : G. Desraynaud



PI. 087 Dessin, coupe longitudinale SSO / NNE du four de tuilier 1074. Coupe strati. de réf. YZ 07 sur 07. FOU1074 n°15 sur 22 © Inrap : G. Desrayaud



Pl. 088 Photographies, coupes transversales ONO / ESE 1369 et 1389 du four de tuilier 1074. FOU1074 n°16 sur 22 © Inrap : G. Desrayaud, K. Hutinet



Cliché LO-P1010610,
vue depuis le SSO
06 décembre 2021
(© Inrap :
K. Hutinet)

A : Axe ONO / ESE 1388-sup.
Paroi Nord de la chambre de chauffe 1320,
enduit d'argile indurée / rubéfiée 1320-a
(Phase B)



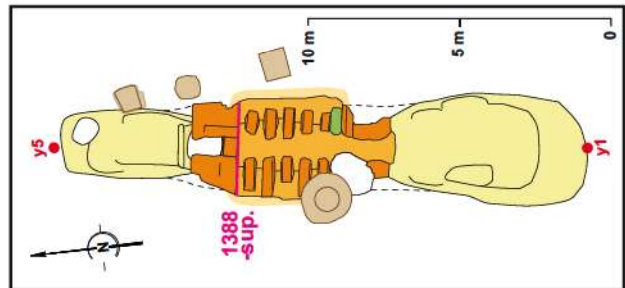
B : Axe ONO / ESE 1388-sup.
Paroi Nord de la chambre de chauffe 1320,
bouchage de tuiles et d'argile 1337 (Phase B)

Clichés NON redressés

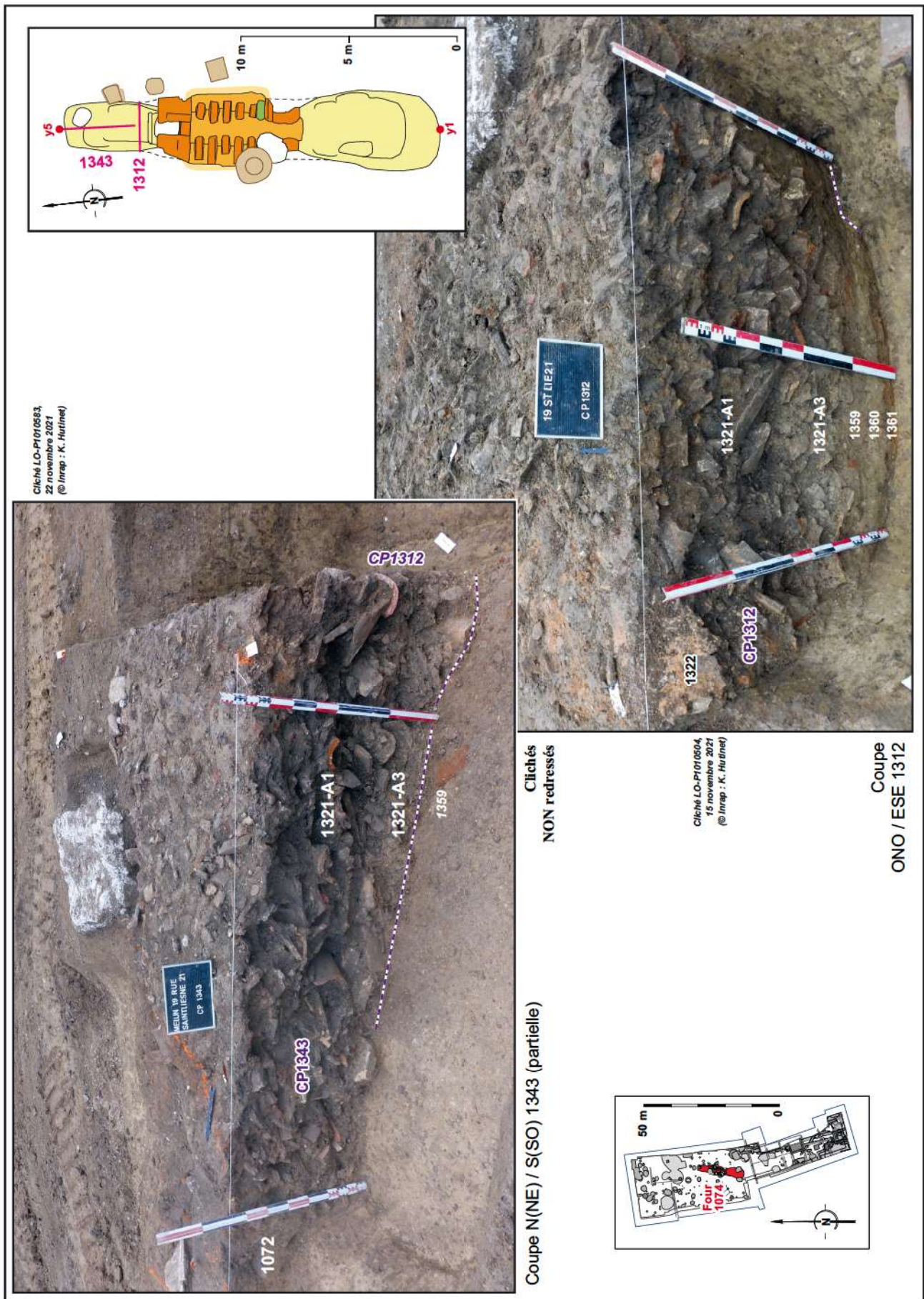


Cliché LO-P1010623,
vue depuis le SSO
06 décembre 2021
(© Inrap :
K. Hutinet)

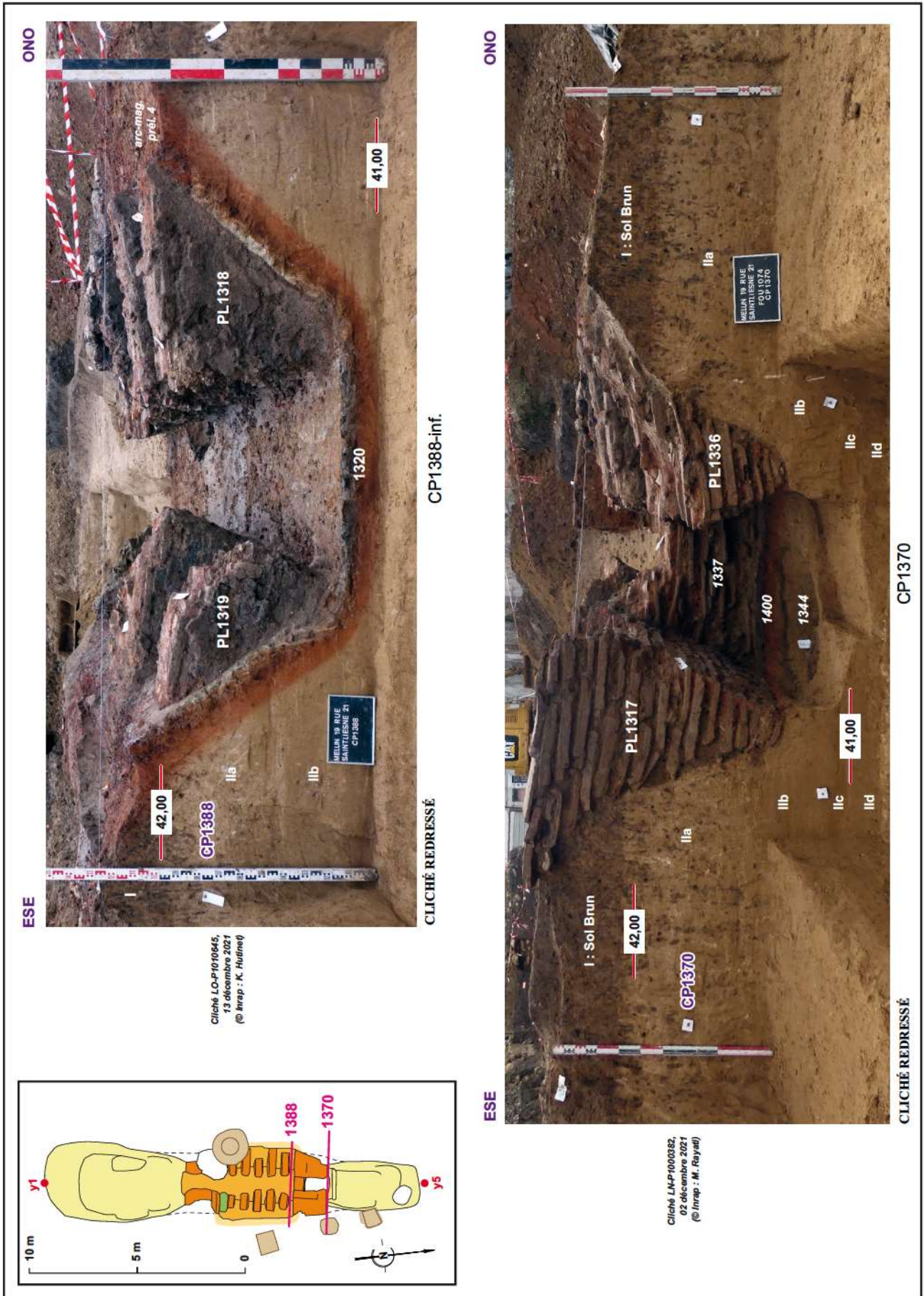
C : Axe ONO / ESE 1388-sup.
Bouchage de tuile et d'argile 1337
en cours de démontage, révélant l'exutoire
de l'alandier Nord (Phase A)



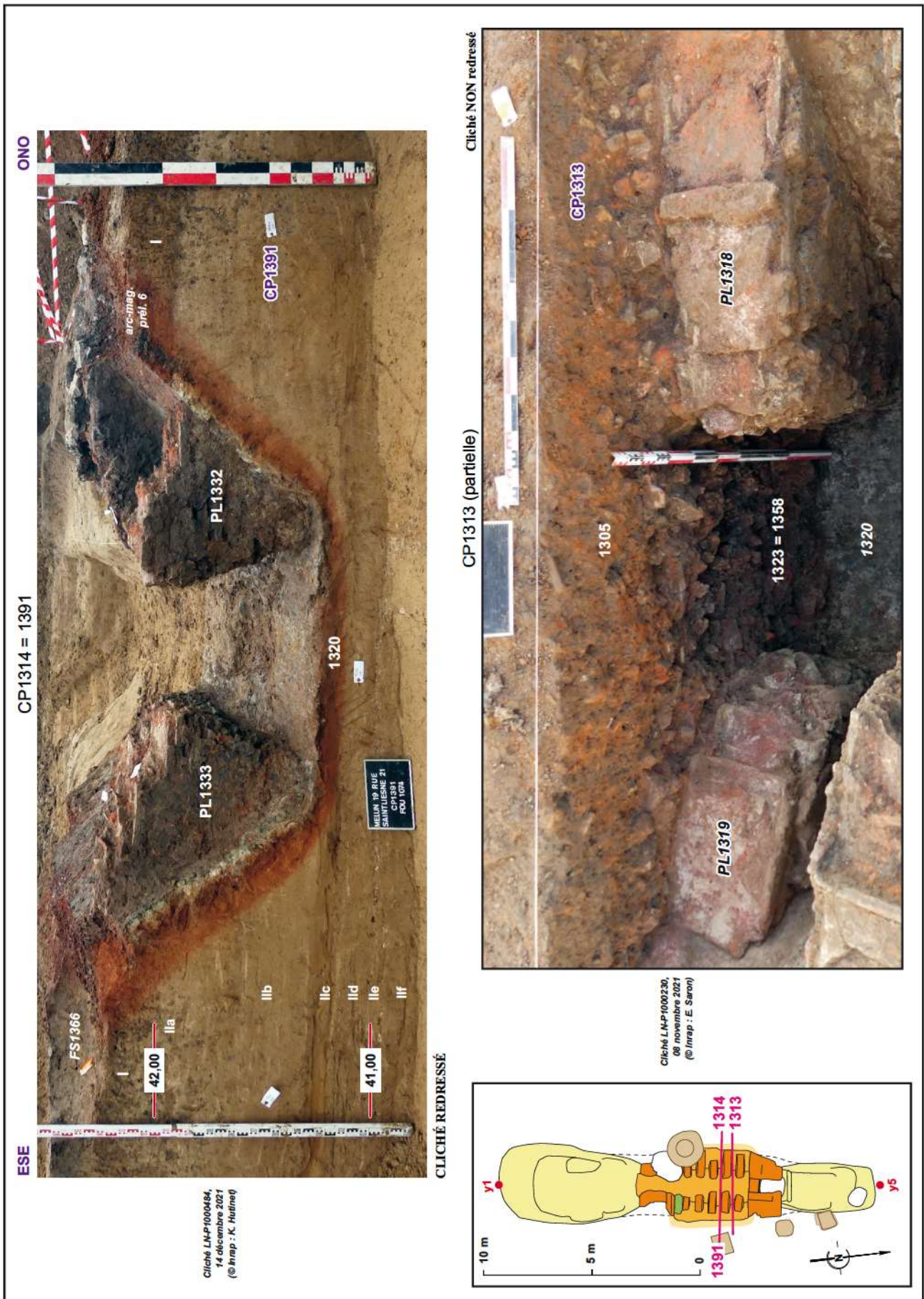
Pl. 089 Photographies, axe transversal ONO / ESE 1388-sup. du four de tuilier 1074. Bouchage 1337 (Phase B) de l'exutoire de l'alandier Nord (Phase A). FOU1074 n°17 sur 22 © Inrap : G. Desrayaud, K. Hutinet



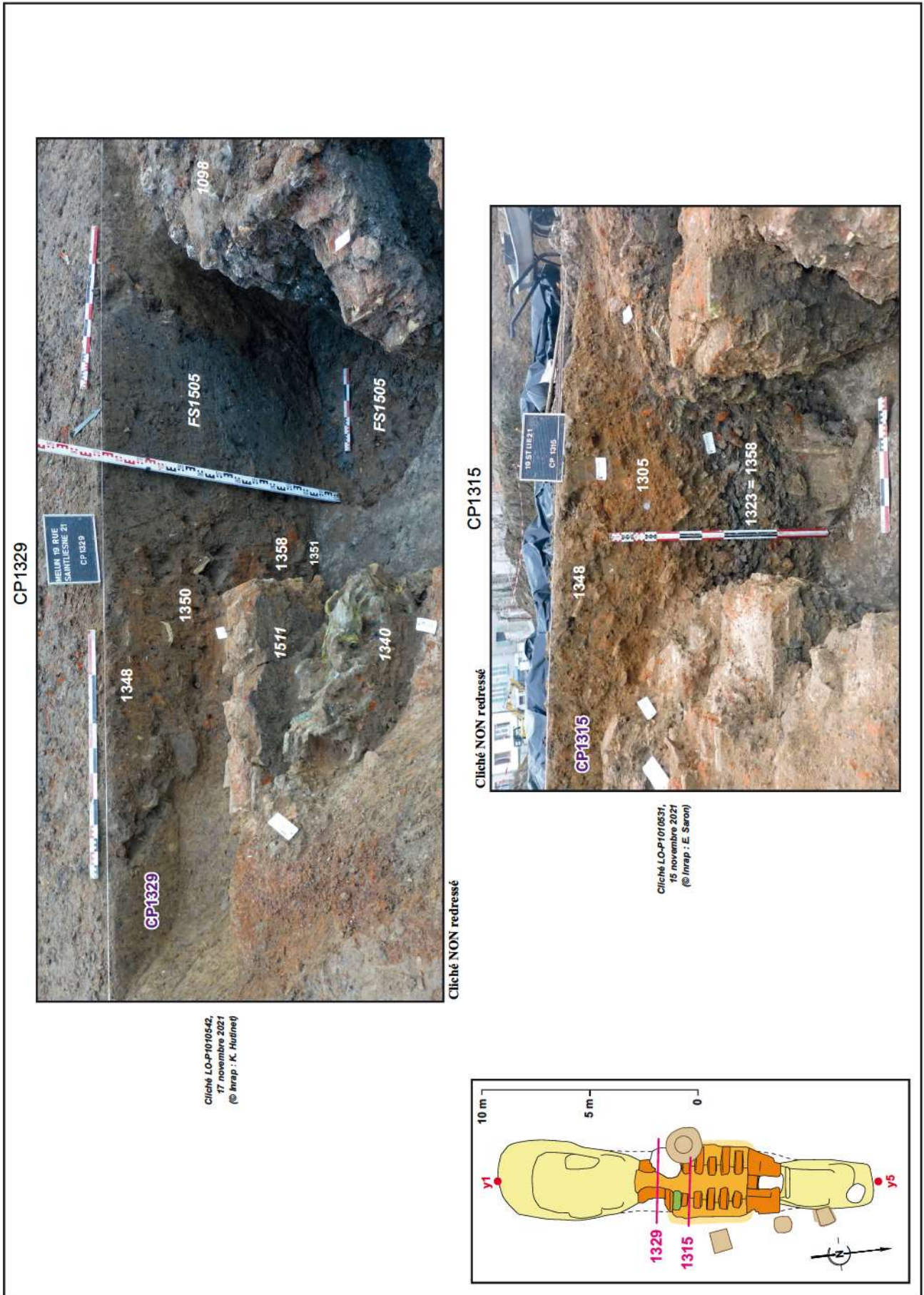
Pl. 090 Photographies, coupes ONO / ESE 1312 et N(NE) / S(SO) 1343, fosse 1321 du four de tuilier 1074. FOU1074 n°18 sur 22 © Inrap : G. Desrayaud, K. Hutinet



PI. 091 Photographies, coupes ESE / ONO 1370 et 1388-inf. du four de tuilier 1074. FOU1074 n°19 sur 22 © Inrap : G. Desrayaud, K. Hutinet, M. Rayati

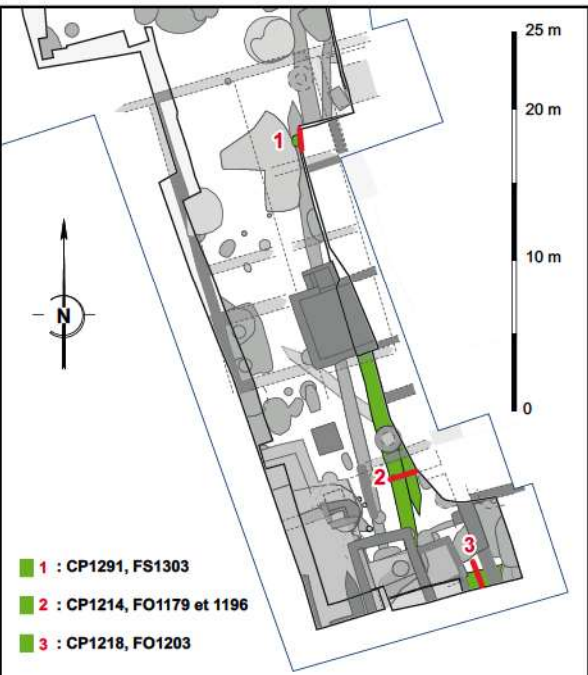


Pl. 092 Photographies, coupes transversales ESE / ONO 1313 et 1314 = 1391 du four de tuilier 1074. FOU1074 n°20 sur 22 © Inrap : G. Desrayaud, K. Hutinet, E. Saron




Pl. 093 Photographies, coupes transversales ESE / ONO 1315 et 1329 du four de tuilier 1074. FOU1074 n°21 sur 22 © Inrap : G. Desrayaud, K. Hutinet, E. Saron

Fosse et fossés gallo-romains (Haut-Empire)




■ 1 : CP1291, FS1303
■ 2 : CP1214, FO1179 et 1196
■ 3 : CP1218, FO1203

Cliché LO-P1010484
04 novembre 2021
(© Inrap : K. Hutinet)




1 : Fosse 1303, CP1291
(vue depuis l'OSO ; voir **PI. 052**)

Cliché LO-P1010276
12 octobre 2021
(© Inrap : K. Hutinet)




3 : Fossé 1203, CP1218
(vue depuis le SO ; voir **PI. 014** et **PI.015**)

Cliché NON redressé



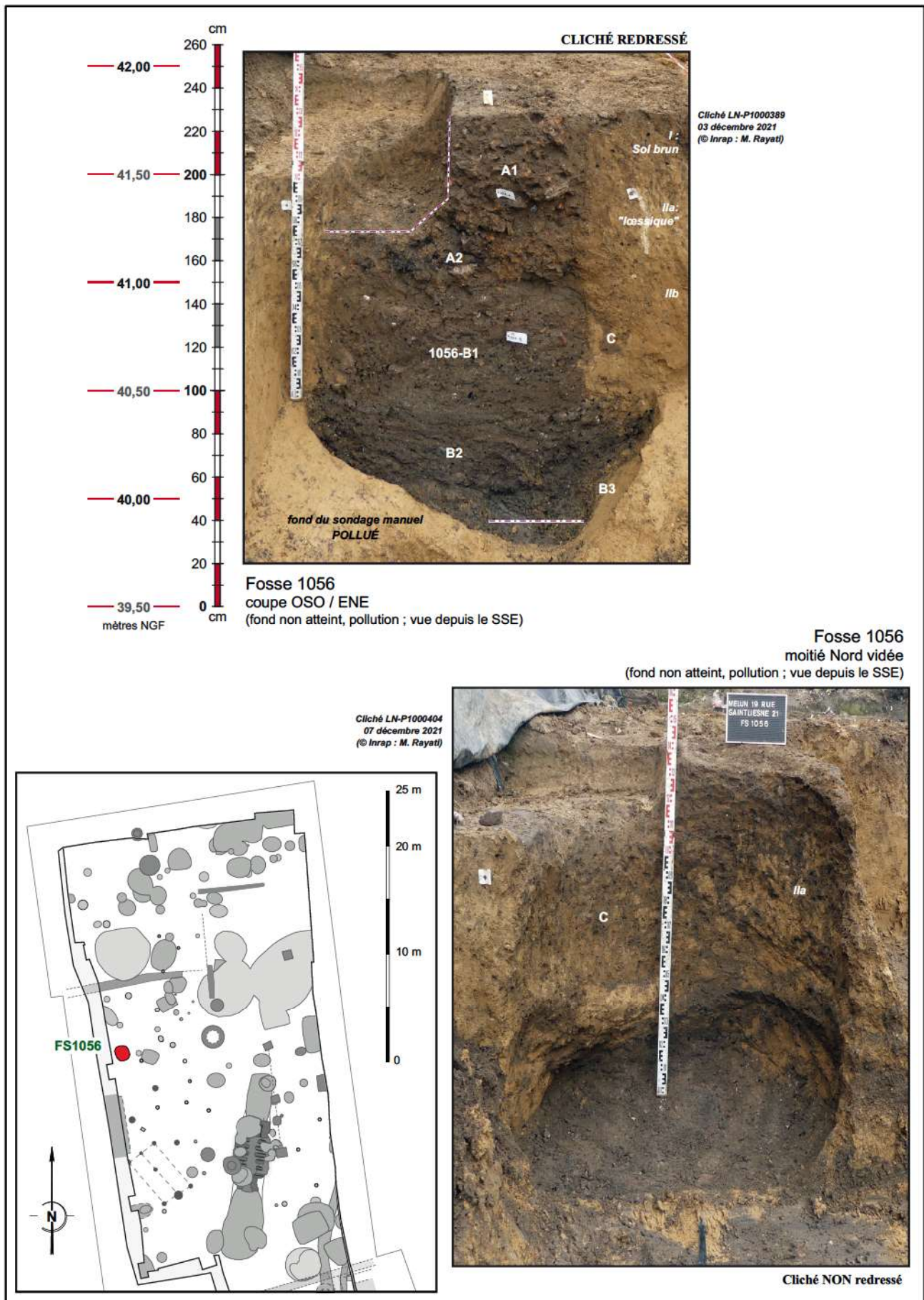
2 : Fossés 1186 et 1179, CP1214
(vue depuis le NNO)

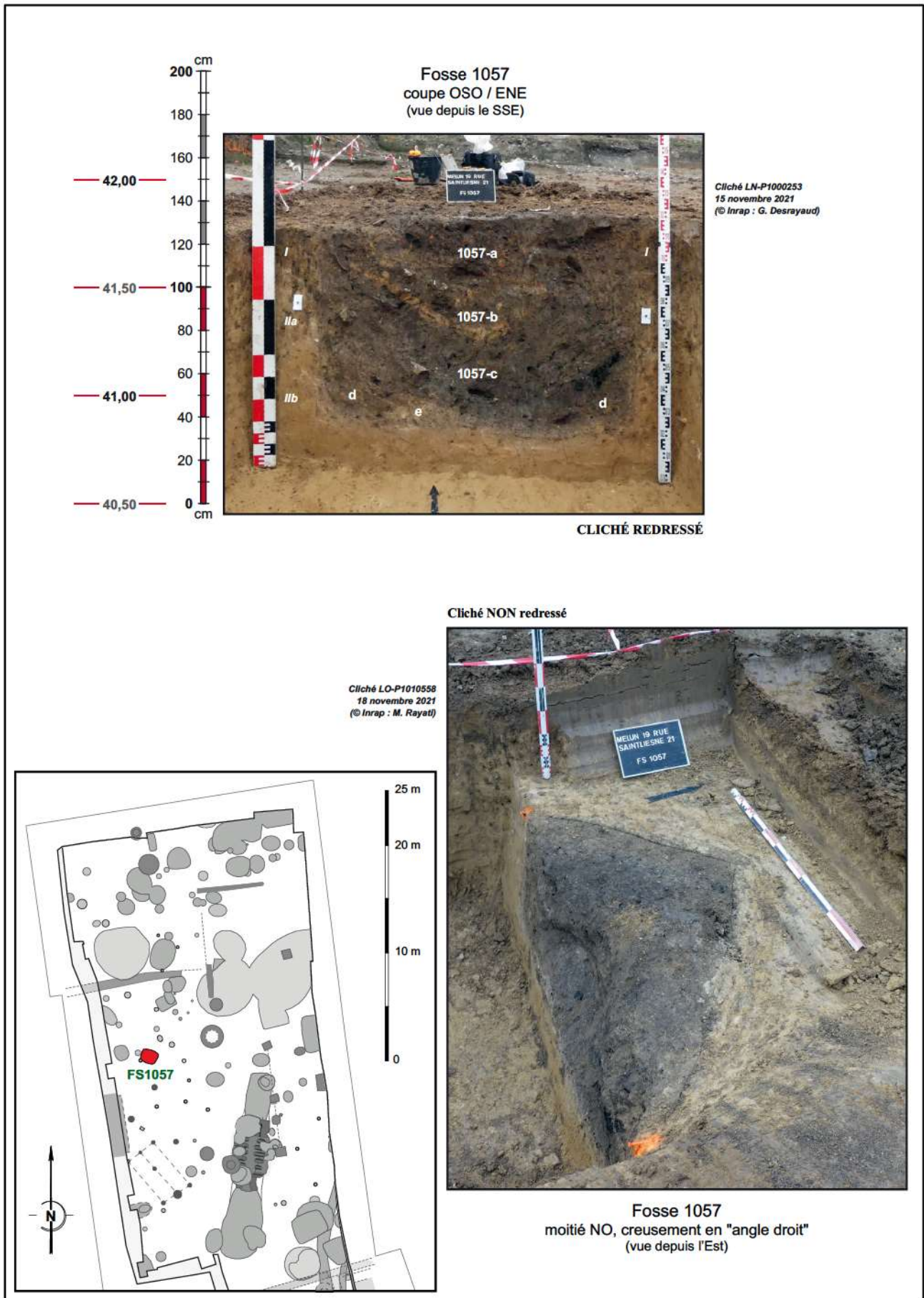
Cliché LN-P1000092
13 octobre 2021
(© Inrap : G. Desrayaud)



Cliché NON redressé

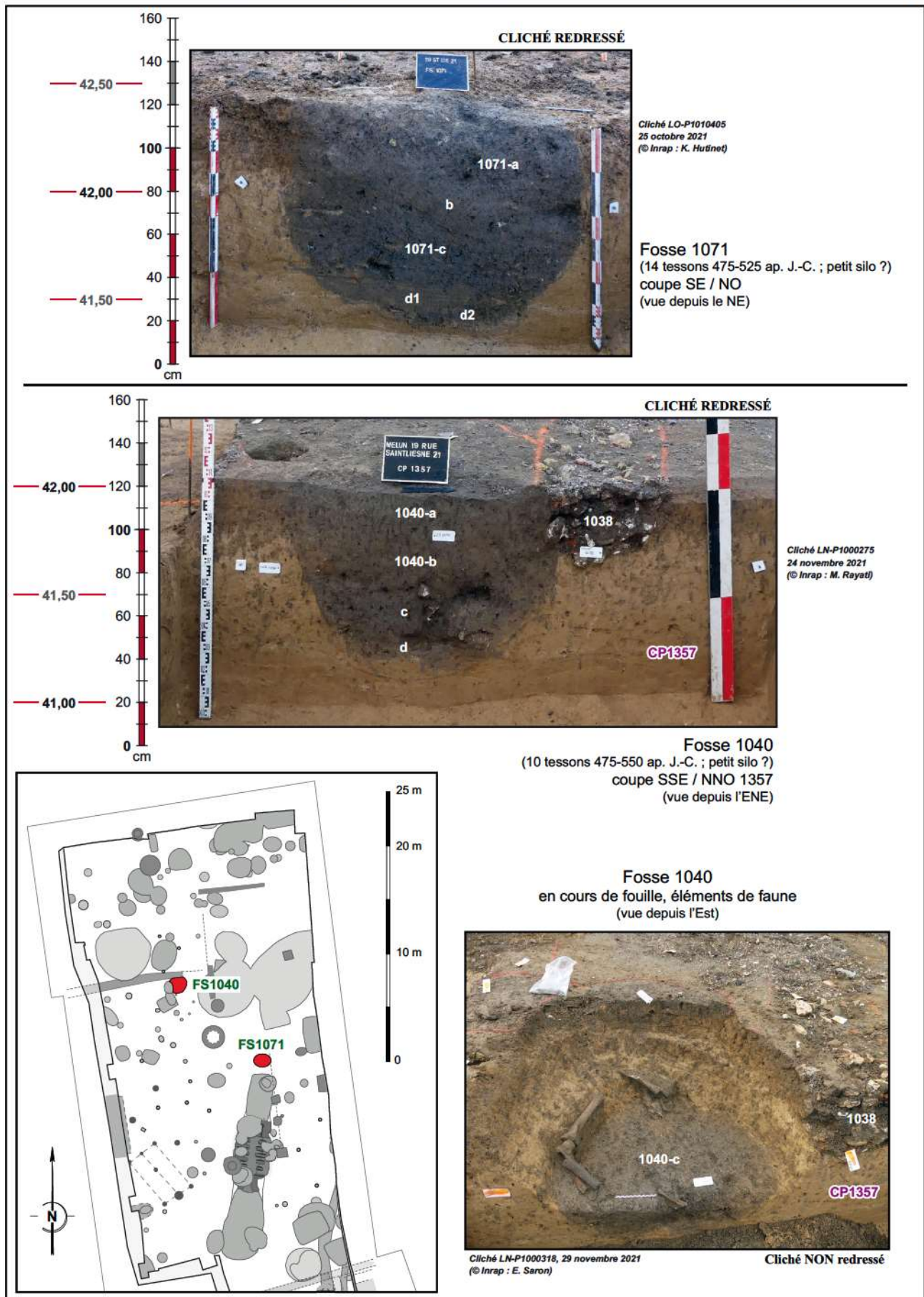
Fosses mérovingiennes précoces (intervalle 475-550 ap. J.-C.)



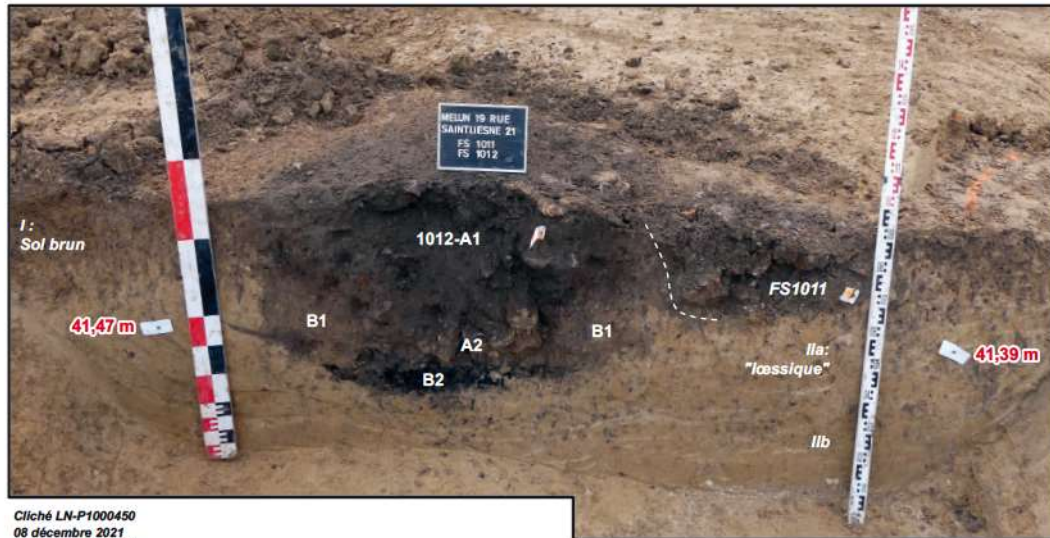


PI. 097 Melun, 19 rue Saint-Liesne. Fosse 1057, période mérovingienne précoce © Inrap : G. Desrayaud, M. Rayati

Fosses mérovingiennes probables (intervalle 475-550 ap. J.-C. ?)



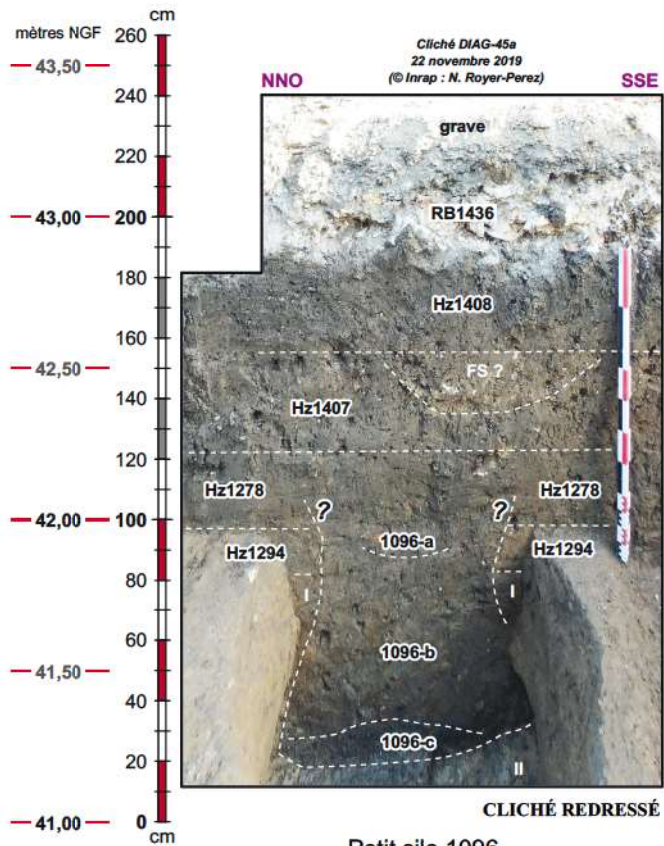
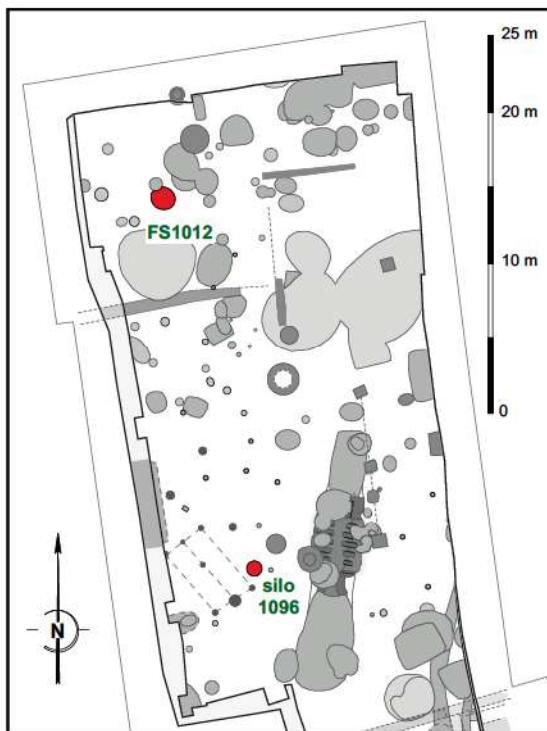
Fosses TPQ fin V^e-VII^e s. (médiévales probables ?)



Cliché LN-P1000450
08 décembre 2021
(© Inrap : K. Hutinet)

Cliché NON redressé

Fosse 1012
(6 tessons 500-575 ap. J.-C. ; petit silo ?)
coupe SE / NO
(vue depuis le NE)




Cliché DIAG-45a
22 novembre 2019
(© Inrap : N. Royer-Perez)

CLICHÉ REDRESSÉ

Petit silo 1096
(SI-09 Tr02-diag. 2019 ;
2 tessons 500-650 ap. J.-C. et 4 HMA indét.)
coupe NNO / SSE
(vue depuis l'OSO)

Cliché LN-P1000263, 17 novembre 2021 (© Inrap : G. Desrayaud)




fouille en cours
coupe 1, Sud / Nord
(vue depuis l'Est)

Clichés NON redressés

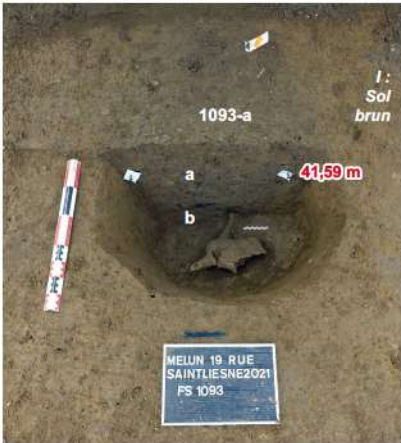
Fosse 1073
(2 tessons 475-525 ap. J.-C. ;
1 grand frag. de bois de cerf découpé)

Cliché LO-P1010587, 23 novembre 2021 (© Inrap : K. Hutinet)



fouille en cours
coupe 2, S(SO) / N(NE)
(vue depuis l'Est)

Cliché LO-P1010346, 20 octobre 2021 (© Inrap : K. Hutinet)



fouille en cours
coupe SSE / NNO 1271
(vue depuis l'ENE)

Clichés NON redressés

Fosse 1093
(5 tessons 525-700 ap. J.-C. ;
1 grand frag. de bucrane de petit bovidé)

Cliché LO-P1010363, 21 octobre 2021 (© Inrap : K. Hutinet)



fouille en cours
coupe SSE / NNO 1271
(vue depuis l'ENE)

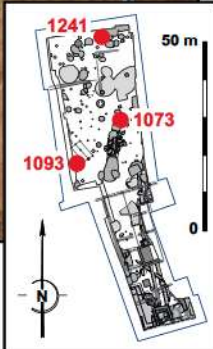
Cliché LN-P1000338, 01 décembre 2021 (© Inrap : G. Desrayaud)



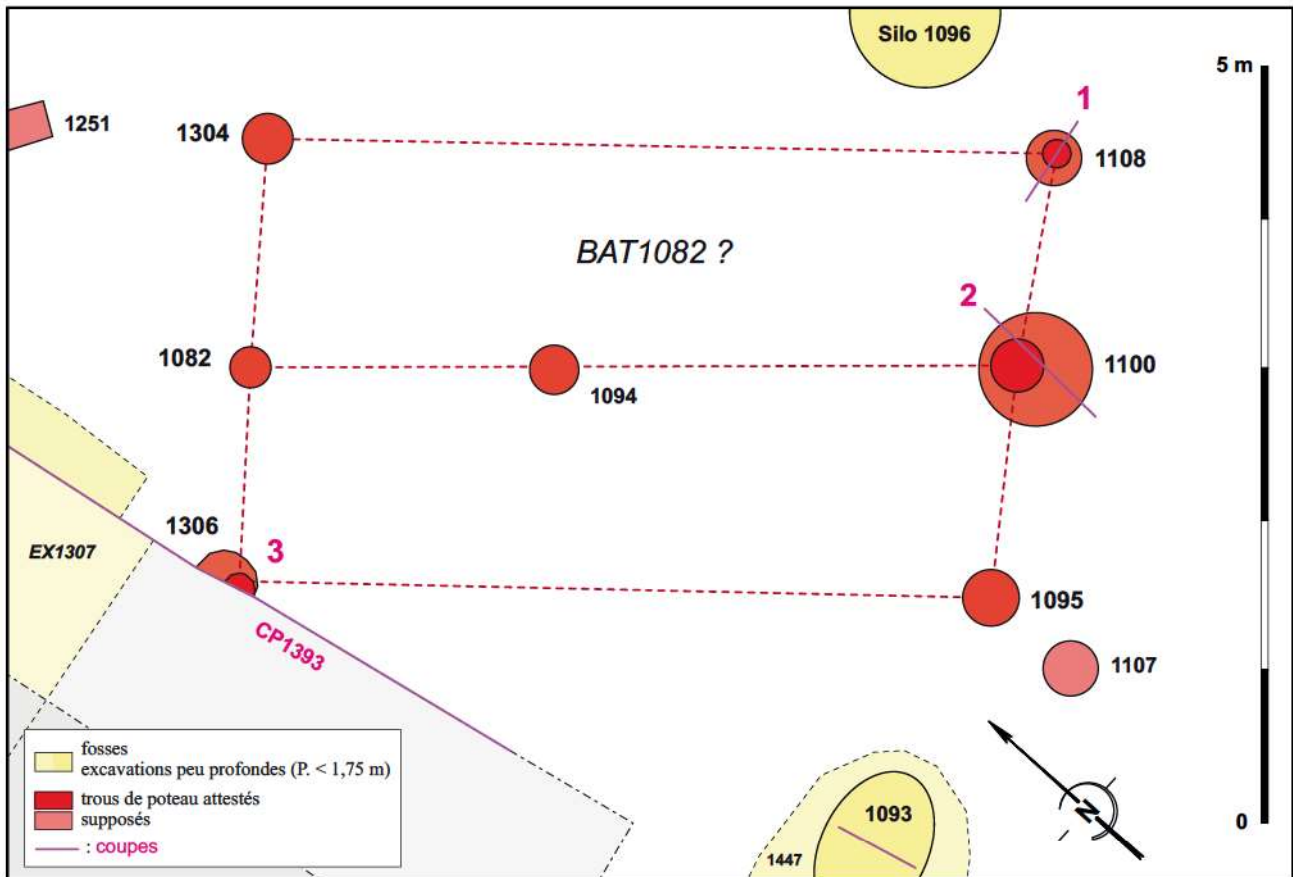
Fosse 1241
(3 tessons 475-525 ap. J.-C. ; petit silo ?)
coupe ONO / ESE 1524
(vue depuis le SSO)

Fosse 1243
(TPQ 1650-1750 ap. J.-C.)

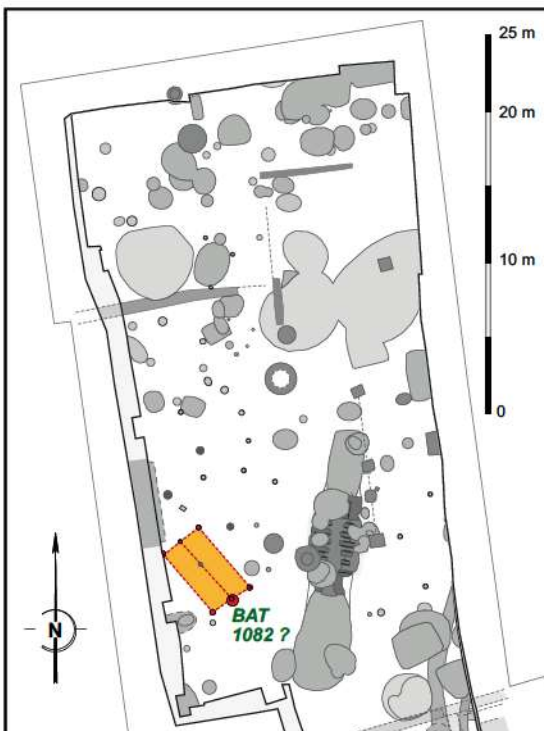
Cliché NON redressé



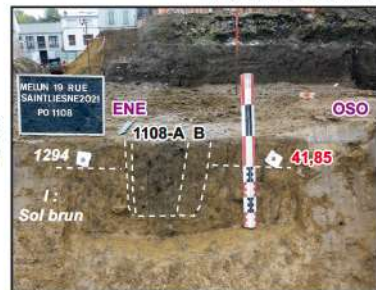
Bâtiment Bas-Empire à haut Moyen Âge probable (mérovingien ?)



3 : Trou de poteau 1306
coupe SSE / NNO 1393
(vue depuis l'ENE = voir **Pl. 038**)



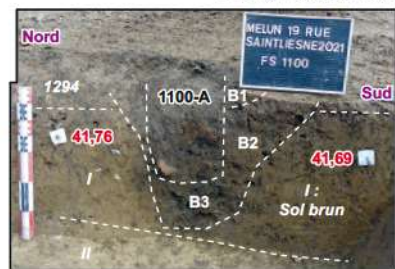
Cliché NON redressé



1 : Trou de poteau 1108
coupe ENE / OSO
(vue depuis le NNO)

Cliché LO-P1010393
25 octobre 2021
(© Inrap : M. Rayati)

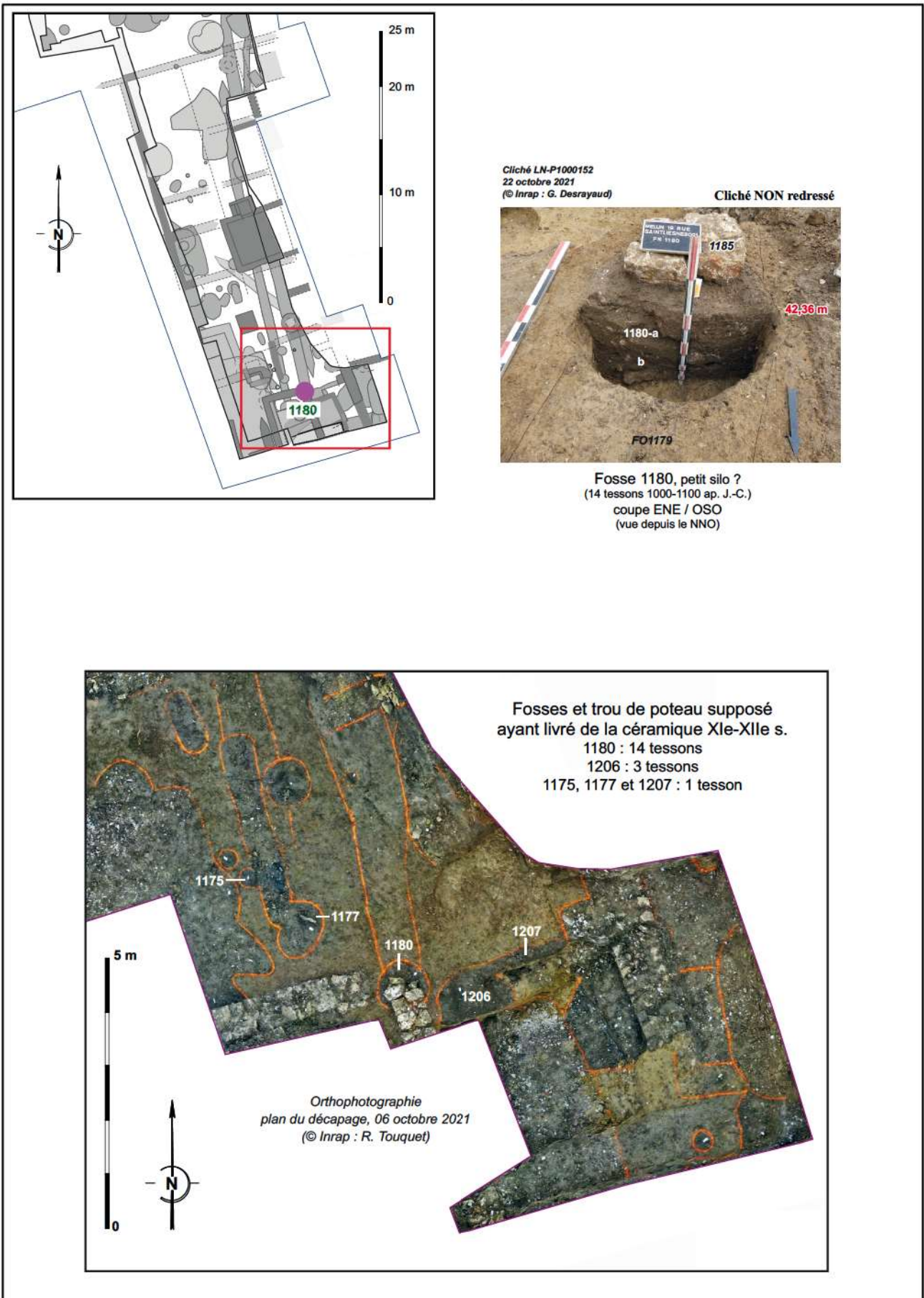
Cliché NON redressé



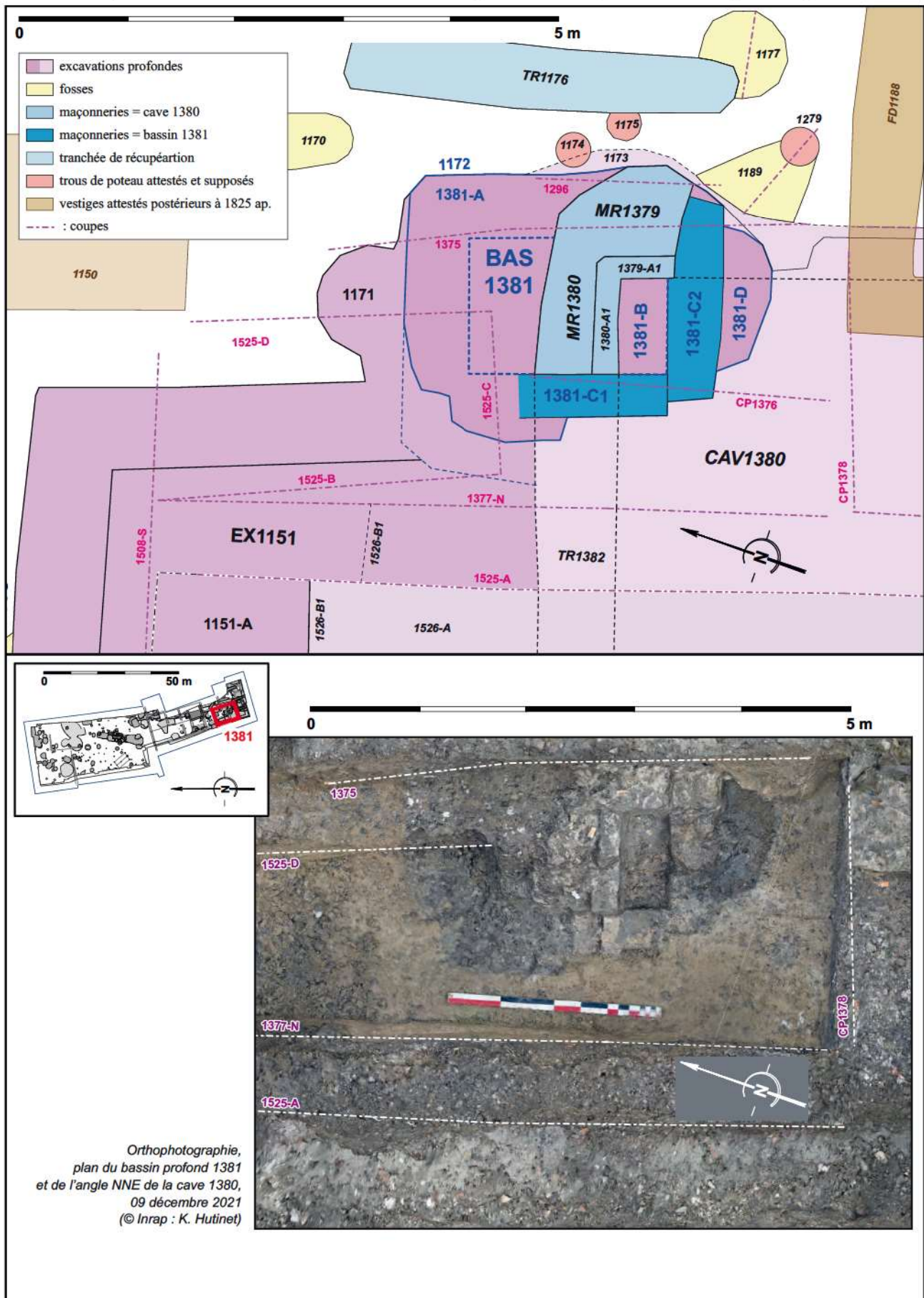
2 : Trou de poteau 1100
coupe Nord / Sud
(vue depuis l'Ouest)

Cliché LO-P1010385
22 octobre 2021
(© Inrap : K. Hutinet)

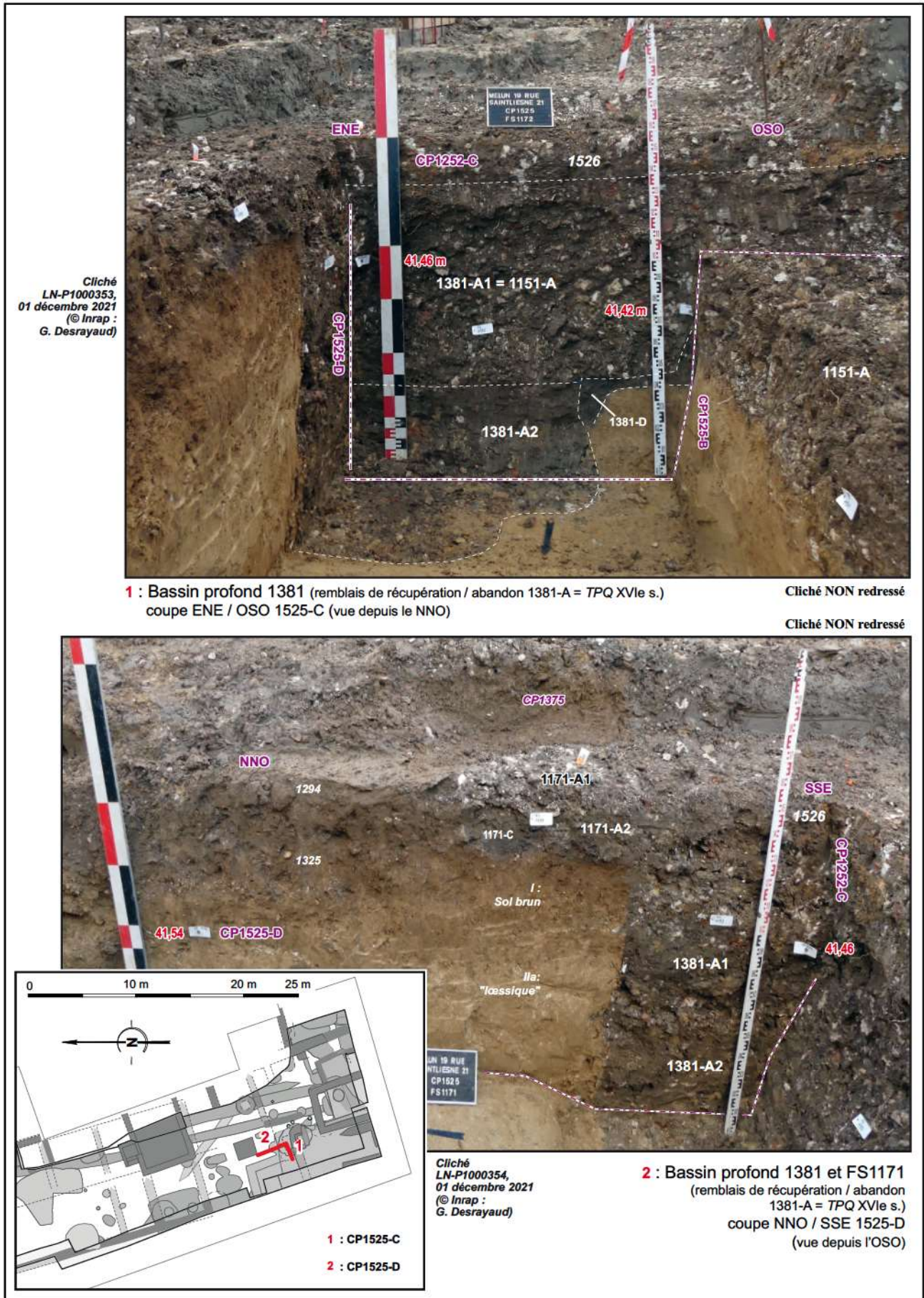
Fosses TPQ XI^e-XII^e s. (médiévales probables ?)



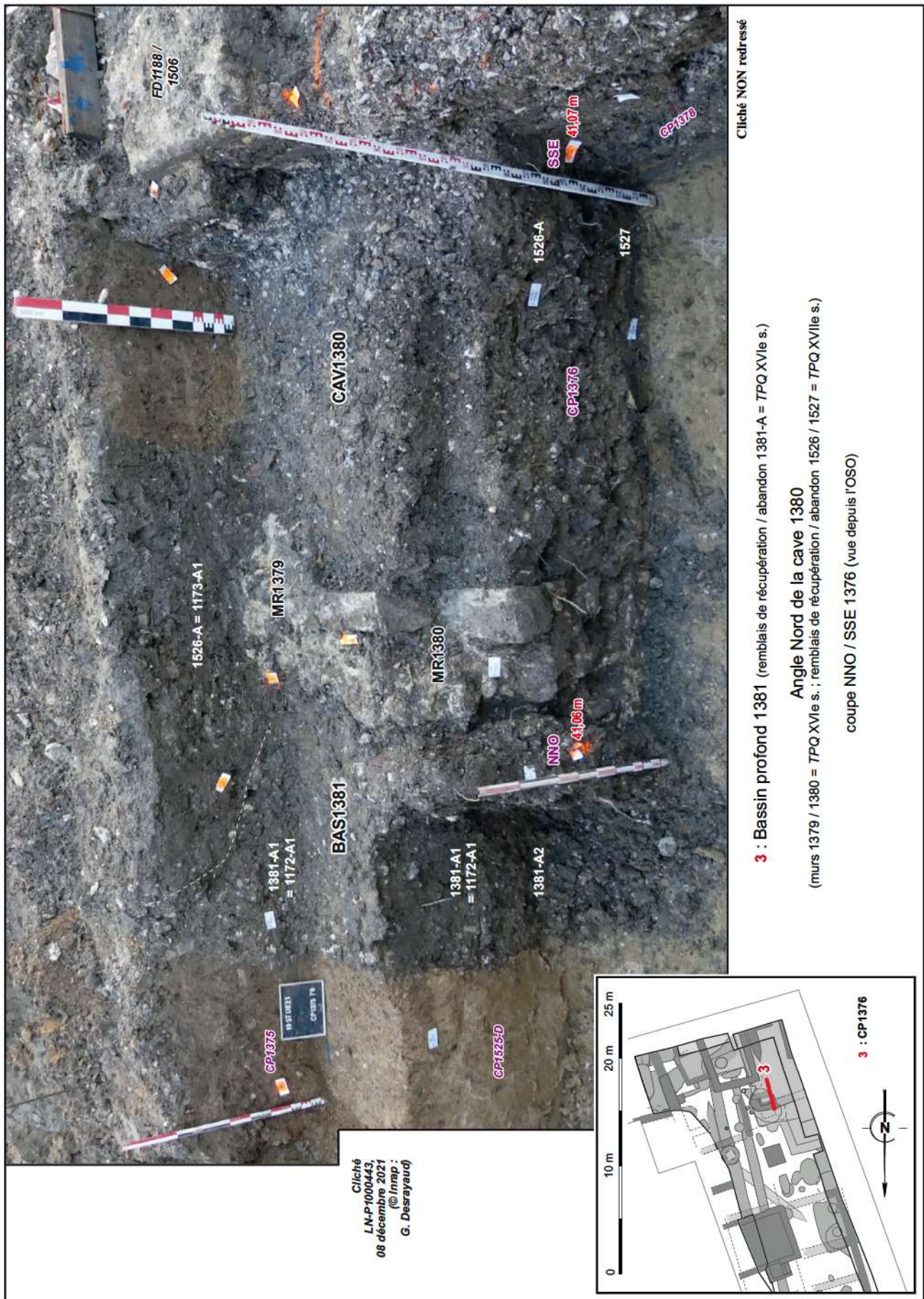
Bassin profond, construction TPQ XIII^e s. probable / TAQ XIV^e s.



Pl. 103 Melun, 19 rue Saint-Liesne. Excavation 1151, bassin profond 1381 et angle NNE de la cave 1380. BAS1381, 01 sur 04 © Inrap : G. Desrayaud, K. Hutinet



Pl. 104 Melun, 19 rue Saint-Liesne. Bassin profond 1381, coupes 1525-C et 1525-D. BAS1381, 02 sur 04 © Inrap : G. Desrayaud



Cliché NON redressé

3 : Bassin profond 1381 (remblais de récupération / abandon 1381-A = 7PQ XVIe s.)

Angle Nord de la cave 1380

(murs 1379 / 1380 = 7PQ XVIe s. ; remblais de récupération / abandon 1526 / 1527 = 7PQ XVIIe s.)

coupe NNO / SSE 1376 (vue depuis l'OSO)

Pl. 105 Melun, 19 rue Saint-Liesne. Bassin profond 1381 et angle NNE de la cave 1380, coupe 1376. BAS1381, 03 sur 04 © Inrap : G. Desrayaud



Pl. 106 Melun, 19 rue Saint-Liesne. Bassin profond 1381 et angle NNE de la cave 1380, coupe 1375-Nord. BAS1381, 04 sur 04 © Inrap : G. Desrayaud

Fosse et excavations, comblements XV^e s. probables



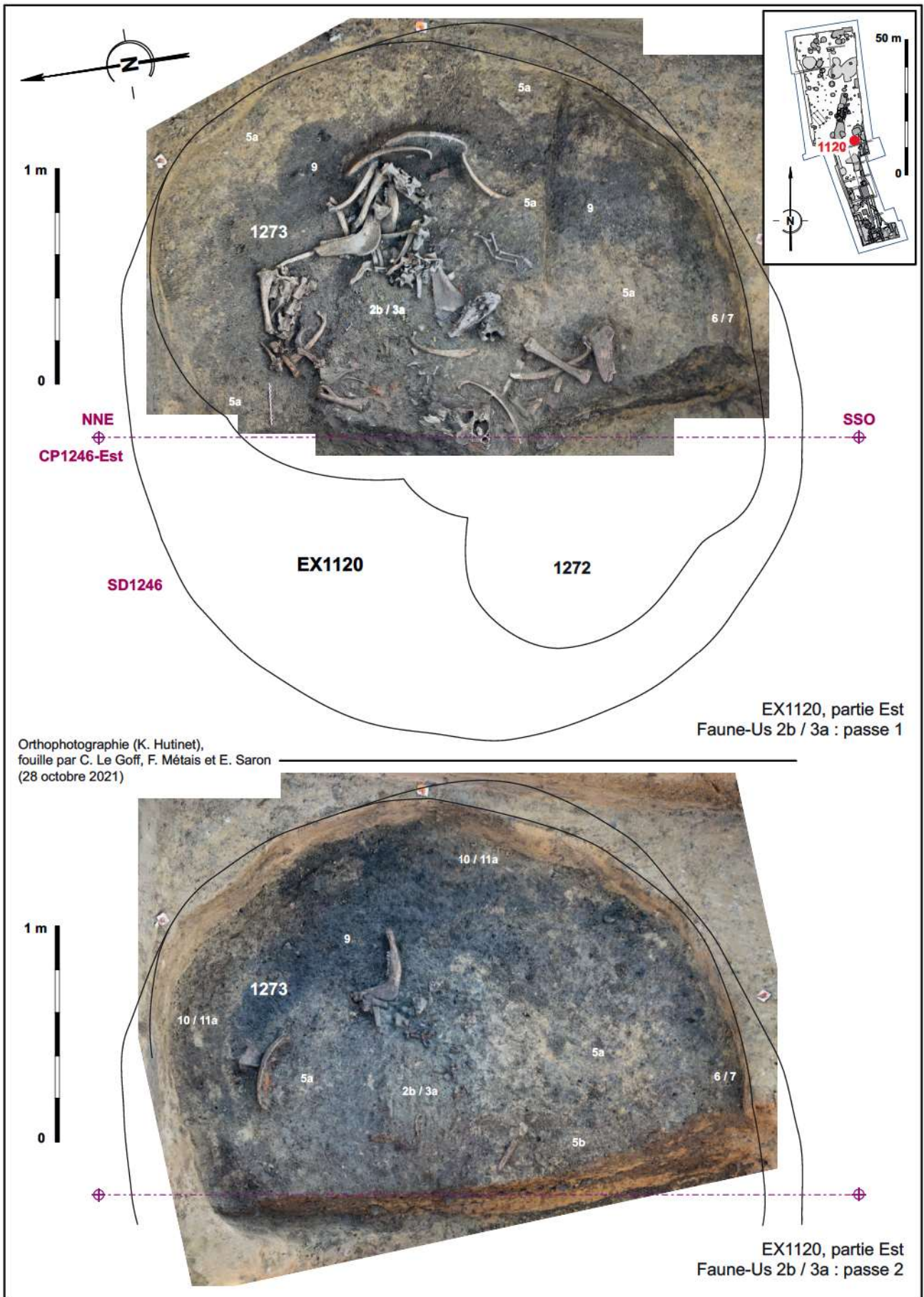
Cliché NON redressé

Excavation 1232 et fosse 1233
(comblements XV^e s. probables)

1 : coupe 1227 (voir Pl. 029 à 030)
2 : coupe SSE / NNO 1290
(vue depuis l'ENE)

Cliché L.N.P.1000165,
28 octobre 2021
(© Inrap : G. Desrayaud)

Pl. 107 Melun, 19 rue Saint-Liesne. Excavation 1232 et fosse 1233, comblements XV^e s. ap. J.-C. probables © Inrap : G. Desrayaud

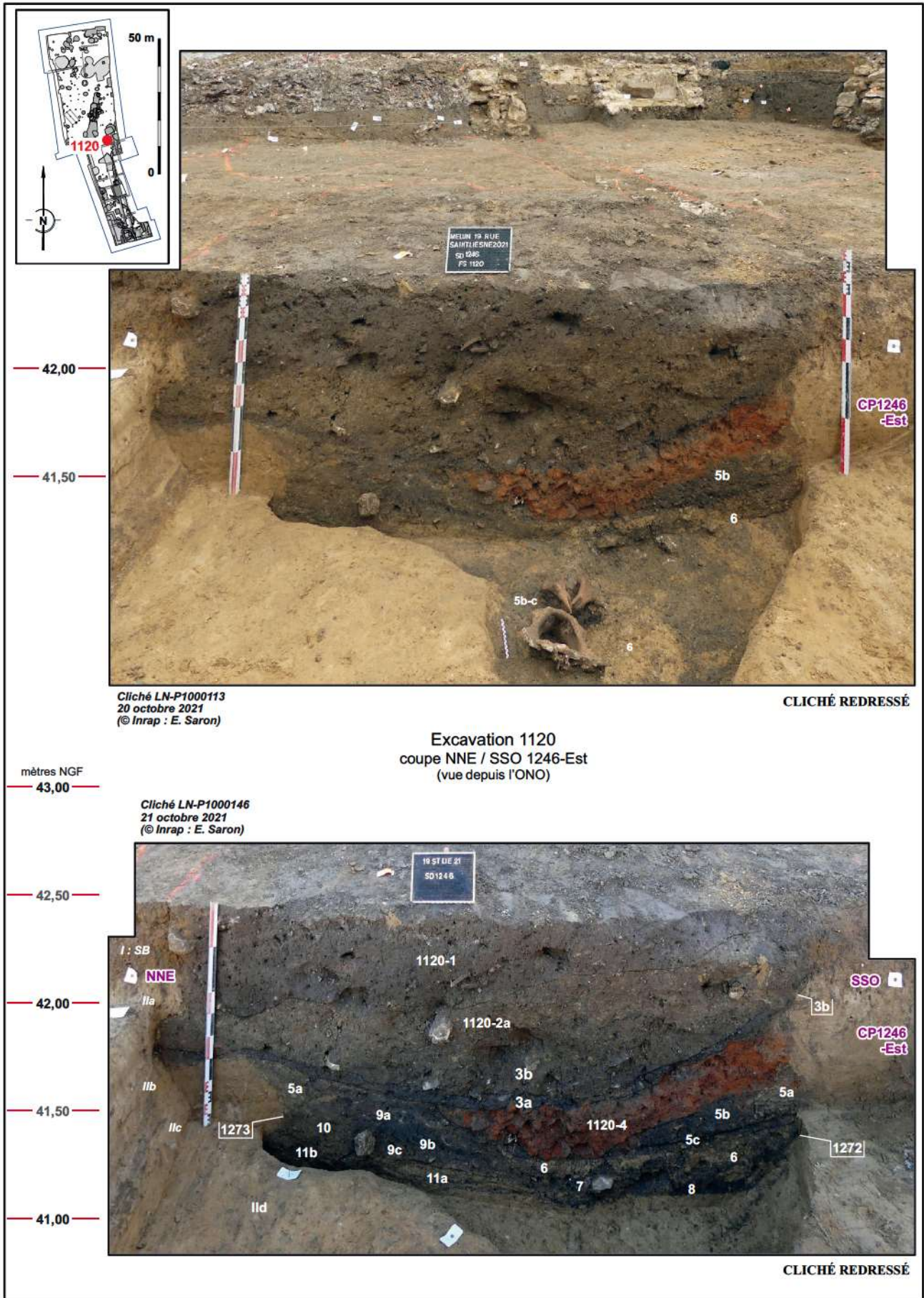


Orthophotographie (K. Hutinet),
fouille par C. Le Goff, F. Métais et E. Saron
(28 octobre 2021)

EX1120, partie Est
Faune-Us 2b / 3a : passé 1

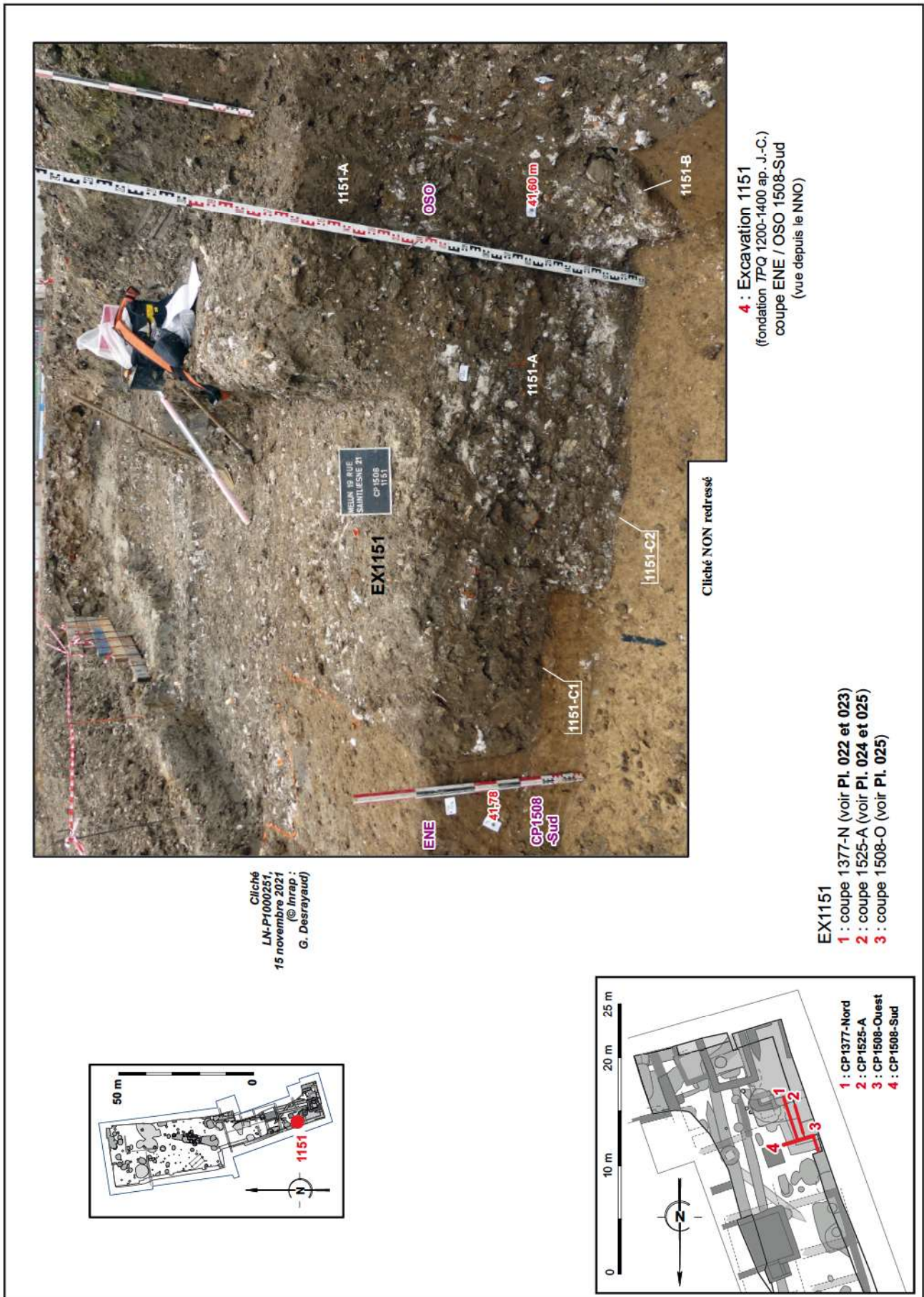
EX1120, partie Est
Faune-Us 2b / 3a : passé 2

Pl. 109 Melun, 19 rue Saint-Liesne. Excavation 1120, comblement XV^e s. ap. J.-C. probable. Orthophotographies en plan, dépôts / rejets de faune. EX1120, 02 sur 03 © Inrap : G. Desrayaud, K. Hutinet, C. Le Goff, F. Métais, E. Saron

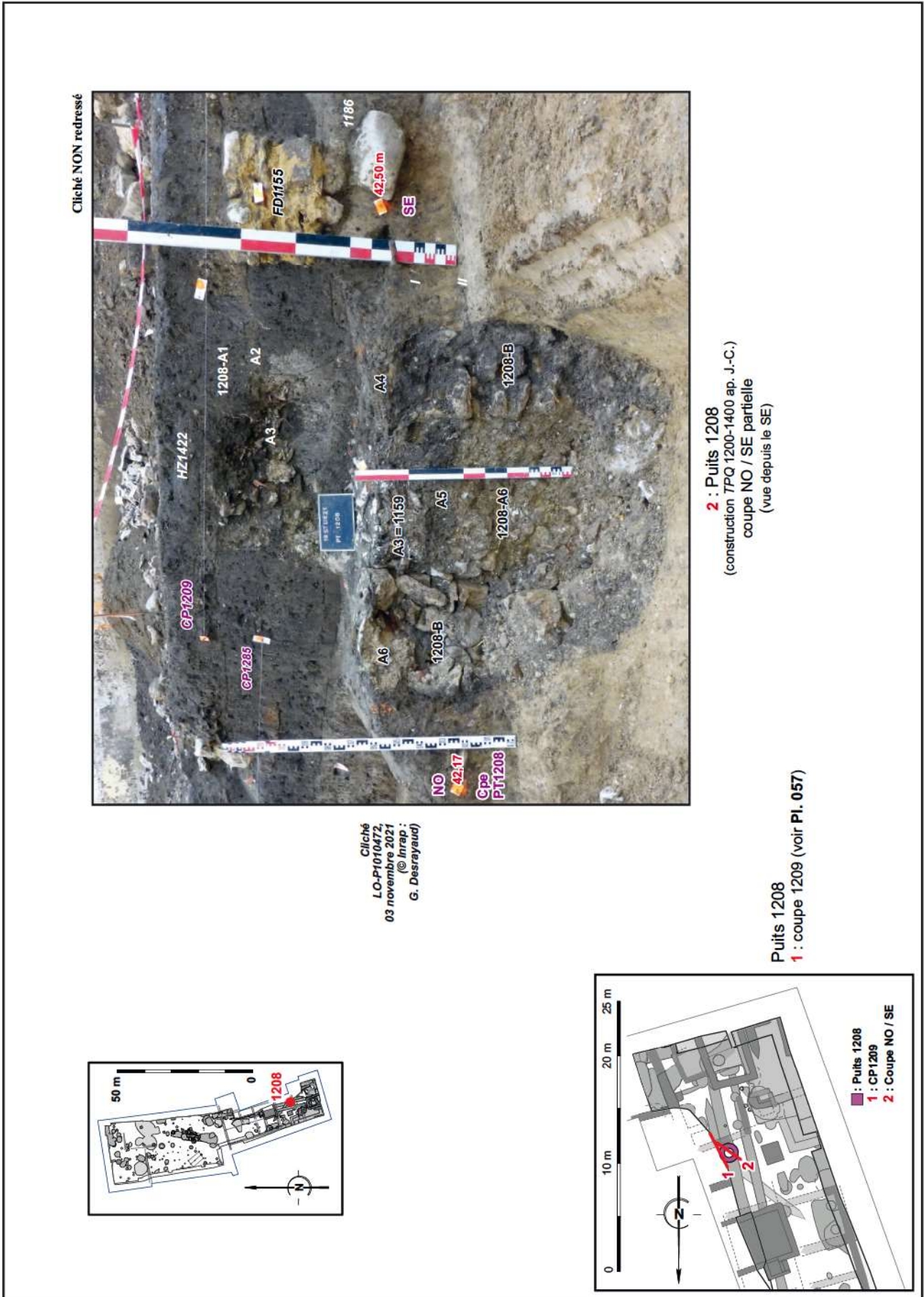


Pl. 110 Melun, 19 rue Saint-Liesne. Excavation 1120, comblement XV^e s. ap. J.-C. probable. Coupe NNE / SSO 1246-Est. EX1120, 03 sur 03 © Inrap : G. Desrayaud, E. Saron

Fondation / construction TPQ 1200-1400 ap. J.-C.

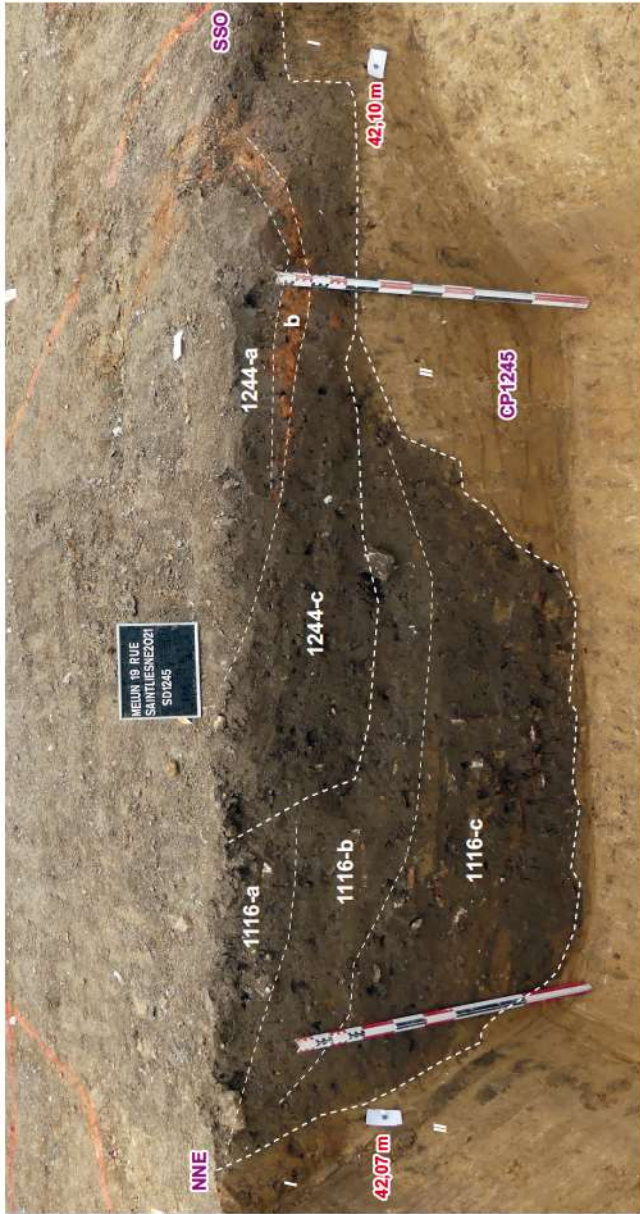


Pl. 111 Melun, 19 rue Saint-Liesne. Excavation 1151 (cave ?), fondation TPQ 1200-1400 ap. J.-C. Coupe ENE / OSO 1508-Sud © Inrap : G. Desrayaud



Pl. 112 Melun, 19 rue Saint-Liesne. Puits à eau 1208, construction TPQ 1200-1400 ap. J.-C. Coupe sup. partielle NO / SE © Inrap : G. Desrayaud

Fosses non datées, comblements TPQ 1200-1400 et/ou 1450-1525 ap. J.-C.

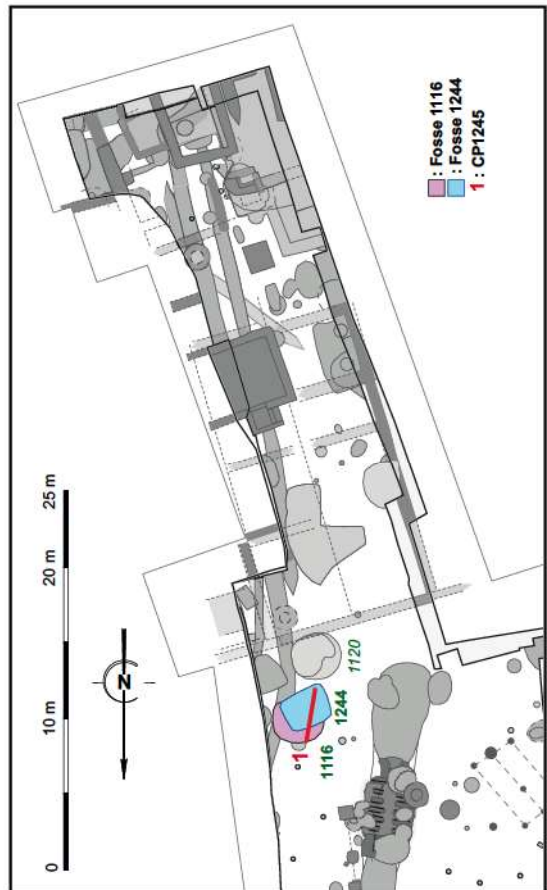
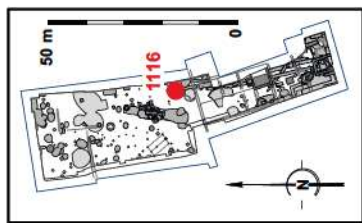


Cliché NON redressé

Cliché LN-P1000105,
20 octobre 2021
(© Inrap : E. Saron)

Fosse 1116
(fragments de tuiles plates à crochets, TPQ 1250-1400 ap., et
1 tesson 1450-1525 ap. J.-C. avec Risque d'Interférence avec 1244)

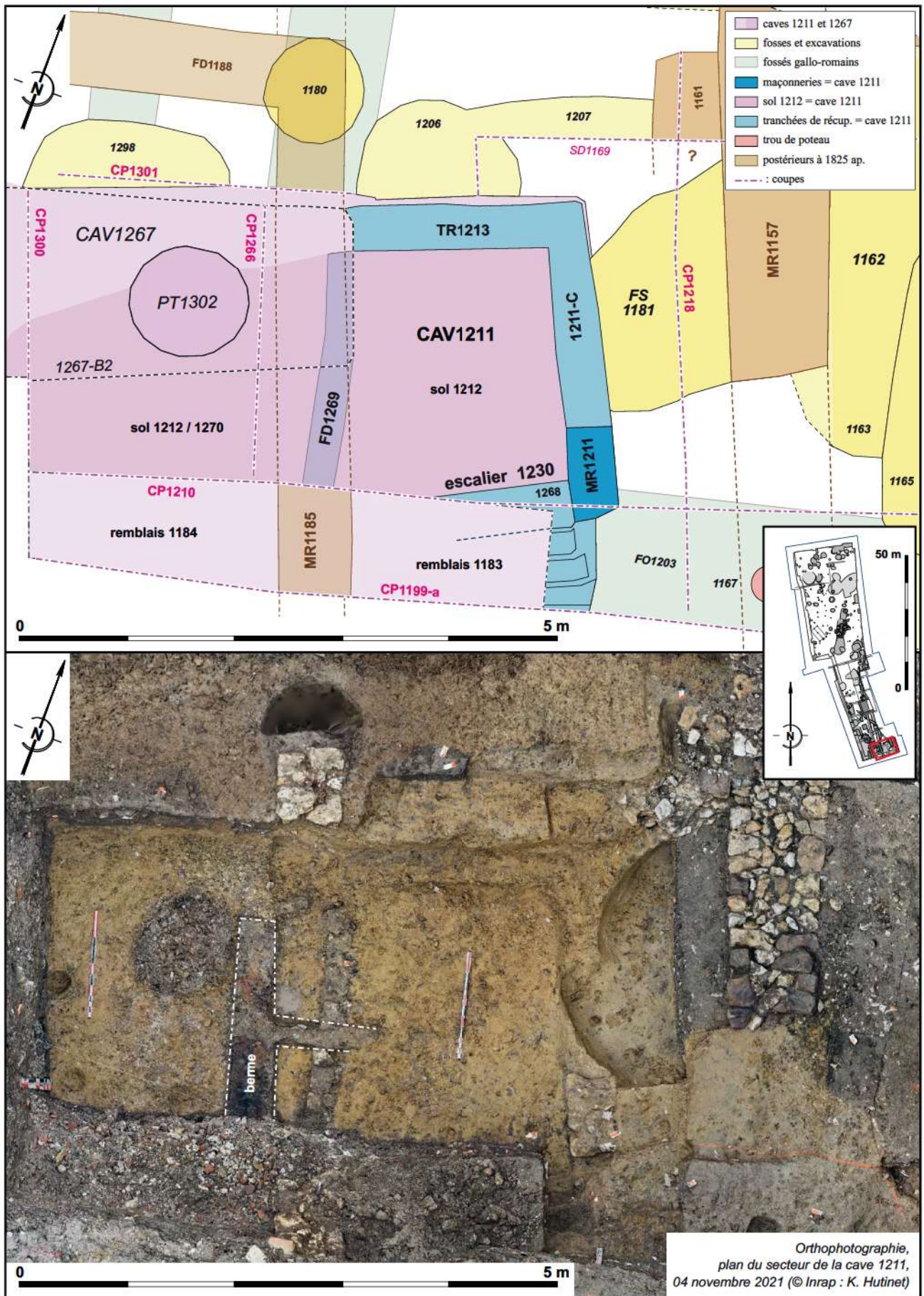
et fosse 1244
coupe NNE / SSO 1245
(vue depuis l'ONO)



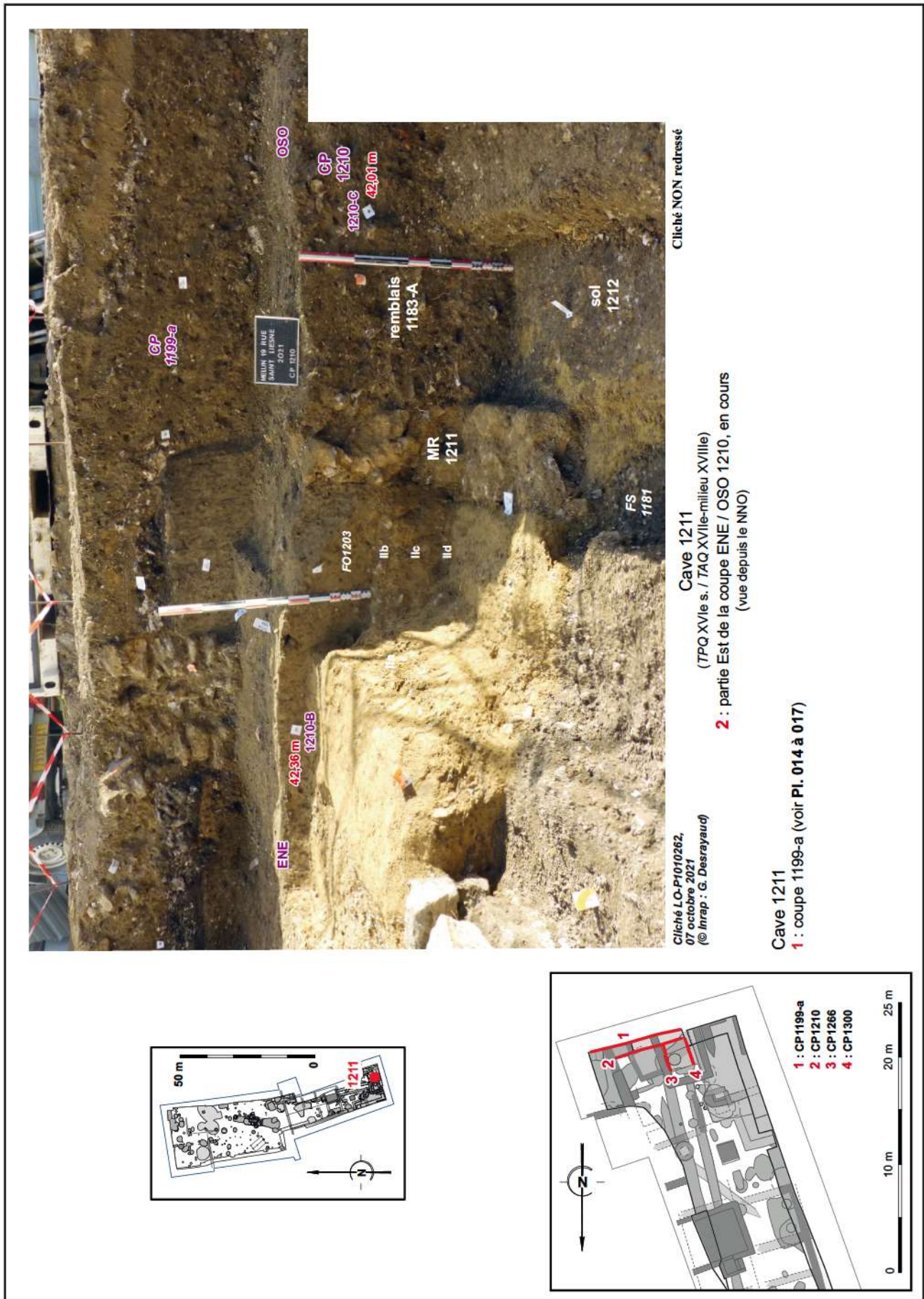
Période moderne (TPQ 1500-1600 ap. / TAQ 1750-1825 ap. J.-C.)



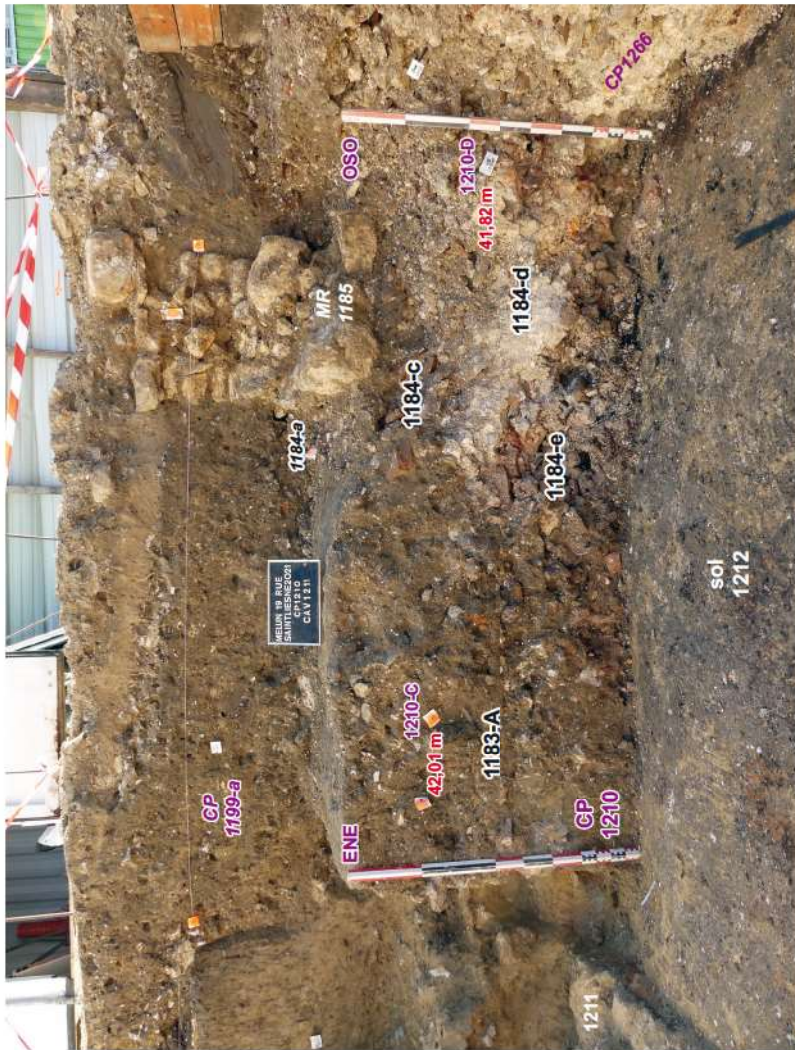
Pl. 114 Melun, 19 rue Saint-Liesne. Fosse 1181 (antérieure à la cave 1211), coupe NNO / SSE 1218 © Inrap : G. Desrayaud



Pl. 115 Melun, 19 rue Saint-Liesne. Plan du secteur des caves modernes successives 1211 et 1267. CAV1211-1267, 01 sur 06 © Inrap : G. Desrayaud, K. Hutinet, R. Touquet



Pl. 116 Melun, 19 rue Saint-Liesne. Cave moderne 1211, partie Est de la coupe ENE / OSO 1210. CAV1211-1267, 02 sur 06 © Inrap : G. Desrayaud

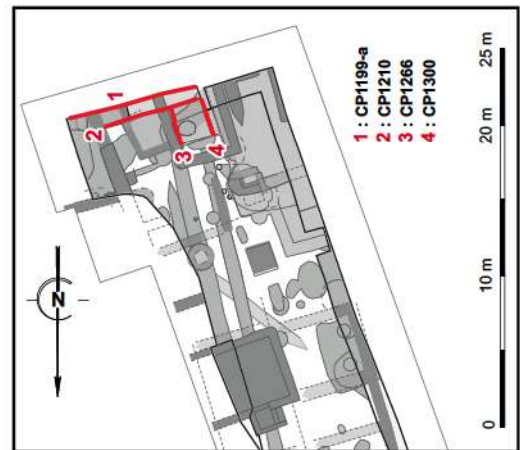
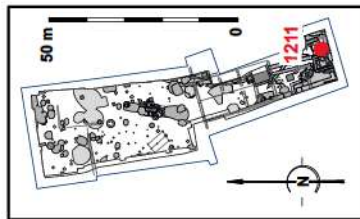


Cliché NON redressé

Cave 1211
(TPQ XVIe s. / TAQ XVIIe-milieu XVIIIe)
2 : partie centrale de la coupe ENE / OSO 1210, en cours
(vue depuis le NNO)

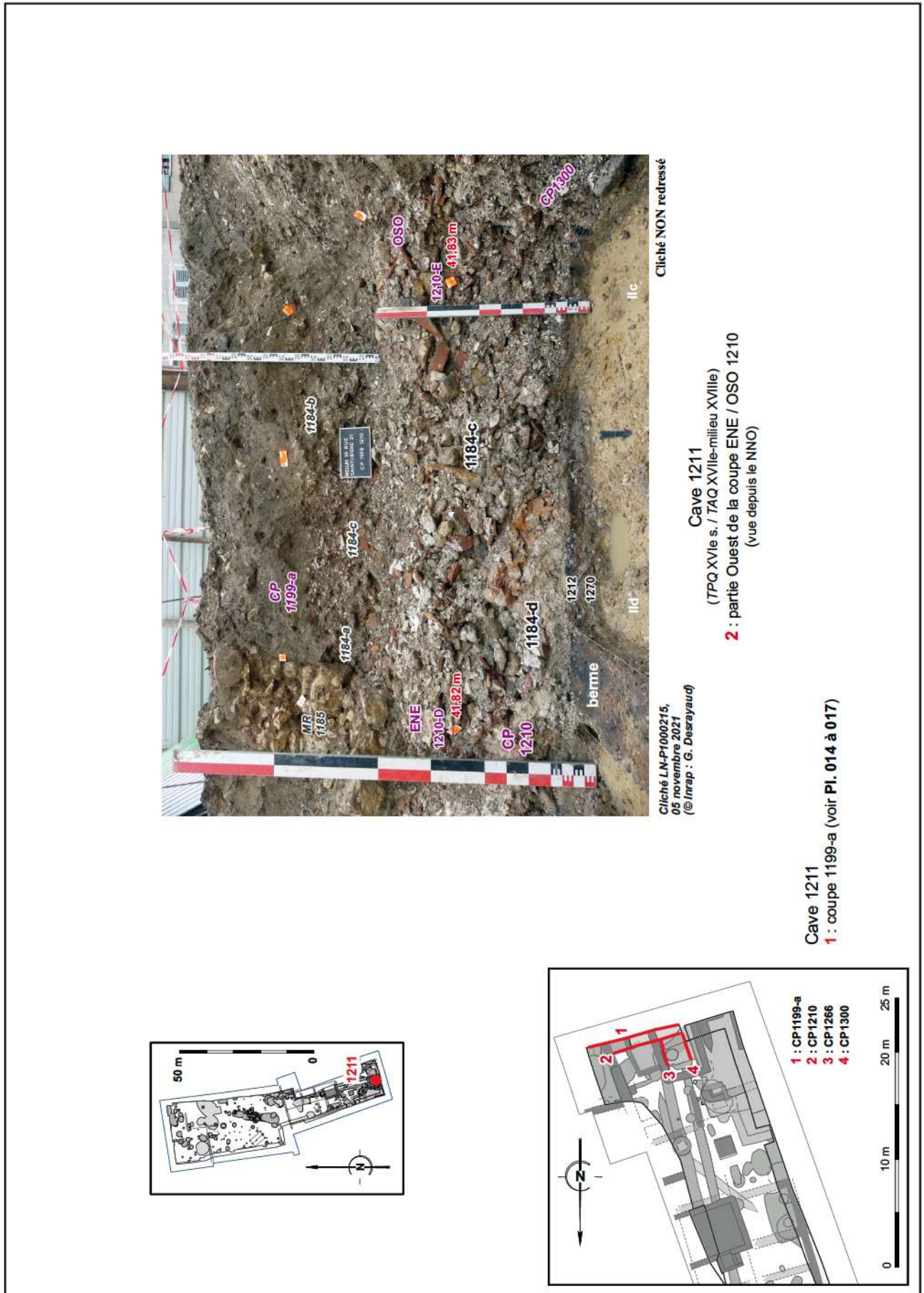
Cliché LN-P-1000100,
19 octobre 2021
(© Inrap : G. Desrayaud)

Cave 1211
1 : coupe 1199-a (voir Pl. 014 à 017)

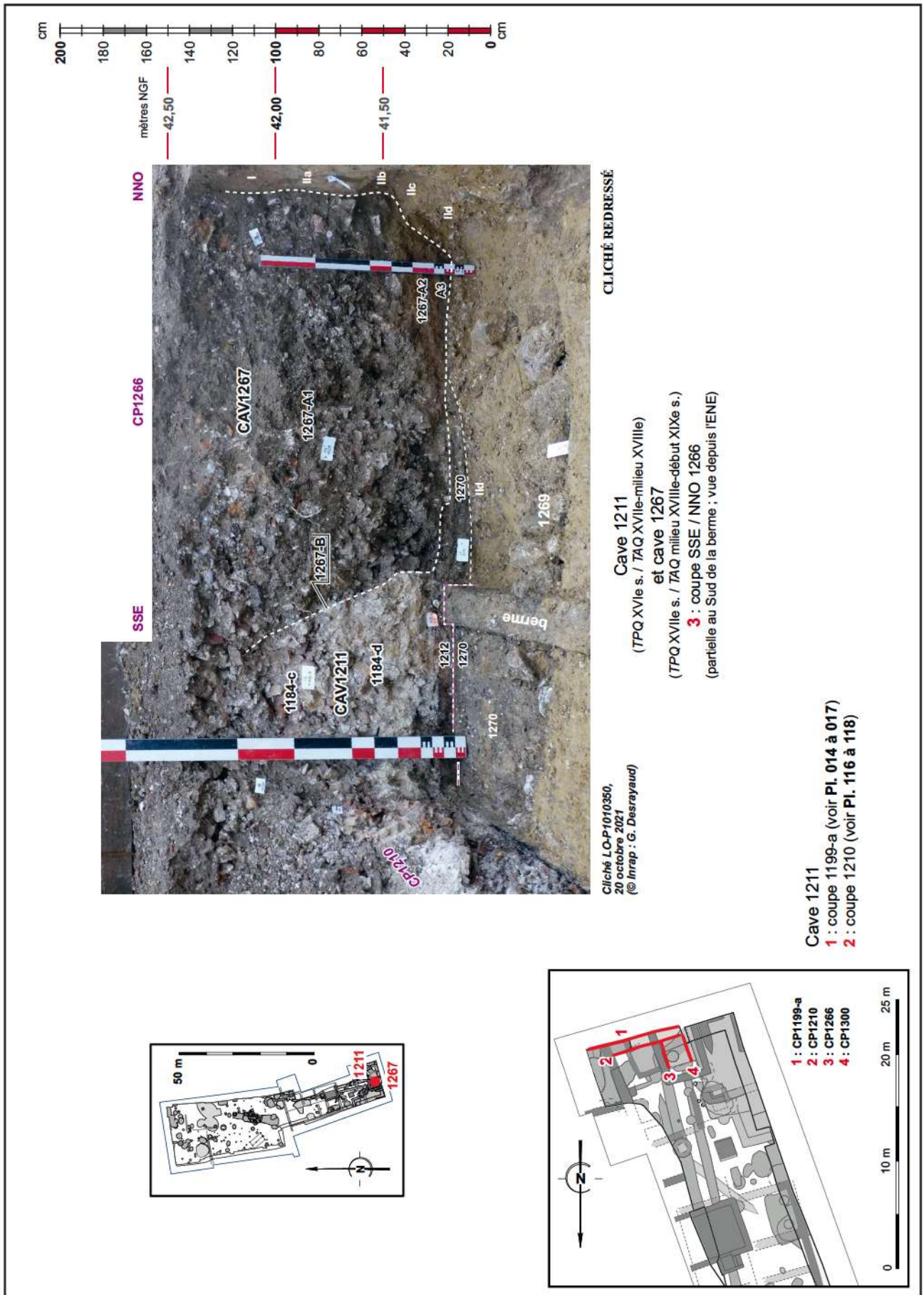


- 1 : CP1199-a
- 2 : CP1210
- 3 : CP1266
- 4 : CP1300

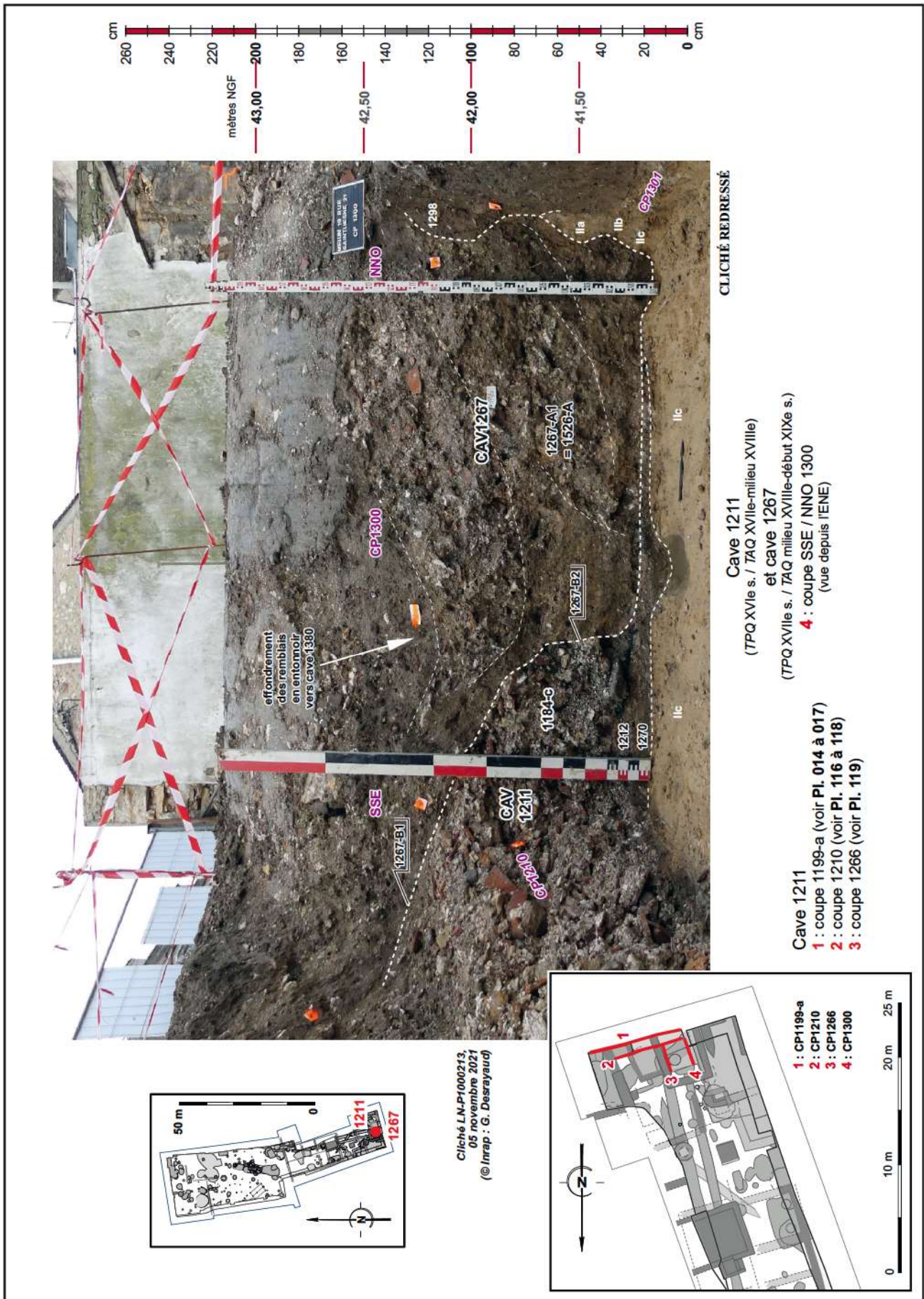
Pl. 117 Melun, 19 rue Saint-Liesne. Cave moderne 1211, partie centrale de la coupe ENE / OSO 1210. CAV1211-1267, 03 sur 06 © Inrap : G. Desrayaud



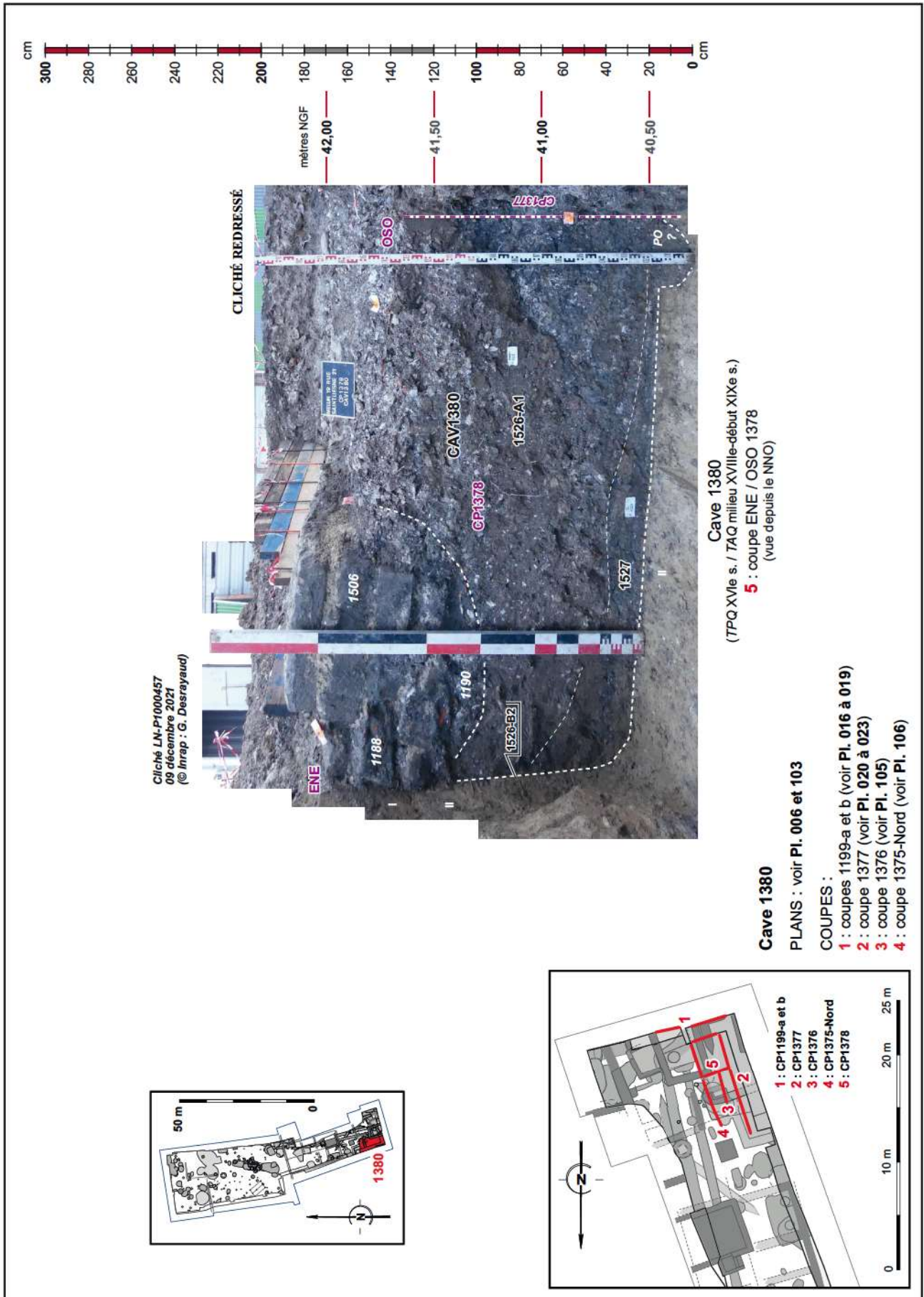
Pl. 118 Melun, 19 rue Saint-Liesne. Cave moderne 1211, partie Ouest de la coupe ENE / OSO 1210. CAV1211-1267, 04 sur 06 © Inrap : G. Desrayaud



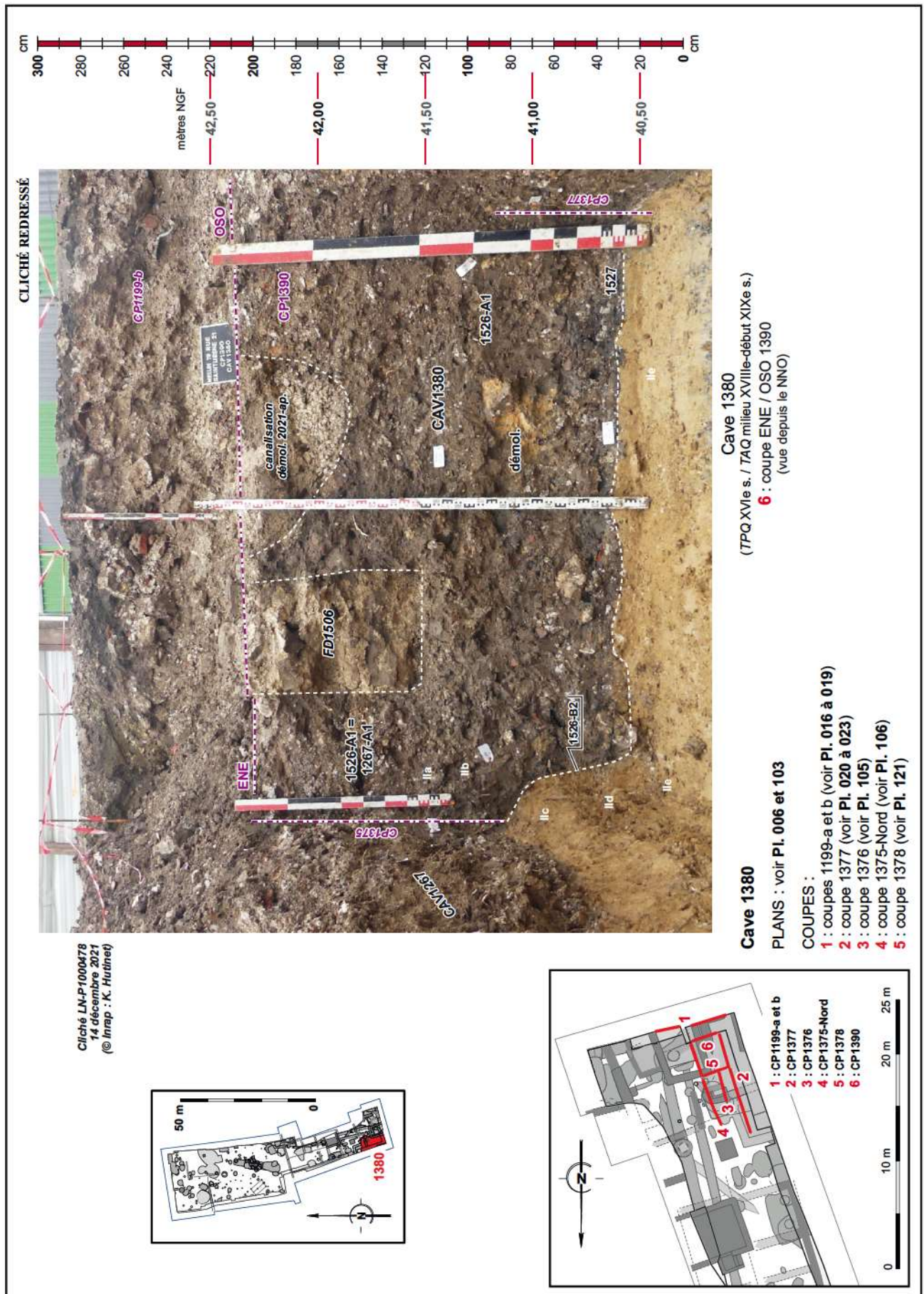
Pl. 119 Melun, 19 rue Saint-Liesne. Caves modernes successives 1211 et 1267, coupe SSE / NNO 1266. CAV1211-1267, 05 sur 06 © Inrap : G. Desrayaud



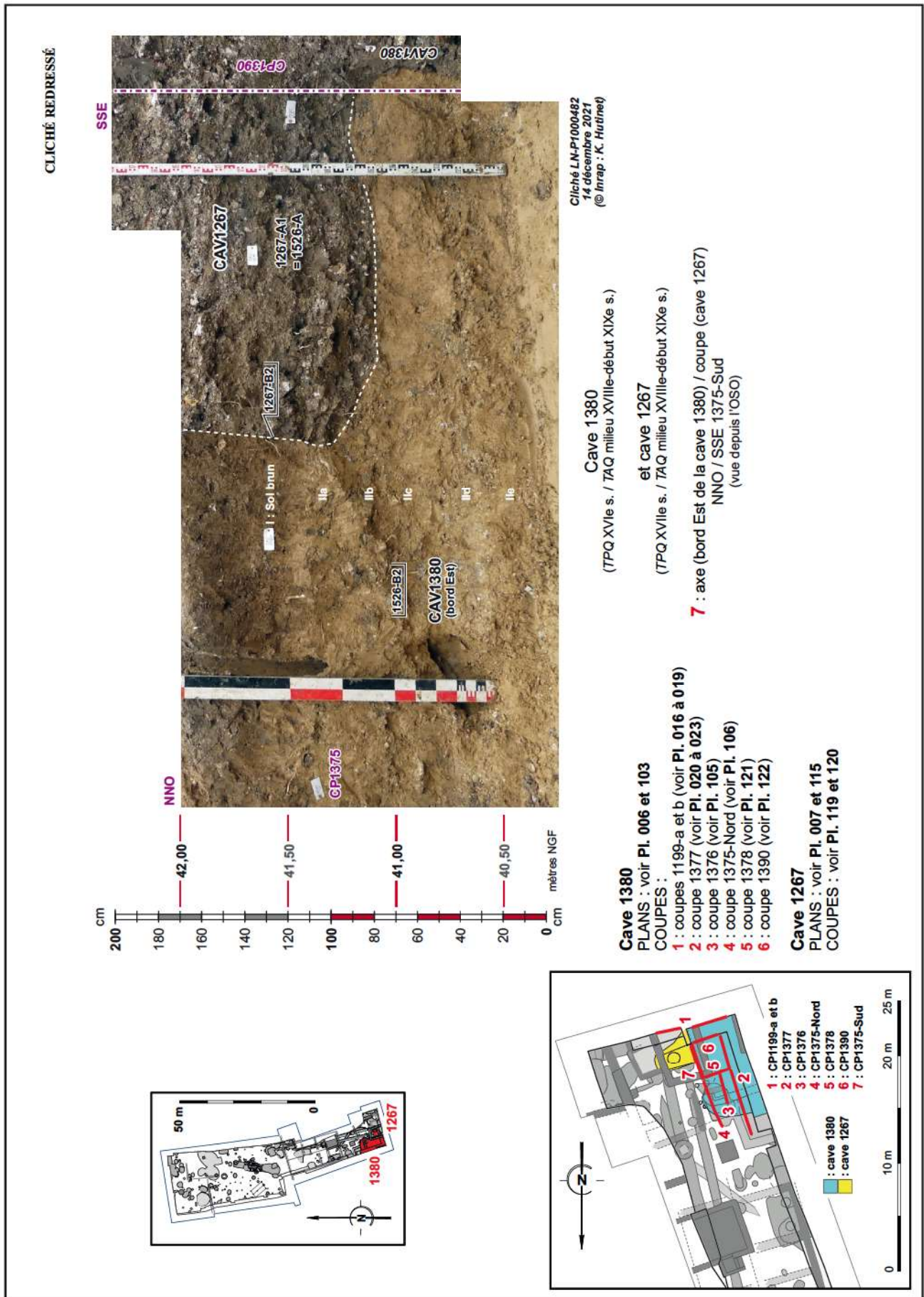
Pl. 120 Melun, 19 rue Saint-Liesne. Caves modernes successives 1211 et 1267, coupe SSE / NNO 1300. CAV1211-1267, 06 sur 06 © Inrap : G. Desrayaud



Pl. 121 Melun, 19 rue Saint-Liesne. Cave moderne 1380, coupe ENE / OSO 1378. CAV1380, 01 sur 03 © Inrap : G. Desrayaud

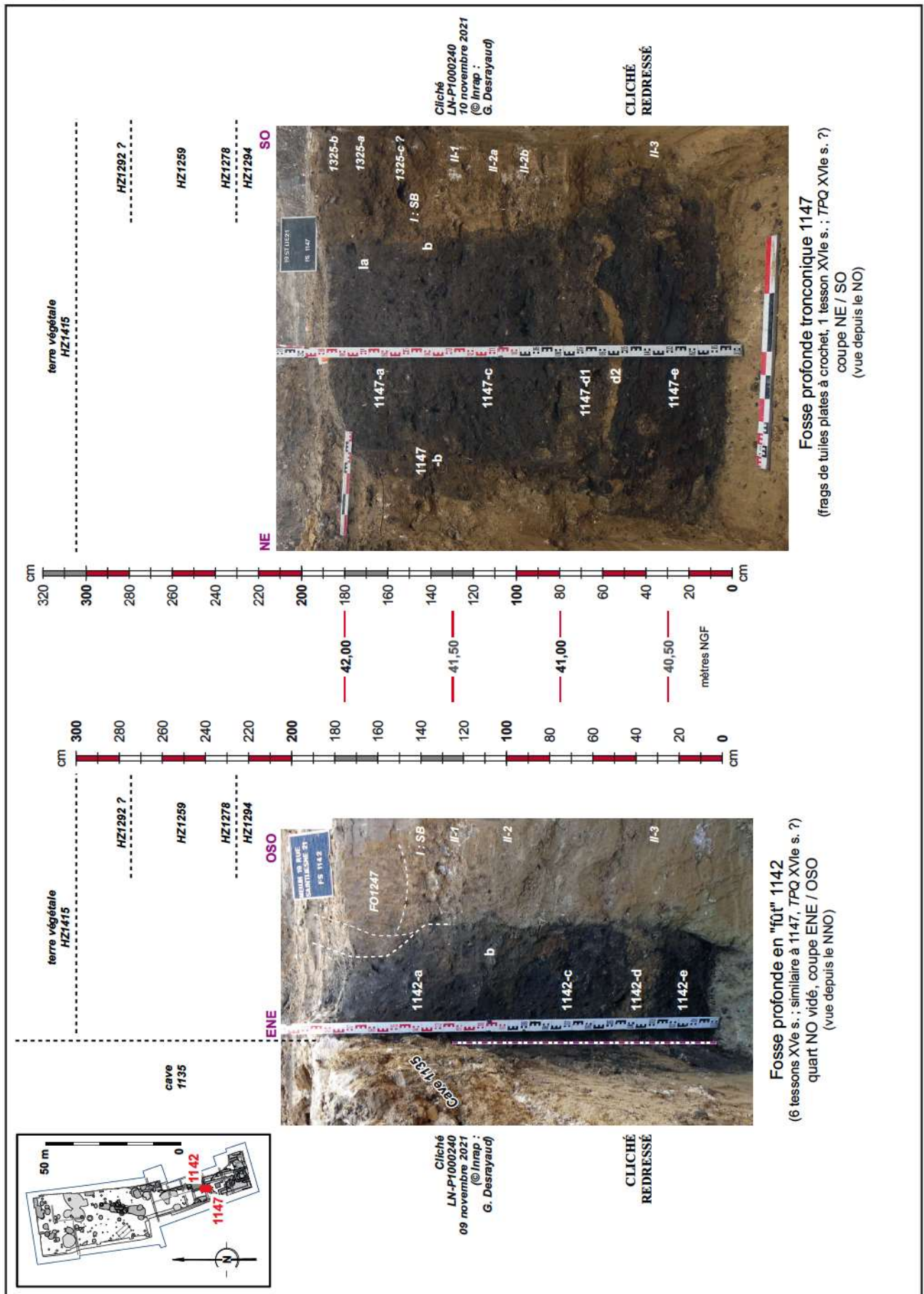


PI. 122 Melun, 19 rue Saint-Liesne. Cave moderne 1380, coupe ENE / OSO 1390. CAV1380, 02 sur 03 © Inrap : G. Desrayaud, K. Hutinet



PI. 123 Melun, 19 rue Saint-Liesne. Caves modernes 1267 et 1380, coupe NNO / SSE 1375-Sud. CAV1380, 03 sur 03 © Inrap : G. Desrayaud, K. Hutinet

TPQ 1400-1500 et/ou 1500-1600 ap. J.-C.

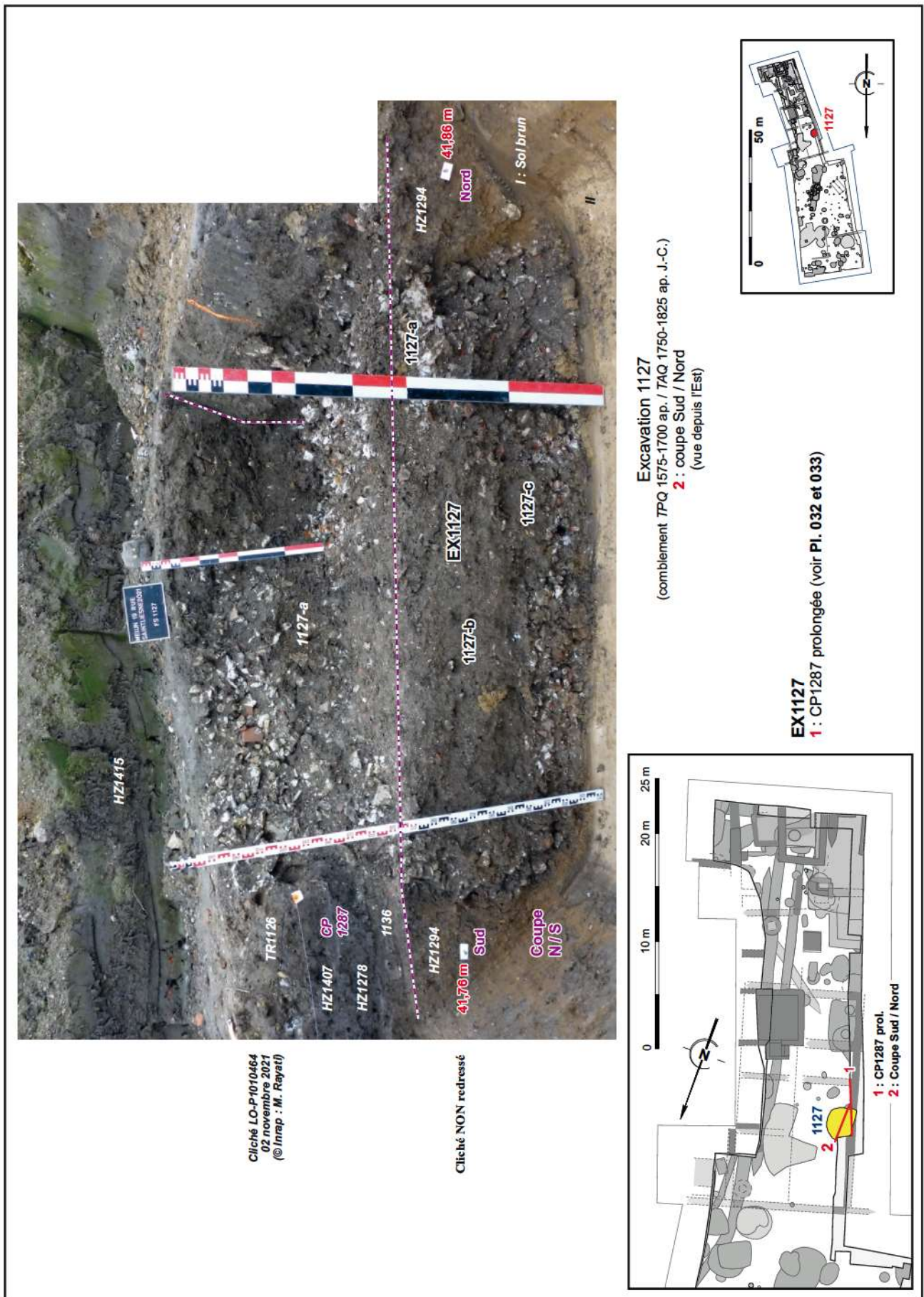


Pl. 124 Melun, 19 rue Saint-Liesne. Fosses profondes 1142 et 1147, modernes probables © Inrap : G. Desrayaud

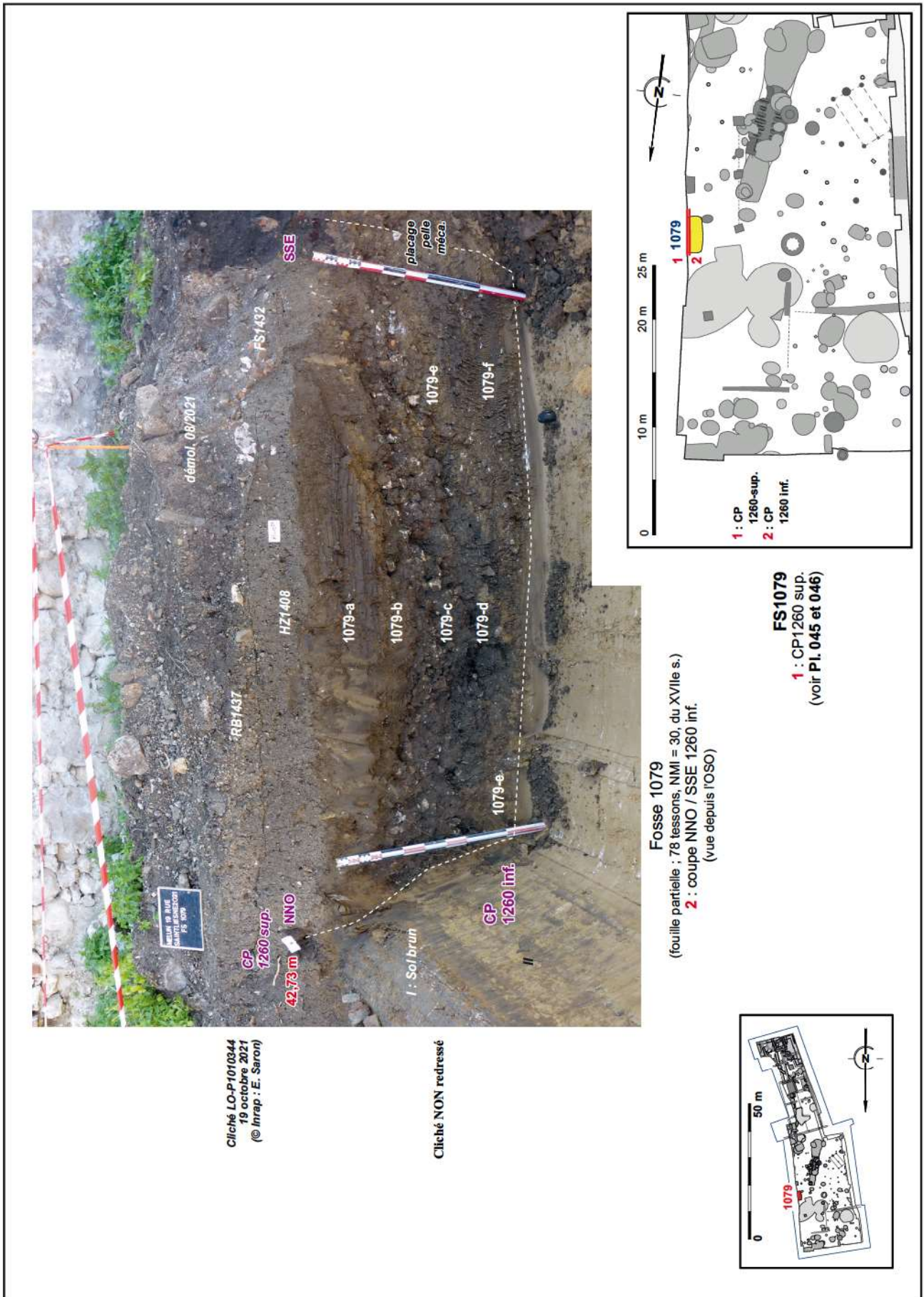
Période moderne (TPQ 1575-1700 ap. / TAQ 1750-1825 ap. J.-C.)



Pl. 125 Melun, 19 rue Saint-Liesne. Excavation 1125 et 1129, coupe NNO / SSE 1286-Est © Inrap : G. Desrayaud

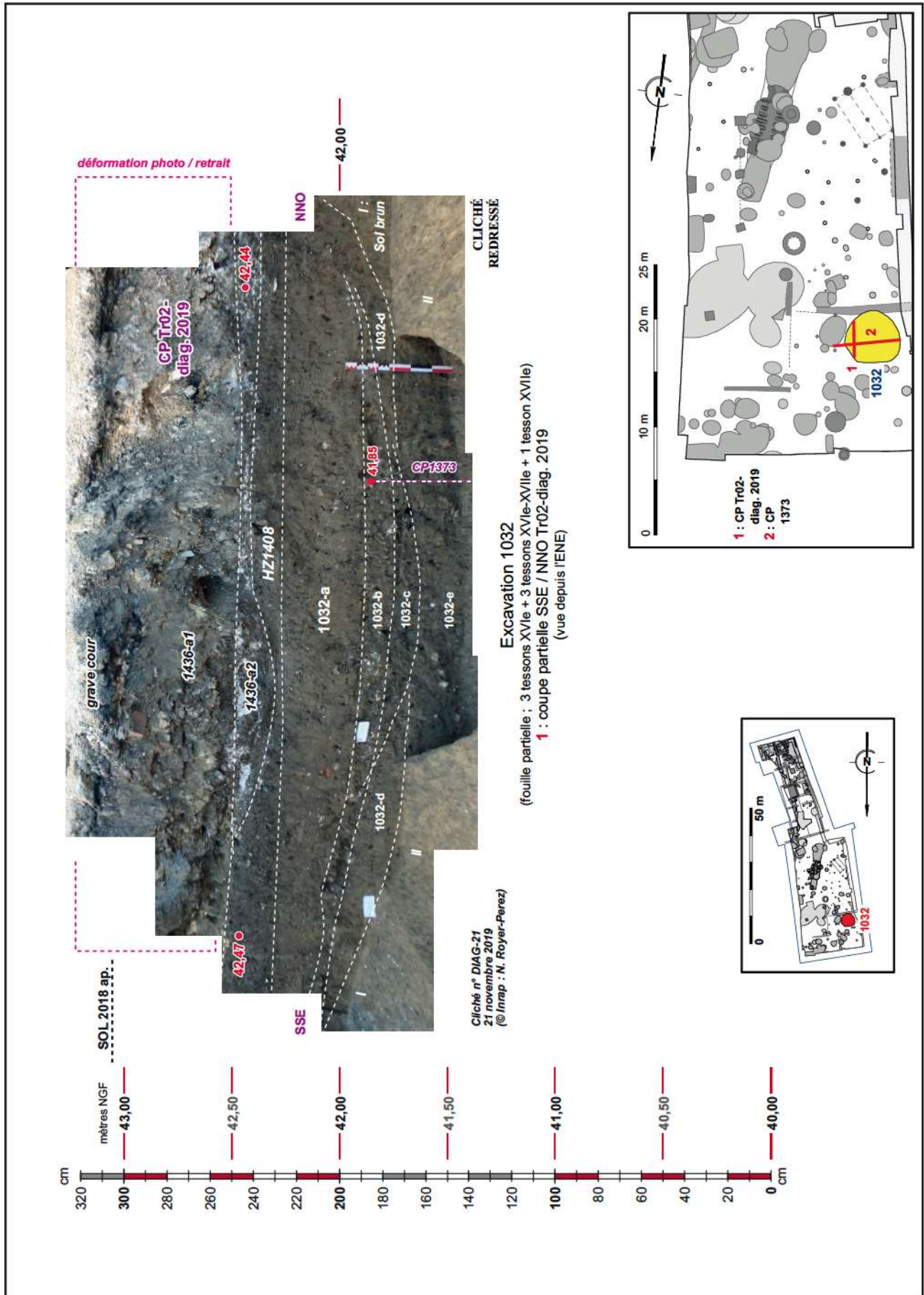


Pl. 126 Melun, 19 rue Saint-Liesne. Excavation 1127, coupe Sud / Nord © Inrap : G. Desrayaud, M. Rayati

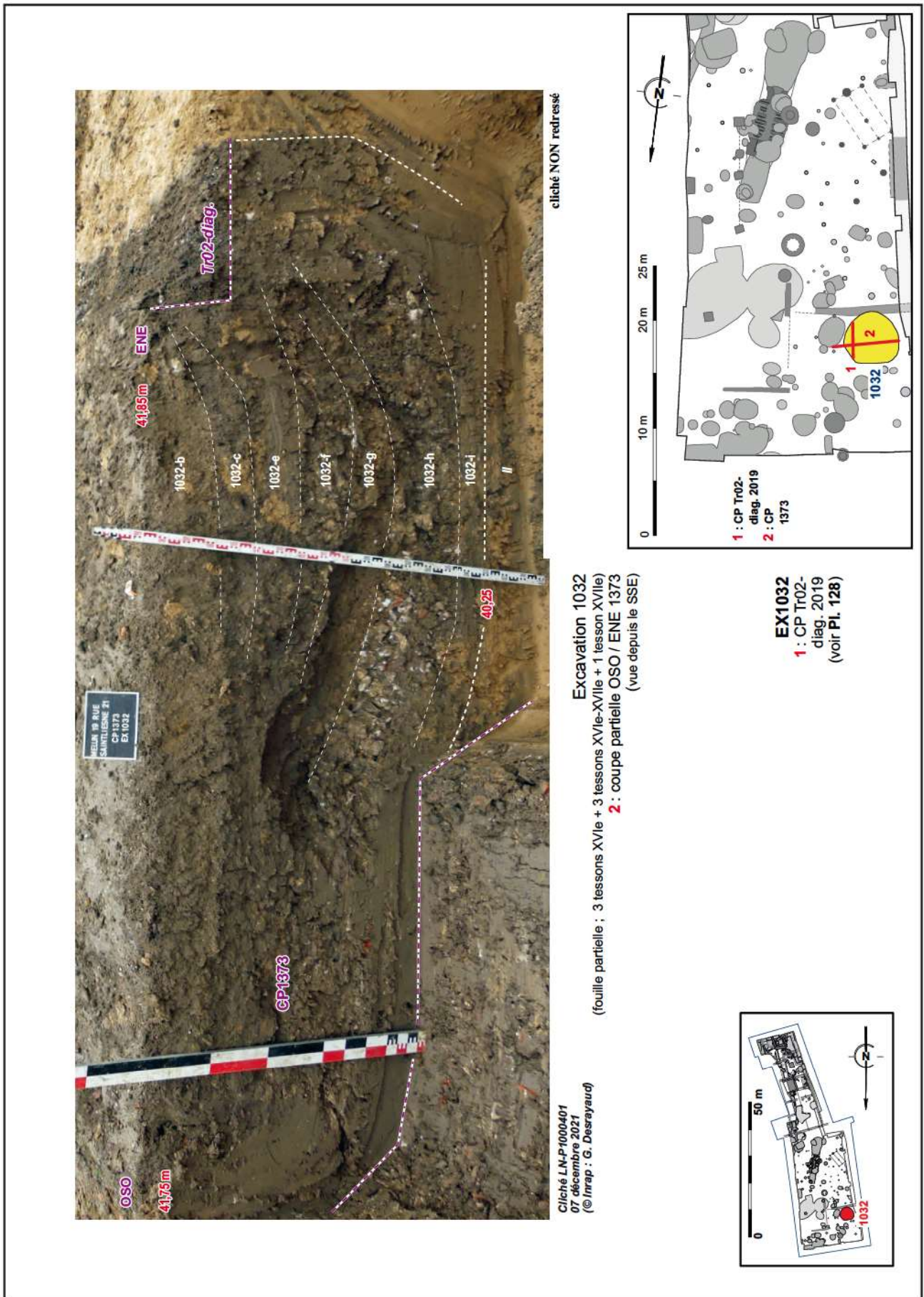


Pl. 127 Melun, 19 rue Saint-Liesne. Fosse 1079, XVII^e s. probable, coupe SSE / NNO (1260 inf.) © Inrap : G. Desrayaud, E. Saron

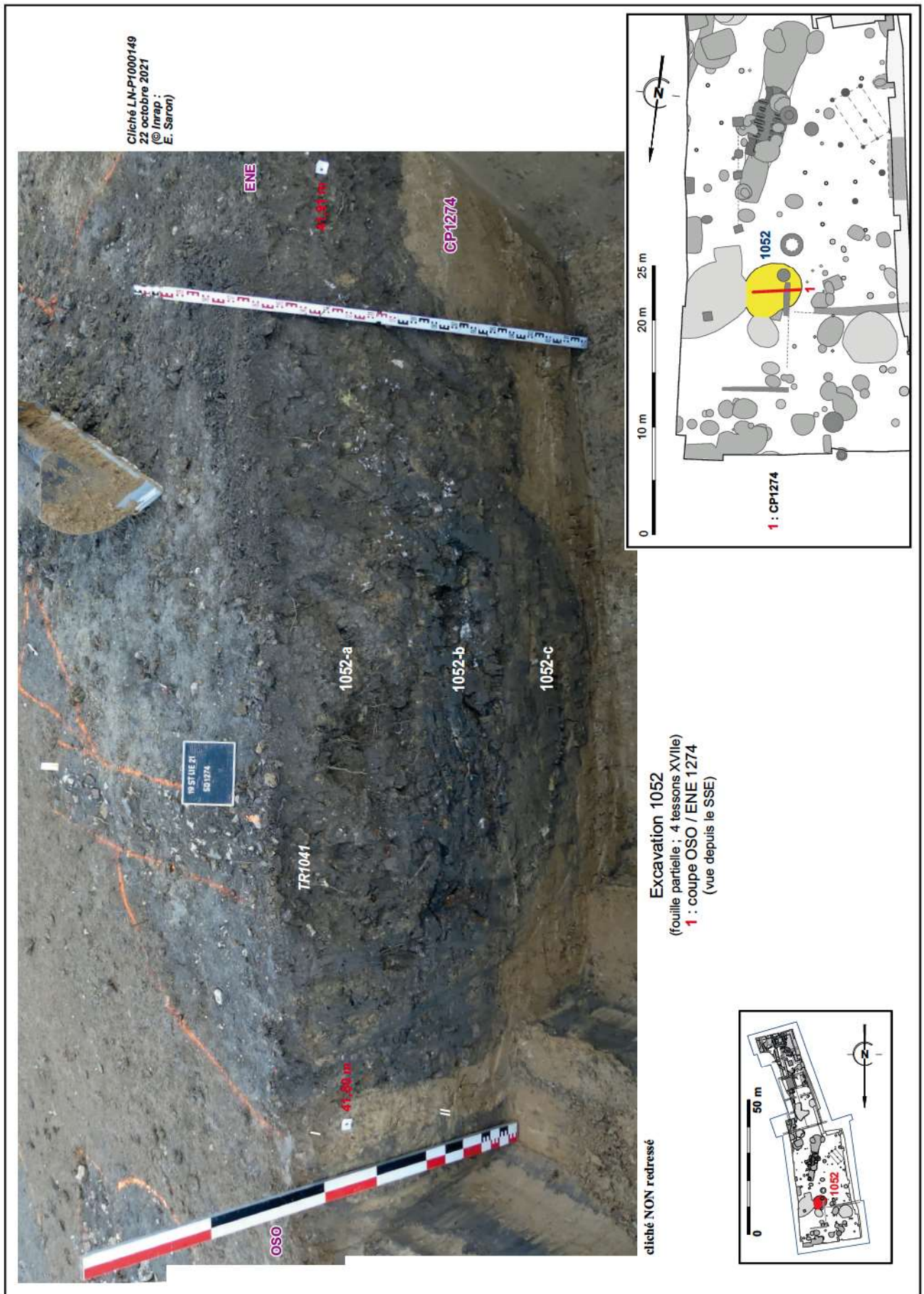
Complements TPQ 1600-1700 ap. J.-C. (modernes ?)



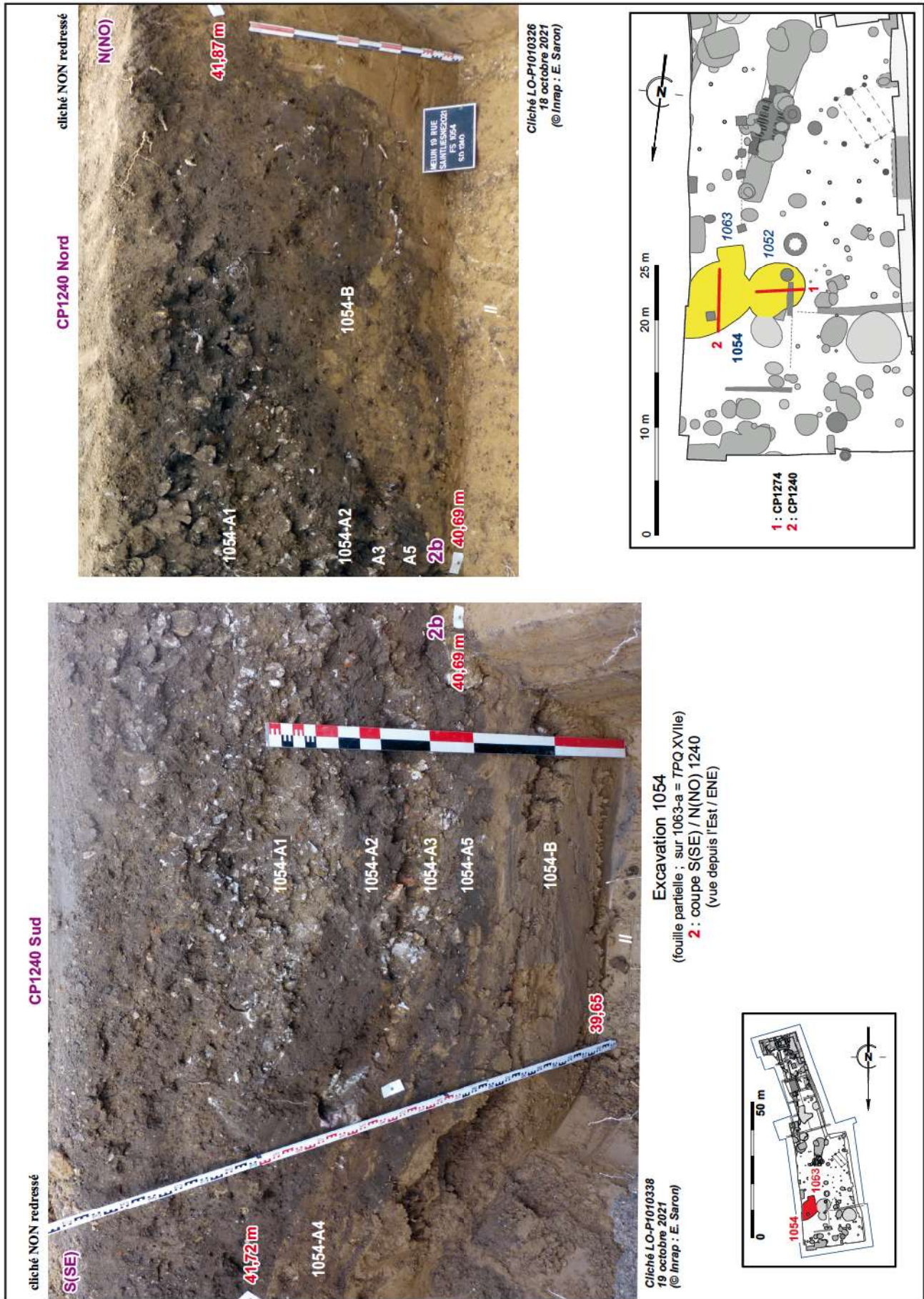
Pl. 128 Melun, 19 rue Saint-Liesne. Excavation 1032, coupe SSE / NNO Tr02-diag. 2019. EX1032, 01 sur 02 © Inrap : G. Desrayaud, N. Royer-Perez



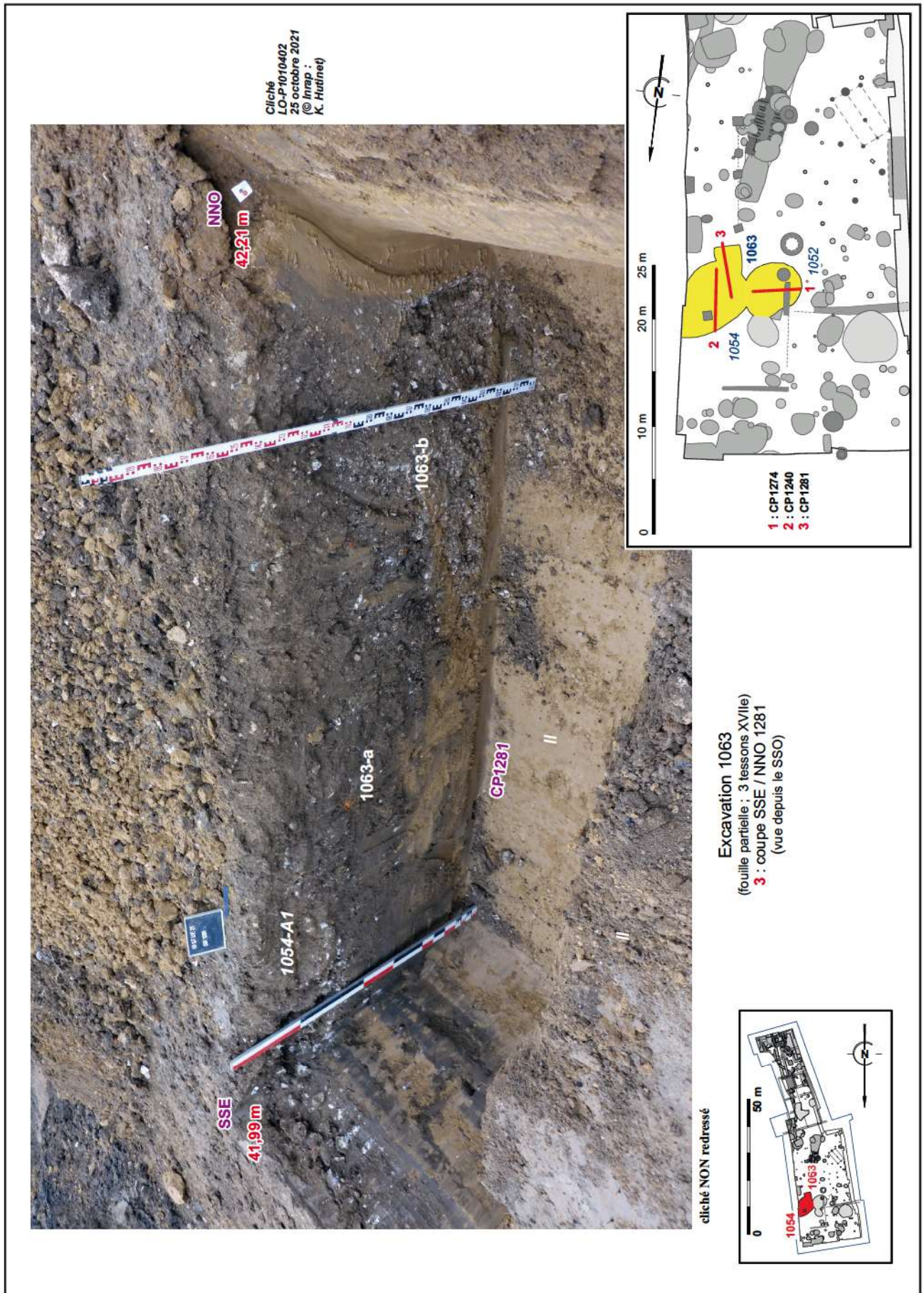
Pl. 129 Melun, 19 rue Saint-Liesne. Excavation 1032, coupe OSO / ENE 1373. EX1032, 02 sur 02 © Inrap : G. Desrayaud



Pl. 130 Melun, 19 rue Saint-Liesne. Excavation 1052, coupe OSO / ENE 1274 © Inrap : G. Desrayaud, E. Saron



Pl. 131 Melun, 19 rue Saint-Liesne. Excavation 1054, coupe S(SE) / N(NO) 1240 © Inrap : G. Desrayaud, E. Saron



Pl. 132 Melun, 19 rue Saint-Liesne. Excavation 1063, coupe SSE / NNO 1281 © Inrap : G. Desrayaud, K. Hutinet

VI. **Bibliographie**
Liste des figures

6.1 Références bibliographiques

Alken, Thébaut, Beggan et al. 2020

ALKEN (P.), THEBAULT (E.), C.D. BEGGAN (C. D.) ET AL. – *International Geomagnetic Reference Field : the 13th generation, Earth Planets and Space*, 2020
doi :10.1186/s40623-020-01288-x.

Alligri, Raymond 2015

ALLIGRI (A.), RAYMOND (P.) – « La brique crue, matériau par défaut ou choix éclairé. Le cas des fours de tuiliers antiques de Mours (Val d'Oise) », *Archéopages* 42, INRAP, avril-juillet 2015, Paris, pp. 79-87.

Anamthawat-Jónsson 2021

ANAMTHAWAT-JÓNSSON (K.) SIGURGÍSLASON (H.) et GAVIN (L.) – « Wild fowl egg consumption in postmedieval Iceland. SEM analysis of archaeological eggshells from the Bishop's seat at Skálhotl, southwest Iceland ». *Journal of Archaeological Science : Report* 38 (2021) 103060.

Antoine 2002

ANTOINE (P.) – « Les lœss en France et dans le nord-ouest européen ». *Revue Française de Géotechnique*, 2002, Vol. 99, pp. 3-21.

Arminjon, Blondel 1984

ARMINJON (C.), BLONDEL (N.) – *Objets civils domestiques. Vocabulaire typologique*. Paris : Monum, 1984 : Editions du patrimoine.

Aumard et al. 2019

AUMARD (S.), BEN AMARA (A.), BÜTTNER (S.), CANTIN (N.), ZINK (A.) – « Les premières tuiles plates en Auxerrois (XII^e-XIII^e siècles) : approche typologique et archéométrique ». In : THUILLIER (F.) (DIR) – *Les terres cuites architecturales en France du Moyen-Âge à l'époque contemporaine : recherches sur les tuileries et les productions tuilières*. Archéologie Moderne Contemporaine / 06, Editions Mergoïl, 2019, pp. 15-38. (hal-02093829)

Baize, Jabiol 1995

BAIZE (D.), JABIOL (B.) – *Guide pour la description des sols*. INRA, éd. : Techniques et pratiques, Paris, 1995, 375 p.

Barat 1993

BARAT (Y.) – Que peut-on savoir des productions de l'Est parisien ? In : *Trésors de terre. Céramiques et potiers dans l'Île-de-France gallo-romaine*. Catalogue d'exposition, 1993, p.143-153.

Barat 2002

BARAT (Y.) – « Un atelier de tuiliers d'époque romaine (III^e s.) à Meudon (Hauts-de-Seine) ». In : *Revue archéologique du Centre de la France*, 41, 2002, pp. 225-237.

Barbier, Baudry, Clavel et al. 2020

BARBIER (E.), BAUDRY (A.) CLAVEL (B.), VEQUAUD (B.) et LARMIGNAT (B.) – Un dépotoir témoin d'une occupation du haut Moyen Âge inédite dans la nécropole Saint-Martin de Brive (Corrèze), *Chercher la petite bête. L'animal au haut Moyen Âge : 37^e journées internationales d'archéologie mérovingienne*, Stéphanie Desbrosses-Degobertière ; Marie-Cécile Truc, Oct. 2016, Saint-Dizier, France. Pp. 207-214. (hal-03047207)

Barone 1986

BARONE (R.) – *Anatomie comparée des mammifères domestiques*, Tome 1 : Ostéologie, Paris : éditions Vigot frères, 3^e édition, 1986, 761 p.

Berthon 2016

BERTHON (A.A.) – Les ardoises gravées et inscrites : un support d'écriture opportuniste. *Cahiers LandArc*, 14, 2016.

Bertin et al. 2003

BERTIN (P.), CLAVEL (B.), MAHÉ (N.), YVINEC (J.-H.) – Une occupation mérovingienne précoce au bord de la Marne. Le site de Vignely, La Noue Fenard (Seine-et-Marne). In : OUZOULIAS (P.), VAN OSSEL (P.) (DIR) – *L'époque romaine tardive en Ile-de-France, Dioecesis Galliarum. Document de travail : n°6*. 2003, p. 121-178.

Besson, Laneluc, Puaux 2017

BESSON (C.), LANELUC (D.), PUAUX (O.) – L'agglomération de Melun (Seine-et-Marne) durant l'Antiquité tardive : de Metlosedum à Meteglo. *Gallia. Archéologie des Gaules* [en ligne], 74, 74-1, 2017, pp. 235-248.

URL: <https://doi.org/10.4000/gallia.2386>

Blary, Derbois, Legros, Yvynec 2005

BLARY F., DERBOIS M., LEGROS V. avec le concours de BAYARD (D.) et des contributions de BAKELS (C. C.) et YVINEC (J.-H.) — Les campagnes médiévales en Picardie : état de la question, *Revue archéologique de Picardie*, 2005-34, p. 223-246.

Bontrond 2013

BONTROND (R.) – « Étude typo-chronologique des terres cuites architecturales antiques de Châteaubateau (Seine-et-Marne) et de ses environs ». In : *Revue archéologique du Centre de la France*, 52, 2013, pp. 263-331.

Bourgeau 1984

BOURGEAU (L.) – « Inventaire des ateliers céramiques en Île-de-France ». In : *Gallo-Romains en Île-de-France, déc. 1984-janv. 1985*. Paris, Association des conservateurs des musées d'Île-de-France, 1984.

Broise, Dufournet 1976

BROISE (P.), DUFOURNET (P.) – « La Tuilerie romaine d'Arcine (Haute-Savoie) ». In : *Métiers et industries de Savoie : mémoires et documents*. Congrès de l'union des sociétés savantes de la Savoie, Annecy, 1974. Annecy, Académie Salésienne, LXXXVI, 1976.

Bruant, Cotté, Desrayaud, Pissot 2011

BRUANT (J.), COTTÉ (O.), DESRAYAUD (G.), PISSOT (V.) – Vases entiers dans des fossés : des pratiques liées au bornage des terres ? Présentation de trois exemples franciliens. *SFEACAG, actes du congrès d'Arles*, Marseille, 2011, p. 585-595.

Brut 1991

BRUT (C.) – *La céramique en usage dans le château des rois de France. Le fossé du donjon* : Paris : Ecole Pratique des Hautes Etudes – IV^e section, 1991. 144 p.

Bucur 1994

BUCUR (I.) – « The direction of the terrestrial magnetic field » In : *France during the last 21 centuries, Physics of the Earth and Planetary Interiors* 87, 1994, pp. 95-109.

Callou 1997

CALLOU (C.) – Diagnose différentielle des principaux éléments squelettiques du lapin (genre *Oryctolagus*) et du lièvre (genre *Lepus*) en Europe occidentale, *Fiches d'ostéologie animale pour l'archéologie*, série B : mammifère, n° 8, Valbonne-Sophia Antipolis, APDCA, CNRS, 1997, 24 p.

Card 2018

CARD (C.) – *Gazoduc Val de Saône, Bourgogne-Franche-Comté, Côte-d'Or, Broin, au Bas de la Combotte, Une tuilerie du III^e siècle*, Rapport final d'opération : fouille préventive. INRAP Bourgogne-Franche-Comté, Dijon. Dijon, SRA Bourgogne-Franche-Comté, 2018, 1 vol., 436 p.

Carte géologique 1974

CARTE GÉOLOGIQUE À 1/50000 – feuille n° XXIV-16 et notice, MELUN (1974). Bureau de Recherches Géologiques et Minières, Service Géologique National, Orléans, 1974, carte imprimée et notice de 29 p.

Chanez, Le Blay, Nemitz, Adam 1980

CHANEZ (J.-C.), LE BLAY (J.-C.), NEMITZ (G.), ADAM (R.) – Les potiers de Melun à l'époque gallo-romaine. *Archéologia*, n°149, 1980, p.24-29.

Charlier 2011

CHARLIER (F.) – *Technologie des tuiliers gallo-romains (Gaules et Germanies) : Analyse comparative et régressive des structures de production des matériaux de construction en terre cuite de l'époque contemporaine à l'Antiquité*. Thèse de doctorat, Université de Franche-Comté, Gonzales (A.) et Luginbühl (T.) (DIR), 2011, 3 vol., 856 p.

Ciezar et al. 2006

CIEZAR (P.), BERTIN (P.), VAN OSSEL (P.) – Le mobilier des niveaux de l'Antiquité tardive (IV^e – VI^e siècles) provenant des fouilles du rempart à Melun, la Médiathèque (Seine-et-Marne). In : *Les céramiques de l'Antiquité tardive en Île-de-France et dans le Bassin parisien. Ensembles régionaux*. Nanterre, 2006, p. 317-329. (Dioecesis Galliarum, document de travail ; n° 7).

Claude 2014

CLAUDE (C.) – Deux ensembles céramiques de la fin du Moyen Âge découverts à Paris (1er arrondissement). *Revue Archéologique d'Île-de-France*, 7-8, 2014, p. 397-420.

Claude et al. en cours

CLAUDE (C.), PACCARD (N.), RAVOIRE (F.) – *Chrono-typologie de la céramique médiévale d'Île-de-France et caractérisation des productions. Fin XI^e – Fin XV^e*, en cours.

Clayette, Clayette 1980

CLAYETTE (J.), CLAYETTE (H.) – « Melun. Entre la rue Saint-Liesne et la Seine, livret n°12 ». *En flânant dans les rues*, s.n. (éditeur inconnu), 1980. 12 vol.

Cohen, Serjeantson 1986

COHEN (A.), SERJEANTSON (D.) – *A manual for the identification of bird bones from archaeological sites*, Londres : Jubilee Printers, 1986, 99 p.

Coulthard 1999

COULTHARD (N.) – « Les activités artisanales gallo-romaines à Touffréville (Calvados, France), et quelques réflexions sur leur importance dans le développement du site ». In : POLFER (M.) (DIR) – *Artisanat et productions artisanales en milieu rural dans les provinces du nord-ouest de l'Empire romain. Instrumentum*, 9, Éd. Monique Merguoiil, 1999, pp. 165-184.

Coxall et al. 1994

COXALL (D.), CHARAMOND (C.), SETHIAN (E.) – *Chelles. Site de l'ancienne abbaye royale*. Chelles : Poly Graphic, 1994. 250 p.

Dardaigne 1985

DARDAIGNE (S.) – « La Campagne de fouilles de 1984 à la Croix de Berthel, Saint-Maurice- de-Ventalon, Lozère ». In : *Lozère archéologie*, 2, 1985.

Dardaigne, Waton 1986

DARDAIGNE (S.), WATON (M.-D.) – « Un Four à tuiles du I^{er} s. ap. J.-C. à Saint-Maurice-de-Ventalon (Lozère) ». In : *Revue archéologique de Narbonnaise*, XIX, 1986.

Debouige 2021

DEBOUIGE (P.) – *Paris 4^e, 24 rue des Archives, Église des Billettes : rapport d'autorisation de sondage* : Paris : DHAAP, 2021. 206 p.

Decanter, Yvinec 2006

DECANTER (F.), YVINEC (J.-H.) – Etude archéozoologique du site du haut et bas Moyen Âge de Gungling à Grosbliederstroff, *Archéologie Médiévale*, 36, p. 115-122., 2006.

Delage 2010

DELAGE (R.) – La sigillée du Centre Gaule. In : BRULET (R), VILVORDER (F), DELAGE (R.) – *La céramique romaine en Gaule du Nord. Dictionnaire des céramiques. La vaisselle à large diffusion*. Brepols, 2010, p. 92-133.

Delor-Ahü 2012

DELOR-AHÜ (A.) – Contribution à l'étude du mobilier céramique gallo-romain. In : GUINCHARD-PANSERI (P.)(DIR)– *Melun, 3 place Lucien Auvert*. Rapport de fouille. Inrap Centre-Île-de-France, 2012, p. 91-124.

Drioux 1943

DRIOUX (G.) – « Champagne. Recherches archéologiques ». In : *Gallia*, I, 1943, pp. 209-224.

Dunlop, Özdemir 1997

DUNLOP (D.), ÖZDEMİR (Ö) – *Rock Magnetism, Fundamental and Frontiers*, Cambridge University Press, 1997, 573 p.

Eschbach 1995

ESCHBACH (F.) – « L'atelier de tuiliers d'Avenches "En Chaplix" ». In : *Bulletin de l'Association Pro Aventico*, 37, 1995.

Ferdière 2012

FERDIERE (A.) – « La production de terres cuites architecturales en Gaule et dans l'Occident romain, à la lumière de l'exemple de la Lyonnaise et des cités du nord-est de l'Aquitaine : un artisanat rural de caractère domanial ? ». In : *Revue archéologique du Centre de la France*, 51, 2012, pp. 17-187.

Fleury 1981

FLEURY (M.) – « Informations archéologiques, circonscription de l'Île-de-France ». In : *Gallia*, XXXIX, 2, 1981.

Feyeux 2003

FEYEUX (J.-Y.) – *Le verre mérovingien du quart nord-est de la France*. Strasbourg : De Boccard, 2003. 283 p., 79 pl. (Collections de l'Université Marc Bloch – Strasbourg. Etudes d'Archéologie et d'histoire ancienne).

Fisher 1953

FISHER (R. A.) – « Dispersion on a sphere ». *Proceedings of the Royal Society of London A217*, 1953, pp. 295-305.

Förstel 2006

FÖRSTEL (J.), avec la collaboration de DE FINANCE (L.), GALLET (Y.), GILLARDIN (D.), HENRION (F.), LANELUC (D.), LE BAS (A.), MABIRE LA CAILLE (C.), PIERROT (N.) – *Melun. Une île, une ville. Patrimoine urbain de l'Antiquité à nos jours*. Cahiers du Patrimoine 84, Inventaire général du patrimoine culturel. Association pour le patrimoine d'Île-de-France (APPÎF), Paris 2006, 271 p.

Förstel 2009

FÖRSTEL (J.) – Des usines en ville. Évolution de la géographie industrielle de Melun 1780-1914. *Histoire urbaine* [en ligne], 26, 3, 2009, p. 111-138.

URL: <https://www.cairn.info/revue-histoire-urbaine-2009-3-page-111.htm><https://doi.org/10.3917/rhu.026.0111>.

Frère, Bayle, Forest 2017

FRÈRE (S.), BAYLE (G.), FOREST (V.) – L'étude des ossements animaux en contexte d'archéologie préventive vers un minimum méthodologique commun. *Les Nouvelles de l'archéologie*, Maison des Sciences de l'Homme, 2017, Archéozoologies, pp.5-10. (10.4000/nda.3694). (hal-02469686)

Frère, Yvinec 2009

YVINEC (J.-H.), FRÈRE (S.) – *Elevage et alimentation carnée en Ile-de-France Durant le Haut Moyen-âge*, L'habitat rural du Haut Moyen-âge en Ile-de-France, 2^{ème} supplément au BAVF, 2009.

Galbois 1995

GALBOIS (J.) – Melun, le parc de l'hôtel de ville. *Bilan scientifique du SRA Île-de-France*, 1994, 1995, p. 74.

Gast, Sigaut 1979

GAST (M.), SIGAUT (F.) (DIR) – *Les techniques de conservation des grains à long terme, leur rôle dans la dynamique des systèmes de cultures et des sociétés*. Laboratoire d'Anthropologie et de Préhistoire des pays de la Méditerranée occidentale (L.A. 164), Aix-en-Provence, Maison des Sciences de l'Homme. Editions du CNRS, Paris 1979.

Gentili, Mahé-Hourlier 1993

GENTILI (F.), MAHÉ-HOURLIER (N.) – *Servon (Seine-et-Marne), « L'Arpent Ferret » : villa gallo-romaine et habitat du Haut Moyen Âge : [rapport de fouille]*. Paris : Afan Centre Île-de-France, 1993.

Goret 2020

GORET (J.-F.) – *Paris 4^e, 1 place du Parvis Notre-Dame/ rue d'Arcole, Hôtel-Dieu : rapport de diagnostic* : Paris : DHAAP, 2020. 142 p.

Goulpeau 1988

GOULPEAU (L.) – « Introduction à une étude métrologique des tuiles et briques gallo-romaines ». In : *Revue archéologique de l'Ouest*, 5, 1988, pp. 97-107.

Goulpeau et Le Ny 1989

GOULPEAU (L.) et LE NY (F.) – « Les marques digitées apposées sur les matériaux de construction gallo-romains en argile cuite ». In : *Revue archéologique de l'Ouest*, 6, 1989, pp. 105-137.

Goustard 2015

GOUSTARD (V.) – Les ateliers de potiers carolingiens et post-carolingiens de Saint-Maurice-Montcouronne (Essonne). In : *Tourner autour du pot..... Les ateliers de potiers médiévaux du V^e au XII^e siècle dans l'espace européen. Actes du colloque international de Douai (5 – 8 octobre 2010)*. Caen : Publications du CRAHAM, 2015, p. 163-181.

Guadagnin 2007

GUADAGNIN (R.) – *Fosses, vallée de l'Ysieux: mille ans de production céramique en Île-de-France*. Caen : Publications du CRAHM, 2007.

Guinchard 1994

GUINCHARD (P.) (DIR) – *Document Final de Sauvetage urgent. Rue Saint-Liesne / Rue Crévoulin, Melun (Seine-et-Marne. Site n° 77 288 025 AH*. AFAN, Paris / SRA-ÎDF, Vincennes, juin 1994, 89 p. A4, 4 plans A3.

Guinchard-Panseri 2020

GUINCHARD-PANSERI (P.) (DIR) – *Île-de-France, Seine-et-Marne (77), Melun, 19 rue Saint-Liesne : rapport de diagnostic*. INRAP-CÎF, Pantin / DRAC-SRA-ÎDF, Paris, janvier 2020, 77 p.

Guinchard-Panseri, Paccard 2007

GUINCHARD-PANSERI (P.), PACCARD (N.) – *Bussy Saint-Georges, « Z.A.C. des Cent Arpents, secteur est, Lots CA 14, CA 16 » : rapport de fouille*. Pantin : Inrap Centre Île-de-France, 2007. 2 vol. (180, 250).

Harris 1989

HARRIS (E. C.) – *Principles of Archaeological Stratigraphy*, London & New-York. Academic Press. Second Edition, 1989, 136 p.

Hatt 1967

HATT (J.-J.) – « Mausolée et four crématoire gallo-romains à Mackwiller (Bas-Rhin) ». In : *Gallia*, XXV, 1, 1967.

Hicks et al. 2023

HICKS (M.), ANAMTHAWAT-JÓNSSON (K.), EINARSSON (Á.) et ÞÓR ÞÓRSSON (Æ.) – The identification of bird eggshell by scanning electron microscopy. *Journal of Archaeological Science* 151 (2023) 105712.

Jesset 2014

JESSET (S.) – « La production de terre cuite architecturale durant le haut Moyen âge à Saran (Loiret) : entre tradition et modernité ». In : *Actes du Congrès de Chartres, Société Française d'Étude de la Céramique en Gaule*, 2014, pp. 177-196.

Labourguigne, Turland 1974

LABOURGUIGNE (J.), TURLAND (M.) – *Carte géologique de la France à 1/50 000. 258, Melun*. Orléans, Bureau de Recherches Géologiques et Minières, 1974, 29 p.

Laneluc 2006

LANLUC (D.) – « La ville antique » In : FÖRSTEL (J.), avec la collaboration de DE FINANCE (L.), GALLET (Y.), GILLARDIN (D.), HENRION (F.), LANELUC (D.), LE BAS (A.), MABIRE LA CAILLE (C.), PIERROT (N.) – *Melun. Une île, une ville. Patrimoine urbain de l'Antiquité à nos jours*. Cahiers du Patrimoine 84, Inventaire général du patrimoine culturel. Association pour le patrimoine d'Île-de-France (APPÎF), Paris 2006, pp. 20-29.

Le Blay, Luccisano 2013

LE BLAY (J.-C.), LUCCISANO (S.) – « METLOSEDUM des Sénons » pp. 31-38 In : GARIDEL (G.), LUCCISANO (S.) 2013 – *Les Gallo-romains*, Les cahiers de l'Antiquité, YSEC Ed., Louviers 2013, 160 p.

Lefèvre 2009

LEFÈVRE (A.) – Première attestation d'une activité potière médiévale à Vanves (92) : l'ensemble de la Place de la République (VI^e s.) In : GENTILI (F.), LEFÈVRE (A.) (DIR) – *L'habitat rural du haut Moyen Âge en Île-de-France*. Guiry-en-Vexin, 2009, p. 155-177. (Bulletin archéologique du Vexin français et du Val-d'Oise ; 2^e supplément).

Lefèvre, Mahé 2004

LEFÈVRE (A.), MAHÉ (N.) – La céramique du haut Moyen Âge en Île-de-France à travers la fouille des habitats ruraux (VI^e-XI^e siècles). Etat de la question et perspectives de recherches. *Revue Archéologique de Picardie*, 3/4, 2004, p. 105-148.

Lefranc, Boès et Cicutta 2008

LEFRANC (P.), BOÈS (É.) et CICUTTA (H.) – *Ungersheim, "Desserte routière du Bioscope et de l'Écomusée" (Haut-Rhin)*, Rapport final d'opération : fouille préventive. INRAP, Strasbourg. Dijon, SRA, 2008, 78 p.

Le Goff 1975

LE GOFF (M.) – *Inductomètre à rotation continue pour la mesure des faibles aimantations rémanentes et induites en magnétisme des roches*. Thèse de diplôme d'ingénieur en Physique et Métrologie, CNAM, Paris, 1975, 85p.

Le Goff, Gallet 2017

LE GOFF (M.), GALLET (Y.) – « A reappraisal of instrumental magnetic measurements made in Western Europe before AD 1750: confronting historical geomagnetism and archeomagnetism ». *Earth, Planets and Space* 69, 2017, 32 p.

Le Goff, Gallet 2019

LE GOFF (M.), GALLET (Y.) – « On the resolution of regional archaeomagnetism: untangling directional geomagnetic oscillations and data uncertainties using the French archaeomagnetic database for dates between AD 1000 and 1500 as a guide ». *Geological Society, London, Special Publications* 497, 2019.

Le Goff et al. 2002

LE GOFF (M.), GALLET (Y.), GENEVEY (A.), WARME (N.) – « On archeomagnetic secular variation curves and archeomagnetic dating ». *Physics of the Earth and Planetary Interiors* 134, 2002, pp. 203-211.

Le Goff et al. 2020

LE GOFF (M.), GALLET (Y.), WARME (N.), GENEVEY (A.) – « An updated archeomagnetic directional variation curve for France over the past two millennia, following 25 years of additional data acquisition ». *Physics of the Earth and Planetary Interiors* 309, 2020.

Legoux et al. 2016

LEGOUX (R.), PÉRIN (P.), VALLET (F.) – *Chronologie normalisée du mobilier funéraire mérovingien entre Manche et Lorraine*. AFAM, 2016. 71 p. (Bulletin de liaison de l'Association française d'Archéologie mérovingienne ; N° hors série).

Lenoble 1990

LENOBLE (M.) – *Les ateliers de potiers du sud-ouest champenois dans leur contexte archéologique, Rapport 1990*. Châlons-sur-Marne, SRA Champagne-Ardenne, 1990.

Le Ny 1988

LE NY (F.) – *Les fours de tuiliers gallo-romains : méthodologie, étude technologique, typologique et statistique. Chronologie*. Paris, Maison des sciences de l'Homme, 1988, 142 p.

Lignereux, Peters 1996

LIGNEREUX (Y.) et PETERS (J.) – « Techniques de boucherie et rejets osseux en Gaule Romaine », *Anthropozoologica*, n°24, MNHN, 1996, Paris.

Lyman 2004

LYMAN (R. L.) – *Vertebrate taphonomy, Cambridge manuals in archaeology*, Cambridge university press, 2004.

Mac Fadden, Mac Elhinny 1990

MAC FADDEN (P. L.), MAC ELHINNY (M. W.) – « Classification of the reversal test in paleomagnetism ». *Geophysical International Journal* 103, 1990, pp. 725-729.

Mallet et Delage 2007

MALLET (F.) et DELAGE (R.) – « Une production de terres cuites architecturales du Bas-Empire à Villeparisis (Seine-et-Marne) ». In : *Actes du Congrès de Langres, Société Française d'Étude de la Céramique en Gaule*, 2007, pp. 563-568.

Mathiaut-Legros 2006

MATHIAUT-LEGROS (A.) – Céramiques fines et identité régionale, le cas de la céramique dite burgonde. In : HINCKER (V.), HUSI (P.)(DIR) – *La céramique du haut Moyen Âge (V^e-X^e siècles) dans le nord-ouest de l'Europe : actes du colloque de Caen, 2004*. NEA Condé-sur-Noireau, 2006, p. 195-208.

Mondoloni 2015

MONDOLONI (A.) – *Île-de-France, Val d'Oise, Mours « Le Derrière des Moulins », Une structure de création du Néolithique récent et les occupations protohistoriques, antique et médiévale*, Rapport final d'opération : fouille préventive. INRAP Centre-Île-de-France, Pantin. Paris, SRA Île-de-France, 2015, 2 vol., 584, 546 p.

Nauleau 2013

NAULEAU (J.-F.) – « Les matériaux de construction en terre cuite d'époque romaine dans l'ouest de Pays-de-la-Loire. Premier bilan ». In : *Revue Archéologique de l'Ouest*, 30, 2013, pp. 223-259.

Nauleau 2016

NAULEAU (J.-F.) – « Les tuiles et les briques au Moyen Âge en Pays de la Loire : un état de la question ». *Revue archéologique de l'Ouest*, n°33 / 2016 (mis en ligne le 31 juillet 2019), pp. 277-310.

[En ligne] <http://journals.openedition.org/rao/3510>

Nicourt 1986

NICOURT (J.) – *Céramiques médiévales parisiennes, classification et typologie*. J.P.G.F., 1986.

Paccard 1998

PACCARD (N.) – *Ferrières-en-Brie (Seine-et-Marne), Zac des Hauts de Ferrières (5^e tranche)*. AFAN, 1998.

Payne 1973

Payne (S.) – Kill-off-Patterns in sheep and Goats. The Mandibule from Asvan Kale, *Anatolian Studies*, vol. 23, 1973, p. 282-303.

Peixoto, Celly 2012

PEIXOTO (X.), CELLY (P.) – *Etampes (Essonne), rue du Rempart, rue Evezard, rue Baugin : Ancien hôpital : un quartier d'Etampes du XI^e siècle au début du XIX^e siècle : rapport de fouille*. Pantin : Inrap Centre Île-de-France, 2012.

Perrugot 1996

PERRUGOT (D.) – Les productions céramiques de l'atelier gallo-romain de Sens (Yonne). *SFECAG : actes du congrès de Dijon*, Marseille, 1996, p. 63-72.

Pissot 2013

PISSOT (V.) – Etude de la céramique. In. GUINCHARD-PANSERI (P.)(DIR) – *Melun, 7 bis rue Gatelliet (Île-de-France, Seine-et-Marne)*. Rapport de fouille, annexe 1, Inrap Centre-Île-de-France, 2013, p. 109-166.

Pissot, Bruant, Cotté, Desrayaud, Gautier, Hénon, Hugonnier 2013

PISSOT (V.), BRUANT (J.), COTTE (O.), DESRAYAUD (G.), GAUTIER (S.), HENON (B.), HUGONNIER (L.) : Vestiges de bornage antique en Île-de-France et en Picardie. La question des dépôts de vases dans les fossés, *Archéopages*, n°36, 2013, p. 58-69.

Poilane 2017

POILANE (D.) – Les productions céramiques de l'atelier de Lizines (Seine-et-Marne) : première approche. *SFECAG : actes du congrès de Narbonne*, Marseille, 2017, p. 687-720.

Poplin 1973

POPLIN (F.) – « Interprétations ethnologiques des vestiges animaux », in : *L'Homme d'Hier et d'Aujourd'hui*, Paris, 1973, p. 345-354.

Pucheu-Lashores 2016

PUCHEU-LASHORES (C.) – *Brie-Comte-Robert (Seine-et-Marne), 2 rue du Beau Guillaume : rapport de fouille*. Pantin : Inrap Centre Île-de-France, 2016.

Putelat, Logel et al. 2012

PUTELAT (O.), LOGEL (T.) avec les coll. De BOCHERENS (H.), GEIGL (E.-M.), De LIMA GUIMARAES (S.) et METZ (B.) – Une chasse aristocratique dans le Ried Centre-Alsace au premier Moyen âge : l'apport de l'archéozoologie à la connaissance du site d'Ostheim Birgls Garten (Haut-Rhin, France). In : *Des Fleuves et des hommes à l'époque mérovingienne*, T. XXXII des Mémoires de l'AFAM ; 42^e suppl. à la RAE, p.255-270, © SAE, Dijon 2016.

Py 1997

PY (M.) – « SYSLAT 3.1. Système d'Information Archéologique. Manuel de référence », LATTARA, 10, CEDAR, Lattes, ARALO, AFAN, 1997, 384 p.

Ravoire 1990

RAVOIRE (F.) – Terres cuites glaçurées du Beauvaisis des XVI^e et XVII^e trouvées Cour Napoléon du Louvre et secteur sud du Carrousel à Paris. *Bulletin du G.R.E.C.B.*, n°12, 1990, p. 87-198.

Ravoire 1991

RAVOIRE (F.) – Un ensemble céramique du XVI^e siècle : la fosse L1 des thermes de Cluny à Paris. *Archéologie Médiévale*, 21, 1991, p. 209-270.

Ravoire 1997

RAVOIRE (F.) – *La vaisselle de terre cuite en Île-de-France entre la fin du XV^e et la première moitié du XVII^e siècle : définition d'un faciès régional* : thèse de doctorat. Paris, France : Université Panthéon-Sorbonne, 1997. 930 p.

Ravoire 1998a

RAVOIRE (F.) – La céramique du XVI^e s. et du début du XVII^e s. issue des fortifications. In : VAN OSSEL (P.) (DIR) – *Les jardins du Carrousel (Paris). De la campagne à la ville : la formation d'un espace urbain*. Paris : Maison des Sciences de l'homme, 1998, p. 180-185. (Documents d'archéologie française ; 73).

Ravoire 1998b

RAVOIRE (F.) – La céramique francilienne. In : VAN OSSEL (P.) (DIR) – *Les jardins du Carrousel (Paris). De la campagne à la ville : la formation d'un espace urbain*. Paris : Maison des Sciences de l'homme, 1998, p. 240-247. (Documents d'archéologie française ; 73).

Ravoire 1998c

RAVOIRE (F.) – Le mobilier archéologique : la céramique. In : VAN OSSEL (P.) (DIR) – *Les jardins du Carrousel (Paris). De la campagne à la ville : la formation d'un espace urbain*. Paris : Maison des Sciences de l'homme, 1998, p. 120-127. (Documents d'archéologie française ; 73).

Ravoire 2000

RAVOIRE (F.) – Céramique et différenciation sociale : l'exemple de la vaisselle de table à la Renaissance en Île-de-France. In : *Actes des journées archéologiques d'Île-de-France, 9 et 10 décembre 2000*. Service Régional de l'Archéologie d'Île-de-France. Saint-Denis, 2000, p. 48-56.

Ravoire 2005

RAVOIRE (F.) – La céramique. In : HENRION (F.) (DIR) – *Melun (77), Ancien prieuré Saint-Sauveur : rapport d'étude archéologique. Vol. 1 : textes*. Auxerre : Centre d'Etudes Médiévales, 2005, p. 74-108.

Ravoire 2006

RAVOIRE (F.) – Etude de la céramique de la ferme du colombier à Varennes-sur-Seine (XVI^e – XVIII^e siècle). In : HURARD (S.), FRANZINI (Y.) (DIR) – *Varennes-sur-Seine (77), la Ferme du Colombier, Ferme seigneuriale XVI^e-XVIII^e siècle : rapport final d'opération*. Pantin : Inrap Centre Île-de-France, 2006, p. 79-130.

Ravoire 2013

RAVOIRE (F.) – La céramique du diagnostic de l'hôtel de Ferrare. In : BENHADDOU (S.) (DIR) – *Fontainebleau (Seine-et-Marne), Parking Boufflers : rapport de diagnostic*. Pantin : Inrap Centre Île-de-France, 2013, p. 97-113.

Ravoire 2014

RAVOIRE (F.) – Le mobilier archéologique en terre cuite relatifs aux jardins entre le XV^e et le XVIII^e siècles en Île-de-France. In : *Jardins de châteaux à la Renaissance*. Blois, 2014, p. 143-156.

Ravoire 2015

RAVOIRE (F.) – Etude de la céramique. In : HURARD (S.) (DIR) – *Saint-Germain-en-Laye (78), Fort Saint-Sébastien : Études de mobilier, analyses botaniques et géoarchéologiques pour les occupations modernes, Vol. 3*. Pantin : Inrap Centre Île-de-France, 2015, p. 13-144.

Ravoire et al. 2004

RAVOIRE (F.), BOUQUILLON (A.), DUFOURNIER (D.) – La poterie de terre Renaissance en Île-de-France (XV^e-XVI^e siècles). Production et diffusion. *Techné*, 20, 2004, p. 53-60.

Ravoire, Monnet 1992

RAVOIRE (F.), MONNET (C.) – La céramique médiévale. In : MONNET (C.) (DIR) – *L'évacuation des déchets en milieu urbain au Bas Moyen Âge : l'exemple des fosses à fond perdu de la Cour Napoléon du Louvre à Paris, XIII^e-XV^e siècles, et mesures diverses pour assainir les villes*. Louvain-la-Neuve : Centre de recherches d'archéologie nationale, 1992, p. 33-56. (Collection d'archéologie Joseph Mertens).

Renel 2015

RENEL (F.) – La céramique de la fin de la période moderne (XVII^e – XVIII^e s.) issue des dépotoirs domestiques et des rebuts des potiers de terre, dans : CELLY (P.), *Paris XI^e. 45 rue du Faubourg Saint-Antoine, 1 cour Saint-Louis. Occupations antique et moderne au faubourg Saint-Antoine*, rapport de fouille, Inrap Centre Île-de-France, 2015, p. 218-326

Renel 2017a

RENEL (F.) – Identification de la céramique. In : AVINAIN (J.) (DIR) – *Paris (4^e arrondissement), 6 rue des Archives / 19 rue de la Verrière : rapport de diagnostic archéologique*. Paris : DHAAP, 2017, p. 31-46.

Renel 2017b

RENEL (F.) – Le mobilier céramique des périodes médiévale, moderne et contemporaine sur le site des Carmes Déchaux. In : LEGRIEL (J.) (DIR) – *Paris VI^e, Institut Catholique de Paris, 19-23 rue d'Assas, Rue de Vaugirard, Rue Cassette, Occupation urbain du I^{er} siècle apr. J.-C. et Couvent des Carmes Déchaussés : rapport de fouille*. Pantin : Inrap Centre Île-de-France, 2017, p. 182-217.

Renel en cours

RENEL (F.) – La céramique moderne (XVI^e – XIX^e siècles) de Montlhéry (91), 6-8, rue de La Chapelle. In : Cissé (L.) (DIR) – *Montlhéry (Essonne), 6-8 rue la Chapelle : rapport de fouille*. Pantin : Inrap Centre Île-de-France, en cours.

Rosen 2009

ROSEN (J.) – *La faïence de Nevers 1585-1900, tome 2, l'âge d'or du XVII^e siècle*, Dijon, Éditions Faton, 2009, 399 p.

Schmid 1972

SCHMID (E.) – Atlas of animal bones for prehistorians, archaeologists and quaternary geologists, Elsevier Publishing Company, Amsterdam, London, New York, 1972, 160 p.

Séguier 1995

SÉGUIER (J.-M.) – *Châtenay-sur-Seine (Seine-et-Marne), « Le Merdat » : occupations rurales du Haut-Empire, de l'Antiquité tardive et du haut Moyen Âge : rapport de fouille*. Bazoches-lès-Bray : Centre Départemental d'Archéologie de la Bassée, 1995, 99 p.

Séguier 2004

SÉGUIER (J.-M.) – Les amphores régionales dans l'espace sénon : l'exemple du secteur de confluence Seine-Yonne. *SFECAG : actes du congrès de Vallauris*, Marseille, 2004, p. 381-402.

Séguier 2011

SÉGUIER (J.-M.) – La céramique du Bas-Empire du secteur Saint-Yonne : productions, typologie et proposition de classement chronologique des ensembles. In : *Les céramiques de l'Antiquité tardive en Île-de-France et dans le bassin parisien*. Nanterre, 2011, p. 13-44. (Dioecesis Galliarum, document de travail ; n°9).

Sellès 2001

SELLÈS (H.) – *Céramiques gallo-romaines à Chartres et en Pays carnute. Catalogue typologique*. Etudes sur Chartres n°1, FERAC/ARCHEA/ADAUC, Chartres 2001, 254 p.

Séris 2013

SÉRIS (D.) (DIR) – *Les Clouzeaux (Vendée, 85), La Grosse Pierre, Un atelier gallo-romain de production de terres cuites architecturales et de céramiques*, Rapport final d'opération : fouille préventive. INRAP GO, Carquefou. Nantes, SRA Pays-de-la-Loire, 2008, 1 vol., 239 p.

Simon 2012

SIMON (L.) – Le verre de Lieusaint (Seine-et-Marne) aux périodes gallo-romaine et mérovingienne : les sites de la ZAC de la Pyramide (fouilles 2004-2007). 5, 2012, p. 151-165.

Soullignac 1972

SOULLIGNAC (R.) – « La villa gallo-romaine du «Petit-Moulin» à Colleville (76) ». In : *Forum, Revue du Groupe Archéologie Antique du Touring Club de France*, 2, 1972, pp. 35-50.

Taivalkoski et al. 2022

TAIVALKOSKI (A.), HOLT (E.) et MACKINNON (M.) – Bird eggs in the diet of ancient Pompeii : An SEM analysis of archaeological avian eggshell. *Journal of Archaeological Science : Reports* 41 (2022) 103258.

Thellier 1981

THELLIER (E.) – « Sur la direction du champ magnétique terrestre en France durant les deux derniers millénaires ». *Physics of the Earth and Planetary Interiors* 24, 1981, pp. 89-132.

Trombetta 1997

TROMBETTA (P.-J.) – *Paris 3^e, 71-73 rue du Temple : Hôtel Saint-Aignan : rapport de fouille*. Saint-Denis : SRA Ile-de-France, 1997.

Yvinec 1988

YVINEC (J.-H.) (1988) – Alimentation carnée au début du Moyen Âge, *Anthropozoologica*, second numéro spécial, Paris, 1988.

Yvinec 1996

YVINEC (J.-H.) (1996) – Eléments de synthèse sur l'alimentation carnée durant le haut Moyen Âge dans le Douaisis. In : *L'homme et la nature au Moyen Âge. Paléoenvironnement des sociétés occidentales*. Actes du V^e Congrès International d'Archéologie Médiévale (Grenoble, 6-9 octobre 1993) Caen : Société d'Archéologie Médiévale, 1996. pp.30-35 (Actes du Congrès de la Société d'Archéologie Médiévale, 5).

6.2 Liste des figures et des planches

- 16 **Fig. I-06-01** Melun, 19 rue Saint-Liesne. Localisation de l'opération sur la carte IGN © IGN Paris
- 17 **Fig. I-07-01** Melun, 19 rue Saint-Liesne. Localisation de l'opération sur le cadastre © cadastre.gouv.fr
- 62 **Fig. II-01-01** Localisation du 19 rue Saint-Liesne par rapport aux villes antique de *Metlosedum* et médiévale à moderne de Melun (d'après carte, version 2022) © SRA Île de France / Service municipal d'archéologie de Melun, d'après les travaux du Groupe de travail sur Melun antique
- 64 **Fig. II-01-02** Melun, 19 rue Saint-Liesne. L'environnement archéologique immédiat du diagnostic de 2019 © Inrap : P. Guinchart-Panseri ; tiré de Guinchart-Panseri 2020, Fig. 2 p. 26
- 65 **Fig. II-01-03** Fouille du 14 rue Crévoulin de 1994 et diagnostic du 19 rue Saint-Liesne de 2019 © Inrap : P. Guinchart-Panseri ; tiré de Guinchart-Panseri 2020, Fig. 3 p. 27
- 70 **Fig. II-01-04** Melun, 19 rue Saint-Liesne. Contexte géologique (extrait à 1/25 000 de la CARTE GÉOLOGIQUE À 1/50 000 feuille n°XXIV-16 MELUN © BRGM
- 72 **Fig. II-01-05** Melun, 19 rue Saint-Liesne. Exemples de bâti mitoyen instable et environnement urbain © Inrap : L. Daguzon, G. Desrayaud, P. Raymond
- 73 **Fig. II-01-06** Melun, 19 rue Saint-Liesne, fouille 2021, plan général des faits stratigraphiques par type © Inrap : G. Desrayaud, R. Touquet, M. Ferrari
- 76 **Fig. II-02-01** Melun, 19 rue Saint-Liesne. SD1246, coupe Ouest. Sol Brun holocène (I) et horizons pléistocènes (II) © Inrap : E. Saron, G. Desrayaud
- 78 **Fig. II-02-02** Melun, 19 rue Saint-Liesne. Coupe 1252, exemple de stratification pléistocène à actuelle © Inrap : G. Desrayaud, M. Rayati
- 80 **Fig. II-02-03** Melun, 19 rue Saint-Liesne. Proposition de phasage en plan pour la période antique, intervalle 175 avant - 300 après J.-C. © Inrap : G. Desrayaud
- 81 **Fig. II-02-04** Melun, 19 rue Saint-Liesne. Plan et coupe longitudinale SSO / NNE du four de tuilier 1074 © Inrap : G. Desrayaud
- 82 **Fig. II-02-05** Melun, 19 rue Saint-Liesne. Four de tuilier gallo-romain 1074 en cours de fouille © Inrap : G. Desrayaud, P. Raymond
- 88 **Fig. II-02-06** Melun, 19 rue Saint-Liesne. Fosses et fossés, exemples de céramique du Haut-Empire romain © Inrap : V. Pissot
- 90 **Fig. II-02-07** Melun, 19 rue Saint-Liesne. Proposition de phasage en plan pour l'intervalle fin V^e-XII^e s. ap. J.-C. © Inrap : G. Desrayaud
- 92 **Fig. II-02-08** Melun, 19 rue Saint-Liesne. Fosse 1056, intervalle fin V^e-milieu VI^e s. Coupe et exemples de céramiques © Inrap : G. Desrayaud, A. Lefèvre, M. Rayati
- 93 **Fig. II-02-09** Melun, 19 rue Saint-Liesne. Proposition de phasage en plan pour l'intervalle XIII^e-XVI^e s. © Inrap : G. Desrayaud
- 95 **Fig. II-02-10** Melun, 19 rue Saint-Liesne. Structure bâtie BAS1381, coquemar XIV^e s. de l'Us 1381-B © Inrap : C. Claude, G. Desrayaud
- 97 **Fig. II-02-11** Melun, 19 rue Saint-Liesne. Fosse 1120, probablement comblée au X^e s., faune et exemples de céramiques © Inrap : C. Claude, G. Desrayaud, K. Hutinet, C. Le Goff, F. Métails, E. Sauron
- 98 **Fig. II-02-12** Melun, 19 rue Saint-Liesne. Excavation 1232 et fosse 1233, coupe et céramiques du XV^e s. © Inrap : C. Claude, G. Desrayaud
- 100 **Fig. II-02-13** Melun, 19 rue Saint-Liesne. Proposition de phasage en plan pour l'intervalle seconde moitié XVI^e-XVIII^e s. © Inrap : G. Desrayaud
- 102 **Fig. II-02-14** Melun, 19 rue Saint-Liesne. Fouille de la cave 1211 © Inrap : G. Desrayaud
- 103 **Fig. II-02-15** Melun, 19 rue Saint-Liesne. Exemples de céramiques de l'intervalle XVI^e-début XVII^e s. © Inrap : C. Claude
- 104 **Fig. II-02-16** Melun, 19 rue Saint-Liesne. Fosse 1079, céramiques du XVII^e s. © Inrap : C. Claude
- 106 **Fig. II-02-17** Melun, 19 rue Saint-Liesne. Proposition de phasage en plan pour l'intervalle XVIII^e-début XIX^e s. et extrait du cadastre «napoléonien» de 1826 © Inrap : G. Desrayaud ; © Archives départementales de Seine-et-Marne, cote 4P37/689
- 108 **Fig. II-02-18** Melun, 19 rue Saint-Liesne. Proposition de phasage en plan pour l'intervalle XIX^e-début XXI^e s. et extrait du cadastre de 1969-1986 © Inrap : G. Desrayaud ; © Archives départementales de Seine-et-Marne, doc. 2566W10655
- 119 **Fig. III-02-01** Variations directionnelles du champ magnétique terrestre en France entre 100 av. J.-C. et 1700 après J.-C. déduites des données archéomagnétiques (courbe moyenne en rouge et ovales de confiance à 95% en grisés ; d'après Le Goff *et al.*, 2020). Entre 1700 et 2000 après J.-C., les directions géomagnétiques sont connues grâce aux données d'observatoire (courbe en vert pâle). Les données ayant été utilisées pour calculer la courbe archéomagnétique moyenne sont également reportées en bleu clair. Toutes les données sont réduites à Paris © Inrap
- 121 **Fig. III-02-02** Localisation des prélèvements archéomagnétiques du four 1074 © Inrap : N. Warmé, G. Desrayaud, R. Touquet
- 123 **Fig. III-02-03** Directions archéomagnétiques obtenues pour le four 1074 (en abscisse, les valeurs de déclinaison et en ordonnée, les valeurs d'inclinaison). Les croix rouges indiquent les directions retenues pour le calcul d'une direction moyenne et les croix bleues correspondent aux directions écartées du calcul. Le carré rouge représente la direction moyenne et le trait noir autour, son cercle de confiance à 95%. L'ovale en vert correspond à la zone où les directions individuelles sont considérées comme appartenant à la même distribution statistique (McFadden et McElhinny 1990). Le trait vert épais montre la courbe de référence des variations directionnelles du champ géomagnétique en France au cours des deux derniers millénaires (Le Goff *et al.*, 2020) © Inrap : N. Warmé
- 124 **Fig. III-02-04** Datation archéomagnétique du four 1074. Le diagramme présente la datation proprement dite. La courbe lie-de-ven en trait fin montre la courbe des probabilités normalisées déterminée par la comparaison relative des distances angulaires entre la direction à dater et toutes les directions de référence. Le trait horizontal épais de couleur lie-de-ven indique un intervalle possible de datation par maximum de proximité avec un niveau de probabilité de 95%. La courbe en bleu présente les distances angulaires entre la direction à dater et toutes les directions de référence auxquelles sont soustraites les distances critiques associées qui sont déterminées avec un seuil de confiance à 95% (McFadden et McElhinny, 1990). Une datation est possible quand les valeurs sont négatives (Le Goff *et al.*, 2002). Le trait horizontal épais en bleu indique l'intervalle de datation à 95% qui est ainsi obtenu. La courbe en vert présente le paramètre P, c'est à dire l'erreur (en %) que l'on ferait si la direction à dater était considérée différente des directions de référence © Inrap : N. Warmé
- 126 **Fig. III-03-01** Répartition par fait / ensemble des terres cuites architecturales
- 127 **Fig. III-03-02** Répartition par Us des terres cuites architecturales issues de l'unité de cuisson FOU1074
- 130 **Fig. III-03-03** *Tegulae*, Melun « 19, rue Saint-Liesne ». Analyse comparée des caractères morphologiques des *tegulae* d'après la longueur des modules complets du corpus, 01 sur 02 © Inrap : G. Chamarré, d'après Nauleau 2013, pp. 249-253
- 131 **Fig. III-03-04** *Tegulae*, Melun « 19, rue Saint-Liesne ». 1 : Analyse comparée des caractères morphologiques des *tegulae* d'après la longueur des modules complets du corpus, 02 sur 02 (d'après Nauleau 2013, pp. 249-253) ; 2 : Relevés de *tegulae* par formats ; 3 : Répartition des marques de tâcherons incisées © Inrap : G. Chamarré
- 138 **Fig. III-03-05** *Imbrices*, Melun « 19, rue Saint-Liesne » © Inrap : G. Chamarré
- 140 **Fig. III-03-06** Ratés de cuisson, Melun « 19, rue Saint-Liesne » © Inrap : G. Chamarré

- 142 Fig. III-03-07 Détail d'un liant argileux avec négatifs de dégraissant végétal, au revers d'une tegula employée dans les maçonneries de la chambre de chauffe du four FOU1074, Melun « 19, rue Saint-Liesne » © Inrap : G. Chamarre
- 176 Fig. III-04-01 Tableau récapitulatif de datation et de comptage du mobilier céramique par fait © Inrap : V. Pissot
- 177 Fig. III-04-02 Melun, 19 rue Saint-Liesne. La céramique antique du fait 1124 et du fossé 1179 © Inrap : V. Pissot
- 180 Fig. III-04-03 Melun, 19 rue Saint-Liesne. Céramique antique et pesons © Inrap : V. Pissot
- 184 Fig. III-05-01 Melun, 19 rue Saint-Liesne. Datation proposée des unités stratigraphiques © Inrap : A. Lefèvre
- 185 Fig. III-05-02 Melun, 19 rue Saint-Liesne. Répartition chronologique des unités stratigraphiques © Inrap : A. Lefèvre
- 185 Fig. III-05-03 Melun, 19 rue Saint-Liesne. Pourcentages des productions mérovingiennes © Inrap : A. Lefèvre
- 187 Fig. III-05-04 Melun, 19 rue Saint-Liesne. Photographies des principales productions céramiques médiévales © Inrap : A. Lefèvre
- 188 Fig. III-05-05 Melun, 19 rue Saint-Liesne. La céramique mérovingienne (Us 1012, 1040 et 1056) © Inrap : A. Lefèvre
- 189 Fig. III-05-06 Melun, 19 rue Saint-Liesne. La céramique mérovingienne (Us 1056 suite) © Inrap : A. Lefèvre
- 191 Fig. III-05-07 Melun, 19 rue Saint-Liesne. La céramique mérovingienne (Us 1056 suite et 1057) © Inrap : A. Lefèvre
- 192 Fig. III-05-08 Melun, 19 rue Saint-Liesne. La céramique mérovingienne (Us 1071, 1093 et 1093) © Inrap : A. Lefèvre
- 194 Fig. III-05-09 Melun, 19 rue Saint-Liesne. La céramique mérovingienne (Us 1505) et médiévale (Us 1180 et 1207) © Inrap : A. Lefèvre
- 195 Fig. III-05-10 Melun, 19 rue Saint-Liesne. Inventaire et volumes estimés des céramiques mérovingiennes individualisées © Inrap : A. Lefèvre
- 195 Fig. III-05-11 Melun, 19 rue Saint-Liesne. Pourcentages des différents types de récipients © Inrap : A. Lefèvre
- 196 Fig. III-05-12 Melun, 19 rue Saint-Liesne. Photographies de céramiques mérovingiennes issues des Us 1056 et 1057 © Inrap : A. Lefèvre
- 199 Fig. III-05-13 Melun, 19 rue Saint-Liesne. Pourcentages des productions médiévales © Inrap : A. Lefèvre
- 201 Fig. III-05-14 Melun, 19 rue Saint-Liesne. Les fragments de récipients en verre et le palet en terre cuite © Inrap : A. Lefèvre
- 206 Fig. III-06-01 Tableau récapitulatif des datations des contextes stratigraphiques © Inrap : C. Claude
- 207 Fig. III-06-02 Répartition chronologique des contextes et des tessons © Inrap : C. Claude
- 208 Fig. III-06-03 Les pâtes céramiques des XIV^e et XV^e siècles © Inrap : C. Claude
- 209 Fig. III-06-04 Les récipients en pâte sableuse du XIV^e et du début du XV^e siècle © Inrap : C. Claude
- 212 Fig. III-06-05 Les récipients en grès du Beauvaisis © Inrap : C. Claude
- 212 Fig. III-06-06 Le coquemar 1381.1 © Inrap : C. Claude
- 212 Fig. III-06-07 Le coquemar 1233.1 © Inrap : C. Claude
- 213 Fig. III-06-08 Les productions céramiques à la période moderne © Inrap : C. Claude
- 214 Fig. III-06-09 Les pâtes céramiques d'époque moderne © Inrap : C. Claude
- 215 Fig. III-06-10 Les différentes catégories fonctionnelles de la fin du XV^e et du XVII^e siècles © Inrap : C. Claude
- 215 Fig. III-06-11 Le mobilier céramique en pâte sableuse claire (sauf mention) des XV^e et XVI^e siècles : coquemar (N°1-4) et couvercle (N°5)
© Inrap : C. Claude
- 216 Fig. III-06-12 Le mobilier céramique en pâte sableuse des XVI^e et XVII^e siècles : coquemars (N°3-8), pots tripodes (N°10-13) et couvercles (N°1-2)
© Inrap : C. Claude
- 217 Fig. III-06-13 Le mobilier céramique en pâte sableuse des XVI^e et XVII^e siècles, les formes ouvertes pour la préparation : tèle (N°1-2), bassin ou jatte (N°3-5) © Inrap : C. Claude
- 218 Fig. III-06-14 Le mobilier céramique en pâte sableuse de la fin du XVI^e et du XVII^e siècle, formes ouvertes pour le service : assiette ou écuelle en pâte sableuse (N°1-3) ou en pâte fine du Beauvaisis à glaçure verte sauf mention (N°4-6) © Inrap : C. Claude
- 219 Fig. III-06-15 Tessons à décor « à la corne » de la fosse 1079 © Inrap : C. Claude
- 220 Fig. III-06-16 Le mobilier céramique en pâte sableuse des XVI^e et XVII^e siècles, réchauds de table et indéterminés © Inrap : C. Claude
- 221 Fig. III-06-17 Socle de réchaud de l'Us 1127 avec infiltration de glaçure dans une fissure © Inrap : C. Claude
- 221 Fig. III-06-18 Fragment de réchaud (?) de l'Us 1127 à glaçure verte © Inrap : C. Claude
- 221 Fig. III-06-19 Fragment indéterminé de l'Us 1165 © Inrap : C. Claude
- 222 Fig. III-06-20 Fragments de faiences des XVII^e et XVIII^e siècles (a : 1079, b : 1243, c : 1239) © Inrap : C. Claude
- 223 Fig. III-06-21 Le mobilier céramique des XVI^e et XVII^e siècles : pots en grès de la Puisaye (n°1-3) et normand (n°4) et en pâte sableuse (n°5-6)
© Inrap : C. Claude
- 224 Fig. III-06-22 Le mobilier céramique des XVI^e et XVII^e siècles : récipients destinés aux activités d'extérieur : pot de fleur (N°1), arrosoir (N°2) et nichoir (N°3-4), porte-dîner (N°5) et gourde (N°6) © Inrap : C. Claude
- 227 Fig. III-06-23 Répartition fonctionnelle des récipients des XVI^e et XVII^e siècles © Inrap : C. Claude
- 229 Fig. III-06-24 Tuiles du XVI^e siècle des Us 1004 (a) et 1165 (b) © Inrap : C. Claude
- 230 Fig. III-06-25 Carreau issu des remblais 1526 de la cave 1380 © Inrap : C. Claude
- 231 Fig. III-06-26 Fragment d'ardoise gravée de l'Us 1172, datée du XVI^e siècle par le mobilier associé © Inrap : C. Claude
- 231 Fig. III-06-27 Fragment d'ardoise gravée de l'Us 1172 © Inrap : C. Claude
- 245 Fig. III-07-01 Fossé 1247, crâne et mandibules de cheval © Inrap : K. Hutinet, M. Rayati ; voir **chap. 5 : Pl. 072**
- 245 Fig. III-07-02 Fossé 1247, mandibule de cheval, cliché pour âge dentaire © Inrap : C. Le Goff-Benzaidi
- 246 Fig. III-07-03 Répartition des restes osseux animaux dans les Us A et B de la fosse profonde 1056 et dans la fosse 1057, période mérovingienne précoce © Inrap : C. Le Goff-Benzaidi
- 247 Fig. III-07-04 Spectre de faune pour les fosses 1056 et 1057, période mérovingienne précoce © Inrap : C. Le Goff-Benzaidi
- 247 Fig. III-07-05 Fosses 1056 et 1057, distribution des âges au décès des porcs établis à partir des stades d'usure et d'éruption dentaire
© Inrap : C. Le Goff-Benzaidi
- 248 Fig. III-07-06 Fosses 1056 et 1057, distribution des âges au décès des bœuf établis à partir des stades d'épiphyssation des os © Inrap : C. Le Goff-Benzaidi
- 248 Fig. III-07-07 Fosses 1056 et 1057, distribution des âges au décès des caprinés établis à partir des stades d'usure et d'éruption dentaire et d'épiphyssation des os © Inrap : C. Le Goff-Benzaidi
- 249 Fig. III-07-08 Répartition anatomique des restes de porc, période mérovingienne, fosses 1056 et 1057 © Inrap : C. Le Goff-Benzaidi
- 249 Fig. III-07-09 Répartition anatomique des restes de bœuf, période mérovingienne, fosses 1056 et 1057 © Inrap : C. Le Goff-Benzaidi
- 250 Fig. III-07-10 Répartition anatomique des restes de caprinés, période mérovingienne, fosses 1056 et 1057 © Inrap : C. Le Goff-Benzaidi
- 251 Fig. III-07-11 Traces de traitement sur les restes de bœuf, période mérovingienne, fosses 1056 et 1057 © Inrap : C. Le Goff-Benzaidi
- 252 Fig. III-07-12 Traces de traitement sur les restes de porc, période mérovingienne, fosses 1056 et 1057 © Inrap : C. Le Goff-Benzaidi
- 253 Fig. III-07-13 Traces de traitement sur les restes de caprinés, période mérovingienne, fosses 1056 et 1057 © Inrap : C. Le Goff-Benzaidi
- 254 Fig. III-07-14 Fosses 1056 et 1057, graphique (a) de distribution des âges au décès des coqs établis à partir des stades d'évolution de la croissance des os et photographie (b) © Inrap : C. Le Goff-Benzaidi
- 255 Fig. III-07-15 Fosses 1056 et 1057, sexage des coqs à partir des tarso-métatarses © Inrap : C. Le Goff-Benzaidi
- 255 Fig. III-07-16 Répartition anatomique des restes de coq, période mérovingienne, fosses 1056 et 1057 © Inrap : C. Le Goff-Benzaidi
- 256 Fig. III-07-17 Fosses 1056 et 1057, traces de désarticulation sur des tibio-tarses de coq © Inrap : C. Le Goff-Benzaidi

- 256 **Fig. III-07-18** Fosse 1056, coquille d'œuf d'oie, vue interne des mamilles au MEB © cliché : Céline Tomczyk, Paris I – UMR 7041
- 259 **Fig. III-07-19** Spectre de faune du bassin profond 1381 (Us B et D) XIII^e à XIV^e siècle probable © Inrap : C. Le Goff-Benzaidi
- 260 **Fig. III-07-20** Spectre de faune de l'excavation 1120 (hors petits animaux en connexion), XV^e s. probable © Inrap : C. Le Goff-Benzaidi
- 261 **Fig. III-07-21** Détail de la faune de la partie Ouest de l'excavation 1120, SD1246-Us 1120-5b-c / 1272, XV^e s. probable © Inrap : F. Métais, E. Saron ; voir **chap. 5 : Pl. 108 et 110**
- 261 **Fig. III-07-22** Fouille en cours de la faune (passe 1) de la partie Est de l'excavation 1120, Us-2b / 3a ; vue depuis le SO le 28 octobre 2021 © Inrap : K. Hutinet ; voir **chap. 5 : Pl. 109**
- 262 **Fig. III-07-23** Répartition anatomique des restes de bœuf de l'excavation 1120, XV^e s. probable © Inrap : C. Le Goff-Benzaidi
- 264 **Fig. III-07-24** Spectre de faune de la fosse 1028 (TPQ XV^e s. ; moderne ?) © Inrap : C. Le Goff-Benzaidi
- 265 **Fig. III-07-25** Vue zénithale et coupe de la fosse 1028 en cours de fouille, vestiges fauniques © Inrap : K. Hutinet, E. Saron
- 435 **PI. 001** Melun, 19 rue Saint-Liesne. Plan de masse de décembre 2018, avec localisation (corrigée) des tranchées et sondages de diagnostic archéologique de novembre 2019 © Cabinet Millard 2018-2019 ; © Inrap : P. Guinchart, F. Barengli 2019-2020 / G Desrayaud 2024
- 436 **PI. 002** Melun, 19 rue Saint-Liesne. Plan orthophotogrammétrique du décapage le 06 octobre 2021 © Inrap : R. Touquet
- 437 **PI. 003** Melun, 19 rue Saint-Liesne, fouille 2021, plan général des vestiges © Inrap : G. Desrayaud, R. Touquet, M. Ferrari
- 438 **PI. 004** Melun, 19 rue Saint-Liesne. Photographie aérienne (drone) de la fouille le 25 novembre 2021 © Inrap : P. Raymond
- 439 **PI. 005** Melun, 19 rue Saint-Liesne, fouille 2021, localisation des plans de détail par secteur © Inrap : G. Desrayaud
- 440 **PI. 006** Melun, 19 rue Saint-Liesne, fouille 2021, Secteur B-01 / plan de détail 01 sur 07 © Inrap : G. Desrayaud, R. Touquet
- 441 **PI. 007** Melun, 19 rue Saint-Liesne, fouille 2021, Secteur C-01 / plan de détail 02 sur 07 © Inrap : G. Desrayaud, R. Touquet
- 442 **PI. 008** Melun, 19 rue Saint-Liesne, fouille 2021, Secteur B-02 / plan de détail 03 sur 07 © Inrap : G. Desrayaud, R. Touquet
- 443 **PI. 009** Melun, 19 rue Saint-Liesne, fouille 2021, Secteur A-03 / plan de détail 04 sur 07 © Inrap : G. Desrayaud, R. Touquet
- 444 **PI. 010** Melun, 19 rue Saint-Liesne, fouille 2021, Secteur B-03 / plan de détail 05 sur 07 © Inrap : G. Desrayaud, R. Touquet
- 445 **PI. 011** Melun, 19 rue Saint-Liesne, fouille 2021, Secteur A-04 / plan de détail 06 sur 07 © Inrap : G. Desrayaud, R. Touquet
- 446 **PI. 012** Melun, 19 rue Saint-Liesne, fouille 2021, Secteur B-04 / plan de détail 07 sur 07 © Inrap : G. Desrayaud, R. Touquet
- 447 **PI. 013** Melun, 19 rue Saint-Liesne, fouille 2021, localisation des coupes stratigraphiques de référence © Inrap : G. Desrayaud
- 448 **PI. 014** Dessin, limite Sud de la fouille, palier supérieur, partie Est de la coupe ENE / OSO 1199-a. Coupe stratigraphique de référence. AB 01 sur 06 © Inrap : G. Desrayaud
- 449 **PI. 015** Photographies, limite Sud de la fouille, partie Est de la coupe ENE / OSO 1199-a. Coupe stratigraphique de référence. AB 02 sur 06 © Inrap : G. Desrayaud
- 450 **PI. 016** Dessin, limite Sud de la fouille, palier supérieur, partie Ouest de la coupe ENE / OSO 1199-a. Coupe stratigraphique de référence. AB 03 sur 06 © Inrap : G. Desrayaud
- 451 **PI. 017** Photographies, limite Sud de la fouille, partie Ouest de la coupe ENE / OSO 1199-a. Coupe stratigraphique de référence. AB 04 sur 06 © Inrap : G. Desrayaud
- 452 **PI. 018** Dessin, limite Sud de la fouille, palier supérieur, coupe ENE / OSO 1199-b. Coupe stratigraphique de référence. AB 05 sur 06 © Inrap : G. Desrayaud
- 453 **PI. 019** Photographie, limite Sud de la fouille, coupe ENE / OSO 1199-b. Coupe stratigraphique de référence. AB 06 sur 06 © Inrap : G. Desrayaud
- 454 **PI. 020** Dessin, limite SSO de la fouille, palier n°3 (inf.), partie Sud de la coupe SSE / NNO 1377. Coupe stratigraphique de référence. CD 01 sur 04 © Inrap : G. Desrayaud
- 455 **PI. 021** Photographie, limite SSO de la fouille, partie Sud de la coupe SSE / NNO 1377. Coupe stratigraphique de référence. CD 02 sur 04 © Inrap : G. Desrayaud, K. Hutinet
- 456 **PI. 022** Dessin, limite SSO de la fouille, palier n°3 (inf.), partie Nord de la coupe SSE / NNO 1377. Coupe stratigraphique de référence. CD 03 sur 04 © Inrap : G. Desrayaud
- 457 **PI. 023** Photographie, limite SSO de la fouille, palier n°3 (inf.), partie Nord de la coupe SSE / NNO 1377. Coupe stratigraphique de référence. CD 04 sur 04 © Inrap : G. Desrayaud
- 458 **PI. 024** Dessin, limite SO de la fouille, palier n°2, SSE / NNO, partie Nord de la coupe 1525-A et SD1508. Coupe stratigraphique de référence. EF 01 sur 10 © Inrap : G. Desrayaud
- 459 **PI. 025** Photographies, limite SO de la fouille, SSE / NNO, partie Nord de la coupe 1525-A et SD1508. Coupe stratigraphique de référence. EF 02 sur 10 © Inrap : G. Desrayaud
- 460 **PI. 026** Dessin, limite SO de la fouille, palier n°2, SSE / NNO, coupe 1324. Coupe stratigraphique de référence. EF 03 sur 10 © Inrap : G. Desrayaud
- 461 **PI. 027** Photographies, limite SO de la fouille, SSE / NNO, partie Sud de la coupe Tr01-diag et coupe 1324. Coupe stratigraphique de référence. EF 04 sur 10 © Inrap : G. Desrayaud, P. Guinchart, M. Rayati
- 462 **PI. 028** Dessin, limite SO de la fouille, palier n°2, SSE / NNO, coupes 1324 / 1227. Coupe stratigraphique de référence. EF 05 sur 10 © Inrap : G. Desrayaud
- 463 **PI. 029** Photographies, limite SO de la fouille, SSE / NNO, partie centrale de la coupe Tr01-diag et coupe 1227. Coupe stratigraphique de référence. EF 06 sur 10 © Inrap : G. Desrayaud, P. Guinchart
- 464 **PI. 030** Dessin, limite SO de la fouille, palier n°2, SSE / NNO, coupes 1227 / 1287. Coupe stratigraphique de référence. EF 07 sur 10 © Inrap : G. Desrayaud
- 465 **PI. 031** Photographies, limite SO de la fouille, SSE / NNO, partie Nord de la coupe Tr01-diag et coupe 1287. Coupe stratigraphique de référence. EF 08 sur 10 © Inrap : G. Desrayaud, P. Guinchart, K. Hutinet
- 466 **PI. 032** Dessin, limite SO de la fouille, palier n°2, SSE / NNO, partie Nord de la coupe 1287. Coupe stratigraphique de référence. EF 09 sur 10 © Inrap : G. Desrayaud
- 467 **PI. 033** Photographie, limite SO de la fouille, partie Nord de la coupe SSE / NNO 1287 et coupe S / N sur l'EX1127. Coupe stratigraphique de référence. EF 10 sur 10 © Inrap : G. Desrayaud, M. Rayati
- 468 **PI. 034** Photographie, limite centre Ouest de la fouille, palier n°2, partie Sud de la coupe SSE / NNO 1509. Coupe stratigraphique de référence. GH 01 sur 02 © Inrap : G. Desrayaud
- 469 **PI. 035** Photographie, limite centre Ouest de la fouille, palier n°2, partie Nord de la coupe SSE / NNO 1509. Coupe stratigraphique de référence. GH 02 sur 02 © Inrap : G. Desrayaud
- 470 **PI. 036** Photographie, limite centre Ouest de la fouille, palier n°2, coupe ENE / OSO 1289. Coupe stratigraphique de référence. HI 01 sur 01 © Inrap : G. Desrayaud, M. Rayati
- 471 **PI. 037** Photographies, limite NO de la fouille, palier n°2, coupe S(SE) / N(NO) 1276. Coupe stratigraphique de référence. IJ 01 sur 02 © Inrap : G. Desrayaud, K. Hutinet, M. Rayati
- 472 **PI. 038** Photographie, limite NO de la fouille, palier n°2, coupe SSE / NNO 1393. Coupe stratigraphique de référence. IJ 02 sur 02 © Inrap : G. Desrayaud, M. Rayati
- 473 **PI. 039** Photographie, limite NNO de la fouille, partie Sud de la coupe SSE / NNO 1385. Coupe stratigraphique de référence. KL 01 sur 02 © Inrap : G. Desrayaud

- 474 **PI. 040** Photographie, limite NNO de la fouille, partie Nord de la coupe SSE / NNO 1385. Coupe stratigraphique de référence. KL 02 sur 02
© Inrap : G. Desrayaud
- 475 **PI. 041** Photographie, limite NNO de la fouille, coupe OSO / ENE 1383. Coupe stratigraphique de référence. LM 01 sur 01 © Inrap : G. Desrayaud, M. Rayati
- 476 **PI. 042** Photographie, limite Nord de la fouille, coupe OSO / ENE 1238. Coupe stratigraphique de référence. Csr-NO 01 sur 03 © Inrap : G. Desrayaud, K. Hutinet
- 477 **PI. 043** Photographie, limite Nord de la fouille, partie Ouest de la coupe OSO / ENE 1386. Coupe stratigraphique de référence. Csr-NO 02 sur 03
© Inrap : G. Desrayaud, K. Hutinet
- 478 **PI. 044** Photographie, limite Nord de la fouille, partie Est de la coupe OSO / ENE 1386. Coupe stratigraphique de référence. Csr-NO 03 sur 03
© Inrap : G. Desrayaud, K. Hutinet
- 479 **PI. 045** Photographies, limite NE de la fouille, coupe N(NO) / S(SE) 1260. Coupe stratigraphique de référence. PQ 01 sur 05 © Inrap : G. Desrayaud, F. Métais, E. Saron
- 480 **PI. 046** Photographies, limite NE de la fouille, coupe N(NO) / S(SE) 1260 et 1254. Coupe stratigraphique de référence. PQ 02 sur 05
© Inrap : G. Desrayaud, F. Métais, E. Saron
- 481 **PI. 047** Photographies, limite NE de la fouille, coupe N(NO) / S(SE) 1254 et 1261 (sup.). Coupe stratigraphique de référence. PQ 03 sur 05
© Inrap : G. Desrayaud, F. Métais, E. Saron
- 482 **PI. 048** Photographies, limite centre Est de la fouille, coupe N(NO) / S(SE) 1261 et NNO/SSE 1253. Coupe stratigraphique de référence. PQ 04 sur 05
© Inrap : G. Desrayaud
- 483 **PI. 049** Photographie, limite centre Est de la fouille, partie Sud de la coupe NNO/SSE 1253. Coupe stratigraphique de référence. PQ 05 sur 05
© Inrap : G. Desrayaud
- 484 **PI. 050** Dessin, limite centre Est de la fouille, ENE / OSO, coupe 1252. Coupe stratigraphique de référence. QR 01 sur 02 © Inrap : G. Desrayaud
- 485 **PI. 051** Photographies, limite centre Est de la fouille, ENE / OSO, coupe 1252. Coupe stratigraphique de référence. QR 02 sur 02 © Inrap : G. Desrayaud, F. Métais, M. Rayati, E. Saron
- 486 **PI. 052** Dessin, limite SE de la fouille, NNO / SSE, coupes 1291 et 1293 Nord. Coupe stratigraphique de référence. RS 01 sur 04 © Inrap : G. Desrayaud
- 487 **PI. 053** Photographie, limite SE de la fouille, coupes Nord / Sud 1291-b et NNO / SSE 1291-a. Coupe stratigraphique de référence. RS 02 sur 04
© Inrap : G. Desrayaud, K. Hutinet
- 488 **PI. 054** Dessin, limite SE de la fouille, NNO / SSE, coupe 1293. Coupe stratigraphique de référence. RS 03 sur 04 © Inrap : G. Desrayaud
- 489 **PI. 055** Photographies, limite SE de la fouille, coupe NNO / SSE 1293 et vue de la cave contemporaine 1135. Coupe stratigraphique de référence. RS 04 sur 04 © Inrap : G. Desrayaud, K. Hutinet
- 490 **PI. 056** Photographies, limite SE de la fouille, coupe NNO / SSE 1285. Coupe stratigraphique de référence. TU 01 sur 02 © Inrap : G. Desrayaud, K. Hutinet
- 491 **PI. 057** Photographies, limite SE de la fouille, coupe N(NO) / S(SE) 1209. Coupe stratigraphique de référence. TU 02 sur 02 © Inrap : G. Desrayaud, K. Hutinet
- 492 **PI. 058** Photographies, limite SSE de la fouille, coupes NO / SE 1202 et ONO / ESE 1205-a. Coupes stratigraphiques de référence. UV et VW 01 sur 01
© Inrap : G. Desrayaud, K. Hutinet, M. Rayati
- 493 **PI. 059** Photographies, limite SSE de la fouille, coupe 1205-b (parements de fondation) OSO / ENE. Coupe stratigraphique de référence. WX 01 sur 01
© Inrap : G. Desrayaud, M. Rayati
- 494 **PI. 060** Photographies, limite SSE de la fouille, coupe NNO / SSE 1193. Coupe stratigraphique de référence. XA 01 sur 01 © Inrap : G. Desrayaud, M. Rayati
- 495 **PI. 061** Melun, 19 rue Saint-Liesne. Proposition de phasage en plan pour la période gauloise à romaine précoce, intervalle 200 avant-10 après J.-C.
© Inrap : G. Desrayaud
- 496 **PI. 062** Melun, 19 rue Saint-Liesne. Proposition de phasage en plan pour la période romaine (Haut-Empire), intervalle 35 avant-300 après J.-C.
© Inrap : G. Desrayaud
- 497 **PI. 063** Melun, 19 rue Saint-Liesne. Proposition de phasage en plan pour la période mérovingienne précoce (fin V^e-milieu VI^e s.), intervalle 475-575 ap. J.-C. © Inrap : G. Desrayaud
- 498 **PI. 064** Melun, 19 rue Saint-Liesne. Proposition de phasage en plan pour la période médiévale centrale (XI^e-XII^e s.), intervalle 1000-1200 ap. J.-C.
© Inrap : G. Desrayaud
- 499 **PI. 065** Melun, 19 rue Saint-Liesne. Proposition de phasage en plan pour la période du bas Moyen Âge (XIII^e-XV^e s.), intervalle 1200-1500 ap. J.-C.
© Inrap : G. Desrayaud
- 500 **PI. 066** Melun, 19 rue Saint-Liesne. Proposition de phasage en plan pour la première partie de la période moderne (XV^e-XVI^e s.), intervalle 1400-1600 ap. J.-C. © Inrap : G. Desrayaud
- 501 **PI. 067** Melun, 19 rue Saint-Liesne. Proposition de phasage en plan pour la seconde partie de la période moderne (2nde moitié XVI^e-XVIII^e s.), intervalle 1550-1700 / 1750-1825 ap. J.-C. © Inrap : G. Desrayaud
- 502 **PI. 068** Melun, 19 rue Saint-Liesne. Proposition de phasage en plan pour la fin de la période moderne et le début de la période «contemporaine» (XVIII^e-début XIX^e s.), intervalle 1700-1825 ap. J.-C. © Inrap : G. Desrayaud
- 503 **PI. 069** Melun, 19 rue Saint-Liesne. Extrait du cadastre «napoléonien» de 1826 © Archives départementales de Seine-et-Marne, cote 4P37/689 ; © Inrap : G. Desrayaud
- 504 **PI. 070** Melun, 19 rue Saint-Liesne. Proposition de phasage en plan pour la période «contemporaine» à «actuelle» (XIX^e-début XXI^e s.), intervalle 1825-2021 ap. J.-C. © Inrap : G. Desrayaud
- 505 **PI. 071** Melun, 19 rue Saint-Liesne. Extrait du cadastre de 1969-1986 et photographies aériennes redressées de 1950-1965 et de 2000-2005
© Archives départementales de Seine-et-Marne, doc. 2566W10655 ; © IGN ; © Inrap : G. Desrayaud
- 506 **PI. 072** Melun, 19 rue Saint-Liesne. Fossé 1247, crâne et mandibule de cheval (intervalle 200 avant-10 après J.-C.), coupes 1404 et 1299
© Inrap : G. Desrayaud, K. Hutinet, M. Rayati
- 507 **PI. 073** Melun, 19 rue Saint-Liesne. Plan orthophotographique du four de tuilier 1074 le 04 novembre 2021. FOU1074 n°01 sur 22 © Inrap : K. Hutinet, G. Desrayaud, R. Touquet
- 508 **PI. 074** Melun, 19 rue Saint-Liesne. Plan orthophotographique du four de tuilier 1074 le 10 novembre 2021. FOU1074 n°02 sur 22 © Inrap : K. Hutinet, G. Desrayaud, R. Touquet
- 509 **PI. 075** Melun, 19 rue Saint-Liesne. Plan orthophotographique du four de tuilier 1074 le 19 novembre 2021. FOU1074 n°03 sur 22 © Inrap : K. Hutinet, G. Desrayaud, R. Touquet
- 510 **PI. 076** Melun, 19 rue Saint-Liesne. Plan orthophotographique du four de tuilier 1074 le 25 novembre 2021. FOU1074 n°04 sur 22 © Inrap : K. Hutinet, G. Desrayaud, R. Touquet
- 511 **PI. 077** Melun, 19 rue Saint-Liesne. Photographie aérienne redressée (drone) du four de tuilier 1074 le 25 novembre 2021. FOU1074 n°05 sur 22
© Inrap : P. Raymond, G. Desrayaud, R. Touquet
- 512 **PI. 078** Melun, 19 rue Saint-Liesne. Plan orthophotographique du four de tuilier 1074 le 29 novembre 2021. FOU1074 n°06 sur 22 © Inrap : K. Hutinet, G. Desrayaud, R. Touquet
- 513 **PI. 079** Melun, 19 rue Saint-Liesne. Coupes longitudinales SSO / NNE et NNE / SSO du four de tuilier 1074, d'après modèle 3D du 29 novembre 2021. FOU1074 n°07 sur 22 © Inrap : G. Desrayaud, K. Hutinet, R. Touquet
- 514 **PI. 080** Melun, 19 rue Saint-Liesne. Dessin. Plan et coupe longitudinale SSO / NNE du four de tuilier 1074. FOU1074 n°08 sur 22 © Inrap : G. Desrayaud

- 515 **Pl. 081** Dessin, coupe longitudinale SSO / NNE du four de tuilier 1074. Coupe strati. de réf. YZ 01 sur 07. FOU1074 n°09 sur 22 © Inrap : G. Desrayaud
- 516 **Pl. 082** Dessin, coupe longitudinale SSO / NNE du four de tuilier 1074. Coupe strati. de réf. YZ 02 sur 07. FOU1074 n°10 sur 22 © Inrap : G. Desrayaud
- 517 **Pl. 083** Photographies, coupe longitudinale SSO / NNE 1514-B et moitié Ouest vidée de la fosse 1074 du four de tuilier gallo-romain. Coupe stratigraphique de référence YZ 03 sur 07. FOU1074 n°11 sur 22 © Inrap : G. Desrayaud
- 518 **Pl. 084** Dessin, coupe longitudinale SSO / NNE du four de tuilier 1074. Coupe strati. de réf. YZ 04 sur 07. FOU1074 n°12 sur 22 © Inrap : G. Desrayaud
- 519 **Pl. 085** Dessin, coupe longitudinale SSO / NNE du four de tuilier 1074. Coupe strati. de réf. YZ 05 sur 07. FOU1074 n°13 sur 22 © Inrap : G. Desrayaud
- 520 **Pl. 086** Dessin, coupe longitudinale SSO / NNE du four de tuilier 1074. Coupe strati. de réf. YZ 06 sur 07. FOU1074 n°14 sur 22 © Inrap : G. Desrayaud
- 521 **Pl. 087** Dessin, coupe longitudinale SSO / NNE du four de tuilier 1074. Coupe strati. de réf. YZ 07 sur 07. FOU1074 n°15 sur 22 © Inrap : G. Desrayaud
- 522 **Pl. 088** Photographies, coupes transversales ONO / ESE 1369 et 1389 du four de tuilier 1074. FOU1074 n°16 sur 22 © Inrap : G. Desrayaud, K. Hutinet
- 523 **Pl. 089** Photographies, axe transversal ONO / ESE 1388-sup. du four de tuilier 1074. Bouchage 1337 (Phase B) de l'exutoire de l'alandier Nord (Phase A). FOU1074 n°17 sur 22 © Inrap : G. Desrayaud, K. Hutinet
- 524 **Pl. 090** Photographies, coupes ONO / ESE 1312 et N(NE) / S(SO) 1343, fosse 1321 du four de tuilier 1074. FOU1074 n°18 sur 22 © Inrap : G. Desrayaud, K. Hutinet
- 525 **Pl. 091** Photographies, coupes ESE / ONO 1370 et 1388-inf. du four de tuilier 1074. FOU1074 n°19 sur 22 © Inrap : G. Desrayaud, K. Hutinet, M. Rayati
- 526 **Pl. 092** Photographies, coupes transversales ESE / ONO 1313 et 1314 = 1391 du four de tuilier 1074. FOU1074 n°20 sur 22 © Inrap : G. Desrayaud, K. Hutinet, E. Saron
- 527 **Pl. 093** Photographies, coupes transversales ESE / ONO 1315 et 1329 du four de tuilier 1074. FOU1074 n°21 sur 22 © Inrap : G. Desrayaud, K. Hutinet, E. Saron
- 528 **Pl. 094** Photographies, coupes transversales ESE / ONO 1512 et 1515 du four de tuilier 1074. FOU1074 n°22 sur 22 © Inrap : G. Desrayaud, K. Hutinet
- 529 **Pl. 095** Melun, 19 rue Saint-Liesne. Fosse 1303 et fossés 1179, 1186 et 1203, Haut-Empire romain © Inrap : G. Desrayaud, K. Hutinet
- 530 **Pl. 096** Melun, 19 rue Saint-Liesne. Fosse profonde en fût 1056, période mérovingienne précoce © Inrap : G. Desrayaud, M. Rayati
- 531 **Pl. 097** Melun, 19 rue Saint-Liesne. Fosse 1057, période mérovingienne précoce © Inrap : G. Desrayaud, M. Rayati
- 532 **Pl. 098** Melun, 19 rue Saint-Liesne. Fosses 1040 et 1071, période mérovingienne précoce probable © Inrap : G. Desrayaud, K. Hutinet, M. Rayati, E. Saron
- 533 **Pl. 099** Melun, 19 rue Saint-Liesne. Fosse 1012 et silo 1096, TPQ 500-650 ap. J.-C. © Inrap : G. Desrayaud, K. Hutinet, N. Royer-Perez
- 534 **Pl. 100** Melun, 19 rue Saint-Liesne. Fosses 1073, 1093 et 1241, TPQ 475-700 ap. J.-C. © Inrap : G. Desrayaud, K. Hutinet
- 535 **Pl. 101** Melun, 19 rue Saint-Liesne. Corps de bâtiment sur poteaux plantés supposé BAT1082. Période romaine tardive à alto-médiévale probable © Inrap : G. Desrayaud, K. Hutinet, M. Rayati
- 536 **Pl. 102** Melun, 19 rue Saint-Liesne. Partie Sud du décapage, vestiges ayant livré de la céramique de l'intervalle XI^e-XII^e s. © Inrap : G. Desrayaud, R. Touquet
- 537 **Pl. 103** Melun, 19 rue Saint-Liesne. Excavation 1151, bassin profond 1381 et angle NNE de la cave 1380. BAS1381, 01 sur 04 © Inrap : G. Desrayaud, K. Hutinet
- 538 **Pl. 104** Melun, 19 rue Saint-Liesne. Bassin profond 1381, coupes 1525-C et 1525-D. BAS1381, 02 sur 04 © Inrap : G. Desrayaud
- 539 **Pl. 105** Melun, 19 rue Saint-Liesne. Bassin profond 1381 et angle NNE de la cave 1380, coupe 1376. BAS1381, 03 sur 04 © Inrap : G. Desrayaud
- 540 **Pl. 106** Melun, 19 rue Saint-Liesne. Bassin profond 1381 et angle NNE de la cave 1380, coupe 1375-Nord. BAS1381, 04 sur 04 © Inrap : G. Desrayaud
- 541 **Pl. 107** Melun, 19 rue Saint-Liesne. Excavation 1232 et fosse 1233, complements XV^e s. ap. J.-C. probables © Inrap : G. Desrayaud
- 542 **Pl. 108** Melun, 19 rue Saint-Liesne. Excavation 1120, comblement XV^e s. ap. J.-C. probable. Orthophotographies en plan, dépôts / rejets de faune. EX1120, 01 sur 03 © Inrap : G. Desrayaud, K. Hutinet, F. Métais, E. Saron
- 543 **Pl. 109** Melun, 19 rue Saint-Liesne. Excavation 1120, comblement XV^e s. ap. J.-C. probable. Orthophotographies en plan, dépôts / rejets de faune. EX1120, 02 sur 03 © Inrap : G. Desrayaud, K. Hutinet, C. Le Goff, F. Métais, E. Saron
- 544 **Pl. 110** Melun, 19 rue Saint-Liesne. Excavation 1120, comblement XV^e s. ap. J.-C. probable. Coupe NNE / SSO 1246-Est. EX1120, 03 sur 03 © Inrap : G. Desrayaud, E. Saron
- 545 **Pl. 111** Melun, 19 rue Saint-Liesne. Excavation 1151 (cave ?), fondation TPQ 1200-1400 ap. J.-C. Coupe ENE / OSO 1508-Sud © Inrap : G. Desrayaud
- 546 **Pl. 112** Melun, 19 rue Saint-Liesne. Puits à eau 1208, construction TPQ 1200-1400 ap. J.-C. Coupe sup. partielle NO / SE © Inrap : G. Desrayaud
- 547 **Pl. 113** Melun, 19 rue Saint-Liesne. Fosses 1116 et 1244, coupe NNE / SSO 1245 © Inrap : G. Desrayaud, E. Saron
- 548 **Pl. 114** Melun, 19 rue Saint-Liesne. Fosse 1181 (antérieure à la cave 1211), coupe NNO / SSE 1218 © Inrap : G. Desrayaud
- 549 **Pl. 115** Melun, 19 rue Saint-Liesne. Plan du secteur des caves modernes successives 1211 et 1267. CAV1211-1267, 01 sur 06 © Inrap : G. Desrayaud, K. Hutinet, R. Touquet
- 550 **Pl. 116** Melun, 19 rue Saint-Liesne. Cave moderne 1211, partie Est de la coupe ENE / OSO 1210. CAV1211-1267, 02 sur 06 © Inrap : G. Desrayaud
- 551 **Pl. 117** Melun, 19 rue Saint-Liesne. Cave moderne 1211, partie centrale de la coupe ENE / OSO 1210. CAV1211-1267, 03 sur 06 © Inrap : G. Desrayaud
- 552 **Pl. 118** Melun, 19 rue Saint-Liesne. Cave moderne 1211, partie Ouest de la coupe ENE / OSO 1210. CAV1211-1267, 04 sur 06 © Inrap : G. Desrayaud
- 553 **Pl. 119** Melun, 19 rue Saint-Liesne. Caves modernes successives 1211 et 1267, coupe SSE / NNO 1266. CAV1211-1267, 05 sur 06 © Inrap : G. Desrayaud
- 554 **Pl. 120** Melun, 19 rue Saint-Liesne. Caves modernes successives 1211 et 1267, coupe SSE / NNO 1300. CAV1211-1267, 06 sur 06 © Inrap : G. Desrayaud
- 555 **Pl. 121** Melun, 19 rue Saint-Liesne. Cave moderne 1380, coupe ENE / OSO 1378. CAV1380, 01 sur 03 © Inrap : G. Desrayaud
- 556 **Pl. 122** Melun, 19 rue Saint-Liesne. Cave moderne 1380, coupe ENE / OSO 1390. CAV1380, 02 sur 03 © Inrap : G. Desrayaud, K. Hutinet
- 557 **Pl. 123** Melun, 19 rue Saint-Liesne. Caves modernes 1267 et 1380, coupe NNO / SSE 1375-Sud. CAV1380, 03 sur 03 © Inrap : G. Desrayaud, K. Hutinet
- 558 **Pl. 124** Melun, 19 rue Saint-Liesne. Fosses profondes 1142 et 1147, modernes probables © Inrap : G. Desrayaud
- 559 **Pl. 125** Melun, 19 rue Saint-Liesne. Excavation 1125 et 1129, coupe NNO / SSE 1286-Est © Inrap : G. Desrayaud
- 560 **Pl. 126** Melun, 19 rue Saint-Liesne. Excavation 1127, coupe Sud / Nord © Inrap : G. Desrayaud, M. Rayati
- 561 **Pl. 127** Melun, 19 rue Saint-Liesne. Fosse 1079, XVII^e s. probable, coupe SSE / NNO (1260 inf.) © Inrap : G. Desrayaud, E. Saron
- 562 **Pl. 128** Melun, 19 rue Saint-Liesne. Excavation 1032, coupe SSE / NNO Tr02-diag. 2019. EX1032, 01 sur 02 © Inrap : G. Desrayaud, N. Royer-Perez
- 563 **Pl. 129** Melun, 19 rue Saint-Liesne. Excavation 1032, coupe OSO / ENE 1373. EX1032, 02 sur 02 © Inrap : G. Desrayaud
- 564 **Pl. 130** Melun, 19 rue Saint-Liesne. Excavation 1052, coupe OSO / ENE 1274 © Inrap : G. Desrayaud, E. Saron
- 565 **Pl. 131** Melun, 19 rue Saint-Liesne. Excavation 1054, coupe S(SE) / N(NO) 1240 © Inrap : G. Desrayaud, E. Saron
- 566 **Pl. 132** Melun, 19 rue Saint-Liesne. Excavation 1063, coupe SSE / NNO 1281 © Inrap : G. Desrayaud, K. Hutinet

Hors texte, format A0

Plan Joint 01 : Île-de-France, Seine-et-Marne, Melun, 19 rue Saint-Liesne, parcelle AR-245. Fouille archéologique préventive, Inrap, 20 septembre au 17 décembre 2021. Plan général des vestiges à 1/100 © Inrap : G. Desrayaud, R. Touquet, M. Ferrari

Île-de-France, Seine-et-Marne (77), Melun – 19 rue Saint-Liesne

Chronologie
Période gauloise (La
Tène finale)
Haut-Empire romain
Période mérovingienne
précoce
Moyen Âge central
(X^e-XII^e s.)
Bas Moyen Âge
Période moderne
Période
contemporaine

Sujets et thèmes
Fossé et tête de
cheval gaulois
Four de tuilier et
fossés gallo-romains
Occupation
mérovingienne
Faubourg médiéval à
contemporain

Mobilier
Céramique
Faune
Matériaux de
construction en terre
cuite

En 2021, une fouille préventive d'environ 1200 m² a été réalisée par l'Inrap au n°19 de la rue Saint-Liesne, dans l'un des faubourgs historiques de la ville de Melun, en Seine-et-Marne, à une quarantaine de kilomètres au Sud-Est de Paris.

Située à quelques centaines de mètres des périmètres de l'agglomération gallo-romaine (Metlosedum) et des fortifications médiévales à modernes de la ville royale, la parcelle a livré des vestiges s'échelonnant de la période gauloise à la période actuelle.

Un tronçon de fossé a livré une tête de cheval, datée par carbone 14 entre -175 et -25 avant J.-C. à 89 % de probabilité (La Tène finale).

Un four de tuilier gallo-romain, le premier découvert sur la commune et l'un des rares exemplaires connus d'Île-de-France, a pu être intégralement fouillé. Son unité de chauffe, de plus de 11 m², permettait la cuisson de plusieurs centaines de tuiles par fournée. Sa dernière « mise au feu » a pu être datée par archéomagnétisme de l'intervalle I^{er}-milieu II^e s. ap. J.-C. à 95 % de probabilité. Il a donc fonctionné pendant l'essor et/ou « l'apogée » de la ville antique, au cours de la première partie du Haut-Empire.

Deux fosses mérovingiennes précoces (fin V^e-milieu VI^e s. ap. J.-C.) ont livré des céramiques et un corpus de faune consommée correspondant à un milieu social privilégié. Plusieurs fosses alentour et un bâtiment sur poteaux plantés leur sont vraisemblablement associés.

Un probable petit silo et de la céramique en faible quantité témoignent d'une fréquentation de l'emprise pendant le moyen Âge central (XI^e-XII^e siècles).

L'urbanisation du faubourg le long de la rue Saint-Liesne est attestée par la présence de structures maçonnées excavées, caves, puits à eau et fondations, depuis au moins le XIV^e s. et pendant toute la période moderne.

Une expansion graduelle des implantations bâties est perceptible à partir du milieu du XIX^e s.